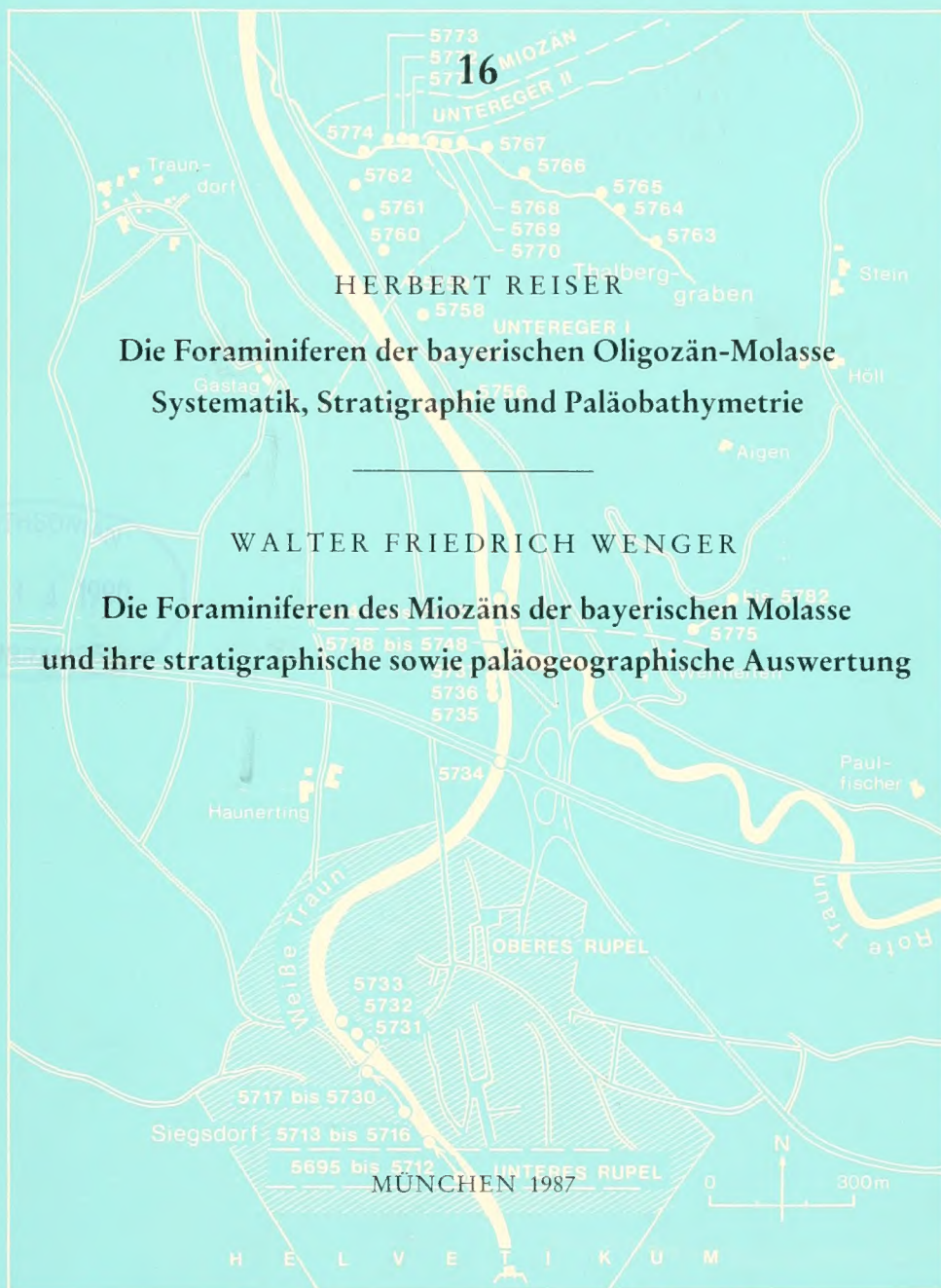


101
Z82
NH

Zitteliana

Abhandlungen der Bayerischen Staatssammlung für Paläontologie
und historische Geologie



Zitteliana

16

340 Seiten

41 Tafeln

München, 30. Oktober 1987

ISSN 0373-9627

Zitteliana

Abhandlungen der Bayerischen Staatssammlung für Paläontologie
und historische Geologie

16

HERBERT REISER

Die Foraminiferen der bayerischen Oligozän-Molasse
Systematik, Stratigraphie und Paläobathymetrie

WALTER FRIEDRICH WENGER

Die Foraminiferen des Miozäns der bayerischen Molasse
und ihre stratigraphische sowie paläogeographische Auswertung

MÜNCHEN 1987

Zitteliana	16	340 Seiten	41 Tafeln	München, 30. Oktober 1987	ISSN 0373-9627
------------	----	------------	-----------	---------------------------	----------------

Verlag Gebr. Geiselberger, Altötting
Herausgegeben von Prof. Dr. Dietrich Herm
Bayerische Staatssammlung für Paläontologie
und historische Geologie München
Redaktion: Dr. Peter Wellnhöfer
Gedruckt mit Unterstützung des Förderungs-
und Beihilfefonds Wissenschaft der VG Wort
ISSN 0373-9627

Die Foraminiferen der bayerischen Oligozän-Molasse Systematik, Stratigraphie und Paläobathymetrie

Von
HERBERT REISER*)

Mit 27 Abbildungen und 19 Tafeln

KURZFASSUNG

Die Sedimente der marinen Oligozän-Molasse Südbayerns werden anhand von Foraminiferen in fünf Zeitbereiche gegliedert: Latdorf, unteres und oberes Rupel, sowie Untereger_I und Untereger_{II}. Die engen faunistischen Beziehungen zum östlich anschließenden Meeresraum lassen eine Korrelation mit der von SZTRAKOS (1979; 1982) für das Gebiet Ungarns entwickelten Zonierung zu. Die Verwendung der von BALDI (1984) vorgeschlagenen und noch nicht endgültig definierten Paratethysstufe „Kiscellien“ kann unter bestimmten Voraussetzungen auch im bayerisch-österreichischen Bereich sinnvoll sein.

Folgende regional-stratigraphische Ergebnisse wurden erzielt:

1. Der Höhepunkt des Promberger Meeresvorstoßes liegt im obersten Untereger_I.
2. Die fazielle Grenze zwischen Tonmergel-Schichten und Baustein-Schichten verläuft deutlich diachron. Die Grenze wird nach Osten immer jünger.
3. Die von HAGN & HÖLZL (1952) vorgeschlagene Rupel/„Chatt“-Grenzziehung im Traun-Profil, die von PAULUS (1963) und HOFMANN (1967) angezweifelt wurde, wird nach Diskussion verschiedener Argumente bestätigt.
4. Weitgehend analog den Verhältnissen in Ostniederbayern fehlen Sedimente des unteren Rupels auch südwestlich des Landshut-Neuöttinger Hochs.

5. Die Rupel/Eger-Grenze liegt im Ampfinger Gebiet innerhalb der Bändermergel und damit tiefer als früher angenommen.

Für die marine bayerische Oligozän-Molasse wird anhand von Foraminiferen-Häufigkeitsgenera ein bathymetrisches Gliederungs-Schema entworfen, bei dem sechs bathymetrische Zonen unterschieden werden.

Das Unteroligozän war im Molasseraum bereits durch große Subsidenzraten gekennzeichnet, die aber durch Zufuhr von Abtragungsprodukten noch nicht ausgeglichen werden konnten. Später gleicht die Sedimentation die weiterhin für die Molasse typische, starke Absenkung aus; die maximalen Meerestiefen des Mittel- und Oberoligozäns überschreiten den Wert von 400 m nicht mehr. Die zunächst regressive, später transgressive Tendenz des Unteregers läßt sich im äußersten Osten der bayerischen Molasse nicht mehr nachweisen. Zum Zeitpunkt des weitesten Vordringens der Fazies der Cyrenen-Schichten nach Osten bildet sich ein deutlich ausgeprägtes submarines West-Ost-Gefälle heraus.

Die Foraminiferen-Fauna der bayerischen Oligozänmolasse lieferte insgesamt 256 Arten und Unterarten (bzw. Varietäten), die sich auf 114 Gattungen verteilen. Die Arten und Unterarten werden zu einem großen Teil beschrieben und abgebildet. Bei häufigeren Formen wird versucht, die Variabilität abzugrenzen. Sechs neue Arten werden aufgestellt.

ABSTRACT

The marine Oligocene molasse sediments of Southern Bavaria are subdivided into five bio-stratigraphic units by means of foraminifera: Latdorfian, Lower Rupelian, Upper Rupelian and Lower Egerian_I and _{II}. The close faunistic relations to marine areas in the East permit the correlation with the zones

established by SZTRAKOS (1979; 1982) for the region of Hungary. The not yet finally defined "Kiscellian" Paratethys stage, which has been proposed by BALDI (1984), can also be used in the Bavarian—Upper Austrian area under certain circumstances.

The following regional stratigraphic results were obtained:

- 1) The peak of the marine Promberger transgression was in the uppermost Lower Egerian_I.

*) Dr. H. REISER, z. Zt. BEB Erdgas und Erdöl GmbH, Riethorst 12, D-3000 Hannover 51.

- 2) The facies boundary between Tonmergel Beds and Bausteine Beds is clearly diachronous. It becomes increasingly younger to the East.
- 3) The Rupelian/"Chattian" boundary of the Traun Section, proposed by HAGN & HÖLZL (1952) and considered as doubtful by PAULUS (1963) and HOFMANN (1967), can be confirmed.
- 4) Sediments of Lower Rupelian age are lacking south-west of the Landshut–Neuötting high; the situation is comparable with that of the eastern part of Lower Bavaria.
- 5) In the Ampfing area, the Rupelian/Egerian boundary is fixed within the Bändermergel Formation and therefore situated in a lower position than formerly done by various authors.

A bathymetric scheme is developed for the marine Oligocene molasse deposits by means of frequent foraminiferal genera; six bathymetric zones can be distinguished.

Already in the Lower Oligocene, strong subsidence took place in the molasse realm, but the influx of coarse-grained clastics and clay could not equalize the high subsidence rates. From Rupelian times onward, sedimentation equalized the strong subsidence of the basin, which is typical for the molasse. The maximum water depth of the Middle and Upper Oligocene does not exceed 400 m any more. The initially regressive and later on transgressive tendencies of the Lower Egerian cannot be seen in the easternmost part of the Bavarian molasse. When the facies of the brackish Cyrena Beds reached furthest to the East, a marked submarine North-South trending slope dipping to the East developed.

The total foraminiferal fauna of the Bavarian Oligocene molasse comprises 256 species and subspecies; they belong to 114 genera. A large part of the species and subspecies is described and scanned. The variability of more frequent forms is investigated. Six new species have been erected.

DANK

Mein hochverehrter Lehrer, Herr Prof. Dr. Herbert HAGN, hat vorliegende Arbeit angeregt. Indem er mir reiches Proben- und Vergleichsmaterial zur Verfügung stellte und mir oft mit Hinweisen und kritischen Ratschlägen zur Seite stand, förderte er die Arbeit sehr. Ihm gebührt mein herzlichster Dank.

Im folgenden möchte ich all jenen danken, die ebenfalls zum Gelingen der Arbeit beigetragen haben: Prof. Dr. E. MARTINI, Frankfurt, unterstützte meine stratigraphischen Untersuchungen durch Nannoplankton-Einstufungen. Dr. H. K. ZÖBELEIN stellte mir freundlicherweise die Unterla-

gen Dipl.-Berging. v. AVANZINIS aus dem Hauptquerschlag der Nonnenwald-Mulde zur Verfügung. In Dipl.-Geol. W. WENGER hatte ich einen stets kooperativen Kollegen, mit dem ich viele wissenschaftliche Probleme diskutieren konnte. Dipl.-Geol. H. KORSITZKE überließ mir einige wertvolle Proben aus seinem Arbeitsgebiet in der Nähe von Hausham. Herr F. HÖCK führte die photographischen Arbeiten aus. Meine Frau opferte viel Zeit für die Reinschrift des Manuskriptes — eine Aufgabe, die sie mit großem persönlichen Engagement zügig bewältigte. An alle ergeht mein aufrichtiger Dank.

INHALT

Teil I: Stratigraphie des Untersuchungsgebietes und dessen bathymetrische Entwicklung im Oligozän . . .	6
1. Einführung	6
1.1 Zielsetzung	6
1.2 Das Untersuchungsgebiet	7
2. Stratigraphische Gliederung der marinen Oligozän-Molasse	8
2.1 Planktonische Foraminiferen	9
2.2 Erläuterungen zur Gliederung des Egers	9
2.3 Benthonische Foraminiferen	9
2.4 Beziehungen zu benachbarten Gebieten in Mitteleuropa	11
2.5 Anmerkungen bezüglich der Verwendbarkeit der Kiscell-Stufe im Untersuchungsgebiet	11
2.6 Stratigraphische Übersicht über die Schichtenfolgen der subalpinen Molasse	13
3. Palaobathymetrische Untersuchungen	13
3.1 Allgemeine Betrachtungen	13
3.2 Methodik	13
3.3 Anmerkungen zur bathymetrischen Einstufung	13
4. Fazies, Fauna, Stratigraphie und Paläobathymetrie der einzelnen Profile und Bohrungen	15
4.1 Das Traungebiet	15
4.1.1 Unteres Rupel	16
4.1.1.1 Aufschlüsse, Lithologie und Lagerungsverhältnisse	16
4.1.1.2 Die Foraminiferen-Fauna des unteren Rupels	17
4.1.2 Oberes Rupel	18
4.1.2.1 Aufschlüsse, Lithologie und Lagerungsverhältnisse	18

4.1.2.2	Die Foraminiferen-Fauna des oberen Rupels	18
4.1.2.3	Die Problematik der Rupel/Eger-Grenzziehung im Traun-Profil	19
4.1.3	Untereger _I	20
4.1.3.1	Aufschlüsse, Lithologie und Lagerungsverhältnisse	20
4.1.3.2	Die Foraminiferen-Fauna des Untereger _I	20
4.1.3.3	Deutung der Fauna und Lithofazies der Thalberg-Schichten	21
4.1.4	Untereger _{II}	22
4.1.4.1	Die Foraminiferen-Fauna des Untereger _{II}	22
4.1.4.2	Anmerkungen zur Stratigraphie	22
4.1.5	Bathymetrische Entwicklung des Traungebietes	22
4.2	Das Priengebiet	22
4.2.1	Oberes Rupel	22
4.2.1.1	Aufschlüsse, Lithologie und Lagerungsverhältnisse	22
4.2.1.2	Die Foraminiferen-Fauna des oberen Rupels	22
4.2.2	Untereger _I	24
4.2.2.1	Aufschlüsse, Lithologie und Lagerungsverhältnisse	24
4.2.2.2	Die Foraminiferen-Fauna des Untereger _I	24
4.2.2.3	Die Stratigraphie des Untereger _I im Detail	25
4.2.3	Untereger _{II}	25
4.2.3.1	Aufschlüsse, Lithologie und Lagerungsverhältnisse	25
4.2.3.2	Die Foraminiferen-Fauna des Untereger _{II}	26
4.2.3.3	Anmerkungen	26
4.2.4	Bathymetrische Entwicklung des Priengebietes	26
4.3	Die Marienstein-Haushamer Mulde	27
4.3.1	Feilnbacher Gebiet	29
4.3.1.1	Aufschlüsse, Lithologie und Lagerungsverhältnisse	29
4.3.2	Leitzach-Profil	31
4.3.2.1	Aufschlüsse, Lithologie und Lagerungsverhältnisse	31
4.3.3	Das Gebiet zwischen Leitzach und Mangfall	31
4.3.4	Das Mangfall-Profil	31
4.3.4.1	Aufschlüsse, Lithologie und Lagerungsverhältnisse	31
4.3.5	Das Gaißbach-Profil	31
4.3.5.1	Aufschlüsse, Lithologie und Lagerungsverhältnisse	31
4.3.6	Die Foraminiferen-Fauna der Marienstein-Haushamer Mulde	33
4.3.6.1	Die Foraminiferen-Fauna des unteren Rupels	33
4.3.6.2	Anmerkungen zur Grenzziehung unteres Rupel/oberes Rupel	34
4.3.6.3	Die Foraminiferen-Fauna des oberen Rupels	34
4.3.6.4	Anmerkungen zur Grenzziehung oberes Rupel/Untereger _I	35
4.3.6.5	Die Foraminiferen-Fauna des Untereger _I	35
4.3.7	Die bathymetrische Entwicklung im Bereich der Marienstein-Haushamer Mulde	36
4.4	Die Segenhauser Zone	36
4.5	Der Kaltenbach-Graben	36
4.6	Die Nonnenwald-Mulde	37
4.6.1	Untereger _I	38
4.6.1.1	Aufschlüsse, Lithologie und Lagerungsverhältnisse	38
4.6.1.2	Die Foraminiferen-Fauna des Untereger _I	39
4.6.1.3	Die Problematik der Altersstellung der Promberger Schichten des Typus-Gebietes	40
4.6.1.4	Die bathymetrische Entwicklung im Bereich der Nonnenwald-Mulde	40
4.7	Das Ammergebiet	41
4.7.1	Latdorf	41
4.7.1.1	Aufschlüsse, Lithologie und Lagerungsverhältnisse	41
4.7.1.2	Die Foraminiferen-Fauna des Latdorfs	42
4.7.1.3	Die Altersstellung der Deutenhausener Schichten	42
4.7.1.4	Interpretation der Fazies der Deutenhausener Schichten	42
4.7.2	Tonmergel-Schichten	43
4.7.2.1	Aufschlüsse, Lithologie und Lagerungsverhältnisse	43
4.7.2.2	Foraminiferen-Fauna der Tonmergel-Schichten	43
4.8	Die Bohrung Ampfing I	43
4.8.1	Latdorf	43
4.8.1.1	Lithologie	43
4.8.1.2	Die Foraminiferen-Fauna des Latdorfs	45
4.8.2	Oberes Rupel	45
4.8.2.1	Lithologie	45
4.8.2.2	Die Foraminiferen-Fauna des oberen Rupels	45
4.8.3	Untereger _I	45
4.8.3.1	Lithologie	45
4.8.3.2	Die Foraminiferen-Fauna des Untereger _I	46
4.8.3.3	Die Rupel/Eger-Grenzziehung im Ampfinger Gebiet	47
4.8.4	Untereger _{II}	47
4.8.4.1	Die Foraminiferen-Fauna der Untereger _{II}	47
4.8.5	Die bathymetrische Entwicklung des Ampfinger Gebietes	47

4.9 Die Bohrungen Ortenburg	48
4.9.1 Die Foraminiferen-Fauna des oberen Rupels	49
4.9.2 Die Foraminiferen-Fauna des Untereger _I	49
4.9.3 Die Foraminiferen-Fauna des Untereger _{II}	51
4.9.4 Die bathymetrische Entwicklung im Bereich der Bohrungen Ortenburg	52
5. Die bathymetrische Entwicklung des Molassetroges im Oligozän	52
5.1 Latdorf	52
5.2 Unteres Rupel	53
5.3 Oberes Rupel	54
5.4 Untereger _I – tieferer Teil	54
5.5 Untereger _I – mittlerer Teil	55
5.6 Untereger _I – höherer Teil	55
5.7 Untereger _{II}	55
Teil II: Systematische Beschreibung der Foraminiferen	56
Astrorhizidae BRADY, 1881	56
Ammodiscidae RUSS, 1862	57
Hormosinidae HALCKEL, 1894	57
Rzehakimidae CUSHMAN, 1933	58
Lituolidae DE BLAINVILLE, 1825	58
Trochamminidae SCHWAGER, 1877	59
Textulariidae EHRENBERG, 1838	59
Ataxophragmiidae SCHWAGER, 1877	60
Miliolidae EHRENBERG, 1839	62
Nodosariidae EHRENBERG, 1838	64
Polymorphinidae D'ORBIGNY, 1839	75
Bulminidae JONES, 1875	77
Elphidiidae GALLOWAY, 1933	92
Nomionidae SCHULTZE, 1854	95
Cassidulinidae D'ORBIGNY, 1839	97
Sphaeroidinidae CUSHMAN, 1927	97
Discorbidae EHRENBERG, 1838	98
Asterigerinidae D'ORBIGNY, 1839	102
Epistomariidae HOFER, 1954	104
Rotalidae EHRENBERG, 1839	104
Nummulitidae DE BLAINVILLE, 1825	106
Globigerinidae CARPENTER, PARKER & JONES, 1862	106
Globorotaliidae CUSHMAN, 1927	112
Hantkeninidae CUSHMAN, 1927	114
Heterohelcidae CUSHMAN, 1927	115
Anomalinidae CUSHMAN, 1927	116
Ceratobulminidae CUSHMAN, 1927	119
Robertinidae RUSS, 1850	119
Anhang I: Gesamtverzeichnis der Arten	120
Anhang II: Verzeichnis der REM-Trägernummern sowie der Dünnschliffnummern der auf den Tafeln abgebildeten Objekte	122
Schriftenverzeichnis	124
Tafeln 1–19	132–169

TEIL I: STRATIGRAPHIE DES UNTERSUCHUNGSGEBIETES
UND DESSEN BATHYMETRISCHE ENTWICKLUNG
IM OLIGOZÄN

1. EINFÜHRUNG

1.1 ZIELSETZUNG

Die außerordentliche Vielfalt der Foraminiferen-Faunen der bayerischen Molasse ist seit langem bekannt. Eine umfassende Bestandsaufnahme und monographische Beschreibung der oligozänen Foraminiferen stand indes bisher noch aus,

wenn auch einige frühere Arbeiten eine wertvolle und unverzichtbare Grundlage bilden (LIEBUS, 1903; HAGN & HÖLZL, 1952; HOFMANN, 1967).

Basierend auf der Erfassung aller vorliegenden Foraminiferen-Taxa – sowohl benthonischer als auch planktonischer – wurde eine Präzisierung und Verfeinerung der Stratigraphie

der Oligozän-Molasse angestrebt. Denn nur auf diese Weise können detaillierte Vorstellungen bezüglich der vielfältigen und z. T. diachronen faziellen und ökologischen Entwicklung, sowie auch der jeweiligen Senkungsraten gewonnen werden, durch die die nordalpine Randsenke gekennzeichnet ist, die den Abtragungsschutt des im Süden aufsteigenden Gebirges aufgenommen hat.

Bei der Erarbeitung des stratigraphischen Konzeptes sollte die Verknüpfbarkeit mit anderen Zonierungen bzw. überregionalen Zonen- und Stufengliederungen auch deshalb gewährleistet sein, weil die Verhältnisse im Molasseraum die Entwicklung der Paratethys mit bedingt haben (z. B. deren Isolierung). Die Ausarbeitung einer zusätzlichen bathymetrischen Gliederung der Foraminiferen-Vergesellschaftungen, die anhand von Rezentvergleichen „geeicht“ sein muß, erlaubt ein detailliertes Nachzeichnen der zeitlichen Veränderung verschiedener Bereiche des marinen Lebensraumes, welche ja mit der Auffüllung des asymmetrischen Molassetroges in Zusammenhang steht. Mit der Erfassung des Verbreitungsgebietes der Sedimente des Unter-, Mittel- und Oberoligozäns war bereits ein wichtiger Schritt getan (KORDIUK, 1938: Abb. 10; OSCHMANN, 1963: Abb. 12, 13, 14).

1.2 DAS UNTERSUCHUNGSGEBIET (Abb. 1)

Das untersuchte Areal umfaßt den Bereich der subalpinen Molasse zwischen der Ammer im Westen und der Traun im Osten, wo zahlreiche, meist durch Flußläufe entstandene Oligozän-Profile mit z. T. klassischen Aufschlüssen vorhanden sind. Im nördlichen Teil der Vorlandmolasse boten sich die Bohrungen Ortenburg an, die sich durch einen sehr günstigen Erhaltungszustand der Foraminiferen-Fauna auszeichnen und die bereits früher Gegenstand von Foraminiferen-Untersuchungen waren, die an der Universität München durchgeführt wurden. Als vermittelndes Bindeglied zog ich die im Südtail der Vorlandmolasse abgeteufte Bohrung Ampfing 1 hinzu, die gegenüber anderen Bohrungen und Profilen den Vorteil hat, daß mit ihr eine weitgehend (wenn auch nicht ganz) vollständige Schichtenfolge des Oligozäns durchfahren wurde. Dies mag für den Bearbeiter von Gebieten außerhalb der Molasse keine Besonderheit darstellen; doch liegen im Molasse-Bereich fast stets enorm hohe Mächtigkeiten vor, was das Antreffen einer einigermaßen kompletten Schichtenfolge verhindert. Die subalpinen Sedimentserien sind infolge

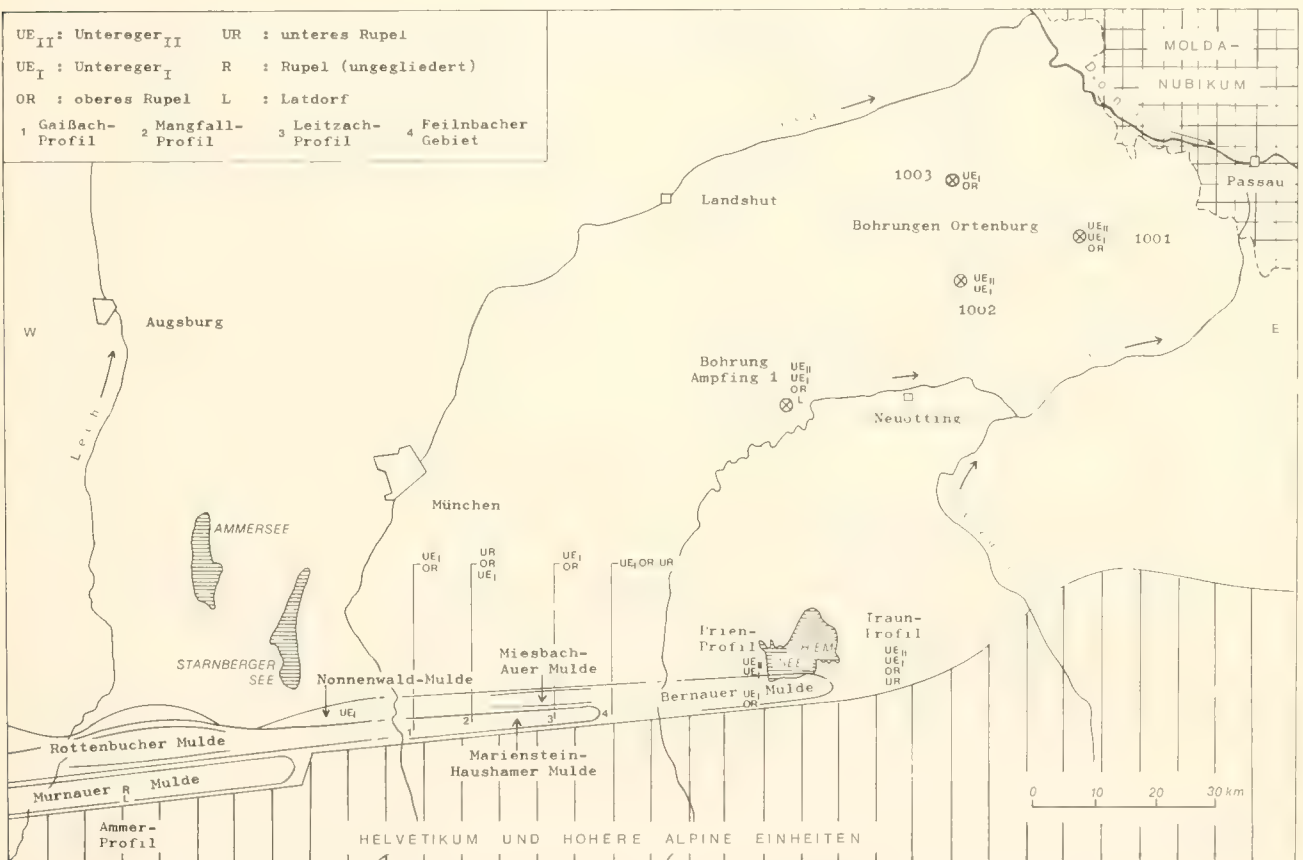


Abb. 1: Geographische Lage und stratigraphischer Umfang der wichtigsten Profile und der Bohrungen (Muldenbau schematisch).

tektonischer Vorgänge unvollständig (Amputation; Überschiebungen); viele Vorlandmolasse-Bohrungen erreichten das Oligozän nicht oder durchteuften es nur zum Teil.

Insgesamt wurden sieben natürliche Profile, vier Bohrungen und der Hauptquerschlag in der Nonnenwald-Mulde bearbeitet; dazu kommen noch zahlreiche Einzelaufschlüsse.

Den Untersuchungen liegen 378 Schlammproben zugrunde, die stark vorwiegend sehr reiche Foraminiferen-Faunen lieferten.

Das Belegmaterial zu dieser Arbeit wird in der Bayerischen Staatssammlung für Paläontologie und historische Geologie (BSP) in München unter der Inventarnummer 1985 VIII auf-

bewahrt. Die abgebildeten Foraminiferen befinden sich auf den REM-Trägern BSP-Rei T 2-16.

Auf die Erforschungsgeschichte des Gebietes wird im Zusammenhang mit der Erörterung der einzelnen Profile eingegangen.

2. STRATIGRAPHISCHE GLIEDERUNG DER MARINEN OLIGOZÄN-MOLASSE

Früher wurde das marine Oligozän des südostbayerischen Raumes vorwiegend anhand von benthonischen Foraminiferen und anhand von Mollusken gegliedert. Lateral z. T. weit verfolgbare, typische benthonische Vergesellschaftungen spielten eine zunehmend wichtige Rolle (Horizont-Stratigraphie). Seit 1970 erwiesen sich Einstufungen mittels planktonischer Mikrofossilien mehr und mehr als unverzichtbare Hilfe. An wichtigen Veröffentlichungen seien speziell die Arbeiten von C. MÜLLER (1970), CÍCHA, HAGN & MARTINI (1971) und MARTINI (1981) genannt.

Für feinstratigraphische Untergliederungen, die für eine genauere Kenntnis der Entwicklung des Molassetroges unerläßlich sind, und die durch das Nebeneinander und die Verzahnung unterschiedlicher Faziesräume erschwert sind, wird man sich weiterhin aller zur Verfügung stehender Methoden bedienen müssen. Als Beispiel sei die von jeher schwer ziehbare Rupel/Eger-Grenze genannt, die mitten in der Nannoplankton-Zone 24 liegt (STEININGER, RÖGL & MARTINI, 1976: Tab. 1) und wenig oberhalb der Basis der P21 sensu BLOW (1969; 1979). Eine weitere Schwierigkeit liegt darin begrün-

Nannoplankton		NP 21	NP 22	NP 24	NP25	NP 25	NN 1
Zonierung BLOW 1969;79		P 18	P 19	P 20	'P 21'	'N 4'	
	Eozän	Latdorf	u.Rupel	o.Rupel	U.-Eger _I	U.-Eger _{II}	Miozän
		Sannois	Rupel		Chatt	Aquitain	
Gt. liverovskae	-----						
G. utilisindex							
Subb. angiporoides	-----				-----	-----	
Gt. opima nana					=====		-----
G. ciperoensis						=====	-----
G. ampliapertura	-----						
Dgl. cf. galavisi		-----			-----		
G. sellii					-----		
Psh. naguewichiensis barbadoensis	-----						
Psh. micra	-----						
Chil. cubensis	-----						
Psh. cf. wilcoxensis							
Gs. quadrilobatus primordius							-----
G. labiacrassata							
Gt. semivera							
Gt. siakensis							
G. ciperoensis, aberrant							
Gt. cf. obesa					-----		
Subb. cf. pseudo- eocaena						-----	
Gq. dehiscens							

----- in anderen Regionen im betreffenden Zeitraum nachgewiesen
----- im Eozän bzw. Miozän nachgewiesen

Abb. 2: Stratigraphische Verbreitung der wichtigsten planktonischen Foraminiferen.

det, daß besonders bei den planktonischen Foraminiferen stratigraphisch verwertbare Leitformen i. a. nur untergeordnet auftreten, verglichen mit den oft massenhaft vorhandenen Durchläufern. Dennoch liegen auch zahlreiche Formen vor, die weltweit für biostratigraphische Korrelationen verwendet werden.

2.1 PLANKTONISCHE FORAMINIFEREN

In Abb. 2 ist die Verbreitung der stratigraphisch wichtigen planktonischen Foraminiferen aufgetragen. Neben der in dieser Arbeit verwendeten neueren Stufengliederung sind die früher üblichen Bezeichnungen aufgeführt.

Im tieferen Oligozän endet die Entwicklung des Genus *Pseudobastigerina* BANNER & BLOW, das im älteren Paläogen weit verbreitet war. Das endgültige Aussetzen von *Pseudobastigerina* scheint weltweit ein zumindest einigermaßen einheitliches Datum zu haben (siehe die vergleichende Darstellung von RÖGL in CATI et al., 1981: Tab. 3), wenngleich von BERGGREN (1969: 143) diesbezüglich Einwände gemacht wurden. Davon abgesehen läßt sich die P-19/20-Grenze im Untersuchungsgebiet gut fixieren. Man könnte eine Grenze von unterem zu oberem Rupel sehr wohl hier ziehen. Da allerdings bei den benthonischen Foraminiferen aufgrund des Einsetzens zahlreicher Arten eine noch markantere Grenze in einem geringfügig älteren Niveau vorliegt, wurde der letzteren Lösung der Vorzug gegeben. Die in dieser Arbeit verwendete Grenze „unteres/oberes Rupel“ liegt also etwas unterhalb der nach BLOW (1969) festgelegten P-19/20-Grenze.

Zu dem mittels benthonischer Foraminiferen festgelegten Zeitpunkt stirbt auch *Globorotalia liverovskae* (BYKOVA) aus, eine Art die weltweit aus dem unteren Oligozän bekannt ist (ČSSR, UdSSR, Neuseeland, Südwestatlantik; vgl. die Synonymien im systematischen Teil). Das Erstauftreten von *Globigerina sellii* (BORSETTI) im Unteroligozän erlaubt hier die Grenzziehung P 18/19.

In Abb. 2 ist die Plankton-Zone 21 mit Anführungszeichen versehen, da die Indexfossilien *Globorotalia opima opima* BOLLI und *Globigerina angulicostalis* BOLLI fehlen. Allerdings tritt *Globorotalia opima nana* BOLLI im entsprechenden Zeitraum im südöstlichsten Bereich der bayerischen Molasse gehäuft auf (Traun-Profil, Ampfing).

Die Basis des Egers ist u. a. durch das Erstauftreten der Gattung *Globigerinoides* CUSHMAN klar definiert worden (BALDI & SENES, 1975: 41). Daß das sogenannte Globigerinoides-Datum für die Grenzziehung „Paläogen/Neogen“ ungeeignet ist, hat sich bereits herausgestellt (vgl. a. RÖGL in CATI et al., 1981: 44). Dies läßt sich auch im bayerischen Ausschnitt der Paratethys gut bestätigen. Die vorwiegend aus dem unteren Miozän bekannten Arten *Globorotalia semivera* (HORNIBROOK) und *Globorotalia siakensis* (LEROY) liegen bereits im unteren Eger (CICHA, ČTYROKÁ & HORVÁTH, 1975: 243) bzw. in der Plankton-Zone 21 vor (STAINFORTH et al., 1975: Abb. 16; BERGGREN & AMDURER, 1973: Abb. 5). Die beiden Arten tauchen wenig oberhalb der Basis der hiesigen „P 21“ auf und sind somit schon im tiefsten Untereger präsent. Wie bereits CICHA, HAGN & MARTINI (1971: 282) feststellten,

tritt *Subbotina angiporoides* ab der Wende „Rupel/Eger“ kaum mehr auf.

Die Grenze „Untereger_I/Untereger_{II}“ entspricht weitgehend der Chatt/Aquitane-Grenze früherer Autoren. Hinsichtlich des Planktons ist oberhalb dieser Grenze ein sehr häufiges Auftreten von *Globigerina ciperoensis* BOLLI festzustellen. *Globigerina utilisindex* JENKINS & ORR wurde in diesem Zeitabschnitt nicht mehr beobachtet.

Die Grenzlegung „Oligozän/Miozän“ erfolgte seitens planktonischer Foraminiferen anhand des Einsetzens von *Globoquadrina debiscens* (CHAPMAN, PARR & COLLINS). Das Erstauftreten der Art erlaubt die Korrelation mit Gebieten niedrigerer geographischer Breite, in denen die Mehrzahl der Plankton-Zonierungen aufgestellt wurde (vgl. RÖGL in CATI et al. 1981: 45).

In Abb. 2 sind zusätzlich die mit Nannoplankton durchgeführten Alterseinstufungen von MARTINI (1981: 349), CICHÁ, HAGN & MARTINI (1971: 287) und MARTINI (Brief v. 13. 12. 84) eingetragen.

2.2 ERLÄUTERUNGEN ZUR GLIEDERUNG DES EGRS

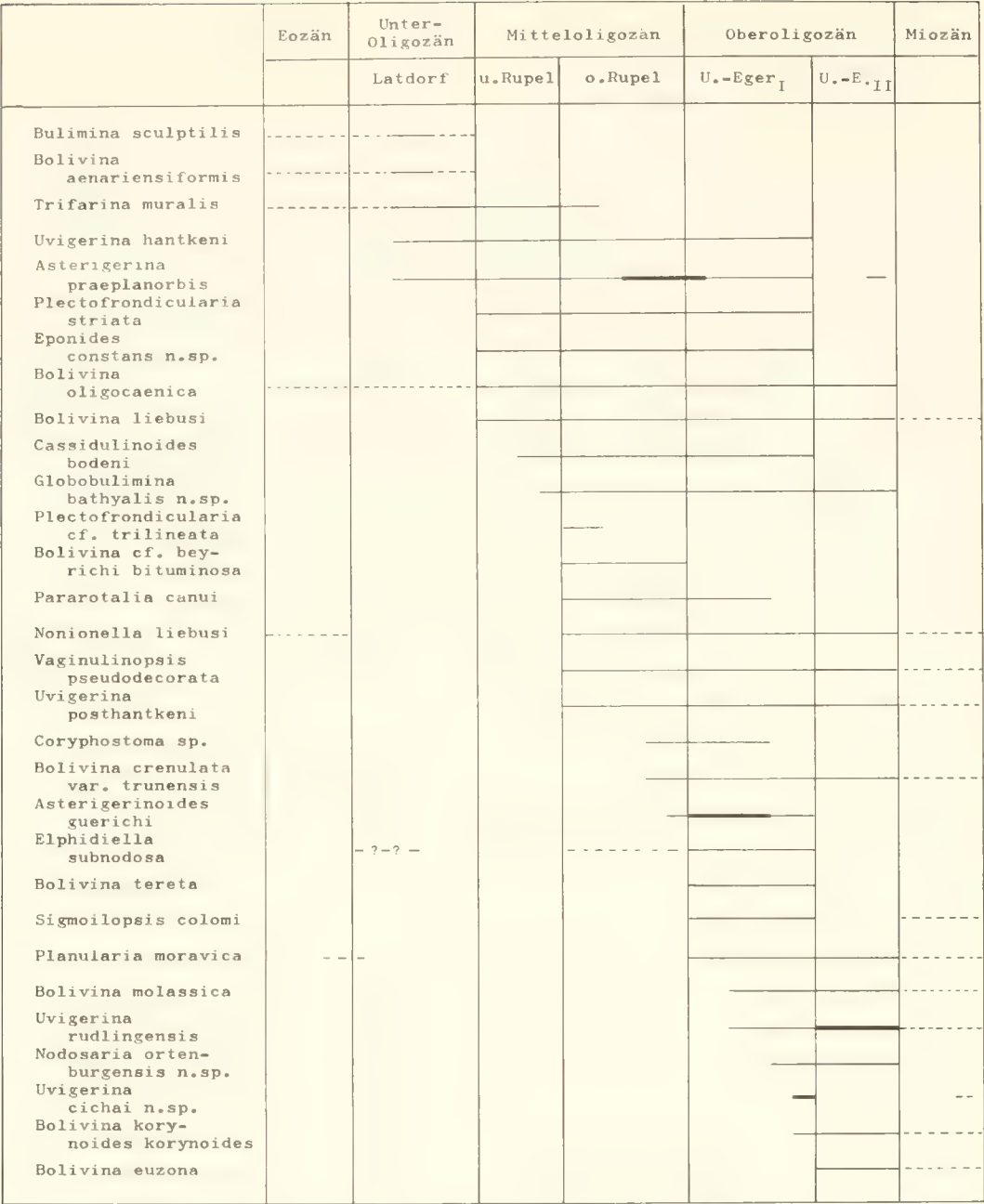
Die stratigraphischen Begriffe Untereger_I und Untereger_{II} werden aus praktischen Erwägungen heraus vorerst für den engeren Raum der bayerischen Molasse eingeführt, da eine formale Unterteilung des Egers bisher fehlt und Bezeichnungen wie „höherer Teil des unteren Egers“ etc. zu unhandlich wären.

Untereger_I und Untereger_{II} verkörpern den Zeitbereich zwischen der Oberkante des Rupels und der Oligozän/Miozän-Grenze. Nicht zufällig wurde die jetzige Untereger_{I/II}-Grenze früher als Oligozän/Miozän-Grenze angesehen. Abb. 3 zeigt, daß zahlreiche benthonische Foraminiferen-Arten, die für einen großen Teil des älteren Oligozäns charakteristisch waren, an dieser Grenze bereits aussterben.

2.3 BENTHONISCHE FORAMINIFEREN

Stratigraphisch verwendbare Arten, Unterarten und Varietäten liefern vorwiegend die Gruppen der Bolivinen, der Uvigerinen, der Plectofrondicularien und schließlich der Asterigerinen (Abb. 3). Während bei den meisten Taxa nur die Gesamtverbreitung von Bedeutung ist, treten einige Arten in bestimmten Zeitbereichen als Häufigkeitsform auf.

Bulimina sculptilis CUSHMAN hat sich als verlässlicher Anzeiger des Unteroligozäns bei gleichzeitigem Fehlen obereozäner Faunenelemente erwiesen. Die Art reicht noch bis in das oberste Latdorf (s. HAGN, HOLZL & HRUBESCH, 1962: 430). *Bolivina aenariensisformis* MYATLYUK dient im ungarischen Raum zur Abgrenzung des Latdorfs vom Rupel (SZTRAKOS, 1979: 36ff.; Tab. 5). In Bayern wird die Art allerdings nicht den Ansprüchen gerecht, die an ein gutes Leitfossil gestellt werden, da sie zu selten vorkommt. *Trifarina muralis* (TERQUEM), eine im Eozän weit verbreitete Art, ist noch bis ins obere Rupel verfolgbar.



----- im Eozän bzw. Miozän oder im Oligozän
anderer Regionen nachgewiesen

Abb. 3: Zeitliche Verbreitung der stratigraphisch wichtigen benthonischen Foraminiferen.

Asterigerina praeplanorbis HAGN ist nahezu im gesamten Oligozän präsent und zeigt ein Häufigkeits-Maximum im Bereich der Rupel/Eger-Grenze. Völlig analog den Verhältnissen in Norddeutschland setzt *Asterigerinoides guerichi* (FRANKE) im allerersten Rupel ein und kann kurz danach im tieferen Oberoligozän massenhaft auftreten (vgl. a. SPIEGLER, 1965: 454). Hinsichtlich der Uvigerinen konnte folgende Gliederung erarbeitet werden:

- 1. Vor dem oberen Rupel kommt nur *Uvigerina hantkeni* CUSHMAN & EDWARDS vor.
- 2. Die genannte Art stirbt am Ende des Untereger_I aus.
- 3. *Uvigerina posthantkeni* PAPP setzt mit dem oberen Rupel ein.

- 4. *Uvigerina rudlingensis* PAPP herrscht im Zeitbereich des Untereger_{II} absolut vor und tritt dagegen im Untermiozän nur noch untergeordnet auf.
- 5. Das alleroberste Untereger_I kann sehr reich an *Uvigerina cichai* n. sp. sein.

Bei den Plectofrondicularien ergibt sich folgendes Bild:

- 1. *Plectofrondicularia cf. trilineata* CUSHMAN ist hinsichtlich ihrer Verbreitung auf den tieferen Teil des oberen Rupels beschränkt.
- 2. *Plectofrondicularia striata* (HANTKEN) setzt an der Oberkante des Untereger_I aus.

3. *Plectofrondicularia multilineata* CUSHMAN & SIMONSON wurde nur im unteren Rupel der Marienstein-Haushamer Mulde angetroffen.
4. *Plectofrondicularia digitalis* (NEUGEBOREN) kommt ab dem obersten Untereger_I vor.

Ein Leitfossil von besonderem Wert ist *Pararotalia canui* (CUSHMAN). Die Art lebte sowohl im hyposalinen als auch im normalmarinen Bereich und ist sogar in tiefermarinen Bildungen noch anzutreffen. *P. canui* setzt mit dem oberen Rupel ein und ist nach dem mittleren Untereger_I nicht mehr nachzuweisen.

An der Unterkante des Untereger_{II} stirbt bereits eine beträchtliche Anzahl der oligozänen Arten aus. Das Untereger_{II} selbst ist neben seiner typischen Uvigerinen-Führung durch *Bolivina euzona* HOFMANN und die wenig früher einsetzende *Bolivina korynoides korynoides* HOFMANN charakterisiert. Bei „*Almaena*“ *osnabrugensis* (ROEMER) herrschen seitlich stark komprimierte Formen mit eingesenkten Suturen vor (Typ „*escornebovensis*“).

Ab dem Miozän sind *Asterigerina praeplanorbis* HAGN, *Bolivina oligocaenica* SPANDEL, *Globobulimina bathyalis* n. sp. und *Nodosaria ortenburgensis* n. sp. nicht mehr nachweisbar. *Elphidiella subnodosa* ROEMER ist im gesamten Untereger_I weit verbreitet und konnte in älteren und jüngeren Bereichen der Molasse nirgendwo angetroffen werden. Im norddeutschen und weiter westlich anschließenden Raum wird die Art allerdings als seltenes Mikrofossil bereits aus dem tieferen Oligozän angegeben (REUSS, 1866: 164; FRANKE, 1925: 113; TEN DAM & REINHOLD, 1942: 79; BATJES, 1958: 164). Trotzdem gilt die Art im genannten Gebiet als charakteristische Leitform des Oberoligozäns (SPIEGLER, 1965: 453; REUSS, 1866: l. c.). Das von SZTRAKOS (1982: Taf. 18/12) abgebildete Exemplar aus den Buda-Mergeln Ungarns (Eo-Oligozän) liegt deutlich abseits der Variationsbreite der mir aus dem Untereger_I zur Verfügung stehenden Gehäuse.

2.4 BEZIEHUNGEN ZU BENACHBARTEN GEBIETEN IN MITTELEUROPA

HAGN & HÖLZL (1952: 82 ff.) lieferten bereits eine ausführliche Erörterung der biogeographischen Beziehungen der Molasse zu benachbarten Ablagerungsräumen. Die Autoren kamen zu dem Ergebnis, daß einerseits während des Mittel- und Oberoligozäns enge Beziehungen zu den ungarischen Faunen bestanden und daß andererseits etwa mit der Fauna des norddeutschen Septarientons kein unmittelbarer Austausch stattfand. Von den Leitfossilien des norddeutschen Rupels, wie sie von SPIEGLER (1965: 469 ff.) beschrieben wurden, konnten lediglich zwei Arten in der bayerischen Oligozän-Molasse nachgewiesen werden; die beiden Arten – *Allo-morphina macrostoma* KARRER und *Cibicidoides ungerianus* (D'ORBIGNY) – sind zudem im hiesigen Bereich ohne jeden stratigraphischen Gebrauchswert. Andererseits fehlen echte Uvigerinen im norddeutschen Mitteloligozän und im größten Teil des Oberoligozäns offenbar völlig.

Daß im hohen Mitteloligozän allerdings eine vielleicht nur kurzfristige Meeresverbindung zum norddeutschen Raum

bestanden hat, ist durch das Auftauchen von *Asterigerinoides guerichi* (FRANKE) im obersten Rupel der bayerischen Molasse belegt. Die hochdifferenzierte Art ist aus dem mediterranen Raum und aus östlicher gelegenen Paratethysgebieten nicht bekannt und dürfte über das Mainzer Becken und den Oberrheingraben eingewandert sein. Zeitgleiche, parallele Entwicklungen oder Konvergenz können ausgeschlossen werden, da im älteren Oligozän Südbayerns eventuelle Vorläufer der Art fehlen. Als weiteres Beispiel spricht das Auftreten von *Elphidiella cryptostoma* (EGGER) im mittleren Rupelton des Mainzer Beckens für einen gewissen faunistischen Austausch mit dem Norden (vgl. Synonymien von *E. cryptostoma*).

Während aber insgesamt zu den Faunen des Oberrheingrabens nur eine geringe Affinität vorhanden ist (vgl. HAGN & HÖLZL, 1952: 84; DOEBL in Leitf. Mikrop., 1962: 325 ff.), lassen sich bis in die Schweiz noch engere Beziehungen nachweisen, wie die von SCHERER (1966: 90 ff.) bearbeitete Foraminiferen-Fauna des Schweizer „Oligozän-Flysches“ beweist (Unter- und Mitteloligozän).

Die Faunenliste von LINDENBERG et al. (in HAGN, 1981: 146 ff.) zeigt, daß das ehemals weiter im Süden gelegene Kalkalpin mit der Molasse eine sehr große Zahl von Arten gemeinsam hat. Im Unterschied zur Molasse bietet das kalkalpine Unteroligozän wesentlich reichere Faunen.

Die Tonmergelserie und die Puchkirchener Schichten-gruppe Oberösterreichs weisen eine mit der bayerischen Molasse in groben Zügen vergleichbare Uvigerinen-Entwicklung auf. Die engen Beziehungen zum oberösterreichischen Oberoligozän-Schlier wurden bereits in HAGN & HÖLZL (1952: 89) dargelegt.

2.5 ANMERKUNGEN BEZÜGLICH DER VERWENDBARKEIT DER KISCELL-STUFE IM UNTERSUCHUNGSGEBIET

Abb. 4 verdeutlicht, daß die von SZTRAKOS (1979; 1982) für das ungarische Oligozän erarbeitete Zonengliederung mit der bayerischen Stufengliederung weitgehend verknüpfbar ist, wenngleich einer weitergehenden feinstratigraphischen Parallelisierung die in beiden Gebieten unterschiedliche stratigraphische Verbreitung der meisten Foraminiferen im Weg steht. Im systematischen Teil der vorliegenden Arbeit wird versucht, durch die Abgrenzung der Variabilität zahlreicher Taxa eine Grundlage für weitere Vergleiche zu schaffen.

Die Verwendung der in Nordwesteuropa gebräuchlichen Stufenbezeichnungen „Latdorf“ und „Rupel“ ist in der Molasse etwas problematisch. Wie bereits angesprochen, war der faunistische Austausch mit dem nordwesteuropäischen Meer während des Oligozäns stark gehemmt und stratigraphische Korrelationen mit diesem Raum sind anhand von Foraminiferen nur in Einzelfällen möglich. Andererseits ist die Korrelation mittels Nannoplankton anscheinend ohne Schwierigkeiten durchführbar. Nach MARTINI & MÜLLER (1971: Taf. 1) läßt sich der Stratotyp des Latdorfs in die NP 21 und der des Rupels in die NP 23 einordnen; beide Zonen wurden auch in der bayerischen Molasse nachgewiesen.

Eozän	Latdorf	Rupel		Untereger		Miozän	Gliederung in dieser Arbeit
		unt.	oberes	I	II		
B ₃ - B ₄		C _v - G _b		A _a			Gliederung von SZTRAKOS (1979; 1982)
2b	2c	3	4	5	7		
							Chiloguembelina cubensis (PALMER)
							Bolivina oligocaenica SPANDEL (s.str.)
							Bolivina beyrichi carinata HANTKEN*
							Bolivina liebusi HOFMANN
							Bolivinella rugosa HOWE
							Almaena osnabrugensis (ROEMER)
							Globigerinoides spp.

- 2

2b

2c

3

4

5

= Pseudohastigerina barbadoensis-Zone

= Globorotalia -increbescens-Subzone

= Globigerina postcretacea-Subzone

= Globigerina ampliapertura-Zone

= Chiloguembelina cubensis-Zone

= Globorotalia opima opima-Zone
- Bs = Bulimina sculptilis-Zone

Ba = Bolivina aenariensisiformis-Zone

Cv = Cassidulina vitalisi-Zone

Gb = Gyroidina byramensis-Zone

Aa = Anomalina affinis-Zone

* s. LINDENBERG (1966: Abb. 3)

Abb. 4: Korrelation der bayerischen Oligozän-Gliederung mit der Zonen-Gliederung von SZTRAKOS (1979; 1982).

Von BALDI (zuletzt 1984: 1; 25) wurde mit der Kiscell-Stufe eine weitere regionale Paratethysstufe für das Liegende des Egers vorgeschlagen. Die diesbezüglich bisher detailliertesten Untersuchungen wurden am Bohrgut der Bohrung Kiscell-1 des Budapester Gebietes durchgeführt. Während die Obergrenze des Kiscells durch die Unterkante des Egers festgelegt ist, werden für die Untergrenze im Moment noch mehrere Möglichkeiten diskutiert. Die Stufe soll demnach das Unter- und Mitteloilozän ganz oder nur teilweise umfassen. Sollte die Untergrenze innerhalb des tieferen Oligozäns gelegt wer-

den, so wäre mit dem Kiscell infolge der recht exakten Verknüpfbarkeit der Gliederung von SZTRAKOS mit derjenigen Südbayerns eine Paratethysstufe zu erwarten, die nach Westen weit über Ungarn hinaus Verwendung findet.

Dazu ist allerdings eine minutiöse Bearbeitung der Foraminiferen-Faunen in den Typus-Profilen notwendig. Die bisher bezüglich planktonischer Foraminiferen gemachten Angaben (BALDI, 1984: Abb. 6) reichen für eine Korrelation noch nicht aus.

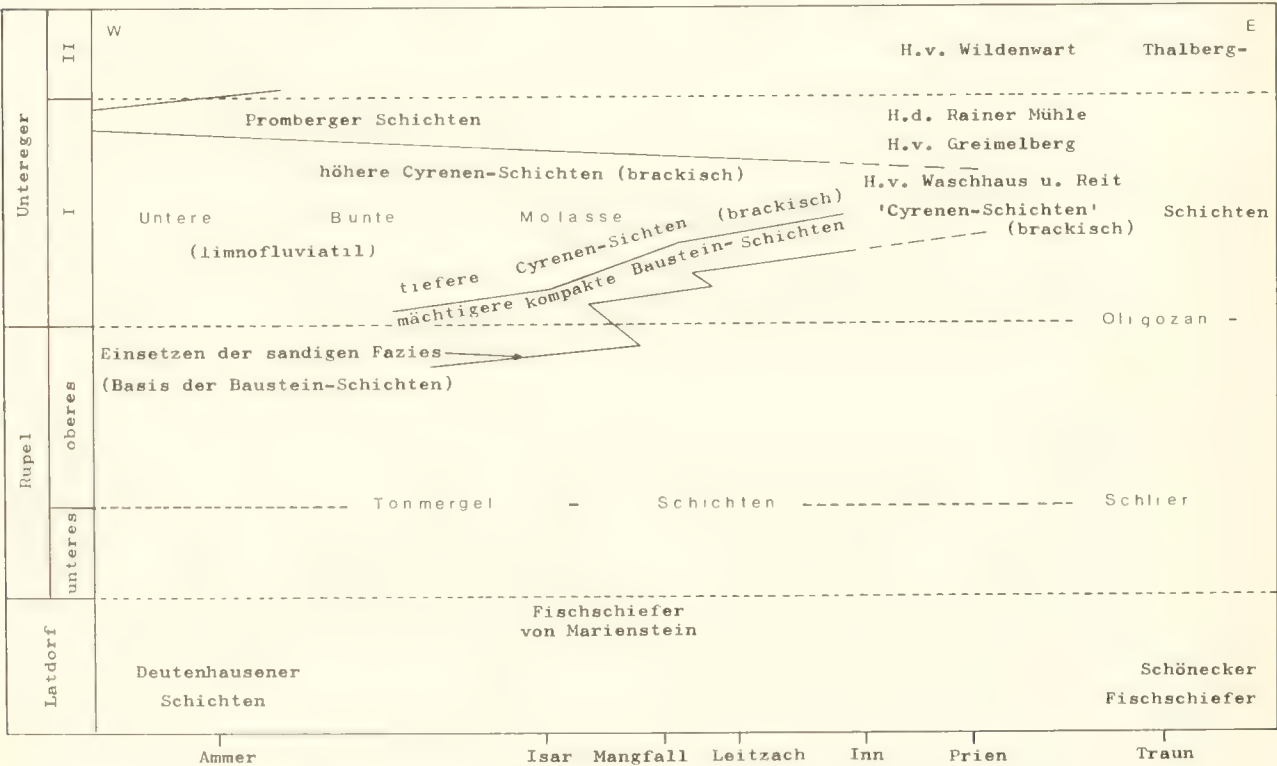


Abb. 5: Stratigraphische Übersicht über die wichtigsten Schichtglieder der subalpinen Molasse von der Ammer bis zur Traun.

2.6 STRATIGRAPHISCHE ÜBERSICHT ÜBER DIE SCHICHTENFOLGEN DER SUBALPINEN MOLASSE

Es liegen bereits zahlreiche schematische Darstellungen vor, die die Stratigraphie der subalpinen Molasse Bayerns erläutern. Als wichtigste seien die Darstellungen von ZÖBELEIN (1957: Abb. 2) und PAULUS (1963: Abb. 4) genannt. Abb. 5 gibt die Altersbeziehungen zwischen den wichtigsten Schichtgliedern und Horizonten wieder, wie sie aus den in Kap. 4 dargelegten Untersuchungen resultieren.

3. PALÄOBATHYMETRISCHE UNTERSUCHUNGEN

3.1 ALLGEMEINE BETRACHTUNGEN

Um eine genauere Vorstellung über die Meerestiefen im Molasse-Becken während des Oligozäns zu gewinnen, wurde versucht, anhand der Foraminiferen-Faunen zunächst eine relative bathymetrische Gliederung zu schaffen. Diese relative Gliederung wurde dann nach dem aktualistischen Prinzip mit rezenten Angaben über die bathymetrische Verbreitung noch lebender Foraminiferen verglichen.

Selbstverständlich hängt das Auftreten oder Fehlen der einzelnen Gattungen und Arten nicht allein vom hydrostatischen Druck ab: Temperatur, Salinität, Durchlichtung, Nahrungsangebot, Sauerstoffgehalt und Kalziumkarbonatgehalt des Meereswassers spielen ebenfalls eine entscheidende Rolle. Dazu kommt, daß Biozönosen und Thanatozönosen häufig nicht identisch sind. Nichtsdestoweniger zeigen zahlreiche morphologische Eigenschaften und die Verteilung der Foraminiferen, daß es einen „Tiefen-Effekt“ gibt (s. BOLTOVSKOY & WRIGHT, 1976: 237). Die Angaben über die bathymetrische Maximalverbreitung variieren bei manchen Taxa z. T. beträchtlich, z. T. werden aber auch recht einheitliche Angaben über bestimmte Formen gemacht. Ähnlich wie in der Stratigraphie gibt es auch in der Ökologie Durchläufer und gute Leitfossilien.

3.2 METHODIK

Im allgemeinen sind für diese Arbeit nur repräsentative Häufigkeitsformen in die bathymetrischen Betrachtungen einbezogen worden. Lediglich bei stets als Bruchstücke vorliegenden primitiven Sandschalern, wo die Individuenhäufigkeit schwer abschätzbar ist, wertete ich bereits das Vorhandensein oder Fehlen des betreffenden Taxons.

Aufgrund der großen Anzahl an zur Verfügung stehenden Proben wurde folgende halb-quantitative Methode gewählt: Bei jeder aus einer Probe ausgeschlammten Foraminiferen-Vergesellschaftung ermittelte ich jeweils die häufigste, zweithäufigste, dritthäufigste und noch die vierthäufigste Gattung. Seltener Gattungen als letztere wurden vernachlässigt.

Die bayerische Oligozän-Molasse bietet regressive Schichtenfolgen und auch Sequenzen mit zunehmender Wassertiefe. Hier kann der allmähliche Übergang von Tieferwasser-Faunen zu Flachmeer-Faunen (und umgekehrt) studiert werden.

Die Tonmergel-Schichten der Faltenmolasse westlich des Inns reichen vom unteren Rupel bis maximal ins tiefere Untereger. Sie werden im Osten durch den Oligozän-Schlier vertreten. Nach JANOSCHEK (in BACHMAYER, 1957: 78) steht „Schlier“ – ein ursprünglich oberösterreichischer Lokalausdruck – für graue, gut geschichtete Tonmergel mit sandigen Bestegen.

Abb. 6 zeigt als Beispiel die Häufigkeitsverteilung aller auftretenden Häufigkeitsgenera des Gebietes von Bad Feilnbach am östlichen Muldenschuß der Haushamer Mulde.

Nach Vergleich mit den anderen Sequenzen zunehmender oder abnehmender Wassertiefe entstand die in Abb. 7 dargestellte relative Gliederung, der Tiefenangaben anhand von Daten rezenter bathymetrischer Verbreitungen einzelner Taxa oder Gruppen beigelegt wurden. Bei Gattungen, die nur durch eine Art vertreten sind oder bei der eine Art sehr stark dominiert, ist diese angegeben. Da in den für diese Untersuchungen benutzten Profilen (Profile der Marienstein-Haushamer Mulde, Nonnenwald-Mulde und Prien-Profil) keine bipolaren Verteilungen auftreten, wurde der verfälschende Einfluß postmortaler Verdriftungen und postsedimentärer Umlagerungen als gering erachtet.

3.3 ANMERKUNGEN ZUR BATHYMETRISCHEN EINSTUFUNG

Quinqueloculina, *Porosonion*, *Ammonia* und *Pararotalia* vertragen hyposalinare Bedingungen und treten als Häufigkeitsgenera in den extrem niedrig-diversen Faunen der Cyrenen-Schichten auf, gehen aber auch in den normalmarinen Bereich hinein. *Ammonia* (= *Streblus*) tritt nach BANDY (1960: Abb. 4) vorwiegend in randmarinen Buchten und auf dem inneren Schelf auf, MURRAY (1973: 248) ordnet die Gattung vorwiegend dem Bereich zwischen 0 und 50 m zu; PUJOS-LAMY (1984: Abb. 2) gibt für die Maximum-Verbreitung den Bereich oberhalb von 70 m an (*Ammonia beccarii*, Biscaya-Bucht).

Das häufige Auftreten von *Quinqueloculina* ist für flachneritische Verhältnisse typisch (BANDY, 1960: Abb. 2; MURRAY, 1973: 251). Ebenso ist *Elphidium* charakteristisch für den inneren Schelf (BOLTOVSKOY & WRIGHT, 1976: Tab. 13; HAYNES, 1981: 249; SZTRAKOS, 1979: Tab. 3, Bereich von weniger als 100 m).

Der Lebensraum von *Bathysiphon* ist der Bereich jenseits von 150 m Wassertiefe bis hinab zu abyssalen Tiefen (vgl. BOLTOVSKOY & WRIGHT, 1976: 238, Tab. 13).

Robulus als absolut dominierendes Faunenelement reicht einerseits noch in die *Ammonia*-Fazies hinein und kommt andererseits noch mit *Bathysiphon* vor. ALEXANDROWICZ (1979:

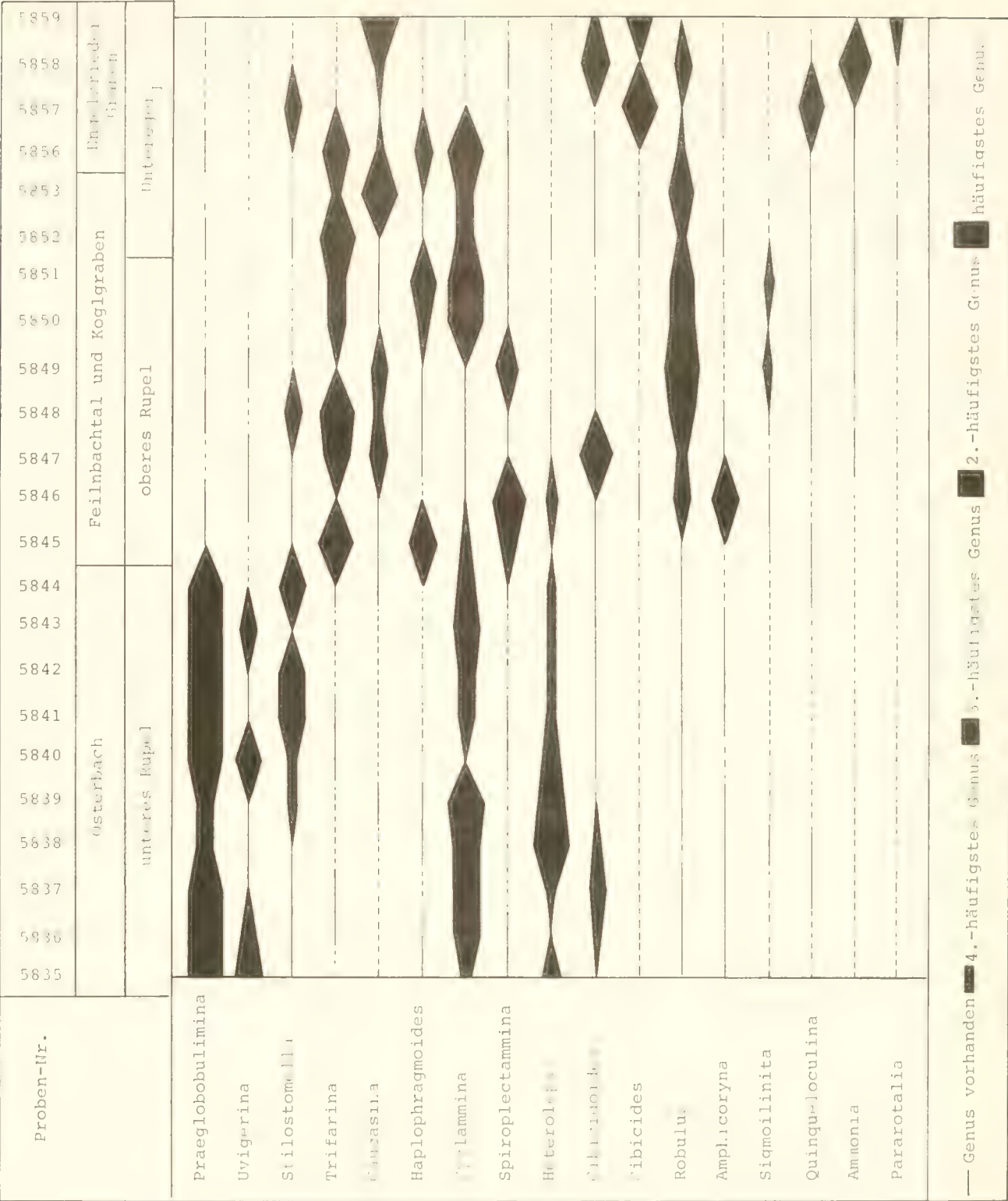


Abb. 6: Übersicht über die zeitliche Veränderung der Zusammensetzung der benthonischen Foraminiferen-Fauna im Gebiet von Bad Feilnbach (regressive Entwicklung).

356) gibt mit 30–80 m etwas geringere Tiefen für die „*Lenticulina*-association“ des polnischen Badens an. Der *Robulus*-Schlier des Ottgangs im Linzer Raum wird als „Still- und Beckenwasserfazies“ aufgefaßt, die sich mit küstennahen Sanden verzahnt (STEININGER, 1969: 49ff.).

Gemäß den Untersuchungen von GRUNIG (1979: 64ff., Abb. 32) fallen die berippten Uvigerinen oberhalb der

Grenze „oberes Bathyal/äußerer neritischer Bereich“ nahezu gänzlich aus (Eozän von Norditalien und Nordspanien).

Große, nicht skulptierte Buliminin, zu denen *Praeglobobulimina pyrula* zählt, und die Chilostomelliden-Genera *Chilostomella* und *Allomorphina* gehören als Häufigkeitsformen dem Bathyal an (vgl. auch BANDY, 1960: 10, Abb. 6).

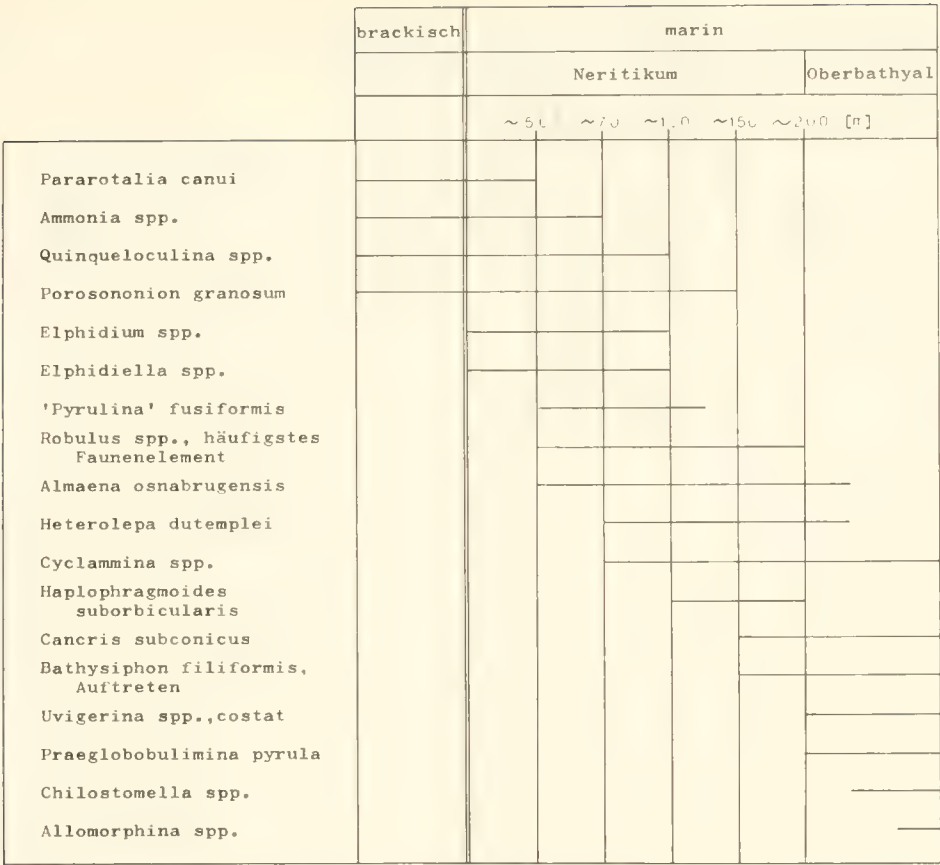


Abb. 7: Allgemeines bathymetrisches Gliederungsschema für die Oligozän-Molasse. Mit Ausnahme von *Bathysiphon* sind nur Häufigkeitsformen berücksichtigt (vgl. Text).

Die maximalen, anhand von Foraminiferen-Assoziationen nachweisbaren Meerestiefen liegen in der Oligozän-Molasse oberhalb von 400 m, da bis in die tiefsten Vergesellschaftungen hinein das Genus *Trifarina* ein nicht zu vernachlässigen-

des Faunenelement bleibt (vgl. MURRAY, 1973: 251). Beripptstachelige Uvigerinen, die nach BANDY (1960: Abb. 7) erst ab dem mittleren Bathyal eine Rolle spielen, fehlen in den unter-suchten Abfolgen völlig.

4. FAZIES, FAUNA, STRATIGRAPHIE UND PALÄOBATHYMETRIE DER EINZELNEN PROFILE UND BOHRUNGEN

4.1 DAS TRAUNGEBIET

Mit dem südlich von Traunstein gelegenen Traun-Profil und den sich im Westen anschließenden Gräben des Bergener Gebietes wurde der östlichste Bereich des bayerischen subalpinen Oligozäns untersucht. Weiter nach Osten zu sind die älteren Anteile der Molasse von alpinen Einheiten überschoben.
Die unteroligozänen Schönecker Fischschiefer des Galongrabens SE von Siegsdorf können in fazieller Hinsicht noch der Molasse zugerechnet werden; sie bilden allerdings das Hangende helvetischer Stockletten (HAGN, MARTINI & PFEIL in HAGN, 1981: 122) und zählen daher in tektonischer Hinsicht zum Helvetikum. Das Traun-Profil selbst blickt bereits auf eine sehr lange Erforschungsgeschichte zurück: SEDGWICK & MURCHISON setzten sich bereits 1832 eingehend mit dem

Traun-Profil auseinander. Später beschäftigte sich GÜMBEL (1861: 700; 1894: 345) u. a. mit der Mollusken-Fauna des Thalberggrabens. Bei der monographischen Bearbeitung der Mollusken der südbayerischen Oligozän-Molasse durch WOLFF (1897) stand ebenfalls der Thalberggraben im Vordergrund. WEILER lieferte 1932 eine umfangreiche Bearbeitung der Fisch-Faunen des Traun-Profils. BODEN (1935: 344) führte Geröllanalysen an den Konglomeraten des Thalberggrabens und der Blauen Wand durch. HAGN & HÖLZL (1952) verdanken wir schließlich eine detaillierte und umfassende Aufnahme des Traun-Profils; sowohl Mollusken- als auch Foraminiferen-Fauna wurden zur Gliederung herangezogen. Die genannte Arbeit bietet auch eine Zusammenstellung der älteren Literatur. Im Bereich des Traun-Gebietes zeichnet sich die subalpine Molasse durch einen einfachen Bau aus; die Schichten des oligozänen Anteils fallen überwiegend steil

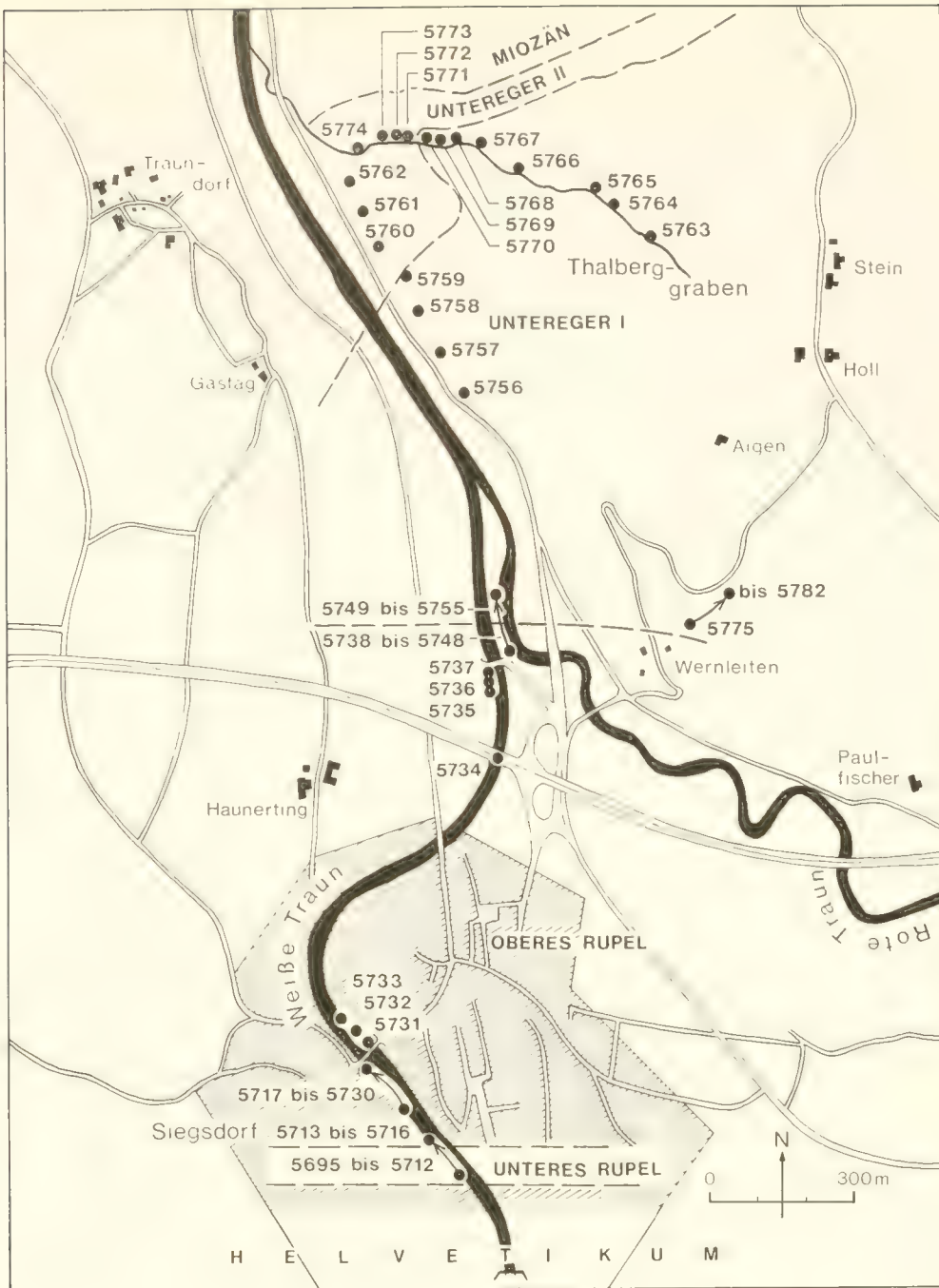


Abb. 8: Die Probenentnahmepunkte im Traun-Profil.

nach Norden hin ein. Der für den Westen typische Muldenbau fehlt. Die beprobten Lokalitäten sind in Abb. 8 und Abb. 9 ausgewiesen.

4.1.1 Unteres Rupel

4.1.1.1 Aufschlüsse, Lithologie und Lagerungsverhältnisse

Der Zeitabschnitt des unteren Rupels ist im Bett der Weißen Traun im Wehrprofil NE des Siegsdorfer Schwimmbades durch graue, milde, z. T. warven-artig feingeschichtete Mergel vertreten und derzeit durchgehend aufgeschlossen. Im Süd-

den grenzt die unterrupelische Mergelfolge tektonisch an helvetische Oberkreide. Der Grenzbereich Latdorf/unteres Rupel und ältere Molasse-Einheiten sind tektonisch amputiert. Soweit erkennbar, streichen die nur andeutungsweise geschichteten Mergel ungefähr E-W und stehen sehr steil. Ohne jeden lithologischen Wechsel schließt sich im Norden das obere Rupel an. Die Mächtigkeit des unteren Rupels liegt bei 200 m.

Auch der Bergener Raum bietet Aufschlüsse des tieferen Mittelligozäns: In den Gräben westlich und nördlich des Rambergs stehen blaugraue, milde Mergel an, die im südlichsten Teil noch unterrupelisches Alter haben.

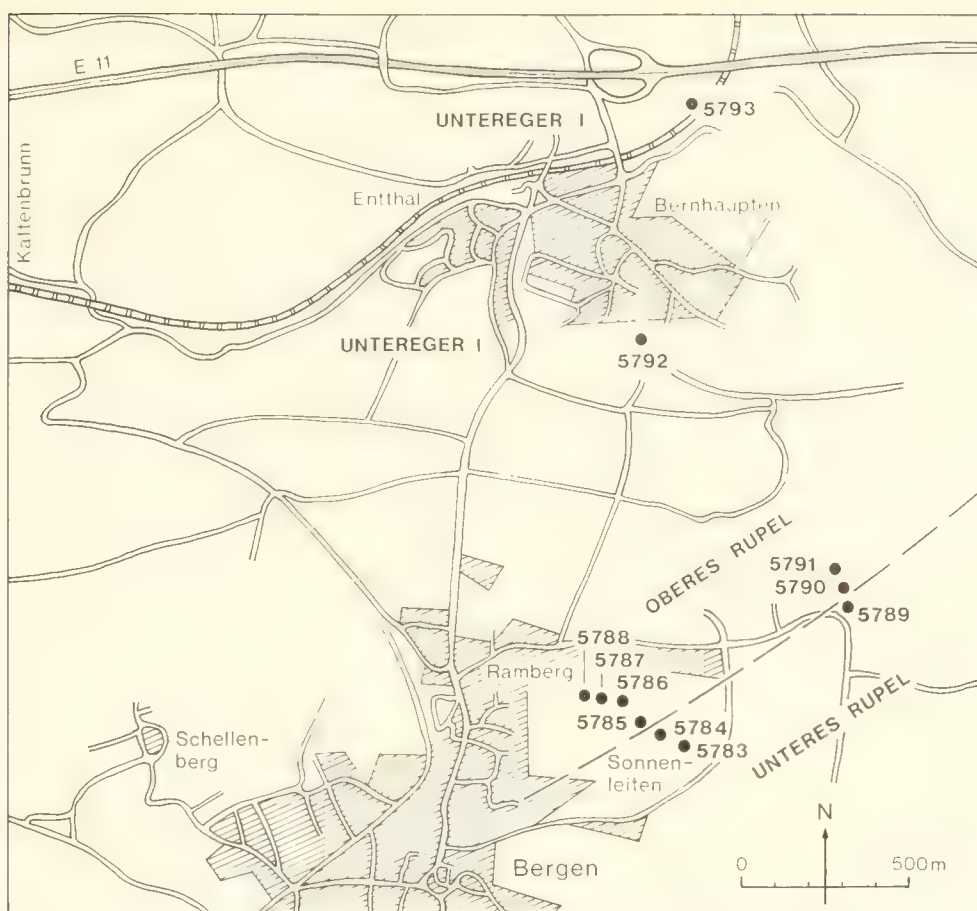


Abb. 9: Die Probenentnahmepunkte im Gebiet nördlich von Bergen.

4.1.1.2 Die Foraminiferen-Fauna des unteren Rupels

Rhabdammina discreta BRADY
Bathysiphon filiformis SARS
Ammodiscus cretaceus (REUSS)
Glomospira charoides (JONES & PARKER)
Glomospira gordialis (JONES & PARKER)
Miliammina paleocenica KIESEL
Haplophragmoides suborbicularis (GRZYBOWSKI)
Cyclammina acutidorsata (HANTKEN)
Textularia agglutinans D'ORBIGNY
Spiroplectammina carinata (D'ORBIGNY)
Quinqueloculina cribrosa (EGGER)
Quinqueloculina haueriana D'ORBIGNY
Sigmoilinita tenuis (CZJZEK)
Robulus cultratus MONTFORT
Robulus inornatus (D'ORBIGNY)
Robulus vortex (FICHTEL & MOLL)
Robulus cf. depauperatus (REUSS)
Planularia cf. cassis (FICHTEL & MOLL)
Lenticulina gerlachi (REUSS)
Vaginulinopsis tenuis (BORNEMANN)
Saracenaria arcuata (D'ORBIGNY)
Marginulina hantkeni BANDY
Amphicoryna badenensis (D'ORBIGNY)
Dentalina communis D'ORBIGNY
Nodosaria hispida (SOLDANI)
Flabellinella tenuissima (HANTKEN)

Plectofrondicularia striata (HANTKEN)
Amphimorphina haueriana NEUGEBOREN
Bolivina rugosa HOWE
Lagena sulcata (WALKER & JACOB)
Lagena gracilicosta REUSS
Lagena laevis (MONTAGU)
Globulina gibba D'ORBIGNY
„Pyrulina“ fusiformis (ROEMER)
Oolina globosa (MONTAGU)
Fissurina laevigata REUSS
Fissurina obtusa EGGER
Bulimina striata D'ORBIGNY
Bulimina elongata D'ORBIGNY
Praeglobobulimina pyrula (D'ORBIGNY)
Globobulimina bathyalis n. sp.
Virgulopsis tuberculata (EGGER)
Caucasina schischkinskayae (SAMOILOVA)
Caucasina coprolithoides (ANDREAE)
Stainforthia acuta (D'ORBIGNY)
Fursenkoina mustoni (ANDREAE)
Virgulinella chalkophila (HAGN)
Uvigerina hantkeni (CUSHMAN & EDWARDS)
Trifarina gracilis (REUSS)
Trifarina angulosa (WILLIAMSON)
Bolivina beyrichi beyrichi REUSS
Bolivina beyrichi carinata HANTKEN
Bolivina crenulata CUSHMAN
Bolivina gnara HOFMANN

Bolivina dilatata hyalina HOFMANN
Bolivina vaceki bavaria LÜHR
Bolivina liebusi HOFMANN
Bolivina elongata HANTKEN
Bolivina nobilis HANTKEN
Bolivina oligocaenica SPANDEL
Bolivina molassica HOFMANN
Stilostomella longiscata (D'ORBIGNY)
Stilostomella consobrina (D'ORBIGNY)
Stilostomella emaciata (REUSS)
Stilostomella scabra (REUSS)
Porosonion granosum (D'ORBIGNY)
Elphidiella heteropora (EGGER)
Elphidiella cryptostoma (EGGER)
Elphidiella subcarinata (EGGER)
Florilus communis (D'ORBIGNY)
Pullenia quinqueloba (REUSS)
Chilostomella ovoidea REUSS
Chilostomella czizeki REUSS
Allomorphina trigona REUSS
Globocassidulina oblonga (REUSS)
Cassidulinoides bodeni HAGN
Sphaeroidina bulloides D'ORBIGNY
Eponides constans n. sp.
Valvulineria complanata (D'ORBIGNY)
Cancris subconicus (TERQUEM)
Epistominella molassica (HAGN)
Eoeponidella ampliportata n. sp.
Escornebovina orthorapha (EGGER)
Gyroidina soldanii D'ORBIGNY
Gyroidina brockerti n. sp.
Asterigerina praeplanorbis HAGN
Ammonia kiliani (ANDREAE)
Ammonia propingua (REUSS)
Globigerina praebulloides BLOW
Globigerina officinalis SUBBOTINA
Globigerina anguliofficialis BLOW
Globigerina utilisindex JENKINS & ORR
Globigerina tapuiensis BLOW & BANNER
Globigerina ampliapertura BOLLI
Globigerina enapertura JENKINS
Globigerina angustiumbilicata BOLLI
Globigerina ouachitaensis HOWE & WALLACE
Globigerina ciperoensis BOLLI
Subbotina angiporoides (HORNIBROOK)
Dentoglobigerina cf. galavisi (BERMÚDEZ)
Globigerinita unicava (BOLLI, LOEBLICH & TAPPAN)
Globorotalia opima nana BOLLI
Globorotalia clemenciae (BERMÚDEZ)
Pseudohastigerina micra (COLE)
Pseudohastigerina naguewichiensis barbadoensis BLOW
Pseudohastigerina cf. wilcoxensis (CUSHMAN & PONTON)
Chiloguembelina cubensis (PALMER)
Cibicides lobatulus (WALKER & JACOB)
Cibicidoides communis (ROEMER)
Cibicidoides ungerianus ungerianus (D'ORBIGNY)
Cibicidoides ungerianus filicosta (HAGN)
Cibicidoides pseudoungerianus (CUSHMAN)
Heterolepa dutemplei (D'ORBIGNY)

Hanzawaia boueana (D'ORBIGNY)
 „Almaena“ *osnabrugensis* (ROEMER)
Hoeglundina elegans (D'ORBIGNY)

4.1.2 Oberes Rupel

4.1.2.1 Aufschlüsse, Lithologie und Lagerungsverhältnisse

Die Zone, die vom jüngsten Abschnitt des Wehrprofils bis fast zum Zusammenfluß von Weißer und Roter Traun reicht, nehmen überwiegend mergelige, z. T. auch sandige Sedimente des oberen Rupels ein. Der Grenzbereich Rupel/Eger ist an der Roten Traun gut aufgeschlossen; hier folgen auf blaugraue, im angewitterten Zustand bräunliche, plattige Mergel knollige Sandmergel und schließlich Sandsteinbänke. Die älteste Sandsteinbank, die bereits dem Eger angehört, konnte auch im nahegelegenen Graben SSW Höll wiedererkannt werden. Die Schichtflächen fallen steil nach Norden hin ein. Die Mächtigkeit des oberen Rupels liegt bei 1100 m.

4.1.2.2 Die Foraminiferen-Fauna des oberen Rupels

Rhabdammina discreta BRADY
Bathysiphon filiformis SARS
Haplophragmoides suborbicularis (GRZYBOWSKI)
Cyclammina acutidorsata (HANTKEN)
Textularia agglutinans D'ORBIGNY
Textularia deperdita D'ORBIGNY
Spiroplectammina carinata (D'ORBIGNY)
Vulvulina spinosa CUSHMAN
Quinqueloculina cribrosa (EGGER)
Quinqueloculina hauerina D'ORBIGNY
Triloculina gibba D'ORBIGNY
Sigmoilinita tenuis (CZJZEK)
Sigmoilinita sp.
Robulus cultratus MONTFORT
Robulus inornatus (D'ORBIGNY)
Robulus vortex (FICHEL & MOLL)
Robulus cf. depauperatus (REUSS)
Planularia kubinyi (HANTKEN)
Lenticulina gerlachi (REUSS)
Vaginulinopsis pedum (D'ORBIGNY)
Saracenaria arcuata (D'ORBIGNY)
Saracenaria propingua (HANTKEN)
Marginulina hantkeni BANDY
Amphicoryna scalaris (BATSCH)
Amphicoryna badenensis (D'ORBIGNY)
Amphicoryna imperfectecostata (SILVESTRI)
Dentalina communis D'ORBIGNY
Nodosaria hispida (SOLDANI)
Nodosaria pyrula semirugosa D'ORBIGNY
Nodosaria elegantissima (D'ORBIGNY)
Lingulina subglobosa DERVIEUX
Flabellinella tenuissima (HANTKEN)
Plectofrondicularia striata (HANTKEN)
Plectofrondicularia cf. trilineata CUSHMAN
Amphimorphina haueriana NEUGEBOREN
Lagena sulcata (WALKER & JACOB)
Lagena gracilicosta REUSS

Lagena laevis (MONTAGU)
 „*Pyrulina*“ *fusiformis* (ROEMER)
Glandulina aequalis REUSS
Glandulina dimorpha (BORNEMANN)
Fissurina laevigata REUSS
Fissurina obtusa EGGER
Fissurina orbignyana SEGUENZA
Bulimina striata D'ORBIGNY
Bulimina arndti HAGN
Bulimina elongata D'ORBIGNY
Praeglobobulimina pyrula (D'ORBIGNY)
Globobulimina bathyalis n. sp.
Virgulopsis tuberculata (EGGER)
Caucasina schischkinskayae (SAMOILOVA)
Caucasina coprolithoides (ANDREAE)
Stainforthia acuta (D'ORBIGNY)
Fursenkoina mustoni (ANDREAE)
Virgulinella chalkophila (HAGN)
Uvigerina hantkeni CUSHMAN & EDWARDS
Uvigerina posthantkeni PAPP
Trifarina gracilis (REUSS)
Trifarina angulosa (WILLIAMSON)
Trifarina bradyi CUSHMAN
Trifarina muralis (TERQUEM)
Bolivina beyrichi beyrichi REUSS
Bolivina cf. *beyrichi bituminosa* SPANDEL
Bolivina beyrichi carinata HANTKEN
Bolivina crenulata CUSHMAN
Bolivina crenulata CUSHMAN var. *trunensis* HOFMANN
Bolivina dilatata hyalina HOFMANN
Bolivina vaceki bavarica LÜHR
Bolivina fastigia CUSHMAN
Bolivina liebusi HOFMANN
Bolivina elongata HANTKEN
Bolivina oligocaenica SPANDEL
Stilostomella consobrina (D'ORBIGNY)
Stilostomella emaciata (REUSS)
Stilostomella scabra (REUSS)
Elphidium cf. *advenum* (CUSHMAN)
Porosonion granosum (D'ORBIGNY)
Elphidiella heteropora (EGGER)
Elphidiella cryptostoma (EGGER)
Elphidiella subcarinata (EGGER)
Florilus communis (D'ORBIGNY)
Nonionella liebusi HAGN
Pullenia quinqueloba (REUSS)
Melonis pompilioides (FICHTEL & MOLL)
Melonis affinis (REUSS)
Chilostomella ovoidea REUSS
Chilostomella czizeki REUSS
Allomorphina trigona REUSS
Globocassidulina oblonga (REUSS)
Cassidulinoides bodeni HAGN
Sphaeroidina bulloides D'ORBIGNY
Rosalina semiporata (EGGER)
Valvulineria complanata (D'ORBIGNY)
Cancris subconicus (TERQUEM)
Epistominella molassica (HAGN)
Escornebovina orthorapha (EGGER)

Alabamina budensis (HANTKEN)
Oridorsalis umbonatus (REUSS)
Gyroidina soldanii D'ORBIGNY
Gyroidina brockerti n. sp.
Gyroidina parva CUSHMAN & RENZ
Asterigerina praeplanorbis HAGN
Rotalia trochus ROEMER
Ammonia kiliani (ANDREAE)
Ammonia propingua (REUSS)
Pararotalia canui (CUSHMAN)
Globigerina praebulloides BLOW
Globigerina officinalis SUBBOTINA
Globigerina utilisindex JENKINS & ORR
Globigerina tapuriensis BLOW & BANNER
Globigerina euapertura JENKINS
Globigerina angustiumbilitata BOLLI
Globigerina ouachitaensis HOWE & WALLACE
Globigerina ciperoensis BOLLI
Subbotina angiporoides HORNIBROOK
Dentoglobigerina cf. *galavisi* (BERMÚDEZ)
Globigerinita unicava (BOLLI, LOEBLICH & TAPPAN)
Globorotalia opima nana BOLLI
Globorotalia clemenciae (BERMÚDEZ)
Globorotalia obesa BOLLI
Clavatorella sp.
Pseudohastigerina micra (COLE)
Pseudohastigerina cf. *wilcoxensis* (CUSHMAN & PONTON)
Cibicides lobatulus (WALKER & JACOB)
Cibicidoides communis (ROEMER)
Cibicidoides ungerianus filicosta (HAGN)
Cibicidoides pseudoungerianus (CUSHMAN)
Heterolepa dutemplei (D'ORBIGNY)
Hanzawaia asterizans (FICHTEL & MOLL)
Hanzawaia boueana (D'ORBIGNY)
 „*Almaena*“ *osnabrugensis* (ROEMER)
Hoeglundina elegans (D'ORBIGNY)
Stomatorbina acarinata POKORNÝ

4.1.2.3 Die Problematik der Rupel/Eger-Grenzziehung im Traun-Profil

Die Grenzziehung zwischen Mittel- und Oberoligozän stellte im Traun-Profil von jeher ein Problem dar. Wie die Übersicht von HAGN & HOLZL (1952: Tab. 1) eindrücklich darlegt, herrscht in der älteren Literatur keinerlei Übereinstimmung hinsichtlich dieser Frage. HAGN & HOLZL (1952: 33) zogen nun u. a. das häufige Auftreten von *Asterigerina* cf. *planorbis* (= *A. praeplanorbis* HAGN, 1955) für die Grenzlegung heran. Analog der stratigraphischen Nutzung des *Asterigerinen*-Horizonts in Norddeutschland und den Niederlanden stuften die genannten Autoren das betreffende Niveau, das südlich des Zusammenflusses von Weißer und Roter Traun und östlich davon angetroffen wurde, in das oberste Rupel ein.

PAULUS (1963: 71) bezweifelte den Leitwert des „*Asterigerinen*-Horizontes“, der von HAGN 1955 z. B. auch in den Bohrungeorten 1001 und 1003 nachgewiesen werden konnte. PAULUS bezeichnete *A. praeplanorbis* als Faziesfossil, das am besten unter niedermarininen Bedingungen gedeihe.

Dieses Argument ist jedoch mit Sicherheit nicht stichhaltig, da die Art auch zusammen mit berippten Uvigerinen als Häufigkeitsfossil auftritt (Bohrung Ortenburg 1001).

Aufgrund von biometrischen Untersuchungen an *Bolivina dilatata hyalina* kam HOFMANN (1967: 195 ff.) zu dem Ergebnis, daß unter Bezugnahme auf das Ortenburger Profil die Rupel/Chatt-Grenze um 800 bis 950 m nach Süden zu verlegen wäre. In diesem Bereich nördlich der Traunbrücke im Zentrum von Siegsdorf konnte ich jedoch keine weiteren Hinweise aus der übrigen Foraminiferen-Fauna gewinnen, die hier eine Grenzziehung rechtfertigen würden.

Folgende Argumente sprechen indes für eine Beibehaltung der Grenze wie sie von HAGN & HÖLZL vorgeschlagen worden war: Das Einsetzen von *Globorotalia semivera* (HORNIBROOK), das Aussetzen von *Bolivina* cf. *beyrichi bituminosa* SPANDEL, sowie das nahezu völlige Verschwinden von *Subbotina angiporoides* (HORNIBROOK) und ein unverkennbarer Faunenumschwung bestätigen die Grenzziehung von 1952. Allerdings muß eingeräumt werden, daß *Asterigerina praeplanorbis* auch im basalen Eger, so z. B. im Graben SSW Höll, noch gehäuft auftreten kann.

4.1.3 Untereger_I

4.1.3.1 Aufschlüsse, Lithologie und Lagerungsverhältnisse

Das sich im Norden anschließende Untereger_I wird durch einen komplexen, mergelig-sandig-konglomeratischen Gesteinskörper gebildet, der den südlichen Teil des Hochberges aufbaut. Sehr gute Aufschlüsse bietet der Thalberggraben, der nach Westen zur Traun hin entwässert. Die hier anstehenden Gesteine werden seit HÖLZL (1948: 398) als Thalberg-Schichten bezeichnet. Die lithologische Ausbildung des Untereger_I steht in scharfem Kontrast zur eintönigen, mergeligen, schwachsandigen Fazies des Rupels: Geröllagen mit sandig-mergeligem Bindemittel wechseln sich häufig mit feinsandigen Mergeln in Wickelstruktur und unregelmäßig geschichteten Sandsteinen ab. Syndementäre Gleitfaltung („slumping“) ist keine seltene Erscheinung (s. a. GANSS, 1977: Abb. 22; Abb. 23). Daneben stehen jedoch auch reichlich graue, plattige, milde Mergel an, die eine gut erhaltene Mikrofauna bergen.

Die Schichtenlagerung im Thalberggraben weicht deutlich von den einheitlich nach Norden hin einfallenden älteren Schichten des Traun-Profiles ab. Vielmehr fallen hier die nicht verfalteten Mergelbänke oft mit ca. 20° nach WNW hin ein, wie auch GANSS (1977: 99) noch weiter im Süden feststellen konnte. Deshalb sind die überlagernden geringmächtigen Sedimente des Untereger_{II} im Thalberghauptgraben ganz im W anzutreffen. Aufgrund der Lagerungsverhältnisse ist es unmöglich, die wahre Mächtigkeit des Untereger anzugeben. Weitere Untereger_I-Aufschlüsse wurden westlich des Trauntals bei Bernhaupten beprobt.

4.1.3.2 Die Foraminiferen-Fauna des Untereger_I

Bathysiphon filiformis SARRS

Haplophragmoides suborbicularis (GRZYBOWSKI)

Cyclammina acutidorsata (HANTKEN)

Spiroplectammina carinata (D'ORBIGNY)

Spiroplectammina pectinata (REUSS)

Karrieriella hantkeniana CUSHMAN

Quinqueloculina cribrosa (EGGER)

Sigmoilinita tenuis (CZJZEK)

Sigmoilinita sp.

Sigmoilopsis colomi (GLAÇON & MAGNÉ)

Robulus cultratus MONTFORT

Robulus calcar (LINNÉ)

Robulus inornatus (D'ORBIGNY)

Lenticulina gerlachi (REUSS)

Astaculus crepidulus (FICHTEL & MOLL)

Vaginulinopsis pedum (D'ORBIGNY)

Saracenaria propingua (HANTKEN)

Marginulina hantkeni BANDY

Marginulina similis D'ORBIGNY

Amphicoryna scalaris (BATSCH)

Amphicoryna badenensis (D'ORBIGNY)

Amphicoryna imperfectecostata (SILVESTRI)

Nodosaria elegantissima (D'ORBIGNY)

Nodosaria bactridium REUSS

Plectofrondicularia striata (HANTKEN)

Plectofrondicularia digitalis (NEUGEBOREN)

Amphimorphina haueriana NEUGEBOREN

Bolivinella rugosa HOWE

Lagena sulcata (WALKER & JACOB)

Lagena gracilicosta REUSS

„*Pyrulina*“ *fusiformis* (ROEMER)

Glandulina aequalis REUSS

Fissurina laevigata REUSS

Fissurina orbignyana SEGUENZA

Bulimina striata D'ORBIGNY

Bulimina arndti HAGN

Bulimina elongata D'ORBIGNY

Praeglobobulimina pyrula (D'ORBIGNY)

Globobulimina bathyalis n. sp.

Globobulimina sp.

Virgulopsis tuberculata (EGGER)

Caucasina oligocaenica KHALILOV

Caucasina coprolithoides (ANDREAE)

Stainforthia acuta (D'ORBIGNY)

Fursenkoina mustoni (ANDREAE)

Virgulinella chalkophila (HAGN)

Uvigerina posthantkeni PAPP

Trifarina gracilis (REUSS)

Trifarina bradyi CUSHMAN

Reussella aperta CUSHMAN

Bolivina beyrichi carinata HANTKEN

Bolivina budensis (HANTKEN)

Bolivina crenulata CUSHMAN

Bolivina crenulata CUSHMAN var. *trunensis* HOFMANN

Bolivina dilatata hyalina HOFMANN

Bolivina subalpina HOFMANN

Bolivina fastigia CUSHMAN

Bolivina liebusi HOFMANN

Bolivina elongata HANTKEN

Bolivina tereta (CUSHMAN)

Bolivina oligocaenica SPANDEL

Stilostomella longiscata (D'ORBIGNY)

Stilostomella consobrina (D'ORBIGNY)
Stilostomella emaciata (REUSS)
Stilostomella scabra (REUSS)
Stilostomella adolphina (D'ORBIGNY)
Elphidium cf. *advenum* (CUSHMAN)
Porosonion granosum (D'ORBIGNY)
Elphidiella heteropora (EGGER)
Elphidiella subnodosa (ROEMER)
Elphidiella cryptostoma (EGGER)
Elphidiella subcarinata (EGGER)
Florilus communis (D'ORBIGNY)
Nonionella liebusi HAGN
Pullenia bulloides (D'ORBIGNY)
Pullenia quinqueloba (REUSS)
Melonis pompilioides (FICHTEL & MOLL)
Chilostomella ovoidea REUSS
Chilostomella czizeki REUSS
Globocassidulina crassa (D'ORBIGNY)
Globocassidulina oblonga (REUSS)
Cassidulinoides bodeni HAGN
Sphaeroidina bulloides D'ORBIGNY
Valvulineria complanata (D'ORBIGNY)
Cancris auriculus (FICHTEL & MOLL)
Cancris subconicus (TERQUEM)
Epistominella molassica (HAGN)
Escornebovina orthorapha (EGGER)
Oridorsalis umbonatus (REUSS)
Gyroidina soldanii (D'ORBIGNY)
Gyroidina brockerti n. sp.
Gyroidina parva CUSHMAN & RENZ
Asterigerina praeplanorbis HAGN
Ammonia propingua (REUSS)
Globigerina praebulloides BLOW
Globigerina officinalis SUBBOTINA
Globigerina utilisindex JENKINS & ORR
Globigerina tapuriensis BLOW & BANNER
Globigerina sellii (BORSETTI)
Globigerina angustiumbilitata BOLLI
Globigerina ouachitaensis HOWE & WALLACE
Globigerina ciperoensis BOLLI
Subbotina angiporoides (HORNIBROOK)
Dentoglobigerina cf. *galavisi* (BERMÚDEZ)
Globigerinita unicava (BOLLI, LOEBLICH & TAPPAN)
Globorotalia opima nana BOLLI
Globorotalia semivera (HORNIBROOK)
Globorotalia clemenciae (BERMÚDEZ)
Globorotalia cf. *obesa* BOLLI
Cibicides lobatulus (WALKER & JACOB)
Cibicidoides communis (ROEMER)
Cibicidoides ungerianus ungerianus (D'ORBIGNY)
Cibicidoides ungerianus filicosta (HAGN)
Cibicidoides pseudungerianus (CUSHMAN)
Heterolepa dutemplei (D'ORBIGNY)
Planulina costata (HANTKEN)
Hanzawaia boueana (D'ORBIGNY)
„Almaena“ osnabrugensis (ROEMER)
Hoeglundina elegans (D'ORBIGNY)

4.1.3.3 Deutung der Fauna und Lithofazies der Thalberg-Schichten

HAGN & HÖLZL (1952: 42 ff.) lieferten eine Fossilliste der enorm reichen Megafauna des Thalberggrabens, die 293 Arten und Varietäten umfaßt und in der Gastropoden und Bivalven absolut dominieren. Bemerkenswert ist das gemeinsame Auftreten von marinen wie auch brackischen Faunenelementen.

Desgleichen stellte WITT (1967: 100) fest, daß die Ostrakoden des Thalberggrabens teils für marine Verhältnisse sprechen, teils einen gewissen brackischen Einschlag erkennen lassen. In ähnlicher Weise stehen sich bei den Foraminiferen oberbathyale Häufigkeitsformen und Häufigkeitsformen des flachmarinen Bereichs gegenüber (vgl. „Bathymetrische Entwicklung des Traungebietes“); in bathymetrischer Hinsicht handelt es sich um bipolare Assoziationen. Es ist festzuhalten, daß die Thalberg-Schichten in Tiefen von mehr als 200 m abgelagert wurden.

Da Tieferwasser- und Flachwasser-Anzeiger auch in den einzelnen Proben miteinander vorkommen, ist ein Eingleiten größerer Gesteinspakete oder gar des gesamten Thalberg-Komplexes en bloc unwahrscheinlich, obwohl die abweichende Schichtenlagerung ein Indiz für einen derartigen Transport sein könnte. Für rasche Sedimentation (REINECK & SINGH, 1975: 79) und ein gewisses Relief des Ablagerungsraumes sprechen die submarinen Rutschungserscheinungen. Auch schließt die gute Erhaltung der brackischen Mollusken und auch der Flachwasserforaminiferen weite Transportwege aus, es muß einen nicht zu weit entfernten Bereich geringer Wassertiefe und teilweise auch herabgesetzter Salinität gegeben haben.

Als Transportmodus kommt am ehesten derjenige in Betracht, der zur Entstehung von sogenannten „pebbly mudstone deposits“ führt (REINECK & SINGH: 388): Bei diesen Ablagerungen handelt es sich um unsortierte Ansammlungen von Sand und Geröll in toniger Matrix, die vorwiegend am Kontinentalrand beobachtet wurden. Beispielsweise von einem Fluß herangeführte Geröllfracht bewegt sich auf tonigem Untergrund, der 5 bis 10° geneigt ist, schon bei leichter Berührung abwärts. Erhöhte Sedimentzufuhren sollen ausreichen, um Massenbewegungen auf derartigen übersteilten, metastabilen Hängen auszulösen. Die Gerölle dürften sich teils gleitend, teils rollend fortbewegen. Insgesamt handelt es sich um eine durch die Schwere bedingte Abwärtsbewegung auf plastischem Untergrund.

Vollständige wie auch unvollständige BOUMA-Sequenzen, wie sie von MALZER (1981: 23) in der Sand-Schottergruppe des Eger von Oberösterreich nachgewiesen wurden, fehlen in den Thalberg-Schichten; damit kann ausgeschlossen werden, daß hochenergetische Suspensionsströme an der Entstehung des Komplexes beteiligt waren. Im Gegensatz zu den im Norden des Thalberggrabens anstehenden Konglomeraten der Blauen Wand, bei denen es sich um ca. 130 m mächtige, in ununterbrochener Folge aufgetauchte Grobschuttmassen handelt (BODEN, 1935: 340), treten die Geröllagen im Süden nur episodisch auf. Die Gerölle dürften am Fuß des oben erwähnten übersteilten Hanges angereichert worden sein. Eine ähnliche

Genese ist auch für die berühmte Megafossillagerstätte des Thalberggrabens denkbar.

4.1.4 Untereger_{II}

4.1.4.1 Die Foraminiferen-Fauna des Untereger_{II}

Wie bereits erwähnt, wird das Untereger_I noch von geringmächtigen oberstoligozänen Mergeln überlagert. Die Fauna ist etwas ärmer als diejenige des Liegenden. An Arten und Unterarten, die im Untereger_I des Traunprofiles nicht auftreten, sind *Caucasina schischkinskayae* (SAMOILOVA), *Bolivina beyrichi beyrichi* REUSS, *Bolivina korynoides korynoides* HOFMANN, *Rotalia trochus* ROEMER und *Globigerina enapertura* JENKINS zu erwähnen. *Globigerina ciperoensis* BOLLI tritt gehäuft auf.

4.1.4.2 Anmerkungen zur Stratigraphie

Den gesamten Thalberg-Schichten war seit HÖLZL (1948: 400) ein aquitanes Alter zugeschrieben worden (HAGN & HÖLZL, 1952: 42), WITT (1967: 110). Im Gegensatz dazu ergaben Nannoplankton-Untersuchungen von MARTINI (1981: Abb. 2) ein jungoberoligozänes Alter, d. h. NP 25, für die von mir als Untereger_{II} ausgewiesenen Schichten (s. HAGN & MARTINI, in HAGN, 1981: 164).

Nunmehr ist es schließlich auch noch gelungen, die Oligozän/Miozän-Grenze recht genau zu fixieren: Das Erstauftreten von *Globoquadrina debiscens* (CHAPMAN, PARR & COLLINS) konnte in einem nördlichen Seitenast des Thalberggrabens, dem sogenannten Teufelsgraben ermittelt werden.

4.1.5 Bathymetrische Entwicklung des Traungebietes

Für das untere Rupel des Traun-Profiles müssen Meerestiefen angenommen werden, die sehr deutlich jenseits von 200 m liegen: *Chilostomella*, *Allomorphina* und *Praeglobobulimina* sind die bathymetrisch wichtigsten Häufigkeitsgenera. Das obere Rupel ist durch vergleichbare Häufigkeitsformen gekennzeichnet; in diesem Zeitbereich treten auch noch berippte Uvigerinen als bathyale Anzeiger hinzu. Allerdings kommen episodisch Faunen vor, die extrem reich an Vertretern der Elphidiidae sind und die für flachmarine Verhältnisse von weniger als 100 m Wassertiefe sprechen. Im oberen Rupel des Bergener Raumes ist dasselbe Phänomen festzustellen. Eine kontinuierliche Verschiebung der Faunenzusammensetzung ist in keinem Fall erkennbar. Daher ist eine Einschwemmung der Seichtwasser-Organismen aus dem Flach-Schelf die einfachste Erklärung. Meeresspiegelschwankungen von über 100 m hätten sich auch in den anderen ober-rupelischen Molasseprofilen bemerkbar gemacht. Hebungen und Senkungen des Untergrundes müßten sich schon sehr ruckartig vollzogen haben, so daß keinerlei bathymetrische Übergangsglieder entstanden.

Auf die bipolaren Vergesellschaftungen des Untereger_I wurde bereits eingegangen. In diesem Zeitabschnitt wie auch im Untereger_{II} betrug die Meerestiefe nicht weniger als

200 m. Zusammenfassend ist zu sagen, daß im Bereich des Traun-Profiles während des Oligozäns stets bathyale Meerestiefen vorhanden waren. Sie betrugen im Rupel deutlich mehr als 200 m und im Untereger mindestens 200 m.

4.2 DAS PRIENGEBIET

SW des Chiemsees hat das Flößchen Prien zahlreiche Aufschlüsse im Bereich der subalpinen Molasse geschaffen. Auch gibt es westlich und östlich der Prien noch Bereiche, die nicht durch mächtiges Quartär verhüllt sind.

Die geologische Untersuchung des Gebietes setzte zu Beginn der zweiten Hälfte des vorigen Jahrhunderts ein. EMMERICH (1861: 144 ff.) unterscheidet aufgrund von Fossilfunden aus dem Priental „Untere Meeresmolasse“, „die durch Reichtum von Cyrenen und Cerithien ausgezeichneten Miesbacher Schichten“ und noch zwei jüngere Einheiten. Auch GÜMBEL (1861: 701; 702) waren bereits zahlreiche oligozäne Aufschlüsse bekannt. So stellte er fest, daß sich die Molluskenfauna von Dösdorf (s. WEITHOFER, 1918: 17) und die Molluskenfauna, die er am Fuß des Schloßberges von Wildenwart antraf, ähneln. Weiterhin verglich er die Cyrenen-Schichten von Miesbach und Au mit denjenigen des Priengebietes und kam zu dem Schluß, daß es sich zwar um zeitgleiche, analoge Bildungen handle, daß aber keine engeren Beziehungen zwischen den Pechkohle-Flözen diesseits und jenseits des Inns bestünden.

Eine sehr umfangreiche Übersicht über die ältere Literatur gibt HOFMANN (1962: 560 ff.).

Im Priengebiet schließt sich an die Bernauer Mulde der aufgerichtete Südrand der Vorland-Molasse an.

Eine Übersicht über die untersuchten Lokalitäten gibt Abb. 10.

4.2.1 Oberes Rupel

4.2.1.1 Aufschlüsse, Lithologie und Lagerungsverhältnisse

Spätmitteloligozäne Sedimente wurden im Bereich der Prien selbst südlich der Autobahn München–Salzburg und im Ortsgebiet von Übersee/Chiemsee beprobt. Im südlichsten Aufschluß an der Prien fallen die Schichtflächen sandiger Mergel mit ca. 30° nach Nordosten hin ein. Bei den weiter nordwestlich gelegenen Vorkommen handelt es sich um blaugraue, harte, stückige oder plattige Mergel mit ziegelroter Verwitterungsfarbe. Nach HOFMANN (1962: Abb. 4) gehören diese Schichten dem Südflügel der Bernauer Mulde an.

Die aus einer Baugrube in Übersee gewonnenen Mergel entstammen dem Nordflügel der Bernauer Mulde.

4.2.1.2 Die Foraminiferen-Fauna des oberen Rupels

Bathysiphon filiformis SARRS

Reophax bacillaris BRADY

Cyclammina acutidorsata (HANTKEN)

Budashevaella multicamerata (VOLOSHINOVA)

Textularia agglutinans D'ORBIGNY

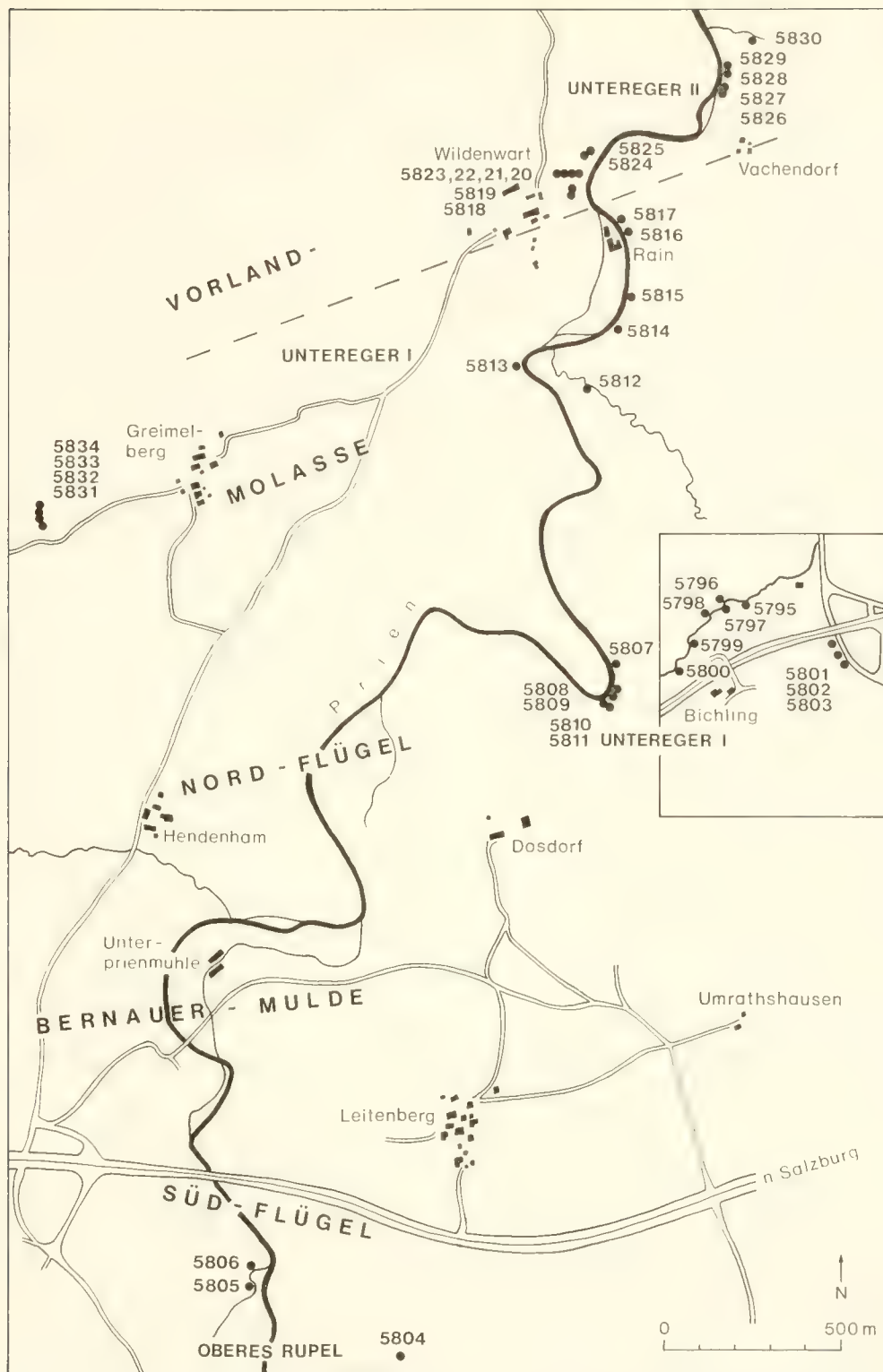


Abb. 10: Die Probenentnahmepunkte im Priengebiet. Der kleine Kartenausschnitt (rechts im Bild) zeigt das Gebiet des Nordflügels der Bernauer Mulde drei Kilometer östlich der Prien.

Spiroplectammina carinata (D'ORBIGNY)
Vulvulina spinosa CUSHMAN
Karrieriella hantkeniana CUSHMAN
Sigmoilinita tenuis (CZJZEK)
Robulus cultratus MONTFORT
Robulus inornatus (D'ORBIGNY)
Robulus cf. depauperatus (REUSS)
Lenticulina gerlachi (REUSS)

Astacolus crepidulus (FICHTEL & MOLL)
Saracenaria arcuata (D'ORBIGNY)
Marginulina hantkeni BANDY
Amphicoryna badenensis (D'ORBIGNY)
Dentalina communis D'ORBIGNY
Plectofrondicularia vaughani CUSHMAN
Lagena sulcata (WALKER & JACOB)
Lagena gracilicosta REUSS

Bulimina striata D'ORBIGNY
Praeglobobulimina pyrula (D'ORBIGNY)
Caucasina coprolithoides (ANDREAE)
Stainforthia acuta (D'ORBIGNY)
Uvigerina hantkeni CUSHMAN & EDWARDS
Bolivina beyrichi carinata HANTKEN
Bolivina crenulata CUSHMAN
Bolivina crenulata CUSHMAN var. *trunensis* HOFMANN
Bolivina liebusi HOFMANN
Bolivina nobilis HANTKEN
Rectobolivina zsigmondyi (HANTKEN)
Stilostomella longiscata (D'ORBIGNY)
Stilostomella consobrina (D'ORBIGNY)
Stilostomella emaciata (REUSS)
Stilostomella scabra (REUSS)
Porosonion granosum (D'ORBIGNY)
Elphidiella subcarinata (EGGER)
Florilus communis (D'ORBIGNY)
Melonis pompilioides (FICHTEL & MOLL)
Melonis affinis (REUSS)
Chilostomella ovoidea REUSS
Allomorphina macrostoma KARRER
Sphaeroidina bulloides D'ORBIGNY
Valvulineria complanata (D'ORBIGNY)
Gyroidina soldanii D'ORBIGNY
Gyroidina brockerti n. sp.
Asterigerina praeplanorbis HAGN
Globigerina praebulloides BLOW
Globigerina utilisindex JENKINS & ORR
Globigerina tapuriensis BLOW & BANNER
Globigerina ampliapertura BOLLI
Globigerinita unicava (BOLLI, LOEBLICH & TAPPAN)
Globorotalia opima nana BOLLI
Cibicidoides communis (ROEMER)
Cibicidoides ungerianus filicosta (HAGN)
Cibicidoides pseudoungerianus (CUSHMAN)
Heterolepa dutemplei (D'ORBIGNY)
„Almaena“ osnabrugensis (ROEMER)

4.2.2 Untereger₁

Mergelige und sandige Ablagerungen des Unteregers sind im Priengebiet gut aufgeschlossen; bereits 1952 wurden von hier drei von vier typischen marinen Horizonten des Unteregers beschrieben (HAGN & HÖLZL, 1952: 34 ff. 40 ff.).

4.2.2.1 Aufschlüsse, Lithologie und Lagerungsverhältnisse

Von Westen nach Osten beprobte ich folgende Lokalitäten für die hier vorliegenden Untersuchungen:

- die Aufschlüsse SW Greimelberg
- das Prienufer zwischen Dösdorf und Rainer Mühle
- den Nordflügel der Bernauer Mulde W Bernau.

Bei Greimelberg ist das Untereger₁ durch bräunliche, mehr oder weniger feinsandige Mergel vertreten. Am Prienprallhang nördlich Dösdorf sind ca. 100 m Profil aufgeschlossen; es steht hier eine 30 m mächtige Wechselfolge von bläulich-grauen, feinsandigen Mergeln und gebankten Sandsteinen an.

Die Schichtflächen sind etwas nach SSE geneigt; somit kann dieser Bereich dem Nordflügel der Bernauer Mulde zugeordnet werden.

900 m weiter flussabwärts folgen im Prien-Profil WSW-ENE-streichende, nach NNW hin einfallende z. T. leicht mergelige, z. T. kompakte, quaderförmig absondernde Sandsteine – die Sande von Reit und Waschhaus.

An letztere schließen sich im Norden leicht sandige, blaugraue Mergel an, die in die schokoladenbraunen, dunklen Mergel der Rainer Mühle übergehen.

Unmittelbar südlich der Autobahnausfahrt Bernau waren kurzfristig knollige und plattige dunkle Mergel und Sandsteine mit Pflanzenhäkeln aufgeschlossen; sie fallen mit 70° nach Süden ein und gehören ebenso wie die im NW im Bichlinggraben angerissenen dunklen Mergel zum Nordflügel der Bernauer Mulde.

HOFMANN (1962: 569) gibt für die Mächtigkeit des „Catt“ – dies entspricht dem Untereger₁ – 1420 m an.

4.2.2.2 Die Foraminiferen-Fauna des Untereger₁

Bathysiphon filiformis SARRS
Ammodiscus cretaceus (REUSS)
Haplophragmoides suborbicularis (GRZYBOWSKI)
Cyclammina acutidorsata (HANTKEN)
Cyclammina obesa CUSHMAN & LAING
Textularia agglutinans D'ORBIGNY
Textularia deperdita D'ORBIGNY
Spiroplectammina carinata (D'ORBIGNY)
Vulvulina spinosa CUSHMAN
Karrierella hantkeniana CUSHMAN
Quinqueloculina cribrata (EGGER)
Quinqueloculina hauerina (D'ORBIGNY)
Sigmoilinita tenuis (CZJZEK)
Sigmoilinita sp.
Sigmoilopsis colomi (GLAÇON & MAGNE)
Robulus cultratus MONTFORT
Robulus inornatus (D'ORBIGNY)
Planularia kubinyii (HANTKEN)
Lenticulina gerlachi (REUSS)
Vaginulinopsis pseudodecorata HAGN
Vaginulinopsis gladius (PHILIPPI)
Saracenaria arcuata (D'ORBIGNY)
Marginulina hantkeni BANDY
Amphicoryna badenensis (D'ORBIGNY)
Amphicoryna imperfectecostata (SILVESTRI)
Dentalina communis D'ORBIGNY
Nodosaria hispida (SOLDANI)
Nodosaria pyrula semirugosa D'ORBIGNY
Nodosaria bactridium REUSS
Plectofrondicularia striata (HANTKEN)
Lagena laevis (MONTAGU)
„Pyrulina“ fusiformis (ROEMER)
Glandulina aequalis REUSS
Oolina globosa (MONTAGU)
Bulimina striata D'ORBIGNY
Bulimina arndti HAGN
Praeglobobulimina pyrula (D'ORBIGNY)
Globobulimina bathyalis n. sp.

Virgulopsis tuberculata (EGGER)
Caucasina schischkinskayae (SAMOILOVA)
Caucasina coprolithoides (ANDREAE)
Stainforthia acuta (D'ORBIGNY)
Virgulinella chalkophila (HAGN)
Uvigerina hantkeni CUSHMAN & EDWARDS
Trifarina gracilis (REUSS)
Reussella aperta CUSHMAN
Bolivina beyrichi carinata HANTKEN
Bolivina crenulata CUSHMAN
Bolivina crenulata CUSHMAN var. *trunensis* HOFMANN
Bolivina dilatata hyalina HOFMANN
Bolivina subalpina HOFMANN
Bolivina fastigia CUSHMAN
Bolivina antiqua D'ORBIGNY
Bolivina liebusi HOFMANN
Bolivina tereta (CUSHMAN)
Stilostomella emaciata (REUSS)
Stilostomella scabra (REUSS)
Porosononion granosum (D'ORBIGNY)
Elphidiella heteropora (EGGER)
Elphidiella subnodosa (ROEMER)
Elphidiella cryptostoma (EGGER)
Florilus communis (D'ORBIGNY)
Nonionella liebusi HAGN
Pullenia quinqueloba (REUSS)
Melonis affinis (REUSS)
Chilostomella czizeki REUSS
Globocassidulina oblonga (REUSS)
Cassidulinoides bodeni HAGN
Sphaeroidina bulloides D'ORBIGNY
Valvulineria complanata (D'ORBIGNY)
Cancris subconicus (TERQUEM)
Epistominella molassica (HAGN)
Alabamina budensis (HANTKEN)
Oridorsalis umbonatus (REUSS)
Gyroidina soldanii D'ORBIGNY
Gyroidina brockerti n. sp.
Gyroidina parva CUSHMAN & RENZ
Ammonia propingua (REUSS)
Pararotalia canui (CUSHMAN)
Globigerina praebulloides BLOW
Globigerina officinalis SUBBOTINA
Globigerina utilisindex JENKINS & ORR
Globigerina tapuriensis BLOW & BANNER
Globigerina euapertura JENKINS
Globigerina angustiumbilitata BOLLI
Dentoglobigerina cf. *galavisi* (BERMÚDEZ)
Globorotalia opima nana BOLLI
Globorotalia clemenciae (BERMÚDEZ)
Cibicides lobatulus (WALKER & JACOB)
Cibicidoides communis (ROEMER)
Cibicidoides ungerianus ungerianus (D'ORBIGNY)
Cibicidoides ungerianus filicosta (HAGN)
Cibicidoides pseudoungerianus (CUSHMAN)
Heterolepa dutemplei (D'ORBIGNY)
Hanzawaia asterizans (FICHTEL & MOLL)
Hanzawaia boueana (D'ORBIGNY)
 „*Almaena*“ *osnabrugensis* (ROEMER)
Hoeglundina elegans (D'ORBIGNY)

4.2.2.3 Die Stratigraphie des Untereger_I im Detail

Die ältesten Sedimente des Untereger_I wurden in der Bernauer Mulde bei Bernau und in dem gleichaltrigen Dösdorfer Profil ermittelt. In beiden Niveaux liegt bereits *Elphidiella subnodosa* (ROEMER) vor, die zumindest in der bayerischen Molasse auf Untereger_I beschränkt ist.

Die Dösdorfer Schichten waren von HAGN & HÖLZL (1952: 22 ff.) noch als rupelisch eingestuft worden. HOFMANN (1962: 562) ordnete noch die „ersten drei bis vier Meter des Aufschlusses“ dem Rupel zu aufgrund des überaus häufigen Auftretens von *Almaena osnabrugensis* zusammen mit *Plectofrondicularia striata*. Nicht zu unrecht wiesen HAGN & HÖLZL (1952: l. c.) darauf hin, daß die Artenvergesellschaftung von Dösdorf gut „derjenigen der Tonmergelstufe des Westens“ entspreche. Dies gilt aber insbesondere für die oberoligozänen Anteile der Tonmergel-Schichten.

Als nächstjüngerer Schichtkomplex folgt eine mergelig-sandig-konglomeratische Serie – die „Cyrenen-Schichten“ des Priengebietes. Sie wurden zuletzt von HAGN, MALZ & MOUSSAVIAN (in HAGN, 1981: 85 ff.) östlich der Prien im Bereich des Westerbuchberges charakterisiert. Danach handelt es sich um brackische Sedimente im Hangenden niedermarinem Mergel des ältesten Egers.

An der Prien selbst kann dieses Schichtglied südlich der Autobahn München–Salzburg am rechten Ufer studiert werden; hier stehen gebankte Sandsteine an, deren Schichtflächen mit zahlreichen inkohlten Pflanzenresten besetzt sind; ferner sind Strömungswülste und Schleifmarken feststellbar. Die „Cyrenen-Schichten“ des Haselbaches bei Höhenmoos westlich der Prien sind wegen ihrer Polymesoden-Pflaster und Kohleflözchen erwähnenswert (vgl. a. HAGN, HÖLZL & HRUBESCH, 1962: 433 ff.).

Die ‚Cyrenen-Schichten‘ werden von sandigen, marinen Sedimenten abgelöst – es folgt der Horizont von Waschhaus und Reit (s. HAGN, HÖLZL & HRUBESCH, 1962: Tab. 1). Die spärliche Foraminiferen-Fauna ist durch *Ammonia*, Elphidien und *Cibicides* charakterisiert. HAGN & HÖLZL (1952: 34 ff.) beschrieben die im Gegensatz zur Mikrofauna sehr reiche Mollusken-Fauna.

Das Hangende bildet im Priental der Horizont von Greimelberg, dessen Foraminiferenvergesellschaftung vermittelnd zwischen dem unterlagernden Horizont von Waschhaus und Reit und dem überlagernden Horizont der Rainer Mühle steht. Der Horizont von Greimelberg wurde von HAGN, HÖLZL & HRUBESCH 1962 in die Literatur eingeführt. Eine Fossilliste der sehr reichen Foraminiferen-Fauna der Rainer Mühle lieferten zuletzt HAGN & MARTINI (in HAGN, 1981: 81 ff.); die Mergel der Rainer-Mühle wurden in die NP 25 eingestuft.

4.2.3 Untereger_{II}

4.2.3.1 Aufschlüsse, Lithologie und Lagerungsverhältnisse

Beiderseits der Prien folgen im Norden der Rainer Mühle sehr gut aufgeschlossene graue, z. T. plattige, z. T. schiefrige Mergel. Die verhältnismäßig harten Mergel bilden den Schloßberg von Wildenwart unmittelbar westlich der Prien.

Nach HOFMANN (1962: Abb. 4) fallen die Schichtflächen mittelsteil bis steil und generell nach NNW hin ein. Die Mächtigkeit der aufgeschlossenen Mergelfolge beträgt knapp 200 m. Da die Obergrenze des Untereger_{II} (d. h. die Oligozän/Miozän-Grenze) nicht freiliegt und altmiozäne Sedimente erst 300 m flussabwärts aufgeschlossen sind, kann das Untereger_{II} der Prien noch wesentlich mächtiger sein. Der Bereich von Wildenwart zählt – wie auch das Gebiet von Reit bis Rainer Mühle – zum aufgerichteten Südrand der Vorlandmolasse.

4.2.3.2 Die Foraminiferen-Fauna des Untereger_{II}

Bathysiphon filiformis SARS
Haplophragmoides suborbicularis (GRZYBOWSKI)
Cyclammina acutidorsata (HANTKEN)
Textularia agglutinans D'ORBIGNY
Spiroplectammina carinata (D'ORBIGNY)
Robulus inornatus (D'ORBIGNY)
Robulus vortex (FICHTEL & MOLL)
Robulus cf. depauperatus (REUSS)
Lenticulina gerlachi (REUSS)
Saracenaria arcuata (D'ORBIGNY)
Amphimorphina haueriana NEUGEBOREN
Fissurina obtusa EGGER
Bulimina striata D'ORBIGNY
Praeglobobulimina pyrula (D'ORBIGNY)
Globobulimina bathyalis n. sp.
Caucasina coprolithoides (ANDREAE)
Stainforthia acuta (D'ORBIGNY)
Virgulinella chalkophila (HAGN)
Uvigerina posthantkeni PAPP
Uvigerina rudlingensis PAPP
Trifarina gracilis (REUSS)
Trifarina globosa (STOLTZ)
Bolivina beyrichi carinata HANTKEN
Bolivina crenulata CUSHMAN
Bolivina crenulata CUSHMAN var. *trunensis* HOFMANN
Bolivina gnara HOFMANN
Bolivina subalpina HOFMANN
Bolivina liebusi HOFMANN
Bolivina elongata HANTKEN
Bolivina oligocaenica SPANDEL
Stilostomella consobrina (D'ORBIGNY)
Stilostomella emaciata (REUSS)
Stilostomella adolphina (D'ORBIGNY)
Porosonion granosum (D'ORBIGNY)
Elphidiella cryptostoma (EGGER)
Florilus communis (D'ORBIGNY)
Pullenia quinqueloba (REUSS)
Chilostomella ovoidea REUSS
Chilostomella czizeki REUSS
Valvulineria complanata (D'ORBIGNY)
Gyroidina soldanii D'ORBIGNY
Gyroidina brockerti n. sp.
Globigerina praebulloides BLOW
Globigerina officinalis SUBBOTINA
Globigerina euapertura JENKINS
Globigerina angustiumbilitata BOLLI
Globigerina ouachitaensis HOWE & WALLACE
Globigerina ciperoensis BOLLI

Globigerina ciperoensis BOLLI, aberrante Formen
Globorotalia opima nana BOLLI
Globorotalia semivera (BERMÚDEZ)
Globorotalia siakensis (LEROY)
Cibicidoides communis (ROEMER)
Cibicidoides ungerianus filicosta (HAGN)
Cibicidoides pseudoungerianus (CUSHMAN)
 „*Almaena*“ *osnabrugensis* (ROEMER) „var. *escornebovensis*“ (SIGAL)

4.2.3.3 Anmerkungen

Der drastische Wechsel in der Foraminiferen-Fauna zwischen Rainer Mühle und Wildenwart ist unverkennbar. Insbesondere das z. T. massenhafte Auftreten von *Uvigerina rudlingensis* PAPP, *Stainforthia acuta* (D'ORBIGNY) und „*Almaena*“ *osnabrugensis* (ROEMER) „var. *escornebovensis*“ (SIGAL) prägt das Faunenbild der Mergel von Wildenwart.

HAGN & HÖLZL (1952: 41) hatten den Horizont von Wildenwart in das Aquitan gestellt und ihn wie RICHTER (1940: 34) mit den Promberger Schichten des Westens verglichen. Wenig später konnte HAGN (1955: 336 ff.) denselben Horizont in den niederbayerischen Bohrungen Ortenburg 1001 und 1002 nachweisen.

STEININGER (1969: 46) korrelierte dieses Niveau mit dem Schieferton von Unterrudling im Linzer Raum und schrieb diesem Schichtglied ein jung-oberoligozänes Alter zu.

CICHA, HAGN & MARTINI (1971: 287 ff.) und HAGN & MARTINI (in HAGN, 1981: 85) stellten den Horizont von Wildenwart anhand von Nannoplankton-Untersuchungen endgültig in das Oberoligozän (NP 25).

4.2.4 Bathymetrische Entwicklung des Priengebietes

Die Ablagerungstiefe der mittel- und oberoligozänen Sedimente dieses Teils des Molasse-Meeres veränderte sich zyklisch. Im oberen Rupel herrschen *Praeglobobulimina* und *Chilostomella* neben *Cyclammina* vor. Weitere wichtige Häufigkeitsgenera sind *Allomorphina* und *Bathysiphon*, die das Bild der oberbathyalen Vergesellschaftungen abrunden.

Die älteren Ablagerungen des Untereger bei Bernau enthalten zunehmend Anzeiger für flachere Verhältnisse: Zu „*Pyrulina*“ und *Porosonion* treten im Hangenden *Ammonia* und *Elphidiella* als Häufigkeitsformen und erlauben eine Zuordnung dieses Bereichs zum flachen Neritikum (Wassertiefe unter 70 m). Im nächstjüngeren Schichtglied, den „Cyrenen-Schichten“ liegen schließlich hyposalinare Bedingungen vor.

Nach diesem brackischen „Event“ stellen sich erneut normalmarine Bedingungen ein; auf die *Ammonia-Elphidium*-Vergesellschaftung des Waschhaus-Horizontes folgen die die 70-m-Marke unterschreitenden Mergel des Greimelberg-Horizontes, die zunehmend Elemente tieferen Wassers liefern (*Cyclammina*, *Heterolepa*).

Die Mergel der Rainer Mühle repräsentieren bereits bathyale Tiefen. Zu den an *Uvigerinen* reichen Sedimenten gesellen sich dann im Horizont von Wildenwart zusätzlich

noch *Praeglobobulimina* und *Chilostomella*. Die allerjüngsten Sedimente des Untereger_{II}, die durch „*Almaena*“ und *Uvigerina* charakterisiert sind, scheinen in geringfügig flacherem Milieu entstanden zu sein, sind aber ebenso noch unterhalb von 200 m anzusiedeln.

4.3 DIE MARIENSTEIN-HAUSHAMER MULDE

Die marinen Schichtglieder der Marienstein-Haushamer Mulde wurden in der vorliegenden Arbeit einer eingehenden und aufwendigen Untersuchung unterzogen. Die genannte Faltenstruktur streicht im wesentlichen alpenparallel und erreicht eine Ausstrichbreite von 3,8 km in nord-südlicher Richtung. Die Mulde reicht von der Isar bei Bad Tölz im Westen bis nahe an den Inn bei Rosenheim im Osten. Die Längserstreckung beträgt mehr als 30 km; an ihrem östlichen Ende nahe dem Rosenheimer Quartär-Becken hebt die Mulde aus.

Im Süden grenzt die Marienstein-Haushamer Mulde vorwiegend an Helvetikum und untergeordnet an Ultrahelvetikum und Flysch. Im Norden schließen sich die Mühlau-Seegenhauser Zone und die Miesbach-Auer Molassemulde an. In tektonischer Hinsicht liegt mit der Marienstein-Haushamer

Mulde eine typische Molasse-Südmulde vor: Dem steilstehenden oder überkippten Südflügel steht der flachere Einfallen zeigende Nordflügel gegenüber.

Die Mulde enthält insgesamt fünf wichtige Schichtglieder: An der Basis, die am besten im Stollen des Zementwerks Marienstein erschlossen ist, stehen marine, kalkig-mergelige Fischschiefer, die HAGN (1960: 188) entdeckte und die von CICHÁ, HAGN, & MARTINI (1971: 287) in die Nannoplankton-Zone 22 eingestuft wurden. Da in diesem Niveau *Bulimina sculptilis* CUSHMAN noch auftritt (s. HAGN, HÖLZL & HRUBESCH, 1962: 430) gehören die Fischschiefer noch dem Latdorf an.

Das Hangende bilden die mächtigen marinen Tonmergelschichten des Mitteloligozäns und tieferen Oberoligozäns, die ihrerseits von den Baustein-Schichten und schließlich den vorherrschend brackischen Cyrenen-Schichten sowie der Unteren Bunten Molasse überlagert werden. Die drei letztgenannten Formationen gehören dem Untereger an.

Durch den oberbayerischen Kohlebergbau, der im Bereich der Haushamer Mulde im Jahr 1848 zunächst an Tagesausbissen begann (GEISSLER, 1975: 72), wurde die Struktur des Gebietes gut bekannt.

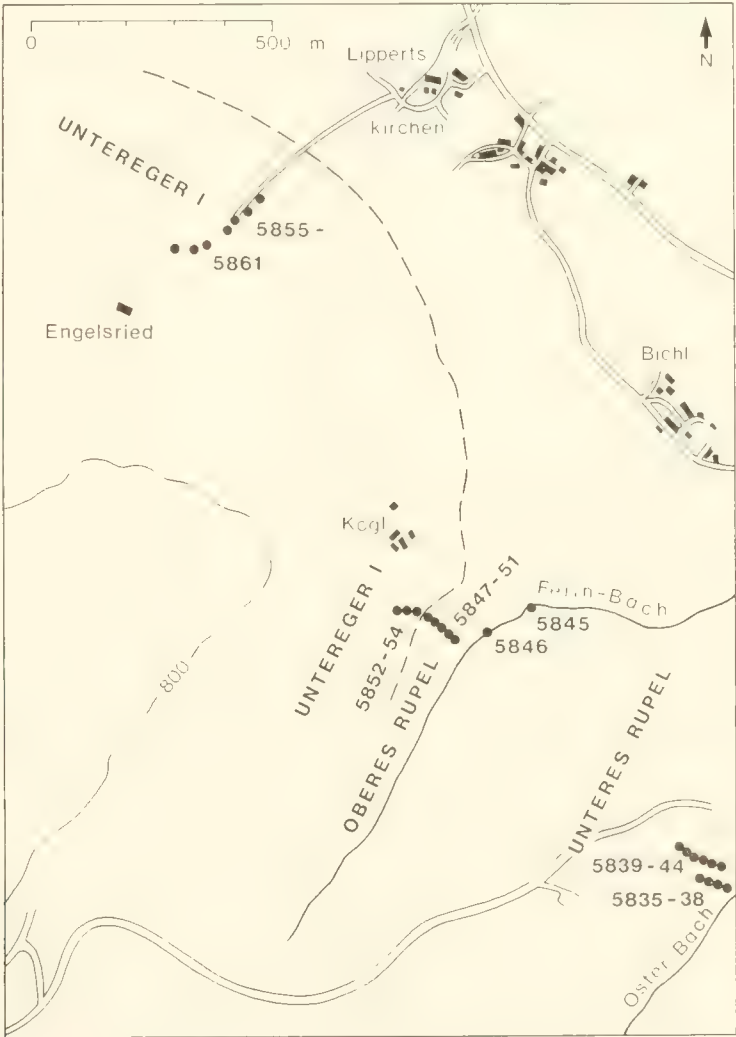


Abb. 11: Die Probenentnahmepunkte im Gebiet südwestlich von Bad Feilnbach.

Wohl als erster beschreibt EMMRICH (1855: 434ff.) ausführlicher „Meeres-Molasse“, „Geröll-Molasse“ und „Cyrenen-Schichten“ der Marienstein-Haushamer Mulde. Wenig später beschäftigen sich SANDBERGER & GUMBEL (1858: 215ff.) ebenfalls eingehend mit dem Leitzach-Profil und untersuchen auch den Locher Graben. Schließlich stuft GUMBEL (1875: 25) den heutigen Ansichten i. w. entsprechend die „Untere Meeresmolasse“ in das Mitteloligozän, die „Cyrenen-Schichten oder brackische Molasse mit Pechkohleflötzen“ in das Oberoligozän ein.

LIEBUS, der als erster 1903 die Foraminiferen der oberbayerischen Oligozän-Molasse bearbeitete, berücksichtigte auch

besonders die Marienstein-Haushamer Mulde. HÖLZL lieferte 1962 eine umfassende systematische Bearbeitung der Mollusken-Fauna des Gebietes; die genannte Veröffentlichung enthält zudem eine ausführliche Würdigung der älteren Literatur. Auf die marine Ostrakoden-Fauna der Tonmergel-Schichten ging WITT (1967: 89ff.) ein. Die brackischen und limnischen Ostrakoden untersuchte in allerjüngster Zeit D. MÜLLER (1985). Neben etlichen Einzelaufschlüssen zog ich vor allem das Gebiet des östlichen Muldenschlusses bei Bad Feilnbach, das Leitzach-Profil, das Mangfall-Profil und das geringmächtige Gaißach-Profil für die Untersuchungen heran.

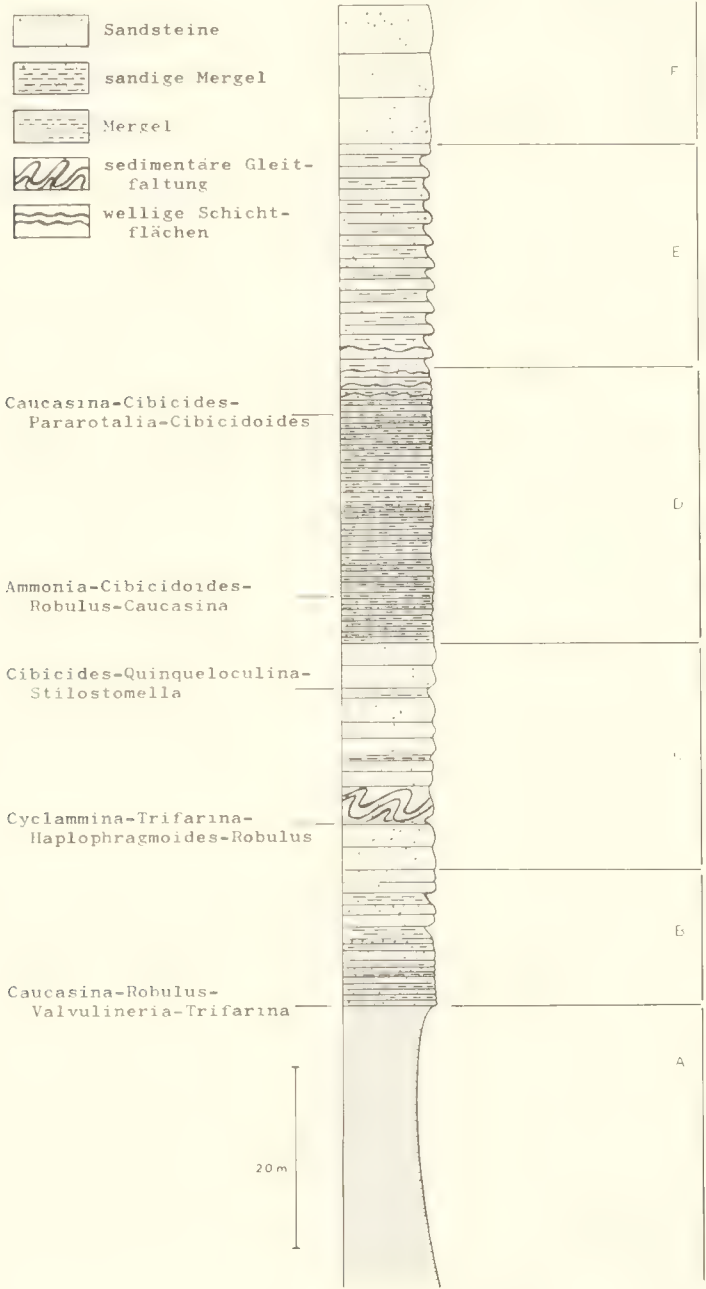


Abb. 12: Der litho- und biofazielle Übergang von Tonmergel-Schichten zu höheren Baustein-Schichten am Beispiel des Profiles des Engelsrieder Grabens (Gebiet von Bad Feilnbach; tieferes Untereger₁).

4.3.1 Feilnbacher Gebiet

Hier steht eine lückenhafte Schichtenfolge des marinen Rupels und tieferen Unteregers obertage an. Sowohl die Basis des unteren Rupels als auch der Grenzbereich „unteres Rupel/oberes Rupel“ sind nicht aufgeschlossen. Abb. 11 zeigt die Lagepunkte der Probenentnahme: Die Seitengraben des Osterbaches reißen unteres Rupel an; im Feilnbachtal und im Koglgraben ist das obere Rupel gut erschlossen; darüberhinaus enthält der Koglgraben noch Untereger₁, ebenso wie der Engelsrieder Graben südwestlich Lippertskirchen, in dem ausschließlich Untereger₁ ansteht.

4.3.1.1 Aufschlüsse, Lithologie und Lagerungsverhältnisse

Das untere Rupel ist am Osterbach durch braungraue, z. T. verlehnte Mergel mit rostfarbenen Kluftflächen vertreten, die nur eine undeutliche Schichtung erkennen lassen. Die Streichrichtung liegt bei ca. 75° und widerspricht damit nicht den generellen Lagerungsverhältnissen am Muldenschuß. Die aufgeschlossene Mächtigkeit liegt etwas unter 100 m.

Der Mittelteil des Feilnbachtals und der Koglgraben enthalten hellbläuliche bis bräunliche Mergel, die nach oben zu sandiger werden. Einschaltungen plattiger, zunächst feiner-sandiger Mergel werden zum Hangenden hin immer häufiger

bei gleichzeitiger Zunahme der Korngröße in den sandigen Lagen. Das Profil schließt mit einem ca. 15 m mächtigen, massiven, die Morphologie des Geländes bestimmenden und aus kompakten Sandsteinen bestehenden Baustein-Horizont ab.

Der nordwestlich gelegene, weniger steile und besser begehbbare Engelsrieder Graben durchschneidet dieselbe sandige Serie, die an dieser Stelle allerdings schon fast dem Nordflügel der Haushamer Mulde zuzurechnen ist, während die Aufschlüsse des Koglgrabens und Feilnbachs unmittelbar an der Muldenachse liegen (vgl. STEPHAN & PAULUS, 1968: Abb. 25).

In Abb. 12 ist das Profil der Baustein-Schichten des Engelsrieder Grabens leicht schematisch dargestellt:

Über noch sehr typisch ausgebildeten, reinen Tonmergel-Schichten folgen plattige Sandsteine und Mergel (Abschnitt B), die von gebankten Sandsteinen abgelöst werden, die im tieferen Teil eine bestechend gut herausgewitterte Gleitfaltung zeigen (Abschnitt C). Die Mächtigkeit dieser Sandsteinbänke liegt bei einem bis mehreren Dezimetern. Abschnitt D ist wiederum stärker vermergelt; plattige, mergelige Sandsteine und sandige Mergel bauen diesen Profilabschnitt auf. Im Grenzbereich zu Abschnitt E, der durch dickkerbankige Sandsteine in Wechsellagerung mit Sandmergeln

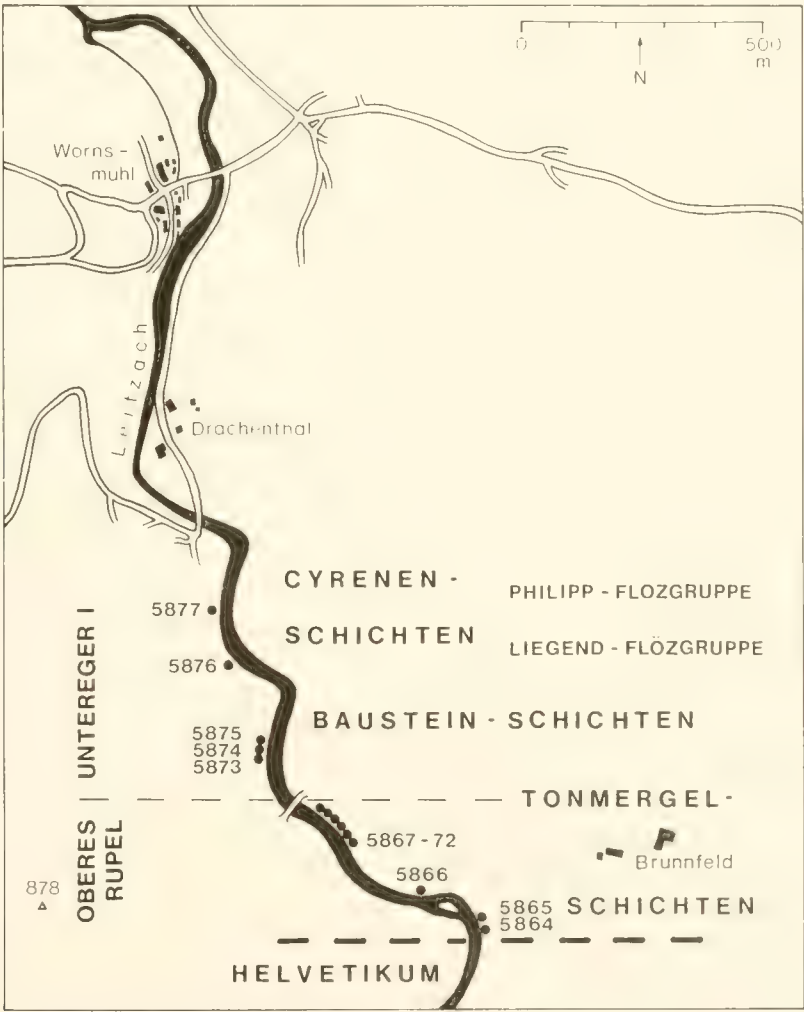


Abb. 13: Die Probenentnahmepunkte im Leitzach-Profil.

verkörpert ist, treten häufig an Rippelmarken erinnernde, wellige Sandbankoberseiten auf. Den jüngsten Abschnitt (F) bildet wiederum der kompakte Bausteinhorizont.

Vorweg sei erwähnt, daß die Foraminiferen-Faunen der sandig-mergeligen Serie durch Häufigkeitsformen charakterisiert sind, die zunehmend flacher-neritische Verhältnisse anzeigen. Dieser Übergangsbereich zwischen Tonmergel-Schichten und massivem Baustein-Horizont umfaßt ca. 95 m

wahrer Mächtigkeit. ZÖBELEIN (1962: 261) definierte die Untergrenze der Baustein-Schichten wie folgt: Die Grenze soll dort gezogen werden, „wo die Tonmergelschichten sandiger werden und die ersten Sandsteinbänke einsetzen“. Dementsprechend handelt es sich bei den Gesteinen der Übergangsfazies unterhalb des eigentlichen Baustein-Horizonts bereits um Baustein-Schichten. Die Mächtigkeit der unterlagernden oberoligozänen Tonmergel-Schichten beträgt einige Zehner-

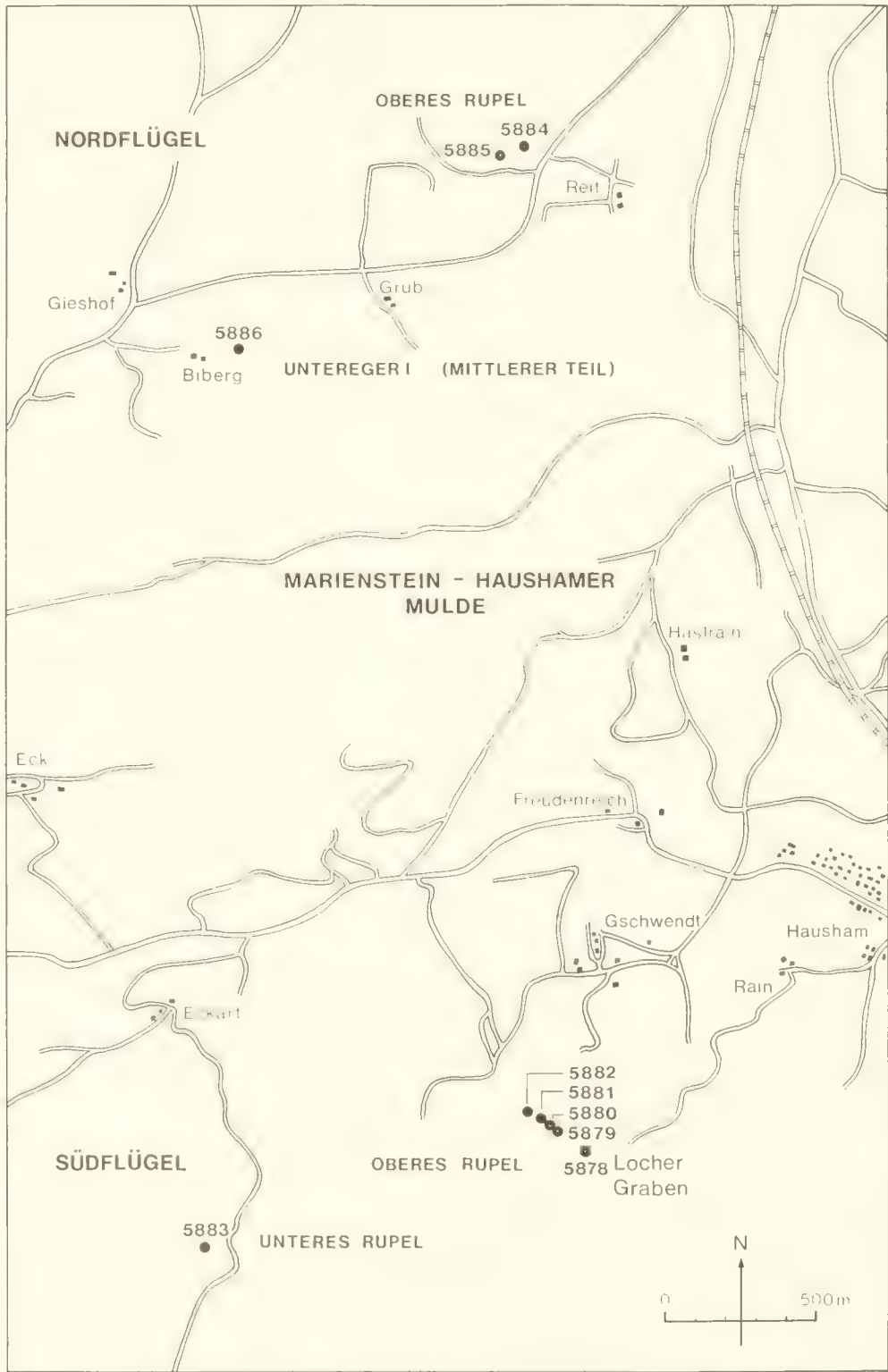


Abb. 14: Die Probenentnahmepunkte im Gebiet zwischen Leitzach und Mangfall.

meter, die im Koglgraben und Feilnbachtal aufgeschlossenen rupelischen Tonmergel-Schichten sind an die 50 m mächtig. Für die gesamte Mächtigkeit der rupelischen Tonmergel-Schichten geben STEPHAN & PAULUS (1968: 272) mehr als 2000 m an (Tiefbohrung Feilnbach 1). Dieser Wert ist extrem hoch verglichen mit den obertage vorgefundenen Mächtigkeiten. Möglicherweise spielen hier die Kompression in nord-südlicher Richtung einerseits und schwer erkennbare Schichtverdopplungen andererseits eine nicht zu unterschätzende Rolle.

4.3.2 Leitzach-Profil

Entlang der Leitzach sind im Südflügel der Marienstein-Haushamer Mulde Sedimente des oberen Rupels und des Untereger₁ streckenweise gut aufgeschlossen. HAGN & MARTINI (in HAGN, 1981: 167 ff.) lieferten bereits eine Faunenliste der Foraminiferen sowie eine Liste der Nannoflora aus den ober-rupelischen Tonmergel-Schichten (NP 24).

Abb. 13 gibt die Probenentnahmepunkte an der Leitzach wieder.

4.3.2.1 Aufschlüsse, Lithologie und Lagerungsverhältnisse

Im Süden der Holzbrücke, die 1,5 km südlich von Wörns-mühl die Leitzach quert, ist das obere Rupel durch schwarze bis dunkelbraune Mergel dokumentiert, die einen scherbigen, krummschaligen Bruch und rötlich gefärbte Kluftflächen aufweisen. Ebenso wie die weiter im Norden anstehenden sandigen Schichtgesteine des Egers, sind die Rupelsedimente überkippt gelagert und fallen mit mittelsteiler Neigung nach Süden hin ein; ihre Mächtigkeit beträgt 250 m. Die Rupel/Eger-Grenze ist nicht aufgeschlossen. Nördlich der kurzen Aufschlußlücke folgen im Liegenden (da überkippt) sandige Mergel und ein 7 m mächtiger Baustein-Horizont. Die darauf folgenden Turitellen-Horizonte wurden bereits durch HÖLZL (1962: 225) bekannt gemacht. Die nächstjüngeren bräunlichen und bläulichen, sandarmen Mergel lieferten eine recht gut erhaltene Foraminiferen-Fauna des Untereger₁.

Weiter im Norden schließen die Baustein-Schichten mit einem weiteren massiven, kompakten, ca. 10 m mächtigen Baustein-Horizont ab, der am rechten Leitzachufer herausragt. Damit beträgt die Mächtigkeit der hier aufgeschlossenen Baustein-Schichten 140 m. Aus den sich im Norden anschließenden Cyrenen-Schichten (Liegend- und Philipp-Flözgruppe, vgl. PFLAUMANN & STEPHAN, 1968: Beilage 2) ließen sich nur noch sehr sporadisch nennenswerte und nur wenig aussagekräftige Foraminiferen-Faunen gewinnen. An hier vorherrschenden Sedimenttypen seien nur sandige blaugraue Mergel, mergelige Konglomerate und von Geröllschnüren durchzogene, mergelige Sandsteine erwähnt.

4.3.3 Das Gebiet zwischen Leitzach und Mangfall

Die Probenpunkte der aus diesem Abschnitt der Marienstein-Haushamer Mulde berücksichtigten Lokalitäten sind Abb. 14 zu entnehmen. Die reiche Foraminiferen-Fauna des

oberen Rupels des Locher Grabens wurde bereits von HAGN & HÖLZL (1952: 85 ff.) aufgelistet.

4.3.4 Das Mangfall-Profil

Vier Kilometer südwestlich von Miesbach erlauben das Mangfallbett (bei Niedrigwasser) und vor allem der durch einen südlichen Zufluß geschaffene Schmeroldgraben eine eingehende Beprobung von unterem und insbesondere oberem Rupel sowie dem basalen Eger bis hinauf in die Baustein- und Cyrenen-Schichten. Der hier anstehende Sedimentstapel gehört dem Nordflügel der Marienstein-Haushamer Mulde an (Abb. 15).

4.3.4.1 Aufschlüsse, Lithologie und Lagerungsverhältnisse

Im Norden grenzen unterrupelische Tonmergel-Schichten tektonisch an die Cyrenen-Schichten der Segenhauser Zone, die als östliche Fortsetzung der Reichersbeurner Mulde gedeutet wird (STEPHAN & HESSE, 1966: 123). Weiter im Süden folgen im Mangfallbett operrupelische splittrige, graue Mergel mit rostfarbenen Kluftflächen. Im Schmeroldgraben sind weitere, milde, graue, vorwiegend sandarme Mergel bestens aufgeschlossen, die im Norden noch dem oberen Rupel, im Süden bereits dem basalen Eger angehören. Die nur selten eine ausgeprägte Schichtung erkennen lassenden Mergel streichen in etwa E–W und fallen mittelsteil nach Süden ein. Die wahre Mächtigkeit des gesamten Rupels beträgt 425 m, die des in mergeliger Fazies ausgebildeten basalen Egers beträgt 65 m. Die Rupel/Eger-Grenze entspricht exakt der Grenze zwischen den Mikrofossilabschnitten B/MS und C/MS von BROCKERT & PAULUS unmittelbar im Liegenden des an Cyprien reichen Niveaus der Tonmergel-Schichten (s. STEPHAN & HESSE, 1966: Beilage 2 und BROCKERT & PAULUS, 1966: 152 ff.).

4.3.5 Das Gaißach-Profil

Zwei Kilometer westlich von Marienstein schuf ein von Norden in die Gaißach mündendes Rinnsal einen vorzüglichen grabenartigen Aufschluß im Bereich der tieferen Baustein-Schichten, die hier dem Südflügel der Marienstein-Haushamer Mulde angehören. Abb. 16 zeigt die Punkte der Probenentnahme.

4.3.5.1 Aufschlüsse, Lithologie und Lagerungsverhältnisse

In dem steilen Graben sind 55 m in etwa saiger stehende, mehr oder weniger sandige Sedimente angerissen. Auf eine basale 5 m mächtige, kompakte Sandsteinbank folgen leicht sandige, großwüchsige Cyprinen führende Mergel, die dem oberen Rupel zuzurechnen sind und im tieferen Teil eine sehr gut erhaltene Mikrofauna bergen. Im Norden folgen dann dünnbankige, mergelige Sandsteine und sandige Mergel des basalen Egers, die *Dentalium* und Gastropoden beinhalten und die schließlich von einem massiven, wandbildenden Baustein-Horizont abgelöst werden. Die Mächtigkeit des aufgeschlossenen oberen Rupels liegt knapp über 30 m, die des basalen Untereger₁ beträgt im Graben etwas mehr als 20 m.

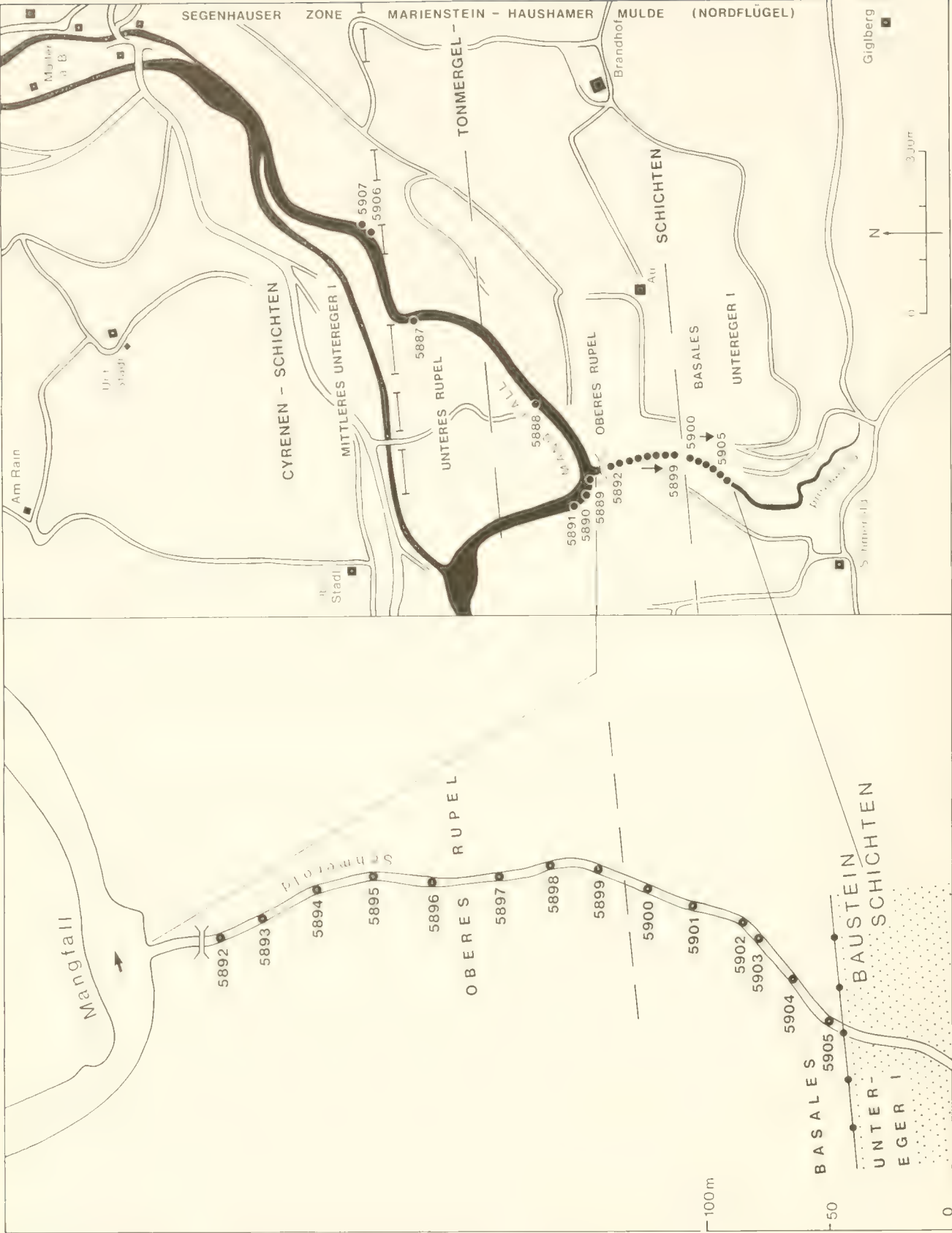


Abb. 15: Die Probenentnahmepunkte im Mangfall-Profil. Bei der linken Bildhälfte handelt es sich um eine Detaildarstellung des Schmeroldgrabens.

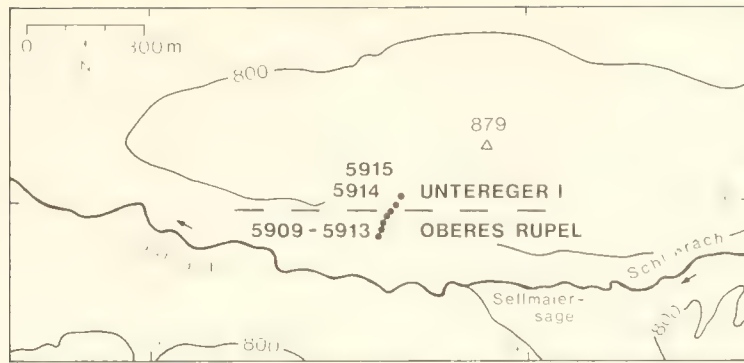


Abb. 16: Die Probenentnahmepunkte an der Gaißach östlich von Bad Tölz: Bau-
stein-Schichten des Südflügel der Marienstein-Haushamer Mulde.

Ein tieferer Horizont des oberen Rupels war sieben Kilometer weiter westlich, am linken Uferhang der Isar vorübergehend aufgeschlossen (Straßenaufschluß 300 m nördlich von Bocksleiten bei Bad Tölz, Pr. 5908). Es handelt sich um dunkle milde Mergel, die eine kleinwüchsige, verhältnismäßig reiche Foraminiferen-Fauna lieferten.

4.3.6 Die Foraminiferen-Fauna der Marienstein-Haushamer Mulde

Um unnötige Wiederholungen zu vermeiden, werden die einzelnen Vorkommen und Profile zusammengefaßt.

4.3.6.1 Die Foraminiferen-Fauna des unteren Rupels

Rhabdammina discreta BRADY
Bathysiphon filiformis SARS
Reophax bacillaris BRADY
Haplophragmoides suborbicularis (GRZYBOWSKI)
Cyclammina acutidorsata (HANTKEN)
Cyclammina obesa CUSHMAN & LAIMING
Spiroplectammina carinata (D'ORBIGNY)
Vulvulina spinosa CUSHMAN
Karrerella siphonella exilis HAGN
Sigmoilinita tenuis (CZIZEK)
Robulus cultratus MONTFORT
Robulus inornatus (D'ORBIGNY)
Lenticulina gerlachi (REUSS)
Marginulina hantkeni BANDY
Marginulina similis D'ORBIGNY
Amphicoryna scalaris (BATSCH)
Amphicoryna badenensis (D'ORBIGNY)
Dentalina communis D'ORBIGNY
Nodosaria hispida (SOLDANI)
Flabellinella tenuissima (HANTKEN)
Plectofrondicularia striata (HANTKEN)
Plectofrondicularia multilineata CUSHMAN & SIMONSON
Plectofrondicularia vaughani CUSHMAN
Glandulina aequalis REUSS
Bulimina striata D'ORBIGNY
Bulimina arndti HAGN
Praeglobobulimina pyrula (D'ORBIGNY)
Globobulimina bathyalis n. sp.
Virgulopsis tuberculata (EGGER)
Caucasina coprolithoides (ANDREAE)

Fursenkoina mustoni (ANDREAE)
Uvigerina hantkeni CUSHMAN & EDWARDS
Trifarina gracilis (REUSS)
Trifarina bradyi CUSHMAN
Bolivina beyrichi carinata HANTKEN
Bolivina crenulata CUSHMAN
Bolivina dilatata hyalina HOFMANN
Bolivina liebusi HOFMANN
Stilostomella longiscata (D'ORBIGNY)
Stilostomella consobrina (D'ORBIGNY)
Stilostomella emaciata (REUSS)
Stilostomella scabra (REUSS)
Elphidium cf. *advenum* (CUSHMAN)
Elphidiella cryptostoma (EGGER)
Chilostomelloides oviformis (SHERBORN & CHAPMAN)
Allomorphina trigona REUSS
Globocassidulina oblonga (REUSS)
Sphaeroidina bulloides D'ORBIGNY
Eponides constans n. sp.
Valvulineria complanata (D'ORBIGNY)
Alabamina budensis (HANTKEN)
Gyroidina soldanii D'ORBIGNY
Gyroidina brockerti n. sp.
Ammonia propingua (REUSS)
Globigerina praebulloides BLOW
Globigerina officinalis SUBBOTINA
Globigerina utilisindex JENKINS & ORR
Globigerina angustiumbilitata BOLLI
Globigerina ouachitaensis HOWE & WALLACE
Subbotina angiporoides (HORNIBROOK)
Globorotalia opima nana BOLLI
Globorotalia clemenciae (BERMÚDEZ)
Globorotalia liverovskae (BYKOVA)
?Clavatorella sp.
Pseudohastigerina cf. *wilcoxensis* (CUSHMAN & PONTON)
Chiloguembelina cubensis (PALMER)
Cibicides lobatulus (WALKER & JACOB)
Cibicidoides communis (ROEMER)
Cibicidoides ungerianus ungerianus (D'ORBIGNY)
Cibicidoides pseudoungerianus (CUSHMAN)
Heterolepa dutemplei (D'ORBIGNY)
Planulina costata (HANTKEN)
Hanzawaia boueana (D'ORBIGNY)
„Almaena“ osnabrugensis (ROEMER)
Stomatorbina acarinata POKORNY

4.3.6.2 Anmerkungen zur Grenzziehung unteres Rupel/oberes Rupel

Foraminiferenvergesellschaftungen des unteren Rupels, die im Untersuchungsgebiet nur im Mangfall-Profil, SW Rettenbeck bei Hausham und am Osterbach/Feilnbacher Gebiet angetroffen wurden, enthalten vor allem *Globorotalia live-rovskae* (BYKOVA), die in jüngeren Sedimenten nicht mehr, und *Chiloguembelina cubensis* (PALMER) sowie *Pseudobastigerina* cf. *wilcoxensis* (CUSHMAN & PONTON), die in jüngeren Sedimenten kaum mehr anzutreffen sind. *Plectofrondicularia multilineata* CUSHMAN & SIMONSON wurde bisher in der bayerischen Molasse nur im unteren Rupel der Marienstein-Haushamer Mulde beobachtet. *Vaginulinopsis pseudodecorata* HAGN, *Nonionella liebusi* HAGN und *Pararotalia canui* (CUSHMAN) fehlen im unteren Rupel noch.

4.3.6.3 Die Foraminiferen-Fauna des oberen Rupels

Bathysiphon filiformis SARS
Ammodiscus grzybowski EMILIANI
Glomospira charoides (JONES & PARKER)
Miliammina paleocenica KIESEI
Haplophragmoides suborbicularis (GRZYBOWSKI)
Cyclammina acutidorsata (HANTKEN)
Cyclammina obesa CUSHMAN & LAIMING
Textularia deperdita D'ORBIGNY
Spiroplectammina carinata (D'ORBIGNY)
Spiroplectammina pectinata (REUSS)
Pavonitina kiscelliana (SZTRAKOS)
Dorothia paupercula (CUSHMAN)
Karrieriella siphonella exilis HAGN
Quinqueloculina ermanni BORNEMANN
Quinqueloculina cribrosa (EGGER)
Quinqueloculina bauerina D'ORBIGNY
Triloculina gibba D'ORBIGNY
Triloculina cf. *byramensis* CUSHMAN & TODD
Sigmoilinita tenuis (CZJZEK)
Sigmoilinita sp.
Robulus cultratus MONTFORT
Robulus inornatus (D'ORBIGNY)
Robulus vortex (FICHTEL & MOLL)
Robulus cf. *depauperatus* (REUSS)
Lenticulina gerlachi (REUSS)
Astacolus crepidulus (FICHTEL & MOLL)
Astacolus minimus (HANTKEN)
Vaginulinopsis pseudodecorata HAGN
Vaginulinopsis tenuis (BORNEMANN)
Saracenaria arcuata (D'ORBIGNY)
Saracenaria propingua (HANTKEN)
Saracenaria conferta (REUSS)
Marginulina hantkeni BANDY
Marginulina similis D'ORBIGNY
Amphicoryna scalaris (BATSCH)
Amphicoryna badenensis (D'ORBIGNY)
Dentalina communis D'ORBIGNY
Nodosaria hispida (SOLDANI)
Nodosaria pyrula semirugosa D'ORBIGNY
Nodosaria elegantissima (D'ORBIGNY)
Nodosaria raphanistrum (LINNE)
Lingulina subglobosa DERVIEUX

Flabellinella tenuissima (HANTKEN)
Plectofrondicularia striata (HANTKEN)
Plectofrondicularia vaughani CUSHMAN
Lagena sulcata (WALKER & JACOB)
Lagena gracilicosta REUSS
Lagena hexagona (WILLIAMSON)
Globulina gibba D'ORBIGNY
 „*Pyrula*“ *fusiformis* (ROEMER)
Glandulina aequalis REUSS
Glandulina ovula D'ORBIGNY
Fissurina obtusa EGGER
Bulimina striata D'ORBIGNY
Bulimina arndti HAGN
Praeglobobulimina pyrula (D'ORBIGNY)
Globobulimina bathyalis n. sp.
Virgulopsis tuberculata (EGGER)
Caucasina coprolithoides (ANDREAE)
Stainforthia acuta (D'ORBIGNY)
Uvigerina hantkeni CUSHMAN & EDWARDS
Trifarina gracilis (REUSS)
Trifarina bradyi CUSHMAN
Trifarina muralis (TERQUEM)
Bolivina beyrichi carinata HANTKEN
Bolivina budensis (HANTKEN)
Bolivina crenulata CUSHMAN
Bolivina fastigia CUSHMAN
Bolivina liebusi HOFMANN
Bolivina oligocaenica SPANDEL
Stilostomella consobrina (D'ORBIGNY)
Stilostomella emaciata (REUSS)
Stilostomella scabra (REUSS)
Elphidium cf. *advenum* (CUSHMAN)
Porosonion granosum (D'ORBIGNY)
Elphidiella heteropora (EGGER)
Elphidiella cryptostoma (EGGER)
Florilus communis (D'ORBIGNY)
Nonionella liebusi HAGN
Pullenia bulloides (D'ORBIGNY)
Pullenia quinqueloba (REUSS)
Melonis pompilioides (FICHTEL & MOLL)
Melonis affinis (REUSS)
Chilostomella ovoidea REUSS
Globocassidulina crassa (D'ORBIGNY)
Globocassidulina oblonga (REUSS)
Cassidulinoides bodeni HAGN
Sphaeroidina bulloides D'ORBIGNY
Rosalina semiporata (EGGER)
Eponides constans n. sp.
Valvulineria complanata (D'ORBIGNY)
Cancris subconicus (TERQUEM)
Epistominella molassica (HAGN)
Alabamina budensis (HANTKEN)
Gyroidina soldanii D'ORBIGNY
Gyroidina brockerti n. sp.
Gyroidina parva CUSHMAN & RENZ
Asterigerina praeplanorbis HAGN
Ammonia kiliani (ANDREAE)
Ammonia propingua (REUSS)
Pararotalia canui (CUSHMAN)
Globigerina praebulloides BLOW

Globigerina officinalis SUBBOTINA
Globigerina utilisindex JENKINS & ORR
Globigerina tapuriensis BLOW & BANNER
Globigerina sellii (BORSETTI)
Globigerina euapertura JENKINS
Globigerina angustiumbilitata BOLLI
Globigerina ouachitaensis HOWE & WALLACE
Globigerina ciperoensis BOLLI
Subbotina angiporoides (HORNIBROOK)
Dentoglobigerina cf. galavisi (BERMÚDEZ)
?Dentoglobigerina winkleri (BERMÚDEZ)
Globigerinita unicava (BOLLI, LOEBLICH & TAPPAN)
Globorotalia opima nana BOLLI
Globorotalia clemenciae (BERMÚDEZ)
Globorotalia obesa BOLLI
Chiloguembelina cubensis (PALMER)
Cibicides lobatulus (WALKER & JACOB)
Cibicidoides communis (ROEMER)
Cibicidoides ungerianus ungerianus (D'ORBIGNY)
Cibicidoides pseudoungerianus (CUSHMAN)
Heterolepa dutemplei (D'ORBIGNY)
Hanzawaia boueana (D'ORBIGNY)
„Almaena“ osnabrugensis (ROEMER)

4.3.6.4 Anmerkungen zur Grenzziehung oberes Rupel/Untereger₁

Anders als bei der Grenze von unterem zu oberem Rupel, wo hinsichtlich der Benthonten von einem Faunenwechsel die Rede sein kann, verändert sich die Gesamtfauuna im Bereich der Rupel/Eger-Grenze kaum. Lediglich das Auftauchen der planktonischen Foraminiferen *Globorotalia semivera* (HORNIBROOK) und *Globorotalia siakensis* (LEROY) signalisiert, daß die Tonmergel-Schichten respektive Baustein-Schichten in einen mitteloligozänen Anteil und einen oberoligozänen Anteil gliederbar sind. *Subbotina angiporoides* (HORNIBROOK) fehlt hier im Untereger₁ völlig.

Innerhalb der Marienstein-Haushamer Mulde ist bezüglich der lithologischen Grenze von Tonmergel-Schichten zu Baustein-Schichten in west-östlicher Richtung eine leichte, aber nichtsdestoweniger deutliche Diachronie festzustellen: Während an der Gaißach im Westen die Rupel/Eger-Grenze innerhalb der Baustein-Schichten zu liegen kommt, reichen die Tonmergel-Schichten nach Osten zu mehr und mehr in das Untereger₁ hinein. Am östlichen Muldenschuß der Marienstein-Haushamer Mulde sind die tieferen Baustein-Schichten schließlich gemäß Entwicklungsstand von *Bolivina crenulata* CUSHMAN mit dem tieferen Teil der Thalberg-Schichten korrelierbar (s. Abb. 5).

4.3.6.5 Die Foraminiferen-Fauna des Untereger₁

Haplophragmoides suborbicularis (GRZYBOWSKI)
Ammobaculites humboldti (REUSS)
Cyclammina acutidorsata (HANTKEN)
Cyclammina obesa CUSHMAN & LAIMING
Textularia deperdita D'ORBIGNY
Spiroplectammina carinata (D'ORBIGNY)
Dorothyia paupercula (CUSHMAN)
Karrerella siphonella exilis HAGN

Quinqueloculina cribrosa (EGGER)
Quinqueloculina hauerina D'ORBIGNY
Sinuloculina consobrina (D'ORBIGNY)
Triloculina cf. byramensis CUSHMAN & TODD
Sigmoilinita tenuis (CZJZEK)
Robulus cultratus (D'ORBIGNY)
Robulus inornatus (D'ORBIGNY)
Vaginulinopsis pseudodecorata HAGN
Vaginulinopsis tenuis (BORNEMANN)
Saracenaria arcuata (D'ORBIGNY)
Amphicoryna badenensis (D'ORBIGNY)
Dentalina communis D'ORBIGNY
Lagena sulcata (WALKER & JACOB)
Lagena gracilicosta REUSS
Guttulina problema frankei CUSHMAN & OZAWA
Globulina gibba D'ORBIGNY
Globulina muensteri (REUSS)
„Pyrolina“ fusiformis (ROEMER)
Glandulina aequalis REUSS
Oolina globosa (MONTAGU)
Fissurina obtusa EGGER
Bulimina striata D'ORBIGNY
Praeglobobulimina pyrula (D'ORBIGNY)
Globobulimina bathyalis n. sp.
Virgulopsis tuberculata (EGGER)
Caucasina coprolithoides (ANDRAE)
Stainforthia acuta (D'ORBIGNY)
Uvigerina hantkeni CUSHMAN & EDWARDS
Trifarina gracilis (REUSS)
Trifarina angulosa (WILLIAMSON)
Bolivina beyrichi beyrichi REUSS
Bolivina crenulata CUSHMAN
Bolivina crenulata CUSHMAN var. *trunensis* HOFMANN
Bolivina dilatata hyalina HOFMANN
Bolivina liebusi HOFMANN
Bolivina oligocaenica SPANDEL
Stilostomella scabra (REUSS)
Elphidium crispum (LINNÉ)
Porosonion granosum (D'ORBIGNY)
Elphidiella heteropora (EGGER)
Elphidiella cryptostoma (EGGER)
Elphidiella subcarinata (EGGER)
Florilus communis (D'ORBIGNY)
Nonionella liebusi HAGN
Pullenia bulloides (D'ORBIGNY)
Pullenia quinqueloba (REUSS)
Melonis pompilioides (FICHTEL & MOLL)
Melonis affinis (REUSS)
Globocassidulina oblonga (REUSS)
Cassidulinoides bodeni HAGN
Rosalina semiporata (EGGER)
Eponides constans n. sp.
Valvulineria complanata (D'ORBIGNY)
Cancris subconicus (TERQUEM)
Epistominella molassica (HAGN)
Gyroidina soldanii D'ORBIGNY
Gyroidina brockerti n. sp.
Gyroidina parva CUSHMAN & RENZ
Asterigerina praeplanorbis HAGN
Ammonia kiliani (ANDRAE)

Ammonia propingua (REUSS)
Pararotalia canui (CUSHMAN)
Globigerina praebulloides BLOW
Globigerina officinalis SUBBOTINA
Globigerina anguliofficialis BLOW
Globigerina utilisindex JENKINS & ORR
Globigerina tapuriensis BLOW & BANNER
Globigerina euapertura JENKINS
Globigerina angustiumbilitata BOLLI
Globigerina ouachitaensis HOWE & WALLACE
Globorotalia opima nana BOLLI
Globorotalia semivera (HORNIBROOK)
Globorotalia clemenciae (BERMÚDEZ)
Globorotalia obesa BOLLI
Globorotalia siakensis (LEROY)
Cibicides lobatulus (WALKER & JACOB)
Cibicidoides communis (ROEMER)
Cibicidoides ungerianus ungerianus (D'ORBIGNY)
Cibicidoides pseudoungerianus (CUSHMAN)
Heterolepa dutemplei (D'ORBIGNY)
 „*Almaena*“ *osnabrugensis* (ROEMER)

4.3.7 Die bathymetrische Entwicklung im Bereich der Marienstein-Haushamer Mulde

Im unteren Rupel des Feilnbacher Gebietes dominieren *Praeglobobulimina* und berippte Uvigerinen als bathymetrisch wichtige Leitformen und lassen auf eine ehemalige Meerestiefe von mehr als 200 m schließen. Das obere Rupel ist hier oberhalb der Aufschlußlücke durch ein z. T. massenhaftes Auftreten von *Robulus* sowie durch *Haplophragmoides* und *Cyclammina* als weitere Häufigkeitsformen charakterisiert und kann dem tieferneritischen Bereich zugeordnet werden. In etwa mit dem Einsetzen der Fazies der Baustein-Schichten im Untereger₁ verringert sich die Ablagerungstiefe auf weniger als 100 bzw. 70 m, da *Quinqueloculina* und dann *Ammonia* in der Faunenzusammensetzung eine entscheidende Rolle spielen. Schließlich geht die Meerestiefe in jüngeren Abschnitten der Baustein-Schichten mit *Pararotalia* als Häufigkeitsgenus noch weiter zurück.

Eine vergleichbare Entwicklung vollzieht sich im großen und ganzen im Leitzach-Profil; die berippten Uvigerinen treten hier noch im ältesten Teil des oberen Rupels auf. Genauso wie im Osten wird im Leitzach-Profil im Bereich der basalen Baustein-Schichten die 100-m-Marke unterschritten.

Auch im Gebiet der Mangfall ist eine sukzessive Reduktion der Meerestiefe erkennbar.

Für die tieferen Baustein-Schichten der Gaißach sind anhand von Foraminiferen nur begrenzt Aussagen möglich: Weil *Robulus* stets absolut vorherrscht, gehörte der Ablagerungsraum dem Neritikum an. Da aber im oberen Rupel noch *Bathysiphon* vorkommt, mögen die basalen Baustein-Schichten hier noch in Tiefen von mehr als 150 m gebildet worden sein.

Insgesamt muß gesagt werden, daß die regressive Tendenz stets bereits innerhalb der Fazies der Tonmergel-Schichten deutlich zum Ausdruck kommt.

Es ist STUCHLIK (1906: 290ff. u. Abb. 1) nahezu uneingeschränkt zuzustimmen, der bereits am Anfang dieses Jahr-

hunderts die Tonmergel-Schichten als „oligozänen Tiefseeton“, die an Cyprinen reichen Schichten als „Flachseeablagerung“ und die Cyrenen-Schichten als „brackische Randbildung eines Ästuariums“ interpretierte. Unter „Tiefsee“ verstand STUCHLIK Meerestiefen von mehr als 200 m. Zu diesen Ergebnissen gelangte der genannte Autor, indem er die Lebensräume noch lebender und fossiler Foraminiferen und Mollusken verglich.

4.4 DIE SEGENHAUSER ZONE

Wie bereits erwähnt, stehen im Mangfall-Profil im Norden der Marienstein-Haushamer Mulde tiefere Cyrenen-Schichten an; sie grenzen tektonisch an die Tonmergel-Schichten der südlicheren Einheit. Es handelt sich um kreuzgeschichtete Sandsteine und sandarme Mergel, denen häufig einige Zentimeter starke Mollusken-Horizonte zwischengeschaltet sind. Die Streichrichtung liegt bei 85 bis 90° und die Schichten fallen mittelsteil nach Süden hin ein. Die Proben 5907 und 5908 (vgl. Abb. 15) enthalten eine typische Brackwasserfauna, in der *Ammonia kiliani* (ANDREAE) massenhaft und in der *Pararotalia canui* (CUSHMAN) untergeordnet auftritt. Mit dem Vorkommen letzterer Art läßt sich das Alter der Gesteine nach oben hin eingrenzen: Sie repräsentieren den Mittelteil des Untereger₁ oder haben ein höheres Alter. Aus regional-stratigraphischen Gründen kommt jedoch praktisch nur der Mittelteil des Untereger₁ in Betracht, da der tiefere Teil des Untereger₁ im Meridian der Mangfall bereits von den oberen Tonmergel-Schichten und den Baustein-Schichten eingenommen wird. Eine vergleichbare, jedoch nicht ganz so eintönige Foraminiferen-Fauna lieferten die tieferen Cyrenen-Schichten von Gießhof bei Agatharied in der Haushamer Mulde (Pr. 5886, s. Abb. 14), bei der zusätzlich *Ammobaculites humboldti* (REUSS), *Cibicidoides ungerianus ungerianus* (D'ORBIGNY) und *Heterolepa dutemplei* (D'ORBIGNY) zu nennen sind.

4.5 DER KALTENBACHGRABEN

In seinem westlichsten Abschnitt enthält der Kaltenbachgraben noch vollmarines Untereger₁. Die bräunlich-grauen, leicht schlämbbaren, sandarmen Mergel wurden 100 m oberhalb der Einmündung des Hatzlbaches (5862) und 50 m bachaufwärts (5863) beprobt; die beiden Lokalitäten liegen 2,75 km südlich Irschenberg/AB München–Salzburg.

Das Vorkommen gehört einer tektonisch komplizierten Zone zwischen dem Nordflügel der Miesbach-Auer Mulde und dem nach Norden überkippten Südrand der Vorlandmolasse an (vgl. hierzu auch die Darstellung des Leitzach-Profiles bei PAULUS, 1963: Abb. 9). Offenbar ist der mergelige Gesteinskörper schuppenartig in brackische Sedimente des Oberoligozäns und marinbrackische Sedimente des „Chatt-Aquitans?“ (HÖLZL, 1973: 157) eingelagert.

Nachstehende Foraminiferen-Fauna konnte aus den Mergeln gewonnen werden:

Textularia deperdita D'ORBIGNY
Spiroplectammina carinata (D'ORBIGNY)

Quinqueloculina cribrosa (EGGER)
Sinuoloculina consobrina (D'ORBIGNY)
Sigmoilinita sp.
Robulus inornatus (D'ORBIGNY)
Vaginulinopsis pseudodecorata HAGN
Amphicoryna badensis (D'ORBIGNY)
 „*Pyrulina*“ *fusiformis* (ROEMER)
Praeglobobulimina pyrula (D'ORBIGNY)
Caucasina coprolithoides (ANDREAE)
Stainforthia acuta (D'ORBIGNY)
Trifarina gracilis (REUSS)
Bolivina beyrichi carinata HANTKEN
Bolivina subalpina HOFMANN
Bolivina antiqua D'ORBIGNY
Porosonion granosum (D'ORBIGNY)
Elphidiella heteropora (EGGER)
Florilus communis (D'ORBIGNY)
Nonionella liebusi HAGN
Pullenia quinqueloba (REUSS)
Sphaeroidina bulloides D'ORBIGNY
Epistominella molassica (HAGN)
Alabamina budensis (HANTKEN)
Gyroidina soldanii D'ORBIGNY
Asterigerina praeplanorbis HAGN
Globigerina praebulloides BLOW
Globigerina officinalis SUBBOTINA
Globigerina angustiumbilitata BOLLI
Globigerina ouachitaensis HOWE & WALLACE
Globigerina ciperoensis BOLLI
Heterolepa dutemplei (D'ORBIGNY)
 „*Almaena*“ *osnabrugensis* (ROEMER)

Die Fauna steht derjeniger des Greimelberg-Horizontes im Prien-Gebiet am nächsten (vgl. a. HAGN, HOLZL & HRUBESCH,

1962: 434) und ist damit etwas älter als die Promberger Schichten des Typusgebietes (s. u.), mit denen die in Rede stehenden Gesteine öfter in Verbindung gebracht wurden.

4.6 DIE NONNENWALD-MULDE

Ähnlich wie bei der Marienstein-Haushamer Mulde sind die geologischen Verhältnisse dieser Molasse-Nordmulde durch den oberbayerischen Kohlebergbau genauer bekannt; er setzte hier um 1880 ein (GEISSLER, 1975: 81).

Die nördlich Penzberg gelegene Mulde ist lateral nur über wenige Kilometer verfolgbar und erreicht eine Ausstrichbreite von ca. 3 km. Dem nahezu saigeren, tektonisch verdoppelten Südflügel (WEITHOFER, 1918: Klapptaf. 2; PAULUS, 1963: Abb. 10) steht der mittelsteiles Einfallen zeigende Nordflügel gegenüber (s. a. ZOBELEIN, 1957: Abb. 1).

Die stratigraphische Abfolge sieht folgendermaßen aus: Über den höheren Cyrenen-Schichten folgen Unterer Glassand, Schwaiger Schichten, Oberer Glassand, Promberger Schichten, Nantesbuch-Sandstein und schließlich die Daser-Schichten. Um die Präzisierung der Stratigraphie und die Klärung der faziellen Verhältnisse des Gebietes haben sich vorwiegend WEITHOFER (1899; 1918; 1935) und ZOBELEIN (1957, 45 ff.) Verdienste erworben. Die Foraminiferen der Promberger Schichten wurden von LIEBUS (1903: 92 ff.) erstmals behandelt.

Neben den Proben, die ich obertage nördlich von Nantesbuch und nördlich des ehemaligen Weilers Fletzen nehmen konnte (s. Abb. 17), stand mir v. a. sehr reiches Probenmaterial aus dem Hauptquerschlag (1. Sohle) der Nonnenwald-Mulde zur Verfügung, das Dr. H. K. ZOBELEIN in den fünfziger Jahren gesammelt hatte (s. Abb. 18).

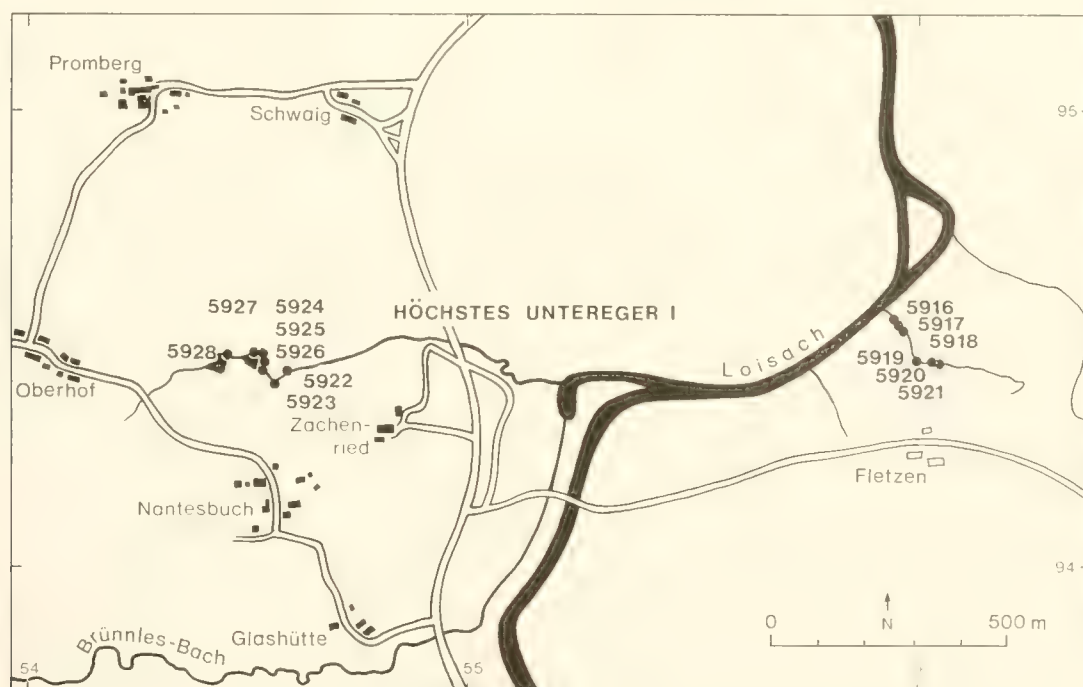


Abb. 17: Die Probenentnahmepunkte in den Promberger Schichten des Nordflügels der Nonnenwald-Mulde.

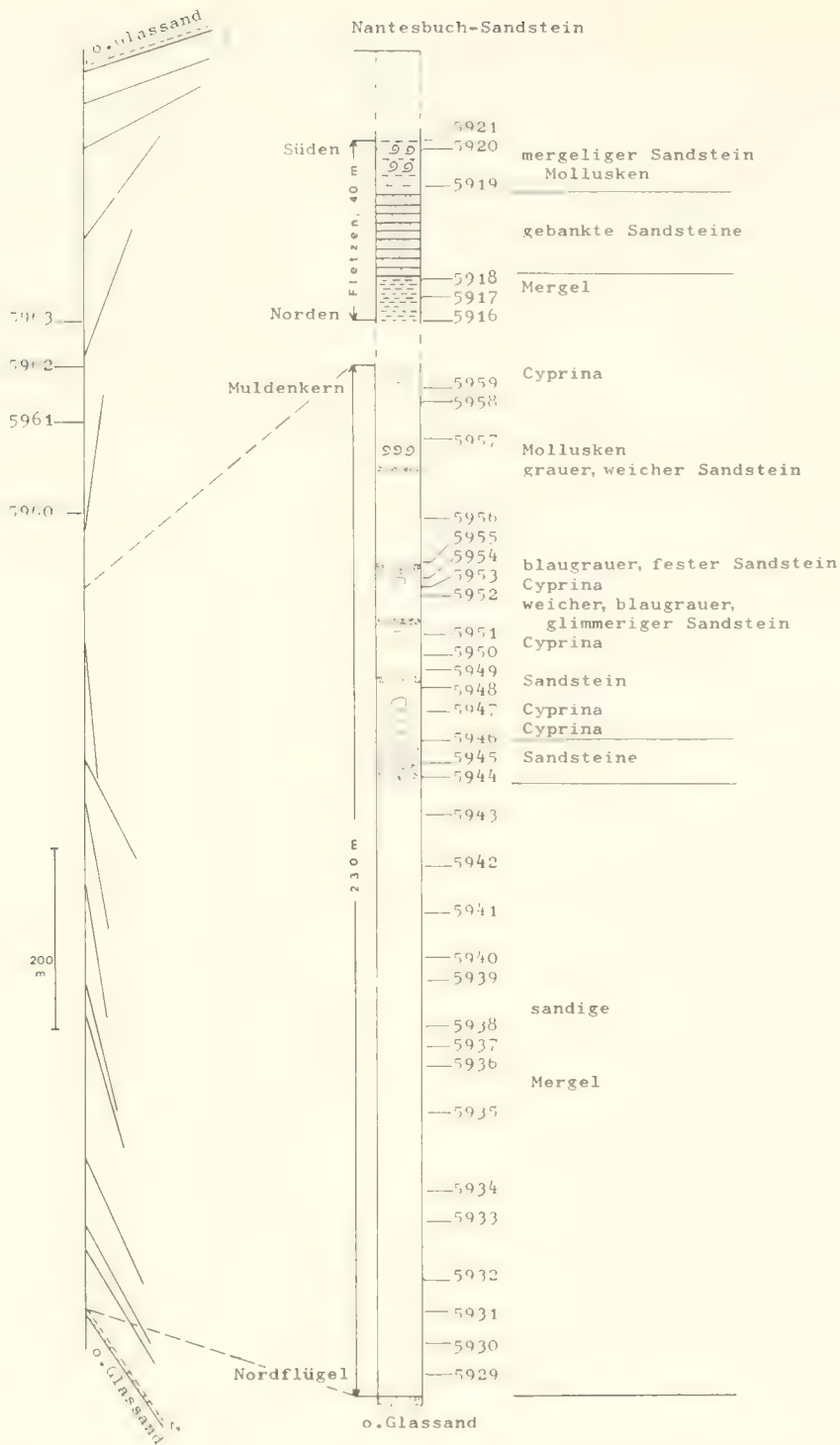


Abb. 18: Die Promberger Schichten des Typusgebietes: Querprofil durch die Nonnenwald-Mulde und Vertikalprofil (Hauptquerschlag/1. Sohle; Graben nördlich von Fletzen).

4.6.1 Untereger₁

4.6.1.1 Aufschlüsse, Lithologie und Lagerungsverhältnisse

Anhand der detaillierten Unterlagen Dipl.-Berging. v. AVANZINIS, die aus dem Jahr 1957 stammen, konnte das 230 m wahre Mächtigkeit umfassende Vertikalprofil entstehen, das die Promberger Schichten im Hauptquerschlag dar-

stellt (Abb. 18). Über dem Schichtglied des Oberen Glassandes, das als Leithorizont an der Basis der Promberger Schichten gilt (ZOBELIN, 1957: 46), folgen ungegliederte mehr oder weniger sandige Mergel, die gut die Hälfte des Profiles einnehmen. Der höhere Abschnitt enthält stärker sandige Lagen und nicht selten Horizonte mit Mollusken-Schalen; am häufigsten ist die Gattung *Cyprina* genannt.

Die Schichten des Nordflügels fallen im Grenzbereich Oberer Glassand/Promberger Schichten mit 35° nach Süden ein; dieser Wert verringert sich einigermaßen kontinuierlich auf 0° im Muldenkern.

Die Mikrofauna der Mergel im Graben nördlich Zachenried bei Nantesbuch entspricht weitgehend der des jüngeren Profiteils im Hauptquerschlag. Es handelt sich bei den oberste anstehenden Gesteinen um z. T. milde, z. T. splittige und härtere, bräunliche Mergel mit unterschiedlichem Sandgehalt. Nach ZÖBELEIN (1957: Abb. 1) gehören sie dem Nordflügel der Nonnenwald-Mulde an.

Ein stratigraphisch noch jüngerer Bereich ist im Graben nördlich Fletzen durch ein von Südosten in die Loisch mündendes Rinnsal angerissen (s. Abb. 17 u. 18). Sie gehören ebenfalls dem Nordflügel an und fallen flach nach Süden ein (25°). Der ältere Teil des kleinen Profils, das ca. 40 m wahrer Mächtigkeit umfaßt, enthält stückige, in frischem Zustand blaugraue, angewittert gelbbraune, sandarme Mergel. Darüber folgen im Dezimeter- und Zentimeterbereich gebankte Sandsteine, die im Hangenden wiederum von mergeligen, bläulichen bzw. bräunlich verwitternden Sandsteinen abgelöst werden, die lagenweise reich an Bivalven und Turmschnecken sind. Wenige Zehnermeter weiter im Hangenden wäre hier der Nantesbuchsandstein zu erwarten (s. a. ZÖBELEIN, 1957: 53).

Die Gesamtmächtigkeit der Promberger Schichten beträgt nach PAULUS (1963: 74; Abb. 10) knapp 300 m.

4.6.1.2 Die Foraminiferen-Fauna des Untereger₁

Ammodiscus cretaceus (REUSS)
Haplophragmoides suborbicularis (GRZYBOWSKI)
Textularia deperdita D'ORBIGNY
Spiroplectammina carinata (D'ORBIGNY)
Spiroplectammina pectinata (REUSS)
Karrerella hantkeniana CUSHMAN
Quinqueloculina ermanni BORNEMANN
Quinqueloculina cribrosa (EGGER)
Sigmoilinita tenuis (CZJZEK)
Sigmoilopsis colomi (GLAÇON & MAGNÉ)
Robulus cultratus MONTFORT
Robulus inornatus (D'ORBIGNY)
Robulus vortex (FICHEL & MOLL)
Lenticulina gerlachi (REUSS)
Vaginulinopsis pseudodecorata HAGN
Saracenaria arcuata (D'ORBIGNY)
Marginulina hantkeni BANDY
Marginulina similis D'ORBIGNY
Amphicoryna scalaris (BATSCH)
Amphicoryna badenensis (D'ORBIGNY)
Nodosaria hispida (SOLDANI)
Nodosaria pyrula semirugosa D'ORBIGNY
Nodosaria elegantissima (D'ORBIGNY)
Nodosaria ortenbursensis n. sp.
Nodosaria raphanistrum (LINNÉ)
Nodosaria bactridium REUSS
Nodosaria cf. *acuminata* HANTKEN
Flabellinella tenuissima (HANTKEN)
Palmula cf. *budensis* (HANTKEN)

Plectofrondicularia striata (HANTKEN)
Plectofrondicularia vaughani CUSHMAN
Lagena gracilicosta REUSS
Guttulina problema problema D'ORBIGNY
Guttulina problema frankei CUSHMAN & OZAWA
Globulina gibba D'ORBIGNY
„Pyrulina“ fusiformis (ROEMER)
Fissurina obtusa EGGER
Bulimina striata D'ORBIGNY
Praeglobobulimina pyrula (D'ORBIGNY)
Globobulimina bathyalis n. sp.
Virgulopsis tuberculata (EGGER)
Caucasina coprolithoides (ANDREAE)
Stainforthia acuta (D'ORBIGNY)
Fursenkoina mustoni (ANDREAE)
Virgulinella chalkophila (HAGN)
Uvigerina hantkeni CUSHMAN & EDWARDS
Uvigerina cichai n. sp.
Trifarina gracilis (REUSS)
Trifarina angulosa (WILLIAMSON)
Reussella spinulosa (REUSS)
Bolivina beyrichi carinata HANTKEN
Bolivina crenulata CUSHMAN
Bolivina crenulata CUSHMAN var. *trunensis* HOFMANN
Bolivina versatilis HOFMANN
Bolivina dilatata hyalina HOFMANN
Bolivina fastigia CUSHMAN
Bolivina antiqua D'ORBIGNY
Bolivina liebusi HOFMANN
Bolivina elongata HANTKEN
Bolivina tereta (CUSHMAN)
Bolivina oligocaenica SPANDEL
Stilostomella longiscata (D'ORBIGNY)
Stilostomella consobrina (D'ORBIGNY)
Stilostomella emaciata (REUSS)
Stilostomella scabra (REUSS)
Stilostomella adolphina (D'ORBIGNY)
Elphidium crispum (LINNÉ)
Porosononion granosum (D'ORBIGNY)
Elphidiella heteropora (EGGER)
Elphidiella minuta (REUSS)
Elphidiella cryptostoma (EGGER)
Elphidiella subcarinata (EGGER)
Florilus communis (D'ORBIGNY)
Nonionella liebusi HAGN
Pullenia bulloides (D'ORBIGNY)
Pullenia quinqueloba (REUSS)
Melonis pompilioides (FICHEL & MOLL)
Melonis affinis (REUSS)
Chilostomella czizeki REUSS
Allomorphina macrostoma KARRER
Globocassidulina crassa (D'ORBIGNY)
Globocassidulina oblonga (REUSS)
Sphaeroidina bulloides D'ORBIGNY
Eponides constans n. sp.
Valvulineria complanata (D'ORBIGNY)
Cancris subconicus (TERQUEM)
Epistominella molassica (HAGN)
Eoeponidella ampliportata n. sp.
Escornebovina orthorapha (EGGER)

Alabamina budensis (HANTKEN)
Gyroidina soldanii D'ORBIGNY
Gyroidina brockerti n. sp.
Gyroidina parva CUSHMAN & RENZ
Gyroidina eggeri WENGER
Siphonina reticulata (CZJZEK)
Nuttallides sp.
Ammonia propingua (REUSS)
Globigerina praebuloides BLOW
Globigerina utilisindex JENKINS & ORR
Globigerina tapuriensis BLOW & BANNER
Globigerina angustiumbilitata BOLLI
Globigerina ouachitaensis HOWE & WALLACE
Globigerina ciperoensis BOLLI
Globigerina ciperoensis BOLLI, aberrante Formen
Globigerinoides quadrilobatus primordius BLOW & BANNER
Globigerinita unicava (BOLLI, LOEBLICH & TAPPAN)
Globorotalia opima nana BOLLI
Globorotalia obesa BOLLI
Globorotalia cf. *obesa* BOLLI
Cibicides lobatulus (WALKER & JACOB)
Cibicidoides communis (ROEMER)
Cibicidoides ungerianus ungerianus (D'ORBIGNY)
Cibicidoides ungerianus filicosta (HAGN)
Cibicidoides pseudoungerianus (CUSHMAN)
Heterolepa dutemplei (D'ORBIGNY)
Hanzawaia asterizans (FICHTEL & MOLL)
Hanzawaia boueana (D'ORBIGNY)
 „*Almaena*“ *osnabrugensis* (ROEMER)

Alle untersuchten Proben enthielten eine marine Foraminiferen-Fauna. Zum Vergleich sei eine niedrig-diverse brackische Foraminiferen-Fauna aus den unterlagernden oberen Cyrenen-Schichten gegenübergestellt (Nonnenwaldschacht, Liegend-Flöz 29, Pr. E442):

Trifarina gracilis (REUSS)
Bolivina crenulata CUSHMAN var. *trunensis* HOFMANN
Porosonion granosum (D'ORBIGNY)
Elphidiella heteropora (EGGER)
Nonionella liebusi HAGN
Ammonia beccarii (LINNÉ)
Ammonia propingua (REUSS)
Cibicidoides communis (ROEMER)

Porosonion granosum und *Ammonia beccarii* sind ungleich häufiger als die anderen Arten.

4.6.1.3 Die Problematik der Altersstellung der Promberger Schichten des Typus-Gebietes

Die altersmäßige Einstufung der Promberger Schichten ist seit langem Gegenstand der wissenschaftlichen Diskussion (vgl. HAGN, 1967: 302).

Die älteren zwei Drittel des Promberger Schichtkomplexes können meiner Auffassung nach anhand von Foraminiferen altersmäßig dem Horizont der Rainer Mühle im Prien-Profil sowie dessen Äquivalenten des obersten Untereger₁ zugeordnet werden; folgende Argumente rechtfertigen diese Einstufung:

1. Die am Top dieser „basalen zwei Drittel“ der Promberger Schichten sehr häufig auftretenden Uvigerinen sind *Uvi-*

gerina hantkeni CUSHMAN & EDWARDS und *Uvigerina cichai* n. sp. Die Verbreitung von *U. hantkeni* umfaßt nach bisheriger Kenntnis Untereger₁ und ältere Zeitbereiche des Oligozäns. Ein *Uvigerina-cichai*-Horizont liegt auch im obersten Untereger₁ der Bohrung Ortenburg 1002 vor.

2. Die in den unteren Schichten noch auftretende *Bolivina terebra* CUSHMAN ist in ihrer stratigraphischen Reichweite auf das Untereger₁ begrenzt.
3. *Nodosaria ortenburgensis* n. sp. setzt im oberen Untereger₁ ein.

Globigerinoides quadrilobatus primordius BLOW & BANNER sichert auf jeden Fall „Oberoligozän oder Untermiozän“.

Weit kompliziertere Verhältnisse liegen bei den in natürlicher stratigraphischer Folge auflagernden höheren Promberger Schichten vor. Sie enthalten eine Foraminiferen-Fauna, die – verglichen mit den Faunen des Liegenden – wesentlich artenärmer ist und keinerlei neu einsetzende Elemente enthält. Nannoplankton-Untersuchungen, die Prof. Dr. E. MARTINI, Frankfurt, freundlicherweise an Proben aus dem Graben nördlich von Fletzen durchführte, ergaben folgendes Resultat (Brief v. 13. 12. 1984):

Pr. 5921 generell im Bereich NP 24/NP 25.

Pr. 5919 jünger als die Basis der NP 24; könnte bis zur Basis der NN 6 reichen.

Pr. 5918 generell im Bereich NP 24/NP 25.

Pr. 5916 NP 25.

Davon ist abzuleiten, daß auch die jüngsten von mir noch beprobten Promberger Schichten oligozänes Alter haben. Da der Horizont der Rainer Mühle wie auch der von Wildenwart bereits der NP 25 angehören (MARTINI, 1981: Abb. 2), muß die Frage, ob mit den Promberger Schichten des Typus-Gebietes auch noch Äquivalente des Untereger_{II} repräsentiert sind, vorerst wieder offen bleiben. Es muß in diesem Zusammenhang noch darauf verwiesen werden, daß PAULUS (1963: 75) die oberen zwei Drittel des Promberger Schichtpaketes in das „Aquitain“ einstuft und diesen Bereich für ein Äquivalent der Mergel von Wildenwart hielt. Dagegen läßt sich einwenden, daß die im Prien-Profil massenhaft auftretende Leitform *Uvigerina rudlingensis* PAPP in der Nonnenwald-Mulde nicht nachzuweisen ist. Die schlechte Korrelierbarkeit mit den östlich gelegenen Molasse-Profilen bzw. -Bohrungen hängt zweifellos mit der unterschiedlichen bathymetrischen Entwicklung beider Gebiete zusammen.

4.6.1.4 Die bathymetrische Entwicklung im Bereich der Nonnenwald-Mulde

Laut D. MÜLLER (1985: 43) weisen die Ostrakoden der Schwaiger Schichten auf ein brackisches Milieu mittlerer Salinität hin. An der Basis der Promberger Schichten liegen schon vollmarine Verhältnisse vor, wie die in diesem Niveau bereits hochdiversen Foraminiferen-Faunen zeigen (allein Pr. 5931 lieferte 70 Arten und Unterarten). Das Auftreten von *Heterolepa* als Häufigkeits-Genus läßt eine Ablagerungstiefe von mehr als 70 m für dieses Niveau realistisch erscheinen.

Mit dem Einsetzen sandigerer Sedimente im Mittelteil der Promberger Schichten verringert sich die Meerestiefe an-

scheinend auf weniger als 70 m, da die Gattung *Ammonia* vorübergehend als Häufigkeitsform neben *Robulus* und *Porosonion* auftritt. Es kann hierbei nicht ausgeschlossen werden, daß die Ammonien zusammen mit dem feinklastischen Material aus flacheren Bereichen eintransportiert wurden. Im Hangenden zeigt die Mikrofauna zunehmend größere Ablagerungstiefen, bis mit dem massenhaften Auftreten von berippten *Uvigerinen* 200 m überschritten werden und die maximale Eintiefung erreicht ist.

In der weiteren Entwicklung stellen sich allmählich wieder flachere Verhältnisse ein und unterhalb des Nantesbuch-Sandsteins, der nach ZÖBELEIN (1957: 55) auch noch in marinem Milieu entstanden ist, dominiert *Elphidium*, woraus auf eine Meeresbedeckung von weniger als 100 m in dem betreffenden Niveau geschlossen werden kann. Die Kohle-führenden Daser-Schichten zeigen schließlich erneut hyposalinare Bedingungen an.

Im großen und ganzen liegt also eine zyklische Entwicklung vor. Der Zeitpunkt der maximalen Eintiefung liegt noch im problemlos nachweisbaren Untereger₁.

4.7 DAS AMMERGEBIET

Die Ammer durchquert, aus dem Kalkalpin kommend, nordwestlich von Oberammergau den Flysch, das Ultrahel-

vetikum und die gefaltete Molasse. Gegenstand des Interesses waren in dieser Region die tieferoligozänen Schichtglieder des Südflügels der Murnauer, d. h. der hier südlichsten Molasse-Mulde: Deutenhausener Schichten und Tonmergel-Schichten.

Auf die ultrahelvetischen Unternogg-Schichten folgen nach Norden als hier älteste Molasse die Deutenhausener Schichten, dann die Tonmergel-Schichten, die Baustein-Schichten und im Muldenkern die Untere Süßwassermolasse als jüngstes Schichtglied. Der Südflügel der Murnauer Mulde ist an der Ammer leicht nach Norden überkippt; die Streichrichtung liegt bei etwas weniger als 90°.

Hinsichtlich der älteren Literatur des Gebietes sei speziell auf die Beschreibung des Ammer-Profiles durch GUMBEL (1861: 720 ff.) hingewiesen. RICHTER (1940: 3 ff.) führte den Begriff „Deutenhausener Schichten“ in die Literatur ein und stellte bereits fest, daß diese Formation nach Westen vermutlich bis in die Schweiz verfolgbar sei. WITT (1967) bearbeitete die Ostrakoden des Ammer-Profiles. Mit der Fazies der Deutenhausener Schichten setzten sich besonders ZEIL (1953), SCHUDER (1963) und FISCHER (1960; 1979) auseinander.

Die mikropaläontologisch bearbeiteten Proben stammen aus einem Graben SW des Haldemoosecks, 5,5 km westlich Altenau und aus dem Ammer-Profil selbst (s. Abb. 19).



Abb. 19: Die Probenentnahmepunkte im Ammergebiet.

4.7.1 Latdorf

Nach neuesten Nannoplankton-Untersuchungen (vgl. u.) umfaßt das Unteroligozän des Ammergebietes die gesamten Deutenhausener Schichten.

4.7.1.1 Aufschlüsse, Lithologie und Lagerungsverhältnisse

Ein älteres Niveau der Deutenhausener Schichten ist im steilen Graben SW des Haldemoosecks aufgeschlossen; es handelt sich vorwiegend um plattige, dunkle, fischschieferar-

tige Mergel, in die nach Norden hin zunehmend kalkig gebundene Sandsteine eingeschaltet sind. Im mittleren Abschnitt des ca. 250 m langen Aufschlusses enthalten die Sandsteinbänke oft massenhaft inkohlte, z. T. dezimetergroße Pflanzenreste; auch tritt hier nicht selten eine unregelmäßige wellige Internstruktur bei den Sandsteinbänken auf, die man als Wickelschichtung oder „convolute bedding“ ansprechen könnte. FISCHER (1979: 449) nannte den Schichtkomplex „Basismergel“ der Deutenhausener Schichten und verglich sie mit den Schönecker Fichschiefern des Traungebietes. Im Schlammrückstand sind auch häufig Fischreste enthalten.

Der südlichste Aufschluß der Deutenhausener Schichten des Ammer-Profiles liegt nördlich des Sägewerkes Altenau. Es handelt sich um Dezimeter mächtige, z. T. blättrige Sandsteinbänke in Wechsellagerung mit plattigen, sandigen Mergeln; mitunter treten nicht näher identifizierbare Wülste auf den Bankunterseiten auf.

Nordwestlich dieser Lokalität sind die leicht nach Norden überkippten Deutenhausener Schichten an der Ammer auf eine Distanz von 400 m hervorragend und fast lückenlos aufgeschlossen. Auch GUMBEL (1861: 721) war offenbar von dem „Felsenriff, über dessen terrassenförmig vorspringende Gesteinsköpfe die Ammer in prachtvollen Überfällen herabstürzt“ beeindruckt. Die flysch-artige Abfolge besteht i. w. aus einer Wechsellagerung von sandigen Mergeln und gradierten Sandsteinen; in vier Großzyklen nehmen die Sandsteinbänke anteilmäßig gegenüber den Mergeln zu, um jeweils mit einem nahezu reinen Sandsteinhorizont abzuschließen (vgl. HOFLE & KUHNERT, 1969: Beil. 1). Vorwiegend im nördlichen Profiltail sind die Mergel gebändert. An bezeichnenden Sedimentstrukturen beschrieb FISCHER (1979: 451 ff.) Strömungswülste, Schleifmarken, sedimentäre Gleitfaltung, „convolute bedding“ und Strömungsrippeln aus den Deutenhausener Schichten.

Entsprechend dem Vorgehen ZEIL's (1953: 106) rechne ich die nördlich der Einmündung der Halbammer folgenden, vorwiegend mergelig ausgebildeten Sedimente noch zu den Deutenhausener Schichten. Ab und zu sind in diesem ca. 150 m umfassenden Bereich gebänderter und plattiger Mergel noch schwache Sandsteinbänke eingeschaltet; im Mittelteil steht ein zwei Meter mächtiger Konglomerat- und Sandstein-Komplex an, dessen gut gerundete Gerölle vorwiegend aus Quarz und dunkelgrauem Dolomit bestehen.

Die gesamte Mächtigkeit der im Ammer-Profil aufgeschlossenen Deutenhausener Schichten beläuft sich auf ungefähr 600 m.

4.7.1.2 Die Foraminiferen-Fauna des Latdorfs

Verglichen mit den reichen Foraminiferen-Faunen der ostbayerischen Molasse enthalten die Mergel des Ammergebietes nur sehr dürtige Faunen. Vielfach sind die Schlammproben völlig fossilileer; nur einzelne Horizonte sind manchmal etwas reicher. So lieferte der Graben SW des Haldemoosecks neben vielen umgelagerten und anders erhaltenen älteren Formen folgende Arten bzw. eine Unterart:

Trifarina muralis (TERQUEM)
Bolivina beyrichi beyrichi REUSS
Bolivina aenariensisformis MYATLYUK
Globocassidulina oblonga (REUSS)
Asterigerina praeplanorbis HAGN
Globigerina praebulloides BLOW
Dentoglobigerina cf. galavisi (BERMUDEZ)
Globigerinita unicava (BOLLI, LOEBLICH & TAPPAN)
Globorotalia clemenciae (BERMUDEZ)
Heterolepa dutemplei (D'ORBIGNY)

In den Deutenhausener Schichten des Ammer-Profiles konnten nachstehende Arten bestimmt werden:

Spiroplectammina carinata (D'ORBIGNY)

Gyroidina brockerti n. sp.
Asterigerina praeplanorbis HAGN
Rotalia trochus ROEMER
Ammonia kiliani (ANDREAE)
Globigerina utilisindex JENKINS & ORR
Globigerina tapuriensis BLOW & BANNER
Globigerina sellii (BORSETTI)
Globigerina ampliapertura BOLLI
Globigerina euapertura JENKINS
Subbotina angiporoides (HORNIBROOK)
Cibicidoides pseudoungerianus (CUSHMAN)
Heterolepa dutemplei (D'ORBIGNY)

4.7.1.3 Die Altersstellung der Deutenhausener Schichten

Der verhältnismäßig hohe Anteil an Planktonen erinnert etwas an die fast rein planktonische Foraminiferen-Fauna der Schönecker Fische. Bemerkenswert ist weiterhin, daß *Asterigerina praeplanorbis* bereits auftritt, eine Art, die auch im Latdorf der Bohrung Ampfing 1 vorkommt. Das Aussterben von *Bolivina aenariensisformis* MYATLYUK wird in Ungarn zur Grenzziehung Latdorf/Rupel herangezogen (SZTRAKOS, 1979: 36 ff.). In der bayerischen Molasse ist die Art allerdings zu selten, um analog Aussagen treffen zu können.

Daß zumindest die älteren Anteile der Deutenhausener Schichten dem Unteroligozän angehören, wird bereits seit längerer Zeit angenommen (ZEIL, 1953: 109; FISCHER, 1979: 442). Präzisere Angaben konnten aber nicht gemacht werden. Auch die oben aufgelisteten spärlichen Foraminiferen-Faunen lassen keine genauere Einstufung zu. Nannoplankton-Untersuchungen, die Prof. Dr. E. MARTINI freundlicherweise durchführte, erzielten indes ein klares Ergebnis (Brief v. 13.12.1984): Demnach sind die gesamten Deutenhausener Schichten in die NP 21 zu stellen, die dem Stratotyp des Latdorfs entspricht (MARTINI, 1981: 350).

4.7.1.4 Interpretation der Fazies der Deutenhausener Schichten

Nachdem die Deutenhausener Schichten lange Zeit aufgrund ihrer Fossilführung als limnofluviatil, brackisch oder flachmarin aufgefaßt worden waren (z. B. GUMBEL, 1861: 730; ZOBELIN, 1952: 619; ZEIL, 1953: 109; WITT, 1967: 87) konnte FISCHER (1979: 443 ff.) die tiefermarine und turbiditische Natur der Deutenhausener Schichten recht klar vor Augen führen. Neben den für Turbiditserien typischen Gefügemerkmalen stellte er unvollständige BOUMA-Sequenzen fest, denen stets das pelagische und pelitische Intervall fehlt. Früher hatte es bereits KUENEN (1959: 1019) für wahrscheinlich gehalten, daß die Deutenhausener Schichten durch Trübestrome allerdings in brackischem Milieu zur Ablagerung gekommen sind.

Auf einen flyschartigen Ablagerungsvorgang bei der Entstehung der Deutenhausener Schichten hat auch SCHUDER (1963: 98) hingewiesen. Er schrieb der Formation ebenfalls – im Gegensatz zum Flysch – brackisch-marine Bildungsbedingungen zu. FISCHER (1979: 441 ff.) gibt als wahrscheinliche Meerestiefe indes mehr als 1000 m an; dieser Wert ist bemerkenswert hoch verglichen mit den sonstigen Verhältnissen in der Molasse.

4.7.2 Tonmergel-Schichten

Nach ZÖBELEIN (1962: Abb. 1) haben die Tonmergel-Schichten an der Ammer rupelisches Alter.

4.7.2.1 Aufschlüsse, Lithologie und Lagerungsverhältnisse

Die Tonmergel-Schichten sind an der Ammer in einer Mächtigkeit von 450 m aufgeschlossen. 200 m nördlich der derzeit jüngsten Aufschlüsse des rechten Ammerufers bilden konglomeratisch-sandige Baustein-Schichten und die nördlich anschließende Untere Bunte Molasse einen morphologisch herausragenden Härtling an der Flußenge Scheibum. Die lithologische Grenze Tonmergel-/Baustein-Schichten liegt nach ZÖBELEIN (1962: Abb. 1) schon knapp 100 m südlich der ältesten Konglomeratlage.

Bei den Tonmergel-Schichten handelt es sich um eine weitgehend monotone mergelig-sandige Serie. Auf die basalen grauen, splittrigen Mergel mit rostfarbenen Kluftflächen folgen dünnbankige, feinsandige Mergel; im Bereich des Ammerknies südlich von Achele stehen schalig absondernde, milde, dunkle Mergel an, die nach Norden zu von plattigen Mergeln abgelöst werden. Nördlich der Brücke am Kraftwerk enthalten die hier dünnbankigen harten Mergel bereits stärker sandige Lagen; auch Gleitmarken sind in diesem Niveau anzutreffen. Die jüngsten aufgeschlossenen Gesteine sind harte, im Dezimeterbereich gebankte sandige Mergel, die gelegentlich Schrägschichtung aufweisen.

Die Tonmergel-Schichten schließen sich in normalem stratigraphischem Verband nördlich an die Deutenhausener Schichten an. Auch die Tonmergel-Schichten lagern leicht nach Norden überkippt.

4.7.2.2 Foraminiferen-Fauna der Tonmergel-Schichten

Foraminiferen sind in der mergelig-sandigen Abfolge sehr selten und lassen kaum stratigraphische oder bathymetrische Schlußfolgerungen zu:

Ammodiscus grzybowski EMILIANI
Glomospira charoides (JONES & PARKER)
Trifarina gracilis (REUSS)
Bolivina vaceki bavarica LUHR
Asterigerina praeplanorbis HAGN
Globigerina praebulloides BLOW
Dentoglobigerina cf. galavisi (BERMÚDEZ)
Globorotalia opima nana BOLLI
Cibicidoides pseudoungerianus (CUSHMAN)

Konnte FISCHER (1979: 443) für die Seltenheit autochthoner Faunen in den Deutenhausener Schichten noch das Fehlen der Intervalle E und F in den Turbiditabfolgen als Erklärung angeben, so müssen bei der Bildung der noch faunenärmeren Tonmergel-Schichten extrem lebensfeindliche Bedingungen geherrscht haben, zieht man die nicht ausschließbare Möglichkeit diagenetischer Vernichtung ehemals vorhandener Fossilien außer Betracht.

4.8 DIE BOHRUNG AMPFING 1

Die Aufschlußbohrung Ampfing 1 wurde 1953 nach mehrjähriger Vorbereitung mittels Reflexionsseismik auf der zum Südtail der Vorland-Molasse gehörigen Struktur Ampfing begonnen (HEERMANN, 1954: 17). Die Bohrlokation liegt zwei Kilometer südlich des Ortes Ampfing bei Mühlendorf/Obb.

Nachdem Quartär und Neogen durchsunken waren, durchteufte die Bohrung eine mehr als 800 m mächtige, i. w. komplette Schichtenfolge des Oligozäns, wonach noch transgressiv auf Oberkreide lagernde Gesteine des Obereozäns als normalstratigraphisch Liegendes folgten. Die fazielle Entwicklung im Ampfinger Gebiet gleicht vorwiegend derjenigen des 45 km südlich gelegenen Prien-Profiles, doch zeigt sich auch speziell im Grenzbereich Rupel/Eger eine Parallele zu den weiter nordöstlich abgeteufte Ortenburg-Bohrungen. Zwischen dem Ampfinger Gebiet und dem Gebiet der Ortenburg-Bohrungen liegt allerdings das Landshut-Neuöttinger Hoch, eine ehemalige Aufragung des varistischen Untergrundes, dessen Achse herzynisch streicht und nach Südosten hin abtaucht (HEERMANN, 1954: 11). Die Schwelle dürfte aber an der Wende von Mittel- zu Oberoligozän ihre Wirksamkeit als trennendes paläogeographisches Element weitgehend verloren haben.

Abb. 20 gibt die jeweilige Bohrteufe des untersuchten Kernmaterials wieder.

4.8.1 Latdorf

4.8.1.1 Lithologie

Die ältesten Proben liegen mir aus dem ca. 35 m mächtigen Lithothamnienkalk vor. Nach HEERMANN (1954: 17) dürften auch noch die unterlagernden geringmächtigen Kalksandsteine im Ampfinger Gebiet zum Latdorf zählen (vgl. hierzu auch HAGN, 1960: 69 ff.).

Bohrkerne des Lithothamnienkalkes sind weiß gefleckt und zeigen im Anschliff Rotalgenknollen in grüngrauem, feinkörnigem Bindemittel. Der Dünnschliff (G3993 a/85) läßt erkennen, daß häufig Bryozoenbruchstücke von Rotalgen umkrustet sind. An Foraminiferen sind nicht näher bestimmbare Vertreter der Gattung *Textularia* sowie Milioliden und Nummuliten beobachtbar. Auch rundliche Echinodermenglieder kommen vor. Bei der Grundmasse handelt es sich vorwiegend um Mikrit, der stellenweise durch Sammelkristallisation zur Karbonatsilt vergroßert ist.

Bei dem im Hangenden folgenden Schichtglied der sogenannten Fischschiefer handelt es sich von unten nach oben um gebänderten Mergelkalk, glimmerstaubigen, mergeligen, schwach sandigen Kalk, plattigen Mergelkalk und schließlich um schwarze, blättrige Tonschiefer. Die Mächtigkeit der Fischschiefer beträgt 25 m. Wie noch gezeigt wird, liegt zwischen den Fischschiefern und dem überlagernden Hellen Mergelkalk eine stratigraphische Schichtlücke.

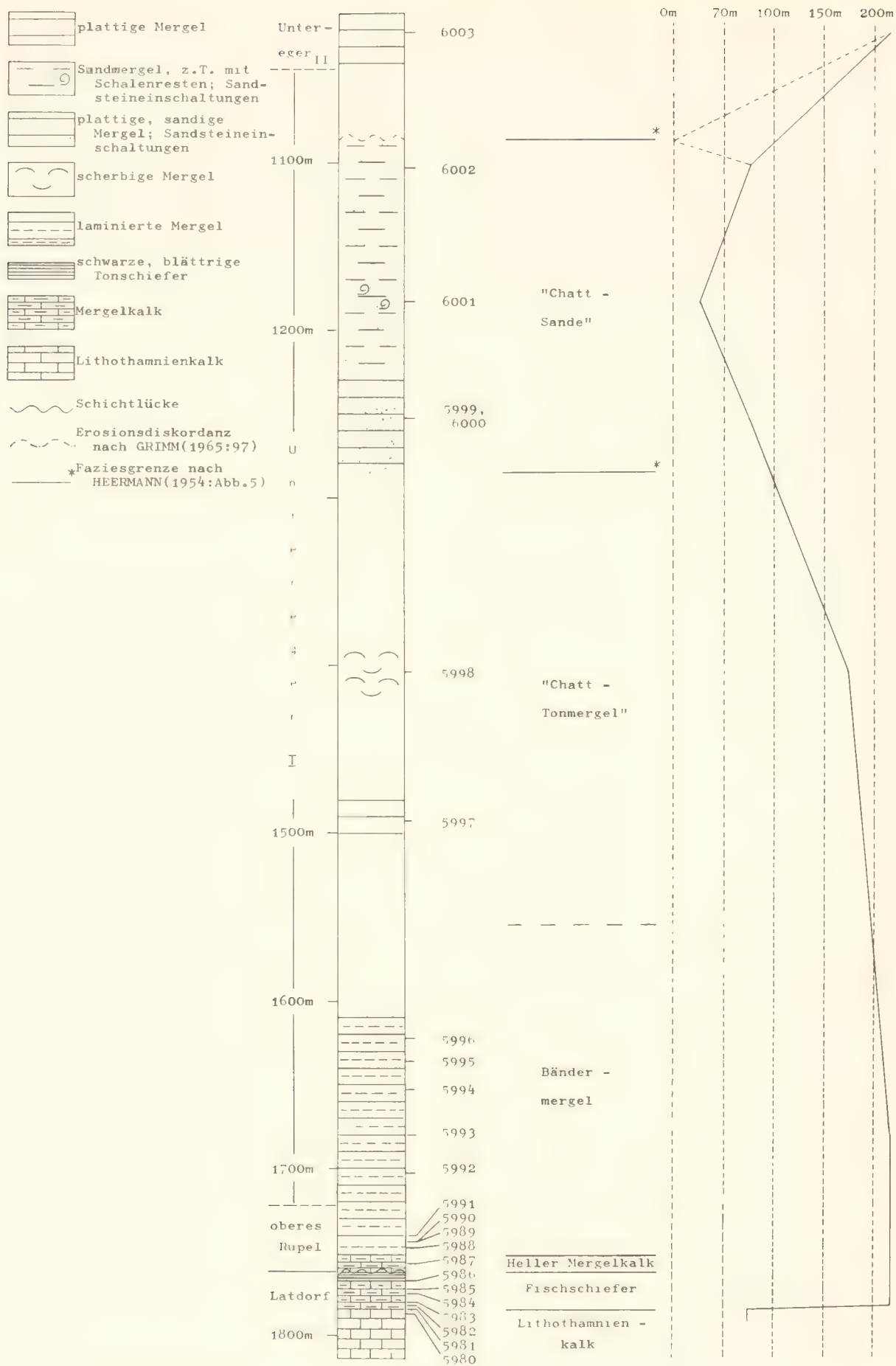


Abb. 20: Das Profil der Bohrung Ampfing 1 und die bathymetrische Entwicklung südwestlich des Landshut-Neuöttinger Hochs.

4.8.1.2 Die Foraminiferen-Fauna des Latdorfs

Spiroplectammina carinata (D'ORBIGNY)
Quinqueloculina spp.
?Pyrgo spp.
Robulus cf. *depauperatus* (REUSS)
Amphicoryna badenensis (D'ORBIGNY)
Globulina muensteri (REUSS)
Fissurina orbignyana SEGUENZA
Bulimina striata D'ORBIGNY
Bulimina sculptilis CUSHMAN
Virgulopsis tuberculata (EGGER)
Caucasina coprolithoides (ANDREAE)
Uvigerina hantkeni CUSHMAN & EDWARDS
Trifarina gracilis (REUSS)
Melonis affinis (REUSS)
Globocassidulina oblonga (REUSS)
Cancris subconicus (TERQUEM)
Alabamina budensis (HANTKEN)
Gyroidina soldanii D'ORBIGNY
Asterigerina praeplanorbis HAGN
Nummulites bouillei DE LA HARPE
Globigerina praebulloides BLOW
Globigerina officinalis SUBBOTINA
Globigerina tapuriensis BLOW & BANNER
Globigerina angustiumbilitata BOLLI
Globigerina ciperoensis BOLLI
Subbotina angiporoides (HORNIBROOK)
Globorotalia opima nana BOLLI
Globorotalia clemenciae (BERMÚDEZ)
Cibicides lobatulus (WALKER & JACOB)
Cibicidoides communis (ROEMER)
Cibicidoides pseudoungerianus (CUSHMAN)
Heterolepa dutemplei (D'ORBIGNY)
Hanzawaia asterizans (FICHTEL & MOLL)
Hanzawaia boueana (D'ORBIGNY)

Die Faunenzusammensetzung zeigt bereits eindeutig oligozänen Charakter. Da einerseits *Bulimina sculptilis* CUSHMAN noch auftritt und andererseits auf Eozän hinweisende Elemente, wie etwa Discocyclinen, bereits fehlen, ist die Einstufung in das Unteroligozän gesichert. *Nummulites bouillei* DE LA HARPE tritt in glaukonitisch-mergeligen Zwischenlagen des Lithothamnienkalkes gesteinsbildend auf.

4.8.2 Oberes Rupel

4.8.2.1 Lithologie

Die Mächtigkeit des auf die Fischschiefer folgenden Hellen Mergelkalkes liegt bei nur 10 m. Das Schichtglied wird – wie der Name bereits sagt – vorwiegend von plattigem Mergelkalk und zurücktretend von grauen Mergelinschaltungen aufgebaut.

Die Mächtigkeit des rupelischen Anteils der Bänder-Mergel kann nicht angegeben werden, da die Rupel/Eger-Grenze in einen mikrofossilereen Horizont fällt; die Mächtigkeit kann minimal 10 und maximal 50 m betragen. In Abb. 20 wurde das arithmetische Mittel eingetragen. Es handelt sich um plattige oder blättrige, meist feinlamierte Mergel.

4.8.2.2 Die Foraminiferen-Fauna des oberen Rupels

Cyclammina acutidorsata (HANTKEN)
Textularia agglutinans D'ORBIGNY
Spiroplectammina carinata (D'ORBIGNY)
Robulus inornatus (D'ORBIGNY)
Vaginulinopsis gladius (PHILIPPI)
Saracenaria arcuata (D'ORBIGNY)
Amphicoryna badenensis (D'ORBIGNY)
Amphicoryna imperfectecostata (SILVESTRI)
Plectofrondicularia cf. *trilineata* CUSHMAN
Lagena gracilicosta REUSS
Guttulina praelonga (EGGER)
Globulina gibba D'ORBIGNY
„Pyulina“ fusiformis (ROEMER)
Praeglobobulimina pyrula (D'ORBIGNY)
Virgulopsis tuberculata (EGGER)
Caucasina schischkinskayae (SAMOILOVA)
Caucasina coprolithoides (ANDREAE)
Uvigerina hantkeni CUSHMAN & EDWARDS
Trifarina gracilis (REUSS)
Bolivina dilatata hyalina HOFMANN
Bolivina elongata HANTKEN
Globocassidulina oblonga (REUSS)
Sphaeroidina bulloides D'ORBIGNY
Valvulineria complanata (D'ORBIGNY)
Cancris subconicus (TERQUEM)
Globigerina praebulloides BLOW
Globigerina officinalis SUBBOTINA
Globigerina utilisindex JENKINS & ORR
Globigerina tapuriensis BLOW & BANNER
Globorotalia opima nana BOLLI
Cibicidoides communis (ROEMER)
Cibicidoides pseudoungerianus (CUSHMAN)
Heterolepa dutemplei (D'ORBIGNY)

Eine für das untere Rupel typische Vergesellschaftung konnte oberhalb der Latdorf-Fischschiefer nicht beobachtet werden. Auch enthält das Plankton keinerlei Hinweis darauf, daß unteres Rupel vorliegt. Es kann daher geschlossen werden, daß die älteren Anteile des Mitteloligozäns in der Bohrung fehlen. Die ungewöhnlich geringe Mächtigkeit des Rupels findet damit eine Erklärung. C. MÜLLER (1970: 110) konnte in der weiter östlich abgeteuften Bohrung Füssing zwischen den Fischschiefern und dem Hellen Mergelkalk ebenfalls eine Schichtlücke feststellen, die mindestens die Nannoplankton-Zone 22 umfaßt.

4.8.3 Untereger₁

4.8.3.1 Lithologie

Der Zeitbereich des Untereger₁ ist durch ungleich mächtigere Sedimente vertreten als alle anderen Zeitbereiche. Der Minimalwert liegt bei 600 m, der Maximalwert bei 720 m Mächtigkeit. Auch die Hangendgrenze zum Untereger₁₁ läßt sich nicht exakt festlegen, da der Probenabstand in diesem Abschnitt sehr groß ist. Lamierte Bändermergel, die sich von den unterlagernden rupelischen Bändermergeln nicht unterscheiden, nehmen den basalen Teil der Abfolge ein. Hinsichtlich der Gesteinsausbildung ist eine Analogie zu den jen-

seits des Landshut-Neuöttinger Hochs abgeteufte Bohrungen Ortenburg unverkennbar, wo sich die Bändermergel ebenfalls in einen mittel- und einen oberoligozänen Anteil gliedern lassen (s. HAGN, 1955: 331 ff.). Es müssen weitgehend einheitliche Sedimentationsbedingungen für beide Gebiete im betreffenden Zeitbereich angenommen werden.

Die nächstjüngeren Gesteine, die HEERMANN (1954: Abb. 5) als „Chatt-Tonmergel“ bezeichnete, liegen in Form von grüngrauen plattigen und scherbigen Mergeln vor. Der Begriff „Rupel-Tonmergel“ entfällt, da die Rupel/Eger-Grenze meiner Ansicht nach tiefer liegt als bisher angenommen.

Etwa das obere Drittel der Profilsäule nehmen stärker sandige Sedimente ein, die in der Literatur als „Chatt-Sande“ bezeichnet werden (vgl. GRIMM, 1965: 77; M. MÜLLER, 1978a: 63). Bei den vorliegenden Proben handelte es sich um glimmerstaubige graue Sandmergel, die z. T. zertrümmerte Mollusken-Schalen führten. Auch enthält die Schichtenfolge in mehreren Niveaux kalkig gebundene Sandsteine (M. MÜLLER, 1978a: 64). Nach Osten zu keilen die „Chatt-Sande“ aus; dort werden sie zunehmend durch tonige Sedimente ersetzt (M. MÜLLER, 1978a: 65). Laut dem Diagramm von HEERMANN (1954: Abb. 5) sind die Sande in der Bohrung Ampfing 1 200 m mächtig.

4.8.3.2 Die Foraminiferen-Fauna des Unteregerj

Rhabdammina discreta BRADY
Bathysiphon filiformis SARS
Miliammina paleocenica KIESEI
Haplophragmoides suborbicularis (GRZYBOWSKI)
Cyclammina acutidorsata (HANTKEN)
Cyclammina obesa CUSHMAN & LAIMING
Budashevaella multicamerata (VOLOSHINOVA)
Textularia agglutinans D'ORBIGNY
Textularia deperdita D'ORBIGNY
Spiroplectammina carinata (D'ORBIGNY)
Vulvulina spinosa CUSHMAN
Karrerella siphonella exilis HAGN
Karrerella hantkeniana CUSHMAN
Karrerella postsiphonella (SPANDEL)
Quinqueloculina cribrosa (EGGER)
Quinqueloculina haueriana D'ORBIGNY
Sigmoilinita tenuis (CZJZEK)
Robulus cultratus MONTFORT
Robulus inornatus (D'ORBIGNY)
Robulus cf. depauperatus (REUSS)
Planularia budensis (HANTKEN)
Planularia kubinyi (HANTKEN)
Lenticulina gerlachi (REUSS)
Astacolus minimus (HANTKEN)
Vaginulinopsis pseudodecorata HAGN
Vaginulinopsis tenuis (BORNEMANN)
Saracenaria arcuata (D'ORBIGNY)
Marginulina hantkeni BANDY
Marginulina similis D'ORBIGNY
Amphicoryna badenensis (D'ORBIGNY)
Nodosaria hispida (SOLDANI)
Nodosaria elegantissima (D'ORBIGNY)
Nodosaria bactridium REUSS
Nodosaria cf. acuminata HANTKEN

Plectofrondicularia striata (HANTKEN)
Amphimorphina haueriana NEUGEBOREN
Guttulina praelonga (EGGER)
Globulina gibba D'ORBIGNY
„Pyrulina“ fusiformis (ROEMER)
Glandulina dimorpha (BORNEMANN)
Bulimina striata D'ORBIGNY
Bulimina arndti HAGN
Praeglobobulimina pyrula (D'ORBIGNY)
Globobulimina bathyalis n. sp.
Caucasina oligocaenica KHALILOV
Caucasina schischkinskayae (SAMOILOVA)
Caucasina coprolithoides (ANDREAE)
Stainforthia acuta (D'ORBIGNY)
Fursenkoina mustoni (ANDREAE)
Coryphostoma sp.
Uvigerina hantkeni CUSHMAN & EDWARDS
Trifarina gracilis (REUSS)
Trifarina angulosa (WILLIAMSON)
Bolivina beyrichi beyrichi REUSS
Bolivina beyrichi carinata HANTKEN
Bolivina crenulata CUSHMAN
Bolivina dilatata hyalina HOIMANN
Bolivina reticulata HANTKEN
Bolivina elongata HANTKEN
Rectobolivina zsigmondyi (HANTKEN)
Stilostomella longiscata (D'ORBIGNY)
Stilostomella consobrina (D'ORBIGNY)
Stilostomella emaciata (REUSS)
Stilostomella scabra (REUSS)
Porosonion granosum (D'ORBIGNY)
Elphidiella heteropora (EGGER)
Elphidiella subnodosa (ROEMER)
Florilus communis (D'ORBIGNY)
Nonionella liebusi HAGN
Pullenia bulloides (D'ORBIGNY)
Pullenia quinqueloba (REUSS)
Protelphidium sp.
Chilostomella czizeki REUSS
Globocassidulina oblonga (REUSS)
Cassidulinoides bodeni HAGN
Sphaeroidina bulloides D'ORBIGNY
Eponides constans n. sp.
Valvulinaria complanata (D'ORBIGNY)
Valvulinaria petrolei (ANDREAE)
Cancris auriculus (FICHEL & MOLL)
Cancris subconicus (TERQUEM)
Epistominella molassica (HAGN)
Alabamina budensis (HANTKEN)
Oridorsalis umbonatus (REUSS)
Gyroidina soldanii D'ORBIGNY
Gyroidina parva CUSHMAN & RENZ
Nuttallides sp.
Ammonia propingua (REUSS)
Pararotalia canui (CUSHMAN)
Globigerina praebulloides BLOW
Globigerina officinalis SUBBOTINA
Globigerina utilisindex JENKINS & ORR
Globigerina tapuriensis BLOW & BANNER
Globigerina labiacrassata JENKINS

Globigerina angustiumbilitata BOLLI
Globigerina ouachitaensis HOWE & WALLACE
Globigerina ciperoensis BOLLI
Globigerina ciperoensis BOLLI, aberrante Formen
Globigerinoides quadrilobatus primordius BLOW & BANNER
Subbotina angiporoides (HORNIBROOK)
?Dentoglobigerina winkleri (BERMÚDEZ)
Globigerinita unicava (BOLLI, LOEBLICH & TAPPAN)
Globorotalia opima nana BOLLI
Globorotalia clemenciae (BERMÚDEZ)
Cibicides lobatulus (WALKER & JACOB)
Cibicidoides communis (ROEMER)
Cibicidoides ungerianus filicosta (HAGN)
Cibicidoides pseudoungerianus (CUSHMAN)
Heterolepa dutemplei (D'ORBIGNY)
Planulina costata (HANTKEN)
Hanzawaia boueana (D'ORBIGNY)

Verdickte Suturen aufweisende Vertreter von *Bolivina beyrichi* REUSS, die HOFMANN (1967: 138) aus dem „Chatt“ beschrieb, kommen auch in Ampfing im tieferen Teil des sandig entwickelten Untereger_I vor.

4.8.3.3 Die Rupel/Eger-Grenzziehung im Ampfinger Gebiet

Mit dem Erstauftreten von *Globigerinoides quadrilobatus primordius* BLOW & BANNER innerhalb der Bändermergel ist eine teilweise Zugehörigkeit dieser Formation zum Untereger gesichert. Weitere für das Untereger in Bayern typische oder bisher hier nur in diesem Zeitbereich nachgewiesene Faunenelemente liegen mit aberranten Formen von *Globigerina ciperoensis* BOLLI und *Globigerina labiacrassata* JENKINS bereits an der Basis des Unteregers vor. Es sei noch erwähnt, daß *Globorotalia opima nana* BOLLI in Ampfing ebenso wie auch im Traun-Profil ein Häufigkeitsmaximum an der Basis des Unteregers zeigt (vgl. Abb. 2).

Die Rupel/Eger-Grenze wurde bisher innerhalb der den Bändermergeln auflagernden Tonmergel vermutet und aus praktischen Gründen „an einer markanten Diagrammzacke placiert“ (M. MÜLLER, 1978a: 61).

4.8.4 Untereger_{II}

Oberhalb der „Chatt-Sande“ setzen erneut mergelige, sandarme Sedimente ein. Während mir nur eine Probe des Untereger_{II} vorliegt – es wurde in diesem Bereich nur alle 80 m gekernt –, konnte OSCHMANN auch Äquivalente des wenig älteren Horizontes der Rainer Mühle im Ampfinger Gebiet nachweisen (s. Fossilliste bei M. MÜLLER, 1978a: 67).

4.8.4.1 Die Foraminiferen-Fauna des Untereger_{II}

Ammodiscus cretaceus (REUSS)
Haplophragmoides suborbicularis (GRZYBOWSKI)
Cyclammina acutidorsata (HANTKEN)
Robulus inornatus (D'ORBIGNY)
Planularia moravica (KARRER)
Marginulina hantkeni BANDY
Nodosaria pyrula semirugosa D'ORBIGNY
Lagena laevis (MONTAGU)
„Pyrulina“ fusiformis (ROEMER)

Praeglobobulimina pyrula (D'ORBIGNY)
Caucasina coprolithoides (ANDREAE)
Stainforthia acuta (D'ORBIGNY)
Uvigerina rudlingensis PAPP
Bolivina antiqua D'ORBIGNY
Florilus communis (D'ORBIGNY)
Chilostomella czizeki REUSS
Alabamina budensis (HANTKEN)
Gyroidina soldanii D'ORBIGNY
Globigerina praebulloidis BLOW
Globigerina angustiumbilitata BOLLI
Globigerina ciperoensis BOLLI, aberrante Formen
Globorotalia opima nana BOLLI
Cibicidoides pseudoungerianus (CUSHMAN)

4.8.5 Die bathymetrische Entwicklung des Ampfinger Gebietes

Die zeitliche Veränderung der Meerestiefe während des Oligozäns kann im Ampfinger Gebiet als eineinhalbfacher Zyklus aufgefaßt werden (s. Abb. 20): Nach anfänglichen flachneritischen Verhältnissen erfolgte eine rasche Eintiefung des Meeresbodens; später ist wiederum eine sukzessive (relative) Hebung des Untergrundes zu verzeichnen, bis zumindest flachneritische und teils brackische Bedingungen herrschen. Am Ende der Entwicklung vollzieht sich erneut rasche Absenkung in den tiefermarinen Bereich.

Im Latdorf deutet das gesteinsbildende Vorkommen von *Numulites bouillei* DE LA HARPE im höheren Abschnitt des Lithothamnienkalkes auf ein noch flachneritisches Milieu hin. So bezeichnet ARNI (1965: Abb. 2) *N. bouillei* als neben anderen Großforaminiferen charakteristischen Bewohner litoraler Nummulitenbänke des Eozäns (im Faziesmodell ARNIS tritt *N. bouillei* speziell in der „avant-banc“ auf, einer schmalen Fazieszone auf der dem offenen Meer zugewandten Seite einer Nummulitenbank).

Die kaum aufgearbeiteten Lithothamnienknollen und die vorwiegend sehr feinkörnige Matrix lassen zudem auf gut durchlichtetes Wasser und eine niedrige Wasserenergie schließen. Auch im basalen Teil der kalkig-mergelig ausgebildeten Fischschiefer tritt *Quinqueloculina* noch als häufiges Genus auf, was ebenfalls noch auf eine Wassertiefe von weniger als 100 m hinweist.

Innerhalb der geringmächtigen Fischschiefer-Formation ist oberhalb davon ein abrupter Wechsel in der Faunenzusammensetzung zu verzeichnen und berippte Uvigerinen bilden sodann das häufigste Element; der Ablagerungsraum gehörte nunmehr dem oberen Bathyal an. Daß sich diese Veränderung dermaßen ruckartig zu vollziehen scheint, kann durch Mangelsedimentation, die wohl für die Fischschiefer-Fazies typisch ist, erklärt werden.

Oberbathyale Meerestiefen hielten bis in das ältere Untereger_I an. Als bathymetrisch bedeutsame Häufigkeitsgenera sind neben den Uvigerinen die Gattungen *Cancris* und *Cyclammina* vorhanden. Die Schichtlücke zwischen Latdorf und Rupel ist aller Wahrscheinlichkeit nach submarin durch Abtragung oder eine Sedimentationsunterbrechung entstanden. Zumindest erbringt die Faunenzusammensetzung keinerlei Hinweis auf eine Oszillation des Meeresbodens mit

Hebung, subaerischer Exposition und Abtragung, sowie erneuter Senkung des Untergrundes.

Mit dem Ausklingen der Bändermergel-Fazies im tieferen Untereger_I beginnt eine langdauernde Phase der allmählichen Reduktion der Wassertiefe. Die Tieferwasseranzeiger werden sukzessive durch Bewohner immer flacheren Wassers ersetzt. Am Ende sprechen im Bereich der „Chatt-Sande“ *Elphidiella* und dann *Ammonia* für Wassertiefen von weniger als 100 m bzw. weniger als ca. 70 m. OSCHMANN (s. M. MÜLLER, 1978a: 64) konnte hier sogar *Polymesoda convexa* (BRONGNIART), ein älteres Synonym von *Cyrena semistriata* DESHAYES, beobachten – ein Umstand, der an zeitweilige Verbrackung denken läßt. Die Bivalvenart tritt in den oberbayerischen brackischen „Cyrenen“-Schichten oft massenhaft auf. Allerdings ermittelte HÖLZL (1962: 68) die Spezies „räumlich lokalisiert“ auch in Vergesellschaftungen mit marinen Arten.

An der Oberkante der ostbayerischen „Chatt-Sande“ stellte GRIMM (1965: 79; 90), dem es gelang, die Sande aufgrund von Schwermineraluntersuchungen zu gliedern, ein Erosionsrelief mit Höhenunterschieden von bis zu 30 m fest, welches von den hangenden Tonmergeln ausgefüllt wird. Dies führte zu der Annahme, daß der ostbayerische Meeresraum nach der Ablagerung der Sande trocken fiel, so daß sich im folgenden dieses Erosionsrelief bilden konnte (GRIMM, 1965: 97).

Anhand der Foraminiferen-Fauna ließ sich indes eine derartige Entwicklung nicht nachvollziehen. Nach meinen Untersuchungen scheint sich im Bereich der jüngsten „Chatt-

Sande“ eher eine erneute Eintiefung des Meeresbodens anzukündigen, da in diesem Niveau spiegelbildlich zu den Verhältnissen des Liegenden wiederum die Gattung *Elphidiella* bei gleichzeitigem Zurücktreten von *Ammonia* dominiert. Allerdings muß eingeräumt werden, daß aufgrund der geringen Probendichte Details nicht erfaßt werden konnten.

Im Gebiet der weiter nordöstlich gelegenen Bohrung Ortenburg 1001, in der im betreffenden Zeitbereich ebenfalls eine Schichtlücke vorliegt, kann keinesfalls eine subaerische Exposition angenommen werden: Hier kam die gesamte vorwiegend mergelig entwickelte Schichtenfolge des Unteregers i. w. in oberbathyalen Meerestiefen zur Ablagerung (vgl. Abschnitt 4.9.4); speziell im Bereich unterhalb und oberhalb des Hiatus ist dies gut dokumentiert. Das Ausfallen der Sedimente ist am einfachsten durch submarine Erosion erklärbar.

Im Ampfinger Gebiet waren spätestens im Untereger_{II} ebenfalls oberbathyale Tiefen erreicht, wie die Tieferwasser-Fauna zeigt, die durch *Uvigerina*, *Cyclammina*, *Chilostomella* und *Bathysiphon* charakterisiert ist.

4.9 DIE BOHRUNGEN ORTENBURG

Die Lokationen der Bohrungen Ortenburg 1001 bis 1003 beschreiben auf der Karte ein Dreieck von ca. 20 km Kantentlänge, welches zwischen dem Landshut-Neuöttinger Hoch im Südwesten und dem Kristallinmassiv des Bayerischen Waldes im Nordosten liegt. Bei allen drei Bohrungen ist gün-

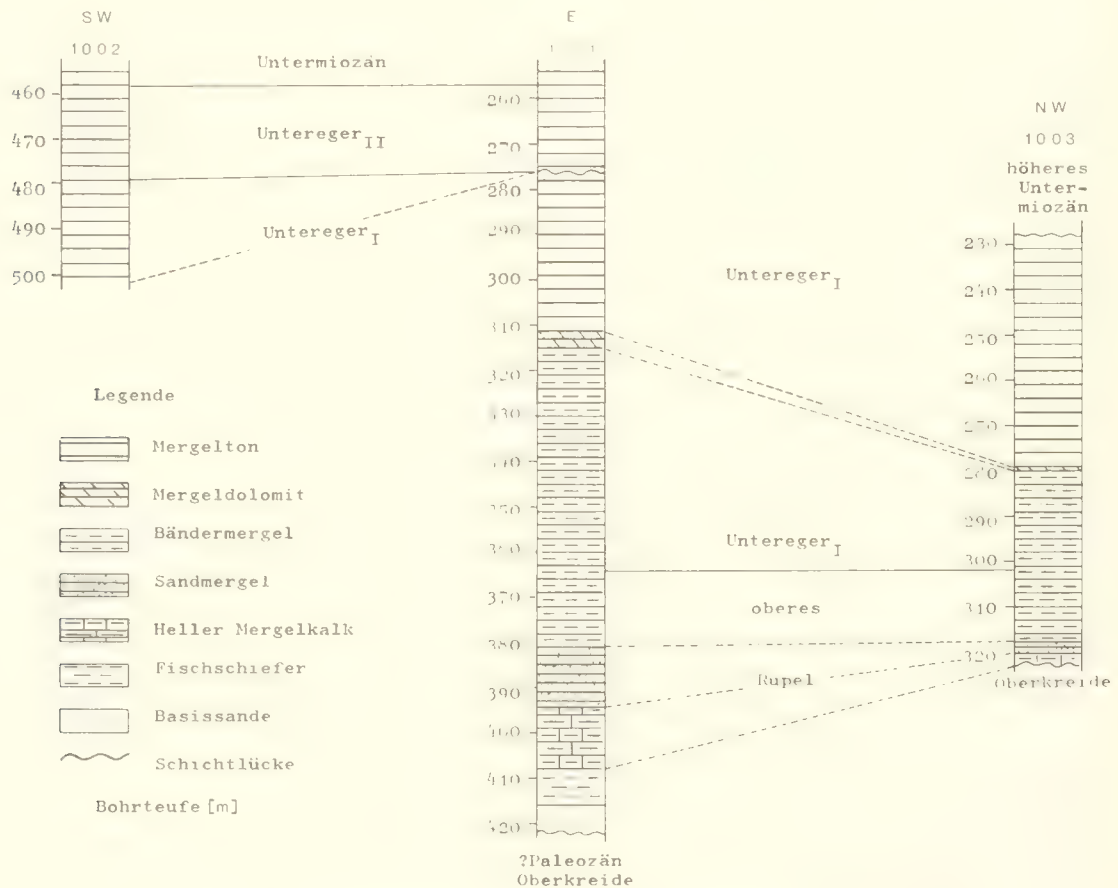


Abb. 21: Das Oligozän der Bohrungen Ortenburg (nach HAGN, 1955: Abb. 4).

stigerweise durchgehend gekernt worden (Counterflush-Verfahren).

Für den Bearbeiter insbesondere des marinen Unteregers der Molasse ist das Bohrgut von ganz besonderer Bedeutung, da eine so große Artenvielfalt in Verbindung mit außerordentlich günstiger Erhaltung in weiter südlich und südwestlich gelegenen Gebieten der Molasse nicht erreicht wird. Die Ursachen der guten Erhaltung dürften vorwiegend in der sehr schwachen tektonischen Deformation der Gesteine und in der geringeren Belastung durch die hangenden Deckschichten zu suchen sein. Die Entwicklung der Foraminiferen-Faunen der Ortenburg-Bohrungen diene wiederholt als Standard für die Stratigraphie der marinen bayerischen Molasse.

Da bereits HAGN (1955) und später HOFMANN (1967) die lithologische Abfolge dargestellt und eine zuverlässige Foraminiferen-Stratigraphie erstellt bzw. anhand von Untersuchungen am Genus *Bolivina* verfeinert haben, soll das Kapitel, abgesehen von den umfangreichen Faunenlisten, kurz gehalten werden. Abb. 21 liegt die Darstellung von HAGN (1955: Abb. 4) zugrunde; sie erfährt keine wesentlichen Veränderungen.

4.9.1 Die Foraminiferen-Fauna des oberen Rupels

Spiroplectammina carinata (D'ORBIGNY)
Robulus cultratus MONTFORT
Robulus inornatus (D'ORBIGNY)
Lenticulina gerlachi (REUSS)
Vaginulinopsis pseudodecorata HAGN
Vaginulinopsis gladius (PHILIPPI)
Amphicoryna badenensis (D'ORBIGNY)
Plectofrondicularia striata (HANTKEN)
Lagena hexagona (WILLIAMSON)
Globulina gibba D'ORBIGNY
Praeglobobulimina pyrula (D'ORBIGNY)
Virgulopsis tuberculata (EGGER)
Caucasina schischkinskayae (SAMOILOVA)
Caucasina coprolithoides (ANDREAE)
Stainforthia acuta (D'ORBIGNY)
Fursenkoina mustoni (ANDREAE)
Coryphostoma sp.
Uvigerina hantkeni CUSHMAN & EDWARDS
Rectuvigerina elegans (HANTKEN)
Trifarina gracilis (REUSS)
Trifarina angulosa (WILLIAMSON)
Bolivina beyrichi beyrichi REUSS
Bolivina cf. *beyrichi bituminosa* SPANDEL
Bolivina beyrichi carinata HANTKEN
Bolivina crenulata CUSHMAN
Bolivina crenulata CUSHMAN var. *trunensis* HOFMANN
Bolivina dilatata hyalina HOFMANN
Bolivina koessenensis LINDENBERG
Bolivina liebusi HOFMANN
Bolivina elongata HANTKEN
Stilostomella longiscata (D'ORBIGNY)
Elphidium cf. *advenum* (CUSHMAN)
Porosononion granosum (D'ORBIGNY)
Elphidiella cryptostoma (EGGER)

Florilus communis (D'ORBIGNY)
Pullenia quinqueloba (REUSS)
Melonis affinis (REUSS)
Chilostomella czizeki REUSS
Globocassidulina oblonga (REUSS)
Sphaeroidina bulloides D'ORBIGNY
Neoconorbina patella (EGGER)
Eponides constans n. sp.
Valvulineria complanata (D'ORBIGNY)
Cancris auriculus (FICHTEL & MOLL)
Cancris subconicus (TERQUEM)
Epistominella molassica (HAGN)
Escornebovina orthorapha (EGGER)
Oridorsalis umbonatus (REUSS)
Gyroidina soldanii D'ORBIGNY
Gyroidina parva CUSHMAN & RENZ
Asterigerina praeplanorbis HAGN
Asterigerinoides guerichi (FRANKE)
Ammonia propingua (REUSS)
Globigerina praebulloides BLOW
Globigerina officinalis SUBBOTINA
Globigerina tapuriensis BLOW & BANNER
Globigerina euapertura JENKINS
Globigerina ouachitaensis HOWE & WALLACE
Globorotalia opima nana BOLLI
Globorotalia clemenciae (BERMÚDEZ)
Globorotalia obesa BOLLI
Cibicides lobatulus (WALKER & JACOB)
Cibicidoides communis (ROEMER)
Cibicidoides ungerianus filicosta (HAGN)
Cibicidoides pseudoungerianus (CUSHMAN)
Heterolepa dutemplei (D'ORBIGNY)
Planulina costata (HANTKEN)
Hanzawaia boueana (D'ORBIGNY)
„Almaena“ osnabrugensis (ROEMER)
Hoeglundina elegans (D'ORBIGNY)

Die in der Bohrung 1001 den Basissanden auflagernden Fischechiefer zeigen keinerlei faunistische Hinweise auf Latdorf (oder auch unteres Rupel) und können daher nicht mit den Latdorf-Fischechiefern der Bohrungen Ampfing oder Füssing (C. MÜLLER, 1970: 109) parallelisiert werden. Zudem tritt in den Ortenburger Fischechiefern bereits *Bolivina* cf. *beyrichi bituminosa* SPANDEL auf.

Dagegen hat der überlagernde Helle Mergelkalk in Ampfing und in Ortenburg ein weitgehend identisches Alter.

Während *Asterigerina praeplanorbis* HAGN im höheren Teil des oberen Rupels massenhaft auftritt, kommt *Asterigerinoides guerichi* (FRANKE) wenig unterhalb der Rupel/Eger-Grenze erstmals und noch sehr selten vor. Letzteres entspricht sehr gut den Verhältnissen in Norddeutschland, wo die Art an der Grenze zum Chatt ebenfalls zuweilen schon anzutreffen ist (SPIEGLER, 1965: 454).

4.9.2 Die Foraminiferen-Fauna des Unteregers₁

Haplophragmoides suborbicularis (GRZYBOWSKI)
Textularia deperdita D'ORBIGNY

- Spiroplectammina carinata* (D'ORBIGNY)
Spiroplectammina pectinata (REUSS)
Karrerella hantkeniana CUSHMAN
Quinqueloculina cribrosa (EGGER)
Quinqueloculina hauerina D'ORBIGNY
Quinqueloculina ludwigi REUSS⁶
Sigmoilinita tenuis (CZJZEK)
Sigmoilinita sp.
Sigmoilopsis colomi (GLAÇON & MAGNE)
Robulus cultratus MONTFORT
Robulus inornatus (D'ORBIGNY)
Robulus cf. *depauperatus* (REUSS)
Planularia kubinyii (HANTKEN)
Planularia moravica (KARRER)
Lenticulina gerlachi (REUSS)
Vaginulinopsis pseudodecorata HAGN
Vaginulinopsis gladius (PHILIPPI)
Vaginulinopsis pedum (D'ORBIGNY)
Saracenaria arcuata (D'ORBIGNY)
Saracenaria propingua (HANTKEN)
Marginulina hantkeni BANDY
Amphicoryna badenensis (D'ORBIGNY)
Dentalina communis D'ORBIGNY
Nodosaria hispida (SOLDANI)
Nodosaria pyrula semirugosa D'ORBIGNY
Nodosaria ortenburgensis n. sp.
Plectofrondicularia striata (HANTKEN)
Amphimorphina haueriana NEUGEBOREN
Bolivinella rugosa HOWE
Bolivinella virgata CUSHMAN
Lagena gracilicosta REUSS
Guttulina problema problema D'ORBIGNY
Guttulina praelonga (EGGER)
Globulina gibba D'ORBIGNY
„Pyrulina“ fusiformis (ROEMER)
Oolina globosa (MONTAGU)
Fissurina obtusa EGGER
Fissurina orbignyana SEGUENZA
Bulimina arndti HAGN
Bulimina elongata D'ORBIGNY
Praeglobobulimina pyrula (D'ORBIGNY)
Globobulimina bathyalis n. sp.
Virgulopsis tuberculata (EGGER)
Caucasina schischkinskayae (SAMOILOVA)
Caucasina coprolithoides (ANDREAE)
Buliminella elegantissima (D'ORBIGNY)
Stainforthia acuta (D'ORBIGNY)
Fursenkoina mustoni (ANDREAE)
Coryphostoma sp.
Virgulinella chalkophila (HAGN)
Uvigerina hantkeni CUSHMAN & EDWARDS
Uvigerina posthantkeni PAPP
Uvigerina rudlingensis PAPP
Uvigerina cichai n. sp.
Trifarina gracilis (REUSS)
Trifarina gracilis (REUSS) var. *germanica* CUSHMAN & EDWARDS
Trifarina angulosa (WILLIAMSON)
Reussella aperta CUSHMAN
Bolivina beyrichi beyrichi REUSS
Bolivina beyrichi carinata HANTKEN
Bolivina budensis (HANTKEN)
Bolivina crenulata CUSHMAN
Bolivina crenulata CUSHMAN var. *trunensis* HOFMANN
Bolivina versatilis HOFMANN
Bolivina hebes MACFADYEN
Bolivina dilatata hyalina HOFMANN
Bolivina subalpina HOFMANN
Bolivina fastigia CUSHMAN
Bolivina reticulata HANTKEN
Bolivina liebusi HOFMANN
Bolivina elongata HANTKEN
Bolivina tereta (CUSHMAN)
Bolivina oligocaenica SPANDEL
Bolivina korynoides korynoides HOFMANN
Bolivina molassica HOFMANN
Rectobolivina zsigmondyi (HANTKEN)
Stilostomella longiscata (D'ORBIGNY)
Stilostomella emaciata (REUSS)
Stilostomella scabra (REUSS)
Stilostomella perscripta (EGGER)
Stilostomella adolphina (D'ORBIGNY)
Porosononion granosum (D'ORBIGNY)
Elphidiella heteropora (EGGER)
Elphidiella cryptostoma (EGGER)
Elphidiella turgescens (CUSHMAN)
Elphidiella subcarinata (EGGER)
Florilus communis (D'ORBIGNY)
Nonionella liebusi HAGN
Pullenia bulloides (D'ORBIGNY)
Pullenia quinqueloba (REUSS)
Melonis affinis (REUSS)
Chilostomella ovoidea REUSS
Chilostomella czizeki REUSS
Allomorphina trigona REUSS
Globocassidulina crassa (D'ORBIGNY)
Globocassidulina oblonga (REUSS)
Sphaeroidina bulloides D'ORBIGNY
Discorbis alteconicus (POKORNY)
Rosalina semiporata (EGGER)
Neoconorbina patella (EGGER)
Eponides constans n. sp.
Valvulineria complanata (D'ORBIGNY)
Cancris auriculus (FICHEL & MOLL)
Cancris subconicus (TERQUEM)
Epistominella molassica (HAGN)
Eoeponidella ampliportata n. sp.
Glabratellina cf. *arcuata* SEIGLIE & BERMUDEZ
Escornebovina orthorapha (EGGER)
Escornebovina trochiformis (ANDREAE)
Alabamina budensis (HANTKEN)
Gyroidina soldanii D'ORBIGNY
Gyroidina brockerti n. sp.
Gyroidina parva CUSHMAN & RENZ
Asterigerina praeplanorbis HAGN
Asterigerinoides guerichi (FRANKE)
Ammonia propingua (REUSS)
Pararotalia canui (CUSHMAN)
Pararotalia sp.
Globigerina praebulloides BLOW
Globigerina officinalis SUBBOTINA

Globigerina utilis JENKINS & ORR
Globigerina euapertura JENKINS
Globigerina labiacrassata JENKINS
Globigerina angustiumbilicata BOLLI
Globigerina ouachitaensis HOWE & WALLACE
Globigerina ciperoensis BOLLI
Globigerina ciperoensis BOLLI, aberrante Formen
Globorotalia opima nana BOLLI
Globorotalia semivera (HORNIBROOK)
Globorotalia clemenciae (BERMÚDEZ)
Globorotalia obesa BOLLI
Globorotalia siakensis (LEROY)
Cibicides lobatulus (WALKER & JACOB)
Cibicoides communis (ROEMER)
Cibicoides ungerianus ungerianus (D'ORBIGNY)
Cibicoides pseudoungerianus (CUSHMAN)
Heterolepa dutemplei (D'ORBIGNY)
Hanzawaia asterizans (FICHTEL & MOLL)
Hanzawaia boueana (D'ORBIGNY)
 „Almaena“ *osnabrugensis* (ROEMER)
Hoeglundina elegans (D'ORBIGNY)
Stomatorbina acarinata POKORNÝ
Alliatina tollmanni LANGER

Analog den Verhältnissen im Ampfinger Gebiet enthalten auch die Bändermergel der Bohrungen Ortenburg die Rupel/Eger-Grenze. *Globorotalia siakensis* taucht ebenso wie in der subalpinen Molasse an der Unterkante des Egers auf, wodurch die Grenzziehung HAGNS (1955: 332) nun auch durch planktonische Foraminiferen bestätigt ist. Wie in Norddeutschland tritt *Asterigerinoides guerichi* im tieferen Teil des Untereger_I der Ortenburg-Bohrung 1001 massenhaft auf. In der Bohrung 1003 ist die Art zwar auch nachweisbar, sie kommt hier aber nur selten vor.

Erste Exemplare von *Uvigerina rudlingensis* PAPP liegen bereits aus dem höheren Untereger_I vor. Sie treten jedoch zahlenmäßig sehr stark hinter *Uvigerina posthantkeni* PAPP und in der Bohrung 1002 auch noch hinter *Uvigerina cichai* n. sp. zurück. Wie HAGN (1955: 334 ff.) bereits feststellte, ist das oberste Untereger_I in den Bohrungen 1001 und 1003 nicht dokumentiert. In der letztgenannten Bohrung fehlt auch noch das Untereger_{II}, das obere Eger sowie das Eggenburg (vgl. WENGER, in diesem Band).

4.9.3 Die Foraminiferen-Fauna des Untereger_{II}

Glomospira charoides (JONES & PARKER)
Sigmoilinita tenuis (CZJZEK)
Robulus inornatus (D'ORBIGNY)
Robulus cf. *depauperatus* (REUSS)
Planularia moravica (KARRER)
Lenticulina gerlachi (REUSS)
Vaginulinopsis pseudodecorata HAGN
Saracenaria arcuata (D'ORBIGNY)
Amphicoryna badenensis (D'ORBIGNY)
Nodosaria hispida (SOLDANI)
Nodosaria pyrula semirugosa (D'ORBIGNY)
Nodosaria ortenburgensis n. sp.
Amphimorphina haueriana NEUGEBOREN

Guttulina problema problema D'ORBIGNY
Globulina gibba D'ORBIGNY
Praeglobobulimina spinescens (BRADY)
Praeglobobulimina pyrula (D'ORBIGNY)
Virgulopsis tuberculata (EGGER)
Caucasina coprolithoides (ANDREAE)
Buliminella elegantissima (D'ORBIGNY)
Stainforthia acuta (D'ORBIGNY)
Fursenkoina mustoni (ANDREAE)
Virgulinella chalkophila (HAGN)
Uvigerina posthantkeni PAPP
Uvigerina rudlingensis PAPP
Trifarina gracilis (REUSS)
Trifarina globosa (STOLTZ)
Trifarina angulosa (WILLIAMSON)
Trifarina bradyi CUSHMAN
Reussella spinulosa (REUSS)
Bolivina beyrichi beyrichi REUSS
Bolivina beyrichi carinata HANTKEN
Bolivina crenulata CUSHMAN
Bolivina crenulata CUSHMAN var. *trunensis* HOFMANN
Bolivina versatilis HOFMANN
Bolivina dilatata hyalina HOFMANN
Bolivina subalpina HOFMANN
Bolivina antiqua D'ORBIGNY
Bolivina liebusi HOFMANN
Bolivina euzona HOFMANN
Bolivina elongata HANTKEN
Bolivina oligocaenica SPANDEL
Bolivina korynoides korynoides HOFMANN
Bolivina molassica HOFMANN
Stilostomella longiscata (D'ORBIGNY)
Stilostomella consobrina (D'ORBIGNY)
Stilostomella emaciata (REUSS)
Stilostomella perscripta (EGGER)
Porosonion granosum (D'ORBIGNY)
Elphidiella cryptostoma (EGGER)
Elphidiella subcarinata (EGGER)
Florilus communis (D'ORBIGNY)
Nonionella liebusi HAGN
Pullenia bulloides (D'ORBIGNY)
Pullenia quinqueloba (REUSS)
Chilostomella ovoidea REUSS
Chilostomella czizeki REUSS
Allomorphina trigona REUSS
Globocassidulina crassa (D'ORBIGNY)
Globocassidulina oblonga (REUSS)
Discorbis alteconicus (POKORNÝ)
Valvulineria complanata (D'ORBIGNY)
Valvulineria petrolei (ANDREAE)
Cancris auriculus (FICHTEL & MOLL)
Cancris subconicus (TERQUEM)
Eoeponidella ampliportata n. sp.
Glabratellina cf. *arcuata* SEIGLIE & BERMÚDEZ
Escornebovina orthorapha (EGGER)
Escornebovina trochiformis (ANDREAE)
Gyroidina soldanii D'ORBIGNY
Gyroidina parva CUSHMAN & RENZ
Siphonina reticulata (CZJZEK)
Nuttallides sp.

Ammonia propingua (REUSS)
Globigerina praebulloides BLOW
Globigerina officinalis SUBBOTINA
Globigerina euapertura JENKINS
Globigerina angustumbilicata BOLLI
Globigerina ouachitaensis HOWE & WALLACE
Globigerina ciperoensis BOLLI
Globigerina ciperoensis BOLLI, aberrante Formen
Subbotina angiporoides (HORNIBROOK)
Subbotina cf. *pseudoecaena* (SUBBOTINA)
Globigerinita unicava (BOLLI, LOEBLICH & TAPPAN)
Globorotalia opima nana BOLLI
Globorotalia semivera (HORNIBROOK)
Globorotalia clemenciae (BERMÚDEZ)
Globorotalia siakensis (LEROY)
?Clavatorella sp.
Cibicides lobatulus (WALKER & JACOB)
Cibicidoides communis (ROEMER)
Cibicidoides ungerianus ungerianus (D'ORBIGNY)
Cibicidoides pseudoungerianus (CUSHMAN)
Heterolepa dutemplei (D'ORBIGNY)
Hanzawaia boueana (D'ORBIGNY)
 „*Almaena*“ *osnabrugensis* (ROEMER)
 „*Almaena*“ *osnabrugensis* (ROEMER) „var. *escornebovensis*“ (SIGAL)
Ceratocancris haueri (D'ORBIGNY)
Hoeglundina elegans (D'ORBIGNY)

4.9.4 Die bathymetrische Entwicklung im Bereich der Bohrungen Ortenburg

Daß nach der Transgression des Oberrupelmeeres bald verhältnismäßig große Meerestiefen von deutlich mehr als 200 m erreicht waren, bezeugt ein an *Chilostomella* reicher Horizont 25 m oberhalb der Basis der mitteloligozänen Sedimente (1001). Im Vergleich zu den Verhältnissen im Unter-

oligozän des Ampfinger Gebietes fehlt das gut belegte Flachwasserstadium, das von einer Phase extrem rascher Eintiefung beendet wird. Es liegt eher eine kontinuierliche Veränderung vor. Weiterhin verblieb die Ablagerungstiefe im gesamten Raum während des oberen Rupels noch bei mehr als 200 m, wie die Uvigerinen, die zusammen mit *Heterolepa* als Häufigkeitsform auftreten, zeigen.

Auch während des Untereger_I – der Zeitbereich zeichnet sich in der Molasse (mit Ausnahme des Südostens) gewöhnlich durch eine zunächst regressive, anschließend transgressive Tendenz aus – tritt keine wesentliche Veränderung der bathymetrischen Verhältnisse ein. Da weder Bewohner des flacheren Neritikums noch solche des etwas tieferen Oberbathyls zahlenmäßig in Erscheinung treten und intermediäre Häufigkeitsformen mit *Cancris* und *Heterolepa* präsent sind, müssen für den betrachteten Zeitbereich Meerestiefen von 200 ± 50 m angenommen werden. Ab dem hohen Untereger_I liegen in der Bohrung 1001 wie auch in der Bohrung 1002 aufgrund der reichen Uvigerinen-Führung Wassertiefen vor, die etwas mehr als 200 m betragen. Im höheren Untereger_{II} werden 200 m noch deutlich überschritten, da erneut *Chilostomella* zahlenmäßig wichtig wird. An der Oligozän/Miozän-Grenze nimmt die Wassertiefe – übrigens völlig analog den Verhältnissen des Prien-Profiles – wiederum leicht ab.

Da unterhalb wie oberhalb der Schichtlücke der Bohrung 1001 die Uvigerinen dominieren, kann für diesen Bereich ein Trockenfallen und subaerische Exposition ausgeschlossen werden, zumal die fehlenden tiefermarinen Sedimente in der benachbarten Bohrung 1002 zum großen Teil, wenn nicht vollständig vorhanden sind.

Im Untereger_I der Bohrung 1003 ist allerdings eine merkliche Verflachung des Ablagerungsraumes während des Untereger_I erkennbar. Unmittelbar unterhalb der dortigen Schichtlücke zeigt die an *Haplophragmoides* reiche Foraminiferen-Fauna am Ende tieferneritische Meerestiefen des Intervalls zwischen 100 und 200 m an.

5. DIE BATHYMETRISCHE ENTWICKLUNG DES MOLASSETROGES IM OLIGOZÄN

Hinsichtlich der zeitlichen Veränderung der bathymetrischen Verhältnisse im marinen Teil des Molassemeeres und bezüglich der Auffüllung des asymmetrischen Troges lassen sich mehrere Phasen beschreiben:

- a) Bereits im Unteroligozän war das Gebiet von im Süden stärkerer und im Norden etwas schwächerer Senkung betroffen; von dem im Süden aufsteigenden Alpenkörper wurde jedoch noch nicht genügend Abtragungsmaterial herangeliefert, um die Senkungsraten auszugleichen.
- b) Seit dem Rupel hielten die Sedimentationsraten mit der Subsidenz einigermaßen Schritt. Nunmehr werden im Bereich des bayerischen Ausschnitts des Molassegebietes Meerestiefen angetroffen, die (stark überwiegend) wesentlich weniger als 400 m betragen.

- c) Im mittleren Untereger_I verlandet der Westteil des Molassegebietes; im Osten bildet sich demgegenüber ein sehr deutlich ausgeprägtes submarines Gefälle heraus.
- d) Nachdem die Reliefunterschiede wiederum weitgehend ausgeglichen waren (durch leichte Beckenkipfung?), erreicht der nach Westen gerichtete Meeresvorstoß des höchsten Untereger_I seinen Höhepunkt.

Im folgenden werden die bathymetrischen Verhältnisse der einzelnen Zeitabschnitte erläutert.

5.1 LATDORF

Fischschieferartige Gesteine sind für das Latdorf besonders typisch und im Unteroligozän regional sehr weit verbreitet.

Der Faziestyp läßt sich nach Westen bis in die Schweiz und Savoyen (HAGN, MARTINI & PFEIL in HAGN, 1981: 122), nach Süden bis ins Kalkalpin (HAGN, HÖLZL & HRUBESCH, 1962: 429) und nach Osten zu in Österreich bis an die Enns verfolgen (BRAUMÜLLER, 1961: Taf. 2). Im näher betrachteten Gebiet tritt die Fazies in folgenden Situationen auf:

- Helvetikum und Marienstein-Haushamer Mulde: extrem planktonreiche, hemipelagische Fische-schiefer
- Murnauer Mulde: basale Deutenhausener Schichten in Fische-schiefer-Fazies
- Südteil der Vorland-Molasse: Latdorf-Fische-schiefer als Hangendes von Seichtwasserbildungen (z. B. Ampfing).

Extrem große Wassertiefen, wie sie für die Deutenhausener Schichten angenommen werden – FISCHER (1979: 441) gibt mehr als 1000 m an – und die rapide Zunahme der Wassertiefe im Ampfinger Gebiet machen deutlich, daß zur Zeit des Latdorfs zwar schon hohe, für die Molasse typische Senkungsraten vorlagen, daß aber die Absenkung des Untergrundes noch nicht durch verstärkte Zufuhr von Abtragungsprodukten ausgeglichen werden konnte. Vergleichbare Verhältnisse gab es teilweise auch schon im ausgehenden Eozän, als mit den Katzenloch-Schichten das älteste Schichtglied der Molasse entstand (vgl. HAGN, 1978: 219).

Vereinzelte Fischreste treten in Schlämmrückständen mariner Molassegesteine öfters auf. Die Anreicherung in den

Fische-schiefern dürfte indes an geringe Sedimentationsraten gebunden sein.

5.2 UNTERES RUPEL

Im Gebiet der subalpinen Molasse lagen zur Zeit des unteren Rupels oberbathyale Verhältnisse vor; während für den Raum der Marienstein-Haushamer Mulde ein Betrag von nur etwas mehr als 200 m Wassertiefe geltend gemacht werden muß, konnte im Traungebiet eine mächtigere Wasserbedeckung ermittelt werden. Auf keinen Fall wurden aber im Südosten 400 m überschritten (vgl. Kap. 3.3).

Im Ampfinger Gebiet der Vorland-Molasse sind Gesteine des unteren Rupels entweder aufgrund einer Sedimentationsunterbrechung nicht zur Ablagerung gekommen oder sie wurden nachträglich durch submarine Erosion entfernt. Da unterhalb und oberhalb der Schichtlücke für flaches Oberbathyal sprechende Foraminiferen-Vergesellschaftungen anzutreffen sind, kann für den Zeitbereich der Dokumentationslücke von vergleichbaren Meerestiefen ausgegangen werden. Insgesamt ergeben sich damit für das betrachtete Areal recht einheitliche Meerestiefen des oberen Bathyals. Im unteren Rupel sind die ursprünglichen bathymetrischen Gegensätze des marinen Molasseraumes bereits weitgehend nivelliert.

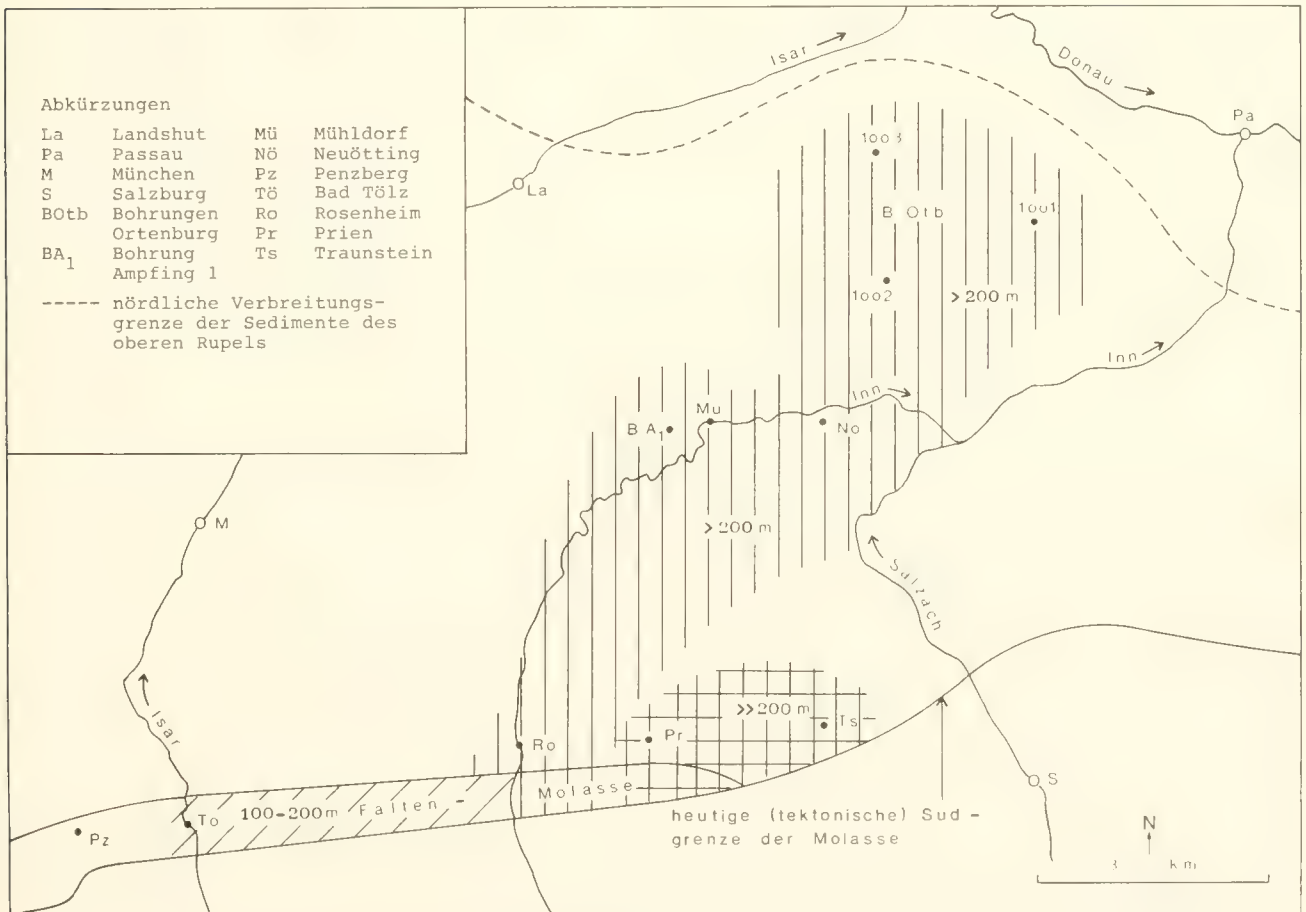


Abb. 22: Die paläobathymetrischen Verhältnisse des südostbayerischen Molasse-Meeres zur Zeit des oberen Rupels.

5.3 OBERES RUPEL

Die groben Umrissse der paläobathymetrischen Verhältnisse des oberen Rupels gibt Abb. 22 wieder. Die nördliche Verbreitungsgrenze des Rupels wurde von OSCHMANN (1963: Abb. 13) übernommen. Das Meer greift im oberen Rupel noch etwas weiter nach Norden aus als dies im Unteroligozän der Fall war. Während in der Vorland-Molasse generell Meerestiefen des höheren Oberbathyals festzustellen sind, läßt sich der subalpine Raum in bathymetrischer Hinsicht dreigliedern:

a) Marienstein-Haushamer Mulde

Dieser Bereich der Faltenmolasse zeigt während des oberen Rupels eine eindeutige Verflachungs-Tendenz, die von der lithofaziellen Ausbildung der Gesteine weitgehend unabhängig ist (im Westen haben die basalen Baustein-Schichten oberrupelisches Alter). Nachdem der Sedimentationsraum anfänglich noch dem obersten Bathyal angehörte, stellen sich bald tiefereneritische Bedingungen im oberen Rupel ein. Das Schelfgebiet war dem südlichen Randbereich des damaligen Molasse-Meeres vorgelagert. Ohnehin muß angenommen werden, daß sich der ursprüngliche Ablagerungsraum – analog den Verhältnissen der Murnauer Mulde – noch etwas weiter im Süden befunden hat. M. MÜLLER (1970: 102) rekonstruierte für

die Murnauer Mulde eine maximale Überschiebungsweite von 18 km.

b) Chiemsee-Gebiet

Dagegen repräsentieren die Foraminiferen-Faunen im Gebiet westlich und östlich des Chiemsees das Trogtiefste. Das genannte Areal gehörte dem tieferen Teil des Oberbathyals an.

c) Übergangszone

Zwischen dem Trogtiefsten und dem tiefereneritischen Bereich der Haushamer Mulde muß es zumindest eine schmale Übergangszone des flachen Oberbathyals gegeben haben.

5.4 UNTEREGER_I – TIEFERER TEIL

Abb. 23 zeigt die Konstellation, die entstanden war, als die Fazies der basalen Baustein-Schichten den Ostteil der Marienstein-Haushamer Mulde erreichte. Die nördliche Verbreitungsgrenze des „Chatts“ wurde wiederum von OSCHMANN (1963: Abb. 14) übernommen. Im Vergleich zu den Verhältnissen des Rupels ist zu Beginn des Egers eine Verflachung weiterer Teile des Ablagerungsraumes eingetreten. Die Verflachung ist im Nordosten fast nicht wahrnehmbar und wird nach Südwesten zu mit Annäherung an den Alpenrand immer markanter. Insbesondere in den Profilen der

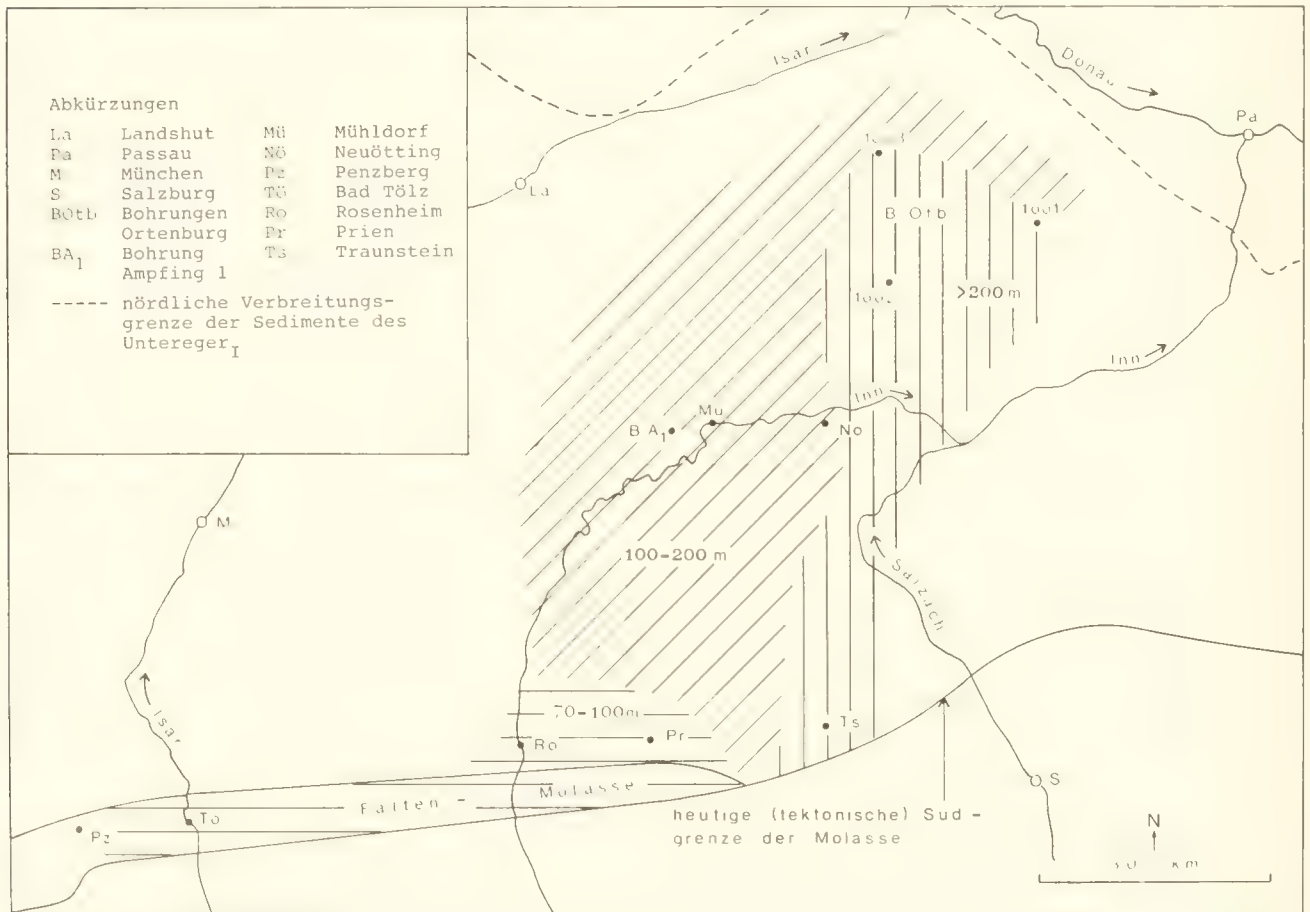


Abb. 23: Die paläobathymetrischen Verhältnisse des südostbayerischen Molasse-Meeres zur Zeit des tieferen Untereger_I (Zeitpunkt: Die Fazies der basalen Baustein-Schichten hat den östlichen Teil der Marienstein-Haushamer Mulde erreicht).

Marienstein-Haushamer Mulde ist die seit der Wende „unteres Rupel/oberes Rupel“ anhaltende kontinuierliche Verflachung des Sedimentationsraumes gut nachvollziehbar. Die von LEMCKE (1984: 377) zitierte eustatische Meeresspiegelschwankung mag sich verstärkend auf den Verflachungsprozeß ausgewirkt haben, doch ergaben die feinstratigraphischen Untersuchungen, daß es sich um eine längerdauernde, allmähliche Entwicklung gehandelt hat.

5.5 UNTEREGER_I – MITTLERER TEIL

Abb. 24 zeigt die Situation, als die Fazies der Cyrenen-Schichten am weitesten nach Osten vorgerückt war. Der Bereich zwischen Inn und Salzach weist eine engräumige bathymetrische Gliederung auf. Während im Priengebiet nach weiterer Verflachung auch noch hyposalinare Bedingungen entstanden, persistierte das Traungebiet als flach-oberbathyaler Ablagerungsraum, in den episodisch gröberklastisches Material gelangte (vgl. Kap. 4.1.3.3). Dafür, daß sich das starke West-Ost-Gefälle nach Osten zu weiter fortsetzt, sprechen die Ablagerungen hochenergetischer Trübestrome in Oberösterreich und Salzburg.

Für die nordöstlich des Traungebietes niedergebrachte Bohrung Mauerham 1 (Bl. Waging a. S.) stellte M. MÜLLER (1978b: 15) fest, daß die fazielle Entwicklung der dortigen z. T. grobklastischen Abfolge („Mauerham-Schüttung“) be-

reits offensichtlich zur Fazies der Puchkirchener Serie tendiert. Im Bereich der nahe dem ehemaligen nördlichen Paratethysrand abgeteufte Bohrung Ortenburg 1003 ist eine gewisse Tendenz zur Verflachung spürbar.

5.6 UNTEREGER_I – HÖHERER TEIL

Zum Zeitpunkt des weitesten Vordringens der marinen Fazies der Promberger Schichten nach Westen (Abb. 25) ist das oben beschriebene submarine Relief Südostbayerns bereits so sehr ausgeglichen, daß anhand der hier benutzten paläobathymetrischen Methoden keine Unterschiede mehr festgestellt werden können. Es liegen in der subalpinen Molasse von der Loisach im Westen bis zur Traun im Osten und auch im östlichen Teil der Vorland-Molasse flach-oberbathyale Meerestiefen vor. Weitgehend isoöke Bedingungen müssen auch dafür verantwortlich gemacht werden, daß sich die typische Faunenzusammensetzung des Rainer-Mühle-Horizontes lateral so weit verfolgen läßt.

5.7 UNTEREGER_{II}

Im obersten Oligozän werden diese einheitlichen Verhältnisse wiederum leicht modifiziert. Während im Osten vorübergehend Meerestiefen des etwas tieferen Oberbathyals er-

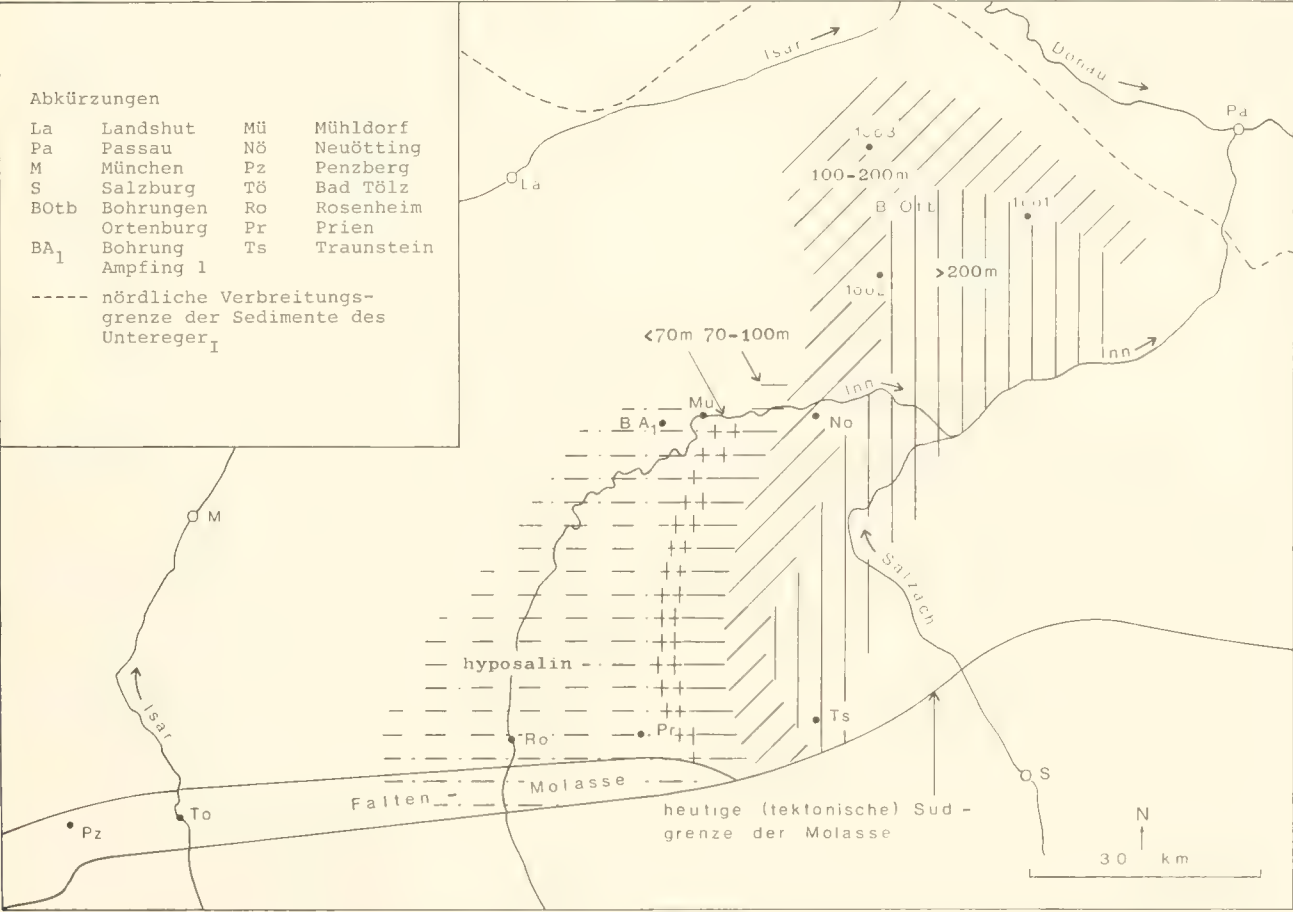


Abb. 24: Die paläobathymetrischen Verhältnisse des südostbayerischen Molasse-Meeres zur Zeit des mittleren Unterger_I (Zeitpunkt: weitestes Vordringen der Fazies der Cyrenen-Schichten nach Osten).

reicht werden (Priengebiet; Ampfing; Ostniederbayern), war im Westen bereits der Rückzug des Meeres nach Osten in vollem Gang. Dies kann auch ungeachtet der Unsicherheit gesagt

werden, die durch Probleme bei der genauen stratigraphischen Einstufung der höheren Promberger Schichten in der Nonnenwald-Mulde entsteht.

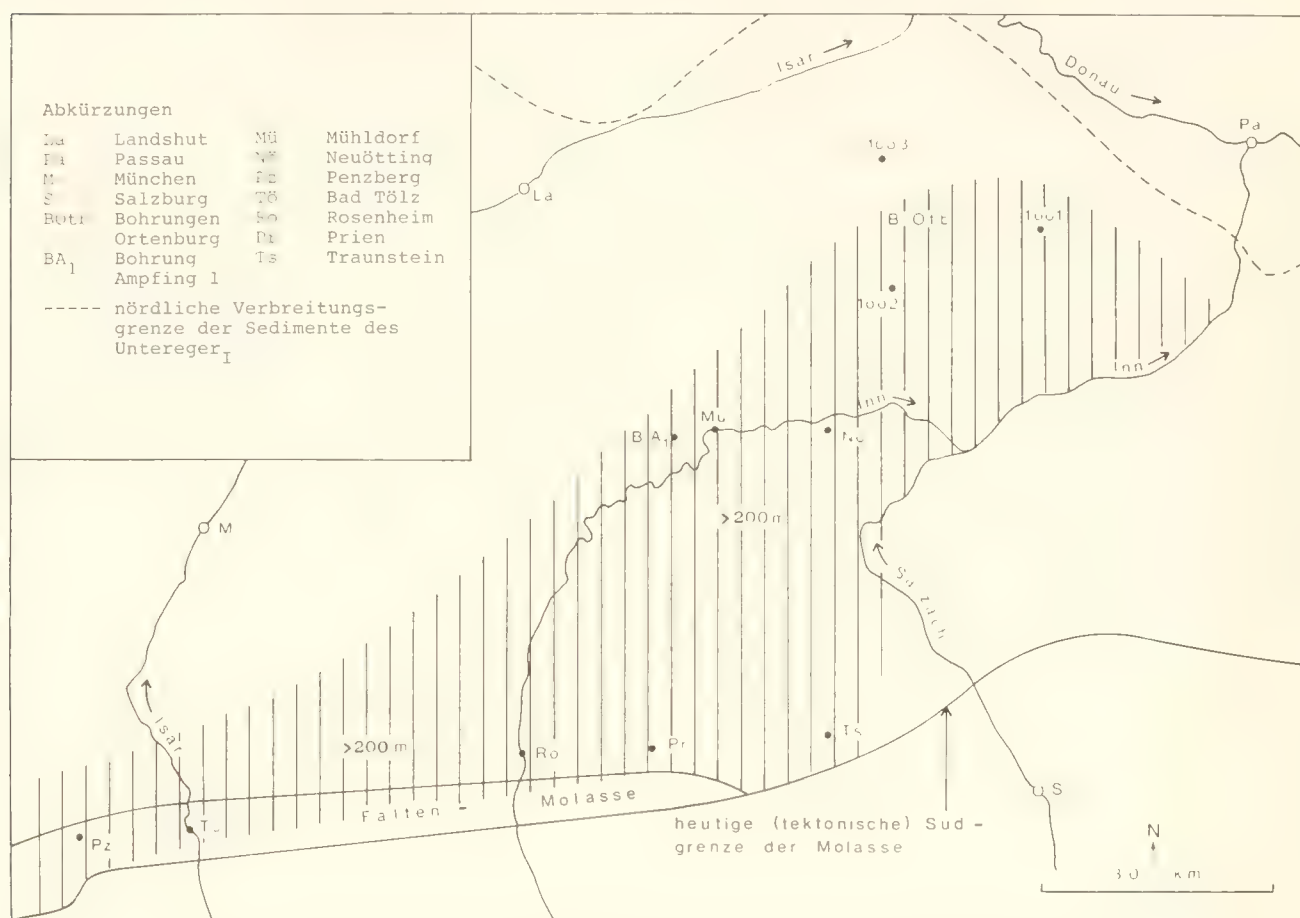


Abb. 25: Die paläobathymetrischen Verhältnisse des südostbayerischen Molasse-Meeres zur Zeit des höheren Untereger₁ (Zeitpunkt: weitestes Vordringen der Fazies der Promberger Schichten nach Westen).

TEIL II: SYSTEMATISCHE BESCHREIBUNG DER FORAMINIFEREN

Ordnung: Foraminiferida EICHWALD, 1830

Familie: Astrorhizidae BRADY, 1881

Gattung: *Rhabdammina* SARS, 1869

Rhabdammina discreta BRADY

Taf. 1, Fig. 1–2

*1881 *Rhabdammina discreta*, nov. – BRADY: 18 (rezent – Atlantik; Pazifik) (fide ELLIS & MESSINA).

1918 *Rhabdammina discreta* H. B. Brady – CUSHMAN: 21, Taf. 11/1 (rezent – Atlantik).

1945 *Rhabdammina discreta* H. B. Brady – CUSHMAN & STAINFORTH: 13, Taf. 1/3 (Cipero Formation – Trinidad).

1960 *Psammosiphonella discreta* (Brady) – BARKER: Taf. 22/7–10 (rezent – Atlantik; Pazifik).

1970 *Rhabdammina discreta* BRADY – KIESEL: 174, Taf. 1/6 (Eozän-DDR).

Beschreibung: Es handelt sich um grob struierte, rauhe, meist zylindrische, selten sich verjüngende, röhrenförmige,

beiderseits offene Bruchstücke. Bei manchen der grob agglutinierten Röhrchen sind schwache Einschnürungen zu sehen. Die agglutinierten Partikel sind vorwiegend eckige, grobe, in jedem Fall gut unterscheidbare Quarzkörner. Die eckigen Körner sind dicht zusammengedrängt und lassen nur wenig Raum für das Bindemittel übrig. Die Wand ist verhältnismäßig dick; die Wandstärke entspricht dem Halbmesser bis fast dem Durchmesser des Lumens. Die Innenwand der Röhren ist deutlich glatter als die Außenfläche. Das Bindemittel löst sich sehr rasch in Salzsäure.

Maße: L bis 1,41 mm

D 0,40–0,77 mm

Erhaltung: Die Mehrzahl der Bruchstücke ist flachgedrückt.

Anmerkung: Die Gattung *Rhabdammina* wurde entsprechend VERDENIUS & VAN HINTE (1983: 185) bestimmt.

Verbreitung:

Untereger_I: Bohrung Ampfing 1
 Oberes Rupel: Traun-Profil
 Unteres Rupel: Traun-Profil
 SW Rettenbeck bei Hausham
 Osterbach

Gattung: *Bathysiphon* Sars, 1872

Bathysiphon filiformis Sars

*1872 *Bathysiphon filiformis* — Sars: 251 (rezent — europ. Nordmeer) (fide Ellis & Messina).

Verbreitung: Unteres Rupel bis Untereger_{II} der marinen bayerischen Molasse.

Familie: Ammodiscidae Reuss, 1862

Gattung: *Ammodiscus* Reuss, 1862

Ammodiscus grzybowski Emiliani

Taf. 1, Fig. 5–6

*1954 *Ammodiscus Grzybowski* n. sp. — Emiliani, 106, Taf. 21/3 (Oligozän — Nordapennin).

1971 *Ammodiscus incertus* (d'Orbigny) — Iva, Gheorghian & Gheorghian: 75, Taf. 2/6–8 (Miozän — Rumänien).

1979 *Ammodiscus incertus* auct. (non *Operculina incerta* Orbigny) — Sztrákos: 57, Taf. 1/8 (Oligozän — Ungarn).

1982 *Ammodiscus grzybowski* Emiliani — Sztrákos: Taf. 1/7 (Eozän/Oligozän — Ungarn).

Beschreibung: Die flach-scheibenförmigen Gehäuse zeigen einen rundlichen bis ovalen Umriss, schwach konkave Seitenflächen und eine gerundete Peripherie. Größere Individuen bestehen aus ca. fünf Umgängen. Im Bereich der jüngeren Umgänge ist die Spiralnaht deutlich eingekerbt. Die Gehäuseoberfläche ist rau. Bei dem agglutinierten Material handelt es sich vorwiegend um eckige Quarzkörner.

Maße: L 0,35–1,61 mm, B 0,33–0,90 mm

D 0,11–0,32 mm

Differentialdiagnose:

Ammodiscus siliceus (Terquem), 1862 aus dem Lias von Lothringen besitzt große Ähnlichkeit mit *Ammodiscus grzybowski*, dürfte aber anhand der deutlicher konkaven Seitenflächen von der letztgenannten Art zu unterscheiden sein (vgl. hierzu auch Bizon, 1960: 4, Taf. 1/2; 4/1, Lectotyp von *A. siliceus*). *Ammodiscus cretaceus* (Reuss) zeichnet sich durch eine feiner agglutinierte Schale aus, bei der unter dem Lichtmikroskop kaum mehr einzelne Komponenten unterschieden werden können.

Verbreitung:

Oberes Rupel: Schmeroldgraben (häufig)
 Mittelloligozän: Ammerprofil

Ammodiscus cretaceus (Reuss)

*1845 *Operculina cretacea* Reuss — Reuss: 35, Taf. 13/64 u. 65 (Kreide — Böhmen).

Verbreitung:

Untereger_{II}: Bohrung Ampfing 1
 Untereger_I: Nonnenwald-Mulde
 Bernauer Mulde
 Unteres Rupel: Wehrprofil

Gattung: *Glomospira* Rzehak, 1885

Glomospira charoides (Jones & Parker)

*1860 *Trochammina squamata* Jones & Parker var. *charoides* — Jones & Parker: 304 (rezent — Mittelmeer) (fide Ellis & Messina).

Verbreitung: Weit verbreitet, jedoch jeweils selten im unteren Rupel bis Untereger_{II} der marinen bayerischen Molasse.

Glomospira gordialis (Jones & Parker)

Taf. 1, Fig. 3–4

*1860 *Trochammina squamata* Jones & Parker var. *gordialis* — Jones & Parker: 304 (rezent) (fide Ellis & Messina).

1948 *Glomospira gordialis* (Jones and Parker) — Renz: 138, Taf. 1/3 (Miozän — Venezuela).

1960 *Glomospira gordialis* (Jones e Parker) — Giannini & Tavani: 28, Taf. 2/4 (Pliozän — Toscana).

1960 *Glomospira gordialis* (Jones and Parker) — Barker: Taf. 38/7–9 (rezent — Atlantik; Pazifik).

1982 *Glomospira gordialis* (Jones e Parker) — AGIP: Taf. 1/5 u. 5_{bis} (Eozän — Norditalien).

Beschreibung: Das scheibenförmige Gehäuse besitzt einen ovalen Umriss und eine gerundete Peripherie. Auf den knäuelig gewundenen Anfangsteil folgen noch eineinhalb nahezu planspirale Umgänge. Die feinagglutinierte Gehäusewand ist glatt.

Maße: L 0,27 mm, B 0,25 mm

D 0,09 mm

Vorkommen: Unteres Rupel: Wehrprofil (sehr selten)

Familie: Hormosinidae Haekel, 1894

Gattung: *Reophax* Montfort, 1808

Reophax bacillaris Brady

Taf. 1, Fig. 14 u. 18

*1881 *Reophax bacillaris* nov. — Brady, 19 (rezent — Atlantik).

1910 *Reophax bacillaris* H. B. Brady — Cushman: 86, Abb. 120 (rezent — Pazifik).

1920 *Reophax bacillaris* H. B. Brady — Cushman: 19, Taf. 5/6 (rezent — Atlantik).

1960 *Reophax bacillaris* Brady — Barker: Taf. 30/23 u. 24 (rezent — Atlantik).

Beschreibung: Die einzeiligen, geradegestreckten Gehäuse nehmen langsam an Dicke zu. Die Kammern sind breiter als hoch und durch deutliche Nahteinschnürungen getrennt. Die enge, kleine Mündung liegt terminal. Die Gehäuseoberfläche ist rau; die agglutinierten eckigen Quarzkörner sind gut erkennbar.

Maße: L bis 1,02 mm

D 0,21–0,32 mm

Differentialdiagnose:

Reophax scorpiurus Montfort, 1808 nimmt rasch an Dicke

zu und ist extrem grob agglutiniert (vgl. CUSHMAN, 1920: 6 ff., Taf. 1/5–7). *Reophax pilulifer* BRADY, 1884 zeichnet sich durch kaum umgreifende Kammern und eine rasche Zunahme der Kammergröße aus. *Reophax nodulosus* BRADY, 1879 besitzt sich der Mündung zu konisch verjüngende Kammern.

Verbreitung:

Oberes Rupel: Prien-Profil

Unteres Rupel: Osterbach

Familie: Rzehakinidae CUSHMAN, 1933

Gattung: *Miliammina* HERON-ALLEN & EARLAND, 1930

Miliammina paleocenica KIESSEL

Taf. 1, Fig. 7–9

*1970 *Miliammina paleocenica* sp. n. – KIESSEL: 182, Taf. 1/21 u. 25/3 (Paleozän – DDR).

1983 *Miliammina paleocenica* KIESEL – WILLEMS: Taf. 2/1 (Eozän – Belgien).

Beschreibung: Die in der Seitenansicht ovalen, in der Mündungsansicht flach-dreieckigen Gehäuse besitzen eine subakute oder leicht abgerundete Peripherie. Die Kammeranordnung ist quinqueloculin (bei Verwendung von Xylol ist der interne Aufbau von Individuen mit verkiestem Kammerlumen beobachtbar). Die Nähte sind leicht eingesenkt. Die einfache kleine Mündung liegt am Ende der letzten Kammer, die wenig über das restliche Gehäuse hinausragt. Die dickwandige Schale ist durchscheinend und glatt und gegen Salzsäure resistent.

Maße: L 0,30–0,51 mm, B 0,23–0,32 mm

D 0,13 – 0,20 mm

Verbreitung:

Untereger₁: Bohrung Ampfing 1

Oberes Rupel: Koglgraben (z. T. häufig)

Unteres Rupel: Wehrprofil

Familie: Lituolidae DE BLAINVILLE, 1825

Gattung: *Haplophragmoides* CUSHMAN, 1910

Haplophragmoides suborbicularis (GRZYBOWSKI)

Taf. 1, Fig. 11 u. 15

*1896 *Cyclammina suborbicularis* Rzk. – GRZYBOWSKI: 284, Taf. 9/5 u. 6 (Unteroligozän – Polen).

1970 *Haplophragmoides suborbicularis* (GRZYBOWSKI) – KIESSEL: 185, Taf. 2/10 (Paleozän – DDR).

1971 *Haplophragmoides suborbicularis* (Rzehak) – IVA, GHEORGHIAN & GHEORGHIAN: 80, Taf. 4/13 u. 14 (Miozän – Rumänien).

Beschreibung: Die in der Seitenansicht rundlichen bis leicht ovalen, seitlich etwas abgeflachten, kleinen Gehäuse zeigen eine gerundete, schwach gelappte Peripherie. Meist fünf, selten sechs Kammern bilden den jüngsten Umgang. Die dreieckigen Kammern nehmen langsam an Größe zu. Die Nabelvertiefung ist eng. Die einfachen, geraden Nähte stehen radial und sind leicht eingesenkt bzw. schwach gekerbt. Die interiomarginale Mündung bildet ein schmaler Schlitz. Die Mündungsfläche ist niedrig. Die Gehäusewand ist feinagglu-

tiniiert und glatt. Der Dünnschliff zeigt, daß das Kammerlumen nicht unterteilt ist.

Maße: L 0,21–0,32 mm, B 0,18–0,30 mm

D bis 0,16 mm

Erhaltung: Die Gehäuse sind zumeist verdrückt.

Differentialdiagnose:

Haplophragmium deforme ANDREA, 1884, eine Art, die nach BATJES (1958: 98) mit *Nonionina latidorsata* BORNEMANN, 1855 konspezifisch ist, stimmt hinsichtlich der Gehäusegestalt mit der oben beschriebenen Art überein. Die Schale ist jedoch grob agglutiniert. *Haplophragmoides canariensisformis* SZTRAKOS, 1979, erreicht z. T. eine kugelige Gehäuseform.

Anmerkung: Bei *Cyclammina suborbicularis* RZEHAK, 1887 handelt es sich um ein nomen nudum.

Verbreitung: Weit verbreitet und z. T. massenhaft im gesamten Rupel und Untereger der marinen bayerischen Molasse.

Gattung: *Ammobaculites* CUSHMAN, 1910

Ammobaculites humboldti (REUSS)

Taf. 1, Fig. 10

*1851 *Spirolina Humboldti* m. – REUSS: 65, Taf. 3/17 u. 18 (Oligozän – Norddeutschland).

1866 *Haplophragmium Humboldti* REUSS – REUSS: 119, Taf. 1/1–4 (Mitteloligozän – Norddeutschland).

1875 *Haplophragmium Humboldti* REUSS – HANTKEN: 11, Taf. 2/3 u. 4 (Obereozän/Oligozän – Ungarn).

1964 *Ammobaculites humboldti* (REUSS) – HAUSMANN: 319, Taf. 1/3 (Mitteloligozän – DDR).

Beschreibung: Die letzte Windung des seitlich abgeflachten, planspiralen Gehäuseteils besteht aus fünf bis sechs Kammern. Vom einzeiligen Abschnitt sind bis zu drei Kammern erhalten. Der Rücken des Gehäuses ist gerundet. Die anfangs radial, später horizontal oder leicht schräg stehenden Nähte sind leicht eingesenkt. Der planspirale Teil besitzt beiderseits eine flache Nabelvertiefung. Die Gehäusewand ist fein agglutiniert.

Maße: L 0,51–0,79 mm, B 0,27–0,30 mm

D 0,16–0,17 mm

Differentialdiagnose:

Ammobaculites agglutinans (D'ORBIGNY), 1846 ist wesentlich gröber agglutiniert.

Vorkommen:

Untereger₁: Cyrenen-Schichten von Gieshof NW Hausham.

Gattung: *Cyclammina* BRADY, 1879

Cyclammina acutidorsata (HANTKEN)

Taf. 1, Fig. 12

*1868 *Haplophragmium acutidorsatum* – HANTKEN: 82, Taf. 1/1 (Oligozän – Ungarn) (fide ELLIS & MESSINA).

Verbreitung: Weit verbreitet, teils massenhaft im gesamten Rupel und Untereger der marinen bayerischen Molasse.

Cyclammina obesa CUSHMAN & LAIMING

Taf. 1, Fig. 13, 16 u. 17

*1931 *Cyclammina cancellata* H. B. BRADY, var. *obesa* CUSHMAN and LAIMING, n. var. — CUSHMAN & LAIMING: 94, Taf. 9/10 (Miozän — Kalifornien).

1971 *Cyclammina cancellata obesa* Cushman et Laiming — IVA, GHEORGHIAN & GHEORGHIAN: 83, Taf. 5/2–4 (Miozän — Rumänien).

Beschreibung: Die planspiralen Gehäuse haben einen rundlichen bis ovalen Umriss und eine gerundete, leicht gelappte oder ungelappte Peripherie. Die Kammerzahl in der jüngsten Windung beträgt sechs bis zehn. Die Kammern nehmen kontinuierlich an Größe zu. Die kaum eingesenkten Nähte stehen in etwa radial und haben einen geraden oder leicht sigmoiden Verlauf. Die Nabelvertiefung ist eng. Die interiomarginale Mündung, ein niedriger symmetrischer Bogen, reicht seitlich fast bis zum Nabel.

Internbau: Eine Differenzierung in nicht unterteiltes Kammerlumen und labyrinthische Hypodermis existiert nicht; vielmehr besteht das Lumen aus sehr zahlreichen, sich mannigfach verzweigenden Kanälen. Die nicht-labyrinthische Außenwand und auch die Septen sind dünn.

Die Außenwand ist fein bis mäßig grob agglutiniert; oft ist das agglutinierte Material schlecht sortiert. Die Stirnfläche ist häufig gröber agglutiniert als das übrige Gehäuse.

Maße: L 0,43–1,15 mm, B 0,35–0,77 mm
D 0,20–0,52 mm

Differentialdiagnose:

Äußerlich besteht große morphologische Ähnlichkeit mit *Cyclammina rotundidorsata* (HANTKEN), 1875; der Dünnschliff zeigt jedoch, daß hinsichtlich des inneren Aufbaus keine Gemeinsamkeiten bestehen. Nach CICHÁ & ZAPLETALOVA (1963: 103 u. Abb. 14) besitzt *Cyclammina rotundidorsata* ähnlich wie *Cyclammina acutidorsata* (HANTKEN), 1868 einen verhältnismäßig einfachen Bau mit an der Basis nicht unterteiltem Kammerlumen; dieses spaltet zur Außenwand hin in zahlreiche Arme auf („Alveolen höherer Ordnung“). Die Kammerscheidewände sind massiv.

Cyclammina praecancellata VOLOSHINOVA, 1939 weist eine wesentlich höhere Kammerzahl pro Umgang und im allgemeinen eine subakute Peripherie auf.

Cyclammina cancellata BRADY, 1884 zeichnet sich gegenüber *Cyclammina obesa* durch eine höhere Kammerzahl pro Windung sowie einen in alveolare Hypodermis und freies Lumen gegliederten Kammerbau aus.

Verbreitung:

Gesamtes Rupel und Untereger₁ der Haushamer Mulde (z. T. sehr häufig).

Untereger₁: Priengebiet
Bohrung Ampfing 1

Familie: Trochamminidae SCHWAGER, 1877

Gattung: *Budashevaella* LOEBLICH & TAPPAN, 1964

Budashevaella multicamerata (VOLOSHINOVA)

Taf. 2, Fig. 1–3

*1961 *Circus multicameratus* Voloshinova sp. n. — VOLOSHINOVA & BUDASHEVA: 201, Taf. 7/6; 8/1 u. 7 (U.-Miozän — Sachalin)

1971 *Budashevaella multicamerata* (Voloshinova) — IVA, GHEORGHIAN & GHEORGHIAN: 87, Taf. 4/38–47 (Miozän — Rumänien).

Beschreibung: Es handelt sich um eng gewundene, anfangs streptospirale, später nahezu planspirale, dick-scheibenförmige oder walzenförmige Gehäuse. Der letzte Umgang ist aus acht bis dreizehn, in der Mehrzahl aus neun oder zehn Kammern aufgebaut. In diesem Bereich gewinnen die Kammern kaum an Größe. Im Nabel sind beiderseits ältere Kammern sichtbar. Die radial stehenden Nähte sind verdickt und treten bei verdrückten Individuen wulstartig hervor.

Internbau: Aufgrund der Aufwindung in unterschiedlichen Ebenen sind die frühen Umgänge im Dünnschliff nicht vollständig sichtbar. Im Medianschnitt besitzen die Kammern einen dreieckigen oder viereckigen Umriss. Die intercameralen Mündungen haben eine interiomarginale Position.

Die Gehäusewand ist feinagglutiniert.

Maße: L 0,35–0,51 mm, B 0,27–0,47 mm
D 0,22–0,36 mm

Differentialdiagnose:

Von VOLOSHINOVA (1961) wurden unter dem Gattungsnamen *Circus* noch weitere Arten aufgestellt. *B. multicamerata* ist im Vergleich zu diesen Arten stärker evolut und besitzt beiderseits einen weiteren Nabel.

Verbreitung:

Untereger₁: Bohrung Ampfing 1
Oberes Rupel: Prien-Profil

Familie: Textulariidae EHRENBERG, 1838

Gattung: *Textularia* DEFRANCE, 1824

Textularia agglutinans D'ORBIGNY

*1839 *Textularia agglutinans* — D'ORBIGNY: 114, Taf. 1/17, 18, 32–34 (rezent — Karibik) (fide ELLIS & MESSINA).

Verbreitung: Weit verbreitet im gesamten Rupel und Untereger der marinen bayerischen Molasse, z. T. massenhaft.

Textularia deperdita D'ORBIGNY

Taf. 2, Fig. 4–5

*1846 *Textularia deperdita*, d'Orbigny — D'ORBIGNY: 244, Taf. 14/23–25 (Miozän — Wiener Becken).

1985 *Textularia deperdita* D'ORBIGNY — PAPP & SCHMID: 84, Taf. 78/7–9 (Baden — Wiener Becken).

Beschreibung: Die keilförmigen Gehäuse zeigen divergierende Seiten und einen dick-rautenförmigen Querschnitt. Die Peripherie ist subakut und leicht gelappt. Bei den längsten Individuen folgen acht Kammerpaare auf den Proloculus. Die Kammern sind niedrig und breit und von schwach vertieften, geraden Suturen begrenzt. Der Suturewinkel variiert im Bereich zwischen 40 und 80°. Die Mündung, ein niedriger Bogen an der Innenseite der jüngsten Kammer, nimmt etwas mehr als ein Drittel der maximalen Gehäusedicke ein. Die Schale ist feinagglutiniert.

Maße: L 0,35–1,01 mm, B 0,23–0,61 mm
D 0,20–0,45 mm

Differentialdiagnose:

Textularia gramen D'ORBIGNY, 1846 zeichnet sich gegenüber *Textularia deperdita* durch rasch an Gesamtgröße und insbesondere auch an Höhe rasch zunehmende Kammern und durch eine bauchigere Kammerform aus.

Textularia sagittula DEFANCE, 1824 besitzt eher parallele Seiten und eine gerundete Peripherie, vgl. z. B. AGIP (1982: Taf. 2/5).

Verbreitung: Die Art ist im oberen Rupel und Unter-_{er} der marinen bayerischen Molasse weit verbreitet.

Gattung: *Spiroplectammina* CUSHMAN, 1927

Spiroplectammina carinata (D'ORBIGNY)

*1846 *Textularia carinata*, d'Orbigny — D'ORBIGNY: 247, Taf. 14/32–34 (Baden — Wiener Becken).

Verbreitung: Weit verbreitet im gesamten Oligozän der marinen bayerischen Molasse; z. T. massenhaft.

Spiroplectammina pectinata (REUSS)

*1850 *Textularia pectinata* m. — REUSS: 381, Taf. 49/2 u. 3 (Tertiär — Wiener Becken).

Verbreitung:

Untereger₁: Nonnenwaldmulde
Bohrung Ortenburg 1001
Rote Traun
Oberes Rupel: Feilnbachtal

Gattung: *Vulvulina* D'ORBIGNY, 1826

Vulvulina spinosa CUSHMAN

Taf. 2, Fig. 6 u. 8

- *1927a *Vulvulina spinosa* Cushman, new species — CUSHMAN: 111, Taf. 23/1 (Untero oligozän — Mexiko).
1932 *Vulvulina spinosa* Cushman — CUSHMAN: 79, Taf. 10/15' (Untero oligozän — Mexiko).
1960 *Vulvulina subflabelliformis* (HANTKEN) — HAGN: Taf. 7/2 (Untereger — bayer. Molasse).
1971 *Vulvulina spinosa miocenica* Cushman — GHEORGHIAN: Taf. 1/5 u. 6 (Ottomány — Rumänien).
1982 *Vulvulina spinosa* Cushman — AGIP: Taf. 3/6 (Oberoligozän — Italien).

Beschreibung: Die fächerartigen Gehäuse haben eine gekielte, häufig gesägte oder bestachelte Peripherie. Auf den kleinen planspiralen Anfangsteil folgt der aus 6 bis 11 Kammerpaaren aufgebaute biserialer Abschnitt, der seinerseits noch von wenigen einzeilig angeordneten, reitenden Kammern abgelöst wird. Die Kammern sind niedrig und nach unten gekrümmt; seine größte Dicke erreicht das Gehäuse am Ende des zweizeiligen Stadiums, wo es einen rautenförmigen Querschnitt besitzt. Die Nähte sind zumindest im älteren Gehäuseteil erhaben und verdickt. Im Bereich des biserialen Teils ist die Mündung ein interiomerginaler Schlitz an der Innenseite der Kammern. Die uniserial angeordneten Kammern weisen eine in der Ebene der Peripherie des Gehäuses gelegene terminale schlitzförmige Mündung auf. Die Schale ist feinagglutiniert und glatt.

Maße: L 0,64–0,91 mm, B 0,63–0,81 mm
D 0,35 – 0,45 mm

Differentialdiagnose:

Adulte Individuen von *Vulvulina pennatula* (BATSCH), 1791, *Vulvulina flabelliformis* (GÜMBEL), 1868 und *Vulvulina haeringensis* (GÜMBEL), 1868 besitzen einen uniserialen Gehäuseteil, der aus verhältnismäßig hohen und schmalen Kammern aufgebaut ist. Derartige Formen liegen nicht in der Variationsbreite der oben beschriebenen Art.

Vulvulina nummulina (GÜMBEL), 1868 ist nach HAGN (1956: 116) mit *Vulvulina flabelliformis* identisch. Zahlreiche Abbildungen und eine detaillierte Beschreibung von *Vulvulina haeringensis* bietet LUHR (1962: 93 ff, Taf. 1/6, 7 u. 11–13, sowie Taf. 8/7). *Vulvulina subflabelliformis* (HANTKEN), 1875 zeichnet sich laut Originalabbildung durch nur leicht gebogene, kaum nach unten gezogene, eingesenkte Nähte aus.

Verbreitung:

Untereger₁: Prien-Profil
Bohrung Ampfing 1
Oberes Rupel: Prien-Profil
Ramberg/Bergener Gebiet
Unteres Rupel: SW Rettenbeck bei Hausham
Osterbach

Familie: Ataxophragmiidae SCHWAGER, 1877

Gattung: *Pavonitina* SCHUBERT, 1914

Pavonitina kiscelliana (SZTRAKOS)

Taf. 2, Fig. 7, 9 u. 10

*1979 *Ammospirata kiscelliana* n. sp. — SZTRAKOS: 59, Taf. 3/6 (Oberes Rupel — Ungarn).

1982 *Ammospirata kiscelliana* SZTRAKOS — SZTRAKOS: Taf. 2/6 u. 26/4 (Obereozän/Oligozän — Ungarn).

Beschreibung: Die rasch an Breite zunehmenden, abgeflachten Gehäuse haben einen kurzen dreikantigen Anfangsteil und eine gekielte Peripherie. Auf den aus wenigen kleinen Kammern aufgebauten triserialen Anfangsteil folgt ein unmittelbarer Übergang zu biserialer Kammeranordnung. Dieser bereits seitlich stark abgeflachte Teil besteht aus drei bis vier Kammerpaaren; die Kammern dieses Abschnitts besitzen mondförmige Gestalt und sind nahe der Peripherie nach unten gezogen. Darüber folgen bis zu drei reitende Kammern in einzeiliger Anordnung. Im Bereich der jüngeren Kammern des biserialen Teils, sowie im einzeiligen Teil sind die Kammercheidewände zweischichtig struiert; die Hypodermis zeigt pfeilerartige Elemente und dazwischenliegende Freiräume; diese Pfeiler stehen nahe der Peripherie horizontal, im Medianbereich vertikal. Ihre Länge entspricht der Höhe des nicht gegliederten Kammerlumens. Die multiple Mündung besteht aus einem in der Ebene der Peripherie liegenden terminalen Schlitz und aus seitlich sich anschließenden Mündungsporen. Die Gehäusewand ist fein bis mäßig grob agglutiniert.

Maße: L 0,40–0,86 mm B 0,40–0,75 mm
D 0,15–0,20 mm

Anmerkung: Der Internbau läßt sich an Individuen mit vererztem Kammerlumen am besten beobachten.

Differentialdiagnose:

Pavonitina styriaca SCHUBERT, 1914 zeigt einen stärker hervortretenden triserialen Anfangsteil als *P. kiscelliana*.

Pseudotriplasia plana MAŁECKI, 1954 ist durch ein nur schwach entwickeltes biserials Stadium gekennzeichnet.

Verbreitung:

Oberes Rupel: Reiter Bach/Agatharied (häufig)
Locher Graben
Bocksleiten/Isar

Gattung: *Dorothia* PLUMMER, 1931

Dorothia paupercula (CUSHMAN)

Taf. 2, Fig. 12–13

*1911 *Gaudryina paupercula*, new species – CUSHMAN: 66, Abb. 106 (rezent – Pazifik).

1937a *Dorothia paupercula* (Cushman) – CUSHMAN: 101, Taf. 10/22–24 (rezent – Pazifik).

1971 *Dorothia paupercula* (Cushman) – IVA, GHEORGHIAN & GHEORGHIAN: 89, Taf. 6/29 (Miozän – Rumänien).

Beschreibung: Es handelt sich um gedrungene, in der Seitenansicht ovale bis rundliche Gehäuse. Auf die Initialwindung mit vier bis fünf Kammern folgt Reduktion der Kammerzähl auf drei pro Umgang. Dabei nehmen die Kammern rasch an Größe zu. Das biserials Stadium wird nur von wenigen Individuen erreicht. Die Kammern sind stark gebläht und durch deutliche Nähte geschieden. Die Mündung, ein niedriger, weiter Bogen liegt an der Innenseite der jüngsten Kammer. Die Gehäusewand ist grob agglutiniert, aber jedoch ziemlich glatt.

Maße: L 0,48–1,01 mm

D 0,42–0,63 mm

Erhaltung: Die vorliegenden Exemplare sind fast ausnahmslos verdrückt.

Anmerkung: CUSHMAN (1937a: 101) führt „very similar specimens“ aus oligozänen Lokalitäten an, stellt diese aber nicht explizit zu *Dorothia paupercula*.

Verbreitung:

Untere Rupel: Gaisbach
Koglgraben

Oberes Rupel: Gaisbach
Leitzach

Die Art tritt z. T. massenhaft auf. Im oberen Rupel des Prien- und des Traungebietes kommen ähnliche Formen vor, die aber aufgrund ihres sehr schlechten Erhaltungszustandes nicht eindeutig identifiziert werden können.

Gattung: *Karrieriella* CUSHMAN, 1933

Karrieriella siphonella exilis HAGN

Taf. 2, Fig. 11, 14, 20 u. 21

*1952 *Karrieriella siphonella* (REUSS), var. *exilis* nov. var. – HAGN: 139, Taf. 1/7 u. 2/9 (Rupel – bayer. Molasse).

1956 *Karrieriella siphonella* (REUSS) *exilis* HAGN – HAGN: 121, Taf. 10/10–12 (Obereozän – Norditalien).

1960 *Karrieriella siphonella exilis* HAGN – HAGN: Taf. 6/4 (Rupel – bayer. Molasse).

Beschreibung: Die länglichen, schlanken Gehäuse besitzen eine stumpfe oder leicht zugespitzte Basis und weisen eine kontinuierliche, langsame Breitenzunahme auf. Der kurze trochospirale Anfangsteil hat dreieinhalb bis vier Kammern in der Initialwindung und hebt sich äußerlich nicht vom übrigen Gehäuse ab. Die Kammern des dominierenden gedreht-biserialen Abschnitts sind anfangs noch niedriger als breit, später zunehmend gebläht und so hoch wie breit. Die schrägen Nähte sind dementsprechend nach oben hin zunehmend eingesenkt. Die Mündung sitzt oberhalb einer flachen Vertiefung der Innenseite der letzten Kammer zwischen der basalen Naht und dem Apex. Sie besitzt einen verdickten Randsaum oder ein kurzes Hälschen. Die Gehäusewand ist weitgehend feinagglutiniert.

Maße: L 0,46–1,17 mm

D 0,21–0,33 mm

Differentialdiagnose:

Die Variabilitätsbereiche von *Karrieriella siphonella siphonella* (REUSS), 1851 und *Karrieriella siphonella exilis* berühren sich zwar, doch weist die Nominatunterart im Durchschnitt wesentlich stärker divergierende Seiten auf. Dies gilt insbesondere auch für die mikrosphärische Generation.

Karrieriella hantkeniana CUSHMAN, 1936 zeichnet sich durch einen besser entwickelten und deutlicher vom übrigen Gehäuse abgesetzten trochospiralen Teil aus. Die Schale ist bei dieser Art fein bis deutlich grob agglutiniert.

Anmerkung: Stratum typicum der Art sind die rupelischen Tonmergelschichten, locus typicus ist der Locher Graben bei Hausham.

Verbreitung:

Untere Rupel: Bohrung Ampfing 1
Engelsrieder Graben
Schmeroldgraben

Oberes Rupel: Bocksleiten/Isar
Gaisbach
Schmeroldgraben
Locher Graben
Leitzach
Feilnbachtal

Unteres Rupel: SW Rettenbeck bei Hausham

Karrieriella hantkeniana CUSHMAN

*1936b *Karrieriella hantkeniana* Cushman, n. sp. – CUSHMAN: 36, Taf. 5/19 (Unteroligozän? – Ungarn).

Verbreitung:

Untere Rupel: Nonnenwald-Mulde
Rainer Mühle/Prien-Profil
Bohrungen Ortenburg 1001, 1002, 1003
Bohrung Ampfing 1
Rote Traun

Oberes Rupel: Prien-Profil

Karrieriella postsiphonella (SPANDEL)

Taf. 2, Fig. 15 u. 19

*1909 *Gaudryina postsiphonella* n. sp. – SPANDEL: 155, Taf. 2/6 (Rupel – Mainzer Becken).

1937a *Karrieriella postsiphonella* (Spandel) – CUSHMAN: 127, Taf. 15/9 (Rupel – Mainzer Becken).

Beschreibung: Es sind längliche, zierliche, gelappte Gehäuse mit zugespitzter oder stumpfer Basis. Auf den kurzen trochospiralen Anfangsteil folgt rasch gedreht-biseriale Kammeranordnung. Der trochospirale Teil hebt sich morphologisch kaum vom übrigen Gehäuse ab. Die Gehäusebreite ist weitgehend konstant; die gewölbten Kammern des zweizeiligen Abschnitts nehmen nur langsam an Größe zu. Die allerjüngsten Kammern zeigen eine Tendenz zu uniserieller Anordnung. Die terminale Mündung sitzt auf einem Hälschen. Die Schale ist grob agglutiniert.

Maße: L 0,40–0,78 mm

D 0,15–0,20 mm

Anmerkung: Nach den Angaben von SPANDEL (1909: 155) stimmt *Karrieriella postsiphonella* mit *Gaudryina siphonella* REUSS bei BRADY (1884: Taf. 46) überein. Letztere Art ist mit *Karrieriella apicularis* (CUSHMAN) identisch (vgl. BARKER 1960: 94).

Verbreitung:

Untereger₁: Bohrung Ampfing 1
(nicht selten)

Familie: Miliolidae EHRENBERG, 1839

Gattung: *Quinqueloculina* D'ORBIGNY, 1826

Quinqueloculina ermanni BORNEMANN

Taf. 3, Fig. 13–15

*1855 *Quinqueloculina ermanni* n. sp. — BORNEMANN: 351,
Taf. 19/6 (Oligozän — Norddeutschland).

Beschreibung: Bei den in der Seitenansicht nahezu rundlichen, gedrungenen, dickschaligen, großen Gehäusen ist der Umriß in der Mündungsansicht flach-dreieckig, die winkelige Peripherie etwas abgestutzt. Äußerlich sind fünf Kammern sichtbar, auch die fünftletzte Kammer tritt noch deutlich hervor. Auf der vierkammerigen Seite nehmen die inneren Kammern ein Drittel der Gehäusebreite ein. Die sehr deutlichen Nähte sind eingesenkt. Die Mündung ist rundlich und besitzt einen einfachen Zahn. Die Schalenoberfläche ist glatt.

Maße: L 0,55–0,94 mm, B 0,40–0,82 mm

D 0,30–0,54 mm

Anmerkung: Ähnlichkeit besteht mit *Quinqueloculina bicarinata* D'ORBIGNY bei BHATIA (1955: 671, Taf. 67/12), bei der aber zwei deutliche Kiele entwickelt sind.

Verbreitung: Sehr selten im Untereger₁ der Promberger Schichten der Nonnenwald-Mulde und im obersten Rupel des Gaißach-Profiles.

Quinqueloculina cribrosa (EGGER)

*1857 *Miliola (Quinqueloculina) cribrosa* nov. spec. — EGGER: 273,
Taf. 6/13–15 (Eggenburg — bayer. Molasse).

Verbreitung: Die Art ist im gesamten Rupel und im Untereger₁ der marinen bayerischen Molasse weit verbreitet.

Quinqueloculina hauerina D'ORBIGNY

Taf. 2, Fig. 16–18

*1846 *Quinqueloculina hauerina*, D'Orbigny — D'ORBIGNY: 286,
Taf. 17/25–27 (Tertiär — Wiener Becken).

1974 *Cycloforina hauerina* (d'Orbigny) — ŁUCZKOWSKA: 79,
Taf. 12/1, Abb. 28/5 (Miozän — Polen).

1979 *Quinqueloculina hauerina* D'ORBIGNY — SZTRAKOS: Taf. 7/1
(oberes Rupel — Ungarn).

1985 *Cycloforina hauerina* (D'ORBIGNY) — PAPP & SCHMID: 97,
Taf. 91/5–8, Abb. 14/3 (Miozän — Wiener Becken).

Beschreibung: Die im Umriß ovalen, am „basalen Ende“ zugerundeten oder in eine stumpfe Spitze auslaufenden Gehäuse besitzen eine breit-gerundete Peripherie. In der Aufsicht bilden diese in der Regel ein wohlgerundetes, flaches Dreieck. Äußerlich sind stets fünf einander nur mäßig stark einhüllende Kammern zu erkennen, wobei auch die fünftletzte Kammer im allgemeinen noch deutlich hervortritt. Dementsprechend sind auch die Nähte deutlich vertieft. Die Mündung ist rundlich bis halbmondförmig und zeigt einen zweilappigen Zahn. In der Seitenansicht liegt der einfache Mündungsrand schräg zur Gehäuseachse. Die Gehäusewand ist meist glatt.

Maße: L 0,20–0,51 mm, B 0,13–0,27 mm

D 0,08–0,21 mm

Differentialdiagnose:

Quinqueloculina seminulum (LINNE) ist stärker gestreckt und zeichnet sich durch einen in der Mündungsansicht nur leicht gerundeten, dreiwinkeligen Umriß und die länglich-ovale Mündung aus (vgl. auch LOEBLICH & TAPPAN, 1964a: Abb. 349/1: Neotyp).

Quinqueloculina akneriana D'ORBIGNY, 1846 zeigt eine Tendenz zu paariger Kammeranordnung bei Winkeln nahe 180° („massiline stage specimens“, vgl. ŁUCZKOWSKA, 1974: 37). Bei den Individuen, die dieses Stadium nicht erreichen, ist die Peripherie subakut (ŁUCZKOWSKA, 1974: 35). Die fünftletzte Kammer tritt offenbar nur selten deutlich hervor.

Quinqueloculina ovata ROEMER, 1838 hat nach der Beschreibung und Abbildung durch REUSS (1856: 252, Taf. 9/88) einen „beinahe abgestutzten Rücken“. Auch in der Darstellung von GROSSHEIDE (1965: Taf. 4/3) ist dieses Merkmal andeutungsweise erkennbar. *Quinqueloculina ludwigi* REUSS, 1866 besitzt ein Mündungshälschen.

Verbreitung: Weit verbreitet und z. T. sehr häufig im gesamten Rupel und Untereger der marinen bayerischen Molasse.

Quinqueloculina ludwigi REUSS

Taf. 3, Fig. 1, 6 u. 7

*1866 *Quinqueloculina ludwigi* REUSS. — REUSS: 126, Taf. 1/12
(Oligozän — Norddeutschland).

1958 *Quinqueloculina ludwigi* REUSS. — BATJES: 103, Taf. 1/14
(Oligozän — Belgien).

1962 *Quinqueloculina ludwigi* REUSS — KIESEL: 18, Taf. 2/6 (Oligozän — DDR).

1966 *Quinqueloculina ludwigi* REUSS — LE CALVEZ: 402, Taf. 1/12–14 (Unteroligozän — Pariser Becken).

1974 *Quinqueloculina ludwigi* REUSS — MURRAY & WRIGHT: Taf. 3/13–15 (Barton Clay — England).

1979 *Quinqueloculina ludwigi* REUSS — SZTRAKOS: Taf. 7/4 (oberes Rupel — Ungarn).

Beschreibung: Die im Umriß länglich-ovalen Gehäuse zeigen eine stumpfe „Basis“ und gerundete Seiten. Die Mündungsansicht zeigt einen gerundeten, flach-dreieckigen Umriß. Äußerlich sind stets fünf schlauchartige, nur mäßig stark umgreifende Kammern unterscheidbar. Auch die fünftletzte

Kammer tritt in der Regel noch merklich hervor. Die Nähte sind deutlich eingesenkt. Die Mündung sitzt stets auf einer halsartigen Verlängerung der letzten Kammer und hat eine rundliche bis leicht ovale Form. Aufgrund mangelnder Erhaltung fehlt der Zahn.

Maße: L 0,31–0,38 mm, B 0,17–0,18 mm
D 0,12–0,17 mm

Verbreitung:

Untereger₁: Bohrung Ortenburg 1001
und 1003 (nicht sehr häufig)

Die Art ist im europäischen Oligozän weithin gut belegt.

Gattung: *Sinuoloculina* ŁUCZKOWSKA, 1972

Sinuoloculina consobrina (D'ORBIGNY)

*1846 *Triloculina consobrina*, d'Orbigny – D'ORBIGNY: 277, Taf. 17/10–12 (Tertiär – Wiener Becken).

Verbreitung:

Untereger₁: Kaltenbachgraben (selten)
Koglgraben (selten)

Gattung: *Triloculina* D'ORBIGNY, 1826

Triloculina gibba D'ORBIGNY

*1826 *Triloculina gibba*, Nob. – D'ORBIGNY: 299 (rezent u. fossil).

Verbreitung: Sehr selten im oberen Rupel an der Gaißach und der Roten Traun.

Triloculina cf. *byramensis* CUSHMAN & TODD

Taf. 3, Fig. 5 u. 10

1946 *Triloculina byramensis* Cushman and Todd, n. sp. – CUSHMAN & TODD: 83, Taf. 14/16 u. 17 (Oligozän – Mississippi).

Beschreibung: Es sind in der Seitenansicht ovale, gedrungene Gehäuse mit gerundeter oder nur sehr leicht zugespitzter Basis. Die Mündungsansicht zeigt einen gerundeten, flach-dreieckigen Umriss. Die Peripherie ist breit gerundet. Von außen sind drei Kammern sichtbar. Die Kammern sind in ihrem aboralen Teil stärker, im Bereich der Mündung weniger stark gekrümmt. Die Nähte sind deutlich eingesenkt. Die ovale bis fast rundliche Mündung läßt zuweilen einen kräftigen zweilappigen Zahn erkennen. Die Gehäusewand ist glatt.

Maße: L 0,20–0,28 mm, B 0,13–0,19 mm
D 0,10–0,14 mm

Anmerkung: Zu *Triloculina byramensis* lassen sich kaum Unterschiede feststellen. Die oben beschriebenen Exemplare haben eine deutlicher hervortretende Mittelkammer und eine weniger bauchige Kammerform, als dies bei *Triloculina inflata* D'ORBIGNY, 1846 der Fall ist.

Vorkommen:

Untereger₁: Koglgraben (selten)
Oberes Rupel: Leitzach-Profil (sehr selten)

Gattung: *Sigmoilinita* SEIGLIE, 1965

Sigmoilinita tenuis (CZJZEK)

Taf. 3, Fig. 2 u. 8

*1848 *Quinqueloculina tenuis* Cz. – CZJZEK: 149, Taf. 13/31–34 (Miozän – Wiener Becken).

1867 *Spiroloculina tenuissima* Rss. – REUSS: 55, Taf. 1/11 (Miozän – Polen).

1942 *Spiroloculina tenuis* (CZJZEK) – TEN DAM & REINHOLD: 47, Taf. 1/12 (oberes Oligozän – Niederlande).

1974 *Sigmoilinita tenuis* (CZJZEK) – ŁUCZKOWSKA: 148, Taf. 16/1–3, Abb. 53/3 (Miozän – Polen).

1979 *Spirosigmoilina tenuis* (CZJZEK) – SZTRAKOS: Taf. 7/13 (oberes Rupel – Ungarn).

Beschreibung: Die in der Seitenansicht ovalen, flachgedrückten Gehäuse weisen eine gerundete Peripherie und eine stumpfe „Basis“ auf. Auf den aus zahlreichen Kammern bestehenden, etwas nach außen gewölbten Anfangsteil folgen eineinhalb bis zweieinhalb Kammerpaare, die unter einem Winkel von 180° angeordnet sind. Diese jüngeren schlauchartigen Kammern sind gleichmäßig gekrümmt. Die Nähte sind flach eingesenkt und meist deutlich. Die ovale oder halbmondförmige Mündung sitzt auf einem deutlichen Hälschen. Die Gehäusewand ist glatt.

Maße: L 0,30–0,46 mm, B 0,18–0,28 mm
D 0,08–0,12 mm

Verbreitung: Weit verbreitet im gesamten Rupel und Untereger der marinen bayerischen Molasse.

Sigmoilinita sp.

Taf. 3, Fig. 3, 4 u. 9

Beschreibung: Es handelt sich um in der Seitenansicht spitz-ovale, flache Gehäuse mit ebenen parallelen oder schwach-konkaven Breitseiten. Im Bereich der jüngeren Kammern ist die Peripherie in zunehmendem Maß zweikanstig ausgebildet. Die Kammern sind gleichmäßig gebogen, schmal und nur in ihrem aboralen Teil etwas verdickt. Die Suturen sind undeutlich und kaum vertieft. Über den Internbau geben in Höhe des Proloculus aufgebrochene Gehäuse Aufschluß:

Den Proloculus umgeben stets einige quinqueloculin angeordnete Kammern. Danach erfolgt ein rascher Übergang zu Kammeranordnung unter 180°. Zwei bis drei Kammerpaare sind schließlich in ein und derselben Ebene angeordnet. Im Querschnitt hat die Kammerhöhle einen schlank-halbmondförmigen oder schlank-ovalen Umriss.

Die ovale kleine Mündung sitzt auf einem konischen Hälschen. Die Schalenoberfläche ist glatt.

Maße: L 0,30–0,36 mm, B 0,13–0,14 mm
D 0,05–0,06 mm

Anmerkung: Hinsichtlich der äußeren Merkmale erinnern die beschriebenen Formen z. T. an *Spiroloculina canaliculata* D'ORBIGNY, 1846; der Internbau hat indes mit der Gattung *Spiroloculina* nichts gemein. Eine gewisse Ähnlichkeit besteht auch mit *Sigmoilina? frequens* ISRAELSKY, 1951. Diese Art besitzt jedoch wesentlich breitere Kammern, deren Höhlungen einen rundlichen Querschnitt aufweisen.

Verbreitung:

- Untereger_I: Thalberggraben/Traun-Profil
 Rainer Mühle/Prien-Profil
 Kaltenbachgraben
 Bohrung Ortenburg 1001
- Oberes Rupel: Koglgraben/Feilnbacher Gebiet
 Nörtl. Fortsetzung des
 Wehrprofils/Traun-Profil

Gattung: *Sigmoilopsis* FINLAY, 1947

Sigmoilopsis colomi (GLAÇON & MAGNÉ)

- *1953 *Sigmoilina colomi* n. sp. — GLAÇON & MAGNÉ: 56, Abb. 1–5
 (Miozän — Algerien).

Verbreitung: *Sigmoilopsis colomi* setzt mit dem Eger ein.

- Untereger_I: Nonnenwald-Mulde
 Bohrungen Ortenburg 1001 und 1003
 Prien-Profil
 Traun-Profil

Familie: Nodosariidae EHRENBURG, 1838

Gattung: *Robulus* MONTFORT, 1808

Robulus cultratus MONTFORT

- *1808 *Robulus cultratus* — MONTFORT: 215 (fossil — Toscana) (fide
 ELLIS & MESSINA).

Verbreitung:

- Untereger_I: Nonnenwald-Mulde
 Bohrungen Ortenburg 1002 u. 1003
 Bohrung Ampfing 1
 Leitzach
 Koglgraben
- Oberes Rupel: Schmeroldgraben
 Weiße Traun
- Unteres Rupel: Osterbach

Robulus calcar (LINNÉ)

- *1758 *Nautilus Calcar* — LINNÉ: 709 (rezent — Adria)

Vorkommen: Selten im Untereger_I des Grabens SSW
 Höll/Traun-Profil.

Robulus inornatus (D'ORBIGNY)

- *1846 *Robulina inornata*, d'Orbigny — D'ORBIGNY: 102, Taf. 4/25 u.
 26 (Miozän — Wiener Becken).

Verbreitung: Weit verbreitet und oft massenhaft im gesamten Rupel und Untereger der marinen bayerischen Molasse.

Robulus vortex (FICHEL & MOLL)

- 1803 *Nautilus vortex* — FICHEL & MOLL: 33, Taf. 2/d–i (Pliozän — Toscana).

Verbreitung:

- Untereger_{II}: Wildenwart/Prien-Profil

- Untereger_I: Nonnenwald-Mulde
 Oberes Rupel: Feilnbachtal
 Weiße Traun

Robulus cf. *depauperatus* (REUSS)

Taf. 3, Fig. 11–12

- 1851 *Robulina depauperata* m. — REUSS: 70, Taf. 4/29 (Oligozän — Norddeutschland).

Beschreibung: Die flachen, linsenförmigen, z. T. leicht evoluten Gehäuse haben einen rundlichen oder leicht ovalen Umriss. Die winkelige Peripherie ist deutlich gekielt und andeutungsweise gelappt. Die Kammerzählung im letzten Umgang beträgt fünf bis acht. Erwachsene Individuen besitzen einen kleinen nicht vorspringenden Nabelpfropf. Die radial stehenden Nähte sind eingesenkt und nahe der Peripherie etwas zurückgebogen. Die Mündung ist strahlig. Die Gehäusewand ist glatt und feinperforiert.

Maße: L 0,36–1,35 mm, B 0,28–1,30 mm
 D 0,17–0,60 mm

Differentialdiagnose:

Nach verschiedenen Autoren handelt es sich bei *Robulus depauperatus* um dick-linsenförmige Gehäuse mit eingesenkten Nähten sowie fehlendem Nabelpfropf (vgl. hierzu

BORNEMANN, 1855: 337, Taf. 14/11,
 REUSS, 1863 b: 54, Taf. 6/67 u. 68 und
 POPESCU, 1975: Taf. 31/2 u. 4).

Robulina arcuata KARRER, 1862 besitzt offenbar eine sehr deutlich gelappte Peripherie und es fehlt ebenfalls der Nabelpfropf.

Verbreitung: Weit verbreitet im gesamten Oligozän der marinen bayerischen Molasse; jeweils selten.

Gattung: *Planularia* DEFANCE, 1826

Planularia budensis (HANTKEN)

Taf. 3, Fig. 20 u. 25

- *1875 *Robulina budensis* Hantk. — HANTKEN: 58, Taf. 7/1 (Obereozän — Ungarn).
 1953 *Robulus budensis* (HANTKEN) — GIANOTTI: 225, Taf. 14/2 (Miozän — Norditalien).
 1961 *Planularia budensis* (HANTKEN) — PAPP: 217, Abb. 4/3 (Eger — Niederösterreich).
 1979 *Lenticulina budensis* (HANTKEN) — SZTRAKOS: Taf. 12/9 (oberes Rupel — Ungarn).
 1982 *Lenticulina budensis* (HANTKEN) — SZTRAKOS: Taf. 9/3 (Obereozän/Oligozän — Ungarn).

Beschreibung: Die linsenförmigen, nahezu rundlichen Gehäuse besitzen eine winklige, deutlich gekielte, gelappte Peripherie. Der letzte Umgang besteht aus fünf bis sechs breit-dreieckigen, gewölbten Kammern, die rasch an Größe zunehmen. Die eingesenkten Suturen sind in etwa gerade, stehen radial oder weisen etwas nach hinten. Der von den Kammern des letzten Umgangs nicht verdeckte zentrale Bereich ist mit groben knopfartigen Skulpturelementen ornamentiert; hierbei können meist kleinere, an den inneren Kammer spitzen sitzende Knöpfe von einem größeren Zentralknopf unterschieden werden. Die Mündung ist schlitzartig, die Gehäusewand feinporig und abgesehen von den Knöpfen glatt.

Maße: L 0,78–1,03 mm, B 0,65–1,00 mm
D 0,37–0,46 mm

Vorkommen: Untereger_I: Bohrung Ampfing 1

Planularia kubinyii (HANTKEN)

Taf. 3, Fig. 21–22

- *1868 *Cristellaria (Robulina) kubinyii* – HANTKEN: 92, Taf. 2/29 (Oligozän – Ungarn) (fide ELLIS & MESSINA).
1875 *Robulina kubinyii* Hantk. – HANTKEN: 56, Taf. 6/7 (Obereozän/Oligozän – Ungarn).
1949 *Planularia kubinyii* Hantken – CUVILLIER & SZAKALL: 60, Taf. 24/1 (Aquitän – Südfrankreich).
1956 *Planularia kubinyii* (HANTKEN) – HAGN: 130, Taf. 12/7 (Obereozän – Norditalien).
1971 *Planularia kubinyii* (Hantken) – POPESCU & IVA: 41, Taf. 4/5 (Oligozän – Rumänien).
1979 *Lenticulina kubinyii* (HANTKEN) – SZTRÁKOS: Taf. 13/1 (oberes Rupel – Ungarn).

Beschreibung: Die flach-scheibenförmigen, etwas ovalen, deutlich evoluten Gehäuse zeigen eine scharfe, in der Regel breit-gekielte Peripherie. Die Kammerzähl im letzten Umgang beträgt neun bis fünfzehn. Die hohen, schmalen Kammern sind zurückgebogen; die Nähte sind meist etwas limbat. Im Bereich der Windungsachse sind die Gehäuse nicht selten mit einem flachen Knopf aus durchscheinender Schalensubstanz besetzt. Die intercameralen Mündungen sind schmal-dreieckig. Die Gehäusewand ist glatt und feinporig.

Maße: L 0,50–1,21 mm, B 0,42–1,05 mm
D 0,15–0,40 mm

Differentialdiagnose:

Cristellaria grundensis KARRER, 1867 besitzt deutlich weniger Kammern pro Umgang sowie niedrigere Kammern; die Art ist schwächer evolut.

Verbreitung:

- Untereger_I: Bohrung Ortenburg 1001
Bohrung Ampfing 1
Dösdorf/Prien-Profil
Oberes Rupel: Ramberg/Bergener Gebiet
Traun-Profil

Planularia cf. cassis (FICHTEL & MOLL)

Taf. 3, Fig. 17 u. 19

- 1803 *Nautilus cassis* – FICHTEL & MOLL: 95, Taf. 17/a–e, 18/a–c (Pliozän – Toscana).

Beschreibung: Es handelt sich um abgeflachte, evolute Gehäuse mit zugespitzter, gekielter, ungelappter Peripherie. Auf das ausgeprägte planspirale Stadium folgt ein vermutlich kurzer, bei keinem Individuum komplett erhaltener entrollter Teil. Die Kammerzähl der jüngsten noch zum planspiralen Teil gehörigen Windung beträgt neun bis elf. Diese rasch an Höhe zunehmenden, schmalen Kammern sind deutlich nach rückwärts gekrümmt. Mit Beginn des entrollten Stadiums nimmt die Kammerhöhe wieder ab. In der Umgebung der Windungsachse sind die Gehäuse mit hyalinem Schalenmaterial besetzt. Die Nähte sind verdickt und können im Bereich der jüngeren Kammern etwas erhaben sein. Die Gehäusewand ist glatt und feinporig.

Maße: L 0,56–0,68 mm, B 0,37–0,46 mm
D 0,18–0,22 mm

Differentialdiagnose:

Von *Planularia kubinyii* unterscheidet sich die Art durch die Tendenz zur Entrollung, von *Planularia cassis* (FICHTEL & MOLL), 1798 durch die Reduktion der Kammerhöhe im entrollten Teil und die fehlende Ornamentierung.

Verbreitung:

- Unteres Rupel: Ramberg/Bergener Gebiet
Wehrprofil

Planularia moravica (KARRER)

Taf. 3, Fig. 23–24

- *1865 *Cristellaria moravica* – KARRER: 707, Taf. 2/9 (Tertiär – Wiener Becken) (fide ELLIS & MESSINA).
1960 *Planularia* n. sp. – HAGN: Taf. 8/1 (Untereger_{II} – bayer. Molasse).
1975 *Planularia moravica* (Karrer) – POPESCU: Taf. 28/1 (Miozän – Rumänien).
1982 *Planularia moravica* (KARRER) – SZTRÁKOS: Taf. 12/12 (Obereozän/Oligozän – Ungarn).
1983 *Planularia moravica* (KARR.) – ČIČHA, ZAPLETALOVÁ, MOLČIKOVÁ & BRZBOHATÝ: Taf. 8/10 (unteres Baden – Westkarpathen).

Beschreibung: Die evoluten, scheibenförmigen, kreisrunden oder leicht ovalen Gehäuse besitzen parallele Seitenflächen und eine zugespitzte, gekielte und in der Regel gelappte Peripherie. Im Bereich der jüngsten Kammern des aus meist sechs oder sieben Kammern bestehenden letzten Umgangs ist der zarte Kielsaum reduziert. Im Zentrum der Seitenflächen sind die Kammern der Anfangswindung stets gut zu erkennen. Nach rückwärts gekrümmte, meist eingesenkte, einfache oder etwas verdickte Nähte trennen die niedrigen, meist leicht geblähten Kammern. Die Mündung ist strahlig, die Gehäusewand glatt und feinporig.

Maße: L 0,32–0,70 mm, B 0,27–0,62 mm
D 0,11–0,25 mm

Verbreitung: In der bayerischen Oligozän-Molasse ist die Verbreitung der Art auf das untere Eger der Vorlandmolasse beschränkt; sie setzt hier an der Grenze Rupel/Eger ein und tritt in höheren Bereichen des Untereger z. T. als Häufigkeitsform auf.

- Untereger_{II}: Bohrung Ampfing 1
Bohrungen Ortenburg 1001 u. 1002
Untereger_I: Bohrung Ortenburg 1003

Gattung: *Lenticulina* LAMARCK, 1804

Lenticulina gerlachi (REUSS)

Taf. 3, Fig. 16 u. 18

- *1863b *Cristellaria Gerlachi* m. – REUSS: 51, Taf. 4/54 u. 5/55 u. 59 (Oligozän – Mainzer Becken).
1866 *Cristellaria Gerlachi* Reuss – REUSS: 140, Taf. 4/1 (Oligozän – Mainzer Becken u. Norddeutschland).
1870 *Cristellaria Gerlachi* Rss. – REUSS: 27, v. SCHLICHT: Taf. 14/12 u. 15–20 (Oligozän – Norddeutschland).
1942 *Cristellaria (Lenticulina) gerlachi* REUSS – TEN DAM & REINHOLD: 53, Taf. 3/1 (Oligozän – Niederlande).

Beschreibung: Die im Querschnitt schlank-linsenförmigen, in der Regel perfekt planspiralen Gehäuse zeigen eine rasche Zunahme der Kammerhöhe und in seltenen Fällen eine leichte Entrollung. Die winklige Peripherie ist leicht abgerundet bis stumpf gekielt und fast immer ungelappt. Die Kammerzähl im letzten Umgang variiert zwischen sieben und zehn. Die zumeist zurückgebogenen Nähte sind mindestens im Bereich der jüngsten Kammern eingesenkt. Die Nabelregion ist häufig mit hyalinem Schalenmaterial versehen, ein vorgewölbter Pfropf ist jedoch nicht entwickelt. Die strahlige Mündung sitzt am Außenrand. Die Gehäusewand ist glatt und feinporig.

Maße: L 0,25–0,56 mm, B 0,17–0,40 mm
D 0,12–0,18 mm

Differentialdiagnose:

Cristellaria variabilis REUSS, 1850 ist breiter gekielt, die letzte Kammer ist abnorm groß.

Bei *Robulina integra* BORNEMANN, 1855 sind die Kammern nahe der Windungsachse wulstartig ausgebildet (vgl. hierzu WICK, 1939: 488, Taf. 21/5).

Verbreitung: Weit verbreitet im gesamten Rupel und Untereger der marinen bayerischen Molasse.

Gattung: *Astacolus* MONTFORT, 1808

Astacolus crepidulus (FICHEL & MOLL)

1803 *Nautilus crepidula* – FICHEL & MOLL: 107, Taf. 19/g–i (rezent – Küste von Livorno, Toscana).

Verbreitung:

Untereger₁: Bernhaupten (sehr selten)
Oberes Rupel: Schmeroldgraben

Astacolus minimus (HANTKEN)

Taf. 4, Fig. 3 u. 8

*1875 *Cristellaria minima* Hantk. n. sp. – HANTKEN: 54, Taf. 13/21 (Oligozän – Ungarn).

1979 *Astacolus minima* (HANTKEN) – SZTRAKOS: Taf. 10/6 (oberes Rupel – Ungarn).

1982 *Astacolus minimus* (HANTKEN) – SZTRAKOS: Taf. 6/10 (Obereozän/Oligozän – Ungarn).

Beschreibung: Es sind aus wenigen Kammern bestehende, seitlich mäßig stark komprimierte, ungelappte Gehäuse mit in etwa ovalem Umriß. Die ersten zwei bis drei rasch an Größe zunehmenden Kammern nach dem Proloculus sind entlang einer stark eingekrümmten Achse angeordnet. Die zwei jüngsten Kammern berühren den Proloculus nicht mehr. Der winklige Rücken des Gehäuses ist nicht oder schwach gekielt. Die leicht gekrümmten Nähte sind im Bereich der letzten Kammern schwach vertieft; die Gehäusewand ist glatt und feinporig.

Maße: L 0,40–0,46 mm, B 0,27–0,28 mm
D 0,16–0,18 mm

Differentialdiagnose:

Der wesentlich plumpere *Astacolus minimus* unterscheidet sich von *A. crepidulus* vor allem durch das weniger ausgeprägte ungewundene Stadium.

Cristellaria hauerina D'ORBIGNY, 1846 besitzt ein deutlich gelapptes Gehäuse mit einem ausgeprägtem ungewundenem Endteil (vgl. PAPP & SCHMID, 1985).

Cristellaria mirabilis REUSS, 1856 besitzt gemäß Originalbeschreibung einen dreiseitigen Querschnitt (REUSS, 1856: 236).

Verbreitung:

Untereger₁: Bohrung Ampfing 1
Oberes Rupel: Koglgraben

Gattung: *Vaginulinopsis* SILVESTRI, 1904

Vaginulinopsis pseudodecorata HAGN

Taf. 4, Fig. 1 u. 6

*1952 *Vaginulinopsis pseudodecorata* n. sp. – HAGN: 146, Taf. 1/5 (Rupel/oberes Eger – bayer. Molasse).

1960 *Vaginulinopsis pseudodecorata* HAGN – HAGN: Taf. 6/6 (Rupel – bayer. Molasse).

1971 *Vaginulinopsis pseudodecorata* Hagn – POPESCU & IVA: 42, Taf. 3/8 (Oligozän – Rumänien).

1979 *Vaginulinopsis pseudodecorata* HAGN – SZTRAKOS: Taf. 15/10 (oberes Rupel – Ungarn).

1983b *Marginulinopsis pseudodecorata* (Hagn) – POIGNANT: Taf. 42/5 (Oligozän – Spanien).

Beschreibung: Die seitlich abgeflachten, elongierten, im Querschnitt linsenförmigen Gehäuse zeigen eine gerundete Basis. Der planspirale Teil umfaßt in der Regel eine knappe Windung; das entrollte Stadium bilden maximal acht meist annähernd gleich große, niedrige Kammern. Der Rücken besitzt einen Kiel, der im Bereich der jüngsten Kammern verschwindet. Die Nähte sind verdickt. Neben den zahlenmäßig überwiegenden stark skulptierten Gehäusen treten nahezu glatte Formen auf. Die Skulptur bilden auf den Nähten sitzende Knoten, die zu Längsgraten zusammengefaßt sein können; nach oben zu werden die Suturnoten undeutlicher und es erfolgt ein Übergang zu einfachen, erhabenen Nähten. Die etwas nach oben gezogene strahlige Mündung sitzt am Außenrand; sie ist am Apex geschlossen. Die Gehäusewand ist fein perforiert.

Maße: L 1,13–2,06 mm B 0,57–0,80 mm
D 0,31–0,55 mm

Differentialdiagnose:

Eine sehr umfangreiche Differentialdiagnose wurde bereits von HAGN 1952 geliefert.

Darüberhinaus sei hier noch auf *Vaginulinopsis longiforma* (PLUMMER), 1926 eingegangen: Diese Art besitzt offenbar charakteristische, im Zentrum der Breitseiten stark limbate, zur Peripherie hin ausdünnende Suturen (vgl. a. BUTT, 1966: 42, Taf. 1/15, POPESCU & IVA, 1971: Taf. 4/4 u. 5/1 und SZTRAKOS, 1979: Taf. 15/7). Dieser Suturtyp tritt bei *Vaginulinopsis pseudodecorata* kaum auf.

Verbreitung: Oberes Rupel und Untereger der marinen bayerischen Molasse, z. T. massenhaft.

Anmerkung: Das Stratum typicum der Art sind die rupelischen Tonmergelschichten, locus typicus ist der Locher Graben im Südflügel der Haushamer Mulde.

Vaginulinopsis gladius (PHILIPPI)

Taf. 4, Fig. 2 u. 7

- *1843 *Marginulina gladius* — PHILIPPI: 40, Taf. 1/37 (Tertiär — Norddeutschland) (fide ELLIS & MESSINA).
 1856 *Cristellaria gladius* Phil. sp. — REUSS: 232, Taf. 2/31 (?Oberoligozän — Mecklenburg).
 1866 *Cristellaria gladius* Phil. — REUSS: 139, Taf. 2/33 (Oligozän — Norddeutschland).
 1958 *Lenticulina (Vaginulinopsis) gladia* (PHILIPPI) — BATJES: 110, Taf. 2/8 (Miozän — Belgien).
 1960 *Lenticulina (Astacolus) gladia* (PHILIPPI) — ELLERMANN: 659, Taf. 52/7 (Oberoligozän — Norddeutschland).
 1979 *Vaginulinopsis gladius* (PHILIPPI) — SZTRÁKOS: Taf. 15/6 (oberes Rupel — Ungarn).

Beschreibung: Die gestreckten, seitlich abgeflachten Gehäuse bestehen aus einem planspiralen Anfangsteil und einem gerade gestreckten Endteil. Die Ausbildung der winkligen Peripherie variiert zwischen „abgerundet“ und „kräftig-gekielt“. Die Nähte sind gebogen, im entrollten Teil schräg und zum Proloculus herabgezogen. Die intercameralen Mündungen sind gezähnt. Die Gehäusewand ist glatt und feinporig.

Maße: L 0,53–0,65 mm, B 0,23–0,28 mm
 D 0,11–0,15 mm

Verbreitung:

- Untereger₁: Bohrung Ortenburg 1001 (selten)
 Priengebiet (selten)
 Oberes Rupel: Bohrung Ortenburg 1003 (selten)
 Bohrung Ampfing 1 (sehr selten)

Vaginulinopsis tenuis (BORNEMANN)

Taf. 4, Fig. 5 u. 10

- *1855 *Marginulina tenuis* n. sp. — BORNEMANN: 326, Taf. 13/14 (Oligozän — Norddeutschland).
 1964 *Lenticulina (Marginulinopsis) sp. aff. Marginulina tenuis* (Bornemann) — HAUSMANN: 354, Taf. 5/9 (Mitteloligozän — DDR).
 1975 *Marginulinopsis tenuis* (Bornemann) — POPESCU: 57, Taf. 20/1 (Miozän — Rumänien).
 1982 *Marginulina tenuis* Born. — AGIP, Taf. 13/2 (oberes Pliozän — Italien).

Beschreibung: Die länglichen, schlanken Gehäuse sind anfangs seitlich stark komprimiert, später im Querschnitt elliptisch. An der Basis sind die Kammern planspiral oder zumindest fächerartig angeordnet; danach folgt einzeilige Kammeranordnung, wobei die Kammern durch schräge Nähte getrennt sind. Im Bereich der jüngeren Kammern sind die Suturen schwach oder nicht eingesenkt. Der Außenrand des älteren Gehäuseteils ist in der Regel scharf und leicht gekielt. Die Mündung ist strahlig, die Gehäusewand glatt und feinporig.

Maße: L 0,41–1,02 mm, B 0,15–0,28 mm
 D 0,13–0,16 mm

Differentialdiagnose:

Vaginulinopsis gladius (PHILIPPI) zeichnet sich durch einen breiteren uniserialen Gehäuseabschnitt aus.

Verbreitung:

- Untereger₁: Bohrung Ampfing 1
 Koglgraben
 Oberes Rupel: Gaißbach
 Koglgraben

Leitzach

Schmeroldgraben
 Bocksleiten/Isar
 Bergener Gebiet
 Wehrprofil

Unteres Rupel:

Vaginulinopsis pedum (D'ORBIGNY)

Taf. 4, Fig. 4 u. 9

- *1846 *Marginulina pedum*, d'Orbigny — D'ORBIGNY: 68, Taf. 3/13 u. 14 (Miozän — Wiener Becken).
 1951 *Marginulinopsis pedum* (d'Orbigny) — MARKS: 44, Taf. 5/11 (Miozän — Wiener Becken).
 1962 *Lenticulina (Marginulinopsis) pedum* (D'ORBIGNY) — KIESEL: 35, Taf. 5/9 (Mitteloligozän — DDR).
 1985 *Vaginulinopsis pedum* (D'ORBIGNY) — PAPP & SCHMID: 37, Taf. 21/5–9 (Miozän — Wiener Becken).

Beschreibung: Die länglichen Gehäuse bestehen aus einem seitlich komprimierten, planspiralen Anfangsteil und einem entrollten, im Querschnitt rundlichen jüngeren Abschnitt. Der Außenrand des Anfangsteils ist subakut bis scharf und leicht gekielt. Die jüngeren Kammern sind gebläht und durch schräg stehende, vertiefte Suturen getrennt. Die Mündung sitzt auf dem am Außenrand des Gehäuses liegenden Apex. Die Gehäusewand ist glatt und feinporig.

Maße: L 0,48–0,53 mm, B 0,14–0,19 mm
 D 0,12–0,20 mm

Differentialdiagnose:

Die schlankere *Vaginulinopsis tenuis* (BORNEMANN) besitzt einen seitlich etwas abgeflachten geradlinigen Teil mit weniger oder gar nicht eingesenkten Suturen.

Verbreitung:

- Untereger₁: Bohrung Ortenburg 1003
 Rote Traun/Traun-Profil
 Oberes Rupel: Nördl. Fortsetzung des
 Wehrprofils/Traun-Profil

Gattung: *Saracenaria* DEFRANCE, 1824*Saracenaria arcuata* (D'ORBIGNY:)

- *1846 *Cristellaria arcuata*, d'Orbigny — D'ORBIGNY: 87, Taf. 3/34–36 (Miozän — Wiener Becken).

Verbreitung: Weit verbreitet, doch stets akzessorisch im gesamten Rupel und Untereger der marinen bayerischen Molasse.

Saracenaria propingua (HANTKEN)

Taf. 4, Fig. 13 u. 17

- *1875 *Cristellaria propingua* Hantk. — HANTKEN: 52, Taf. 5/4 (Obereozän — Ungarn).
 1979 *Saracenaria propingua* (HANTKEN) — SZTRÁKOS: Taf. 15/4 (oberes Rupel — Ungarn).
 1982 *Saracenaria propingua* (HANTKEN) — SZTRÁKOS: Taf. 13/3 (Obereozän/Oligozän — Ungarn).

Beschreibung: Die in der Seitenansicht in etwa ovalen, planspiralen Gehäuse haben eine schwache Tendenz zur Entrollung. Der gekrümmte Rücken ist scharf, die Stirnfläche ist von zwei deutlich abgerundeten Kanten begrenzt. Die jüngste Windung wird von sieben bis acht rasch an Größe zuneh-

menden Kammern gebildet. Die rückwärts gekrümmten Nähte sind nicht oder leicht eingesenkt. Die Mündung ist strahlig, die Gehäusewand glatt und feinporig.

Maße: L 0,52–0,67 mm, B 0,35–0,41 mm
D 0,27–0,30 mm

Differentialdiagnose:

Von *Saracenaria arcuata* D'ORBIGNY, 1846 unterscheidet sich die Art durch die gerundeten Kanten, die die Stirnfläche seitlich begrenzen und die nur schwache Tendenz zur Entrollung.

Verbreitung:

Oberes Rupel: Schmeroldgraben
Traun-Profil

Saracenaria conferta (REUSS)

Taf. 4, Fig. 11–12

- *1863b *Cristellaria conferta* m. — REUSS: 50, Taf. 4/46 (Oligozän — Mainzer Becken).
- 1962 *Lenticulina* (*Saracenaria*) *conferta* (REUSS) — KIESEL: 36, Taf. 5/8 (Mitteloligozän — DDR).
- 1979 *Saracenaria conferta* (REUSS) — SZTRAKOS: Taf. 15/1 (oberes Rupel — Ungarn).

Beschreibung: Das längliche, schlanke Gehäuse ist anfangs seitlich komprimiert, in der Mündungsansicht ist es dreieckig. Im leicht gekielten Anfangsteil sind die Kammern spiral angeordnet, darauf folgt rasch einzeilige Kammeranordnung mit schrägen, schwach vertieften Nähten. Der schwach gekrümmte Rücken ist ungelappt. Die Mündung ist strahlig, die Gehäusewand glatt und feinporig.

Maße: L 0,79 mm, B 0,21 mm
D 0,16 mm

Differentialdiagnose:

Cristellaria Böttcheri REUSS, 1863 besitzt deutlich geblähte Kammern.

Vorkommen: Sehr selten im oberen Rupel des Leitzach-Profiles.

Gattung: *Marginulina* D'ORBIGNY, 1826

Marginulina hantkeni BANDY

Taf. 4, Fig. 14 u. 22

- 1875 *Marginulina subbullata* Hantk. n. sp. — HANTKEN: 46, Taf. 4/9 u. 10, 5/9 (Oligozän — Ungarn); non *Marginulina subbullata* GUMBEL, 1861: 568.
- *1949 *Marginulina hantkeni*, new name — BANDY: 46, Taf. 6/9 (Obereozän — Alabama).
- 1951 *Marginulina glabra* D'ORBIGNY — FRIESE: 21, Taf. 4/30–32 (Oligozän — bayer. Molasse).
- 1975 *Marginulina hantkeni* Bandy — POPESCU: 56, Taf. 20/4 u. 21/8 (Miozän — Rumänien).
- 1982 *Marginulina hantkeni* BANDY — SZTRAKOS: Taf. 11/6 (Obereozän/Oligozän — Ungarn).
- 1982 *Marginulina subbullata* Hantk. — AGIP: Taf. 13/1 (Unteroligozän — Italien).

Beschreibung: Es sind aus wenigen (maximal fünf) Kammern aufgebaute Gehäuse, deren jüngste Kammer — bei manchen Individuen auch noch die zweitjüngste Kammer — sich deutlich gegenüber den stark miteinander verschmolzenen Kammern des älteren Gehäuseteils abheben. Die einfa-

chen Nähte sind anfangs kaum eingesenkt, am Ende trennen deutliche Einschnürungen die Kammern. Die Kammern nehmen rasch und diskontinuierlich an Größe zu; die voluminösen Endkammern besitzen kugelige oder eiförmige Gestalt. Die strahlige Mündung hat eine zumindest annähernd zentrale Position. Die Gehäusewand ist in der Regel glatt, sehr selten leicht pustelig oder angedeutet striat. Die Perforation ist fein.

Maße: L 0,38–0,76 mm
D 0,28–0,41 mm

Differentialdiagnose:

Marginulina pediformis BORNEMANN, 1855 zeigt eine regelmäßige und verhältnismäßig langsame Zunahme der Kammergröße.

Marginulina glabra obesa CUSHMAN, 1923 besitzt flach- oder nicht eingesenkte Nähte auch im Bereich der jüngsten Kammern (vgl. auch BARKER, 1960: Taf. 65/5 u.6).

Verbreitung: Weit verbreitet im gesamten Rupel und Untereger der marinen bayerischen Molasse.

Marginulina pediformis BORNEMANN

- *1855 *Marginulina pediformis* n. sp. — BORNEMANN: 326, Taf. 13/13 (Oligozän — Norddeutschland).

Vorkommen: Oberes Rupel: Schmeroldgraben

Marginulina similis D'ORBIGNY

Taf. 4, Fig. 23–24

- *1846 *Marginulina similis*, d'Orbigny — D'ORBIGNY: 69, Taf. 3/15 u. 16 (Miozän — Wiener Becken).
- 1985 *Marginulina similis* D'ORBIGNY — PAPP & SCHMID: 37, Taf. 21/10–12 (Miozän — Wiener Becken).

Beschreibung: Die einfach gebauten Marginulinen bestehen aus einem schwach entwickelten eingekrümmten Anfangsteil und einem stark dominierenden, gerade gestreckten Stadium. Die jüngste der bei manchen Individuen stark einhüllenden Kammern bildet ein Drittel bis die Hälfte des gesamten Gehäuses. Die kaum oder gar nicht eingesenkten Nähte stehen im geradlinigen Abschnitt schräg zur Gehäuseachse. Die strahlige Endmündung liegt exzentrisch. Die Schale ist glatt und fein perforiert.

Maße: L 0,33–0,55 mm
D 0,16–0,31 mm

Verbreitung:

Untereger: Nonnenwald-Mulde
Bohrung Ampfing 1
Bernhaupten/Bergener Gebiet
Oberes Rupel: Mangfall-Profil
Unteres Rupel: Osterbach/Feilnbacher Gebiet.

Gattung: *Amphicoryna* SCHLUMBERGER, 1881

Amphicoryna scalaris (BATSCH)

Taf. 4, Fig. 19–20

- *1791 *Nautilus* (*Orthoceras*) *scalaris* — BATSCH: 1 u. 4, Taf. 2/4 (?rezent — ?Adriatische Küste) (fide ELLIS & MESSINA)

1930 *Nodosaria scalaris* (BATSCH) — MACFADYEN: 73, Taf. 2/34 (Miozän — Ägypten).

1979 *Amphicoryna scalaris* (BATCH) — SZTRAKOS: 63, Taf. 9/17 u. 18 (oberes Rupel — Ungarn).

1982 *Amphicoryna scalaris* (Batsch) — AGIP: Taf. 19/7 (rezent — Mittelmeer).

Beschreibung: Megalosphärische Generation: Es sind aus wenig zahlreichen kugeligen Kammern aufgebaute, perlschnurartige, z. T. leicht gebogene Gehäuse mit kontinuierlicher Zunahme der Kammergröße. Der Proloculus besitzt einen zentralen Basalstachel. Die senkrecht zur Gehäuseachse orientierten Nähte werden im Verlauf der Ontogenie immer stärker eingeschnürt. Die Kammern überlappen sich nur wenig. Sehr zahlreiche engstehende, feine Längsrippen bedecken das zierliche Gehäuse. Ihre Anzahl beträgt bis zu 40 im Bereich der jüngsten Kammer. Die rundliche Mündung liegt auf einem zentralen, konischen, schlanken Hals, der mit Querringen verziert ist. Die Gehäusewand ist feinporig.

Maße: L 0,33–0,78 mm

D 0,16–0,18 mm

Bemerkung: Gehäuse der B-Generation liegen im zur Verfügung stehenden Material nicht vor, wurden jedoch beispielsweise von SZTRAKOS im ungarischen Oligozän nachgewiesen.

Differentialdiagnose:

Von *A. badenensis* (s. u.) unterscheidet sich *A. scalaris* durch die dichtere und feinere Berippung und die stärker kugeligen Kammern.

Vorkommen: Ziemlich selten im obersten Rupel und untersten Eger des Traun-Profiles.

Amphicoryna badenensis (D'ORBIGNY)

Taf. 4, Fig. 15, 16 u. 18

*1846 *Nodosaria badenensis*, d'Orbigny — D'ORBIGNY: 38, Taf. 1/34 u. 35 (Miozän — Wiener Becken).

1846 *Nodosaria spinicosta*, d'Orbigny — D'ORBIGNY: 37, Taf. 1/32 u. 33 (Miozän — Wiener Becken).

1875 *Nodosaria spinicosta* d'Orb. — HANTKEN: 24, Taf. 3/1 (Oligozän — Ungarn).

1875 *Marginulina tunicata* Hantk. — HANTKEN: 48, Taf. 14/8 (Oligozän — Ungarn).

1949 *Nodosaria spinicosta* d'Orbigny — CUVILLIER & SZAKALL: 72, Taf. 27/19 (Aquitain — Südfrankreich).

pars: 1951 *Marginulina scalaris* (BATSCH) — FRIESE: 19, Taf. 9/1–24 u. 29–45, Taf. 10/1–6; non: Taf. 9/25–28 u. Taf. 10/7–16 (Oligozän — bayer. Molasse).

1971 *Amphicoryna tunicata* (Hantken) — POPESCU & IVA: 41, Taf. 3/4 (Oligozän — Rumänien).

1971 *Amphicoryna* sp. — POPESCU & IVA: Taf. 3/5 (Oligozän — Rumänien).

1979 *Amphicoryna badenensis* (ORBIGNY) — SZTRAKOS: 63, Taf. 9/19 u. 20 (oberes Rupel — Ungarn).

1979 *Amphicoryna spinicosta* (ORBIGNY) — SZTRAKOS: 63, Taf. 10/3 u. 4 (oberes Rupel — Ungarn).

1985 *Nodosaria badenensis* D'ORBIGNY — PAPP & SCHMID: 26 u. 27, Taf. 7/1–8 (Miozän — Wiener Becken).

Beschreibung:

1. Megalosphärische Generation: Die aus bis zu sechs bauchigen Kammern aufgebauten im Querschnitt rundlichen Gehäuse, nehmen von der zweiten Kammer an kontinuierlich an Breite zu. Der Proloculus ist kugelig, besitzt einen kräftigen, zentralen Basalstachel und hat einen größeren Durch-

messer als die auf ihn folgende zweite Kammer. Die frühen Kammern nach dem Proloculus sind niedrig und breit; im Lauf der Ontogenie gewinnen die Kammern merklich an Höhe; die letzte Kammer ist nahezu so hoch wie breit und fast kugelig. Die Nähte sind eingesenkt und senkrecht zur Gehäuseachse orientiert. Die Ornamentierung besteht aus zahlreichen kräftigen, blattartig erhabenen Längsrippen, die das Gehäuse bis hinauf zum Mündungshals überziehen. Die Rippen können über die Kammergrenzen hinweggreifen oder an dieser Stelle unterbrochen und im Bereich der Kammerbasis zu Stacheln ausgezogen sein. Die Anzahl der Rippen beträgt im Bereich der Endkammer 12 bis 19, im älteren Teil des Gehäuses ist die Anzahl geringer und erhöht sich durch Einschaltung weiterer Rippen an den Kammergrenzen. Die rundliche Mündung sitzt auf einem zentralen, konischen schlanken Hals, der mit Querringen verziert ist. Die Perforation ist fein.

2. Mikrosphärische Generation: Die mikrosphärischen Exemplare unterscheiden sich von der anderen Generation infolge ihres etwas kleineren Proloculus und durch den gebogenen, seitlich zusammengedrückten Anfangsteil mit schrägen Suturen.

Maße: mikrosph.: L 0,50–0,68 mm

D 0,22–0,24 mm

megalosph.: L 0,41–1,26 mm

D 0,16–0,41 mm

Bemerkung: PAPP & SCHMID (1985) vertreten die Auffassung, daß *Nodosaria badenensis* und *Nodosaria spinicosta* konspezifisch sind.

Verbreitung: Weit verbreitet im gesamten Oligozän der marinen bayerischen Molasse.

Amphicoryna imperfectecostata (SILVESTRI)

*1872 *Nodosaria longicauda* D'ORBIGNY var. *imperfecte-costata* — SILVESTRI: 63, Taf. 6/127–137 (Pliozän — Italien) (fide ELLIS & MESSINA).

Verbreitung:

Untereger: Traun-Profil
Priengebiet

Oberes Rupel: Bohrung Ampfing 1
Traun-Profil

Gattung: *Dentalina* D'ORBIGNY, 1826

Dentalina communis D'ORBIGNY

*1826 *Nodosaria (Dentalina) communis*, Nob. — D'ORBIGNY: 254 (rezent — Adria).

Verbreitung: Rupel und tieferes Untereger der marinen bayerischen Molasse.

Gattung: *Nodosaria* LAMARCK, 1812

Nodosaria hispida (SOLDANI)

Taf. 5, Fig. 9–10

*1798 *Orthoceratina hispida* — SOLDANI: 15, Taf. 2/31 (fide PAPP & SCHMID).

- 1826 *Nodosaria (Nodosaire) hirsuta*, Nob. – D'ORBIGNY: 252 (rezent – Adria).
 1846 *Nodosaria hispida*, d'Orbigny – D'ORBIGNY: 35, Taf. 1/24 u. 25 (Miozän – Wiener Becken).
 1846 *Nodosaria aculeata*, d'Orbigny – D'ORBIGNY: 35, Taf. 1/26 u. 27 (Miozän – Wiener Becken).
 1985 *Nodosaria hispida* (SOLDANI) – PAPP & SCHMID: 25, Taf. 5/1–8 (Miozän – Wiener Becken).

Beschreibung: Die perlschnurartigen, grazilen Gehäuse werden aus einer Reihe von kugeligen bis leicht ovalen Kammern aufgebaut, welche über zylindrische, enge Hälschen miteinander verbunden sind. Die gesamten Gehäuse oder lediglich die eigentlichen Kammern sind von feinen dornartigen Rauigkeiten bedeckt.

Erhaltung: Das zur Verfügung stehende Material enthält nur Bruchstücke.

Maße: L 0,17–0,43 mm
 D 0,11–0,27 mm

Bemerkung: Nach PAPP & SCHMID (1985) ist *Nodosaria aculeata* D'ORBIGNY, 1846 mit *Nodosaria hispida* zu vereinigen.

Verbreitung:

- Untereger_{II}: Bohrung Ortenburg 1002
 Untereger_I: Bohrung Ortenburg 1002
 Bohrung Ampfing 1
 Nonnenwald-Mulde
 Rainer Mühle/Prien-Profil
 Oberes Rupel: Leitzach-Profil
 Traun-Profil
 Unteres Rupel: Osterbach
 Traun-Profil

Nodosaria pyrula semirugosa D'ORBIGNY
 Taf. 4, Fig. 21

- *1846 *Nodosaria semirugosa*, d'Orbigny – D'ORBIGNY: 34, Taf. 1/20–23 (Miozän – Wiener Becken).
 1913 *Nodosaria pyrula* d'Orbigny, var. *semirugosa* d'Orbigny – CUSHMAN: 50, Taf. 26/4–8 (rezent – Pazifik).
 1979 *Nodosaria semirugosa* ORBIGNY – SZTRAKOS: Taf. 9/12 (oberes Rupel – Ungarn).

Beschreibung: Die perlschnurartigen, grazilen Gehäuse werden aus einer Reihe von spindelförmigen Kammern aufgebaut, welche über zylindrische, schlanke Hälschen miteinander verbunden sind. Jeweils die untere Kammerhälfte, sowie die röhrenförmigen Verbindungsglieder sind von wenigen wulstartigen, flachen Längsrippen bedeckt. Die Zahl der Rippen beträgt im Bereich der Verbindungsglieder sechs bis acht und erhöht sich auf der Kammer durch Einschaltung von Zwischenrippen auf zehn bis zwölf. Der jeweilige höhere Kammerteil ist sehr schwach oder nicht ornamentiert.

Erhaltung: Es liegen nur Fragmente vor.

Maße: L 0,40–0,42 mm
 D 0,17–0,21 mm

Verbreitung:

- Untereger_{II}: Bohrung Ampfing 1
 Bohrung Ortenburg 1001
 Untereger_I: Bohrungen Ortenburg 1001, 1002, 1003
 Rainer Mühle/Prien-Profil
 Nonnenwald-Mulde

Oberes Rupel: Gaißbach
 Traun-Profil

Nodosaria elegantissima (D'ORBIGNY)
 Taf. 5, Fig. 5–6

- *1846 *Dentalina elegantissima*, d'Orbigny – D'ORBIGNY: 55, Taf. 2/33–35 (Miozän – Wiener Becken).
 non: 1875 *Nodosaria elegantissima* Hantk. – HANTKEN: 24, Taf. 12/16
 1930 *Nodosaria spinosa* (D'ORBIGNY) – MACFADYEN: 77, Taf. 2/40 (Miozän – Ägypten).
 1979 *Stilostomella spinosa* (ORBIGNY) – SZTRAKOS: Taf. 19/17 (Untereger – Ungarn).
 1985 *Nodosaria elegantissima* (D'ORBIGNY) – PAPP & SCHMID: 34, Taf. 16/4–8 (Miozän – Wiener Becken).

Beschreibung: Die länglichen Gehäuse besitzen einen rundlichen bzw. polygonalen Querschnitt und nahezu konstante Gehäusebreite. An der Basis der Anfangskammer ist ein stumpfer Dorn entwickelt. Die Kammern sind insgesamt leicht gestreckt und leicht gebläht, haben ihre größte Breite nahe der Basis und verjüngen sich in ihrem oberen Teil flaschenartig. Die Nähte sind stark eingeschnürt und senkrecht zur Gehäuseachse orientiert. Die Ornamentierung bilden etwas mehr als zehn kräftige, weitständige Längsrippen, die z. T. über mehrere Nähte hinwegsetzen, z. T. als Zwischenrippen auf einzelne Kammern begrenzt sind. Zur Kammerbasis hin werden die Rippen häufig zu plattenartigen Stacheln umgebildet. Die einfache Mündung liegt zentral. Die Gehäusewand ist feinperforiert.

Maße: L 0,36–0,37 mm
 D 0,17–0,18 mm

Differentialdiagnose:

Von *Stilostomella aculeata* (EGGER), 1857 läßt sich die Art abgesehen von den Mündungsverhältnissen anhand der besonderen Kammerform, anhand der stärker eingeschnürten Suturen und anhand der andersartigen Ornamentierung leicht unterscheiden.

Verbreitung:

- Untereger_I: Nonnenwald-Mulde
 Bohrung Ampfing 1
 Traun-Profil
 Oberes Rupel: Mangfall-Profil
 Traun-Profil

Nodosaria ortenburgensis n. sp.
 Taf. 5, Fig. 1 u. 7

Derivatio nominis: nach dem locus typicus der Art in der Gegend von Ortenburg in Niederbayern.

Holotypus: Slg. München Prot. K 234.

Locus typicus: Bohrung Ortenburg 1001, 257,0–258,0 m.

Stratum typicum: Untereger_{II}.

Untersuchtes Material: 38 Exemplare, teils Bruchstücke.

Diagnose: Perlschnurartiges Gehäuse mit sehr geringer Breitenzunahme, gedrunken-flaschenförmige Kammern, ei-

nem Stachelkranz nahe der Kammerbasis und strahliger Mündung.

Beschreibung: Die länglichen, schlanken, geradlinigen Gehäuse haben einen rundlichen Querschnitt und nehmen sehr langsam an Breite zu. Auf den kugeligen Proloculus folgen anfangs leicht gedrungene Kammern, später sind die Kammern so hoch wie breit. Ihre größte Breite besitzen die einzelnen Kammern stets im Bereich der unteren Kammerhälfte. Oberhalb der maximalen Breite sind die Kammern stärker, unterhalb davon schwächer konvex. Starke Einschnürungen begrenzen die Kammern; die Nähte sind einfach ausgebildet. Die Ornamentierung bildet ein Stachelkranz nahe der Kammerbasis; er besteht aus feinen kurzen Stacheln, die nach unten gezogen sind und am Gehäuse anliegen. Bei den jüngeren Kammern beträgt die Zahl der Stacheln ungefähr 40. Die strahlige, rundliche Mündung liegt zentral. Die Gehäusewand ist feinporig.

Anmerkung: Die megalosphärische Generation überwiegt zahlenmäßig sehr stark.

Maße: L bis 0,80 mm
D 0,11–0,18 mm

Differentialdiagnose: *Nodogenerina bradyi* CUSHMAN, 1927 zeigt eine markante Breitenzunahme; CUSHMAN erwähnt ausdrücklich, daß diese Art keine strahlige Mündung besitzt.

Verbreitung:

Untereger_{II}: Bohrung Ortenburg 1001 u. 1002
Untereger_I: Bohrung Ortenburg 1002
Nonnenwald-Mulde

Nodosaria raphanistrum (LINNÉ)
Taf. 5, Fig. 3–4

- *1758 *Nautilus Raphanistrum* – LINNÉ: 710 (rezent – Mittelmeer).
1959 *Nodosaria raphanistrum* (LINNEO) – DIECI: 43, Taf. 3/28 (Torton – Norditalien).
1982 *Nodosaria raphanistrum* (Linné) – AGIP: Taf. 14/3 (unteres Pliozän – Coroncina, Toscana).
1985 *Nodosaria raphanistrum* (LINNÉ) – PAPP & SCHMID: 27, Taf. 8/1–6, Taf. 9/1 u. 2 (Miozän – Wiener Becken).

Beschreibung: Die Dicke der derben, großwüchsigen, geradlinigen Gehäuse nimmt nur sehr langsam oder überhaupt nicht zu. Die Kammern sind ungefähr so breit wie hoch und kaum gewölbt. Von ca. zwölf durchlaufenden kräftigen Rippen wird die Ornamentierung gebildet. Bei den megalosphärischen Individuen ist der Proloculus breiter als die auf ihn folgenden Kammern. Die Basis ist mit einem massiven Dorn besetzt. Ca. zehn radial angeordnete derbe zahnartige Gebilde sind um die rundliche Mündung herum angeordnet. Die dicke Schale besteht aus zweierlei Substanz: Die zwischen den Rippen liegende Wand ist laminar gebaut und tangential orientiert. Die Rippen selbst ragen als im Querschnitt rautenförmige Gebilde weit in die laminare Wand hinein. Die Rippensubstanz erscheint amorph und hyalin.

Maße: L 1,45–3,20 mm
D 0,51–1,05 mm

Verbreitung:

Untereger_I: Nonnenwald-Mulde
Oberes Rupel: Bocksleiten/Isar

Nodosaria bactridium REUSS

Taf. 5, Fig. 11–12

- *1866 *Nodosaria bactridium* Reuss – REUSS: 130, Taf. 1/24 u. 25 (Mitteloligozän – Norddeutschland).
pars: 1958 *Nodosaria emaciata* (REUSS) – BATJES: 116, Taf. 3/21 (Oligozän – Norddeutschland).
1962 *Nodosaria bactridium* REUSS – KIESEL: 22, Taf. 3/6 (Mitteloligozän – DDR).
1979 *Nodosaria bactridium* REUSS – SZTRAKOS: Taf. 8/16 (unteres Rupel – Ungarn).

Beschreibung: Die länglichen, schlanken, leicht gebogenen Gehäuse zeigen eine langsame Zunahme der Gehäusebreite. Die Kammern sind zumindest im jüngsten Teil gestreckt, deutlich höher als breit und subzylindrisch. Die Nähte sind leicht vertieft und verlaufen senkrecht zur Gehäuseachse. Die Ornamentierung besteht aus zahlreichen kräftigen Rippen, die im Bereich der Nähte leicht verflachen; die Zahl der Rippen beträgt im älteren Teil etwa sieben und wächst nach oben zu durch Einschaltung zusätzlicher Rippen auf elf bis fünfzehn an. Die Rippen können einen kleinen Winkel mit der Gehäuseachse bilden. Die Gehäusewand ist feinporig.

Maße: L 0,47–1,60 mm
D 0,20–0,36 mm

Differentialdiagnose:

Nodosaria raphanistrum (LINNÉ), 1758, *Nodosaria latejugata* GUMBEL, 1868 und *Nodosaria budensis* HANTKEN, 1875 weisen eine geringere Zunahme der Kammerhöhe auf.

Verbreitung:

Untereger_I: Nonnenwald-Mulde
Ampfing
Rainer Mühle/Prien-Profil
Traun-Profil

Nodosaria cf. *acuminata* HANTKEN
Taf. 5, Fig. 2 u. 8

- 1875 *Nodosaria acuminata* Hantk. – HANTKEN: 28, Taf. 2/9 (Oligozän – Ungarn).

Beschreibung: Es handelt sich um längliche, geradlinige, ziemlich rasch an Breite zunehmende Gehäuse. Die Kammern sind etwa so hoch wie breit. Die Nähte sind eingesenkt und verlaufen horizontal. Die Ornamentierung bilden wenig zahlreiche, hohe, derbe Rippen, die an den Kammergrenzen nicht unterbrochen sind. Die Gehäusewand ist feinporig.

Anmerkung: Es liegen nur wenige Bruchstücke vor.

Maße: L 0,70–1,16 mm
D 0,22–0,30 mm

Verbreitung: Untereger_I der Promberger Schichten/Nonnenwald-Mulde und Untereger_I der Bohrung Ampfing 1.

Gattung: *Lingulina* D'ORBIGNY, 1826

Lingulina subglobosa DERVIEUX

Taf. 5, Fig. 14 u. 18

*1898 *Lingulina carinata* D'ORBIGNY var. *subglobosa* — DERVIEUX: 26, Taf. 3/6, 6 bis, 7 u. 7 bis (Miozän — Italien) (fide ELLIS & MESSINA).

1975 *Lingulina subglobosa* Dervieux — POPESCU: 69, Taf. 42/3 (Untermiozän — Rumänien).

Beschreibung: Die im Querschnitt dick-linsenförmigen Gehäuse verbreitern sich rasch und zeichnen sich durch eine schwach bis deutlich gekielte Peripherie und skulpturlose Breitseiten aus. Von der nächstjüngeren Kammer wird jeweils etwa die Hälfte der vorhergehenden Kammer verdeckt. Die bogenförmigen Nähte sind im Bereich der älteren Kammern der Peripherie zu herabgezogen; sie sind schwach bis deutlich vertieft. Die Mündung ist ein in der Kielebene liegender terminaler Schlitz. Die Schale ist glatt und feinporig.

Maße: L 0,70–1,07 mm, B 0,67–0,85 mm
D 0,45–0,67 mm

Differentialdiagnose:

Für *Lingulina seminuda* HANTKEN, 1875 sind mehrere periphere Kiele typisch.

Lingulina elveziana DERVIEUX, 1898 ist seitlich stärker komprimiert.

Verbreitung:

Oberes Rupel: Leitzach-Profil (sehr selten)
Traun-Profil (sehr selten)

Gattung: *Flabellinella* SCHUBERT, 1900

Flabellinella tenuissima (HANTKEN)

Taf. 5, Fig. 29–30

*1875 *Fronidularia tenuissima* Hantk. — HANTKEN: 43, Taf. 13/11 (Obereozän/Oligozän — Ungarn).

1927a *Fronidularia tenuissima* Hantken — CUSHMAN: 111, Taf. 22/11 (Obereozän — Mexiko).

1949 *Fronidularia tenuissima* Hantken — CUVILLIER & SZAKALL: 85, Taf. 30/15, non 30/11 (Alttertiär — Südfrankreich).

1951 *Fronidularia tenuissima* v. HANTKEN — FRIESE: 27, Taf. 11/22 (Oligozän — bayer. Molasse).

1952 *Flabellinella tenuissima* (HANTKEN) — HAGN: 156, Taf. 4/20 (Rupel — bayer. Molasse).

1962 *Flabellinella tenuissima* (HANTKEN) — LUHR: 118, Taf. 4/12 (Latdorf — bayer. Kalkalpin).

1979 *Fronidularia tenuissima* HANTKEN — SZTRAKOS: Taf. 12/1 (oberes Rupel — Ungarn).

1982 *Plectofronidularia tenuissima* (Hantk.) — AGIP: Taf. 24/8 u. 8 bis (Unteroligozän — Italien).

Beschreibung: Die sehr stark abgeplatteten, spitzovalen Gehäuse haben parallele Breitseiten. Die Peripherie ist abgestutzt-doppelkantig. Die beiden ersten schmalen Kammern sind „*Vaginulina*-artig“ angeordnet; darauf folgt unmittelbar das „*Fronidularia*-Stadium“ mit vier bis sieben gewinkelten, beiderseits weit herabreichenden Kammern. Die steil abwärts gerichteten, sehr schmalen, etwas gekrümmten Kammer-Flanken schließen einen spitzen Winkel ein. Die Ausbildung der Nähte variiert zwischen schwach eingesenkt und schwach erhaben. Die Gehäusewand ist glatt und feinporig.

Maße: L 0,71–1,11 mm, B 0,22–0,31 mm
D 0,04–0,06 mm

Verbreitung:

Untereger₁: Nonnenwald-Mulde
Oberes Rupel: Schmeroldgraben
Leitzach-Profil
Bergener Gebiet
Unteres Rupel: Osterbach
Bergener Gebiet
Traun-Profil

Gattung: *Palmula* LEA, 1833

Palmula cf. *budensis* (HANTKEN)

Taf. 5, Fig. 13, 16 u. 21

1875 *Flabellina budensis* Hantk. n. sp. — HANTKEN: 44, Taf. 4/17 (Oligozän — Ungarn).

Beschreibung: Die stark abgeflachten Gehäuse besitzen im jüngeren Abschnitt parallele Breitseiten. Die Basis ist gerundet, die Peripherie deutlich gekielt. Auf das ausgeprägte planspirale Stadium nach dem Proloculus folgt ein allmählicher Übergang zu „*Fronidularia*-artiger“ Kammeranordnung. Dabei entfernt sich die Mündung zunehmend vom Außenrand des Gehäuses, um schließlich eine mediane Position zu erhalten. Die Flanken der hakenförmigen Kammern reichen beiderseits weit zum Anfangsteil herab. Die Suturen sind verdickt und etwas gebogen. Die gezähnte Mündung hat eine rundliche Form. Die glatte Gehäusewand ist feinporig.

Maße: L 0,36–0,57 mm, B 0,22–0,36 mm
D 0,08–0,13 mm

Beziehungen: *Palmula budensis* besitzt im Gegensatz zur oben beschriebenen Form eine gerundete Peripherie und deutlich eingesenkte Nähte (vgl. hierzu auch SZTRAKOS, 1979: Taf. 14/10 u. 33/9 u. 10).

Vorkommen: Sehr selten im Untereger₁ der Nonnenwald-Mulde.

Gattung: *Plectofronidularia* LIEBUS, 1903

Plectofronidularia striata (HANTKEN)

Taf. 5, Fig. 25 u. 27

*1875 *Flabellina striata* Hantk. n. sp. — HANTKEN: 43, Taf. 13/13 (Oligozän — Ungarn).

1903 *Plectofronidularia striata* Hantk. sp. — LIEBUS: 76, Abb. 2 (Oligozän — bayer. Molasse).

1952 *Plectofronidularia striata* (HANTK.) — HAGN: 164, Taf. 4/19 (Rupel — bayer. Molasse).

1971 *Plectofronidularia striata* (Hantken) — POPESCU & IVA: 42, Taf. 5/2 (Oligozän — Rumänien).

1979 *Plectofronidularia striata* (HANTKEN) — SZTRAKOS: Taf. 15/14 (oberes Rupel — Ungarn).

1982 *Plectofronidularia striata* (HANTKEN) — SZTRAKOS: Taf. 14/4 (Obereozän — Ungarn).

Beschreibung: Die abgeplatteten Gehäuse besitzen einen flach-elliptischen Querschnitt, eine gerundete bis leicht

zugespitzte Basis und leicht divergierende Seiten. Die Peripherie ist stets gekielt. Die auf den Proloculus folgenden drei bis vier Kammern sind biserial angeordnet. Die Suturen sind leicht nach unten gekrümmt und verdickt; die Sehnen der beiden Suturenflanken schließen einen Winkel ein, der etwas unter 90° liegt. Die kleine Mündung besitzt eine variable Form (rundlich, oval, quadratisch, rechteckig) und ist in der Regel ungezähnt. Die Zahl der deutlichen longitudinalen Rippen beträgt im älteren Gehäuseteil vier oder fünf auf jeder Breitseite. Die Gehäusewand ist feinporig.

Maße: L 0,38–0,53 mm, B 0,18–0,30 mm
D 0,07–0,13 mm

Differentialdiagnose:

Die zehn von NEUGEBOREN (1850: 120 ff., Taf. 3/3–10 u. 4/11) als eigenständige Arten beschriebenen Formen – *Frondicularia digitalis* bis *F. cultrata* – zeigen besonders im älteren Gehäuseteil einen größeren Suturenwinkel und einen eher rechteckigen Gehäusequerschnitt.

Verbreitung: Unteres Rupel bis Untereger₁ der marinen bayerischen Molasse.

Plectofrondicularia multilineata CUSHMAN & SIMONSON Taf. 5, Fig. 22 u. 28

*1944 *Plectofrondicularia packardii multilineata* Cushman and Simonson, n. var. – CUSHMAN & SIMONSON: 197, Taf. 32/2–4 (Obereozän/Oligozän – Kalifornien).

1946 *Plectofrondicularia packardii multilineata* Cushman and Simonson – DETLING: 355, Taf. 49/3 u. 5 (Alttertiär – Oregon).

1966 *Plectofrondicularia diversicostata* (NEUGEBOREN) – BUTT: 42, Taf. 1/10 (oberes Oligozän – Südwestfrankreich).

Beschreibung: Die im Anfangsteil gewölbten, später sehr stark abgeplatteten Gehäuse haben eine stumpf zugespitzte Basis und divergierende Seiten. Stets ist ein zarter peripherer Kielsaum entwickelt. Der sehr kurze biserialer Gehäuseteil ist unter Verwendung von Xylol erkennbar. Die verdickten Suturen sind meist leicht nach unten gekrümmt und bilden einen Winkel, der etwas kleiner als 90° ist. Die Mündung ist schlitzzartig. Die Skulptur des gewölbten Anfangsteils besteht aus wenigen deutlichen Längsrippen; nach oben zu erhöht sich die Zahl der Rippen sehr rasch, wobei letztere deutlich verflachen. Die Gehäusewand ist feinporig.

Maße: L 0,60–0,66 mm, B 0,22–0,27 mm
D 0,09–0,10 mm

Differentialdiagnose:

Von *Plectofrondicularia striata* unterscheidet sich die Art im wesentlichen durch das im jüngeren Teil stärker abgeplattete Gehäuse und die feinere Skulptur.

P. incompleta (FRANZENAU), 1888 scheint ebenfalls durch eine viel niedrigere Rippenzahl charakterisiert zu sein (vgl. auch SZTRAKOS, 1979: Taf. 15/13).

Frondicularia semicosta KARRER, 1877 zeigt eine wesentlich geringere Breitenzunahme.

Vorkommen: Nicht selten im unteren Rupel SW Rettenbeck bei Hausham.

Anmerkung: Das stratum typicum der Art ist die „Tumey Formation“ in Kalifornien (Grenzbereich Eozän/Oligozän, vgl. CUSHMAN & SIMONSON: 1944, Abb. 1).

Plectofrondicularia cf. *trilineata* CUSHMAN Taf. 5, Fig. 24 u. 26

1927a *Plectofrondicularia trilineata* Cushman, new species – CUSHMAN: 112, Taf. 23/2 (Obereozän – Mexiko).

Beschreibung: Die abgeflachten Gehäuse sind durch einen flach-linsenförmigen Querschnitt, durch eine stumpf zugespitzte Basis und durch subparallele bis deutlich divergierende Seiten gekennzeichnet. Die Peripherie ist stets gekielt. Die auf den Proloculus folgenden drei bis vier Kammern sind biserial angeordnet. Die verdickten Suturen sind leicht nach unten gekrümmt und bilden einen Winkel von weniger als 90°. Die Mündung ist rundlich bis subquadratisch. Die Zahl der kräftigen Längsrippen auf jeder Breitseite beträgt überwiegend zwei, seltener drei. Die Perforation ist fein.

Maße: L 0,47–0,76 mm, B 0,17–0,25 mm
D 0,09–0,14 mm

Beziehungen: Von *Plectofrondicularia trilineata* weicht die Mehrzahl der Gehäuse durch die geringere Rippenzahl ab.

Vorkommen: Nicht selten im oberen Rupel der Bohrung Ampfing 1 und im oberen Rupel des Bergener Gebietes.

Plectofrondicularia digitalis (NEUGEBOREN)

*1850 *Frondicularia digitalis* Neugeb. – NEUGEBOREN: 120, Taf. 3/3 (Miozän – Rumänien).

Verbreitung:

Untereger₁: Thalberggraben/Traun-Profil (häufig)

Plectofrondicularia vaughani CUSHMAN Taf. 5, Fig. 20

*1927a *Plectofrondicularia vaughani* Cushman, new species – CUSHMAN: 112, Taf. 23/3 (Obereozän – Mexiko).

Verbreitung:

Untereger₁: Nonnenwald-Mulde (nicht selten)
Oberes Rupel: Schmeroldgraben
Priem-Profil
Unteres Rupel: Osterbach

Gattung: *Amphimorphina* NEUGEBOREN, 1850

Amphimorphina haueriana NEUGEBOREN Taf. 5, Fig. 17 u. 23

*1850 *Amphimorphina Haueriana* Neugeboren – NEUGEBOREN: 127, Taf. 4/13 u. 14 (Miozän – Rumänien).

1903 *Plectofrondicularia concava* n. sp. – LIEBUS: 94, Taf. 5/6 (Untereger – bayer. Molasse).

1951 *Amphimorphina haueriana* Neugeboren – MARKS: 54, Taf. 7/9 (Miozän – Wiener Becken).

1952 *Plectofrondicularia concava* LIEBUS – HAGN: 165, Taf. 4/21 (Untereger₁ – bayer. Molasse).

1969 *Amphimorphina haueriana* NEUGEBOREN – RÖGL: 77, Taf. 2/12 u. 13 (Karpas – Niederösterreich).

1975 *Plectofrondicularia concava* Liebus – POPESCU: 67, Taf. 35/4 (Untermiozän – Rumänien).

1979 *Amphimorphina haueriana* NEUGEBOREN – SZTRAKOS: Taf. 15/15 (oberes Rupel – Ungarn).

1983 *Amphimorphina haueriana* NEUGEBOREN – KRHOVSKÝ, Taf. 2/8 (Obereozän/Oligozän – Westkarpaten).

Beschreibung: Die länglichen, sehr schlanken Gehäuse sind anfangs häufig etwas abgeplattet und erhalten dann zunehmend einen rundlichen Querschnitt. Die Basis ist abgerundet. Die Breitseiten des unteren Gehäuseteils sind konkav und jeweils von zwei Kielen begrenzt; dazu kommt noch je ein Kiel an der Peripherie. Nach oben zu erhalten die Kiele gleichen Abstand zueinander. Nach sehr kurzem biserialen Stadium, das häufig nur ein Kammerpaar umfaßt, folgt uniserialer Anordnung mit reitenden Kammern im tieferen Teil. Die Kammerhöhe nimmt sehr rasch zu. Die Nähte sind leicht verdickt. Die intercameralen Mündungen haben auch im jüngeren Teil einen ovalen Umriß. Die Gehäusewand ist feinporig.

Maße: L 0,28–1,20 mm
D 0,10–0,15 mm

Anmerkung: Mit der Deutung von *Plectofrondicularia concava* LIEBUS als Anfangsteil von *Amphimorphina hauseriana* verliert die Gattung *Plectofrondicularia* LIEBUS, 1903 ihren Generotyp. Dieser war von CUSHMAN (1928b: 238) festgelegt worden. Als neue Typusart bietet sich *Plectofrondicularia striata* (HANTKEN) an, deren Beschreibung bei LIEBUS (1903: 76) unmittelbar auf die Diagnose der Gattung *Plectofrondicularia* folgt (vgl. hierzu auch HAGN, 1960: 139).

Verbreitung: Weit verbreitet im gesamten Rupel und Untereger der marinen bayerischen Molasse.

Gattung: *Bolivinella* CUSHMAN, 1927

Bolivinella rugosa HOWE
Taf. 5, Fig. 15 u. 19

*1930 *Bolivinella rugosa* HOWE, n. sp. — HOWE: 267, Taf. 21/4 (Oligozän — Mississippi).

1963 *Bolivinella rugosa* HOWE — KIESEL & LOTSCH: 19, Taf. 6/5 (Schönewalder Schichten — Südbrandenburg).

1979 *Bolivinella rugosa* HOWE — SZTRAKOS: Taf. 15/17 (oberes Rupel — Ungarn).

Beschreibung: Die meist gedrungenen, herzförmigen oder gewölbt-dreieckigen, mäßig abgeflachten Gehäuse haben einen rautenförmigen bis spitzovalen Querschnitt und eine stumpf-zugespitzte Basis. Die Peripherie ist subakut und gezackt. Die Gehäuse sind aus ca. sechs bis sieben Kammerpaaren aufgebaut. Die Höhe der niedrigen und breiten Kammern nimmt langsam zu. Die Suturen sind gekrümmt und limbat. Der Suturewinkel beträgt 60–80°. Die Mündung ist eine winzige niedrige Öffnung an der Basis der letzten Kammer. Die Skulptur bilden neben den peripheren Zacken in der Regel derbe Höcker auf den Suturen und häufig ein Mediankiel, der manchmal auch in eine Schar von kürzeren Kielen aufgelöst sein kann. Die Gehäusewand ist feinporig.

Maße: L 0,22–0,38 mm, B 0,16–0,27 mm
D 0,11–0,13 mm

Differentialdiagnose:

Bolivinella folia (PARKER & JONES), 1865 ist durch ein sich flügelartig erweiterndes Gehäuse charakterisiert (vgl. CUSHMAN, 1929: 29, Taf. 5/1 u. 2 und LOEBLICH & TAPPAN, 1964a: C526, Abb. 411/4).

Bolivinella margaritacea CUSHMAN, 1929 besitzt ein stärker gestrecktes Gehäuse als *Bolivinella rugosa*.

Verbreitung:

Untereger₁: Bohrung Ortenburg 1001 (nicht selten)
Traun-Profil (sehr selten)

Unteres Rupel: Traun-Profil

Bolivinella virgata CUSHMAN
Taf. 6, Fig. 1 u. 6

*1929 *Bolivinella virgata* Cushman, new species — CUSHMAN: 33, Taf. 5/9 (Miozän — Südwestfrankreich).

Beschreibung: Das verhältnismäßig schlanke Gehäuse besitzt subparallele Seiten, einen flach-elliptischen Querschnitt und eine stumpf-zugespitzte Basis. Die Peripherie ist etwas abgerundet und fast glatt. Ca. sieben Kammerpaare bauen das Gehäuse auf. Die Höhe der niedrigen und breiten Kammern nimmt langsam zu. Die Suturen sind gekrümmt und stark verdickt und am Ende leicht eingesenkt. Der Suturewinkel liegt bei etwa 80°. Die Mündung ist eine winzige Öffnung am Grund der letzten Kammer. Die Gehäusewand ist glatt und feinporig.

Maße: L 0,28 mm, B 0,17 mm
D 0,07 mm

Vorkommen: Untereger₁: Bohrung Ortenburg 1001 (sehr selten).

Gattung: *Lagena* WALKER & JACOB, 1798

Lagena sulcata (WALKER & JACOB)

*1798 *Serpula* (*Lagena*) *sulcata* — WALKER & JACOB: 634, Taf. 14/5 (rezent — Britische Inseln) (fide ELLIS & MESSINA).

Verbreitung: Weit verbreitet und stets selten im gesamten Rupel und im Untereger₁ der marinen bayerischen Molasse.

Lagena gracilicosta REUSS
Taf. 6, Fig. 2 u. 7

*1863a *Lagena gracilicosta* REUSS. — REUSS: 327, Taf. 3/42 u. 43 (Oligozän — Norddeutschland).

1927 *Lagena gracilicosta* REUSS. — FRANKE: 20, Taf. 2/2 (Paleozän — Dänemark).

1969 *Lagena gracilicosta* REUSS — ROGL: 74, Taf. 1/14 (Karpat — Niederösterreich).

1979 *Lagena gracilicosta* REUSS — SZTRAKOS: Taf. 12/3 (oberes Rupel — Ungarn).

Beschreibung: Es handelt sich um gedrungene bis länglich-tropfenförmige Gebilde mit rundlichem Querschnitt. Zur Mündung hin verjüngt sich die Kammer kontinuierlich oder es ist ein wenig deutlich abgesetzter, kurzer konischer Hals entwickelt. Die Basis ist gerundet, ein Basalstachel ist nur bei einem Exemplar vorhanden. Aufgebrochene Gehäuse zeigen keinen Siphon. Die Zahl der longitudinalen Rippen und Zwischenrippen schwankt zwischen 16 und 45. Die Gehäusewand ist feinporig.

Maße: L 0,23–0,35 mm
D 0,13–0,22 mm

Differentialdiagnose:

Von *Lagena sulcata* unterscheidet sich die Art durch das

Fehlen eines deutlich abgesetzten, kräftigen, subzylindrischen Halses und durch die höhere Rippenzahl.

Lagena striata (D'ORBIGNY), 1839 besitzt ebenfalls einen vom übrigen Gehäuse deutlich abgesetzten Mündungshals.

Verbreitung: Weit verbreitet im gesamten Rupel und im Untereger_I der marinen bayerischen Molasse; stets akzessorisch.

Lagena hexagona (WILLIAMSON)

*1848 *Entosolenia squamosa* (MONTAGU) var. γ , *hexagona* – WILLIAMSON: 20, Taf. 2/23 (rezent – Britische Inseln) (fide ELLIS & MESSINA).

Verbreitung:

Oberes Rupel: Bohrung Ortenburg 1001 (sehr selten)
Koglgraben (sehr selten)

Lagena laevis (MONTAGU)

1939 *Lagena laevis* (MONTAGU) – MATTHES: 60, Taf. 3/18 (Oligozän/Miozän – Mitteleuropa).

Verbreitung:

Untereger_{II}: Bohrung Ampfing 1 (sehr selten)
Untereger_I: Bernauer Mulde/Prien-Gebiet (sehr selten)
Oberes Rupel: Ramberg/Bergener Gebiet (sehr selten)

Familie: Polymorphinidae D'ORBIGNY, 1839

Gattung: *Guttulina* D'ORBIGNY, 1839

Guttulina problema problema D'ORBIGNY

*1826 *Polymorphina (Guttulina) problema*, Nob. – D'ORBIGNY: 266 (Pliozän – Italien).

Verbreitung:

Untereger_{II}: Bohrung Ortenburg 1001
Untereger_I: Bohrung Ortenburg 1001
Nonnenwald-Mulde

Guttulina problema frankei CUSHMAN & OZAWA

Taf. 6, Fig. 3, 4 u. 8

*1930 *Guttulina frankei* Cushman & Ozawa, new species – CUSHMAN & OZAWA: 28, Taf. 4/1 (Mittelloligozän – Norddeutschland).

1958 *Guttulina problema* D'ORBIGNY var. *frankei* CUSHMAN & OZAWA – BATJES: 121, Taf. 4/11 (Rupel – Belgien).

1962 *Guttulina frankei* CUSHMAN & OZAWA – KIESEL: 45, Taf. 7/3 (Mittelloligozän – DDR).

Beschreibung: Die in etwa spindelförmigen Gehäuse sind eineinhalb bis zweimal so hoch wie breit und besitzen in der Mündungsansicht einen leicht-gerundet-dreieckigen Umriß. An den Enden laufen die Gehäuse spitz zu, wobei der schmale Anfangsteil vom übrigen Gehäuse deutlich abgesetzt ist. Die Kammern sind quinqueloculin angeordnet, wenig umgreifend und kaum gewölbt, die jüngeren Kammern reichen nicht mehr bis zum Proloculus herab. Die Nähte sind nahe der Basis ziemlich deutlich, nahe der strahligen Mündung kaum mehr eingesenkt. Die Gehäusewand ist glatt und feinporig.

Maße: L 0,28–0,53 mm, B 0,17–0,33 mm
D 0,13–0,28 mm

Differentialdiagnose:

Gegenüber der Nominatunterart zeichnet sich *G. problema frankei* durch das gestrecktere Gehäuse und den deutlich abgesetzten Initialteil aus.

Vorkommen: Nicht selten im Untereger_I des Schmeroldgrabens/Mangfall-Profil. Selten im Untereger_I des Nonnenwaldquerschlags.

Guttulina praelonga (EGGER)

*1857 *Polymorphina praelonga* nov. spec. – EGGER: 287, Taf. 13/25–27 (Eggenburg – bayer. Molasse).

Verbreitung:

Untereger_I: Bohrung Ortenburg 1001 (selten)
Bohrung Ampfing 1 (selten)
Oberes Rupel: Bohrung Ampfing 1 (selten)

Gattung: *Globulina* D'ORBIGNY, 1839

Globulina gibba D'ORBIGNY

*1826 *Polymorphina (Globulina) gibba*, Nob. – D'ORBIGNY: 266 (rezent u. fossil).

Verbreitung:

Untereger_I: Nonnenwald-Mulde
Bohrung Ortenburg 1003
Schmeroldgraben
Bohrung Ampfing 1
Oberes Rupel: Bohrung Ortenburg 1001
Schmeroldgraben
Koglgraben
Bohrung Ampfing 1
Unteres Rupel: Wehrprofil

Globulina muensteri (REUSS)

*1856 *Polymorphina Münsteri* n. sp. – REUSS: 249, Taf. 8/80 (Oberoligozän – Norddeutschland).

Verbreitung:

Untereger_I: Koglgraben/Feilnbacher Gebiet (selten)
Leitzach-Profil (selten)
Latdorf: Bohrung Ampfing 1 (selten)

Gattung: ?*Pyrulina* D'ORBIGNY, 1839

„*Pyrulina*“ *fusiformis* (ROEMER)

Taf. 6, Fig. 5, 10 u. 16

*1838 *Polymorphina fusiformis* nob. – ROEMER: 386, Taf. 3/37 (Tertiär – Norddeutschland).

1930 *Pyrulina fusiformis* (Roemer) – CUSHMAN & OZAWA: 54, Taf. 13/3–5; 13/7 u. 8 (Oberoligozän – Norddeutschland; Miozän – Wiener Becken).

1958 *Pyrulina fusiformis* (ROEMER) – BATJES: 122, Taf. 4/3 (Rupel – Belgien).

1963 *Pyrulina fusiformis* (ROEMER) – KUMMERLE: 39, Taf. 5/6 (Oberoligozän – Norddeutschland).

Beschreibung: Die spindelförmigen, in der Regel schlanken, im Querschnitt rundlichen oder etwas abgeflachten Gehäuse haben eine gerundete oder zugespitzte Basis. Die frühen Kammern sind ungefähr triserial angeordnet; danach folgt bei adulten Individuen ein biseriales Stadium. Die Kammerbasis entfernt sich im Lauf der Ontogenie in zunehmendem, aber unterschiedlichem Maß vom Proloculus. Die Neigung der nicht oder nur leicht eingesenkten Suturen variiert beträchtlich. Die terminale strahlige Mündung bildet die Spitze eines mehr oder weniger hohen Konus aus imperforiertem, bei guter Erhaltung durchsichtigem Schalenmaterial am oberen Gehäuseende. Eine nicht unbeträchtliche Anzahl der Individuen weist eine „entosolenian tube“ auf (röhrenartiger interner Mündungsfortsatz ohne Verbindung zur vorhergehenden intercameralen Mündung). Die Gehäusewand ist glatt und abgesehen vom mündungsnahen Bereich fein perforiert.

Maße: L 0,30–1,07 mm
D 0,13–0,32 mm

Anmerkung: Im Durchlicht, durch Aufbrechen des Gehäuses oder durch Untersuchung mit Xylol konnte bei zahlreichen, gut genug erhaltenen Exemplaren ein zartes internes Mündungsröhrchen festgestellt werden. Bei anderen Individuen war dieses Element jedoch nicht oder nur als röhrenartige Höhlung der Kammerfüllung nachweisbar. Es scheint der Verdacht berechtigt zu sein, daß diese dünnwandige Internstruktur häufig chemischer Auflösung zum Opfer gefallen ist. Dies würde bedeuten, daß alle vorliegenden Exemplare nicht zur Gattung *Pyurulina*, sondern zu einer neu aufzustellenden Gattung innerhalb der *Glandulininae* sensu LOEBLICH & TAPPEN (1964a: C532 ff.) zu stellen sind. Als möglichen Gattungsnamen schlage ich *Siphopyurulina* n. gen. vor.

Die oben beschriebene Art ist zwar in den vorliegenden Proben zum Teil recht häufig, doch sind die Exemplare oft mit Tonmineralien verfüllt – ein Umstand, der Detailuntersuchungen sehr erschwert.

Differentialdiagnose:

Polymorphina cylindroides ROEMER, 1838 soll sich nach CUSHMAN & OZAWA (1930) gegenüber *Polymorphina fusiformis* ROEMER durch lange spindelförmige Kammern auszeichnen (vgl. hierzu auch HAUSMANN, 1964: 363).

Verbreitung: Die Art ist im gesamten Rupel und Untereger des Untersuchungsgebietes weit verbreitet und zum Teil häufig.

Gattung: *Glandulina* D'ORBIGNY, 1839

Glandulina aequalis REUSS

Taf. 6, Fig. 9

- *1863b *Glandulina aequalis* m. – REUSS: 48, Taf. 3/28 (Oligozän – Mainzer Becken).
- 1958 *Glandulina aequalis* REUSS – BATJES: 123, Taf. 4/5 u. 6 (Rupel – Belgien).
- 1964 *Glandulina aequalis* REUSS – HAUSMANN: 365, Taf. 6/5 (Mitteloligozän – DDR).
- 1970 *Glandulina aequalis* REUSS – LE CALVEZ: 99, Abb. 35 (Oligozän – Pariser Becken).

Beschreibung: Die langsam an Breite zunehmenden, walzenförmigen Gehäuse sind überwiegend gänzlich unise-

rial. Die Basis der häufigeren megalosphärischen Formen ist wohlgerundet, die mikrosphärischen Formen laufen zur Basis hin spitz zu. Die Kammerzahl adulter Individuen liegt bei fünf bis sieben. Die wenig umgreifenden Kammern verzüngen sich im Bereich ihres oberen Drittels rasch und bilden hier einen meist ziemlich flachen Konus. Von außen betrachtet gewinnen die Kammern rasch an Höhe. Die Nähte sind anfangs nicht oder nur kaum, im Bereich der jüngsten Kammern schließlich flach und deutlich eingesenkt. Sie sind bei megalosphärischen Formen stets in etwa horizontal angeordnet, bei Individuen der mikrosphärischen Generation ist ein sehr kurzes biserials Stadium oder mindestens eine anfänglich schräge Nahtstellung erkennbar (unter Zuhilfenahme von Xylol). Die gestrahlte Mündung ist am Apex offen. Die Gehäusewand ist glatt und feinporig.

Maße: L 0,36–0,77 mm
D 0,21–0,30 mm

Differentialdiagnose:

Glandulina conica NEUGEBOREN, 1850 besitzt eine komplizierter gebaute Mündung.

Glandulina discreta REUSS, 1850 ist der Genotyp der Gattung *Pseudonodosaria* BOOMGART, 1949, die als gänzlich uniserial definiert ist.

Verbreitung: Weit verbreitet im gesamten Rupel und im Untereger₁ des Untersuchungsgebietes.

Glandulina ovula D'ORBIGNY

- *1846 *Glandulina ovula*, d'Orbigny – D'ORBIGNY: 29, Taf. 1/6 u. 7 (Miozän – Wiener Becken).

Vorkommen: Sehr selten im oberen Rupel des Schmeldegrabens.

Glandulina dimorpha (BORNEMANN)

Taf. 6, Fig. 15 u. 19

- *1855 *Glandulina dimorpha* n. sp. – BORNEMANN: 345, Taf. 17/5 (Oligozän – Norddeutschland).
- 1855 *Glandulina vitrea* n. sp. – BORNEMANN: 346, Taf. 17/8 (Oligozän – Norddeutschland).
- 1930 *Glandulina dimorpha* (Bornemann) – CUSHMAN & OZAWA: 144, Taf. 40/3–5 (Oberoligozän – Norddeutschland; Miozän – Wiener Becken).
- 1962 *Glandulina dimorpha* (Bornemann) – KIESEL: 51, Taf. 7/16 (Mitteloligozän – DDR).
- 1964 *Glandulina dimorpha* (Bornemann) – HAUSMANN: 364, Taf. 6/4 (Mitteloligozän – DDR).

Beschreibung: Die gedrunken-spindelförmigen Gehäuse sind nahe der Basis etwas abgeflacht. Die Kammern sind äußerlich gut unterscheidbar und mäßig bis stark einhüllend. Die Nähte sind deutlich eingesenkt. Auf den gut entwickelten bi- oder triserialen Anfangsteil folgen noch eine oder mehrere zentral in Richtung der Gehäuselängsachse uniserial angeordnete Kammern. Die Mündung ist gestrahlt, die Gehäusewand glatt und feinporig.

Maße: L 0,37–0,51 mm
D 0,29–0,31 mm

Differentialdiagnose:

Im Gegensatz zu *Glandulina laevigata* (D'ORBIGNY), 1826 besitzt *Glandulina dimorpha* deutlich vertiefte Nähte.

Vorkommen:

- Untereger_I: Bohrung Ampfing 1 (sehr selten)
 Oberes Rupel: Ramberg/Bergener Gebiet (sehr selten)

Gattung: *Oolina* D'ORBIGNY, 1839

Oolina globosa (MONTAGU)

Taf. 6, Fig. 23

- *1803 *Vermiculum globosum* — MONTAGU: 523 (rezent — Britische Inseln) (fide ELLIS & MESSINA).

Verbreitung:

- Untereger_I: Bohrung Ortenburg 1003
 Schmeroldgraben
 Priengebiet
 Unteres Rupel: Traun-Profil

Gattung: *Fissurina* REUSS, 1850

Fissurina laevigata REUSS

- *1850 *Fissurina laevigata* m. — REUSS: 366, Taf. 46/1 (Miozän — Wiener Becken).

Verbreitung:

- Oberes Rupel: Traun-Profil (häufig)
 Unteres Rupel: Traun-Profil (sehr selten)

Fissurina obtusa EGGER

- *1857 *Fissurina obtusa* nov. spec. — EGGER: 270, Taf. 5/16–19 (Eggenburg — bayer. Molasse).

Verbreitung: Weit verbreitet im gesamten Rupel und Untereger der marinen bayerischen Molasse.

Fissurina orbignyana SEGUENZA

- *1862 *Fissurina* (*Fissurina*) *orbignyana* — SEGUENZA: 66, Taf. 2/25 u. 26 (Obermiozän — Sizilien) (fide ELLIS & MESSINA).

Verbreitung:

- Untereger_I: Bohrung Ortenburg 1001
 Bernhaupten/Bergener Gebiet
 Oberes Rupel: Traun-Profil
 Latdorf: Bohrung Ampfing 1

Familie: Buliminidae JONES, 1875

Gattung: *Bulimina* D'ORBIGNY, 1826

Bulimina striata D'ORBIGNY

- 1826 *Bulimina striata*, Nob. — D'ORBIGNY: 269 (nom. nud.) (rezent — Adria).
 *1843 *Bulimina striata* D'ORBIGNY — GUÉRIN-MÉNEVILLE: 9, Taf. 2/16 u. 16a (fide ELLIS & MESSINA).

Verbreitung: Latdorf bis Untereger_{II} der marinen bayerischen Molasse.

Bulimina arndti HAGN

Taf. 6, Fig. 11–12

- *1952 *Bulimina arndti* n. sp. — HAGN: 168, Taf. 2/15 (Untereger_I — bayer. Molasse).
 1954 *Bulimina arndti* HAGN — HAGN: Taf. 3/9 (Untereger_I — bayer. Molasse).
 1960 *Bulimina arndti* HAGN — HAGN: Taf. 7/6 (Untereger_I — bayer. Molasse).
 1971 *Bulimina arndti* HAGN — ČIČHA, ZAPLETALOVÁ, PAPP, ČTYROKÁ & LEHOTAYOVÁ: 262, Taf. 12/3 (Eggenburg — Wiener Becken).

Beschreibung: Die im Querschnitt gerundet dreieckigen Gehäuse sind an der Basis zugespitzt. Längere Individuen haben in der Seitenansicht parallele Ränder. Die niedrigen und breiten Kammern nehmen kaum an Höhe zu. Die Anzahl der zarten, hohen, longitudinalen Rippen ist sehr konstant und schwankt zwischen 13 und 15. Der Außenrand der Rippen ist meist unregelmäßig und ausgefranst. Die Mündungsfläche ist glatt. Die Perforation der Schale ist deutlich.

Maße: L 0,25–0,45 mm

D 0,15–0,19 mm

Differentialdiagnose:

Bulimina alazanensis CUSHMAN, 1927 ist deutlich gedrungener als die oben beschriebene Art.

Bulimina sculptilis CUSHMAN (vgl. u.) besitzt eine stärker konische Gehäuseform und bauchigere, rascher an Höhe zunehmende Kammern, sowie eine geringere Anzahl an Rippen.

Anmerkung: Die Art wurde im Untereger_I der Rainer Mühle/Prien-Profil aufgestellt.

Verbreitung:

- Untereger_I: Rote Traun/Traun-Profil
 Rainer Mühle/Prien-Profil
 Bohrung Ampfing 1
 Bohrung Ortenburg 1002
 Oberes Rupel: Traun-Profil
 Leitzach-Profil
 Unteres Rupel: SW Rettenbeck bei Hausham

Bulimina sculptilis CUSHMAN

Taf. 6, Fig. 13–14

- *1923b *Bulimina sculptilis* Cushman, n. sp. — CUSHMAN: 23, Taf. 3/3 (Oligozän — Mississippi).
 1947 *Bulimina sculptilis* Cushman — CUSHMAN & PARKER: 103, Taf. 24/12 (Oligozän — Mississippi).
 1962 *Bulimina sculptilis* CUSHMAN — LÜHR: 123, Taf. 4/15 (Unteroligozän — bayer. Kalkalpin).
 1966 *Bulimina sculptilis* Cushman — LINDENBERG: 132, Abb. 28/1–3 (Unteroligozän — bayer. Kalkalpin).
 1982 *Bulimina sculptilis* CUSHMAN — SZTRAKOS: Taf. 30/3 (Obereozän /unteres Oligozän — Ungarn).

Beschreibung: Die überwiegend schlanken, im Querschnitt stark abgerundet-dreieckigen bis rundlichen Buliminien zeigen eine zugespitzte Basis und divergierende Ränder. Die Zahl der Umgänge beträgt bei adulten Gehäusen ca. fünf. Die zunehmend geblähten Kammern nehmen merklich an Höhe zu. Die Längsornamentik bilden neun bis zwölf durchlaufende, kräftige Rippen, die im Bereich der eingesenkten Nähte zurückspringen können. Die Gehäusewand ist deutlich perforiert.

Maße: L 0,30–0,50 mm
D 0,21–0,28 mm

Anmerkungen: Die Beziehungen zu vergleichbaren Arten wurden bereits von LUHR (1962: 124) behandelt. Biometrische Untersuchungen lieferte LINDENBERG (1966: 132 ff.).

Vorkommen: Latdorf der Bohrung Ampfing 1 (nicht selten).

Bulimina elongata D'ORBIGNY

*1846 *Bulimina elongata*, d'Orbigny – D'ORBIGNY: 187, Taf. 11/19 u. 20 (Miozän – Wiener Becken).

Verbreitung: Rupel und Untereger_I der marinen bayerischen Molasse.

Gattung: *Praeglobobulimina* HOFKER, 1951

Praeglobobulimina spinescens (BRADY)

*1884 *Bulimina pyrula* D'ORBIGNY var. *spinescens* – BRADY: 400, Taf. 50/11 u. 12 (rezent – Pazifik) (fide ELLIS & MESSINA).

Vorkommen:

Untereger_{II}: Bohrung Ortenburg 1001 (sehr selten).

Praeglobobulimina pyrula (D'ORBIGNY)

*1846 *Bulimina pyrula*, d'Orbigny – D'ORBIGNY: 184, Taf. 11/9 u. 10 (Miozän – Wiener Becken).

Verbreitung: Weit verbreitet und z. T. massenhaft im gesamten Rupel und Untereger der marinen bayerischen Molasse.

Gattung: *Globobulimina* CUSHMAN, 1927

Globobulimina bathyalis n. sp.

Taf. 6, Fig. 17, 20 u. 21

1952 *Bulimina* cf. *pyrula* D'ORBIGNY – HAGN: 167 (Rupel/Untereger_I – bayer. Molasse).

Derivatio nominis: Die Art tritt vorwiegend im oberen Bathyal auf.

Holotypus: Slg. München Prot. K 192–196.

Locus typicus: Bohrung Ortenburg 1001, 276,3–321,0 m.

Stratum typicum: Untereger_I.

Untersuchtes Material: 109 Exemplare.

Diagnose: Eine neue Art der Gattung *Globobulimina* mit folgenden Besonderheiten: größte Breite in der basalen Hälfte des Gehäuses, stark, jedoch nicht völlig involut, Nähte schwach vertieft; die Mündung erreicht den Apex, liegt jedoch nicht gänzlich terminal.

Beschreibung: Die plumpen, eiförmigen bis mützenförmigen Gehäuse sind wenig höher als breit bis eineinhalbmal so hoch wie breit und haben einen rundlichen oder gerundet-dreieckigen Querschnitt. Die Basis ist abgeplattet bis wohlgerundet. Von den Kammern des jüngsten Umganges werden die älteren Umgänge sehr stark, jedoch niemals völlig

verhüllt. Die Nähte sind leicht eingesenkt. Die tropfen- oder kommaförmige Mündung besitzt einen kräftigen Randsaum und reicht bis zum Apex des Gehäuses. Bei guter Erhaltung enthält die Mündung eine hochragende Zahnplatte, die mit dem Mündungsrand verbunden ist. Die Schale ist glatt, feinporig und sehr dünn.

Maße: L 0,47–0,78 mm
D 0,36–0,65 mm

Erhaltung: Alle Exemplare sind verkiest; der Anfangsteil ist oft herausgebrochen.

Differentialdiagnose:

Globobulimina hanna CUSHMAN & ELLISOR, 1945 weist eine eher schlauchartige Kammerform auf; die Kammern sind durch sehr deutliche Nahtvertiefungen getrennt. Die Mündung liegt terminal. Die genannte Art wurde im Oligozän von Texas aufgestellt.

Bulimina socialis BORNEMANN, 1855 ist schwächer evolut und hinsichtlich der Kammeranordnung eher mit *Praeglobobulimina pyrula* D'ORBIGNY, 1846 und ihren Varianten zu vergleichen (s. PAPP & SCHMID: 1985).

Bei *Globobulimina pacifica* CUSHMAN, 1927 schließen die drei jüngsten Kammern die älteren ein.

Bulimina pyrula D'ORBIGNY var. *perversa* CUSHMAN, 1921 ist auch extrem involut, gedrunken und nahezu kugelig.

Verbreitung: Enorm weit verbreitet und zum Teil massenhaft im Zeitbereich vom Top des unteren Rupels bis zum Top des Untereger_{II} der marinen bayerischen Molasse.

Globobulimina sp.
Taf. 6, Fig. 18 u. 22

Beschreibung: In der Seitenansicht zeigen die Gehäuse einen gedrunken-eiförmigen Umriss; der Querschnitt ist kreisförmig. Der wohl-gerundeten Basis steht der leicht zugespitzte Mündungsbereich gegenüber. Äußerlich sind nur die letzten drei Kammern zu erkennen: Die beiden jüngsten Kammern stehen sich gegenüber, die drittletzte ist schon stark verhüllt und nur im Bereich der Basis sichtbar. Die Nähte sind leicht eingesenkt. Die tropfenförmige Mündung liegt terminal; ihr basaler Winkel sitzt auf dem höchsten Punkt der zweitjüngsten Kammer. Die Schale ist dünn, glatt und fein perforiert.

Maße: L 0,35–0,52 mm
D 0,27–0,43 mm

Erhaltung: Die Exemplare sind verkiest.

Differentialdiagnose:

Die Art ähnelt *Bulimina pyrula* D'ORBIGNY var. *perversa* CUSHMAN, 1921, es fehlt jedoch die tief eingeschnittene Suture unterhalb der Mündung (vgl. CUSHMAN & PARKER, 1947: 135 u. Taf. 29/34). Bei *Globobulimina bathyalis* n. sp. ist die Mündung weiter herabgezogen und ältere Kammern sind sichtbar.

Vorkommen: Basis des Untereger_I der Roten Traun (nicht selten).

Gattung: *Virgulopsis* FINLAY, 1939*Virgulopsis tuberculata* (EGGER)

*1857 *Bulimina tuberculata* nov. spec. — EGGER: 284, Taf. 12/4–7 (Eggenburg — bayer. Molasse).

Verbreitung: Weit verbreitet im gesamten Oligozän der marinen bayerischen Molasse.

Gattung: *Caucasina* KHALILOV, 1951*Caucasina oligocaenica* KHALILOV

Taf. 7, Fig. 3 u. 8

- 1960 *Caucasina oligocaenica* KHALILOV — ESPITALIÉ & SIGAL: 204, Taf. 1/1–8 (?Unteroligozän — Südfrankreich).
 1964b *Caucasina schischkinskayae* (Samoylova) — LOEBLICH & TAPPAN: 78, Taf. 2/1–3, non 4 (Oligozän — Aserbeidschan, UdSSR).
 1971 *Bagatella oligocaenica* (KHALILOV) — POPESCU & IVA: 43, Taf. 10/2–7 (Oligozän — Rumänien).
 1979 *Caucasina oligocaenica* KHALILOV — SZTRAKOS: Taf. 27/11 (oberes Rupel — Ungarn).

Beschreibung: Die gedrungenen, subzylindrischen Gehäuse sind meist nahe der flach-konischen bis breit gerundeten Basis am breitesten. Der niedrig-trochospirale Anfangsteil besteht aus ca. eineinhalb bis zwei Windungen mit jeweils sechs bis sieben Kammern. Der Anfangsteil ist deutlich abgesetzt vom darauffolgenden triserialen, jüngeren Gehäuseabschnitt. Die nur kaum geblähten Kammern nehmen im trochospiralen Teil langsam, im triserialen Teil rasch an Größe zu. Die Nähte sind kaum eingesenkt und nahezu gerade; sie sind im trochospiralen Teil nach hinten gerichtet und verlaufen im triserialen Abschnitt schräg zur Gehäuseachse. Die breit-schlitzförmige Mündung liegt an der Innenseite der letzten Kammer. Die Gehäusewand ist glatt und feinperforiert.

Maße: L 0,12–0,41 mm
 D 0,17–0,23 mm

Bemerkung: Zusammen mit den adulten Formen treten massenhaft juvenile Formen auf, bei denen lediglich der niedrig-trochospirale Teil entwickelt ist.

Differentialdiagnose:

Caucasina schischkinskayae (SAMOILOVA) zeichnet sich durch einen im Verhältnis zur Gesamtgröße des Gehäuses wesentlich kleineren trochospiralen Anfangsteil aus; die Kammern sind bei *Caucasina schischkinskayae* stärker gebläht als bei *Caucasina oligocaenica*.

Verbreitung:

Untereger₁: Bernhaupten/Bergener Gebiet (häufig)
 Bohrung Ampfing 1

Caucasina schischkinskayae (SAMOILOVA)

Taf. 7, Fig. 2 u 7

- *1947 *Bulimina schischkinskayae* — SAMOILOVA: 82, Abb. 10 (mittleres Oligozän — Krim, UdSSR) (fide ELLIS & MESSINA).
 pars: 1964b *Caucasina schischkinskayae* (Samoylova) — LOEBLICH & TAPPAN: 78, Taf. 2/4 (Oligozän — Mangyshlak well, UdSSR).

- 1971 *Bagatella schischkinskayae* (Samoylova) — POPESCU & IVA: 43, Taf. 11/1–5 (Oligozän, Rumänien).
 1974 *Caucasina schischkinskayae* (Samoilova) — GLAÇON & SIGAL: Taf. 1/1 u. 2/3 (*Spiroplectamina-carinata*-Zone — Bakhtchisaray, ?UdSSR).
 1978 *Caucasina schischkinskayae* (SAMOYLOVA) — POIGNANT & PUJOL: 680, Taf. 8/7 (Burdigal — Südwestfrankreich).

Beschreibung: Die länglichen und schlanken, subzylindrischen Gehäuse zeigen eine abgeplattete bis flachkonische Basis. Der Umriss ist stets deutlich gelappt. Der Anfangsteil enthält sechs bis acht Kammern in der ersten und ca. vier bis fünf Kammern in der zweiten Windung; darauf folgt triseriale Kammeranordnung. Im jüngsten Teil sind die Gehäuse meist aus weniger als drei Kammern pro Umgang aufgebaut. Insgesamt bestehen adulte Gehäuse aus etwa fünf Windungen. Die mäßig geblähten Kammern nehmen im Anfangsteil langsam, später rasch an Größe und insbesondere an Höhe zu und sind am Ende etwa so hoch wie breit. Die Nähte sind deutlich eingesenkt und gerade. Der vordere Rand der breit-schlitzförmigen Mündung ist erhaben und trägt einen schmalen Randsaum, auf der rückwärtigen Seite enthält die Mündung eine rinnenartige, nach unten weisende Einstülpung. Die Gehäusewand ist glatt und feinperforiert.

Maße: L 0,20–0,40 mm
 D 0,15–0,20 mm

Verbreitung: Weit verbreitet im gesamten Rupel und im Untereger₁ der marinen bayerischen Molasse.

Caucasina coprolithoides (ANDREAE)

Taf. 7, Fig. 1 u. 6

- *1884 *Bulimina coprolithoides* n. sp. — ANDREAE: 305, Taf. 6/4 (Oligozän — Elsaß).
 1928b *Bulimina coprolithoides* Andrae — CUSHMAN: 52, Taf. 2/4 (Stamp — Pariser Becken).
 1937 *Bulimina coprolithoides* Andrae — CUSHMAN & PARKER: 37, Taf. 4/2 (Stamp — Pariser Becken).
 1951 *Bulimina elegans* D'ORBIGNY — FRIESE: 31, Taf. 11/47–57 (Oligozän — bayer. Molasse).
 1962 *Bulimina coprolithoides* ANDREAE — DOEBL in Leitf. Mikrop.: 386, Taf. 56/3 (Oligozän — Rheintalgraben).
 1966 *Caucasina coprolithoides* (ANDREAE) — LE CALVEZ: 408, Taf. 1/7–8 (Unteroligozän — Pariser Becken).
 1971 *Bagatella* cf. *tenebricosa* (Pishvanova) — POPESCU & IVA: 43, Taf. 11/6–8 (Oligozän — Rumänien).
 1978 *Caucasina coprolithoides* (ANDREAE) — POIGNANT & PUJOL: 680, Taf. 8/6 (Burdigal — Südwestfrankreich).
 1979 *Caucasina* cf. *tenebricosa* PISHVANOV — SZTRAKOS: Taf. 27/12 (oberes Rupel — Ungarn).

Beschreibung: Die gedrungenen bis länglichen Gehäuse besitzen eine gerundete Basis. Sie nehmen nach oben hin allmählich an Breite zu. Der Umriss ist stets deutlich gelappt. Die Anfangswindung besteht in der Regel aus vier bis fünf Kammern nach dem Proloculus, selten treten Individuen mit nur dreieinhalb Kammern in der ersten Windung auf. Mit der zweiten Windung erfolgt stets Reduktion zum triserialen Stadium, im jüngsten Teil sind die Gehäuse meist aus weniger als drei Kammern pro Umgang aufgebaut. Insgesamt treten bis zu fünf Umgänge bei adulten Gehäusen auf; juvenile Formen sind z. T. enorm häufig. Die mäßig geblähten Kammern nehmen im Anfangsteil langsam, später rasch an Größe und insbesondere an Höhe zu und sind am Ende etwa so hoch wie

breit. Die Nähte sind deutlich eingesenkt und gerade. Die Mündung ist breit-schlitzförmig; der (im Sinne der Windungsrichtung) vordere Rand ist erhaben, auf der rückwärtigen Seite enthält die Mündung eine rinnenartige, nach unten weisende Einstülpung. Die Gehäusewand ist glatt und fein-perforiert.

Maße: L 0,22–0,92 mm
D 0,13–0,32 mm

Differentialdiagnose:

Caucasina schischkinskayae (SAMOILOVA) zeigt einen trochspiralen Anfangsteil mit zwei Umgängen und hat eine subzylindrische Gehäuseform.

Caucasina cylindrica ZAPLETALOVA, 1973 hat weniger deutlich eingesenkte Nähte und eine zylindrische Gehäuseform.

Caucasina tenebricosa PISCHVANOVA, 1960 zeigt einen ovalen Umriss. Die Nähte sind bei dieser Art flach-eingesenkt.

Caucasina lappa (CUSHMAN & PARKER), 1937 weist eine Bestachelung im Bereich des Initialteils auf.

Verbreitung: Sehr häufig im gesamten Oligozän der marinen bayerischen Molasse.

Gattung: *Buliminella* CUSHMAN, 1911

Buliminella elegantissima (D'ORBIGNY)
Taf. 7, Fig. 11–12

*1839 *Bulimina elegantissima* d'Orb. — D'ORBIGNY: Taf. 7/13–14 (rezent — Südamerika).

1947 *Buliminella elegantissima* (d'Orbigny) — CUSHMAN & PARKER: 67, Taf. 17/10–12 (rezent — Südamerika).

1951 *Buliminella elegantissima* (d'Orbigny) — HOFKER: 131, Abb. 80 (rezent — Pazifik).

1972 *Buliminella elegantissima* (D'ORBIGNY) — DOEBL & SONNE: 61, Taf. 10/20 („Aquitane“ — Mainzer Becken).

Beschreibung: Die länglichen, kleinen Gehäuse besitzen einen kreisförmigen Querschnitt und sind zur Basis hin in eine stumpfe Spitze ausgezogen. Die Gehäuse bestehen aus zwei bis drei Umgängen, die rasch an Höhe zunehmen. Die Kammerzählung im letzten Umgang beträgt etwa acht. Die zur Gehäuseachse schräg angeordneten Kammern sind schmal und sigmoid gekrümmt. Die Nähte zwischen den aufeinanderfolgenden Kammern sind kaum eingesenkt, die Spiralnaht ist leicht vertieft. Bei der Mündung handelt es sich um einen kleinen Bogen im Bereich der Windungsachse. Die Gehäusewand ist glatt und sehr fein perforiert.

Maße: L 0,27–0,30 mm
D 0,12–0,14 mm

Verbreitung: Selten im Untereger_I der Bohrung Ortenburg 1001.

Gattung: *Stainforthia* HOFKER, 1956

Stainforthia acuta (D'ORBIGNY)

*1846 *Polymorphina acuta*, d'Orbigny — D'ORBIGNY: 234, Taf. 13/4 u. 5, Taf. 14/5–7 (Miozän - Wiener Becken).

Verbreitung: Akzessorisch in fast allen mittel- und oberoligozänen Schichten der marinen bayerischen Molasse;

z. T. massenhaft im Untereger_{II} der Bohrung Ortenburg 1001 und von Wildenwart.

Gattung: *Fursenkoina* LOEBLICH & TAPPAN, 1961

Fursenkoina mustoni (ANDREAE)
Taf. 7, Fig. 4 u. 9

*1884 *Virgulina mustoni* n. sp. — ANDREAE: 254, Taf. 11/4 (Oligozän — Elsaß).

1937b *Virgulina mustoni* Andreae — CUSHMAN: 13, Taf. 2/6 (Oligozän — Elsaß).

1952 *Virgulina mustoni* ANDREAE — HAGN: 170 (oberes Rupel/Untereger_I — bayer. Molasse).

Beschreibung: Die Gehäuse sind stark variabel hinsichtlich der Form der Kammern, der Intensität der Torsion und der Ausbildung der Mündung. Die Gehäuse sind keulenförmig bis spindelförmig, länglich, seitlich leicht abgeplattet und im Querschnitt dick-oval. Zur Basis hin laufen sie spitz zu. Manchmal ist ein kurzer, dreizeiliger Anfangsteil vorhanden. Der zweizeilige Teil besteht bei adulten Gehäusen aus fünf bis sieben Kammerpaaren. Die Peripherie ist gelappt. Die Kammern sind mehr oder weniger gebläht und sehr variabel hinsichtlich des Höhe-zu-Breite-Verhältnisses. Die letzte Kammer kann reduziert sein. Die Nähte sind stets deutlich eingesenkt, gerade und verlaufen horizontal oder leicht geneigt. Die mediane Zick-Zack-Naht wird bei stark gedrehten Gehäusen in eine gerade oder nur leicht geknickte Linie umgewandelt. Die Kammern dieser Formen sind eher paarweise als alternierend angeordnet. Die Mündung ist tropfen- bis schlitzförmig und an der Kammerbasis häufig verschlossen; letzteres Phänomen tritt bei reduzierten Endkammern nicht auf. Bei gut erhaltenen Objekten ist eine Zahnplatte zu sehen, die über den Mündungsrand hinausragt. Die Gehäusewand ist glatt und feinporig.

Maße: L 0,23–0,47 mm
D 0,08–0,16 mm

Bemerkung: *Fursenkoina* sp. aus dem ungarischen Rupel (SZTRÁKOS, 1979: Taf. 27/8) ist vermutlich mit *F. mustoni* zu vereinigen.

Verbreitung: Weit verbreitet und z. T. sehr häufig im gesamten Rupel und Untereger der marinen bayerischen Molasse.

Gattung: *Coryphostoma* LOEBLICH & TAPPAN, 1962

Coryphostoma sp.
Taf. 7, Fig. 5 u. 10

Beschreibung: Die länglichen, schlanken Gehäuse sind beiderseits zu einer stumpfen Spitze ausgezogen. Sie besitzen anfangs einen ovalen, im jüngeren Teil einen rundlichen Querschnitt. Die Kammeranordnung ist anfangs gedreht biserial, am Ende uniserial. Das biseriale Stadium besteht aus vier bis fünf Kammerpaaren, das uniseriale Stadium etwa aus zwei länglichen Kammern. Die Kammern sind anfangs so hoch wie breit, im Lauf der Ontogenie nehmen sie deutlich an

Höhe zu. Sie sind leicht gebläht. Die geraden bis leicht gebogenen Nähte sind flach eingesenkt und schräg. Die terminale, kleine Mündung ist schlank-tropfenförmig und liegt leicht exzentrisch. Sie ist ein wenig zum höchsten Punkt der vorhergehenden Kammer herabgezogen und besitzt einen imperfurierten Randsaum. Die Gehäusewand ist glatt und feinperfuriert.

Maße: L 0,42–0,75 mm
D 0,11–0,17 mm

Verbreitung: Weit verbreitet, doch stets akzessorisch im obersten Rupel und Untereger₁ der Vorlandmolasse.

Gattung: *Virgulinella* CUSHMAN, 1932

Virgulinella chalkophila (HAGN)

Taf. 7, Fig. 16 u. 20

- *1952 *Loxostomum chalkophilum* n. sp. – HAGN: 172, Taf. 2/11 (Rupel – bayer. Molasse).
1971 *Virgulinella* (?) *chalkophilum* (Hagn) – POPESCU & IVA: 46, Taf. 9/2 (Oligozän – Rumänien).
1979 *Virgulinella chalkophilum* (HAGN) – SZTRAKOS: Taf. 27/9 (oberes Rupel – Ungarn).

Beschreibung: Das längliche Gehäuse besitzt divergierende Seiten und ist im Querschnitt dick-oval. Die Basis ist zugespitzt. Die meist nur leicht gedrehten Gehäuse sind über die gesamte Länge biserial. Die Peripherie ist gerundet. Adulte Gehäuse sind meist von etwa vier Kammerpaaren aufgebaut. Die alternierend angeordneten Kammern sind leicht gebläht und nehmen rasch an Größe und insbesondere an Höhe zu. Die eingesenkten Nähte verlaufen leicht schräg, die Mediannaht ist in der Regel tief eingegraben. Die Nähte werden von wenigen groben Ausstülpungen der Kammerbasis, den Septalbrücken, partiell verdeckt. Die Mündung ist ein großer, breiter Schlitz, der von der Basis bis zum Scheitel der letzten Kammer reicht. Abgesehen von den Septalbrücken ist die Gehäusewand glatt, die Schale ist feinporig und sehr dünn.

Maße: L 0,30–0,60 mm, B 0,12–0,25 mm
D 0,10–0,21 mm

Erhaltung: meist als Pyritsteinkern.

Bemerkung: Nach LOEBLICH & TAPPAN (1964a: C734) besitzt *Virgulinella* einen triserialen Anfangsteil. Der Genotypus von *Virgulinella*, *Virgulinella pertusa* (REUSS), 1861, besitzt jedoch gemäß Originalbeschreibung und auch -abbildung ein Gehäuse, das offenbar von Anfang an nur gedreht biserial ist.

Differentialdiagnose:

Virgulinella pertusa hat keine so stark eingetiefte Mediannaht wie *Virgulinella chalkophila*; sie hat auch zahlreichere und zierlichere Septalbrücken.

Verbreitung: Rupel und Untereger der marinen bayerischen Molasse. Häufig, insbesondere im unteren Rupel des Wehrprofils an der Weißen Traun, dem locus typicus der Art.

Gattung: *Uvigerina* D'ORBIGNY, 1826

Uvigerina hantkeni CUSHMAN & EDWARDS

Taf. 7, Fig. 18 u. 22

- *1937 *Uvigerina hantkeni* Cushman & Edwards, n. sp. – CUSHMAN & EDWARDS: 60, Taf. 8/15 u. 16 (Oligozän – Ungarn).
1975 *Uvigerina hantkeni* CUSHM. et EDW. – PAPP: 282, Taf. 1/9 u. 10 (Mitteloligozän – Oberösterreich).
1979 *Uvigerina hantkeni* CUSHMAN et EDWARDS – SZTRAKOS: 67, Taf. 24/3 (oberes Rupel – Ungarn).
1983 *Uvigerina cocoaensis hantkeni* CUSHMAN et EDWARDS – SZTRAKOS: 133, Taf. 2/18 u. 19 (Obereozän/Oligozän – Ungarn).
1986 *Uvigerina hantkeni* Cushman and Edwards – CÍCHA et al.: 136, Taf. 4/1, 2 und 6 (oberes Rupel – Ungarn).

Beschreibung: Die gedrunenen bis leicht gestreckten Gehäuse bestehen aus schwach gewölbten Kammern, die anfangs niedrig und breit, später annähernd so hoch wie breit sind. Die Ornamentierung bilden 10 bis 20 kräftige, blattartige Rippen; die Mündungsfläche ist meist glatt. Die Wandporen sind unregelmäßig verteilt.

Variabilität: Die Rippen sind z. T. an den Kammergrenzen unterbrochen und versetzt, z. T. laufen sie auch kontinuierlich einem großen Teil des Gehäuses entlang.

Maße: L 0,32–0,88 mm
D 0,28–0,47 mm

Differentialdiagnose:

Wie Abb. 26 zeigt, unterscheidet sich *Uvigerina posthantkeni* von *U. hantkeni* durch das schnellere Ansteigen ihres Länge-zu-Breite-Verhältnisses in bezug auf die Gesamtlänge.

Im Klartext heißt dies, daß *Uvigerina posthantkeni* bei zunehmender Gehäuselänge im Mittel wesentlich schlanker ist als *Uvigerina hantkeni*.

Uvigerina eocaena GUMBEL, 1868 ist gedrungener als *Uvigerina hantkeni* und scheint generell durchlaufende Rippen zu besitzen.

Verbreitung: Latdorf bis Untereger₁ der marinen bayerischen Molasse; z. T. massenhaft.

Uvigerina posthantkeni PAPP

Taf. 7, Fig. 13 u. 23

- 1951 *Uvigerina pygmaea* D'ORBIGNY – FRIESE: 33, Taf. 14/1–30 (Oligozän – bayer. Molasse).
*1971 *Uvigerina posthantkeni* n. sp. – PAPP in CÍCHA et al.: 264, Taf. 14/1–4 (Eggenburg – Österreich).
1977 *Uvigerina hemmooriensis* n. sp. – DANIELS & SPIEGLER: 35, Taf. 6/6 u. 7, sowie 9/6 (unteres Miozän – Norddeutschland).
1986 *Uvigerina posthantkeni* Papp – CÍCHA et al.: 138, Taf. 5/1 (oberes Eger – bayer. Molasse).

Beschreibung: Die gedrunenen bis länglichen Gehäuse bestehen aus schwach gewölbten Kammern, die anfangs niedrig und breit, später so hoch wie breit sind. Die Ornamentierung besteht aus 12 bis 18 kräftigen, blattartigen Rippen, die an den Suturen gewöhnlich unterbrochen und versetzt sind. Die Poren sind unregelmäßig verteilt.

Maße: L 0,31–0,93 mm
D 0,15–0,40 mm

Anmerkung: Gehäuse mit vier Umgängen stimmen sehr gut mit dem Holotyp von *U. posthantkeni* überein; Gehäuse

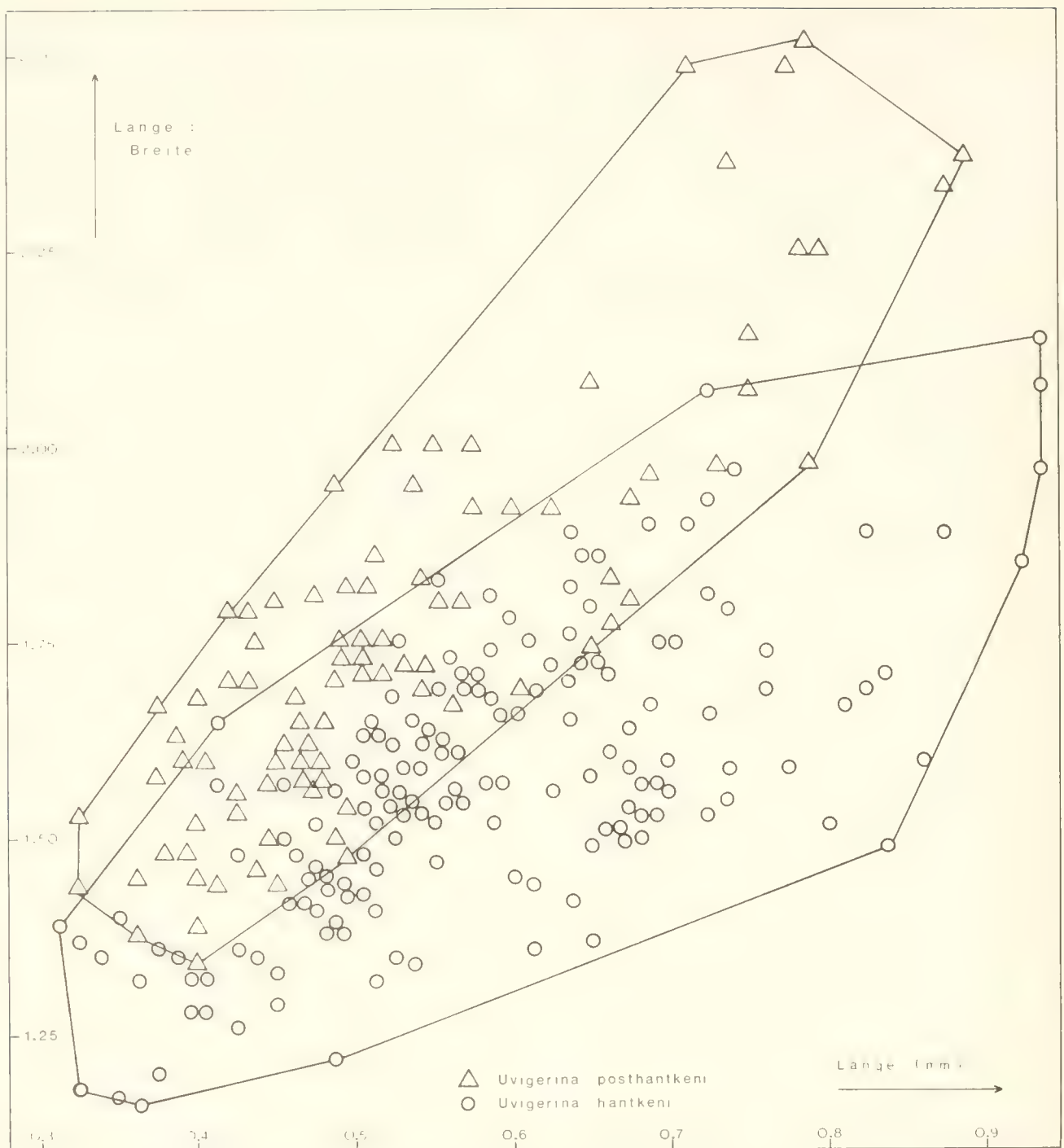


Abb. 26: Variation des Länge/Breite-Verhältnisses bei *Uvigerina posthantkeni* PAPP und *Uvigerina hantkeni* CUSHMAN & EDWARDS (bezogen auf die jeweilige Gesamtlänge des Gehäuses). Herkunft des Materials:

Uvigerina posthantkeni: Untereger_{II} – Prien-Profil; höchstes Untereger_I – Bohrung Ortenburg 1001; Untereger_I-Basis – Traun-Profil; oberes Rupel – Bergener Gebiet. *Uvigerina hantkeni*: höchstes Untereger_I – Prien-Profil; oberes Rupel – Traun-Profil; unteres Rupel – Feilnbacher Gebiet; Latdorf – Bohrung Ampfing 1.

mit mehr Umgängen sind indes deutlich schlanker. Mit freundlicher Erlaubnis von Dr. C. Rupp, Wien, konnten die Originale mit dem bayerischen Material verglichen werden.

Differentialdiagnose:

Uvigerina steyri PAPP, 1975 ist allgemein kleiner, besitzt im Gegensatz zu *U. posthantkeni* einen ovalen Umriß und feinere, nicht unterbrochene Rippen (vgl. PAPP, KRÖLL & FUCHS, 1978: Taf. 1/1–7 und POIGNANT & BIOLZI, 1981: Taf. 6/7–8).

Uvigerina continuosa LAMB, 1964 zeigt ebenfalls durchlaufende Costae und scheint ein jüngeres Synonym von *Uvigerina gallowayi* CUSHMAN, 1929 zu sein.

Bei Topotypmaterial von *Uvigerina cocoaensis* CUSHMAN, 1925 (= *Uvigerina jacksonensis* CUSHMAN, 1925) aus dem Obereozän von Alabama (Cocoa Post Office) handelt es sich um gedrungene bis stark gestreckte Formen, die i. a. durch nicht-unterbrochene Berippung gekennzeichnet sind. Im

Vergleich zu *Uvigerina posthantkeni* ist die Berippung reduziert.

Verbreitung: Oberes Rupel bis Untereger_{II} der bayerischen Oligozän-Molasse; z. T. sehr häufig.

Uvigerina rudlingensis PAPP

Taf. 7, Fig. 17 u. 21

- 1955 *Uvigerina urnula* D'ORB. — HAGN: 347, Taf. 10/2 (Untereger_{II} — bayer. Molasse).
 *1975 *Uvigerina rudlingensis* n. sp. — PAPP: 283, Taf. 1/1–4 (Eger — Oberösterreich).
 1986 *Uvigerina rudlingensis* Papp — CICHÁ et al.: 142, Taf. 6/9 und 10 (Untereger_{II} — bayer. Molasse).

Beschreibung: Die länglichen Gehäuse zeigen schwach gewölbte Kammern; diese sind anfangs niedrig und breit und am Ende so hoch wie breit. Die Schale ist im wesentlichen glatt, nur der Anfangsteil kann eine rudimentäre Berippung besitzen. Die weitständigen Poren sind fein.

Maße: L 0,45–0,90 mm
 D 0,30–0,36 mm

Anmerkungen: Nach PAPP (1975: 284) hat zwar die auf den Zeitbereich des Eger beschränkte *Uvigerina rudlingensis* die Tendenz zur Reduktion der Skulptur mit *Uvigerina semiornata* D'ORBIGNY, 1846 aus dem Baden des Wiener Beckens gemeinsam, der Autor sieht indes keinen genetischen Zusammenhang zwischen beiden Arten. Die bei *Uvigerina rudlingensis* auftretenden rudimentären Rippen sind etwas größer als die zarten Rippen von *Uvigerina semiornata*.

Verbreitung: Untereger der marinen bayerischen Molasse; massenhaft im Untereger_{II}.

Uvigerina cichai n. sp.

Taf. 7, Fig. 14–15

- 1986 *Uvigerina* cf. *U. rippensis* Cole — CICHÁ et al.: 140, Taf. 6/5 und 6 (Untereger_I — bayer. Molasse).

Derivatio nominis: zu Ehren von Prof. Dr. I. Cichá, Prag.

Holotypus: Slg. München Prot. 5926.

Locus typicus: Nonnenwald-Mulde, Graben nördlich Zachenried, 450 m östlich Oberhof.

Stratum typicum: oberstes Untereger_I.

Untersuchtes Material: 74 Exemplare.

Diagnose: *Uvigerinen* mit Tendenz zu biserialer Kammeranordnung, mit stark geblähten Kammern und einer Längsornamentierung aus zahlreichen engständigen, flachen Rippen.

Beschreibung: Die Exemplare der neuen Art sind unterschiedlich schlank und zwischen eineinhalb- und dreimal so lang wie breit. Die Basis ist stumpf. Im Bereich ihrer jüngeren Hälfte zeigen die Gehäuse eine mehr oder weniger ausgeprägte biseriale Kammeranordnung. Die Kammern selbst sind nahezu kugelig und die Nähte sind deutlich eingekerbt. Die Längsskulptur bilden zahlreiche engstehende, über die Nähte nicht hinweggreifende, niedrige Rippen, die das Ge-

häuse auch im Bereich der Mündungsfläche bedecken. Ihre Zahl beträgt 20 bis 30 in Höhe des größten Umfangs. Die Wand ist feinperforiert. Die Mündung sitzt auf einem sich nach oben zu leicht konisch verjüngenden Hals.

Maße: L 0,40–0,55 mm

D 0,23–0,30 mm

Differentialdiagnose:

Uvigerina rippensis COLE, 1927 unterscheidet sich von der vorliegenden Art durch ein deutlicheres biserials Stadium, weniger geblähte Kammern und eine meistens vorhandene pustelige Ornamentierung des jüngeren Gehäusebereichs (vgl. a. SZTRAKOS, 1983: Taf. 1/5 u. 14–23 sowie CUSHMAN & EDWARDS, 1937: 12/6).

Die von HAGN, 1956 als *Hopkinsina acuto-costata* und *Hopkinsina citae* beschriebenen Arten des norditalienischen Obereozäns, deren erstere auch im Unteroligozän von Haring/Tirol auftritt, zeigen ein deutlicheres biserials Stadium und ebenfalls weniger geblähte Kammern als *Uvigerina cichai* n. sp.

Uvigerina costellata MOROZOVA, 1939 scheint im jüngeren Gehäuseteil niedrigere und breitere Kammern zu besitzen; die Rippen sind gezähnt.

Verbreitung:

Höchstes Untereger_I: Nonnenwald-Mulde (sehr häufig)
 Bohrung Ortenburg 1002
 (nicht selten)

Sehr seltene Exemplare liegen aus dem Ottwang Niederbayerns und des Kaltenbachgrabens vor.

Gattung: *Rectuvigerina* MATHEWS, 1945

Rectuvigerina elegans (HANTKEN)

Taf. 7, Fig. 19 u. 24

- *1875 *Dimorphina elegans* Hantk. n. sp. — HANTKEN: 63, Taf. 7/9 (Obereozän — Ungarn).
 1971 *Siphogenerina elegans* HANTKEN — POPESCU & IVA: 45, Taf. 6/9 (Oligozän — Rumänien).
 1982 *Rectuvigerina elegans* (Hantk.) — AGIP: Taf. 34/9 (Unteroligozän — Italien).

Beschreibung: Die länglichen, schlanken Gehäuse haben eine stumpfe Basis. Ein mehr oder weniger deutlich ausgeprägter triserialer Anfangsteil ist stets vorhanden. Der darauf folgende Abschnitt mit zweizeilig-alternierender Kammeranordnung ist häufig leicht tordiert; er besteht aus im Umriss dick-keilförmigen Kammern und zeigt nach oben zu Tendenz zur Uniserialität. Das uniserials Stadium umfaßt bis zu vier Kammern. Die Nähte sind im älteren Gehäuseteil deutlich vertieft; die einzeilig angeordneten Kammern sind durch starke Einschnürungen geschieden. Zahlreiche longitudinale Rippen, die an der Kammerbasis zu Dornen ausgezogen sein können, bilden die Skulptur des Gehäuses. Die Mündung sitzt auf kurzem Hals und trägt einen deutlichen Randsaum. Die Perforation ist fein.

Maße: L 0,42–0,75 mm

D 0,18–0,20 mm

Verbreitung:

Oberes Rupel: Bohrungen Ortenburg 1001 und 1003.

Gattung: *Trifarina* CUSHMAN, 1923*Trifarina gracilis* (REUSS)

- *1851 *Uvigerina gracilis* m. — REUSS: 77, Taf. 5/39 (Oligozän — Norddeutschland).
 1870 *Uvigerina tenuistriata* nov. sp. — REUSS: 31, v. SCHLICHT: Taf. 22/34–36 non 37 (Oligozän — Norddeutschland).

Verbreitung: Im gesamten Oligozän der marinen bayerischen Molasse häufig.

Trifarina gracilis (REUSS) var. *germanica* CUSHMAN & EDWARDS
 Taf. 8, Fig. 1

- *1938 *Angulogerina germanica* CUSHMAN & EDWARDS n. sp. — CUSHMAN & EDWARDS: 85, Taf. 15/14 u. 15 (Unteroligozän — Norddeutschland).
 1958 *Angulogerina gracilis* (REUSS) var. *germanica* CUSHMAN & EDWARDS — BATJES: 136, Taf. 6/4 (Oligozän — Belgien).
 1964 *Angulogerina gracilis germanica* (CUSHMAN & EDWARDS) — HAUSMANN: 378, Taf. 7/4 (Mitteloligozän — DDR).
 1972 *Angulogerina gracilis* (REUSS) var. *germanica* CUSHMAN & EDWARDS — WILLEMS: 35, Taf. 2/8 u. 9 (Unteroligozän — Belgien).
 1979 *Trifarina gracilis* (REUSS) forma *germanica* (CUSHMAN & EDWARDS) — SZTRAKOS: Taf. 20/11 (oberes Rupel — Ungarn).

Anmerkung: Die Skulptur besteht aus unregelmäßigen Längsrippen, die in Zacken und Grate aufgelöst sind.

Verbreitung:

Untereger_I: Bohrungen Ortenburg 1001 u. 1003

Trifarina globosa (STOLTZ)

- *1925 *Uvigerina tenuistriata* D'ORB. var. *globosa* STOLTZ — STOLTZ: 130, Abb. tfs (Unterer Septarienton — Hessen) (fide ELLIS & MESSINA).

Verbreitung:

Untereger_{II}: Prien-Profil
 Bohrung Ortenburg 1001

Trifarina angulosa (WILLIAMSON)

- *1858 *Uvigerina angulosa* — WILLIAMSON: 67, Taf. 5/140 (rezent — Britische Inseln) (fide ELLIS & MESSINA).

Verbreitung:

Untereger_{II}: Bohrungen Ortenburg 1001 u. 1002
 Untereger_I: Bohrung Ortenburg 1001
 Bohrung Ampfing 1
 Nonnenwald-Mulde
 Schmeroldgraben
 Oberes Rupel: Bohrung Ortenburg 1001
 Traun-Profil
 Unteres Rupel: Traun-Profil

Trifarina bradyi CUSHMAN

- *1923a *Trifarina bradyi*, new species — CUSHMAN: 99, Taf. 22/3–9 (rezent — Atlantik).

Verbreitung: Gesamtes Rupel und Untereger der marinen bayerischen Molasse; stets akzessorisch.

Gattung: *Trifarina muralis* (TERQUEM)

Taf. 8, Fig. 2–3

- *1882 *Uvigerina muralis*, Terq. — TERQUEM: 119, Taf. 20/26–29 (Eozän — Pariser Becken).
 1937 *Angulogerina muralis* (Terquem) — CUSHMAN & EDWARDS: 55, Taf. 8/3–5 (Lutet — Pariser Becken).
 1961 *Angulogerina muralis* (TERQUEM) — KAASSCHIETER: 199, Taf. 10/3 u. 4 (Eozän — Belgien).
 1974 *Uvigerina muralis* Terquem — MURRAY & WRIGHT: Taf. 7/3 (Eozän — Isle of Wight).
 1982 *Trifarina muralis* (TERQUEM) — SZTRAKOS: Taf. 30/5 (Obereozän/Oligozän — Ungarn).

Beschreibung: Die Gehäuse sind ca. eineinhalbmal so hoch wie breit, laufen nach oben und unten in eine stumpfe Spitze aus und sind in der Mitte am breitesten. Der Querschnitt ist dreieckig. Im oberen Teil tendieren die Gehäuse zur Einseitigkeit. Ca. vier Umgänge bauen adulte Gehäuse auf. Die Kammern nehmen rasch an Größe zu und erhalten eine immer unregelmäßigere Form im Lauf der Ontogenie. Die Kammern sind meist leicht gebläht, z. T. geknickt und kissenartig übereinander gestapelt. Im Mittelteil ragen sie nach außen stark über den älteren Teil des Gehäuses vor. An ihrer Basis zeigen insbesondere die jüngeren Kammern markante Ein- und Ausbuchtungen. Die Nähte sind stets stark vertieft. Die Mündung trägt einen wulstigen Randsaum. Die Gehäusewand ist glatt und feinporiert.

Maße: L 0,19–0,21 mm

D 0,14–0,15 mm

Verbreitung:

Oberes Rupel: Traun-Profil
 Bocksleiten/Isar
 Latdorf: Graben SW Haldemooseck/Ammergebiet

Gattung: *Reussella* GALLOWAY, 1933*Reussella spinulosa* (REUSS)

- *1850 *Verneuilina spinulosa* m. — REUSS: 374, Taf. 47/12 (Miozän — Wiener Becken).

Verbreitung:

Untereger_{II}: Bohrung Ortenburg 1001
 Untereger_I: Nonnenwald-Mulde

Reussella aperta CUSHMAN

Taf. 8, Fig. 4–5

- *1945 *Reussella aperta* Cushman, n. sp. — CUSHMAN: 35, Taf. 6/13 (Miozän — Rumänien).
 1971 *Reussella aperta* Cushman — ISTOYESCU & GHEORGHIAN: Taf. 7/1 u. 2 (oberes Miozän — Rumänien).

Beschreibung: Die ungekielten Gehäuse sind kaum höher als breit und nehmen rasch an Breite zu. Die Basis besitzt einen zentralen Dorn. Das mündungsseitige Gehäuseende ist leicht schräg abgestutzt. Die aus vier bis fünf Umgängen bestehenden Gehäuse haben ebene Seitenflächen. Die Kammern nehmen rasch und kontinuierlich an Größe zu, laufen nach außen hin in eine Spitze aus und sind meist leicht gebläht. Die eingesenkten Nähte verlaufen leicht geneigt und sind häufig etwas gebogen. Die Mündung, ein niedriger Bogen, nimmt

etwa ein Drittel der Basis der Mündungsfläche ein. Die Gehäusewand ist glatt und grobporig.

Maße: L 0,18–0,27 mm
D 0,13–0,22 mm

Verbreitung:

Untereger₁: Bernhaupten/Bergener Gebiet
Prien-Profil
Bohrung Ortenburg 1001

Gattung: *Bolivina* D'ORBIGNY, 1839

Bolivina beyrichi beyrichi REUSS
Taf. 8, Fig. 6 u. 11

- *1851 *Bolivina Beyrichi* m. – REUSS: 83, Taf. 6/51 (Oligozän – Norddeutschland).
1909 *Bolivina beyrichi* REUSS – SPANDEL: 150, Taf. 1/13 (Rupel – Mainzer Becken).
1937b *Bolivina beyrichi* REUSS – CUSHMAN: 74, Taf. 9/3–6 (Oligozän – Norddeutschland; Mainzer Becken).
1967 *Bolivina beyrichi beyrichi* REUSS – HOFMANN: 137, Taf. 3/1–4 (Rupel – Mainzer Becken; Untereger – bayer. Molasse).

Beschreibung: Die meist länglichen, spitz-keilförmigen, seltener gedrungenen Gehäuse sind im Querschnitt abgeflacht-rhombisch. Die z. T. schwach gekielte Peripherie ist scharf und gelappt oder gezackt. Die meisten Exemplare werden von ca. zehn Kammerpaaren aufgebaut. Die leicht geblähten Kammern sind anfangs niedrig und breit, gewinnen im Verlauf der Ontogenie deutlich an Höhe und sind am Ende fast so hoch wie breit. Die eingesenkten Nähte verlaufen im Medianbereich horizontal oder steigen leicht an. Sie sind nach dem typischen Suturnick nach außen herabgezogen. Der Suturwinkel beträgt 45–60°. Die rundliche bis elliptische Mündung trägt einen imperforierten Randsaum. Die glatte Wand ist grob und dicht perforiert.

Maße: L 0,43–0,63 mm, B 0,17–0,28 mm
D 0,08–0,09 mm

Verbreitung: Weit verbreitet im gesamten Oligozän der marinen bayerischen Molasse.

Bolivina cf. *beyrichi bituminosa* SPANDEL
Taf. 8, Fig. 7 u. 12

- 1909 *Bolivina beyrichi* REUSS, var. *bituminosa* nov. v. – SPANDEL: 151, Taf. 1/14 (Rupel – Mainzer Becken).
1966 *Bolivina* cf. *beyrichi bituminosa* Spandel – LINDENBERG: 95, Abb. 4/1 u. 2 (Oligozän – bayer. Kalkalpin).
1967 *Bolivina* cf. *beyrichi bituminosa* SPANDEL – HOFMANN: 141, Taf. 2/3 u. 5 (Rupel – bayer. Molasse).

Beschreibung: Die länglichen und keilförmigen Gehäuse sind im Querschnitt abgeplattet-oval. Die subakute Peripherie ist leicht gelappt und ungekielt. Sieben bis neun Kammerpaare bauen die Gehäuse auf. Die Kammern nehmen deutlich an Höhe zu. Die leicht eingesenkten Nähte verlaufen im Medianbereich etwa horizontal und sind nach außen hin herabgezogen. (Der Suturnick ist nicht so deutlich wie bei den anderen Vertretern der beyrichi-Gruppe.) Der Suturwinkel beträgt 60–70°. Die schlitzartige Mündung trägt einen schmalen Randsaum. Die Wand ist deutlich und dicht perforiert und glatt.

Maße: L 0,36–0,40 mm, B 0,14–0,21 mm
D 0,08–0,13 mm

Differentialdiagnose:

Bei *Bolivina beyrichi beyrichi* nehmen die Kammern rasch an Höhe zu. Der Suturnick ist deutlicher ausgebildet.

Verbreitung:

Oberes Rupel: Bohrung Ortenburg 1001
Traun-Profil

Bolivina beyrichi carinata HANTKEN
Taf. 8, Fig. 8 u. 13

- *1875 *Bolivina Beyrichi* Reuss var. *carinata* – HANTKEN: Taf. 7/12 (Oligozän – Ungarn).
1966 *Bolivina beyrichi carinata* Hantken – LINDENBERG: 96, Abb. 4/4 (Oligozän – bayer. Kalkalpin).
1967 *Bolivina beyrichi carinata* HANTKEN – HOFMANN: 142, Taf. 3/5 u. 6 (Rupel/oberes Eger – bayer. Molasse).
1979 *Bolivina beyrichi carinata* HANTKEN – SZTRAKOS: Taf. 18/17 (unteres Eger – Ungarn).
1982 *Bolivina beyrichi carinata* HANTKEN – SZTRAKOS: Taf. 28/1 u. 2 (Oligozän – Ungarn).

Beschreibung: Die Gehäuse nehmen von der stumpfen Basis an rasch an Breite zu und besitzen anfangs stärker, später schwächer divergierende Seiten. Die Peripherie der abgeflachten Gehäuse ist scharf, stets mit einem Kiel versehen und gesägt. In der Regel sind sieben bis acht Kammerpaare vorhanden. Die Kammern sind gebogen, leicht gebläht und nehmen an Höhe rascher zu als an Breite. Die Endkammern sind etwa so hoch wie breit. Die in der Regel leicht eingesenkten Nähte verlaufen im Medianbereich ungefähr horizontal und sind nach unterschiedlich deutlichem Suturnick nach außen herabgezogen. Der Suturwinkel beträgt 45–70°. Der imperforierte Randsaum der schmal-elliptischen Mündung geht seitlich in den Kiel über. Die Gehäusewand ist glatt und dicht perforiert.

Maße: L 0,36–0,61 mm, B 0,17–0,30 mm
D 0,07–0,08 mm

Differentialdiagnose:

Bolivina alata (SEGUENZA), 1862 aus dem Pliozän Italiens besitzt Ähnlichkeit mit *Bolivina beyrichi carinata*. Es scheint sich jedoch dabei um eine im Durchschnitt schmalere Art zu handeln. *Bolivina pseudobeyrichi* CUSHMAN, 1926 zeigt nicht derartige nach unten gezogene Kammern wie sie für *Bolivina beyrichi carinata* typisch sind.

Bolivina beyrichi beyrichi ist dicker und der Kiel ist nicht so deutlich ausgebildet. Der Suturwinkel ist im Mittel etwas kleiner, d. h. die Suturen sind ein wenig steiler.

Verbreitung: Gesamtes Rupel und Untereger der marinen bayerischen Molasse, z. T. sehr häufig.

Bolivina budensis (HANTKEN)

- *1875 *Textilaria budensis* Hantk. n. sp. – HANTKEN: 67, Taf. 15/1 (Oligozän – Ungarn).

Verbreitung:

Untereger₁: Bohrung Ortenburg 1001
Traun-Profil
Oberes Rupel: Leitzach-Profil

Bolivina crenulata CUSHMAN

Taf. 8, Fig. 17 u. 21

- *1936b *Bolivina crenulata* Cushman, n. sp. — CUSHMAN: 50, Taf. 7/13 a u. b (Kleinzeller Tegel — Ungarn).
 1967 *Bolivina crenulata crenulata* CUSHMAN — HOFMANN: 146, Taf. 1/4–6 (Rupel/Untereger_I — bayer. Molasse).
 1982 *Bolivina crenulata* CUSHMAN — SZTRAKOS: Taf. 28/7 (Obereozän/Oligozän — Ungarn).

Beschreibung: Die gedrungenen, derben Gehäuse besitzen stark divergierende Seiten und sind eineinhalbmal so hoch wie breit. Der Querschnitt ist dick-rhombisch. Die leicht bis deutlich gelappte Peripherie ist kantig oder gerundet. Adulte Gehäuse sind meist aus sechs bis acht Kammerpaaren aufgebaut. Die breiten und niedrigen Kammern sind an der Basis eng gefältelt, wodurch zahlreiche Loben entstehen bzw. eine Gehäuseoberfläche mit unregelmäßigen Vertiefungen. Oft ist eine flache Medianfurche zwischen zwei sie begleitenden Graten vorhanden. Zusätzlich können etwas weniger deutliche Seitenfurchen hinzutreten. Der Suturewinkel ist groß und liegt bei ca. 80°. Die verhältnismäßig kleine Mündung ist abgerundet dreieckig bis schlitzförmig. Die Gehäusewand ist deutlich und dicht perforiert.

Maße: L 0,21–0,34 mm, B 0,13–0,19 mm
 D 0,10–0,13 mm

Differentialdiagnose:

Bolivina plicatella CUSHMAN, 1930 besitzt nach HOFMANN (1967: 147), dem amerikanischen Material von *B. plicatella* zur Verfügung stand, eine stärkere Skulptur aus longitudinalen Graten mit Seitenverbindungen, die die Kammern verdecken. Zudem ist die amerikanische Art seitlich stärker abgeflacht. *Bolivina gnara* HOFMANN, 1967 zeigt eine deutlich schwächer gefältelte Gehäusewand im Bereich der Kammerbasis und eine wesentlich stärker abgerundete Peripherie.

Verbreitung: Gesamtes Rupel und Untereger der marinen bayerischen Molasse.

Bolivina crenulata CUSHMAN var. *trunensis* HOFMANN

- *1967 *Bolivina crenulata trunensis* n. ssp. — HOFMANN: 147, Taf. 5/1–4 (Untereger_{II}; unteres Miozän — bayer. Molasse).

Anmerkung: In Abb. 27 ist die Variation des Dicke-Breite-Verhältnisses von *Bolivina crenulata* sensu stricto und *Bolivina crenulata* var. *trunensis* dargestellt.

Verbreitung: Oberstes Rupel und Untereger der marinen bayerischen Molasse.

Bolivina versatilis HOFMANN

Taf. 8, Fig. 10 u. 15

- *1967 *Bolivina versatilis versatilis* n. sp. — HOFMANN: 149, Taf. 2/12, Taf. 4/1 (Untereger_I — bayer. Molasse).

Beschreibung: Die länglichen Gehäuse sind seitlich abgeflacht, zungen- bis keilförmig und meist gedreht. Die gerundete Peripherie ist leicht gelappt. Adulte Gehäuse werden von meist acht bis zehn Kammerpaaren aufgebaut. Die Kammern sind verhältnismäßig niedrig und breit; die Kammerbasis ist leicht krenuliert, d. h. die Kammerwand ist schwach gefältelt. Die leicht geblähten Kammern werden von eingesenkten Nähten begrenzt. Der Suturewinkel variiert zwischen 55

und 70°. Der schmale Mündungsschlitz trägt einen Randsaum. Die Gehäusewand ist dicht und deutlich perforiert.

Maße: L 0,29–0,42 mm, B 0,13–0,14 mm
 D 0,07–0,11 mm

Differentialdiagnose:

Bolivina crenulata var. *trunensis* hat wesentlich deutlicher ausgebildete Kammerloben.

Bolivina danvillensis HOWE & WALLACE, 1932 weist eine deutlich raschere Zunahme der Kammerhöhe auf.

Bolivina advena CUSHMAN, 1925 ist im Verhältnis wesentlich breiter und hat eine subakute bis kantengerundete Peripherie.

Verbreitung:

Untereger_{II}: Bohrung Ortenburg 1001
 Untereger_I: Bohrungen Ortenburg 1001 und 1003
 Nonnenwald-Mulde

Bolivina gnara HOFMANN

Taf. 8, Fig. 19 u. 23

- *1967 *Bolivina versatilis gnara* n. sp., n. ssp. — HOFMANN: 150, Taf. 2/11 (Untereger_{II} — bayer. Molasse).

Beschreibung: Es handelt sich um gedrungene, seitlich nur sehr leicht abgeflachte, im Querschnitt dick-ovale Gehäuse. Die Peripherie ist zumindest im adulten Teil breitgerundet; sie ist leicht gelappt. Ca. sechs bis acht Kammerpaare bauen die adulten Exemplare auf. Die Kammern sind breit und niedrig und nehmen nur sehr langsam an Höhe zu. An der Basis sind sie leicht krenuliert; die jüngsten Kammern sind etwas gebläht. Der große Suturewinkel liegt nahe bei 90°. Die Mündung ist schlitz- oder tropfenförmig. Die Gehäusewand ist dicht und fein perforiert.

Maße: L 0,22–0,29 mm, B 0,10–0,11 mm
 D 0,08–0,09 mm

Differentialdiagnose:

Bolivina versatilis ist seitlich stärker abgeflacht, die Suturen verlaufen stark schräg.

Verbreitung:

Untereger_{II}: Bohrung Ortenburg 1002
 (s. HOFMANN, 1967)
 Prien-Profil
 Unteres Rupel: Traun-Profil

Bolivina hebes MACFADYEN

- *1930 *Bolivina hebes* sp. nov. — MACFADYEN: 59, Taf. 2/5 (Miozän — Ägypten).

Vorkommen: Untereger_I: Bohrung Ortenburg 1002

Bolivina dilatata hyalina HOFMANN

Taf. 8 Fig. 16 u. 20

- *1967 *Bolivina dilatata hyalina* n. ssp. — HOFMANN: 156, Taf. 1/7–9 (Untereger_I — bayer. Molasse).

Beschreibung: Die kleinen Gehäuse haben keil- bis zungenartige Form und besitzen stärker divergierende bis seltener subparallele Seiten. Der Querschnitt ist flach-linsenförmig. Die Peripherie ist subakut, nicht oder nur kaum gelappt.



Abb. 27: Variation des Dicke/Breite-Verhältnisses von *Bolivina crenulata* CUSHMAN im Traun-Profil.

Die Kammern sind zahlreich. Die Gehäuse bestehen aus 10 bis 15 Kammerpaaren. Die niedrigen und breiten Kammern sind leicht gekrümmt und nehmen nur wenig an Höhe zu. Zwischen Medianbereich und Peripherie ist bei gut erhalte-

nen Exemplaren ein leicht gezählter Kammerlobus erkennbar. In der Regel sind die Exemplare beidseitig mit einem breiten Medianwulst aus hyaliner, „glasiger“ Schalensubstanz überzogen, der meist auf die unteren zwei Drittel des

Gehäuses beschränkt ist. Außerhalb des Medianwulstes sind die Nähte leicht eingesenkt. Der Suturewinkel differiert zwischen 50 und 70°. Die verhältnismäßig breite und niedrige Mündung trägt einen Randsaum. Die Gehäusewand ist glatt, fein und dicht perforiert.

Maße: L 0,27–0,41 mm, B 0,12–0,20 mm
D 0,07–0,11 mm

Differentialdiagnose:

Die Nominatunterart weist keinen hyalinen Medianwulst auf. Lt. HOFMANN hat *Bolivina dilatata dilatata* auch stärker geneigte und nicht eingesenkte Suturen.

Bemerkung: Die These HOFMANN'S (1967: 157), wonach die Ausbildung des Medianwulstes bei *Bolivina dilatata hyalina* an einen gewissen Sandgehalt mit litoralem Einschlag gebunden ist und die Unterart bevorzugt in marinen oder fast brackischen Bereichen auftritt, kann nicht gestützt werden. Gerade im unteren Rupel des Traun-Profiles tritt *Bolivina dilatata hyalina* massenhaft auf, wo Tieferwasserformen bathyale Meerestiefen anzeigen.

Verbreitung: Gesamtes Rupel und Untereger der marinen bayerischen Molasse; z. T. massenhaft.

Bolivina subalpina HOFMANN

*1967 *Bolivina subalpina* n. sp. — HOFMANN: 162, Taf. 2/9 u. 10 (Eger — bayer. Molasse).

Verbreitung: Die Art ist im Untereger der marinen bayerischen Molasse weit verbreitet.

Bolivina koessenensis LINDENBERG

Taf. 8, Fig. 18 u. 22

*1966 *Bolivina koessenensis* n. sp. — LINDENBERG: 124, Abb. 22/1–12 (Oligozän — Kalkalpin).

1967 *Bolivina koessenensis* LINDENBERG — HOFMANN: 157, Taf. 1/1 u. 2 (oberes Rupel — bayer. Molasse).

1983a *Bolivina koessenensis* LINDENBERG — POIGNANT: Taf. 37/5 u. 8 (Oligozän — Sizilien).

Beschreibung: Die länglichen, keilförmigen Gehäuse sind meist zweieinhalbmal so lang wie breit. Sie besitzen meist etwas divergierende, seltener subparallele Seiten. Der Querschnitt ist mäßig dick-rhombisch. Die Peripherie ist subakut bis scharf und z. T. schwach gekielt, sowie kaum gelappt oder ungelappt. Meist etwas mehr als zehn Kammerpaare bauen die Gehäuse auf. Die Kammerhöhe der niedrigen und breiten Kammern nimmt im Verlauf der Ontogenie verhältnismäßig langsam zu. Nahe dem Medianbereich des Gehäuses ist stets ein Kammerlobus entwickelt. Die Suturen sind schräg, leicht gebogen, hyalin verdickt, nach außen zu etwas ausgedünnt und zwischen den jüngsten Kammern manchmal leicht eingesenkt. Der Suturewinkel beträgt 45–55°. Entlang der Gehäusemitte verläuft oft eine mediane Rippe. Der Anfangsteil ist von feinen Striae überzogen. Die schlitzförmige, schmale Mündung trägt einen Randsaum. Die Perforation ist deutlich.

Maße: L 0,36–0,40 mm, B 0,14–0,17 mm
D 0,09–0,11 mm

Differentialdiagnose:

Bolivina vaceki vaceki SCHUBERT, 1902 ist stärker abgeflacht und stets gekielt.

Bolivina melettica ANDREAE, 1884 besitzt nicht derartige verdickte Suturen wie sie *Bolivina koessenensis* aufweist.

Bemerkung: Die von POPESCU (1975: 74, Taf. 43/5 u. 8) als *Bolivina koessenensis* LINDENBERG angegebene Art aus dem Miozän von Rumänien hat ein zungenförmiges Gehäuse mit breit gerundeter Basis und einem markanten Kiel an der Peripherie und wird hier daher nicht mit in die Synonymie aufgenommen.

Verbreitung:

Oberes Rupel: Bohrung Ortenburg 1001.

Bolivina vaceki bavarica LÜHR

Taf. 8, Fig. 9 u. 14

*1962 *Bolivina striatocarinata* CUSHMAN *bavarica* n. ssp. — LÜHR: 135, Abb. 8, Taf. 5/1 (Unteroligozän — Kalkalpin).

1966 *Bolivina vaceki bavarica* Lühr — LINDENBERG: 120, Abb. 14, Abb. 16/1 u. 2, Abb. 18/1–12, Abb. 19/1, 2, 4 u. 5, Abb. 21 (Obereozän/Oligozän — Kalkalpin)

1982 *Bolivina vaceki bavarica* LÜHR — SZTRAKOS: Taf. 28/8 (Obereozän/Oligozän — Ungarn).

Beschreibung: Die zungenförmigen Gehäuse zeigen leicht divergierende bis subparallele Seiten, einen dick-linsenförmigen Querschnitt und eine gerundete Basis. Die Peripherie ist gekantet bis leicht gekielt und ungelappt. Die Kammerzähl ist verhältnismäßig niedrig und bleibt meist unter zehn. Megalosphärische Exemplare haben deutlich weniger als zehn Kammerpaare. Die niedrigen und breiten Kammern besitzen einen deutlichen Lobus nahe der Mittellinie; die Kammern nehmen nur mäßig rasch an Höhe zu. Die Nähte sind hyalin verdickt, derb und leicht gebogen. Der Suturewinkel beträgt 45–60°. Die Skulptur besteht aus einer Median-Rippe und aus engständiger, kräftiger, longitudinaler Berippung. Die tropfenförmige Mündung ist von einem Wulst umgeben. Die Perforation ist verhältnismäßig fein.

Maße: L 0,31–0,42 mm, B 0,14–0,20 mm
D 0,07–0,08 mm

Differentialdiagnose:

Von den anderen Vertretern der Gruppe um *Bolivina vaceki vaceki* SCHUBERT, 1902 unterscheidet sich *B. vaceki bavarica* durch ihren dickeren Querschnitt und ihre kräftigere Skulptur.

Bolivina koessenensis LINDENBERG hat weniger derbe Nähte und eine schwächere Skulptur.

Bolivina aenariensisformis MYATLYUK, 1960 steht der *Bolivina navaceki*-Gruppe nahe, weist aber als Skulptur wenige weitständige deutliche Rippen auf. Darüberhinaus nehmen die Kammern wesentlich rascher an Höhe zu.

Verbreitung:

Oberes Rupel: Rote Traun
Nörtl. Fortsetzung des Wehrprofiles/
Traun-Profil
Unteres Rupel: Wehrprofil/Traun-Profil
Mitteloligozän: Ammer-Profil

Bolivina fastigia CUSHMAN

*1936b *Bolivina fastigia* Cushman, n. sp. — CUSHMAN: 51, Taf. 7/17 (Oberoligozän — Norddeutschland).

Verbreitung: Oberes Rupel und Untereger₁ der marinen bayerischen Molasse.

Bolivina reticulata HANTKEN

Taf. 9, Fig. 1 u. 5

- *1875 *Bolivina reticulata* Hantk. n. sp. — HANTKEN: 65, Taf. 15/6 (Obereozän/Oligozän — Ungarn).
 1937b *Bolivina reticulata* Hantken — CUSHMAN: 50, Taf. 6/24–27 (Obereozän — Ungarn).
 1967 *Bolivina reticulata* HANTKEN — HOFMANN: 165, Taf. 2/1 u. 2 (Untereger₁ — bayer. Molasse).
 1971 *Bolivina* (*Latibolivina*) *reticulata* HANTKEN — HOFMANN: 304, Taf. 13/1, 3, 8, 9 u. 11 (unteres Miozän — Neuseeland; Rupel — Ungarn).
 1979 *Bolivina reticulata* HANTKEN — SZTRAKOS: Taf. 18/28 (oberes Rupel — Ungarn).
 1982 *Bolivina reticulata* HANTKEN — SZTRAKOS: Taf. 29/5 (Obereozän/Oligozän — Ungarn).

Beschreibung: Die gedrunenen Gehäuse sind wenig länger als breit, bis eineinhalbmals so lang wie breit und besitzen einen drachenförmigen Umriß, sowie einen dick-rhombischen Querschnitt. Die Peripherie ist scharf. Die niedrigen und breiten Kammern sind nur im Durchlicht erkennbar, da die Nähte in der Regel von der Skulptur verdeckt sind. Die maschige Skulptur überzieht das Gehäuse netzartig. Die Mündung bildet ein verhältnismäßig kleiner, schmaler Schlitz.

Maße: L 0,24–0,25 mm, B 0,15–0,18 mm
 D 0,07–0,08 mm

Differentialdiagnose:

Stärker skulptierte Exemplare von *Bolivina fastigia* sind flacher, weniger gedrunen und haben eine Betonung der Längsrichtung ihrer Ornamentierung.

Bolivina scalprata retiformis CUSHMAN, 1936 aus dem Miozän Ägyptens soll sich nach CUSHMAN (1937b: 85) von *B. reticulata* durch eine unregelmäßigere Skulptur unterscheiden.

Verbreitung:

Untereger₁: Bohrung Ampfing 1
 Bohrung Ortenburg 1002

Bolivina aenariensisformis MYATLYUK

Taf. 9, Fig. 2 u. 6

- *1960 *Bolivina aenariensisformis* Mjatluk sp. n. — MYATLYUK in SUBBOTINA: 233, Taf. 5/1–6 (Oligozän — Karpathen, Ukraine).
 1979 *Bolivina aenariensisformis* MJATLIUK — SZTRAKOS: 66, Taf. 18/15 (Latdorf — Ungarn).
 1982 *Bolivina aenariensisformis* MYATLYUK — SZTRAKOS: Taf. 29/2 (Obereozän/untereres Oligozän — Ungarn).

Beschreibung: Die im Querschnitt mäßig dicklinsenförmige *Bolivina* hat divergierende Außenränder. Die Peripherie ist scharf und von einem Kiel gesäumt. Die Zahl der Kammerpaare beträgt ungefähr acht. Die verdickten Nähte besitzen einen Lobus nahe der Mittellinie. Der Suturewinkel liegt bei 70°. Die Skulptur wird von einem medianen Grat und ihn begleitenden deutlichen Nebengraten gebildet. Die Ornamentierung erstreckt sich nicht auf die jüngsten Kammern. Die Perforation ist fein.

Maße: L 0,32 mm, B 0,18 mm
 D 0,09 mm

Differentialdiagnose:

Die Art steht *Bolivina fastigia* nahe; *Bolivina aenariensisformis* ist indes weniger abgeplattet und kräftiger ornamentierte Exemplare von *Bolivina fastigia* haben eine netzartige Skulptur. Vertreter der *Bolivina-vaceki*-Gruppe weisen eine wesentlich höhere Rippenzahl und eine zartere Berippung auf.

Vorkommen: Latdorf: Graben SW Haldemooseck/Ammergebiet

Bolivina antiqua D'ORBIGNY

- *1846 *Bolivina antiqua* d'Orbigny — D'ORBIGNY: 240, Taf. 14/11–13 (Miozän — Wiener Becken).

Verbreitung: Untereger der marinen bayerischen Molasse.

Bolivina liebusi HOFMANN

Taf. 9, Fig. 3 u. 7

- 1903 *Bolivina melettica* Andr. — LIEBUS: 81, Abb. 3 (Oligozän — bayer. Molasse).
 1960 *Bolivina melettica* ANDREAE — HAGN: Taf. 6/8 (Rupel — bayer. Molasse).
 1966 *Bolivina* sp. cf. *B. elongata* HANTKEN — SCHERER: 96, Taf. 2/7 (Oligozän — Schweiz).
 *1967 *Bolivina liebusi* n. sp. — HOFMANN: 176, Taf. 2/6–8 (Rupel; Untereger₁ — bayer. Molasse).

Beschreibung: Die derben, keilförmigen Gehäuse zeigen deutlich divergierende Seiten und einen elliptischen bis flach-rautenförmigen Querschnitt. Die Peripherie ist kaum bis leicht gelappt und kantengerundet bis subakut. Adulte Individuen besitzen meist sieben bis acht Kammerpaare. Die Kammern sind anfangs niedrig und breit und nehmen im Verlauf der Ontogenie deutlich an Höhe zu. Am Ende des Gehäuses sind sie nahezu so hoch wie breit. Die schrägen, meist leicht gebogenen Nähte sind, insbesondere im Medianbereich, hyalin verdickt. Der Suturewinkel liegt bei 50°. Die kurze Mündung besitzt gerundet-dreieckige Form. Die Gehäusewand ist dickwandig, glatt und verhältnismäßig grob perforiert.

Maße: L 0,42–0,85 mm, B 0,18–0,30 mm
 D 0,13–0,16 mm

Differentialdiagnose:

Bolivina grossaueheimensis (WIESNER), 1974 aus dem Aquitan des Mainzer Beckens hat subparallele Seiten, ist stärker elongiert und im Querschnitt (bereits im Anfangsteil) wesentlich dicker.

Bolivina arta MACFADYEN, 1930 ist schlanker als *Bolivina liebusi*.

Bolivina melettica ANDREAE, 1884 unterscheidet sich von *B. liebusi* durch das Auftreten einer Ornamentierung und durch schmalere und andersartig verlaufende Suturen.

Verbreitung: Gesamtes Rupel und Untereger der marinen bayerischen Molasse, insbesondere sehr häufig im oberen Rupel der Faltenmolasse.

Bolivina euzona HOFMANN

Taf. 9, Fig. 4 u. 8

*1967 *Bolivina euzona* n. sp. — HOFMANN: 171, Taf. 4/5 u. 6 (Untereger_{II} — bayer. Molasse).

Beschreibung: Die dick-keilförmigen bis keulenförmigen Gehäuse zeigen einen ovalen Querschnitt und eine gerundete, kaum gelappte Peripherie. In der Regel werden die Gehäuse von ca. zehn Kammerpaaren aufgebaut. Die niedrigen und breiten Kammern gewinnen im Verlauf der Ontogenie nur leicht an Höhe. Sie sind kaum gebläht. Die Nähte sind stark hyalin verdickt, z. T. leicht erhaben und gerade bis mäßig gebogen. Der Suturewinkel beträgt 60–80°. Bei der Mündung handelt es sich um einen verhältnismäßig kleinen, schmalen Schlitz mit imperforiertem Randsaum. Die Gehäusewand ist abgesehen von den z. T. leicht erhabenen Nähten glatt und deutlich perforiert. Die terminale Fläche des Gehäuses ist kaum oder nicht perforiert.

Maße: L 0,35–0,42 mm, B 0,17–0,18 mm
D 0,12–0,13 mm

Differentialdiagnose:

Bolivina liebusi HOFMANN ist im Querschnitt schlanker, hat deutlich schrägere Nähte und eine gedrungenere und größere Mündung, sowie eine markantere Zunahme der Kammerhöhe.

Bolivina antiqua D'ORBIGNY, 1846 ist gestreckter und flacher und hat deutlich schrägere Nähte. Extreme Nahtverdickungen fehlen.

Verbreitung:

Untereger_{II}: Bohrungen Ortenburg

Bolivina elongata HANTKEN

*1875 *Bolivina elongata* Hantk. n. sp. — HANTKEN: 65, Taf. 7/14 (Oligozän — Ungarn).

Verbreitung: Gesamtes Rupel und Untereger der marinen bayerischen Molasse. Sehr selten in der Faltenmolasse, häufiger in der Vorlandmolasse und deren auferichtetem Südrand.

Bolivina tereta (CUSHMAN)

Taf. 9, Fig. 9 u. 15

*1936b *Loxostoma teretum* Cushman, n. sp. — CUSHMAN: 60, Taf. 8/14 (Oligozän — Elsaß).

1937b *Loxostoma teretum* Cushman — CUSHMAN: 179, Taf. 21/1 u. 2 (Oligozän — Elsaß).

1967 *Bolivina tereta* (CUSHMAN) — HOFMANN: 179, Taf. 4/7 u. 8 (Untereger_I — bayer. Molasse).

1979 *Loxostomum teretum* (CUSHMAN) — SZTRAKOS: Taf. 19/4 (unteres Eger — Ungarn).

Beschreibung: Die Gehäuse sind zweieinhalb- bis dreieinhalbmal so lang wie breit, seitlich abgeflacht und im Querschnitt schlank-oval. Sie besitzen divergierende Seiten und eine stumpfe Basis. Die Peripherie ist gerundet und leicht gelappt. Adulte Gehäuse werden meist von sechs bis acht Kammerpaaren aufgebaut. Die leicht geblähten Kammern gewinnen im Lauf der Ontogenie merklich an Höhe. Die jüngsten Kammern sind nahezu so hoch wie breit. Die Nähte sind leicht hyalin verdickt, ansonsten einfach, gerade oder etwas gebogen und leicht eingesenkt. Der Suturewinkel verändert

sich im Lauf der Ontogenie; die Nähte werden immer steiler. Der Suturewinkel beträgt am Anfang etwa 60–80°, am Ende etwa 40–50°. Die Längsskulptur bilden zahlreiche, engstehende, deutliche Rippen, die im älteren Teil des Gehäuses divergieren, im jüngeren Teil oftmals leicht konvergieren. Die tropfenförmige Mündung reicht bei vielen Exemplaren nicht bis zur Basis der letzten Kammer herab. Die Perforation der Gehäusewand ist deutlich.

Maße: L 0,32–0,40 mm, 0,14–0,15 mm

D 0,08–0,09 mm

Differentialdiagnose:

Bolivina elongata HANTKEN hat eine schwächer gelappte Peripherie, fast parallele oder parallele Seiten und eine deutlich schwächere Ornamentierung im Gegensatz zu *Bolivina tereta*.

Verbreitung: In der bayerischen Molasse ist die Art auf das Untereger_I beschränkt.

Bolivina nobilis HANTKEN

Taf. 9, Fig. 10 u. 16

*1875 *Bolivina nobilis* Hantk. n. sp. — HANTKEN: 65, Taf. 15/4 (Obereozän — Ungarn).

1937b *Bolivina nobilis* Hantken — CUSHMAN: 51, Taf. 7/1–4 (Eozän — Südwestfrankreich; Ungarn).

1966 *Bolivina nobilis* Hantken — LINDENBERG: 101, Abb. 6/6 (Oligozän — Kalkalpin).

1967 *Bolivina nobilis* HANTKEN — HOFMANN: 173, Taf. 1/12 (oberes Rupel — bayer. Molasse).

1979 *Bolivina nobilis* HANTKEN — SZTRAKOS: Taf. 19/2 (unteres Rupel — Ungarn).

1982 *Bolivina nobilis* HANTKEN — SZTRAKOS: Taf. 27/9 (Obereozän/Oligozän — Ungarn).

Beschreibung: Die länglichen, schlanken Gehäuse sind meist tordiert. Ihr Querschnitt ist anfangs flach linsenförmig, am Ende oval bis rundlich. Der jüngere Gehäuseteil zeigt eine deutliche Tendenz zu uniserialer Kammeranordnung. Die Peripherie ist anfangs häufig akut und leicht gekielt, später zunehmend abgerundet und leicht gelappt. Häufig sind mehr als zehn Kammerpaare vorhanden. Die Kammern weisen eine rasche Zunahme der Höhe auf; am Ende sind die Kammern so hoch wie breit und häufig fast kugelig. Die Nähte sind hyalin verdickt, leicht gebogen und schräg und am Gehäuseende eingesenkt. Der Suturewinkel ist enorm variabel; die Werte reichen von 45–80°. Die Skulptur bilden engstehende, longitudinale Striae, die nahezu das gesamte Gehäuse bedecken. Die dick-tropfenförmige Mündung besitzt einen Randsaum. Bei allen Exemplaren des untersuchten Materials reicht die Mündung noch bis zur Kammerbasis herab. Die Perforation der Schale ist deutlich und dicht.

Maße: L 0,61–0,79 mm, B 0,18–0,24 mm

D 0,15–0,23 mm

Beziehungen: Von *Bolivina semistriata* HANTKEN, 1868, aus dem Kleinzeller Tegel Ungarns unterscheidet sich *B. nobilis*, wenn überhaupt, so durch ihr anfangs seitlich abgeflachtes Gehäuse und die sich über die gesamte Länge erstreckende Ornamentierung. Ob die einander sehr ähnlichen Arten miteinander zu vereinigen sind, läßt sich mit Hilfe des spärlichen Materials aus der bayerischen Molasse nicht klären.

Bolivina tereta CUSHMAN, 1936 ist über die gesamte Gehäuselänge stärker abgeflacht als *B. nobilis* und weist eine geringere Zunahme der Kammerhöhe auf.

Verbreitung:

Oberes Rupel: Prien-Profil

Unteres Rupel: Bergener Gebiet

Bolivina oligocaenica SPANDEL

Taf. 9, Fig. 12 u. 18

- *1909 *Bolivina oligocänica* n. sp. — SPANDEL: 152, Taf. 1/16 (Rupel — Mainzer Becken).
 1937b *Bolivina oligocänica* Spandel — CUSHMAN: 74, Taf. 9/1 u. 2 (Oligozän — Elsaß).
 1964 *Bolivina oligocaenica* SPANDEL — HAUSMANN: 375, Taf. 6/20 (Mitteloligozän — DDR).
 1966 *Bolivina oligocaenica* Spandel — LINDENBERG: 101, Abb. 6/2 (Oligozän — Kalkalpin).
 1967 *Bolivina oligocaenica oligocaenica* SPANDEL — HOFMANN: 166, Taf. 1/11 (Untereger — bayer. Molasse).

Beschreibung: Die länglichen, kleinen, schlanken, abgeflachten Gehäuse besitzen einen elliptischen Querschnitt. Die Peripherie ist subakut bis abgerundet und kaum gelappt. Bei adulten Gehäusen sind meist mehr als zehn Kammerpaare vorhanden. Die Kammern sind niedrig und breit und gewinnen im Verlauf der Ontogenie verhältnismäßig langsam an Höhe. Die jüngsten Kammern sind eineinhalbmal so breit wie hoch. Die Nähte sind einfach, schmal, gerade und weder eingesenkt noch erhaben. Der Suturewinkel liegt bei 40–60°. Die Mündung ist ein schmaler Schlitz, der von der Basis bis zum Apex der letzten Kammer reicht. Die Gehäusewand ist glatt und fein perforiert.

Maße: L 0,23–0,38 mm, B 0,11–0,13 mm
 D 0,08–0,09 mm

Differentialdiagnose:

Bolivina molassica HOFMANN hat leicht geblähte Kammern und leicht eingesenkte Nähte, die an der Peripherie herabgezogen sind. Im Querschnitt ist *B. molassica* mehr rundlich.

Bolivina korynoides HOFMANN unterscheidet sich von *Bolivina oligocaenica* durch eine ausgeprägte Zunahme der Kammerhöhe im Lauf der Ontogenie und durch den rundlichen bis dick-ovalen Querschnitt.

Verbreitung: Gesamtes Rupel und Untereger der marinen bayerischen Molasse.

Bolivina korynoides korynoides HOFMANN

- *1967 *Bolivina korynoides korynoides* n. sp. — HOFMANN: 169, Taf. 5/6 u. 7 (Untereger_I; unteres Miozän — bayer. Molasse).

Verbreitung: Weit verbreitet im Untereger_{II} der marinen bayerischen Molasse. Zusätzlich im höchsten Teil des Untereger_I der Bohrung Ortenburg 1002 („Rainer-Mühle-Horizont“).

Bolivina molassica HOFMANN

Taf. 9, Fig. 11 u. 17

- *1967 *Bolivina molassica* n. sp. — HOFMANN: 158, Taf. 4/9–11 (Untereger_{III}; unteres Miozän — bayer. Molasse).

Beschreibung: Die plumpen Gehäuse sind seitlich mehr oder weniger abgeflacht, besitzen divergierende Seiten und einen ovalen Querschnitt. Die Peripherie ist gerundet und leicht gelappt. Die geblähten Kammern sind stets niedrig und breit und gewinnen kaum an Höhe. Die schmalen, einfachen, schräg stehenden Nähte sind im Bereich der Peripherie nach unten gezogen. Der Suturewinkel liegt bei 60°. Die Mündung zeigt auf einer Seite einen deutlich nach innen gefalteten Rand. Die Gehäusewand ist glatt und deutlich perforiert.

Maße: L 0,29–0,43 mm, B 0,13–0,18 mm
 D 0,08–0,09 mm

Differentialdiagnose:

Bolivina kodymi CÍCHA & ZAPLETALOVA, 1963 unterscheidet sich durch die gezackte Peripherie und die feinere Perforation von *Bolivina molassica*.

Bolivina korynoides HOFMANN hat auch am Außenrand gerade Suturen und weniger geblähte Kammern, sowie eine deutlichere Zunahme der Kammerhöhe.

Bolivina boettgeri SPANDEL, 1909 zeigt steilere Suturen und scheint im Querschnitt stärker abgeflacht zu sein.

Verbreitung:

Untereger_{II}: Bohrungen Ortenburg 1001 u. 1002

Unteres Rupel: Bergener Gebiet (selten)

Gattung: *Rectobolivina* CUSHMAN, 1927

Rectobolivina zsigmondyi (HANTKEN)

Taf. 9, Fig. 13 u. 19

- *1868 *Nodosaria (Dentalina) zsigmondyi* — HANTKEN: 87, Taf. 1/12 (Oligozän — Ungarn) (fide ELLIS & MESSINA).
 1875 *Dentalina Zsigmondyi* Hantken — HANTKEN: 32, Taf. 12/17 (Oligozän — Ungarn).
 1971 *Rectobolivina zsigmondyi* (Hantken) — POPESCU & IVA: 44, Taf. 5/6 u. 6/2 (Oligozän — Rumänien).
 1975 *Rectobolivina zsigmondyi* (Hantken) — POPESCU: 74, Taf. 49/9, Abb. 24 (Oligozän/Miozän — Rumänien).
 1979 *Rectobolivina zsigmondii* (HANTKEN) — SZTRAKOS: Taf. 19/5 (oberes Rupel — Ungarn).
 1982 *Rectobolivina zsigmondyi* (HANTKEN) — SZTRAKOS: Taf. 15/14 (Obereozän/Oligozän — Ungarn).
 1982 *Rectobolivina zsigmondyi* (Hantk.) — AGIP: Taf. 32/3 (Torton — Italien).

Beschreibung: Die länglichen, schlanken Gehäuse bestehen aus einem leicht abgeflachten, biserialen Anfangsteil und einem zylindrischen uniserialen Abschnitt. Bei den an der Basis breit gerundeten, megalosphärischen Individuen ist der Anfangsteil aus drei bis fünf Kammerpaaren aufgebaut; das einzige hier vorliegende basal leicht zugespitzte mikrosphärische Exemplar besitzt sieben Kammerpaare. Vom uniserialen Teil sind bis zu fünf Kammern erhalten. Die Nahtstellung im biserialen Stadium ist nahezu horizontal. Die durchscheinenden Nähte sind etwas verdickt und nach oben hin immer deutlicher krenuliert. Die halbmondförmige, terminale Mündung besitzt einen Randsaum. Zahnplatten verbinden die intercameralen Mündungen. Die Gehäuseoberfläche ist mit feinsten Striae überzogen; die Perforation der Schale ist sehr deutlich und relativ grob; lediglich der Proloculus ist extrem feinporig.

Maße: L 0,35–0,72 mm, D 0,10–0,21 mm

Verbreitung:

Untereger_I: Bohrung Ortenburg 1002
Bohrung Ampfing 1
Oberes Rupel: Prien-Profil

Gattung: *Stilostomella* GUPPY, 1894

Stilostomella longiscata (D'ORBIGNY)

*1846 *Nodosaria longiscata*, d'Orbigny – D'ORBIGNY: 32, Taf. 1/10–12 (Miozän – Wiener Becken).

Verbreitung: Gesamtes Rupel und Untereger der marinen bayerischen Molasse.

Stilostomella consobrina (D'ORBIGNY)

*1846 *Dentalina consobrina*, d'Orbigny – D'ORBIGNY: 46, Taf. 2/1–3 (Miozän – Wiener Becken).

Verbreitung: Häufig im gesamten Rupel und Untereger der marinen bayerischen Molasse.

Stilostomella emaciata (REUSS)

Taf. 9, Fig. 14 u. 20

*1851 *Dentalina emaciata* m. – REUSS: 63, Taf. 3/9 (Oligozän – Norddeutschland).

1930 *Nodosaria consobrina* var. *emaciata* (REUSS) – MACFADYEN: 69, Taf. 2/21 (Miozän – Ägypten).

1964 *Dentalina emaciata* (REUSS) – HAUSMANN: 336, Taf. 3/9 (Mitteloligozän – DDR).

1979 *Stilostomella emaciata* (REUSS) – SZTRAKOS: Taf. 19/14 (unteres Rupel – Ungarn).

Beschreibung: Die länglichen, schlanken, zierlichen Gehäuse weisen einen rundlichen Querschnitt auf. Manchmal ist ein basaler Dorn erhalten. Die Kammern sind anfangs so hoch wie breit und nehmen im Lauf der Ontogenie langsam an Breite und rascher an Höhe zu. Am Ende sind die Kammern etwa zweimal so hoch wie breit und zeigen einen ovalen Umriß. Die Nähte sind anfangs kaum eingesenkt. Jüngere Gehäusebereiche sind stärker eingeschnürt. Die Nähte stehen senkrecht oder leicht schräg zur Gehäuseachse. Sie sind leicht hyalin verdickt und ansonsten einfach ausgebildet. Die terminale Mündung weist eine Eindellung auf und hat einen nierenförmigen Umriß. Die Mündungen können eine zentrische bis deutlich exzentrische Position haben. Die Gehäusewand ist glatt.

Maße: L bis 1,07 mm
D 0,10–0,17 mm

Differentialdiagnose:

Dentalina elegans D'ORBIGNY, 1846 unterscheidet sich durch die weniger stark eingeschnürten Nähte und durch die Mündung von *Stilostomella emaciata*.

Verbreitung: Häufig im gesamten Rupel und Untereger der marinen bayerischen Molasse.

Stilostomella scabra (REUSS)

*1850 *Dentalina scabra* m. – REUSS: 367, Taf. 46/7 u. 8 (Miozän – Wiener Becken).

Verbreitung: Rupel und tieferes Untereger der marinen bayerischen Molasse. Häufig im gesamten Rupel der Haushamer Mulde.

Stilostomella perscripta (EGGER)

*1857 *Dentalina perscripta* nov. spec. – EGGER: 307, Taf. 15/30 u. 31 (Eggenburg – bayer. Molasse).

Verbreitung:

Untereger_{II}: Bohrungen Ortenburg 1001 u. 1002
Untereger_I: Bohrung Ortenburg 1001

Stilostomella adolphina (D'ORBIGNY)

*1846 *Dentalina Adolphina*, d'Orbigny – D'ORBIGNY: 51, Taf. 2/18–20 (Miozän – Wiener Becken).

Verbreitung:

Untereger_{II}: Thalberggraben/Traun-Profil
Wildenwart/Prien-Profil
Untereger_I: Thalberggraben/Traun-Profil
Nonnenwald-Mulde
Bohrungen Ortenburg 1001 u. 1002

Familie: Elphidiidae GALLOWAY, 1933

Gattung: *Elphidium* MONTFORT, 1808

Elphidium crispum (LINNE)

*1758 *Nautilus crispus* – LINNE: 709 (rezent – Mittelmeer).

Verbreitung:

Untereger_I: Nonnenwald-Mulde
Leitzach-Profil/Cyrenen-Schichten
Gieshof/Agatharied/Cyrenen-Schichten

Laut KAASSCHIETER (1955: 74) kommt die Art in Südwestfrankreich bereits im Stampien vor.

Elphidium cf. *advenum* (CUSHMAN)

Taf. 10, Fig. 4–5

1922 *Polystomella advena* – CUSHMAN: 56, Taf. 9/11 u. 12 (rezent) (fide ELLIS & MESSINA).

1966 *Elphidium advenum* (CUSHMAN) – BUTT: 82, Taf. 6/10 (Oberoligozän – Südwestfrankreich).

Beschreibung: Es sind im Umriß leicht ovale, linsenförmige, schlanke bis mäßig dicke Gehäuse. Die winkelige Peripherie ist ungelappt und trägt in der Regel einen deutlichen Kiel. Die Kammerzählung im jüngsten Umgang schwankt zwischen neun und dreizehn. Die Kammern sind schwach gekrümmt und nehmen merklich an Höhe zu. Die Septalbrücken, deren maximale Anzahl (auf einer Kammerseite) fünf bis sieben beträgt, sind plus-minus so breit wie der häufig etwas nach außen gewölbte ungliederte Teil der Kammer. Im Bereich der Windungsachse ist das Gehäuse mit unregelmäßig zerfurchtem Schalenmaterial besetzt. Die multiple Mündung an der Basis der letzten Kammer ist meist nicht gut zu erkennen.

Maße: L 0,25–0,46 mm, B 0,21–0,36 mm
D 0,11–0,17 mm

Differentialdiagnose:

Die von REUSS (1850: 369 u. Taf. 48/2) als *Polystomella ungeri* beschriebene und abgebildete Art hat wesentlich mehr und wesentlich kleinere Septalbrücken und eine gelappte Peripherie. *Elphidium advenum* (CUSHMAN) weist ebenfalls eine höhere Anzahl an Septalbrücken auf.

Elphidium margeritaceum CUSHMAN, 1930 besitzt eine pustelige, rauhe Oberfläche (vgl. auch HANSEN & LYKKE-ANDERSEN, 1976: 8 u. Taf. 3/2 u. 3).

Verbreitung:

Untereger_{II}: Traun-Profil
 Untereger_I: Nonnenwald-Mulde
 Traun-Profil
 Oberes Rupel: Traun-Profil
 Leitzach-Profil
 Gaisbach
 Bohrung Ortenburg 1001
 Unteres Rupel: SW Rettenbeck b. Hausham

Gattung: *Porosononion* PUTRYA, 1958

Porosononion granosum (D'ORBIGNY)

*1826 *Nonionina granosa*, Nob. — D'ORBIGNY: 294 (Pliozän — Italien).

Verbreitung: Weit verbreitet, z. T. häufig im gesamten Rupel und Untereger der marinen bayerischen Molasse.

Gattung: *Elphidiella* CUSHMAN, 1936

Elphidiella heteropora (EGGER)

*1857 *Nonionina heteropora* nov. spec. — EGGER: 300, Taf. 14/19–21 (Eggenburg — bayer. Molasse).

Verbreitung: *Elphidiella heteropora* ist im gesamten Rupel und Untereger der marinen bayerischen Molasse weit verbreitet.

Elphidiella minuta (REUSS)

*1865 *Polystomella minuta* n. sp. — REUSS: 44, Taf. 4/6 (Oberoligozän — Norddeutschland).

Vorkommen: Die Art konnte nur im höheren Teil der Promberger Schichten (Untereger_I) des Nonnenwaldquerschlag nachgewiesen werden; dort nicht selten.

Elphidiella subnodosa (ROEMER)

Taf. 9, Fig. 21–22; Taf. 10, Fig. 2–3

*1838 *Robulina subnodosa* v. M. — ROEMER: 391, Taf. 3/61 (Tertiär — Norddeutschland).

1856 *Polystomella subnodosa* v. M. sp. — REUSS: 240, Taf. 4/51 (Oberoligozän — Nordwestdeutschland).

1939 *Elphidium subnodosum* (Münster) — CUSHMAN: 40, Taf. 11/2 (Oligozän — Norddeutschland).

1976 *Elphidiella subnodosa* (Münster) — HANSEN & LYKKE-ANDERSEN: 19, Taf. 17/11 u. 12, 18/1–3 (Oligozän — Dänemark).

Beschreibung: Die für *Elphidiella* ziemlich großen, linsenförmigen Gehäuse zeigen einen leicht ovalen Umriss und eine winkelige, zumindest im älteren Teil des letzten Umganges stumpf gekielte Peripherie. Im Bereich der jüngsten Kam-

mern sind die Gehäuse ein wenig gelappt. Die 10 bis 13 Kammern des letzten Umganges sind am Ende schwach gewölbt und nehmen rasch an Höhe zu. Die Nähte sind flach-eingesenkt und können radial und gerade bis sehr deutlich nach hinten gekrümmt sein. Die Nahtvertiefungen sind mit paarig angeordneten Pusteln besetzt, die eine zweifache Pustelreihe bilden. Im Zentrum haben die Gehäuse einen variabel ausgebildeten, z. T. leicht vorstehenden Nabelfropf, der bei größeren Individuen grobe Perforationen aufweist. Zusätzlich zu den interiomarginalen Mündungsporen können areale Poren vorhanden sein. Die Schale ist dicht und fein perforiert.

Maße: L 0,42–0,67 mm, B 0,35–0,60 mm

D 0,22–0,40 mm

Differentialdiagnose:

Elphidiella minuta hat eine stärker gerundete, kiellose Peripherie und kaum — wenn überhaupt — vertiefte Nähte.

Verbreitung: In der marinen bayerischen Molasse kommt die Art nur im Untereger_I vor.

Untereger_I: Bohrung Ampfing 1

Priengebiet

Rote Traun/Traun-Profil

Anmerkung: Von HAGN et al. (1981: 86) wurde die Art auch im Untereger des Westerbuchbergs bestimmt.

Elphidiella cryptostoma (EGGER)

*1857 *Polystomella cryptostoma* nov. spec. — EGGER: 301, Taf. 9/19 u. 20 (Eggenburg — bayer. Molasse).

1963 *Nonion buxovillanum* ANDREAE — TRIEBEL: Abb. 3 (mittlerer Rupelton — Mainzer Becken).

1963 *Nonion* sp. — KUMMERLE: 46, Taf. 6/9 (Oligozän — Norddeutschland).

1976 *Cribrononion cryptostomum* (EGGER) — POIGNANT & PUJOL: Taf. 11/7 (Aquitain — Südwestfrankreich).

?1983 *Protelphidium buxovillanum* (ANDREAE) — KRHOVSKÝ: Taf. 5/7 (Eozän/Oligozän-Grenze — Westkarpaten).

Variabilität: Da reiches Material aus der subalpinen und der Vorland-Molasse vorliegt, wurde versucht, die große Schwankungsbreite der einzelnen Merkmale zu beschreiben.

1. Gehäusegestalt: flachscheibenförmig (parallele Breitseiten) bis flach-linsenförmig.
2. Peripherie: gänzlich ungelappt bis rundherum leicht gelappt, scharf gekielt bis ungekielt und etwas zugerundet.
3. Kammerzähl im jüngsten Umgang: 7–13 (vgl. a. Differentialdiagnose).
4. Nähte: gerade und radial bis rückwärts gekrümmt, deutlich eingesenkt bis extrem vertieft; mehr oder weniger breite, grabenartige Suturen; Nähte bei gekielten Individuen nahe der Peripherie erhaben und mit dem Kiel verschmelzend. Bei einigen Individuen sind feine Suturalporen und -pusteln am Grund der Nahtvertiefungen vorhanden.
5. Zentralpfropf: Pfropf in variabler Ausbildung und mit unterschiedlichem Durchmesser. Häufig vereinigen sich wulstartig ausgebildete Kammern im Zentrum des Gehäuses zu einem ringartigen Gebilde.
6. Gehäusewand: Perforation deutlich und fein, größtenteils dicht, nur im Bereich der Außenflächen stark gewölbter Kammern weitständig.

Anmerkung: Bei Topotypmaterial zu *E. cryptostoma* aus Mairhof bei Ortenburg/Niederbayern konnte eine nahezu identische Variationsbreite ermittelt werden.

Diskussion: Von BATJES (1958: 141, Taf. 6/15), HAUSMANN (1964: 368, Taf. 6/11) u. a. Autoren war früher unter *Nonionina buxovillana* ANDREAE, 1884 eine *Melonis affinis* vergleichbare Form verstanden worden. Nach Untersuchung des von ANDREAE 1884 bestimmten Materials kam LANGER (1964: 730) zu der Ansicht, daß die frühere Auffassung irrig gewesen sei. Vielmehr handle es sich bei *N. buxovillana* um eine Spezies, die „fast rippenartig aufgeblähte Kammern, tiefe Suturen und einen eingesenkten Nabel und einen Nabelring“ zeigt. Die Art sei zuletzt bei TRIEBEL (1963: Abb. 3) sehr gut abgebildet worden. Diese Formen fallen jedoch eindeutig in die oben skizzierte Variabilität von *E. cryptostoma* aus der bayerischen Molasse. In allen an diesen Elphidiellen reichen Vergesellschaftungen sind stets Zwischenglieder zwischen *N. buxovillana* sensu LANGER und *E. cryptostoma* vorhanden, wie sie von EGGER abgebildet und beschrieben worden ist. Als nächster Schritt wäre die Untersuchung der Variationsbreite von *E. buxovillana* ANDREAE, 1884 sinnvoll.

Differentialdiagnose:

E. subnodosa (ROEMER) weist eine durchschnittlich höhere Kammerzahl als *E. cryptostoma* und stets nur flach-eingesenkte Suturen auf. Von ELLERMANN sind 1960 die Ergebnisse statistischer Untersuchungen an „*Elphidium subnodosum*“ veröffentlicht worden. Da *Elphidiella cryptostoma* (EGGER) aus dem Oligozän und Miozän der bayerischen Molasse dieser Art in mancher Hinsicht ähnlich ist, wurden analog Messungen an bayerischem, aus der subalpinen Molasse stammendem Material durchgeführt.

— Verhältnis von Dicke zu größtem Durchmesser

Es ergaben sich folgende Durchschnittswerte für jeweils eine an *E. cryptostoma* reiche Probe:

Untereger:	0,41
	0,48
	0,39
Oberes Rupel:	0,46
	0,41
Unteres Rupel:	0,47

Daraus ist zu ersehen, daß das durchschnittliche Verhältnis von Dicke zu größtem Durchmesser gewissen Schwankungen unterworfen ist. Die entsprechenden Durchschnittswerte liegen bei „*Elphidium subnodosum* (ROEMER)“ etwa bei 0,47, d. h. in dem Bereich der Werte von *Elphidiella cryptostoma*.

— Abhängigkeit der Kammerzahl im letzten Umgang vom größten Gehäusedurchmesser

Wie bei „*Elphidium subnodosum*“ ergibt sich auch bei *Elphidiella cryptostoma* ein in etwa linearer Zusammenhang zwischen der Zunahme der Kammerzahl in der letzten Windung und der Zunahme des maximalen Gehäusedurchmessers. Der deutliche Unterschied zwischen beiden Arten liegt jedoch darin, daß die Kammerzahl bei „*E. subnodosum*“ mit wachsendem Durchmesser wesentlich langsamer zunimmt als dies bei *E. cryptostoma* der Fall ist. Bei „*E. subnodosum*“ nimmt die Kammerzahl der letzten Windung um 0,8 Kammern pro 100 µm Durchmesserzunahme zu; bei *E. cryptostoma* sind es 1,4 Kammern pro 100 µm Durchmesserzunahme.

Darüberhinaus ist festzustellen, daß *E. cryptostoma* mit einem größten Durchmesser von 150–420 µm wesentlich kleiner ist als „*E. subnodosum minor* (ELLERM.)“, die kleinere Unterart von „*E. subnodosum*“, deren größter Durchmesser zwischen 300 und 900 µm liegt. Die Kammerzahl im letzten Umgang schwankt bei *E. cryptostoma* zwischen 7 und 12, bei „*E. subnodosum minor*“ zwischen 8 und 13.

Nonion dollfusi CUSHMAN, 1936 ist anhand des dicken, stumpfen Kiels und anhand der zungenartigen, schmalen Kammern leicht zu unterscheiden.

Verbreitung: Weit verbreitet und häufig im gesamten Rupel und Untereger der marinen bayerischen Molasse.

Elphidiella turgescens (CUSHMAN)

Taf. 9, Fig. 23–24; Taf. 10, Fig. 1

*1936a *Nonion turgescens* Cushman, n. sp. — CUSHMAN: 64, Taf. 12/2 (Oligozän — Mainzer Becken).

1939 *Nonion turgescens* Cushman — CUSHMAN: 10, Taf. 2/14 (Oligozän — Mainzer Becken).

1951 *Nonion turgescens* Cushman — MARKS: 50, Taf. 6/5 (Miozän — Wiener Becken).

Beschreibung: Die ziemlich dick-linsenförmigen, beiderseits etwas abgeflachten Gehäuse besitzen einen leicht ovalen Umriss und eine gekielte, zumindest am Ende deutlich gelappte Peripherie. Die Kammerzahl im jüngsten Umgang beträgt neun bis zwölf; die zurückgekrümmten, schmalen Kammern gewinnen mäßig rasch an Höhe im Lauf der letzten Windung. Der nahe der Windungsachse gelegene Teil der Kammern ist wulstartig aufgetrieben. Nach außen hin ist dieser wulstartig ausgebildete Teil der Kammern meist deutlich gegen die kaum gewölbte Kammerwand des peripheren Gehäusebereichs abgesetzt. Die sichelartig gekrümmten Nähte sind zwischen den Wülsten naturgemäß stark vertieft, nahe dem Kiel hingegen meist schwach erhaben und verdickt. Die engen Nabelvertiefungen sind überwiegend frei, seltener mit zusätzlicher hyaliner Schalensubstanz verfüllt. Die Mündung bilden weitständige, interiomarginale Poren; auch kann die Mündungsfläche areale Porenöffnungen besitzen. Die Gehäusewand ist größtenteils fein und dicht perforiert; nur der wulstartige Teil der Kammern und das durchscheinende Kielband sind weitgehend imperforiert. Im Nahtbereich und oft auch im Bereich der Windungsachse sind die Schalen mit Pusteln besetzt.

Maße: L 0,30–0,32 mm, B 0,26–0,28 mm
D 0,14–0,15 mm

Differentialdiagnose:

E. cryptostoma ist seitlich meist stärker komprimiert und weist keine derartigen vom äußeren Teil der Kammern abgesetzten Wülste auf.

Verbreitung: Ziemlich selten im Untereger, der Bohrung Ortenburg 1001.

Elphidiella subcarinata (EGGER)

*1857 *Polystomella subcarinata* nov. spec. — EGGER: 301, Taf. 14/24 u. 25 (Eggenburg — bayer. Molasse).

Verbreitung:

- Untereger_{II}: Bohrung Ortenburg 1002
 Untereger_I: Bohrung Ortenburg 1001
 Nonnenwald-Mulde
 Engelsrieder Graben/Feilnbacher Gebiet
 Bergener Gebiet
 Traun-Profil
- Oberes Rupel: Prien-Profil
 Bergener Gebiet
 Traun-Profil
- Unteres Rupel: Traun-Profil

Familie: Nonionidae SCHULTZE, 1854

Gattung: *Florilus* MONTFORT, 1808*Florilus communis* (D'ORBIGNY)*1846 *Nonionina communis*, d'Orbigny – D'ORBIGNY: 106, Taf. 5/7 u. 8 (Miozän – Wiener Becken).

Verbreitung: Die Art kommt häufig im gesamten Rupel und Untereger der marinen bayerischen Molasse vor.

Gattung: *Nonionella* CUSHMAN, 1926*Nonionella liebusi* HAGN

Taf. 10, Fig. 8, 9 u. 12

1903 *Pulvinulina Lobsannensis* Andr. – LIEBUS: 96, Abb. 7/a u. a₁, non b u. b₁ (Oligozän – bayer. Molasse).*1952 *Nonionella liebusi* n. sp. – HAGN: 161, Taf. 2/10 (Rupel – bayer. Molasse).1979 *Nonionella liebusi* HAGN – SZTRÁKOS: Taf. 28/10 (unteres Eger – Ungarn).1982 *Nonionella liebusi* HAGN – SZTRÁKOS: Taf. 22/5 (Obereozän/Oligozän – Ungarn).

Beschreibung: Die nicht ganz planspiralen, beiderseits etwas abgeflachten Gehäuse zeigen einen ovalen Umriss. Die Ventralseite ist vollkommen involut, auf der Dorsalseite hingegen sind die älteren Kammern nicht völlig verdeckt. Die Peripherie ist abgerundet-kantig und kaum gelappt. Die jüngste Windung wird von sieben bis acht Kammern aufgebaut. Abgesehen von der stärker geblähten letzten Kammer sind jene nur leicht gewölbt; sie nehmen rasch an Größe zu. Die Nähte sind leicht zurückgebogen und nahe der Windungsachse etwas eingesenkt. Von der jüngsten Kammer geht eine sackartige Verlängerung aus, die die Nabelregion auf der Ventralseite verdeckt. Die schlitzförmige Mündung liegt an der Basis der letzten Kammer. Die Perforation der Gehäusewand ist fein.

Maße : L 0,32–0,40 mm, B 0,21–0,27 mm

D 0,20–0,25 mm

Differentialdiagnose:

Nonionella lobsannensis (ANDREAE), 1884 zeigt eine stärker evolute Spiralseite als *N. liebusi*.

Nonionella darvillensis HOWE & WALLACE, 1932 hat ebenfalls eine stärker evolute Spiralseite, die ventrale Verlängerung der letzten Kammer ist schmal und stark gekrümmt.

Verbreitung: Nicht selten im oberen Rupel und Untereger der marinen bayerischen Molasse. Der Holotyp stammt

aus dem oberen Rupel des Locher Grabens bei Hausham/Oberbayern.

Gattung: *Pullenia* PARKER & JONES, 1862*Pullenia bulloides* (D'ORBIGNY)*1846 *Nonionina bulloides*, d'Orbigny – D'ORBIGNY: 107, Taf. 5/9 u. 10 (Miozän – Wiener Becken).

Verbreitung: Die Art ist im Rupel und Untereger der marinen bayerischen Molasse weit verbreitet, tritt aber kaum als Häufigkeitsform auf.

Pullenia quinqueloba (REUSS)*1851 *Nonionina quinqueloba* m. – REUSS: 71, Taf. 5/31 (Miozän – Polen oder Oligozän – Norddeutschland).

Verbreitung: Weit verbreitet und selten häufig im gesamten Rupel und Untereger der marinen bayerischen Molasse.

Gattung: *Melonis* MONTFORT, 1808*Melonis pompilioides* (FICHTEL & MOLL)1803 *Nautilus pompilioides* – FICHTEL & MOLL: 31, Taf. 2/a–c (Pliozän – Toscana; rezent – Mittelmeer).

Differentialdiagnose:

Nach LANGER (1967: 720ff. und Abb. 1–3) können *M. pompilioides* und *Melonis affinis* (s. u.) anhand des Verhältnisses von Gehäusebreite zu -dicke auseinandergehalten werden. Demnach sind die adulten Gehäuse von *Melonis pompilioides* ungefähr eineinhalb- bis zweimal, die von *Melonis affinis* zwei- bis dreimal so breit wie dick.

Verbreitung:

- Untereger_I: Nonnenwald-Mulde
 Haushamer Mulde
 Traun-Profil
- Oberes Rupel: Haushamer Mulde
 Prien-Profil
 Traun-Profil

Melonis affinis (REUSS)

Taf. 10, Fig. 6–7

*1851 *Nonionina affinis* m. – REUSS: 72, Taf. 5/32 (Oligozän – Norddeutschland).1939 *Nonion affine* (REUSS) – CUSHMAN: 9, Taf. 2/13 (Oligozän – Norddeutschland).1963 *Nonion umbilicatum* (WALKER & JACOB) – KUMMERLE: 45, Taf. 6/7 (Oberoligozän – Norddeutschland).1964 *Nonion affine* (REUSS) – HAUSMANN: 367, Taf. 6/10 (Mitteloligozän – DDR).

Beschreibung: Die meist gänzlich planspiralen, involuten, scheibenförmigen, selten leicht trochoiden Gehäuse haben einen kreisrunden bis leicht ovalen Umriss und eine gerundete, im Bereich der jüngsten Kammern leicht gelappte Peripherie. Die seitlich abgeflachten Gehäuse sind mehr als zweimal so breit wie dick. Neun bis elf Kammern bauen den jüngsten Umgang auf. Die in der Seitenansicht gebogen-drei-

eckigen Kammern nehmen langsam an Höhe, rascher an Breite zu. Beiderseits ist ein enger, tiefer Nabel ausgebildet. Die Nähte sind verdickt, gebogen und im Bereich der jüngsten Kammern leicht eingesenkt. Sie vereinigen sich ringartig im Nabelbereich. Die Mündung, ein niedriger, mit einem hyalinen Randsaum versehener interiomarginaler Bogen, hat eine mediane Position. Die Mündung ist beiderseits zur Umbilikalregion hin verlängert. Die Gehäusewand ist mit Ausnahme der gebogenen Mündungsfläche einheitlich grobporig. Die Mündungsfläche ist feiner perforiert.

Maße: L 0,27–0,31 mm, B 0,22–0,24 mm
D 0,09–0,15 mm

Bemerkung: Hinsichtlich der Problematik des *Nautilus umbilicatus* WALKER & JACOB soll hier nur auf die umfassende Erörterung durch LANGER (1967: 723 ff.) verwiesen werden. Demnach dürfte es sich bei *Nautilus umbilicatus* um kein älteres Synonym von *M. affinis* handeln.

Verbreitung: Weit verbreitet im Latdorf, Rupel und Untereger_I der marinen bayerischen Molasse; stellenweise nicht selten.

Gattung: *Protelphidium* HAYNES, 1956

Protelphidium sp.
Taf. 10, Fig. 10–11

Beschreibung: Die im Umriss nahezu rundlichen, seitlich abgeflachten Gehäuse haben eine ungelappte, gerundete Peripherie. Die Kammerzahl im jüngsten Umgang beträgt elf. Die Kammern nehmen ziemlich langsam an Größe zu. Die Nähte sind sigmoid geschwungen, weisen nach rückwärts und sind auf den Breitseiten stark limbat, zur Peripherie hin dünnen sie etwas aus. Nahe der Nabelregion werden die durchscheinenden Nähte an ihrem vorderen Rand von einem Suturschlitz begleitet. Die enge Nabelvertiefung ist mit Granulationen besetzt und mit zahlreichen Öffnungen versehen. Die kleine Mündung, ein mäßig hoher bis hoher, leicht asymmetrischer Bogen hat nicht ganz mediane Position und trägt einen schmalen Randsaum. Die Gehäusewand ist fein und ziemlich dicht perforiert, die Oberfläche glatt.

Maße: L 0,27–0,28 mm, B 0,23–0,25 mm
D 0,13–0,18 mm

Beziehungen: Die von BATJES (1958: 143, Taf. 7/8 u. 9) als *Nonionella limba* (D'ORBIGNY) beschriebene und abgebildete Art ist der oben beschriebenen nicht unähnlich, weist jedoch erhabene Nähte und eine raschere Höhenzunahme der Kammern auf.

Vorkommen: Sehr selten im Untereger_I der Bohrung Ampfing 1.

Gattung: *Chilostomella* REUSS, 1849

Chilostomella ovoidea REUSS

*1850 *Chilostomella ovoidea* m. – REUSS: 380, Taf. 48/12 (Miozän – Polen).

Verbreitung:

Untereger_{II}: Bohrung Ortenburg 1002
Prien-Profil
Untereger_I: Bohrung Ortenburg 1002
Traun-Profil
Oberes Rupel: Schmeroldgraben
Prien-Profil
Bergener Gebiet
Unteres Rupel: Traun-Profil

Chilostomella czizeki REUSS

*1850 *Chilostomella Czizeki* m. – REUSS: 380, Taf. 48/13 (Miozän – Wiener Becken).

Verbreitung: Weit verbreitet und z. T. sehr häufig im gesamten Rupel und Untereger der marinen bayerischen Molasse.

Gattung: *Chilostomelloides* CUSHMAN, 1926

Chilostomelloides oviformis (SHERBORN & CHAPMAN)
Taf. 11, Fig. 2 u. 6

- *1886 *Lagena (Obliquina) oviformis* – SHERBORN & CHAPMAN: 745, Taf. 14/19 (Eozän – England) (fide ELLIS & MESSINA).
- 1926 *Chilostomelloides oviformis* (Sherborn and Chapman) – CUSHMAN: 77, Taf. 11/17 u. 21 (Eozän – England; Oligozän – Mexiko).
- 1949b *Chilostomelloides oviformis* (Sherborn and Chapman) – CUSHMAN & TODD: 94, Taf. 16/7–9 (Eozän – England; Oligozän – Mexiko; Obereozän/Oligozän – Ungarn).
- 1982 *Chilostomelloides oviformis* (SHERBORN & CHAPMAN) – SZTRÁKOS: Taf. 21/19 (Obereozän/Oligozän – Ungarn).
- 1982 *Chilostomelloides oviformis* (Sherb. e Chap.) – AGIP: Taf. 44/7 (Langhe – Italien).

Beschreibung: Die in der Seitenansicht ovalen bis fast rundlichen Gehäuse haben einen rundlichen Querschnitt. Die Gehäuseenden sind breit gerundet. Die jüngste Kammer verhüllt den älteren Gehäuseteil stark. Insgesamt sind bis zur vier alternierend angeordnete Kammern von außen erkennbar. Nahe dem „oberen“ Gehäuseende ist die auf einem kurzen konischen Hals sitzende Mündung gelegen. Sie hat einen ovalen bis kreisförmigen Umriss. Die Ebene des Mündungsrandes ist nach außen geneigt. Die Gehäusewand ist glatt und fein perforiert.

Maße: L 0,38–0,43 mm, B 0,30–0,32 mm
D 0,26–0,29 mm

Vorkommen: Die wenigen, nicht sehr gut erhaltenen Exemplare stammen aus dem unteren Rupel des Osterbaches/Feilnbach-Gebiet.

Gattung: *Allomorphina* REUSS, 1849

Allomorphina trigona REUSS
Taf. 10, Fig. 13–15

- *1850 *Allomorphina trigona* m. – REUSS: 380, Taf. 48/14 (Miozän – Polen).
- 1949a *Allomorphina trigona* REUSS – CUSHMAN & TODD: 67, Taf. 12/1 u. 2 (Miozän – Polen; Miozän – Wiener Becken).

1951 *Allomorphina trigona* Reuss — MARKS: 69, Taf. 7/11 (Miozän — Wiener Becken).

1975 *Allomorphina trigona* Reuss — POPESCU: 100, Taf. 56/1 (unteres Miozän — Rumänien).

Beschreibung: Die niedrig-trochospiralen, leicht abgeflachten Gehäuse zeigen einen gerundet-dreieckigen Umriß und eine gerundete Peripherie. Die Dorsalseite ist leicht evolut, die Ventralseite involut. Die jüngste dick-keilförmige Kammer bildet den größten Teil des aus ca. zwei Windungen bestehenden Gehäuses. Der jüngere Umgang ist aus drei etwas geblähten Kammern aufgebaut. Die Nähte sind flach eingesenkt. Die schlitzförmige Mündung liegt an der Basis der letzten Kammer, ist mit einer Lippe gesäumt und nimmt etwas mehr als die Hälfte der Gehäusebreite in diesem Bereich ein. Die dünnschaligen Gehäuse sind glatt und fein perforiert.

Maße: L 0,21–0,36 mm, B 0,17–0,30 mm
D 0,15–0,27 mm

Erhaltung: Die vorliegenden Exemplare sind stets verkiest.

Verbreitung: Weit verbreitet und z. T. häufig im gesamten Rupel und Untereger der marinen bayerischen Molasse.

Allomorphina macrostoma KARRER
Taf. 11, Fig. 3–4

*1862 *Allomorphina macrostoma* — KARRER: 448, Taf. 2/4 (Miozän — Wiener Becken) (fide ELLIS & MESSINA).

1949a *Allomorphina macrostoma* Karrer — CUSHMAN & TODD: 68, Taf. 12/4 u. 5 (Miozän — Wiener Becken; rezent — Pazifik).

1971 *Allomorphina macrostoma* Karrer — POPESCU & IVA: 47, Taf. 11/11 (Oligozän — Rumänien).

1971 *Allomorphina macrostoma* Karrer — GHEORGHIAN: Taf. 6/24–26 (Otnang — Rumänien).

1982 *Allomorphina macrostoma* KARRER — SZTRAKOS: Taf. 20/10 (Obereozän/Oligozän — Ungarn).

Beschreibung: Die in etwa eiförmigen, niedrig-trochospiralen Gehäuse zeigen eine leicht evolute Dorsalseite und eine involute Ventralseite. Die jüngste Kammer bildet den größten Teil des aus zwei bis drei Umgängen bestehenden Gehäuses. Der letzte Umgang ist aus drei Kammern aufgebaut. Die Nähte sind kaum vertieft. Die Mündung ist breit-schlitzförmig, liegt an der Basis der letzten Kammer und nimmt fast die gesamte Gehäusebreite in diesem Bereich ein. Sie ist mit einer breiten Lippe gesäumt. Die dünnschaligen Gehäuse sind glatt und fein perforiert.

Maße: L 0,40–0,46 mm, B 0,31–0,41 mm
D 0,29–0,39 mm

Erhaltung: Das Gehäuseinnere ist stets mit Pyrit ausgefüllt.

Bemerkung: *A. macrostoma* unterscheidet sich von *A. trigona* durch das stärker gewölbte, rundlichere Gehäuse, die nicht vorragende drittletzte Kammer und den breiteren und längeren Mündungsschlitz.

Vorkommen:

Untereger₁: Nonnenwald-Mulde
Oberes Rupel: Prien-Profil (häufig)

Familie: Cassidulinidae D'ORBIGNY, 1839
Gattung: *Globocassidulina* VOLOSHINOVA, 1960

Globocassidulina crassa (D'ORBIGNY)

*1839 *Cassidulina crassa* D'ORB. — D'ORBIGNY: 56, Taf. 7/18–20 (rezent — Südatlantik).

Verbreitung: Selten im oberen Rupel des Schmeroldgrabens; weit verbreitet im gesamten Untereger der marinen bayerischen Molasse.

Globocassidulina oblonga (REUSS)

*1850 *Cassidulina oblonga* m. — REUSS: 376, Taf. 48/5 u. 6 (Miozän — Polen).

Verbreitung: Häufig im gesamten Oligozän der marinen bayerischen Molasse.

Gattung: *Cassidulinoides* CUSHMAN, 1927

Cassidulinoides bodeni HAGN
Taf. 11, Fig. 1 u. 5

*1952 *Cassidulinoides bodeni* n. sp. — HAGN: 181, Taf. 2/12 (Untereger₁ — bayer. Molasse).

Beschreibung: Es handelt sich um längliche, kleine Gehäuse mit gerundet-dreieckigem bis nahezu kreisrundem Querschnitt, leicht eingeroltem, kurzem Anfangsteil und zweizeilig alternierender Kammeranordnung. Die Kammerzahl beträgt etwa zehn bei adulten Gehäusen. Die leicht gewölbten Kammern sind anfangs niedrig und breit, die späteren Kammern gewinnen rasch an Höhe und reichen noch ziemlich weit Proloculus-wärts herab. Die Nähte sind deutlich, schwach eingesenkt und leicht sigmoid geschwungen. Die schlitzförmige, an der Innenseite der letzten Kammer liegende Mündung ist in etwa parallel der Gehäuseachse angeordnet und reicht von der Basalnaht der letzten Kammer bis zu deren Apex. Die Gehäusewand ist glatt und feinperforiert.

Maße: L 0,27–0,31 mm
D 0,11–0,13 mm

Verbreitung:

Untereger₁: Bohrung Ampfing 1
Schmeroldgraben
Rainer Mühle/Prien-Profil
(stratum typicum)
Traun-Profil
Oberes Rupel: Schmeroldgraben
Traun-Profil
Unteres Rupel: Traun-Profil

SZTRAKOS (1982, Tab. 5) gibt die Art aus dem Grenzbereich Obereozän/Unterozigozän von Ungarn an.

Familie: Sphaeroidinidae CUSHMAN, 1927
Gattung: *Sphaeroidina* D'ORBIGNY, 1826

Sphaeroidina bulloides D'ORBIGNY

*1826 *Sphaeroidina bulloides* Nob. — D'ORBIGNY: 267 (rezent und fossil).

Verbreitung: Rupel und Untereger der marinen bayerischen Molasse.

Familie: Discorbidae EHRENBURG, 1838

Gattung: *Discorbis* LAMARCK, 1804

Discorbis alteconicus (POKORNY)

Taf. 11, Fig. 7–9

*1956 *Biapertorbis alteconica* n. gen., n. sp. — POKORNY: 266, Abb. 7 u. 8 (Obereozän — CSSR).

1979 *Discorbis alteconicus* (POKORNY) — SZTRAKOS: Taf. 20/18 (unteres Eger — Ungarn).

1982 *Discorbis alteconicus* (POKORNY) — SZTRAKOS: Taf. 16/23 (Obereozän/Oligozän — Ungarn).

Beschreibung: Die hütchenförmigen, konischen Gehäuse haben einen gerundeten Apex und eine zugespitzte, gekielte und leicht gelappte Peripherie. Erwachsene Gehäuse sind aus ca. drei Umgängen aufgebaut; der jüngste Umgang besteht aus etwa fünf Kammern. Die Kammern sind in der Spiralansicht niedrig und breit und haben dorsal einen sichelförmigen Umriss. Auf der konischen Spiralseite sind die Nähte leicht gebogen und verlaufen tangential; auf der planen oder leicht konkaven Ventralseite sind die hier leicht eingesenkten Nähte insgesamt nach hinten gekrümmt und haben einen leicht sigmoidalen Verlauf. Nahe dem Zentrum zeigen die Kammern auf der Ventralseite jeweils zwei radial angeordnete, wulstartige Aufwölbungen, die durch eine flache Einkerbung voneinander geschieden sind. Die rundliche, interiomarginale Hauptmündung sitzt ventral in der Mitte zwischen Peripherie und Zentrum. Eine weitere niedrige, bogenförmige Öffnung mündet in die flache zentrale Vertiefung der Ventralseite. Die Gehäusewand ist glatt und feinporig.

Maße: L 0,19–0,23 mm, B 0,17–0,21 mm

D 0,09–0,11 mm

Differentialdiagnose:

Discorbis biapertura (POKORNY), 1956 ist flacher konisch, weist stets einen Umbilikalpfropf auf und zeigt nicht die paarigen wulstartigen Aufwölbungen der ventralen Kammerwände.

Discorbis brandenburgensis (KIESEL & LOTSCH), 1963 besitzt keinen Kiel und weist derbe Schalenverdickungen auf der Ventralseite auf.

Verbreitung:

Untereger₁: Bohrung Ortenburg 1001 (selten)

Untereger₂: Bohrung Ortenburg 1001 (selten)

Gattung: *Rosalina* D'ORBIGNY, 1826

Rosalina semiporata (EGGER)

*1857 *Rotalina semiporata* nov. spec. — EGGER: 276, Taf. 8/1–3 (Egerburg — bayer. Molasse).

Verbreitung:

Untereger₁: Bohrung Ortenburg 1001

Schmeroldgraben

Oberes Rupel: Leitzach-Profil

Ramberg/Bergener Gebiet

Gattung: *Neoconorbina* HOFKER, 1951

Neoconorbina patella (EGGER)

*1857 *Rosalina patella* nov. spec. — EGGER: 278, Taf. 10/12–14 (Egerburg — bayer. Molasse).

Verbreitung:

Untereger₁: Bohrung Ortenburg 1001 (nicht selten)

Oberes Rupel: Bohrung Ortenburg 1001 (nicht selten)

Gattung: *Eponides* MONTFORT, 1808

Eponides constans n. sp.

Taf. 11, Fig. 13, 16 u. 17

Derivatio nominis: constans (lat.) = standhaft; wegen der geringen Variabilität der Art.

Holotypus: Slg. München Prot. K141–145

Locus typicus: Bohrung Ortenburg 1001, 330,5–334,4 m.

Stratum typicum: Untereger₁

Untersuchtes Material: 26 Exemplare

Diagnose: Die neue Art zeichnet sich durch die bikonvexe Form, die winklige Peripherie, zehn bis zwölf Kammern pro Umgang, die dem engen Nabel zu verdickten Ventralnähte und die rundliche bis ovale Mündung aus.

Beschreibung: Die sehr kleinen, beiderseits gleichmäßig bikonvexen, linsenförmigen Gehäuse besitzen eine winklige, schwach gekielte und kaum gelappte bis ungelappte Peripherie und meist einen kreisrunden Umriss. Die aus zweieinhalb bis drei Umgängen bestehenden Gehäuse haben im jüngsten Umgang zehn bis zwölf sehr langsam an Größe zunehmende Kammern. Die Kammern sind in der Spiralansicht so hoch wie breit. Die kaum verdickten Suturen auf dieser Seite stehen radial und sind gerade oder ganz leicht gekrümmt. Auf der Ventralseite sind die hier im Umriss schmal-dreieckigen Kammern von radial stehenden oder wenig rückwärts orientierten, nach innen hin zunehmend verdickten, geraden Nähten begrenzt. Im Zentrum verschmelzen die ventralen Nähte zu einem Ring aus durchscheinender Schalensubstanz, der den extrem engen und tiefen Pseudoumbilikus umschließt. Die auf der Ventralseite gelegene, kleine, rundliche bis ovale, interiomarginale jüngste Mündung hat ihre Position wenig unterhalb der Peripherie; sie trägt eine deutliche Lippe. Die intercameralen Mündungen liegen leicht areal. Die Gehäusewand ist glatt und extrem feinporig.

Maße: L 0,18–0,23 mm, B 0,15–0,21 mm

D 0,09–0,11 mm

Differentialdiagnose:

E. guayabalensis COLE, 1927 zeichnet sich durch einen dicken, wulstartigen, auf der Nabelkante sitzenden Ring, eine etwas höhere Kammerzähl pro Umgang und eine eher schlitzförmige Mündung aus.

Pulvinulina pygmaea HANTKEN, 1875 hat auffällig nach hinten gekrümmte Nähte auf der Spiralseite.

E. regularis PHLEGER & PARKER, 1951 weist auf der Ventralseite von der Peripherie bis zur Umbilikalregion gleichmäßig

verdickte Nähte sowie eine etwas geringere Kammerzahl pro Umgang auf.

E. nagasakiensis ASANO & MURATA, 1958 ist fast plankonvex und hat eine schlitzförmige Mündung.

E. binominatus SUBBOTINA, 1960 hat eine leicht abgerundete Peripherie und einen weiten Nabel, dessen Durchmesser etwa ein Drittel des gesamten Gehäusedurchmessers ausmacht.

Verbreitung: Die neue Art scheint auf das Rupel und tiefere Untereger beschränkt zu sein:

- Untereger_I: Bohrungen Ortenburg 1001, 1002 und 1003
Bohrung Ampfing 1
Nonnenwald-Mulde
Mangfall-Profil
- Oberes Rupel: Bohrungen Ortenburg 1001 und 1003
Mangfall-Profil
Leitzach-Profil
Feilnbacher Gebiet
- Unteres Rupel: SW Rettenbeck bei Hausham
Traun-Profil

Gattung: *Valvulineria* CUSHMAN, 1926

Valvulineria complanata (D'ORBIGNY)

*1846 *Rosalina complanata*, d'Orbigny – D'ORBIGNY: 175, Taf. 10/13–15 (Miozän – Wiener Becken).

Verbreitung: Sehr häufig, manchmal sogar massenhaft im gesamten Rupel und Untereger der marinen bayerischen Molasse.

Valvulineria petrolei (ANDREAE)

*1884 *Pulvinulina petrolei* n. sp. – ANDREAE: 217, Taf. 8/15 (Mittelo oligozän – Elsaß).

Verbreitung:

- Untereger_{II}: Bohrung Ortenburg 1001
Untereger_I: Bohrung Ampfing 1

Gattung: *Cancris* MONTFORT, 1808

Cancris auriculus (FICHEL & MOLL)

1803 *Nautilus auricula* – FICHEL & MOLL: 108, Taf. 20/a–f (Pliozän – Toscana).

Verbreitung:

- Untereger_{II}: Bohrungen Ortenburg 1001 u. 1002
Untereger_I: Bohrungen Ortenburg 1001, 1002 u. 1003
Bohrung Ampfing 1
Rote Traun
- Oberes Rupel: Bohrung Ortenburg 1001

Cancris subconicus (TERQUEM)

Taf. 11, Fig. 10–12

*1882 *Rotalina subconica* Terq. – TERQUEM: 61, Taf. 4/5 (Eozän – Pariser Becken).

1942 *Cancris turgidus* Cushman and Todd n. sp. – CUSHMAN & TODD: 92, Taf. 24/3 u. 4 (Oberoligozän; Unteroligozän – Norddeutschland).

1952 *Cancris* aff. *turgidus* CUSHM. & TODD – HAGN: 179 (unteres Rupel – bayer. Molasse).

1955 *Cancris turgidus* CUSHM. & TODD – HAGN: 348, Taf. 10/12 (Untereger_I – bayer. Molasse).

1961 *Cancris subconicus* (TERQUEM) – KAASSCHIETER: 213, Taf. 12/6–8 (Obereozän – Belgien).

1963 *Cancris turgidus* CUSHM. & TODD – KUMMERLE: 51, Taf. 8/5 (Oberoligozän – Norddeutschland).

1970 *Cancris subconius* (TERQUEM) – LE CALVEZ: 145, Taf. 43/6 (Lutet – Pariser Becken).

1979 *Cancris subconicus* (TERQUEM) – SZTRAKOS: Taf. 21/6 (unteres Eger – Ungarn).

1983 *Cancris subconicus* (Terquem) – SETIAWAN: 117, Taf. 8/6 (Priabon – Norditalien).

Beschreibung: Die enorm variablen, sehr niedrig trochospiralen Gehäuse zeigen einen breit gerundeten Rücken und einen rundlichen bis ovalen Umriß. Der letzte Umgang der aus etwa eineinhalb Windungen bestehenden Gehäuse ist aus vier bis acht Kammern aufgebaut, die meist stark an Höhe zunehmen. Die Kammern sind kräftig aufgeblasen. Die vertieften Nähte sind auf der Spiralseite gerade oder leicht gebogen und weisen etwas nach hinten. Auf der Umbilikalseite sind sie stets gerade und verlaufen radial. Der Nabel ist eng und tief. An der Nabelkante sind die Kammern mit zusätzlicher, durchscheinender Schalensubstanz besetzt. Die niedrige, interiomarginale, schlitzartige Mündung reicht in der Regel vom Umbilikus bis nicht ganz zur Peripherie und trägt einen schmalen Randsaum. Nicht selten ragt eine lappenartige Verlängerung der letzten Kammer zentrumwärts über den Nabelbereich vor. Oberhalb der Mündung ist auf der Stirnfläche der letzten Kammer ein halbmondartiges, feinst-perforiertes Feld ausgebreitet. Ansonsten ist die Perforation der Schale deutlich und dicht. Die Gehäusewand ist glatt.

Maße: L 0,24–0,88 mm, B 0,18–0,65 mm
D 0,15–0,55 mm

Variabilität:

1. Ausbildung der Spiralseite: Die Spiralseite kann leicht gewölbt, plan- oder im Zentrum fast trichterartig eingesenkt sein, so daß von den Kammern der Anfangswindung nur wenig erkennbar ist.
2. Kammerzahl pro Windung: Die Anzahl variiert zwischen vier und acht.
3. Zunahme der Windungshöhe: Bei einigen Individuen sind die jüngsten Kammern mehr als zweimal so hoch wie breit, bei anderen Individuen jedoch nur etwa so hoch wie breit.
4. Ausbildung der Nähte: Die Nähte sind schwach eingesenkt bis stark vertieft.

Anmerkung: Bereits 1961 wurde von KAASSCHIETER die Meinung vertreten, *C. subconicus* und *C. turgidus* seien kon-spezifisch. Ihm lag Material aus dem Typus-Gebiet von *C. turgidus* vor. Unter Hinweis darauf, daß TERQUEMS Originalbeschreibung und -abbildung in keiner Weise mit dem gut erhaltenen Original übereinstimmten, schloß sich LE CALVEZ (1970: 145 ff.) der Auffassung KAASSCHIETERS an.

Verbreitung: Häufig im gesamten Oligozän der marinen bayerischen Molasse; sehr häufig insbesondere im oberen Rupel bis Untereger_{II} der Bohrung Ortenburg 1001, im Latdorf von Ampfing und im unteren Rupel des Traun-Profiles.

Gattung: *Epistominella* HUSEZIMA & MARUHASI, 1944

Epistominella molassica (HAGN)

Taf. 11, Fig. 14–15; Taf. 12, Fig. 1

*1952 *Pseudoparrella molassica* n. sp. – HAGN: 180, Taf. 2/13 (Untereger_I – bayer. Molasse).

1958 *Pseudoparella oveyi* BHATIA – BATJES: 158, Taf. 8/10 (mittleres Oligozän – Belgien).

Beschreibung: Die variablen Gehäuse sind bikonvex-linsenförmig oder plankonvex mit stärker gewölbter Spiralseite und ebener Ventralseite. Der Umriss ist fast kreisrund, die Peripherie winklig und nicht ganz scharf und mehr oder weniger gelappt. Sechs bis acht Kammern bauen den jüngsten Umgang der aus zwei bis drei Umgängen bestehenden Gehäuse auf. Die dorsalen Nähte stehen schräg und weisen nach rückwärts; sie sind gerade oder leicht gebogen. Auf der Ventralseite stehen die Nähte fast radial, sie sind hier gerade oder leicht sigmoid gebogen und etwas eingesenkt. Eine Nabelvertiefung ist in der Regel nicht vorhanden. Manchmal greift die jüngste Kammer lappenartig auf das Zentrum der Ventralseite über. Es treten auch Individuen auf, die in diesem Bereich mit durchscheinender Schalensubstanz überzogen sind. Die breit-schlitzförmige, nach vorne gerichtete Mündung liegt in der senkrecht zur Windungsachse gelegenen Ebene. Die Gehäusewand ist glatt und deutlich perforiert.

Maße: L 0,15–0,30 mm, B 0,14–0,25 mm
D 0,10–0,16 mm

Differentialdiagnose:

Bei *Epistominella oveyi* (BHATIA), 1955 scheint es sich um eine eigenständige Art mit stärker konischer Spiralseite zu handeln.

Epistominella molassica nicht unähnlich sind die Jugendstadien von *Caucasina oligocaenica* KHALILOV; aufgrund der andersartigen Stellung der Mündung besteht jedoch kaum eine Gefahr der Verwechslung.

Verbreitung: Die Art ist im gesamten Rupel und im Untereger der marinen bayerischen Molasse weit verbreitet.

Gattung: *Eoepionidella* WICKENDEN, 1949

Eoepionidella ampliportata n. sp.

Taf. 12, Fig. 3, 4 u. 8

Derivatio nominis: ampliportata aufgrund der hohen, weiten Mündung.

Holotypus: Slg. München Prot. I34–38.

Locus typicus: Bohrung Ortenburg 1002 465,0–479,1 m.

Stratum typicum: Untereger_{II}.

Untersuchtes Material: 11 Exemplare.

Diagnose: Plankonvexe bis ungleich bikonvexe Eoepionidella mit winkliger Peripherie; sechs bis neun Kammern in der letzten Windung; Nähte auf der Spiralseite rückwärts gewandt, jedoch nicht subparallel zum Außenrand; Mündung hoch und weit.

Beschreibung: Es sind kleinwüchsige, plankonvexe oder ungleich bikonvexe Gehäuse mit stärker gewölbter Spi-

ralseite und schwächer gewölbter Ventralseite. Die stets winklige Peripherie kann einen deutlichen Kiel tragen; abgesehen vom Bereich der jüngsten Kammern ist die Peripherie ungelappt. Sechs bis neun Kammern bauen die letzte Windung der aus zwei bis drei Umgängen bestehenden Gehäuse auf. In der Spiralansicht zeigen die Kammern einen halbmondförmigen Umriss; die leicht verdickten Nähte weisen auf dieser Seite nach rückwärts, bilden aber einen Winkel mit dem Außenrand. Durch die große, bogenförmige Mündung ist etwa die Hälfte der ventralen Wand der jüngsten Kammer ausgespart. Die älteren Mündungen sind jeweils durch zusätzliche ventrale Außenwände verschlossen, wodurch sternförmige Gebilde entstehen; bei manchen Individuen sind die älteren Mündungen nicht vollständig verschlossen. Die Gehäusewand ist glatt und deutlich perforiert.

Maße: L 0,16–0,23 mm, B 0,16–0,21 mm
D 0,08–0,11 mm

Differentialdiagnose:

Eoepionidella nanoconica SEIGLIE, 1965 steht der neuen Art morphologisch am nächsten, besitzt jedoch bei beiden Generationsformen nur fünf Kammern im jüngsten Umgang.

Eoepionidella delicatula SEIGLIE, 1965 ist stärker abgeflacht; die Peripherie ist zugerundet.

Heminwayina zealandica HORNIBROOK, 1961 zeichnet sich durch eine wesentlich niedrigere Mündung und durch eine deutlich geringere Kammerzahl im letzten Umgang aus (vgl. hierzu auch POIGNANT, 1983c: Taf. 2/2).

Verbreitung:

Untereger_{II}: Bohrungen Ortenburg 1001 u. 1002

Untereger_I: Bohrungen Ortenburg 1001 u. 1003
Nonnenwald-Mulde

Unteres Rupel: Wehrprofil/Traun-Profil

Gattung: *Glabratellina* SEIGLIE & BERMÚDEZ, 1965

Glabratellina cf. *arcuata* SEIGLIE & BERMÚDEZ

Taf. 12, Fig. 2, 5 u. 6

1965 *Glabratellina arcuata* – SEIGLIE & BERMÚDEZ: 40, Taf. 8/6–11 (Miozän – Cuba) (fide ELLIS & MESSINA).

Beschreibung: Die kleinen, plankonvexen Gehäuse besitzen eine gerundete, kaum gelappte Peripherie und einen kreisförmigen Umriss. Die Spiralseite ist konvex, die Umbilikalseite in etwa plan. Der jüngere Umgang der aus ca. zwei Umgängen bestehenden Schälchen ist aus sechs bis acht merklich an Größe zunehmenden Kammern aufgebaut. Die verdickten Suturen sind auf der Spiralseite nach rückwärts gekrümmt, auf der Umbilikalseite stehen sie radial und haben einen geradlinigen Verlauf. Der Umbilikus ist sehr eng und sehr tief, eine Nabelkante ist nicht ausgebildet. Bei vollständiger Erhaltung des Gehäuses ist an der jüngsten Kammer keine Mündung erkennbar. Intercamerale Mündungen sind jedoch vorhanden: Diese sind rundlich und von einem schmalen Randsaum umgeben. Sie liegen in der Septalfläche nahe dem Nabel. Die jüngste Kammer zeigt einen kleinen, dreieckigen Fortsatz, der in den Nabel hineinragt. Die feinen, radialen Striae auf der Umbilikalseite sind nur unter dem Elektronenmikroskop gut zu sehen. Die Gehäusewand ist insbesondere auf der Spiralseite ziemlich grobporig.

Maße: L 0,11–0,21 mm, B 0,11–0,19 mm
D 0,08–0,15 mm

Bemerkung: *G. arcuata* aus dem Miozän von Cuba zeigt deutlichere Striae und einen etwas weiteren Nabel.

Verbreitung: Untereger: Bohrung Ortenburg 1001 (selten).

Gattung: *Escornebovina* BUTT, 1966

Escornebovina orthorapha (EGGER)

*1857 *Rotalina orthorapha* nov. spec. — EGGER: 275, Taf. 10/1–3 (Eggenburg – bayer. Molasse).

Verbreitung: Die Art ist im gesamten Rupel und Untereger der marinen bayerischen Molasse weit verbreitet.

Escornebovina trochiformis (ANDREAE)

*1884 *Pulvinulina trochiformis* n. sp. — ANDREAE: 216, Taf. 8/14 (Mitteloligozän – Elsaß).

Verbreitung:

Untereger_{II}: Bohrung Ortenburg 1002

Untereger_I: Bohrungen Ortenburg 1001 u. 1002

Gattung: *Alabamina* TOULMIN, 1941

Alabamina budensis (HANTKEN)

Taf. 12, Fig. 9, 12 u. 13

*1875 *Truncatulina budensis* Hantk. n. sp. — HANTKEN: 75, Taf. 8/6 (Kleinzeller Tegel – Ungarn).

1971 *Alabamina budensis* (Hantken) — POPESCU & IVA: 47, Taf. 12/1 (Oligozän – Rumänien).

1979 *Alabamina budensis* (Hantken) — SZTRAKOS: 72, Taf. 28/13 (unteres Eger – Ungarn).

1982 *Alabamina budensis* HANTKEN — SZTRAKOS: Taf. 22/9 (Obereozän/Oligozän – Ungarn).

Beschreibung: Es sind ungleich bikonvexe Gehäuse mit schwach gewölbter Spiralseite und stärker gewölbter bis konischer Umbilikalseite. Die winklige, ungelappte Peripherie ist von einem breiten, scharfen, radiär struierten Kiel gesäumt. Der Gehäuseumriß ist rundlich bis leicht oval. Die Kammerzähl in der letzten Windung beträgt fünf bis sieben. Die Kammern nehmen mäßig rasch an Größe zu. Adulte Gehäuse bestehen aus zwei bis zweieinhalb Windungen. Die leicht gebogenen Nähte der Dorsalseite weisen stark nach hinten und nähern sich der Spiralnaht nach innen zu fast tangential. Die Ventralnähte verlaufen in etwa radial und sind ebenfalls leicht gebogen. Die Nähte sind weder eingesenkt noch erhaben. Der Nabel ist geschlossen. Die kurze, schlitzförmige Mündung sitzt am Grunde einer taschenartigen Einfaltung der letzten Kammer nahe der Peripherie. Die Gehäusewand ist feinperforiert.

Maße: L 0,29–0,60 mm, B 0,28–0,52 mm
D 0,16–0,28 mm

Beziehungen: Die *A. budensis* nicht unähnliche *A. tangentialis* (CLODIUS), 1922 hat gerade, noch stärker tangential verlaufende Nähte auf der Spiralseite und ihr fehlt der breite Kiel.

Verbreitung: Weit verbreitet im gesamten Oligozän der marinen bayerischen Molasse.

Gattung: *Oridorsalis* ANDERSEN, 1961

Oridorsalis umbonatus (REUSS)

*1851 *Rotalina umbonata* m. — REUSS: 75, Taf. 5/35 (Oligozän – Norddeutschland).

Verbreitung:

Untereger_I: Bohrung Ortenburg 1002

Bohrung Ampfing 1

Prien-Profil

Bernhaupten/Bergener Gebiet

Traun-Profil

Oberes Rupel: Bohrung Ortenburg 1001

Traun-Profil

Gattung: *Gyroidina* D'ORBIGNY, 1826

Gyroidina soldanii D'ORBIGNY

Taf. 12, Fig. 7, 10 u. 11

*1826 *Gyroidina Soldanii*, Nob. — D'ORBIGNY: 278 (rezent – Adria).

1846 *Rotalina Soldanii* d'Orbigny — D'ORBIGNY: 155, Taf. 8/10–12 (Miozän – Wiener Becken).

1851 *Rotalina Girardana* m. — REUSS: 73, Taf. 5/34 (Oligozän – Norddeutschland).

1942 *Gyroidina girardana* (REUSS) — TEN DAM & REINHOLD: 86, Taf. 6/5 (Oligozän – Niederlande).

1964 *Gyroidina soldanii girardana* (Reuss) — HAUSMANN: 384, Taf. 7/7 (Mitteloligozän – DDR).

1971 *Gyroidina girardana* (Reuss) — POPESCU & IVA: 47, Taf. 10/7 (Oligozän – Rumänien).

Beschreibung: Es handelt sich um sehr ungleich bikonvexe bis plankonvexe, massive Gehäuse mit stark konvexer bis halbkugelförmig gewölbter Umbilikalseite. Die Spiralseite ist im Zentrum meist leicht aufgetrieben. Die Spiralnaht ist im Bereich des letzten halben Umgangs deutlich gekerbt. Die Gehäuse haben einen kreisrunden Umriß und eine gekantete, ungelappte Peripherie. Adulte Individuen sind aus ungefähr zwei Windungen aufgebaut. Die Kammerzähl in der jüngeren Windung variiert zwischen sieben und neun. Die Kammern nehmen mäßig rasch an Breite und Höhe zu, ihre Ausdehnung in axialer Richtung wächst indessen rasch. Auf der Spiralseite sind die Nähte gerade und weisen nach hinten, auf der Umbilikalseite sind sie leicht gebogen, radial angeordnet und in der Nabelregion meist leicht verdickt. Der Nabel selbst ist eng und tief. Die interiomarginale, schlitzförmige, niedrige Hauptmündung hat ihre Position häufig etwa im mittleren Drittel zwischen Nabel und Peripherie, kann sich jedoch auch bis zur Peripherie hin erstrecken. Die im Nabel gelegenen Nebenmündungen sind von kleinen lappenartigen Kammerfortsätzen verdeckt und nur selten erkennbar. Die Perforation der Gehäusewand ist fein.

Maße: L 0,27–0,61 mm, B 0,25–0,56 mm
D 0,18–0,47 mm

Verbreitung: Häufig im gesamten Oligozän der marinen bayerischen Molasse.

Bemerkung: Seine vergleichenden Untersuchungen an den Generotypen der Gattungen *Gyroidina* und *Gyroidinoides* führten HOFKER (1970: 25ff.) zu der Auffassung, daß es sich bei *Gyroidinoides* um ein jüngeres Synonym von *Gyroidina* handelt. Das in diesem Zusammenhang wichtigste Unterscheidungskriterium, die in den Nabelbereich hinein verlängerte bzw. nicht verlängerte Mündung, dürfte nicht zuverlässig sein. Etwa bei *Gyroidina parva* (s. u.) kommen häufig Individuen mit auf die Mitte zwischen Umbilikus und Peripherie begrenzter Hauptmündung neben solchen mit in den Umbilikus hinein verlängerter Mündung vor.

Gyroidina brockerti n. sp.

Taf. 12, Fig. 14–15; Taf. 13, Fig. 1

1952 „*Discorbis simplex*“ (D'ORB.) – HAGN: 175 (Oligozän; Untermiozän – bayer. Molasse).

1966 *Gyroidinoides umbonatus* (SILV.) – BROCKERT & PAULUS: Abb. 25/18 (mittleres Oligozän – bayer. Molasse).

1968 *Gyroidinoides umbonatus* (SILVESTRI) – BROCKERT in STEPHAN & PAULUS: Taf. 13/1 (13) (mittleres Oligozän – bayer. Molasse).

Derivatio nominis: zu Ehren von Dr. Max Brockert.

Holotypus: Slg. München Prot. 5855.

Locus typicus: Engelsrieder Graben bei Bad Feilnbach/Oberbayern.

Stratum typicum: Jüngste Tonmergel-Schichten, Untereger_I.

Untersuchtes Material: 225 Exemplare.

Diagnose: Bikonvexe, sehr engnabelige Gehäuse mit abgerundeter Peripherie und sieben bis neun Kammern im letzten Umgang; die jüngeren Kammern in der Spiralsicht etwas breiter als hoch; Nähte leicht gebogen, radial und am Ende leicht eingesenkt; Mündung von der Peripherie bis zum Nabel reichend; Perforation nicht sehr fein.

Beschreibung: Die verhältnismäßig kleinen, bikonvexen Gehäuse haben eine kaum gelappte, gerundet-kantige bis wohlgerundete Peripherie. Sie zeigen einen leicht ovalen Umriss und sind aus zwei bis zweieinhalb Windungen aufgebaut, deren letzte aus sieben bis neun Kammern besteht. Diese sind in der Spiralsicht fast stets höher als breit. Abgesehen davon, daß die Nähte bei vielen Individuen auf der Spiralnaht leicht nach vorne gerichtet sind, verlaufen sie im wesentlichen radial; sie sind gebogen bis nahezu gerade und im Bereich der jüngsten Kammern leicht eingesenkt. Zum sehr engen bis fast geschlossenen Nabel hin nehmen die Suturen auf der Ventralseite leicht an Breite zu. Die interiomarginale, schlitzförmige Mündung besitzt einen hyalinen Randsaum und reicht vom Nabel bis an die Peripherie. Die Perforation der Gehäusewand ist verhältnismäßig grob.

Maße: L 0,19–0,33 mm, B 0,18–0,30 mm

D 0,11–0,19 mm

Differentialdiagnose:

Durch folgende Merkmale unterscheiden sich vergleichbare Arten von *Gyroidina brockerti* n. sp.:

Gyroidina soldanii octocamerata CUSHMAN & HANNA, 1927 ist plankonvex und hat eine stark gewölbte Umbilikalseite.

G. lottensis GARRET, 1941 hat in der Spiralsicht höhere und schmalere Kammern als die neue Art.

G. angustiumbilitata TEN DAM, 1944 ist nahezu plankonvex, hat eine stark konvexe Umbilikalseite und eine am Ende deutlich eingesenkte Spiralnaht.

G. jarvisi CUSHMAN & STAINFORTH, 1945 weist etwa zehn Kammern pro Umgang, einen weiten Nabel und eingesenkte Ventralnähte auf.

G. soldanii batjesi HAUSMANN, 1964 ist plankonvex.

G. profunda AOKI, 1964 ist sehr fein perforiert und hat verdickte Nähte auf der Spiralseite.

G. jenkinsi SRINIVASAN, 1966 besitzt limbate Nähte.

G. subplanulata ECHOLS, 1971 ist rundherum gelappt; die Kammern nehmen anfangs rasch, am Ende nicht mehr an Größe zu.

Bemerkung: Bei *Gyroidina umbonata* (SILVESTRI), 1898 aus dem italienischen Pliozän handelt es sich um eine stark umbiliko-konvexe, fünfkammerige Art mit ziemlich aufgeblähter jüngster Kammer (vgl. auch AGIP, 1982: Taf. 40/3). Sie war von SILVESTRI ursprünglich als Varietät von „*Rotalia soldanii*“ (D'ORB.)“ aufgestellt worden.

Verbreitung: *G. brockerti* n. sp. ist ein bezeichnendes Mikrofossil im oberen Rupel und tieferen Untereger der Haushamer Mulde.

Gesamtverbreitung: Latdorf bis Untereger_{II} der marinen bayerischen Molasse.

Gyroidina parva CUSHMAN & RENZ

*1941 *Gyroidina parva* Cushman and Renz, n. sp. – CUSHMAN & RENZ: 23, Taf. 4/2 (Miozän – Venezuela).

Verbreitung: Nicht selten im oberen Rupel und Untereger der marinen bayerischen Molasse.

Gyroidina eggeri WENGER

*1986 *Gyroidina eggeri* n. sp. – WENGER (Eggenburg – bayer. Molasse).

Vorkommen:

Untereger_I: Nonnenwald-Mulde

Gattung: *Siphonina* REUSS, 1850

Siphonina reticulata (CZJZEK)

*1848 *Rotalina reticulata* Cz. – CZJZEK: 145, Taf. 13/7–9 (Miozän – Wiener Becken).

Vorkommen:

Untereger_{II}: Bohrung Ortenburg 1002

Untereger_I: Nonnenwald-Mulde

Familie: Asterigerinidae D'ORBIGNY, 1839

Gattung: *Asterigerina* D'ORBIGNY, 1839

Asterigerina praeplanorbis HAGN

Taf. 13, Fig. 2–4

1952 *Asterigerina* cf. *planorbis* D'ORB. – HAGN: 179 (mittleres Oligozän – bayer. Molasse).

*1955 *Asterigerina praeplanorbis* n. sp. – HAGN: 348, Taf. 10/9 (oberes Rupel – bayer. Molasse).

1962 *Asterigerina* cf. *praeplanorbis* HAGN – LUHR: 164, Taf. 7/17, Abb. 12 u. 13 (Oligozän – Kalkalpin).
1966 *Asterigerina praeplanorbis* HAGN – SCHERER: 99, Taf. 3/17 u. 18 (Oligozän – Schweiz).

Beschreibung: Das Gehäuse besitzt variable äußere Form. Die Variation reicht von hütchenförmigen Schälchen mit planer Ventralseite und gerundetem Apex bis zu ungleich bikonvexen, ziemlich abgeflachten Gehäusen mit leicht gewölbter Ventral- und etwas stärker gewölbter Dorsalseite. Der Umriß ist kreisrund, die Peripherie leicht gekielt und meist völlig ungelappt. Fünf bis sechs Hauptkammern bauen den jüngsten Umgang der aus ca. drei bis vier Umgängen bestehenden Gehäuse auf. In der Dorsalansicht haben die Kammern eine halbmond- bis sichelförmige Gestalt. Die dorsalen, stark nach hinten orientierten Nähte sind leicht verdickt und verlaufen nicht selten fast parallel zum Außenrand der Schale. Auf der Ventralseite zeigen die Kammern einen dreieckigen Umriß. Den Hauptkammern zwischengeschaltet sind hier die rosettenartig und regelmäßig angeordneten Nebenkammern, die einen zungenförmigen bis rautenförmigen Umriß besitzen. Sie reichen fast bis an die Peripherie. Die Außenwand der Nebenkammern ist in der Regel kaum oder überhaupt nicht gewölbt. Dementsprechend sind auch die ventralen Suturen

kaum oder nicht eingesenkt. Auch das Zentrum der Ventralseite zeigt in der Regel keine Vertiefung. Die Mündung, ein niedriger Bogen, der von einer vorstehenden Lippe gesäumt ist, ist auf der Ventralseite am inneren Rand der jüngsten Kammer in einer flachen Vertiefung gelegen. Ist die letzte Kammer weggebrochen, so wird das Foramen, eine ovale Öffnung zwischen Haupt- und Nebenkammer, sichtbar. Bei einigen Individuen sind die vor der Mündung liegende Außenwand und das Zentrum der Ventralseite mit Pusteln bedeckt. Es können auch noch andere Bereiche der ventralen Gehäusewand in dieser Weise ausgebildet sein. Davon abgesehen ist die Schale glatt; die Dorsalseite zeigt eine deutliche radiale, weitständige Perforation. Die Ventralseite ist fein perforiert.

Maße: L 0,19–0,33 mm, B 0,16–0,30 mm
D 0,11–0,18 mm

Beziehungen: *A. planorbis* D'ORB., 1846 steht der Art am nächsten. Unterschiede zwischen beiden Arten bestehen hinsichtlich des Variationsbereiches der Gehäuseform, der Ausbildung der Nebenkammern und der Position der Mündung:

	<i>A. planorbis</i>	<i>A. praeplanorbis</i>
Variation der Gehäuseform	plankonvex bis konkav-konvex	flachgedrückt und ungleich bikonvex bis plankonvex
Ausbildung der Nebenkammern	häufig gebläht; unregelmäßig	kaum oder nicht gewölbt; eine regelmäßige Rosette bildend
Lage der Mündung	am Grund einer deutlicheren Einmündung	in einer flachen Vertiefung

Verbreitung: Gehäuft oder massenhaft im höheren Teil des oberen Rupels und an der Basis des Untereger_I. Gesamtverbreitung: Latdorf bis Untereger_{II} der marinen bayerischen Molasse.

Anmerkung: Analog dem Vorgehen von TEN DAM & REINHOLD (1942: 17), die einen Asterigerinen-Horizont mit *A. guerichi* aus dem obersten Rupel der Niederlande beschrieben hatten, führten HAGN & HÖLZL (1952: 33) einen den Grenzbereich Rupel/Chatt kennzeichnenden „Asterigerinen-Horizont“ mit *A. cf. planorbis* = *A. praeplanorbis* in die Literatur der bayerischen Molasse ein. Am markantesten ist dieser Horizont in den Bohrungen Ortenburg, wo die genannte Art im obersten Rupel massenhaft auftritt.

HAYNES (1981: Abb. 12.2) führt die Art unter den im „Anglo-French-Belgian Basin“ stratigraphisch wichtigen Formen an. Sie setzt hier im Mitteloligozän ein.

In den Bohrungen Ortenburg wird *A. praeplanorbis* im basalen Eger von *Asterigerinoides guerichi* (FRANKE) abgelöst.

Gattung: *Asterigerinoides* BERMÚDEZ, 1952

Asterigerinoides guerichi (FRANKE)
Taf. 13, Fig. 6–8

*1912 *Discorbina Gürichi* n. sp. – FRANKE: 29, Abb. 8 (Oberoligozän – Norddeutschland).

1948 *Asterigerina guerichi* (FRANKE) – HOFKER: 509ff., Abb. 1–3 (?Oberoligozän – Miozän – Niederlande).
1958 *Asterigerina guerichi* (FRANKE) – BATJES: 159, Taf. 10/7 (Oberoligozän – Belgien).
1959 *Asterigerinoides guerichi* (FRANKE) – HOFKER: 255, Abb. 17 (mittleres Miozän – Norddeutschland).
1964 *Asterigerina guerichi guerichi* (FRANKE) – GRAMANN: 218, Taf. 20/3 u. Taf. 21/1–3 (Oberoligozän – Norddeutschland).
1972 *Asterigerinoides guerichi* (FRANKE) – HANSEN & REISS: 195, Taf. 1/5 u. 6, Taf. 2/4, Taf. 6/2–5 (Oligozän – Dänemark).

Beschreibung: Die bikonvexen, scheibenförmigen Gehäuse zeigen meist eine schwach gewölbte Ventralseite und eine etwas stärker gewölbte Umbilikalseite. Der Umriß ist nahezu kreisrund, die Peripherie ist winklig, gekielt und häufig leicht gelappt. Die Zahl der Umgänge beträgt etwa drei; die Kammerzahl im jüngsten Umgang beträgt sechs bis acht (ohne Nebenkammern). In der Spiralansicht haben die Hauptkammern einen schlank-halbmondförmigen Umriß. Die dorsalen Nähte sind limbat, leicht gebogen und stark nach rückwärts gewandt. Auf der Ventralseite sind die Hauptkammern nur nahe der Peripherie sichtbar und zeigen hier einen trapezförmigen Umriß. Das Zentrum der Ventralseite nehmen die dreieckigen Nebenkammern ein, die zusammen ein sechs- bis achteckiges Polygon bilden, das im Bereich der letzten Hauptkammern etwas eingebuchtet ist. Eine Nebenkammer grenzt jeweils mit ihrem äußeren Rand an eine trapezförmige Hauptkammer. Die ventrale Außenwand der Haupt- und Nebenkammern ist schwach gewölbt, die dazwi-

schen liegenden radial und parallel zur Peripherie verlaufenden Nähte sind schwach eingesenkt und verdickt. Die Mündung besitzt eine halbmondartige Form; sie trägt eine kräftige Lippe und liegt ventral in einer grabenartigen Vertiefung an der Basis der Stirnfläche der jüngsten Kammer. Ein elliptisches Foramen, dessen Längsachse in etwa parallel der Windungsachse orientiert ist, stellt die Verbindung von der Hauptkammer zu der vorhergehenden Nebenkammer her (dies kann nur an durchscheinenden Exemplaren oder bei weggebrochener Endkammer beobachtet werden). Das vor der Mündung liegende Feld ist meist mit Pusteln besetzt. Die dorsale Schalenwand ist einheitlich mit radialstehenden, groben Poren durchsetzt. Auf der Ventralseite ist die grobe Perforation bei den Hauptkammern häufig auf den der Peripherie näheren Bereich beschränkt. Dasselbe Phänomen kann teilweise auch an den ventralen Außenwänden der Nebenkammern beobachtet werden. Häufig ist die Gehäusewand bräunlich gefärbt.

Maße: L 0,30–0,42 mm, B 0,28–0,38 mm
D 0,15–0,20 mm

Differentialdiagnose:

Im Gegensatz zu *Asterigerinoides guerichi* sind bei *Asterigerina bartoniana* TEN DAM, 1947 die Nebenkammern der Ventralseite jeweils zwischen zwei Hauptkammern eingeschaltet.

Bemerkung: HANSEN & REISS haben den Internbau u. a. von *A. guerichi* untersucht. Sie stellten fest, daß bei den „asterigeriniden“ Foraminiferen die Nebenkammern dadurch entstehen, daß die Internlamelle nur z. T. mit der Außenlamelle in Kontakt ist und der andere Teil der Internlamelle nach innen in das Lumen der Hauptkammer gezogen ist.

Verbreitung: Sehr häufig im gesamten Untereger₁ der Bohrung Ortenburg 1001; eher selten im Untereger₁ der Bohrung Ortenburg 1003.

Familie: Epistomariidae HOFER, 1954
Gattung: *Nuttallides* FINLAY, 1939

Nuttallides sp.
Taf. 13, Fig. 5, 9 u. 10

Beschreibung: Die ungleich bikonvexen Gehäuse, deren Spiralseite stets stärker gewölbt ist als deren Ventralseite, haben einen kreisförmigen Umriß. Die winklige Peripherie ist zugerundet bis scharf und rundherum leicht gelappt. Die Anzahl der Windungen beträgt dreieinhalb bis vier. Acht bis zehn kaum an Größe zunehmende Kammern bauen die jüngste Windung auf. Die Nähte der Spiralseite sind nach hinten gerichtet, meist leicht gekrümmt und im letzten Umgang etwas vertieft. Die ventralen Nähte stehen annähernd radial und sind ebenfalls leicht vertieft. Das Zentrum der Ventralseite ist geschlossen und besitzt eine hyaline Nabelfüllung. Die interiomarginale, niedrige Mündung reicht von der Nabelfüllung bis nahe an die Peripherie. Die älteren Mündungen sind durch ein zusätzliches Internseptum zweigeteilt, das ungefähr senkrecht zum Intercameralseptum angeordnet und mit diesem verwachsen ist. Während die Außenwand eine

grobe Perforation zeigt, lassen Mündungsfläche und Internseptum keine Perforation erkennen.

Maße: L 0,15–0,32 mm, B 0,14–0,30 mm
D 0,09–0,17 mm

Anmerkung: Zu *Nuttallides trumpyi* (NUTTALL), 1930 besteht – abgesehen vom prinzipiellen Gehäuseaufbau – wenig Ähnlichkeit. Auch ist eine „Alabaminen-artige“ Einbuchtung der Mündungsfläche nahe der Peripherie fast nicht feststellbar.

Diskussion: Betrachtet man die oben beschriebenen Formen nur unter dem Lichtmikroskop, so zeigen sie eine habituelle Ähnlichkeit mit *Pulvinulina pygmaea* HANTKEN, 1875. Zahlreiche Autoren stellen diese Art zur Gattung *Eponides* bzw. *Pulvinulina*: HANTKEN (1875: 78), ANDREAE (1884: 216), HAGN (1956: 161), BATJES (1958: 146) und HAUSMANN (1964: 387). Im Gegensatz dazu ordnen KAASSCHIETER (1961: 219), und CÍCHA, ČTYRKA & HORVÁTH (1975: 251) die Art der Gattung *Cibicides* zu. Von SZTRÁKOS (1979: Taf. 30) wird *Cibicoides pygmaeus* abgebildet.

Vor diesem Hintergrund erscheint es dringend erforderlich, daß die *P.-pygmaea*-Problematik anhand von ungarischem Original- oder Topotypmaterial zu einer Lösung gebracht wird.

Verbreitung:

Untereger_{II}: Bohrungen Ortenburg 1001 und 1002
Untereger_I: Nonnenwald-Mulde
Bohrung Ampfing 1

Familie: Rotaliidae EHRENBERG, 1839
Gattung: *Rotalia* LAMARCK, 1804

Rotalia trochus ROEMER
Taf. 13, Fig. 11, 12 u. 16

- *1838 *Rotalia Trochus* v. M. – ROEMER: 388, Taf. 3/47 (Tertiär – Norddeutschland).
- 1856 *Rotalia trochus* v. M. – REUSS: 242, Taf. 5/55 (Oberoligozän – Norddeutschland).
- 1956 *Rotalia trochus* ROEMER – BATJES: 168, Taf. 12/9 (Oberoligozän – Norddeutschland).
- 1965 *Rotalia trochus* ROEMER 1838 Forma 1 – TRUNKÓ: 172, Taf. 15/9 (Oberoligozän – Norddeutschland).

Beschreibung: Die hütchenförmigen Gehäuse zeigen eine stark konvexe Spiralseite und eine nahezu plane Ventralseite. Die winklige Peripherie ist ungelappt. Ca. sechs Kammern bilden den jüngsten Umgang. Die etwas verdickten Nähte der Spiralseite weisen nach rückwärts, bilden aber mit dem Außenrand einen Winkel. In der Spiralsicht sind die Kammern halbmondförmig. Das Zentrum der Ventralseite bildet ein kräftiger, vorragender Pfropf. In seiner Umgebung sind die leicht nach hinten orientierten, geraden Ventralnähte eingetieft. Die Mündung ist ein enger, niedriger, interiomarginaler Bogen in der Mitte zwischen Pfropf und Peripherie. Die Oberfläche der Schale ist leicht rauh. Die Perforation ist deutlich.

Maße: L 0,24–0,26 mm, B 0,22–0,23 mm
D 0,17–0,18 mm

Verbreitung:
 Untereger_{II}: Traun-Profil
 Oberes Rupel: Nörtl. Fortsetzung des
 Wehrprofils/Traun-Profil
 Latdorf: Ammer-Profil

Gattung: *Ammonia* BRÜNNICH, 1772

Ammonia beccarii (LINNÉ)

*1758 *Nautilus Beccarii* – LINNÉ: 710 (rezent – Mittelmeer).

Verbreitung: Obere Cyrenen-Schichten (höheres Untereger_I) des Promberger Gebietes.

Ammonia kiliani (ANDREAE)

Taf. 13, Fig. 13–15

*1884 *Pulvinulina Kiliani* n. sp. – ANDREAE: 255, Taf. 11/1 (Melletta-Schichten, Oligozän – Elsaß).

1955 „*Ammonia* cf. *beccarii*“ – KNIPSCHER 1952 – HAGN & HÖLZL: 27, Tab. 2 (tieferes Untereger_I – bayer. Molasse).

1955 *Rotalia* cf. *R. papillosa* d'Orbigny – BHATIA: 684, Taf. 66/31 (Oligozän – Isle of Wight).

1958 *Rotalia kiliani* (ANDREAE) – BATJES: 166, Taf. 12/8 (Oligozän – Belgien).

1966 *Discorbis kiliani* (ANDREAE) – LE CALVEZ: 409, Taf. 2/8–10 (Sannois – Pariser Becken).

Beschreibung: Es sind flache, bikonvexe oder plankonvexe Gehäuse mit planer Ventralseite. Der Umriß ist fast kreisrund, die Peripherie ein wenig gelappt und mehr oder weniger zugerundet. Der jüngste Umgang der aus ca. zweieinhalb Umgängen aufgebauten Gehäuse besteht aus sieben bis neun mäßig rasch an Größe zunehmenden Kammern. Die Kammern sind ziemlich schmal und hoch und nach rückwärts gekrümmt; die Nähte sind ein wenig eingesenkt. Den engen Nabel und häufig auch die Nahteinsenkungen nahe dem Nabel bedeckt körnelige Schalensubstanz. Die schlitzartige, sehr niedrige interiomarginale Mündung ist selten gut erkennbar. Die Gehäusewand ist ziemlich feinporig und glatt.

Maße: L 0,17–0,41 mm, B 0,14–0,34 mm
 D 0,09–0,20 mm

Bemerkung: Von *A. propingua* unterscheidet sich *A. kiliani* durch die weniger zugespitzte Peripherie, die höheren und schmalen Kammern und die wesentlich weniger stark nach rückwärts gewandten Nähte der Spiralseite. *A. kiliani* ist bereits durch HAGN & HÖLZL (1955) ausführlich beschrieben worden (vgl. Synonymie).

Verbreitung: Massenhaft in den basalen Cyrenen-Schichten (Untereger_I), z. B. im Südteil der Segenhauser Zone im Mangfall-Profil; im marinen Bereich verhältnismäßig selten:

Untereger_I: Koglgraben/Feilnbacher Gebiet
 Oberes Rupel: Traun-Profil
 Bocksleiten/Isar
 Unteres Rupel: Traun-Profil
 Latdorf: Ammer-Profil

Ammonia propingua (REUSS)

*1856 *Rotalia propingua* n. sp. – REUSS: 241, Taf. 4/53 (Oberoligozän – Norddeutschland).

Verbreitung: Unteres Rupel bis Untereger_{II}. Häufig im flachneritischen Bereich.

Gattung: *Pararotalia* LE CALVEZ, 1949

Pararotalia canui (CUSHMAN)

Taf. 14/1–3

1856 *Rotalia stellata* n. sp. – REUSS: 242, Taf. 5/54 (Oberoligozän – Norddeutschland).

*1928a *Rotalia canui* Cushman, nov. nom. – CUSHMAN: 55, Taf. 3/2 (Stamp – Pariser Becken).

1955 *Rotalia canui* Cushman – BHATIA: 684, Taf. 66/32 (Oligozän – Isle of Wight).

1957 *Pararotalia curryi* Loeblich and Tappan, new species – LOEBLICH & TAPPAN: 13, Taf. 3/5–7 (Latdorf – Isle of Wight; Stampien – Pariser Becken).

1958 *Rotalia canui* CUSHMAN – BATJES: 168, Taf. 12/5–7 (mittleres Oligozän – Belgien).

1979 *Pararotalia curryi* LOEBLICH et TAPPAN – SZTRAKOS: Taf. 22/5 (oberes Rupel – Ungarn).

1980 *Pararotalia curryi* LOEBLICH & TAPPAN – DOEBL & SONNE in DOEBL, MARTINI, SONNE & WEILER: 39, Abb. 5/2 (Rupel – Mainzer Becken).

Beschreibung: Es handelt sich häufig um plankonvexe Gehäuse mit gewölbter Spiralseite und ebener Ventralseite, seltener um flach-linsenförmige Gehäuse. Die Peripherie ist winklig und manchmal leicht gekielt. Der Umriß ist deutlich gelappt bis gezackt und häufig sind die Kammern an der Peripherie mit einem radialen Dorn besetzt. In der Regel wird der jüngste Umgang von sechs Kammern aufgebaut, die rasch an Größe zunehmen. Auf der Spiralseite sind die Kammern kaum oder nur leicht gewölbt, auf der Ventralseite sind sie stets stärker gebläht. Die Nähte der Spiralseite sind etwas nach hinten gekrümmt, die Ventralnähte verlaufen ungefähr radial. In der weiten, tiefen Nabeinsenkung sitzt ein variabel ausgebildeter Pfropf. Die für *Pararotalia* typische areale Mündung liegt nahe der Basis der letzten Kammer zwischen Peripherie und Nabel. Sie besitzt eine röhrenförmige breite Lippe. Die Gehäusewand ist mäßig grob perforiert und glatt.

Maße: L 0,23–0,38 mm, B 0,19–0,35 mm
 D 0,13–0,18 mm

Bemerkungen: Als REUSS 1856 obige Art als „*Rotalia stellata*“ benannte, war dieser Name bereits von EHRENBURG 1840 für eine andere Art vergeben worden. 1928 wurde die Art von CUSHMAN unter neuem Namen als „*Rotalia canui*“ aufgestellt. Die von STEUER 1904 als „*Rotalia fallax*“ beschriebene Art wird von zahlreichen Autoren als älteres Synonym von „*Rotalia canui*“ betrachtet. Es liegen hierzu jedoch eindeutige (wenn auch etwas ungläubhafte) Angaben bezüglich des speziellen Mündungscharakters von „*R. fallax*“ bei STEUER vor, so daß die beiden genannten Arten vorerst ohne Prüfung des STEUERSchen Originalmaterials (resp. von Topotypmaterial) nicht miteinander vereinigt werden können. Nach LOEBLICH & TAPPAN (1957) handelt es sich bei „*Rotalia stellata* REUSS“ und „*Rotalia canui* CUSHMAN“ um zwei verschiedene Arten. Ferner bemängeln die Autoren, daß von CUSHMAN (1928) unzulässigerweise ein Holotyp für das Substitut aus dem Stampien des Pariser Beckens angegeben worden sei. LOEBLICH & TAPPAN haben daraufhin 1957 ihrerseits eine neue Art namens „*Pararotalia curryi*“ aufgestellt und die

von CUSHMAN aus Frankreich beschriebene Art als älteres aber ungültiges Synonym dazu betrachtet. Da es sich jedoch bei „*Rotalia canui* CUSHMAN“ mit Beschreibung und abgebildetem Holotyp in jedem Fall um eine ordnungsgemäß aufgestellte Art handelt, muß der ältere Artname beibehalten werden.

Verbreitung: Basale Cyrenen-Schichten (Untereger₁) des Südtails der Segenhauser Zone im Mangfall-Profil.

Untereger₁ (marin): Bohrunge Ortenburg 1001 u. 1003
Bohrung Ampfing 1
Gaißbach
Mangfall-Profil
Leitzach-Profil
Feilnbacher Gebiet
Prien-Gebiet

Oberes Rupel (marin): Gaißbach
Mangfall-Profil
Feilnbacher Gebiet
Bergener Gebiet
Traun-Profil

Pararotalia sp.

Taf. 14, Fig. 4, 6 u. 7

Beschreibung: Die bikonvexen, dick-linsenförmigen Gehäuse besitzen eine winklige, zugeschärfte, ungekielte Peripherie. Die Gehäuse haben einen polygonalen Umriß; die Kammern sind an der Peripherie meist mit radialen Dornen besetzt. Auf der Spiralseite sind die älteren Umgänge mit körneliger Schalensubstanz bedeckt. Der jüngste Umgang besteht aus sieben bis acht Kammern, die langsam an Größe zunehmen. Die Kammern sind dorsal nicht und ventral nur leicht gewölbt. Die Nähte der Spiralseite sind – soweit erkennbar – verdickt und nach rückwärts gewandt; auf beiden Seiten sind die Nähte nicht eingesenkt. Das Zentrum der Ventralseite bildet ein kräftiger, vorragender, breiter Nabelpfropf, der eine grobe, pustelige, rauhe Oberfläche besitzt. Die areale Mündung hat einen rundlichen bis ovalen Umriß und sitzt nahe der Basis der letzten Kammer zwischen Nabelpfropf und Peripherie. Abgesehen von den bereits erwähnten Abweichungen ist die Schalenoberfläche von zuckerkörniger, rauher Beschaffenheit.

Maße: L 0,20–0,42 mm, B 0,20–0,38 mm

D 0,15–0,26 mm

Vorkommen: Untereger₁ der Bohrung Ortenburg 1001.

Familie: Nummulitidae DE BLAINVILLE, 1825

Gattung: *Nummulites* LAMARCK, 1801

Nummulites bouillei DE LA HARPE

Taf. 14, Fig. 11

*1879 *Nummulites Bouillei*, DE LA HARPE – DE LA HARPE: 6, Taf. 1/1 (Biarritz – Südwestfrankreich).

1879 *Nummulites Tournoueri*, DE LA HARPE – DE LA HARPE: 7, Taf. 1/2 (Biarritz – Südwestfrankreich).

1911 *Nummulites bouillei* DE LA HARPE – BOUSSAC: 45, Taf. 5/4 (oberes Eozän – Frankreich).

1958 *Nummulites bouillei* DE LA HARPE – PAPP: 262, Taf. 2/4–6 (Obereozän – Nieder- u. Oberösterreich; Ungarn).

1962 *Nummulites bouillei* DE LA HARPE – LUHR: 173, Taf. 8/3–5 (Unteroigozän – Kalkalpin).

1966 *Nummulites bouillei* DE LA HARPE – BUTT: 90, Taf. 8/19–21 (Oberoligozän – Südwestfrankreich).

Beschreibung: Es handelt sich um überwiegend ziemlich dick-linsenförmige, seltener schlanke, pfeilerlose Nummuliten mit stumpfer bis akuter Peripherie. Es liegen nur megalosphärische Exemplare vor (A₁ und A₂). Auf den Embryonalteil folgen sechs bis neun Kammern in der ältesten, zehn bis fünfzehn Kammern in der zweiten und nur sehr wenige Kammern mehr in der dritten Windung. Die Windungshöhe nimmt merklich und i. a. kontinuierlich zu. Die Septen sind sichelartig zurückgebogen oder zurückgeknickt; sie nähern sich dem Dorsalstrang beinahe tangential und dünnen in diesem Bereich etwas aus. Die Außenseite der Schale ist glatt.

Maße: L 0,72–1,68 mm, B 0,63–1,48 mm

D 0,50–0,76 mm

Erhaltung: Die häufig mit Glaukonit gefüllten Gehäuse sind nicht selten median gespalten.

Differentialdiagnose:

Nummulites budensis HANTKEN, 1875 zeigt eine raschere Zunahme der Windungshöhe (vgl. hierzu auch HAGN, 1960: 70, sowie Taf. 1/5 u. 8).

Nummulites vascus JOLY & LEYMERIE, 1848 besitzt einheitlicher und schwächer gekrümmte Septen (vgl. SCHAUB, 1981: Taf. 53/3).

Vorkommen: Latdorf: Bohrung Ampfing 1 (massenhaft).

Anmerkung: Von HAGN (1960: 69) ist die Art bereits im Unteroigozän der Bohrung Heimertingen 12 nachgewiesen worden.

Familie: Globigerinidae CARPENTER, PARKER & JONES, 1862

Gattung: *Globigerina* D'ORBIGNY, 1826

Globigerina praebulloides BLOW

*1959 *Globigerina praebulloides* BLOW sp. nov. – BLOW: 180, Taf. 8/47 u. 9/48 (Miozän – Venezuela).

Verbreitung: Sehr häufig im gesamten Oligozän der marinen bayerischen Molasse. Durchläufer.

Globigerina officinalis SUBBOTINA

*1953 *Globigerina officinalis* sp. n. – SUBBOTINA: 78, Taf. 11/1–7 (Obereozän – Kaukasus, UdSSR).

Verbreitung: Häufig im gesamten Oligozän der marinen bayerischen Molasse. Durchläufer.

Globigerina anguliofficialis BLOW

Taf. 14, Fig. 5, 9 u. 10

*1969 *Globigerina anguliofficialis* n. sp. – BLOW: 379, Taf. 11/1–5 (P 19 – Trinidad).

1972 *Globigerina anguliofficialis* BLOW – CAMPREDON & TOURMAKINE: 139, Taf. 2/18 u. 19 (unteres Oligozän – Südostfrankreich).

1981 *Globigerina anguliofficialis* BLOW – MARTINOTTI: Taf. 1/24–27 (Oligozän – Israel).

1983 *Globigerina anguliofficialis* BLOW – HOYBERGHS: 36, Taf. 10/1–4 (Rupel-Formation, Boom Clay – Belgien).

Beschreibung: Die niedrig- bis mäßig hoch trochospiralen Gehäuse bestehen aus zweieinhalb bis drei Windungen. Der jüngste Umgang ist aus viereinhalb bis fünf nicht ganz kugeligen, leicht angepreßten, in der Ventralansicht dreieckigen, deutlich an Größe zunehmenden Kammern aufgebaut. Der Anfangsteil überragt den letzten Umgang auf der Spiralseite fast bei allen Exemplaren. Die Peripherie ist gelappt und breit gerundet. Die Nähte sind eingesenkt und im Bereich der Peripherie etwas eingekerbt und leicht verdickt. Sie verlaufen meist in etwa radial, nur auf der Spiralseite sind sie bei einigen Individuen leicht rückwärts gewandt. Der Nabel ist eng und tief. Die Mündung ist ein niedriger bis mäßig hoher Bogen, der einen schmalen Randsaum trägt. Sie ist dem Nabel zugewandt. Die Schalenoberfläche ist mit feinen Pusteln übersät. Die Perforation der Gehäusewand ist deutlich und dicht.

Maße: L 0,18–0,20 mm, B 0,15–0,19 mm
D 0,12–0,14 mm

Differentialdiagnose:

Globigerina officinalis SUBBOTINA hat nur vier Kammern in der letzten Windung, einfache Suturen und einen nahezu geschlossenen Nabel.

Globigerina angulisurealis, das jüngste Glied der Entwicklungsreihe *officinalis* – *anguliofficialis* – *angulisurealis*, zeigt noch stärker verdickte Suturen, einen weiteren Nabel und eine höhere Mündung.

Globigerina spiralis BOLLI, 1957 ist *G. anguliofficialis* nicht unähnlich, weist aber stärker zurückgebogene Nähte auf der Spiralseite und allgemein einfach ausgebildete Suturen auf.

Verbreitung: Die Art ist im Oligozän der bayerischen Molasse nicht allzu häufig:

Untereger_{II}: Bohrung Ortenburg 1001
Untereger_I: Bohrung Ortenburg 1001
Gaibach

Unteres Rupel: Wehrprofil

HAGN (1981: 120) gibt die Art aus den unteroligozänen Schönecker Fischechiefern an.

Globigerina utilisindex JENKINS & ORR

Taf. 14, Fig. 8, 12 u. 16

1972 *Globigerina linaperta* Finlay n. subsp. – JENKINS & ORR: 1089, Taf. 10/6–8 (Unteroligozän – Ostpazifik).

*1973 *Globigerina utilisindex* Jenkins & Orr n. sp. – JENKINS & ORR: 133, Taf. 1/1–6, Taf. 2/1–9, Taf. 3/1–3 (*Pseudohastigerina-barbadoensis*-Zone, unteres Oligozän – Ostpazifik).

1983 *Globigerina utilisindex* Jenkins and Orr – PETTERS: 56, Taf. 7/19 u. 20 (Oligozän – Golf v. Guinea).

1983 *Globigerina* aff. *linaperta* Finlay – KRASHENINNIKOV & BASOV: 838, Taf. 3/7–10 (Obereozän/Unteroligozän – Südwestatlantik).

Beschreibung: Die niedrig trochospiralen, dreilappigen Gehäuse bestehen aus ca. zwei Windungen. Der ältere Umgang ist aus vier bis viereinhalb, der jüngere Umgang aus drei nicht ganz kugeligen, etwas aneinander gedrängten und mäßig rasch an Größe zunehmenden Kammern aufgebaut. Dabei sind die vorletzte und die drittletzte Kammer häufig fast

gleich groß; die jüngste Kammer ist hingegen deutlich voluminöser als die vorhergehenden. Der Anfangsteil überragt den letzten Umgang auf der Spiralseite leicht. Die Peripherie ist mäßig stark gelappt und breit gerundet. Die Nähte sind leicht eingeschnitten, einfach und verlaufen in etwa radial. Ein Nabel ist nicht entwickelt; die Ventralseite ist im Zentrum geschlossen. Die niedrige, ventral gelegene Mündung hat eine exzentrische Position, sie liegt der drittletzten Kammer gegenüber und reicht von der Windungsachse bis zur Peripherie. Sie trägt einen schmalen Randsaum. Die Schalenoberfläche ist mit pustelartigen Rauigkeiten bedeckt. Die Perforation ist deutlich und dicht.

Maße: L 0,15–0,27 mm, B 0,14–0,22 mm
D 0,11–0,18 mm

Differentialdiagnose:

Subbotina linaperta (FINLAY), 1939 unterscheidet sich durch die weniger abgerundete Peripherie, die stärker angepreßten Kammern und die andersartige Mündung von der oben beschriebenen Art.

Verbreitung: *G. utilisindex* ist im Latdorf, Rupel und Untereger_I der marinen bayerischen Molasse weit verbreitet. Weiteres Vorkommen: Latdorf der Schönecker Fischechiefer.

Globigerina tapuriensis BLOW & BANNER

Taf. 14, Fig. 13–15

*1962 *Globigerina tripartita tapuriensis* Blow & Banner subsp. nov. – BLOW & BANNER in EAMES et al.: 97, Taf. 10/H–K (tieferes Oligozän – Tanzania).

1969 *Globigerina tapuriensis* BLOW & BANNER – BERGGREN: Taf. 4/7–9 (Rupel – Norddeutschland).

1979 *Globigerina tapuriensis* BLOW & BANNER – BLOW: Taf. 16/7 u. 8, Taf. 245/9 u. Taf. 247/2 (P 19 – Tanzania).

1982 *Globigerina tripartita tapuriensis* BLOW & BANNER – SZTRAKOS: Taf. 39/1 (Obereozän/Oligozän – Ungarn).

Beschreibung: Die abgerundet-dreieckigen, niedrig trochospiralen Gehäuse bestehen aus ca. zwei Windungen. Der jüngere Umgang wird von drei nicht ganz kugeligen, etwas aneinander gedrängten, mäßig rasch an Größe zunehmenden Kammern gebildet. Der Anfangsteil überragt den letzten Umgang auf der Spiralseite kaum. Die Peripherie ist nur leicht gelappt und breit gerundet. Die Suturen sind leicht eingesenkt, einfach und verlaufen in etwa radial. Das Zentrum der Ventralseite bildet ein unscheinbarer, dreieckiger Nabel. Die Mündung hat eine mediane Position und liegt umbilikal gegenüber der vorletzten und der drittletzten Kammer. Es ist ein mäßig hoher Bogen, der einen Randsaum trägt. Die Schalenoberfläche ist mit pustelartigen Rauigkeiten bedeckt. Die Perforation ist deutlich und dicht.

Maße: L 0,20–0,24 mm, B 0,16–0,20 mm
D 0,15–0,16 mm

Differentialdiagnose:

Von *Globigerina utilisindex* unterscheidet sich die Art durch die median gelegene Mündung und die etwas weniger gelappte Peripherie.

Verbreitung: *G. tapuriensis* kommt im gesamten Oligozän der marinen bayerischen Molasse vor. Durchläufer.

Globigerina sellii (BORSETTI)

Taf. 15, Fig. 1, 2 u. 6

- *1959 *Globoquadrina sellii* n. sp. — BORSETTI: 209, Taf. 1/3 (Oligozän — Norditalien).
 1972 *Globigerina sellii* (BORSETTI) — JENKINS & ORR: 1090, Taf. 11/4–6 (*Pseudohastigerina-barbadoensis*-Zone — Ostpazifik).
 1975 *Globigerina sellii* (BORSETTI) — STAINFORTH, LAMB, LUTERBACHER, BEARD & JEFFORDS: 315, Abb. 141/1–6 (Oligozän — Norditalien; tieferes Oligozän — Tanzania).
 1981 *Globigerina sellii* (BORSETTI) — MARTINOTTI: Taf. 2/15–18 (Oligozän — Israel).

Beschreibung: Die niedrig trochospiralen Gehäuse bestehen aus ca. zweieinhalb Windungen. Der jüngste Umgang ist meist aus drei stark aneinandergedrängten Kammern aufgebaut, wobei die jüngste Kammer den vorhergehenden Kammern des letzten Umganges gegenüber steht. Die Endkammer bildet ein Drittel bis die Hälfte des gesamten Globigerinen-Gehäuses. Der Anfangsteil überragt den letzten Umgang auf der Spiralseite kaum. Die nur leicht gelappte Peripherie ist breit gerundet. Die Nähte sind schwach eingesenkt bis leicht gekerbt, sie sind einfach ausgebildet und verlaufen in etwa radial. Das Zentrum der Ventralseite zeigt kaum eine Nabelvertiefung, da die Kammern des letzten Umgangs dicht zusammengerückt sind. Die Mündung, ein niedriger bis mäßig hoher Bogen, der einen Randsaum trägt, hat eine mediane Position. Die Mündungsfläche ist plan und wird außen von einer stumpfen Kante begrenzt. Die Perforation ist grob; das Gehäuse kann mit derben, pustelartigen Rauigkeiten bedeckt sein.

Maße: L 0,18–0,24 mm, B 0,16–0,20 mm
 D 0,15–0,17 mm

Differentialdiagnose:

Bei der aus dem indopazifischen Raum bekannten *G. binnaensis* KOCH, 1935 begrenzt ein kräftiger Kiel die Mündungsflächen der letzten drei extrem rasch an Größe zunehmenden Kammern.

Globigerina tapuriensis BLOW & BANNER weist keine derartige ebene Mündungsfläche auf, wie sie für *Globigerina sellii* typisch ist.

Verbreitung: Die Art ist ziemlich selten in der bayerischen Oligozän–Molasse.

Unteregeri: Bernhaupten/Bergener Gebiet
 Oberes Rupel: Feilnbacher Gebiet
 Latdorf: Ammer-Profil
 (Deutenhausener Schichten)

Globigerina ampliapertura BOLLI

Taf. 15, Fig. 3, 4 u. 8

- *1957 *Globigerina ampliapertura* Bolli, new species — BOLLI: 108, Taf. 22/4–7 (*Globigerina-ampliapertura*-Zone — Trinidad).
 1962 *Globigerina ampliapertura ampliapertura* BOLLI — BLOW & BANNER: 83, Taf. 11/A–D, Taf. 17/C u. Abb. 12b (tieferes Oligozän — Tanzania; *Globigerina-ampliapertura*-Zone — Trinidad).
 1974 *Globigerina ampliapertura* BOLLI — SZTRÁKOS: Taf. 2/6 u. Taf. 10/8 (Obereozän — Ungarn).
 1975 *Globigerina ampliapertura* Bolli — STAINFORTH, LAMB, LUTERBACHER, BEARD & JEFFORDS: 248, Abb. 102/1–7 (*Globigerina-ampliapertura*-Zone — Trinidad; tieferes Oligozän — Lanzania).

Beschreibung: Die niedrig trochospiralen Gehäuse bestehen aus ca. zwei Windungen. Der jüngere Umgang ist aus vier subsphaerischen, etwas aneinander gedrängten Kammern aufgebaut. Die Kammern nehmen rasch an Größe zu, wobei die jüngste Kammer den drei vorhergehenden deutlich gegenübergestellt ist. Der Anfangsteil überragt den letzten Umgang nur wenig. Die Peripherie ist leicht gelappt und breit gerundet. Die Suturen sind leicht eingesenkt und einfach ausgebildet; ihr Verlauf ist ungefähr radial. Die Nabelvertiefung ist eng. Die Mündung ist ein hoher, weiter Bogen und trägt einen Randsaum. Die Gehäuseoberfläche weist feine pustelartige Rauigkeiten auf. Die Schale ist deutlich und dicht perforiert.

Maße: L 0,22–0,30 mm, B 0,18–0,27 mm
 D 0,14–0,16 mm

Differentialdiagnose:

Von *G. praebulloides* ist *G. ampliapertura* anhand der weiteren Mündung und der kompakteren Gehäuseform zu unterscheiden. Nach STAINFORTH et al. (1975: 250) hat sich *G. ampliapertura* aus *Globorotalia increbescens* (BANDY), 1949 entwickelt. Von jener unterscheidet sich *G. ampliapertura* im wesentlichen hinsichtlich der Position der Mündung und der Größenzunahme der Kammern.

Verbreitung: Die Art kommt mäßig häufig im Latdorf und im Rupel vor. Im Eger konnte sie nicht mehr nachgewiesen werden.

Oberes Rupel: Übersee
 Unteres Rupel: Traun-Profil
 Latdorf: Ammer-Profil
 Galongraben (Schönecker Fischeschiefer)

Globigerina euapertura JENKINS

- *1960 *Globigerina euapertura* Jenkins, new species — JENKINS: 351, Taf. 1/8 (?Oligozän — Australien).

Verbreitung: Die Art kommt im gesamten Oligozän der marinen bayerischen Molasse vor.

Globigerina labiacrassata JENKINS

Taf. 15, Fig. 5, 9 u. 11

- *1966 *Globigerina labiacrassata* Jenkins n. sp. — JENKINS: 1102, Taf. 8/64–71 (tieferes Oligozän — Neuseeland).
 1971 *Globigerina (Globigerina) labiacrassata* Jenkins — JENKINS: 151, Taf. 16/474–484 (tieferes Oligozän — Neuseeland).
 1979 *Globigerina labiacrassata* Jenkins — BLOW: 789.
 1983 *Globigerina labiacrassata* Jenkins — PUJOL: 651, Taf. 12/4, 14/8 u. 15/7 (unteres Miozän — Südwestatlantik).

Beschreibung: Die niedrig trochospiralen Gehäuse bestehen aus ca. zweieinhalb Windungen. Der jüngste Umgang ist aus vier nicht ganz sphärischen, leicht angepreßten und rasch an Größe zunehmenden Kammern aufgebaut. Der Anfangsteil überragt den letzten Umgang auf der Spiralseite deutlich. Die Peripherie ist meist stark gelappt und breit gerundet. Die Nähte sind deutlich eingesenkt, einfach und verlaufen in etwa radial. Der Nabel ist sehr eng, da die Kammern im Zentrum der Umbilikalseite dicht beieinander liegen. Die Mündung ist groß. Es ist ein hoher, stark gekrümmter Bogen, der mit einem breiten Randsaum eingefast ist; die Mündung ist dem Nabel zugewandt. Im Nabel sind häufig auch die älte-

ren Mündungen des letzten Umganges sichtbar. Die Perforation ist deutlich und dicht. Die Schalenoberfläche ist mit feinen, pustelartigen Rauigkeiten überzogen.

Maße : L 0,18–0,40 mm, B 0,18–0,28 mm
D 0,11–0,27 mm

Differentialdiagnose:

Bei *G. ampliapertura* sind die drei älteren Kammern des letzten Umgangs stark zusammengedrängt und stehen der Endkammer auf der Ventralseite deutlich gegenüber; *G. ampliapertura* ist weniger stark gelappt als *G. labiacrassata*; der Mündungsrandsaum von *G. ampliapertura* ist nicht sehr betont.

Auch bei *Globigerina woodi* JENKINS, 1960 sind die Kammern ziemlich stark miteinander verschmolzen.

Globigerina brazieri JENKINS, 1966 hat eine kleinere Mündung und ebenfalls stärker miteinander verschmolzene Kammern.

Verbreitung: Selten im Untereger der marinen bayerischen Molasse.

Untereger_I: Bohrungen Ortenburg 1002 und 1003
Bohrung Ampfing 1
Nonnenwald-Querschlag

Globigerina angustiumbilocata BOLLI

*1957 *Globigerina ciperoensis angustiumbilocata* Bolli, new species – BOLLI: 109, Taf. 22/12 u. 13 (oberes Oligozän – Trinidad).

Verbreitung: Weit verbreitet im gesamten Oligozän der bayerischen Molasse. Durchläufer.

Globigerina ouachitaensis HOWE & WALLACE

*1932 *Globigerina ouachitaensis* Howe and Wallace, n. sp. – HOWE & WALLACE: 74, Taf. 10/7 (Eozän – Louisiana).

Verbreitung: Häufig im gesamten Oligozän der marinen bayerischen Molasse. Durchläufer.

Globigerina ciperoensis BOLLI

*1954 *Globigerina ciperoensis* Bolli, nov. spec. – BOLLI: 1, Abb. 3–6 (Oligozän – Trinidad).

Verbreitung: Die Art kommt mäßig häufig im Latdorf, Rupel und Untereger_I der marinen bayerischen Molasse vor. Im Untereger_{II} ist indes eine charakteristische Zunahme der Häufigkeit festzustellen.

Globigerina ciperoensis BOLLI, aberrante Formen Taf. 15, Fig. 12 u. 15

Beschreibung: Es handelt sich um extrem variable, riesenwüchsige, anfangs niedrig trochospirale oder knäuelig (streptospiral) gewundene, im Endteil häufig ein planspirales Stadium erreichende Gehäuse. Der letzte Umgang ist aus vier bis sechs Kammern aufgebaut, die im älteren Teil noch eine nahezu kugelige Gestalt besitzen und im Lauf der Ontogenie einen zunehmend ovalen Umriss, manchmal am Ende sogar eine schlauchartige Form erhalten. Die Streckung der Kammern erfolgt in Richtung der Windungsachse. Die Kammergröße nimmt mäßig rasch bis rasch zu. Die jüngste Kammer

ist oftmals reduziert. Die Peripherie ist deutlich bis stark gelappt, der breite Rücken gerundet. Die Nähte sind stark vertieft und einfach ausgebildet. Die Nabeleinsenkung ist meist sehr weit; bei den stark knäueligen Individuen ist der Nabel verdeckt. Die sehr weite hohe, Mündung reicht vom Nabel häufig bis auf die Spiralseite. Sie trägt einen deutlichen Randsaum. Die älteren Mündungen sind im Nabel erkennbar, sofern dieser nicht verdeckt ist. Bei manchen Individuen tritt eine Zusatzmündung entlang der Spiralnaht auf. Die Gehäusewand ist dicht und grob perforiert und rau.

Maße : L 0,32–0,62 mm, B 0,27–0,51 mm
D 0,21–0,45 mm

Anmerkungen: Diese z. T. skurrilen Bildungen sind durch Übergangsformen mit *Globigerina ciperoensis* BOLLI verbunden. Zahlreiche Individuen könnten auch den Gattungen *Globigerinopsis* BOLLI, 1962 und *Globigerinopoides* CITA & MAZZOLA, 1970 zugeordnet werden. Die enorm große Variabilität insbesondere hinsichtlich der Art der Aufrollung und der Kammerform läßt daran zweifeln, daß es sich hier um ein eigenständiges Taxon handelt. Die Entstehung dieser wenig unterhalb der Oligozän/Miozän-Grenze z. T. häufig vorkommenden Formen scheint eher in irgend einer Weise ökologisch bedingt zu sein. Eine Parallele dazu stellt das aus dem unteren Miozän des Mainzer Beckens bekannte *Nonion demens* BIK, 1964 dar (= *Hastigerina demens* (BIK) bei WIESNER, 1974). Diese wesentlich kleinwüchsigeren Formen treten allerdings im hyposalinen Bereich auf.

Sämtliche Exemplare liegen in verkiester Erhaltung vor.

Verbreitung:

Untereger_{II}: Bohrungen Ortenburg 1001 u. 1002
Bohrung Ampfing 1
Nonnenwald-Mulde
Wildenwart
Untereger_I: Bohrung Ampfing 1

Gattung: *Globigerinoides* CUSHMAN, 1927

Globigerinoides quadrilobatus primordius BLOW & BANNER Taf. 15, Fig. 7, 10 u. 13

*1962 *Globigerinoides quadrilobatus primordius* Blow & Banner subsp. nov. – BLOW & BANNER in EAMES et al.: 115, Taf. 9/Dd–Ff, Abb. 14 (III–VIII) (*Globorotalia-kugleri*-Zone – Trinidad).

1969 *Globigerinoides quadrilobatus primordius* BLOW & BANNER – BLOW: 325, Taf. 20/1, 5 u. 6 (*Globorotalia-kugleri*-Zone – Trinidad).

1975 *Globigerinoides quadrilobatus primordius* BLOW & BANNER – CÍCHA, ČTYROKÁ & HORVÁTH: 246, Taf. 11/2 (Pausramer Schichtengruppe, Eger – ČSSR).

1979 *Globigerinoides primordius* BLOW y BANNER – MOLINA: 175, Taf. 13/4 (Untermiozän – Spanien).

Beschreibung: Die niedrig trochospiralen Gehäuse bestehen aus ca. zweieinhalb Windungen. Der jüngste Umgang ist aus dreieinhalb bis fast vier nicht ganz kugeligen, leicht angepreßten und rasch an Größe zunehmenden Kammern aufgebaut. Der Anfangsteil überragt den letzten Umgang auf der Spiralseite nur wenig. Die Peripherie ist deutlich gelappt und breit gerundet. Die Nähte sind deutlich vertieft, einfach und verlaufen in etwa radial. Der enge Nabel zeigt einen rechtek-

kigen bis fast quadratischen Umriss. Die Hauptmündung ist ein niedriger bis mäßig hoher Bogen, der einen deutlichen imperforierten Randsaum trägt; die Hauptmündung ist dem Nabel zugewandt. Die auf der Spiralseite gelegene niedrige Sekundärmündung ist deutlich kleiner als die Hauptmündung und ist wie letztere interiomarginal; auch die Sekundärmündung trägt einen deutlichen imperforierten Randsaum. Die Schalenoberfläche ist mit pustelartigen, feinen Rauheiten bedeckt. Die Perforation ist deutlich und dicht.

Maße: L 0,25–0,30 mm, B 0,20–0,26 mm
D 0,16–0,17 mm

Differentialdiagnose:

Von *Globigerina praebulloides* unterscheidet sich die Art im wesentlichen durch den Besitz der Sekundärmündung. Nach BLOW & BANNER (1962: 115) ist *Gs. quadrilobatus primordius* auch aus dieser Art hervorgegangen.

Verbreitung: Die Art kommt selten im Untereger₁ vor:
Untereger₁: Nonnenwald-Mulde
Bohrung Ampfing 1

Darüber hinaus wiesen CİHA, HAGN & MARTINI bereits (1971: 286) die Art im Rainer-Mühle-Horizont des Prien-Profils nach (vgl. a. HAGN, 1981: 81).

Gattung: *Subbotina* BROTZEN & POZARYSKA, 1961, emend.
LOEBLICH & TAPPAN, 1964, emend. BLOW, 1979

Subbotina angiporoides (HORNIBROOK)

Taf. 15, Fig. 16; Taf. 16, Fig. 13

- 1962 *Globigerina linaperta linaperta* Finlay – BLOW & BANNER in EAMES et al.: 85, Taf. 11/H (Obereozän – Tanzania).
*1965 *Globigerina angiporoides* Hornibrook n. sp. – HORNIBROOK: 835, Abb. 1 u. 2 (Obereozän/Unteroligozän – Neuseeland).
1979 *Subbotina angiporoides angiporoides* (Hornibrook) – BLOW: 1250, Taf. 12/3–5, Taf. 244/7 (Obereozän/Unteroligozän – Neuseeland; P 19 – Tanzania).
1983 *Globigerina angiporoides* HORNIBROOK – HOOYBERGHS: 35, Taf. 9/18–24 (Rupel-Formation, Boom Clay – Belgien).

Beschreibung: Die niedrig- bis mäßig-hochtrochospiralen Gehäuse bestehen aus ca. zwei bis zweieinhalb Windungen. Der letzte Umgang ist aus drei bis vier fast kugeligen, einander stark umhüllenden Kammern aufgebaut. Die jüngste Kammer kann reduziert sein. Der Anfangsteil überragt den letzten Umgang auf der Spiralseite wenig bis deutlich. Die Peripherie ist nur leicht gelappt und breit gerundet. Die Nähte sind einfach ausgebildet und schwach vertieft. Es ist keinerlei Nabelvertiefung vorhanden. Die interiomarginale Mündung ist sehr niedrig und in ihrer ganzen Länge von einer deutlichen Lippe gesäumt („porticus“ sensu BLOW, 1979: 441). Bei einigen Individuen ist diese Lippe ganz oder teilweise weggebrochen. Die Schalenoberfläche ist verhältnismäßig glatt, die Perforation grob.

Maße: L 0,14–0,31 mm, B 0,12–0,30 mm
D 0,12–0,23 mm

Verbreitung: Vorwiegend Latdorf und Rupel der marinen bayerischen Molasse; sehr selten im unteren Eger.

Subbotina cf. *pseudoeocaena* (SUBBOTINA)

Taf. 15, Fig. 14, 17 u. 18

- 1953 *Globigerina pseudoeocaena* var. *pseudoeocaena* sp. n., var. n. – SUBBOTINA: 66, Taf. 4/9 (tieferes Eozän – Kaukasus, UdSSR).

Beschreibung: Die niedrig trochospiralen Gehäuse bestehen aus ca. zweieinhalb Umgängen. Der jüngste Umgang ist aus knapp vier fast kugeligen, einander ziemlich stark umgreifenden und deutlich an Größe zunehmenden Kammern aufgebaut. Der Anfangsteil überragt den letzten Umgang auf der Spiralseite merklich. Die Peripherie ist deutlich gelappt und breit gerundet. Die Nähte sind eingesenkt und leicht gekerbt und verlaufen in etwa radial. Der tiefe, enge Nabel zeigt einen rechteckigen Umriss. Die Mündung ist ein niedriger, weiter, schwach bis kaum gekrümmter Bogen mit umbilikal-extraumbilikaler Lage. Er reicht stets (i. S. d. Windungsrichtung) nach vorne über den Nabelbereich hinaus. Die Mündung ist stets über ihre ganze Länge von einer breiten, abstehenden, imperforierten Lippe gesäumt. Im Nabel sind meist auch noch die älteren Mündungen des jüngsten Umganges zu erkennen. Die Gehäuse haben eine pustelige, rauhe Oberfläche und sind ziemlich grob perforiert.

Maße: L 0,19–0,25 mm, B 0,18–0,23 mm
D 0,16–0,20 mm

Differentialdiagnose:

Bei *Subbotina angiporoides lindiensis* BLOW, 1979 sind die ersten drei Kammern des letzten Umganges stärker miteinander verschmolzen und die Kammern nehmen rascher an Größe zu.

Subbotina triangularis triangularis (WHITE), 1928 sensu BOLLI, 1957 zeigt eine abgeflachte, fast leicht eingesunkene Spiralseite.

Subbotina pseudoeocaena schließlich kommt der oben beschriebenen Art sehr nahe, ist jedoch etwas stärker gelappt und hat einen kürzeren Mündungsbogen.

Globigerina falconensis BLOW, 1959 zeigt eine symmetrische Mündung mit umbilikaler Position.

Globigerina eocaena GUMBEL, 1868, emend. HAGN & LINDENBERG, 1969 zeichnet sich durch eine symmetrische, kleine umbilikale Mündung aus.

Vorkommen: *Subbotina* cf. *pseudoeocaena* konnte bisher nur in der Bohrung Ortenburg 1001 im allerobersten Oligozän (Untereger₁₁-Top) nachgewiesen werden.

Gattung: *Dentoglobigerina* BLOW, 1979

Dentoglobigerina cf. *galavisi* (BERMÚDEZ)

Taf. 16, Fig. 1, 2 u. 5

- 1961 *Globigerina galavisi* Bermúdez, sp. nov. – BERMÚDEZ: 1183, Taf. 4/3 (Obereozän – Mississippi).
1983 *Globigerina galavisi* BERMÚDEZ – HOOYBERGHS: 41, Taf. 12/12–14 (Rupel-Formation, Boom Clay – Belgien).

Beschreibung: Die niedrig trochospiralen Gehäuse bestehen aus zwei bis zweieinhalb Windungen. Der jüngste Umgang wird von dreieinhalb bis vier nicht ganz kugeligen, leicht aneinandergedrängten und mäßig rasch an Größe zunehmenden Kammern gebildet. Der Anfangsteil überragt den letzten Umgang kaum. Die Peripherie ist mäßig stark gelappt

und breit gerundet. Die einfachen, eingesenkten Suturen verlaufen ungefähr radial und gerade; der Nabel ist eng bis sehr eng. Ihm ist die ziemlich niedrige Mündung zugewandt, deren Lippe zu einem kleinen vorstehenden medianen Lappen ausgezogen ist. Die leicht pustelige Gehäusewand ist deutlich bis ziemlich grob perforiert.

Maße: L 0,17–0,28 mm, B 0,14–0,27 mm
D 0,11–0,14 mm

Differentialdiagnose:

Von *G. galavisi* BERMÚDEZ, 1961 unterscheiden sich die oben beschriebenen Globigerinen durch die weniger angepreßten und in Richtung der Windungsachse kaum elongierten Kammern. Darüber hinaus liegt die Durchschnittsgröße deutlich unter der der von BERMÚDEZ aufgestellten Art.

Mit den von HOOYBERGHS abgebildeten und aus dem belgischen Rupel stammenden Individuen stimmt das Material aus der bayerischen Oligozän-Molasse indes sehr gut überein.

Anmerkung: *G. galavisi* ist der Generotyp zur Gattung *Dentoglobigerina* BLOW, 1979. BLOW stellt diese Gattung zu der von selbigem Autor eingeführten Familie der Globolobidrinidae (vgl. BLOW, 1979: 1294 ff.).

Verbreitung: *G. cf. galavisi* kommt mäßig häufig im Latdorf und im Rupel der marinen bayerischen Molasse vor und kann bis hinauf in den Grenzbereich Rupel/Eger nachgewiesen werden.

?*Dentoglobigerina winkleri* (BERMÚDEZ)

Taf. 16, Fig. 8, 11 u. 12

1961 *Globigerina winkleri* Bermúdez, sp. nov. – BERMÚDEZ: 1208, Taf. 6/4 (mittleres Oligozän – Trinidad).

1962 *Globigerina* aff. *yeguaensis* Weinzierl & Applin – BLOW & BANNER in EAMES et al.: 101, Taf. 11/P u. Q (tieferes Oligozän – Tanzania).

1979 *Dentoglobigerina winkleri* (Bermúdez) – BLOW: 1312.

Beschreibung: Die hoch trochospiralen Gehäuse bestehen aus drei bis dreieinhalb Windungen. Die jüngeren Umgänge sind aus vier kugeligen, einander sehr wenig umgreifenden und sehr langsam an Größe zunehmenden Kammern aufgebaut; im Anfangsteil bilden fünf Kammern einen Umgang. Die jüngste Kammer ist einer Bulla ähnlich umgebildet, sie hat eine dreieckige oder eiförmige Gestalt und verdeckt ganz oder teilweise den Umbilikus – nach BLOW (1969: 323) handelt es sich hierbei um „a small abortive chamber“ und offenbar nicht um eine Bulla im strengen Sinn. Jeweils ältere Umgänge überragen jeweils jüngere auf der Spiralseite sehr deutlich. Die Nähte sind insbesondere zwischen den jüngeren Kammern sehr stark eingesenkt; sie sind einfach und verlaufen radial. Im Zentrum der Ventralseite treten die Kammern sehr dicht zusammen, die Nabelvertiefung ist daher sehr eng. Die Gehäusewand ist feinporig und glatt.

Maße: L 0,19–0,24 mm, B 0,19–0,23 mm
D 0,18–0,20 mm

Anmerkung: Die Zuordnung zum Genus *Dentoglobigerina* ist nicht gesichert, da die Mündungen der jüngsten Kammern von der „Bulla“ verdeckt sind. Der Versuch diese „Bulla“ wegzubrechen, wäre nicht sinnvoll, da alle Exemplare in verkiester Erhaltung vorliegen.

Differentialdiagnose:

Globigerina gortanii (BORSETTI), 1959 zeichnet sich durch in Richtung der Windungsachse deutlich verlängerte Kammern aus.

Globigerina fariasi BERMÚDEZ, 1961 hat eine höhere Kammerzählung pro Umgang und keine Bulla-artig ausgebildete Endkammer.

Verbreitung:

Untereger: Bohrung Ampfing 1

Oberes Rupel: Schmeroldgraben/Mangfall-Profil

Gattung: *Globigerinita* BRÖNNIMANN, 1951

Globigerinita unicava (BOLLI, LOEBLICH & TAPPAN)

Taf. 16, Fig. 7, 9 u. 10

*1957 *Catapsydrax unicavus* Bolli, Loeblich and Tappan, new species – BOLLI, LOEBLICH & TAPPAN: 37, Taf. 7/9 (Cipero-Formation – Trinidad).

1962 *Globigerinita unicava unicava* (Bolli, Loeblich & Tappan) – BLOW & BANNER in EAMES et al.: 113, Taf. 14/M u. N (Cipero-Formation, Aquitan – Trinidad).

1962 *Globigerinita unicava primitiva* Blow & Banner subsp. nov. – BLOW & BANNER: 114, Taf. 14/J–L (Obereozän – Tanzania).

1969 *Globigerinita unicava unicava* (BOLLI, LOEBLICH and TAPPAN) – BLOW: 330, Taf. 24/8 u. 9 (N 4 – Trinidad).

1979 *Catapsydrax unicavus* BOLLI, LOEBLICH & TAPPAN – MOLINA: 280, Taf. 26/2A–C (unteres Latdorf – Spanien).

Beschreibung: Die niedrig trochospiralen Gehäuse bestehen aus zweieinhalb bis drei Windungen. Der jüngste Umgang ist aus dreieinhalb bis vier nicht ganz kugeligen, leicht angepreßten und ziemlich rasch an Größe zunehmenden Kammern aufgebaut. Der Anfangsteil überragt den letzten Umgang auf der Spiralseite kaum oder nur wenig. Die Peripherie ist leicht gelappt und breit gerundet. Die Nähte sind deutlich eingesenkt und einfach. Zumindest zwischen den jüngeren Kammern verlaufen die Suturen in etwa radial. Das Zentrum der Umbilikalseite ist stets durch die Bulla verdeckt. Die Bulla ist verhältnismäßig klein; ihre Größe entspricht der drittletzten oder vorletzten Kammer des jüngsten Umgangs. Die mäßig stark geblähte Bulla besitzt nur eine einzige bogenartige Öffnung, deren Basis die ventrale Wand der vorletzten Kammer bildet. Der niedrige Bogen trägt einen Randsaum. Von der Bulla abgesehen ist die Schale mit pustelartigen Rauigkeiten bedeckt und ziemlich grobporig. Die Bulla selbst ist etwas feinporiger und glatter als das restliche Gehäuse.

Maße: L 0,18–0,21 mm, B 0,15–0,16 mm
D 0,12–0,15 mm

Differentialdiagnose:

Globigerinita martini BLOW & BANNER, 1962 besitzt eine Bulla mit sehr glatter Oberfläche und feiner, weitständiger Perforation (vgl. hierzu BLOW, 1969: Taf. 24/5–7).

Globigerinita pera (TODD), 1957 ist stärker gelappt, hat tief eingeschnittene Suturen und eine voluminöse Bulla.

Anmerkung: BLOW & BANNER (1962) haben von *Globigerinita unicava* die Unterart *Gta. unicava primitiva* abgetrennt. Die aus der bayerischen Oligozän-Molasse vorliegenden Exemplare von *Gta. unicava* lassen sich indes weder der Nominatunterart noch der Unterart *primitiva* eindeutig zu-

ordnen; sie nehmen hinsichtlich der Gehäusemerkmale eine Mittelstellung ein.

Verbreitung: Die Art ist niemals häufig, kommt aber in vielen Schichtgliedern der marinen bayerischen Oligozän-Molasse vom Latdorf bis ins höchste Untereger vor.

Familie: Globorotaliidae CUSHMAN, 1927

Gattung: *Globorotalia* CUSHMAN, 1927

Globorotalia opima nana BOLLI

Taf. 16, Fig. 3, 4 u. 6

*1957 *Globorotalia opima nana*, new species, new subspecies — BOLLI: 118, Taf. 28/3 (*Globorotalia-opima-opima*-Zone — Trinidad).

1975 *Globorotalia opima nana* BOLLI — ČIČHA, ČTYROKÁ & HORVÁTH: 243, Taf. 10/3 (Pausramer Schichtengruppe, Eger — CSSR).

1983 *Globorotalia (Turborotalia) opima nana* BOLLI — HOOGBERGHS: 30, Taf. 7/5–12 (Rupel-Formation, Boom Clay — Belgien)

1983 „*Globorotalia*“ *nana* BOLLI — KENNETT & SRINIVASAN: 106, Taf. 24/3–5 (oberstes Oligozän — DSDP, Seite 206 c, 5–2).

Beschreibung: Die niedrig trochospiralen bis fast planspiralen, im Umriß abgerundet-viereckigen Gehäuse bestehen aus zwei bis zweieinhalb Windungen. Der jüngste Umgang ist aus vier bis fünf nicht ganz kugeligen, leicht angepreßten, langsam an Größe zunehmenden Kammern aufgebaut. Die jüngste Kammer kann reduziert sein. Die Spiralseite ist leicht eingesunken, plan oder schwach konvex. Die Peripherie ist leicht gelappt und breit gerundet. Die Nähte sind deutlich eingesenkt, einfach und verlaufen radial. Bei vierkammerigen Individuen bilden die Suturen auf der Ventralseite ein typisches Kreuz. Die Nabelvertiefung ist bei fünfkammerigen Exemplaren sehr eng, bei vierkammerigen Exemplaren ist aus geometrischen Gründen häufig nahezu keine Nabelvertiefung vorhanden. Die niedrige Mündung reicht vom Zentrum der Ventralseite bis zur Peripherie und trägt einen sehr schmalen Randsaum. Die Gehäuseoberfläche ist glatt bis pustelig-rauh, die Perforation fein und dicht.

Maße: L 0,22–0,30 mm, B 0,20–0,29 mm

D 0,13–0,20 mm

Verbreitung: Die Art kommt in fast allen Schichten der marinen bayerischen Oligozän–Molasse vor. Am häufigsten ist *Globorotalia opima nana* im tiefsten Eger der östlichen bayerischen Molasse; dieser Zeitbereich entspricht der *Globorotalia-opima-opima*-Zone BOLLIS mit *Globorotalia opima opima* als „zonal marker“ (vgl. BOLLI, 1957: 100 und BALDI & SENES, 1975: 42). Die beiden Unterarten unterscheidet man anhand der Größe.

Globorotalia semivera (HORNIBROOK)

Taf. 17, Fig. 6, 7 u. 11

*1961 *Globigerina semivera* Hornibrook, n. sp. — HORNIBROOK: 149, Taf. 23/455–457 (unteres Miozän — Neuseeland).

1975 *Globorotalia (Turborotalia) semivera* (HORNIBROOK) — ČIČHA, ČTYROKÁ & HORVÁTH: 243, Taf. 6/3 (Pausramer Schichtengruppe, Eger — CSSR).

1979 *Globorotalia (Turborotalia) semivera* (HORNIBROOK) — MOLINA: 241, Taf. 28/2 u. 3 (Aquitain — Spanien).

1983 *Globorotalia nana semivera* (Hornibrook) — BERGGREN, AUBRY & HAMILTON: Abb. 19/342–344 (unteres Miozän — Neuseeland).

1983 *Globorotalia (Jenkinsella) semivera* (HORNIBROOK) — KENNETT & SRINIVASAN: 172, Taf. 42/3–5 (unteres Miozän — DSDP, Site 206–34–2).

Beschreibung: Die niedrig trochospiralen Gehäuse bestehen aus ca. zweieinhalb Windungen. Der jüngste Umgang ist aus vier bis viereinhalb nicht ganz kugeligen, leicht angepreßten und mäßig rasch an Größe zunehmenden Kammern aufgebaut. Die Endkammer kann leicht reduziert sein. Die Spiralseite ist leicht eingesunken, plan oder mäßig konvex. Die Peripherie ist leicht gelappt und breit gerundet. Die Nähte sind eingesenkt, einfach und verlaufen in etwa radial. Die Nabelvertiefung ist eng, doch stets vorhanden. Die Mündung ist ein mittelhoher, weiter Bogen, der vom Nabel bis zur Peripherie reicht und einen sehr schmalen Randsaum trägt. Die Perforation ist deutlich und dicht, die Gehäuseoberfläche weist sehr feine, pustelartige Rauigkeiten auf.

Maße: L 0,18–0,33 mm, B 0,14–0,27 mm

D 0,12–0,23 mm

Differentialdiagnose:

Globorotalia opima nana unterscheidet sich durch die niedrigere Mündung und die im Durchschnitt langsamere Größenzunahme der Kammern im letzten Umgang von *Globorotalia semivera*.

Verbreitung: *Globorotalia semivera* hat sich hinsichtlich der Grenzziehung Rupel/Eger als gutes Leitfossil bewährt. Die Art ist im Untereger der marinen bayerischen Molasse weit verbreitet und setzt an der Unterkante des Egers ein.

Untereger_{II}: Bohrung Ortenburg 1001
Wildenwart
Thalberggraben

Untereger_I: Bohrung Ortenburg 1002
Gaißach
Schmeroldgraben
Traun-Profil

Globorotalia clemenciae (BERMÚDEZ)

Taf. 17, Fig. 3, 4 u. 8

1959 *Globorotalia minutissima* Bolli — BLOW (non BOLLI, 1957): 218, Taf. 19/123 (Miozän — Venezuela).

*1961 *Turborotalia clemenciae* Bermúdez, sp. nov. — BERMÚDEZ: 1321, Taf. 17/10 (unteres Miozän — Mexiko).

1966 *Globorotalia munda* Jenkins n. sp. — JENKINS: 1121, Abb. 14/126–133 u. Abb. 15/152–166 (Oligozän — Neuseeland).

1969 *Globorotalia munda* (Jenkins) — BERGGREN: 147, Taf. 6/1–11 (unteres Rupel — Belgien; Chatt — Norddeutschland).

1969 *Globorotalia (Turborotalia) clemenciae* BERMÚDEZ — BLOW: 347, Taf. 35/8 (Miozän — Mexiko).

1983 *Globorotalia (Tenuitella) munda* JENKINS — KENNETT & SRINIVASAN: 162, Taf. 39/5–7 (unteres Miozän — DSDP, Site 206–44).

Beschreibung: Die niedrig trochospiralen Gehäuse bestehen aus zwei bis zweieinhalb Umgängen. Der jüngste Umgang ist aus vier bis fünf fast kugeligen, einander wenig bis deutlich umgreifenden und deutlich an Größe zunehmenden Kammern aufgebaut. Der Anfangsteil überragt den letzten Umgang auf der Spiralseite kaum bis sehr deutlich. Die Peri-

perie ist deutlich bis stark gelappt und breit gerundet. Die Nähte sind eingesenkt und einfach und verlaufen in etwa radial. Eine Nabelvertiefung ist entweder nicht vorhanden oder der Nabel ist sehr eng, da die Kammern auf der Ventralseite dicht zusammentreten. Die Mündung ist ein ziemlich niedriger, interiomarginaler Bogen, der vom Zentrum der Ventralseite bis nahe an die Peripherie reicht. Er trägt einen schmalen Randsaum. Die Gehäuseoberfläche ist verhältnismäßig glatt, die Perforation deutlich und dicht.

Maße: L 0,14–0,26 mm, B 0,13–0,20 mm
D 0,10–0,15 mm

Diskussion: Bereits 1969 äußerte BLOW die Ansicht, daß *Globorotalia munda* JENKINS vermutlich ein jüngerer Synonym von *Globorotalia clemenciae* sei (BLOW, 1969: Tafelerklärung 35/8). Überdies zeigt auch *Globorotalia brevispira* (SUBBOTINA), 1960 große Ähnlichkeit mit der oben beschriebenen Art. Doch stimmen die von SUBBOTINA abgebildeten Exemplare (Holotyp und zwei weitere Originale) jeweils nicht in allen Punkten mit *Globorotalia clemenciae* überein: Die auf Tafel 11/4 (Holotyp) und 11/6 abgebildeten Exemplare sind nur sehr leicht gelappt. Das Exemplar 11/5 ist extrem niedrig trochospiral und zeigt einen verhältnismäßig weiten Nabel. Die Frage, ob *Gt. brevispira* und *Gt. clemenciae* identisch sind, müßte anhand von Original- und Topotypmaterial geklärt werden.

Verbreitung: Weit verbreitet im gesamten Oligozän der marinen bayerischen Molasse.

Globorotalia obesa BOLLI

*1957 *Globorotalia obesa* Bolli, new species — BOLLI: 119, Taf. 29/2–3 (Mittelmiozän — Trinidad).

Verbreitung: Die Art ist im gesamten Rupel und Eger der marinen bayerischen Molasse weit verbreitet, tritt jedoch nie als häufige Form in Erscheinung.

Globorotalia cf. obesa BOLLI

Taf. 17/13–15

1957 *Globorotalia obesa* Bolli, new species — BOLLI: 119, Taf. 29/2–3 (Mittelmiozän — Trinidad).

Beschreibung: Die sehr niedrig trochospiralen Gehäuse bestehen aus ca. zwei Windungen. Der jüngste Umgang ist aus knapp vier nicht ganz sphärischen, aneinander gedrängten und rasch an Größe zunehmenden Kammern aufgebaut. Der Anfangsteil überragt den letzten Umgang auf der Spiralseite nicht. Die Peripherie ist nur leicht gelappt und breit gerundet. Die Nähte sind schwach vertieft und z. T. leicht gekerbt; sie verlaufen in etwa radial. Eine Nabelvertiefung ist nahezu nicht vorhanden. Der Mündungsbogen ist sehr klein, hoch und eng, trägt einen schmalen Randsaum und ist (i. S. d. Windungsrichtung) nach vorne gerichtet. Die Schalenoberfläche ist mit ziemlich groben Pusteln besetzt; die Perforation der Gehäusewand ist deutlich und dicht.

Maße: L 0,15–0,19 mm, B 0,12–0,17 mm
D 0,10–0,13 mm

Beziehungen: *Globorotalia cf. obesa* unterscheidet sich von *Globorotalia obesa* sensu stricto i. w. durch die stärker miteinander verschmolzenen Kammern, die nur leicht ge-

lappte Peripherie, die schmale, hohe Mündung und die noch rauhere Oberfläche.

Verbreitung: Die Art konnte nur im obersten Untereger_I der Nonnenwald-Mulde und der Thalberg-Schichten (das sind Äquivalente des Rainer-Mühle-Horizontes) beobachtet werden.

Globorotalia siakensis (LEROY)

Taf. 17, Fig. 1, 2 u. 5

*1939 *Globigerina siakensis* n. sp. — LEROY: 262, Taf. 4/20–22 („Miozän“ — Sumatra) (fide SAITO, HILLMANN & JANAL).

1957 *Globorotalia mayeri* Cushman & Ellisor — BOLLI: Taf. 28/4 (Untermiozän — Trinidad).

1969 *Globorotalia (Turborotalia) siakensis* LEROY — BLOW: 356, Taf. 10/7–9, Taf. 34/4–5 (N 8 — Sumatra; N 14 — Trinidad).

1983 *Globorotalia (Jenkinsella) siakensis* LEROY — KENNET & SRINIVASAN: 172, Taf. 42/1 u. 6–8 (Mittelmiozän — DSDP, Site 289–49–6).

Beschreibung: Die niedrig trochospiralen Gehäuse bestehen aus ca. zweieinhalb Windungen. Der jüngste Umgang ist aus fünfeinhalb nicht ganz sphärischen, leicht angedrückten und langsam an Größe zunehmenden Kammern aufgebaut. Der Anfangsteil überragt den letzten Umgang auf der Spiralseite wenig bis sehr deutlich. Die Peripherie ist gelappt und breit gerundet. Die Nähte sind eingesenkt, einfach und verlaufen häufig beiderseits in etwa radial und gerade; manchmal sind sie auf der Spiralseite schwach zurückgebogen. Der Nabel ist tief und eng. Die Mündung, ein mäßig hoher Bogen, der einen Randsaum trägt, reicht vom Nabel bis zur Peripherie. Die Perforation der Schale ist deutlich bis grob, die Oberfläche feinpuntelig bis höckrig.

Maße: L 0,18–0,23 mm, B 0,17–0,22 mm
D 0,12–0,18 mm

Differentialdiagnose:

Globorotalia mayeri CUSHMAN & ELLISOR, 1939 unterscheidet sich durch die deutlich nach rückwärts weisenden Nähte der Spiralseite von *Globorotalia siakensis*.

Globorotalia opima nana hat maximal fünf Kammern im letzten Umgang.

Verbreitung: Die Art kommt selten im Untereger der marinen bayerischen Molasse vor.

Untereger_{II}: Wildenwart/Prien-Profil

Untereger_I: Bohrung Ortenburg 1001

Koglgraben/Feilnbacher Gebiet

Globorotalia liverovskae (BYKOVA)

Taf. 18, Fig. 5, 8 u. 9

1953 *Globigerina postcretacea* Mjatluk — SUBBOTINA: 70, Taf. 2/16–20 (unteres Oligozän — Kaukasus).

*1960 *Globigerinella liverovskae* n. sp. — BYKOVA: 322, Taf. 7/1–3 (unteres Oligozän — Kasachstan) (fide SAITO, HILLMANN & JANAL).

1960 *Globigerina khadumica* n. sp. — BYKOVA: 322, Taf. 7/4–7 (unteres Oligozän — Kasachstan) (fide SAITO, HILLMANN & JANAL).

1966 *Globorotalia gemma* Jenkins n. sp. — JENKINS: 1115, Abb. 11/97–103 (unteres Oligozän — Neuseeland).

1968 *Globigerina liverovskae* (BYKOVA) — SAMUEL & SALAJ: 122, Taf. 7/6, Abb. 24/A u. B (unteres Oligozän — Zentralkarpaten, CSSR).

1983 *Globorotalia gemma* Jenkins — KRASHENINNIKOV & BASOV: 841, Taf. 10/6–9 (oberstes Eozän/unteres Oligozän — Südwestatlantik).

Beschreibung: Die nahezu perfekt planspiralen bis sehr niedrig trochospiralen, flachen Gehäuse bestehen — sofern erkennbar — aus zwei bis zweieinhalb Windungen. Entweder sind beide Seiten schwach evolut und genabelt oder es läßt sich eine deutlich evolute und eine involute, genabelte Seite unterscheiden. Der jüngste Umgang ist aus fünf bis sechseinhalb fast kugeligen, einander nur wenig umgreifenden und ziemlich langsam an Größe zunehmenden Kammern aufgebaut. Die Peripherie ist deutlich bis stark gelappt und wohl gerundet. Die Nähte sind deutlich bis stark eingesenkt, einfach und verlaufen in etwa radial. Die Nabeleinsenkungen (oder die Nabeleinsenkung im niedrig-trochospiralen Fall) sind flache, meist nicht sehr enge Vertiefungen. Die interiomarginale, niedrige Mündung liegt im Bereich der Peripherie und reicht seitlich meist nicht ganz bis zu den Nabeleinsenkungen bzw. bis zu der Nabeleinsenkung. Bei den flach-trochospiralen Gehäusen ist die Mündung merklich auf die Ventralseite gerückt. Der Mündungsbogen trägt einen schmalen Randsaum. Die Gehäuseoberfläche ist nahezu glatt, die Schale dicht und fein perforiert.

Maße: L 0,12–0,20 mm, B 0,10–0,16 mm
D 0,06–0,11 mm

Differentialdiagnose:

Globorotalia siakensis (LEROY) ist höher trochospiral und weniger flachgedrückt; darüberhinaus ist die Gehäusewand gröber struiert.

Verbreitung: Innerhalb der bayerischen Molasse ist die Art auf das untere Rupel beschränkt.

Unteres Rupel: SW Rettenbeck bei Hausham (häufig)
Mangfall-Profil (nicht selten)

HAGN (1981: 120) wies die Art auch in den unteroligozänen Schönecker Fischeiern nach.

Gattung: ?*Clavatorella* BLOW, 1965

?*Clavatorella* sp.

Taf. 17, Fig. 9, 10 u. 12

Beschreibung: Die niedrig trochospiralen Gehäuse bestehen aus zwei bis zweieinhalb Windungen. Der jüngste Umgang ist aus vier bis fünf Kammern aufgebaut; die am Anfang des letzten Umganges noch kugeligen Kammern werden in dessen jüngstem Teil von einer oder mehreren radial verlängerten Kammern mit ovalem bis länglich-ovalem Umriß abgelöst. Zumindest die jüngste Kammer ist deutlich elongiert. Der Anfangsteil überragt den letzten Umgang auf der Spiralseite kaum bis sehr deutlich. Die Peripherie ist stark gelappt und wohl gerundet. Die Nähte sind stark eingesenkt und stehen in etwa radial. Eine Nabelvertiefung ist nicht entwickelt, das Zentrum der Ventralseite ist geschlossen und zeigt nur eine flache Depression. Die Mündung, ein mittelhoher bis hoher Bogen reicht vom Zentrum der Ventralseite bis zur Peripherie. Die Gehäuseoberfläche ist feinpustelig-stachelig, die Gehäusewand fein und dicht perforiert.

Maße: L 0,23–0,24 mm, B 0,16–0,18 mm
D 0,16–0,17 mm

Verbreitung: Die Art kommt im Rupel und im Untereger_{II} der marinen bayerischen Molasse vor.

Untereger_{II}: Bohrung Ortenburg 1002

Oberes Rupel: Traun-Profil

Unteres Rupel: Mangfall-Profil
Osterbach/Feilnbacher Gebiet

Anmerkung: Das Genus *Clavatorella* BLOW, 1965 ist bisher nur aus der N 8 und jüngeren Neogen-Plankton-Zonen bekannt (vgl. z. B. KENNETT & SRINIVASAN, 1983: Abb. 24).

Was die Gehäusmorphologie anbetrifft, steht ?*Clavatorella* sp. *Globorotalia obesa* BOLLI sehr nahe, aus der sie sich vermutlich auch entwickelt hat.

Familie: Hantkeninidae CUSHMAN, 1927

Gattung: *Pseudobastigerina* BANNER & BLOW, 1959

Pseudobastigerina micra (COLE)

Taf. 18, Fig. 4 u. 7

*1927 *Nonion micrus* n. sp. — COLE: 22, Taf. 5/12 (Eozän — Mexiko).

1967 *Pseudobastigerina micra* (Cole) — BERGGREN, OLSSON & REYMENT: Abb. 9 (Eozän — Mexiko).

1968 *Globanomalina micra* (COLE) — SAMUEL & SALAJ: 180, Taf. 20/5, Abb. 49/A u. B (Unteroligozän — Zentralkarpaten, CSSR).

1979 *Pseudobastigerina micra* (Cole) — BLOW: 1185, Taf. 166/11, Taf. 198/8 u. 9, Taf. 253/1–9 (P 11, P 13 — Tanzania; P 9 — Jamaica; P 12 — Mexiko; P 16 — Tanzania).

Beschreibung: Die planspiralen, bilateralsymmetrischen, flachen Gehäuse sind — nicht immer erkennbar — beiderseits leicht evolut. Der Gehäuseumriß ist rundlich bis oval. Der jüngste Umgang ist aus sechs bis sechseinhalb schwach geblähten, seitlich etwas komprimierten und mäßig rasch bis rasch an Größe zunehmenden Kammern aufgebaut. Die Peripherie ist stark-abgerundet-winklig bis wohl gerundet und schwach gelappt. Die Nähte sind flach eingesenkt, einfach und schwach bis deutlich nach hinten gekrümmt. Die Nabeleinsenkungen sind flach und ziemlich weit. Die interiomarginale, niedrige bis mittelhohe Mündung ist an der Peripherie gelegen. Der symmetrische Bogen besitzt einen schmalen Randsaum und reicht seitlich fast bis zum Nabel. Die Perforation der glatten Schale ist deutlich und dicht.

Maße: L 0,13–0,24 mm, B 0,11–0,20 mm
D 0,07–0,13 mm

Anmerkungen: Nach BLOW (1979: 1182) soll sich *Pseudobastigerina danvillensis* durch die andersartige Kammerform und die stärkere Nahtkrümmung von *P. micra* unterscheiden. Danach hat die jüngste Kammer in der Mündungsansicht („axial-apertural aspect“) bei *P. danvillensis* einen ovalen bis spitzbogigen Umriß, bei *P. micra* dagegen einen rundlichen. Die Intensität der Suturkrümmung variiert bei dem vorliegenden Oligozän-Material allerdings deutlich. Darüberhinaus ist in diesem Zusammenhang darauf hinzuweisen, daß auch die vorderste Suture des Holotyps von *Pseudobastigerina micra* stark gekrümmt ist.

Verbreitung: Es handelt sich um eine im unteren Rupel nicht allzu seltene Art; sie kommt im tieferen Teil des oberen Rupels nur noch sporadisch vor.

Oberes Rupel: Bergener Gebiet (selten)

Nörtl. Fortsetzung des Wehrprofils (selten)

Unteres Rupel: Wehrprofil

Bergener Gebiet

Pseudohastigerina nagewichiensis barbadoensis BLOW

Taf. 18, Fig. 1 u. 6

*1969 *Pseudohastigerina barbadoensis* n. sp. — BLOW: 409, Taf. 53/7–9 u. 54/1–3 (P 19 – Trinidad).

1979 *Pseudohastigerina barbadoensis* BLOW — MOLINA: 293, Taf. 1/1 (unteres Latdorf – Spanien).

1979 *Pseudohastigerina nagewichiensis barbadoensis* BLOW — BLOW: 1190, Taf. 53/7–9, 54/1–3 u. 246/2, 6 u. 7 (P 19 – Trinidad; P 18 – DSDP Leg 3, Station 14; P 18, Vicksburgian – Mississippi).

Beschreibung: Es sind sehr kleine planspirale, bilateral-symmetrische, flache, genabelte Gehäuse mit rundlichem Umriß. Der jüngste Umgang ist aus sieben etwas geblähten, im jüngsten Teil seitlich leicht komprimierten und langsam an Größe zunehmenden Kammern aufgebaut. Die Peripherie ist wohl gerundet und leicht gelappt. Die Nähte sind leicht eingesenkt und einfach und haben einen radialen, geraden bis leicht nach hinten gebogenen Verlauf. Die Nabeleinsenkungen sind flach und weit. Die peripher gelegene interiomarginale Mündung ist niedrig. Die Gehäusewand ist deutlich und dicht perforiert.

Maße: L 0,14–0,15 mm, B 0,11–0,12 mm

D 0,06 mm

Differentialdiagnose:

Pseudohastigerina micra (COLE) zeichnet sich durch eine geringere Kammerzahl im letzten Umgang, durch die meist stärker winkelige Peripherie und die raschere Größenzunahme der Kammern aus.

Pseudohastigerina nagewichiensis nagewichiensis (MYAT-LYUK), 1950 weist ebenfalls eine geringere Kammerzahl im letzten Umgang und stärker kugelige Kammern auf.

Erhaltung: Es liegen nur sehr wenige schlecht erhaltene Exemplare vor.

Vorkommen:

Unteres Rupel: Wehrprofil/Traun-Profil

Anmerkung: Nach BLOW (1969: 410) markiert das Aussterben von *Pseudohastigerina nagewichiensis barbadoensis* die Obergrenze der P 19, die dem unteren Rupel weitgehend entspricht.

Pseudohastigerina cf. *wilcoxensis* (CUSHMAN & PONTON)

Taf. 18, Fig. 2–3

1932 *Nonion wilcoxensis* Cushman and Ponton, n. sp. — CUSHMAN & PONTON: 64, Taf. 8/11 (Eozän – Alabama).

1958 *Globigerinella micra* (COLE) — BATJES: 162, Taf. 11/6 (mittleres Oligozän – Norddeutschland).

Beschreibung: Es handelt sich um planspirale bis leicht asymmetrische, sehr niedrig trochospirale Gehäuse. Der Gehäuseumriß ist oval. Der jüngste Umgang ist aus fünf bis fünf-einhalb fast kugeligen, rasch an Größe zunehmenden Kam-

mern aufgebaut. Die Peripherie ist breit gerundet und mäßig bis stark gelappt, die Nähte sind dementsprechend stark eingesenkt; sie sind einfach ausgebildet und verlaufen radial und gerade oder nur schwach gebogen. Die Nabeleinsenkungen sind flach und weit. Die interiomarginale Mündung, ein niedriger bis mittelhoher, peripher gelegener Bogen, trägt einen schmalen Randsaum, reicht seitlich fast bis zum Nabel und hat bei den trochoiden Individuen eine leicht asymmetrische Position. Die Perforation der Schale ist ziemlich grob und dicht; einige Exemplare weisen eine pustelige rauhe Oberfläche auf.

Maße: L 0,17–0,20 mm, B 0,13–0,15 mm

D 0,10–0,11 mm

Differentialdiagnose:

Pseudohastigerina wilcoxensis (CUSHMAN & PONTON) ähnelt der oben beschriebenen Art sehr, ist aber im Durchschnitt schwächer gelappt.

Bei *Pseudohastigerina sharkriverensis* BERGGREN & OLSSON, 1967 reicht der Mündungsandsaum grundsätzlich bis in den Nabelbereich; die Mündung ist stets bipartit.

Anmerkung: Gute Übereinstimmung besteht mit dem von BATJES als *Globigerinella micra* (COLE) abgebildeten Exemplar.

Verbreitung: Die Art ist weit verbreitet (jedoch nicht häufig) im unteren Rupel der subalpinen Molasse:

Oberes Rupel: Bergener Gebiet

Unteres Rupel: Bergener Gebiet

Mangfall-Profil

Osterbach/Feilnbacher Gebiet

Wehrprofil/Traun-Profil

Familie: Heterohelicidae CUSHMAN, 1927

Gattung: *Chiloguembelina* LOEBLICH & TAPPAN, 1956

Chiloguembelina cubensis (PALMER)

Taf. 18, Fig. 12–13

*1934 *Gümbelina cubensis* n. sp. — PALMER: 74, Abb. 1–6 (Unteroligozän – Cuba) (fide SAITO, HILLMANN & JANAL).

1957 *Chiloguembelina cubensis* (Palmer) — BECKMANN: 89, Taf. 21/21, Abb. 14/5–8 (oberes Eozän/untereres Oligozän – Trinidad).

1958 *Gümbelina gracillima* (ANDREAE) — BATJES: 163, Taf. 11/9 (mittleres Oligozän – Norddeutschland).

1979 *Chiloguembelina cubensis* (PALMER) — SZTRAKOS: 69, Taf. 23/13 u. 34/8 (Rupel – Ungarn).

1983 *Chiloguembelina cubensis* (PALMER) — HOOYBERGHS: 15, Taf. 1/3 u. 4 (Rupel-Formation, Boom-Clay – Belgien).

Beschreibung: Die in ihrer ganzen Länge zweizeiligen, z. T. schwach tordierten, kleinen Gehäuse zeigen meist kontinuierlich an Größe zunehmende, geblähte Kammern. Die alternierend angeordneten Kammern sind anfangs ziemlich niedrig und breit und nehmen im Lauf der Ontogenie insbesondere an Höhe rasch zu. Im jüngsten Gehäuseteil haben sie eine fast kugelige Gestalt. Die Endkammer ist u. U. reduziert. Insgesamt bestehen die gedrungenen bis länglichen, abgeflachten Gehäuse aus fünf bis zehn Kammerpaaren. Die Basis bildet eine stumpfe Spitze. Die Peripherie ist deutlich gelappt und breit gerundet und die Seiten divergieren stets. Die Suturen sind einfach ausgebildet und deutlich eingesenkt. Der Su-

turwinkel liegt zwischen 65 und fast 90°. In der Aufsicht ist der Umriß oval. Die an der Innenseite der jüngsten Kammer gelegene Mündung ist ein basaler, niedriger bis mittelhoher Bogen. Bei gut erhaltenen Exemplaren ist eine asymmetrische, auf einer Seite deutlich verbreiterte, flügelartige, dünne Lippe zu sehen. Die Ornamentierung der Gehäuse bilden feinste Pusteln, die vor allem im älteren Gehäuseabschnitt häufig zu zarten longitudinalen Striae zusammentreten. Die Perforierung ist sehr fein.

Maße : L 0,12–0,22 mm, B 0,10–0,14 mm
D 0,06–0,10 mm

Differentialdiagnose :

In der Originalbeschreibung zeigt *Chiloguembelina gracilima* (ANDREAE), 1884 nahezu parallele Seiten und ab dem viertletzten Kammerpaar kaum mehr eine Zunahme der Kammergröße. Von Striae ähnlichen Gebilden erwähnt ANDREAE nichts; BLOW (1969: 378) gibt an, daß alle von ihm mit dem Elektronenmikroskop untersuchten Exemplare der *Chiloguembelina-cubensis*-Gruppe striate Formen sind.

Chiloguembelina victoriana BECKMANN, 1957 unterscheidet sich durch die höhere Mündung, die glattere Oberfläche und die weniger geblähten Kammern von *Ch. cubensis* (BECKMANN: 92).

Verbreitung : Wie auch im ungarischen Oligozän (vgl. SZTRAKOS (1979: 70) ist die Art in der bayerischen Molasse im unteren Rupel weit verbreitet, im oberen Rupel tritt sie dagegen selten auf.

Oberes Rupel: Schmeroldgraben/Mangfall-Profil

Unteres Rupel: Mangfall-Profil

SW Rettenbeck bei Hausham (häufig)

Wehrprofil/Traun-Profil

Familie: Anomalinidae CUSHMAN, 1927

Gattung: *Cibicides* MONTFORT, 1808

Cibicides lobatulus (WALKER & JACOB)

*1798 *Nautilus lobatulus* – WALKER & JACOB: 642, Taf. 14/36 (rezent – engl. Küste) (fide ELLIS & MESSINA).

Verbreitung : Weit verbreitet im gesamten Oligozän der marinen bayerischen Molasse.

Gattung: *Cibicidoides* THALMANN, 1939

Cibicidoides communis (ROEMER)

Taf. 18, Fig. 10, 11 u. 14

*1838 *Truncatulina communis* nob. – ROEMER: 389, Taf. 3/56 (Tertiär – Norddeutschland).

1856 *Truncatulina communis* Römer – REUSS: 242, Taf. 5/56 (Oberoligozän – Norddeutschland).

1894 *Truncatulina communis* Römer – GRZYBOWSKI: 200, Taf. 4/12 (Obereozän – Karpathen, Polen).

1965 *Cibicides römeri* (REUSS) – TRUNKÓ: 147, Taf. 16/8 (Oberoligozän – Norddeutschland).

1965 *Cibicides communis* (ROEMER) – TRUNKÓ: 148, Taf. 14/5 (Oberoligozän – Norddeutschland).

Beschreibung : Die niedrig trochospiralen, variablen Gehäuse haben einen rundlichen bis leicht ovalen Umriß, eine

flache bis leicht gewölbte Spiralseite und eine konvexe Umbilikalseite. Die Peripherie ist im Bereich der jüngsten Kammern leicht gelappt, sie ist in der Regel gerundet-kantig bis kantig und manchmal von einem leichten Kiel gesäumt. Der letzte Umgang ist aus sieben bis neun Kammern aufgebaut. Die Kammern nehmen kontinuierlich an Größe zu; sie sind auf der Spiralseite im Umriß wenig höher als breit. Der Nabel ist flach eingesenkt und eng und kann fakultativ von einem glasigen kleinen Pfropf ausgefüllt sein. Die radialen Nähte der Spiralseite sind leicht verdickt und zurückgebogen, auf der Umbilikalseite sind die Nähte insbesondere im Bereich der jüngsten Kammern vertieft und haben einen leicht gebogenen Verlauf. Die an der Peripherie gelegene halbmondförmige Mündung trägt eine Lippe und ist entlang der Spiralnaht verlängert. Die Gehäusewand ist grob perforiert.

Maße : L 0,23–0,29 mm, B 0,21–0,23 mm
D 0,14–0,18 mm

Variabilität: Folgende Merkmale von *Cibicidoides communis* sind variabel ausgebildet:

1. Die Spiralseite ist leicht gewölbt bis plan.
2. Die Umbilikalseite ist mäßig bis stark konvex, erreicht jedoch nie die Wölbung einer Halbkugel.
3. Die Ausbildung der Peripherie variiert zwischen „scharfkantig und schwach gekielt“ und – im Bereich der jüngsten Kammern – gerundet.
4. Der Umbilikus ist frei oder mit einem hyalinen Pfropf verfüllt, der bei manchen Individuen leicht vorsteht; eine breite Nabelscheibe ist nie ausgebildet.

Differentialdiagnose:

Cibicides lobatulus zeigt eine raschere Zunahme der Kammergröße als *Cibicidoides communis*, weist häufig einen unregelmäßigeren Bau auf, ist stärker gelappt und hat eine leicht konkave Spiralseite. (Die häufig unregelmäßige Ausbildung der jüngeren Kammern dürfte bei *Cibicides lobatulus* mit der der Gattung *Cibicides* eigenen angehefteten Lebensweise in Zusammenhang stehen).

Bemerkung: Von TRUNKÓ wurde 1965 ein Neotyp zu *Cibicidoides communis* festgelegt. Der Neotyp stammt aus dem Oberoligozän des Dobergs bei Osnabrück.

Diskussion: Die von TRUNKÓ (1965) als *Cibicides römeri* vom Oberoligozän des Dobergs beschriebenen Formen liegen im Bereich der oben geschilderten Variabilität. Die Originalabbildung zu *C. römeri* (REUSS, 1856: Taf. 4/52) zeigt indes ein nahezu bikonvexes Gehäuse mit spitzwinkliger, scharfer, gekielter Peripherie.

MARKS (1951: 73) betrachtet *C. communis* als Synonym von *Cibicides lobatulus*. Auf die Unterschiede zwischen beiden Arten ist bereits eingegangen worden.

Verbreitung: Gesamtes Oligozän der marinen bayerischen Molasse.

Cibicidoides ungerianus ungerianus (D'ORBIGNY)

Taf. 18, Fig. 15–17

*1846 *Rotalina Ungeriana*, d'Orb. – D'ORBIGNY: 157, Taf. 8/16–18 (Miozän – Wiener Becken).

1875 *Truncatulina Ungeriana* d'Orb. – HANTKEN: 72, Taf. 8/7 (Kleinzeller Tegel – Ungarn).

- 1951 *Cibicides ungerianus* (d'Orbigny) — MARKS: 73, Taf. 8/2 (Miozän — Wiener Becken).
 1960 *Cibicides ungerianus* (D'ORBIGNY) — CÍCHA & ZAPLETALOVÁ: 19, Taf. 6/4–6 (höheres Miozän — karpatische Vortiefe, ČSSR).
 1964 *Cibicides ungerianus* (d'Orbigny) — HAUSMANN: 400, Taf. 8/5 (Mitteloligozän — DDR).

Beschreibung: Die Gehäuse sind im Umriss leicht oval, ziemlich flachgedrückt und plankonvex bis bikonvex. Die Peripherie ist rundherum gelappt und meist zugespitzt und gekielt, seltener treten leicht kantengerundete Individuen auf. Die letzte Windung besteht aus acht bis zwölf langsam und stetig größer werdende Kammern. Die Kammern sind schmal und hoch und nach hinten gekrümmt, die Nähte verdickt und meist leicht erhaben, bei größeren Individuen treten auf der Umbilikalseite zwischen den jüngsten Kammern eingesenkte Suturen auf. Die älteren Windungen werden auf der Spiralseite stets von körneliger Schalensubstanz verdeckt. Der Umbilikus ist eng und häufig mit einem durchscheinenden Nabelpfropf besetzt. Die Mündung, ein niedriger interiomarginaler Bogen im Bereich der Peripherie, ist von einer Lippe gesäumt und entlang der Spiralnaht verlängert. Die Perforation auf den dorsalen und ventralen Kammerflächen ist grob. Die Mündungsfläche ist feinporig.

Maße: L 0,23–0,70 mm, B 0,19–0,58 mm
 D 0,11–0,30 mm

Verbreitung: *Cibicidoides ungerianus ungerianus* ist weit verbreitet im gesamten Rupel und Untereger der marinen bayerischen Molasse.

Cibicidoides ungerianus filicosta (HAGN)
 Taf. 19, Fig. 4, 7 u. 8

- *1952 *Cibicides ungerianus* (D'ORB.) var. *filicosta* n. var. — HAGN: 186, Taf. 1/4 (Untereger₁ — bayer. Molasse).
 1960 *Cibicides ungerianus filicosta* HAGN — HAGN: Taf. 7/9 Untereger₁ — bayer. Molasse).

Beschreibung: Es handelt sich um im Umriss leicht ovale, ziemlich flachgedrückte, meist ungleichmäßig bikonvexe Gehäuse mit stärker gewölbter Umbilikalseite. Die Peripherie ist kaum oder nicht gelappt, spitzwinkelig, zugespitzt und von einem deutlichen Kiel gesäumt. Die letzte Windung besteht aus zehn bis dreizehn langsam und stetig größer werdenden Kammern, die hoch und schmal und nach hinten gekrümmt sind. Die Nähte sind auf der Dorsal- wie auch auf der Ventralseite verdickt und wulstartig erhaben. Die älteren Windungen werden auf der Dorsalseite stets von körneliger Schalensubstanz verdeckt. Im Zentrum der Ventralseite laufen die kräftigen, erhabenen Nähte zu einem stets vorhandenen massiven, durchscheinenden Nabelknopf zusammen. Mündung und Gehäusewand sind wie bei der Nominatunterart ausgebildet.

Maße: L 0,26–0,48 mm, B 0,21–0,44 mm
 D 0,13–0,20 mm

Differentialdiagnose:

Gegenüber der Nominatunterart zeichnet sich *Cibicidoides ungerianus filicosta* durch eine deutlicher gekielte, weniger gelappte Peripherie, durch die kräftigeren Nähte und den größeren Nabelpfropf aus.

Cibicides ungerianus ornatus (CUSHMAN), 1921 unterscheidet sich von der Unterart *filicosta* durch den Besitz stärker gebogener Ventralnähte, die nahe der Peripherie fast tangential verlaufen.

Die von SAMOILOVA 1947 als *Cibicides acutus* beschriebene Art ist von *C. ungerianus filicosta* durch die noch größere Kammerzähl im letzten Umgang unterscheidbar. Zudem weist *C. acutus* anstatt der Granulationen auf der Spiralseite eine stark verdickte Spiralnaht auf.

Verbreitung: Rupel und Untereger der marinen bayerischen Molasse.

Anmerkung: Bei den aus den Mergeln von Rainer Mühle/Prien-Profil stammenden Exemplaren handelt es sich um Topotypoide.

Cibicidoides pseudoungerianus (CUSHMAN)

- *1922 *Truncatulina pseudoungeriana* Cushman, n. sp. — CUSHMAN: 97, Taf. 20/9 (unteres Oligozän — Mississippi).

Verbreitung: Weit verbreitet im gesamten Oligozän der marinen bayerischen Molasse.

Gattung: *Heterolepa* FRANZENAU, 1884

Heterolepa dutemplei (D'ORBIGNY)

- *1846 *Rotalina Dutemplei*, d'Orb. — D'ORBIGNY: 157, Taf. 8/19–21 (Miozän — Wiener Becken).

Verbreitung: Häufig im gesamten Oligozän der marinen bayerischen Molasse.

Gattung: *Planulina* D'ORBIGNY, 1826

Planulina costata (HANTKEN)
 Taf. 19, Fig. 5, 6 u. 9

- *1875 *Truncatulina costata* Hantk. n. sp. — HANTKEN: 73, Taf. 9/2 (Kleinzeller Tegel — Ungarn).
 1956 *Planulina costata* (HANTKEN) — HAGN: 178, Taf. 17/3 u. 4 (Obereozän — Norditalien).
 1971 *Planulina costata* (Hantken) — POPESCU & IVA: 45, Taf. 8/3 (Oligozän — Rumänien).
 1979 *Planulina costata* (HANTKEN) — SZTRAKOS: Taf. 35/5 (oberes Rupel — Ungarn).
 1982 *Planulina costata* (HANTKEN) — SZTRAKOS: Taf. 20/3 (Obereozän/Oligozän — Ungarn).

Beschreibung: Die scheibenförmigen, flachgedrückten Gehäuse zeigen eine evolute Spiralseite, eine involute Umbilikalseite und einen leicht ovalen Umriss. Die Peripherie ist zugespitzt, gekielt und im Bereich der jüngsten Kammern gelappt. Zehn bis zwölf sichelartig gekrümmte, hohe, schmale Kammern bauen den jüngsten Umgang auf. Die Nähte sind verdickt und leicht erhaben und gehen nach außen zu in den Kiel über. Im Bereich der Windungsachse ist die Ventralseite leicht vertieft oder mit einem kleinen Nabelknopf besetzt. Die Mündung, ein kleiner mäßig hoher Bogen an der Peripherie, besitzt einen Randsaum und ist entlang der Spiralnaht verlängert. Die Perforation der Gehäuse ist grob.

Maße: L 0,43–0,61 mm, B 0,36–0,55 mm
 D 0,18–0,23 mm

Verbreitung:

- Untereger_I: Bernhaupten/Bergener Gebiet
Bohrung Ampfing 1
Oberes Rupel: Bohrung Ortenburg 1001
Unteres Rupel: SW Rettenbeck bei Hausham

Gattung: *Hanzawaia* ASANO, 1944

Hanzawaia asterizans (FICHTEL & MOLL)

Taf. 19, Fig. 1–3

- 1803 *Nautilus asterizans* – FICHTEL & MOLL: 37, Taf. 3/e, f, g u. h (rezent – Mittelmeer).
1975 *Anomalina ammonoides* (Reuss) – POPESCU: 103, Taf. 84/1 (Miozän – Rumänien).
1984 *Hanzawaia asterizans* (Fichtel & Moll) – RÖGL & HANSEN: 34, Taf. 8/1–3, Abb. 9A (rezent – Mittelmeer).

Beschreibung: Die nahezu planspiralen, flachen Gehäuse sind plankonvex bis bikonvex und haben einen leicht ovalen Umriss. Auf der i. a. flacheren Ventralseite wie auch auf der stärker gewölbten Dorsalseite sind die Anfangswindungen nicht ganz verhüllt; die Ventralseite ist im Zentrum leicht vertieft und oftmals sitzt ein sehr kleiner durchsichtiger Nabelpfropf inmitten dieser Vertiefung. Die abgerundet-winkelige, im älteren Teil des letzten Umgangs schwach gekielte Peripherie ist kaum gelappt. Die Kammern sind zahlreich und nehmen langsam und stetig an Größe zu; die letzte Windung besteht aus 13 bis 15 Kammern. Die Kammerform ist hoch und schmal; die Kammern sind nach hinten gekrümmt. Die gebogenen, bei manchen Individuen leicht sigmoid geschwungenen Nähte sind limbat und häufig erhaben. Die Mündung, ein mäßig hoher, interiomarginaler Bogen, hat ihre Position an der Peripherie. Sie ist von einer Lippe gesäumt und setzt sich auf der Dorsalseite entlang der Spiralnaht fort. Die Kammern des letzten halben Umgangs entsenden hier kleine, lappenartig-vorstehende Fortsätze. Die Gehäusewand ist zwischen den Suturen grob perforiert.

Maße: L 0,34–0,58 mm, B 0,25–0,50 mm
D 0,18–0,21 mm

Differentialdiagnose:

Anomalinoides alazanensis (NUTTAL), 1932 ist der Art zwar ziemlich ähnlich, aus der Originalbeschreibung NUTTALS geht aber hervor, daß bei *A. alazanensis* die Mündung entlang der Spiralnaht der nicht gewölbten Seite verlängert ist.

Der aus dem Unteroligozän von Cuba beschriebene *Anomalinoides cubensis* (VAN BELLEN), 1941 besitzt einen engen Nabel auf der nicht evoluten Ventralseite und ist nicht ganz so flachgedrückt.

Die von LISZKA 1957 als *Cibicides arcuatus* aufgestellte Art weist auf der Ventralseite eingesenkte, nicht verdickte Suturen und eine feine Perforation auf (vgl. auch POKORNÝ, 1960: Taf. 6/7).

Anomalina ammonoides (REUSS) in BRADY, 1884 = *Anomalina bradyi* SAID, 1949 ist beiderseits gleich stark gewölbt und hat eingesenkte Suturen im Bereich der leicht geblähten jüngsten Kammern.

Bei der Art, die REUSS als *Rosalina ammonoides* aus der böhmischen Kreide beschrieben hat, handelt es sich nach

MICHAEL (1966: 434 ff.) um eine *Gavelinella* mit gewölbten und im Endteil stark aufgeblähten Kammern.

Verbreitung:

- Untereger_I: Bohrungen Ortenburg 1002 u. 1003
Nonnenwald-Mulde
Rainer Mühle/Prien-Profil
Oberes Rupel: Rote Traun
Latdorf: Bohrung Ampfing 1

Hanzawaia boueana (D'ORBIGNY)

- *1846 *Truncatulina Boueana*, d'Orbigny – D'ORBIGNY: 169, Taf. 9/24–26 (Miozän – Wiener Becken).

Verbreitung: Weit verbreitet und z. T. häufig im gesamten Oligozän der marinen bayerischen Molasse.

Gattung: ?*Almaena* SAMOILOVA, 1940

„*Almaena*“ *osnabrugensis* (ROEMER)

Taf. 19, Fig. 13–14

- *1838 *Planulina Osnabrugensis* v. M. – ROEMER: 390, Taf. 3/58 (Tertiär – Norddeutschland).
1875 *Truncatulina osnabrugensis* v. Münster – HANTKEN: 73, Taf. 9/4 (Kleinzeller Tegel – Ungarn).
1942 *Planulina alticosta* TEN DAM et REINHOLD nov. sp. – TEN DAM & REINHOLD: 97, Taf. 8/1 u. 2, Taf. 10/4 (Oligozän/Miozän – Niederlande).
1949 *Planulinella escornebovensis* – SIGAL: 158, Taf. 2/1 u. Taf. 3/2 (?Aquitain – Südwestfrankreich) (fide ELLIS & MESSINA).
1950 *Pseudoplanulinella hieroglyphica* var. *bartensteini* nov. var. – SIGAL: 66, Abb. 4 (?Aquitain – Südwestfrankreich).
1955 *Almaena osnabrugensis* (MUNSTER) – HAGN: 350, Taf. 10/14 (Untereger_{II} – bayer. Molasse).
1958 *Almaena delmasi* n. sp. – REY: 62, Taf. 1/2 (?Aquitain – Südwestfrankreich).
1972 *Almaena alticosta* (TEN DAM – REINHOLD) – KORECZ-LAKY & NAGY-GELLAI: 269, Taf. 1/2 (Oberoligozän – Ungarn).
1972 *Almaena alavensis* (PALMER) – KORECZ-LAKY & NAGY-GELLAI: 270, Taf. 1/3 u. 4 (Oberoligozän – Ungarn).
1972 *Almaena osnabrugensis* (ROEMER) – KORECZ-LAKY & NAGY-GELLAI: 273, Taf. 1/6–8 (Mittel-, Oberoligozän – Ungarn).
1972 *Almaena palmerae* (GARRET) – KORECZ-LAKY & NAGY-GELLAI: 274, Taf. 2/2 (Untermiozän – Ungarn).

Beschreibung: Die flach-scheibenförmigen, bilateral-symmetrischen Gehäuse zeigen einen leicht ovalen Umriss. Die Gehäuse sind beidseitig etwas evolut und die jüngste Windung umhüllt die älteren nur zum Teil. Die beiden Seitenflächen sind leicht und in der Regel ungleich stark gewölbt. Die leicht gelappte Peripherie ist abgestutzt-winkelig und von zwei nicht ganz gleichartig ausgebildeten Kielen gesäumt. Der eine Kiel ist der weniger gewölbten Gehäusesseite zugewandt und kaum unterbrochen. Der andere der etwas stärker gewölbten Seite zugewandte Kiel kann als Verlängerung der verdickten, radialen Nähte aufgefaßt werden, die nahe der Peripherie nach hinten geknickt sind. Dieser zweite Kiel ragt nicht ganz so weit vor wie der erste. Die Kammerzahl im letzten Umgang ist ziemlich konstant und beträgt bei adulten Gehäusen sieben bis acht; die Kammern haben eine mehr oder weniger gebogen-dreieckige Form und nehmen rasch an Größe zu. Die stets verdickten Nähte sind variabel gestaltet: Neben nahezu geraden oder einfach gekrümmten kommen sichelartig gebogene oder geknickte Suturen vor;

die Nähte können leicht eingesenkt oder auch erhaben sein. Zwischen erhabenen Suturen können im älteren Teil der letzten Windung zusätzlich rippen- oder warzenartige Skulpturelemente auftreten. Die ovale Mündung sitzt im Bereich der Peripherie an der Basis der letzten Kammer und ist von einer breiten, aufgebogenen Lippe gesäumt, wodurch ein siphonartiges Gebilde entsteht. Die Perforation der Gehäusewand ist sehr grob.

Maße: L 0,24–0,63 mm, B 0,19–0,58 mm
D 0,10–0,20 mm

Diskussion: Die zwischen den Kielen vorhandenen Vertiefungen wurden von zahlreichen Autoren für periphere Mündungsschlitze gehalten. Zwischen den Kielen ist jedoch bei guter Erhaltung stets dieselbe grobporige Gehäusewand anzutreffen, wie sie auf den Seitenflächen vorliegt. Diese Feststellung wurde auch von HOFKER (1952: 385) und BUTT (1966: 63) getroffen. HOFKER ordnete die Art daher dem Genus *Planulina* zu. Abgesehen von den fehlenden peripheren Mündungen besteht jedoch große Ähnlichkeit mit *Almaena taurica* SAMOILOVA, 1940, dem Generotyp von *Almaena*.

Verbreitung: Die Art ist außerordentlich selten im unteren Rupel. Sie stellt dagegen im Zeitbereich des oberen Rupels und Unteregers ein sehr häufiges Faunenelement dar. Formen mit stark zusammengedrücktem Gehäuse und leicht eingesenkten Nähten, die man als „variatio *escornebovensis*“ bezeichnen könnte, herrschen in den Faunen des Unteregers_{II} gegenüber den Individuen mit erhabenen Nähten vor (vgl. dazu auch *Almaena osnabrugensis* bei HAGN, 1960: Taf. 8/10).

Familie: Ceratobuliminidae CUSHMAN, 1927

Gattung: *Ceratocancris* FINLAY, 1939

Ceratocancris haueri (D'ORBIGNY)

Taf. 19, Fig. 11–12

*1846 *Rotalina Hauerii*, d'Orbigny – D'ORBIGNY: 151, Taf. 7/22–24 (Miozän – Wiener Becken).

1927b *Ceratobulimina haueri* (d'Orbigny) – CUSHMAN: 175, Taf. 29/8, 30/1 u. 2 (Miozän – Wiener Becken).

1969 *Ceratocancris haueri* (D'ORB.) – RÖGL: 103, Taf. 4/15, 16 (Karpas – Niederösterreich).

1985 *Ceratocancris haueri* (D'ORBIGNY) – PAPP & SCHMID: 58, Taf. 48/1–6 (Miozän – Wiener Becken).

Beschreibung: Das im Umriß ovale, bikonvexe Gehäuse besitzt eine nahezu ungelappte, abgerundete Peripherie. Der jüngste Umgang besteht aus sieben schmalen und hohen Kammern, die sehr rasch an Größe zunehmen. Die gekerbten Nähte sind auf der Spiralseite nach hinten gekrümmt, auf der Umbilikalseite sind sie gerade und stehen radial. Die Nabelvertiefung ist eng. Die niedrige Mündung liegt am basalen Rand der letzten Kammer. Die Mündungsfläche zeigt in ihrem unteren Teil eine schräg stehende, grabenartige Vertiefung nahe dem Umbilikus und eine schartenähnliche Einstülpung nahe der Peripherie. Die glatte, glänzende Gehäusewand ist sehr fein und dicht perforiert.

Maße: L 0,47 mm, B 0,31 mm
D 0,22 mm

Vorkommen:

Untereger_{II}: Bohrung Ortenburg 1001

Gattung: *Hoeglundina* BROTZEN, 1948

Hoeglundina elegans (D'ORBIGNY)

*1826 *Rotalia (Turbinulina) elegans* Nob. – D'ORBIGNY: 276.

Verbreitung: Gesamtes Rupel und Untereger der marinen bayerischen Molasse.

Gattung: *Stomatorbina* DORREEN, 1948

Stomatorbina acarinata POKORNÝ

Taf. 19, Fig. 10, 15 u. 16

*1956 *Stomatorbina acarinata* n. sp. – POKORNÝ: 268, Abb. 9 u. 10 (Pausramer Mergel, Obereozän – ČSSR).

1983 *Stomatorbina acarinata* POKORNÝ – KRHOVSKÝ Taf. 4/10 u. 11 (Pausramer Einheit, Grenzbereich Eozän/Oligozän – ČSSR).

Beschreibung: Die beiderseits leicht evoluten, kleinen, in etwa planspiralen Gehäuse zeigen eine konvexe oder abgestutzt-konische Seite und eine leicht konkave Seite. Die Peripherie ist meist schwach gekielt und kaum gelappt. Die Endwindung besteht aus sieben bis acht rasch an Größe zunehmenden Kammern. Das Zentrum der leicht konkaven Seite ist in der Regel mit einem kleinen Pfropf besetzt; auf der genannten Seite besitzen die Kammern einen halbmondförmigen Umriß. Die Nähte der konvexen Seite sind im Bereich der jüngsten Kammern leicht vertieft. Die Mündung ist eine ovale Öffnung, die interiomarginal an der Peripherie des vorhergehenden Umganges liegt und sich als Spalt entlang der „Spiralnaht“ der konkaven Seite fortsetzt. Die Kammerwand ragt hier lappenartig nach innen. Nahe der Peripherie ist die Kammerwand der konkaven Gehäusesseite dünner als anderswo. Bei leicht korrodierten Gehäusen sind dadurch zusätzliche Öffnungen nahe der Peripherie geschaffen. Auf der konvexen Seite tritt z. T. auch Narben-Skulptur auf; die Außenwand der konvexen Seite ist fein perforiert.

Maße: L 0,17–0,29 mm, B 0,13–0,27 mm
D 0,09–0,13 mm

Differentialdiagnose:

Lamarckina torrei CUSHMAN & BERMÜDFZ besitzt stark verteilte Nähte auf der konvexen Seite und einen kräftigen Kiel.

Verbreitung:

Untereger_I: Bohrung Ortenburg 1001
Oberes Rupel: Bergener Gebiet
Unteres Rupel: Mangfall-Profil
SW Rettenbeck bei Hausham

Familie: Robertinidae REUSS, 1850

Gattung: *Alliatina* TROELSEN, 1954

Alliatina tollmanni LANGER

1957 *Cushmanella nitida* n. sp. – TOLLMANN: 195, Taf. 3/14 (Eggenburg – Niederösterreich).

*1969 *Alliatina tollmanni* nom. nov. – LANGER: 66.

Vorkommen:

Untereger_I: Bohrungen Ortenburg 1001 u. 1003

ANHANG: I: GESAMTVERZEICHNIS DER ARTEN

Astrorhizidae BRADY, 1881

Rhabdammina discreta BRADY

Bathysiphon filiformis SARS

Ammodiscidae REUSS, 1862

Ammodiscus grzybowski EMILIANI

Ammodiscus cretaceus (REUSS)

Glomospira charoides (JONES & PARKER)

Glomospira gordialis (JONES & PARKER)

Hormosinidae HAECKEL, 1894

Reophax bacillaris BRADY

Rzehakinidae CUSHMAN, 1933

Miliammina paleocenica KIESEL

Lituolidae DE BLAINVILLE, 1825

Haplophragmoides suborbicularis (GRZYBOWSKI)

Ammobaculites humboldti (REUSS)

Cyclammina acutidorsata (HANTKEN)

Cyclammina obesa CUSHMAN & LAIMING

Trochoamminidae SCHWAGER, 1877

Budashevaella multicamerata (VOLOSHINOVA)

Textulariidae EHRENBERG, 1838

Textularia agglutinans D'ORBIGNY

Textularia deperdita D'ORBIGNY

Spiroplectammina carinata (D'ORBIGNY)

Spiroplectammina pectinata (REUSS)

Vulvulina spinosa CUSHMAN

Ataxophragmiidae SCHWAGER, 1877

Pavonitina kiscelliana (SZTRAKOS)

Dorothia paupercula (CUSHMAN)

Karrieriella siphonella exilis HAGN

Karrieriella hantkeniana CUSHMAN

Karrieriella postsiphonella (SPANDEL)

Miliolidae EHRENBERG, 1839

Quinqueloculina ermanni BORNEMANN

Quinqueloculina cribrosa (EGGER)

Quinqueloculina hauerina D'ORBIGNY

Quinqueloculina ludwigi REUSS

Sinuloculina consobrina (D'ORBIGNY)

Triloculina gibba D'ORBIGNY

Triloculina cf. *byramensis* CUSHMAN & TODD

Sigmoilinita tenuis (CZJZEK)

Sigmoilinita sp.

Sigmoilopsis colomi (GLAÇON & MAGNE)

Nodosariidae EHRENBERG, 1838

Robulus cultratus MONTFORT

Robulus calcar (LINNÉ)

Robulus inornatus (D'ORBIGNY)

Robulus vortex (FICHTEL & MOLL)

Robulus cf. *depauperatus* (REUSS)

Planularia budensis (HANTKEN)

Planularia kubinyi (HANTKEN)

Planularia cf. *cassisi* (FICHTEL & MOLL)

Planularia moravica (KARRER)

Lenticulina gerlachi (REUSS)

Astacolus crepidulus (FICHTEL & MOLL)

Astacolus minimus (HANTKEN)

Vaginulinopsis pseudodecorata HAGN

Vaginulinopsis gladius (PHILIPPI)

Vaginulinopsis tenuis (BORNEMANN)

Vaginulinopsis pedum (D'ORBIGNY)

Saracenaria arcuata (D'ORBIGNY)

Saracenaria propingua (HANTKEN)

Saracenaria conferta (REUSS)

Marginulina hantkeni BANDY

Marginulina pediformis BORNEMANN

Marginulina similis D'ORBIGNY

Amphicoryna scalaris (BATSCH)

Amphicoryna badenensis (D'ORBIGNY)

Amphicoryna imperfectecostata (SILVESTRI)

Dentalina communis D'ORBIGNY

Nodosaria hispida (SOLDANI)

Nodosaria pyrula semirugosa D'ORBIGNY

Nodosaria elegantissima (D'ORBIGNY)

Nodosaria ortenburgensis n. sp.

Nodosaria raphanistrum (LINNÉ)

Nodosaria bactridium REUSS

Nodosaria cf. *acuminata* HANTKEN

Lingulina subglobosa DERVIEUX

Flabellinella tenuissima (HANTKEN)

Palmula cf. *budensis* (HANTKEN)

Plectofrondicularia striata (HANTKEN)

Plectofrondicularia multilineata CUSHMAN & SIMONSON

Plectofrondicularia cf. *trilineata* CUSHMAN

Plectofrondicularia digitalis (NEUGEBOREN)

Plectofrondicularia vaughani CUSHMAN

Amphimorphina haueriana NEUGEBOREN

Bolivinaella rugosa HOWE

Bolivinaella virgata CUSHMAN

Lagena sulcata (WALKER & JACOB)

Lagena gracilicosta REUSS

Lagena hexagona (WILLIAMSON)

Lagena laevis (MONTAGU)

Polymorphinidae D'ORBIGNY, 1839

Guttulina problema problema D'ORBIGNY

Guttulina problema frankei CUSHMAN & OZAWA

Guttulina praelonga (EGGER)

Globulina gibba D'ORBIGNY

Globulina muensteri (REUSS)

„*Pyrulina*“ *fusiformis* (ROEMER)

Glandulina aequalis REUSS

Glandulina ovula D'ORBIGNY

Glandulina dimorpha (BORNEMANN)

Oolina globosa (MONTAGU)

Fissurina laevigata REUSS

Fissurina obtusa EGGER

Fissurina orbignyana SEGUENZA

Buliminidae JONES, 1875

Bulimina striata D'ORBIGNY

Bulimina arndti HAGN

Bulimina sculptilis CUSHMAN
Bulimina elongata D'ORBIGNY
Praeglobobulimina spinescens (BRADY)
Praeglobobulimina pyrula (D'ORBIGNY)
Globobulimina bathyalis n. sp.
Globobulimina sp.
Virgulopsis tuberculata (EGGER)
Caucasina oligocaenica KHALILOV
Caucasina schischkinskayae (SAMOILOVA)
Caucasina coprolithoides (ANDREAE)
Buliminella elegantissima (D'ORBIGNY)
Stainforthia acuta (D'ORBIGNY)
Fursenkoina mustoni (ANDREAE)
Coryphostoma sp.
Virgulinella chalkophila (HAGN)
Uvigerina hantkeni CUSHMAN & EDWARDS
Uvigerina posthantkeni PAPP
Uvigerina rudlingensis PAPP
Uvigerina cichai n. sp.
Rectuvigerina elegans (HANTKEN)
Trifarina gracilis (REUSS)
Trifarina gracilis (REUSS) var. *germanica* CUSHMAN & EDWARDS
Trifarina globosa (STOLTZ)
Trifarina angulosa (WILLIAMSON)
Trifarina bradyi CUSHMAN
Trifarina muralis (TERQUEM)
Reussella spinulosa (REUSS)
Reussella aperta CUSHMAN
Bolivina beyrichi beyrichi REUSS
Bolivina cf. *beyrichi bituminosa* SPANDEL
Bolivina beyrichi carinata HANTKEN
Bolivina budensis (HANTKEN)
Bolivina crenulata CUSHMAN
Bolivina crenulata CUSHMAN var. *trunensis* HOFMANN
Bolivina versatilis HOFMANN
Bolivina gnara HOFMANN
Bolivina hebes MACFADYEN
Bolivina dilatata hyalina HOFMANN
Bolivina subalpina HOFMANN
Bolivina koessenensis LINDENBERG
Bolivina vaceki bavarica LÜHR
Bolivina fastigia CUSHMAN
Bolivina reticulata HANTKEN
Bolivina aenariensisformis MYATLYUK
Bolivina antiqua D'ORBIGNY
Bolivina liebusi HOFMANN
Bolivina euzona HOFMANN
Bolivina elongata HANTKEN
Bolivina tereta (CUSHMAN)
Bolivina nobilis HANTKEN
Bolivina oligocaenica SPANDEL
Bolivina korynoides korynoides HOFMANN
Bolivina molassica HOFMANN
Rectobolivina zsigmondyi (HANTKEN)
Stilostomella longiscata (D'ORBIGNY)
Stilostomella consobrina (D'ORBIGNY)
Stilostomella emaciata (REUSS)
Stilostomella scabra (REUSS)
Stilostomella perscripta (EGGER)
Stilostomella adolphina (D'ORBIGNY)

Elphidiidae GALLOWAY, 1933
Elphidium crispum (LINNÉ)
Elphidium cf. *advenum* (CUSHMAN)
Porosononion granosum (D'ORBIGNY)
Elphidiella heteropora (EGGER)
Elphidiella minuta (REUSS)
Elphidiella subnodosa (ROEMER)
Elphidiella cryptostoma (EGGER)
Elphidiella turgescens (CUSHMAN)
Elphidiella subcarinata (EGGER)
 Nonionidae SCHULTZE, 1854
Florilus communis (D'ORBIGNY)
Nonionella liebusi HAGN
Pullenia bulloides (D'ORBIGNY)
Pullenia quinqueloba (REUSS)
Melonis pompilioides (FICHTEL & MOLL)
Melonis affinis (REUSS)
Protelphidium sp.
Chilostomella ovoidea REUSS
Chilostomella czizeki REUSS
Chilostomelloides oviformis (SHERBORN & CHAPMAN)
Allomorphina trigona REUSS
Allomorphina macrostoma KARRER
 Cassidulinidae D'ORBIGNY, 1839
Globocassidulina crassa (D'ORBIGNY)
Globocassidulina oblonga (REUSS)
Cassidulinotdes bodeni HAGN
 Sphaeroidinidae CUSHMAN, 1927
Sphaeroidina bulloides D'ORBIGNY
 Discorbidae EHRENBERG, 1838
Discorbis alteconicus (POKORNÝ)
Rosalina semiporata (EGGER)
Neoconorbina patella (EGGER)
Eponides constans n. sp.
Valvulineria complanata (D'ORBIGNY)
Valvulineria petrolei (ANDREAE)
Cancris auriculus (FICHTEL & MOLL)
Cancris subconicus (TERQUEM)
Epistominella molassica (HAGN)
Eoeponidella ampliportata n. sp.
Glabratellina cf. *arcuata* SEIGLIE & BERMÚDEZ
Escornebovina orthorapha (EGGER)
Escornebovina trochiformis (ANDREAE)
Alabamina budensis (HANTKEN)
Oridorsalis umbonatus (REUSS)
Gyroidina soldanii D'ORBIGNY
Gyroidina brockerti n. sp.
Gyroidina parva CUSHMAN & RENZ
Gyroidina eggeri WENGER
Siphonina reticulata (CZJZEK)
 Asterigerinidae D'ORBIGNY, 1839
Asterigerina praeplanorbis HAGN
Asterigerinoides guerichi (FRANKE)
 Epistomariidae HOFKER, 1954
Nuttallides sp.
 Rotaliidae EHRENBERG, 1839
Rotalia trochus ROEMER

Ammonia beccarii (LINNÉ)
Ammonia kiliani (ANDREAE)
Ammonia propingua (REUSS)
Pararotalia canui (CUSHMAN)
Pararotalia sp.

Nummulitidae DE BLAINVILLE, 1825

Nummulites bouillei DE LA HARPE

Globigerinidae CARPENTER, PARKER & JONES, 1862

Globigerina praebulloides BLOW
Globigerina officinalis SUBBOTINA
Globigerina anguliofficialis BLOW
Globigerina utilisindex JENKINS & ORR
Globigerina tapuriensis BLOW & BANNER
Globigerina sellii (BORSETTI)
Globigerina ampliapertura BOLLI
Globigerina euapertura JENKINS
Globigerina labiacrassata JENKINS
Globigerina angustumbilicata BOLLI
Globigerina ouachitaensis HOWE & WALLACE
Globigerina ciperoensis BOLLI
Globigerina ciperoensis BOLLI, aberrante Formen
Globigerinoides quadrilobatus primordius BLOW & BANNER
Subbotina angiporoides (HORNIBROOK)
Subbotina cf. *pseudoeocaena* (SUBBOTINA)
Dentoglobigerina cf. *galavisi* (BERMÚDEZ)
? *Dentoglobigerina winkleri* (BERMÚDEZ)
Globigerinita unicava (BOLLI, LOEBLICH & TAPPAN)

Globorotaliidae CUSHMAN, 1927

Globorotalia opima nana BOLLI
Globorotalia semivera (HORNIBROOK)

Globorotalia clemenciae (BERMÚDEZ)

Globorotalia obesa BOLLI

Globorotalia cf. *obesa* BOLLI

Globorotalia siakensis (LEROY)

Globorotalia liverovskae (BYKOVA)

? *Clavatorella* sp.

Hantkeninidae CUSHMAN, 1927

Pseudohastigerina micra (COLE)

Pseudohastigerina naguewichiensis barbadoensis BLOW

Pseudohastigerina cf. *wilcoxensis* (CUSHMAN & PONTON)

Heterohelicidae CUSHMAN, 1927

Chiloguembelina cubensis (PALMER)

Anomalinidae CUSHMAN, 1927

Cibicides lobatulus (WALKER & JACOB)

Cibicoides communis (ROEMER)

Cibicoides ungerianus ungerianus (D'ORBIGNY)

Cibicoides ungerianus filicosta (HAGN)

Cibicoides pseudoungerianus (CUSHMAN)

Heterolepa dutemplei (D'ORBIGNY)

Planulina costata (HANTKEN)

Hanzawaia asterizans (FICHTEL & MOLL)

Hanzawaia boneana (D'ORBIGNY)

„*Almaena*“ *osnabrugensis* (ROEMER)

Ceratobuliminidae CUSHMAN, 1927

Ceratocancris haueri (D'ORBIGNY)

Hoeglundina elegans (D'ORBIGNY)

Stomatorbina acarinata POKORNY

Robertinidae REUSS, 1850

Alliatina tollmanni LANGER

ANHANG II: VERZEICHNIS DER REM-TRÄGERNUMMERN SOWIE DER DÜNNSCHLIFFNUMMERN DER AUF DEN TAFELN ABGEBILDETEN OBJEKTE

Tafel 1

Fig. 1, 2, 5–7, 9–11, 14, 16–18: BSP-Rei T 11
 Fig. 3, 4: BSP-Rei T 14
 Fig. 8, 15: BSP-Rei T 12
 Fig. 12: 1048b/85
 Fig. 13: 1049b/85

Tafel 2

Fig. 1, 2, 4: BSP-Rei T 11
 Fig. 5, 17: BSP-Rei T 12
 Fig. 6, 8–15, 19–21: BSP-Rei T 13
 Fig. 16, 18: BSP-Rei T 6
 Fig. 3: 1050b/85
 Fig. 7: E151a/85

Tafel 3

Fig. 1, 3, 4, 6, 7, 9, 11, 20, 25: BSP-Rei T 6
 Fig. 2, 8, 23, 24: BSP-Rei T 5
 Fig. 5, 10: BSP-Rei T 14
 Fig. 12: BSP-Rei T 12
 Fig. 13–15: BSP-Rei T 16
 Fig. 16–19: BSP-Rei T 7
 Fig. 21, 22: BSP-Rei T 13

Tafel 4

Fig. 1–3, 5–7, 10, 19, 20: BSP-Rei T 7
 Fig. 4, 9, 23, 24: BSP-Rei T 13
 Fig. 8, 21: BSP-Rei T 12
 Fig. 11–13, 17: BSP-Rei T 14
 Fig. 14, 22: BSP-Rei T 6
 Fig. 15, 16, 18: BSP-Rei T 5

Tafel 5

Fig. 1, 5–7: BSP-Rei T 9
 Fig. 2, 8–10, 24, 26–29: BSP-Rei T 7
 Fig. 3, 4, 11, 12, 23: BSP-Rei T 5
 Fig. 13, 15, 19, 21, 25: BSP-Rei T 12
 Fig. 14, 18, 22: BSP-Rei T 14
 Fig. 17: BSP-Rei T 6

Tafel 6

Fig. 1, 2, 6, 7, 11: BSP-Rei T 7
 Fig. 3, 4, 9, 15, 17–22: BSP-Rei T 8
 Fig. 5, 10: BSP-Rei T 5
 Fig. 8: BSP-Rei T 14
 Fig. 12: BSP-Rei T 12
 Fig. 13, 14: BSP-Rei T 13

Tafel 7

Fig. 1, 4, 6, 9, 11, 12, 16, 20: BSP-Rei T 5
 Fig. 2, 3, 5, 7, 8, 10, 19: BSP-Rei T 8
 Fig. 13, 18: BSP-Rei T 12
 Fig. 14, 23, 24: BSP-Rei T 3
 Fig. 15, 22: BSP-Rei T 4
 Fig. 17, 21: BSP-Rei T 6
 Fig. 19: BSP-Rei T 8

Tafel 8

Fig. 1: BSP-Rei T 3
 Fig. 2, 3, 23: BSP-Rei T 15
 Fig. 4–7, 9–12, 14–16, 18–20: BSP-Rei T 8
 Fig. 8, 13, 21: BSP-Rei T 5
 Fig. 17, 22: BSP-Rei T 12

Tafel 9

Fig. 1, 5, 8–10, 12, 15, 16, 18: BSP-Rei T 8
 Fig. 2, 6: BSP-Rei T 15
 Fig. 3, 7: BSP-Rei T 5
 Fig. 4, 11, 17: BSP-Rei T 6
 Fig. 13, 19: BSP-Rei T 13
 Fig. 14, 20–23: BSP-Rei T 9
 Fig. 24: BSP-Rei T 12

Tafel 10

Fig. 1–3, 5–7, 10, 11: BSP-Rei T 9
 Fig. 4: BSP-Rei T 12
 Fig. 8, 9, 12–15: BSP-Rei T 6

Tafel 11

Fig. 1, 5, 7–9, 13: BSP-Rei T 9
 Fig. 2: BSP-Rei T 14
 Fig. 3, 4, 10–12, 14: BSP-Rei T 6
 Fig. 6, 15: BSP-Rei T 12
 Fig. 16, 17: v. Träger abgelöst

Tafel 12

Fig. 1, 7, 10, 11: BSP-Rei T 6
 Fig. 2, 5, 6, 12–15: BSP-Rei T 9
 Fig. 3, 4, 8: BSP-Rei T 13
 Fig. 9: BSP-Rei T 12

Tafel 13

Fig. 1–4, 6–8, 13–15: BSP-Rei T 9
 Fig. 5, 10: BSP-Rei T 14
 Fig. 9, 11: BSP-Rei T 12
 Fig. 12, 16: BSP-Rei T 15

Tafel 14

Fig. 1–4, 6, 7: BSP-Rei T 9
 Fig. 5, 9, 10, 12–16: BSP-Rei T 10
 Fig. 8: BSP-Rei T 12
 Fig. 11: BSP-Rei T 13

Tafel 15

Fig. 1, 6: BSP-Rei T 14
 Fig. 2–5, 7–18: BSP-Rei T 10

Tafel 16

Fig. 1, 2: BSP-Rei T 14
 Fig. 3–13: BSP-Rei T 10

Tafel 17

Fig. 1, 3–12, 15: BSP-Rei T 10
 Fig. 2: BSP-Rei T 2
 Fig. 13, 14: BSP-Rei T 15

Tafel 18

Fig. 1–9, 12, 13: BSP-Rei T 10
 Fig. 10, 11, 14–17: BSP-Rei T 11

Tafel 19

Fig. 1–3, 5, 6, 9, 10, 15, 16: BSP-Rei T 11
 Fig. 4: BSP-Rei T 14
 Fig. 7, 8: BSP-Rei T 7
 Fig. 11, 12: BSP-Rei T 15
 Fig. 13, 14: BSP-Rei T 6

SCHRIFTENVERZEICHNIS

- AGIP (1982): Foraminiferi Padani (Terziario e Quarternario). Atlante iconografico e distribuzione stratigrafica. — 2. Ausg., 52 Taf., 1 Tab.; Mailand (AGIP S.p.A.).
- ALEXANDROWICZ, S. W. (1979): Middle Miocene (Badenian) sequence at Górki, southern part of the Korytnica Bay (Holy Cross Mountains, Central Poland). — Acta geol. polon., **29** (3): 353–361, 4 Abb.; Warschau.
- ANDREAE, A. (1884): Ein Beitrag zur Kenntnis des Elsässer Tertiärs. — Abh. Geol. Spezialkarte v. Elsaß-Lothringen, **2**: 1–331, Taf. 1–12, 2 Kartensk.; Straßburg.
- ARNI, P. (1965): L'évolution des Nummulitidae en tant que facteur de modification des dépôts littoraux. — Coll. Intern. Micropaléont. Dakar. 1963, Mém. B. R. G. M., **32**: 7–20, 2 Abb.; Paris.
- BÁLDI, T. (1984): The terminal Eocene and Early Oligocene events in Hungary and the separation of an anoxic, cold Paratethys. — Eclogae geol. Helv., **77** (1): 1–27, 12 Abb.; Basel.
- BÁLDI, T. & SENEŠ, J. (1975): Die Definition der Zeiteinheit OM-Egerien. — In: Chronostratigraphie und Neostatotypen V, Miozän OM Egerien, 41–42; Bratislava (Slow. Akad. Wiss.).
- BANDY, O. L. (1949): Eocene and Oligocene Foraminifera from Little Slave Creek, Clarke County, Alabama. — Bull. Amer. Paleont., **32** (131): 35–236, Taf. 5–31, 2 Klapptaf.; Ithaca/N. Y.
- (1960): General Correlation of Foraminiferal Structure with Environment. — Int. Geol. Congr. Copenhagen, Rep. 21st Session Norden, **22**: 7–19, 9 Abb.; Kopenhagen.
- BARKER, R. W. (1960): Taxonomic Notes on the Species Figured by H. B. Brady in his Report on the Foraminifera Dredged by H. M. S. Challenger During the Years 1873–1876. — Soc. Econ. Paleont. Min., Spec. Publ., **9**: 1–238, Taf. 1–115; Tulsa/Oklahoma.
- BATJES, D. A. J. (1958): Foraminifera of the Oligocene of Belgium. — Mém. Inst. Royal Sci. Nat. Belgique, **143**: 1–188, 11 Abb., Taf. 1–13, 4 Tab.; Brüssel.
- BECKMANN, J. P. (1953): Die Foraminiferen der Oceanic Formation (Eocaen-Oligocaen) von Barbados, Kl. Antillen. — Eclogae geol. Helv., **46**: 301–412, 29 Abb., Taf. 16–30, 1 Tab.; Basel.
- (1957): *Chiloguembelina* Loeblich and Tappan and Related Foraminifera from Lower Tertiary of Trinidad, B. W. I. — U. S. National Mus. Bull., **215**: 83–95, Abb. 14–16, Taf. 21; Washington, D. C.
- VAN BELLEN, R. C., DE WITT PUYT, J. F. C., RUTGERS, A. C. & VAN SOEST, J. (1941): Smaller Foraminifera from the Lower Oligocene of Cuba. — Proc. Nederl. Akad. Wetensch., **44** (9): 1140–1146, 1 Taf., 1 Tab.; Amsterdam.
- BERGGREN, W. A. (1969): Paleogene Biostratigraphy and Planktonic Foraminifera of Northern Europe. — Proc. First Int. Conf. Plankt. Microfossils, Geneva 1967, **1**: 121–160, 7 Abb., Taf. 1–8, 3 Tab.; Leiden (Brill).
- BERGGREN, W. A. & AMDURER, M. (1973): Late Paleogene (Oligocene) and Neogene planktonic foraminiferal biostratigraphy of the Atlantic Ocean (Lat. 30° N to Lat. 30° S). — Rivista Ital. Paleont. Strat., **79** (3): 337–392, 11 Abb., Taf. 25–33; Mailand.
- BERGGREN, W. A., AUBRY, M. P. & HAMILTON, N. (1983): Neogene Magnetobiostratigraphy of Deep Sea Drilling Project Site 516 (Rio Grande Rise, South Atlantic). — Init. Rep. DSDP, **72**: 675–713, 19 Abb., Taf. 1–6, 7 Tab.; Washington.
- BERGGREN, W. A., OLSSON, R. K. & REYMENT, R. A. (1967): Origin and development of the foraminiferal genus *Pseudobastigerina* Banner and Blow, 1959. — Micropaleontology, **13** (3): 265–288, 12 Abb., Taf. 1, 13 Tab.; New York.
- BERMÚDEZ, P. J. (1961): Contribución al estudio de las Globigerinidea de la Región Caribe-Antillana (Paleoceno-Recente). — Mem. III, Congr. Geol. Venezol., Tomo III, Bol. Geol., Publ. especial, **3**, 1960: 1119–1393, Taf. 1–20; Caracas.
- BHATIA, S. B. (1955): The Foraminiferal Fauna of the Late Paleogene Sediments of the Isle of Wight, England. — J. Paleont., **29** (4): 665–693, 7 Abb., Taf. 66, 67, 5 Tab.; Tulsa/Oklahoma.
- BIK, E. T. (1964): An aberrant Nonionid from the Miocene of the Mayence basin. — Notizbl. hess. L.-Amt Bodenforsch., **92**: 68–74, 3 Abb., Taf. 5; Wiesbaden.
- BIZON, G. (1960): Révision de quelques espèce-types de foraminifères du Lias du Bassin Parisien de la collection Terquem. — Revue Micropaléont., **3** (1): 3–18, Taf. 1–4; Paris.
- BLOW, W. H. (1959): Age, Correlation and Biostratigraphy of the Upper Tocuyo (San Lorenzo) and Pozón Formations, Eastern Falcón, Venezuela. — Bull. Amer. Paleont., **39** (178): 59–251, 5 Abb., Taf. 6–19, 4 Tab., 4 Karten; Ithaca/N. Y.
- (1969): Late Middle Eocene to Recent Planktonic Foraminiferal Biostratigraphy. — Proc. First Int. Conf. Plankt. Microfossils, Geneva 1967, **1**: 199–422, 43 Abb., Taf. 1–54; Leiden (Brill).
- (1979): The Cainozoic Globigerinida. A study of the Morphology, Taxonomy, Evolutionary Relationships and the Stratigraphical Distribution of some Globigerinida (mainly Globigerinaceae). — Bd. 1, I–XV, 1–752, Abb. 1–65, Abb. A–Y, Abb. AA–AZ; Bd. 2, 753–1413; Bd. 3, I–XXI, Taf. 1–264; Leiden (Brill).
- BLOW, W. H. & BANNER, F. T. (1962): The Mid-Tertiary (Upper Eocene to Aquitanian) Globigerinaceae. — In: EAMES, F. E., BANNER, F. T., BLOW, W. H. & CLARKE, W. J.: Fundamentals of Mid-Tertiary Stratigraphical Correlation, 61–151, 20 Abb., Taf. 8–17; Cambridge/G. B.
- BODEN, K. (1935): Ein Beitrag zur Kenntnis der Chiemgauer Molasse. — Z. deutsch. geol. Ges., **87** (6): 337–354, 2 Abb., 2 Tab.; Berlin.
- BOLLI, H. M. (1954): Note on *Globigerina concinna* REUSS 1850. — Contrib. Cushman Found. Foramin. Res., **5** (1): 1–3, 8 Abb.; Washington, D. C.
- (1957): Planktonic Foraminifera from the Oligocene-Miocene Cipero and Lengua Formations of Trinidad, B. W. I. — U. S. National Mus. Bull., **215**: 97–123, Abb. 17–21, Taf. 22–29; Washington, D. C.
- BOLLI, H. M., LOEBLICH, A. R. & TAPPAN, H. (1957): Planktonic foraminiferal families Hantkeninidae, Orbulinidae, Globorotaliidae, and Globotruncanidae. — U. S. National Mus. Bull., **215**: 3–50, Abb. 1–9, Taf. 1–11; Washington, D. C.
- BOLTOVSKOY, E. & WRIGHT, R. (1976): Recent Foraminifera. — I–XVII, 1–515, 133 Abb., 17 Tab.; Den Haag (W. Junk).
- BORNEMANN, J. G. (1855): Die mikroskopische Fauna des Septarienthones von Hermsdorf bei Berlin. — Z. deutsch. geol. Ges., **7**: 307–371, Taf. 12–21; Berlin.
- BORSETTI, A. M. (1959): Tre nuovi foraminiferi planctonici dell'Oligocene piacentino. — Giorn. Geol., **27**, 1956–57: 205–212, Taf. 13; Bologna.
- BOUSSAC, J. (1911): Études paléontologiques sur le Nummulitique Alpin. — Mém. Carte Géol. Détaillée France, I–VII, 1–437, 9 Abb., Taf. 1–22, 4 Tab.; Paris.
- BRADY, H. B. (1881): Notes on some of the Reticularian Rhizopoda of the „Challenger“ Expedition. Part III. — Quart. J. Micr. Sci., n. s., **21**: 1–41; London (Separatdruck).
- BRAUMÜLLER, E. (1961): Die paläogeographische Entwicklung des Molassebeckens in Oberösterreich und Salzburg. — Erdoel-Zeitschrift, 1961 (11): 1–14, 2 Karten; Wien – Hamburg (Separatdruck).
- BROCKERT, M. & PAULUS, B. (1966): Mikrofaunen aus den Oligozänablagerungen des Blattes Tegernsee. — In: STEPHAN, W. & HESSE, R.: Erläuterungen zur Geologischen Karte von Bayern 1:25000, Blatt Nr. 8236 Tegernsee, 133–158, Abb. 22–25, 2 Tab.; München (Bayer. Geol. Landesamt).
- BUTT, A. A. (1966): Late Oligocene Foraminifera from Escornebéou, SW France. — 123 S., 15 Abb., 8 Taf., 2 Tab.; Utrecht (Schotanus & Jens).
- LE CALVEZ, Y. (1966): Contribution à l'étude des Foraminifères de l'Oligocène inférieur (Sannoisien) dans le Bassin de Paris. — Eclogae geol. Helv., **59** (1): 401–419, 1 Abb., Taf. 1–3; Basel.

- (1970): Contribution à l'étude des Foraminifères Paléogènes du Bassin de Paris. — Cahiers Paléont., 1970: 326 S., 75 Abb., 48 Taf., 2 Klapptaf., 5 Beil.; Paris.
- CAMPREDON, R. & TOUMARKINE, M. (1972): Les formations Paléogènes du Synclinal de Puget — Théniers — Entrevaux (Basses Alpes-France). — Revue Micropaléont., 15 (3): 134–148, 3 Abb., 2 Taf., 2 Tab.; Paris.
- CICHA, I., ČTYROKÁ, J. & HORVÁTH, M. (1975): Die Foraminiferen des Egerien. — In: Chronostratigraphie und Neostatotypen V, Miozän OM Egerien, 233–277, Taf. 1–12; Bratislava (Slow. Akad. Wiss.).
- CICHA, I., HAGN, H. & MARTINI, E. (1971): Das Oligozän und Miozän der Alpen und Karpaten. Ein Vergleich mit Hilfe planktonischer Organismen. — Mitt. Bayer. Staatssamml. Paläont. hist. Geol., 11: 279–293, 1 Tab.; München.
- CICHA, I., KRHOVSKÝ, J., BRZOBHATÝ, R., ČTYROKÁ, J., VON DANIELS, C. H., HAUNOLD, T., HORVÁTH, M., ŁUCZKOWSKA, E., REISER, H., RUPP, C., RIJAVEC, L. & WENGER, W. (1986): Oligocene and Miocene *Uvigerina* from the Western and Central Paratethys. — In: VAN DER ZWAAN, G. J., JORISSEN, F. J., VERHALLEN, P. J. J. M. & VON DANIELS, C. H. (Hrsg.), Atlantic-European Oligocene to recent *Uvigerina*, Utrecht Micropal. Bull., 35: 121–181, 1 Abb., Taf. 1–21; Hoozeven/Niederlande.
- CICHA, I. & ZAPLETALOVÁ, I. (1960): Stratigraphisch-paläontologische Erkenntnisse über einige Vertreter der Gattung *Cibicides* aus dem Neogen des Wiener Beckens, der Karpatischen Vortiefe und des Waagtales. — Sborn. ústr. ústav. geol., odd. paleont., 25 (1958): 7–60, 1 Abb., Taf. 1–8, 1 Tab.; Prag.
- (1963): Wichtige Vertreter der Familie Lituolidae REUSS, 1861 (Foraminifera) aus dem Miozän der Westkarpaten. — Sborn. geol. ved, paleont., 1: 75–121, 21 Abb., 1 Tab.; Prag.
- (1967): Die Foraminiferen der Karpatischen Serie. — In: Chronostratigraphie und Neostatotypen I, Miozän der zentralen Paratethys M₃ (Karpaten), 104–148, Taf. 1A–27A; Bratislava (Slow. Akad. Wiss.).
- CICHA, I., ZAPLETALOVÁ, I., MOLČÍKOVÁ, V. & BRZOBHATÝ, R. (1983): Stratigraphical Range of Eggenburgien — Badenian Foraminifera in West Carpathian Basins. — Knihov. Zem. plynu nafty, 4: 99–144, Taf. 1–17, 21 Tab.; Hodonín/ČSSR.
- CICHA, I., ZAPLETALOVÁ, I., PAPP, A., ČTYROKÁ, J. & LEHOTAYOVÁ, R. (1971): Die Foraminiferen der Eggenburger Schichtengruppe (incl. Arcellinida). — In: Chronostratigraphie und Neostatotypen II, Miozän der zentralen Paratethys M₁ Eggenburgien, 234–355, Taf. 1–34; Bratislava (Slow. Akad. Wiss.).
- COLE, W. S. (1927): A Foraminiferal Fauna from the Guayabal Formation in Mexico. — Bull. Amer. Paleont., 14 (51): 1–47, Taf. 1–5; Ithaca/N. Y.
- CUSHMAN, J. A. (1910): A Monograph of the Foraminifera of the North Pacific Ocean. Part I. Astorhizidae and Lituolidae. — U. S. National Mus. Bull., 71: 1–XIV, 1–134, 203 Abb.; Washington.
- (1911): A Monograph of the Foraminifera of the North Pacific Ocean. Part II. Textulariidae. — U. S. National Mus. Bull., 71: I–XIII, 1–108, 156 Abb.; Washington.
- (1913): A Monograph of the Foraminifera of the North Pacific Ocean. Part III. Lagenidae. — U. S. National Mus. Bull., 71: I–IX, 1–125, Taf. 1–47; Washington.
- (1918): The Foraminifera of the Atlantic Ocean. Part I. Astorhizidae. — U. S. National Mus. Bull., 104: I–VII, 1–111, Taf. 1–39; Washington.
- (1920): The Foraminifera of the Atlantic Ocean. Part 2. Lituolidae. — U. S. National Mus. Bull., 104: I–VII, 1–111, Taf. 1–18; Washington.
- (1922): The Foraminifera of the Byram Calcareous Marl at Byram, Mississippi. — U. S. Geol. Surv. Prof. Pap., 129-E: 87–105, Taf. 14–28; Washington.
- (1923a): The Foraminifera of the Atlantic Ocean. Part 4. Lagenidae. — U. S. National Mus. Bull., 104: I–X, 1–228, Taf. 1–42; Washington.
- (1923b): The Foraminifera of the Vicksburg Group. — U. S. Geol. Surv. Prof. Pap., 133: 11–71, Taf. 1–8, 1 Tab.; Washington.
- (1925): Eocene Foraminifera from the Cocoa Sand of Alabama. — Contrib. Cushman Lab. Foram. Res., 1 (3): 65–70, Taf. 10; Sharon/Mass.
- (1926): The Genus *Chilostomella* and Related Genera. — Contrib. Cushman Lab. Foram. Res., 1 (4): 73–80, Taf. 11; Sharon/Mass.
- (1927a): New and Interesting Foraminifera from Mexico and Texas. — Contrib. Cushman Lab. Foram. Res., 3 (2): 111–119, Taf. 22, 23; Sharon/Mass.
- (1927b): Some Notes on the Genus *Ceratobulimina*. — Contrib. Cushman Lab. Foram. Res., 3 (4): 171–179, Taf. 29, 30; Sharon/Mass.
- (1928a): Foraminifères du Stampien du Bassin de Paris. — Bull. Soc. Sci. Seine-et-Oise, 2^e série, 9 (4): 47–57, Taf. 1–3; Versailles.
- (1929): The Genus *Bolivina* and Its Species. — Contrib. Cushman Lab. Foram. Res., 5 (2): 28–34, Taf. 5; Sharon/Mass.
- (1932): The Genus *Vulvulina* and Its Species. — Contrib. Cushman Lab. Foram. Res., 8 (3, 4): 75–85, Taf. 10; Sharon/Mass.
- (1936a): Some New Species of *Nonion*. — Contrib. Cushman Lab. Foram. Res., 12 (3): 63–69, Taf. 12; Sharon/Mass.
- (1936b): New Genera and Species of the Families Verneuilinidae and Valvulinidae and of the Subfamily Virgulininae. — Cushman Lab. Foram. Res., Spec. Publ., 6: 1–71, Taf. 1–8; Sharon/Mass.
- (1937a): A Monograph of the Foraminiferal Family Valvulinidae. — Cushman Lab. Foram. Res., Spec. Publ., 8: I–XIII, 1–210, 7 Abb., Taf. 1–24; Sharon/Mass.
- (1937b): A Monograph of the Subfamily Virgulininae of the Foraminiferal Family Buliminidae. — Cushman Lab. Foram. Res., Spec. Publ., 9: 1–228, 1 Abb., Taf. 1–24; Sharon/Mass.
- (1939): A Monograph of the Foraminiferal Family Nonionidae. — U. S. Geol. Surv. Prof. Pap., 191: 1–100, Taf. 1–20; Washington, D. C.
- (1945): The Species of the Subfamily Reussellinae of the Foraminiferal Family Buliminidae. — Contrib. Cushman Lab. Foram. Res., 21 (2): 23–54, Taf. 5–8; Sharon/Mass.
- CUSHMAN, J. A. & BERMUDEZ, P. J. (1936): Additional New Species of Foraminifera and a New Genus from the Eocene of Cuba. — Contrib. Cushman Lab. Foram. Res., 12 (3): 55–63, Taf. 10–11; Sharon/Mass.
- CUSHMAN, J. A. & EDWARDS, P. G. (1937): Notes on the Early Described Eocene Species of *Uvigerina* and Some New Species. — Contrib. Cushman Lab. Foram. Res., 13 (2): 54–61, Taf. 8; Sharon/Mass.
- (1938): Notes on the Oligocene Species of *Uvigerina* and *Angulogerina*. — Contrib. Cushman Lab. Foram. Res., 14 (4): 74–89, Taf. 13–15; Sharon/Mass.
- CUSHMAN, J. A. & LAIMING, B. (1931): Miocene Foraminifera from Los Sauces Creek, Ventura County, California. — J. Paleont., 5 (2): 79–120, 5 Abb., Taf. 9–14; Tulsa/Oklahoma.
- CUSHMAN, J. A. & OZAWA, Y. (1930): A Monograph of the Foraminiferal Family Polymorphinidae Recent and Fossil. — Proc. U. S. National Mus., 77: 1–185, Taf. 1–40; Washington, D. C.
- CUSHMAN, J. A. & PARKER, F. L. (1937): Notes on Some European Eocene Species of *Bulimina*. — Contrib. Cushman Lab. Foram. Res., 13 (2): 46–54, Taf. 6, 7; Sharon/Mass.
- (1947): *Bulimina* and Related Foraminiferal Genera. — U. S. Geol. Surv. Prof. Pap., 210-D: 55–176, Taf. 15–30; Washington, D. C.
- CUSHMAN, J. A. & PONTON, G. M. (1932): An Eocene Foraminiferal Fauna of Wilcox Age from Alabama. — Contrib. Cushman Lab. Foram. Res., 8 (3, 4): 51–72, Taf. 7–9; Sharon/Mass.
- CUSHMAN, J. A. & RENZ, H. H. (1941): New Oligocene — Miocene Foraminifera from Venezuela. — Contrib. Cushman Lab. Foram. Res., 17 (1): 1–27, Taf. 1–4; Sharon/Mass.
- CUSHMAN, J. A. & SIMONSON, R. R. (1944): Foraminifera from the Tumey formation, Fresno County, California. — J. Paleont., 18 (2): 186–203, 5 Abb., Taf. 30–34; Tulsa/Oklahoma.
- CUSHMAN, J. A. & STAINFORTH, R. M. (1945): The Foraminifera of the Cipero Marl Formation of Trinidad, British West Indies. — Cushman Lab. Foram. Res., Spec. Publ., 14: 1–75, Taf. 1–16; Sharon/Mass.

- CUSHMAN, J. A. & TODD, R. (1942): The Genus *Cancris* and Its Species. — Contrib. Cushman Lab. Foramin. Res., 18 (4): 72–94, Taf. 17–24; Sharon/Mass.
- (1946): A Foraminiferal Fauna from the Byram Marl at Its Type Locality. — Contrib. Cushman Lab. Foramin. Res., 22 (3): 76–102, Taf. 13–16; Sharon/Mass.
- (1949a): Species of the Genera *Allomorphina* and *Quadriforina*. — Contrib. Cushman Lab. Foramin. Res., 25 (3): 59–72, Taf. 11, 12; Sharon/Mass.
- (1949b): Species of the Genus *Chilostomella* and Related Genera. — Contrib. Cushman Lab. Foramin. Res., 25 (4): 84–99, Taf. 15, 16; Sharon/Mass.
- CUVILLIER, J. & SZAKALL, V. (1949): Foraminifères d'Aquitaine. Première Partie (Reophacidae à Nonionidae). — Soc. Nat. Pétr. Aquit., 112 S., 32 Taf.; Toulouse.
- CZJZEK, J. (1848): Beitrag zur Kenntnis der fossilen Foraminiferen des Wiener Beckens. — Haidingers Naturwiss. Abh., 2: 137–150, Taf. 12, 13; Wien.
- TEN DAM, A. & REINHOLD, T. (1942): Die stratigraphische Gliederung des niederländischen Oligo-Miozäns nach Foraminiferen. — Meded. geol. Sticht., Ser. C–V, 2: 5–106, Taf. 1–10; Maastricht.
- VON DANIELS, C. H. & SPIEGLER, D. (1977): Uvigerinen (Foram.) im Neogen Nordwestdeutschlands. (Das Nordwestdeutsche Tertiärbecken, Beitrag Nr. 23). — Geol. Jb., A40: 3–59, 6 Abb., Taf. 1–9, 6 Tab.; Hannover.
- DETLING, M. R. (1946): Foraminifera of the Coos Bay Lower Tertiary, Coos County, Oregon. — J. Paleont., 20 (4): 348–361, 2 Abb., Taf. 46–51; Tulsa/Oklahoma.
- DIECI, G. (1959): I Foraminiferi Tortoniani di Montegibbio e Castelvetro (Appennino Modenese). — Paleontogr. Ital., 54: 1–113, 2 Abb., Taf. 1–8; Pisa.
- DOEBL, F. (1962): Foraminifera. — In: Leitfossilien der Mikropaläontologie, 385–391, Taf. 56, 57, Tab. 22; Berlin (Gebr. Borntraeger).
- DOEBL, F. & SONNE, V. (1972): Foraminiferen. — In: DOEBL, F., MOWAHED-AWAL, H., ROTHE, P., SONNE, V., TOBIEN, H., WEILER, H. & WEILER, W.: Ein „Aquitain“-Profil von Mainz-Weisenau (Tertiär, Mainzer Becken). — Geol. Jb., A5: 52–67, Taf. 9–11; Hannover.
- EGGER, J. G. (1857): Die Foraminiferen der Miocän-Schichten bei Ortenburg in Niederbayern. — N. Jb. Min., Geogn. Geol. Petref. — Kde., 1857: 266–311, Taf. 5–15; Stuttgart.
- ELLERMANN, C. (1960): Die Foraminiferen aus dem Oligozän des Schachtes Kapellen (Niederrhein) mit Variationsstatistik von Elphidium subnodosum (ROEMER). — Geol. Jb., 77: 645–710, 10 Abb., Taf. 51–54, 1 Tab.; Hannover.
- EMILIANI, C. (1954): The Oligocene Microfaunas of the Central Part of the Northern Apennines. — Paleontogr. Ital., 48, 1952–53: 77–184, 3 Abb., Taf. 21–25, 20 Tab.; Pisa.
- EMMRICH, A. (1855): Beitrag zur Kenntnis der südbayerischen Molasse. — Jb. k. k. geol. R.-A., 6: 433–444; Wien.
- (1861): Ein Beitrag zur Kenntnis der südbayerischen Molasse. — Sitzber. k. Akad. Wiss., 43: 13–22; Wien.
- ESPITALIÉ, J. & SIGAL, J. (1960): Microstratigraphie des „marnes bleues“ des bassins tertiaires des Alpes méridionales. Le genre *Caucasina* (Foraminifère). — Revue Micropaléont., 3 (4): 201–206, 1 Abb., Taf. 1; Paris.
- FICHEL, L. & MOLL, J. P. C. (1803): Testacea microscopica aliaque minuta ex generibus *Argonauta* et *Nautilus* ad naturam delineata et descripta. — I–XII, 1–123, 24 Taf.; Wien (Camesianische Buchhandlung; 2. unveränd. Aufl.).
- FISCHER, W. (1960): Stratigraphische und tektonische Beobachtungen im Gebiet der Murnauer Mulde und Steineberg Mulde (Oberbayern, Allgäu und Vorarlberg). — Bull. Ver. Schweizer. Petrol.-Geol. u. -Ing., 27: 39–57, 6 Abb.; Basel.
- (1979): Gesteine, Marken und Spuren der Deutenhausener Schichten (Subalpine Molasse, Latdorf/Rupel, Oberbayern). — Aufschluß, 30: 441–462, 19 Abb.; Heidelberg.
- FRANKE, A. (1912): Die Foraminiferen der Tiefbohrung Th. XVI auf Blatt Allermöhe bei Hamburg. — Jb. Wiss. Anst. Hamburg, 29 (Bh. 4), 1911: 29–31, 1 Abb.; Hamburg.
- (1925): Die Foraminiferen des norddeutschen Unter-Oligocäns mit besonderer Berücksichtigung der Funde an der Fritz-Ebert-Brücke in Magdeburg. — Abh. Ber. Mus. Nat. u. Heimatkd. u. Nat. Ver., 4: 146–190, Taf. 5, 6; Magdeburg.
- (1927): Die Foraminiferen und Ostracoden des Palaeocäns von Rugaard in Jütland und Sundkrogen bei Kopenhagen. — Danmarks geol. Unders., II. Række, 46: 1–49, Taf. 1–4; Kjøbenhavn.
- FRIESE, H. (1951): Zur Foraminiferen-Fauna der Meeresmolasse des unteren Inngebietes. — Abh. Geol. Dienstes Berlin, N. F., 227: 1–52, 1 Abb., Taf. 1–14; Berlin.
- GANSS, O. (1977): Erläuterungen zum Blatt Nr. 8140 Prien a. Chiemsee und zum Blatt Nr. 8141 Traunstein, Geologische Karte von Bayern 1:25000. Mit Beiträgen zahlreicher Autoren. — 1–344, 58 Abb., 8 Tab., 4 Beil.; München (Bayer. Geol. Landesamt).
- GEISSLER, P. (1975): Räumliche Veränderung und Zusammensetzung der Flöze in den Kohlenbergwerken Hausham und Penzberg. — Geologica Bavarica, 73: 61–106, 12 Abb., 2 Beil.; München.
- GHEORGHIAN, M. (1971): Sur quelques affleurements de dépôts ottomangiens de Roumanie et sur leur contenu microfaunique. — Mém. Inst. Géol., Études Micropaléont., 14: 103–122, 8 Abb., Taf. 1–7, 1 Beil.; Bukarest.
- GIANNINI, E. & TAVANI, G. (1960): Foraminiferi miocenici e pliocenici di un sondaggio effettuato in Val di Trossa (Toscana). — Palaeontogr. Ital., 55: 21–90, Taf. 2–10, 1 Tab.; Pisa.
- GIANOTTI, A. (1953): Microfauna della serie tortoniana del Rio Mazzapiedi — Castellania (Tortona — Alessandria). — Rivista Ital. Paleont. Strat., Mem. 6: 167–308, 10 Abb., Taf. 10–19, 6 Tab.; Mailand.
- GLAÇON, G. & MAGNÉ, J. (1953): *Sigmoilina colomi*, nouveau Foraminifère du Miocène algérien. — Compte Rendu Somm. Séances Soc. Géol. France, 1953: 56–58, 5 Abb.; Paris.
- GLAÇON, G. & SIGAL, J. (1974): Morphologie de l'appendice buccal chez *Caucasina* (Foraminifère), suivie d'une comparaison avec celui de divers genres de Buliminidae. — Revista Española Micropaleont., 6 (2): 209–227, 1 Abb., Taf. 1–6, 1 Tab.; Madrid.
- GRAMANN, F. (1964): Die Arten der Foraminiferen-Gattung *Asterigerina* D'ORB. im Tertiär NW-Deutschlands. — Paläont. Z., 38 (3/4): 207–222, 2 Abb., Taf. 20, 21; Stuttgart.
- GRIMM, W.-D. (1965): Schwermineralgesellschaften in Sandschüttungen, erläutert am Beispiel der süddeutschen Molasse. — Abh. Bayer. Akad. Wiss., Math.-Naturwiss. Kl., N. F.: 121: 1–135, 3 Abb., 10 Beil.; München.
- GROSSHEIDE, K. (1965): 3.1. Textulariidae bis Buliminidae. — In: GROSSHEIDE, K. & TRUNKO, L.: Die Foraminiferen des Doberges bei Bünde und von Astrup mit Beiträgen zur Geologie dieser Profile (Oligozän, NW-Deutschland). — Beih. geol. Jb., 60: 50–119, Abb. 14, Taf. 3–12, Faltaf. 18; Hannover.
- GRUNIG, A. (1979): Palaeoökologische Untersuchungen an eozaenen benthonischen Kleinforminiferen aus Norditalien und Nordspanien. — Diss. Univ. Bern, phil.-naturwiss. Fakultät, 1977, 186 S., 51 Abb., 7 Taf.; Bern (Fotodruck).
- GRZYBOWSKI, J. (1894): Mikrofauna karpackiego piaskowca spod Dukli. — Ak. Um. Rozpr. Wydz. Mat.-przycz., 29: 181–214, Taf. 2–6; Krakau.
- (1896): Otwornice czerwonych ilow z Wadowic. — Ak. Um. Rozpr. Wydz. Mat.-przycz., 30: 261–308, Taf. 8–11; Krakau.
- GUMBEL, C. W. (1861): Geognostische Beschreibung des bayerischen Alpengebirges und seines Vorlandes. — I–XX, 1–950, 25 Abb., 42 Profiltaf., 5 geol. Karten; Gotha (Justus Perthes).
- (1868): Beiträge zur Foraminiferenfauna der nordalpinen, älteren Eocägebilde oder der Kressenberger Nummulitenschichten. — Abh. k. bayer. Akad. Wiss., II. Cl., 10 (II. Abth): 581–730, Taf. 1–4; München.
- (1875): Abriß der geognostischen Verhältnisse der Tertiärschichten bei Miesbach und des Alpengebietes zwischen Tegernsee und Wendelstein. — 76 S., 3 Abb., 2 Tab., 2 geogn. Kartenbl.; München (Akad. Buchdr. F. Straub).
- (1894): Geologie von Bayern. — I–VIII, 1–1184, zahlr. Abb. u. Tab., 1 geol. Karte; Kassel (Th. Fischer).
- HAGN, H. (1952): Foraminiferen der subalpinen Molasse. — Geologica Bavarica, 10: 121–191, Taf. 1–4, 1 Tab.; München.

- (1954): Some Eocene Foraminifera from the Bavarian Alps and Adjacent Areas. — Contrib. Cushman Found. Foramin. Res., 5: 14–20, Taf. 3–4; Washington.
- (1955): Paläontologische Untersuchungen am Bohrgut der Bohrungen Ortenburg CF 1001, 1002 und 1003 in Niederbayern. — Z. deutsch. geol. Ges., 105, 1953: 324–359, 4 Abb., Taf. 10; Hannover.
- (1956): Geologische und paläontologische Untersuchungen im Tertiär des Monte Brione und seiner Umgebung (Gardasee, Ober-Italien). — Palaeontographica, A, 107: 67–210, 8 Abb., Taf. 7–18; Stuttgart.
- (1960): Die stratigraphischen, paläogeographischen und tektonischen Beziehungen zwischen Molasse und Helvetikum im östlichen Oberbayern. — Geologica Bavarica, 44: 1–208, 10 Abb., Taf. 1–12, 1 Tab.; München.
- (1967): Das Alttertiär der Bayerischen Alpen und ihres Vorlandes. — Mitt. Bayer. Staatsslg. Paläont. hist. Geol., 7: 245–320, 3 Abb., 1 Tab.; München.
- (1978): Die älteste Molasse im Chiemgau/östliches Oberbayern (Katzenloch-Schichten, Priabon). — Mitt. Bayer. Staatsslg. Paläont. hist. Geol., 18: 167–235, 5 Abb., Taf. 13–16; München.
- (1981): Die Bayerischen Alpen und ihr Vorland in mikropaläontologischer Sicht. Exkursionsführer zum 17. Europäischen Mikropaläontologischen Kolloquium in Oberbayern, September 1981. Mit Beiträgen zahlreicher Autoren. — Geologica Bavarica, 82: 1–408, 70 Abb., 13 Taf., 7 Tab.; München.
- HAGN, H. & HÖLZL, O. (1952): Geologisch-paläontologische Untersuchungen in der subalpinen Molasse des östlichen Oberbayerns zwischen Prien und Sur mit Berücksichtigung des im Süden anschließenden Helvetikums. — Geologica Bavarica, 10: 1–208, 7 Abb., Taf. 1–8; München.
- (1955): Zur Grenzziehung Katt/Aquitain in der bayerischen Molasse. — N. Jb. Geol. Paläont. Mh., 1954: 1–40, 2 Tab.; Stuttgart.
- HAGN, H., HÖLZL, O. & HRUBESCH, K. (1962): Zur Gliederung des Oligozäns im östlichen Oberbayern und in Nordtirol. — N. Jb. Geol. Paläont. Mh., 1962: 423–447, 1 Abb., 1 Tab.; Stuttgart.
- HAGN, H. & LINDENBERG, H. G. (1969): Revision der von C. W. GÜMBEL 1868 aus dem Eozän des Bayerischen Alpenvorlandes beschriebenen planktonischen Foraminiferen. — Proc. First Conf. Plankt. Microfoss., Geneva 1967, 2: 229–249, 6 Abb., Taf. 1; Leiden (Brill).
- HANSEN, H. J. & LYKKE-ANDERSEN, A.-L. (1976): Wall structure and classification of fossil and recent elphidium and nonionid Foraminifera. — Fossils and Strata, 10: 1–37, 8 Abb., Taf. 1–22, 1 Tab.; Oslo.
- HANSEN, H. J. & REISS, Z. (1972): Scanning Electron Microscopy of some Asterigerinid Foraminiferida. — J. Foramin. Res., 2 (4): 191–199, Taf. 1–10; Lawrence/Kansas.
- V. HANTKEN, M. (1875): Die Fauna der *Clavulina Szabói*-Schichten. I. Theil: Foraminiferen. — Mitt. Jb. k. ungar. geol. Anst., 4: 1–94, Taf. 1–16, 1 Tab.; Budapest.
- DE LA HARPE, P. (1879): Description des Nummulites appartenant à la Zone supérieure des Falaises de Biarritz. — Bull. Soc. Borda, 4: 1–20, Taf. 1; Dax (Separatdruck).
- HAUSMANN, H. E. (1964): Foraminiferenfauna und Feinstratigraphie des mitteloligozänen Septarientones im Raum zwischen Magdeburg und Dessau — Teil I: Foraminiferenfauna. — Hercynia, N. F., 1 (3 u. 4): 314–419, 4 Abb., Taf. 1–8, 1 Tab.; Leipzig.
- HAYNES, J. R. (1981): Foraminifera. — 433 S., 96 Abb., 18 Taf.; London (Macmillan Publ. Ltd.).
- HEERMANN, O. (1954): Erdölgeologische Grundlagen der Aufschlußarbeiten im ostbayerischen Molassebecken. — Bull. Ver. Schweizer. Petrol.-Geol. u. -Ing., 21: 5–22, 5 Abb.; Basel.
- HÖFLE, H.-C. & KUHNERT, C. (1969): Erläuterungen zur Geologischen Karte von Bayern 1:25000, Blatt Nr. 8331 Bayersoien. Mit Beiträgen weiterer Autoren. — 1–122, 25 Abb., 2 Tab., 1 Beil.; München (Bayer. Geol. Landesamt).
- HÖLZL, O. (1948): Molluskenfaunen der subalpinen Molasse Oberbayerns. (Vorläufiger Bericht). — N. Jb. Min. Geol. Paläont. Mh., B, 1945–48: 385–400; Stuttgart.
- (1962): Die Molluskenfauna der oberbayerischen marinen Oligozänmolasse zwischen Isar und Inn und ihre stratigraphische Auswertung. — Geologica Bavarica, 50: 1–275, 13 Abb., Taf. 1–12, 8 Tab.; München.
- (1973): Faziostratotypus: Kaltenbachgraben, Landkreis Miesbach-Aibling, Oberbayern, Bundesrepublik Deutschland (Profil der Gerner, Alber und Kirchberger Schichtenfolge). — In: Chronostratigraphie und Neostratotypen III, Miozän der zentralen Paratethys M₂ Ottangien, 155–196, Abb. 22, 23, Tab. 4; Bratislava (Slow. Akad. Wiss.).
- HOFKER, J. (1948): On *Asterigerina gürichi* (FRANKE) and Remarks on Polymorphism and the Stratigraphic Use of Foraminifera. — J. Paleont., 22 (4): 509–517, 6 Abb.; Tulsa/Oklahoma.
- (1951): Siboga Expedition. The Foraminifera of the Siboga Expedition. Part III. Ordo Dentata, Sub-Ordines Protoforaminata, Biforaminata, Deuteroforaminata. — 513 S., 348 Abb.; Leiden (Brill).
- (1952): Taxonomische Untersuchung von *Planulina osnabrugensis* ROEMER 1838 (For.). — Geol. Jb., 66, 1950: 383–388, 6 Abb.; Hannover.
- (1959): Die asterigeriniden Foraminiferen. — Paläont. Z., 33 (4): 247–265, 31 Abb.; Stuttgart.
- (1970): Studies of Foraminifera, Part II. — Publ. Natuurhist. Genootsch. Limburg, 20: 5–98, Abb. 16–26, Taf. 25–53; Maastricht.
- HOFMANN, G. W. (1962): Der Muldenbau in der subalpinen Molasse des Prienprofils im östlichen Oberbayern. — Z. Deutsch. Geol. Ges., 113: 557–570, 4 Abb.; Hannover.
- (1967): Untersuchungen an der Gattung *Bolivina* (Foraminifera) im Oligozän und Miozän der ostbayerischen Molasse. — Geologica Bavarica, 57: 121–204, 20 Abb., Taf. 1–5, 2 Tab.; München.
- (1971): Comparison of the Tertiary *Bolivina reticulata* Group (Foraminiferida) in New Zealand and Europe. — New Zealand J. Geol. Geophys., 14 (2): 299–322, 13 Abb., 8 Tab.; Wellington.
- HOOGBERGHS, H. J. F. (1983): Contribution to the Study of Planktonic Foraminifera in the Belgian Tertiary. — Aardk. Meded., 2: 1–131, Taf. 1–23, 12 Tab.; Leuven/Belgien.
- HORNIBROOK, N. DE B. (1961): Tertiary Foraminifera from Oamaru District (N. Z.). Part I. — Systematics and Distribution. — New Zealand Geol. Surv. Pal. Bull., 34 (1): 1–192, 5 Abb., Taf. 1–28, 5 Tab., 2 Beil.; Wellington.
- (1965): *Globigerina angiporoides* n. sp. from the Upper Eocene and Lower Oligocene of New Zealand and the Status of *Globigerina angipora* STACHE, 1865. — New Zealand J. Geol. Geophys., 8 (5): 834–838, 2 Abb.; Wellington.
- HOWE, H. V. (1930): The Genus *Bolivina* in the Oligocene of Mississippi. — J. Paleont., 4: 263–267, Taf. 21; Tulsa/Oklahoma.
- HOWE, H. V. & WALLACE, W. E. (1932): Foraminifera of the Jackson Eocene at Danville Landing on the Ouachita Catahoula Parish, Louisiana. — State of Louisiana Dept. Conserv., Geol. Bull., 2: 1–118, 2 Abb., Taf. 1–15; New Orleans.
- ISTOICESCU, D. & GHEORGHIAN, M. D. (1971): Date micropaleontologice privind Miocenul Superior din Bazinul Crişului Alb. — Dări seamă şedinţ., 3. Paleont., 57, 1969–70: 77–83, Taf. 1–8, 1 Tab.; Bukarest.
- IVA, M., GHEORGHIAN, M. & GHEORGHIAN, M. (1971): Foraminifères agglutinants des Couches de Hida (NW de la Transylvanie). — Mém. Inst. Géol., Études Micropaléont., 14: 71–102, 1 Abb., Taf. 1–6, 1 Tab.; Bukarest.
- JANOSCHEK, R. (1957): Die Molassezone. — In: BACHMAYER, F.: Erdöl in Österreich, 75–86, Abb. 64–67; Wien (Verlag Natur u. Technik).
- JENKINS, D. G. (1960): Planktonic foraminifera from the Lakes Entrance oil shaft, Victoria, Australia. — Micropaleontology, 6 (4): 345–371, 10 Abb., Taf. 1–5; New York.
- (1966): Planktonic Foraminiferal Zones and New Taxa from the Danian to Lower Miocene of New Zealand. — New Zealand J. Geol. Geophys., 8: 1088–1126, 15 Abb.; Wellington.

- (1971): New Zealand Cenozoic Planktonic Foraminifera. — New Zealand Geol. Surv., Paleont. Bull., **42**: 1–278, 2 Abb., Taf. 1–23, 57 Tab., 2 Beil.; Wellington.
- JENKINS, D. G. & ORR, W. N. (1972): Planktonic Foraminiferal Biostratigraphy of the eastern equatorial Pacific — DSDP Leg 9. — Init. Rep. DSDP, **9**: 1059–1193, 9 Abb., Taf. 1–41, 2 Tab.; Washington, D. C.
- (1973): *Globigerina utilisindex* n. sp. from the Upper Eocene-Oligocene of the eastern equatorial Pacific. — J. Foram. Res., **3** (3): 133–136, Taf. 1–3; Lawrence/Kansas.
- KAASSCHIETER, J. P. H. (1955): Smaller Foraminifera. — In: DROOGER, C. W., KAASSCHIETER, J. P. H. & KEY, A. J.: The Microfauna of the Aquitanian-Burdigalian of Southwestern France. — Verh. Kon. Nederl. Akad. Wetensch., Afd. Natuurk., **21** (2): 51–99, Taf. 2–13, 1 Tab.; Amsterdam.
- (1961): Foraminifera of the Eocene of Belgium. — Mém. Inst. Royal Sci. Nat. Belgique, **147**: 1–271, 16 Abb., Taf. 1–16, 8 Tab.; Brüssel.
- KENNET, J. P. & SRINIVASAN, M. S. (1983): Neogene Planktonic Foraminifera. A Phylogenetic Atlas. — 265 S., 26 Abb., 61 Taf.; Stroudsburg/Pennsylvania (Hutchinson Ross Publ. Comp.).
- KIESEL, Y. (1962): Die oligozänen Foraminiferen der Tiefbohrung Dobbartin (Mecklenburg). Ein Beitrag zur Feinstratigraphie des mitteldeutschen Rupels. — Freib. Forsch.-H., **C122**: 1–123, 1 Abb., 12 Taf., 3 Tab.; Berlin.
- (1970): Die Foraminiferenfauna der paläozänen und eozänen Schichtenfolge der Deutschen Demokratischen Republik. — Paläont. Abh. A, **4** (2): 163–394, 8 Abb., Taf. 1–27, 3 Tab., 1 Karte; Berlin.
- KIESEL, Y. & LOTSCH, D. (1963): Zur Mikrofauna des südbrandenburgischen Obereozäns. — Geologie, Beih., **38**: 1–71, Taf. 1–16, 1 Tab.; Berlin.
- KORDIUK, B. (1938): Zur Entwicklung des subalpinen Molassetroges. — Abh. Preuß. Geol. Landesanst., N. F., **187**: 1–47, 14 Abb., 3 Klapptaf.; Berlin.
- KORECZ-LAKY, J. & NAGY-GELLAI, Á. (1972): Species of the Genus *Almaena* from the Hungarian Tertiary Sediments. — Acta Geol. Acad. Sci. Hung., **16**: 267–279, Taf. 1, 2, 1 Tab.; Budapest.
- KRASHENINNIKOV, V. A. & BASOV, J. A. (1983): Cenozoic Planktonic Foraminifera of the Falkland Plateau and Argentine Basin, Deep Sea Drilling Project Leg 71. — Init. Rep. DSDP, **71** (2): 821–858, 6 Abb., Taf. 1–15; Washington, D. C.
- KRHOVSKY, J. (1983): Foraminifera of the Eocene/Oligocene Boundary from the Pouzdřany Formation (The West Carpathians, Czechoslovakia). — Knihovn. Zemn. plynu nafty, **4**: 71–98, 1 Abb., Taf. 1–10; Hodonín/ČSSR.
- KUMMERLE, E. (1963): Die Foraminiferenfauna des Kasseler Meeresandes (Oberoligozän) im Ahnetal bei Kassel (Bl. Nr. 4622 Kassel-West). — Abh. Hess. L.-Amt Bodenforsch., **45**: 1–72, 1 Abb., Taf. 1–11, 2 Tab.; Wiesbaden.
- KUENEN, P. H. (1959): Turbidity currents a major factor in flysch deposition. — Eclogae geol. Helv., **51** (3): 1009–1021, 2 Abb.; Basel.
- LAMB, J. L. (1964): The stratigraphic occurrences and relationships of some mid-Tertiary Uvigerinas and Siphogenerinas. — Micropaleontology, **10** (4): 457–476, 2 Abb., Taf. 1–4; New York.
- LANGER, W. (1964): Kurze Bemerkungen zur Mikro- und Megafauna des nordwestdeutschen Mittel-Oligozäns. — N. Jb. Geol. Paläont. Mh., **1964** (12): 730–736, 2 Abb.; Stuttgart.
- (1967): Bemerkungen über *Melonis affinis affinis* (REUSS, 1851) und das Problem des „*Nautilus*“ *umbilicatus* WALKER & JACOB, 1798 (Foraminifera). — Geologie, **16** (6): 718–726, 5 Abb.; Berlin.
- (1969): Beitrag zur Kenntnis einiger Foraminiferen aus dem mittleren und oberen Miozän des Nordsee-Beckens. — N. Jb. Geol. Paläont. Abh., **133** (1): 23–78, 12 Abb., Taf. 1–4, 1 Tab.; Stuttgart.
- LEMCKE, K. (1984): Geologische Vorgänge in den Alpen ab Obereozän im Spiegel vor allem der deutschen Molasse. — Geol. Rundsch., **73** (1): 371–379, 14 Abb.; Stuttgart.
- LIEBUS, A. (1903): Ergebnisse einer mikroskopischen Untersuchung der organischen Einschlüsse der oberbayerischen Molasse. — Jb. k. k. geol. Reichsanst., **52**, 1902: 71–104, 7 Abb., Taf. 5, 2 Tab.; Wien.
- LINDENBERG, H. G. (1966): Die Bolivinen (Foram.) der Häringer Schichten. Mikropaläontologische Untersuchungen im Alttertiär des Unterinntal-Gebietes. — Boll. Soc. Paleont. Ital., **4**, 1965: 64–160, 32 Abb., 5 Detailkarten, 4 Beil.; Modena.
- LINNE, C. (1758): Systema naturae per regna tria naturae, secundum classes, ordines, genera, species, cum characteribus, differentiis, synonymis, locis. — Bd. 1, 824 S.; Holmiae/Schweden (10. Aufl.).
- LOEBLICH, A. R. & TAPPAN, H. (1957): Morphology and Taxonomy of the Foraminiferal Genus *Pararotalia* LE CALVEZ, 1949. — Smithsonian Misc. Coll., **135** (2): 1–24, 5 Abb., Taf. 1–5; Washington.
- (1964a): Part C. Protista 2. Sarcodina. Chiefly „Thecamoebians“ and Foraminiferida. — In: Treatise on Invertebrate Paleontology, I–XXXI, C1–900, 653 Abb.; Lawrence (Univ. Kansas Press).
- (1964b): The Species and Stratigraphic Distribution of *Caucasina* and *Aeolomorphella*, new Genus (Foraminiferida). — Tulane Stud. Geol., **2** (3): 69–88, 2 Abb., Taf. 1, 2; New Orleans.
- ŁUCZKOWSKA, E. (1972): Miliolidae (Foraminiferida) from the Miocene of Poland. Part I. Revision of the classification. — Acta Palaeont. Polon., **17** (3): 341–377, 14 Abb., Taf. 12, 13; Warschau.
- (1974): Miliolidae (Foraminiferida) from the Miocene of Poland. Part II. Biostratigraphy, Paleocology and systematics. — Acta Palaeont. Polon., **19** (1): 1–176, 53 Abb., Taf. 1–27, 1 Tab.; Warschau.
- LUHR, H. (1962): Geologische und mikropaläontologische Untersuchungen im Alttertiär von Härting/Tirol. — Diss. Univ. München, Inst. f. Paläont. u. hist. Geol., **174** S., 16 Abb., 9 Taf., 3 Tab.; München (Fotodruck).
- MACFADYEN, W. A. (1930): Miocene Foraminifera from the Clysmic Area of Egypt and Sinai. With an Account to the Stratigraphy and a Correlation of the Local Miocene Succession. — 149 S., 1 Abb., 4 Taf., 20 Tab., 1 Karte, 1 Beil.; Kairo (Government Press).
- MALZER, O. (1981): Geologische Charakteristik der wichtigsten Erdöl- und Erdgasträger der oberösterreichischen Molasse. Teil II: Die Konglomerate und Sandsteine des Oligozäns. — Erdoel-Erdgas-Z., **97**, 20–28, 11 Abb.; Wien–Hamburg.
- MARKS, P. (1951): A Revision of the Smaller Foraminifera from the Miocene of the Vienna Basin. — Contrib. Cushman Found. Foramin. Res., **2**: 33–73, Taf. 5–8; Sharon/Mass.
- MARTINI, E. (1981): Nannoplankton in der Ober-Kreide, im Alttertiär und im tieferen Jungtertiär von Süddeutschland und dem angrenzenden Österreich. — Geologica Bavarica, **82**: 345–356, 2 Abb., Taf. 1, 2; München.
- MARTINI, E. & MÜLLER, C. (1971): Das marine Alttertiär in Deutschland und seine Einordnung in die Standard Nannoplankton-Zonen. — Erdöl u. Kohle, Erdgas, Petrochemie, Brennst.-Chemie, **24**: 381–384, 1 Tab.; Hamburg.
- MARTINOTTI, G. M. (1981): Biostratigraphy and planktonic Foraminifera of the Late Eocene to ?Pleistocene sequence in the Ashgelon 2 well (Southern Coastal Plain, Israel). — Revista Española Micropaleont., **13** (3): 343–381, 6 Abb., Taf. 1–7, 2 Tab.; Madrid.
- MATTHES, H. W. (1939): Die Lagenen des deutschen Tertiärs. — Paleontographica, **A**, **90**: 49–108, Taf. 3–8; Stuttgart.
- DE MEUTER, F. (1980): Benthonic Foraminifera from the Miocene of Belgium. — Aardk. Meded., **1**: 77–169, 2 Abb., Taf. 1–8, 2 Tab.; Leuven/Belgien.
- MICHAEL, E. (1966): Die Evolution der Gavelinelliden (Foram.) in der NW-deutschen Unterkreide. — Senck. leth., **47** (5/6): 411–459, 16 Abb., Taf. 50; Frankfurt.
- MOLINA, E. (1979): Oligoceno-Mioceno Inferior por Medio de foraminiferos planctonicos en el sector central de las Cordilleras Béticas. — Tesis Doctoral Univ. Granada, Facultad Ciencias, Dept. Paleont., 342 S., 40 Abb., 37 Taf.; Granada (Publ. Univ. Granada y Zaragoza).

- MÜLLER, C. (1970): Nannoplankton-Zonen der Unteren Meeres-Molasse Bayerns. — *Geologica Bavarica*, **63**: 107–117, Taf. 1–9, 1 Tab.; München.
- MÜLLER, D. (1985): Biostratigraphische Untersuchungen in der subalpinen Unteren Süßwassermolasse zwischen Inn und Lech anhand von Ostrakoden. — *Palaeontographica*, **A**, **187**: 1–57, 3 Abb., Taf. 1–5; Stuttgart.
- MÜLLER, M. (1970): Das Ergebnis der Bohrung Staffelsee 1 als Grundlage für neue Vorstellungen über Bau und Untergrund der gefalteten Molasse. — *Geologica Bavarica*, **63**: 86–106, 3 Abb., 1 Tab., 1 Beil.; München.
- (1978a): Das tiefere Tertiär (Obereozän – Miozän). — In: UNGER, H. J.: Erläuterungen zur Geologischen Karte von Bayern 1:50000, Blatt Nr. L 7740 Mühldorf am Inn, 45–73, Abb. 7–9, Tab. 5, Beil. 3; München (Bayer. Geol. Landesamt).
- (1978b): Molasse-Zone. — In: MÜLLER, M. & ZIEGLER, J. H.: Erläuterungen zur Geologischen Karte von Bayern 1:25000, Blatt Nr. 8042 Waging a. See, 11–37, Abb. 3, Tab. 1; München (Bayer. Geol. Landesamt).
- MURRAY, J. W. (1973): Distribution and Ecology of Living Benthic Foraminiferids. — I–XIII, 1–274, 103 Abb., 12 Taf., 25 Tab.; London (Heinemann).
- MURRAY, J. W. & WRIGHT, C. A. (1974): Paleogene Foraminiferida and Palaeoecology, Hampshire and Paris Basins and the English Channel. — *Spec. Papers Palaeont.*, **14**: 1–129, 47 Abb., Taf. 1–20; London (Palaeont. Ass.).
- NEUGEBORN, J. L. (1850): Foraminiferen von Felsö-Lapugy, beschrieben und nach der Natur gezeichnet. — *Verh. u. Mitth. siebenbürg. Ver. Naturwiss.*, 1850: 118–127, Taf. 3, 4; Hermannstadt.
- NUTTALL, W. L. F. (1932): Lower Oligocene Foraminifera from Mexico. — *J. Paleont.*, **6**: 3–35, Taf. 1–9; Tulsa/Oklahoma.
- D'ORBIGNY, A. D. (1826): Tableau méthodique de la classe des Céphalopodes. — *Ann. Sci. Nat. Paris*, **7**: 245–314, Taf. 10–17; Paris.
- D'ORBIGNY, A. (1839): Voyage dans l'Amérique Méridionale. 5^e Partie: Foraminifères. — 86 S., 9 Taf.; Paris.
- (1846): Foraminifères Fossiles du Bassin Tertiaire de Vienne (Autriche). — I–XXXVII, 1–312, Taf. 1–21, 2 Tab.; Paris.
- OSCHMANN, F. (1963): Introduction into the Regional Geology of the South German Molasse Basin. — In: 6th World Petroleum Congress, Frankfurt am Main 1963, Exkursion Guide Book III, Folded Molasse, Helveticum, and Flysch; Oil and Gas Fields of the Unfolded East-Bavarian Molasse, 5–17, Abb. 7–16; Hannover.
- PAPP, A. (1958): Vorkommen und Verbreitung des Obereozäns in Österreich. — *Mitt. Geol. Ges. Wien*, **50**, 1957: 251–270, 2 Abb., Taf. 1, 2; Wien.
- (1961): Die Fauna der Michelstettener Schichten in der Waschberg-Zone (Niederösterreich). — *Mitt. Geol. Ges. Wien*, **53**, 1960: 209–248, 10 Abb., 2 Tab.; Wien.
- (1975): Die Entwicklung der Uvigerinen in der Puchkirchener Schichtengruppe. — In: Chronostratigraphie und Neostatotypen V, Miozän OM Egerien, 279–287, Abb. 46–48, Taf. 1; Bratislava (Slow. Akad. Wiss.).
- PAPP, A., KRÖLL, A. & FUCHS, R. (1978): Das Egerien der Waschbergzone, Niederösterreich. — *Verh. Geol. B.-A.*, **1978** (2): 63–71, 1 Abb., Taf. 1, 2; Wien.
- PAPP, A. & SCHMID, M. E. (1985): Die fossilen Foraminiferen des tertiären Beckens von Wien. Revision der Monographie von ALCIDE D'ORBIGNY (1846). — *Abh. Geol. B.-A.*, **37**: 1–311, 16 Abb., Taf. 1–102, 1 Tab.; Wien.
- PAULUS, B. (1963): Zur Stratigraphie und Fazies der oligozänen und miozänen Molasse im südlichen Oberbayern. — *Bull. Ver. Schweizer. Petrol.-Geol. u. -Ing.*, **30** (78): 53–97, 12 Abb.; Basel.
- PETTERS, S. W. (1983): Gulf of Guinea planktonic foraminiferal biochronology and geological history of the South Atlantic. — *J. Foramin. Res.*, **13** (1): 32–59, 6 Abb., Taf. 1–8; Lawrence/Kansas.
- PFLAUMANN, U. & STEPHAN, W. (1968): Erläuterungen zur Geologischen Karte von Bayern 1:25000, Blatt Nr. 8237 Miesbach. Mit Beiträgen zahlreicher Autoren. — 415 S., 29 Abb., 13 Taf., 4 Tab., 5 Beil.; München (Bayer. Geol. Landesamt).
- POIGNANT, A. (1983a): Benthonic Foraminifera. In: GELATI, R. & STEININGER, F. F.: In Search of the Palaeogene/Neogene Boundary Stratotype. Part 2. — *Rivista Ital. Paleont. Strat.*, **89** (4): 472–473, Abb. 11, Taf. 37–39; Mailand.
- (1983b): Benthonic Foraminifera. — In: GELATI, R. & STEININGER, F. F.: In Search of the Palaeogene/Neogene Boundary Stratotype. Part 2. — *Rivista Ital. Paleont. Strat.*, **89** (4): 484, Abb. 16, Taf. 42–45; Mailand.
- (1983c): Les genres peu fréquents de foraminifères: exemple pris dans les „Faluns bleus“ oligocènes du Sud-Ouest de l'Aquitaine. — C. R. 108^e Congr. national Soc. sav., Grenoble, 1983, sect. sci., **2** (1): 19–31, Taf. 1–3; Paris.
- POIGNANT, A. & BIOLZI, M. (1981): Benthonic Foraminifera. — In: CATI, F., STEININGER, F. F., BORSETTI, A. M. & GELATI, R.: In Search of the Palaeogene/Neogene Boundary Stratotype. Part 1. — *Giorn. Geol.*, **44** (1/2): 104–105, Taf. 4–6, Tab. 8; Bologna.
- POIGNANT, A. & PUJOL, C. (1976): Nouvelles données micropaléontologiques (Foraminifères planctoniques et petits Foraminifères benthiques) sur le stratotype de l'Aquitaine. — *Géobios*, **9** (5): 607–663, 5 Abb., 16 Taf., 3 Tab.; Lyon.
- (1978): Nouvelles données micropaléontologiques (Foraminifères planctoniques et petits Foraminifères benthiques) sur le stratotype bordelais du Burdigalien. — *Géobios*, **11** (5): 655–712, 10 Abb., 14 Taf., 3 Tab.; Lyon.
- POKORNY, V. (1956): New Discorbidae (Foraminifera) from the Upper Eocene Brown Pouzdřany Marl, Czechoslovakia. — *Univ. Carolina, Geol.*, **2** (3): 257–278, 15 Abb.; Prag.
- (1960): Microstratigraphie et biofaciès du Flysch Carpatique de la Moravie Méridionale (Tchécoslovaquie). — *Revue Inst. Franç. Pétrole, Ann. Combust. Liqu.*, **15** (7/8): 1099–1141, 2 Abb., Taf. 1–18; Paris.
- POPESCU, G. (1975): Études des foraminifères du Miocène Inférieur et Moyen du Nord-Ouest de la Transylvanie. — *Mém. Inst. Géol. Géophys.*, **23**: 1–121, 34 Abb., Taf. 1–106, 3 Tab., 1 geol. Karte; Bukarest.
- POPESCU, G. & IVA, M. (1971): Contribution à la connaissance de la microfauve oligocène des Couches de Valea Lăpuşului. — *Mém. Inst. Géol., Études Micropaléont.*, **14**: 35–50, 2 Abb., Taf. 1–12; Bukarest.
- PUJOL, C. (1983): Cenozoic Planktonic Foraminiferal Biostratigraphy of the Southwestern Atlantic (Rio Grande Rise): Deep Sea Drilling Project Leg 72. — *Init. Rep. DSDP*, **72**: 623–673, 1 Abb., Taf. 1–19, 8 Tab.; Washington, D. C.
- PUJOS-LAMY, A. (1984): Foraminifères benthiques et bathymétrie: Le Cénozoïque du Golfe de Gascogne. — *Paleogeogr., Paleoclimat., Paleoecol.*, **48**: 39–60, 11 Abb.; Amsterdam.
- REINECK, K.-E. & SINGH, J. B. (1975): Depositional Sedimentary Environments. With Reference to Terrigenous Clastics. — 439 S., 579 Abb., 23 Tab.; Berlin – Heidelberg – N. Y. (Springer).
- REISER, H. (1985): Die Oligozän-Molasse im Südflügel der Murnauer Mulde. — In: Exkursionen A, Teil 1, 55. Jahrestagung der Paläontologischen Gesellschaft in München, 16.–18. Sept. 1985, 10–18; München (Fotodruck).
- RENZ, H. H. (1948): Stratigraphy and Fauna of the Agua Salada Group, State of Falcon, Venezuela. — *Mem. Geol. Soc. America*, **32**: 1–219, 15 Abb., Taf. 1–12, 19 Tab., 1 Beil.; New York.
- REUSS, A. E. (1845): Die Versteinerungen der böhmischen Kreideformation. Abth. 1, Teil 2. — 1–148, Taf. 14–51; Stuttgart.
- (1850): Neue Foraminiferen aus den Schichten des österreichischen Tertiärbeckens. — *Denkschr. K. Akad. Wiss. Wien, math.-naturwiss. Cl.*, **1** (1): 365–390, Taf. 46–51; Wien.
- (1851): Ueber die fossilen Foraminiferen und Entomostraceen der Septarienzone der Umgegend von Berlin. — *Z. Deutsch. geol. Ges.*, **3**: 49–92, Taf. 3–7; Berlin.
- (1856): Beiträge zur Charakteristik der Tertiärschichten des nördlichen und mittleren Deutschlands. — *Sitz.-ber. K. Akad. Wiss. Wien, math.-naturwiss. Cl.*, **18** (2), 1855: 197–273, Taf. 1–12; Wien.

- (1861): Beiträge zur Kenntnis der tertiären Foraminiferen-Fauna. — Sitz.-ber. K. Akad. Wiss. Wien, math.-naturwiss. Cl., 42, 1860: 355–370, Taf. 1, 2; Wien.
- (1863a): Die Foraminiferen-Familie der Lagenideen. — Sitz.-ber. K. Akad. Wiss. Wien, math.-naturwiss. Cl., 46, 1862: 308–342, Taf. 1–7, 1 Tab.; Wien.
- (1863b): Beiträge zur Kenntnis der tertiären Foraminiferen-Fauna. (Zweite Folge). — Sitz.-ber. K. Akad. Wiss. Wien, math.-naturwiss. Cl., 48: 36–71, Taf. 1–8; Wien.
- (1865): Zur Fauna des deutschen Oberoligozäns. — Sitz.-ber. K. Akad. Wiss. Wien, math.-naturwiss. Cl., 50, 1864: 1–48, Taf. 1–5; Wien (Separatabdruck).
- (1866): Die Foraminiferen, Anthozoen und Bryozoen des deutschen Septarienthones. Ein Beitrag zur Fauna der mitteloligozänen Tertiärschichten. — Denkschr. K. Akad. Wiss. Wien, math.-naturwiss. Cl., 25: 117–214, Taf. 1–11, 2 Tab.; Wien.
- (1867): Die fossile Fauna der Steinsalzablagerung von Wieliczka in Galizien. — Sitz.-ber. K. Akad. Wiss. Wien, math.-naturwiss. Cl., 55: 1–166, Taf. 1–8, 3 Tab.; Wien (Separatabdruck).
- (1870): Die Foraminiferen des Septarienthones von Pietzpuhl. — Sitz.-ber. K. Akad. Wiss. Wien, math.-naturwiss. Cl., 62: 1–39; Wien (Separatabdruck).
- REY, M. (1958): Le genre *Almaena* en Aquitaine Occidentale. — *Revue Micropaleont.*, 1 (2): 59–63, Taf. 1, 1 Tab.; Paris.
- RICHTER, M. (1940): Die Gliederung der subalpinen Molasse. — *N. Jb. Min. Geol. Paläont., Beil.-Bde., Abt. B*: 83: 1–45, 9 Abb., 2 Beil.; Stuttgart.
- ROGL, F. (1969): Die miozäne Foraminiferenfauna von Laa an der Thaya in der Molassezone von Niederösterreich. — *Mitt. Geol. Ges. Wien*, 61, 1968: 63–123, 1 Abb., Taf. 1–9; Wien.
- (1981): Planktonic Foraminifera. — In: CATI, F., STEININGER, F. F., BORSETTI, A. M. & GELATI, R.: In Search of the Palaeogene/Neogene Boundary Stratotype. Part 1. — *Giorn. Geol.*, 44 (1/2): 43–45, Tab. 3, 4; Bologna.
- ROGL, F. & CÍCHA, I. (1973): Die Foraminiferen des Ottnangien (zusammengestellt nach Bearbeitung von I. CÍCHA, F. ROGL, I. ČTYROKÁ, I. ZAPLETALOVÁ & A. PAPP). — In *Chronostratigraphie und Neostatotypen III, Miozän M₂ Ottnangien*, 297–325, 332–353, Taf. 1–11; Bratislava (Slow. Akad. Wiss.).
- ROGL, F. & HANSEN, H. J. (1984): Foraminifera described by Fichtel & Moll in 1798. A revision of Testacea Microscopica. — *N. Denkschr. Naturhist. Mus. Wien*, 3: 1–143, 33 Abb., Taf. 1–30, 2 Tab., 1 Appendix m. den nachgedr. Originaltaf. v. F. & M.; Wien.
- ROEMER, A. E. (1838): Die Cephalopoden des norddeutschen tertiären Meeressandes. — *N. Jb. Min. Geogn. Geol. Petref.-Kde.*, 1838: 381–395, Taf. 13; Stuttgart.
- SAMUEL, O. & SALAJ, J. (1968): Microbiostratigraphy and Foraminifera of the Slovak Carpathian Paleogene. — 232 S., 51 Abb., 31 Taf., 30 Tab.; Bratislava (Geol. Ústav. Dionýza Štúra).
- SANDBERGER, F. & GUMBEL, W. (1858): Das Alter der Tertiärgebilde in der obern Donau-Hochebene am Nordrande der Ostalpen. — Sitz.-ber. K. Akad. Wiss. Wien, math.-naturwiss. Cl., 30: 212–225, 1 Tab.; Wien.
- SCHAUB, H. (1981): Nummulites et Assilines de la Tethys paléogène. Taxinomie, phylogénèse et biostratigraphie. — *Schweizer. Paläont. Abh.*, 104–106: 1–236, 116 Abb., Taf. 1–97; Basel.
- SCHERER, F. (1966): Geologisch-paläontologische Untersuchungen im Flysch und in der Molasse zwischen Thunersee und Eriz (Kt. Bern). — *Beitr. geol. Kt. Schweiz, N. F.*: 127: 1–115, 22 Abb., Taf. 1–7, 5 Tab.; Bern.
- V. SCHLICHT, E. (1870): Die Foraminiferen des Septarienthones von Pietzpuhl. — 98 S., 38 Taf.; Berlin (Wiegandt & Hempel).
- SCHUDER, J. (1963): Sedimentpetrographische Untersuchungen in der subalpinen Unteren Meeresmolasse zwischen Loischach und Bodensee mit besonderer Berücksichtigung der Deutenhausener Schichten. — *Unveröff. Diss. TH München*, 122 S., 80 Abb., 4 Beil.; München.
- SEDGWICK, A. & MURCHISON, R. I. (1832): A Sketch of the Structure of the Eastern Alps; with Sections through the Newer Formations on the Northern Flanks of the Chain, and through the Tertiary Deposits of Styria. — *Transact. Geol. Soc., sec. ser.*, 3: 301–420, Taf. 35–40, 2 Tab.; London.
- SETIAWAN, J. R. (1983): Foraminifera and Microfacies of the Type Priabonian. — *Utrecht Micropaleont. Bull.*, 29: 1–161, 31 Abb., Taf. 1–17, 6 Tab.; Hoogeveen/Niederlande.
- SIGAL, J. (1950): Les genres *Queraltina* et *Almaena* (Foraminifères). Leur importance stratigraphique et paléontologique. — *C. R. Somm. Bull. Soc. Géol. France*, 5^e sér., 20: 63–71, 1 Taf.; Paris.
- SPANDEL, E. (1909): Der Rupelton des Mainzer Beckens, seine Abteilungen und deren Foraminiferenfauna etc. — *Ber. Offenb. Ver. Naturk.*, 50: 1–174, 2 Taf.; Offenbach a. M.
- SPIEGLER, D. (1965): Biostratigraphie des Rupels auf Grund von Foraminiferen im nördlichen Deutschland. — *Geol. Jb.*, 82: 447–486, 2 Abb., Taf. 22–24, 2 Tab., 2 Beil.; Hannover.
- STAINFORTH, R. M., LAMB, J. L., LUTERBACHER, H., BEARD, J. H. & JEFFORDS, R. M. (1975): Cenozoic Planktonic Foraminiferal Zonation and Characteristics of Index Fossils. — *Univ. Kansas Paleont. Contrib.*, 62: 1–425, 213 Abb., 8 Tab.; Lawrence/Kansas.
- STEININGER, F. (1969): Das Tertiär des Linzer Raumes. — In: STEININGER, F. & PODZEIT, W.: *Geologie und Paläontologie des Linzer Raumes*, 35–53, Taf. 1–14, 1 Tab.; Linz.
- STEININGER, F., ROGL, F. & MARTINI, E. (1976): Current Oligocene/Miocene biostratigraphic concept of the Central Paratethys (Middle Europe). — *Newsl. Stratigr.*, 4: 174–202, 3 Abb., 1 Tab.; Berlin – Stuttgart.
- STEPHAN, W. & HESSE, R. (1966): Erläuterungen zur Geologischen Karte von Bayern 1:25000, Blatt Nr. 8236 Tegernsee. Mit Beiträgen zahlreicher Autoren. — 304 S., 37 Abb., 5 Tab., 7 Beil.; München (Bayer. Geol. Landesamt).
- STEPHAN, W. & PAULUS, B. (1968): Molasse-Zone (Paläontologische Mitarbeit MAX BROCKERT & OTTO HÖLZL). — In: PFLAUMANN, U. & STEPHAN, W.: *Erläuterungen zur Geologischen Karte von Bayern 1:25000, Blatt Nr. 8237 Miesbach*, 202–287, Abb. 21–26, Taf. 11–13, 3 Tab.; München (Bayer. Geol. Landesamt).
- STUCHLIK, H. (1906): Die Faziesentwicklung der südbayerischen Oligocänmolasse. — *Jb. k. k. Geol. Reichsanst.*, 56 (2): 277–350, 5 Abb., Taf. 7, 8, 2 Tab., 1 geol. Karte; Wien.
- SUBBOTINA, N. N. (1953): Globigerinidy, Hantkeninidy i Globorotaliidy: Iskopaemye Foraminifery SSSR. — VNIGRI, Trudy, n. ser., 76: 1–296, 8 Abb., 41 Taf., 1 Tab.; Leningrad. Engl. Übers.: LEES, E. (1971): Fossil Foraminifera of the USSR. Globigerinidae, Hantkeninidae and Globorotaliidae. — London – Wellingborough (Coller's Publ. Ltd.).
- (1960): Mikrofauna oligotsenovykh i miotsenovykh otlozhenií r. Vorotyshche (Predkarpate). — *Mikrofauna SSSR*, 11 (153): 157–243, Taf. 1–10, 4 Tab.; Leningrad. (Mikrofauna der oligozänen und miozänen Ablagerungen des Vorotyshche-Flusses in den Ciskarpathen).
- SZTRAKOS, K. (1974): Paleogene Planktonic Foraminiferal Zones in Northeastern Hungary. — *Fragm. Min. Palaeont.*, 5: 29–80, 3 Abb., Taf. 1–10, 3 Tab.; Budapest.
- (1979): La stratigraphie, paléocologie, paléogéographie et les foraminifères de l'Oligocène du Nord-Est de la Hongrie. — *Cahiers Micropaléont.*, 1979 (3): 1–95, 12 Abb., 35 Taf., 7 Tab.; Paris.
- (1982): Les foraminifères de la Marne de Buda et la limite Éocène-Oligocène en Hongrie. — *Cahiers Micropaléont.*, 1982 (4): 1–48, 3 Abb., Taf. 1–39, 5 Tab.; Paris.
- (1983): Le genre *Uvigerina* (Foraminifère) dans le Paléogène de la Hongrie. — *Revue Micropaléont.*, 26 (2): 132–142, Taf. 1–3, 1 Tab.; Paris.
- TERQUEM, M. (1882): Les foraminifères de l'Éocène des environs de Paris. — *Mém. Soc. Géol. France*, 3^e ser., 2 (3): 1–193, Taf. 9–28; Paris.
- TOLLMANN, A. (1957): Die Mikrofauna des Burdigal von Eggenburg (Niederösterreich). — Sitz.-ber. Österr. Akad. Wiss., math.-naturwiss. Kl., Abt. I, 166 (3/4): 165–213, 2 Abb., Taf. 1–7, 2 Tab.; Wien.
- TRIEBEL, E. (1963): Mikrofossilien aus dem Untergrund der Stadt Frankfurt a. M. — *Natur u. Museum*, 93 (6): 209–221, 40 Abb.; Frankfurt a. M.

- TRUNKÓ, L. (1965): 3.2. Cassidulinidae bis Nummulitidae. — In: GROSSHEIDE, K. & TRUNKÓ, L.: Die Foraminiferen des Doberges bei Bünde und von Astrup mit Beiträgen zur Geologie dieser Profile (Oligozän, NW-Deutschland). — Beih. geol. Jb., 60: 121–193, Abb. 15–20, Taf. 13–16, Falttaf. 19; Hannover.
- VERDENIUS, J. G. & VAN HINTE, J. E. (1983): Central Norwegian-Greenland Sea: Tertiary arenaceous foraminifera, biostratigraphy and environment. — Cont. Shelf Inst., Norway, Publ. 108 (Proc. First Worksh. Arenaceous For., Sept. 1981): 173–223, 16 Abb., Taf. 1–7; Trondheim.
- VOLOSHINOVA, N. A. & BUDASHEVA, A. I. (1961): Lituolidy i trochamminidy iz tretichnykh otlozheniy ostrova Sakhalina i poluostrova Kamchatki. — Mikrofauna SSSR, 12 (170): 169–233, Taf. 1–19, 2 Tab.; Leningrad. (Lituolidae und Trochamminidae von Tertiärlagerungen der Insel Sachalin und der Halbinsel Kamtschatka).
- WEILER, W. (1932): Die Fischfauna der unteren und oberen Meeresmolasse Oberbayerns. — N. Jb. Min. etc., Beil.-Bde., B, 68: 305–352, 34 Abb., 4 Tab.; Stuttgart.
- WEITHOFER, K. A. (1899): Zur Kenntnis der oberen Horizonte der oligocänen Brackwassermolasse Oberbayerns und deren Beziehungen zur miocänen (oberen) Meeresmolasse im Gebiet zwischen Inn und Lech. — Verh. k. k. geol. Reichsanst., 1899: 269–282; Wien.
- (1918): Die Oligozänablagerungen Oberbayerns. — Mitt. geol. Ges. Wien, 10, 1917: 1–125, 1 Abb., 2 Profiltaf.; Wien.
- (1935): Die Promberger Schichten der oberbayerischen Molasse. — Zentralbl. Min. etc., B, 1935: 3–21; Stuttgart.
- WENGER, W. F. (1985): Foraminiferenfauna, Stratigraphie und Paläogeographie des Miozäns der bayerischen Molasse. — Diss. Univ. München, Inst. f. Paläont. u. hist. Geol., 368 S., 28 Abb., Taf. 1–25; München (Ms.).
- (1987): Die Foraminiferen des Miozäns der bayerischen Molasse und ihre stratigraphische sowie paläogeographische Auswertung. — Zitteliana, 16: 173–340, 28 Abb., Taf. 1–22; München
- WICK, W. (1939): Versuch einer biostratigraphischen Gliederung des jüngeren Tertiärs auf Grund von Foraminiferen. — Jb. Preuß. Geol. Landesanst., 59, 1938: 476–512, Taf. 18–23; Berlin.
- WIESNER, E. (1974): Foraminiferen aus dem Miozän des Mainzer Beckens. — Senckenbergiana lethaea, 55 (1/5): 363–387, Taf. 1–3; Frankfurt a. M.
- WILLEMS, W. (1972): Benthonic Foraminifera from the Type-Locality of the Sands of Grimmeringen (Lower Oligocene of Belgium). — Bull. Soc. belge Geol. Paleont. Hydrol., 81 (1/2), 27–51, 4 Abb., Taf. 1–5, 2 Tab.; Brüssel.
- (1983): Agglutinating foraminiferids of the Ieper Formation (Early Eocene) in Belgium. — Cont. Shelf Inst., Norway, Publ. 108 (Proc. First Worksh. Arenaceous For., Sept. 1981): 227–245, 4 Abb., Taf. 1, 2, 2 Tab.; Trondheim.
- WITT, W. (1967): Ostrakoden der bayerischen Molasse (unter besonderer Berücksichtigung der Cytherinae, Leptocytherinae, Trachyleberidinae, Hemicytherinae und Cytherettinae). — Geologica Bavarica, 57: 4–120, 16 Abb., Taf. 1–7, 3 Tab.; München.
- WOLFF, W. (1897): Die Fauna der südbayerischen Oligocaenmolasse. — Palaeontographica, 43: 223–311, Taf. 20–28, 2 Tab.; Stuttgart.
- ZEIL, W. (1953): Beiträge zur Kenntnis der Deutenhausener Schichten (Subalpine Molasse Oberbayerns). — Geologica Bavarica, 17: 101–112, 2 Abb.; München.
- ZÖBELEIN, H. K. (1952): Beiträge zur Kenntnis der Faltenmolasse im westlichen Oberbayern. — Erdöl u. Kohle, 10: 617–623, 2 Tab.; Hamburg.
- (1957): Kritische Bemerkungen zur Stratigraphie der Subalpinen Molasse Oberbayerns. — Abh. hess. L.-Amtes Bodenforsch., 23: 1–76, 2 Abb.; Wiesbaden.
- (1962): Über die Bausteinschichten in der Subalpinen Molasse des westlichen Oberbayerns. — Z. deutsch. geol. Ges., 113 (2/3), 1961: 261–265, 2 Abb.; Hannover.

TAFELN 1 – 19

Tafel 1

- Fig. 1, 2: *Rhabdammina discreta* BRADY
 1: Seitenansicht, 47×, REM, Pr. 5709, unteres Rupel
 Wehrprofil/Weiße Traun
 2: Mündungsseite, 51×, REM, Pr. 5992, Untereger₁,
 Bohrung Ampfing 1
- Fig. 3, 4: *Glomospira gordialis* (JONES & PARKER)
 3: Schmalseite, 180×, REM, Pr. 5702, unteres Rupel,
 Wehrprofil/Weiße Traun
 4: Breitseite, 180×, REM, Pr. 5702, unteres Rupel,
 Wehrprofil/Weiße Traun
- Fig. 5, 6: *Ammodiscus grzybowski* EMILIANI
 5: Seitenansicht, 40×, REM, Pr. 5894, oberes Rupel,
 Schmeroldgraben/Mangfall-Profil
 6: Mündungsseite, 85×, REM, Pr. 5894, oberes Rupel,
 Schmeroldgraben/Mangfall-Profil
- Fig. 7–9: *Miliammina paleocenica* KIESEL
 7: Mündungsseite, 140×, REM, Pr. 5848, oberes Rupel,
 Koglgraben/Feilnbacher Gebiet
 8: dreikammerige Seite, 180×, REM, Pr. 5847, oberes Rupel,
 Koglgraben/Feilnbacher Gebiet
 9: vierkammerige Seite, 160×, REM, Pr. 5847, oberes Rupel,
 Koglgraben/Feilnbacher Gebiet
- Fig. 10: *Ammobaculites humboldti* (REUSS)
 Seitenansicht, 90×, REM, Pr. 5886, Untereger₁
 (Cyrenen-Schichten), Gieshof/Agatharied
- Fig. 11, 15: *Haplophragmoides suborbicularis* (GRZYBOWSKI)
 11: Mündungsseite, 225×, REM, Pr. 5869, oberes Rupel,
 Leitzach-Profil
 15: Seitenansicht, 190×, REM, Pr. 5909, oberes Rupel,
 Gaißach-Profil
- Fig. 12: *Cyclammina acutidorsata* (HANTKEN)
 Medianschnitt, 57×, Dünnschliff, Pr. 5709, unteres Rupel,
 Wehrprofil/Weiße Traun
- Fig. 13, 16, 17: *Cyclammina obesa* CUSHMAN & LAIMING
 13: Medianschnitt, 57×, Dünnschliff, Pr. 5869, oberes Rupel,
 Leitzach-Profil
 16: Mündungsseite, 42×, REM, Pr. 5888, oberes Rupel,
 Mangfall-Profil
 17: Seitenansicht, 49×, REM, Pr. 5894, oberes Rupel,
 Schmeroldgraben/Mangfall-Profil
- Fig. 14, 18: *Reophax bacillaris* BRADY
 14: Mündungsseite, 85×, REM, Pr. 5806, oberes Rupel, Prien-Profil
 18: Seitenansicht, 80×, REM, Pr. 5806, oberes Rupel, Prien-Profil



Tafel 2

- Fig. 1–3: *Budashevaella multicamerata* (VOLOSHINOVA)
 1: Mündungsseite, 115×, REM, Pr. 5806, oberes Rupel, Prien-Profil
 2: Seitenansicht, 90×, REM, Pr. 5805, oberes Rupel, Prien-Profil
 3: Medianschnitt, 108×, Dünnschliff, Pr. 5805, oberes Rupel, Prien-Profil
- Fig. 4, 5: *Textularia deperdita* D'ORBIGNY
 4: Mündungsseite, 120×, REM, Pr. 5852, Untereger₁, Koglgraben/Feilnbacher Gebiet
 5: Seitenansicht, 110×, REM, Pr. 5834, Untereger₁, Greimelberg/Priengebiet
- Fig. 6, 8: *Vulvulina spinosa* CUSHMAN
 6: Mündungsseite, 65×, REM, Pr. 5836, unteres Rupel, Osterbach/Feilnbacher Gebiet
 8: Seitenansicht, 47×, REM, Pr. 5992, Untereger₁, Bohrung Ampfing 1
- Fig. 7, 9, 10: *Pavonitina kiscelliana* (SZTRÁKOS)
 7: Medianschnitt, 67×, Dünnschliff, Pr. 5878, oberes Rupel, Locher Graben
 9: Initialteil, 95×, REM, Pr. 5884, oberes Rupel, Reiter Bach/Agatharied
 10: Seitenansicht, 65×, REM, Pr. 5884, oberes Rupel, Reiter Bach/Agatharied
- Fig. 11, 14, 20, 21: *Karrieriella siphonella exilis* HAGN
 11: Seitenansicht, 155×, REM, Pr. 5878, oberes Rupel, Locher Graben, Topotyp.
 14: Mündungsseite, 130×, REM, Pr. 5900, Untereger₁, Schmeroldgraben/Mangfall-Profil
 20: Seitenansicht, 42×, REM, Pr. 5895, oberes Rupel, Schmeroldgraben/Mangfall-Profil
 21: Initialteil, 44×, REM, Pr. 5895, oberes Rupel, Schmeroldgraben/Mangfall-Profil
- Fig. 12, 13: *Dorothia paupercula* (CUSHMAN)
 12: Initialteil, 80×, REM, Pr. 5909, oberes Rupel, Gaißbach-Profil
 13: Seitenansicht, 65×, REM, Pr. 5909, oberes Rupel, Gaißbach-Profil
- Fig. 15, 19: *Karrieriella postsiphonella* (SPANDEL)
 15: Initialteil, 130×, REM, Pr. 5994, Untereger₁, Bohrung Ampfing 1
 19: Seitenansicht, 90×, REM, Pr. 5994, Untereger₁, Bohrung Ampfing 1
- Fig. 16–18: *Quinqueloculina hauerina* D'ORBIGNY
 16: dreikammerige Seite, 140×, REM, Pr. 5998, Untereger₁, Bohrung Ampfing 1
 17: vierkammerige Seite, 320×, REM, Pr. 5885, oberes Rupel, Reiter Bach/Agatharied
 18: Mündungsseite, 260×, REM, Pr. 5854, Untereger₁, Koglgraben/Feilnbacher Gebiet



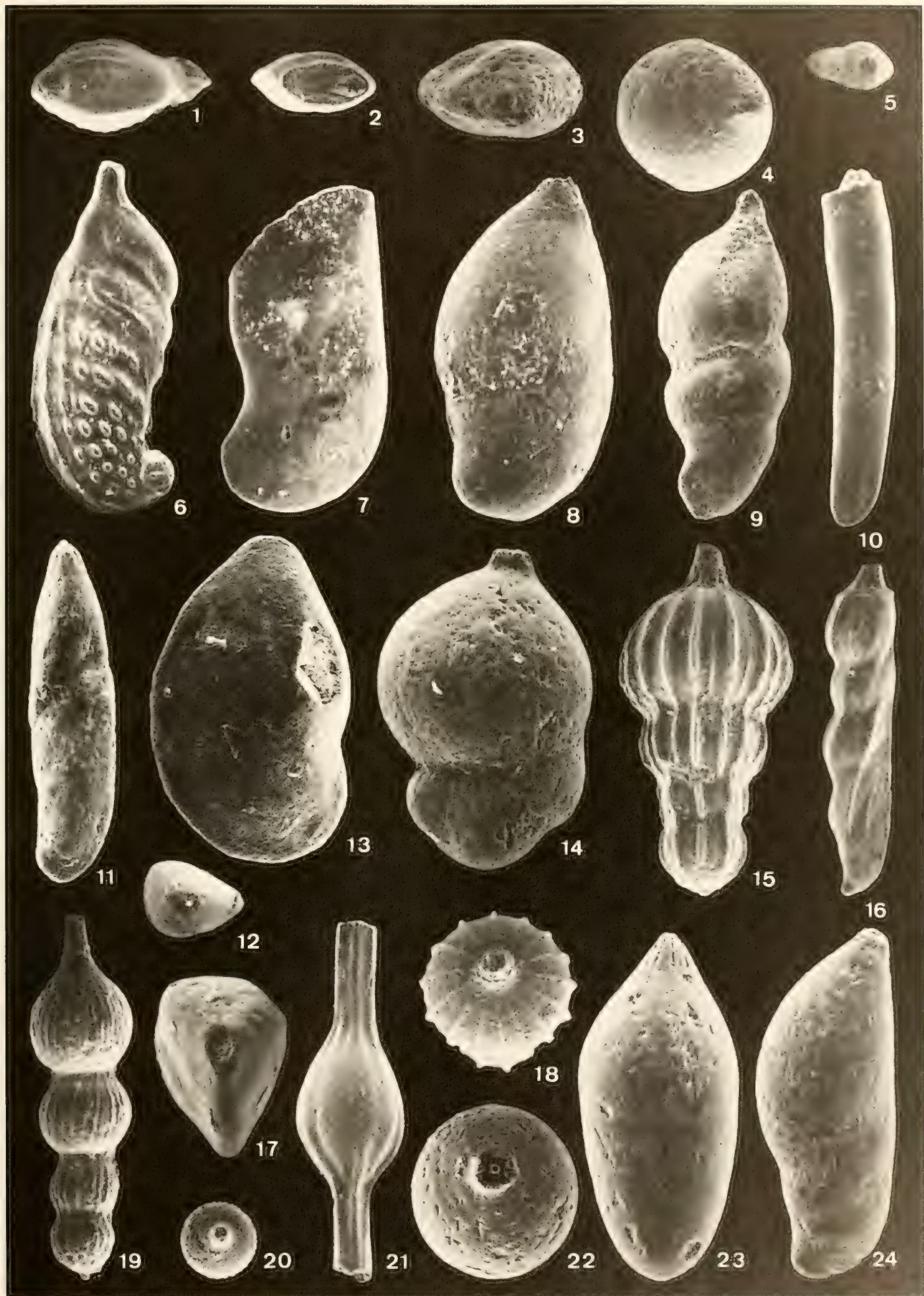
Tafel 3

- Fig. 1, 6, 7: *Quinqueloculina ludwigi* REUSS
 1: Mündungsseite, 210×, REM, 330,5–334,4 m, Untereger_I,
 Bohrung Ortenburg 1001
 6: vierkammerige Seite, 190×, REM, 330,5–334,4 m, Untereger_I,
 Bohrung Ortenburg 1001
 7: dreikammerige Seite, 190×, REM, 330,5–334,4 m, Untereger_I,
 Bohrung Ortenburg 1001
- Fig. 2, 8: *Sigmoilinita tenuis* (CZJZEK)
 2: Mündungsseite, 170×, REM, Pr. 5994, Untereger_I,
 Bohrung Ampfing 1
 8: Seitenansicht, 160×, REM, 348,9–352,4 m, Untereger_I,
 Bohrung Ortenburg 1001
- Fig. 3, 4, 9: *Sigmoilinita* sp.
 3: Internbau, 190×, REM, Pr. 5817, Untereger_I,
 Rainer Mühle/Prien-Profil
 4: Mündungsseite, 210×, REM, Pr. 5817, Untereger_I,
 Rainer Mühle/Prien-Profil
 9: Seitenansicht, 170×, Pr. 5817, Untereger_I,
 Rainer Mühle/Prien-Profil
- Fig. 5, 10: *Triloculina* cf. *byramensis* CUSMAN & TODD
 5: Mündungsseite, 200×, REM, Pr. 5854, Untereger_I,
 Koglgraben/Feilbacher Gebiet
 10: Seitenansicht, 190×, REM, Pr. 5854, Untereger_I,
 Koglgraben/Feilbacher Gebiet
- Fig. 11, 12: *Robulus* cf. *depauperatus* (REUSS)
 11: Mündungsseite, 95×, REM, Pr. 5805, oberes Rupel,
 Prien-Profil
 12: Seitenansicht, 130×, REM, Pr. 5805, oberes Rupel,
 Prien-Profil
- Fig. 13–15: *Quinqueloculina ermanni* BORNEMANN
 13: vierkammerige Seite, 51×, REM, Pr. 5956, Untereger_I,
 Hauptquerschlag/Nonnenwald-Mulde
 14: dreikammerige Seite, 55×, REM, Pr. 5956, Untereger_I,
 Hauptquerschlag/Nonnenwald-Mulde
 15: Mündungsseite, 50×, REM, Pr. 5956, Untereger_I,
 Hauptquerschlag/Nonnenwald-Mulde
- Fig. 16, 18: *Lenticulina gerlachi* REUSS
 16: Mündungsseite, 150×, REM, 376,0–379,1 m, oberes Rupel,
 Bohrung Ortenburg 1001
 18: Seitenansicht, 120×, REM, Pr. 5791, oberes Rupel,
 Graben E Ramberg/Bergener Gebiet
- Fig. 17, 19: *Planularia* cf. *cassis* FICHTEL & MOLL
 17: Mündungsseite, 105×, REM, Pr. 5709, unteres Rupel,
 Wehrprofil/Weiße Traun
 19: Seitenansicht, 100×, REM, Pr. 5709, unteres Rupel,
 Wehrprofil/Weiße Traun
- Fig. 20, 25: *Planularia budensis* (HANTKEN)
 20: Mündungsseite, 36×, REM, Pr. 5992, Untereger_I,
 Bohrung Ampfing 1
 25: Seitenansicht, 46×, REM, Pr. 5992, Untereger_I,
 Bohrung Ampfing 1
- Fig. 21, 22: *Planularia kubinyii* (HANTKEN)
 21: Mündungsseite, 100×, REM, 291,6–295,7 m,
 Untereger_I, Bohrung Ortenburg 1001
 22: Seitenansicht, 70×, REM, Pr. 5790, oberes Rupel,
 Graben E Ramberg/Bergener Gebiet
- Fig. 23, 24: *Planularia moravica* (KARRER)
 23: Seitenansicht, 100×, REM, 257,0–258,0 m, Untereger_{II},
 Bohrung Ortenburg 1001
 24: Mündungsseite, 110×, REM, 257,0–258,0 m, Untereger_{II},
 Bohrung Ortenburg 1001



Tafel 4

- Fig. 1, 6: *Vaginulinopsis pseudodecorata* HAGN
1: Mündungsseite, 45×, REM, Pr. 5894, oberes Rupel, Schmeroldgraben/Mangfall-Profil
6: Seitenansicht, 42×, REM, Pr. 5878, oberes Rupel, Locher Graben, Topotyp.
- Fig. 2, 7: *Vaginulinopsis gladius* (PHILLIP)
2: Mündungsseite, 125×, REM, 307,0–308,0 m, oberes Rupel, Bohrung Ortenburg 1003
7: Seitenansicht, 115×, REM, 291,6–295,7 m, Untereger₁, Bohrung Ortenburg 1001
- Fig. 3, 8: *Astaculus minimus* (HANTKEN)
3: Mündungsseite, 125×, REM, Pr. 5848, oberes Rupel, Koglgraben/Feilnbacher Gebiet
8: Seitenansicht, 170×, REM, 5848, oberes Rupel, Koglgraben/Feilnbacher Gebiet
- Fig. 4, 9: *Vaginulinopsis pedum* (D'ORBIGNY)
4: Mündungsseite, 150×, REM, Pr. 5750, Untereger₁, Rote Traun
9: Seitenansicht, 140×, REM, Pr. 5750, Untereger₁, Rote Traun
- Fig. 5, 10: *Vaginulinopsis tenuis* (BORNEMANN)
5: Mündungsseite, 80×, REM, Pr. 5852, Untereger₁, Koglgraben/Feilnbacher Gebiet
10: Seitenansicht, 80×, REM, Pr. 5992, Untereger₁, Bohrung Ampfing 1
- Fig. 11, 12: *Saracenaria conferta* (REUSS)
11: Seitenansicht, 87×, REM, Pr. 5869, oberes Rupel, Leitzachprofil
12: Mündungsseite, 100×, REM, Pr. 5869, oberes Rupel, Leitzach-Profil
- Fig. 13, 17: *Saracenaria propingua* (HANTKEN)
13: Seitenansicht, 100×, REM, Pr. 5895, oberes Rupel, Schmeroldgraben/Mangfall-Profil
17: Mündungsseite, 90×, REM, Pr. 5895, oberes Rupel, Schmeroldgraben/Mangfall-Profil
- Fig. 14, 22: *Marginulina hantkeni* BANDY
14: Seitenansicht, 170×, REM, Pr. 5816, Untereger₁, Rainer Mühle/Prien-Profil
22: Mündungsseite, 115×, REM, Pr. 5768, Untereger₁, Thalberggraben/Traun-Profil
- Fig. 15, 16, 18: *Amphicoryna badensis* (D'ORBIGNY)
15: Seitenansicht, megalosphaerische Generation, 120×, REM, Pr. 5836, unteres Rupel, Osterbach/Feilnbacher Gebiet
16: Seitenansicht, mikrosphaerische Generation, 105×, REM, 257,0–258,0 m, Untereger₁, Bohrung Ortenburg 1003
18: Mündungsseite, megalosphaerische Generation, 120×, REM, Pr., 5836, unteres Rupel, Osterbach/Feilnbacher Gebiet
- Fig. 19, 20: *Amphicoryna scalaris* (BATSCH)
19: Seitenansicht, megalosphaerische Generation, 100×, REM, Pr. 5755, Untereger₁, Rote Traun
20: Mündungsseite, megalosphaerische Generation, 90×, REM, Pr. 5750, Untereger₁, Rote Traun
- Fig. 21: *Nodosaria pyrula semirugosa* D'ORBIGNY
Seitenansicht, 170×, REM, Pr. 5817, Untereger₁, Rainer Mühle/Prien-Profil
- Fig. 23, 24: *Marginulina similis* D'ORBIGNY
23: Vorderseite, 170×, REM, Pr. 5924, Untereger₁, Graben N Zachenried/Nonnenwald-Mulde
24: Seitenansicht, 135×, REM, Pr. 5992, Untereger₁, Bohrung Ampfing 1



Tafel 5

- Fig. 1, 7: *Nodosaria ortenburgensis* n. sp.
1: Seitenansicht, 100×, REM, 257,0–258,0 m, Untereger_{II}, Bohrung Ortenburg 1001, Paratyp
7: Mündungsseite, 105×, REM, 458,0–461,0 m, Untereger_{II}, Bohrung Ortenburg 1002, Paratyp
- Fig. 2, 8: *Nodosaria* cf. *acuminata* HANTKEN
2: Seitenansicht, 75×, REM, Pr. 5927, Untereger_I, Graben N Zachenried/Nonnenwald-Mulde
8: Mündungsseite, 75×, REM, Pr. 5952, Untereger_I, Hauptquerschlag/Nonnenwald-Mulde
- Fig. 3, 4: *Nodosaria raphanistrum* (LINNÉ)
3: Seitenansicht, 20,5×, REM, Pr. 5959, Untereger_I, Hauptquerschlag/Nonnenwald-Mulde
4: Mündungsseite, 60×, REM, Pr. 5963, Untereger_I, Hauptquerschlag/Nonnenwald-Mulde
- Fig. 5, 6: *Nodosaria elegantissima* (D'ORIBIGNY)
5: Mündungsseite, 125×, REM, Pr. 5749, Untereger_I, Rote Traun
6: Seitenansicht, 100×, REM, Pr. 5927, Untereger_I, Graben N Zachenried/Nonnenwald-Mulde
- Fig. 9, 10: *Nodosaria hispida* (SOLDANI)
9: Mündungsseite, 180×, REM, Pr. 5835, unteres Rupel, Osterbach/Feilnbacher Gebiet
10: Seitenansicht, 180×, REM, Pr. 5817, Untereger_I, Rainer Mühle/Prien-Profil
- Fig. 11, 12: *Nodosaria bactridium* REUSS
11: Mündungsseite, 48×, REM, Pr. 5816, Untereger_I, Rainer Mühle/Prien-Profil
12: Seitenansicht, 39×, REM, Pr. 5749, Untereger_I, Rote Traun
- Fig. 13, 16, 21: *Palmula* cf. *budensis* (HANTKEN)
13: Mündungsseite, 195×, REM, Pr. 5927, Untereger_I, Graben N Zachenried/Nonnenwald-Mulde
16: Seitenansicht, 70×, Durchlicht (in Xylol), Pr. 5927, Untereger_I, Graben N Zachenried/Nonnenwald-Mulde
21: Seitenansicht, 125×, REM, Pr. 5927, Untereger_I, Graben N Zachenried/Nonnenwald-Mulde
- Fig. 14, 18: *Lingulina subglobosa* DERVIEUX
14: Mündungsseite, 70×, REM, Pr. 5865, oberes Rupel, Leitzach-Profil
18: Seitenansicht, 74×, REM, Pr. 5865, oberes Rupel, Leitzach-Profil
- Fig. 15, 19: *Bolivinella rugosa* HOWE
15: Mündungsseite, 220×, REM, 339,0–344,0 m, Untereger_I, Bohrung Ortenburg 1001
19: Seitenansicht, 220×, REM, 339,0–344,0 m, Untereger_I, Bohrung Ortenburg 1001
- Fig. 17, 23: *Amphimorphina haueriana* NEUGEBOREN
17: Mündungsseite, 57×, REM, 473,0–475,0 m, Untereger_{II}, Bohrung Ortenburg 1002
23: Seitenansicht, 57×, REM, 270,0–271,0 m, Untereger_{II}, Bohrung Ortenburg 1001
- Fig. 20: *Plectofrondicularia vaughani* CUSMAN
Seitenansicht, 57×, Durchlicht (in Xylol), Pr. 5894, oberes Rupel, Schmeroldgraben/Mangfall-Profil
- Fig. 22, 28: *Plectofrondicularia multilineata* CUSHMAN & SIMONSON
22: Mündungsseite, 210×, REM, Pr. 5883, unteres Rupel, SW Rettenbeck b. Hausham
28: Seitenansicht, 110×, REM, Pr. 5883, unteres Rupel, SW Rettenbeck b. Hausham
- Fig. 24, 26: *Plectofrondicularia* cf. *trilineata* CUSHMAN
24: Seitenansicht, 95×, REM, Pr. 5987, oberes Rupel, Bohrung Ampfing 1
26: Mündungsseite, 160×, REM, Pr. 5987, oberes Rupel, Bohrung Ampfing 1
- Fig. 25, 27: *Plectofrondicularia striata* (HANTKEN)
25: Seitenansicht, 210×, REM, Pr. 5908, oberes Rupel, Bocksleiten/Isar
27: Mündungsseite, 145×, REM, 321,0–323,7 m, Untereger_I, Bohrung Ortenburg 1001
- Fig. 29, 30: *Flabellinella tenuissima* (HANTKEN)
29: Seitenansicht, 90×, REM, Pr. 5927, Untereger_I, Graben N Zachenried/Nonnenwald-Mulde
30: Seitenansicht, 55×, Durchlicht (in Xylol), Pr. 5927, Untereger_I, Graben N Zachenried/Nonnenwald-Mulde



Tafel 6

- Fig. 1, 6: *Bolivina virgata* CUSHMAN
 1: Mündungsseite, 185×, REM, 348,9–352,4 m, Untereger_I,
 Bohrung Ortenburg 1001
 6: Seitenansicht, 245×, REM, 348,9–352,4 m, Untereger_I,
 Bohrung Ortenburg 1001
- Fig. 2, 7: *Lagena gracilicosta* REUSS
 2: Mündungsseite, 235×, REM, 291,0–292,0 m, Untereger_I,
 Bohrung Ortenburg 1003
 7: Seitenansicht, 210×, REM, Pr. 5702, unteres Rupel,
 Wehrprofil/Weiße Traun
- Fig. 3, 4, 8: *Guttulina problema frankei* CUSHMAN & OZAWA
 3: Initialteil, 95×, REM, Pr. 5900, Untereger_I,
 Schmeroldgraben/Mangfall-Profil
 4: Mündungsseite, 160×, REM, Pr. 5900, Untereger_I,
 Schmeroldgraben/Mangfall-Profil
 8: Seitenansicht, 140×, REM, Pr. 5900, Untereger_I,
 Schmeroldgraben/Mangfall-Profil
- Fig. 9: *Glandulina aequalis* REUSS
 Seitenansicht, 90×, REM, Pr. 5894, oberes Rupel,
 Schmeroldgraben/Mangfall-Profil
- Fig. 5, 10, 16: „*Pyrulina*“ *fusiformis* (ROEMER)
 5: Mündungsseite, 105×, REM, Pr. 6003, Untereger_{II},
 Bohrung Ampfing 1
 10: Seitenansicht, 100×, REM, Pr. 5855, Untereger_I,
 Engelsrieder Graben/Feilnbacher Gebiet
 16: Seitenansicht, 150×, Durchlicht, 317,6–321,0 m, Untereger_I,
 Bohrung Ortenburg 1001
- Fig. 11, 12: *Bulimina arndti* HAGN
 11: Seitenansicht, 190×, REM, Pr. 5817, Untereger_I,
 Rainer Mühle/Prien-Profil, Topotyp
 12: Mündungsseite, 170×, REM, Pr. 5994, Untereger_I,
 Bohrung Ampfing 1
- Fig. 13, 14: *Bulimina sculptilis* CUSHMAN
 13: Mündungsseite, 170×, REM, Pr. 5983, Latdorf,
 Bohrung Ampfing 1
 14: Seitenansicht, 170×, REM, Pr. 5982, Latdorf,
 Bohrung Ampfing 1
- Fig. 15, 19: *Glandulina dimorpha* BORNEMANN
 15: Seitenansicht, 90×, REM, Pr. 5992, Untereger_I,
 Bohrung Ampfing 1
 19: Mündungsseite, 100×, REM, Pr. 5791, oberes Rupel,
 Graben E Ramberg/Bergener Gebiet
- Fig. 17, 20, 21: *Globobulimina bathyalis* n. sp.
 17: Initialteil, 120×, REM, 317,6–321,0 m, Untereger_I,
 Bohrung Ortenburg 1001, Paratyp
 20: Mündungsseite, 90×, REM, Pr. 5895, oberes Rupel,
 Schmeroldgraben/Mangfall-Profil, Paratyp
 21: Seitenansicht, 95×, REM, 291,6–295,7 m, Untereger_I,
 Bohrung Ortenburg 1001, Paratyp
- Fig. 18, 22: *Globobulimina* sp.
 18: Seitenansicht, 100×, REM, Pr. 5750, Untereger_I,
 Rote Traun
 22: Initialteil, 105×, REM, Pr. 5750, Untereger_I,
 Rote Traun
- Fig. 23: *Oolina globosa* (MONTAGU)
 Seitenansicht, 145×, Durchlicht, 272,0–273,0 m, Untereger_I,
 Bohrung Ortenburg 1003



Tafel 7

- Fig. 1, 6: *Caucasina coprolithoides* (ANDREAE)
 1: Initialteil, 170×, REM, 352,4–355,5 m, Untereger_I,
 Bohrung Ortenburg 1001
 6: Seitenansicht, 170×, REM, 327,7–330,5 m, Untereger_I,
 Bohrung Ortenburg 1001
- Fig. 2, 7: *Caucasina schischkinskayae* (SAMOILOVA)
 2: Initialteil, 265×, REM, 414,4–415,1 m, oberes Rupel,
 Bohrung Ortenburg 1001
 7: Seitenansicht, 220×, REM, 414,4–415,1 m, oberes Rupel,
 Bohrung Ortenburg 1001
- Fig. 3, 8: *Caucasina oligocaenica* KHALILOV
 3: Initialteil, 165×, REM, Pr. 5792, Untereger_I,
 Bernhaupten/Bergener Gebiet
 8: Seitenansicht, 180×, REM, Pr. 5792, Untereger_I,
 Bernhaupten/Bergener Gebiet
- Fig. 4, 9: *Fursenkoina mustoni* (ANDREAE)
 4: Mündungsseite, 220×, REM, 311,0–315,0 m, Untereger_I,
 Bohrung Ortenburg 1001
 9: Seitenansicht, 220×, REM, Pr. 5702, unteres Rupel,
 Wehrprofil/Weiße Traun
- Fig. 5, 10: *Coryphostoma* sp.
 5: Mündungsseite, 170×, REM, Pr. 5996, Untereger_I,
 Bohrung Ampfing 1
 10: Seitenansicht, 165×, REM, 301,0–306,4 m, Untereger_I,
 Bohrung Ortenburg 1001
- Fig. 11, 12: *Buliminella elegantissima* (D'ORBIGNY)
 11: Seitenansicht, 170×, REM, 339,0–344,0 m, Untereger_I,
 Bohrung Ortenburg 1001
 12: Mündungsseite, 170×, REM, 339,0–344,0 m, Untereger_I,
 Bohrung Ortenburg 1001
- Fig. 13, 23: *Uvigerina posthantkeni* PAPP
 13: Mündungsseite, 95×, REM, Pr. 5790, oberes Rupel,
 Graben E Ramberg/Bergener Gebiet
 23: Seitenansicht, 95×, REM, Pr. 5790, oberes Rupel,
 Graben E Ramberg/Bergener Gebiet
- Fig. 14, 15: *Uvigerina cichai* n. sp.
 14: Mündungsseite, 170×, REM, Pr. 5927, Untereger_I,
 Graben N Zachenried/Nonnenwald-Mulde, Paratyp
 15: Seitenansicht, 120×, REM, Pr. 5924, Untereger_I,
 Graben N Zachenried/Nonnenwald-Mulde, Paratyp
- Fig. 16, 20: *Virgulinella chalkophila* (HAGN)
 16: Mündungsseite, 130×, REM, Pr. 5705, unteres Rupel,
 Wehrprofil/Weiße Traun, Topotyp
 20: Seitenansicht, 160×, REM, Pr. 5698, unteres Rupel,
 Wehrprofil/Weiße Traun, Topotyp
- Fig. 17, 21: *Uvigerina rudlingensis* PAPP
 17: Mündungsseite, 46×, REM, 266,8–268,0 m, Untereger_{II},
 Bohrung Ortenburg 1001
 21: Seitenansicht, 64×, REM, 257,0–258,0 m, Untereger_{II},
 Bohrung Ortenburg 1001
- Fig. 18, 22: *Uvigerina hantkeni* CUSHMAN & EDWARDS
 18: Mündungsseite, 85×, REM, Pr. 5839, unteres Rupel,
 Osterbach/Feilnbacher Gebiet
 22: Seitenansicht, 120×, REM, Pr. 5717, oberes Rupel,
 nördliche Fortsetzung des Wehrprofils/Weiße Traun
- Fig. 19, 24: *Rectuvigerina elegans* (HANTKEN)
 19: Initialteil, 120×, REM, 311,0–312,0 m, oberes Rupel,
 Bohrung Ortenburg 1003
 24: Seitenansicht, 70×, REM, 311,0–312,0 m, oberes Rupel,
 Bohrung Ortenburg 1003



- Fig. 1: *Trifarina gracilis* (REUSS) var. *germanica* CUSHMAN & EDWARDS
Seitenansicht, 230×, REM, 330,5–334,4 m, Untereger_I,
Bohrung Ortenburg 1001
- Fig. 2, 3: *Trifarina muralis* (TERQUEM)
2: Seitenansicht, 300×, REM, Pr. 5908, oberes Rupel,
Bocksleiten/Isar
3: Mündungsseite, 220×, REM, Pr. 5908, oberes Rupel,
Bocksleiten/Isar
- Fig. 4, 5: *Reussella aperta* CUSHMAN
4: Mündungsseite, 200×, REM, 344,0–348,9 m, Untereger_I,
Bohrung Ortenburg 1001
5: Seitenansicht, 310×, REM, 344,0–348,9 m, Untereger_I,
Bohrung Ortenburg 1001
- Fig. 6, 11: *Bolivina beyrichi beyrichi* REUSS
6: Mündungsseite, 190×, REM, 260,1–261,0 m, Untereger_{II},
Bohrung Ortenburg 1001
11: Seitenansicht, 105×, REM, 414,4–415,1 m, oberes Rupel,
Bohrung Ortenburg 1001
- Fig. 7, 12: *Bolivina* cf. *beyrichi bituminosa* SPANDEL
7: Mündungsseite, 210×, REM, 414,4–415,1 m, oberes Rupel,
Bohrung Ortenburg 1001
12: Seitenansicht, 180×, REM, Pr. 5725, oberes Rupel,
nördliche Fortsetzung des Wehrprofils/Weiße Traun
- Fig. 8, 13: *Bolivina beyrichi carinata* HANTKEN
8: Mündungsseite, 170×, REM, Pr. 5895, oberes Rupel,
Schmeroldgraben/Mangfall-Profil
13: Seitenansicht, 120×, REM, Pr. 5789, unteres Rupel,
Graben E Ramberg/Bergener Gebiet
- Fig. 9, 14: *Bolivina vaceki bavarica* LUHR
9: Mündungsseite, 200×, REM, Pr. 5702, unteres Rupel,
Wehrprofil/Weiße Traun
14: Seitenansicht, 130×, REM, Pr. 5725, oberes Rupel,
nördliche Fortsetzung des Wehrprofils/Weiße Traun
- Fig. 10, 15: *Bolivina versatilis* HOFMANN
10: Mündungsseite, 210×, REM, 276,3–279,0 m, Untereger_I,
Bohrung Ortenburg 1001, Topotyp
15: Seitenansicht, 230×, REM, 276,3–279,0 m, Untereger_I,
Bohrung Ortenburg 1001, Topotyp
- Fig. 16, 20: *Bolivina dilatata hyalina* HOFMANN
16: Mündungsseite, 260×, REM, Pr. 5702, unteres Rupel,
Wehrprofil/Weiße Traun
20: Seitenansicht, 240×, REM, Pr. 5702, unteres Rupel,
Wehrprofil, Weiße Traun
- Fig. 17, 21: *Bolivina crenulata* CUSHMAN
17: Mündungsseite, 215×, REM, 257,0–258,0 m, Untereger_{II},
Bohrung Ortenburg 1001
21: Seitenansicht, 200×, REM, Pr. 5847, oberes Rupel,
Koglgraben/Feilnbacher Gebiet
- Fig. 18, 22: *Bolivina koessenensis* LINDENBERG
18: Mündungsseite, 240×, REM, 414,4–415,1 m, oberes Rupel,
Bohrung Ortenburg 1001
22: Seitenansicht, 255×, REM, 414,4–415,1 m, oberes Rupel,
Bohrung Ortenburg 1001
- Fig. 19, 23: *Bolivina gnara* HOFMANN
19: Mündungsseite, 240×, REM, Pr. 5701, unteres Rupel,
Wehrprofil/Weiße Traun
23: Seitenansicht, 320×, REM, Pr. 5821, Untereger_{II},
Wildenwart/Prien-Profil



Tafel 9

- Fig. 1, 5: *Bolivina reticulata* HANTKEN
 1. Mündungsseite, 315×, REM, 489,3–490,1 m, Untereger_I,
 Bohrung Ortenburg 1002
 5: Seitenansicht, 280×, REM, 489,3–490,1 m, Untereger_I,
 Bohrung Ortenburg 1002
- Fig. 2, 6: *Bolivina aenariensisformis* MYATLYUK
 2: Mündungsseite, 210×, REM, Pr. 5966, Latdorf,
 Graben SW des Haldemoosecks/Ammergebiet
 6: Seitenansicht, 215×, REM, Pr. 5966, Latdorf,
 Graben SW des Haldemoosecks/Ammergebiet
- Fig. 3, 7: *Bolivina liebusi* HOFMANN
 3: Mündungsseite, 90×, REM, Pr. 5897, oberes Rupel,
 Schmeroldgraben/Mangfall-Profil
 7: Seitenansicht, 160×, REM, Pr. 5901, Untereger_I,
 Schmeroldgraben/Mangfall-Profil
- Fig. 4, 8: *Bolivina euzona* HOFMANN
 4: Mündungsseite, 140×, REM, 272,0–276,3 m, Untereger_{II},
 Bohrung Ortenburg 1001, Topotyp
 8: Seitenansicht, 160×, REM, 272,0–276,3 m, Untereger_{II},
 Bohrung Ortenburg 1001, Topotyp
- Fig. 9, 15: *Bolivina tereta* (CUSHMAN)
 9: Mündungsseite, 250×, REM, Pr. 5817, Untereger_I,
 Rainer Mühle/Prien-Profil
 15: Seitenansicht, 200×, REM, Pr. 5817, Untereger_I,
 Rainer Mühle/Prien-Profil
- Fig. 10, 16: *Bolivina nobilis* HANTKEN
 10: Mündungsseite, 135×, Pr. 5806, oberes Rupel, Prien-Profil
 16: Seitenansicht, 105×, Pr. 5806, oberes Rupel, Prien-Profil
- Fig. 11, 17: *Bolivina molassica* HOFMANN
 11: Mündungsseite, 180×, REM, 257,0–258,0 m, Untereger_{II},
 Bohrung Ortenburg 1001, Topotyp
 17: Seitenansicht, 160×, REM, 257,0–258,0 m, Untereger_{II},
 Bohrung Ortenburg 1001, Topotyp
- Fig. 12, 18: *Bolivina oligocaenica* SPANDEL
 12: Mündungsseite, 260×, REM, Pr. 5702, unteres Rupel,
 Wehrprofil/Weiße Traun
 18: Seitenansicht, 255×, REM, Pr. 5702, unteres Rupel,
 Wehrprofil/Weiße Traun
- Fig. 13, 19: *Rectobolivina zsigmondyi* (HANTKEN)
 13: Mündungsseite, 135×, REM, 489,3–490,1 m, Untereger_I,
 Bohrung Ortenburg 1002
 19: Seitenansicht, 105×, REM, Pr. 5992, Untereger_I,
 Bohrung Ampfing 1
- Fig. 14, 20: *Stilostomella emaciata* (REUSS)
 14: Mündungsseite, 90×, REM, Pr. 5768, Untereger_I,
 Thalberggraben/Traun-Profil
 20: Seitenansicht, 85×, REM, Pr. 5839, unteres Rupel,
 Osterbach/Feilnbacher Gebiet
- Fig. 21, 22: *Elphidiella subnodosa* (ROEMER)
 21: frontal, 90×, REM, Pr. 6002, Untereger_I,
 Bohrung Ampfing 1
 22: Seitenansicht, 135×, REM, Pr. 6002, Untereger_I,
 Bohrung Ampfing 1
- Fig. 23, 24: *Elphidiella turgescens* (CUSHMAN)
 23: Seitenansicht, 150×, REM, 330,5–334,4 m, Untereger_I,
 Bohrung Ortenburg 1001
 24: frontal, 135×, REM, 330,5–334,5 m, Untereger_I,
 Bohrung Ortenburg 1001



Tafel 10

- Fig. 1: *Elphidiella turgescens* (CUSHMAN)
Seitenansicht, Detail, 390×, REM, 330,5–334,4 m, Untereger₁,
Bohrung Ortenburg 1001
- Fig. 2, 3: *Elphidiella subnodosa* (ROEMER)
2: Aufsicht auf (3) subsuturale Kanäle, aufgebrochenes Exemplar,
Blick in radialer Richtung, 350×, REM, Pr. 6002, Untereger₁,
Bohrung Ampfing 1
3: Seitenansicht, Detail, 320×, REM, Pr. 6002, Untereger₁,
Bohrung Ampfing 1
- Fig. 4, 5: *Elphidium* cf. *advenum* (CUSHMAN)
4: frontal, 225×, REM, Pr. 5734, oberes Rupel,
Traun-Profil
5: Seitenansicht, 135×, REM, Pr. 5867, oberes Rupel,
Leitzach-Profil
- Fig. 6, 7: *Melonis affinis* (REUSS)
6: Seitenansicht, 195×, REM, Pr. 5737, oberes Rupel,
Traun-Profil
7: frontal, 170×, REM, 414,4–415,1 m, oberes Rupel,
Bohrung Ortenburg 1001
- Fig. 8, 9, 12: *Nonionella liebusi* HAGN
8: frontal, 120×, REM, Pr. 5909, oberes Rupel,
Gaißach-Profil
9: Ventral-Seite, 120×, REM, Pr. 5878, oberes Rupel,
Locher Graben, Topotyp
12: Spiralseite, 120×, REM, Pr. 5878, oberes Rupel,
Locher Graben, Topotyp
- Fig. 10, 11: *Protelphidium* sp.
10: Seitenansicht, 195×, REM, Pr. 6000, Untereger₁,
Bohrung Ampfing 1
11: frontal, 200×, Pr. 6000, Untereger₁,
Bohrung Ampfing 1
- Fig. 13–15: *Allomorphina trigona* REUSS
13: Spiralseite, 175×, REM, Pr. 5702, unteres Rupel,
Wehrprofil/Weiße Traun
14: Seitenansicht, 175×, REM, Pr. 5702, unteres Rupel,
Wehrprofil/Weiße Traun
15: Ventralseite, 175×, REM, Pr. 5702, unteres Rupel,
Wehrprofil/Weiße Traun



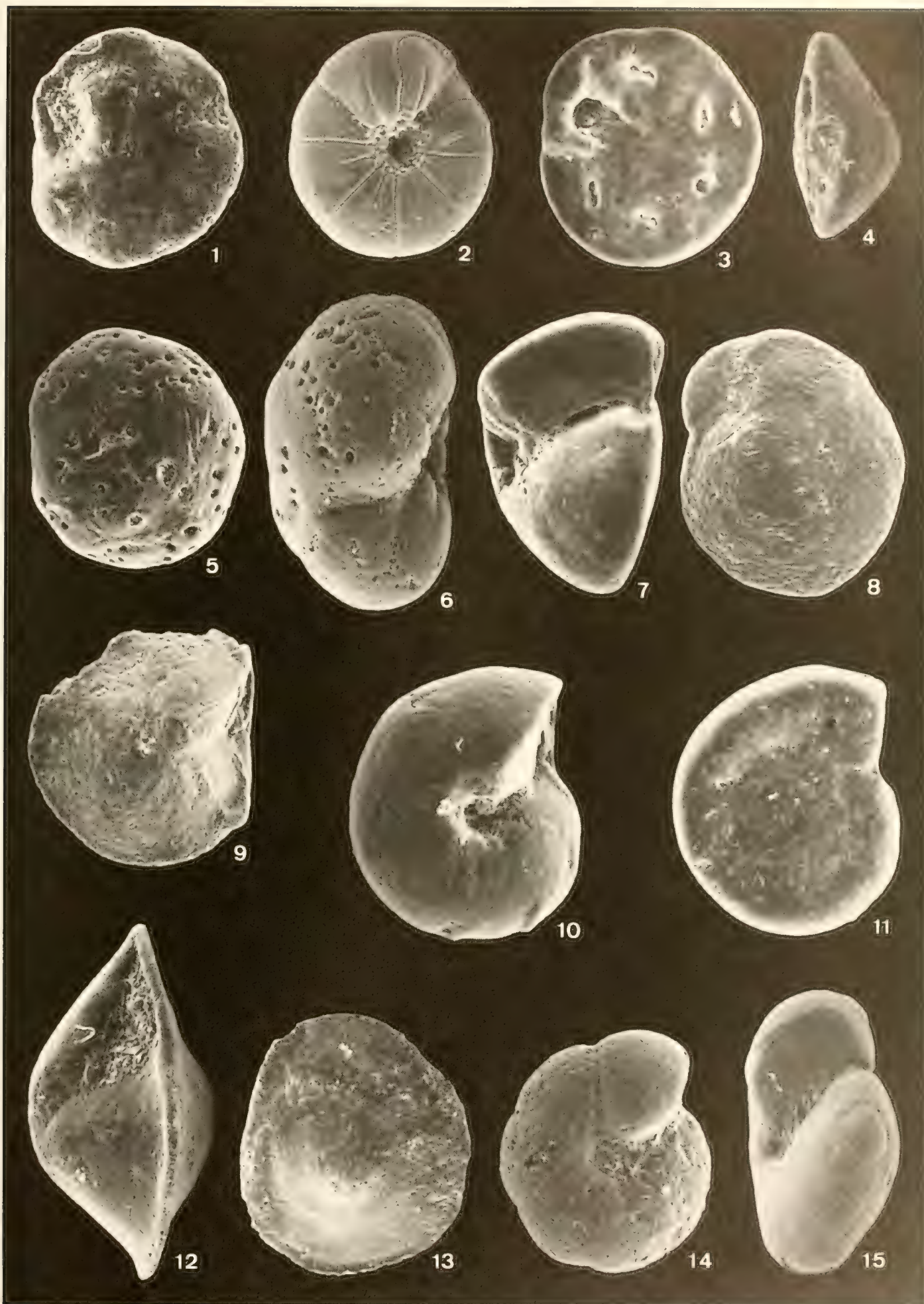
Tafel 11

- Fig. 1, 5: *Cassidulinoides bodeni* HAGN
 1: Mündungsseite, 240×, REM, Pr. 5817, Untereger_I,
 Rainer Mühle/Prien-Profil, Topotyp
 5: Gehäuserücken, 265×, REM, Pr. 5895, oberes Rupel,
 Schmeroldgraben/Mangfall-Profil
- Fig. 2, 6: *Chilostomelloides oviformis* (SHERBORN & CHAPMAN)
 2: Mündungsseite, 90×, REM, Pr. 5836, unteres Rupel,
 Osterbach/Feilnbacher Gebiet
 6: Seitenansicht, 120×, REM, Pr. 5836, unteres Rupel,
 Osterbach/Feilnbacher Gebiet
- Fig. 3, 4: *Allomorphina macrostoma* KARRER
 3: Seitenansicht, 120×, REM, Pr. 5805, oberes Rupel,
 Prien-Profil
 4: Ventralseite, 120×, REM, Pr. 5805, oberes Rupel,
 Prien-Profil
- Fig. 7–9: *Discorbis alteconicus* (POKORNÝ)
 7: frontal, 300×, REM, 257,0–258,0 m, Unteregger_{II},
 Bohrung Ortenburg 1001
 8: Ventralseite, 215×, REM, 306,4–311,0 m, Untereger_I,
 Bohrung Ortenburg 1001
 9: Spiralseite, 205×, REM, 339,0–344,0 m, Untereger_I,
 Bohrung Ortenburg 1001
- Fig. 10–12: *Cancris subconicus* (TERQUEM)
 10: frontal, 95×, REM, 334,4–339,0 m, Untereger_I,
 Bohrung Ortenburg 1001
 11: Spiralseite, 90×, REM, Pr. 5702, unteres Rupel,
 Wehrprofil/Weiße Traun
 12: Ventralseite, 110×, REM, 283,9–287,2 m, Untereger_I,
 Bohrung Ortenburg 1001
- Fig. 13, 16, 17: *Eponides constans* n. sp.
 13: Spiralseite, 320×, REM, Pr. 5892, oberes Rupel,
 Schmeroldgraben/Mangfall-Profil, Paratyp
 16: frontal, 300×, REM, 330,5–334,4 m, Untereger_I,
 Bohrung Ortenburg 1001, Paratyp
 17: Ventralseite, 190×, REM, 330,5–334,4 m, Untereger_I,
 Bohrung Ortenburg 1001, Paratyp
- Fig. 14, 15: *Epistominella molassica* (HAGN)
 14: frontal, 170×, REM, Pr. 5750, Untereger_I,
 Rote Traun, Topotyp
 15: Spiralseite, 330×, REM, 339,0–334,0 m, Untereger_I,
 Bohrung Ortenburg 1001



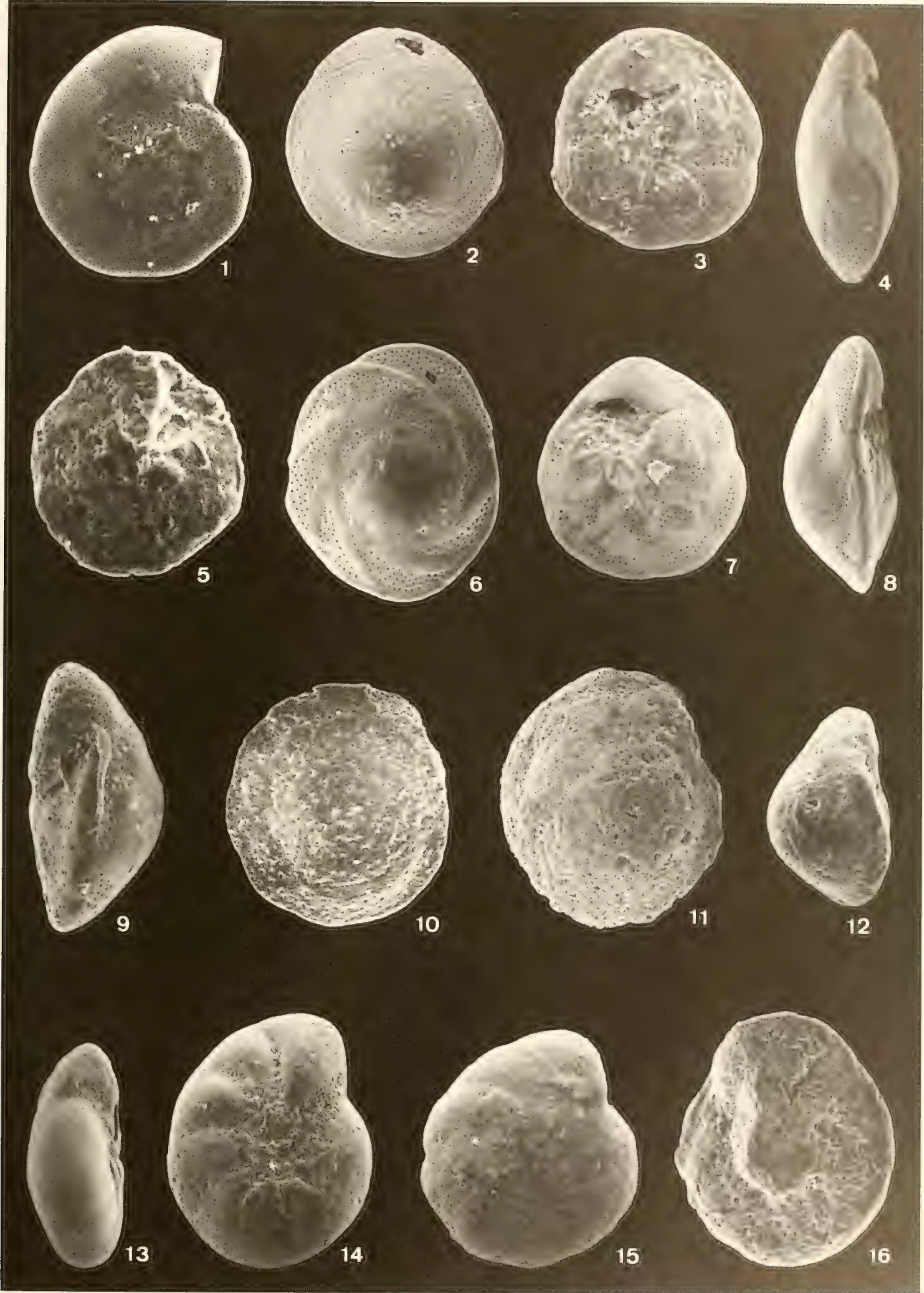
Tafel 12

- Fig. 1: *Epistominella molassica* (HAGN)
 Ventralseite, 165×, REM, Pr. 5750, Untereger_I,
 Rote Traun, Topotyp
- Fig. 2, 5, 6: *Glabratellina* cf. *arcuata* SEIGLIE & BERMÚDEZ
 2: Ventralseite, 190×, REM, 266,8–268,0 m, Untereger_{II},
 Bohrung Ortenburg 1001
 5: Spiralseite, 420×, REM, 315,0–317,6 m, Untereger_I,
 Bohrung Ortenburg 1001
 6: frontal, 500×, REM, 339,0–344,0 m, Untereger_I,
 Bohrung Ortenburg 1001
- Fig. 3, 4, 8: *Eoeponidella ampliportata* n. sp.
 3: Ventralseite, 205×, REM, 291,6–295,7 m, Untereger_I,
 Bohrung Ortenburg 1001, Paratyp
 4: frontal, 265×, REM, 465,0–470,0 m, Untereger_{II},
 Bohrung Ortenburg 1002, Paratyp
 8: Spiralseite, 270×, REM, 266,8–268,0 m, Untereger_{II},
 Bohrung Ortenburg 1001, Paratyp
- Fig. 7, 10, 11: *Gyroidina soldanii* D'ORBIGNY
 7: frontal, 115×, REM, Pr. 5895, oberes Rupel,
 Schmeroldgraben/Mangfall-Profil
 10: Ventralseite, 125×, REM, Pr. 5895, oberes Rupel,
 Schmeroldgraben/Mangfall-Profil
 11: Spiralseite, 115×, REM, Pr. 5895, oberes Rupel,
 Schmeroldgraben/Mangfall-Profil
- Fig. 9, 12, 13: *Alabamina budensis* (HANTKEN)
 9: Ventralseite, 135×, REM, Pr. 5834, Untereger_I,
 Greimelberg/Priengebiet
 12: frontal, 230×, REM, Pr. 5817, Untereger_I,
 Rainer Mühle/Prien-Profil
 13: Spiralseite, 120×, REM, Pr. 5817, Untereger_I,
 Rainer Mühle, Prien-Profil
- Fig. 14, 15: *Gyroidina brockerti* n. sp.
 14: Ventralseite, 200×, REM, Pr. 5855, Untereger_I,
 Engelsrieder Graben/Feilnbacher Gebiet, Paratyp
 15: frontal, 285×, REM, Pr. 5895, oberes Rupel,
 Schmeroldgraben/Mangfall-Profil, Paratyp



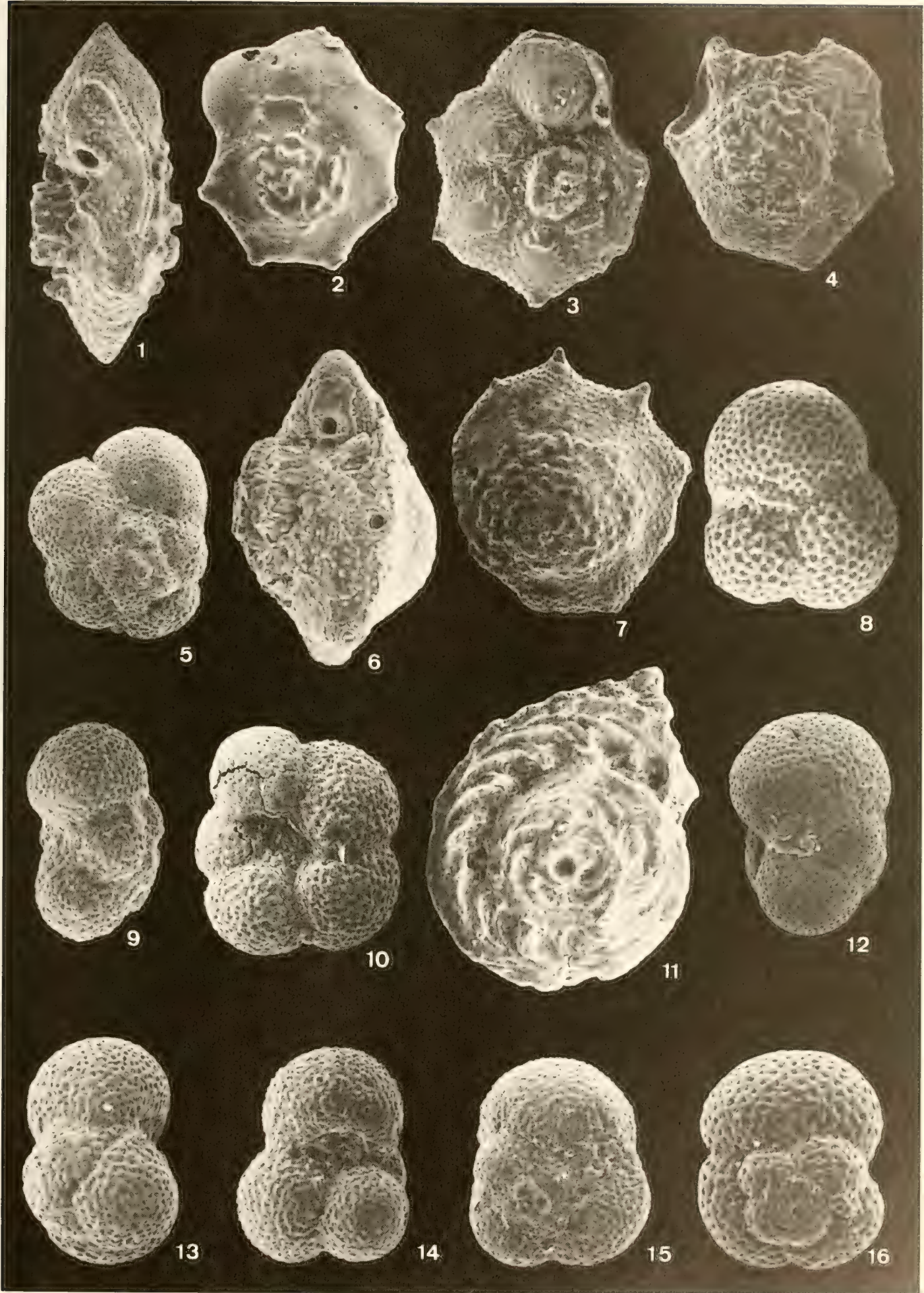
Tafel 13

- Fig. 1: *Gyroidina brockerti* n. sp.
Spiralseite, 285×, REM, 330,5–334,4 m, Untereger_I,
Bohrung Ortenburg 1001, Paratyp
- Fig. 2–4: *Asterigerina praeplanorbis* HAGN
2: Spiralseite, 200×, REM, 364,3–379,1 m, oberes Rupel,
Bohrung Ortenburg 1001, Topotyp
3: Ventralseite, 250×, REM, 364,3–379,1 m, oberes Rupel,
Bohrung Ortenburg 1001, Topotyp
4: frontal, 245×, REM, 364,3–379,1 m, oberes Rupel,
Bohrung Ortenburg 1001, Topotyp
- Fig. 5, 9, 10: *Nuttallides* sp.
5: Ventralseite, 280×, REM, Pr. 5931, Untereger_I,
Hauptquerschlag/Nonnenwald-Mulde
9: frontal, 330×, REM, 257,0–258,0 m, Untereger_{II},
Bohrung Ortenburg 1001
10: Spiralseite, 155×, REM, Pr. 5993, Untereger_I,
Bohrung Ampfing 1
- Fig. 6–8: *Asterigerinoides guerichi* (FRANKE)
6: Spiralseite, 180×, REM, 323,7–339,0 m, Untereger_I,
Bohrung Ortenburg 1001
7: Ventralseite, 160×, REM, 323,7–339,0 m, Untereger_I,
Bohrung Ortenburg 1001
8: frontal, 195×, REM, 323,7–339,0 m, Untereger_I,
Bohrung Ortenburg 1001
- Fig. 11, 12, 16: *Rotalia trochus* ROEMER
11: Spiralseite, 205×, REM, Pr. 5771, Untereger_{II},
Thalberggraben/Traun-Profil
12: frontal, 150×, REM, Pr. 5727, oberes Rupel,
nördliche Fortsetzung des Wehrprofils/Weiße Traun
16: Ventralseite, 205×, REM, Pr. 5727, oberes Rupel,
nördliche Fortsetzung des Wehrprofils/Weiße Traun
- Fig. 13–15: *Ammonia kiliani* (ANDREAE)
13: frontal, 130×, REM, Pr. 5906, Untereger_I
(Cyrenen-Schichten), Mangfall-Profil
14: Ventralseite, 120×, REM, Pr. 5906, Untereger_I
(Cyrenen-Schichten), Mangfall-Profil
15: Spiralseite, 120×, REM, Pr. 5906, Untereger_I
(Cyrenen-Schichten), Mangfall-Profil

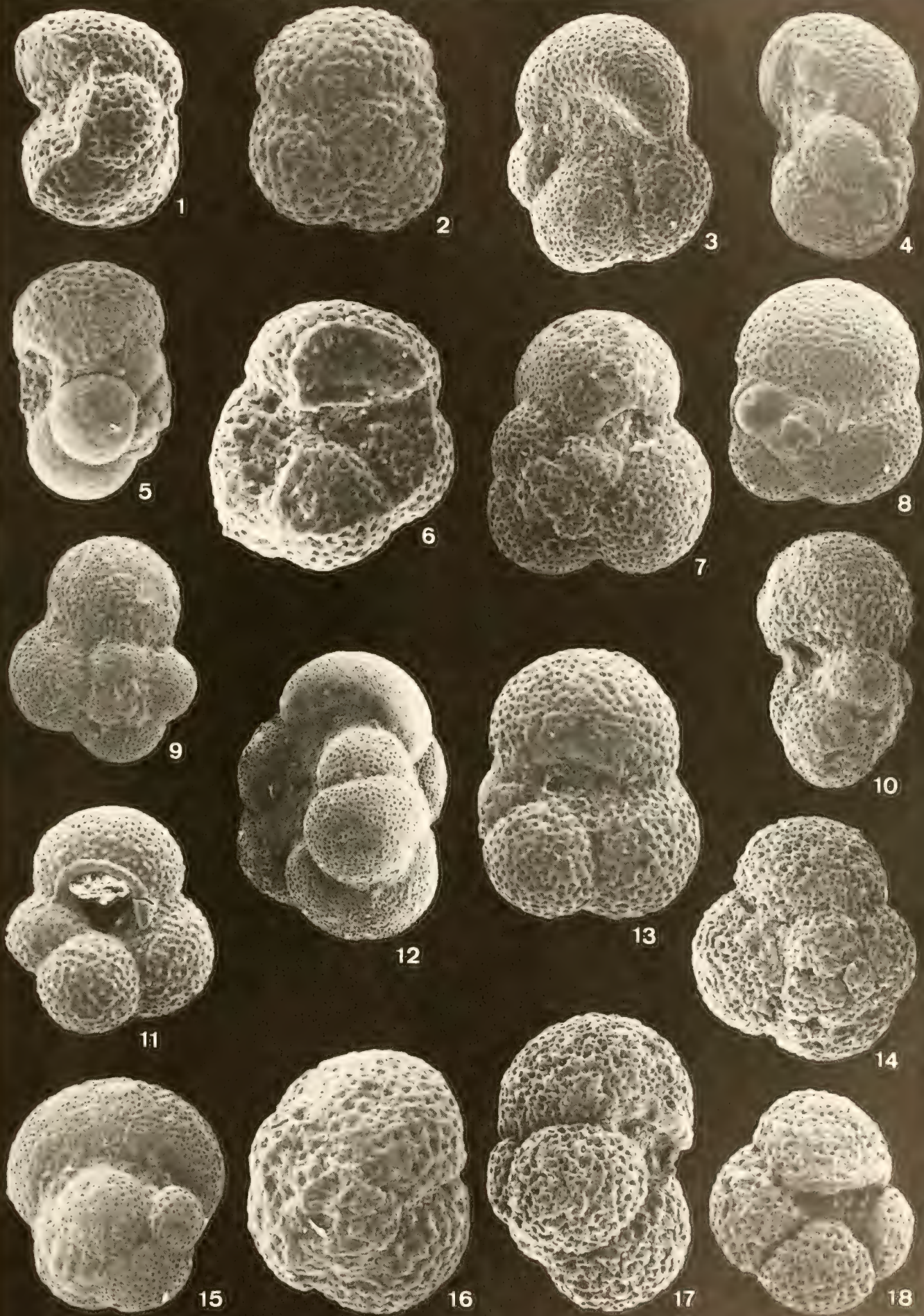


Tafel 14

- Fig. 1–3: *Pararotalia canui* (CUSHMAN)
 1: frontal, 360×, REM, 339,0 m–344,0 m, Untereger₁,
 Bohrung Ortenburg 1001
 2: Spiralseite, 195×, REM, 339,0–344,0 m, Untereger₁,
 Bohrung Ortenburg 1001
 3: Ventralseite, 230×, REM, 339,0–344,0 m, Untereger₁,
 Bohrung Ortenburg 1001
- Fig. 4, 6, 7: *Pararotalia* sp.
 4: Ventralseite, 225×, REM, 317,6–321,0 m, Untereger₁,
 Bohrung Ortenburg 1001
 6: frontal, 270×, REM, 317,6–321,0 m, Untereger₁,
 Bohrung Ortenburg 1001
 7: Spiralseite, 140×, REM, 317,6–321,0 m, Untereger₁,
 Bohrung Ortenburg 1001
- Fig. 5, 9, 10: *Globigerina anguliofficialis* BLOW
 5: Spiralseite, 195×, REM, Pr. 5914, Untereger₁,
 Gaißbach-Profil
 9: frontal, 210×, REM, Pr. 5914, Untereger₁,
 Gaißbach-Profil
 10: Ventralseite, 270×, REM, 272,0–272,9 m, Untereger₁,
 Bohrung Ortenburg 1001
- Fig. 8, 12, 16: *Globigerina utilisindex* JENKINS & ORR
 8: Ventralseite, 200×, REM, Pr. 5709, unteres Rupel,
 Wehrprofil/Weiße Traun
 12: frontal, 190×, REM, Pr. 5694, Latdorf, Galongraben
 16: Spiralseite, 260×, REM, Pr. 5702, unteres Rupel,
 Wehrprofil/Weiße Traun
- Fig. 11: *Nummulites bouillei* DE LA HARPE
 Internbau, median gespaltenes Exemplar, 65×, REM, Pr. 5980, Latdorf,
 Bohrung Ampfing 1
- Fig. 13–15: *Globigerina tapuriensis* BLOW & BANNER
 13: frontal, 195×, REM, Pr. 5992, Untereger₁,
 Bohrung Ampfing 1
 14: Ventralseite, 220×, REM, Pr. 5931, Untereger₁,
 Hauptquerschlag/Nonnenwald-Mulde
 15: Spiralseite, 200×, REM, Pr. 5702, unteres Rupel,
 Wehrprofil/Weiße Traun

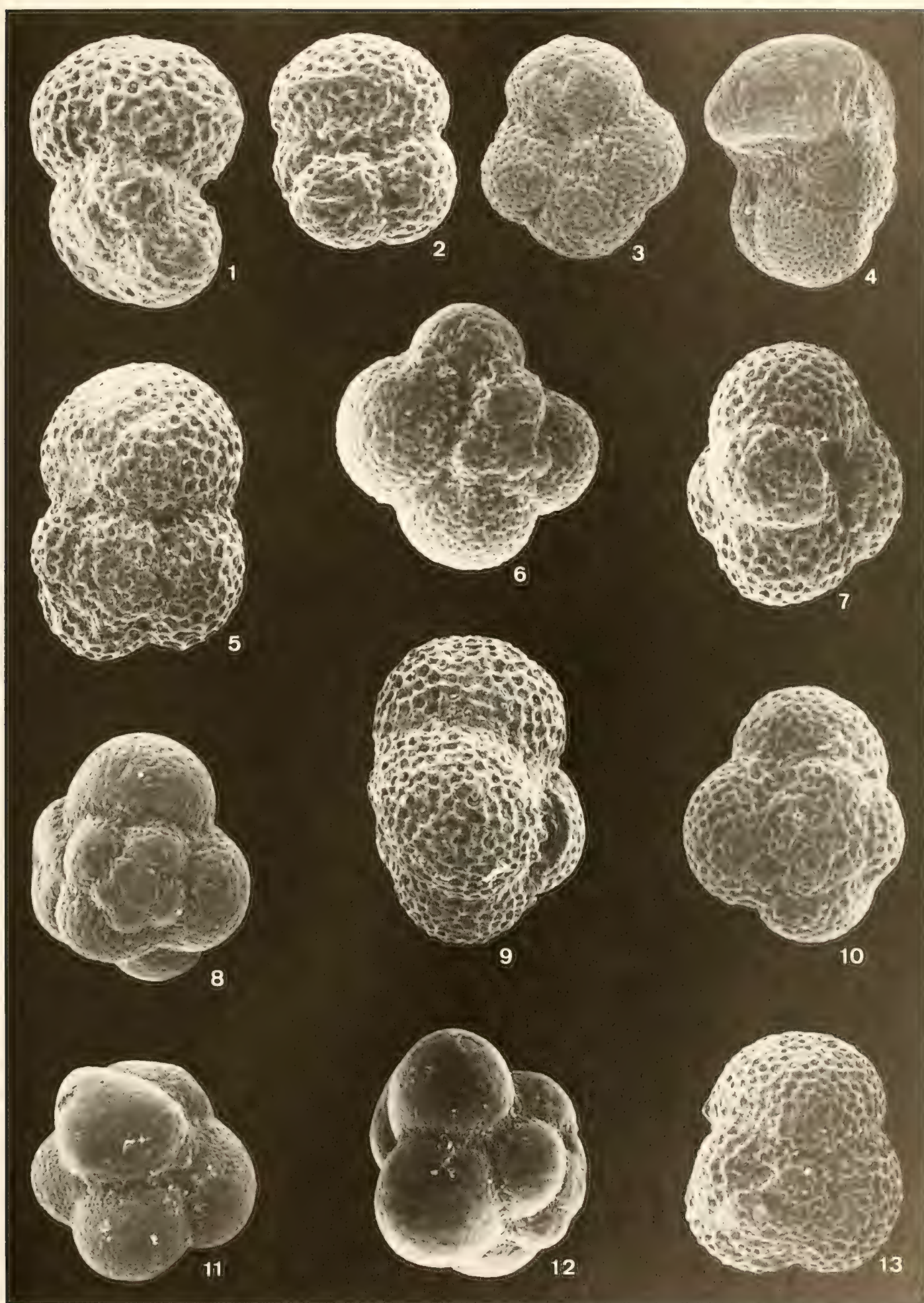


- Fig. 1, 2, 6: *Globigerina sellii* (BORSETTI)
 1: frontal, 175×, REM, Pr. 5792, Untereger_I,
 Bernhaupten/Bergener Gebiet
 2: Spiralseite, 240×, REM, Pr. 5845, oberes Rupel,
 Feilnbachtal/Feilnbacher Gebiet
 6: Ventralseite, 210×, REM, Pr. 5792, Untereger_I,
 Bernhaupten/Bergener Gebiet
- Fig. 3, 4, 8: *Globigerina ampliapertura* BOLLI
 3: Ventralseite, 160×, REM, Pr. 5694, Latdorf,
 Galonggraben
 4: frontal, 200×, REM, Pr. 5794, oberes Rupel,
 Übersee/Priengebiet
 8: Spiralseite, 140×, REM, Pr. 5694, Latdorf,
 Galonggraben
- Fig. 5, 9, 11: *Globigerina labiacrassata* JENKINS
 5: frontal, 280×, REM, 498,0–500,8 m, Untereger_I,
 Bohrung Ortenburg 1002
 9: Spiralseite, 150×, REM, Pr. 5931, Untereger_I,
 Hauptquerschlag/Nonnenwald-Mulde
 11: Ventralseite, 230×, REM, 276,5–277,5 m, Untereger_I,
 Bohrung Ortenburg 1003
- Fig. 7, 10, 13: *Globigerinoides quadrilobatus primordius* BLOW & BANNER
 7: Spiralseite, 170×, REM, Pr. 5913, Untereger_I,
 Hauptquerschlag/Nonnenwald-Mulde
 10: frontal, 180×, REM, Pr. 5928, Untereger_I,
 Graben N Zachenried/Nonnenwald-Mulde
 13: Ventralseite, 210×, REM, Pr. 5992, Untereger_I,
 Bohrung Ampfing 1
- Fig. 12, 15: *Globigerina ciperoensis* BOLLI, aberrante Formen
 12: frontal, 125×, REM, 475,0–477,0 m, Untereger_{II},
 Bohrung Ortenburg 1002
 15: streptospiraler Initialteil, Mündung der letzten Kammer,
 125×, REM, Pr. 5992, Untereger_I,
 Bohrung Ampfing 1
- Fig. 14, 17, 18: *Subbotina* cf. *pseudoeocaena* (SUBBOTINA)
 14: Spiralseite, 230×, REM, 257,0–258,0 m, Untereger_{II},
 Bohrung Ortenburg 1001
 17: frontal, 250×, REM, 257,0–258,0 m, Untereger_{II},
 Bohrung Ortenburg 1001
 18: Ventralseite, 225×, REM, 257,0–258,0 m, Untereger_{II},
 Bohrung Ortenburg 1001
- Fig. 16: *Subbotina angiporoides* (HORNIBROOK)
 frontal, 350×, REM, Pr. 5702, unteres Rupel,
 Wehrprofil/Weiße Traun



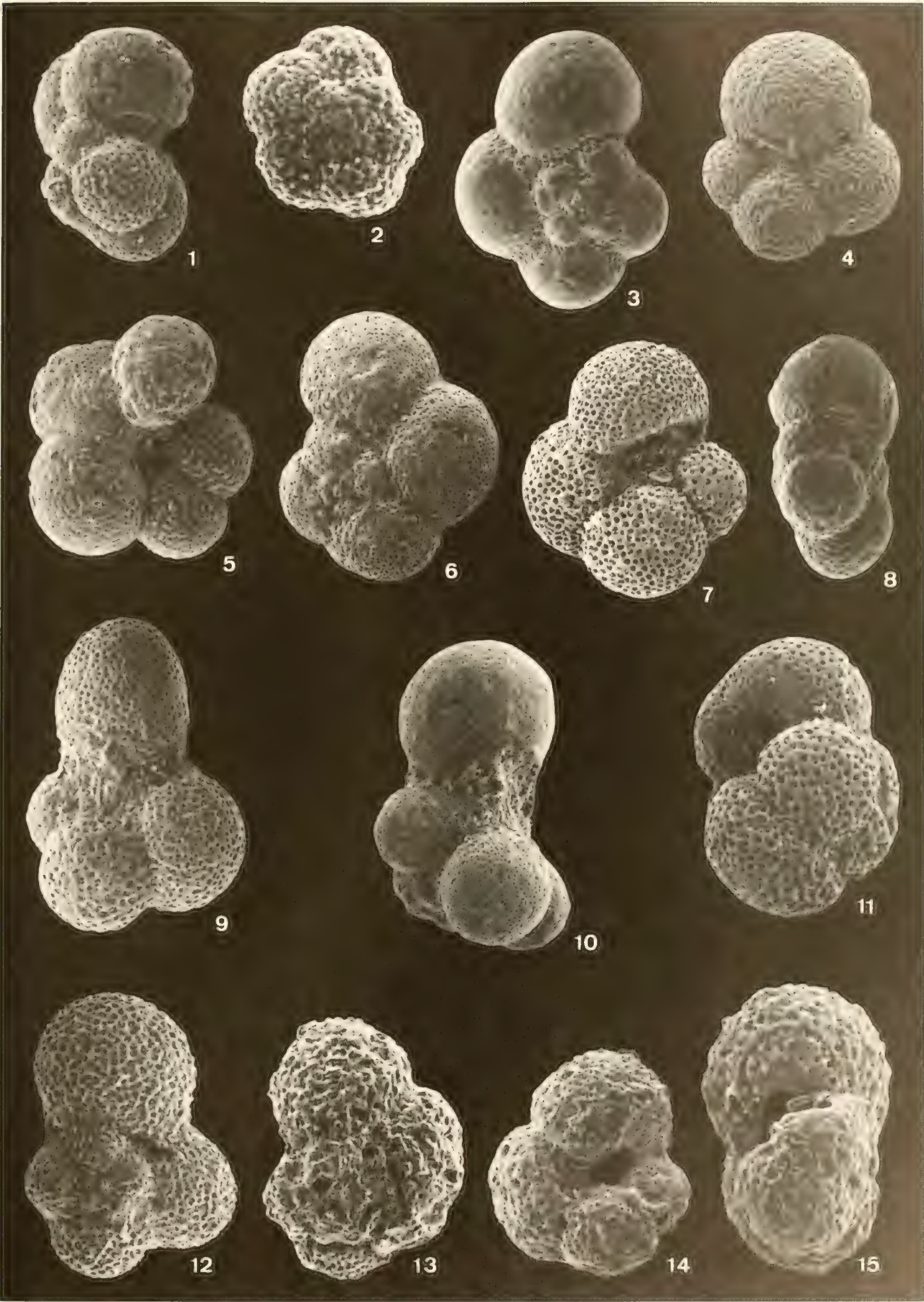
Tafel 16

- Fig. 1, 2, 5: *Dentoglobigerina cf. galavisi* (BERMÚDEZ)
 1: frontal, 200×, REM, Pr. 5728, oberes Rupel,
 nördliche Fortsetzung des Wehrprofils/Weiße Traun
 2: Ventralseite, 170×, REM, Pr. 5728, oberes Rupel,
 nördliche Fortsetzung des Wehrprofils/Weiße Traun
 5: Spiralseite, 220×, REM, Pr. 5748, oberes Rupel,
 Rote Traun
- Fig. 3, 4, 6: *Globorotalia opima nana* BOLLI
 3: Ventralseite, 210×, REM, Pr. 5768, Untereger,
 Thalberggraben/Traun-Profil
 4: frontal, 215×, REM, Pr. 5750, Untereger, Rote Traun
 6: Spiralseite, 205×, REM, Pr. 5725, oberes Rupel,
 nördliche Fortsetzung des Wehrprofils/Weiße Traun
- Fig. 7, 9, 10: *Globigerinita unicava* (BOLLI, LOEBLICH & TAPPAN)
 7: Ventralseite, 280×, REM, Pr. 5702, unteres Rupel,
 Wehrprofil/Weiße Traun
 9: Mündungsseite (der Bulla), 295×, REM, Pr. 5966, Latdorf,
 Graben SW des Haldemoosecks/Ammergebiet
 10: Spiralseite, 205×, REM, Pr. 5725, oberes Rupel,
 nördliche Fortsetzung des Wehrprofils/Weiße Traun
- Fig. 8, 11, 12: ? *Dentoglobigerina winkleri* (BERMÚDEZ)
 8: Spiralseite, 250×, REM, Pr. 5992, Untereger,
 Bohrung Ampfing 1
 11: Ventralseite, 195×, REM, Pr. 5992, Untereger,
 Bohrung Ampfing 1
 12: seitlich, 230×, REM, Pr. 5895, oberes Rupel,
 Schmeroldgraben/Mangfall-Profil
- Fig. 13: *Subbotina angiporoides* (HORNIBROOK)
 Spiralseite, 220×, REM, Pr. 5728, oberes Rupel,
 nördliche Fortsetzung des Wehrprofils/Weiße Traun



Tafel 17

- Fig. 1, 2, 5: *Globorotalia siakensis* (LEROY)
 1: frontal, 300×, REM, 348,9–352,5 m, Untereger_I,
 Bohrung Ortenburg 1001
 2: Spiralseite, 210×, REM, Pr. 5852, Untereger_I,
 Koglgraben, Feilnbacher Gebiet
 5: Ventralseite, 225×, REM, 266,8–268,0 m, Untereger_{II},
 Bohrung Ortenburg 1001
- Fig. 3, 4, 8: *Globorotalia clemenciae* (BERMÚDEZ)
 3: Spiralseite, 250×, REM, Pr. 5895, oberes Rupel,
 Schmeroldgraben/Mangfall-Profil
 4: Ventralseite, 250×, REM, Pr. 5702, unteres Rupel,
 Wehrprofil/Weiße Traun
 8: frontal, 280×, REM, Pr. 5731, oberes Rupel,
 Hauptverkehrsbrücke Siegsdorf/Traun-Profil
- Fig. 6, 7, 11: *Globorotalia semivera* (HORNIBROOK)
 6: Spiralseite, 130×, REM, Pr. 5823, Untereger_{II},
 Wildenwart/Prien-Profil
 7: Ventralseite, 235×, REM, 473,0–475,0 m, Untereger_{II},
 Bohrung Ortenburg 1002
 11: frontal, 280×, REM, 473,0–475,0 m, Untereger_{II},
 Bohrung Ortenburg 1002
- Fig. 9, 10, 12: ? *Clavatorella* sp.
 9: Ventralseite, 280×, REM, Pr. 5887, unteres Rupel,
 Mangfall-Profil
 10: frontal, 235×, REM, Pr. 5725, oberes Rupel,
 nördliche Fortsetzung des Wehrprofils/Weiße Traun
 12: Spiralseite, 240×, REM, Pr. 5840, unteres Rupel,
 Osterbach/Feilnbacher Gebiet
- Fig. 13–15: *Globorotalia* cf. *obesa* BOLLI
 13: Spiralseite, 250×, REM, Pr. 5922, Untereger_I,
 Graben N Zachenried/Nonnenwald-Mulde
 14: Ventralseite, 220×, REM, Pr. 5922, Untereger_I,
 Graben N Zachenried/Nonnenwald-Mulde
 15: frontal, 380×, REM, Pr. 5768, Untereger_I,
 Thalberggraben/Traun-Profil



Tafel 18

- Fig. 1, 6: *Pseudohastigerina naguewichiensis barbadoensis* BLOW
 1: frontal, 400×, REM, Pr. 5702, unteres Rupel, Wehrprofil/Weiße Traun
 6: Seitenansicht, 350×, REM, Pr. 5702, unteres Rupel, Wehrprofil/Weiße Traun
- Fig. 2, 3: *Pseudohastigerina* cf. *wilcoxensis* (CUSHMAN & PONTON)
 2: Seitenansicht, 260×, REM, Pr. 5887, unteres Rupel, Mangfall-Profil
 3: frontal, 310×, REM, Pr. 5789, unteres Rupel, Graben E Ramberg/Bergener Gebiet
- Fig. 4, 7: *Pseudohastigerina micra* (COLE)
 4: frontal, 210×, REM, Pr. 5790, oberes Rupel, Graben E Ramberg/Bergener Gebiet
 7: Seitenansicht, 295×, REM, Pr. 5703, unteres Rupel, Wehrprofil/Weiße Traun
- Fig. 5, 8, 9: *Globorotalia liverovskae* (BYKOVA)
 5: Spiralseite, 280×, REM, Pr. 5883, unteres Rupel, SW Rettenbeck b. Hausham
 8: Ventralseite, 310×, REM, Pr. 5883, unteres Rupel, SW Rettenbeck b. Hausham
 9: frontal, 225×, REM, Pr. 5883, unteres Rupel, SW Rettenbeck b. Hausham
- Fig. 10, 11, 14: *Cibicidoides communis* (ROEMER)
 10: Spiralseite, 240×, REM, Pr. 5702, unteres Rupel, Wehrprofil/Weiße Traun
 11: Ventralseite, 190×, Pr. 5800, Untereger, Bichlinggraben/Priengebiet
 14: frontal, 210×, REM, Pr. 5702, unteres Rupel, Wehrprofil/Weiße Traun
- Fig. 12, 13: *Chiloguembelina cubensis* (PALMER)
 12: Seitenansicht, 240×, REM, Pr. 5887, unteres Rupel, Mangfall-Profil
 13: Mündungsseite, 300×, REM, Pr. 5883, unteres Rupel, SW Rettenbeck b. Hausham
- Fig. 15 17: *Cibicidoides ungerianus ungerianus* (D'ORBIGNY)
 15: Spiralseite, 90×, REM, Pr. 5869, oberes Rupel, Leitzach-Profil
 16: Ventralseite, 70× REM, Pr. 5869, oberes Rupel, Leitzach-Profil
 17: frontal, 215×, REM, Pr. 5847, oberes Rupel, Koglgraben/Feilnbacher Gebiet



Tafel 19

- Fig. 1–3: *Hanzawaia asterizans* (FICHTEL & MOLL)
 1: frontal, 150×, REM, Pr. 5748, oberes Rupel, Rote Traun
 2: Ventralseite, 130×, REM, 281,0–287,0 m, Untereger_I,
 Bohrung Ortenburg 1001
 3: Spiralseite, 140×, REM, Pr. 5748, oberes Rupel,
 Rote Traun
- Fig. 4, 7, 8: *Cibicidoides ungerianus filicosta* (HAGN)
 4: Spiralseite, 140×, REM, Pr. 5817, Untereger_I,
 Rainer Mühle, Prien-Profil, Topotyp
 7: Ventralseite, 120×, REM, Pr. 5817, Untereger_I,
 Rainer Mühle, Prien-Profil, Topotyp
 8: frontal, 125×, REM, Pr. 5817, Untereger_I,
 Rainer Mühle, Prien-Profil, Topotyp
- Fig. 5, 6, 9: *Planulina costata* (HANTKEN)
 5: frontal, 125×, REM, Pr. 5992, Untereger_I,
 Bohrung Ampfing 1
 6: Ventralseite, 120×, REM, 5992, Untereger_I,
 Bohrung Ampfing 1
 9: Spiralseite, 140×, REM, Pr. 5992, Untereger_I,
 Bohrung Ampfing 1
- Fig. 10, 15, 16: *Stomatorbina acarinata* (POKORNÝ)
 10: frontal, 240×, REM, 327,7–330,5 m, Untereger_I,
 Bohrung Ortenburg 1001
 15: konvexe Seite, 230×, REM, 330,5–352,4 m, Untereger_I,
 Bohrung Ortenburg 1001
 16: leicht konkave Seite, 240×, REM, 327,7–330,5 m, Untereger_I,
 Bohrung Ortenburg 1001
- Fig. 11, 12: *Ceratocancris haueri* (D'ORBIGNY)
 11: Ventralseite, 135×, REM, 260,1–261,0 m, Untereger_{II},
 Bohrung Ortenburg 1001
 12: frontal, 115×, REM, 260,1–261,0 m, Untereger_{II},
 Bohrung Ortenburg 1001
- Fig. 13, 14: „*Almaena*“ *osnabrugensis* (ROEMER)
 13: frontal, 90×, REM, 257,0–258,0 m, Untereger_{II},
 Bohrung Ortenburg 1001
 14: Seitenansicht, 90×, REM, 257,0–258,0 m, Untereger_{II},
 Bohrung Ortenburg 1001



Zitteliana	16	173–340	22 Tafeln	München, 30. Oktober 1987	ISSN 0373 9627
------------	----	---------	-----------	---------------------------	----------------

Die Foraminiferen des Miozäns der bayerischen Molasse und ihre stratigraphische sowie paläogeographische Auswertung

Von

WALTER FRIEDRICH WENGER*)

Mit 28 Abbildungen und 22 Tafeln

KURZFASSUNG

Die Foraminiferen des Miozäns der bayerischen Molasse werden monographisch dargestellt. Insgesamt werden 244 Arten und Unterarten abgebildet und beschrieben, darunter 6 neue Formen. In diesem Zusammenhang wird eine Revision der Foraminiferenarbeit von EGGER (1857) durchgeführt. Neben der Lösung taxonomischer Fragen richtet sich das Hauptaugenmerk auf die stratigraphische Verbreitung einiger Taxa und ihre palökologische Aussagekraft, besonders hinsichtlich ihrer Anwendbarkeit auf paläobathymetrische Fragestellungen. Dadurch wird eine verbesserte stratigraphische Gliederung der bearbeiteten Molasseprofile, Bohrungen und Einzelaufschlüsse erreicht. So kann in den Ortenburg-Bohrungen eine Schichtlücke, die das gesamte Eggenburg umfaßt, nachgewiesen werden. Auch im Prienprofil liegt ein begründeter Verdacht auf eine Diskordanz zwischen Eger und Eggenburg vor. Das Eggenburg kann mikrofaunistisch in drei Abschnitte gegliedert werden – die Ortenburger Meeressande lassen sich damit erstmals sicher als Mittleres Eggenburg einstufen. In Niederbayern werden die Untersimbacher Schichten als neues Schichtglied des tiefsten Unterottnang eingeführt, und die Auswirkungen dieser Maßnahme auf die stratigraphischen Verhältnisse in der Taufkirchener Bucht/OÖ diskutiert. Neue Erkenntnisse über die stratigraphische Reichweite einzelner Foraminiferenarten können die Grenzziehung zwischen Oligozän und Miozän fundamentieren. Der *Planularia buerghi*-Horizont stellt einen neuen Leithorizont an der Basis des Ottnang dar. Die Anwendung der paläobathymetrischen Aussagekraft der Fo-

raminiferen führt zur Ausscheidung mehrerer Vergesellschaftungs-Tiefenzonen und damit zu einem verbesserten Bild der paläogeographischen Entwicklung der bayerischen Molasse. Die Konglomerate der Blauen Wand werden als Ablagerungen eines bathyalen Sedimentationsraumes nachgewiesen und mit der Puchkirchener Serie Oberösterreichs verglichen. Die Verteilung von Flachwasser- und Tiefwasserbereichen in den einzelnen Stufen wird dargestellt, und ein Modell der Transgressions- und Regressionszyklen des bayerischen Raumes entwickelt. Dabei ist in der nördlichen Vorlandmolasse besonders eine Regressionsphase im Oberen Eggenburg von Bedeutung, während sich zur gleichen Zeit in der Subalpinen Molasse die Transgression nach Westen verstärkt. Dieser Vorstoß des Meeres im Süden wird als die Hauptphase der Eggenburg-Transgression aufgefaßt, die sich dann im Ottnang mit zunehmend raumgreifender Wirkung fortsetzt.

Im Mittelottnang von Niederbayern wird eine regionale Gliederung der Ablagerungen mittels Vergesellschaftungsprovinzen versucht. Die Einzelaufschlüsse des Unteren Ottnang von Niederbayern können auf kleinem Raum aufgrund einer einheitlichen Faunenzusammensetzung mit Hilfe von Kleinsthorizonten miteinander parallelisiert werden. Das Fehlen der Randfazies der Neuhofener Mergel wird durch die besondere paläogeographische und tektonische Situation dieses Raumes gedeutet. Durch den Nachweis von Umlagerungen in Niederbayern werden tektonische Bewegungen belegt und die ehemals weite Verbreitung des Eggenburg bewiesen.

ABSTRACT

In a monograph of the Foraminifera of the Miocene of the Bavarian Molasse, 244 species and subspecies are described and illustrated, among them 6 novel ones. In this connection

a revision of the foraminiferal description of EGGER (1857) is carried out. Beside the solution of taxonomical problems special attention is paid to the stratigraphical distribution of some taxa and their paleological, specifically paleobathymetrical significance. Thereby a better stratigraphical concept of the treated profiles, borings and isolated outcrops is attained. In the borings of Ortenburg a gap, which encompasses the

*) Dr. W. F. WENGER, Bayerisches Landesamt für Wasserwirtschaft, Lazarettstraße 67, D-8000 München 19.

whole of the Eggenburgian, can be proven to exist. Also in the Prien area there are good reasons for suspecting a gap between the Egerian and the Eggenburgian. The Eggenburgian can be micropaleontologically divided into three parts – the sands of Ortenburg are reliably dated for the first time as Middle Eggenburgian. In Lower Bavaria the Untersimbacher Schichten are introduced as a new strata of the lowest part of the Lower Ottnangian, the effects on the stratigraphical situation in the Taufkirchener Bucht (Austria) are discussed. New informations about the stratigraphical distribution of some foraminiferal species can confirm the boundary between the Oligocene and the Miocene. The *Planularia buergli*-Horizont is a new guiding strata at the base of the Ottnangian. The application of the paleobathymetrical significance of the foraminifera leads to a depth zonation by foraminiferal assemblages and a better understanding of the paleogeographical development of the Bavarian Molasse. The conglomerates of the Blaue Wand are proved as sediments of a bathyal environment and are compared with the Austrian Puchkirchener Se-

rie. The distribution of shallow and deep water areas in the individual stages is described, a pattern of the transgression and regression cycles is evolved. In the northern part of the Alpine foredeep a regression in the Upper Eggenburgian is of special importance, whereas in the Subalpine Molasse at the same time the transgression to the west intensified. This advance of the sea in the south is considered as the main period of the Eggenburgian transgression, which continues during the Ottnangian, flooding more and more of the Molasse area.

In the Middle Ottnangian of Lower Bavaria a regional pattern of the sediments by means of assemblage provinces is tried to establish. The isolated outcrops of the Lower Ottnangian of Lower Bavaria can be correlated by a uniform faunal composition in a limited area. The absence of the litoral facies of the Neuhofer Mergel is explained by a special paleogeographical and tectonical situation of this region. By the evidence of redeposition processes in Lower Bavaria tectonical movements and the formerly wide spread distribution of the Eggenburgian sediments are proved.

DANK

Die Anregung für diese Arbeit verdanke ich meinem hochverehrten Lehrer, Herrn Prof. Dr. H. Hagn, der schon seit Jahren diesem Thema seine Aufmerksamkeit widmete und die meisten der anstehenden Probleme bereits in seinen Veröffentlichungen angesprochen hatte. Er zeigte stets reges Interesse am Fortgang meiner Untersuchungen und stand mir jederzeit mit Rat und Tat zur Verfügung. Dies bekundet sich in der Überlassung von Probenmaterial nicht mehr zugänglicher Aufschlüsse, von Vergleichsmaterial aus dem Wiener Becken und von Literatur aus seiner reichhaltigen Privatbibliothek. Von unschätzbarem Nutzen war außerdem der Zugang zum Originalmaterial der Bolivinen-Monographie von Hofmann. Bei Problemen, die die Egger-Revision oder paläogeographische Fragen in der Molasse betrafen, war er stets ein engagierter Gesprächspartner, der aus dem Erfahrungsschatz langjähriger Mikropaläontologentätigkeit schöpfen konnte.

Herrn Prof. Dr. D. Herm gilt mein Dank für sein reges Interesse an meinem Thema, das sich nicht zuletzt in der Organisation von Molassekolloquien äußerte, die die Klärung zahlreicher Probleme brachten, die sich aus den vielfältigen Arbeitsrichtungen auf diesem Gebiet ergaben.

Meinem Kollegen Herrn Dipl.-Geol. Dr. H. Reiser schulde ich Dank für die gute Zusammenarbeit, die zahlreichen fruchtbaren Diskussionen über Probleme der Taxonomie und für seine Hilfe bei der Geländearbeit.

Ein wertvoller Ratgeber zu Fragen über die ostniederbayerische Molasse war mir Herr Dr. F. Pfeil, der sich seit Jahren mit diesem Gebiet beschäftigt und als dessen Kenner er über

unschätzbare Erfahrungen und über ein umfangreiches Probenmaterial verfügt, das er mir beides zugänglich machte.

Herrn Dr. K. Weidich erweise ich meinen Dank für zahlreiche, anregende Diskussionen und für die Überlassung von Probenmaterial aus dem Wiener Becken und von Literatur aus seiner Privatbibliothek.

Herrn Prof. Dr. K. Lemcke danke ich für einen sehr informativen Gedankenaustausch.

Mein Dank gilt außerdem Frl. Dipl.-Geol. L. Seitner für Proben aus Höch und der Bohrung Brunndobl, Herrn Dipl.-Geol. Dr. J. Haas für seine Hilfe im Gelände und seine Hinweise zu Problemen in Niederbayern und Herrn Dipl.-Geol. W. Polz für Schlammmaterial aus der Gegend von Teisendorf.

Eine große Hilfe war die Unterstützung von Herrn Dr. K. Weddige bei der Arbeit am Stereoscan, von Herrn F. Höck bei fototechnischen Fragen und von Herrn K. Dosow bei der Herstellung der Zeichnungen.

Der Mobil Oil AG danke ich für die Überlassung von Probenmaterial aus den Bohrungen Ampfing 1 und Isen 1, der Deutschen Forschungsgemeinschaft für die finanzielle Förderung dieser Arbeit.

Als hilfreiche Kraft bei der Probenaufbereitung und beim Auslesen war mir Frl. M. Korte eine große Entlastung.

Für die Befreiung von zeitraubenden bürokratischen Pflichten bedanke ich mich sehr herzlich bei Frau M. Schröder.

Die Schreibarbeiten wurden von meiner Frau Birgit in vorzüglicher Weise ausgeführt.

INHALT

1. Einleitung	177
2. Geologischer Teil	179
2.1 Niederbayern	179
2.1.1 Allgemeines zur Geologie	179
2.1.2 Oberes Eger	180
2.1.2.1 Verbreitung	180
2.1.2.2 Foraminiferenfauna	181
2.1.2.3 Paläogeographie	183
2.1.3 Eggenburg	183
2.1.3.1 Paläogeographie und Tektonik	183
2.1.3.2 Aufschlüsse	184
2.1.3.3 Foraminiferenfauna	185
2.1.3.4 Milieu	186
2.1.3.5 Stratigraphische Stellung	186
2.1.4 Unteres Ott nang	187
2.1.4.1 <i>Planularia buergli</i> -Horizont	187
2.1.4.1.1 Verbreitung und Paläogeographie	187
2.1.4.1.2 Foraminiferenfauna	187
2.1.4.2 Untersimbacher Schichten	187
2.1.4.2.1 Verbreitung	187
2.1.4.2.2 Untersimbach	187
2.1.4.2.3 Engertsham	189
2.1.4.2.4 Bohrungen Ortenburg und Ampfing	190
2.1.4.3 Neuhofener Schichten	191
2.1.4.3.1 Verbreitung	191
2.1.4.3.2 Oberschwärzenbach	191
2.1.4.3.3 Andere Aufschlüsse	192
2.1.5 Mittelottnang	195
2.1.5.1 Paläogeographie	195
2.1.5.2 Holzbach	195
2.1.5.3 Hoch	196
2.1.5.4 Gänshall	197
2.1.5.5 Brombach	198
2.1.5.6 Bryozoenkalke von Dommelstadl	198
2.1.5.7 Andere Aufschlüsse	199
2.1.5.8 Mikrofaunistische Gliederung	200
2.1.6 Die Randfazies der Neuhofener Schichten	201
2.2 Traunprofil	206
2.2.1 Allgemeines	206
2.2.2 Oberes Eger	206
2.2.2.1 Teufelsgraben	206
2.2.2.1.1 Allgemeines	206
2.2.2.1.2 Foraminiferenfauna	207
2.2.2.1.3 Einstufung	209
2.2.2.1.4 Foraminiferenvergesellschaftung	209
2.2.2.2 Blaue Wand, Burgstallgraben und Lohgraben	209
2.2.2.2.1 Lithologie	209
2.2.2.2.2 Foraminiferenfauna	209
2.2.2.2.3 Paläogeographische Folgerungen	210
2.2.2.3 Zillerleite	211
2.2.2.3.1 Allgemeines	211
2.2.2.3.2 Foraminiferenfauna	211
2.2.2.3.3 Foraminiferenvergesellschaftung	212
2.2.3 Eggenburg	212
2.2.3.1 Pechschnaitgraben: Unteres Eggenburg	212
2.2.3.2 Rothelbach	213
2.2.3.2.1 Allgemeines	213
2.2.3.2.2 Mittleres Eggenburg	213
2.2.3.2.3 Oberes Eggenburg	214
2.2.3.3 Stratigraphie	215
2.2.3.4 Paläogeographie	215
2.2.4 Unteres Ott nang: <i>Planularia buergli</i> -Horizont	215
2.3 Surprofil	217
2.3.1 Allgemeines	217
2.3.2 Lußgraben	217
2.3.2.1 Eggenburg	217
2.3.2.2 Unteres Ott nang: <i>Planularia buergli</i> -Horizont	218

2.3.2.2.1 Mikrofauna	218
2.3.2.2.2 Alter	219
2.3.3 Sur	219
2.3.3.1 Unteres Ott nang: Neuhofener Horizont	219
2.3.3.2 Mitt elott nang	220
2.3.4 Korrelation mit dem Traunprofil	220
2.3.5 Beziehungen zur Haller Schlier	220
2.4 Zeieringer Graben	221
2.5 Prienprofil	221
2.5.1 Allgemeines	221
2.5.2 Oberes Eger	221
2.5.3 Eggenburg	224
2.5.4 Diskordanz zwischen Eger und Eggenburg?	224
2.5.5 Unterstes Ott nang	225
2.5.6 Unteres Ott nang: Neuhofener Horizont	225
2.6 Kaltenbachgraben und Eulenbach	226
2.6.1 Allgemeines	226
2.6.2 Eggenburg	227
2.6.3 Unterstes Ott nang	227
2.6.4 Unteres Ott nang: Neuhofener Horizont	228
2.6.5 Mitt elott nang	228
2.7 Zusammenfassung der paläogeographischen Entwicklung der bayerischen Molasse	229
2.8 Biostratigraphie	234
2.8.1 Planktonische Foraminiferen	234
2.8.2 Benthonische Foraminiferen	234
2.9 Palaobathymetrie	236
3. Palaontologischer Teil	237
3.1 Zusammenfassung der Revision der EGGERSchen Foraminiferenfauna des niederbayerischen Eggenburg	237
3.1.1 Das Leben Joseph Georg Eggers	237
3.1.2 Eggers Aufschlüsse	237
3.1.3 Überblick über die Revision	238
3.2 Systematik	242
Astrohizidae BRADY 1881	242
Ammodiscidae REUSS 1862	242
Hormosinidae HAUCKEL 1894	243
Lituolidae DE BLAINVILLE 1825	244
Textularidae EHRENBERG 1838	245
Ataxophragmiidae SCHWAGER 1877	248
Miliolidae EHRENBERG 1839	249
Nodosariidae EHRENBERG 1838	252
Polymorphinidae D'ORBIGNY 1839	262
Buliminidae JONES 1875	267
Eouvigerinidae CUSHMAN 1927	285
Elphidiidae GALLOWAY 1933	289
Nomionidae SCHUTTZI 1854	298
Cassidulinidae D'ORBIGNY 1839	301
Chilostomellidae BRADY 1881	302
Sphaeroidinidae CUSHMAN 1927	302
Rotaliidae EHRENBERG 1839	303
Discorbidae EHRENBERG 1838	305
Siphoninidae CUSHMAN 1927	314
Asterigerinidae D'ORBIGNY 1839	315
Globigerinidae CARPENTER, PARKER & JONES 1862	316
Hantkeninidae CUSHMAN 1927	325
Cibicides CUSHMAN 1927	325
Epistominidae WEDEKIND 1937	329
Robertinidae REUSS 1850	329
Anhang	330
Schriftenverzeichnis	331
Tafeln 1–22	341

1. EINLEITUNG

Der Ablagerungsraum der Molasse wird heute der Paratethys, einem nördlichen Randmeer der Tethys, zugewiesen, das sich von der Schweiz bis nach Rumänien erstreckte und als Relikte seiner einst gewaltigen Ausdehnung das Schwarze Meer, das Kaspische Meer und den Aralsee hinterließ. Durch seine zentrale Lage stellt der bayerische Raum ein Bindeglied zwischen den östlichen und westlichen Beckenteilen dar.

Die Ursprünge der Molasse liegen schon im Obereozän, wo in SE-Bayern die alpin beeinflussten Katzenlochschiefer (HAGN 1978), in der Vorlandmolasse der von moldanubischem Schutt geprägte Ampfinger Sandstein (vgl. HAGN 1960a: 69–71) in die eigentliche Molassefazies überleiten. Diese ältesten Serien weisen noch enge Beziehungen zum Helvetikum auf und lassen den Schluß zu, daß sich der Molassetrog nach der tektonischen Überwältigung des Penninikums und des Ultrahelvetikums durch die alpinen Decken während der illyrischen Phase aus dem Ablagerungsraum des Helvetikums heraus entwickelte. Seit dieser Zeit nahm diese Vortiefe der Alpen den Schutt des allmählich aufsteigenden Orogens auf. Im Latdorf lagen mit der „Flyschmolasse“ der Deutenhausener Schichten im Westen und den Fischschiefern mehr im Osten zwei unterschiedliche, z. T. ineinandergreifende Faziesräume vor, ein Tiefseetrog mit turbiditischer Sedimentation und ein Gebiet mit ruhigen Ablagerungsverhältnissen in einem Becken von ebenfalls beträchtlicher Tiefe. Das Rupel tritt mit einer einheitlichen Entwicklung von Tonmergeln auf, mit Tiefseecharakter und weiter Meeresausdehnung. Nun begann eine noch stärker eigenständige Entwicklung der Molasse, die sich auch in eigenen Stufenbezeichnungen für die Paratethys ausdrückt. Bereits im Oberen Rupel, besonders deutlich aber im Eger setzte eine starke Regression ein, die im Westen Bayerns und in der Schweiz zur Ausbildung der Unteren Süßwassermolasse führte. Im Gebiet östlich des Inns hielt jedoch die marine Entwicklung an. Im Egenburg begann auch im Westen die Neutransgression, die sich jedoch nicht einheitlich und vollständig vollzog. Regressionen und Transgressionen wechselten sich noch ab. Erst das Ottwang brachte ein weites Ausgreifen des Meeres mit tieferen Wasserverhältnissen. Aber schon das Obere Ottwang führte wieder zu einer das ganze Molassebecken erfassenden Regression, mit der bis nach Rumänien reichenden Ausbildung der *Oncophora*-Schichten. Die Neutransgression des Meeres im Karpat erreichte den bayerischen Raum nicht mehr. Hier ging die brackische Entwicklung in die limnisch-terrestrische Ausbildung der Oberen Süßwassermolasse über. Marines Karpat liegt erst im Äußeren Wiener Becken vor, und reicht von da nach Osten. Im Baden und Sarmat dehnte sich das Meer noch weiter aus, stieß aber nicht über die Verbreitungsgrenze des Karpats nach Westen vor.

Die Erforschung der bayerischen Molasse blickt auf eine fast 150jährige Geschichte zurück. Die ersten geologischen Beobachtungen über diesen Raum wurden von ausländischen Forschern gemacht, den Engländern SEDGWICK & MURCHISON (1832: 340–341, 380–381). Sie waren vor allem an Anzeichen für Hebungsvorgänge in den Alpen interessiert und berücksichtigten zu diesem Zweck auch die Verhältnisse an der Traun und im Raum Ortenburg/Fürstenzell.

In seinem kurzen Überblick über die östlichen bayerischen Alpen wandte EMMRICH (1851: 4–5) sein Augenmerk auch auf die Molasse. Aus dem Traunprofil erwähnte er besonders die Haslacher Mühle und ihre „muschelreichen Lagen“, den „Dollenberger Graben“ mit „*Pleurotoma*“ und die Blaue Wand mit „eine(r) vortreffliche(n) Braunkohle“. Am Chiemsee interessierte ihn nur die „Muschelmolasse“ der Inseln. EMMRICH (1861) ging vor allem auf das Priengebiet ein und sprach sich für eine Abtrennung der UMM aus (l. c. 14f.). Er gliederte die Molasse in 1. Untere Meeresmolasse, 2. Schichten von Miesbach, 3. Muschelmolasse, 4. Schichten von Prien, 5. Waginger Sandstein. Neben diesen wissenschaftlichen Aspekten ist diese Arbeit vor allem wegen der köstlichen Schilderungen der Kämpfe eines frühen Geognosten mit der „rasch strömenden Prien“, dem „schlüpfrigen thonigen Boden... ohne Wasserstiefel dazu“ (l. c. 19) dem Leser zu empfehlen. Dabei konnte es auch passieren, daß „die geringe Ausbeute... in den Wogen der rasch strömenden Priener Achen beim Rückweg durch sie verloren gegangen“ ist.

D'ORBIGNY (1846) beschrieb die Foraminiferenfauna des Wiener Beckens. Auch wenn seine Arbeit nicht direkt mit dem bayerischen Raum zu tun hat, so waren doch ihre Auswirkungen auf unser Gebiet so beträchtlich, daß er in diesem historischen Überblick nicht fehlen darf.

Im Einfluß dieses Grundlagenwerks der Beschreibung miozäner Foraminiferen entstand auch die Monographie der Mikrofauna der Ortenburger Meeressande von EGGER (1857).

In mehreren Arbeiten beschäftigte sich GÜMBEL (1861, 1887, 1894) mit der Schichtenfolge der bayerischen Molasse. Die Gliederung in eine oligozäne Untere Meeresmolasse und Untere Süßwassermolasse und eine miozäne Obere Meeresmolasse und Obere Süßwassermolasse entwarf er im Jahre 1861 (l. c. 679). In der 1887 erschienenen Arbeit verglich er die Ablagerungen der bayerischen Molasse mit denen der Schweiz, des Rhône-Beckens und Österreichs und parallelisierte sie miteinander. Den niederbayerischen Raum betreffend, ordnete er die Schichten von Ortenburg und Brombach der ersten Mediterranstufe zu. Die brackischen *Oncophora*-Schichten westlich der Linie Aunkirchen-Birnbach sah er als fazielle Vertretung der Blättermergel östlich davon an. Die Neuhofener Mergel faßte er als jüngstes Glied dieser Schichtenfolge auf und ordnete den Ottwanger Schlier der zweiten Mediterranstufe zu. SUSS (1891) gelang eine Parallelisierung der Serien im Raum Oberösterreich und Bayern, nicht zuletzt dank der von HOERNES (1875) beschriebenen Megafauna, und revidierte die Ansichten GÜMBELS.

AMMON (1888) beschrieb die Fauna der *Oncophora*-Schichten und wies auch auf Aufschlüsse mariner Serien in Niederbayern hin.

KRAUS (1916) führte eine erste Kartierung der Gegend zwischen Vilshofen und Fürstenzell durch und stieß dabei auf eine tektonische Struktur, die heute als Ortenburger Senkungsdreieck bekannt ist.

STADLER (1926) kartierte das Gebiet nördlich der Rott zwischen Fürstenzell und Passau. Die Grobsande dieser Gegend stellte er alle mit den Ortenburger Meeressanden gleich.

KRAUS (1938) hielt die Brombacher Sande und die übrigen Grobsande der Gegend um Birnbach für Ortenburger Meeressande, die mergeligen Schliersedimente dagegen bereits für Helvet. Aus der Obertageverbreitung dieser Serien schloß er auf einen „Birnbacher Sattel“.

Auf NEUMAIER & WIESENEDER (1939) geht der Begriff „Neuhofener Mergel“ zurück, die sie für älter hielten, als die miteinander äquivalenten Serien von Holzbach, Gänshall und Brombach. Die Wechsellagerung von Sanden und Mergeln (im großen wie im kleinen) führten sie auf Entmischungsercheinungen im Flachwasserbereich zurück.

KORDIUK (1938) beschrieb die wichtigsten Molasseprofile, stufte sie zeitlich ein und gab einen Überblick über die paläogeographische Entwicklung vom Rupel bis ins oberste Miozän. Die gesamte OMM teilte er dem Burdigal zu. Den Südrand des Burdigalbeckens vermutete er etwa am heutigen Nordrand der Alpen; der Molassetrog habe sich schrittweise nach Norden verlagert. Aus der Geröllzusammensetzung in den einzelnen Stufen zog er Rückschlüsse auf die tektonische Entwicklung der Alpen. Die Molassefaltung schrieb er der attischen Phase zu. Die tektonische Intensität nimmt von E nach W zu.

In mehreren Arbeiten befaßte sich HÖLZL (1948, 1953, 1958, 1973) mit der Molluskenfauna der bayerischen Molasse und einigen stratigraphischen Problemen.

HAGN & HÖLZL (1952) lieferten die erste umfassende Darstellung der bayerischen Molasse, ihrer Mikro- und Mega-fauna und deren Auswirkungen auf die Stratigraphie sowie ihrer tektonischen und paläogeographischen Probleme. Ihren Vorstellungen nach, muß die Gliederung der Molasse vom marinen Teil, insbesondere dem Traunprofil, ausgehen.

HAGN (1955) bearbeitete die Foraminiferenfauna der Ortenburg-Bohrungen und brachte mit Hilfe von Faunenhorizonten die stratigraphische Gliederung von Subalpiner Molasse und Vorlandmolasse in Einklang.

GANSS (1955, 1956 und 1977) beschäftigte sich mit der Geologie der Ostmolasse.

HOFMANN (1967) beschrieb in einer Monographie die Boli-vinenfaunen.

In mehreren Arbeiten untersuchte LEMCKE (u. a. 1973, 1977 und 1984) die tektonische und paläogeographische Entwicklung der Molasse und ihres Untergrundes.

HAGN et al. (1981) gaben für das 17. Europäische Mikropaläontologische Kolloquium einen Exkursionsführer heraus, der eine Zusammenstellung der wichtigsten Aufschlüsse im bayerischen Alpenraum enthält. Von besonderem Wert ist dabei die Korrelation von Foraminiferen, Ostracoden und Nannoplankton¹⁾.

Seit den 50er Jahren ist der Paratethys-Raum auch in Bayern für die Erdöl- und Erdgaserkundung von Interesse. Dies brachte eine Reihe neuer Erkenntnisse (vgl. HEERMANN 1954 und 1955), konnte aber auch nicht alle Probleme lösen, von

denen einige schon den alten Autoren bewußt waren. So bot es sich an, den bayerischen Molasseraum auf den neuesten Stand der Wissenschaft zu bringen. Im angrenzenden Österreich war man hier schon einen Schritt voraus: im Zuge der Einführung der neuen Paratethys-Stufen waren die Faunen in zusammenfassenden Arbeiten dargestellt worden, die erdölgeologische Erforschung brachte neue paläogeographische und stratigraphische Vorstellungen mit sich. So lag es nahe, das bayerische Gebiet, als Verbindungsglied zwischen Ost und West, einem Vergleich mit dem östlichen Raum zu unterziehen.

Die Grundlage bildete eine umfassende monographische Darstellung der miozänen Foraminiferenfauna und die Lösung damit verbundener taxonomischer Probleme. In diesem Zusammenhang war vor allem die Revision der von EGGER aus Niederbayern beschriebenen Eggenburg-Foraminiferen von größter Wichtigkeit, da die letzten noch zugänglichen Typlokalitäten in ihrem Bestand gefährdet sind.

Über diese taxonomische Arbeit hinaus sollten die Foraminiferen auf ihre stratigraphische Reichweite und ihre paläokologische, besonders paläobathymetrische Aussagekraft hin untersucht werden. Ziel war eine verbesserte stratigraphische Gliederung der Miozänserien und ein klareres Bild der paläogeographischen Entwicklung unseres Raumes. Die alte Frage der Grenzziehung zwischen Oligozän und Miozän bildete ein zentrales Problem. Sie sollte durch neue Erkenntnisse in der Foraminiferenforschung fundamentiert werden. Für die Ermittlung der stratigraphischen Verbreitung einzelner Arten waren die durchgehenden Profilerien der Subalpinen Molasse und die Bohrungen im Vorland zu untersuchen und, wenn nötig, neu zu gliedern.

Ein paläogeographisches Problem besonderer Art stellten die Konglomerate der Blauen Wand und des Thalberggrabens dar. Hier wurde ein Vergleich mit der ähnlich ausgebildeten Puchkirchener Serie Oberösterreichs angestrebt.

Für weitere paläogeographische Untersuchungen lag der Schwerpunkt in der niederbayerischen Molasse. Hier galt es vor allem, Lösungsmöglichkeiten für die offene Frage nach der Randfazies der Neuhofener Mergel zu suchen, ein Problem, das seit Beginn der Erforschung zur Diskussion steht und schon auf verschiedenste Weise zu klären versucht wurde. Daneben stand es an, die stratigraphische Position einzelner Aufschlüsse sicherzustellen. Die Deutung von Umlagerungsvorgängen in den Ottwang-Sedimenten Niederbayerns stellte einen weiteren Punkt dar, dem es größte Aufmerksamkeit zu widmen galt.

Einen Überblick über das Arbeitsgebiet gibt die folgende geographische Skizze (Abb. 1): in der Subalpinen Molasse wurden das Surprofil, das Trauntal mit seinen Seitengraben, der Zeieringer Graben, die Prien und der Kaltenbachgraben beprobt, in der Vorlandmolasse die Bohrungen Ortenburg 1001, 1002, 1003, Ampfing 1 und Isen 1, sowie die zahlreichen, verstreuten Aufschlüsse in Niederbayern.

¹⁾ In den Jahren 1986 und 1987 erschienen die Geologischen Karten des ostniederbayerischen Raumes (BAUBERGER & UNGER 1984, UNGER 1984b, UNGER & BAUBERGER 1985).



Abb. 1: Überblick über das Untersuchungsgebiet. Schrägschraffur = Arbeitsgebiet in Ostniederbayern

2. GEOLOGISCHER TEIL

2.1 NIEDERBAYERN

2.1.1 Allgemeines zur Geologie

Im niederbayerischen Raum, genauer gesagt im Gebiet, das im Westen vom Meridian durch Pfarrkirchen, im Osten vom Inn, im Norden von der Donau und im Süden wieder vom Inn begrenzt wird, stehen obertage Schichten der Oberen Meeresmolasse des Eggenburg und Ottwang an. Eger ist nur aus Bohrungen bekannt. Das Eggenburg ist auf das Gebiet NE Ortenburg beschränkt, das als Ortenburger Senkungs-

dreieck bekannt ist. Die ältesten Schichten des Ottwang treten im E-Teil, im Gebiet um Engertsham auf, während sie nach SW zu, entsprechend dem normalen Schichteinfallen, und nach N zu, aufgrund paläogeographischer und tektonischer Gegebenheiten, immer jünger werden. Westlich von Pfarrkirchen taucht das marine Miozän dann vollständig unter die Serien der Oberen Süßwassermolasse ein und tritt erst wieder im Bereich der Schwäbischen Molasse zutage.

Wegen der grenznahen Lage zur oberösterreichischen Molasse sind sehr gute Vergleichsmöglichkeiten mit diesem Raum gegeben. Mit den Parallelisierungsmöglichkeiten be-

schäftigten sich schon GÜMBEL (1887) und SUSS (1891) und in jüngerer Zeit ABERER (1960). Auf die Beziehungen zu den Molasseablagerungen unseres östlichen Nachbarlandes wird an den entsprechenden Stellen näher eingegangen.

2.1.2 Oberes Eger

2.1.2.1 Verbreitung

Oberes Eger findet man im niederbayerischen Raum nirgends obertage anstehend. Aufschluß hierüber können nur die zahlreichen Bohrungen geben, die im Laufe der Zeit hier niedergebracht wurden. Die heutige Verbreitung des Oberen Eger ist jedoch auf den Bereich südlich oder südwestlich des Pockinger Abbruchs beschränkt, da es auf dem Aidenbach-Griesbacher Hoch im Eggenburg der Erosion zum Opfer gefallen ist (vgl. UNGER & SCHWARZMEIER 1982: Abb. 3). Wie schon HAGN (1955: 335) nachwies, fehlt auch im Bereich des Vilstales (Bohrung Ortenburg 1003) das Obere Eger. Eine aus

einer Wasserbohrung bei der Brauerei Aldersbach stammende Spülprobe ließ sich vom Gesamtfauunenbild her mit dem Unteren Eger der Bohrung Ortenburg 1003 parallelisieren. Darüber transgrediert Mittleres Ottang. Unteres Eger ist auch auf dem Aidenbach-Griesbacher Hoch östlich der Wolfach-Linie (vgl. UNGER & SCHWARZMEIER 1982: Abb. 3) in Form der Linzer Sande erhalten (NATHAN 1949: 21–22, Abb. 3).²⁾ Das Obere Eger der Bohrungen Ortenburg 1001 und 1002 wurde bereits von HAGN (1955: 336) mikrofaunistisch bearbeitet. In Korrelation mit der, aufgrund von Nanoplanktonuntersuchungen von MARTINI (1981: Abb. 2) im Prienprofil einige Meter nach oben verlegten Oligozän/Miozän-Grenze, wurde auch hier die Grenze nach oben versetzt und, entsprechend dem Horizont von Wildenwart, oberhalb des *Uvigerina rudlingensis*-Horizonts festgelegt. Die mikrofaunistischen Argumente für diese Grenzziehung sind der Profilskizze (Abb. 2) zu entnehmen. Außerdem sei hierzu auf das Kapitel Biostratigraphie verwiesen.

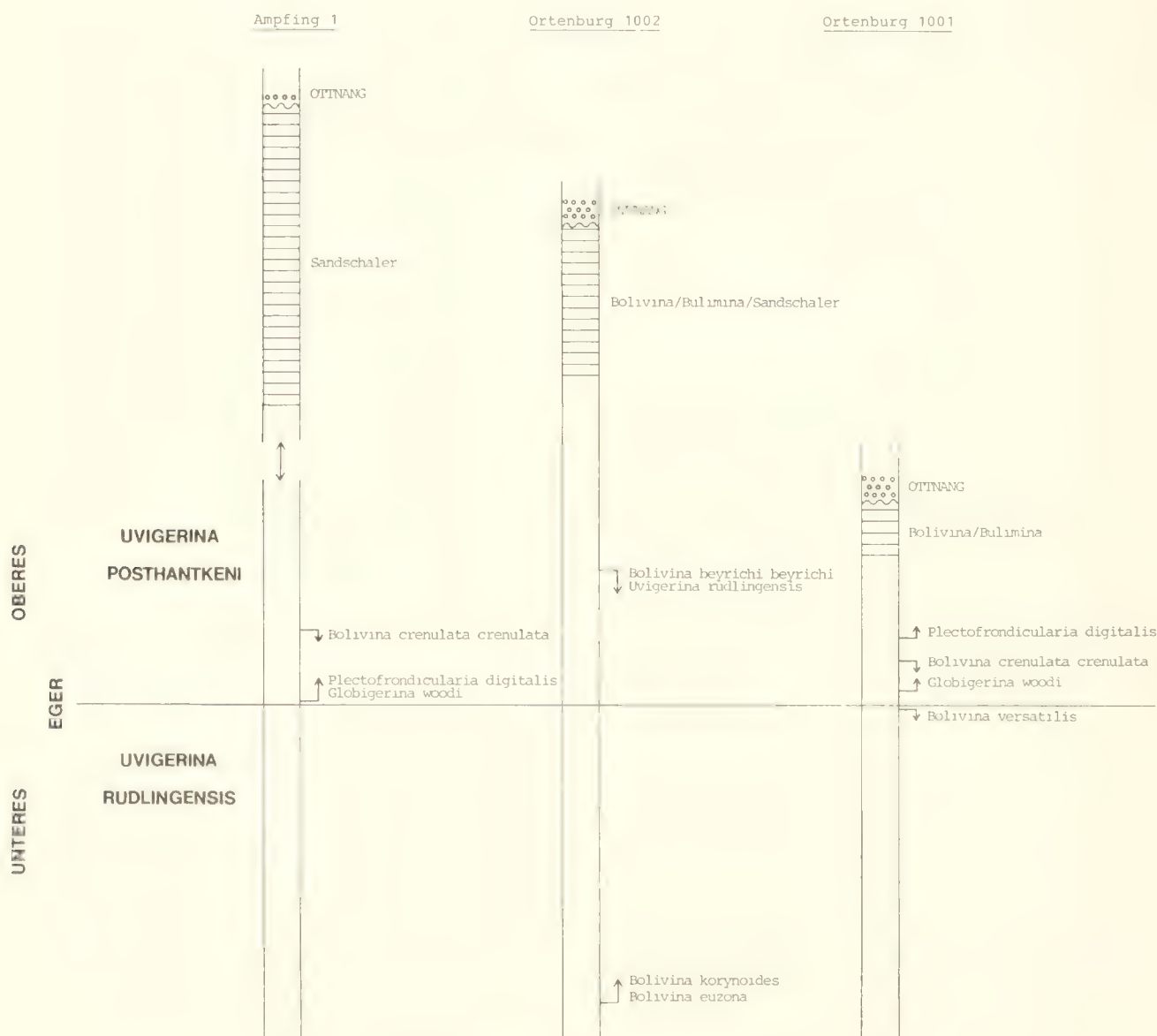


Abb. 2: Die Oligozän/Miozän-Grenze in den Bohrungen der Vorlandmolasse.

²⁾ Siehe auch UNGER & BAUBERGER (1985: 34 ff.)

2.1.2.2 Foraminiferenfauna

Das Obere Eger der Bohrungen Ortenburg 1001 (239,0–257,0 m) und 1002 (413,7–458,0 m) enthielt folgende Foraminiferenfauna:

Reophax excentricus CUSHMAN (nur in 1002)
Spiroplectammina carinata (D'ORB.)
Martinottiella communis (D'ORB.)
Quinqueloculina akneriana D'ORB.
Sinuloculina consobrina (D'ORB.)
Robulus inornatus (D'ORB.)
Robulus cultratus MONTFORT
Lenticulina gibba (D'ORB.)
Planularia moravica (KARRER)
Saracenaria arcuata (D'ORB.)
Vaginulinopsis elegans (HANTKEN)
Marginulina hantkeni BANDY
Marginulina pediformis BORNEMANN
Dentalina communis D'ORB.
Dentalina elegans D'ORB.
Amphicoryna badenensis (D'ORB.) (nur in 1001)
Amphicoryna imperfectecostata (SILVESTRI) (nur in 1002 und Ampfing 1)

Nodosaria bactridium REUSS
Lagena striata (D'ORB.)
Lagena hispida REUSS
Plectofrondicularia digitalis (NEUGEBOREN)
Globulina gibba (D'ORB.)
Bulimina elongata D'ORB.
Praeglobobulimina pyrula (D'ORB.)
Praeglobobulimina spinescens (BRADY)
Virgulopsis tuberculata (EGGER)
Caucasina coprolithoides (ANDREAE)
Caucasina cylindrica ZAPLETALOVÁ
Virgulinella chalkophila (HAGN)
Fursenkoina acuta (D'ORB.)
Fursenkoina mustoni (ANDREAE)
Bolivina beyrichi carinata HANTKEN
Bolivina crenulata crenulata CUSHMAN (nur noch im tiefsten Teil)

Bolivina crenulata trunensis HOFMANN
Bolivina hebes MACFADYEN
Bolivina fastigia CUSHMAN
Bolivina subalpina HOFMANN
Bolivina korynoides subtumida HOFMANN (nur in 1002)
Bolivina molassica HOFMANN
Uvigerina posthantkeni PAPP
Uvigerina rudlingensis PAPP (sehr selten noch im tiefsten Teil)
Trifarina angulosa (WILLIAMSON)
Trifarina gracilis (REUSS)
Trifarina globosa (STOLTZ)
Stilostomella danuviensis nom. nov.
Stilostomella adolphina (D'ORB.)
Stilostomella consobrina (D'ORB.)
Stilostomella longiscata (D'ORB.)
Elphidiella cryptostoma cryptostoma (EGGER) (nur in 1001)
Florilus communis (D'ORB.)
Pullenia bulloides (D'ORB.)
Pullenia quinqueloba (REUSS)

Melonis pompilioides (FICHTEL & MOLL)
Nonionella liebusi HAGN
Cassidulina laevigata D'ORB.
Globocassidulina crassa (D'ORB.)
Globocassidulina oblonga (REUSS)
Chilostomella ovoidea REUSS
Chilostomella czizeki REUSS
Allomorphina trigona REUSS
Sphaeroidina bulloides D'ORB.
Ammonia beccarii (LINNÉ)
Valvulineria complanata (D'ORB.)
Cancris auriculus (FICHTEL & MOLL)
Cancris subconicus (TERQUEM)
Gyroidina soldanii D'ORB.
Gyroidina parva CUSHMAN & RENZ
Gyroidina eggeri n. sp.
Alabamina tangentialis (CLODIUS)
Svratkina perlata (ANDREAE)
Epistominella molassica (HAGN)
Escornebovina orthorapha (EGGER)
Siphonina reticulata (CZJZEK)
Globigerina praebulloides praebulloides BLOW
Globigerina praebulloides leroyi BLOW & BANNER
Globigerina woodi JENKINS
Globigerina ciperoensis ciperoensis BOLLI
Globigerina ouachitaensis HOWE & WALLACE
Globorotalia obesa BOLLI
Cibicides lobatulus (WALKER & JACOB)
Cibicidoides ungerianus filicosta (HAGN)
Cibicidoides pseudoungerianus (CUSHMAN)
Heterolepa dutemplei (D'ORB.)
Hanzawaia boueana (D'ORB.)
Almaena osnabrugensis (ROEMER)

Das Obere Eger der Bohrung Ampfing 1 (Proben von 850–956,9 m Teufe) zeigt eine etwas andere Zusammensetzung. Vor allem sind Sandschaler stärker verbreitet. Es treten ergänzend hinzu:

Bathysiphon filiformis SARS
Ammodiscus cretaceus (REUSS)
Cyclammina acutidorsata (HANTKEN)
Textularia agglutinans D'ORB.
Guttulina praelonga (EGGER)
Stilostomella verneuilii (D'ORB.)

Das Obere Eger der Bohrung Isen 1 (Proben von 1015–1021 m Teufe) zeigt eine völlig andere Ausbildung:

Quinqueloculina akneriana D'ORB.
Quinqueloculina cribrosa (EGGER)
Triloculina gibba D'ORB.
Sinuloculina consobrina (D'ORB.)
Sigmoilinita tenuis (CZJZEK)
Robulus inornatus (D'ORB.)
Saracenaria arcuata (D'ORB.)
Dentalina elegans D'ORB.
Amphicoryna badenensis (D'ORB.)
Amphicoryna imperfectecostata (SILVESTRI)
Lagena semistriata WILLIAMSON
Pyralina fusiformis (ROEMER)

Caucasina cylindrica ZAPLETALOVA
Reussella spinulosa (REUSS)
Virgulinella chalkophila (HAGN)
Fursenkoina acuta (D'ORB.)
Bolivina liebusi HOFMANN
Trifarina gracilis (REUSS)
Elphidiella heteropora (EGGER)
Elphidiella minuta (REUSS)
Porosononion granosum (D'ORB.)
Florilus communis (D'ORB.)
Ammonia propingua (REUSS)
Valvulineria complanata (D'ORB.)
Gyroidina soldanii D'ORB.
Globigerina praebuloides praebuloides BLOW
Globigerina ciperoensis ciperoensis BOLLI
Cibicidoides pseudoungerianus (CUSHMAN)
Almaena osnabrugensis (ROEMER)

Die große Häufigkeit von Milioliden, Elphidiidae und Polymorphinidae weist darauf hin, daß es sich hier um die Flachwasserfazies des Oberen Eger handelt. Die Bearbeiter dieser Bohrung von der MOBIL OIL AG stuften diesen Profilabschnitt ins Burdigal ein. Für eine Zuordnung zum Oberen Eger spricht jedoch das Auftreten von *Virgulinella chalkophila*, *Almaena osnabrugensis* und *Globigerina ciperoensis ciperoensis*.

Im obersten Teil des Oberen Eger folgt in den Bohrungen Ortenburg 1001 (232,1–239,0 m) und 1002 (394,9–413,7 m) eine Serie, die von HAGN (1955: 338) als „Fischschiefer“ bezeichnet und bereits zum Burdigal gerechnet wurde. Entsprechend der Einstufung der Fischschiefer des Zillergrabens durch MARTINI (1981: Abb. 2) ins Obere Eger rutscht auch hier die Grenze nach oben. Schon PAULUS (1963: 77) sprach sich für eine Zuordnung des Fischschiefer-Horizonts zum Aquitan aus. Auch in der Bohrung Ampfing 1 (ca. 760–800 m) treten stratigraphische Äquivalente dieser Serie auf.

Die Fischschiefer der Vorlandmolasse-Bohrungen lassen sich mikrofaunistisch gut mit denen des Zillergrabens vergleichen. Die bolivinenreichen Proben von Ortenburg 1001 sind fast identisch mit denen von der Traun. Für die Zugehörigkeit zum Oberen Eger spricht das Auftreten von *Bulimina arndti*, *Bolivina molassica*, *Bolivina subalpina* und *Bolivina korynoides*.

Die Fischschiefer werden von Ortenburg 1001 über 1002 nach Ampfing 1 rasch mächtiger, und die Fauna verändert sich kontinuierlich. Dies bezieht sich in erster Linie auf eine deutliche Zunahme der sandschaligen Foraminiferen. Während in Ortenburg 1001 Bolivinen und Buliminen vorherrschen, stellen in Ampfing *Bathysiphon*, *Reophax* und *Cyclammina* die dominierenden Elemente dar. In Ortenburg 1002 ist eine Vermischung dieser beiden Faunenbereiche festzustellen. Die Beziehungen zwischen Ortenburg 1002 und Ampfing sind so eng, daß von einem trennenden Einfluß des Landshut-Neuöttinger-Hochs nichts mehr zu verspüren ist.

Die Mikrofauna der Fischschiefer setzt sich wie folgt zusammen:

Bathysiphon filiformis SARS

Ammodiscus cretaceus (REUSS)
Reophax excentricus CUSHMAN (nur in 1002 und Ampfing)
Cyclammina acutidorsata (HANTKEN) (nur in 1002 und Ampfing)
Textularia agglutinans D'ORB. (nur in 1002 und Ampfing)
Robulus inornatus (D'ORB.)
Planularia moravica (KARRER)
Astacolus crepidulus (FICHTEL & MOLL)
Vaginulinopsis elegans (HANTKEN)
Marginulina hirsuta D'ORB.
Dentalina communis D'ORB.
Amphicoryna imperfectecostata (SILVESTRI)
Globulina gibba (D'ORB.)
Guttulina problema (D'ORB.)
Buliminella pulchra (TERQUEM)
Bulimina elongata D'ORB.
Bulimina arndti HAGN
Caucasina cylindrica ZAPLETALOVA
Fursenkoina acuta (D'ORB.)
Fursenkoina mustoni (ANDREAE)
Bolivina budensis (HANTKEN)
Bolivina crenulata trunensis HOFMANN
Bolivina fastigia CUSHMAN
Bolivina subalpina HOFMANN
Bolivina korynoides korynoides HOFMANN (nur in 1001)
Bolivina korynoides subtumida HOFMANN (nur in 1002)
Bolivina molassica HOFMANN
Uvigerina posthantkeni PAPP
Uvigerina parviformis PAPP
Trifarina angulosa (WILLIAMSON)
Trifarina globosa (STOLTZ)
Stilostomella consobrina (D'ORB.)
Stilostomella verneuillii (D'ORB.)
Stilostomella longiscata (D'ORB.)
Elphidium macellum (FICHTEL & MOLL) (nur in 1001)
Elphidiella cryptostoma cryptostoma (EGGER) (nur in 1001)
Florilus communis (D'ORB.)
Pullenia quinqueloba (REUSS)
Melonis pompilioides (FICHTEL & MOLL)
Cassidulina laevigata D'ORB.
Globocassidulina crassa (D'ORB.)
Chilostomella ovoidea REUSS
Chilostomella czizeki REUSS
Allomorphina trigona REUSS
Sphaeroidina bulloides D'ORB.
Ammonia beccarii (LINNÉ)
Valvulineria complanata (D'ORB.)
Cancris auriculus (FICHTEL & MOLL)
Gyroidina parva CUSHMAN & RENZ
Alabamina tangentialis (CLODIUS)
Epistominella molassica (HAGN)
Escornebovina orthorapha (EGGER)
Escornebovina trochiformis (ANDREAE)
Globigerina praebuloides leroyi BLOW & BANNER
Globigerina woodi JENKINS
Globorotalia obesa BOLLI
Cibicides lobatulus (WALKER & JACOB)
Heterolepa dutemplei (D'ORB.)
Hanzawaia boueana (D'ORB.)

In den Fischschiefern der Bohrung Ampfing 1 (Proben von ca. 760–800 m Teufe) wurden außerdem noch beobachtet:

Haplophragmoides canariensisformis SZTRÁKOS

Cyclammina praecancellata VOLOSHINOVA

Robulus cultratus MONTFORT

Bolivina elongata HANTKEN

Trifarina gracilis (REUSS)

Porosononion granosum (D'ORB.)

Cancris subconicus (TERQUEM)

2.1.2.3 Paläogeographie

Das Obere Eger der Bohrungen Ortenburg 1001 und 1002 und der Bohrung Ampfing 1 ist durch eine Faunenvergesellschaftung charakterisiert, in der die Gattungen *Uvigerina*, *Cancris* und *Cibiciden*, in Ampfing *Cyclammina* dominieren. Die Ablagerungen lassen sich damit dem oberen Bathyal zuordnen. Neben dieser Tiefwasserfauna findet man in 1001 vereinzelt Elphidien und *Ammonia beccarii* als Einschwemmungen aus dem Flachwasserbereich, die auf ein steiles Relief im Bereich des Pockinger Abbruchs schließen lassen. Auch Umlagerungen waren mitunter festzustellen. Nach manchen Autoren soll diese Störung die Grenze der Verbreitung des Obereger-Meeres gebildet haben (vgl. SCHWERT & UNGER 1981: Abb. 22). Für eine so randnahe Lage können die wenigen Flachwasserformen jedoch nicht als Hinweis gewertet werden. Das Meer dürfte doch weiter nach NE ausgegriffen haben.

Nach W zu erfolgte eine rasche Verflachung, die in der Fauna der Bohrung Isen 1 dokumentiert ist. Die Vergesellschaftung aus primitiven Elphidien, Polymorphiniden und Milioliden neben zahlreichen Caucasinern spricht für sehr flache Wasserverhältnisse (Flachneritikum).

Die Fischschiefer-Fauna der Bohrungen Ortenburg 1001 und 1002 ist durch die Gattungen *Bolivina* und *Bulimina*, zu denen noch häufiger *Uvigerina* hinzutritt, charakterisiert. In Ortenburg 1002 erscheint bereits augenfällig sandschaliges Benthos, das dann in Ampfing das Faunenbild beherrscht. Die *Bolivina-Bulimina-Uvigerina*-Vergesellschaftung ist dem obersten Bathyal zuzuordnen. In Ampfing dagegen werden noch größere Wassertiefen erreicht. Die Lithologie der Fischschiefer weist auf ein abgeschlossenes Milieu mit eingeschränkter Wasserzirkulation hin.

2.1.3 Eggenburg

2.1.3.1 Paläogeographie und Tektonik

Über dem Eger folgt in allen bearbeiteten Bohrungen eine Schichtlücke, die das gesamte Eggenburg umfaßt. Von den Fischschiefern mit ihrer Tiefwasserfauna ausgehend, muß in diesem nördlichen Bereich der Vorlandmolasse ein allmählicher Meeresrückzug stattgefunden haben. Nach einem kurzzeitigen Wiedervordringen des Meeres im Mittleren Eggenburg kam es im Oberen Eggenburg erneut zur Trockenlegung. In dieser Festlandsperiode wurden die eben erst gebil-

deten, wohl noch kaum verfestigten Eggenburg-Sedimente bis hinab zu den Fischschiefern wieder erodiert. Im Unteren Ottang erfolgte dann eine Transgression mit Grobsanden, die zunächst fossilleer sind, weiter oben jedoch eine eindeutige Ottang-Fauna führen, mit *Sigmoilopsis ottangensis* und *Hopkinsina bononiensis primiformis*. Auf eine Schichtlücke zwischen dem Aquitan und den Phosphoritsanden in den Innviertel-Bohrungen weist auch KNIPSCHER (1952: 60) hin. Diese Regression steht mit der jungsavischen Phase in Verbindung, der FUCHS (1976: 227) die Anlage des Muldenbaus der Subalpinen Molasse der Schweiz und Bayerns zuschreibt. Auf diesen tektonischen Akt führt er auch „...die beckenweit feststellbaren Diskordanzen zum Burdigal als Folge weitflächiger Regression des Meeres“ zurück. Auch LEMCKE (1984: 380 und Abb. 3) weist auf eine Regression an der Wende Eger/Eggenburg hin, leitet sie jedoch von weltweiten eustatischen Meeresspiegelschwankungen ab (vgl. auch ROGL & STEININGER 1983: 141 und Taf. 1).

Obertage anstehendes Eggenburg findet man in der nördlichen Vorlandmolasse nur mehr in den Aufschlüssen Maierhof und Kemating, bis vor einigen Jahren auch noch in Blindham. Sie liegen alle in einer tektonischen Struktur, die als Ortenburger Senkungsdreieck bezeichnet wird, wo die Sedimente während der Erosionsphase im Oberen Eggenburg vor der Abtragung bewahrt wurden. Die Entdeckung dieser Senkungsscholle, die sich jedoch später zu einer Hebungsscholle entwickelt hat, geht auf KRAUS (1916: 151 ff.) zurück. Absenkungen dieser Struktur müssen schon sehr früh erfolgt sein, da in ihr Dogger- und Malmkalke und Kreidesedimente erhalten sind, während sie auf dem Aidenbach-Griesbacher Hoch (auch im E-Teil) in mehreren Erosionsphasen (UNGER & SCHWARZMEIER 1982: 208–210) abgetragen wurden. Erste Bewegungen datieren UNGER & SCHWARZMEIER (1982: 208) in den Jura. Im Eggenburg vollzog sich abermals eine Heraushebung des Aidenbach-Griesbacher Hochs, während im Ortenburger Dreieck eine relative Absenkung erfolgte. So kam es auf der Hochstruktur in der Festlandsperiode im Oberen Eggenburg zur Abtragung der Mitteleggenburg-Sedimente. Im Aufschluß Neustift lagert daher Mittelottang direkt auf Kristallin, während gleich gegenüber, auf der anderen Seite der Wolfach-Störung, in Blindham, Eggenburg erhalten blieb. Die Abtragung des Oberen Eger, westlich der Wolfach-Störung auch des Unteren Eger, auf dem Aidenbach-Griesbacher Hoch setzen UNGER & SCHWARZMEIER (1982: 210) im Oberen Eger und Eggenburg an. Südlich und südwestlich des Pockinger Abbruchs umfaßt die Schichtlücke nur das Eggenburg.

Von der ehemals weiteren Verbreitung der Eggenburg-Sedimente zeugen noch die Umlagerungen, die in vielen Proben des Unteren Ottang zu finden sind, z. B. in der Bohrung Ortenburg 1003, in den Aufschlüssen Kindlbach, direkt am Pockinger Abbruch gelegen, Oberschwärzenbach und Höhenmühle, an der Verlängerung der Wolfachstörung, Hausmanning, Untersimbach und Engertsham, und im Mittelottang von Holzbach und Höch. Darauf wird jedoch später noch einzugehen sein. Die These vieler Autoren (u. a. UNGER & SCHWARZMEIER 1982: 210), das Eggenburg sei in diesem Raum nur in „einzelnen Rinnen und Senken“ abgelagert worden, wird dadurch unwahrscheinlich.



Abb. 3: Übersicht über die Aufschlüsse in Niederbayern (OE = Oberes Eger, E = Eggenburg, US = Untersimbacher Schichten, NH = Neuhofener Mergel, MO = Mittelottnang). Tektonik nach UNGER & SCHWARZMEIER (1982: Abb. 2).

2.1.3.2 Aufschlüsse

Die Ortenburger Meeressande mit ihrer Flachwasserfauna aus großwüchsigen Elphidien, zeigen aufgrund ihrer identischen paläogeographischen Situation, nämlich der Lage am Massivrand, sehr große Ähnlichkeit mit der Typlokalität des Eggenburg in Loibersdorf und mit Fels am Wagram. Auf die engen Beziehungen der Mikrofauna wies schon TOLLMANN (1957: 201) hin.

Das niederbayerische Eggenburg lieferte eine der arten- und individuenreichsten Foraminiferenfaunen der bayerischen Molasse. Ihr erster Bearbeiter war EGGER (1857), der 1 Jahr später auch die Ostracoden dieser Schichten monographisch darstellte. Mit der stratigraphischen Stellung dieser Serie befaßte man sich ebenfalls bereits sehr früh: SANDBERGER & GÜMBEL (1858: 223–225) verglichen sie mit den Schichten von Grund, Loibersdorf und Ottang, ROLLE (1859: 11) und SUESS (1866: 28) mit den Horner Schichten der Eggenburger Gegend, MAYER-EYMAR (1868) reihte sie in sein Langhien ein.

Am bekanntesten ist wohl der Aufschluß Maierhof, der, obwohl in desolatem Zustand, auch heute noch beghebbar ist. Eine umfangreiche Liste der Megafauna dieser fossilreichen Schichten veröffentlichte bereits GÜMBEL (1861: 766 und 1887: 301). Eine erste Profilbeschreibung stammt von KRAUS (1916: 112), der auch die Zugehörigkeit zum Burdigal erkannte. Auf Kalken des Malmß (Ortenburger Schichten) liegen transgressiv, mit einer Austernbank an der Basis, fossilreiche Mittel- bis Grobsande moldanubischen Ursprungs (vgl. NEUMAIER & WIESENEDER 1939: 236 und RITTER 1953: 39), zum Teil mit Schillagen und Kalkkonkretionen. Darüber folgt ein Verwitterungshorizont, der von dünnblättrigen Mergeln des Mittelottnang überlagert wird. Dieser Bereich war im Unteren Ottnang also nicht vom Meer überflutet. Eine detaillierte Profildarstellung von Herrn Dr. PFEIL ist bei HAGN et al. (1981: Abb. G4/1) zu finden. Die hier bearbeiteten Proben sind etwa in 440, 480, 500, 530, 560, 640 cm Höhe über der Malmoberkante entnommen.

Der Aufschluß Kemating ist bei KRAUS (1916: 115) (hier: Semmating) beschrieben. Er soll nach diesem Autor nur in seinem tiefsten Teil den Sanden von Maierhof entsprechen. Sein heutiger Zustand ist sehr schlecht. Die Eggenburg-Sedimente sind ziemlich feinsandig ausgebildet, nur lagenweise grobsandiger. Im Hangenden folgt ein mächtiger Schillhorizont, der eine spärliche Mikrofauna des Mittelottnang führt. KRAUS (1916: 115) betrachtet die darin enthaltene Megafauna als aus dem tieferen Niveau umgelagert. Es dürfte sich um den Transgressionshorizont handeln, obwohl dies bei den schlechten Aufschlußverhältnissen schwer zu beurteilen ist. Darüber folgen noch rot-braune Sande. Das Eggenburg liegt hier auf Schichten der Oberkreide, die nur 700 m NE davon fast auf gleicher Höhe anstehen.

2.1.3.3 Foraminiferenfauna

Die Mikrofauna der Ortenburger Meeressande von Maierhof, Blindham und Kemating setzt sich wie folgt zusammen:

Textularia gramen D'ORB.

Spiroplectammina pectinata (REUSS)

Quinqueloculina cribrosa (EGGER) (nicht in Kemating)

Sinuloculina consobrina (D'ORB.) (nicht in Kemating)

Robulus inornatus (D'ORB.)

Robulus pauperculus (REUSS)

Lagena striata (D'ORB.)

Lagena semistriata WILLIAMSON

Lagena hexagona (WILLIAMSON)

Lagena isabella (D'ORB.)

Lagena laevis (MONTAGU)

Lagena clavata (D'ORB.)

Globulina gibba (D'ORB.)

Globulina granulosa (EGGER)

Globulina striata (EGGER)

Globulina spinosa D'ORB.

Globulina rotundata (BORNEMANN) (nur in Blindham)

Globulina muensteri (REUSS)

Guttulina problema (D'ORB.)

Guttulina praelonga (EGGER)

Guttulina uvula (EGGER) (nur in Blindham)

Pseudopolymorphina incerta (EGGER)

Pseudopolymorphina media (EGGER)

Pyrulina fusiformis (ROEMER) (nur in Maierhof)

Glandulina ovula D'ORB.

Bulimina elongata D'ORB.

Præglobobulimina pyrula (D'ORB.) (nur in Kemating)

Virgulopsis tuberculata (EGGER)

Caucasina cylindrica ZAPLETALOVÁ

Reussella spinulosa (REUSS)

Virgulinella pertusa (REUSS) (nur in Maierhof)

Fursenkoina acuta (D'ORB.)

Bolivina crenulata trunensis HOFMANN

Bolivina pokornyi serrata CÍCHA & ZAPLETALOVÁ (nur in Blindham)

Bolivina fastigia CUSHMAN

Trifarina gracilis (REUSS) (nur in Kemating)

Trifarina bradyi CUSHMAN

Oolina globosa (MONTAGU)

Fissurina orbignyana orbignyana SEGUENZA

Fissurina orbignyana striata FRIESE

Fissurina laevigata REUSS

Fissurina obtusa EGGER

Stilostomella danuviensis nom. nov.

Stilostomella adolphina (D'ORB.)

Stilostomella perscripta (EGGER)

Stilostomella scabra (REUSS)

Stilostomella consobrina (D'ORB.)

Elphidium flexuosum flexuosum (D'ORB.)

Elphidium flexuosum subtypicum PAPP

Elphidium matzenense PAPP

Elphidium felsense PAPP

Elphidium reussi MARKS

Elphidium angulatum (EGGER)

Elphidium macellum (FICHTEL & MOLL)

Elphidium ortenburgense (EGGER)

Elphidium fichtellianum (D'ORB.)

Elphidium hauerinum (D'ORB.)

Elphidium glabratum CUSHMAN

Elphidiella subcarinata (EGGER)

Elphidiella heteropora (EGGER)

Elphidiella minuta (REUSS)

Elphidiella cryptostoma cryptostoma (EGGER)

Elphidiella dollfusi (CUSHMAN)

Porosononion granosum (D'ORB.)

Florilus communis (D'ORB.)

Protelphidium roemeri (CUSHMAN)

Pullenia bulloides (D'ORB.)

Pullenia quinqueloba (REUSS)

Astrononion perforosum (CLODIUS)

Globocassidulina crassa (D'ORB.)

Globocassidulina oblonga (REUSS)

Sphaeroidina bulloides D'ORB.

Ammonia beccarii (LINNÉ)

Ammonia propingua (REUSS)

Ammonia discigera (EGGER) (nur in Blindham)

Pararotalia rimosa (REUSS)

Pararotalia batavensis n. sp.

Rosalina globularis semiporata (EGGER)

Discorbis biaperturaus (POKORNÝ)

Discorbis uhligi austriacus (TOLLMANN)

Neoconorbina patella (EGGER)
Cancris auriculus (FICHTEL & MOLL)
Gyroidina parva CUSHMAN & RENZ (nur in Blindham)
Gyroidina eggeri n. sp.
Svratkina perlata (ANDREAE)
Epistominella molassica (HAGN) (nur in Blindham)
Escornebovina orthorapha (EGGER)
Escornebovina trochiformis (ANDREAE)
Glabratella hagni n. sp. (nur in Blindham)
?Glabratella cf. aurantista SEIGLIE & BERMUDEZ (nur in Blindham)
Asterigerinata planorbis (D'ORB.)
Globigerina praebulloides praebulloides BLOW
Globigerina praebulloides leroyi BLOW & BANNER
Globigerina ciproensis ottnangiensis RÖGL
Globigerina dubia EGGER
Globigerina angustiumbilitica BOLLI
Globoquadrina debiscens (CHAPMAN, PARR & COLLINS)
Cassigerinella globulosa (EGGER)
Cibicides lobatulus (WALKER & JACOB)
Dyocibicides truncatus (EGGER)
Cibicidoides pseudoungerianus (CUSHMAN)
Heterolepa dutemplei (D'ORB.)
Hanzawaia boueana (D'ORB.)
Alliatina tollmanni LANGER

Daneben sind Ostracoden recht häufig.

Ein Faunenbild aus dem Eggenburg von Maierhof ist bei HAGN (1960a: Taf. 9) dargestellt.

2.1.3.4 Milieu

In der Gesamtfaua unterscheiden sich die Proben von Maierhof, Blindham und Kemating nur wenig. In Maierhof sind Lageniden etwas häufiger, während sie in Blindham völlig fehlen. Dort sind dafür die Gattungen *Bolivina* und *Textularia* stärker vertreten. Auch Ammonien sind etwas häufiger. Die Diversität bei den Elphidien ist geringer. In Kemating sind die Polymorphiniden schwächer repräsentiert, Milioliden fehlen völlig. Dafür ist dort *Pararotalia batavensis* sehr häufig. Hinweise auf Milieuunterschiede lassen sich aus diesen geringen Faundifferenzen kaum ablesen. WITT (1967: 81) kommt bei einem Vergleich der Ostracodenfaunen der Aufschlüsse Maierhof und Dötter (Blindham) zu dem Schluß, daß „die Sande von Maierhof in einem strandnäheren Bereich abgelagert wurden“ als die des nördlicher gelegenen Dötter. Nach der Foraminiferenfauna deutet sich in Blindham vielleicht ein etwas flacheres Milieu an. In Kemating könnte ein leicht brackischer Einfluß geherrscht haben. Die Wassertiefe war wohl etwas geringer als in Maierhof.

Im obersten Teil des Aufschlusses Maierhof, wenig unterhalb des Verwitterungshorizonts, tritt eine Fauna auf, die sich deutlich vom Liegenden unterscheidet, auf jeden Fall aber noch zum Eggenburg zu rechnen ist. Hier schieben sich Lageniden, vor allem *Robulus pauperculus*, und *Stilostomella danuviensis* etwas in den Vordergrund und drängen die Elphidien zurück. Auch *Sphaeroidina bulloides* findet sich in nicht gekannter Häufigkeit. Außerdem treten Arten auf, die aus den tieferen Schichten unbekannt sind: z. B. *Virgulina per-*

tusa, *Elphidium glabratum*, *Trifarina bradyi*, *Discorbis bi-aperturatus* und *Globoquadrina debiscens*, um nur die wichtigsten zu nennen. Die Fauna weist gegenüber den unteren Profiltellen auf tieferes Wasser hin (*Sphaeroidina!*).

Die Foraminiferenfauna der Ortenburger Meeressande wird von Elphidien beherrscht, daneben sind noch *Cibicides lobatulus* und Polymorphiniden, vor allem aber *Asterigerinata planorbis* sehr häufig. Diese Vergesellschaftung spricht für flachneritische Verhältnisse. Wegen der Großwüchsigkeit und hohen Diversität der Elphidienfauna sind jedoch allzu geringe Wassertiefen auszuschließen. BOLTOVSKOY & WRIGHT (1976: 118) weisen darauf hin, daß Elphidien ihre optimale Entwicklung, d. h. Großwüchsigkeit und hohe Kammerzahl, eher im tieferen Flachneritikum, nicht in der unmittelbaren Litoralzone, erreichen. Als weiterer Hinweis auf nicht zu flache Verhältnisse kann die relative Seltenheit von *Ammonia* und *Rotalia*, vor allem in Maierhof, gewertet werden. Auch das Auftreten von *Cancris auriculus* und die Häufigkeit von *Asterigerinata* fordert größere Wassertiefen als 20 m. Dennoch förderte eine starke Wasserbewegung die gute Entwicklung der Elphidien.

2.1.3.5 Stratigraphische Stellung

Die Zuordnung der Ortenburger Meeressande zum Eggenburg ist inzwischen unumstritten. Zur Diskussion steht jedoch noch immer die Position innerhalb dieser Stufe. HAGN (1960b: 139 und 1961: 312) sprach sich für eine Zuordnung ins Obere Burdigal aus. Die Serien der Gegend von Eggenburg werden von TOLLMANN (1957: 201) ebenfalls in den oberen Teil dieser Stufe gestellt, von STEININGER et al. (1971: 97) dem mittleren Abschnitt des Eggenburg (M_{1b}) oder dem jüngeren Teil (M_{1c-d}) zugeordnet.

Für eine stratigraphische Gliederung eignen sich die isolierten Aufschlüsse von Niederbayern sehr wenig, da hierzu ein geschlossenes Profil nötig ist. Dieses findet man in Bayern nur im Röthelbach/Traunprofil. So beziehen sich meine Argumente für die stratigraphische Zuordnung der Ortenburger Meeressande auch in erster Linie auf den Vergleich mit dem Röthelbachprofil. Auf die engen faunistischen Beziehungen zwischen diesen beiden Lokalitäten wiesen schon HAGN & HÖLZL (1952: 66) hin.

Im Röthelbach macht man die Beobachtung, daß *Elphidiella cryptostoma*, die im niederbayerischen Eggenburg nicht selten ist, im Oberen Eggenburg (Unterlauf des Röthelbaches) von der neuen Unterart *semiincisa* und *Bolivina fastigia*, die ebenfalls in Maierhof zu finden ist, von *Bolivina concinna* abgelöst wird. *Elphidium ortenburgense* und *Elphidium felsenense*, beide in den Ortenburger Meeressanden sehr häufig, treten im Oberen Eggenburg stark zurück – im Röthelbach wurden sie nicht festgestellt, im Lußgraben sind sie sehr selten. Sie haben ihre Hauptverbreitung im Mittleren Eggenburg, im Unteren Eggenburg des Pechschnaitgrabens fehlen sie völlig.

Die Ortenburger Meeressande von Maierhof, Blindham und Kemating müssen aus diesen Gründen ins Mittlere Eggenburg gestellt werden. Das Obere Eggenburg wird damit frei für die bereits mehrmals erwähnte Erosionsphase, die in

der nördlichen Vorlandmolasse das Eggenburg so sehr dezimierte. Bezüglich weiterer Angaben zu den stratigraphischen Verhältnissen im Röthelbach sei auf das entsprechende Kapitel (2.2.3.3) verwiesen.

2.1.4 Unteres Ottnang

2.1.4.1 *Planularia buergli*-Horizont

2.1.4.1.1 Verbreitung und Paläogeographie

Im Gegensatz zu allen übrigen Bohrungen in Niederbayern beginnt in Ortenburg 1003 die Schichtenfolge des Ottnang über 6 m mächtigen, glaukonitischen, fossiliferen Transgressionssanden, die auf Unterem Eger lagern, mit sandig-mergeligen Sedimenten, deren Fauna durch die Häufigkeit von *Planularia buergli* charakterisiert ist. BÜRGEL (1946) benannte diese Art ohne Beschreibung und Abbildung als *Planularia willingensis* und gab sie aus dem Haller Schlier von Wels an. Auf bayerischem Gebiet ist sie an 3 Lokalitäten in großer Häufigkeit zu finden, allerdings ausschließlich im alleruntersten Teil des Unteren Ottnang. Dieser 2 m mächtige Horizont geht nach oben fließend in Mittel- bis Grobsande über. In den Bohrungen Ortenburg 1001 und 1002 und Ampfing 1 ist dieser Horizont nicht erhalten geblieben. Dort transgredieren die Grobsande direkt auf die Fischschiefer des Oberen Eger. Der geringmächtige *Planularia buergli*-Horizont ist hier offensichtlich bei der Schüttung der Grobsande wieder aufgearbeitet worden, während er in Ortenburg 1003 in einer lokal begrenzten Einsenkung erhalten blieb. Über die ursprünglich flächenhafte Verbreitung dieser Serie kann kein Zweifel bestehen. Das Vorkommen in 1003 hat mit Sicherheit Verbindung nach Süden gehabt, wo der Horizont von BERGER (1957) in der Bohrung Eigelwald 1 (Sp 998–1000 m), südlich Mühldorf, nachgewiesen wurde. Bezüglich der stratigraphischen Einstufung sei auf ein späteres Kapitel (2.3.2.2.2) verwiesen.

Von HAGN (1955: 339) wurde dieser Profilabschnitt mit den Fischschiefern der anderen Bohrungen parallelisiert. Die Mikrofauna läßt jedoch keinen Vergleich zu.

2.1.4.1.2 Foraminiferenfauna

Im Abschnitt 220,0–222,1 m wurde folgende Fauna festgestellt:

Spiroplectammina pectinata (REUSS)
Sigmoilinita tenuis (CZJZEK)
Robulus inornatus (D'ORB.)
Planularia buergli n. sp.
Dentalina communis D'ORB.
Nodosaria sp.
Lagena hispida REUSS
Bulimina striata D'ORB.
Caucasina cylindrica ZAPLETALOVA
Bolivina scitula HOFMANN

Stilostomella danuviensis nom. nov.

Stilostomella adolphina (D'ORB.)

Stilostomella perscripta (EGGER)

Stilostomella verneuilii (D'ORB.)

Elphidium flexuosum subtypicum PAPP

Elphidium fichtellianum (D'ORB.)

Porosonion granosum (D'ORB.)

Florilus communis (D'ORB.)

Melonis pompilioides (FICHEL & MOLL)

Globocassidulina oblonga (REUSS)

Ammonia beccarii (LINNE)

Discorbis uhligi austriacus (TOLLMANN)

Cancris auriculus (FICHEL & MOLL)

Gyroidina parva CUSHMAN & RENZ

Alabamina tangentialis (CLODIUS)

Epistominella molassica (HAGN)

Globigerina praebuloides praebuloides BLOW

Globigerina angustiumbilitata BOLLI

Cibicidoides pseudoungerianus (CUSHMAN)

Heterolepa dutemplei (D'ORB.)

dazu viele Radiolarien.

Die Ablagerung dürfte im flachneritischen Bereich erfolgt sein.

2.1.4.2 Untersimbacher Schichten

2.1.4.2.1 Verbreitung

In den Bohrungen Hartkirchen 1 und Mittich 1 beginnt die Schichtenfolge des Ottnang mit den Phosphoritsanden, die transgressiv auf Unterem Eger liegen (vgl. NATHAN 1949: 11–13, Abb. 3 und UNGER & SCHWARZMEIER 1982: 203).³⁾

In den Ortenburg-Bohrungen transgrediert das Ottnang mit Grobsanden, die von 1003 über 1001 nach 1002 an Mächtigkeit abnehmen, auf das Obere Eger. In der Bohrung Ortenburg 1003 lagern darunter noch, wie schon beschrieben, die *Planularia buergli*-Schichten. Darüber folgt in allen Bohrungen eine feinsandige Mergelserie, die HAGN (1955: 340) als „Sandmergel“ oder „*Robulusschlier* s. str.“ bezeichnete. Sie unterscheidet sich faunistisch in keiner Weise von dem liegenden Grobsand.

2.1.4.2.2 Untersimbach

Ausbildung

Dieses tiefere Unterottnang ist obertage am schönsten in dem Aufschluß bei dem kleinen Weiler Untersimbach, etwa auf halbem Wege zwischen Engertsham und Neukirchen gelegen, aufgeschlossen. Am Talhang, direkt östlich dieser Ortschaft, stehen in einer Mächtigkeit von ca. 10–12 m helle, gelblich-graue, dünnblättrige, z. T. auch etwas dickbankigere, feinsandige Mergel an, die auf den ersten Blick vielleicht am ehesten an die Blättermergel des Mittelottnang erinnern. Die Basis des Aufschlusses liegt auf ca. 340 m Meereshöhe, also tiefer als das nicht weit entfernte Oberschwärzenbach.

³⁾ In UNGER & BAUBERGER (1985: 35, 95, 97–99) liegt eine neue Bearbeitung dieser Bohrungen vor.

Eine Fossilliste ist bei KOCH (1965: 57) angegeben, der etwas weiter nördlich von Untersimbach stärkere Grobsandschüttungen in derselben Serie beschreibt (l. c. 23).

Foraminiferenfauna

Textularia gramen D'ORB.
Spiroplectammina pectinata (REUSS)
Spiroplectammina carinata (D'ORB.)
Quinqueloculina akneriana D'ORB.
Sigmoilinita tenuis (CZJZEK)
Sigmoilopsis ottnangensis CICHÁ, ČTYROKÁ & ZAPLETALOVÁ
Robulus inornatus (D'ORB.)
Astacolus crepidulus (FICHTEL & MOLL)
Vaginulinopsis carinata (SILVESTRI)
Lagena striata (D'ORB.)
Lagena semistriata WILLIAMSON
Lagena isabella (D'ORB.)
Lagena laevis (MONTAGU)
Plectofrondicularia digitalis (NEUGEBOREN)
Globulina gibba (D'ORB.)
Globulina muensteri (REUSS)
Pyrulina fusiformis (ROEMER)
Glandulina ovula D'ORB.
Caucasina cylindrica ZAPLETALOVÁ
Fursenkoina acuta (D'ORB.)
Bolivina matejkai CICHÁ & ZAPLETALOVÁ
Bolivina crenulata trunensis HOFMANN
Bolivina dilatata REUSS
Bolivina concinna (KNIPSCHER & MARTIN)
Coryphostoma digitalis (D'ORB.)
Uvigerina semiornata D'ORB.
Hopkinsina bononiensis primiformis (PAPP & TURNOVSKY)
Trifarina gracilis (REUSS)
Trifarina angulosa (WILLIAMSON)
Oolina globosa (MONTAGU)
Fissurina orbignyana orbignyana SEGUENZA
Fissurina laevigata REUSS
Fissurina obtusa EGGER
Stilostomella ottnangensis (TOULA)
Stilostomella danuviensis n. sp.
Stilostomella perscripta (EGGER)
Stilostomella verneuili (D'ORB.)
Elphidium flexuosum flexuosum (D'ORB.)
Elphidium flexuosum subtypicum PAPP
Elphidium matzenense PAPP
Elphidium macellum (FICHTEL & MOLL)
Elphidium fichtellianum (D'ORB.)
Elphidium hauerinum (D'ORB.)
Elphidiella heteropora (EGGER)
Elphidiella cryptostoma semiincisa n. ssp.
Elphidiella minuta (REUSS)
Porosonion granosum (D'ORB.)
Florilus communis (D'ORB.)
Pullenia bulloides (D'ORB.)
Astrononion perfossum (CLODIUS)
Melonis pompilioides (FICHTEL & MOLL)
Globocassidulina oblonga (REUSS)
Chilostomella ovoidea REUSS
Ammonia beccarii (LINNÉ)

Ammonia propingua (REUSS)
Rosalina globularis semiporata (EGGER)
Cancris auriculus (FICHTEL & MOLL)
Gyroidina soldanii D'ORB.
Gyroidina parva CUSHMAN & RENZ
Alabamina tangentialis (CLODIUS)
Asterigerinata planorbis (D'ORB.)
Globigerina praebulloides praebulloides BLOW
Globigerina angustiumbilitata BOLLI
Catapsydrax sp.
Cibicides lobatulus (WALKER & JACOB)
Cibicidoides ungerianus filicosta (HAGN)
Cibicidoides pseudoungerianus (CUSHMAN)
Heterolepa dutemplei (D'ORB.)
Hanzawaia boneana (D'ORB.)
Planulina wuellerstorfi (SCHWAGER)

Als Umlagerungen aus dem Eggenburg wurden *Elphidium ortenburgense* und *Elphidiella subcarinata* angetroffen. Außerdem etwas Bryozoenschutt und große Milioliden im tiefsten Profilteil.

Die Mikrofauna wird zu 80 % von der Gattung *Robulus* gebildet und unterscheidet sich damit schon auf den ersten Blick von der typischen Fauna des Neuhofener Horizonts. Neben dieser Übermacht von *Robulus inornatus* fällt noch auf, daß *Sigmoilopsis ottnangensis* und *Stilostomella ottnangensis* in Untersimbach äußerst selten sind, in den meisten Proben sogar völlig fehlen, während sie in der Neuhofener Fauna ein dominierendes Element darstellen.

Nach oben hin nimmt der Anteil an Globigerinen stark zu und auch *Florilus* wird sehr häufig (*Globigerina-Robulus-Florilus*-Vergesellschaftung). Im obersten Teil des Aufschlusses von Untersimbach vollzieht sich dann ein sprunghafter Übergang in die Neuhofener Fauna, der sich nicht nur in einem deutlichen Faunenwechsel ausdrückt, sondern auch in einer Änderung der Lithologie. Die Mergel werden deutlich toniger, sandärmer und dickbankiger. Die Basis bildet ein besonders toniger, sehr harter Mergel, der in der Aufschlußwand als deutlicher Überhang hervortritt. Der Neuhofener Horizont umfaßt etwa die oberen 3–4 m des Profils.

Aufgrund dieses deutlichen faunistischen Unterschiedes zur Neuhofener Fauna halte ich es für richtig, den tiefsten Teil des Unteren Ottnang, der die von HAGN (1955) als „Grobsand“ und „Sandmergel“ und von KNIPSCHER (1952: 57) als „*Robulus*-Schlier s. str.“ bezeichneten Serien umfaßt, Untersimbacher Schichten zu benennen und von den eigentlichen Neuhofener Mergeln mit der typischen Neuhofener Fauna abzutrennen – nicht zuletzt deswegen, weil „Sandmergel“ ein lithologischer Begriff ist und zu Mißverständnissen führen kann, und die Bezeichnung „*Robulus*-Schlier“ in Österreich den Ottnanger Schlier und auch die liegenden Atzbacher Sande und Vöckla-Schichten umfaßt. Auf die Möglichkeit einer mikropaläontologischen Trennung von *Robulus*-Schlier s. str. und Neuhofener Schichten wies schon KNIPSCHER (1952: 59) hin. KOCH (1965: 26) deutet lithologische Unterschiede gegenüber den höheren Serien an. Auch UNGER (1984a: 88) stellt unterschiedliche lithologische Ausbildungen zwischen liegendem und hangendem Teil der von ihm als Neuhofener Schichten zusammengefaßten Serie des

Unteren Ottnang fest. Die Parallelisierung des liegenden Teils (= Untersimbacher Schichten) mit Zwickledt ist jedoch unrichtig, da es sich bei letzterem Aufschluß um sandarm entwickeltes Mittelottnang handelt (Slg. Prot. 5662).⁴⁾

Weitere Aufschlüsse in den Untersimbacher Schichten liegen in Wallham, in Rottersham, Eggerwiesen und Engertsham. Die Faunenliste läßt sich dadurch wie folgt ergänzen:

Robulus vortex (FICHTEL & MOLL) (in Rottersham)
Elphidium reussi MARKS (in Eggerwiesen)
Sphaeroidina bulloides D'ORB. (in Rottersham)
Discorbis uhligi austriacus (TOLLMANN) (in Wallham)
Globigerina ciperoensis ottnangiensis RÖGL (in Wallham und Rottersham)

In der ehemaligen Mergelgrube von Wallham, die von KOCH (1965: 19 ff.) beschrieben wurde, liegt im hangenden Teil, wie in Untersimbach, ein sehr harter, toniger Mergel vor.

Der Aufschluß Engertsham verdient besondere Erwähnung (Kapitel 2.1.4.2.3). Die Zusammensetzung der Foraminiferenfauna von Untersimbach läßt auf Ablagerungsverhältnisse des mittleren Neritikums schließen.

Vergleich mit Oberösterreich

Nach der Mikrofauna lassen sich auch die Aufschlüsse Höbmansbach, nördlich Allerding (nicht Granitbruch) und Tollererau (bei Wallern) in Oberösterreich mit Untersimbach parallelisieren.

Höbmansbach, in der Taufkirchener Bucht gelegen, gilt, zusammen mit Rainbach, als die Randfazies des Ottnang (RÖGL, SCHULTZ & HOLZL 1973: 150). Als die Litoralbildungen des Ottnanger Schliers selbst, der im niederbayerischen Raum den Neuhofener Schichten entspricht, also des höheren Unterottnangs, kann man nur die Grobsande des Faziostratotyps Rainbach ansehen. Sie führen jedoch keine Mikrofauna. Die Serie von Höbmansbach dagegen schließt einen etwas tieferen Horizont auf, der der Lokalität Untersimbach stratigraphisch gleichzusetzen ist. Der eingelagerte Grobsand hat faunistisch mit dem in Rainbach nichts zu tun, er führt die typische *Robulus*-Schlier-Fauna. Ebenso wenig sind die darüberfolgenden Mergel mit dem Hangendschlier in Rainbach zu vergleichen. Als Randfazies des Neuhofener Horizonts = Ottnanger Schlier kommen daher nur die Grobsande von Rainbach in Betracht.

2.1.4.2.3 Engertsham

Ausbildung

Gleich gegenüber der Kirche, an der Ausfallstraße nach Fürstenzell, waren in Engertsham auf 330 m Meereshöhe kurzzeitig bei Bauarbeiten Schichten aufgeschlossen, die strati-

tigraphisch etwas tiefer einzuordnen sind als Untersimbach. Schon die lithologische Ausbildung ist etwas verschieden: es lagen feste, dunkelgraue, dickbankige, ziemlich sandarme Mergel vor, in die im oberen Teil ein ca. 3 cm mächtiges Schuttkalkbänkchen eingelagert war. Die Hartbank bestand aus Quarz, kleinen Geröllchen und Bryozoenschutt.

Foraminiferenfauna

Die Faunenliste der Untersimbacher Schichten wird in Engertsham durch folgende Arten ergänzt:

Robulus vortex (FICHTEL & MOLL)
Bolivina hebes MACFADYEN
Trifarina bradyi CUSHMAN
Stilostomella scabra (REUSS)
Elphidium crispum (LINNÉ)
Elphidiella sp.
Valvulineria complanata (D'ORB.)
Valvulineria petrolei (ANDREAE)
Globigerina praebulloides leroyi BLOW & BANNER
Globigerina ciperoensis ottnangiensis RÖGL
Globigerina dubia EGGER

Besonders auffällig an der großwüchsigen Fauna ist das häufige Auftreten von *Robulus vortex*, *Planulina wuellerstorfi* und *Heterolepa dutemplei*.

Neben dieser Mikrofauna stechen sehr viele Umlagerungen in den Schlämmproben ins Auge: der Rückstand besteht überwiegend aus Bryozoenschutt, und auch die Gehäuse sehr großwüchsiger, stark angelöster Quinqueloculinen sind nicht zu übersehen. Eindeutig aus dem Eggenburg stammt ein Schälchen von *Elphidiella subcarinata*, aus dem Eger umgelagert wurde *Bolivina molassica*.

Paläogeographie

Handelte es sich bei den Umlagerungen um synsedimentäre Einschwemmungen, würden die Milioliden wohl keine so starke Beschädigung aufweisen. Alles, auch das Exemplar von *Elphidiella subcarinata*, deutet eher darauf hin, daß hier der Abtragungsschutt älterer Sedimente, des Eggenburg und Eger, vorliegt. Als Bezugsgebiet ist, wegen des Bryozoenschutts, ein extremer Flachwasserbereich anzunehmen. Als solcher bietet sich der nahegelegene Granitsockel des Neuburger Waldes an. Hier findet man heute noch anstehend Bryozoenkalk, die allerdings dem Mittelottnang angehören (vgl. Kapitel 2.1.5.6). Es ist aber dadurch um so wahrscheinlicher, daß dieser Kristallinsporn auch im Eggenburg flach überflutet war und sich hier Bryozoenriffe gebildet haben, die im Oberen Eggenburg und bei der Neutransgression des Ottnang wieder aufgearbeitet wurden. Die Schüttungen könnten auch mit Hebungen des Neuburger Waldes in Verbindung stehen, da, wie später zu erläutern sein wird, an der Wende Eggenburg/Ottnang die Scholle des Ortenburger Senkungsdreiecks herausgehoben worden sein muß. Bryozoenschutt findet sich auch noch in geringerem Maße im tiefsten Teil von Untersimbach, umgelagerte Eggenburg-Foraminiferen noch weiter oben. Der Aufschluß Engertsham stellt somit ein weiteres Indiz für die ehemalige Ausdehnung des Eggenburg-Meeres dar.

⁴⁾ Auch UNGER & BAUBERGER (1985: 36–38) registrieren die unterschiedliche fazielle und mikrofaunistische Ausbildung der Untersimbacher Schichten gegenüber den Neuhofener Mergeln („Blättermergel“-Charakter), ziehen aber daraus den falschen Schluß, die Ottnang-Basis der Bohrungen Mittich 1 und Hartkirchen 1 (Untersimbacher Schichten!) ins obere Unterottnang (Übergang zur Blättermergelfazies) stellen zu müssen.

Das Meer der Untersimbacher Schichten scheint nicht sehr weit nach Norden gereicht zu haben. In der Bohrung Brunn-dobl bei Fürstenzell sind sie nicht mehr nachzuweisen. Hier liegen die Neuhofer Mergel direkt auf vermutlichem Untereger.

2.1.4.2.4 Bohrungen Ortenburg und Ampfing

Die Untersimbacher Schichten umfassen hier die basalen Grobsande und die „Sandmergel“ (1001: 171,5–232,1 m; 1002: 311,9–394,9 m; 1003: 169,0–220,0; Ampfing 1: Proben von 676–760 m Teufe).

HAGN (1955: 339) hatte die Grobsande („Phosphorit-sande“) mit den Ortenburger Meeressanden parallelisiert. RITTER (1953: 39 und 71–72) wies dagegen durch Schwermineralanalysen nach, daß sich die Grobsande der Ortenburg-Bohrungen nicht mit den Ortenburger Meeressanden in Verbindung bringen lassen. Wegen ihres vorwiegend alpinen Materials zeigen sie vielmehr Übereinstimmung mit den Phosphoritsanden Oberösterreichs. Nach neuen Erkenntnissen spricht die Foraminiferenfauna eindeutig für Unteres Ottnang. Dies soll am Beispiel der Grobsandfauna von Ortenburg 1003 (182,0–220,0 m) gezeigt werden:

Textularia gramen D'ORB.
Spiroplectammina pectinata (REUSS)
Sigmoilinita tenuis (CZJZEK)
Sigmoilopsis ottnangensis CÍCHA, ČTYRKA & ZAPLETALOVÁ
Robulus inornatus (D'ORB.)
Lagena striata (D'ORB.)
Lagena isabella (D'ORB.)
Globulina gibba (D'ORB.)
Guttulina problema (D'ORB.)
Virgulopsis tuberculata (EGGER) (auch in 1001)
Caucasina cylindrica ZAPLETALOVÁ
Fursenkoina acuta (D'ORB.)
Bolivina crenulata trunensis HOFMANN
Bolivina dilatata REUSS
Bolivina concinna (KNIPSCHER & MARTIN)
Hopkinsina bononiensis primiformis (PAPP & TURNOVSKY)
Trifarina gracilis (REUSS)
Trifarina angulosa (WILLIAMSON)
Fissurina obtusa EGGER
Elphidium flexuosum subtypicum PAPP
Elphidium matzenense PAPP
Elphidium macellum (FICHEL & MOLL)
Elphidium fichtellianum (D'ORB.)
Elphidium glabratum CUSHMAN
 „*Elphidium*“ *rugulosum* CUSHMAN & WICKENDEN
Elphidiella minuta (REUSS)
Elphidiella cryptostoma semiincisa n. ssp.
Porosononion granosum (D'ORB.)
Florilus communis (D'ORB.)
Pullenia bulloides (D'ORB.)
Melonis pompilioides (FICHEL & MOLL)
Cassidulina laevigata D'ORB.
Globocassidulina oblonga (REUSS)

Ammonia beccarii (LINNÉ)
Discorbis biaperturatus (POKORNÝ)
Gyroidina soldanii D'ORB.
Gyroidina parva CUSHMAN & RENZ
Alabamina tangentialis (CLODIUS)
Globigerina praebulloides praebulloides BLOW
Globigerina cf. *foliata* BOLLI
Globigerina ciperoensis ottnangiensis RÖGL
Globigerina dubia EGGER
Globigerina angustiumbilitata BOLLI
Globigerinoides trilobus immaturus LE ROY
Cassigerinella globulosa (EGGER)
Cibicides lobatulus (WALKER & JACOB)
Cibicidoides pseudoungerianus (CUSHMAN)
Heterolepa dutemplei (D'ORB.)
Hanzawaia boueana (D'ORB.)

Außerdem sind noch häufiger Umlagerungen festzustellen, z. B. *Uvigerina posthantkeni* PAPP, *Asterigerinata planorbis* (D'ORB.), *Planularia buergli* n. sp., *Globotruncan* und *Heterohelix*.

Als Leitformen des Ottnang können *Sigmoilopsis ottnangensis*, *Hopkinsina bononiensis primiformis* und *Globigerinoides trilobus immaturus* gelten.

In der Bohrung Ortenburg 1003 wird die Fauna von Elphidien beherrscht, während in 1002 und 1001 *Robulus* dominierend ist. Die Basis der Grobsande ist hier sehr fossilarm oder fossilleer (1001: 226,0–232,1 m).

In den anderen Bohrungen treten in Ergänzung der bisherigen Faunenlisten auf:

Ammodiscus cretaceus (REUSS) (in Ampfing 1)
Haplophragmoides canariensisformis SZTRAKOS (in Ampfing 1 und Isen 1)
Quinqueloculina cribrata (EGGER) (nur in Isen 1)
Praeglobobulimina pyrula (D'ORB.) (in 1001)
Bolivina scitula HOFMANN (in Ampfing 1)
Bolivina cf. *liebusi* HOFMANN (in Ampfing 1)
Uvigerina parviformis PAPP (in Isen 1)
Stilostomella consobrina (D'ORB.) (in 1001 und 1003)
Pullenia quinqueloba (REUSS) (in 1003)
Sphaeroidina bulloides D'ORB. (in Ampfing 1)
Oridorsalis umbonatus (REUSS) (in 1002)
Epistominella molassica (HAGN) (in 1003)
Escornebovina trochiformis (ANDREAE) (in 1001)
Globoquadrina debiscens (CHAPMAN, PARR & COLLINS) (in 1001)
Globorotalia obesa BOLLI (in 1003)

Die Fauna von Isen 1 ist sehr verarmt.

In den übrigen Bohrungen der Gegend sind folgende Abschnitte zu den Untersimbacher Schichten zu rechnen:

Birnbach 1: 128,3–181,0 m Teufe
 Weihmörting 1: 152,4–220,7 m
 Füssing 1: ?–152,1 m
 Kirchberg 1: 375,0–530,0 m
 Hartkirchen 1: 8,0–53,4 m
 Mittich 1: 6,5–39,4 m

2.1.4.3 Neuhofener Schichten

2.1.4.3.1 Verbreitung

Die Neuhofener Schichten sind ein, durch ihre typische Foraminiferenfauna eindeutig charakterisierter Horizont, der sich in der gesamten bayerischen Molasse verfolgen läßt. In Oberösterreich entspricht dieser Serie der Ottnanger Schlier, eine Parallelisierung, die auf GÜMBEL (1887: 310ff.) zurückgeht und ihre Grundlagen vor allem in der Beschreibung der Megafauna durch HOERNES (1875) besitzt. GÜMBEL traf diese Serie in Ottenberg bei Tettenweis an. Wegen der topographisch hohen Lage hielt er sie jedoch für die höchsten Schichten des Aufschlußgebiets und ordnete den Ottnanger Schlier der 2. Mediterranstufe zu (GÜMBEL 1887: 319). Die Bezeichnung Neuhofener Mergel wurde von NEUMAIER & WIESENEDER (1939: 196) eingeführt, die sie ins Helvet oder Burdigal einstuften.

Im Untersuchungsgebiet war die Neuhofener Mikrofauna an der Sur, an der Prien, im Kaltenbachgraben und Eulenbach und in den Bohrungen Ortenburg 1001, 1002 und 1003 und Ampfing 1 nachzuweisen. KNIPSCHER (1952: 58) fand sie noch in Württemberg. Über die stratigraphische Gliederung mittels Leithorizonten ist bei KNIPSCHER (1952: 57–58), HAGN (1955: 352) und HAGN (1960b) nachzulesen. Diese Methode entbehrt auch heute noch nicht ihres praktischen Wertes (vgl. WENGER 1983: 23). Trotz der weiten Verbreitung ihrer Fauna, sollte man von Neuhofener Schichten jedoch nur im niederbayerischen Raum sprechen.

2.1.4.3.2 Oberschwärzenbach

Foraminiferenfauna

Nachdem die Mergelgrube der Typlokalität Neuhofen, zwischen Tettenweis und Schmidham gelegen, mittlerweile stark verfallen ist, befindet sich der bekannteste Aufschluß dieser Serie in Oberschwärzenbach, östlich Tettenweis. Lithologisch liegen hier hellgraue, dickbankige, leicht feinsandige Mergel vor, die vereinzelt Schillagen enthalten. Sie sind z. Zt. in einer Mächtigkeit von fast 20 m aufgeschlossen. Dies entspricht der bei NEUMAIER & WIESENEDER (1939: 184) angegebenen Gesamtmächtigkeit. Weitere Informationen und eine Fossilliste sind bei HAGN et al. (1981: 263) zu finden. Eine sedimentologische Bearbeitung wurde in jüngster Zeit von NEUMANN (1983: 117) durchgeführt.

Die Foraminiferenfauna setzt sich wie folgt zusammen:

Textularia gramen D'ORB.

Spiroplectammina pectinata (REUSS)

Karreriella hantkeniana CUSHMAN

Quinqueloculina akneriana D'ORB.

Quinqueloculina cribrosa (EGGER)

Sinuoloculina consobrina (D'ORB.)

Sigmoilinita tenuis (CZJZEK)

Sigmoilopsis ottnangensis CICHÁ, ČTYROKÁ & ZAPLETALOVÁ

Robulus inornatus (D'ORB.)

Robulus vortex (FICHTEL & MOLL)

Robulus pauperculus (REUSS)

Saracenaria arcuata (D'ORB.)

Astacolus crepidulus (FICHTEL & MOLL)

Vaginulinopsis hauerina (D'ORB.)

Marginulina hirsuta D'ORB.

Dentalina communis D'ORB.

Lagena striata (D'ORB.)

Lagena sulcata (WALKER & JACOB)

Lagena semistriata WILLIAMSON

Lagena isabella (D'ORB.)

Plectofrondicularia digitalis (NEUGEBOREN)

Amphimorphina haueriana NEUGEBOREN

Globulina granulosa (EGGER)

Globulina rotundata (BORNEMANN)

Guttulina problema (D'ORB.)

Pyrulina fusiformis (ROEMER)

Glandulina ovula D'ORB.

Praeglobobulimina pyrula (D'ORB.)

Caucasina cylindrica ZAPLETALOVÁ

Fursenkoina acuta (D'ORB.)

Bolivina matejkai CICHÁ & ZAPLETALOVÁ

Bolivina crenulata trunensis HOFMANN

Bolivina dilatata REUSS

Bolivina concinna (KNIPSCHER & MARTIN)

Bolivina scitula HOFMANN

Bolivina antiqua D'ORB.

Sigmavirgulina tortuosa (BRADY)

Hopkinsina bononiensis primiformis (PAPP & TURNOVSKY)

Trifarina angulosa (WILLIAMSON)

Oolina globosa (MONTAGU)

Oolina aspera (REUSS)

Fissurina orbignyana orbignyana SEGUENZA

Fissurina laevigata REUSS

Fissurina obtusa EGGER

Stilostomella ottnangensis (TOULA)

Stilostomella adolphina (D'ORB.)

Stilostomella perscripta (EGGER)

Elphidium flexuosum flexuosum (D'ORB.)

Elphidium flexuosum subtypicum PAPP

Elphidium matzenense PAPP

Elphidium reussi MARKS

Elphidium angulatum (EGGER)

Elphidium macellum (FICHTEL & MOLL)

Elphidium fichtellianum (D'ORB.)

Elphidium hauerinum (D'ORB.)

Elphidiella heteropora (EGGER)

Elphidiella minuta (REUSS)

Elphidiella cryptostoma semiincisa n. ssp.

Elphidiella sp.

Porosonion granosum (D'ORB.)

Florilus communis (D'ORB.)

Pullenia bulloides (D'ORB.)

Pullenia quinqueloba (REUSS)

Astrononion perfossum (CLODIUS)

Melonis pompilioides (FICHTEL & MOLL)

Globocassidulina oblonga (REUSS)

Ammonia beccarii (LINNE)

Ammonia propingua (REUSS)

Rosalina globularis semiporata (EGGER)

Discorbis biaperturatus (POKORNY)

Discorbis uhligi austriacus (TOLLMANN)

Valvulineria complanata (D'ORB.)

Valvulineria petrolei (ANDREAE)

Cancris auriculus (FICHTEL & MOLL)
Gyroidina parva CUSHMAN & RENZ
Gyroidina cf. *planulata* CUSHMAN & RENZ
Alabamina tangentialis (CLODIUS)
Oridorsalis umbonatus (REUSS)
Epistominella molassica (HAGN)
Escornebovina orthorapha (EGGER)
Globigerina praebulloides praebulloides BLOW
Globigerina praebulloides leroyi BLOW & BANNER
Globigerina ciperoensis ottangiensis RÖGL
Globigerina dubia EGGER
Globigerina angustiumbilitata BOLLI
Globoquadrina debiscens (CHAPMAN, PARR & COLLINS)
Catapsydrax sp.
Cibicides lobatulus (WALKER & JACOB)
Dyocibicides truncatus (EGGER)
Cibicidoides pseudoungerianus (CUSHMAN)
Heterolepa dutemplei (D'ORB.)
Hanzawaia boueana (D'ORB.)
Planulina wuellerstorfi (SCHWAGER)

Außerdem viele Ostracoden, einige Radiolarien und Diatomeen.

Als Umlagerungen aus dem Eggenburg treten auf:

Elphidium ortenburgense (EGGER) und
Elphidiella cryptostoma cryptostoma (EGGER)

Einen Überblick über die Neuhofener Fauna gibt das Faunenbild bei HAGN (1960a: Taf. 10).

Paläobathymetrie

Das Faunenbild wird im tieferen Teil, d. h. in den unteren ca. 3 m, von *Robulus inornatus*, *Spiroplectammina pectinata* und *Sigmoilopsis ottangensis* beherrscht (neben zahlreichen Cibiciden). Diese Vergesellschaftung entspricht der klassischen Neuhofener Fauna. Dieser Abschnitt dürfte in einer Wassertiefe von 150–200 m (tiefes Neritikum) abgelagert worden sein. Nach oben zu spiegelt sich in der Änderung der Mikrofauna die allmähliche Verflachung des Otttang-Meeres wider. *Spiroplectammina pectinata* wird sehr bald zurückgedrängt, während in den folgenden 4 m *Caucasina cylindrica* stärker zunimmt. *Robulus* und *Sigmoilopsis* bleiben im ganzen Profil ziemlich konstant vertreten. Die nächsten 2 m umfassen eine Zone, in der das Benthos etwas verarmt ist, die Fauna ist sehr kleinwüchsig und Cibiciden und Globigerinen spielen eine beherrschende Rolle. In den nächsten 6,5 m stellen neben *Robulus inornatus* Elphidien das dominierende Element dar. Die Wassertiefe dürfte hier noch etwa 80 m betragen haben. Die restlichen 4 m des Aufschlusses beinhalten eine Fauna, in der *Ammonia beccarii*, neben Cibiciden und Globigerinen, stärker in den Vordergrund tritt, so daß im obersten Teil noch Wassertiefen von weniger als 50 m geherrscht haben dürften.

Die Foraminiferenvergesellschaftung dieses obersten Abschnitts erinnert schon an das Mittelotttang. Auch lithologisch könnte man hier schon von Blättermergeln sprechen. Die Leitformen des Unteren Otttang sind jedoch noch vertreten. NEUMANN (1983: 129) stellt eine Zunahme des Feinsandgehalts im oberen Teil fest. Den unteren Abschnitt der Neuhofener Mergel ordnet er der „tieferen Flachsee“ zu

(l. c. 152) und deutet ihn als Ablagerungen des Prodelatabereichs „mit nur noch geringem Deltaeinfluß“ (l. c. 135).

Diese Gliederung der Neuhofener Mergel in mehrere Faunenhorizonte ließ sich auch in anderen Aufschlüssen dieser Serie nachvollziehen, so daß eine Parallelisierung der einzelnen Lokalitäten möglich war (Abb. 4). Es stellte sich heraus, daß die auf diese Weise einander zugeordneten Probenpunkte auch in ihrer Höhenlage übereinstimmten, womit im Unteren Otttang auf ein ziemlich ausgeglichenes Bodenrelief geschlossen werden kann.

Umlagerungen

Auf die oben erwähnten Umlagerungen aus dem Eggenburg haben bereits WITT (1967: 107) und HAGN et al. (1981: 264) hingewiesen. Sie sind auch in anderen Aufschlüssen der Neuhofener Mergel zu beobachten, so z. B. in Hausmanning, Höhenmühle und Kindlbach. Die Umlagerungen von Untersimbach und Engertsham wurden bereits behandelt. Sie entstanden durch Abtragungsvorgänge auf dem Kristallinsporn des Neuburger Waldes. Die eben genannten Umlagerungen sind dagegen wohl auf Störungen zurückzuführen. Oberschwärzenbach und Höhenmühle liegen auf einer Verlängerung der Wolfach-Störung (vgl. UNGER & SCHWARZMEIER 1982: Abb. 2), Hausmanning ist nicht sehr weit davon entfernt. Kindlbach liegt direkt am Pockinger Abbruch. Dies deutet, wie auch von UNGER & SCHWARZMEIER (1982: 216) vermutet, auf noch im gesamten Otttang anhaltende Bewegungen an diesen Linien hin. Mit den Bewegungen an der Wolfach-Störung stehen auch die Umlagerungen des Unteren Otttang in den Gänshaller Sanden und die auffällige Sandschüttung dieser Serie in Zusammenhang (vgl. Kapitel 2.1.5.4). Hebungsvorgänge im Bereich der Bohrung Ortenburg 1001 nach dem Mittelotttang konnte schon HAGN (1955: 356 und Abb. 4) nachweisen („postmittelhelvetische Tektonik“). Die Heraushebung des Schichtpaketes dieser Bohrung gegenüber den beiden anderen (Ortenburg 1002 und 1003) wird jedoch nicht auf einen „Pfarrkirchener Sattel“ (WURM 1937: 323) zurückzuführen sein, sondern ist vielmehr mit dem staffelartigen Abbrechen der Pockinger Störung, die von zahlreichen, gleichlaufenden Störungen begleitet wird (vgl. UNGER & SCHWARZMEIER 1982: Abb. 2), zu erklären. Diese Schollen wurden bei der Heraushebung des Aidenbach-Griesbacher Hochs teilweise mitgeschleppt. Wie aus Abb. 3 hervorgeht, liegt die Bohrung Ortenburg 1001 sehr nahe am Pockinger Abbruch und damit wohl auf einer dieser Begleitschollen. Die Beobachtung HAGNS kann daher als weiterer Beweis für Bewegungen am Pockinger Abbruch noch nach dem Mittelotttang gelten.

2.1.4.3.3 Andere Aufschlüsse

Neuhofen:

Der Aufschluß ist in sehr schlechtem Zustand, so daß nur mehr wenige Proben entnommen werden konnten, die dem Bereich der *Sigmoilopsis-Caucasina*-Vergesellschaftung entstammen. Einen Einblick in die ehemaligen Aufschlußverhältnisse vermittelt die Beschreibung bei NEUMAIER & WIESENEDER (1939: 185).

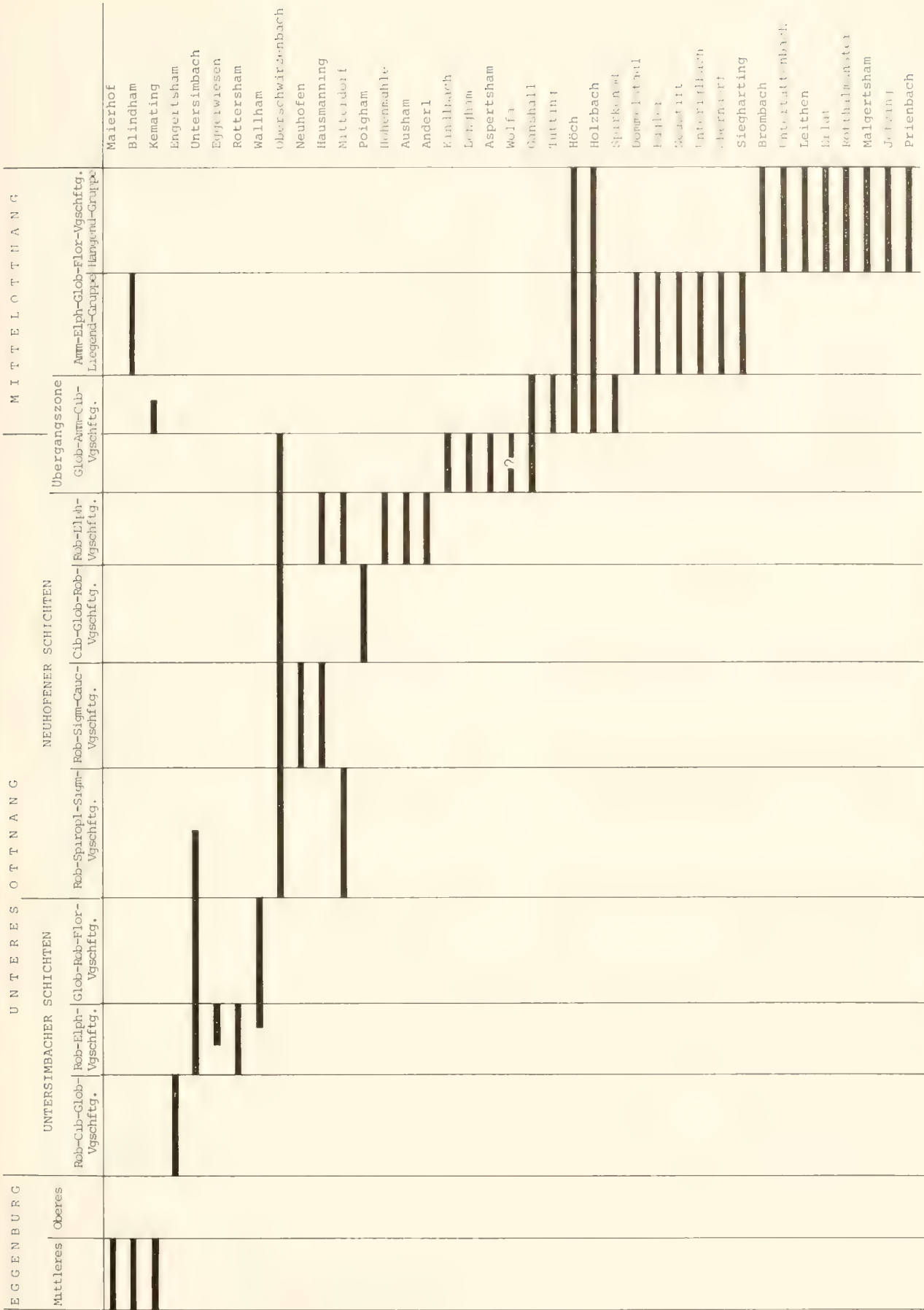


Abb. 4: Stratigraphische Position der Einzelaufschlüsse in Niederbayern.
Rob = *Robulus*, Cib = *Cibiciden*, Glob = *Globigerinen*, Elph = *Elphiden*, Flor = *Florilus*, Spiropl = *Spiroplectamina*, Sigm = *Sigmolopsis*, Cauc = *Caucasina*, Amm = *Ammonia*

Poigham:

gehört dem Verarmungshorizont mit Cibiciden und Globigerinen an.

Als Ergänzung zur Fauna von Oberschwärzenbach tritt hier

Reussella spinulosa (REUSS) auf.

Möglicherweise handelt es sich dabei um eine Umlagerung aus dem Eggenburg, da die Art sonst aus den Neuhofener Mergeln unbekannt ist.

Hausmanning:

Hier befinden sich zwei Aufschlüsse: eine aufgelassene Mergelgrube auf 340 m Meereshöhe mit einer Fauna der *Sigmoilopsis-Caucasina*-Vergesellschaftung und ein Straßenschnitt am selben Hang auf 360 m Meereshöhe im *Robulus-Elphidium*-Horizont.

Es treten im Gegensatz zu Oberschwärzenbach *Globulina gibba* (D'ORB.) und *Sphaeroidina bulloides* D'ORB. auf.

Als Umlagerungen aus dem Eggenburg sind *Elphidium ortenburgense* (EGGER) *Elphidium fichtellianum* (D'ORB.) *Elphidiella subcarinata* (EGGER) zu nennen.

Kindlbach:

Der Aufschluß ist im Frühjahr 1984 im Zuge des Ausbaus der B 388 abgetragen worden. Er umfaßte den obersten Teil der Neuhofener Schichten (Globigerinen-Cibiciden-Vergesellschaftung) und damit den Übergangsbereich zum Mittelottnang. Schon bei AMMON (1888: 4) und NEUMAIER & WIESENEDER (1939: 184 ff.) ist er kurz erwähnt. Mikrofaunistisch war vor allem eine reiche Planktonfauna bemerkenswert.

Die Faunenliste der Neuhofener Mergel ergänzt sich um folgende Arten:

Bolivina hebes MACFADYEN
Bolivina pokorny serrata CÍCHA & ZAPLETALOVA
Coryphostoma digitalis (D'ORB.)
Trifarina bradyi CUSHMAN
Stilostomella consobrina (D'ORB.)
Elphidium glabratum CUSHMAN
 „*Elphidium*“ *rugulosum* CUSHMAN & WICKENDEN
Asterigerinata planorbis (D'ORB.)
Globigerina dubia EGGER
Globigerina venezuelana HEDBERG
Globigerinoides trilobus immaturus LE ROY
Globorotalia acrostoma WEZEL
Globorotalia obesa BOLL

Als Umlagerungen treten *Elphidium ortenburgense* und *Elphidium macellum* auf. Sie sind auf die Nähe des Pockinger Abbruchs zurückzuführen.

Lengham:

Die Probe stammt aus einem Bauaufschluß und entspricht der Übergangszone mit der Globigerinen-Cibiciden-Vergesellschaftung.

Höhenmühle:

Die Mergelgrube wurde von NEUMAIER & WIESENEDER (1939: 184, 186) und BERCHER (1969: 3) beschrieben und in jüngster Zeit von NEUMANN (1983: 115) mit Oberschwärzenbach sedimentologisch verglichen. Sie umfaßt die *Robulus-Elphidium*-Vergesellschaftung und die darunterliegende Verarmungszone. Im Gegensatz zu Oberschwärzenbach sind hier mit etwas mehr Polymorphiniden und *Elphidium glabratum* schon Flachwassereinflüsse zu verspüren. Als Umlagerung aus dem Eggenburg tritt *Elphidium ortenburgense* auf.

Untersimbach:

Im Hangenden der Untersimbacher Schichten treten hier Neuhofener Mergel auf, die der Basis von Oberschwärzenbach mit der *Spiroplectamina-Sigmoilopsis*-Vergesellschaftung entsprechen. Auffällig ist die Zunahme der Polymorphiniden, die auf flachere Wasserverhältnisse schließen lassen. Die Fauna von Oberschwärzenbach wird ergänzt durch:

Lagena laevis (MONTAGU)
Lagena clavata (D'ORB.).

Gegenüber den Untersimbacher Schichten dürfte sich die Wassertiefe geringfügig erhöht haben.

Mitterdorf:

Der Hauptaufschluß bestand nur während der Straßenbauarbeiten für den Ausbau der Verbindung Fürstzell–Griesbach. Er wurde von HAGEN et al. (1981: 267) bearbeitet. Heute existiert nur mehr eine kleine Fundstelle im Ortszentrum.

In die Mergelserie war eine Grobsandlage eingeschaltet, die sich als äußerst fossilreich erwies. Wegen der schon sehr randnahen Lage des Aufschlusses muß es sich um eine litorale Schüttung handeln, die jedoch nichts mit dem nahegelegenen Gänshall zu tun hat, wie ein Vergleich der Mikrofauna zeigte.

Die Proben umfassen die *Spiroplectamina-Sigmoilopsis*- und die *Robulus-Elphidium*-Vergesellschaftung. In Ergänzung der Neuhofener Fauna waren zu finden:

Vaginulinopsis carinata SILVESTRI
Stilostomella verneuilii (D'ORB.)
Gyroidina soldanii D'ORB.

Gegenüber Oberschwärzenbach fallen sehr großwüchsige *Elphidium fichtellianum* auf, die zusammen mit der erwähnten Grobsandschüttung auf die randnahe Lage und vielleicht etwas flachere Wasserverhältnisse schließen lassen.

Ausham:

Lithologisch kann man bei den hier anstehenden Schichten bereits zweifellos von Blättermergeln sprechen. Es handelt sich um dünnblättrige Mergel mit dünnen Feinsandlagen dazwischen. Die Fauna gehört noch ins Untere Ottnang und entspricht der *Robulus-Elphidium*-Vergesellschaftung. Auffällig sind Exemplare von *Elphidium fichtellianum* mit über 2 mm Größe. Diese, sowie das Fehlen von *Sigmoilopsis ottangensis* und die Häufigkeit von *Ammonia beccarii*, sprechen für bereits ziemlich flache Wasserverhältnisse. Die Tiefe dürfte 50 m nur mehr unwesentlich überschritten haben.

Aspertsham:

Die Probe entstammt einem Bauaufschluß. Die Faunenvergesellschaftung entspricht dem Übergangsbereich (Globigerinen-Cibiciden-Horizont). Als Besonderheit tritt hier auf: *Stilostomella cf. elegantissima* (D'ORB.)

Wolfa:

ist nicht mit Sicherheit dem Unteren Otnang zuzuordnen.

Der Aufschluß Anderl und die Bohrung Brunndobl werden in Kapitel 2.1.6 detailliert behandelt.

Bohrungen Ortenburg 1001, 1002 und 1003:

(1001: 140,4–171,5 m; 1002: 262,0–311,9 m; 1003: 155,0–169,0 m)

An der Basis der Neuhofener Schichten tritt in diesen Bohrungen, sowie in Ampfing 1, ein Horizont auf, in dem Alabaminiden und *Astrononion* auffällig angereichert sind. In der Bohrung Ortenburg 1003 ist es *Alabamina tangentialis*, die jedoch beckenwärts von *Astrononion perfossum* verdrängt wird. Diese ist in Ortenburg 1001 sehr häufig, *Alabamina* ist ebenfalls noch stark vertreten. In Ortenburg 1002 dominieren *Oridorsalis umbonatus* und *Astrononion perfossum*, in Ampfing 1 letzterer allein.

Als Besonderheit ist in Ortenburg 1002

Dentalina brevis D'ORB. anzutreffen.

Die Faziesgliederung von Oberschwärzenbach läßt sich auf diese Profile nicht mehr übertragen. Die Verflachung des Meeres wird aber auch hier deutlich. In 1003 nimmt im oberen Teil *Ammonia beccarii* sehr stark zu. Auffällig ist hier in der gesamten Neuhofener Serie das fast völlige Fehlen von *Spiroplectamina pectinata* und von Elphidien. In 1002 nehmen im oberen Teil, wie in Oberschwärzenbach, Globigerinen überhand.

Im Vergleich zu Oberschwärzenbach sind in allen drei Bohrungen *Heterolepa dutemplei* auffällig häufig, und Elphidien stark unterrepräsentiert. Dies ist mit der mehr beckenwärts orientierten Lage zu erklären, außerhalb des Pockinger Abbruchs.

Bohrung Ampfing 1:

(Proben von 560,5–620 m Teufe)

Hier liegt an der Basis ein *Astrononion perfossum*-reicher Horizont. Gegenüber Oberschwärzenbach ist *Heterolepa dutemplei* sehr häufig und *Spiroplectamina pectinata* weitgehend durch *Textularia gramen* ersetzt. Elphidien und Ammonien fehlen praktisch völlig.

2.1.5 Mittelottnang

2.1.5.1 Paläogeographie

Wie sich in Oberschwärzenbach zeigte, vollzog sich im Unteren Otnang eine allmähliche Verflachung des Meeres, die dann im Mittelottnang ihren Höhepunkt erreichte. Trotz dieses Vorganges erlangte das Meer dabei seine größte Ausdehnung. Dies wird am deutlichsten in Maierhof, wo über dem Eggenburg ein Verwitterungshorizont vorliegt, der von

Mittelottnang-Sedimenten überlagert wird. Während des Unteren Otnang war dieser Bereich also trockengelegt. VOLZ (1953: 208) drückte diesen Sachverhalt mit den Worten aus, „...das Molassebecken wird flacher, aber seine Fläche größer“. Mit der Verflachung des Otnang-Meeres kam es zur Ausbildung stärker sandiger Sedimente. Dies reicht von dünnblättrigen Mergeln mit mehr oder weniger dünnen Sandzwischenlagen bis zur Ausbildung mächtiger Glaukonitsand-Komplexe, wie sie z. B. die Brombacher Sande darstellen und in der Umgebung von Griesbach weit verbreitet sind. Die Lithologie wechselt aufgrund eines stark gegliederten Reliefs lateral, ebenso wie vertikal, sehr rasch. Eine schematische Darstellung dieser sedimentologischen Verhältnisse versucht WOLF (1956: Abb. 11) zu geben. Im Detail sind die lithologischen Änderungen und Verzahnungen jedoch bedeutend komplizierter und nicht in strenge Regeln zu pressen (vgl. MAYR 1957: 315 ff., 367). Durch die starke Wasserbewegung, bedingt durch die flachen Wasserverhältnisse, war der Meeresboden in zahlreiche Bodensenken und Wälle gegliedert. In den geschützteren Beckenlagen kam es zu mergeligere Sedimentation, während in ihren Randbereichen und auf den Wällen durch die Strömung der Schlämmenteil weitgehend ausgewaschen wurde. Die Abfolgen von Holzbach und Höch werden als Litoralbildungen, von STADLER (1926: 80) als Deltaschüttungen gedeutet. Aufgrund dieser zahlreichen Kleinbiotope ändert sich auch die Zusammensetzung der Foraminiferenfauna von Ort zu Ort recht deutlich.

2.1.5.2 Holzbach

Die Serie von Holzbach ist erstmals von SUESS (1891: 420) bearbeitet worden, der sie bereits einem höheren Niveau zuordnete als die Ortenburger Meeressande und sie mit Rainbach gleichsetzte. STADLER (1926: 80) glaubte dagegen, sie mit Maierhof parallelisieren zu können. HAGN et al. (1981: 269) gaben eine Aufschlußbeschreibung und eine Fossilliste dieser Lokalität.

Auf Malmkalken, die bei Spirkenöd auf 380 m Meereshöhe anstehen, liegen in Holzbach transgressiv grobkörnige Glaukonitsande, die als Meeressande bezeichnet werden. Sie sind häufig schräggeschichtet und enthalten sehr viel Schalenschutt, vor allem von Ostreen und *Chlamys*, was auf sehr bewegtes Milieu schließen läßt. Darüber folgt eine Wechsellagerung von feinblättrigen, sandigen Mergeln und dm-mächtigen, groben Glaukonitsanden, die auf eine etwas ruhigere Sedimentation hindeutet.⁵⁾

Die basalen Meeressande lieferten folgende kleinwüchsige Foraminiferenfauna:

Caucasina cylindrica ZAPLETALOVA

Fursenkoina acuta (D'ORB.)

Fissurina orbignyana orbignyana SEGUENZA

Elphidium flexuosum subtypicum PAPP

Elphidium hauerinum (D'ORB.)

Elphidiella heteropora (EGGER)

Elphidiella cryptostoma semiincisa n. ssp.

Porosononion granosum (D'ORB.)

⁵⁾ Das Profil ist in UNGER (1984b: Abb. 18) dargestellt.

Florilus communis (D'ORB.)
Ammonia beccarii (LINNÉ)
Globigerina praebulloides praebulloides BLOW
Globigerina angustiumbilitata BOLLI
Cibicoides pseudoungerianus (CUSHMAN)
 dazu eine umgelagerte *Globotruncana*.

Die Foraminiferenfauna weist auf sehr flache Wasserverhältnisse hin. Sie wird beherrscht von sehr anspruchslosen und primitiven Formen (*Ammonia*, *Elphidiella heteropora*, *Florilus*) und Globigerinen.

Die darüber folgende mergelig-sandige Serie führt eine etwas reichere Fauna:

Robulus inornatus (D'ORB.)
Caucasina cylindrica ZAPLETALOVA
Virgulinella cf. pertusa (REUSS)
Bolivina crenulata trunensis HOFMANN
Bolivina dilatata REUSS
Hopkinsina bononiensis primiformis (PAPP & TURNOVSKY)
Trifarina angulosa (WILLIAMSON)
Fissurina orbignyana orbignyana SEGUENZA
Fissurina laevigata REUSS
Fissurina obtusa EGGER
Stilostomella perscripta (EGGER)
Elphidium crispum (LINNÉ)
Elphidium flexuosum subtypicum PAPP
Elphidium hauerinum (D'ORB.)
Elphidium glabratum CUSHMAN
 „*Elphidium*“ *rugulosum* CUSHMAN & WICKENDEN
Elphidiella heteropora (EGGER)
Elphidiella minuta (REUSS)
Porosonion granosum (D'ORB.)
Florilus communis (D'ORB.)
Cassidulina laevigata D'ORB.
Ammonia beccarii (LINNÉ)
Gyroidina parva CUSHMAN & RENZ
Globigerina praebulloides praebulloides BLOW
Globigerina praebulloides leroyi BLOW & BANNER
Globigerina ciperoensis ottnangensis ROGL
Globigerina dubia EGGER
Globorotalia acrostoma WEZEL
Hanzawaia boueana (D'ORB.)

Als Umlagerung aus dem Eggenburg wurde *Elphidium felse* PAPP gefunden.

Die Zusammensetzung der Fauna ändert sich im Profil nur unwesentlich. Sie wird beherrscht von *Ammonia*, *Elphidiella* und *Florilus*. Daneben sind Globigerinen ziemlich häufig. Nach oben zu macht sich jedoch ein starker Rückgang der Artenzahl bemerkbar. In der höchsten Probe wurden nur mehr *Ammonia beccarii*, *Florilus communis* und Ostracoden gefunden. Der Übergang in die Süßbrackwassermolasse vollzieht sich also bereits innerhalb der Blättermergelfazies.

2.1.5.3 Höch

Die Sandgrube Höch war einst der berühmteste Aufschluß der Litoralfazies des Mittelottnang-Meeres und außerdem eine reiche Fundstelle für Fossiliensammler. Leider fiel sie

dem Autobahnbau zum Opfer. Kurz vor der Einebnung wurde die Serie noch von SEITNER (1977) eingehend bearbeitet, die auch eine umfangreiche Liste der Megafauna angibt. Einen letzten Eindruck der hervorragenden Aufschlußverhältnisse vermitteln noch die Fotos bei HAGN et al. (1981: Abb. G3/1–2).

Der Profilbeschreibung SEITNERS (1977: Faltafel 1 und S. 6ff. des 2. Teils, veröffentlicht in UNGER 1984a: 91ff., Abb. 16) folgend, lagern auf ca. 420 m Meereshöhe etwa 3–6 m mächtige Grobsande transgressiv auf dem Granit des Neuburger Waldes. Die Megafauna dieses Horizonts spricht für Mittelhelvet (SEITNER 1977 Teil 2: 55). Darüber liegt eine 4 m mächtige Übergangszone, die von ca. 12 m schrägschichteten Sanden abgelöst wird. Den Abschluß bildet ein 4 m umfassender „Stillwasserbereich“ aus Sanden und Blättermergeln in Wechsellagerung. SEITNER (1977 Teil 2: 72ff.) beschreibt Höch als Insel oder Halbinsel, die allmählich vom Mittelottnang-Meer überflutet wurde, UNGER (1984a: 95 + Abb. 15) als Küste, die durch Buchten und Kristallinschwellen kleinräumig gegliedert war.

Die basalen Transgressionssande enthielten folgende Foraminiferenfauna:

Spiroplectammina pectinata (REUSS)
Robulus inornatus (D'ORB.)
Caucasina cylindrica ZAPLETALOVA
Bolivina crenulata trunensis HOFMANN
Bolivina dilatata REUSS
Bolivina concinna (KNIPSCHER & MARTIN)
Bolivina antiqua D'ORB.
Hopkinsina bononiensis primiformis (PAPP & TURNOVSKY)
Trifarina bradyi CUSHMAN
Stilostomella ottnangensis (TOULA)
Elphidium flexuosum flexuosum (D'ORB.)
Elphidium flexuosum subtypicum PAPP
Elphidium macellum (FICHEL & MOLL)
Elphidium hauerinum (D'ORB.)
 „*Elphidium*“ *rugulosum* CUSHMAN & WICKENDEN
Elphidiella heteropora (EGGER)
Elphidiella minuta (REUSS)
Elphidiella cryptostoma semiincisa n. ssp.
Porosonion granosum (D'ORB.)
Florilus communis (D'ORB.)
Astrononion perfossum (CLODIUS)
Globocassidulina oblonga (REUSS)
Ammonia beccarii (LINNÉ)
Gyroidina parva CUSHMAN & RENZ
Globigerina praebulloides praebulloides BLOW
Globigerina dubia EGGER
Globigerina angustiumbilitata BOLLI
Globorotalia acrostoma WEZEL
Globoquadrina debiscens (CHAPMAN, PARR, & COLLINS)
Cassigerinella globulosa (EGGER)
Cibicides lobatulus (WALKER & JACOB)
Cibicoides pseudoungerianus (CUSHMAN)
Heterolepa dutemplei (D'ORB.)
Hanzawaia boueana (D'ORB.)

Als Umlagerung aus dem Eggenburg trat *Elphidium orten-burgense* (EGGER) auf.

Die Fauna ist deutlich reicher als in Holzbach. Auch ihre Zusammensetzung weist wesentliche Unterschiede gegenüber dieser Lokalität auf. In Höch sind Cibiciden, vor allem *Hanzawaia*, stärker vertreten, dafür ist *Elphidiella heteropora* seltener als in Holzbach. *Elphidiella minuta* dagegen fehlt im basalen Teil von Holzbach völlig, während sie im Osten ziemlich häufig ist. Hier treten auch echte Elphidien häufiger auf, nicht nur primitive Formen (*Elphidiella*) wie in Holzbach.

Insgesamt dominieren in den Basissanden von Höch Cibiciden, Elphidien (vor allem *Elphidiella minuta*), *Ammonia beccarii* und Globigerinen. Außerdem ist *Robulus* relativ häufig. Die Wasserverhältnisse waren sehr flach.

Der Unterschied in der Mikro- und Megafauna zwischen Holzbach und Höch könnte auf den trennenden Einfluß des Gurlarner Granitsporns zurückzuführen sein (vgl. WOLF 1954: Abb. 8 und geologische Karte), der sich aber wohl nur als submarine Schwelle auswirkte (vgl. auch UNGER 1984a: Abb. 15).

Bemerkenswert ist noch das Auftreten von *Spiroplectamina pectinata* und *Stilostomella ottnangensis*, Formen, die normalerweise im niederbayerischen Mittelottnang nicht vertreten sind. Auf diesen Punkt wird später noch einzugehen sein (Kapitel 2.1.6).

Die Mikrofauna der hangenden Serie unterscheidet sich nicht wesentlich von der von Holzbach. Ergänzend treten auf:

Elphidium macellum (FICHTEL & MOLL)
Cancris auriculus (FICHTEL & MOLL)
Cibicides lobatulus (WALKER & JACOB)

In der Nähe von Höch lag früher auf 380 m Meereshöhe der Aufschluß Perzl, der heute nicht mehr existiert. Eine Beschreibung und eine Fossilliste dieser Lokalität ist bei EDER (1954: 10ff. und 18ff.) zu finden, der die Serie ins Mittelhelvet einstuft (l. c. 21), sowie bei STADLER (1926: 81).

2.1.5.4 Gänshall

Nur ca. 2 km nördlich Höhenmühle, wo auf 365 m Meereshöhe Neuhofener Mergel anstehen, liegt der Aufschluß Gänshall, am westlichen Talhang beim gleichnamigen Weiler. Die Serie ist als „Gänshaller Sande“ in der Literatur bekannt und wurde von NEUMAIER & WIESENER (1939: 187) und BERCHER (1969: 8) im Detail beschrieben. Auf 385 m Meereshöhe stand hier eine Wechsellagerung aus Feinsanden und Mergeln mit einzelnen Grobsandeinschlüssen an. Das Material dieser klastischen Schüttungen ist nach NEUMAIER & WIESENER (1939: 236) ausschließlich alpiner Herkunft.

Von dem ursprünglich sehr gut aufgeschlossenem Profil ist heute nur mehr der obere Teil erhalten, der einen stark feinsandigen, blättrigen Sandmergelkomplex mit zahlreichen weißen Mergelknöllchen umfaßt und von braunen Grobsanden überlagert wird. Diese Schichten lieferten die reichste Mikrofauna des bayerischen Mittelottnang:

Textularia gramen D'ORB.
Siphonotextularia concava (KARRER)
Robulus inornatus (D'ORB.)

Vaginulinopsis elegans (HANTKEN)
Dentalina communis D'ORB.
Lagena striata (D'ORB.)
Lagena hispida REUSS
Lagena clavata (D'ORB.)
Plectofrondicularia digitalis (NEUGEBOREN)
Amphimorphina haueriana NEUGEBOREN
Caucasina cylindrica ZAPLETALOVÁ
Reussella spinulosa (REUSS)
Fursenkoina acuta (D'ORB.)
Bolivina crenulata trunensis HOFMANN
Bolivina dilatata REUSS
Coryphostoma digitalis (D'ORB.)
Hopkinsina bononiensis primiformis (PAPP & TURNOVSKY)
Trifarina bradyi CUSHMAN
Oolina globosa (MONTAGU)
Fissurina orbignyana orbignyana SEGUENZA
Stilostomella perscripta (EGGER)
Stilostomella verneuili (D'ORB.)
Elphidium flexuosum flexuosum (D'ORB.)
Elphidium flexuosum subtypicum PAPP
Elphidium matzenense PAPP
Elphidium macellum (FICHTEL & MOLL)
Elphidium glabratum CUSHMAN
 „*Elphidium*“ *rugulosum* CUSHMAN & WICKENDEN
Elphidiella heteropora (EGGER)
Elphidiella minuta (REUSS)
Elphidiella cryptostoma semiincisa n. ssp.
Porosonion granosum (D'ORB.)
Florilus communis (D'ORB.)
Astronionion perfossum (CLODIUS)
Ammonia beccarii (LINNÉ)
Rosalina globularis semiporata (EGGER)
Discorbis biaperturatus (POKORNÝ)
Cancris auriculus (FICHTEL & MOLL)
Gyroidina parva CUSHMAN & RENZ
Alabamina tangentialis (CLODIUS)
Globigerina praebulloides praebulloides BLOW
Globigerina ciperoensis ottnangensis RÖGL
Globigerina dubia EGGER
Globigerina angustiumbilitata BOLLI
Globoquadrina debiscens (CHAPMAN, PARR & COLLINS)
Cibicides lobatulus (WALKER & JACOB)
Cibicidoides pseudoungerianus (CUSHMAN)
Heterolepa dutemplei (D'ORB.)
Hanzawaia boueana (D'ORB.)

Sehr zahlreich sind die Umlagerungen aus dem Unteren Ottnang mit u. a.:

Spiroplectamina pectinata (REUSS)
Sigmoilopsis ottnangensis ČIČHA, ČTYROKÁ & ZAPLETALOVÁ
Stilostomella ottnangensis (TOULA)

Die Umlagerungen und die stark sandige Ausbildung der Serie sind auf Bewegungen an der Wolfach-Linie an der Wende Unter-/Mittelottnang zurückzuführen. Sie ließen sich auch in der Bohrung Ortenburg 1001 feststellen.

Als Häufigkeitsformen sind, neben *Hopkinsina*, vor allem *Ammonia beccarii* und *Elphidiella heteropora*, sowie Globigerinen von Bedeutung. Diese Vergesellschaftung läßt auf flach-neritische Wasserverhältnisse schließen (ca. 30–50 m).

Sehr auffällig in der Mikrofauna ist die große Häufigkeit von *Hopkinsina bononiensis primiformis* und *Elphidium glabratum*, die sich auch in den Aufschlüssen Kugler, Blindham (Mittelottnang-Anteil) und Neustift feststellen ließ. Sie erlaubt eine Parallelisierung mit diesen Lokalitäten und damit eine Einstufung ins Mittelottnang, trotz der zahlreichen Umagerungen, die sich jedoch auch durch ihren Erhaltungszustand von der autochthonen Fauna abheben.

Gegen die Ansicht, bei den Gänshaller Sanden handle es sich um die Randfazies der Neuhofener Mergel, spricht auch die Höhenlage. Die Basis des Aufschlusses liegt ca. 20 m höher als das nur 2 km südlich gelegene Höhenmühle und 10 m höher als das ebenso weit östliche Mitterdorf. Die Grobsandschüttung von Mitterdorf steht, wie bereits erwähnt, mit den Gänshaller Sanden mikrofaunistisch in keinem Zusammenhang. Außerdem kamen durch Grabung am Hangfuß die tiefsten Lagen mit festen, grauen, sandarmen, bankigen, z. T. blättrigen, z. T. stark tonigen und harten Mergeln zutage. Die Mikrofauna setzt sich vorwiegend aus Elphidien und *Ammonia* zusammen. Dazu tritt aber noch häufig *Robulus* und vereinzelt *Stilostomella ottmannensis*. Diese Schichten lassen sich damit eindeutig dem höchsten Teil der Neuhofener Mergel (Übergangsbereich) zuweisen und den oberen Partien von Kindlbach gleichsetzen. Die Gänshaller Sande ruhen somit direkt auf den jüngsten Schichten der Neuhofener Mergel und kommen somit nicht als deren Randfazies in Frage. Auch WOLF (1956: 24) parallelisierte sie mit Holzbach.

Gänshaller Sande kann man auch in einem verfallenen Aufschluß bei Thiersbach noch vermuten, der ebenfalls auf der verlängerten Wolfach-Linie liegt.

2.1.5.5 Brombach

Der eigentliche Aufschluß Brombach liegt in der Kellerbergstraße auf 365 m NN, ist jedoch in nicht mehr sehr gutem Zustand. Es stehen aber gleich in der Nähe, an der B 388, helle, leicht glaukonitische Feinsande mit sehr dünnen Mergellagen an, die dieselbe Mikrofauna führen. Die Serie wird als Brombacher Sande bezeichnet. Schon GUMBEL (1887: 304) gab eine lange Liste der Megafauna dieser Lokalität. Von KRAUS (1938: 18) wurde sie mit den Ortenburger Meeressanden gleichgesetzt und ins Burdigal eingestuft. NEUMAIER & WIESENER (1939: 196) und ZÖBELEIN (1940: 240) stellten sie übereinstimmend ins Helvet. Ihr Material ist rein alpiner Herkunft (NEUMAIER & WIESENER 1939: 236).

Die Mikrofauna ist sehr großwüchsig, aber auch sehr monoton:

Globulina gibba (D'ORB.)
Globulina granulosa (EGGER)
Hopkinsina bononiensis primiformis (PAPP & TURNOVSKY)
Elphidium flexuosum subtypicum PAPP
Elphidiella heteropora (EGGER)
Elphidiella minuta (REUSS)
Florilus communis (D'ORB.)
Ammonia beccarii (LINNÉ)
Cibicides lobatulus (WALKER & JACOB)
Cibicoides pseudoungerianus (CUSHMAN)

Es dominieren *Elphidiella* und *Ammonia*.

Der Aufschluß gehört, ebenso wie die von Untertattenbach, Leithen, Malgertsham, Rothalmünster, Erlat, Jetzing und Prienbach bereits dem höheren Teil der Mittelottnang-Serie an. WOLF (1956: 25) deutet die Brombacher Sande als „...küstennahe Fazies des zurückziehenden Helvetmeeres.“⁶⁾

2.1.5.6 Bryozoenkalke von Dommelstadt

Auf dem Kristallinsporn des Neuburger Waldes kann man nördlich Dommelstadt, im Langsambruckbach auf 400 m Meereshöhe mit einiger Mühe Reste von Bryozoenkalken finden, die schon von GUMBEL (1887: 303 und 1894: 376) beschrieben und mit den Nulliporenkalken von Eggenburg verglichen wurden. AMMON (1888: 3) befaßte sich genauer mit den organischen Komponenten und stellte die Kalke ins Mittelmiozän. STADLER (1926: 82) deutete sie als „...oberste Schicht der untersten Meeressande...“, UNGER (1984a: 101) stuft sie nach AMMON (1888) ins Mittelottnang ein.

Es liegen gelblich-weiße, von Bryozoenstöckchen und -schutt strutzende Kalke vor, die aufgearbeitete Gneissplitter des Untergrundes einschließen. Als organische Bestandteile ließen sich außerdem Schalenfragmente von *Chlamys* und *Dentalium*, Balaniden, Anneliden und Seeigelstacheln feststellen.

Die Kalke sind z. T. mergelig, so daß aus ihnen eine reiche Foraminiferenfauna ausgeschlämmt werden konnte:

Ammodiscus cretaceus (REUSS)
Textularia gramen D'ORB.
Globulina gibba (D'ORB.)
Pseudopolymorphina incerta (EGGER)
Caucasina cylindrica ZAPLETALOVA
Bolivina crenulata trunensis HOFMANN
Bolivina concinna (KNIPSCHER & MARTIN)
Bolivina ? scitula HOFMANN
Hopkinsina bononiensis primiformis (PAPP & TURNOVSKY)
Trifarina angulosa (WILLIAMSON)
Fissurina obtusa EGGER
Elphidium flexuosum subtypicum PAPP
Elphidium matzenense PAPP
Elphidium hauerinum (D'ORB.)
Elphidium glabratum CUSHMAN
Elphidiella heteropora (EGGER)
Elphidiella minuta (REUSS)
Porosonion granosum (D'ORB.)
Florilus communis (D'ORB.)
Ammonia beccarii (LINNÉ)
Pararotalia rimosa (REUSS)
Rosalina globularis semiporata (EGGER)
Globigerina praebulloides praebulloides BLOW
Globigerina angustiumbilitata BOLLI
Globorotalia acrostoma WEZEL
Cassigerinella globulosa (EGGER)
Cibicides lobatulus (WALKER & JACOB)
Cibicoides pseudoungerianus (CUSHMAN)
Hanzawaia boueana (D'ORB.)

⁶⁾ UNGER (1984b: 93, Abb. 17) interpretiert die Brombacher Sande als Rinnenfüllung eines NE-SW-laufenden Strömungssystems.

Es dominieren Elphidien und Rotalien. Auffällig häufig ist *Cassigerinella globulosa*. Einige Exemplare von *Spiroplectammina pectinata* (REUSS) sind wahrscheinlich auf Umlagerungen zurückzuführen.

Im Mittelottnang war somit auch der Kristallinsporn des Neuburger Waldes vom Meer überflutet. In diesem extremen Seichtwasserbereich bildeten sich die Bryozoenriffe aus. Wie bereits geschildert (Kapitel 2.1.4.2.3), zeugt der Bryozoen-schutt von Engertsham davon, daß auf dem Neuburger Kristallin auch im Eggenburg ein Bryozoenriff existiert haben muß.

2.1.5.7 Andere Aufschlüsse

Kemating:

Über dem Eggenburg tritt in diesem Aufschluß eine Serie auf, die dem Mittelottnang zuzuordnen ist. Die Basis bildet ein Schillhorizont, dessen Mikrofauna der von Holzbach und Höch entspricht.

Spirkenöd:

gehört nach der Mikrofauna ebenfalls zur Litoralgruppe um Höch und Holzbach. Der Aufschluß ist in sehr schlechtem Zustand. Die Mittelottnang-Sedimente liegen hier auf ca. 380 m Meereshöhe transgressiv auf Malmkalken. Der Aufschluß wurde von STADLER (1926: 78 und 80) und WOLF (1954: 13) beschrieben.

Kugler:

Der Aufschluß liegt bei Voglarn und besteht nur aus einer kleinen Fundstelle sandarmer Mergel einige Meter südlich der von SCHLICKUM (1964: 54) unter der Lokalitätsangabe Hechberger als Mehlsande beschriebenen Mergelgrube, am Ende des Feldweges, der zum Anwesen Kugler hinaufführt. Er befindet sich auf etwa 385 m Meereshöhe. Im Acker unterhalb liegen Reste von Ostreen und *Chlamys* verstreut.

Die weichen Mergel enthielten eine sehr reiche Foraminiferenfauna, in der Elphidien (vor allem *Elphidiella heteropora*) und *Ammonia beccarii* dominieren. Als besonders markante Formen treten häufig *Hopkinsina bononiensis primiformis* (P. & T.) und *Elphidium glabratum* CUSHMAN auf. Insgesamt ähnelt die Fauna der von Gänschall.

Als Besonderheiten wurden beobachtet:

Guttulina praelonga (EGGER) (auch in Neustift)
Bulimina striata D'ORB. (auch in Neustift und Erlat)
Elphidium angulatum (EGGER)

Die Fauna enthält außerdem sehr viel umgelagertes Oligozän-Plankton mit u. a.

Globigerina onachitaensis HOWE & WALLACE
Globorotalia obesa BOLLI
Globorotalia opima BOLLI

Neustift:

Im Granitbruch Neustift liegen auf etwa 360 m Meereshöhe Grobsande des Ottnang transgressiv auf Granit. Darüber folgen mergeligere Schichten, deren Mikrofauna der vom Kugler entspricht. Als Besonderheit wurden noch

Protelphidium roemeri (CUSHMAN) und
Globorotalia obesa BOLLI festgestellt.

Die Transgressionssande sind von SCHREYER (1955: 70) sedimentpetrographisch analysiert worden. WOLF (1956: 23 ff.) parallelisierte sie mit Maierhof und stellte sie ins Burdigal. PAPP & STEININGER (1973: 30) erwähnten aus Neustift *Pecten (Flabellipecten) hermansenni* DUNKER und deuteten den Aufschluß als „...Randfazies des tieferen Ottnangien...“, äquivalent den Grobsanden von Rainbach. Eine Beschreibung der Lokalität gaben HAGN et al. (1981: 278).

Blindham:

Direkt gegenüber Neustift, jenseits der Wolfach-Störung, bilden in der Sandgrube Blindham (Werk Greisel) Malmkalke die Basis. Sie sind im Ortenburger Senkungsdreieck vor der Erosion bewahrt worden, ebenso wie die darüberliegenden Eggenburg-Sedimente. Diese werden wiederum transgressiv von Mittelottnang überlagert (vgl. HAGN et al. 1981: Abb. G5), das auf ca. 370–380 m Meereshöhe ansteht. Es handelt sich, ähnlich wie in Holzbach, um eine Wechsellagerung von sandigen Mergeln und Glaukonitsanden. Die Mikrofauna ist identisch mit der vom Kugler und von Neustift. Besonders zu erwähnen ist

Uvigerina cichai REISER

Unteriglbach:

entspricht weitgehend Neustift, Kugler, Blindham und Gänschall. Als Besonderheit tritt

Bolivina matejkai CÍCHA & ZAPLETALOVÁ auf.

Oberndorf:

Gegenüber Oberndorf, bei Kainerding, steht am E-Ufer des Luderbaches auf 360 m NN eine 5 m mächtige Serie von feinsandigen Mergeln an, die eine außergewöhnlich großwüchsige und reiche Mikrofauna führen. Es dominieren Elphidien mit *Elphidium glabratum* CUSHMAN, *Elphidiella heteropora* (EGGER), *Elphidiella minuta* (REUSS) und *Porosonion granosum* (D'ORB.). Daneben fallen noch großwüchsige Ammonien auf. Im höheren Teil tritt häufiger *Hopkinsina* hinzu, außerdem noch

Melonis pompilioides (FICHTEL & MOLL)

In ihrer Zusammensetzung und Ausbildung erinnert die Fauna ein wenig an die der Brombacher Sande.

Der Aufschluß, sowie der folgende, ist bei HAAS (1981: 27) genauer beschrieben.

Siegharting:

Das kleine Anwesen liegt südlich Bayerbach auf ca. 370 m Meereshöhe. Die leicht sandigen Mergel enthalten Lagen, die reich an Gastropoden und Lamellibranchiaten sind. Die Mikrofauna entspricht der von Oberndorf, lediglich *Robulus inornatus* (D'ORB.) tritt hier häufiger auf.

Bohrung Ortenburg 1001:

Die Mikrofauna des tieferen Teils des Mittelottnang schließt sich eng an die beiden letztgenannten Lokalitäten an,

besonders an die von Siegharting, wegen der Häufigkeit von *Robulus inornatus*. Die höheren Partien entsprechen der anschließend zu behandelnden Hangendgruppe.

Ergänzend zu den bisherigen Faunenlisten treten auf:

Quinqueloculina akneriana D'ORB.

Sigmoilinita tenuis (CZJEK)

Bolivina hebes MACFADYEN

Stilostomella longiscata (D'ORB.)

Pullenia bulloides (D'ORB.)

Valvulineria petrolei (ANDREAE)

Globigerinoides trilobus immaturus LE ROY

Planulina wuellerstorfi (SCHWAGER)

Häufig findet man hier Umlagerungen aus dem Unteren Ottnang, u. a.

Spiroplectammina pectinata (REUSS)

Sigmoilopsis ottnangensis CÍCHA, ČTYROKÁ & ZAPLETALOVÁ
(auch in Oberndorf)

Stilostomella ottnangensis (TOULA),

die hier eine klare Trennung zwischen Unterem und Mittlerem Ottnang unmöglich machen. Die Umlagerungen weisen auf Bewegungen am Pockinger Abbruch an der Wende Unter-/Mittelottnang hin.

Untertattenbach:

Der Aufschluß gehört zu der Gruppe, die die höheren Partien des Mittelottnang umfaßt. Hierzu zählen Brombach und der höhere Teil der Bohrung Ortenburg 1001, sowie die anschließend zu behandelnden Lokalitäten.

Nördlich von Untertattenbach stehen am Waldrand auf 380 m Meereshöhe dünnblättrige, sandige Mergel an, die weiter oben von grobkörnigen Glaukonitsanden abgelöst werden. Die Verhältnisse sind bei NEUMAIER & WIESENER (1939: 184) kurz dargestellt. Die Mikrofauna ist sehr kleinwüchsig, z. T. juvenil, und wird von *Ammonia beccarii*, Globigerinen, *Elphidiella heteropora* und *Caucasina* beherrscht.

Als Besonderheit treten auf:

Bolivina pokornyi serrata CÍCHA & ZAPLETALOVÁ

Stilostomella scabra (REUSS)

Globocassidulina crassa (D'ORB.)

Leithen: (südlich Birnbach)

Der Aufschluß liegt hinter einem alten, aus Holz erbauten Bauernhaus, auf ca. 380 m Meereshöhe. Es handelt sich um eine mehrere Meter hoch aufgeschlossene Serie aus mergeligen Feinsanden mit dünnen Mergellagen. Die Mikrofauna ist etwas großwüchsiger als die von Untertattenbach. Es dominieren *Ammonia* und Elphidien.

Malgertsham: (bei Kößlarn, 420 m NN)

Hier dominieren *Florilus* und *Ammonia*. Die Serie wird von Mehlsanden überlagert.

Rotthalmünster: (Baufaufschluß, 380 m NN)

Die Mikrofauna wird von *Ammonia* und Elphidien beherrscht.

Erlat: (bei Münchham, 380 m NN)

Am Hang stehen schluffige Mergel an, in denen Globigerinen vorherrschen.

Als Besonderheit tritt

Lagena sulcata (WALKER & JACOB) auf.

Jetzing:

An der B 12 stehen zwischen Prienbach und Ering bei Jetzing auf 365 m NN stark sandige Mergel an, deren Mikrofauna von *Ammonia* und Elphidien beherrscht wird. Der kleine Anriß ist bei MAYR (1957: 315) beschrieben.

Prienbach:

Baufaufschluß an der Straße nach Stubenberg auf 360 m NN. Es dominieren *Ammonia* und *Florilus*. Es kündigen sich bereits Brackwasserverhältnisse an.

Tutting:

Der Aufschluß (350 m NN) vertritt die Beckenfazies und gleichzeitig den tiefsten Teil des Mittelottnang. Er ist schon bei AMMON (1888: 4) erwähnt und mit Kindlbach auf ein Niveau gesetzt. In der Tat liegen sie stratigraphisch sehr eng beisammen. Eine Beschreibung liefert KOCH (1965: 21). Besonders zu erwähnen ist das Auftreten von:

Vaginulinopsis carinata SILVESTRI

Lagena isabella (D'ORB.)

Es herrschen Globigerinen, *Ammonia* und Cibiciden vor.

Bohrung Ortenburg 1003:

Hier dominieren *Ammonia* und Elphidien. Besonders zu bemerken ist das Auftreten von

Globorotalia scitula praescitula BLOW

Bohrung Ortenburg 1002:

Die Mikrofauna ist sehr kleinwüchsig und arm, obwohl diese Lokalität am weitesten beckenwärts liegt. Der Fazieswechsel zwischen den Neuhofener Mergeln und dem Mittelottnang ist sehr scharf. Es herrschen *Ammonia*, Cibiciden und Globigerinen vor. Als Ergänzung der Gesamtf fauna tritt *Svatkina perlata* (ANDREAE) auf.

Bohrung Ampfing 1: (Proben von 507–514 m Teufe)

Recht außergewöhnlich ist die Mikrofauna dieser Bohrung, denn das dominierende Element bildet hier

Cyclammina acutidorsata (HANTKEN).

2.1.5.8 Mikrofaunistische Gliederung

Eine biostratigraphische Untergliederung des Mittelottnang ist nicht möglich. Wie später noch auszuführen sein wird, ist nicht einmal eine Abgrenzung zum Unteren Ottnang mit Leitformen möglich (Kapitel 2.1.6).

Wie aus der Beschreibung der einzelnen Aufschlüsse hervorgeht, lassen sich diese zu Gruppen zusammenfassen, die

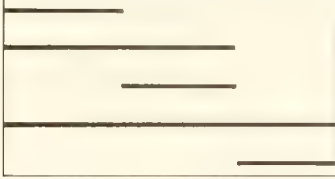
MITTELOTTNANG	
	Glob-Amm-Cib-Vgschftg.
	Hopkinsina-Elph.glabratum-Vgschftg.
	glabratum-granosum-minutum-Vgschftg.
	Litoral-Gruppe
	Hangend-Gruppe

Abb. 5: Stratigraphische Position der Faunen-Gruppen des Mittelottnang.
Abkürzungen wie Abb. 4

durch die Foraminiferenfauna charakterisiert sind. Inwieweit dabei ein Zusammenhang besteht zwischen diesen Zonen und der in der Einleitung erwähnten reich gegliederten Topographie des Meeresbodens im Flachmeer des Mittelottnang, läßt sich nicht eindeutig beweisen, ist aber zumindest bis zu einem gewissen Grad wahrscheinlich. Als Grobmuster kann es wohl auf jeden Fall gelten, und für eine feinere Gliederung wird sich die Mikrofauna ohnehin nicht eignen, da ja nicht jede Bodensenke eine eigene Ökonische darstellt.

Als Einschränkung sei gleich noch vorangestellt, daß die behandelten Aufschlüsse, wie aus Abb. 5 hervorgeht, nicht alle einem Horizont angehören, so daß zu einer regionalen Gliederung noch eine vertikale kommt. Bei den Aufschlüssen im NE kann man von einer gewissen Zeitgleichheit ausgehen. Die Lokalitäten im SW, im Raum um Kößlarn, dagegen sind deutlich jünger und vertreten den höchsten Teil des marinen Mittelottnang.

Die Sedimente des Mittelottnang wurden alle in einem Flachmeerbereich abgelagert. SEITNER (1977, Teil 1: 111) vertritt die Ansicht, daß die Grobsande den direkten Strandbereich repräsentieren, die Wechsellagerung von Glaukonitsanden mit Blättermergeln die strandnahe Übergangszone und die Blättermergel die Beckenfazies. Die Foraminiferenfauna zeigt an, daß nirgends Wassertiefen von mehr als 30–50 m geherrscht haben.

Das Meer griff weit nach N aus. Die randlichsten Aufschlüsse liegen bei Dommelstadl, wo auf dem Neuburger Kristallin ein Bryozoenriff bestand, in Höch, beim Perzl und in Holzbach, deren Sedimente die Transgression des Otttang-Meeres widerspiegeln (SEITNER 1977, Teil 2: 72 ff.). Die Bereiche von Höch und Holzbach wurden dabei durch den Kristallinsporn von Gurlarn voneinander abgetrennt, wenn auch wohl nur submarin. STADLER (1926) gibt auf der geologischen Karte noch marine Schichten nördlich von Rehschaln an. Nördlich von Straß liegen grobe, glaukonitische Sande mit Geröllchen vor, die allerdings keine Mikrofauna führen. Die Aufschlüsse Höch, Holzbach, Spirkenöd und Kemating lassen sich zur Litoral-Gruppe zusammenfassen, die durch die Foraminiferenvergesellschaftung von *Ammonia*, *Elphidiella*, *Florilus* und Globigerinen charakterisiert ist.

Als *Hopkinsina-Elphidium glabratum*-Vergesellschaftung kann man die Aufschlüsse Kugler, Blindham, Neustift, Unteriglbach und Gänshall miteinander verbinden. Neben diesen Leitformen sind *Ammonia* und *Elphidiella* häufig.

Zur *glabratum-granosum-minutum*-Vergesellschaftung schließen sich die Aufschlüsse Oberndorf und

Siegharting, sowie der tiefere Teil der Bohrung Ortenburg 1001 zusammen. Zu der großwüchsigen Fauna treten noch *Ammonia* und *Robulus* als häufige Formen hinzu.

Die Beckenfazies ist im Aufschluß Tutting als sandarme Mergel mit einer Globigerinen-*Ammonia*-Cibiciden-Vergesellschaftung vertreten. Auch die Bohrung Ortenburg 1002 gehört hierher.

Die Hangend-Gruppe, also der höchste Teil des marinen Mittelottnang ist in Leithen, Untertattenbach, im höheren Teil der Bohrung Ortenburg 1001, in Brombach, Maltgertsham, Rothalmünster, Erlat, Jetzing und Prienbach repräsentiert. Die Mikrofauna ist oft recht unterschiedlich ausgebildet. Es dominieren *Ammonia*, *Elphidiella* und Globigerinen.

2.1.6 Die Randfazies der Neuhofener Schichten

Die Neuhofener Schichten bieten noch ein Problem besonderer Art. Zu dieser Serie, bei der es sich ohne Zweifel um Beckensedimente handelt, ist bisher keine Litoralfazies bekannt. Die klassischen Aufschlüsse in dieser schwach feinsandigen Mergelserie in Neuhofen und Oberschwärzenbach lassen aufgrund der Mikrofauna in den tieferen Partien auf mindestens 150–200 m Wassertiefe schließen. Geht man weiter nach Norden, in randnähere Bereiche, so kommt man nach Mitterdorf. Die Lithologie hat sich im wesentlichen nicht verändert, doch schaltet sich im oberen Teil eine Grobsandlage in die Mergel ein. Noch etwas weiter nördlich liegt der Aufschluß Ausham. Hier macht sich bereits ein deutlicher Umschwung in der Lithologie bemerkbar. Es liegen dünnblättrige Mergel mit feinen Sandzwischenlagen vor. Diese Ausbildung erinnert sehr stark an die Blättermergelfazies. Die Fauna zeigt mit *Elphidium fichtellianum* bis über 2 mm Durchmesser und dem Fehlen von *Sigmoilopsis otttangensis* schon flachere Wasserverhältnisse an.

Weiter nördlich davon waren bisher keine Aufschlüsse mehr bekannt. Die Neuhofener Mergel verschwinden plötzlich spurlos.⁷⁾ In Holzbach, Höch und Gänshall liegen zwar stark sandige, randnahe Bildungen vor, doch diese gehören bereits einer jüngeren Serie, dem Mittelottnang an.

KRAUS (1916) und STADLER (1926) warfen die gesamte Obere Meeresmolasse Niederbayerns in einen Topf und stufen sie als Burdigal ein. Letzterer setzte die Ortenburger Meeres-

7) UNGER (1984b: 21) erklärt das Fehlen der Litoralbildungen mit Erosionsvorgängen infolge stark schwankender Küstenlinien.

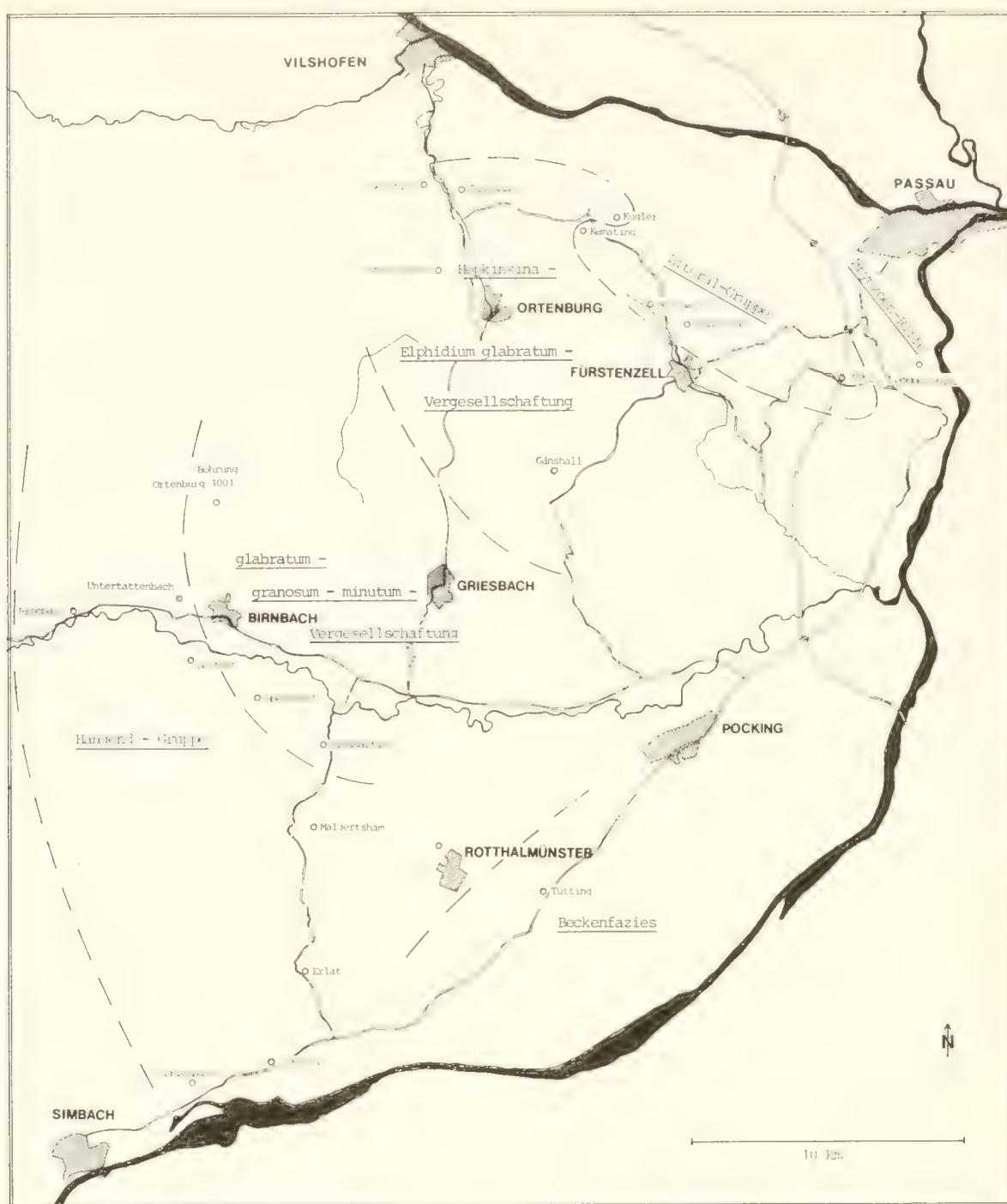


Abb. 6: Regionale Verbreitung der Faunengruppen des Mittelottnang von Niederbayern anhand der zur Verfügung stehenden Aufschlüsse.

sande von Maierhof mit den Grobsanden von Holzbach und Spirkenöd gleich. KRAUS (1938: 18) hielt die Grobsande des Rottales, also z. B. die Brombacher Sande, für Äquivalente der Ortenburger Meeressande, während er die mergeligen Schichten (Neuhofener) für jünger hielt als Brombach, nämlich Helvet. Um die Verbreitung dieser Schichten obertage zu erklären, entwarf er den „Birnbacher Sattel“. NEUMAIER & WIESENEDER (1939: 196) stellten fest, daß die Sande von Holzbach, Gänshall und Brombach miteinander zu parallelisieren sind und jünger sind als die Neuhofener Mergel. Letztere hielten sie für Helvet oder Burdigal. WOLF (1956: 22–24) betrachtete die basalen Grobsande von Holzbach, Spirkenöd

und Perzl als Litoralfazies, die lateral und vertikal in die mergelige Beckenfazies übergeht. Die Basisschichten von Neustift dagegen hielt er für Äquivalente der Ortenburger Meeressande von Maierhof und damit für Burdigal, die Gänshaller Sande für zeitgleich mit Holzbach. ROGL, SCHULTZ & HOLZL (1973: 148–155) beschrieben die Grobsande von Rainbach in der Taufkirchener Bucht als Randfazies des Ottanner Schliers (= Neuhofener Mergel), schlossen jedoch auch die stratigraphisch tiefere Serie von Höbmannsbach mit ein (vgl. Kapitel 2.1.4.2.2) und übertrugen deren Mikrofauna auf die gesamte Schichtenfolge. Die Grobsande von Rainbach setzten sie (l. c. 152) mit den basalen Transgressionssanden

von Neustift und Fürstzell (Holzbach) gleich. UNGER (1984a: 91–101) deutet die Serie von Höch und Holzbach als die Litoralfazies des Mittelottnang, schließt aber nicht aus, daß sie z. T. auch die Neuhofener Schichten im Küstenbereich vertritt (l. c. 95).

Als Randfazies der Neuhofener Schichten bieten sich somit drei Möglichkeiten an:

1. die hangende Serie von Holzbach und Höch und/oder die Gänshaller Sande stellen die Litoralbildungen des Unteren Ottnang dar und sind somit nicht dem Mittelottnang zuzuordnen,
2. die Randfazies steckt in den basalen Grobsanden von Holzbach und Höch,
3. das Unterottnang-Meer hat diese Lokalitäten gar nicht erreicht.

Von vornherein auszuschließen ist, daß die Ortenburger Meeressande als litorale Bildungen des Ottnang in Frage kommen. Die Foraminiferenfauna und das Nannoplankton (MARTINI 1981: Abb. 2) sprechen eindeutig dagegen.

Punkt 3 ist leicht zu klären:

Als Beweis dafür, daß das Neuhofener Meer so weit nach Norden gereicht hat, können der Aufschluß Anderl und die Bohrung Brunndobl gelten.

Anderl:

Der kleine Hanganriß liegt am Vornbacher Bach, nahe dem Anwesen Anderl. Hier stehen auf 370 m Meereshöhe Neuhofener Mergel an, während nur 1,5 km NE in Höch Meeressande auf 420 m NN direkt dem Granit aufliegen (STADLER 1926: 84 findet sie bei Niederreischung auf 390 m NN, EDER 1954: 10 beim Perzl auf 380 m NN). Lithologisch sind die Mergel etwas sandiger ausgebildet als normal und enthalten Limonitlagen. Die Foraminiferenfauna entspricht jedoch der typischen Neuhofener Vergesellschaftung, obwohl sich schon ein deutlicher Flachwassereinfluß bemerkbar macht. Dies äußert sich im fast völligen Fehlen von *Sigmoilopsis ottnangensis*, die, wie auch in Ausham, in der randnahen Fazies ausfällt. Außerdem sind *Textularia gramen*, *Robulus pauperculus*, *Cibicides lobatulus* und Polymorphiniden wesentlich häufiger als in Oberschwärzenbach. Die Fauna erinnert mehr an die bereits etwas flacheren Verhältnisse von Mitterdorf und Untersimbach (hangender Teil!).

Die Foraminiferenfauna setzt sich wie folgt zusammen:

Textularia gramen D'ORB.
Spiroplectammina pectinata (REUSS)
Sigmoilopsis ottnangensis CÍCHA, ČTYROKA & ZAPLETALOVÁ
Robulus inornatus (D'ORB.)
Robulus pauperculus (REUSS)
Saracenaria arcuata (D'ORB.)
Astacolus crepidulus (FICHTEL & MOLL)
Dentalina communis D'ORB.
Lagena striata (D'ORB.)
Lagena laevis (MONTAGU)
Lagena clavata (D'ORB.)
Globulina gibba (D'ORB.)
Globulina striata (EGGER)
Guttulina problema (D'ORB.)
Guttulina uvula (EGGER)

Pyrulina fusiformis (ROEMER)
Glandulina ovula D'ORB.
Caucasina cylindrica ZAPLETALOVÁ
Virgulinella cf. pertusa (REUSS)
Fursenkoina acuta (D'ORB.)
Oolina globosa (MONTAGU)
Fissurina laevigata REUSS
Fissurina obtusa EGGER
Stilostomella ottnangensis (TOULA)
Stilostomella perscripta (EGGER)
Elphidium flexuosum subtypicum PAPP
Elphidium matzenense PAPP
Elphidium angulatum (EGGER)
Elphidium macellum (FICHTEL & MOLL)
Elphidium fichtellianum (D'ORB.)
Elphidium hauerinum (D'ORB.)
 „*Elphidium*“ *rugulosum* CUSHMAN & WICKENDEN
Elphidiella cryptostoma semiincisa n. ssp.
Porosononion granosum (D'ORB.)
Florilus communis (D'ORB.)
Pullenia quinqueloba (REUSS)
Astrononion perfossum (CLODIUS)
Globocassidulina oblonga (REUSS)
Ammonia beccarii (LINNÉ)
Rosalina globularis semiporata (EGGER)
Discorbis biaperturatus (POKORNÝ)
Valvulineria petrolei (ANDREAE)
Cancris auriculus (FICHTEL & MOLL)
Alabamina tangentialis (CLODIUS)
Globigerina praebulloides praebulloides BLOW
Globigerina ciperoensis ottnangiensis RÖGL
Globigerina dubia EGGER
Globigerina angustiumbilitata BOLLI
Globigerinoides trilobus immaturus LE ROY
Globorotalia obesa BOLLI
Cibicides lobatulus (WALKER & JACOB)
Dyocibicides truncatus (EGGER)
Cibicidoides pseudoungerianus (CUSHMAN)
Hanzawaia boueana (D'ORB.)
Planulina wuellerstorfi (SCHWAGER)

Die Vergesellschaftung entspricht dem mittleren Neritikum.

UNGER (1984a: 86) beschreibt ebenfalls Neuhofener Mergel aus dem nur wenige 100 m südlich vom Anderl gelegenen Aufschluß bei Högnmühle zwischen 350 und 365 m NN.

Bohrung Brunndobl:

Die Spülbohrung wurde bei Brunndobl, NW Fürstzell, niedergebracht. Hier wurden Neuhofener Mergel in einer Mächtigkeit von 30 m erbohrt, die mit einem Transgressionshorizont (mit umgelagerten Hornsteinen) weißen, fossilleeren Quarzsanden aufliegen. Diese sind lithologisch den Linzer Sanden sehr ähnlich und sind damit, in Analogie zum Profil der Bohrungen Hartkirchen und Mittich, möglicherweise ins Untere Eger zu stellen. Es könnte sich aber auch um litorale Ausläufer der Untersimbacher Schichten handeln. Nur 1 km nördlich liegen dagegen in Holzbach Meeressande bei ca. 380 m NN auf Malmkalken. Die Situation ist ähnlich wie bei Höch/Anderl. Die Mikrofauna der Neuhofener Mergel

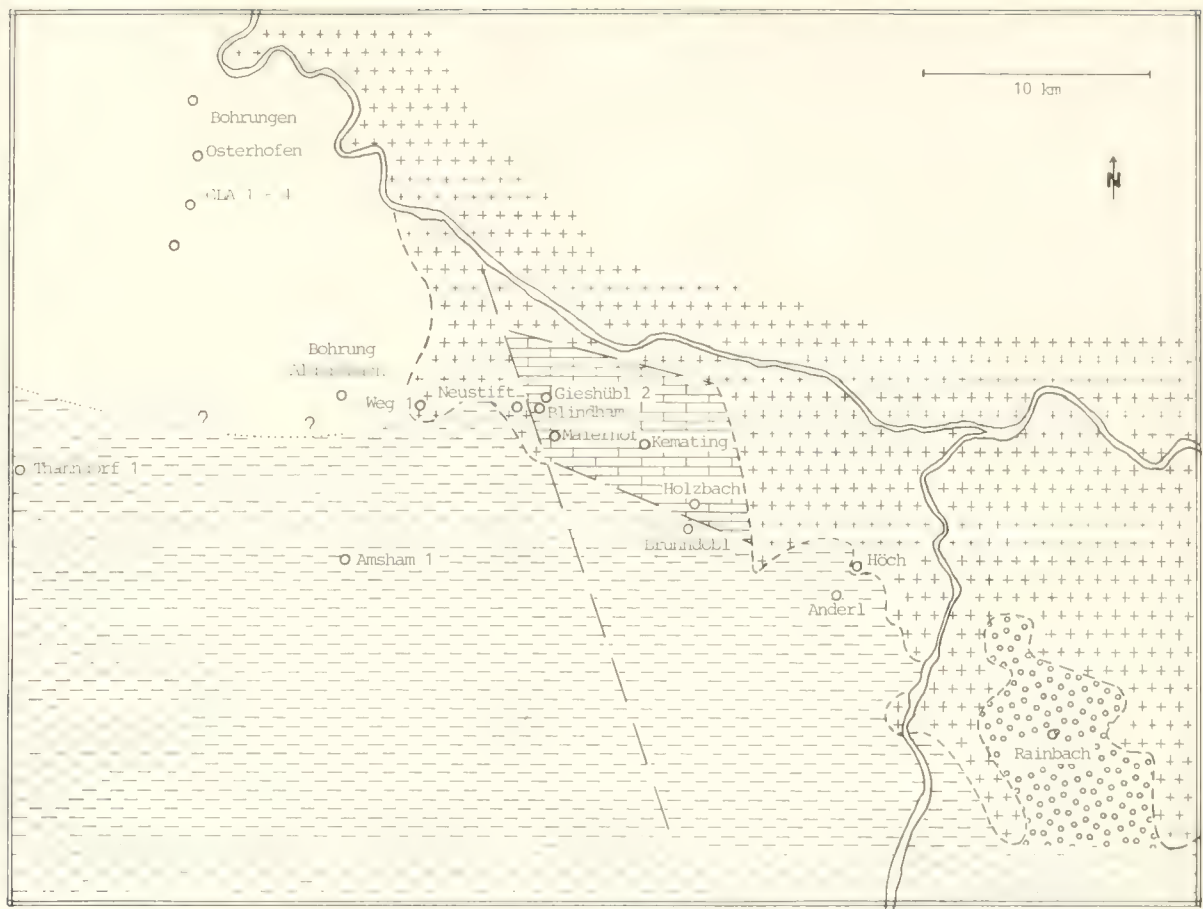


Abb. 7: Verbreitungsbild der Neuhofener Mergel.

Signaturen: waagrechte Striche = Neuhofener Mergel, Kreuze = Kristallin, Kalksignatur = Malm, Geröllsignatur = Grobsande von Rainbach

weist hier allerdings etwas flacheren Charakter auf als beim Anderl. Es können Wassertiefen um 50 m angenommen werden.

Betrachtet man nun das so gewonnene Verbreitungsbild der Neuhofener Schichten (Abb. 7), so stellt man fest, daß diese Serie im Norden überall an scharf ausgeprägte Grenzen stößt, ohne daß davor eine eigentliche Randfazies entwickelt wäre. Im Osten reicht sie bis zum Kristallingebiet des Neuburger Waldes, im Westen bis zur Malmplatte des Ortenburger Senkungsdreiecks, die sich an der Wende Eggenburg/Ottang herausgehoben hat (vgl. UNGER & SCHWARZMEIER 1982: Abb. 9/9). Wenn aber diese heutigen Verbreitungsgrenzen die Küste des Neuhofener Meeres gebildet hätten, so müßte sich dies in wesentlich stärker sandigen Litoralbildungen beim Anderl und in der Bohrung Brundobl und in einer extremen Flachwasserfauna bemerkbar machen. Auch eine Hebung der Ortenburger Scholle und des Neuburger Waldes erst während des Unteren Ottang, bei der die ursprünglich ungehindert über diese Gebiete hinweggreifenden Neuhofener Schichten wieder aufgearbeitet worden wären, hätte sich in der Lithologie der Lokalitäten Anderl und Brundobl widerspiegeln müssen. Außerdem deuten auch die Umlagerungen in Engertsham darauf hin, daß die Bewegungen am Ortenburger Bruch und vielleicht auch im Neuburger Kristallin schon an der Wende Eggenburg/Ottang stattgefunden haben. Diese Verhältnisse lassen also keinen anderen Schluß zu,

als daß das Unterottangmeer über die bereits gehobene Ortenburger Malmplatte und den Neuburger Kristallinsporn hinweggegriffen hat. Die direkten Litoralbildungen des Neuhofener Meeres müssen also in Holzbach und Höch gesucht werden.

Die unter Punkt 1 genannte Möglichkeit wäre, daß die Wechsellagerungen von Mergeln und Sanden im hangenden Teil von Höch und Holzbach den Neuhofener Mergeln äquivalent sind. Diese wurden aber bereits ins Mittelottang eingestuft. Wie sicher ist nun diese Feststellung?

Hier ist leider zu sagen, daß sich das Mittelottang biostratigraphisch nicht eindeutig vom Unteren Ottang abgrenzen läßt, denn es gibt keine Leitformen für das Mittelottang (vgl. WENGER 1983: 23). So konnte im Grenzbereich nur eine Übergangszone (vgl. Abb. 4) ausgeschieden werden, innerhalb der zwar ein deutlicher Faunenwechsel stattfindet, bei dem aber nicht sicher gesagt werden kann, inwieweit er faziell bedingt ist. Als Beispiel sei hier *Sigmoilopsis ottangensis* genannt. Die Art verschwindet zwar überall an der Wende Unter-/Mittelottang, sie meidet aber, wie sich in randnahen Bereichen des Neuhofener Horizonts (z. B. an der Sur oder im Aufschluß Ausham) gezeigt hat, die flachere oder auch sandigere Fazies. Ihr Aussterben ist also keine biostratigraphische Marke, sondern kann rein faziell bedingt sein. Die Grenze wurde nun dort gelegt, wo die letzte der Charakterformen der Neuhofener Fauna, also *Sigmoilopsis ottangensis*, *Stilosto-*

mella ottnangensis und auch *Spiroplectammina pectinata*, verschwinden. Es ergaben sich jedoch außerdem noch eine Menge Anhaltspunkte, die eine einigermaßen sichere Unterscheidung der beiden Teilstufen zulassen.

1. Die Blättermergelfazies ist charakterisiert durch eine Faunengemeinschaft – neben *Ammonia beccarii* und Globigerinen als dominierenden Elementen – aus *Elphidiella heteropora* und *Elphidiella minuta*. Dies ist natürlich auf die flachen Wasserverhältnisse zurückzuführen.
2. Weitaus wichtiger ist dagegen die starke Zunahme von *Hopkinsina bononiensis primiformis* im Mittelottnang, während sie in den Neuhofener Mergeln sehr selten ist – eine Beobachtung, die sich in den Profilen der Subalpinen Molasse bestätigen ließ.
3. *Sigmoilopsis ottnangensis*, *Stilostomella ottnangensis* und *Spiroplectammina pectinata* fehlen in der gesamten bayerischen Molasse im Mittelottnang.
4. *Elphidium glabratum* und „*Elphidium*“ *rugulosum* sind in Niederbayern fast ausschließlich im Mittelottnang zu finden. Erstgenannte Art ist bisweilen sogar als Häufigkeitsform anzutreffen.

Aufgrund dieser Feststellungen ließen sich zunächst die Brombacher Sande und die Gänshaller Sande mit den hangenden Blättermergeln in Holzbach und Höch parallelisieren.

Auch in der Beckenfazies der Blättermergel kann man mit diesen Kriterien Mittleres und Unteres Ottnang unterscheiden. Die Abgrenzung dieser beiden Teilstufen kann also auch ohne neu einsetzende Leitformen als gesichert betrachtet werden.

Nachdem nun der hangende Teil von Holzbach und Höch, sowie Gänshall, als Mittelottnang feststehen, bleibt noch die als Punkt 2 aufgeführte Möglichkeit, daß die basalen Grobsande dieser Aufschlüsse die Randfazies des Neuhofener Meeres repräsentieren.

SEITNER (1977, Teil 2: 55) stellte für die Transgressions-sande von Höch fest, daß die Megafauna für Mittelottnang spricht. PAPP & STEININGER (1973: 30) konstatierten in Neustift Elemente des Unteren Ottnang. Betrachtet man nun die Foraminiferenfauna, so müßte man Gemeinsamkeiten finden mit der hervorragend charakterisierten Fauna der Neuhofener Schichten, falls es sich um deren Randfazies handelt.

Wie aus den bereits gegebenen Beschreibungen hervorgeht, zeigt die Fauna recht indifferenten Charakter: von der Zusammensetzung her erinnert sie eher an Mittelottnang, dieser Eindruck kann aber durch die ökologischen Verhältnisse hervorgerufen sein. Auf der anderen Seite enthält die Fauna von Höch Elemente, die für die Neuhofener Fauna ganz typisch sind, im Mittelottnang dagegen normalerweise nicht vorkommen, nämlich *Spiroplectammina pectinata* und *Stilostomella ottnangensis*. Umlagerungen sind in diesem Fall mit ziemlicher Sicherheit auszuschließen, da beide Formen in extremer Kleinwüchsigkeit vorliegen, so daß man auf, für diese Gattungen, sehr ungünstige Lebensbedingungen schließen kann. Es muß hier gegenüber dem Neuhofener Becken ein abrupter Fazieswechsel vorliegen, der sich sowohl lithologisch als auch faunistisch sehr schroff ausgewirkt hat und die Einwanderung der Neuhofener Fauna in die Randbereiche fast völlig verhindert hat.

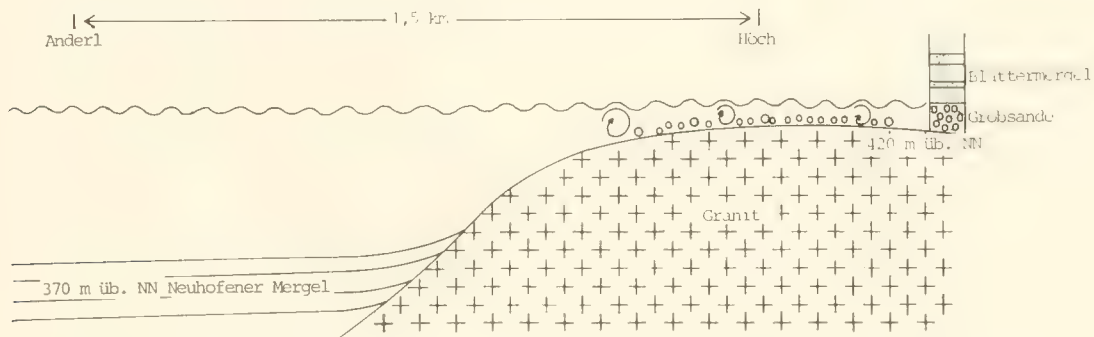


Abb. 8: Paläogeographische Situation im Bereich Höch/Anderl zur Ablagerungszeit der Neuhofener Schichten. Nicht maßstabsgetreu.

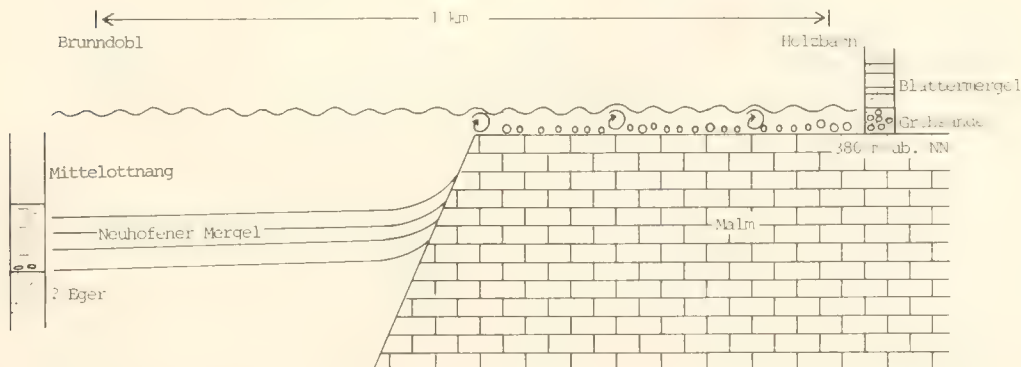


Abb. 9: Paläogeographische Situation im Bereich Holzbach/Brunndobl zur Ablagerungszeit der Neuhofener Schichten. Nicht maßstabsgetreu.

Die Situation in den Bereichen Höch/Anderl und Holzbach/Brunndobl dürfte sich also wie folgt dargestellt haben (Abb. 8 und 9). Zur Ablagerungszeit der Neuhofener Mergel (höheres Unterottnang) hat das Meer die Kristallinplattform und die Malmscholle flach überflutet, so daß sich die Abrasion und die damit verbundenen Sand- und Geröllschüttungen nach Süden in Grenzen hielten. Der steile Anstieg zum Rand hin hat den Faunenaustausch mit dem Neuhofener Becken verhindert. Die Granit- bzw. Malmplattform wird noch im Bereich der Wellenbasis (PHLEGER 1960: 15 setzt sie bei 9–30 m an) gelegen haben, wo das grobsandige Sediment durch die ständige Wasserbewegung ausgewaschen, eventuell zeitweise abgelagert und dann wieder aufgearbeitet wurde. Nur einige wenige Elemente der Neuhofener Fauna wagten sich in dieses ungastliche Milieu und mußten es mit extremem Zwergwuchs büßen. Erst mit dem Anstieg des Meeresspiegels im Mittelottnang kam dieser Bereich zur Ruhe, und die basalen Meeressande gelangten endgültig zur Ablagerung. Darüber legte sich die mergelig-sandige Wechselfolge der Blättermergelfazies.

Westlich der Ortenburger Scholle (vgl. Abb. 7), in Neustift, haben wir Verhältnisse wie in Höch, mit groben Meeresanden auf Granit. Hier wurde von PAPP & STEININGER (1973: 30) *Pecten (Flabellipecten) hermansenni* DUNKER nachgewiesen, was nach diesen Autoren auf die „...Randfazies des tieferen Ottnang...“ hinweist und somit den Grobsanden von Rainbach gleichzustellen ist. In der Bohrung Weg 1⁸⁾, NE Aunkirchen, liegen ebenfalls Grobsande auf Granit. In den Bohrungen Osterhofen 1–4 des Bayerischen Geologischen Landesamtes liegt Mittelottnang auf Kreide (UNGER 1982: Abb. 3–5), in der Bohrung Aldersbach auf Unterem Eger. In Blindham und der Bohrung Gieshübl 2⁸⁾ lagert Mittelottnang auf Eggenburg. Neuhofener Schichten fehlen. In Maierhof schaltet sich zwischen Eggenburg und den Blättermergeln eine Erosionsdiskordanz mit Anzeichen festländischer Verwitterung ein. In Söldenau sind die Ortenburger Meeressande dieser Abtragungsphase fast völlig zum Opfer gefallen (KRAUS 1916: 114). Von der sehr flachen Meeresbedeckung während der Unterottnangzeit scheint dieser Bereich verschont gewesen zu sein. Ihn erfaßte erst die weiter ausgreifende Überflutung des Mittelottnang. In der Taufkirchener Bucht sind die Litoralbildungen des Ottnanger Schliers (= Neuhofener Mergel) in Form der Rainbacher Grobsande (nicht der Serie von Höbmansbach) vertreten. Ein allmählicher Übergang von der Beckenfazies in die Randfazies könnte auf bayerischer Seite höchstens zwischen Aldersbach und Thanndorf erwartet werden (es sei denn auch hier bildet eine tektonische Linie die nördliche Verbreitungsgrenze der Neuhofener Mergel). Diese Übergangszone wäre aber nur durch Bohrungen erreichbar.

2.2 TRAUNPROFIL

2.2.1 Allgemeines

Mit seiner geschlossenen Schichtenfolge vom Rupel bis ins tiefste Unterottnang stellt das Traunprofil eines der komplet-

testen Molasseprofile in Bayern dar. Die Aufschlüsse reihen sich am Osthang der Traun und in den zahlreichen Seitengraben sehr dicht aneinander und erlauben somit eine fast lückenlose Probennahme. Charakteristisch für das Traunprofil sind die durchgehend marine Entwicklung, ohne Einschaltung brackischer Schichten im Eger, und die starken Konglomeratschüttungen an der Wende Oligozän/Miozän. Wie in Niederbayern ergeben sich dabei Vergleichsmöglichkeiten mit dem Oligozän- und Miozän-Schlier Oberösterreichs.

Erste geologische Beobachtungen aus dem Traungebiet liegen schon von SEDGWICK & MURCHISON (1832: 340–341) vor. Die Konglomeratschüttungen der Blauen Wand führten sie auf Hebungsvorgänge in den Alpen zurück. EMMRICH (1851: 3–5) beschrieb ebenfalls die Blaue Wand, wo er u. a. eine „...vortreffliche Braunkohle...“ feststellte, und die Haslacher Mühle. Es bedarf eigentlich keines Hinweises, daß auch GUMBEL (1861: 699 ff. und 775; 1877: 70–72; 1887: 277; 1894: 344–345; sowie SANDBERGER & GUMBEL 1858: 216) sich mit diesen Serien beschäftigte. Er war vor allem vom Fossilreichtum der Thalbergsschichten angetan. An der Blauen Wand stellte er in den Sandsteinen „...undeutliche Blattreste...“ und „...Spuren eines Pechkohlenflötzes...“ fest. Er hielt diese Bildungen für Äquivalente der Cyrenenschichten. Von der Haslacher Mühle beschrieb er die Megafauna und brachte sie mit dem Ottnanger Schlier in Verbindung. WEITHOFER (1918: 24 und 32) übertrug die Gliederung der westbayerischen Molasse auf das Traunprofil und sah in den Konglomeraten der Blauen Wand Ausläufer der Bausteinzone, in GUMBELS „Pechkohlenflöz“ der Cyrenenschichten. KORDIUK (1938: 10) stellte kurz die Abfolge des Traunprofils dar. Die Blaue Wand ordnete er dem Aquitan zu und hielt einen Zusammenhang mit den Angerberg-Schichten des Unterinntales für möglich (l. c. 27). Auch RICHTER (1940: 34) stufte die Blaue Wand ins Aquitan ein, das er allerdings als oberstes Oligozän auffaßte. Die Gerölle der Blauen Wand weckten BODENS (1935) Interesse. Als Liefergebiet nahm er eine, dem Alpennordrand vorgelagerte Schwelle an (l. c. 351). Eine neuerliche intensive Bearbeitung erfuhren die megafossilreichen Thalbergsschichten durch HÖLZL (u. a. 1948: 398–400). Die Mikrofauna wurde erstmals von HAGN & HÖLZL (1952) beschrieben, deren stratigraphische Gliederung von GANSS (1955: 479) weitgehend übernommen wurde.

2.2.2 Oberes Eger

2.2.2.1 Teufelsgraben

2.2.2.1.1 Allgemeines

Die Schichten des Thalberggrabens wurden in der älteren Literatur zunächst ins Oligozän, später (HAGN & HÖLZL 1952: 42) ins Untermiozän eingestuft. Aufgrund der Nannoplanktonuntersuchungen von MARTINI (1981: Abb. 2) werden sie jetzt als oberstes Oligozän betrachtet. Schon STEININGER (1969: 47) stellte eine Übereinstimmung der Molluskenfauna des Thalberggrabens und der Linzer Sande fest und nahm ein chattisches Alter an.

Im unteren Teil des Thalberggrabens mündet aus nördlicher Richtung eine Seitenrinne ein, die als Teufelsgraben

⁸⁾ Die Profile sind bei UNGER (1984b: 231) beschrieben.

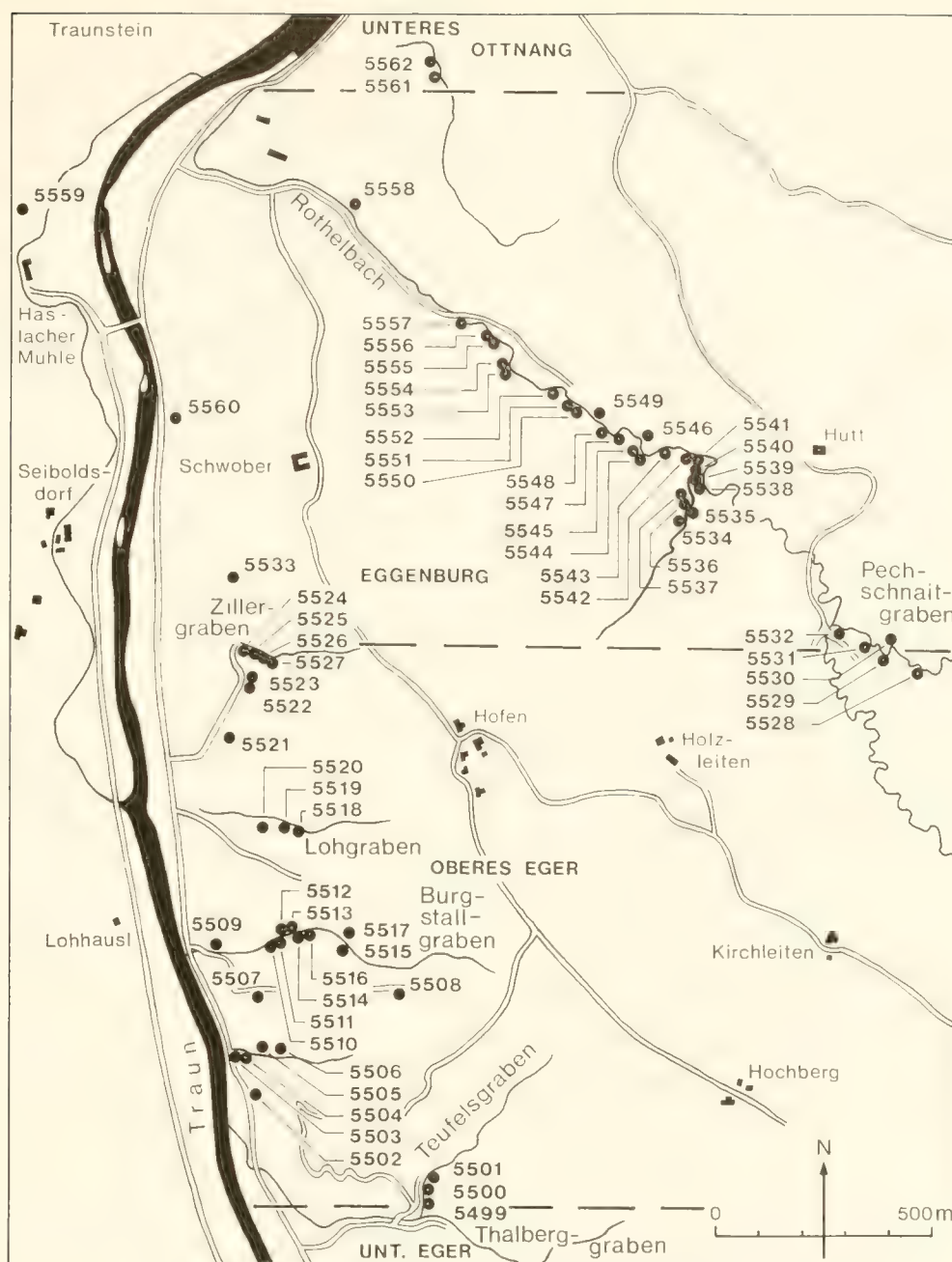


Abb. 10: Übersicht über das Traunprofil mit Probenentnahmepunkten.

bezeichnet wird. Hier stehen blaugraue, z. T. stark sandige Mergel an, in die Konglomerate eingeschaltet sind.

2.2.2.1.2 Foraminiferenfauna

Es ließ sich folgende Fauna nachweisen:

Karrieriella hantkeniana CUSHMAN
Quinqueloculina akneriana D'ORB.
Triloculina gibba D'ORB.
Robulus inornatus (D'ORB.)
Robulus vortex (FICHTEL & MOLL)
Planularia moravica (KARRER)
Pyulina fusiformis (ROEMER)
Praeglobobulimina pyrula (D'ORB.)
Caucasina coprolithoides (ANDREAE)

Virgulinella chalkophila (HAGN)
Bolivina crenulata trunensis HOFMANN
Bolivina euzona HOFMANN
Bolivina liebusi HOFMANN
Uvigerina posthantkeni PAPP
Elphidium macellum (FICHTEL & MOLL)
Elphidiella subcarinata (EGGER)
Elphidiella heteropora (EGGER)
Porosononion granosum (D'ORB.)
Florilus communis (D'ORB.)
Globocassidulina crassa (D'ORB.)
Sphaeroidina bulloides D'ORB.
Ammonia propingua (REUSS)
Valvulineria complanata (D'ORB.)
Oridorsalis umbonatus (REUSS)

Asterigerinata planorbis (D'ORB.)
Globigerina praebulloides praebulloides BLOW
Globigerina praebulloides leroyi BLOW & BANNER
Globigerina woodi JENKINS
Globigerina officinalis SUBBOTINA
Globigerina ciperoensis ciperoensis BOLLI

Globoquadrina debiscens (CHAPMAN, PARR & COLLINS)
Globorotalia obesa BOLLI
Cibicides ungerianus filicosta (HAGN)
Heterolepa dutemplei (D'ORB.)
Hanzawaia boueana (D'ORB.)
Hoeglundina elegans (D'ORB.)

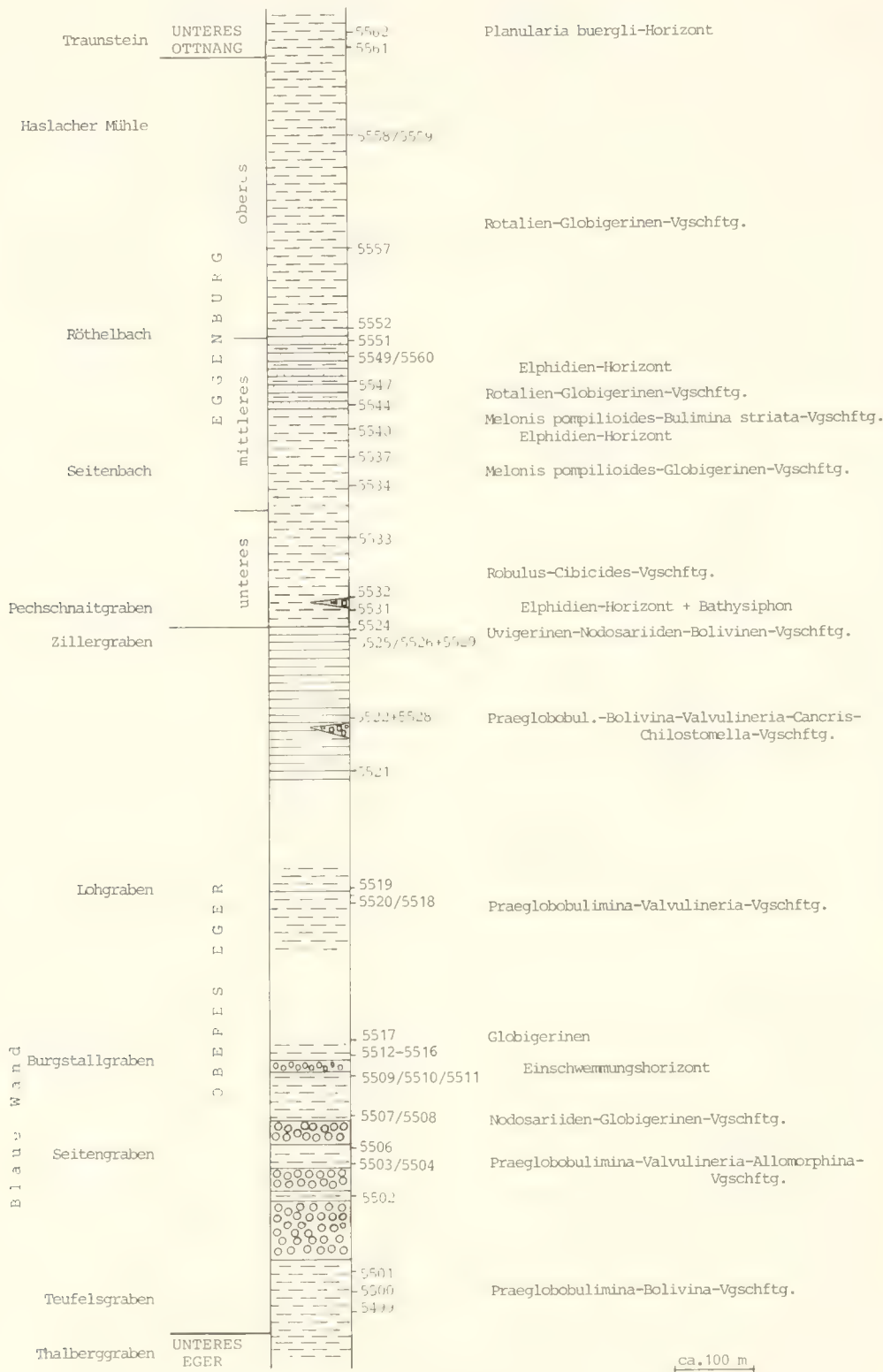


Abb. 11: Säulenprofil der Traun mit Probenentnahmepunkten.

2.2.2.1.3 Einstufung

Von besonderer stratigraphischer Bedeutung ist das Auftreten von *Globoquadrina dehiscens* und *Globigerina woodi*. Die beiden Arten setzen nach neueren Untersuchungen direkt an der Oligozän/Miozän-Grenze ein (RÖGL 1981: 45). Zusammen mit den Ergebnissen der Nannoflora läßt sich somit die Grenze zwischen Paleogen und Neogen zwischen Thalberggraben und Teufelsgraben ziehen. Die Probe mit *Globoquadrina dehiscens* wurde ca. 25 Profilmeter oberhalb der Einmündung des Teufelsgrabens in den Thalberggraben entnommen. Sie liegt somit auch noch etwas höher als die jüngsten Schichten des Thalberggraben-Unterlaufs.

2.2.2.1.4 Foraminiferenvergesellschaftung

Die Fauna wird beherrscht von *Praeglobobulimina pyrula* und Bolivinen (neben zahlreichen Caucasinen und Globigerinen). Dies spricht für ziemlich große Ablagerungstiefen, etwa des oberen Bathyals. Auch das Auftreten von *Hoeglundina elegans* kann als Anzeichen hierfür gewertet werden. Die ebenfalls vorhandenen Formen des Seichtwassers, wie Milioliden, *Pyrulina* (ziemlich häufig!), Elphidien, *Asterigerinata* und *Ammonia* müssen daher als Einspülungen aus einem Flachwasserbereich gedeutet werden. Auf diese Feststellung wird im nächsten Abschnitt noch zurückzukommen sein.

2.2.2.2 Blaue Wand, Burgstallgraben und Lohgraben

2.2.2.2.1 Lithologie

Nördlich des Teufelsgrabens schließen sich die auffälligen Geröllschüttungen der Blauen Wand an, deren Bestand erstmals BODEN (1935) genauer analysierte. Dieser Konglomeratfächer wird zum größten Teil aus Geröllmergeln, sog. „Rosinenmergeln“ aufgebaut, in die sich aber immer wieder sandige oder mergelige Horizonte einschalten. Die schönste Mergelserie ist in einem steilen Seitengraben südlich des Burgstallgrabens, nur wenige Meter oberhalb der Stelle, wo die Hangbefestigung der Verbindungsstraße Siegsdorf–Traunstein beginnt, aufgeschlossen. Sie lieferte eine reiche Mikrofauna. Erst im obersten Teil dieses Grabens gehen die fast sandfreien Mergel in Konglomerate über. In dem nördlich davon gelegenen Burgstallgraben treten sandarme Mergel nur ganz oben an der Abbaustelle, an dem rechts hinaufführenden Fahrweg auf. Hier lassen sich sehr schöne Slumping-Strukturen beobachten. Im Burgstallgraben selbst ist ein mächtiger Konglomerat-Komplex aufgeschlossen, der von sandigen Mergeln über- und unterlagert wird. In die Konglomerate sind zahlreiche Sand- und Mergellagen eingeschaltet. Die Gerölle sind alle gut abgerundet und erinnern an Flußschotter. Eine genauere Beschreibung der Abfolge ist bei GANSS (1977: 107 ff.) zu finden.

Im weiter nördlich davon gelegenen Lohgraben (das neue Schild der Forstverwaltung zeichnet ihn fälschlicherweise als „Burgstall“ aus), treten keine Konglomerate mehr auf. Die Schichten sind meist als sehr sandige, plattige Mergel ausgebildet. Nur stellenweise sind sandarme Mergel erschlossen, mit einer reichen Mikrofauna, in der besonders der Reichtum an *Nonionella liebusi*, *Virgulinea chalkophila* und *Fursenkoina halkyardi* überrascht.

2.2.2.2.2 Foraminiferenfauna

Aus den mergeligen und sandigen Serien des Burgstallgrabens, des oben beschriebenen südlicheren Seitengrabens und eines kleinen, ca. 50 m südlich davon gelegenen Anrisses, sowie des Lohgrabens konnte folgende Foraminiferenfauna gewonnen werden:

Karrieriella hantkeniana CUSHMAN
Quinqueloculina akneriana D'ORB.
Triloculina gibba D'ORB.
Sigmoilinita tenuis (CZJZEK)
Robulus inornatus (D'ORB.)
Robulus umbonatus (REUSS)
Robulus cultratus MONTFORT
Lenticulina gibba (D'ORB.)
Vaginulinopsis pseudodecorata HAGN
Amphicoryna imperfectecostata (SILVESTRI)
Lagenae laevis (MONTAGU)
Globulina gibba (D'ORB.)
Globulina granulosa (EGGER)
Globulina muensteri (REUSS)
Buliminella elegantissima (D'ORB.)
Praeglobobulimina pyrula (D'ORB.)
Caucasina coprolithoides (ANDREAE)
Virgulinea chalkophila (HAGN)
Fursenkoina acuta (D'ORB.)
Fursenkoina halkyardi (CUSHMAN)
Bolivina crenulata trunensis HOFMANN
Bolivina molassica HOFMANN
Uvigerina posthantkeni PAPP
Uvigerina semiornata D'ORB.
Trifarina gracilis (REUSS)
Stilostomella perscripta (EGGER)
Stilostomella consobrina (D'ORB.)
Stilostomella verneuili (D'ORB.)
Elphidium flexuosum flexuosum (D'ORB.)
Elphidium angulatum (EGGER)
Elphidium macellum (FICHEL & MOLL)
Elphidium fichtellianum (D'ORB.)
Elphidium glabratum CUSHMAN
Elphidiella heteropora (EGGER)
Elphidiella minuta (REUSS)
Elphidiella cryptostoma cryptostoma (EGGER)
Porosononion granosum (D'ORB.)
Florilus communis (D'ORB.)
Nonionella liebusi HAGN
Globocassidulina crassa (D'ORB.)
Chilostomella ovoidea REUSS
Allomorphina trigona REUSS
Ammonia beccarii (LINNÉ)
Ammonia propingua (REUSS)
Discorbis biapertura (POKORNÝ)
Neoeponides schreibersii (D'ORB.)
Valvulineria complanata (D'ORB.)
Valvulineria petrolei (ANDREAE)
Gyroidina parva CUSHMAN & RENZ
Asterigerinata planorbis (D'ORB.)
Globigerina praebulloides praebulloides BLOW
Globigerina woodi JENKINS
Globigerina enapertura JENKINS

Globigerina officinalis SUBBOTINA
Globigerina ciperoensis ciperoensis BOLLI
Globoquadrina baroemoenensis (L.F. ROY)
Globorotalia obesa BOLLI
Cibicides lobatulus (WALKER & JACOB)
Cibicidoides ungerianus filicosta (HAGN)
Cibicidoides pseudoungerianus (CUSHMAN)
Heterolepa dutemplei (D'ORB.)
Hanzawaia boueana (D'ORB.)
Almaena osnabrugensis (ROEMER)

Als Umlagerungen wurden Globotruncanen und *Asterigerinoides guerichi* (FRANKE) gefunden.

Die Faunenliste läßt sich durch die Angaben bei HAGN & HÖLZL (1952: 54) aus dem Burgstallgraben noch ergänzen.

2.2.2.2.3 Paläogeographische Folgerungen

Die sandfreien Mergel des südlichen Seitengrabens enthalten eine reiche Fauna, die von *Praeglobobulimina*, *Valvulineria* und *Allomorphina* beherrscht wird, einer Vergesellschaftung großer Wassertiefen, mindestens des oberen Bathyals. In einzelnen Horizonten machen sich stärkere Umlagerungen bemerkbar. Die sandärmeren Lagen im Burgstallgraben sind reich an Nodosariiden, zu denen sich einige wenige Seichtwasserformen gesellen. Die stark sandigen Mergel und Feinsande, die oberhalb und unterhalb des Konglomerat-Komplexes liegen, zeichnen sich durch eine Übermacht an Flachwasserforaminiferen aus. Sehr häufig sind dabei Elphidien, Ammonien, nicht selten auch Polymorphiniden. Sie müssen als Einschwemmungen aus einem Litoralbereich in das tiefe Wasser gedeutet werden, denn sowohl im südlichen Seitengraben, als auch im Norden, im Lohgraben, spricht die Fauna durch ihre *Praeglobobulimina*-*Valvulineria*-Vergesellschaftung für bathyale Verhältnisse. Auch Umlagerungen aus der Kreide sind häufiger festzustellen. Die, die sandigen Mergel und Feinsande überlagernden sandarmen Mergel im Burgstallgraben erwiesen sich als reich an planktonischen Foraminiferen. Einschwemmungen waren hier so gut wie nicht zu beobachten.

Es läßt sich somit vorerst folgendes zusammenfassen: das Becken, in das die Konglomerate der Blauen Wand geschüttet wurden, war sehr tief. Das Benthos setzte sich aus *Praeglobobulimina*, *Valvulineria* und *Allomorphina* zusammen, in einzelnen Abschnitten aus Nodosariiden. Bei stärkeren Sandschüttungen wurden aus dem Flachwasser Elphidien, Ammonien usw. miteingespült. In der darauffolgenden Phase ruhigerer Sedimentation war das Benthos verarmt, es dominierte das Plankton.

Schon HAGN & HÖLZL (1952: 51) hatten auf starke Umlagerungserscheinungen in den Thalbergschichten hingewiesen, sowie auf das Nebeneinander von marinen und brackischen Mollusken im Fossilhorizont, also ähnliche Phänomene, wie sie sich auch in der Foraminiferenfauna widerspiegeln. Sie schlossen daher auf eine nahegelegene Küste. Die Konglomerate der Blauen Wand führten sie auf die Schüttungen einer „Ur-Traun“ zurück. Auch GANSS (1956: 93 und 103–104) erklärte ihre Entstehung durch ein Flußsystem.

Zu den Funden, die auf litorale Verhältnisse hindeuten,

trug schon GÜMBEL (1861: 700) die Entdeckung von Blattresten und eines Pechkohlenflözes bei.

Bei LEMCKE (1975: Abb. 16) verläuft die Trogachse im Aquitan im Bereich der Traun – ein Hinweis auf große Wassertiefen.

GANSS (1977: 104) verweist auf subaquatische Rutschungen im Thalberggraben.

LEMCKE (1977: 54 und Abb. 6) deutet das Traunprofil im Chatt und Aquitan als „...Bereich tieferen Wassers... mit von Süden zugeführten Turbiditen...“.

Auch HAGN et al. (1981: 164 und 50–51) bringen die Rutschungs-Strukturen im Thalberggraben mit „Fluxoturbiditen“ in Verbindung, die Konglomerate der Blauen Wand dagegen mit Deltaschüttungen, wobei „...Rutschungen größeren Ausmaßes nicht auszuschließen...“ sind. Sie weisen dabei auf die Beziehungen zu der österreichischen Puchkirchener Serie hin.

In der Tat ist der Vergleich nach den oben gemachten Feststellungen und den bereits seit längerem bekannten Phänomenen nicht von der Hand zu weisen.

Der Name „Puchkirchener Serie“ wurde von PAPP et al. (1968: 12) eingeführt und bezeichnet eine grobklastische Schüttung, die in den Tiefbohrungen von Puchkirchen angetroffen wurde. Mächtige Mergelkomplexe wechsellagern hier mit Sandsteinen und Konglomeraten (vgl. KUPPER & STEININGER 1975: 206 ff.). Die auf einzelne Horizonte beschränkte Mikrofauna setzt sich aus primitiven Sandschalern, *Praeglobobulimina*, *Chilostomella*, *Robulus* und *Uvigerinen* zusammen. Lagenweise sind *Ammonia*, Elphidien, Miogypsinen und andere Flachwasserbewohner festgestellt worden. Die Wassertiefe wurde zunächst auf etwa 200 m geschätzt. MALZER (1981: 23) stellt in den Konglomeraten und Sandsteinen z. T. Sedimentationserscheinungen fest, die auf turbiditische Entstehung hinweisen. Die Foraminiferenvergesellschaftung bezeichnet er als bipolar, d. h. es liegen Seichtwasserformen vermischt mit typischen Tiefwasserbewohnern vor. Die Tiefwasserfauna aus *Rhabdammina*, *Bathysiphon* und *Cyclamina* ordnet er Wassertiefen von ca. 1000 m zu. In diese Tiefwasserzone wurden aus dem Seichtwasserbereich Elphidien, Milioliden usw. eingespült. Die Bildung der Puchkirchener Serie deutet er aufgrund dieser Beobachtungen als Schüttungen in einen Tiefwasserbereich. Die Schotter sind von Flüssen auf einem schmalen Schelf abgelagert und von dort durch Canyons über einen steilen Abhang z. T. turbiditisch, z. T. auf normalem Wege ins Tiefwasser verfrachtet worden. Am Hangfuß bildeten sie weitausgreifende Schuttfächer. Nach dem Modell von WALKER, das MALZER in Abb. 7 und 8 wiedergibt, bilden sich die Konglomerate und Rosinenmergel, die auch an der Blauen Wand festzustellen sind, im direkten Bereich der Schüttungskanales, die Slumping-Strukturen in den Mergeln in dessen unmittelbarer Nähe. Gradierte Schichtung tritt erst im distalen Teil des Schuttfächers auf.

Die Verhältnisse an der Blauen Wand stimmen also mit der Puchkirchener Serie in großem Maße überein. Dies betrifft die Feststellungen bezüglich größerer Wassertiefen, das Auftreten einer bipolaren Mikrofauna, sowie weitgehend die sedimentologische Ausbildung. Auch die tektonische Lage der beiden Lokalitäten direkt am Alpennordrand ist identisch.

Sowohl GANSS (1977: 108) als auch MALZER (1981: 27/28) machten außerdem die Beobachtung, daß die Einregelung der Gerölle, entgegen der zu erwartenden Südschüttung, einen trogparallelen Transport ergab. Beide führen dies auf küstenparallele Verfrachtung im Trogtiefsten zurück. Auch auf die Einspülung von pflanzlichem Detritus, die GÜMBELS „Pechkohlenflöz“ erklären könnte, weist MALZER (1981: 28) hin.

Es ergeben sich jedoch auch einige Unterschiede. An der Blauen Wand werden mit Sicherheit keine so großen Wassertiefen erreicht worden sein, wie sie für die Puchkirchener Serie angenommen werden. Sie dürften sich etwa um 300 m bewegt haben. MALZER (1981: 23) stellte in Oberösterreich typisch turbiditische Sedimentstrukturen fest, mit gradierter Schichtung und kompletten oder unvollständigen BOUMA-Abfolgen. Die Ablagerungen der Blauen Wand weisen eine sehr geregelte Schichtung auf, die Sedimentologie der Konglomeratkomplexe erinnert mit einer deutlichen Schrägschichtung an Deltaschüttungen. Flyschoide Sedimentstrukturen sind nicht zu beobachten.

Die Ablagerungen der Blauen Wand stellen damit eine Art Überleitung zur Puchkirchener Serie dar, ohne vollkommen den Verhältnissen in Oberösterreich zu entsprechen. Die Wassertiefen waren deutlich geringer, woraus sich eventuell auch ein etwas anderer Schüttungsmechanismus ergibt. Die aus den nahegelegenen Alpen angelieferten Schotter der Ur-Traun kamen zunächst auf einem schmalen „Schelf“ zur Ablagerung. In mehreren Phasen glitten sie von dort, zusammen mit Flachwasserforaminiferen, über einen mehr oder weniger steilen Abhang ins Tiefwasser ein, ohne daß es dabei zu turbiditischen Vorgängen im engeren Sinne gekommen sein muß. Im Anschluß an eine solche Schüttungsphase, in der sich die Rosinenmergel bildeten, folgte ein Abschnitt stark sandiger Sedimentation. Mit diesen feinerklastischen Lieferungen aus dem Küstenbereich wurden Seichtwasserforaminiferen in den Tiefwasserbereich miteingespült. Durch das allmähliche Abklingen der Schüttungsphase ging die sandige Sedimentation dann in eine mehr mergelige über, in der auch die Einschwemmung von Flachwasserfossilien nachließ und planktonische Foraminiferen dominierten. Daran schloß sich eine neuerliche Schüttungsphase mit Rosinenmergeln an.

Das Eingleiten eines oder mehrerer größerer Sedimentkörper „en bloc“ erscheint aus folgenden Gründen unwahrscheinlich:

1. Horizonte mit Tiefwasserforaminiferen (*Praeglobobulimina*, *Valvulineria*, *Allomorphina*) treten nicht nur im Liegenden (Teufelsgraben) und Hangenden (Lohgraben) der Blauen Wand-Serie, sondern auch zwischen den einzelnen Konglomerat-Komplexen auf (vgl. Abb. 11: Proben 5503/5504).
2. Auch in den Proben, in denen Seichtwassereinspülungen bei weitem das Bild der Mikrofauna bestimmen, treten Formen wie *Uvigerina* und *Praeglobobulimina* hinzu, die eine Bildung im Litoralbereich ausschließen lassen (vgl. Proben 5512–5516).
3. Auch eine Einlagerung von reinen Planktonhorizonten, z. T. auch verbunden mit *Nodosariiden*faunen (vgl. Proben 5507, 5508, 5517), in einem Küsten- oder Deltabereich wäre sehr ungewöhnlich.

4. Das Streichen der Schichten der Blauen Wand paßt sich exakt in den Verband der überlagernden Serien ein.

Das Abrutschen der Konglomerate über den „Schelfrand“ ins Tiefwasser dürfte mit Nachklängen der altsavischen Dislokationsphase (vgl. FUCHS 1976: Tab. 1; LEMCKE 1973: 26 sowie 1981: 6 und 8; MALZER 1981: 25) und der damit beginnenden Heraushebung der Alpen (FUCHS 1976: 223, 238) in Zusammenhang stehen, was sich nicht zuletzt in der Beendigung der Sedimentation im inneralpinen Tertiär des Unterinntales dokumentiert.

Die Geröllschüttungen lassen sich noch weiter nach Westen verfolgen. Im Zeiringer Graben, bei Grabenstätt, sind sie noch einmal gut aufgeschlossen. GANSS (1977: 114) stellte hier subaquatische Rutschungen fest. Eine Fossilliste folgt in einem späteren Abschnitt (Kapitel 2.4).

Nördlich des Traunprofils wurden diese Schüttungskörper in der Bohrung Mauerham 1 („Mauerham-Schüttung“) beobachtet (MÜLLER 1978b: 28 ff.). Das Verbreitungsareal dieser Serien in der oberbayerischen Molasse stellt LANGE (1983: Abb. 4) dar.

2.2.2.3 Zillerleite

2.2.2.3.1 Allgemeines

In dem in der Literatur als Zillergraben, auf den topographischen Karten als Schwobergraben bezeichneten Einschnitt am E-Hand der Traun sowie entlang der neuen Forststraße stehen dunkelbraune, harte, dünnplattige Mergel an, die auf den Schichtflächen unzählige Fischschuppen erkennen lassen. (Der Eingang der Forststraße ist auf einem Schild der Forstverwaltung fälschlicherweise als Lohgraben ausgewiesen, während der Zillergraben mit „Vogelsang“ beschildert ist.) Die Serie wird als Fischschiefer bezeichnet und wurde schon von GÜMBEL (1877: 70 ff.; 1887: 253) beschrieben. RICHTER (1940: 34) stellte sie ins Aquitan, setzte sie jedoch den Promberger Schichten gleich. Eine erste Darstellung der Mikrofauna gaben HAGN & HÖLZL (1952: 61 ff.) und datierten sie als Burdigal. Eine detaillierte lithologische Beschreibung des Aufschlusses wurde von GANSS (1977: 118–120) durchgeführt. In Anlehnung an PAULUS (1963: 77) sprach er sich für eine Einstufung ins Aquitan aus. PAULUS nahm jedoch einen Zeitunterschied zwischen den Fischschiefern der Prien und der Traun an. Eine Neubearbeitung der Mikrofauna wurde von HAGN et al. (1981: 164 ff.) in Angriff genommen. In derselben Arbeit stellte MARTINI (1981: Abb. 2) die Zugehörigkeit zum Oberen Eger durch Nannoplanktonuntersuchungen sicher.

2.2.2.3.2 Foraminiferenfauna

Spiroplectammina pectinata (REUSS)
Robulus inornatus (D'ORB.)
Robulus calcar (LINNÉ)
Planularia moravica (KARRER)
Marginulina pediformis BORNEMANN
Dentalina communis D'ORB.
Lagena striata (D'ORB.)
Lagena hispida REUSS

Amphimorphina haueriana NEUGEBOREN
Globulina gibba (D'ORB.)
Globulina muensteri (REUSS)
Guttulina problema (D'ORB.)
Bulimina elongata D'ORB.
Bulimina arndti HAGN
Praeglobobulimina pyrula (D'ORB.)
Caucasina coprolithoides (ANDREAE)
Virgulinella chalkophila (HAGN)
Fursenkoina acuta (D'ORB.)
Fursenkoina balkyardi (CUSHMAN)
Bolivina budensis (HANTKEN)
Bolivina crenulata trunensis HOFMANN
Bolivina dilatata REUSS
Bolivina fastigia CUSHMAN
Bolivina molassica HOFMANN
Uvigerina semiornata D'ORB.
Trifarina angulosa (WILLIAMSON)
Fissurina laevigata REUSS
Stilostomella spinescens (REUSS)
Stilostomella verneuilii (D'ORB.)
Elphidium flexuosum flexuosum (D'ORB.)
Elphidium angulatum (EGGER)
Elphidium macellum (FICHTEL & MOLL)
Elphidiella subcarinata (EGGER)
Elphidiella cryptostoma cryptostoma (EGGER)
Porosonion granosum (D'ORB.)
Florilus communis (D'ORB.)
Pullenia quinqueloba (REUSS)
Melonis pompilioides (FICHTEL & MOLL)
Nonionella liebusi HAGN
Cassidulina laevigata D'ORB.
Globocassidulina crassa (D'ORB.)
Globocassidulina oblonga (REUSS)
Chilostomella ovoidea REUSS
Allomorphina trigona REUSS
Sphaeroidina bulloides D'ORB.
Ammonia beccarii (LINNE)
Ammonia propingua (REUSS)
Rosalina globularis semiporata (EGGER)
Discorbis biaperturatus (POKORNY)
Discorbis uhligi austriacus (TOLLMANN)
Valvulineria complanata (D'ORB.)
Cancris auriculus (FICHTEL & MOLL)
Cancris subconicus (TERQUEM)
Gyroidina parva CUSHMAN & RENZ
Alabamina tangentialis (CLODIUS)
Oridorsalis umbonatus (REUSS)
Globigerina praebulloides praebulloides BLOW
Globigerina officinalis SUBBOTINA
Globigerina ciperoensis ciperoensis BOLLI
Globigerina angustiumbilitata BOLLI
Globoquadrina dehiscens (CHAPMAN, PARR & COLLINS)
Cibicides lobatulus (WALKER & JACOB)
Cibicidoides pseudoungerianus (CUSHMAN)
Heterolepa dutemplei (D'ORB.)
Hanzawaia boueana (D'ORB.)

Daneben können noch zahlreiche Radiolarien, Schwammnadeln und Fischreste sowie einzelne Umlagerungen aus der Kreide festgestellt werden.

In den entsprechenden Serien im Pechschnaitgraben wurden außerdem noch gefunden:

Robulus cultratus MONTFORT
Vaginulinopsis pseudodecorata HAGN
Guttulina praelonga (EGGER)
Pyrulina fusiformis (ROEMER)
Virgulopsis tuberculata (EGGER)
Caucasina cylindrica ZAPLETALOVA
Uvigerina parviformis PAPP
Trifarina gracilis (REUSS)
Stilostomella consobrina (D'ORB.)
Pullenia bulloides (D'ORB.)
Allomorphina trigona REUSS
Asterigerinata planorbis (D'ORB.)
Cibicidoides ungerianus filicosta (HAGN)

2.2.2.3.3 Foraminiferenvergesellschaftungen

Im tieferen Teil des Profils wird die Fauna von *Praeglobobulimina*, *Fursenkoina*, *Bolivina*, *Valvulineria*, *Cancris* und *Chilostomella* beherrscht. Diese Vergesellschaftung weist auf große Wassertiefen, etwa des oberen Bathyals hin.

Im höheren Teil dominieren Uvigerinen, Nodosariiden (vor allem *Planularia* und *Robulus*) und Bolivinen sowie Cassidulinen. Lagenweise sind Globigerinen stark angereichert. Es ist hier auf ein allmähliches Flacherwerden zu schließen, etwa oberstes Bathyal am Übergang ins Neritikum. Einschwemmungen aus dem Flachneritikum sind nicht selten.

In dieser Abnahme der Wassertiefe zwischen unterem und oberem Teil der Fischechiefer deutet sich die Regression des Meeres an der Wende Eger/Eggenburg an.

2.2.3 Eggenburg

2.2.3.1 Pechschnaitgraben: Unteres Eggenburg

Im Pechschnaitgraben werden die Fischechiefer des Oberen Eger ohne erkennbare Diskordanz von sandigen Mergeln, Sandsteinen und Rosinenmergeln des Eggenburg überlagert. Die Aufschlüsse wurden schon von HAGN & HÖLZL (1952: 67f.) bearbeitet. GANSS (1977: 121) beschreibt die Serie noch in ihrer Gesamtheit als Aquitan. Ebenfalls zum Unteren Eggenburg gehört ein kleiner Anriß sandiger Mergel am E-Hand des Trauntales, etwas nördlich des Zillergrabens (Nr. 5533).

Die Foraminiferenfauna dieses Abschnitts setzt sich wie folgt zusammen:

Bathysiphon filiformis SARRS
Robulus inornatus (D'ORB.)
Robulus vortex (FICHTEL & MOLL)
Robulus calcar (LINNE)
Robulus cultratus MONTFORT
Marginulina hirsuta D'ORB.
Dentalina communis D'ORB.
Lagena hispida REUSS
Plectofrondicularia digitalis (NEUGEBOREN)
Globulina gibba (D'ORB.)
Globulina granulosa (EGGER)
Guttulina problema (D'ORB.)

Pseudopolymorphina incerta (EGGER)
Buliminella pulchra (TERQUEM)
Bulimina elongata D'ORB.
Virgulopsis tuberculata (EGGER)
Reussella spinulosa (REUSS)
Bolivina crenulata trunensis HOFMANN
Bolivina liebusi HOFMANN
Uvigerina posthantkeni PAPP
Uvigerina parviformis PAPP
Trifarina gracilis (REUSS)
Stilostomella danuviensis nom. nov.
Stilostomella consobrina (D'ORB.)
Stilostomella verneuilii (D'ORB.)
Stilostomella longiscata (D'ORB.)
Elphidium crispum (LINNÉ)
Elphidium flexuosum flexuosum (D'ORB.)
Elphidium macellum (FICHTEL & MOLL)
Elphidium fichtellianum (D'ORB.)
Elphidiella subcarinata (EGGER)
Elphidiella minuta (REUSS)
Elphidiella cryptostoma cryptostoma (EGGER)
Elphidiella dollfusi (CUSHMAN)
Porosononion granosum (D'ORB.)
Florilus communis (D'ORB.)
Pullenia bulloides (D'ORB.)
Pullenia quinqueloba (REUSS)
Melonis pompilioides (FICHTEL & MOLL)
Globocassidulina oblonga (REUSS)
Ammonia beccarii (LINNÉ)
Ammonia propingua (REUSS)
Pararotalia rimosa (REUSS)
Neoeponides schreibersii (D'ORB.)
Valvulineria complanata (D'ORB.)
Cancris auriculus (FICHTEL & MOLL)
Asterigerinata planorbis (D'ORB.)
Globigerina praebulloides praebulloides BLOW
Cibicides lobatulus (WALKER & JACOB)
Cibicidoides ungerianus filicosta (HAGN)
Cibicidoides pseudoungerianus (CUSHMAN)
Heterolepa dutemplei (D'ORB.)
Hanzawaia boueana (D'ORB.)

daneben zahlreiche Umlagerungen aus der Kreide.

Bemerkenswert an dieser Fauna ist das häufige Auftreten von *Bathysiphon*, der auf große Wassertiefen schließen läßt (vermutlich oberes Bathyal). Die reiche Vergesellschaftung von Formen des Flachneritikums, u. a. *Elphidium*, *Asterigerinata* und *Polymorphiniden*, muß daher als Einschwemmung angesehen werden. Die lithologischen wie faunistischen Verhältnisse, die an der Blauen Wand zu beobachten waren, setzen sich also bis ins Eggenburg fort. Proben, in denen Einschwemmungen zurücktreten, sind im höheren Profiteil häufig durch *Robulus cultratus* und *Cibiciden* charakterisiert.

2.2.3.2 Röthelbach

2.2.3.2.1 Allgemeines

Ein gutes Stück unterhalb der Einmündung des Pechschnaitgrabens, etwa vom Anwesen Hütt ab, steht im Röthel-

bach eine mächtige Serie blaugrauer, sandarmer Mergel an. Diese wird weiter unten von einer Wechsellagerung aus Sandsteinen und sandigen Mergeln abgelöst, die GANSS (1955: 479) mit den Sandsteinen der Sur gleichsetzen wollte. Etwa beim Ende des Forstweges erfolgt wieder ein Übergang in leicht sandige Mergel ohne Sandsteinbänke.

GÜMBEL (1887: 277), der die Lokalität als erster bearbeitete, parallelisierte die Serie des Röthelbaches mit dem Ottnanger Schlier, KORDIUK (1938: 10 und 24) stufte sie ins Burdigal ein. HAGN & HÖLZL (1952: 62 ff.) beschrieben aus ihr eine reiche Mikro- und Megafauna und verglichen sie mit den Ortenburger Meeressanden. CÍCHA, HAGN & MARTINI (1971: 288) ordneten sie mit Hilfe der Nannoflora dem Grenzbereich NN1/NN2 zu, was dem tieferen Eggenburg entsprechen würde. Auch GANSS (1977: 123) beschrieb die Serie des Röthelbaches.

Aufgrund der Foraminiferenfauna läßt sich der Röthelbach in zwei Abschnitte untergliedern: in Mittleres und Oberes Eggenburg.

2.2.3.2.2 Mittleres Eggenburg

Dieser Abschnitt umfaßt die Aufschlüsse von Hütt bach-abwärts, einschließlich des hier einmündenden Seitengrabens aus Richtung Höfen. Dazu gehört auch fast die gesamte Serie mit den eingeschalteten Sandsteinbänken und eine Probe an der Traun, an der Straße nach Traunstein, ca. 200 m vor der Abzweigung nach Haslach (Nr. 5560).

Bathysiphon filiformis SARS
Ammodiscus cretaceus (REUSS)
Cyclammina acutidorsata (HANTKEN)
Textularia gramen D'ORB.
Textularia pala CZJZEK
Spiroplectammina pectinata (REUSS)
Spiroplectammina carinata (D'ORB.)
Quinqueloculina akneriana D'ORB.
Quinqueloculina buchiana D'ORB.
Triloculina gibba D'ORB.
Pyrgo cf. *lunula* (D'ORB.)
Sigmoilopsis cf. *schlumbergeri* (SILVESTRI)
Robulus inornatus (D'ORB.)
Robulus pauperculus (REUSS)
Robulus calcar (LINNÉ)
Astacolus crepidulus (FICHTEL & MOLL)
Vaginulinopsis pseudodecorata HAGN
Marginulina hirsuta D'ORB.
Dentalina communis D'ORB.
Lagena hispida REUSS
Lagena laevis (MONTAGU)
Lagena isabella (D'ORB.)
Plectofrondicularia digitalis (NEUGEBOREN)
Plectofrondicularia vaughani CUSHMAN
Globulina gibba (D'ORB.)
Globulina striata (EGGER)
Globulina muensteri (REUSS)
Guttulina problema (D'ORB.)
Guttulina praelonga (EGGER)
Pseudopolymorphina incerta (EGGER)
Pseudopolymorphina media (EGGER)
Pyrulina fusiformis (ROEMER)

Glandulina ovula D'ORB.
Buliminella pulchra (TERQUEM)
Buliminella elegantissima (D'ORB.)
Bulimina elongata D'ORB.
Bulimina striata D'ORB.
Virgulopsis tuberculata (EGGER)
Caucasina cylindrica ZAPLETALOVA
Reussella spinulosa (REUSS)
Fursenkoina acuta (D'ORB.)
Bolivina budensis (HANTKEN)
Bolivina crenulata trunensis HOFMANN
Bolivina dilatata REUSS
Bolivina fastigia CUSHMAN
Coryphostoma digitalis (D'ORB.)
Uvigerina posthantkeni PAPP
Uvigerina parviformis PAPP
Trifarina gracilis (REUSS)
Trifarina angulosa (WILLIAMSON)
Trifarina bradyi CUSHMAN
Fissurina orbignyana orbignyana SEGUENZA
Fissurina orbignyana striata (FRIESE)
Fissurina laevigata REUSS
Stilostomella danuviensis nom. nov.
Stilostomella adolphina (D'ORB.)
Stilostomella spinescens (REUSS)
Stilostomella perscripta (EGGER)
Stilostomella scabra (REUSS)
Stilostomella consobrina (D'ORB.)
Stilostomella verneuillii (D'ORB.)
Elphidium crispum (LINNÉ)
Elphidium flexuosum flexuosum (D'ORB.)
Elphidium flexuosum subtypicum PAPP
Elphidium felsense PAPP
Elphidium reussi MARKS
Elphidium angulatum (EGGER)
Elphidium macellum (FICHEL & MOLL)
Elphidium ortenburgense (EGGER)
Elphidium fichtellianum (D'ORB.)
Elphidium hauerinum (D'ORB.)
Elphidium glabratum CUSHMAN
 „*Elphidium*“ *rugulosum* CUSHMAN & WICKENDEN
Elphidiella subcarinata (EGGER)
Elphidiella heteropora (EGGER)
Elphidiella minuta (REUSS)
Elphidiella cryptostoma cryptostoma (EGGER)
Elphidiella dollfusi (CUSHMAN)
Porosononion granosum (D'ORB.)
Florilus communis (D'ORB.)
Protelphidium roemeri (CUSHMAN)
Pullenia bulloides (D'ORB.)
Melonis pompilioides (FICHEL & MOLL)
Cassidulina laevigata D'ORB.
Globocassidulina crassa (D'ORB.)
Globocassidulina oblonga (REUSS)
Sphaeroidina bulloides D'ORB.
Ammonia beccarii (LINNÉ)
Ammonia propingua (REUSS)
Pararotalia rimosa (REUSS)
Pararotalia batavensis n. sp.
Rosalina globularis semiporata (EGGER)

Discorbis biaperturatus (POKORNÝ)
Discorbis uhligi austriacus (TOLLMANN)
Neoeponides schreibersii (D'ORB.)
Valvulineria complanata (D'ORB.)
Valvulineria petrolei (ANDREAE)
Cancris auriculus (FICHEL & MOLL)
Gyroidina parva CUSHMAN & RENZ
Alabamina tangentialis (CLODIUS)
Syratkina perlata (ANDREAE)
Oridorsalis umbonatus (REUSS)
Epistominella molassica (HAGN)
Escornebovina orthorapha (EGGER)
Glabratella hagni n. sp.
Glabratella biconvexa n. sp.
Glabratella cf. *aurantista* SEIGLIE & BERMUDEZ
Heronallenia cf. *otukai* UCHIO
Asterigerinata planorbis (D'ORB.)
Amphistegina lessonii D'ORB.
Globigerina praebulloides praebulloides BLOW
Globigerina praebulloides leroyi BLOW & BANNER
Globigerina cf. *foliata* BOLLI
Globigerina dubia EGGER
Globigerina angustiumbilicata BOLLI
Globoquadrina debiscens (CHAPMAN, PARR & COLLINS)
Globoquadrina baroemoenensis (LE ROY)
Globorotalia acrostoma WEZEL
Globorotalia mayeri CUSHMAN & ELLISOR
Globorotalia obesa BOLLI
Globorotalia scitula praescitula BLOW
Cassigerinella globulosa (EGGER)
Cibicides lobatulus (WALKER & JACOB)
Cibicidoides ungerianus filicosta (HAGN)
Cibicidoides pseudoungerianus (CUSHMAN)
Heterolepa dutemplei (D'ORB.)
Hanzawaia boueana (D'ORB.)

Hinzu treten Radiolarien und Ostracoden, sowie als Umlagerungen aus der Kreide:

Rotalipora appenninica (RENTZ)
Globotruncana sp.
Hedbergella sp.
Heterohelix sp.
Globigerinelloides sp.

außerdem aus dem Rupel:

Uvigerina hantkeni CUSHMAN & EDWARDS

2.2.3.2.3 Oberes Eggenburg

Der Abschnitt beginnt ungefähr am Ende des Sandsteinhorizonts im Röthelbach und reicht bis zu seinem Unterlauf, wo noch ein kleiner Ausbiss bei der Rasthütte kurz vor dem Schwimmbad vorhanden war (Nr. 5558). Diese Serie schließt auch den Aufschluß bei der Haslacher Mühle (Nr. 5559) ein. An dieser Stelle hatten schon SEDGWICK & MURCHISON (1832: 340f.) die ersten Fossilien gesammelt. GUMBEL (1877: 71f.; 1887: 277; 1894: 345) parallelisierte diese Schichten mit dem Ottnanger Schlier, HAGN & HÖLZL (1952: 75) stellten sie ins Helvet, HAGN et al. (1981: 166) ins Mittlere Ottnang. In Wirklichkeit gehört der Aufschluß jedoch noch zum Eggenburg, wie das Auftreten von *Elphidiella subcarinata* beweist.

Außerdem ergibt sich dieser Schluß auch aus der Parallelisierung mit den Schichten des Fußgrabens, wie aus Abb. 11 und Abb. 13 hervorgeht. Der Horizont mit *Planularia buergli*, der im Fußgraben die Basis des Ottang bildet, tritt an der Traun nämlich erst nördlich der Haslacher Mühle auf (vgl. Kapitel 2.2.4).

2.2.3.3 Stratigraphie

Das Obere Eggenburg unterscheidet sich faunistisch nur unwesentlich vom Mittleren Eggenburg. Es treten jedoch zwei wichtige Entwicklungen ein:

Elphidiella cryptostoma cryptostoma (EGGER) wird im Oberen Eggenburg von *Elphidiella cryptostoma semiincisa* n. ssp. abgelöst,

Bolivina fastigia CUSHMAN von *Bolivina concinna* (K. & M.). HOFMANN (1967: 198) bezeichnet dies als „...eine echte Zeitmarke...“.

Außerdem wurde im Oberen Eggenburg erstmals *Hopkinsina* cf. *bononiensis primiformis* (P. & T.) festgestellt.

Darüber hinaus war zu beobachten, daß *Elphidium ortenburgense* (EGGER) und *Elphidium felsense* PAPP im Oberen Eggenburg im Röthelbach fehlen. Sie sind jedoch noch nicht völlig ausgestorben, da sie im Fußgraben, wie später gezeigt werden wird (Kapitel 2.3.2.1), noch ins Obere Eggenburg hineinreichen. Sie sind hier allerdings bereits sehr selten.

Im Unteren Eggenburg des Pechschnaitgrabens fehlen *Elphidium ortenburgense* und *Elphidium felsense* ebenfalls. Die Elphidienfauna dieses Abschnitts ist zwar sehr reich, aber, abgesehen von der primitiven Form *Elphidiella*, nicht sehr divers. So läßt sich auch das tiefere Eggenburg ziemlich sicher abtrennen.

Aus diesen Feststellungen konnte, wie bereits früher erörtert (Kapitel 2.1.3.5), die Stellung der Ortenburger Meeresande als Mittleres Eggenburg abgeleitet werden.

2.2.3.4 Paläogeographie

Im Unteren Eggenburg stellen *Bathysiphon*, *Robulus cultratus* und *Cibicidoides ungerianus filicosta* die dominierenden Faunenelemente dar. Dies gilt für einzelne Proben aus dem Pechschnaitgraben sowie für die Fundstelle am Osthang des Traunales, nördlich des Zillergrabens (Nr. 5533). Der gesamte liegende Abschnitt des Röthelbaches, bis zum Einsetzen der Sandsteinbänke, wird dagegen von einer Vergesellschaftung aus *Melonis pompilioides* und *Bulimina striata*, neben zahlreichen *Stilostomellen* und *Globigerinen*, beherrscht. *Melonis pompilioides* spricht nach Untersuchungen an rezenten Vorkommen für sehr große Wassertiefen. Die Angaben liegen alle bei vierstelligen Zahlen. Es wäre vermessens, solche Tiefen auch hier anzunehmen, da nach oben zu, mit dem Beginn der Sandsteinbänke, eine Fauna des Flachneritikums mit Rotalien und Elphidien als dominierenden Elementen einsetzt, die keine größeren Wassertiefen als maximal 100 m zuläßt. So darf man für den Abschnitt mit *Melonis pompilioides* etwa Wassertiefen vermuten, die im Übergangs-

bereich zwischen oberem Bathyal und Tiefneritikum liegen. Darüber muß auf jeden Fall eine rasche Verflachung eingesetzt haben. In die Serie mit *Melonis* sowie in dem darüberliegenden Profiltail sind nun wieder zwei Horizonte festzustellen, die, wie schon bei dem dritten derartigen Horizont im Pechschnaitgraben, eine Fauna des extremen Flachneritikums mit großwüchsigen Elphidien, *Asterigerinata*, Polymorphiniden und *Cibicides lobatulus* aufweisen. Es zeigt sich hierbei große Übereinstimmung mit den Ortenburger Meeressanden von Niederbayern, die auf eine weiträumige Entwicklung dieser charakteristischen Foraminiferenvergesellschaftung in paläogeographisch den niederbayerischen Vorkommen entsprechenden Situationen des Alpennordrandes hinweist. Diese Elphidien-Horizonte müssen wieder als Einspülungen in den Tieferwasserbereich der *Melonis*-Vergesellschaftung aufgefaßt werden.

2.2.4 Unteres Ottang: *Planularia buergli*-Horizont

Das Untere Ottang ist im Traunprofil nur mehr in seinem allertiefsten Teil angeschnitten. Der Aufschluß (Nr. 5562) liegt bei Traunstein, nahe der Straße nach Siegsdorf, in einem kleinen Graben gegenüber der Peugeot-Werkstatt. Hier sind ziemlich sandige, blaugraue Mergel angeschnitten, deren Mikrofauna durch *Planularia buergli* charakterisiert ist. Die Schichten lassen sich damit dem bereits in der Bohrung Ortenburg 1003 angetroffenen und auch im Unterlauf des Fußgrabens aufgeschlossenen *Planularia buergli*-Horizont zuordnen.

Die Foraminiferenfauna setzt sich wie folgt zusammen:

Cyclammina acutidorsata (HANTKEN)
Robulus inornatus (D'ORB.)
Planularia buergli n. sp.
Bulimina striata D'ORB.
Virgulopsis tuberculata (EGGER)
Caucasina cylindrica ZAPLETALOVÁ
Bolivina crenulata trunensis HOFMANN
Bolivina dilatata REUSS
Bolivina concinna (KNIPSCHER & MARTIN)
Uvigerina parviformis PAPP
?Hopkinsina bononiensis primiformis (PAPP & TURNOVSKY)
Trifarina angulosa (WILLIAMSON)
Trifarina bradyi CUSHMAN
Stilostomella perscripta (EGGER)
Stilostomella verneuili (D'ORB.)
Elphidium flexuosum subtypicum PAPP
Elphidium glabratum CUSHMAN
Elphidiella heteropora (EGGER)
Elphidiella minuta (REUSS)
Elphidiella cryptostoma semiincisa n. ssp.
Porosonion granosum (D'ORB.)
Florilus communis (D'ORB.)
Pullenia quinqueloba (REUSS)
Melonis pompilioides (FICHEL & MOLL)
Globocassidulina crassa (D'ORB.)
Globocassidulina oblonga (REUSS)
Ammonia beccarii (LINNÉ)
Discorbis biaperturatus (POKORNÝ)

Gyroidina parva CUSHMAN & RENZ
Globigerina praebulloides praebulloides BLOW
Globigerina praebulloides leroyi BLOW & BANNER
Globigerina ciperoensis ottnangiensis ROGI
Globigerina angustiumbilitata BOLLI
Globoquadrina baroemouensis (LE ROY)
Globorotalia acrostoma WEZEL
Cibicides lobatulus (WALKER & JACOB)
Cibicidoides pseudoungerianus (CUSHMAN)
Hanzawaia boueana (D'ORB.)

Neben *Planularia buergli* ist vor allem die Häufigkeit von *Gyroidina parva* und *Globoquadrina baroemouensis* bemerkenswert.

Es dominieren *Ammonia beccarii*, planktonische Foraminiferen und *Gyroidina*. Die Ablagerung dürfte unter flachneritischen Bedingungen stattgefunden haben.

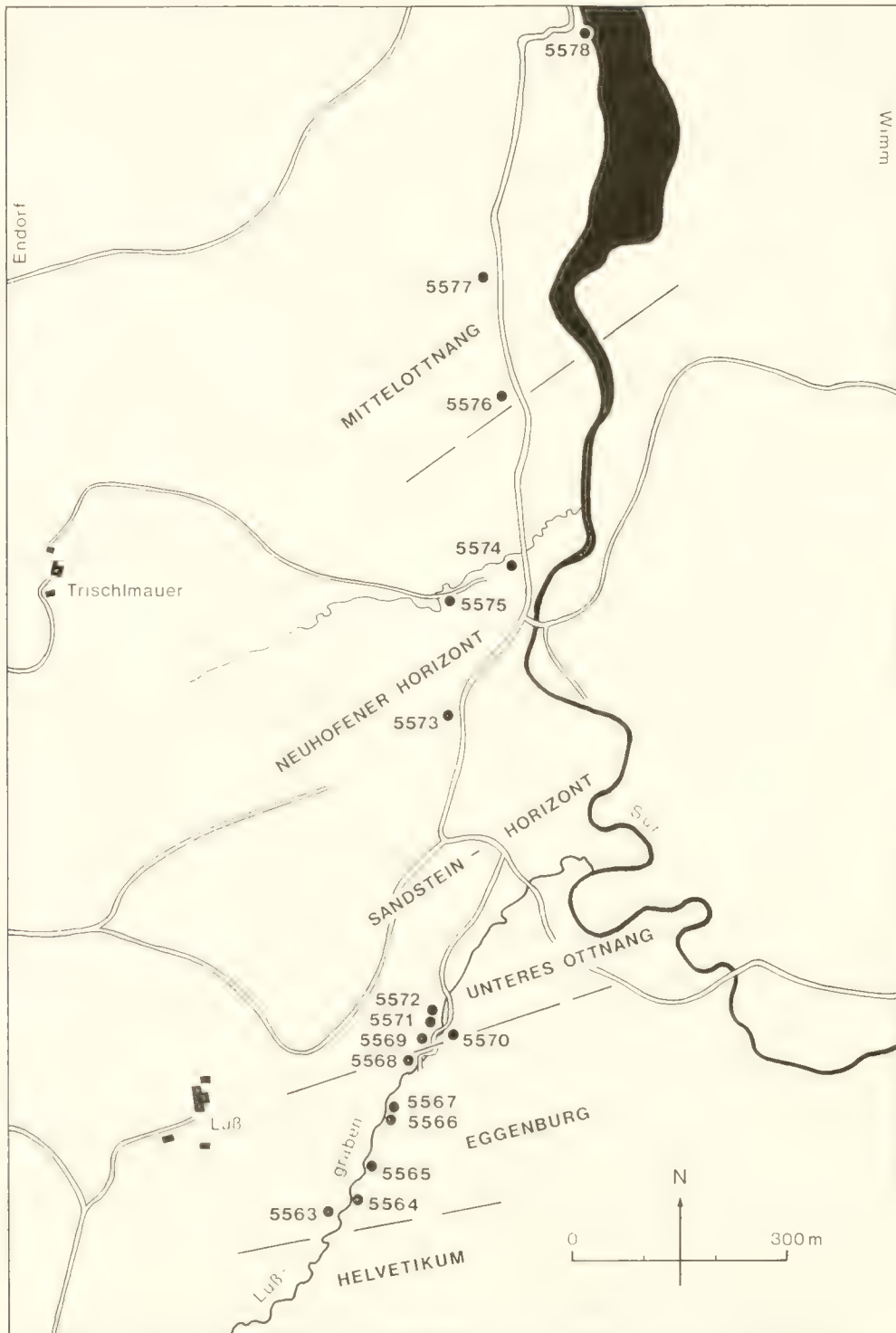


Abb. 12: Übersicht über das Sur-Profil mit Probenentnahmepunkten (Stauseeweg stark schematisiert).

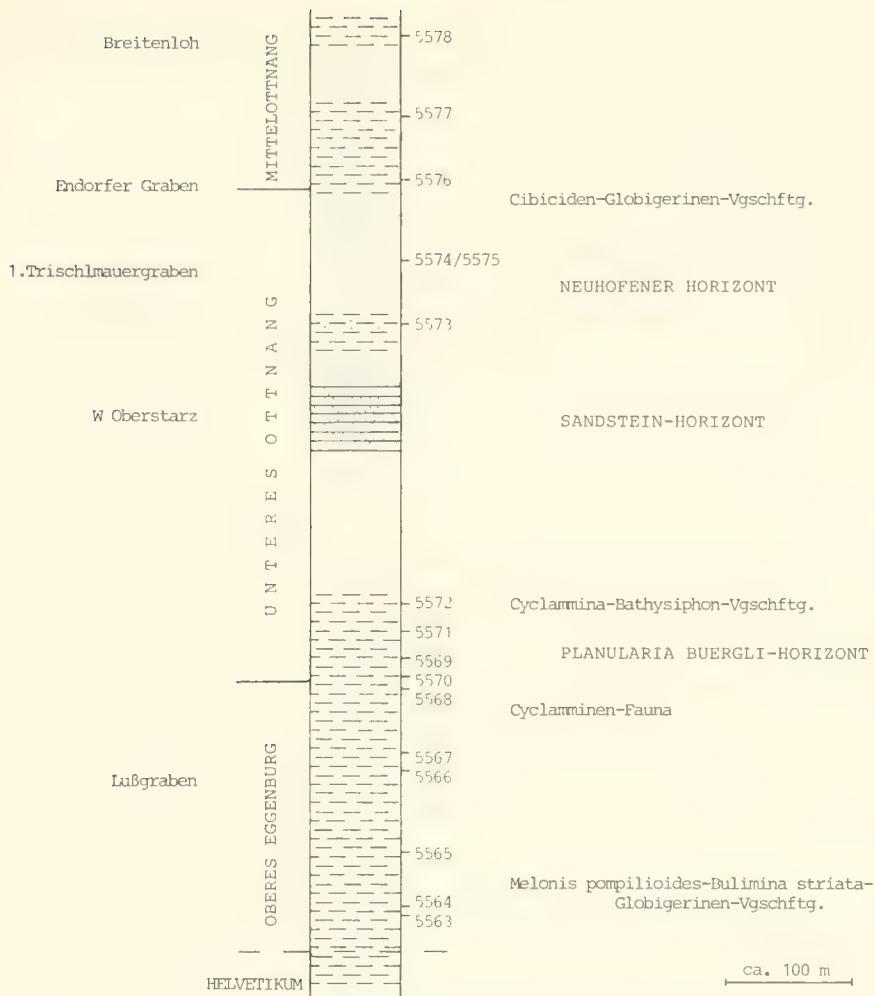


Abb. 13: Säulenprofil der Sur mit Probenentnahmepunkten.

2.3 SUR-PROFIL

2.3.1 Allgemeines

Das Sur-Profil bietet sich als nächste Station an, da es die direkte stratigraphische Fortsetzung des Traunprofils darstellt, und das Eggenburg der beiden Profile sehr gut korrelierbar ist. Von den alten Autoren scheint sich nur GÜMBEL (1887: 278f.; 1894: 345) mit der hier anstehenden Serie befaßt zu haben. Er erkannte, daß hier die Obere Meeresmolasse direkt an das Helvetikum grenzt, führte das Fehlen des Oligozän-Komplexes aber nicht auf tektonische Unterdrückung zurück, sondern vermutete hier die normale östliche Verbreitungsgrenze des Oligozänmeeres (GÜMBEL 1887: 227). KORDIUK (1938: 7) beschrieb kurz die Lithologie. Die Sande westlich Wimmern hielt er für basales Eggenburg, die sandigen Mergel der Sur für Äquivalente des Schliers. Erst HAGN & HÖLZL (1952: 68f. und 75–79) beschäftigten sich wieder näher mit diesem Gebiet und beschrieben die Mikro- und Mega-fauna der hier angetroffenen Serie. GANSS (1955: 482f.) ging kurz auf den Lußgraben ein und sah in den Sandsteinen des Unterlaufs des Lußgrabens und der Sur Ausläufer der Kalksandsteine der Prien und des Sandsteinhorizonts im Röthelbach (l. c. 479).

2.3.2 Lußgraben

2.3.2.1 Eggenburg

Wie schon gesagt, grenzt hier das Eggenburg tektonisch an das Helvetikum mit Pattenauer Schichten. Die Eggenburg-Serie ist ebenfalls weitgehend überschoben, so daß im Graben im wesentlichen nur noch Oberes Eggenburg aufgeschlossen liegt. Es handelt sich hierbei um blaugraue, sandarme, geschichtete, im Bereich der tektonischen Grenze stark bröckelige Mergel.

Die Foraminiferenfauna setzt sich folgendermaßen zusammen:

Bathysiphon filiformis Sars
Cyclamina acutidorsata (HANTKEN)
Cyclamina rotundidorsata (HANTKEN)
Textularia gramen D'ORB.
Textularia pala CZJEK
Siphonotextularia concava (KARRER)
Spiroplectammina pectinata (REUSS)
Spiroplectammina carinata (D'ORB.)
Sigmoilinita tenuis (CZJEK)
Sigmoilopsis otnnangensis CICHÁ, ČTYROKÁ & ZAPLETALOVÁ

Sigmoilopsis cf. *schlumbergeri* (SILVESTRI)
Robulus inornatus (D'ORB.)
Robulus vortex (FICHTEL & MOLL)
Robulus pauperculus (REUSS)
Robulus calcar (LINNÉ)
Astaculus crepidulus (FICHTEL & MOLL)
Dentalina communis D'ORB.
Nodosaria raphanistrum (LINNÉ)
Plectofrondicularia digitalis (NEUGBOREN)
Plectofrondicularia vaughani CUSHMAN
Amphimorphina haueriana NEUGBOREN
Bolivinaella virgata CUSHMAN
Globulina striata (EGGER)
Bulimina elongata D'ORB.
Bulimina striata D'ORB.
Virgulopsis tuberculata (EGGER)
Caucasina cylindrica ZAPLETALOVÁ
Reussella spinulosa (REUSS)
Bolivina beyrichi carinata HANTKEN
Bolivina crenulata trunensis HOFMANN
Bolivina hebes MACFADYEN
Bolivina fastigia CUSHMAN (nur im tiefsten Teil)
Coryphostoma digitalis (D'ORB.)
Uvigerina posthantkeni PAPP
Uvigerina parviformis PAPP
Trifarina gracilis (REUSS)
Trifarina angulosa (WILLIAMSON)
Trifarina bradyi CUSHMAN
Fissurina obtusa EGGER
Stilostomella danuviensis nom. nov.
Stilostomella spinescens (REUSS)
Stilostomella perscripta (EGGER)
Stilostomella scabra (REUSS)
Elphidium flexuosum flexuosum (D'ORB.)
Elphidium flexuosum subtypicum PAPP
Elphidium matzenense PAPP
Elphidium felsense PAPP
Elphidium angulatum (EGGER)
Elphidium macellum (FICHTEL & MOLL)
Elphidium ortenburgense (EGGER)
Elphidium fichtellianum (D'ORB.)
Elphidium hauerinum (D'ORB.)
Elphidium glabratum CUSHMAN
Elphidiella subcarinata (EGGER)
Elphidiella minuta (REUSS)
Elphidiella cryptostoma semiincisa n. ssp.
Porosononion granosum (D'ORB.)
Florilus communis (D'ORB.)
Pullenia bulloides (D'ORB.)
Astrononion perfossum (CLODIUS)
Melonis pompilioides (FICHTEL & MOLL)
Globocassidulina oblonga (REUSS)
Sphaeroidina bulloides D'ORB.
Ammonia beccarii (LINNÉ)
Ammonia propingua (REUSS)
Pararotalia batavensis n. sp.
Rosalina globularis semiporata (EGGER)
Discorbis uhligi austriacus (TOLLMANN)
Cancris auriculus (FICHTEL & MOLL)
Gyroidina soldanii D'ORB.

Gyroidina parva CUSHMAN & RENZ
Alabamina tangentialis (CLODIUS)
Oridorsalis umbonatus (REUSS)
Escornebovina trochiformis (ANDREAE)
Glabratella hagni n. sp.
Glabratella biconvexa n. sp.
Glabratella cf. *baccata* (HERON-ALLEN & EARLAND)
Asterigerinata planorbis (D'ORB.)
Globigerina praebulloides praebulloides BLOW
Globigerina praebulloides leroyi BLOW & BANNER
Globigerina woodi JENKINS
Globigerina angustiumbilitata BOLLI
Globoquadrina dehiscens (CHAPMAN, PARR & COLLINS)
Globorotalia obesa BOLLI
Cibicides lobatulus (WALKER & JACOB)
Cibicidoides ungerianus filicosta (HAGN)
Cibicidoides pseudoungerianus (CUSHMAN)
Heterolepa dutemplei (D'ORB.)
Hanzawaia boneana (D'ORB.)
Hoeglundina elegans (D'ORB.)
 daneben Ostracoden und Fischreste.

In einzelnen Horizonten treten hier sowie in zeitgleichen Serien bei Braunsreut (5674) sehr viele Umlagerungen, vor allem aus dem Eozän auf. Es handelt sich dabei in erster Linie um eozänes Plankton, aber auch benthonische Klein- und Großforaminiferen sind sehr auffällig. Diese Zusammensetzung weist auf umgelagerte Stocklettenfaunen hin.

Das Faunenbild wird, wie im Röthelbach, beherrscht von *Melonis pompilioides* und *Bulimina striata*, neben zahlreichen Globigerinen. Die Ablagerung dürfte auch hier im Bereich oberes Bathyal/tiefes Neritikum stattgefunden haben. Für tieferes Wasser spricht auch *Hoeglundina elegans*. Im oberen Teil wird *Cyclammmina* zum dominierenden Element.

2.3.2.2 Unteres Ottang: *Planularia buergli*-Horizont

2.3.2.2.1 Mikrofauna

Im Unterlauf des Fußgrabens treten etwas sandigere Mergel auf, deren Fauna von *Planularia buergli* beherrscht wird. Die Schichten entsprechen damit dem bereits aus Traunstein und der Bohrung Ortenburg 1003 bekannten Horizont.

Es ließ sich folgender Foraminiferenbestand nachweisen:

Bathysiphon filiformis SARS
Haplophragmoides canariensisiformis SZTRAKOS
Cyclammmina acutidorsata (HANTKEN)
Textularia agglutinans D'ORB.
Spiroplectammmina pectinata (REUSS)
Karrieriella hantkeniana CUSHMAN
Robulus inornatus (D'ORB.)
Robulus vortex (FICHTEL & MOLL)
Planularia buergli n. sp.
Astaculus crepidulus (FICHTEL & MOLL)
Lagena semistriata WILLIAMSON
Bulimina elongata D'ORB.
Bulimina striata D'ORB.
Virgulopsis tuberculata (EGGER)
Caucasina cylindrica ZAPLETALOVÁ
Fursenkoina acuta (D'ORB.)

Bolivina crenulata trunensis HOFMANN
Bolivina concinna (KNIPSCHER & MARTIN)
Bolivina antiqua D'ORB.
Fissurina laevigata REUSS
Stilostomella ottnangensis (TOULA)
Stilostomella scabra (REUSS)
Stilostomella consobrina (D'ORB.)
Stilostomella verneuilii (D'ORB.)
Elphidium flexuosum subtypicum PAPP
Elphidium macellum (FICHTEL & MOLL)
Porosononion granosum (D'ORB.)
Florilus communis (D'ORB.)
Pullenia bulloides (D'ORB.)
Melonis pompilioides (FICHTEL & MOLL)
Globocassidulina crassa (D'ORB.)
Globocassidulina oblonga (REUSS)
Sphaeroidina bulloides D'ORB.
Ammonia beccarii (LINNÉ)
Pararotalia rimosa (REUSS)
Gyroidina parva CUSHMAN & RENZ
Alabamina tangentialis (CLODIUS)
Asterigerinata planorbis (D'ORB.)
Globigerina praebulloides praebulloides BLOW
Globigerina angustiumbilitata BOLLI
Globoquadrina baroemoenensis (LE ROY)
Globorotalia acrostoma WEZEL
Globorotalia scitula praescitula BLOW
Cibicidoides pseudoungerianus (CUSHMAN)
Heterolepa dutemplei (D'ORB.)
Hanzawaia boueana (D'ORB.)
Planulina wuellerstorfi (SCHWAGER)

daneben Radiolarien und viele Umlagerungen:

Praeglobobulimina pyrula (D'ORB.)
Uvigerina hantkeni CUSHMAN & EDWARDS
Gavelinella sp.
Osangularia sp.
Globotruncana sp.
Epistomina sp.

Neben *Planularia buergli* treten *Cyclamina* und *Bathysiphon* als dominierende Faunenbestandteile auf. *Ammonia beccarii* ist auch häufiger festzustellen, womit auf eine leichte Verflachung gegenüber den liegenden Schichten geschlossen werden kann (tiefstes Flachneritikum).

2.3.2.2.2 Alter

Die stratigraphische Einstufung der Serie ist sehr schwierig, da sowohl Leitformen des Eggenburg, als auch des Ottnang fehlen. Dies gilt nicht nur für den Fußgraben, sondern auch für den entsprechenden Horizont bei Traunstein und in der Bohrung Ortenburg 1003. Allein das isolierte Vorkommen in der zuletzt genannten Bohrung macht ein Eggenburg-Alter schon unwahrscheinlich. In diesem Raum sind Eggenburg-Sedimente sonst unbekannt. Außerdem wird, wie schon früher erläutert, im Oberen Eggenburg eine Erosionsphase angenommen.

Bezüglich der Mikrofauna ergeben sich nur einige wenige Hinweise, die ein Ottnang-Alter noch am wahrscheinlichsten erscheinen lassen:

Spiroplectammina pectinata (ist im Fußgraben nicht selten)
Stilostomella ottnangensis (im Fußgraben)
 ?*Hopkinsina bononiensis primiformis* (in Traunstein)
Bolivina scitula (in der Bohrung Ortenburg 1003).

Als Absicherung wurde eine Probe Herrn E. MARTINI, Frankfurt, zur Bearbeitung des Nannoplanktons übersandt. Er schreibt hierzu: „Frage Eggenburg/Otnang-Stufe: Probe 5571 enthält *Helicosphaera ampliaperta*, während *Sphenolithus belemnos* nicht gefunden werden konnte. Ich halte die Probe daher eher für jünger als die Eggenburg-Stufe, d. h. Ottnang.“

2.3.3 Sur

2.3.3.1 Unteres Ottnang: Neuhofener Horizont

Unterhalb der Einmündung des Fußgrabens in die Sur folgen zunächst die schon in der Einleitung erwähnten fossiliferen Sande und Sandsteine. Daran schließen sich weiterhin stark sandige, blaugraue Mergel an, die in einer kleinen Rinne südlich der Trischlmauergräben anstehen (Nr. 5573). Sie führen die reichste Fauna. In den Trischlmauergräben selbst sind die Schichten als Feinsande entwickelt und ziemlich fossilarm.

Es konnte folgende Foraminiferenfauna gewonnen werden:

Textularia gramen D'ORB.
Siphotextularia concava (KARRER)
Spiroplectammina pectinata (REUSS)
Sigmoilinita tenuis (CZJZEK)
Robulus inornatus (D'ORB.)
Vaginulinopsis sp.
Lagena sulcata (WALKER & JACOB)
Globulina gibba (D'ORB.)
Globulina striata (EGGER)
Guttulina problema (D'ORB.)
Caucasina cylindrica ZAPLETALOVA
Bolivina concinna (KNIPSCHER & MARTIN)
Bolivina antiqua D'ORB.
Uvigerina parviformis PAPP
Trifarina gracilis (REUSS)
Elphidium flexuosum subtypicum PAPP
Elphidium matzenense PAPP
Elphidium glabratum CUSHMAN
Elphidiella heteropora (EGGER)
Elphidiella minuta (REUSS)
Florilus communis (D'ORB.)
Pullenia bulloides (D'ORB.)
Melonis pompilioides (FICHTEL & MOLL)
Globocassidulina oblonga (REUSS)
Ammonia beccarii (LINNÉ)
Globigerina praebulloides praebulloides BLOW
Globigerina angustiumbilitata BOLLI
Globoquadrina debiscens (CHAPMAN, PARR & COLLINS)
Cibicides lobatulus (WALKER & JACOB)
Heterolepa dutemplei (D'ORB.)
Hanzawaia boueana (D'ORB.)

daneben sind Ostracoden und Bryozoen festzustellen.

Wegen der Häufigkeit von *Robulus* und *Spiroplectammina pectinata* dürfte es sich hier um eine Flachwasserausbildung des Neuhofener Horizonts handeln. Wie schon in Niederbayern häufiger beobachtet, tritt auch hier *Sigmoilopsis ott-nangensis* in der Randfazies nicht auf. Trotz des Fehlens dieser Leitform ist die Einstufung dennoch sicher.

Das häufigere Erscheinen von *Ammonia* und Elphidien läßt auf eine Ablagerung im mittleren Flachneritikum schließen.

2.3.3.2 Mittelottnang

Dieser Abschnitt umfaßt die Aufschlüsse im Endorfer Graben, kurz vor Beginn des Stausees (Nr. 5576), einen kleinen Anriß direkt am Südende des Stausees (Nr. 5577) und die Aufschlüsse östlich Breitenloh (Nr. 5578). Die Serie ist als blaugrauer bis bräunlicher, stark sandiger, weicher Mergel ausgebildet.

Es ließ sich folgende Mikrofauna finden:

Siphotextularia concava (KARRER)
Robulus inornatus (D'ORB.)
Vaginulinopsis carinata SILVESTRI
Lagena laevis (MONTAGU)
Bulimina elongata D'ORB.
Caucasina cylindrica ZAPLETALOVA
Bolivina antiqua D'ORB.
Uvigerina parviformis PAPP
Hopkinsina bononiensis primiformis (PAPP & TURNOVSKY)
Trifarina gracilis (REUSS)
Oolina globosa (MONTAGU)
Fissurina orbignyana orbignyana SEGUENZA
Stilostomella scabra (REUSS)
Elphidium flexuosum subtypicum PAPP
Elphidium matzenense PAPP
Elphidium reussi MARKS
Elphidium macellum (FICHTEL & MOLL)
Elphidium glabratum CUSHMAN
Elphidiella heteropora (EGGER)
Elphidiella minuta (REUSS)
Elphidiella cryptostoma semiincisa n. ssp.
Porosonion granosum (D'ORB.)
Florilus communis (D'ORB.)
Pullenia bulloides (D'ORB.)
Pullenia quinqueloba (REUSS)
Astronionion perfossum (CLODIUS)
Melonis pompilioides (FICHTEL & MOLL)
Sphaeroidina bulloides D'ORB.
Ammonia beccarii (LINNÉ)
Ammonia propingua (REUSS)
Alabamina tangentialis (CLODIUS)
Globigerina praebulloides praebulloides BLOW
Globoquadrina debiscens (CHAPMAN, PARR & COLLINS)
Globorotalia acrostoma WFZEI
Cibicides lobatulus (WALKER & JACOB)
Cibicoides pseudoungerianus (CUSHMAN)
Heterolepa dutemplei (D'ORB.)
Hanzawaia boueana (D'ORB.)

daneben Ostracoden und als Umlagerungen aus der Kreide Globotruncanen, aus dem Eggenburg:

Bolivina fastigia CUSHMAN
Uvigerina posthantkeni PAPP

Die Häufigkeit von Cibiciden, *Ammonia* und Elphidien weist auf flachneritische Verhältnisse hin.

2.3.4 Korrelation mit dem Traunprofil

Die Eggenburg-Fauna des Fußgrabens ist der des Röthelbaches auffallend ähnlich. Besonders deutlich wird dies durch das Auftreten von *Sigmoilopsis* cf. *schlumbergeri*, *Robulus calcar*, *Stilostomella spinescens*, *Plectofrondicularia vaughani* und *Glabratella*. Elphidien sind im Fußgraben dagegen weit aus seltener, was auf die verminderte Einspülung aus dem Seichtwasser zurückzuführen ist.

Das Faunenbild wird, ebenso wie im Röthelbach, von *Melonis pompilioides* und *Bulimina striata* beherrscht. Diese Vergesellschaftung tritt im Röthelbach jedoch nur im Mittleren Eggenburg, im Fußgraben dagegen noch im Oberen Eggenburg auf. Dadurch wird eine allmähliche Verlagerung des Trogtiefsten nach Osten deutlich.

Das tiefste Ottnang ist im Fußgraben und bei Traunstein durch den Horizont mit *Planularia buergli* vertreten. An beiden Lokalitäten ist das häufige Auftreten von *Globoquadrina baroemoenensis* auffällig.

2.3.5 Beziehungen zum Haller Schlier

Auf die engen Beziehungen zwischen den Ablagerungen des Röthelbaches und dem Haller Schlier Oberösterreichs wiesen schon HAGN & HÖLZL (1952: 66) hin. Noch mehr Vergleichsmöglichkeiten ergeben sich mit den Schichten des Fußgrabens.

Die Mikrofauna des Haller Schliers wurde von BÜRL (1946: 135ff.) beschrieben. Die Gemeinsamkeiten, die sich mit der Fauna des Fußgrabens ergaben, sollen im folgenden erläutert werden. *Bathysiphon* tritt im Fußgraben vor allem im *Planularia buergli*-Horizont sehr häufig auf. Diese Gattung wird auch von BÜRL (1946: 136 und 139), sowie von ABERER (1960: 10) als Häufigkeitsform des Haller Schliers bezeichnet (vgl. auch GANSS 1955: 482 Fußnote 44). Ebenfalls aus dieser Serie beschrieb BÜRL (1946: 139 und 143–144) *Planularia willingensis*. Die Art besitzt jedoch keine Gültigkeit, da er sie ohne Beschreibung und Abbildung aufgestellt hatte. Sie wird daher in dieser Arbeit als *Planularia buergli* eingeführt. Diese tritt im Fußgraben und bei Traunstein auf. Von ABERER (1960: 10) wird sie als Häufigkeitsform des Haller Schliers angegeben.

Aus Bad Hall erwähnt BÜRL (1946: 138) eine Fauna mit überwiegend *Praeglobobulimina*. Eine ähnliche Vergesellschaftung wurde auf bayerischem Gebiet im Graben von Braunsreut bei Teisendorf festgestellt.

Insgesamt ergibt sich also das Bild, daß die faunistischen Übereinstimmungen mit dem Haller Schlier vor allem auf den *Planularia buergli*-Horizont zutreffen. Für diesen wird hier

aber bereits ein Unterotttang-Alter angenommen, wie im vorangegangenen Kapitel erläutert wurde. Die Neutransgression des Unteren Otttang in Bayern brachte also die Einwanderung einer Mikrofauna aus Oberösterreich mit sich, die dort schon im Eggenburg auftritt.

2.4 ZEIERINGER GRABEN

In einem Grabenanriß NW Zeiering, bei Grabenstätt, stehen Schichten des Oberen Eger an, die mit den Verhältnissen an der Blauen Wand verglichen werden können. Es treten hier Rosinenmergel, Sandsteine, Sande und Mergel in Wechselagerung auf. GANSS (1977: 114) gibt eine nähere Beschreibung der Lokalität und stellt subaquatische Rutschungen fest.

Die Mikrofauna setzt sich folgendermaßen zusammen:

Bathysiphon filiformis Sars
Quinqueloculina akneriana D'ORB.
Sigmoilinita tenuis (CZJZEK)
Robulus inornatus (D'ORB.)
Robulus cultratus MONTFORT
Astacolus crepidulus (FICHTEL & MOLL)
Bulimina elongata D'ORB.
Praeglobobulimina pyrula (D'ORB.)
Virgulinella chalkophila (HAGN)
Bolivina crenulata trunensis HOFMANN
Uvigerina posthantkeni PAPP
Uvigerina parviformis PAPP
Stilostomella verneuilii (D'ORB.)
Elphidium macellum (FICHTEL & MOLL)
Elphidium fichtellianum (D'ORB.)
Florilus communis (D'ORB.)
Pullenia quinqueloba (REUSS)
Globocassidulina oblonga (REUSS)
Chilostomella ovoidea REUSS
Ammonia beccarii (LINNÉ)
Valvulineria complanata (D'ORB.)
Cancris auriculus (FICHTEL & MOLL)
Alabamina tangentialis (CLODIUS)
Asterigerinata planorbis (D'ORB.)
Globigerina praebulloides praebulloides BLOW
Globigerina praebulloides leroyi BLOW & BANNER
Globigerina officinalis SUBBOTINA
Globigerina ouachitaensis HOWE & WALLACE
Globorotalia obesa BOLLI
Cibicides lobatulus (WALKER & JACOB)
Heterolepa dutemplei (D'ORB.)
Hanzawaia boueana (D'ORB.)

Als Umlagerung tritt *Uvigerina hantkeni* CUSHMAN & EDWARDS auf.

Die Fauna wird von Uvigerinen und anderen Buliminiden beherrscht. Hinzu kommt viel Plankton. Die Ablagerung läßt sich damit dem oberen Bathyal zuweisen. Gegenüber der Blauen Wand haben hier jedoch schon deutlich flachere Verhältnisse geherrscht. Einschwemmungen aus dem Seichtwasser sind nicht sehr häufig.

2.5 PRIENPROFIL

2.5.1 Allgemeines

Das Prienprofil schließt das zweite große Profil der bayerischen Molasse auf. In zahlreichen, häufig leider weit auseinanderliegenden Anrissen an den Prallhängen der Flußschlingen sind die Schichten vom Rupel bis ins Untere Otttang anstehend. Die zahlreichen Aufschlußlücken machen es schwer zu entscheiden, ob eine geschlossene Sedimentationsfolge vorliegt, der schräg zum Streichen liegende Lauf der Prien erschwert eine Korrelierung der einzelnen Ausbissstellen, die stark sandige Ausbildung der Gesteine und die damit verbundene Verarmung und schlechte Erhaltung der Mikrofauna stellen weitere Hindernisse für den Mikropaläontologen und Stratigraphen dar. Dies alles sind unübersehbare Nachteile gegenüber dem Traunprofil. Positiv zu bemerken ist dagegen, daß auch hier das Obere Eger noch in mariner Fazies ausgebildet ist, während in dem nächstwestlichen Anriß, im Kaltenbachgraben, bereits brackische Cyrenenschichten vorliegen.

Zu den ersten Bearbeitern des Profils gehören SANDBERGER & GUMBEL (1858: 217). Sie erwähnen Aufschlüsse bei Wildenwart und bei Prien. EMMRICH (1861: 16) weist die Schichten von Kaltenbach der Muschelmolasse, die von Prien dem nächstjüngeren Horizont zu. Erstere verbindet er mit der Schweizer Muschelmolasse (l. c. 13) und zieht einen Vergleich mit dem Badener Tegel (l. c. 21). GUMBEL (1861: 775) setzt die Schichten von Wildenwart denjenigen des Thalberggrabens gleich. GUMBEL (1887: 248, bzw. 274–276; 1894: 343 f.) ordnet die Serie von Prien dem Otttanger Schlier, die von Kaltenbach den tiefsten Lagen der Oberen Meeresmolasse zu. SCHLOSSER (1893: 189) erwähnt als erster die Fischschiefer von Prutdorf. RICHTER (1940: 34) parallelisiert die Serie von Wildenwart mit den Promberger Schichten, aber auch mit dem Zillergraben. HAGN & HÖLZL (1952: 60 f., 69–75) beschreiben die Schichtenfolge an der Prien, sowie deren Mikro- und Megafauna. Eine lithologische Gliederung der Miozän-Serie in Fischschiefer, Kalksandsteine und Schlier wurde von GANSS (1955: 470–475) vorgenommen. HOFMANN (1960 und 1962) führt eine geologische Kartenaufnahme des Gebiets durch und entwickelt neue stratigraphische und tektonische Vorstellungen. Zuletzt wurde die Gegend von GANSS (1977: 90–95) bearbeitet.

2.5.2 Oberes Eger

Die früher allgemein für Aquitan gehaltene Serie von Wildenwart wird heute als oberstes Oligozän aufgefaßt. STEININGER (1969: 46) stellte als erster die faunistische Übereinstimmung zwischen dem von HAGN (1955: 336) in den Ortenburg-Bohrungen nachgewiesenen „Wildenwarthorizont“ und den Schiefertönen von Unterrudling fest und spricht sich für die Einstufung ins Chatt aus. CICHÁ, HAGN & MARTINI (1971: 287/288) sowie MARTINI (1981: Abb. 2) wiesen die Zugehörigkeit zur NP 25 nach. Damit liegt die Oligozän-/Miozän-Grenze direkt oberhalb des durch die glatte *Uvigerina rudlingensis* ausgezeichneten Horizonts, der sich auch in den Bohrungen der Vorlandmolasse und in Oberösterreich (Puchkirchener Serie) nachweisen läßt.

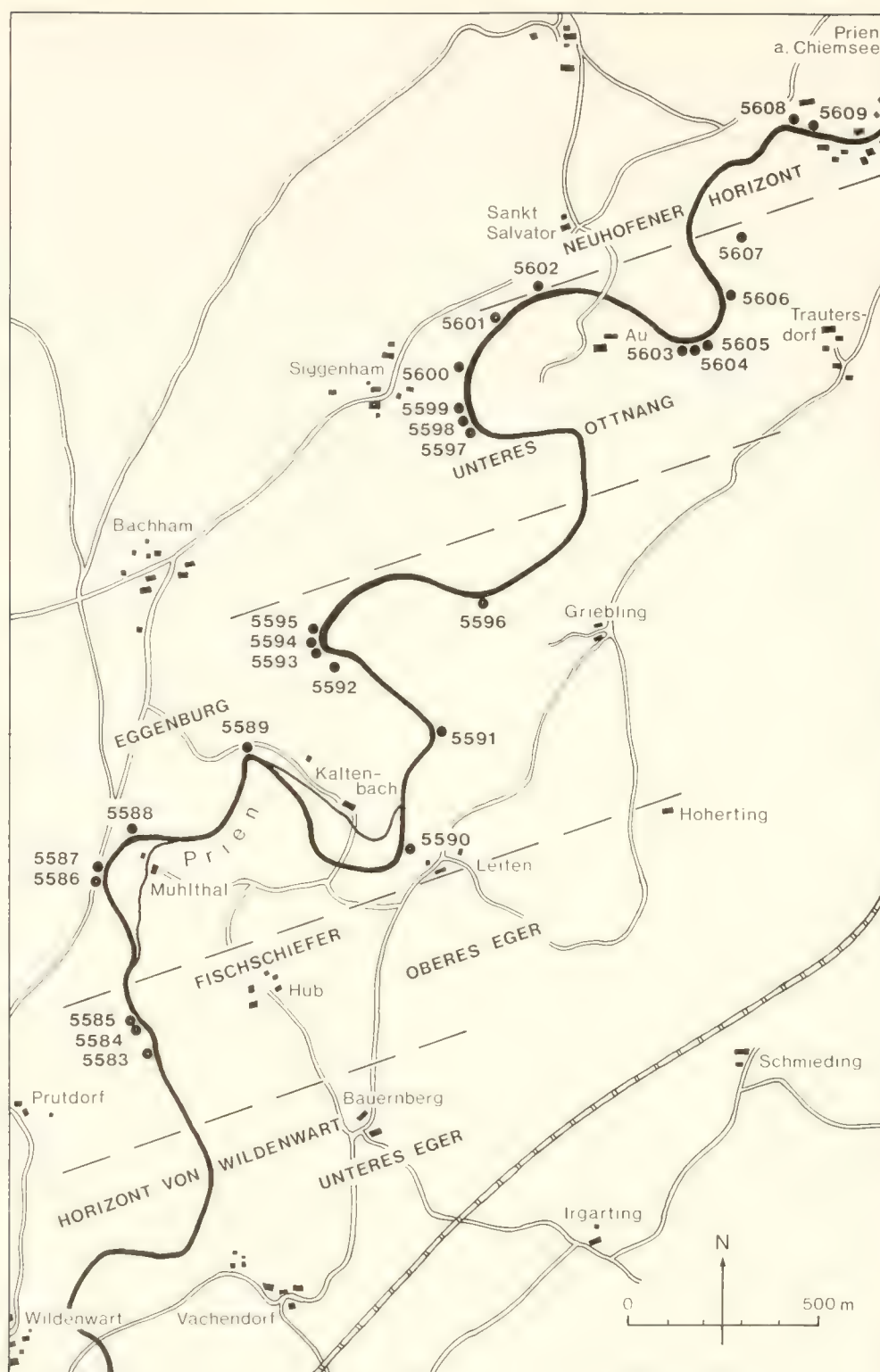


Abb. 14: Übersicht über das Prienprofil mit Probenentnahmepunkten.

Prutdorf

Am linken Prienufer stehen E Prutdorf, ca. 70 m südlich der Soleleitung dunkelbraune, plattige Mergel mit wenigen Fischschuppen an, die als Fischschiefer bezeichnet werden. PAULUS (1963: 77) stufte sie ins Aquitan ein. Sie besitzen nach GANSS (1977: 91) eine Mächtigkeit von 250 m und schließen auch graue Tonmergel ein, die ca. 150 m südlich der Sole-

leitung beprobt wurden. Sie waren jedoch ebenso fossilarm, wie der oberste Teil der Serie. Nur der mittlere Abschnitt, der in Form von sandigen, festen, blaugrauen Mergeln vorlag, führte dicht unterhalb typischer Fischschiefer eine reiche Mikrofauna. Auf die Wechsellagerung von grauen Mergeln und Fischschiefen wies auch GANSS (1955: 471) hin. Eine aquitanische Mikrofauna aus dem Abschnitt zwischen Wildenwart/Vachendorf und den Fischschiefen beschreibt HOFMANN

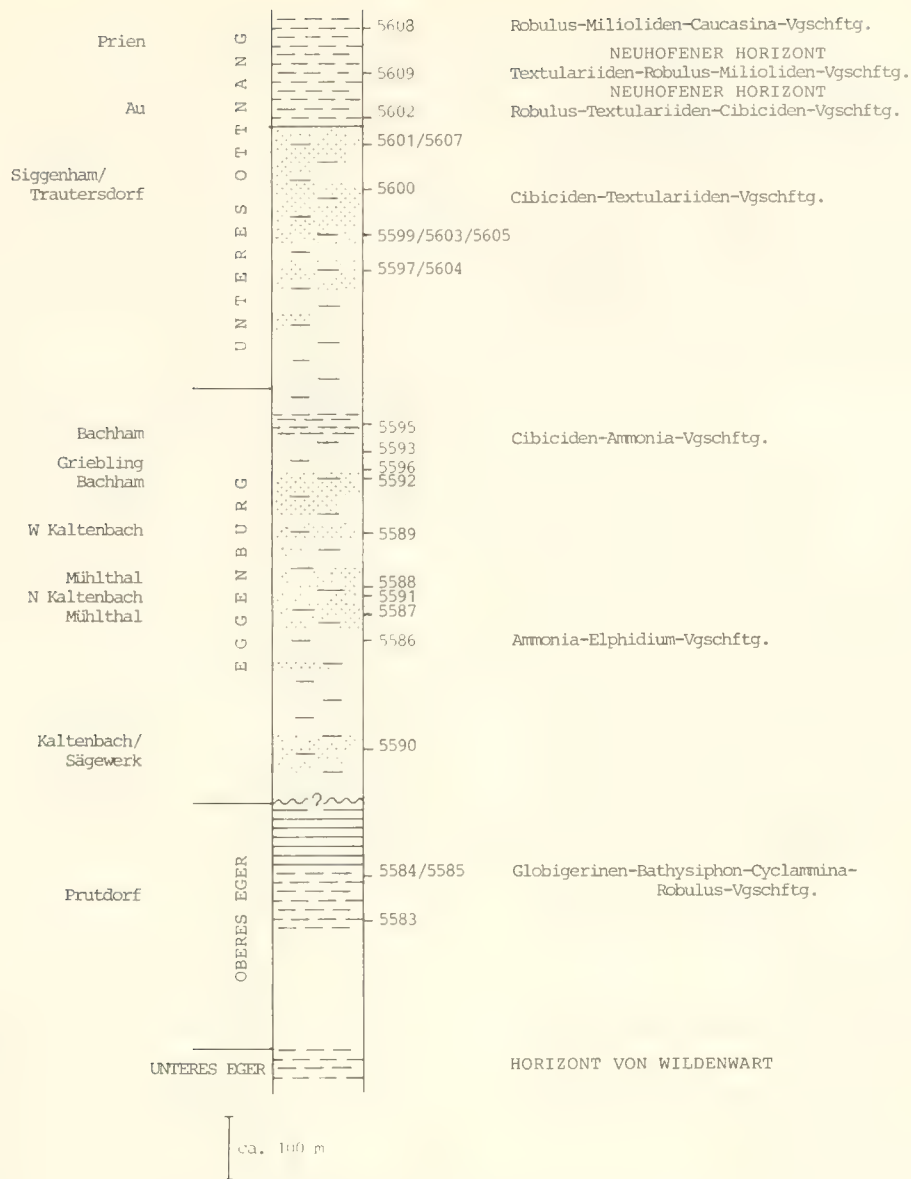


Abb. 15: Säulenprofil der Prien mit Probenentnahmepunkten.

(1962: 562f.). Er geht davon aus, daß die eigentlichen Fischschiefer erst oberhalb dieser grauen Mergel folgen.

Wie dem auch sei, aus blaugrauen Mergeln bzw. dem tieferen Teil der Fischschiefer stammt die folgende reiche und großwüchsige Mikrofauna:

Bathysiphon filiformis Sars
Cyclamina acutidorsata (HANTKEN)
Cyclamina praecancellata VOLOSHINOVA
Textularia gramen D'ORB.
Sigmoilinita tenuis (CZJZEK)
Sigmoilopsis colomi (GLAÇON & MAGNE)
Robulus inornatus (D'ORB.)
Robulus calcar (LINNÉ)
Robulus cultratus MONTFORT
Planularia moravica (KARRER)
Vaginulinopsis elegans (HANTKEN)
Nodosaria bactridium REUSS
Lagena laevis (MONTAGU)

Lagena clavata (D'ORB.)
Bulimina elongata D'ORB.
Uvigerina parviformis PAPP
Stilostomella consobrina (D'ORB.)
Stilostomella longiscata (D'ORB.)
Florilus communis (D'ORB.)
Pullenia quinqueloba (REUSS)
Melonis pompilioides (FICHTEL & MOLL)
Globocassidulina crassa (D'ORB.)
Sphaeroidina bulloides D'ORB.
Valvulineria complanata (D'ORB.)
Globigerina praebulloides praebulloides BLOW
Globigerina praebulloides leroyi BLOW & BANNER
Globigerina woodi JENKINS
Globigerina euapertura JENKINS
Globigerina officinalis SUBBOTINA
Globigerina angustiumbilicata BOLLI
Globorotalia obesa BOLLI
Cibicidoides ungerianus filicosta (HAGN)

Cibicidoides pseudoungerianus (CUSHMAN)
Heterolepa dutemplei (D'ORB.)

daneben noch Radiolarien und Fischreste.

Neben zahlreichen Globigerinen wird die Fauna von *Bathysiphon*, *Cyclammina* und *Robulus cultratus* beherrscht. Sie zeigt dadurch enge Beziehungen zu den Fischschiefer-Äquivalenten der Bohrung Ampfing 1 und weist auf große Wassertiefen (oberes Bathyal) hin. Einspülungen aus dem Flachwasser fehlen völlig, obwohl nach Westen zu eine rasche Verflachung anzunehmen ist, da bereits im Kaltenbachgraben Oberes Eger in brackischer Fazies auftritt.

2.5.3 Eggenburg

Nördlich der Soleleitung folgt eine kurze Aufschlußlücke, in der die Grenze Eger/Eggenburg verläuft. Bei den Orten Mühlthal, Kaltenbach, Bachham und Griebing sind an den Prallhängen die Sedimente des Eggenburg als stark sandige, blaugraue Mergel mit einzelnen Sandsteinlagen aufgeschlossen. GANSS (1955: 471f.) beschreibt die Serie als „Kalksandstein-Horizont“. Die Schichten von Kaltenbach stellt GÜMBEL (1887: 274; 1894: 243) in den tiefsten Teil der Oberen Meeresmolasse und veröffentlicht eine Liste der Megafauna. HAGN & HÖLZL (1952: 60f.) führen eine arme Mikrofauna an und weisen auf eine mögliche Diskordanz zwischen Aquitan und Burdigal hin.

Die Foraminiferenfauna:

Ammodiscus cretaceus (REUSS)
Cyclammina rotundidorsata (HANTKEN)
Textularia gramen D'ORB.
Textularia pala CZJZEK
Spiroplectammina pectinata (REUSS)
Robulus inornatus (D'ORB.)
Plectofrondicularia digitalis (NEUGEBOREN)
Bulimina elongata D'ORB.
Virgulopsis tuberculata (EGGER)
Caucasina cylindrica ZAPLETALOVA
Fursenkoina acuta (D'ORB.)
Bolivina crenulata trunensis HOFMANN
Bolivina dilatata REUSS
Bolivina concinna (KNIPSCHER & MARTIN)
Bolivina antiqua D'ORB.
Coryphostoma digitalis (D'ORB.)
Trifarina angulosa (WILLIAMSON)
Fissurina orbignyana orbignyana SEGUENZA
Fissurina obtusa EGGER
Stilostomella danuviensis nom. nov.
Stilostomella perscripta (EGGER)
Stilostomella consobrina (D'ORB.)
Stilostomella verneuilii (D'ORB.)
Elphidium flexuosum flexuosum (D'ORB.)
Elphidium flexuosum subtypicum PAPP
Elphidium matzenense PAPP
Elphidium reussi MARKS
Elphidium macellum (FICHTEL & MOLL)
Elphidium hauerinum (D'ORB.)
Elphidium glabratum CUSHMAN

Elphidiella subcarinata (EGGER)
Elphidiella heteropora (EGGER)
Elphidiella minuta (REUSS)
Elphidiella cryptostoma semiincisa n. ssp.
Porosonion granosum (D'ORB.)
Florilus communis (D'ORB.)
Protelphidium roemeri (CUSHMAN)
Pullenia bulloides (D'ORB.)
Astrononion perfossum (CLODIUS)
Sphaeroidina bulloides D'ORB.
Ammonia beccarii (LINNE)
Ammonia propingua (REUSS)
Pararotalia batavensis n. sp.
Pararotalia rimosa (REUSS)
Discorbis biapertura (POKORNY)
Valvulineria complanata (D'ORB.)
Cancris auriculus (FICHTEL & MOLL)
Alabamina tangentialis (CLODIUS)
Asterigerinata planorbis (D'ORB.)
Globigerina praebulloides praebulloides BLOW
Globoquadrina debiscens (CHAPMAN, PARR & COLLINS)
Globorotalia acrostoma WEZEL
Cibicides lobatulus (WALKER & JACOB)
Cibicidoides ungerianus filicosta (HAGN)
Cibicidoides pseudoungerianus (CUSHMAN)
Heterolepa dutemplei (D'ORB.)
Hanzawaia boueana (D'ORB.)

dazu Ostracoden und wenige Radiolarien.

Die Vergesellschaftung von *Ammonia*, Elphidien und Cibiciden weist auf flachneritische Verhältnisse hin, die im ganzen Profil bestehen bleiben. Erst im Neuhofener Horizont macht sich eine leichte Eintiefung bemerkbar.

Wegen des Auftretens von *Bolivina concinna* und *Elphidiella cryptostoma semiincisa* ist nur Oberes Eggenburg nachweisbar. Die Aufschlüsse westlich von Mühlthal und beim Sägewerk von Kaltenbach, welche die tiefste Probe darstellt, sind nicht sicher einzustufen. Für sie käme möglicherweise tieferes Eggenburg in Frage.

2.5.4 Diskordanz zwischen Eger und Eggenburg?

Der tiefere Teil des Eggenburg bei Mühlthal und beim Sägewerk von Kaltenbach ist sehr fossilarm und daher schwer einzustufen. Mit Sicherheit bereits zu Oberen Eggenburg zu rechnen ist die nördlichste Probe von Mühlthal (Nr. 5588), die tieferen Schichten geben keinerlei Hinweis darauf, daß hier Mittleres oder Unteres Eggenburg vorliegen könnte. Im Traunprofil ist das Obere Eggenburg wesentlich arten- und individuenärmer als das Mittlere Eggenburg, so daß auch die Proben von Mühlthal und Kaltenbach am ehesten den Eindruck machen, als gehörten sie dem oberen Abschnitt an. Auch ihnen fehlt die hohe Diversität und Großwüchsigkeit der mitteleggenburgischen Elphidienfauna. Von den Leitformen des Mittleren Eggenburg wurde keine angetroffen.

Diese Tatsache, daß hier nicht der geringste Hinweis auf tieferes Eggenburg zu finden ist, wirft die schon von HAGN & HÖLZL (1952: 61) formulierte Frage nach einer Diskordanz

zwischen Eger und Eggenburg erneut auf. Erschwerend kommt dabei noch hinzu, daß der Grenzbereich nicht direkt aufgeschlossen ist. Auch ein Mächtigkeitsvergleich mit dem Traunprofil gibt keine sicheren Anhaltspunkte. Das Eggenburg der Prien ist ungefähr genauso mächtig wie das der Traun, ist aber insgesamt wesentlich sandiger entwickelt als dort, so daß eigentlich größere Mächtigkeiten zu erwarten wären.

Ein weiterer Aspekt, der für eine Schichtlücke spricht, ist der scharfe Umschwung in der Mikrofauna zwischen den Fischschiefern und dem Eggenburg. Im Oberen Eger haben Verhältnisse des oberen Bathyals geherrscht, im Eggenburg des Flachneritikums. Ähnlich wie in der Vorlandmolasse könnte also auch an der Prien von den Fischschiefern ausgehend eine allmähliche Verflachung erfolgt sein, die bis zur Trockenlegung führte. Bereits im Oberen Eggenburg erfolgte an der Prien dann die Neutransgression mit den bei Mühlthal und Kaltenbach anstehenden Schichten, während sie die nördliche Vorlandmolasse erst im untersten Otttnang erreichte.

2.5.5 Unterstes Otttnang

Bei Siggenham und Trautgersdorf stehen an der Prien stark sandige Mergel an, die sich mikrofaunistisch eindeutig miteinander parallelisieren lassen. Die Serie, einschließlich ihrer Mikro- und Megafauna beschrieben HAGN & HÖLZL (1952: 69–71).

Foraminiferenfauna:

Textularia gramen D'ORB.
Textularia pala CZJZEK
Siphotextularia concava (KARRER)
Spiroplectammina pectinata (REUSS)
Spiroplectammina carinata (D'ORB.)
Martinottiella communis (D'ORB.)
Sigmoilopsis otttnangensis CÍCHA, ČTYROKÁ & ZAPLETALOVÁ
Robulus inornatus (D'ORB.)
Astacolus crepidulus (FICHTEL & MOLL)
Vaginulinopsis pseudodecorata HAGN
Lagena striata (D'ORB.)
Lagena isabella (D'ORB.)
Lagena hispida REUSS
Lagena laevis (MONTAGU)
Plectofrondicularia digitalis (NEUGEBOREN)
Plectofrondicularia vaughani CUSHMAN
Globulina gibba (D'ORB.)
Guttulina problema (D'ORB.)
Bulimina striata D'ORB.
Virgulopsis tuberculata (EGGER) (nur im tiefsten Teil)
Caucasina cylindrica ZAPLETALOVÁ
Fursenkoina acuta (D'ORB.)
Bolivina matejkai CÍCHA & ZAPLETALOVÁ
Bolivina crenulata trunensis HOFMANN
Bolivina concinna (KNIPSCHER & MARTIN)
Bolivina antiqua D'ORB.
Coryphostoma digitalis (D'ORB.)
Hopkinsina bononiensis primiformis (PAPP & TURNOVSKY)
Trifarina bradyi CUSHMAN

Oolina globosa (MONTAGU)
Oolina apiculata REUSS
Fissurina orbignyana orbignyana SEGUENZA
Fissurina fasciata (EGGER)
Stilostomella longiscata (D'ORB.)
Elphidium flexuosum subtypicum PAPP
Elphidium macellum (FICHTEL & MOLL)
Elphidium hauerinum (D'ORB.)
Elphidium glabratum CUSHMAN
Elphidiella heteropora (EGGER)
Elphidiella minuta (REUSS)
Porosononion granosum (D'ORB.)
Florilus communis (D'ORB.)
Pullenia bulloides (D'ORB.)
Melonis pompilioides (FICHTEL & MOLL)
Cassidulina laevigata D'ORB.
Globocassidulina oblonga (REUSS)
Ammonia beccarii (LINNÉ)
Ammonia propingua (REUSS)
Discorbis biapertura (POKORNÝ)
Gyroldina parva CUSHMAN & RENZ
Alabamina tangentialis (CLODIUS)
Globigerina praebulloides praebulloides BLOW
Globigerina angustiumbilitata BOLLI
Globoquadrina debiscens (CHAPMAN, PARR & COLLINS)
Globorotalia acrostoma WEZEL
Cibicides lobatulus (WALKER & JACOB)
Cibicidoides pseudoungerianus (CUSHMAN)
Heterolepa dutemplei (D'ORB.)
Hanzawaia boueana (D'ORB.)

hinzu treten Ostracoden und einige wenige Fischreste.

Das Faunenbild beherrschen Cibiciden und Textulariiden. Die ebenfalls häufig zu beobachtenden Ammonien weisen auf flachneritische Verhältnisse hin.

2.5.6 Unteres Otttnang: Neuhofener Horizont

Das höhere Unterotttnang tritt mit dickbankigen, sandarmen Mergeln nahe der Prienbrücke in Prien und westlich Au auf. Die Serie ist durch die typische Fauna des Neuhofener Horizonts charakterisiert.

GÜMBEL (1887: 276) wies schon darauf hin, daß „... die hellgrau(n) Mergel... in der Nähe der Brücke nach St. Salvador... nicht nur petrographisch, sondern auch nach ihren organischen Einschlüssen dem Otttnanger Mergel zum verwechseln ähnlich sind...“ Auch GÜMBEL (1894: 343/344) bezieht sich auf diesen Aufschluß. HAGN & HÖLZL (1952: 71–74) beschreiben die reiche Mikro- und Megafauna, ordnen sie dem Otttnanger Schlier zu und verweisen auf die enge Verwandtschaft mit der Foraminiferenfauna von Neuhofen.

Es zeigte sich folgende Zusammensetzung:

Textularia gramen D'ORB.
Spiroplectammina pectinata (REUSS)
Quinqueloculina akneriana D'ORB.
Pyrgo cf. lunula (D'ORB.)
Sigmoilinita tenuis (CZJZEK)
Sigmoilopsis otttnangensis CÍCHA, ČTYROKÁ & ZAPLETALOVÁ

Robulus inornatus (D'ORB.)
Astaculus crepidulus (FICHTEL & MOLL)
Plectofrondicularia digitalis (NEUGEBOREN)
Caucasina cylindrica ZAPLETALOVA
Bolivina crenulata trunensis HOFMANN
Bolivina concinna (KNIPSCHER & MARTIN)
Trifarina angulosa (WILLIAMSON)
Elphidium flexuosum subtypicum PAPP
Elphidium macellum (FICHTEL & MOLL)
Elphidium hauerinum (D'ORB.)
Florilus communis (D'ORB.)
Pullenia bulloides (D'ORB.)
Sphaeroidina bulloides D'ORB.
Ammonia beccarii (LINNÉ)
Valvulinaria complanata (D'ORB.)
Gyroidina parva CUSHMAN & RENZ
Alabamina tangentialis (CLODIUS)
Globigerina praebulloides praebulloides BLOW
Globigerina angustiumbilitata BOLLI
Cibicidoides pseudoungerianus (CUSHMAN)
Heterolepa dutemplei (D'ORB.)
Hanzawaia boueana (D'ORB.)

außerdem Radiolarien und Ostracoden.

Von der typischen Neuhoferer Fauna fehlt nur *Stilostomella ottnangensis*. Auffällig ist, daß in einzelnen Horizonten *Textularia* und Milioliden oder *Pullenia* und *Heterolepa* übermäßig angereichert sind.

Gegenüber der tieferen Serie hat hier eine deutliche Vertiefung des Beckens stattgefunden. Es ist auf tieferes Neritikum zu schließen.

2.6 KALTENBACHGRABEN UND EULENBACH

2.6.1 Allgemeines

Dieses westlichste der in dieser Arbeit berücksichtigten Profile liegt NE Miesbach, in einem schräg zum Streichen der Schichten verlaufenden Grabenanriß. Der Kaltenbachgraben schließt eine Serie auf, die vom Eger bis in die Obere Süßwassermolasse reicht. Die Schichten sind steil überkippt. Gegen-

über dem Prienprofil zeigen sich schon deutliche Unterschiede: über Promberger Schichten, die an der Einmündung des Hatzlbaches angeschnitten sind, folgt Eger in Form der brackischen Cyrenenschichten mit massenhaft *Tympanotonus margaritaceus* (BROCCHI). Der Übergang in die marine Fazies erfolgte im Eggenburg, das dementsprechend in flachmariner Ausbildung als mächtige Sand-/Sandstein-Serie ausgebildet ist. Erst im oberen Teil setzt eine mergelige Entwicklung ein, die mit sandigen, festen Mergeln das ganze Ottang hindurch anhält. In sie sind zahlreiche Feinsandlagen eingeschaltet. Die Süßbrackwassermolasse beginnt etwa bei der Einmündung des Eulenbaches. Im Eulenbach bilden die Eggenburg-Sandsteine das tiefste Niveau. Eine detaillierte lithologische Beschreibung ist bei RÖGL, SCHULTZ & HÖLZL (1973) und BURGER-GALLOTH (1982) zu finden.

GÜMBEL (1861: 757, 776) beschrieb die Mollusken dieser Serie und lobte den Reichtum der Fauna. Er sah jedoch keine Möglichkeit, den Schichtkomplex zu untergliedern. Er verglich ihn mit dem „Muschelsandstein“, der sich von der Schweiz bis nach Oberösterreich verfolgen läßt. MAYER-EYMAR (1868: Tabelle) stellte die höheren, glaukonitischen Schichten ins Helvet, die tieferen „marnes marines bleues“ ins Langhien und setzte letztere mit den Sanden von Ortenburg und Gauderndorf gleich. In seiner Beschreibung des Kaltenbachgrabens brachte GÜMBEL (1875: 27–32) Zweifel gegen diese Gliederbarkeit der OMM vor. Die Ortenburger Meeressande hielt er für Äquivalente der höheren Horizonte des Kaltenbachgrabens. GÜMBEL (1887: 272f.) sah in der Sandsteinserie den tieferen Teil der Oberen Meeresmolasse, in dem darüberfolgenden Komplex die Äquivalente der Schichten von Grund und des „St.-Gallener Muschelsandsteins“. KORDIUK (1938: 12) machte die erarbeitete Gliederung wieder zunichte und wies die gesamte Serie dem Burdigal zu. Sie liege mit basalen Konglomeraten transgressiv auf oberen Cyrenenschichten. Erst nach dem 2. Weltkrieg befaßte man sich wieder eingehend mit den Schichten des Kaltenbachgrabens. Dabei tat sich besonders HÖLZL hervor, der die Mollusken nach jahrzehntelanger Sammlertätigkeit in mehreren Arbeiten, besonders in der von 1958, beschrieb. Er erarbeitete eine Untergliederung in Burdigal und Helvet. Unter seiner Mitwirkung wurde der Kaltenbachgraben von RÖGL, SCHULTZ & HÖLZL



Abb. 16: Übersicht über den Kaltenbachgraben und den Eulenbach mit Probenentnahmepunkten.

(1973) als Faziostratotyp des Otttnang ausgewählt. Nach lithologischen und megafaunistischen Gesichtspunkten wurde eine Gliederung in Harrainer (= Eggenburg), Gerner und Alber Schichten (= Otttnang) vorgenommen. HAGN, BURGER-GALLOTH & POLZ (1982) beschrieben agglutinierte Wurmröhren aus dem Mittelotttnang und bestimmten die Foraminiferenfauna. Die Einstufung wurde durch eine von MARTINI bearbeitete Nannoprobe (NN3/NN4) bekräftigt. BURGER-GALLOTH (1982) gab in ihrer Diplomarbeit eine sedimentpetrographische und paläogeographische Deutung der Abfolge und wies den Neuhofener Horizont, dessen Existenz schon HAGN (1961: 313, Fußnote) angedeutet hatte, auch in dieser Region nach.

2.6.2 Eggenburg

Der Sandsteinkomplex (= Harrainer Schichtenfolge) weist in seinem tiefsten Teil mit einer fast nur aus *Ammonia beccarii* bestehenden Mikrofauna noch auf brackische Verhältnisse hin. Im oberen Teil tritt eine großwüchsige, jedoch artenarme Elphidienfauna auf:

Elphidium flexuosum subtypicum PAPP
Elphidium glabratum CUSHMAN
Elphidiella heteropora (EGGER)
Elphidiella minuta (REUSS)
Porosononion granosum (D'ORB.)
Ammonia beccarii (LINNÉ)
Globigerina praebuloides praebuloides BLOW

Es herrschte extremes Seichtwasser.

Daran schließen sich sandige Mergel und Sande an, in die Fossilhorizonte eingeschaltet sind. Sie entsprechen HÖLZLS „Grenzhorizont“ bzw. Gerner Schichten.

Hier ließ sich eine reichere Mikrofauna gewinnen:

Textularia gramen D'ORB.
Textularia pala CZJZEK
Spiroplectammina pectinata (REUSS)
Robulus inornatus (D'ORB.)
Robulus pauperculus (REUSS)
Globulina gibba (D'ORB.)
Caucasina cylindrica ZAPLETALOVÁ
Bolivina liebusi HOFMANN
Fissurina orbignyana orbignyana SEGUENZA
Stilostomella danuviensis nom. nov.
Stilostomella consobrina (D'ORB.)
Elphidium flexuosum subtypicum PAPP
Elphidium glabratum CUSHMAN
Elphidiella subcarinata (EGGER)
Elphidiella heteropora (EGGER)
Elphidiella minuta (REUSS)
Elphidiella dollfusi (CUSHMAN)
Florilus communis (D'ORB.)
Pullenia quinqueloba (REUSS)
Melonis pompilioides (FICHTEL & MOLL)
Chilostomella ovoidea REUSS
Sphaeroidina bulloides D'ORB.
Ammonia beccarii (LINNÉ)
Pararotalia rimosa (REUSS)

Rosalina globularis semiporata (EGGER)
Valvulineria complanata (D'ORB.)
Cancris auriculus (FICHTEL & MOLL)
Gyroidina parva CUSHMAN & RENZ
Asterigerinata planorbis (D'ORB.)
Globigerina praebuloides praebuloides BLOW
Globoquadrina dehiscens (CHAPMAN, PARR & COLLINS)
Globorotalia acrostoma WEZEL
Cibicides lobatulus (WALKER & JACOB)
Cibicidoides pseudoungarianus (CUSHMAN)
Heterolepa dutemplei (D'ORB.)
Planulina wuellerstorfi (SCHWAGER)

Gegenüber dem Liegenden läßt sich eine deutliche Vertiefung des Ablagerungsraumes erkennen. Die Vorherrschaft von Cibiciden, *Ammonia* und Polymorphiniden belegt jedoch noch flachneritische Verhältnisse. BURGER-GALLOTH (1982: 11 bzw. 66) stellt in diesem Abschnitt Horizontlamination fest und nimmt daher eine Ablagerung im Gezeitenbereich an.

Eine sehr interessante Mikrofauna kam in der Harrainer Schichtenfolge des Eulenbaches zu Tage, ca. 150 m nördlich der Straßenbrücke der Verbindung Oberlegengbach–Eulenthal (Nr. 5629). Es fällt der Reichtum an *Elphidiella subcarinata*, *Porosononion granosum* und, besonders bemerkenswert, *Protelphidium roemeri* (CUSHMAN) auf.

Die Grenze zwischen Eggenburg und Otttnang entspricht weitgehend der von HÖLZL mit Mollusken gezogenen. Sie liegt nur wenige Meter höher und schließt den 25–30 m mächtigen „Grenzhorizont“ von 1958 bzw. die Gerner Schichtenfolge von 1973 ins Eggenburg mit ein.

2.6.3 Unterstes Otttnang

Dieser Abschnitt umfaßt die gebankten, sandigen Mergel der Alber Schichtenfolge bis zur Einmündung des Gerner Grabens, im Eulental den Bereich zwischen den letzten Sandsteinbänken und etwa dem Steg über den Eulental bei Eulenthal.

Es konnte folgende Mikrofauna nachgewiesen werden:

Reticulophragmium karpaticum CICHÁ & ZAPLETALOVÁ
Textularia pala CZJZEK
Spiroplectammina pectinata (REUSS)
Lagena isabella (D'ORB.)
Lagena clavata (D'ORB.)
Caucasina cylindrica ZAPLETALOVÁ
Bolivina concinna (KNIPSCHER & MARTIN)
Coryphostoma digitalis (D'ORB.)
Uvigerina parviformis PAPP
Trifarina gracilis (REUSS)
Fissurina orbignyana orbignyana SEGUENZA
Stilostomella verneuilii (D'ORB.)
Elphidium flexuosum subtypicum PAPP
Elphidium reussi MARKS
Elphidium macellum (FICHTEL & MOLL)
Elphidium hauerinum (D'ORB.)
Elphidiella minuta (REUSS)
Porosononion granosum (D'ORB.)

Florilus communis (D'ORB.)
Melonis pompilioides (FICHTEL & MOLL)
Chilostomella ovoidea REUSS
Ammonia beccarii (LINNÉ)
Discorbis biaperturaus (POKORNÝ)
Valvulineria complanata (D'ORB.)
Gyroidina soldanii D'ORB.
Gyroidina parva CUSHMAN & RENZ
Alabamina tangentialis (CLODIUS)
Asterigerinata planorbis (D'ORB.)
Globigerina praebulloides praebulloides BLOW
Globigerina ciperoensis ottangensis ROGI
Globigerina angustiumbilitata BOLLI
Globoquadrina dehiscens (CHAPMAN, PARR & COLLINS)
Globorotalia acrostoma WEZEL
Cibicides lobatulus (WALKER & JACOB)
Cibicoides pseudoungerianus (CUSHMAN)
Heterolepa dutemplei (D'ORB.)
Hanzawaia boueana (D'ORB.)

außerdem Radiolarien und Ostracoden.

Die Fauna ist insgesamt nicht sehr reich. Es dominieren Cibiciden, *Ammonia* und Textulariiden – eine Vergesellschaftung des Flachneritikums.

BURGER-GALLOTH (1982: 12 bzw. 64) ordnet den Bereich wegen der darin festgestellten Linsen- und Flaserschichtung dem Inter- bis Subtidal zu.

2.6.4 Unteres Ottang: Neuhofener Horizont

Der Abschnitt umfaßt blaugraue, stark sandige Mergel mit eingeschalteten glaukonitischen Sanden, im Eulenbach überwiegend sandarme Mergel, und gehört zur Alber Schichtenfolge. Er erstreckt sich etwa zwischen den Einmündungen des Gerner und des Röhthengrabens, im Eulenbach vom Steg bei Eulenthal bis ca. 250 m vor den Zusammenfluß mit dem Kaltenbachgraben bei Unterkalten.

Mikrofauna:

Reticulophragmium karpaticum CICHÁ & ZAPLETALOVÁ
Textularia gramen D'ORB.
Textularia pala CZJZEK
Siphonotextularia concava (KARRER)
Spiroplectammina pectinata (REUSS)
Karriella hantkeniana CUSHMAN
Quinqueloculina akneriana D'ORB.
Triloculina gibba D'ORB.
Sigmoilinita tenuis (CZJZEK)
Sigmoilopsis ottangensis CICHÁ, ČTYROKÁ & ZAPLETALOVÁ
Robulus inornatus (D'ORB.)
Robulus pauperculus (REUSS)
Astacolus crepidulus (FICHTEL & MOLL)
Dentalina communis D'ORB.
Lagena striata (D'ORB.)
Praeglobobulimina pyrula (D'ORB.)
Caucasina cylindrica ZAPLETALOVÁ
Fursenkoina acuta (D'ORB.)
Fissurina obtusa EGGER
Stilostomella ottangensis (TOULA)

Stilostomella perscripta (EGGER)
Elphidium flexuosum subtypicum PAPP
Elphidium matzenense PAPP
Florilus communis (D'ORB.)
Pullenia bulloides (D'ORB.)
Astrononion perfossum (CLODIUS)
Melonis pompilioides (FICHTEL & MOLL)
Globocassidulina oblonga (REUSS)
Sphaeroidina bulloides D'ORB.
Ammonia beccarii (LINNÉ)
Gyroidina soldanii D'ORB.
Alabamina tangentialis (CLODIUS)
Oridorsalis umbonatus (REUSS)
Globigerina praebulloides praebulloides BLOW
Globigerina angustiumbilitata BOLLI
Cibicoides ungerianus filicosta (HAGN)
Cibicoides pseudoungerianus (CUSHMAN)
Heterolepa dutemplei (D'ORB.)
Hanzawaia boueana (D'ORB.)
 daneben *Coscinodiscus* und Ostracoden.

Die Fauna ist durch die typische Neuhofener Vergesellschaftung charakterisiert. Insgesamt ist die Diversität jedoch geringer als sonst. Auffällig ist die starke Anreicherung von *Textularia gramen*, *Heterolepa dutemplei*, *Pullenia bulloides*, *Florilus communis* und *Sigmoilinita tenuis* in einzelnen Horizonten, und besonders ein massenhaftes Vorkommen von *Reticulophragmium karpaticum* im obersten Niveau des Neuhofener Horizonts.

Gegenüber dem tieferen Unterottang fand eine deutliche Vertiefung des Ablagerungsraumes statt (tieferes Neritikum).

2.6.5 Mittelottang

Die Sedimente dieses Zeitabschnitts liegen als stark sandige Mergel vor, mit einer mächtigen Sandlage an der Basis, die von BURGER-GALLOTH (1982: 18) als Austernsand bezeichnet wurde. Das Mittelottang ist kurz unterhalb der Einmündung des Röhthengrabens bis hinter den Zufluß des Leitnergrabens aufgeschlossen sowie im Eulenbach westlich Unterkalten.

Mikrofauna:

Textularia gramen D'ORB.
Robulus inornatus (D'ORB.)
Lagena striata (D'ORB.)
Lagena semistriata WILLIAMSON
Lagena laevis (MONTAGU)
Plectofrondicularia digitalis (NEUGEBOREN)
Plectofrondicularia vaughani CUSHMAN
Amphimorphina haueriana NEUGEBOREN
Bulimina striata D'ORB.
Caucasina cylindrica ZAPLETALOVÁ
Fursenkoina acuta (D'ORB.)
Bolivina crenulata trunensis HOFMANN
Coryphostoma digitalis (D'ORB.)
Uvigerina cichai REISER
Hopkinsina bononiensis primiformis (PAPP & TURNOVSKY)
Fissurina orbignyana orbignyana SEGUENZA

Fissurina obtusa EGGER
Stilostomella spinescens (REUSS)
Stilostomella perscripta (EGGER)
Elphidium flexuosum flexuosum (D'ORB.)
Elphidium flexuosum subtypicum PAPP
Elphidium matzenense PAPP
Elphidium reussi MARKS
Elphidium macellum (FICHTEL & MOLL)
Elphidium glabratum CUSHMAN
Elphidiella heteropora (EGGER)
Elphidiella minuta (REUSS)
Elphidiella cryptostoma semiincisa n. ssp.
Porosononion granosum (D'ORB.)
Florilus communis (D'ORB.)
Pullenia bulloides (D'ORB.)
Globocassidulina oblonga (REUSS)
Ammonia beccarii (LINNÉ)
Discorbis biaperturatus (POKORNÝ)
Gyroidina soldanii D'ORB.
Alabamina tangentialis (CLODIUS)
Globigerina praebulloides praebulloides BLOW
Globigerina ciperoensis ottangiensis RÖGL
Globorotalia acrostoma WEZEL
Cibicidoides pseudoungerianus (CUSHMAN)
Hanzawaia boueana (D'ORB.)

Als Häufigkeitsformen treten *Ammonia*, *Hanzawaia*, *Florilus* und *Elphidien* auf. Es herrschten flachneritische Verhältnisse.

2.7 ZUSAMMENFASSUNG DER PALÄOGEOGRAPHISCHEN ENTWICKLUNG DER BAYERISCHEN MOLASSE

Oberes Eger (Abb. 17):

Das Trogtiefste lag in dieser Zeit im Bereich des Traunprofils, wo besonders deutlich an der Blauen Wand, aber auch in den liegenden Thalbergsschichten und in den tieferen Serien des Pechschnaitgrabens sowie sogar noch im Eggenburg des Röthelbaches subaquatische Rutschungen von großen Ausmaßen, oder im letzteren Fall zumindest Einschwemmungen aus dem Seichtwasserbereich, wirksam sind. Die Mikrofauna spricht im tieferen Teil mit einer *Praeglobobulimina*-*Valvulineria*-*Allomorphina*-Vergesellschaftung für Ablagerungsbedingungen des oberen Bathyals. Diese Verhältnisse leiten in die Fazies der Puchkirchener Serie Oberösterreichs über. Nach oben zu vollzieht sich eine allmähliche Verflachung, die sich bis ins Eggenburg fortsetzt. Die Fischschiefer des höheren Oberegers im Zillergraben, die sich im oberen Teil durch eine *Uvigerinen*-*Nodosariiden*-*Bolivinen*-Vergesellschaftung auszeichnen, nehmen den Grenzbereich oberes Bathyal/Tiefneritikum ein. Die Foraminiferen-Assoziationen im tieferen Teil der Fischschiefer weisen mit *Praeglobobulimina*, *Valvulineria*, *Cancris* und *Chilostomella* dagegen noch auf tieferes Wasser hin. Hier deutet sich die Regression des Meeres an der Wende Eger/Eggenburg an.

Zwischen den Thalbergsschichten des Unteren Egers und dem Teufelsgraben als tiefstem Miozän-Horizont liegt eine kontinuierliche Abfolge vor.

Subaquatische Rutschungen waren auch im Zeieringer Graben festzustellen.

Ebenfalls dem oberen Bathyal ist das Obere Eger der Bohrungen Ortenburg und Ampfing zuzuordnen, mit ihrer *Uvigerinen*-*Cancris*-Fauna, sowie der Fischschiefer-Horizont im obersten Obereger dieser Bohrungen und von Prutdorf an der Prien. Die Fischschieferfauna wird in der Bohrung Ampfing 1 und in Prutdorf von Sandschalern beherrscht, über Ortenburg 1002 nach 1001 nehmen dagegen *Bulimina* und *Bolivina* zunehmend die Vormachtstellung ein. Es zeichnet sich eine Verflachung in dieser Richtung ab. In der Bohrung Ortenburg 1001 werden dann schon leichte Seichtwassereinspülungen spürbar.

Zwischen Unterem und Oberem Eger war nirgends eine Sedimentationsunterbrechung festzustellen.

Sehr deutlich gegenüber den bathyalen Bereichen des Ostens heben sich die westlichen Vorkommen der Bohrung Isen 1 und des Kaltenbachgrabens ab. Das Obere Eger von Isen ist in mariner Seichtwasserfazies ausgebildet, im Kaltenbachgraben herrschen bereits brackische Verhältnisse mit Cyrenenschichten.

Meeresverbindungen bestanden im Oberen Eger nur nach Osten.

Der Übergang von der östlichen marinen Fazies ins Brackische vollzog sich etwa im Bereich der Linie Freising–Rosenheim (vgl. LEMCKE 1973: Beil. 2/Abb. 2).

Die Küstenlinie im Norden dürfte noch jenseits des Pokinger Abbruchs, also auf dem Aidenbach-Griesbacher Hoch zu suchen sein.

Eine detaillierte paläogeographische Karte des Oberen Egers lieferte in jüngster Zeit LANGE (1983: Abb. 4).

Eggenburg (Abb. 18):

An der Traun erfolgt ein kontinuierlicher Übergang von den Fischschiefern des Oberen Eger ins Eggenburg. Die Sandschalerfaunen des Pechschnaitgrabens (Unteres Eggenburg) weisen noch auf oberes Bathyal hin. Darüber setzt eine Fauna ein, die von *Robulus* und Cibiciden beherrscht wird. Die Mikrofauna des Mittleren Eggenburgs im Röthelbach zeichnet sich dann durch eine Vergesellschaftung von *Melonis pompilioides* und *Bulimina striata* aus, die auch im Lußgraben festzustellen war. Sie gehört dem Übergangsbereich vom oberen Bathyal ins tiefste Neritikum an und kennzeichnet das Traun- und Surgebiet somit auch im Eggenburg als den tiefsten Teil des Beckens. Syntimentäre Einschwemmungen in diesem Abschnitt weisen auf einen Seichtwassergürtel entlang des Alpennordrandes hin. Über dieser Serie erfolgt im Röthelbach eine rasche Verflachung ins tiefere Flachneritikum, während im Lußgraben weiterhin größere Wassertiefen herrschen. Es deutet sich eine Verlagerung des Trogtiefsten nach Osten zu an.

Die Eggenburg-Serien des westlichen Teiles zeigen deutlich flacheren Charakter. An der Prien sind sie sehr sandig ausgebildet und waren von einer Mikrofauna des Seichtneritikums besiedelt. Im Kaltenbachgraben liegt das Eggenburg als Strandfazies in Form von Sanden und Sandsteinen vor, die im tiefsten Teil noch stark brackischen Einschlag zeigen.



Abb. 17: Paläogeographie des Oberen Egers. FS = Fischschiefer

Im Prienprofil liegt das Eggenburg diskordant, wahrscheinlich unter Ausfall des Unteren und sogar Mittleren Eggenburg, auf den Fischschiefern des Oberen Eger. Nach KORDIUK (1938: 12) folgt auch im Kaltenbachgraben das Eggenburg transgressiv auf die Cyrenenschichten, HÖLZL (1958: 18) scheidet hier dagegen ein „älteres bzw. unteres Burdigal“ aus.

In den Bohrungen der Vorlandmolasse nördlich von Mühlendorf liegt über den Fischschiefern und deren stratigraphischen Äquivalenten ebenfalls eine Schichtlücke vor, die hier jedoch das gesamte Eggenburg umfaßt. Auf das Obere Eger transgrediert direkt das Untere Ottmang, meist mit Grobsanden. Von den Tiefwasserverhältnissen des Fischschiefermeeres ausgehend erfolgte hier ein Rückzug des Meeres, der, unterbrochen von dem kurzzeitigen Meeresvorstoß im Mittele-

ren Eggenburg (Ortenburger Meeressande), in diesem Raum seine größten Auswirkungen im Oberen Eggenburg zeigte, als die Eggenburg-Sedimente wieder der Erosion zum Opfer fielen. Erst im Unteren Ottmang setzte hier erneut die Transgression ein, während sie an der Prien und im Kaltenbachgraben bereits etwas früher stattgefunden hatte (Abb. 20).

Obertage anstehendes Eggenburg ist in Niederbayern nur im Bereich des Ortenburger Senkungsdreiecks anzutreffen. Es gehört dem Mittleren Eggenburg an. Hier wurden die Schichten während der Erosionsphase im Oberen Eggenburg vor der Abtragung bewahrt. Außerhalb dieses Senkungsbeereichs ist in dem hier behandelten nördlichen Teil der Vorlandmolasse das Eggenburg nirgends, auch nicht in Bohrungen dokumentiert. Die ehemals weite Verbreitung der Eggen-

burg-Sedimente zeigt sich jedoch in den Umlagerungen, die in vielen Proben des Ottang zu finden sind, z. B. in der Bohrung Ortenburg 1003, in Kindlbach, direkt am Pockinger Abbruch, in Oberschwärzenbach und Höhenmühle, an der Verlängerung der Wolfach-Störung, in Hausmanning, Untersimbach, Engertsham, Holzbach und Höch. In Engertsham treten massenhaft großwüchsige Milioliden und Bryozoen-schutt auf. Dies weist darauf hin, daß auf dem Granitsporn des Neuburger Waldes im Eggenburg ein extremer Seichtwasserbereich mit Bryozoenriffen existiert hat.

Die Ortenburger Meeressande von Maierhof, Blindham und Kemating sind mit ihrer großwüchsigen Elphidienfauna als Bildungen des Flachneritikums ausgezeichnet.

Die maximale Meeresverbreitung im Eggenburg dürfte bei LEMCKE (1973: Beil. 2/Abb. 3) ziemlich realistisch wiedergegeben sein. Im einzelnen stellten sich die Verhältnisse jedoch weitaus komplexer dar. Sie spiegeln einen recht instabilen Charakter dieses Zeitabschnitts wider, der wohl mit der jungsavischen Phase und den damit verbundenen Faltungsvorgängen in der Subalpinen Molasse in Zusammenhang



Abb. 18: Paläogeographie des Eggenburg mit der ungefähren Meeresausbreitung in den Teilabschnitten. U = umgelagertes Eggenburg in Serien des Unteren Ottang nachgewiesen.

steht. An der Wende Eger/Eggenburg zog sich das Meer auf den Beckenbereich zurück, der in dieser Arbeit durch das Traunprofil – analog den Verhältnissen in der Bohrung Mauerham 1 (MÜLLER 1978b: 31) – repräsentiert ist. Auch aus dem Priengebiet wich es nach Südosten zurück. Vom Beckentiefsten aus, in dem nach LEMCKE (1973: Beil. 2, Fig. 3) die größten Sedimentmächtigkeiten festgestellt wurden, erfolgte im Bereich zwischen Waginger See und Mühldorf eine allmähliche Neutransgression mit nach Norden zu immer jünger und geringmächtiger werdenden Sedimenten des Eggenburg auf eine erosiv angenagte Oberfläche der Obereger-Ablagerungen (MÜLLER 1978a: Abb. 8). Im Mittleren Eggenburg wagte das Meer einen kurzzeitigen Vorstoß in den Bereich des Braunauer Trogas, wo es zur Ausbildung der Ortenburger Meeressande kam. Dieses neugewonnene Terrain gab es aber schon im Oberen Eggenburg wieder preis, so daß die frisch gebildeten Mitteleggenburg-Sedimente in ungeschützten Lagen sogleich wieder der Erosion ausgesetzt wurden. Stattdessen breitete sich das Meer im Oberen Eggenburg entlang des Alpennordrandes nach Westen hin aus, wobei es allmählich eine Verbindung zum Rhône-Becken schuf (RÖGL, STEININGER & MÜLLER 1978: 986). Dieser Vorstoß ist wegen seiner – im Gegensatz zu dem vorangegangenen, eher kleinräumigen und z. T. reversiblen Transgressionsgeschehen – weitflächigen Überflutungen als die Hauptphase der Eggenburg-Transgression aufzufassen, die sich dann im Ott nang mit zunehmend raumgreifender Wirkung fortsetzte.

Ott nang (Abb. 19):

Im Ott nang erreichte das Miozän-Meer seine größte Ausdehnung und hatte im Westen Anschluß an das Rhône-Bekken (LEMCKE 1984: 381). Im niederbayerischen Raum setzte im Unteren Ott nang eine Neutransgression ein, die von Südosten her, aus Österreich, erfolgte. In den Ortenburg-Bohrungen bilden Grobsande die Basis und liegen direkt auf Oberem Eger. Nur in der Bohrung Ortenburg 1003 blieben über glaukonitischen Transgressionssanden die Mergel des *Planularia buergli*-Horizonts, offenbar in einer Senke erhalten, während sie in den anderen Bohrungen bei der Schüttung der Grobsande wieder aufgearbeitet wurden. Die Grobsande und die darüberfolgenden „Sandmergel“ lassen sich zu den Untersimbacher Schichten zusammenfassen. Weiter im Osten (Bohrung Hartkirchen 1, Mittich 1) beginnt die Schichtenfolge des Ott nang mit der Transgression der Phosphoritsande auf Eger (Linzer Sande). Die Ablagerung dieses ganzen Abschnitts des tieferen Unterott nang fand unter flachneritischen Bedingungen statt.

Darüber erfolgte eine Eintiefung des Beckens mit der Ausbildung der Neuhofener Mergel. Hier herrschten Wasserverhältnisse des Tiefneritikums. Es setzte jedoch schon bald wieder eine Verflachung ein, die zur Entwicklung der Blättermergelfazies des Mittelott nang führte.

Das Meer der Neuhofener Schichten griff weit nach Norden aus, ihre Ausbildung war jedoch aufgrund tektonischer Gegebenheiten auf den Beckenbereich beschränkt. Die Randfazies steckt in den basalen Grobsanden der Mittelott nang-Aufschlüsse von Höch und Holzbach. Wegen der unruhigen Wasserverhältnisse auf dem Granitsockel von Höch, bzw. auf der an der Wende Eggenburg/Ott nang herausgehobenen

Malmscholle von Holzbach, kamen diese Randbildungen der Neuhofener Schichten jedoch erst mit dem Anstieg des Meeresspiegels im Mittelott nang endgültig zur Ablagerung.

Neben den eben erwähnten Hebungen im Randbereich, wie die Heraushebung der Ortenburger Scholle, mit der auch die Umlagerungen von Engertsham im Zusammenhang stehen dürften, sind noch Anzeichen weiterer tektonischer Vorgänge festzustellen. Auf Bewegungen am Pockinger Abbruch und an der Wolfach-Störung, die während des Unteren und Mittleren Ott nang anhielten, weisen Umlagerungen in den entsprechenden Sedimenten von Kindlbach, Oberschwärzenbach, Hausmanning, der Bohrung Ortenburg 1001, von Höhenmühle und von Gänsall hin.

Im Mittelott nang griff das Meer noch weiter aus, es herrschten jedoch typische Flachmeerbedingungen mit mergelig-sandiger Sedimentation und flachneritischen Foraminiferenvergesellschaftungen. Das Bodenrelief war kleinräumig in einzelne Wannen gegliedert. Auf dem Kristallinsporn des Neuburger Waldes bildeten sich Bryozoenriffe.

Die paläogeographische Entwicklung in der oberbayerischen Molasse verlief ähnlich wie in Niederbayern. Im Lußgraben geht die Sedimentation kontinuierlich vom Eggenburg ins Ott nang über. Es tritt jedoch eine allmähliche Verflachung ein. Die Basis des Unteren Ott nang bildet, wie in Traunstein und der Bohrung Ortenburg 1003, der *Planularia buergli*-Horizont, dessen Mikrofauna sehr an den oberösterreichischen Haller Schlier des Eggenburg erinnert. Es folgen Sande und Sandsteine, die vom Neuhofener Horizont in Flachwasserfazies überlagert werden. Die seichtneritischen Verhältnisse setzen sich im Mittelott nang fort.

An der Prien herrschen im Unteren Ott nang ähnlich flachneritische Bedingungen wie im Eggenburg. Erst mit dem Erscheinen des Neuhofener Horizonts erfolgt, wie fast überall, eine kurzzeitige Vertiefung des Beckens zu tieferneritischen Ablagerungsverhältnissen.

Dieselbe Beobachtung kann man auch im Kaltenbachgraben machen: auf flachneritisches Unterstes Ott nang folgt der Neuhofener Horizont mit tieferneritischem Milieu. Das Mittelott nang liegt, wie überall, in Form sandiger Seichtwasserbildungen vor.

Das Ott nang läßt sich damit im ganzen Untersuchungsgebiet dreigliedern:

1. das tiefere Unterott nang im Liegenden, als Äquivalent der Untersimbacher Schichten von Niederbayern; stellenweise mit dem *Planularia buergli*-Horizont an der Basis. Dieser Zeitabschnitt ist überall in ziemlich flacher, sandiger Fazies ausgebildet, die Mikrofauna zwischen Vorlandmolasse und Subalpiner Molasse, wo man kaum von „*Robulus*-Schlier“ sprechen kann, wechselt jedoch recht deutlich.
2. den Neuhofener Horizont des höheren Unterott nang, der im ganzen Gebiet sehr einheitlich ausgebildet ist und tiefere Wasserverhältnisse mit sich brachte.
3. das Mittelott nang, bzw. die Äquivalente der niederbayerischen Blättermergel, mit seinen Flachmeerbedingungen, die die allmähliche Aussüßung des Ott nang-Meeres ankündigen.



Abb. 19: Paläogeographie des Ottnang. US = Untersimbacher Schichten, NH = Neuhofener Horizont

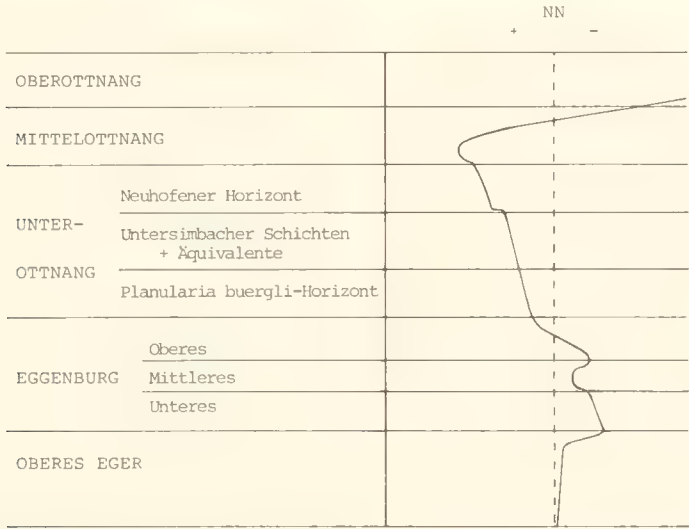


Abb. 20: Transgressions- und Regressionsgeschehen im Miozän der bayerischen Molasse.

2.8 BIOSTRATIGRAPHIE

2.8.1 Planktonische Foraminiferen

Stratigraphie lässt sich in der bayerischen Miozän-Molasse fast nur mit benthonischen Foraminiferen betreiben. Die hierfür eigentlich in erster Linie zuständige Planktonfauna ist in diesem Raum sehr schlecht entwickelt. Die Diversität ist sehr gering, und auch die Individuenzahl liegt weit unter normalen Verhältnissen. Dies ist wohl mit der isolierten Lage und der starken Abgeschlossenheit der bayerischen Paratethys von den offenen Ozeanen zu erklären. Meeresverbindungen bestanden im größten Teil des Untermiozäns nur nach Osten, wo der Austausch jedoch durch die Molasse-Enge von St. Pölten behindert war. Erst an der Wende Eggenburg/Ottang öffnete sich wieder eine Verbindung nach Westen ins Rhône-Becken (Rögl et al. 1978: 986). So kann auch die internationale Planktonzonierung, abgesehen von bisweiligen leichten Anklängen, nicht nachvollzogen werden. *Glo-*

borotalia kugleri tritt in der gesamten Paratethys nicht auf, so daß die entsprechende Zone (N4) nicht direkt nachgewiesen werden kann, ebenso wenig wie die *Globigerinoides primordius*-Zone. *Catapsydrax dissimilis* (N5) und *Catapsydrax stainforthi* (N6) wurden im bayerischen Raum nicht angetroffen. Die *Globigerinoides trilobus*-Zone (N7) deutet sich dagegen wenigstens in einer gewissen Häufigkeit von *Globigerinoides trilobus immaturus* in einigen Aufschlüssen des Mittelottnang an.

Dennoch ist in manchen Fällen eine bescheidene internationale Korrelation möglich. So sind für die Oligozän/Miozän-Grenze mit dem Einsetzen von *Globoquadrina dehiscens* und *Globigerina woodi* zwei gute, allgemein anerkannte Marker gegeben (Rögl 1981: 45). Auch das Aussterben von *Globigerina ciperoensis ciperoensis* stimmt mit den weltweiten Beobachtungen überein. Einen guten Fixpunkt markiert auch das Einsetzen von *Globorotalia scitula praescitula* in der Zone N5. Leider ist diese Art in Bayern jedoch sehr selten. Nähere Angaben sind im paläontologischen Teil nachzulesen.

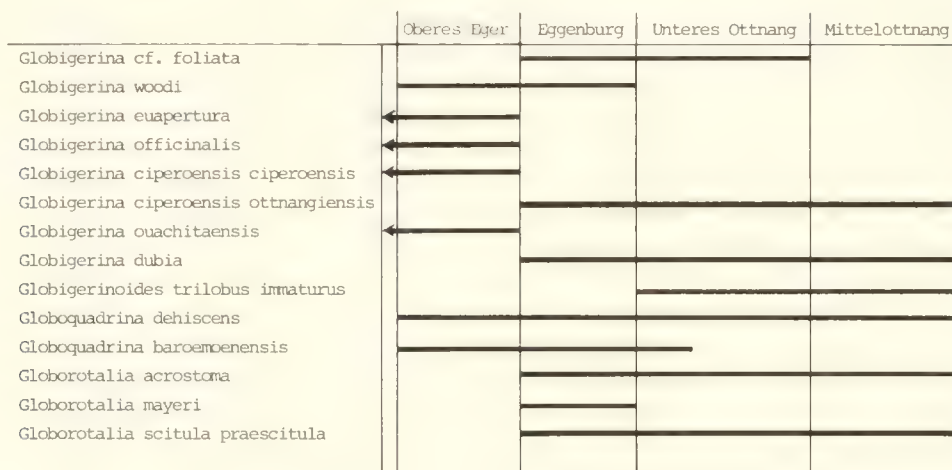


Abb. 21: Stratigraphische Verbreitung der planktonischen Foraminiferen.

2.8.2 Benthonische Foraminiferen

Die Oligozän/Miozän-Grenze ist durch keinen sehr deutlichen Faunenwechsel gekennzeichnet. Von MARTINI (1981: Abb. 2) durchgeführte Nannoplanktonuntersuchungen konnten die Grenze erstmals sicher oberhalb des *Uvigerina rudlingensis*-Horizonts von Wildenwart festlegen. In den Vorlandmolasse-Bohrungen folgt über dieser Serie der Leit-horizont mit *Uvigerina posthantkeni*. Die Grenze dokumentiert sich in folgenden Erscheinungen:

Wie bereits oben erwähnt, setzen *Globoquadrina dehiscens* (im Teufelsgraben) und *Globigerina woodi* (Bohrung Ampfing 1, Ortenburg 1001 und Prutdorf) ein. *Plectofrondicularia digitalis* erscheint erstmals im Thalberggraben, also nur wenig unterhalb der Grenze. Ebenfalls im obersten Oligozän treten *Bolivina euzona* und *Bolivina korynoides* als neue Formen auf, während *Bolivina crenulata crenulata* und *Bolivina beyrichi beyrichi* wenig oberhalb und *Bolivina versatilis* direkt an der Grenze aussterben.

An der Eger/Eggenburg-Grenze erlöschen viele Oligozän-Arten:

Bulimina arndti, *Caucasina coprolithoides*, *Virgulinella chalkophila*, *Bolivina subalpina*, *Bolivina korynoides*, *Bolivina euzona*, *Bolivina molassica*, *Bolivina elongata*, *Nonionella liebusi*, *Cancris subconicus*, *Almaena osnabrugensis*.

Als Leitformen des Eggenburg können gelten:

Elphidium ortenburgense und *Elphidium felsense*

Bereits an der Grenze zum Oberen Eggenburg löst *Elphidiella cryptostoma semiincisa* *Elphidiella cryptostoma cryptostoma*, und *Bolivina concinna* *Bolivina fastigia* ab (vgl. hierzu HOFMANN 1967: 198).

An der Eggenburg/Ottang-Grenze sterben aus:

Uvigerina posthantkeni und *Elphidiella subcarinata*.

Im Ottang setzen ein:

Bolivina matejkai, *Bolivina scitula*, *Hopkinsina bononiensis primiformis*, *Stilostomella ottangensis*, und bereits etwas

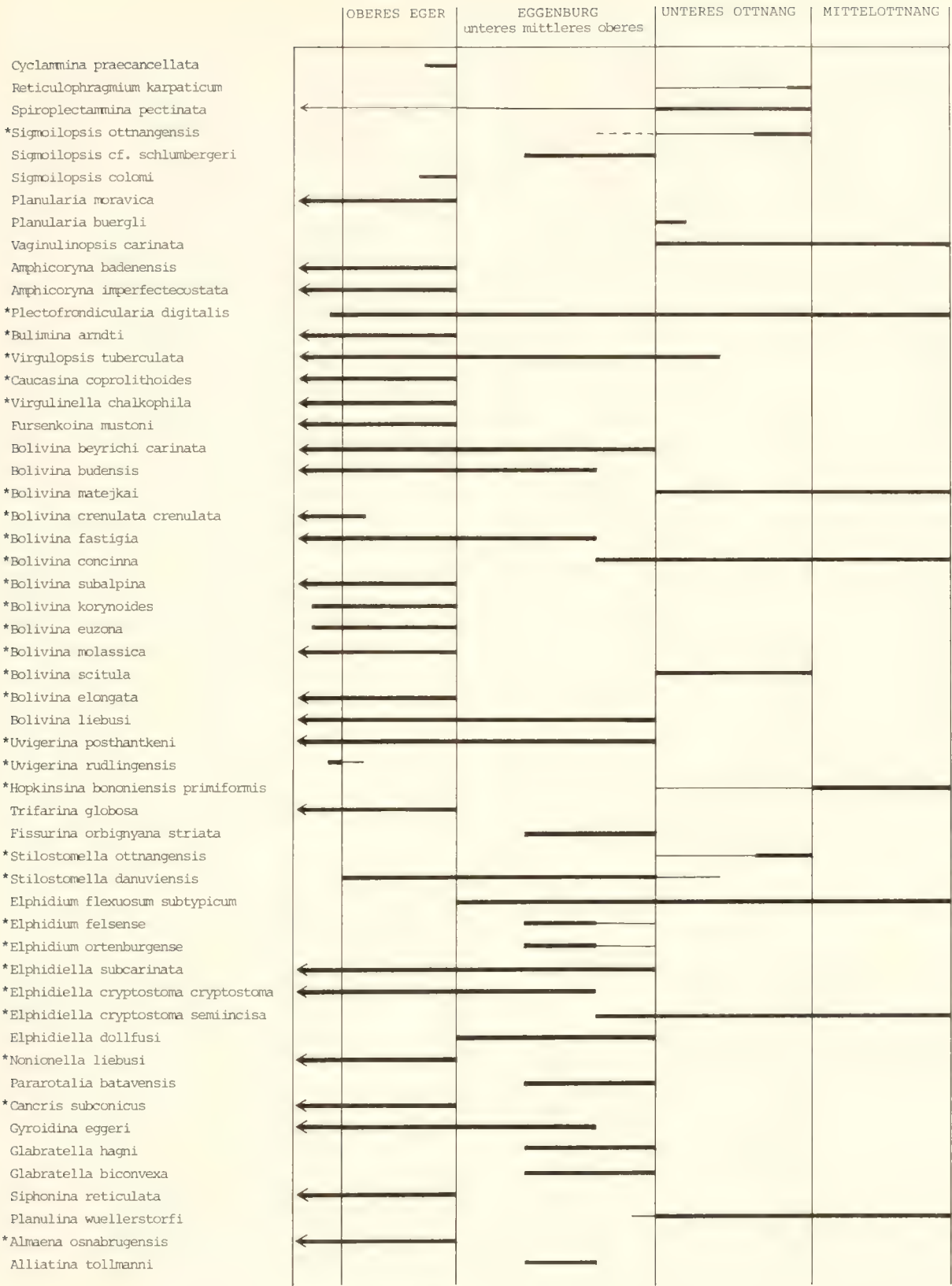


Abb. 22: Stratigraphische Verbreitung der benthonischen Foraminiferen. * = Formen mit echtem Leitwert

unterhalb *Sigmioilopsis ottnangensis*. Die Basis des Ottnang markiert der Horizont mit *Planularia buergli*.

Im tiefsten Ottnang stirbt *Virgulopsis tuberculata* aus.

Im Mittelottnang treten nicht mehr auf:
Sigmioilopsis ottnangensis und *Stilostomella ottnangensis*.

2.9 PALÄOBATHYMETRIE

Trotz vieler Unabwägbarkeiten, die die Thanatozöosen fossiler Foraminiferen beeinflussen, können sie verlässliche Informationen über die Ablagerungsbedingungen des Sediments liefern. Ein besonders geschätztes Anwendungsgebiet ist die Paläobathymetrie, die darauf beruht, daß viele Foraminiferen-Gattungen und -Arten bestimmte Wassertiefen als Lebensraum bevorzugen und dort als Häufigkeitsformen auftreten. Es lassen sich so Tiefenzonen ausscheiden. Schon NATLAND (1933) und BANDY (1953: 171) wiesen jedoch darauf hin, daß die Verbreitung der Foraminiferen weniger durch die Wassertiefe, als durch die davon abhängigen anderen ökologischen Faktoren, vor allem die Temperatur, kontrolliert wird. Desweiteren sind in diesem Zusammenhang zu nennen: Salinität, Sauerstoffgehalt, pH-Wert, Lichtverhältnisse usw., über deren Einfluß im einzelnen wenig bekannt ist. Ein und dieselbe Art muß also nicht notwendigerweise in zwei verschiedenen Lebensräumen dieselbe vertikale Verbreitung besitzen, da diese von den Umweltbedingungen abhängig ist. Der Vergleich mit rezenten Foraminiferen, auf dem ja das gesamte Tiefenverteilungsschema beruht, das die Mikropaläontologen des Tertiärs und der Kreide anwenden, ist daher um so mehr mit Vorsicht zu behandeln. Dies zeigte auch das Beispiel *Melonis pompilioides*, die offensichtlich heute größere Meerestiefen bevorzugt als noch im Miozän. Hinzu kommt auch als weiterer Verfälschungsfaktor postmortale Umlagerung oder einfaches Hangabwärtsrutschen der abgestorbenen Organismen, wodurch tiefere Wasserzonen als zu flach interpretiert werden könnten.

Daneben hat man regional mit noch weiteren Schwierigkeiten zu kämpfen. Das von GRIMSDALE & VAN MORKHOVEN (1955) entworfene Plankton/Benthos-Verhältnis als Funktion der Wassertiefe ist in der ganzen Welt im rezenten wie fossilen

Bereich eine anerkannte Methode zur Tiefenzonierung. Sie beruht auf der einfachen Regel, daß die planktonischen Foraminiferen mit zunehmender Wassertiefe gegenüber den benthonischen überhandnehmen. Nur die Molasse will sich nicht an diese Regel halten. Während die uvigerinen-reichen Tiefwassersedimente des Oberen Eger in den Vorlandmolassebohrungen Plankton nur in sehr geringer Zahl enthalten, sind die Flachwassersedimente der niederbayerischen Blättermergel, die als letzter Rest des bayerischen Paratethys-Meeres kurz vor der Verbrackung stehen, von Globigerinen in großer Fülle geprägt. Dies mag im ersten Fall auf die Abgeschlossenheit der Paratethys zurückzuführen sein, die ja auch in der verminderten Diversität des Planktons in Bayern zum Ausdruck kommt. Im zweiten Fall ist die Deutung wesentlich schwieriger. Als Erklärung könnten vielleicht Oberflächenströmungen herangezogen werden, die eine Zusammenspülung von planktonischen Foraminiferen in Buchten bewirkten. Eventuell in Verbindung mit ungünstigen Lebensbedingungen des Benthos führten diese dann zu einer relativen Anreicherung des Planktons. Auf jeden Fall dürften die zwei genannten Beispiele zeigen, daß das Plankton/Benthos-Verhältnis in diesem Raum keine Hinweise liefern kann.

So stützen sich die hier vorgelegten Interpretationen nur auf die Verbreitung benthonischer Foraminiferen. Spezielle Angaben zu einzelnen Arten oder Gattungen bezüglich Bathymetrie, Temperatur, Salinität usw. mit den sie belegenden Literaturhinweisen sind in den paläontologischen Teil einbezogen.

Aus der Häufigkeitsverteilung der benthonischen Foraminiferen ließen sich nach dem Prinzip der Arten-Dominanz (WALTON 1964, MURRAY 1973: 12) folgende Vergesellschaftungen und Tiefenzonierungen entwickeln:

Robulus-Schlier	<i>Ammonia-Florilus</i>	Brackwasser, Restvergesellschaftung
	<i>Ammonia-Elphidiidae</i> + <i>Polymorphinidae</i>	flaches Neritikum
	<i>Robulus-Elphidiidae</i>	mittleres Neritikum
	<i>Robulus-Sigmoilopsis-Spiroplectamina</i>	tiefes Neritikum
Buliminiden-Zone	<i>Bathysiphon-Cyclamina</i>	tiefere Neritikum-oberes Bathyal
	<i>Melonis-Bulimina</i>	tiefere Neritikum-oberes Bathyal
	<i>Bolivina-Bulimina</i>	oberes Bathyal
	<i>Uvigerina-Chilostomella-Cancris</i>	oberes Bathyal
	<i>Praeglobobulimina-Chilostomella-Valvulineria</i>	oberes Bathyal

Zwischen diesen Zonen waren zahlreiche Übergangsbereiche festzustellen mit Mischvergesellschaftungen verschiedenster Kombinationen, wie z. B. *Uvigerina-Cyclamina* oder

Cyclamina-Sigmoilopsis. Häufigkeitsformen, die keine oder nur geringe Aussagekraft besitzen, wie z. B. *Cibicides pseudoungerianus*, wurden nicht berücksichtigt.

3. PALÄONTOLOGISCHER TEIL

3.1 ZUSAMMENFASSUNG DER REVISION DER EGGERSCHE FORAMINIFERENFAUNA DES NIEDERBAYERISCHEN EGGENBURG

3.1.1 Das Leben Joseph Georg Eggers

Die erste Bearbeitung der Miozän-Foraminiferen in Bayern geht auf einen Landarzt aus Ortenburg, Dr. Joseph Georg Egger, zurück, der ohne großartige Hilfsmittel heranging, die nähere Umgebung seiner Heimatstadt zu erforschen. Er wurde am 24. Dezember 1824 in Kelheim geboren, übersiedelte aber bald mit seinen Eltern nach Passau, wo er Volksschule und Gymnasium besuchte. Nach dem Studium der Medizin an der Universität München ließ er sich als praktischer Arzt in Ortenburg nieder. Als Naturfreund war er Gründungsmitglied des Naturhistorischen Vereins Passau, dem er zunächst als Sekretär, von 1871 bis 1881 als Vorstand diente und zu dessen Ehrenpräsident er nach seiner Berufung als königlicher Regierungs- und Kreis-Medizinalrat nach Bayreuth ernannt wurde. Von seinem weitgespannten naturwissenschaftlichen Interesse zeugen die zahlreichen Vorträge und Aufsätze in den Jahresberichten dieses Vereins.

Mit seiner Beschreibung der Foraminiferenfauna des niederbayerischen Miozäns im Jahre 1857 war er zusammen mit SCHAFHÄUTL und EMMRICH einer der ersten, die in Bayern diesen fossilen Kleinstlebewesen Beachtung schenkten. Dieses Werk legte den Grundstein für weitere, bis heute fundamentale Arbeiten auf dem Gebiet der Mikropaläontologie. Schon ein Jahr später folgte die Beschreibung der Ostracodenfauna derselben Schichten und noch im gleichen Jahr eine Arbeit über den Jurakalk der Ortenburger Gegend. 1860 berichtete er über die Diatomeenmergel von Habühl. Nach seiner Versetzung von Bayreuth nach Landshut im Jahre 1886 wurde er von GÜMBEL, mit dem er eng befreundet war, mit der Bearbeitung der rezenten Foraminiferen, die von dem Forschungsschiff S. M. Sch. Gazelle geborgen wurden, betraut. Seine Untersuchungen fanden in einer 1893 erschienenen Monographie ihren Niederschlag. Im Jahre 1895 folgte eine Beschreibung der Foraminiferen vom Mte. Bartolomeo am Gardasee.

Nach seiner Versetzung in den Ruhestand im Jahre 1896 zog er nach München und wandte sich fortan den Kreideschichten seiner bayerischen Heimat zu. Seine Studien sind uns in den Veröffentlichungen über die Foraminiferen und Ostracoden der Kreide der Ostbayerischen Alpen von 1899, über Orbitolinen von 1902, über die Foraminiferen und

Ostracoden der Regensburger Kreide von 1907 und 1910 und über die Foraminiferen der Seewer Schichten von 1909 überliefert. Dazwischen lag noch eine Arbeit von 1909, die die Ostracoden der Fischschiefer Ostsibiriens behandelte.

Am 24. März 1913 verstarb er in München im Alter von fast 89 Jahren.

Zur Würdigung seiner großen wissenschaftlichen Verdienste hielt HILTFERMANN (1953) in einer aufschlußreichen Biographie zum 40. Todestag das Leben dieses vorbildlichen Mannes für die Nachwelt fest.

3.1.2 Eggers Aufschlüsse

Eine Revision seiner Foraminiferenbeschreibung des niederbayerischen Miozäns gestaltet sich insofern schwierig, als die Sammlung im 2. Weltkrieg zerstört wurde. Die Bearbeitung konnte sich somit nur auf die Neuaufsammlung von Proben stützen. Dies brachte jedoch ebenfalls Probleme mit sich, da die meisten der von Egger bearbeiteten Aufschlüsse heute nicht mehr existieren. Von den Typlokalitäten ist nur noch Maierhof zugänglich. Zu Eggers Zeiten waren hier neben den Sanden des Eggenburg auch Mittelottnang-Sedimente aufgeschlossen. Welcher dieser Einheiten seine Faunenelemente im einzelnen entstammen, wird aus seinen Angaben nicht deutlich. Der ebenfalls noch bestehende Aufschluß Kemating wurde von Egger nur am Rande behandelt.

Die Lokalität Buchleiten bei Schöföbach liegt nur 500 m NE Maierhof und ist nicht mehr aufgeschlossen. Sie wurde schon zu Kraus' Zeiten zugeschüttet (KRAUS 1916: 115). Habühl ist nach Eggers Angaben südlich des Kalkbruches von Voglarn (Kalkberg) zu suchen, also in der Nähe von Kemating.⁹)

Die Sande des Einberger bei Hausbach standen, einem Hinweis bei KRAUS (1916: 116) folgend, nahe dem vor einigen Jahren abgebrannten Gehöft Aichberg an. Im Gegensatz zu den Aufschlüssen an der Wolfach, soll hier das Eggenburg in mergeliger Fazies ausgebildet gewesen sein. Dies erwähnen sowohl KRAUS (1916: 116) als auch GÜMBEL (1887: 299; 1894: 376), der die Megafauna dieser „...in einer sackartigen Vertiefung abgesetzten harten Mergel und gelben Sande...“ beschreibt und mit Loibersdorf parallelisiert (GÜMBEL 1887: 301).

Diese Stelle wäre wegen ihrer besonders reichen Mikrofauna für die Revision in erster Linie von Wichtigkeit gewesen. Egger gab sie als Typlokalität der allermeisten seiner neu aufgestellten Arten an. Leider existieren keine präzisen Angaben über die ehemalige Lage dieses Aufschlusses. Bei mehreren Begehungen waren davon keinerlei Anzeichen mehr zu entdecken. Dies erschwerte die Revision beträchtlich – für zahlreiche Neotypen mußten ersatzweise andere Stellen als Typlokalität ausgewählt werden.

Jenseits des westlich davon gelegenen Höhenrückens, bei den Fischweihern des Gehöftes Lippert kann man heute noch Reste von *Chlamys gigas* finden, die auf ehemals anstehendes

⁹ Die Diatomeenmergel von Habühl wurden von UNGER (1984b: 94–96) bei der Kartierung des Blattes L7544 Griesbach wiederentdeckt. Die Veröffentlichung erfolgte erst nach Fertigstellung des Manuskripts zu dieser Arbeit. Bei einer nachträglichen Begehung der Lokalität konnte in den stark verfallenen, tiefgründig verwitterten, in einem Waldgebiet gelegenen Mergelgruben kein zur Gewinnung von Mikrofaunen geeignetes Material geborgen werden. UNGER (1984b: 96) stuft die Schichten ins Mittelottnang ein. Eine Zusammenstellung des Foraminifereninhalts nach EGGER (1857) spricht nicht gegen diese Einstufung, da von dieser Lokalität keine typischen Eggenburg-Formen erwähnt sind.

Eggenburg hinweisen (vgl. KRAUS 1916: 115). Wegen der starken Übersättung durch die, den Höhenrücken bildenden Schotter war eine Grabung jedoch ohne Erfolg.

Somit konnte die Revision der Fauna nur auf Proben von Maierhof, Blindham und Kemating aufbauen.

3.1.3 Überblick über die Revision

<i>Oolina punctata</i> nov. spec. S. 268, Taf. 5 1–2	<i>Lagena semistriata</i> WILL.
<i>Oolina striatula</i> nov. spec. S. 269, Taf. 5 3–8	<i>Lagena semistriata</i> WILL.
<i>Oolina costata</i> nov. spec. S. 269, Taf. 5/9–11 = <i>Lagena diversicostata</i> REUSS nom. nov.	?
<i>Oolina fasciata</i> nov. spec. S. 270, Taf. 5/12–15	<i>Fissurina fasciata</i> (EGGER)
<i>Fissurina obtusa</i> nov. spec. S. 270, Taf. 5 16–19	<i>Fissurina obtusa</i> EGGER
<i>Miliola (Triloculina) gibba</i> D'ORB. S. 271, Taf. 5/20; 6/1–3	<i>Triloculina gibba</i> D'ORB.
<i>Miliola (Triloculina) austriaca</i> D'ORB. S. 271, Taf. 6/4–6	<i>Triloculina gibba</i> D'ORB.
<i>Miliola (Triloculina) consobrina</i> D'ORB. S. 271, Taf. 6/7–9	<i>Sinuloculina consobrina</i> (D'ORB.)
<i>Miliola (Quinqueloculina) haidingeri</i> D'ORB. S. 272, Taf. 6/10–12	<i>Quinqueloculina akneriana</i> D'ORB.
<i>Miliola (Quinqueloculina) saxorum</i> D'ORB. S. 272, Taf. 10/18–20	?
<i>Miliola (Quinqueloculina) praelonga</i> nov. spec. S. 272, Taf. 6/16–18	? <i>Sinuloculina consobrina</i> (D'ORB.)
<i>Miliola (Quinqueloculina) cribrosa</i> nov. spec. S. 273, Taf. 6/13–15	<i>Quinqueloculina cribrosa</i> (EGGER)
<i>Sphaeroidina austriaca</i> D'ORB. S. 273, Taf. 6/19–20	<i>Sphaeroidina bulloides</i> D'ORB.
<i>Rotalina kalebergensis</i> D'ORB. S. 273, Taf. 9/21–23	<i>Gyroidina eggeri</i> n. sp.
<i>Rotalina dutemplei</i> D'ORB. S. 274, Taf. 7/8–10	<i>Heterolepa dutemplei</i> (D'ORB.)
<i>Rotalina aculeata</i> D'ORB. S. 274, Taf. 7/1–4	<i>Pararotalia batavensis</i> n. sp.
<i>Rotalina brongniarti</i> D'ORB. S. 274, Taf. 7/5–7	<i>Cancris auriculus</i> (F. & M.)
<i>Rotalina haidingeri</i> D'ORB. S. 275, Taf. 7/11–13	<i>Discorbis ubligi austriacus</i> (TOLLMANN)
<i>Rotalina orthorapha</i> nov. spec. S. 275, Taf. 10/1–3	<i>Escornebovina orthorapha</i> (EGGER)
<i>Rotalina propingua</i> REUSS S. 275, Taf. 7/14–17	<i>Ammonia propingua</i> (REUSS)
<i>Rotalina anomphala</i> nov. spec. S. 275, Taf. 8/8–10	<i>Heterolepa dutemplei</i> (D'ORB.)
<i>Rotalina semiporata</i> nov. spec. S. 276, Taf. 8/1–3	<i>Rosalina globularis semiporata</i> (EGGER)
<i>Rotalina discigera</i> nov. spec. S. 277, Taf. 8 5–7	<i>Ammonia discigera</i> (EGGER)
<i>Rotalina cryptomphala</i> REUSS S. 277, Taf. 9 4–6	<i>Cibicidoides pseudoungerianus</i> (CUSHMAN)
<i>Rosalina viennensis</i> D'ORB. S. 277, Taf. 8/11–13	<i>Ammonia beccarii</i> (L.)
<i>Rosalina simplex</i> D'ORB. S. 278, Taf. 10/4–6	<i>Ammonia beccarii</i> (L.)

- Rosalina horrida* nov. spec.
 S. 278, Taf. 8/14–16
Rosalina patella nov. spec.
 S. 278, Taf. 10/12–14
Truncatulina lobatula D'ORB.
 S. 279, Taf. 9/1–3
Truncatulina tumescens nov. spec.
 S. 279, Taf. 9/14–16
 ?*Anomalina anomala* nov. spec.
 S. 280, Taf. 9/10–13
Planorbulina truncata nov. spec.
 S. 280, Taf. 10/15–17
Asterigerina planorbis D'ORB.
 Taf. 281, Taf. 11/8–10
Globigerina dubia nov. spec.
 S. 281, Taf. 9/7–9
Globigerina bulloides D'ORB.
 S. 282, Taf. 11/14–16
Globigerina triloba REUSS
 S. 282, Taf. 11/11–13
Bulimina buccinoides nov. spec.
 S. 282, Taf. 10/9–11
Bulimina inconstans nov. spec.
 S. 283, Taf. 12/1–3
 Taf. 12/8–9
Bulimina tuberculata nov. spec.
 S. 284, Taf. 12/4–7
Bulimina pygmaea nov. spec.
 S. 284, Taf. 12/10–11
Uvigerina semiornata D'ORB.
 S. 285, Taf. 11/17–18
Polymorphina uvula nov. spec.
 S. 285, Taf. 10/26–29
Polymorphina subdilatata nov. spec.
 S. 286, Taf. 13/30–33
Polymorphina incerta nov. spec.
 S. 286, Taf. 13/19–21
Polymorphina media nov. spec.
 S. 287, Taf. 13/28–29
Polymorphina praelonga nov. spec.
 S. 287, Taf. 13/25–27
Polymorphina (*Guttulina*) *problema* D'ORB.
 S. 287, Taf. 10/23–25
Polymorphina (*Guttulina*) *lata* nov. spec.
 S. 288, Taf. 13/22–24
Polymorphina (*Guttulina*) *communis* D'ORB.
 S. 288, Taf. 13/16–18
Polymorphina (*Globulina*) *gibba* D'ORB. *vera*
 S. 288, Taf. 13/1–4
 var. *ovoidea*
 S. 289, Taf. 13/5–7
 var. *subgibba*
 S. 289, Taf. 13/8–10
 var. *pirula*
 S. 290, Taf. 13/11–12
Polymorphina (*Globulina*) *angusta* nov. spec.
 S. 290, Taf. 13/13–15
Polymorphina (*Globulina*) *granulosa* nov. spec.
 S. 290, Taf. 14/1–2
- ?
Neoconorbina patella (EGGER)
Cibicides lobatulus (W. & J.)
 ?*Cibicides lobatulus* (W. & J.)
 ?
Dyocibicides truncatus (EGGER)
Asterigerinata planorbis (D'ORB.)
Globigerina dubia EGGER
Globigerina ciperoensis ottnangiensis RÖGL
Globigerina praebulloides praebulloides BLOW
 ?
 ?*Caucasina cylindrica* ZAPL.
Bulimina elongata D'ORB.
Virgulopsis tuberculata (EGGER)
 ?
Trifarina gracilis (REUSS) var. *tenuistriata* (REUSS)
Guttulina uvula (EGGER)
Pseudopolymorphina incerta (EGGER)
Pseudopolymorphina incerta (EGGER)
Pseudopolymorphina media (EGGER)
Guttulina praelonga (EGGER)
Guttulina problema (D'ORB.)
Guttulina problema (D'ORB.)
Guttulina problema (D'ORB.)
Globulina gibba (D'ORB.)
Guttulina praelonga (EGGER)
Globulina granulosa (EGGER)

- Polymorphina (Globulina) striata* nov. spec.
S. 291, Taf. 14/3–4
- Polymorphina (Globulina) costata* nov. spec.
S. 291, Taf. 14/5–6
- Polymorphina (Globulina) tuberculata* D'ORB.
S. 292, Taf. 14/7–8
- Polymorphina (Globulina) spinosa* D'ORB.
S. 292, Taf. 14/9–10
- Verneuilina spinulosa* REUSS
S. 292, Taf. 9 17–18
- Strophoconus ?teretiusculus* EHRLBG.
S. 292, Taf. 12/30–32
- Textularia subangulata* D'ORB.
S. 293, Taf. 12/15–16
- Textularia abbreviata* D'ORB.
S. 293, Taf. 12/17–18
- Textularia striato-punctata* nov. spec.
S. 294, Taf. 12/27–29
- Bolivina antiqua* D'ORB.
S. 294, Taf. 12/22–26
- Virgulina schreibersana* CZICZEK
S. 295, Taf. 12/12–14
- Virgulina subsquamosa* nov. spec.
S. 295, Taf. 12/19–21
- Cassidulina oblonga* REUSS
S. 295, Taf. 11/1–3
- Cassidulina globulosa* nov. spec.
S. 296, Taf. 11/4–7
- Cristellaria simplex* D'ORB.
S. 296, Taf. 14/34–35
- Cristellaria arcuata* D'ORB.
S. 296, Taf. 14/28–30
- Cristellaria incerta* nov. spec.
S. 296, Taf. 14/31–33
- Robulus inornatus* D'ORB.
S. 297, Taf. 15/14–16
- Robulina compressa* nov. spec.
S. 297, Taf. 15/12–13
non *Robulina compressa* BORNEMANN 1855
- Nonionina communis* D'ORB.
S. 298, Taf. 14/11–12
Taf. 14/13
Taf. 14/14–15
- Nonionina subgranosa* nov. spec.
S. 299, Taf. 14/16–18
- Nonionina dense-punctata* nov. spec.
S. 299, Taf. 14/22–23
- Nonionina pauper* nov. spec.
S. 300, Taf. 14/26–27
- Nonionina heteropora* nov. spec.
S. 300, Taf. 14/19–21
- Polystomella subcarinata* nov. spec.
S. 301, Taf. 14/24–25
- Polystomella cryptostoma* nov. spec.
S. 301, Taf. 9/19–20
- Polystomella ortenburgensis* nov. spec.
S. 302, Taf. 15/7–9
- Polystomella angulata* nov. spec.
S. 302, Taf. 15/5–6
- Globulina striata* (EGGER)
- Globulina striata* (EGGER)
- Globulina spinosa* D'ORB.
- Globulina spinosa* D'ORB.
- Reussella spinulosa* (REUSS)
- ?
- Textularia gramen* D'ORB.
- Textularia gramen* D'ORB.
- Heterohelix striata* (EHRENBERG)
(Kreide-Umlagerung)
- Bolivina antiqua* D'ORB.
- Fursenkoina acuta* (D'ORB.)
- ?
- Globocassidulina oblonga* (REUSS)
- Cassigerinella globulosa* (EGGER)
- Astacolus crepidulus* (F. & M.)
- Saracenaria arcuata* (D'ORB.)
- ?
- Robulus inornatus* (D'ORB.)
- Robulus pauperculus* (REUSS)
- Florilus communis* (D'ORB.)
- Alliatina tollmanni* LANGER
- Elphidiella minuta* (REUSS)
- Porosonion granosum* (D'ORB.)
- ?
- Pullenia quinqueloba* (REUSS)
- Elphidiella heteropora* (EGGER)
- Elphidiella subcarinata* (EGGER)
- Elphidiella cryptostoma cryptostoma* (EGGER)
- Elphidium ortenburgense* (EGGER)
- Elphidium angulatum* (EGGER)

Polystomella crispa LAMK.

S. 303, Taf. 15/1–2

Polystomella flexuosa D'ORB.

S. 303, Taf. 10/21–22

Polystomella aculeata D'ORB.

S. 303, Taf. 15/3–4

Polystomella josephina D'ORB.

S. 303, Taf. 15/10–11

?*Cyclolina impressa* nov. spec.

S. 304, Taf. 10/7–8

Glandulina candela nov. spec.

S. 304, Taf. 15/28–29

Glandulina inaequalis nov. spec.

S. 305, Taf. 15/26–27

Glandulina punctata nov. spec.

S. 305, Taf. 15/32–33

Nodosaria badensis D'ORB. var. *aculeata*

S. 305, Taf. 15/17–21

non *Nodosaria aculeata* D'ORBIGNY 1846

Nodosaria decem-costata nov. spec.

S. 306, Taf. 15/24–25

Dentalina consobrina D'ORB.

S. 306, Taf. 15/22–23

Dentalina perscripta nov. spec.

S. 307, Taf. 15/30–31

Elphidium flexuosum flexuosum (D'ORB.)

Elphidium flexuosum flexuosum (D'ORB.)

Elphidium felsense PAPP

Elphidium felsense PAPP

Ammodiscus cretaceus (REUSS)

Glandulina ovula D'ORB.

?*Glandulina ovula* D'ORB.

Glandulina ovula D'ORB.

Stilosomella danuviensis nom. nov.

Stilosomella pentecostata (COSTA)

Stilosomella consobrina (D'ORB.)

Stilosomella perscripta (EGGER)

Egger beschreibt in seiner Monographie 92 Arten (dazu 3 Varietäten von *Globulina gibba*), von denen 51 Erstbeschreibungen waren (ohne die drei erwähnten Varietäten). Von diesen 51 neu aufgestellten Arten konnten 24 beibehalten werden (für eine davon war ein neuer Name zu vergeben), 21 mußten eingezogen werden (davon 3 fraglich und eine aus Homonymiegründen), 8 blieben unbekannt. Von diesen 8 stammen 5 aus dem eingangs erwähnten Aufschluß Hausbach, 2 aus Habühl und eine aus Buchleiten. 2 weitere Formen, die Egger jedoch mit Arten anderer Autoren identifizierte, blieben unbekannt:

Miliola (*Quinqueloculina*) *saxorum* D'ORB.: Egger lag davon selbst nur ein Einzelstück aus Hausbach vor

Strophoconus ?*teretiusculus* EHRBG.: Egger fand 2 Exemplare im Diatomeen-Mergel von Habühl

Zu den 8 unbekannt gebliebenen, von Egger aufgestellten Arten sind noch einige Bemerkungen zu machen:

Oolina costata nov. spec.: Typlokalität Hausbach

Die Art wurde von REUSS 1862 mit dem neuen Namen *Lagena diversicostata* REUSS belegt.

Die Form ist *Lagena isabella* (D'ORB.) sehr ähnlich, zeigt aber an der Basis zwei durchlaufende Rippen statt eines Stachelansatzes. Da kein Topotypmaterial aus Hausbach zur Verfügung stand, wurde die Synonymiefrage offengelassen (vgl. auch Beschreibung von *Lagena isabella*).

Rosalina horrida nov. spec.: Typlokalität Buchleiten

Die Skulptur dieser Formen ist möglicherweise auf sekundäre Kristallbildungen auf der Schalenoberfläche zurückzuführen, wie sie in den Proben von Maierhof bisweilen zu beobachten sind.

?*Anomalina anomala* nov. spec.: Typlokalität Hausbach

Egger lag selbst nur 1 Exemplar dieser Form vor.

Bulimina buccinoides nov. spec.: Typlokalität Hausbach

Die Zeichnung läßt noch am ehesten an *Praeglobobulimina* denken, die im Eggenburg von Kemating sehr selten auftritt. CUSHMAN & PARKER (1937b: 52) reihen die Form unter die „questionable species“ ein.

Bulimina pygmaea nov. spec.: Typlokalität Habühl

Es wurden keine vergleichbaren Formen gefunden.

EGGER (1893: 87) stellt die Art zur Gattung *Verneuilina*. EGGER (1899: 34) nimmt jedoch diese rezenten Formen in die Synonymie von *Guembelina polystropha* REUSS, die jetzt zur Gattung *Eggerella* gehört. Auch CUSHMAN & PARKER (1937b: 52) vertreten die Ansicht, daß es sich offensichtlich nicht um eine *Bulimina* handelt.

Virgulina subsquamosa nov. spec.: Typlokalität Habühl und Buchleiten

Es konnten keine vergleichbaren Formen gefunden werden. EGGER (1893: 99) beschreibt die Art auch rezent und bildet sie in ähnlicher Weise ab wie 1857.

Nach CUSHMAN (1937b: 18) liegt ein Exemplar dieser Art aus Eggers Originalmaterial („Whether this specimen is the holotype, or is a cotype, it is impossible to say at the present time...“) im Museum der Harvard Universität vor. Die Abbildung hat mit denen von Egger jedoch wenig gemeinsam. Die von EGGER (1893) rezent beschriebene Form faßt CUSHMAN (1937b: 29) als eigenständige Art auf.

EGGER (1895: 19) weist darauf hin, daß BRADY *Virgulina squamosa* D'ORB. und *Virgulina subsquamosa* als synonym betrachtet.

Cristellaria incerta nov. spec.: Typlokalität Hausbach

Nach Eggers Abbildung könnte es sich um eine *Marginulina* handeln, es wurden jedoch nie derartige Formen festgestellt.

Nonionina dense-punctata nov. spec.: Typlokalität Hausbach
CUSHMAN (1939: 14, Taf. 3/15) bildet einen Topotyp ab, der allerdings *Porosonion granosum* entspricht. Einer Einbeziehung in die Synonymie dieser Art steht die Darstellung bei EGGER entgegen, mit der deutlichen Mündung, den gebogenen Suturen und dem engen Nabel.

MARKS (1951: 48) faßt sie mit *Nonion perforata* (D'ORB.) (= *Porosonion granosum*) zusammen, PRELL-MUSSIG (1965: 249) mit *Anomalina granosa* (HANTKEN).

3.2 SYSTEMATIK

Ordnung: Foraminiferida EICHWALD 1830

Familie: Astrorhizidae BRADY 1881

Genus: *Bathysiphon* SARS 1872

Bathysiphon filiformis SARS

Taf. 1, Fig. 1–2

- *1872 *Bathysiphon filiformis* SARS — SARS: 251 (fide ELLIS & MESSINA) (rezent, Norwegen)
- 1893 *Bathysiphon apenninicus* SACCO — SACCO: 167, Abb. 1 (Miozän, N-Italien)
- Bathysiphon taurinensis* SACCO — SACCO: 168, Abb. 2 (Kreide, N-Italien)
- 1904 *Bathysiphon filiformis* SARS — SCHUBERT: Taf. 19/13 (Oligozän, Oberösterreich)
- Bathysiphon taurinensis* SACCO — SCHUBERT: Taf. 19/10–12
- 1918b *Bathysiphon filiformis* SARS — CUSHMAN: 27, Taf. 11/4–5 (rezent, Atlantik)
- 1951 *Bathysiphon filiformis* SARS — FRIESE: 9, Taf. 2/1–38 (Oligozän, Niederbayern)
- 1973 *Bathysiphon inconstans* n. sp. — MAŁECKI: 168, Taf. 2, Abb. 1–6 (Eozän, Polen)
- 1975 *Bathysiphon taurinense* SACCO — POPESCU: 32, Taf. 1/2 (Miozän, Rumänien)
- 1983 *Bathysiphon filiformis* SARS — VERDENIUS & VAN HINTE: 186, Taf. 1/3–4 (Tertiär, Nordatlantik)

Diese Art liegt in meist stark verdrückter Form vor. Nur an einigen wenigen Stücken ist der ursprünglich runde Querschnitt noch zu erkennen. Das Gehäuse wird von einer einkammrigen Röhre aufgebaut, die nur sehr langsam an Breite zunimmt und in unregelmäßigen Abständen schwache Einschnürungen oder seltener Querwülste aufweist.

Die Gehäusewand ist mittelgrob agglutiniert, bisweilen sind auch feiner agglutinierte Exemplare in derselben Probe zu beobachten. Als Baumaterial dienten Quarz, Glimmer und Schwamm-Spiculae. Das Bindemittel ist kieselig.

L = (nur in Bruchstücken)

B = 0,35–1,5 mm

D = 0,35–0,5 mm

Wanddicke: 0,07–0,1 mm

Bemerkungen:

MAŁECKI (1973) und VERDENIUS & VAN HINTE (1983: 186) betrachten *Bathysiphon taurinensis* SACCO 1893 als synonym mit *Bathysiphon filiformis* SARS 1872. Sie stellen fest, daß es sich dabei nur um verschiedene Gehäuseabschnitte einer einzigen Art handelt.

Verbreitung:

Häufig im Oberen Eger der Prien, der Bohrungen Ampfing 1 und Ortenburg 1002 (hier selten), sowie im Eggenburg des Pechschnaitgrabens, selten im Eggenburg des Röthelbaches und des Lußgrabens, im Unteren Ottang der Prien und des Kaltenbachgrabens, sehr häufig im tiefsten Ottang des Lußgrabens.

Ökologie:

Als sogenannter „Fleysch-Sandschaler“ tritt er gehäuft im Tiefwasser auf.

Familie: Ammodiscidae REUSS 1862

Genus: *Ammodiscus* REUSS 1862

Ammodiscus cretaceus (REUSS)

Taf. 1, Fig. 3

- *1845 *Operculina cretacea* REUSS — REUSS: 35, Taf. 13/64, 65 (Kreide, Böhmen)
- ?1850 *Operculina punctata* m. — REUSS: 370, Taf. 46/21 (Mittelmiozän, Wiener Becken)
- 1857 ?*Cyclolina impressa* nov. spec. — EGGER: 304, Taf. 10/7, 8 (?Mittelottang/?Eggenburg, Niederbayern)
- 1951 *Ammodiscus incertus* (D'ORB.) — FRIESE: 10 (Oligozän/Miozän, Niederbayern)
- 1964 *Ammodiscus* ex gr. *cretaceus* (REUSS) — PFLAUMANN: 86, Taf. 10/22–24, 26–30 (Oberkreide, Bayern)
- 1971 *Ammodiscus incertus* (D'ORB.) — IVA et al.: 75, Taf. 2/6–8 (Ottang, Rumänien)
- 1975 *Ammodiscus incertus* (D'ORB.) — POPESCU: 33, Taf. 1/4 (Miozän, Rumänien)
- 1979 *Ammodiscus incertus* auct. non *Operculina incerta* D'ORB. — SZTRÁKOS: 57, Taf. 1/8 (Oligozän, Ungarn)
- 1982 *Ammodiscus cretaceus* (REUSS) — AGIP S. p. A.: Taf. 1/2 (Oligozän/Untermiozän, Italien)

Die sehr zarten, dünnchaligen, flach-scheibenförmigen Gehäuse bestehen aus einem Proloculus und einer langen, röhrenförmigen, planspiral aufgewundenen Kammer. Der Umriss ist rundlich bis unregelmäßig oval, die Seitenflächen sind eben oder leicht concav, die Peripherie ist gerundet. Es sind bis zu 10 Windungen festzustellen, die sich kaum umgreifen. Die Kammerröhre zeigt einen runden Querschnitt, ihr Durchmesser nimmt im Laufe der Ontogenie nur unwesentlich zu, an manchen Stellen ist sie jedoch unregelmäßig verdickt und aufgebläht. Die Spiralsutur ist leicht eingesenkt. Die Mündung wird durch das offene Ende der Kammerröhre gebildet.

Die Wand ist sehr fein agglutiniert; winzige Quarzkörner sind durch kieseliges Bindemittel verbunden.

Ø = 0,25–0,5 mm

D = 0,03–0,11 mm

Differentialdiagnose:

Ammodiscus perlucidus ANDREAE und *Ammodiscus tenuissimus* GRZYBOWSKI zeichnen sich durch eine raschere Zunahme des Röhrendurchmessers aus (vgl. PFLAUMANN 1964: 86A).

Bemerkungen:

Die von SCHELLWIEN (1898: 265) als Genotyp von *Ammodiscus* REUSS 1861 festgelegte (REUSS benannte keinen Genotyp) *Operculina incerta* D'ORB. 1839 erwies sich als der Gat-

tung *Cyclogyra* zugehörig. LOEBLICH & TAPPAN (1954: Emen-
dation of the foraminiferal genera *Ammodiscus* REUSS 1862,
and *Involutina* TERQUEM 1862. — Jour. Wash. Acad. Sci.,
44 [10]; Baltimore. [fide ELLIS & MESSINA]) stellten daraufhin
fest, daß das älteste Zitat von *Ammodiscus*, *Ammodiscus infi-*
mus (STRICKLAND) bei BORNEMANN (1874) ist. Das Original von
Orbis infimus STRICKLAND 1846 stellte sich jedoch als *Spirillina*
heraus. LOEBLICH & TAPPAN (1954) faßten daher *Ammodiscus*
als jüngeres Synonym von *Spirillina* EHRENBERG 1843 auf und
schlugen für die agglutinierten Formen den Namen *Involu-*
tina mit dem Genotyp *Involutina silicea* TERQUEM vor, der
schon von CUSHMAN (1928a) für diese Gattung benannt
wurde. LOEBLICH & TAPPAN (1961) widerriefen diese Festle-
gungen, indem sie die Emendation von BORNEMANN (1874) be-
rückichtigten, der *Involutina jonesi* TERQUEM & PIETTE 1862
als Genotyp von *Involutina* ausgewählt und *Ammodiscus in-*
firmus BORNEMANN (non *Orbis infimus* STRICKLAND), mit *Invo-*
lutina silicea TERQUEM als Synonym, als erste von zwei Arten
der Gattung *Ammodiscus* zitiert hatte. Sie legten damit *Am-*
modiscus infimus (BORNEMANN) (non *Orbis infimus* STRICK-
LAND) = *Involutina silicea* TERQUEM als Genotyp fest. Die
Synonymie der BORNEMANNschen und der TERQUEMSchen
Form wird jedoch nicht allgemein akzeptiert (vgl. VERDENIUS
& VAN HINTE 1983: 190).

Nachdem für die *Ammodiscus*-Vertreter des Tertiärs und
vor allem der Molasse der Artname *incertus* (D'ORB.) sehr
gerne gebraucht wurde, stellt sich nun die Frage nach der art-
lichen Zugehörigkeit dieser Formen. Da diese primitiven Fo-
raminiferen ohnehin kein Leitwert zugesprochen werden
kann, halte ich es für richtig, meine Exemplare mit dem ältes-
ten mir bekannten Artnamen dieser Gattung — *Ammodiscus*
cretaceus (REUSS) — zu belegen. Als Vergleichsmaterial lagen
mir Proben aus der Unterkreide des Monte Baldo/Gardasee
vor. Es konnten keinerlei Unterschiede festgestellt werden.

Von *Operculina punctata* REUSS sind mir keine jüngeren
Untersuchungen bekannt. Die Zugehörigkeit dieser Art zu
Ammodiscus oder *Spirillina* ist daher nicht gesichert.

EGGER (1857: 304) hielt bei seiner Form ?*Cyclolina impressa*
die feinen, durchsichtigen Quarzkörner für „... unregelmä-
sig gerandete ungleich vertheilte und weit abstehende Lö-
cher...“. Topotypen aus Habühl liegen mir allerdings nicht
vor, nur schlecht erhaltene Exemplare aus den Bryozoenkal-
ken des Mittelottnang von Dommelstadl.

Verbreitung:

Durchläufer, selten. Nur im Oberen Eger der Bohrung
Ampfing 1 etwas häufiger.

Ökologie:

Bevorzugt große Wassertiefen

Genus: *Glomospira* RZEHAKE 1885

Glomospira charoides (JONES & PARKER)

Taf. 1, Fig. 4–5

*1860 *Trochammina squamata charoides* — JONES & PARKER: 304
(rezent, Mittelmeer)

1962 *Glomospira charoides* (JONES & PARKER) — KIESEL: 11, Taf.
1/3 (Oligozän, DDR)

1977 *Glomospira charoides* (JONES & PARKER) — SAMUEL: 27, Taf.
4/6; 23/5–6; 24/1 (Paläogen, Slowakei)

1979 *Glomospira charoides* (JONES & PARKER) — SZTRAKOS: Taf. 1/9
(Oligozän, Ungarn)

Eine in der bayerischen Molasse sehr seltene Form, die,
ähnlich wie *Ammodiscus*, aus einem Proloculus und einer lan-
gen, röhrenförmigen Kammer aufgebaut ist, die jedoch
knäuelig, später etwas unregelmäßiger spiralig aufgewunden
ist. So entsteht ein oogonien-förmiges, fast kugeliges Gehäuse
von ca. 8 leicht umgreifenden Windungen. Der Durchmesser
der Kammerröhre nimmt kaum zu, die Spiralsutur ist leicht
eingesenkt, die Mündung war nicht festzustellen. Die Wand
ist sehr fein agglutiniert.

Ø = 0,17 mm

H = 0,12 mm

Differentialdiagnose:

Die Art unterscheidet sich von *Glomospira gordialis*
(J. & P.) durch die regelmäßigeren Aufwindung.

Verbreitung:

Nur 1 Exemplar aus dem Eggenburg des Röthelbaches.

Familie: Hormosinidae HAECKEL 1894

Genus: *Reophax* MONTFORT 1808

Reophax excentricus CUSHMAN

Taf. 1, Fig. 6

*1910 *Reophax excentricus* n. sp. — CUSHMAN: 92, Abb. 134 (rezent,
Nordpazifik)

1939 *Reophax excentricus* CUSHMAN — CUSHMAN & MC GULLOCH:
60, Taf. 3/4–9 (rezent, Pazifik)

1951 *Reophax scorpiurus* MONTFORT — FRIESE: 10, Taf. 1/3 (Oligo-
zän, Niederbayern)

1971 *Reophax ex gr. scorpiurus* MONTFORT — CÍCHA et al.: 240,
Taf. 2/1 (Eggenburg, Wiener Becken)

1971 *Reophax excentricus* CUSHMAN — POPESCU & IVA: 39, Taf. 1/1
(Oligozän, Rumänien)

1979 *Reophax pilulifera* BRADY — SZTRAKOS: Taf. 1/11 (Oligozän,
Ungarn)

Große, derbe, längliche Gehäuse mit uniserialer Kammer-
anordnung. Die Schalen sind stark verdrückt, so daß über den
Querschnitt nichts ausgesagt werden kann. Sie bestehen aus
3–5 geblähten Kammern, die allmählich an Größe zunehmen
und einander leicht umgreifen. Die Kammern sind breiter als
hoch oder so breit wie hoch. Die Seitenränder divergieren
leicht, die Suturen verlaufen horizontal und sind deutlich ein-
geschnitten. Die Endkammer ist zu einem stumpfen, exzen-
trischen Hälschen ausgezogen, auf dem die Mündung sitzt.
Die Mündungsform war nicht festzustellen. Die Wand ist
sehr grob agglutiniert und aus Quarz, Glimmer und
Schwammnadeln aufgebaut, die durch kieseliges Bindemittel
verbacken sind.

L = bis 1,8 mm

Differentialdiagnose:

Bei *Reophax nodulosus* BRADY nehmen die Kammern sehr
langsam an Größe zu und sind fast durchgehend höher als
breit.

Reophax bacillaris BRADY zeichnet sich ebenfalls durch eine sehr geringe Größenzunahme der Kammern aus, die Nähte sind sehr wenig eingeschnürt.

Bei *Reophax pilulifer* BRADY sind die Kammern kugelig, stets so hoch wie breit und nehmen rascher an Größe zu. Die Suturen sind sehr tief eingeschnitten.

Der von BRÖNNIMANN & WHITTAKER (1980) einer Revision unterzogene *Reophax scorpiurus* MONTFORT unterscheidet sich von den vorliegenden Formen durch sein gebogenes Gehäuse, seine stärker voneinander abgesetzten, nichtumgreifenden, länglichen Kammern und sein grobes Agglutinationsmaterial.

Verbreitung:

Häufig in den Fischschiefern des Oberen Eger von Ampfing 1 und Ortenburg 1002.

Ökologie:

Im Untersuchungsgebiet eine Häufigkeitsform des Tiefwassers und abgeschlossener Sedimentationsräume mit ruhigen Ablagerungsverhältnissen. NATLAND (1933: Beilage) stellte eine Hauptverbreitung dieser Art in Wassertiefen von 200–800 m fest. MURRAY (1973: 251) wies die Gattung *Reophax* dagegen dem Schelfbereich zu.

Familie: Lituolidae DE BLAINVILLE 1825

Genus: *Haplophragmoides* CUSHMAN 1910

Haplophragmoides canariensisformis SZTRAKOS

Taf. 1, Fig. 7–8

*1979 *Haplophragmoides canariensisformis* n. sp. – SZTRAKOS: 57, Taf. 2/2, 3; 33/1, 2 (Oligozän, Ungarn)

Die Gehäuse dieser Art sind planspiral gewunden, vollständig involut, im Umriss rundlich und ursprünglich im Querschnitt sehr dick, meist jedoch diagenetisch stark verdrückt. Die Peripherie ist breit gerundet und leicht gelappt. Die 5–6 wenig geblähten, breit-dreieckigen Kammern der letzten Windung nehmen allmählich an Größe zu und sind durch sehr dünne, leicht eingesenkte, radiale Suturen geschieden. Der Umbilicus ist eng und ziemlich tief. Die Gehäusewand ist fein bis mittelgrob agglutiniert, aus Quarzkörnern und kieseligem Zement aufgebaut, nicht labyrinthisch. Die Mündung war nicht zu erkennen.

$\emptyset = 0,25–0,4$ mm

D = (meist verdrückt)

Differentialdiagnose:

Haplophragmoides deformis (ANDREAE) ist gröber agglutiniert,

Haplophragmoides vasiceki CICHA & ZAPLETALOVÁ stärker abgeflacht.

Verbreitung:

Selten in den Fischschiefern des Oberen Eger der Bohrung Ampfing 1 sowie im Unteren Ottang der Bohrungen Isen 1 und Ampfing 1 und des Fußgrabens.

Genus: *Cyclammina* BRADY 1879

Cyclammina acutidorsata (HANTKEN)

Taf. 1, Fig. 9–10; Abb. 23/1

- *1868 *Haplophragmium acutidorsatum* HANTKEN – HANTKEN: 82, Taf. 1/1 (Oligozän, Ungarn) (fide ELLIS & MESSINA)
- 1875 *Haplophragmium acutidorsatum* HANTKEN – HANTKEN: 12, Taf. 1/1 (Eozän/Oligozän, Ungarn)
- 1904 *Cyclammina gracilis* GRZYBOWSKI – SCHUBERT: 414, Taf. 19/1–3 (Oligozän, Oberösterreich)
- 1952 *Cyclammina gracilis* SCHUBERT (non GRZYBOWSKI) – HAGN: 135 (Oligozän/Miozän, Bayern)
- 1963b *Cyclammina acutidorsata* (HANTKEN) – CICHÁ & ZAPLETALOVÁ: 101, Abb. 13 (Miozän, Tschechoslowakei)
- 1971 *Cyclammina acutidorsata* (HANTKEN) – CICHÁ et al.: 241, Taf. 1/2 (Eggenburg, CSSR)

Die Schale ist planspiral aufgerollt, involut, manchmal auch leicht evolut, im Umriss rundlich und stark abgeflacht. Die größte Breite liegt im Bereich um den Nabel. Die subacute bis acute Peripherie ist nur schwach gelappt. 8–11 dreieckige, leicht geblähte Kammern im letzten Umgang nehmen langsam an Größe zu und werden von sehr dünnen, nur wenig eingesenkten, radialen, geraden, am Rande meist leicht in Richtung der Windung gebogenen Suturen getrennt. Der Umbilicus ist ziemlich eng und flach eingesenkt. Die Gehäusewand ist mittelgrob agglutiniert. Als Material wurden Quarzkörner und Glimmerblättchen verwendet, das Bindemittel ist kieselig. Das Kammerlumen ist ziemlich weit, am Rande nur leicht in Alveolen 2. Ordnung zergliedert. Die Mündung konnte nicht festgestellt werden.

$\emptyset = 0,35–1,0$ mm

D = 0,15–0,35 mm

Bemerkungen:

Die Kammern sind häufig kollabiert. Die Aufwindung der Gehäuse ist einer gewissen Variabilität unterworfen, die manchmal zu leicht evoluten Formen mit weitem Nabel führt.

Verbreitung:

Sehr häufig im Oberen Eger der Bohrung Ampfing 1, seltener in den Fischschiefern von Ortenburg 1002 und in Prutdorf, im Eggenburg und tiefsten Ottang des Fußgrabens und des Traunprofils sowie im Mittelottang der Bohrung Ampfing 1.

Ökologie:

Als Häufigkeitsform an tiefere Wasserverhältnisse gebunden (oberes Bathyal), sie reichen auch ins Flachwasser hinein. MURRAY (1973: 249) gibt die Hauptverbreitung mit äußerer Schelf bis oberes Bathyal (> 100 m) an.

Cyclammina rotundidorsata (HANTKEN)

Taf. 1, Fig. 11 u. 16; Abb. 23/2

- *1875 *Haplophragmium rotundidorsatum* HANTKEN – HANTKEN: 12, Taf. 1/2 (Eozän/Oligozän, Ungarn)
- 1963b *Cyclammina rotundidorsata* (HANTKEN) – CICHÁ & ZAPLETALOVÁ: 103, Abb. 14 (Miozän, Tschechoslowakei)
- 1979 *Cyclammina rotundidorsata* (HANTKEN) – SZTRAKOS: 58, Taf. 2/6 (Oligozän, Ungarn)

Es liegen planspiral gewundene, gänzlich involute, im Umriss rundliche, dicke Gehäuse vor, deren Peripherie charakte-

ristisch breit gerundet und leicht gelappt ist. 6–8 dreieckige, schwach geblähte Kammern im letzten Umgang nehmen langsam an Größe zu. Die Suturen sind sehr dünn, nur wenig eingesenkt, radial, gerade, am Rande meist leicht nach vorn gebogen. Der enge Umbilicus ist flach eingesenkt. Die Gehäusewand ist mittelgrob agglutiniert und aus Quarz und Glimmer mit kieseligem Zement aufgebaut. Das Kammerlumen ist ziemlich weit und am Rande nur wenig in Alveolen 2. Ordnung zergliedert, ähnlich wie bei *Cyclammina acutidorsata*.

Ø = 0,5–1,1 mm

D = 0,25–0,4 mm

Verbreitung:

Vereinzelte im Eggenburg des Fußgrabens und der Prien.

Cyclammina praecancellata VOLOSHINOVA

Taf. 1, Fig. 12–13; Abb. 23/3

- *1939 *Cyclammina praecancellata* sp. nov. — VOLOSHINOVA: Taf. 3/1–2 (Miozän/Pliozän, Sakhalin)
 1963b *Cyclammina praecancellata* VOLOSHINOVA — CICHÁ & ZAPLETALOVÁ: 104, Abb. 15 (Miozän, Tschechoslowakei)
 1970 *Cyclammina praecancellata* VOLOSHINOVA — CICHÁ: Taf. 8/5–6 (Miozän, Tschechoslowakei)
 1971 *Cyclammina praecancellata* VOLOSHINOVA — CICHÁ et al.: 241, Taf. 1/5; 2/2–3 (Eggenburg, CSSR)
 1975 *Cyclammina praecancellata* VOLOSHINOVA — POPESCU: 35, Taf. 3/2 (Miozän, Rumänien)

Unter dieser Art sind große, planspirale Gehäuse zu verstehen, die vollständig involut, im Umriss oval und stark abgeflacht sind. Die Peripherie ist schmal gerundet bis subacut und sehr wenig gelappt. 12–15 schmal-dreieckige, nichtgeblähte Kammern nehmen allmählich an Größe zu. Charakteristisch ist vor allem die ziemlich rasche Zunahme der Kammerbreite. Die Suturen sind sehr dünn, nur wenig eingesenkt, zunächst leicht nach hinten, am Gehäuserand etwas nach vorne gebogen (S-förmig). Sie laufen in einem sehr engen, flach eingesenkten Nabel zusammen. Die Gehäusewand ist ziemlich fein agglutiniert, als Material wurden Quarz und Glimmer verwendet, die durch kieseligen Zement verbunden sind. Das Kammerlumen ist sehr eng, sehr kompliziert verzweigt, mit Alveolen 1., 2., 3. und 4. Ordnung. Mündung war keine festzustellen.

Ø = 0,9–1,7 mm

D = 0,25–0,5 mm

Verbreitung:

Vereinzelte in den Fischeischiefern des Oberen Eger der Bohrung Ampfing 1 und in Prutdorf.

Ökologie:

Im Untersuchungsgebiet auf ruhige, abgeschlossene Sedimentationsräume des oberen Bathyals beschränkt.

Genus: *Reticulophragmium* MAYNC 1955

Reticulophragmium karpaticum CICHÁ & ZAPLETALOVÁ

Taf. 1, Fig. 14–15; Abb. 23/4

- *1963b *Reticulophragmium karpaticum* nov. sp. — CICHÁ & ZAPLETALOVÁ: 97, Abb. 11 (Miozän, Tschechoslowakei)

1967 *Reticulophragmium karpaticum* C. & Z. — CICHÁ & ZAPLETALOVÁ: 111, Taf. 3A/1 (Karpát, CSSR)

1970 *Reticulophragmium karpaticum* C. & Z. — CICHÁ: Taf. 11/6–8 (Miozän, Tschechoslowakei)

Die Schalen sind planspiral gewunden, leicht evolut, im Umriss rundlich bis oval und seitlich abgeflacht, mit schmalgerundeter, nur leicht gelappter Peripherie. 7–12 dreieckige, wenig gewölbte Kammern im letzten Umgang nehmen langsam an Größe zu und sind durch schmale, etwas eingesenkte, radiale, gerade, am Rand leicht nach vorn gebogene Suturen getrennt. Das Zentrum wird von einem ziemlich weiten, flach eingesenkten Nabel eingenommen. Die Gehäusewand ist mittelgrob agglutiniert und aus Quarzkörnern aufgebaut. Das Bindemittel ist kieselig. Das Kammerlumen ist sehr klein, stark netzartig zergliedert, zum Teil in unregelmäßige Flecken aufgelöst. Eine Mündung wurde nicht beobachtet.

Ø = 0,4–1,0 mm

D = 0,17–0,25 mm

Differentialdiagnose:

Unterscheidet sich von *Reticulophragmium venezuelanum* (MAYNC) durch die höhere Kammerzahl.

Bemerkungen:

Gegenüber der Abbildung bei CICHÁ & ZAPLETALOVÁ (1963b: Abb. 11c) zeigen die vorliegenden Exemplare ein mehr fleckenhaftes Alveolarsystem.

Verbreitung:

Häufig im Unteren Ottang des Kaltenbachgrabens und des Eulenbaches.

Familie: Textulariidae EHRENBERG 1838

Genus: *Textularia* DEFRANCE 1824

Textularia gramen D'ORBIGNY

Taf. 1, Fig. 17–18

- *1846 *Textularia subangulata* D'ORB. — D'ORBIGNY: 247, Taf. 15/1–3 (Mittelmiozän, Wiener Becken)
Textularia gramen D'ORB. — D'ORBIGNY: 248, Taf. 15/4–6
Textularia abbreviata D'ORB. — D'ORBIGNY: 249, Taf. 15/7–12
Textularia hauerii D'ORB. — D'ORBIGNY: 250, Taf. 15/13–15
 1857 *Textularia subangulata* D'ORB. — EGGER: 293, Taf. 12/15–16 (Eggenburg, Niederbayern)
Textularia abbreviata D'ORB. — EGGER: 293, Taf. 12/17–18
 1965 *Textularia gramen abbreviata* D'ORB. — CICHÁ & ZAPLETALOVÁ: 110, Abb. 5 (Miozän, Tschechoslowakei)
Textularia gramen gramen D'ORB. — CICHÁ & ZAPLETALOVÁ: 112, Abb. 7
Textularia gramen haueri D'ORB. — CICHÁ & ZAPLETALOVÁ: 112, Abb. 8
Textularia gramen subangulata D'ORB. — CICHÁ & ZAPLETALOVÁ: 114, Abb. 9
 1985 *Textularia gramen* D'ORB. — PAPP & SCHMID: 87–88, Taf. 80/5–7; 81/1–8 (Mittelmiozän, Wiener Becken)

Eine sehr variable Form mit durchgehend biserialer Kammeranordnung, breit-dreieckigem bis ovalem Umriss und spitz-ovalem Querschnitt. Die Seitenränder divergieren, die Basis ist stumpf, wobei der Basiswinkel zwischen 40° und 90° schwankt. Die acute bis subacute Peripherie trägt keinen Kielsaum und ist leicht gelappt. 4–7 Kammerpaare nehmen

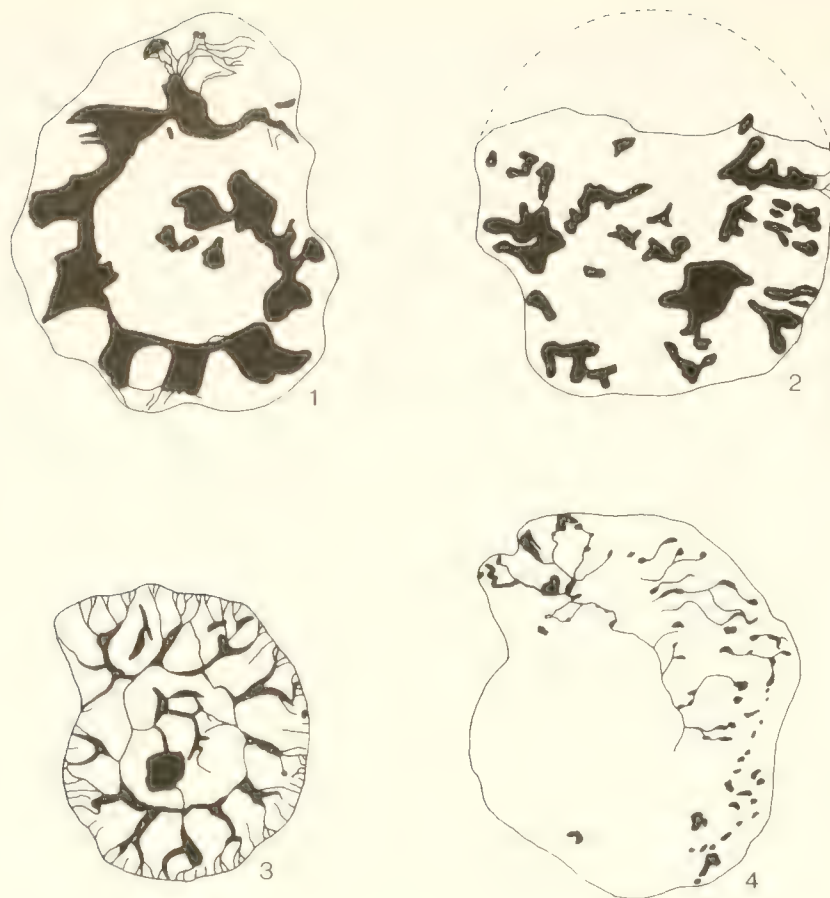


Abb. 23: Alveolarsystem der Lituolidae

- 1: *Cyclammina acutidorsata* (HANTKEN)
Bohrung Ortenburg 1002 (Slg.-Nr. I 63–109); Oberes Eger; 74×
- 2: *Cyclammina rotundidorsata* (HANTKEN)
Lußgraben (Slg. Prot. 5568); Eggenburg; 78×
- 3: *Cyclammina praecancellata* VOLOSHINOVA
Bohrung Ampfing 1 (Slg. Prot. 5643); Oberes Eger; 38×
- 4: *Reticulophragmium karpaticum* CÍCHA & ZAPLETALOVÁ
Kaltenbachgraben (Slg. Prot. 5620); Unteres Ottnang; 74×

rasch an Größe zu. Die Kammern sind ziemlich hoch (ca. $1\frac{1}{2}$ bis 2mal so breit wie hoch) und leicht gebläht, die Suturen gerade oder leicht gebogen, ca. 20° – 40° gegenüber der Horizontalen geneigt und leicht eingesenkt. Die Mündung wird von einem breiten Schlitz an der Basis der Endkammer gebildet. Die Wand ist grob agglutiniert.

L = 0,3–1,2 mm

B = 0,25–0,75 mm

D = 0,23–0,6 mm

Differentialdiagnose:

Die beschriebenen Formen unterscheiden sich von *Textularia deperdita* D'ORB. durch die hohen Kammern und die meist stärker geneigten Suturen.

Bemerkungen:

Die Art weist einen weiten Variabilitätsbereich auf, was die Gehäuseform und die Neigung der Suturen betrifft.

Verbreitung:

Durchläufer, nicht selten, stellenweise häufig.

Ökologie:

Die Art besitzt einen sehr weiten Siedlungsbereich (nach MURRAY 1973: 251 zwischen 50 und 640 m Wassertiefe). Sie tritt bisweilen auch gehäuft in der randnahen Fazies der Neuhofener Schichten auf (vgl. auch BOLTOVSKOY & WRIGHT 1976: 118), verträgt jedoch keine Verminderung des Salzgehalts (BOUCOT 1981: Tab. 3.12).

Textularia pala CZJZEK

Taf. 1, Fig. 19–20

- *1848 *Textularia pala* CZJZEK – CZJZEK: 148, Taf. 13/25–27 (Mittelmiozän, Wiener Becken)
- 1965 *Textularia pala* CZJZEK – CÍCHA & ZAPLETALOVÁ: 124, Abb. 19 (Miozän, Tschechoslowakei)
- 1976 *Textularia pala* CZJZEK – POIGNANT & PUJOL: Taf. 1/2 (Aquitän, SW-Frankreich)
- 1979 *Textularia pala* CZJZEK – SZTRÁKOS: Taf. 4/3 (Oligozän, Ungarn)
- 1982 *Textularia pala* CZJZEK – SZTRÁKOS: Taf. 2/11 (Eozän/Oligozän, Ungarn)

Die vorliegenden Exemplare zeichnen sich durch eine rein biserialle Kammeranordnung, breit-dreieckigen Umriß, breit-ovalen, mäßig abgeflachten Querschnitt und stark divergierende Seitenränder aus. Die Peripherie ist acut, ohne Kiel-saum und leicht gelappt. 5–8 Kammerpaare nehmen sehr rasch an Breite zu. Die Kammern sind sehr niedrig, 3–4mal so breit wie hoch, und wenig gebläht, die Suturen horizontal, leicht gebogen und eingesenkt. Die Mündung besteht aus einem niedrigen Bogen an der Basis der Endkammer. Die Wand ist grob agglutiniert.

L = 0,35–1,0 mm

B = 0,3–0,85 mm

D = 0,2–0,7 mm

Differentialdiagnose:

Sie unterscheidet sich von *Textularia gramen* durch die niedrigen Kammern und die horizontalen Suturen.

Textularia acuta REUSS ist nach Ansicht vieler Autoren (u. a. CÍCHA & ZAPLETALOVÁ 1965: 106; PAPP & SCHMID 1985: 86) zur Gattung *Spiroplectammina* zu stellen. Die Gehäuseform ist sonst sehr ähnlich, abgesehen von den stärker divergierenden Seitenrändern bei *Textularia pala*.

Verbreitung:

Selten im Eggenburg von Röthelbach und Lußgraben und im Unteren Ottang der Prien und des Kaltenbachgrabens.

Textularia agglutinans D'ORBIGNY

Taf. 1, Fig. 21

- *1839 *Textularia agglutinans* D'ORB. – D'ORBIGNY: 144, Taf. 1/17, 18, 32–34 (fide ELLIS & MESSINA) (rezent, Kuba)
- 1911 *Textularia agglutinans* D'ORB. – CUSHMAN: 9, Abb. 10 (rezent, Nordpazifik)
- 1922 *Textularia agglutinans* D'ORB. – CUSHMAN: 7, Taf. 1/4–5 (Oligozän, Mississippi)
- 1949 *Textularia agglutinans* D'ORB. – CUVILLIER & SZAKALL: 12, Taf. 4/9 (Miozän, SW-Frankreich)
- 1953 *Textularia agglutinans* D'ORB. – HAGN: 10, Taf. 1/6–7 (Oberkreide, Bayern)
- 1960 *Textularia agglutinans* D'ORB. – BARKER: Taf. 43/1–3 (rezent, Atlantik)
- 1961 *Textularia agglutinans* D'ORB. – KAASSCHIETER: 141, Taf. 1/14–16 (Eozän, Belgien)
- 1974 *Textularia agglutinans* D'ORB. – MURRAY & WRIGHT: Taf. 1/7–8 (Untereozän, England)
- 1977a *Textularia agglutinans* D'ORB. – LE CALVEZ: 13, Abbildungen (rezent, Kuba)
- 1980 *Textularia agglutinans* D'ORB. – DE MEUTER: 86, Taf. 1/6 (Miozän, Belgien)
- 1983 *Textularia agglutinans* D'ORB. – HAGN & HERM: 621, Taf. 2/2 (Oberkreide, Bayern)

Man versteht darunter lange, schlanke, rein biserialle Gehäuse mit breit-ovalem, wenig abgeflachtem Querschnitt und ziemlich parallelen Seitenrändern. Die Basis ist stumpf, die Peripherie gerundet und deutlich gelappt. Ca. 5 Kammerpaare nehmen sehr langsam an Größe zu. Die Kammern sind fast so hoch wie breit und gebläht, die Suturen in etwa horizontal und vertieft. Die Mündung stellt sich als niedriger Bogen an der Basis der Endkammer dar. Die Schale ist sehr grob agglutiniert.

L = 0,9–1,4 mm

B = 0,4–0,75 mm

D = (verdrückt)

Differentialdiagnose:

Sie unterscheidet sich von *Textularia gramen* durch die Kammerform, das schlanke Gehäuse und die gröber agglutinierte Gehäusewand,

von *Textularia laevigata* D'ORB. durch das gröber agglutinierte Gehäuse.

Verbreitung:

Selten in den Fischschiefern des Oberen Eger der Bohrungen Ortenburg 1002 und Ampfing 1 sowie im untersten Ottang des Lußgrabens.

Ökologie:

Tiefwasserform

Genus: *Siphotextularia* FINLAY 1939

Siphotextularia concava (KARRER)

Taf. 2, Fig. 1–2

- *1868 *Plecanium concavum* KARRER – KARRER: 9, Taf. 1/3 (Miozän, Rumänien)
- 1957 *Siphotextularia concava* (KARRER) – TOLLMANN: 180, Taf. 1/3 (Eggenburg, Niederösterreich)
- 1965 *Siphotextularia concava* (KARRER) – CÍCHA & ZAPLETALOVÁ: 126, Abb. 20 (Miozän, Tschechoslowakei)

Die Art ist an dem vierkantigen, plumpen, biserialen Gehäuse leicht zu erkennen. Der Umriß ist schmal-dreieckig, ganz charakteristisch ist der viereckige Querschnitt mit concaver Vorder- und Rückfläche. Die Peripherie ist stumpf, im Anfangsteil acut und nicht gelappt. Die Schale besteht aus 6–8 Kammerpaaren, die Kammern sind niedrig, leicht gebläht und nehmen allmählich an Größe zu. Die Suturen sind stark geneigt, gerade und leicht vertieft. Auf der Endkammer ist eine ovale oder halbmondförmige, areal, nahe der Kammerbasis gelegene, von einer wulstartigen Lippe gesäumte Mündungsöffnung sichtbar. Die Wand ist mittelmäßig agglutiniert.

L = 0,28–0,5 mm

B = 0,19–0,35 mm

D = 0,14–0,25 mm

Verbreitung:

Sehr selten im Eggenburg und Ottang des Surprofils, im Unteren Ottang der Prien und des Eulenbaches und im Mittelottang von Gänshall.

Genus: *Spiroplectammina* CUSHMAN 1927

Spiroplectammina pectinata (REUSS)

Taf. 2, Fig. 3–4

- *1850 *Textularia pectinata* m. – REUSS: 381, Taf. 49/2–3 (Mittelmiozän, Wiener Becken und Polen)
- 1965 *Semivulvulina pectinata pectinata* (REUSS) – CÍCHA & ZAPLETALOVÁ: 130, Abb. 22 (Miozän, CSSR)
- 1973 *Semivulvulina pectinata* (REUSS) – RÖGL & CÍCHA: 301, Taf. 1/2; 4/20–21 (Ottang, Oberösterreich)

Formen mit kleinem, planspiralem Anfangsteil und biseriallem Hauptteil. Der Umriß ist breit-dreieckig, der Quer-

schnitt stark abgeflacht, die Seitenränder deutlich divergierend. Die acute oder gekielte, leicht gelappte Peripherie zeichnet sich durch einen gezackten Kielsaum aus. Es treten 5–9 Kammerpaare auf, mit sehr niedrigen Kammern (2–3mal breiter als hoch). Sie nehmen ziemlich rasch an Größe zu. Die Suturen sind leicht limbat, vertieft, nur wenig geneigt, gerade oder leicht gebogen. Die Mündung besteht meist aus einem niedrigen Bogen an der Basis der Endkammer, der aber auch als langer Schlitz bis zum Apex der letzten Kammer reichen kann. Die Wand ist fein bis mittelgrob agglutiniert.

L = 0,25–1,1 mm
B = 0,22–0,65 mm
D = 0,11–0,3 mm

Differentialdiagnose:

Die Form ist morphologisch weitgehend mit *Textularia deperdita* D'ORB. identisch. Nach PAPP & SCHMID (1985: 84) besitzt die letztgenannte Art jedoch keinen planspiralen Anfangsteil und ist daher zur Gattung *Textularia* zu stellen.

Bemerkungen:

Die Art variiert sehr stark bezüglich der Ausbildung der Peripherie. Die typischen Formen mit deutlichem, gezacktem Kielsaum scheinen für tieferes Wasser charakteristisch zu sein. Bei den Vertretern aus geringeren Wassertiefen fehlt dagegen der Randsaum z. T. völlig, die Peripherie ist somit stumpfer und nur gelappt statt gezackt.

Verbreitung:

Durchläufer, im Oberen Eger und Eggenburg selten; Häufigkeitsform im Unteren Ottang. Im Mittelottang in Bayern nicht festgestellt.

Ökologie:

Sie erscheint in den Neuhofener Schichten gehäuft in der tieferen Fazies. In flacheren Meeresteilen tritt sie zurück oder verschwindet völlig. Die Kielsaumbildung ist weitgehend an die Schlammfazies gebunden.

Spiroplectammina carinata (D'ORBIGNY)

Taf. 2, Fig. 5–6

*1846 *Textularia carinata* D'ORB. – D'ORBIGNY: 247, Taf. 14/32–34 (Mittelmiozän, Wiener Becken)

1965 *Spiroplectammina carinata* (D'ORB.) – ČIČHA & ZAPLETALOVÁ: 102, Abb. 1 (Miozän, Tschechoslowakei)

Wie die vorausgegangene Art aus einem kleinen, planspiralen Anfangsteil und einem biserialen Hauptteil aufgebaut. Der Umriß ist breit-dreieckig, der Querschnitt stark abgeflacht, die Seitenränder deutlich divergierend. Die scharfrandige Peripherie weist einen gezackten Kielsaum auf. Die Schalen bestehen aus 4–8 Kammerpaaren. Die Kammern sind sehr niedrig (2–3mal breiter als hoch) und nehmen allmählich an Größe zu. Charakteristisch sind die stark limbaten, erhabenen, deutlich geneigten, geraden Nähte. Ein niedriger Bogen an der Basis der Endkammer bildet die Mündung dieser fein bis mittelgrob agglutinierten Gehäuse.

L = 0,35–1,0 mm
B = 0,25–0,65 mm
D = 0,12–0,25 mm

Differentialdiagnose:

Sie unterscheidet sich von *Spiroplectammina pectinata* durch die stark erhabenen und stärker geneigten Suturen.

Verbreitung:

Durchläufer, selten; häufig nur im Unteren Ottang der Prien.

Familie: Ataxophragmiidae SCHWAGER 1877

Genus: *Karreriella* CUSHMAN 1933

Karreriella hantkeniana CUSHMAN

Taf. 2, Fig. 7

*1936a *Karreriella hantkeniana* – CUSHMAN: 36, Taf. 5/19 (Oligozän, Ungarn)

1937a *Karreriella hantkeniana* CUSHMAN – CUSHMAN: 130, Taf. 15/11–12 (Oligozän, Ungarn)

1949 *Karreriella hantkeniana* CUSHMAN – CUVILLIER & SZAKALL: 33, Taf. 15/1 (Untermiozän, SW-Frankreich)

1952 *Karreriella hantkeniana* CUSHMAN – HAGN: 139 (Eger, Bayern)

1965 *Karreriella hantkeniana* CUSHMAN – GROSSHEIDE: 56, Taf. 3/5 (Chatt, N-Deutschland)

1979 *Karreriella hantkeniana* CUSHMAN – SZTRÁKOS: Taf. 5/12 (Oligozän, Ungarn)

Ein längliches, plumpes Gehäuse mit rundem bis leicht abgeflachtem Querschnitt, das aus einem multiserialen, rübenförmigen Anfangsteil mit ca. 4 Kammern pro Umgang und einem biserialen Endteil aufgebaut ist. Die Peripherie ist breit gerundet und leicht gelappt. Der biseriale Teil wird von 2 Kammerpaaren gebildet, die kaum an Größe zunehmen und etwa so hoch wie breit sind. Die leicht eingesenkten Nähte laufen horizontal. Die Mündung ist oval, areal, und mit einem kurzen Mündungshälschen versehen. Die Wand ist grob agglutiniert.

L = 0,17–0,55 mm
B = D = 0,15–0,35 mm

Differentialdiagnose:

Sie unterscheidet sich von *Karreriella siphonella* (REUSS) durch den rübenförmigen Anfangsteil und durch eine gröber agglutinierte Schale.

Bemerkungen:

Nicht ausgewachsene Exemplare erinnern etwas an *Eggerella*.

Verbreitung:

Sehr selten im Eger der Bohrung Aldersbach, im Oberen Eger des Teufelsgrabens und des Burgstallgrabens, im Eggenburg von Braunsreut, im Unteren Ottang des Fußgrabens, des Kaltenbachgrabens und von Oberschwärzenbach.

Genus: *Martinottiella* CUSHMAN 1933

Martinottiella communis (D'ORBIGNY)

Taf. 2, Fig. 8

1826 *Clavulina communis* Nob. – D'ORBIGNY: 268 (nomen nudum) (rezent, Mittelmeer)

- *1846 *Clavulina communis* D'ORBIGNY — D'ORBIGNY: 196, Taf. 12/1–2 (Mittelmiozän, Wiener Becken)
 1937a *Listerella communis* (D'ORB.) — CUSHMAN: 148, Taf. 17/4–9 (Miozän/rezent, Italien/Österreich)
 1965 *Martinottiella communis* (D'ORB.) — GROSSHEIDE: 57, Taf. 3/8 (Chatt, N-Deutschland)

Typisch langgestreckte Gehäuse mit multiserialem, rübenförmigem Anfangsteil und uniserialem Endteil. Der Querschnitt ist rund, die Seitenränder verlaufen parallel. 2–6 uniseriale, niedrige (Höhe: Breite = 1:2–1:1), leicht geblähte Kammern nehmen nicht an Größe zu. Die Suturen sind eingesenkt und horizontal. Die Mündung ist schmal-oval, terminal und mit kurzem Mündungshälschen versehen, die Wand grob agglutiniert.

L = 0,4–0,8 mm (in Bruchstücken)

B = D = 0,17–0,25 mm

Verbreitung:

Selten im Oberen Eger der Bohrung Ortenburg 1001, häufig im Unteren Ottnang der Prien.

Familie: Miliolidae EHRENBERG 1839

Genus: *Quinqueloculina* D'ORBIGNY 1826

Quinqueloculina akneriana D'ORBIGNY

Taf. 2, Fig. 9–11

- *1846 *Quinqueloculina akneriana* D'ORB. — D'ORBIGNY: 290, Taf. 18/16–21 (Mittelmiozän, Wiener Becken)
Quinqueloculina pauperata D'ORB. — D'ORBIGNY: 286, Taf. 17/22–24
 1857 *Miliola (Quinqueloculina) haidingeri* D'ORB. — EGGER: 272, Taf. 6/10–12 (Eggenburg, Niederbayern)
 1974 *Quinqueloculina akneriana* D'ORB. — ŁUCZKOWSKA: 35, Abb. 3–5, Taf. 8/1–3 (Miozän, Polen)

Die Schalen sind im Umriss oval, im Querschnitt abgerundet-dreieckig. Die Peripherie ist subacut oder gerundet. Die langen und schmalen Kammern sind im Winkel von ca. 144° zueinander angeordnet. Von außen sind 5 Kammern sichtbar, wobei die Zentralkammern meist deutlich vorspringen. Die Suturen sind eingesenkt, die Mündung ist oval mit langem, einfachem Zahn. Die glatte, milchig-weiße Gehäusewand ist imperforiert.

L = 0,27–0,8 mm

B = 0,15–0,55 mm

D = 0,1–0,45 mm

Differentialdiagnose:

Sie unterscheidet sich von *Cycloforina hauerina* (D'ORB.) durch die ovale Mündung mit langem Zahn und das Auftreten eines „massilinen“ Stadiums,

von *Quinqueloculina haidingeri* D'ORB. durch die schmalen Kammern und die weniger zugeschärfte Peripherie,

von *Quinqueloculina triangularis* D'ORB. durch die tieferen Suturen und das weniger breite Gehäuse.

Quinqueloculina seminula (L.) zeichnet sich durch einen stärker gerundeten Querschnitt und kaum eingesenkte Nähte aus.

Bemerkungen:

Nach ŁUCZKOWSKA (1974) handelt es sich bei der Gattung *Massilina* nur um ein Wachstumsstadium von *Quinquelocu-*

lina. Die von EGGER (1857: Taf. 6/10–12) abgebildete *Miliola haidingeri* D'ORB. stellt ein solches „massilines“ Stadium von *Quinqueloculina akneriana* dar. Mit *Quinqueloculina haidingeri* kann die dargestellte Form nicht identifiziert werden, da ihr die zugeschärfte Peripherie fehlt.

Verbreitung:

Durchläufer, selten.

Ökologie:

Milioliden sind typische Vertreter des seichten Wassers, verlangen aber ruhiges Milieu und geringe Sedimentationsraten (vgl. LOEBLICH & TAPPAN 1964a: C119).

Quinqueloculina buchiana D'ORBIGNY

Taf. 2, Fig. 12–13

- *1846 *Quinqueloculina buchiana* D'ORB. — D'ORBIGNY: 289, Taf. 18/10–12 (Mittelmiozän, Wiener Becken)
 1973 *Quinqueloculina buchiana* D'ORB. — RÖGL & CICHÁ: 302, Taf. 4/22 (Ottnang, Oberösterreich)
 1974 *Quinqueloculina buchiana* D'ORB. — ŁUCZKOWSKA: 45, Abb. 11/2, 3; 12–14, Taf. 4/1–4 (Miozän, Polen)

Breit-ovales, im Querschnitt dreikantiges Gehäuse mit acuter Peripherie. Die Kammern sind breit und im Winkel von ca. 144° angeordnet. 5 Kammern sind von außen sichtbar, wobei die Zentralkammern ziemlich umhüllt sind, wenig hervortreten und mit einer deutlichen Kante versehen sind. Die Suturen sind schwach eingesenkt, die Mündung ist oval mit langem, bifidem Zahn, die Gehäusewand glatt, milchig-weiß, imperforiert.

L = 1,3 mm

B = 1,0 mm

D = 0,33 mm

Differentialdiagnose:

Sie unterscheidet sich von *Quinqueloculina akneriana* in erster Linie durch die zugeschärfte Peripherie.

Das quinqueloculine Stadium von *buchiana*, das hier vorliegt, ist deutlicher gekantet als das von *haidingeri*.

Verbreitung:

Nur ein Exemplar aus dem Eggenburg des Röthelbaches.

Quinqueloculina cribrosa (EGGER)

Taf. 2, Fig. 14–16

- *1857 *Miliola (Quinqueloculina) cribrosa* nov. spec. — EGGER: 273, Taf. 6/13–15 (Eggenburg, Niederbayern)
 1971 *Quinqueloculina* aff. *agglutinans* D'ORB. — CICHÁ et al.: 247 (Eggenburg, CSSR)

Neotypus: Slg. München, Prot. 5497

Locus typicus: Maierhof (Topotypmaterial aus Hausbach war nicht verfügbar)

Stratum typicum: Eggenburg

Die von EGGER beschriebene, kleine aber sehr charakteristische Art zeichnet sich durch einen breit-ovalen bis schlank-ovalen Umriss und einen dreieckigen Querschnitt mit abgerundeten Kanten aus. Die Kammern sind schmal, im Winkel von ca. 144° angeordnet, so daß von außen 5 Kammern sicht-

bar bleiben. Die Zentralkammern sind sehr stark vorspringend, die Suturen deutlich eingesenkt.

Die runde, höchstens leicht ovale Mündung weist einen langen, einfachen Zahn auf. Das Charakteristikum dieser Art ist die grob agglutinierte Gehäusewand, wobei ausschließlich Quarzkörner verwendet wurden. Das Bindemittel ist kalkig-imperforiert und milchig-weiß.

L = 0,25–0,55 mm

B = 0,17–0,3 mm

D = 0,14–0,22 mm

Differentialdiagnose:

Die Art ist sehr ähnlich der *Quinqueloculina agglutinans* D'ORB. Unterschiede lassen sich nur in der Mündungsform feststellen. Bei *Quinqueloculina agglutinans* sitzt die Mündung auf einer kurzen, schnorchelartigen Verlängerung der letzten Kammer und ist langgestreckt-oval. Bei *Quinqueloculina cribrosa* ist die Öffnung mehr rund und nicht so weit vorgezogen, meist bildet sie eigentlich nur einen Halbkreis, der zur vorhergehenden Kammer hin offen ist. Nach BERMUDEZ (1935) gehört *Quinqueloculina agglutinans* zur Gattung *Dentostomina* (fide BARKER 1960: 16, Taf. 8/6, 7). LE CALVEZ (1977a: 54) führt jedoch aus, daß das crenulierte Aussehen der Mündung nur eine Frage des Erhaltungszustandes ist.

Bei *Quinqueloculina cribrosa* sind die agglutinierten Körner stärker in die Gehäusewand eingebaut, während sie bei *Quinqueloculina agglutinans* grob auf die Oberfläche aufgestreut sind. Sie erhält so ein rauheres Aussehen.

Bei der aus Norddeutschland von LANGER (1969: 35) als *Quinqueloculina* n. sp. A beschriebenen Form sitzt die runde Mündung auf einer kurzen Röhre.

Bemerkungen:

EGGER verwechselte die agglutinierten, klaren Quarzkörner mit „... unregelmässigen eckig-gerissenen Löchern...“.

Nach der Definition von ŁUCZKOWSKA (1972) gehört die Art zur Gattung *Cycloforina*.

Verbreitung:

Nicht selten im Oberen Eger der Bohrung Isen 1 und im Eggenburg von Maierhof und Blindham und im Graben von Schölling. Selten im Unteren Ottang von Oberschwärzenbach.

Genus: *Triloculina* D'ORBIGNY 1826

Triloculina gibba D'ORBIGNY

Taf. 2, Fig. 17–19

*1826 *Triloculina gibba* Nob. — D'ORBIGNY: 299 (rezent, Mittelmeer)

1846 *Triloculina gibba* D'ORB. — D'ORBIGNY: 274, Taf. 16/22–24 (Mittelmiozän, Wiener Becken)

Triloculina austriaca D'ORB. — D'ORBIGNY: 275, Taf. 16/25–27

1857 *Miliola (Triloculina) gibba* D'ORB. — EGGER: 271, Taf. 5/20; 6/1–3 (Eggenburg, Niederbayern)

Miliola (Triloculina) austriaca D'ORB. — EGGER: 271, Taf. 6/4–6

1974 *Triloculina gibba* D'ORB. — ŁUCZKOWSKA: 134, Abb. 46/2, Taf. 23/2 (Miozän, Polen)

Schalen mit ovalem Umriss, abgerundet-dreieckigem Querschnitt und gerundeter Peripherie. Die Kammern sind schmal, im Winkel von ca. 120° angeordnet, so daß drei Kammern von außen sichtbar sind. Dabei sind die Zentralkammern nur leicht hervorgewölbt, die Suturen eingesenkt. Die runde Mündung zeigt einen kurzen, bifiden Zahn. Die Gehäusewand ist glatt, milchig-weiß, imperforiert.

L = 0,28–0,5 mm

B = 0,22–0,35 mm

D = 0,17–0,25 mm

Bemerkungen:

BOGDANOVICH (1947) nahm EGGERS Abbildung von *Triloculina austriaca* in die Synonymie seiner neuen Variation *Miliolina austriaca* var. *eggeri*, aufgrund stärker geblähter Kammern (fide ELLIS & MESSINA). Bei meinem Material lag keine Veranlassung zu dieser Abtrennung vor.

Verbreitung:

Nicht selten im Oberen Eger der Bohrung Isen 1, sehr selten im Oberen Eger des Teufelsgrabens, des Burgstallgrabens, im Eggenburg des Röthelbaches und im Unteren Ottang des Eulenbaches.

Genus: *Sinuloculina* ŁUCZKOWSKA 1972

Sinuloculina consobrina (D'ORBIGNY)

Taf. 2, Fig. 20–21

*1846 *Triloculina consobrina* D'ORB. — D'ORBIGNY: 277, Taf. 17/10–12 (Mittelmiozän, Wiener Becken)

1850 *Triloculina nitens* m. — REUSS: 383, Taf. 49/10 (Mittelmiozän, Wiener Becken)

1857 *Miliola (Triloculina) consobrina* D'ORB. — EGGER: 271, Taf. 6/7–9 (Eggenburg/?Mittelottang, Niederbayern)

? *Miliola (Quinqueloculina) praelonga* nov. spec. — EGGER: 272, Taf. 6/16–18

1974 *Sinuloculina consobrina* (D'ORB.) — ŁUCZKOWSKA: 123, Abb. 40, Taf. 25/5–7 (Miozän, Polen)

Sinuloculina nitens (REUSS) — ŁUCZKOWSKA: 130, Abb. 43/2–4, Taf. 25/1–2

Sehr typische, schlanke Gehäuse mit abgeflachtem oder abgerundet-dreieckigem Querschnitt und gerundeter Peripherie. Die Kammern sind sehr lang und schmal, im Winkel von ca. 120° angeordnet, wobei 3–5 Kammern von außen sichtbar sind. Die Zentralkammern treten kaum hervor. Die Suturen sind nicht oder nur sehr wenig eingesenkt. Die Mündung ist rund mit kurzem, bifidem Zahn, die Gehäusewand glatt, milchig-weiß, imperforiert.

L = 0,3–0,5 mm

B = 0,15–0,2 mm

D = 0,12–0,15 mm

Differentialdiagnose:

Diese Art unterscheidet sich von *Triloculina gibba* durch das schlanke Gehäuse, den stärker abgerundeten Querschnitt und die kaum vertieften Suturen.

Sinuloculina mayeriana (D'ORB.) besitzt ein breiteres Gehäuse.

Bemerkungen:

ŁUCZKOWSKA (1972: 357) führte für diese Form wegen des „kryptoquineloculinen“ Anfangsteils und späterem Übergang zur Kammeranordnung im Winkel von 180° sowie des abgerundeten Querschnitts die Gattung *Sinuloculina* ein.

ŁUCZKOWSKA (1974: 131) unterscheidet *S. nitens* von *consobrina* durch die schlankere Gestalt der ersteren Form.

Bei *Quineloculina praelonga* EGGER handelt es sich wahrscheinlich nur um ein juveniles Exemplar von *Sinuloculina consobrina*, bei dem der kryptoquineloculine Anfangsteil stärker zur Geltung kommt. Vorbehalte bleiben jedoch bestehen, da kein Topotypmaterial aus Hausbach zur Verfügung steht.

Verbreitung:

Durchläufer, selten.

Genus: *Pyrgo* DEFRANCE 1824

Pyrgo cf. *lunula* (D'ORBIGNY)

Taf. 2, Fig. 22–23

*1846 *Biloculina lunula* D'ORB. – D'ORBIGNY: 264, Taf. 15/22–24 (Mittelmiozän, Wiener Becken)

1974 *Pyrgo lunula* (D'ORB.) – ŁUCZKOWSKA: 118, Abb. 39/7, Taf. 22/5 (Miozän, Polen)

1985 *Pyrgo lunula* (D'ORB.) – PAPP & SCHMID: 89, Taf. 82/7–9 (Mittelmiozän, Wiener Becken)

Gehäuse rundlich im Umriss, dickbauchig, mit gekielter Peripherie. Durch die biloculine Kammeranordnung sind 2 Kammern von außen sichtbar. Die Mündung ist halbmondförmig, weit, mit einfachem, breitem, niedrigem Zahn, die Gehäusewand glatt, milchig-weiß, imperforiert.

Ø = 0,25–0,8 mm

D = 0,17–0,33 mm

Differentialdiagnose:

Sie unterscheidet sich von *Pyrgo clypeata* (D'ORB.), *Pyrgo simplex* (D'ORB.) und *Pyrgo inornata* (D'ORB.) durch die gekielte Peripherie.

Bemerkungen:

Wegen der schlechten Erhaltung ist die Zuordnung nicht gesichert. Es lag nur ein juveniles Exemplar vor, das sich noch einigermaßen zur Bestimmung eignete.

Verbreitung:

Nicht selten im Eggenburg des Röthelbaches, selten im Unteren Ottang von Prien.

Ökologie:

Die Gattung *Pyrgo* reicht in größere Wassertiefen hinab als normalerweise bei Milioliden üblich (vgl. BOLTOVSKOY & WRIGHT 1976: 119).

Genus: *Sigmoilinita* SEIGLIE 1965

Sigmoilinita tenuis (CZJZEK)

*1848 *Quineloculina tenuis* CZ. – CZJZEK: 149, Taf. 13/31–34 (Mittelmiozän, Wiener Becken)

Verbreitung:

Durchläufer, nicht selten.

Ökologie:

Die Art bevorzugt tieferes Wasser (vgl. NATLAND 1933: Beilage, BANDY 1956: Tab. 7 und PHLEGER 1960: Abb. 27).

Genus: *Sigmoilopsis* FINLAY 1947

Sigmoilopsis ottangensis CÍCHA, ČTYROKÁ & ZAPLETALOVÁ

Taf. 3, Fig. 1–2

1914 *Spiroloculina* cf. *arenaria* BRADY – TOULA: 204 (Ottang, Oberösterreich)

1955 *Sigmoilina asperula* (KARRER) – HAGN: 345, Taf. 10/4 (Ottang, Niederbayern)

*1973 *Sigmoilopsis ottangensis* n. sp. (CÍCHA, ČTYROKÁ & ZAPLETALOVÁ) – ROGL & CÍCHA: 302, Taf. 1/3; 4/23–24 (Ottang, Oberösterreich)

Die Art ist leicht an dem scheibenförmigen, sehr flachen, agglutinierten Gehäuse zu erkennen. Der Umriss ist sehr veränderlich, rund, breit-oval oder schmal-oval, je nach Wachstumsstadium. Der Querschnitt ist stark abgeflacht, biconcav, die Peripherie gerundet, die Kammeranordnung sigmoid, wodurch die Anfangskammern in der Mitte der tellerartig vertieften Seitenflächen bisweilen leicht hervortreten. Die langen und sehr schmalen, röhrenförmigen Kammern sind durch undeutliche, leicht vertiefte Nähte getrennt. Die Mündung ist oval, mit der längeren Achse senkrecht zur Gehäuseebene, auf einem kurzen Halschen liegend, mit breitem, niedrigem, einfachem oder bifidem Zahn. Die Gehäusewand ist grob agglutiniert, milchig-weiß, imperforiert.

L = 0,28–0,8 mm

B = 0,17–0,65 mm

D = 0,11–0,22 mm

Differentialdiagnose:

Die Art unterscheidet sich von *Sigmoilopsis foeda* (REUSS) (syn.: *Sigmoilina plana* ŚMIGIELSKA) durch die Form der Mündung und des Zahns.

Nach CÍCHA, ČTYROKÁ & ZAPLETALOVÁ weist *Sigmoilopsis asperula* (KARRER) ein beträchtlich gedehnteres Gehäuse, oft nur mit 2 Kammerpaaren auf.

Verbreitung:

Nicht selten im untersten Ottang, sehr häufig im Neuhofer Horizont der Bayer. Molasse. Abgesehen von je 2 Exemplaren aus dem obersten Eggenburg des Fußgrabens und des Grabens beim Gehöft Schölling nur im Unteren Ottang gefunden.

Ökologie:

Typische Form der Beckenfazies der Neuhofer Mergel. Sie verschwindet völlig in der Randfazies sowie im Flachwasser des Mittellothang. Sie ist für ruhige Ablagerungsräume mit geringer Sedimentationsrate charakteristisch.

Sigmoilopsis cf. *schlumbergeri* (SILVESTRI)

Taf. 3, Fig. 3–4

*1904 *Sigmoilina schlumbergeri* SILV. – SILVESTRI: 267 (fide ELLIS & MESSINA) (rezent, Frankreich)

- 1946 *Sigmoilina schlumbergeri* SILV. — CUSHMAN: 36, Taf. 6/1–4 (rezent, Irland)
 1960 *Sigmoilopsis schlumbergeri* (SILV.) — BARKER: Taf. 8/1–4 (rezent, Atlantik)
 1975 *Sigmoilopsis schlumbergeri* (SILV.) — POPESCU: 45, Taf. 10/1; 11/9–10 (Miozän, Rumänien)

Das schlanke, biconvexe Gehäuse ist im Umriss schmal-oval, selten etwas breiter, im Querschnitt oval und nur wenig abgeflacht. Die Peripherie ist gerundet, die Kammern sind sigmoid angeordnet, lang und schmal, und werden von sehr undeutlichen, kaum vertieften Suturen geschieden. Die Mündung ist oval, mit der längeren Achse senkrecht zur Gehäuseebene, auf einem kurzen Hälschen gelegen, mit niedrigem, einfachem Zahn. Gehäusewand grob agglutiniert, imperforiert.

L = 0,3–0,6 mm
 B = 0,17–0,35 mm
 D = 0,13–0,25 mm

Differentialdiagnose:

Die Art unterscheidet sich von *Sigmoilopsis ottangensis* durch den breiten, biconvexen Querschnitt.

Sehr ähnlich ist *Sigmoilopsis celata* (COSTA), die jedoch eine zugespitzte Peripherie besitzt.

Bemerkungen:

Mündung und Gehäuseform stimmen nicht ganz mit der typischen *Sigm. schlumbergeri* überein. Der Gehäusequerschnitt läßt sich am besten mit den bei POPESCU (1975) abgebildeten Vertretern vergleichen. Auch die Originalabbildung entspricht den hiesigen Exemplaren sehr gut, während die Formen bei CUSHMAN (1946) und BARKER (1960) eine subacute Peripherie aufweisen. Die Mündung ist oval statt rundlich und deutet mehr auf *Sigm. ottangensis* hin. Um juvenile Stadien dieser Art kann es sich wegen der Größe der Gehäuse jedoch nicht handeln.

In den Proben mit *Sigm. cf. schlumbergeri* treten auch Exemplare auf, die schon eine deutliche Entwicklung zu *Sigm. ottangensis* zeigen. Es scheint ein phylogenetischer Zusammenhang zu bestehen.

Verbreitung:

Vereinzelte im Eggenburg des Röthelbaches und des Fußgrabens.

Ökologie:

Die Art bevorzugt nach PHLEGER (1960: Abb. 17 und 27) Tiefen von mehr als 200 m.

Sigmoilopsis colomi (GLAÇON & MAGNÉ)

Taf. 3, Fig. 5–6

- *1953 *Sigmoilina colomi* n. sp. — GLAÇON & MAGNÉ: 56, Abb. 1–4 (Miozän, Algerien)
 1975 *Sigmoilopsis colomi* (G. & M.) — POPESCU: 45, Taf. 11/1–2 (Miozän, Rumänien)

Große, scheibenförmige, flache Gehäuse mit rundlichem oder breit-ovalem Umriss und stark abgeflachtem, biconvexem Querschnitt. Die Peripherie ist gerundet, die Kammeranordnung sigmoid mit langen und schmalen Kammern. Die Suturen sind kaum erkennbar, sehr wenig eingesenkt. Die

runde oder ovale Mündung weist einen sehr kurzen, schmalen Zahn auf. Die Gehäusewand ist fein agglutiniert, imperforiert.

L = 0,55–0,7 mm
 B = 0,35–0,65 mm
 D = 0,2–0,23 mm

Differentialdiagnose:

Diese Formen unterscheiden sich von *Sigm. ottangensis* durch den biconvexen Querschnitt und die Form des Mündungszahns.

Verbreitung:

Selten im Oberen Eger der Prien (Prutdorf)

Familie: Nodosariidae EHRENBERG 1838

Unterfamilie: Nodosariinae EHRENBERG 1838

Genus: *Robulus* MONTFORT 1808

Robulus inornatus (D'ORBIGNY)

Taf. 3, Fig. 7–8

- *1846 *Cristellaria crassa* D'ORB. — D'ORBIGNY: 90, Taf. 4/1–3 (Mittelmiozän, Wiener Becken)
Robulina inornata D'ORB. — D'ORBIGNY: 102, Taf. 4/25–26
Robulina simplex D'ORB. — D'ORBIGNY: 103, Taf. 4/27–28
Robulina austriaca D'ORB. — D'ORBIGNY: 103, Taf. 5/1–2
Robulina intermedia D'ORB. — D'ORBIGNY: 104, Taf. 5/3–4
 1857 *Robulina inornata* D'ORB. — EGGER: 297, Taf. 15/14–16 (Eggenburg, Niederbayern)
 1973 *Lenticulina (Robulus) ex gr. melvilli* CUSHMAN & RENZ — RÖGL & CÍCHA: 304, Taf. 4/26; 5/26–27 (Ottang, Oberösterreich)

Große, glattschalige, feinperforierte, planspiral aufgerollte, involute Gehäuse mit rundem oder leicht eckigem Umriss und spitz-ovalem Querschnitt. Die Peripherie ist mehr oder weniger scharf gekielt, mit oder ohne Kielsaum und nicht gelappt. 4–10 dreieckige, nichtgeblähte Kammern nehmen allmählich an Größe zu. Die Suturen sind durchscheinend, nicht eingesenkt, manchmal schwach limbat, wenig gebogen und leicht geneigt. Das Zentrum wird von einem mehr oder weniger massiven, durchscheinenden, nicht erhabenen, im Umriss eckigen Pfeiler eingenommen. Die Mündung ist strahlig, am Apex der Endkammer gelegen, und zieht als schmaler, senkrechter Schlitz auf die leicht concave Mündungsfläche herab. An der Gehäuseperipherie sind die älteren, strahligen Mündungen erkennbar.

Ø = 0,2–1,5 mm
 D = 0,11–0,55 mm

Bemerkungen:

RÖGL & CÍCHA (1973: 304) bezeichnen die Formen des Ottanger Schliers als *Robulus ex gr. melvilli* C. & R. Dies geht auf eine Feststellung von RÖGL (1969b: 216, *Lenticulina* sp.) zurück, der die Abtrennung von *R. inornatus* mit dem eckigen Umriss und dem Auftreten eines Kiels begründete. Entgegen der Auffassung dieses Autors ist *R. inornatus* nicht immer „kreisrund“ (vgl. PAPP & SCHMID 1985: Taf. 31/7), auch ist bisweilen eine Kielbildung zu beobachten (ebenfalls PAPP & SCHMID 1985: Taf. 33/2, Typus *R. intermedius*). Bei einer Durchsicht von Proben aus dem Baden des Wiener Beckens

konnte kein wesentlicher Unterschied zu den Exemplaren aus den Neuhofener Mergeln festgestellt werden.

Bei der D'ORBIGNY-Revision von PAPP & SCHMID (1985: 43–44) zeigte sich eine große Variabilität dieser Art was die Kammerzählung und die Ausbildung des Zentralpfeilers anbelangt.

Verbreitung:

Durchläufer, sehr häufig im Unteren Ottang.

Ökologie:

In der Schlammfazies tritt gehäuft Kielbildung ein, während sie in der sandigen Fazies ausbleibt.

Die Gattung ist bathymetrisch sehr weit verbreitet. Das Maximum ihrer Häufigkeit gibt PHLEGER (1960: Abb. 38) etwa zwischen 100 und 800 m an. Der *Robulus*-Schlier des bayer. Ottang dürfte etwa in Bereichen des tieferen Neritiums (100–200 m) abgelagert worden sein. Auch MURRAY (1973: 250) gibt für *Lenticulina* mehr als 100 m Wassertiefe an.

Robulus vortex (FICHEL & MOLL)

Taf. 3, Fig. 9–10

- *1803 *Nautilus vortex* – FICHEL & MOLL: 33, Taf. 2/d–i (Pliozän, Italien)
- 1846 *Robulina imperatoria* D'ORB. – D'ORBIGNY: 104, Taf. 5/5–6 (Mittelmiozän, Wiener Becken)
- 1966 *Lenticulina (Lenticulina) vortex* (F. & M.) – BUTT: 41, Taf. 2/1 (Oligozän, SW-Frankreich)
- 1975 *Lenticulina vortex* (F. & M.) – POPESCU: 55, Taf. 30/3; 31/1 (Miozän, Rumänien)
- 1984 *Lenticulina vortex* (F. & M.) – RÖGL & HANSEN: 30, Taf. 2/3–4, Abb. 8 (Pliozän, Italien)

Große, planspiral-involute, im Umriß runde, im Querschnitt spitz-ovale Gehäuse. Die Peripherie ist acut, aber ohne Kielsaum und nicht gelappt. 6–14 stark gebogene, nichtgeblähte Kammern nehmen allmählich an Größe zu. Die Suturen sind durchscheinend, nicht eingesenkt, manchmal leicht limbat, sehr stark nach hinten gebogen. Das Zentrum bildet ein kräftiger, durchscheinender, nichterhabener Zentralpfeiler. Die Mündung ist strahlig, am Apex der Endkammer gelegen, die Mündungsfläche leicht concav. Die Schale ist glatt und imperforiert.

Ø = 0,22–1,0 mm

D = 0,11–0,5 mm

Verbreitung:

Sehr selten im Oberen Eger des Teufelsgrabens und im Eggenburg des Fußgrabens und des Pechschnaitgrabens. Nicht selten im Unteren Ottang von Niederbayern und im Fußgraben.

Robulus pauperculus (REUSS)

Taf. 3, Fig. 11–13

- 1857 *Robulina compressa* nov. spec. (non BORNEMANN 1855) – EGGER: 297, Taf. 15/12–13 (Eggenburg, Niederbayern)
- *1866 *Cristellaria pauperculus* REUSS – REUSS: 25, Taf. 3/6, 7 (Rupel, N-Deutschland)
- 1914 *Cristellaria* aff. *depauperata* REUSS – TOULA: 207, Abb. 2 (Ottang, Oberösterreich)

1958a *Robulus meznericsae* n. sp. – CICHÁ: 66, Taf. 1/1–6 (Eggenburg, Tschechoslowakei)

1958b *Robulus meznericsae* CICHÁ – CICHÁ: Taf. 51/10, 13 (Eggenburg, Tschechoslowakei)

1962 *Lenticulina (Lenticulina) pauperculus* (REUSS) – KIESEL: 29, Taf. 4/8 (Oligozän, DDR)

1971 *Lenticulina (Robulus) meznericsae* CICHÁ – CICHÁ et al.: 253, Taf. 8/3–4 (Eggenburg, CSSR)

Diese Art zeichnet sich durch eine sehr variable Gehäuseform aus, die abhängig ist vom Wachstumsstadium. Es liegen planspiral gewundene, nicht immer vollständig involute, im Umriß ovale Gehäuse vor. Der Querschnitt ist biconvex, abgeflacht oder oval, die Peripherie gerundet oder acut, evtl. mit stumpfem Kiel. 4–6 nicht bis leicht geblähte Kammern nehmen ziemlich rasch an Größe zu. Die Suturen sind eben bis deutlich eingesenkt, nicht oder nur leicht gebogen. Der Nabel ist entweder eng und eben oder weit und eingesenkt. Die strahlige Mündung liegt am Apex der Endkammer, ältere Mündungen sind am Gehäuserand sichtbar. Die Mündungsfläche ist abgerundet, die Wand glattschalig und fein perforiert.

Ø = 0,3–0,9 mm

D = 0,17–0,3 mm

Differentialdiagnose:

Der im juvenilen Stadium manchmal sehr ähnliche *Robulus peregrinus* (SCHWAGER) (vgl. AGIP 1982: Taf. 11/2) unterscheidet sich durch die deutlichere Kielbildung und die stärkere Tendenz zur Entrollung (vgl. BARKER 1960: Taf. 68/11–16).

Robulus convergens (BORNEMANN) ist ebenfalls eine sehr nahestehende Form. Sie weist jedoch nie eingesenkte Nähte auf. Diese sind meist stärker gekrümmt (vgl. KIESEL 1962: Taf. 3/12) und häufig deutlich verdickt (vgl. BARKER 1960: Taf. 69/6–7 und CUSHMAN 1923: Taf. 36/4). Der Variabilitätsbereich dieser Art ist am ausführlichsten bei HAUSMANN (1964: 350) beschrieben.

Bemerkungen:

Die Art ist sehr vielgestaltig: Jugendliche Formen besitzen stets nur 4 Kammern, eine gerundete Peripherie, nichteingesenkte Nähte und einen engen, ebenen Nabel und sind vollständig involut. Erwachsene Formen dagegen werden evolut, der Nabel erweitert sich und zeigt Teile des älteren Umganges und ist, ebenso wie die Suturen, vertieft. Die Kammern sind gebläht und an der Peripherie kann ein stumpfer Kiel auftreten. Die Kammerzählung liegt meist über 4. Die juvenilen Formen entsprechen *Robulus meznericsae*.

Der ältere Name *Robulina compressa* EGGER ist aufgrund der Homonymie mit *Robulina compressa* BORNEMANN 1855 ungültig.

Verbreitung:

Durchläufer, selten, häufig im Unteren Ottang vom Anderl.

Robulus umbonatus (REUSS)

Taf. 3, Fig. 14–15

- *1851b *Robulina umbonata* m. – REUSS: 68, Taf. 4/24 (Rupel, N-Deutschland)
- 1870 *Cristellaria umbonata* REUSS – REUSS/v. SCHLICHT: 28 bzw. 56, Taf. 19/1–4 (Rupel, N-Deutschland)

- 1952 *Robulus umbonatus* (REUSS) — HAGN: 143 (Eger, Bayern)
 1962 *Lenticulina* (*Robulus*) *umbonata* (REUSS) — KIESEL: 33, Taf. 5/6 (Oligozän, DDR)
 1978 *Lenticulina umbonata* (REUSS) — ODRZYWOLSKA-BIENKOWA et al.: 263, Taf. 9/2 (Oligozän, Polen)

Planspirale, involute, im Umriss runde, im Querschnitt spitz-ovale Gehäuse. Die Peripherie ist gekielt mit schmalem Kielsaum und nicht gelappt. Ca. 6 nichtgeblähte Kammern nehmen sehr langsam an Größe zu. Das typische Merkmal dieser Art sind ihre Suturen: sie sind limbat, kaum gebogen, aber stark geneigt, so daß sie tangential an dem dicken, durchscheinenden Zentralpfeiler, der das Zentrum einnimmt, anliegen. Die Mündung wird von einer rundlichen Öffnung auf der leicht concaven Mündungsfläche nahe dem Apex gebildet. Die Wand ist glatt und fein perforiert.

$\varnothing = 0,28-0,35$ mm

D = 0,14–0,22 mm

Differentialdiagnose:

Sie unterscheidet sich von *R. arcuatostratus* (HANTKEN) durch die nicht gebogenen Suturen und den massiven Zentralpfeiler.

Verbreitung:

Selten im Oberen Eger der Blauen Wand und des Lohgrabens.

Robulus calcar (LINNÉ)

Taf. 3, Fig. 16–17

- *1758 *Nautilus calcar* LINNAEUS — LINNAEUS: 709 (rezent, Adria)
 1803 *Nautilus calcar* var. α — FICHTEL & MOLL: 71, Taf. 11/a–c (rezent, Adria; Pliozän, Italien)
 1846 *Robulina calcar* D'ORB. — D'ORBIGNY: 99, Taf. 4/18–20 (Mittelmiozän, Wiener Becken)
 1969a *Lenticulina calcar* (L.) — ROGL: 75, Taf. 5/1 (Karpat, Niederösterreich)
 1975 *Lenticulina calcar* (L.) — POPESCU: 51, Taf. 34/3 (Miozän, Rumänien)

Die Schalen sind planspiral-involut gewunden, im Umriss oval, mit sehr breitem, spitz-ovalem Querschnitt. Die Peripherie zeigt den charakteristischen breiten, gezackten Kielsaum. 4–8 nichtgeblähte Kammern in der letzten Windung nehmen rasch an Größe zu. Die dicken, erhabenen Suturen sind wenig gebogen und nach hinten geneigt. Im Zentrum ist ein mehr oder weniger großer Pfeiler entwickelt. Die Mündung besteht aus einer rundlichen Öffnung auf der concaven Mündungsfläche nahe dem Apex. Das Gehäuse ist glattschalig und fein perforiert.

$\varnothing = 0,25-0,7$ mm

D = 0,15–0,4 mm

Verbreitung:

Selten im Oberen Eger des Zillergrabens und der Prien, ziemlich häufig im Eggenburg des Röthelbaches und des Fußgrabens.

Robulus cultratus MONTFORT

Taf. 3, Fig. 18–19

- *1808 *Robulus cultratus* MONTFORT — MONTFORT: 214, Abb. (fide ELLIS & MESSINA) (fossil, N-Italien)

- 1846 *Robulina cultrata* D'ORB. — D'ORBIGNY: 96, Taf. 4/10–13 (Mittelmiozän, Wiener Becken)

- 1961 *Robulus cultratus* MONTFORT — PAPP: 217, Abb. 3/7 (Eger, Niederösterreich)

- 1971 *Robulus* ex gr. *cultratus* MONTFORT — CÍCHA et al.: 252, Taf. 9/3–4 (Eggenburg, CSSR)

Das Gehäuse ist planspiral-involut, im Umriss rundlich, im Querschnitt spitz-oval. Die gekielte Peripherie trägt einen dicken, derben Kielsaum und ist nicht gelappt. 7–9 dreieckige, nichtgewölbte Kammern nehmen allmählich an Größe zu. Die charakteristischen erhabenen, dick-limbaten Nähte sind leicht nach hinten gebogen. Das Zentrum wird von einem kräftigen, durchscheinenden Pfeiler eingenommen. Die Mündung besteht aus einem auf der leicht concaven Mündungsfläche gelegenen Schlitz, der vom Apex bis fast zur Basis reicht. Die Schale ist glatt, abgesehen von den erhabenen Suturen, dickschalig und fein perforiert.

$\varnothing = 0,24-1,2$ mm

D = 0,14–0,7 mm

Differentialdiagnose:

Die Art unterscheidet sich von *R. inornatus* durch das dickschalige Gehäuse, den derben Kiel und die erhabenen, dicken Suturen,

von *R. arcuatostratus* (HANTKEN) durch die weniger nach hinten gebogenen Suturen.

Verbreitung:

Nicht selten im Oberen Eger (häufig in Prutdorf), häufig im tiefsten Eggenburg der Traun.

Genus: *Lenticulina* LAMARCK 1804

Lenticulina gibba (D'ORBIGNY)

Taf. 3, Fig. 20–21

- *1839 *Cristellaria gibba* D'ORB. — D'ORBIGNY: 40 (fide ELLIS & MESSINA) (rezent, Kuba)
 1855 *Cristellaria excisa* n. sp. — BORNEMANN: 328, Taf. 13/19–20 (Rupel, N-Deutschland)
 1923 *Cristellaria gibba* D'ORB. — CUSHMAN: 105, Taf. 25/4 (rezent, Atlantik)
 1959 *Lenticulina gibba* (D'ORB.) — DIECI: 36, Taf. 3/7–8 (Torton, N-Italien)
 1962 *Lenticulina* (*Lenticulina*) *gibba* (D'ORB.) — KIESEL: 28, Taf. 4/6 (Oligozän, DDR)
 1967 *Lenticulina gibba* (D'ORB.) — CÍCHA & ZAPLETALOVÁ: 120, Taf. 17A/5 (Karpat, CSSR)
 1977b *Lenticulina gibba* (D'ORB.) — LE CALVEZ: 25; Abb. 1, 20–21 (rezent, Kuba)
 1979 *Lenticulina excisa* (BORNEMANN) — SZTRÁKOS: Taf. 12/11 (Oligozän, Ungarn)

Ein längliches, planspiral-involutes Gehäuse mit ovalem Umriss und spitz-ovalem Querschnitt. Die Peripherie ist acut, ohne Kielsaum und nicht gelappt. 6–8 dreieckige, nichtgeblähte Kammern nehmen sehr rasch an Größe zu. Die Suturen sind durchscheinend, nicht eingesenkt, schwach gebogen. Im Gehäusezentrum ist kein Pfeiler ausgebildet, der Nabel ist eben. Am Apex der Endkammer liegt eine strahlige Mündung und direkt darunter, auf der concaven Mündungsfläche, eine rundliche Öffnung. Die Wand ist glatt und fein perforiert.

L = 0,25–0,3 mm

B = ca. 0,2 mm

D = ca. 0,11 mm

Differentialdiagnose:

Die Art unterscheidet sich von *Robulus subangulatus* (REUSS) durch die schnellere Größenzunahme der Kammern.

Verbreitung:

Selten im Oberen Eger der Bohrung Ortenburg 1002, des Burgstallgrabens und des Lohgrabens.

Genus: *Planularia* DEFRANCE 1826

Planularia moravica (KARRER)

*1865 *Cristellaria moravica* KARRER — KARRER: 707, Taf. 2/9 (fide ELLIS & MESSINA) (Mittelmiozän, Wiener Becken)

Verbreitung:

Nicht selten im Eger der bayerischen und österreichischen Molasse (Wallern, Unterrudling).

Planularia buergli n. sp.

Taf. 4, Fig. 1–2

?1946 *Planularia willingensis* n. sp. — BURGL: 139, 143 (nomen nudum) (Eggenburg, Oberösterreich)

1957 *Planularia willingensis* BURGL — BERGER: Abb. (Ottang, Bayern)

Namengebung: nach H. Bürgl, der die Form als erster erwähnt hat.

Holotypus: Slg. München, Prot. 5571

Locus typicus: Fußgraben

Stratum typicum: tiefstes Ottang

Diagnose:

Eine neue Art der Gattung *Planularia* mit folgenden Besonderheiten: stark abgeflachtes Gehäuse mit breitem, stark zerfranstem Kielsaum, wenigen Kammern, leicht erhabenen, schwach gebogenen Suturen und rascher Größenzunahme der Kammern.

Beschreibung:

Das Gehäuse ist planspiral aufgerollt und vollständig involut. Es besitzt einen ovalen Umriss und einen stark abgeflachten Querschnitt. Die größte Dicke des Gehäuses liegt in der Mitte der Endkammer. Sehr charakteristisch ist die Peripherie mit dem breiten, dicken, unregelmäßig gezackten Kielsaum. Die 4–7 (meist 6) breit-dreieckigen, leicht gewölbten Kammern der letzten Windung nehmen sehr rasch an Größe zu. Die Suturen sind verdickt, leicht erhaben und schwach nach hinten gebogen. Im Zentrum ist ein meist undeutlicher, nur in wenigen Fällen etwas vorspringender Pfeiler entwickelt. Die Mündung ist strahlig und liegt am Apex der Endkammer. Die intercameralen Foramina sind dreieckig oder oval und liegen dicht unterhalb des Apex auf der leicht concaven Mündungsfläche. An der Kammerperipherie sind die älteren, strahligen Mündungen erkennbar. Die Schalenoberfläche ist — abgesehen von den limbaten Nähten — glatt und fein perforiert.

Ø = 0,4–1,5 mm

D = 0,18–0,35 mm

Differentialdiagnose:

Planularia suteri (CUSHMAN & RENZ) ist der hiesigen Form bezüglich Kammerzahl und Kielausbildung sehr ähnlich. Sie unterscheidet sich jedoch durch die stärker geblähten Kammern, den eingesenkten Nabel und die zum Teil in Knoten aufgelösten, dick-limbaten Suturen.

Sehr groß ist die Ähnlichkeit mit *Robulus teschi* TEN DAM & REINHOLD 1947 = *Robulus grandis* TEN DAM & REINHOLD 1942. Dieser weist jedoch eine höhere Kammerzahl auf (nach TEN DAM & REINHOLD 1942 10–12, in den Abbildungen jedoch deutlich weniger: 8–9), die größte Gehäusedicke liegt — im Gegensatz zu *Planularia buergli* — im Zentrum, die Suturen sind stärker erhaben und etwas mehr nach hinten gebogen.

Bemerkungen:

BURGL führte *Planularia willingensis* n. sp. aus dem Haller Schlier der Gegend um Wels an. Er gab jedoch weder eine Beschreibung, noch eine Abbildung.

BERGER bildete in einem unveröffentlichten Skriptum über die Molasseforaminiferen die neue Art als *Planularia willingensis* BURGL ab. Das gezeichnete Exemplar ist jedoch kein Topotyp zur BURGLschen Form, so daß der Bezug zu den Formen des Haller Schliers nicht ganz gesichert ist.

Verbreitung:

Sehr häufig im tiefsten Ottang (*Planularia buergli*-Horizont) des Fußgrabens, Traunsteins und der Bohrung Ortenburg 1003.

Genus: *Saracenaria* DEFRANCE 1824

Saracenaria arcuata (D'ORBIGNY)

Taf. 4, Fig. 3–4

*1846 *Cristellaria arcuata* D'ORB. — D'ORBIGNY: 87, Taf. 3/34–36 (Mittelmiozän, Wiener Becken)

1857 *Cristellaria arcuata* D'ORB. — EGGFR: 296, Taf. 14/28–30 (Eggenburg, Niederbayern)

1964 *Lenticulina* (*Saracenaria*) *arcuata* (D'ORB.) — HAUSMANN: 352, Taf. 5/2 (Rupel, DDR)

1973 *Saracenaria arcuata* (D'ORB.) — ROGL & CICHÁ: Taf. 5/28 (Ottang, Oberösterreich)

Das gedrungene Gehäuse beginnt mit einem sehr eng gewundenen, planspiralen, involuten Anfangsteil und geht dann in einen entrollten Endteil über, dessen Querschnitt in typischer Weise dreieckig, mit abgerundeten Kanten, ausgebildet ist. Die Peripherie ist acut, jedoch ohne Kielsaum. 6–9 dreieckige, nichtgeblähte Kammern nehmen rasch an Größe zu. Die Stirnfläche der Endkammer ist kräftig gewölbt. Die Suturen sind durchscheinend, nicht eingesenkt, leicht gebogen, die der letzten Kammern stark in Richtung Anfangsteil hinabgezogen. Die Mündung ist strahlig, am Apex der Endkammer gelegen. Ältere Mündungen sind an der Peripherie sichtbar. Die Schale ist glatt und fein perforiert.

L = 0,25–0,7 mm

B = 0,15–0,4 mm

D = 0,13–0,35 mm

Differentialdiagnose:

Saracenaria italica (DEFANCE) ist stärker entrollt und weist an den drei Kanten scharfe Kiele auf.

Verbreitung:

Durchläufer, selten; etwas häufiger nur im Unteren Ottang.

Genus: *Astaculus* MONTFORT 1808

Astaculus crepidulus (FICHEL & MOLL)

Taf. 4, Fig. 7–8

- *1803 *Nautilus crepidula* – FICHEL & MOLL: 107, Taf. 19/g–i (rezent, Italien)
 1846 *Cristellaria cymboides* D'ORB. – D'ORBIGNY: 85, Taf. 3/30–31 (Mittelmiozän, Wiener Becken)
 1857 *Cristellaria simplex* D'ORB. – EGGER: 296, Taf. 14/34–35 (?Mittelottang/?Eggenburg, Niederbayern)
 1964 *Lenticulina (Astaculus) crepidula* (F. & M.) – HAUSMANN: 353, Taf. 5/4 (Rupel, DDR)
 1975 *Saracenaria cymboides* (D'ORB.) – POPESCU: 64, Taf. 35/2 (Miozän, Rumänien)
 1984 *Astaculus crepidulus* (F. & M.) – RÖGL & HANSEN: 66, Taf. 26/1–2, Abb. 27 (rezent, Italien)

Ein sehr langgestrecktes, schlankes, seitlich stark komprimiertes Gehäuse mit kleinem, sehr eng gewundenem, planspiral-involutem Anfangsteil und entrolltem Endteil. Die Peripherie ist acut bis subacut, jedoch ohne Kielsaum, die Seitenflächen sind schwach gewölbt. 6–11 (meist 7) nichtgeblähte, schmal-dreieckige Kammern nehmen allmählich an Größe zu. Die letzten Kammern sind stark in Richtung Anfangsteil nach unten gezogen. Die durchscheinenden Suturen sind nicht oder nur sehr wenig eingesenkt, deutlich gebogen. Die Mündung liegt an der Peripherie und ist strahlig. Die sehr dünne Schale ist glatt und fein perforiert.

L = 0,28–0,7 mm

B = 0,15–0,25 mm

D = 0,1–0,17 mm

Verbreitung:

Durchläufer, selten.

Genus: *Vaginulinopsis* SILVESTRI 1904

Synonym: *Marginulinopsis* SILVESTRI 1904

Vaginulinopsis pseudodecorata HAGN

- *1952 *Vaginulinopsis pseudodecorata* n. sp. – HAGN: 146, Taf. 1/5 (Rupel bis Burdigal, Bayern)

Verbreitung:

Sehr selten im Oberen Eger und Eggenburg des Traunprofls (Blaue Wand, Pechschnaitgraben, Röthelbach) und im Unteren Ottang der Prien.

Vaginulinopsis hauerina (D'ORBIGNY)

Taf. 4, Fig. 5–6

- *1846 *Cristellaria hauerina* D'ORB. – D'ORBIGNY: 84, Taf. 3/24, 25 (Mittelmiozän, Wiener Becken)
Cristellaria simplex D'ORB. – D'ORBIGNY: 85, Taf. 3/26–29

- 1942 *Cristellaria (Lenticulina) hauerina* D'ORB. – TEN DAM & REINHOLD: 51, Taf. 2/8 (Oligozän/Miozän, Niederlande)
 1962 *Lenticulina (Marginulinopsis) hauerina* (D'ORB.) – KIESEL: 35, Taf. 5/12 (Oligozän, DDR)
 1964 *Lenticulina (Astaculus) hauerina* (D'ORB.) – HAUSMANN: 353, Taf. 5/8 (Rupel, DDR)
 1985 *Vaginulinopsis hauerina* (D'ORB.) – PAPP & SCHMID: 38, Taf. 23/1–10 (Mittelmiozän, Wiener Becken)

Ein schlankes, leicht gebogenes Gehäuse mit planspiral-involutem, sehr eng gewundenem Anfangsteil ohne Nabel, und uniserialen Endteil. Der Spiralteil ist relativ groß. Der Querschnitt ist leicht abgeflacht, oval bis leicht dreieckig, die Peripherie acut, im Endteil häufig gerundet. Die äußere Peripherie ist meist stärker zugespitzt als der Innenrand. 8 leicht geblähte Kammern nehmen langsam an Größe zu, die Kammern sind stets breiter als hoch. Die schmalen Nähte sind mäßig tief eingesenkt, kaum gebogen, aber deutlich geneigt. Die Mündung liegt exzentrisch und ist strahlig, die Wand glatt und fein perforiert.

L = 0,4–0,6 mm

B = 0,25–0,3 mm

D = 0,2–0,22 mm

Differentialdiagnose:

Diese Art ist weniger seitlich abgeflacht als *Astaculus crepidulus*, der Spiralteil ist größer, die Suturen schwächer geneigt.

Verbreitung:

Je 2 Exemplare aus dem Unteren Ottang von Mitterdorf und Oberschwärzenbach.

Vaginulinopsis carinata SILVESTRI

Taf. 4, Fig. 9–10

- *1904 *Vaginulinopsis inversa* (COSTA) var. *carinata* SILV. – SILVESTRI: 251, Abb. 5 (Pliozän, Sizilien) (fide ELLIS & MESSINA)
 1952 *Vaginulinopsis inversa* (COSTA) var. *carinata* SILV. – RUSCELLI: 43, Taf. 2/2 (Torton, N-Italien)
 1953 *Vaginulina inversa* (COSTA) var. *carinata* (SILV.) – GIANOTTI: 231, Taf. 13/1 (Torton, N-Italien)
 1957 *Vaginulinopsis inversa* (COSTA) var. *carinata* (SILV.) – ASCOLI: Taf. 1/5 (Torton, N-Italien)
 1959 *Vaginulina inversa* (COSTA) subsp. *carinata* (SILV.) – DIECI: 47, Taf. 4/7 (Torton, N-Italien)
 1982 *Vaginulinopsis carinata* (SILV.) – AGIP S. p. A.: Taf. 16/5 (Miozän/Pliozän, Italien)

Sehr auffällige, langgestreckte, schlanke Gehäuse mit stark unterentwickeltem, nur bei der microsphaerischen Generation erkennbarem planspiral-involutem Anfangsteil und sehr langem, uniserialen Endteil. Der Querschnitt ist leicht abgeflacht, oval, die Peripherie im Anfangsteil subacut, später mehr gerundet. 2–8 stark geblähte Kammern nehmen kaum an Größe zu, die Kammern sind stets breiter als hoch. Sehr charakteristisch sind die Suturen: sie sind sehr breit und stark eingetieft, dabei stark limbat und durchscheinend, fast horizontal, kaum gebogen. Der Anfangsteil ist sehr eng gewunden, ohne Nabel. Meist liegt die megalosphaerische Generation vor, bei der der Anfangsteil nicht aufgerollt, sondern die erste Suture nur stark gebogen ist. Die Mündung ist strahlig, exzentrisch, die Schalenoberfläche glatt, und fein perforiert.

L = 0,28–1,0 mm

B = 0,18–0,22 mm

D = 0,15–0,22 mm

Differentialdiagnose:

Vaginulinopsis bauerina zeigt einen stärker vorspringenden, deutlicher ausgeprägten planspiralen Anfangsteil und schmalere, nicht limbate Suturen.

Bemerkungen:

Gegenüber der Originalabbildung unterscheiden sich die bayerischen Formen durch die stumpfere Peripherie.

Verbreitung:

Ausschließlich im Otttang zu finden (Niederbayern und Sur); sehr selten.

Vaginulinopsis elegans (HANTKEN)

Taf. 4, Fig. 11–12

- *1875 *Cristellaria elegans* n. sp. — HANTKEN: 88, Taf. 14/4 (Eozän/Oligozän, Ungarn)
 1961 *Vaginulinopsis elegans* (HANTKEN) — PAPP: 218, Abb. 6/7 (Eger, Niederösterreich)
 1962 *Marginulina* (*Marginulinopsis*) *elegans* HANTKEN — MAJZON: Taf. 42/4 (Eozän/Oligozän, Ungarn)
 1982 *Vaginulinopsis* cf. *minutus* (HANTKEN) — SZTRÁKOS: Taf. 13/12 (Eozän/Oligozän, Ungarn)

Die Schalen dieser selten zitierten Art sind langgestreckt und schlank, mit sehr eng gewundenem, planspiral-involutem Anfangsteil und langem, uniserialen Endteil. Der Querschnitt ist leicht abgeflacht, oval, die Peripherie im Anfangsteil subacut, später gerundet. 5–9, im Endteil leicht geblähte Kammern zeigen eine langsame Größenzunahme. Sie sind im höher entwickelten Stadium deutlich höher als breit. Die sehr schmalen Suturen sind wenig eingetieft, nicht sehr stark geneigt. Die Mündung ist strahlig, exzentrisch, die Wand glatt und fein perforiert.

L = 0,35–0,7 mm

B = 0,12–0,17 mm

D = 0,1–0,15 mm

Differentialdiagnose:

Sie unterscheidet sich von *Vaginulinopsis minuta* (HANTKEN) durch die weniger zugespitzte Peripherie und die geringere Abflachung des Gehäuses,

von *Vaginulinopsis bauerina* durch die kaum eingesenkten Suturen, die hohen Kammern und den kaum vorspringenden planspiralen Anfangsteil.

Verbreitung:

Nicht selten im Oberen Eger; aus höheren Schichten nur ein einzelnes Exemplar von Gänshall (Mittelotttang).

Vaginulinopsis sp.

Taf. 4, Fig. 13

Das längliche Gehäuse ist zunächst planspiral-involut aufgerollt, später uniserial gebaut. Der Querschnitt ist deutlich abgeflacht, oval, die Peripherie abgerundet. 7–10 nichtgeblähte Kammern nehmen langsam an Größe zu. Die Suturen sind durchscheinend, nicht eingesenkt, stark geneigt, die Mündung strahlig, exzentrisch, die Wand glatt und fein perforiert.

L = 1,0–1,3 mm (im Bruchstück)

B = 0,35–0,5 mm

D = ca. 0,3 mm

Verbreitung:

Je 1 Exemplar aus dem Unteren Otttang der Sur und von Höbmansbach/OÖ.

Genus: *Marginulina* D'ORBIGNY 1826*Marginulina hirsuta* D'ORBIGNY

Taf. 4, Fig. 14

- *1826 *Marginulina hirsuta* Nob. — D'ORBIGNY: 259 (rezent, Adria)
 1846 *Marginulina hirsuta* D'ORB. — D'ORBIGNY: 69, Taf. 3/17–18 (Mittelmiozän, Wiener Becken)
 1951 *Marginulina hirsuta* D'ORB. — MARKS: 44, Taf. 5/13 (Mittelmiozän, Wiener Becken)
 1961 *Marginulina hirsuta* D'ORB. — PAPP: 218, Abb. 5/1–5; 6/2, 4–6 (Eger, Niederösterreich)
 1971 *Marginulina hirsuta* D'ORB. — CÍCHA et al.: 253, Taf. 3/4 (Eggenburg, CSSR)

Ein langgestrecktes, schlankes Gehäuse mit vorwiegend uniserialer Kammeranordnung. Im schwach gekrümmten Anfangsteil ist die Andeutung einer planspiralen Aufrollung zu erkennen. Der Querschnitt ist rund, im älteren Gehäuse teil leicht abgeflacht. 3–7 leicht geblähte Kammern zeigen eine langsame Größenzunahme. Sie sind stets breiter als hoch, dicht mit groben Warzen oder Rippchen besetzt, welche häufig in Längsreihen angeordnet sind. Die Suturen sind leicht eingesenkt, im Endteil horizontal, im Anfangsteil schwach gekrümmt. Die strahlig-crenulierte, exzentrisch gelegene Mündung sitzt auf einem kurzen Hälschen. Die Gehäusewand ist stark skulptiert und fein perforiert.

L = 0,4–1,0 mm (in Bruchstücken)

B = 0,22–0,4 mm

D = 0,18–0,4 mm

Bemerkungen:

POPESCU (1975: 57) weist darauf hin, daß es sich bei *Marginulina hirsuta* D'ORB. 1826 eigentlich um ein jüngeres Synonym von *Marginulina murex* (BATSCH 1791) handelt.

Verbreitung:

Sehr selten im obersten Eger der Bohrung Ortenburg 1001; vereinzelt im Eggenburg des Pechschnaitgrabens und des Röthelbaches; selten im Unteren Otttang von Niederbayern.

Marginulina hantkeni BANDY

- *1949 *Marginulina hantkeni* new name — BANDY: 46, Taf. 6/9 (Eozän, Alabama)

Verbreitung:

Sehr selten im Oberen Eger der Bohrung Ortenburg 1001.

Marginulina pediformis BORNEMANN

Taf. 4, Fig. 15

- *1855 *Marginulina pediformis* n. sp. — BORNEMANN: 326, Taf. 13/13 (Rupel, N-Deutschland)
 1875 *Marginulina pediformis* BORNEMANN — HANTKEN: 45, Taf. 4/12 (partim) (Eozän/Oligozän, Ungarn)

1962 *Lenticulina (Marginulinopsis) pedum* (D'ORB.) – KISEL: 35, Taf. 5/9 (Oligozän, DDR)

1979 *Marginulina pediformis* BORNLMANN – SZTRÁKOS: Taf. 13/16 (Oligozän, Ungarn)

Dieses längliche Gehäuse mit fast rein uniserialer Kammeranordnung zeigt nur eine geringe Tendenz zur planspiralen Aufrollung im Initialteil. Der Querschnitt ist rund, auch im älteren Gehäuseteil. 3–6 stark geblähte, kugelige Kammern, die ganz charakteristisch sind für diese Art, nehmen langsam an Größe zu. Die Suturen sind tief eingeschnürt, im Endteil horizontal, im Anfangsteil schräg. Die Mündung ist strahlig, nur leicht exzentrisch, auf einem kurzen Halschen gelegen, die Gehäusewand glatt und fein perforiert.

L = 0,5–0,7 mm

B = D = 0,25–0,35 mm

Differentialdiagnose:

Diese Formen unterscheiden sich von *Marginulina hantkeni* BANDY durch die geringe Größenzunahme der Kammern.

HAUSMANN (1964: 355) faßt *M. pediformis* als Synonym von *Marginulina similis* D'ORB. auf. Letztere besitzt jedoch deutlich schrägere Suturen und wesentlich weniger geblähte Kammern.

Vaginulinopsis pedum (D'ORB.) ist leicht gekielt, der Anfangsteil stärker eingerollt (vgl. PAPP & SCHMID 1985: 37, Taf. 21/5–9).

Verbreitung:

Sehr selten im Oberen Eger der Bohrung Ortenburg 1001 und der Zillerleite.

Genus: *Dentalina* RISSO 1826

Dentalina communis D'ORBIGNY

Taf. 4, Fig. 16–17

*1826 *Dentalina communis* Nob. – D'ORBIGNY: 254 (rezent, Adria)

1846 *Dentalina inornata* D'ORB. – D'ORBIGNY: 44, Taf. 1/50–51 (Mittelmiozän, Wiener Becken)

1848 *Dentalina ferstliana* CZIZIK – CZIZIK: 140, Taf. 12/10–13 (Mittelmiozän, Wiener Becken)

1923 *Nodosaria communis* D'ORB. – CUSHMAN: 75, Taf. 12/3–4, 15–17 (rezent, Atlantik)

1973 *Dentalina communis* D'ORB. – RÖGL & CICHÁ: 303, Taf. 1/4; 4/25 (Ottanang, Oberösterreich)

Es handelt sich dabei um lange, schlanke, uniserial gebaute, leicht gebogene Schalen mit rundem Querschnitt. 4–9 stark geblähte Kammern nehmen allmählich an Größe zu. Sie sind zunächst niedrig, später meist deutlich höher als breit, die Suturen nur leicht geneigt und stark eingeschnürt. Die Mündung ist strahlig, exzentrisch, die Gehäusewand glatt und fein perforiert.

L = 0,5–1,5 mm

B = D = 0,15–0,28 mm

Bemerkungen:

PAPP & SCHMID (1985: 28) fassen *Dentalina inornata* ohne nähere Angaben als selbständige Art auf.

Verbreitung:

Durchläufer; nicht selten.

Dentalina elegans D'ORBIGNY

Taf. 4, Fig. 18–19

*1846 *Dentalina elegans* D'ORB. – D'ORBIGNY: 45, Taf. 1/52–56 (Mittelmiozän, Wiener Becken)

Dentalina pauperata D'ORB. – D'ORBIGNY: 46, Taf. 1/57–58

1875 *Dentalina elegans* D'ORB. – HANTKEN: 30, Taf. 3/7 (Eozän/Oligozän, Ungarn)

1959 *Dentalina elegans* D'ORB. – DIECI: 40, Taf. 3/19 (Torton, Neolithien)

Dentalina pauperata (D'ORB.) – DIECI: 41, Taf. 3/22

1985 *Dentalina elegans* D'ORB. – PAPP & SCHMID: 28, Taf. 10/1–8 (Mittelmiozän, Wiener Becken)

Lange, schlanke, leicht gebogene Gehäuse mit rundem Querschnitt. 4–9 nicht oder nur sehr wenig geblähte, uniserial angeordnete Kammern nehmen langsam an Größe zu. Die Kammerform ist fast zylindrisch, zunächst niedrig, später so breit wie hoch oder höher. Die Suturen sind nur sehr wenig geneigt, nicht oder kaum eingesenkt. Die Mündung ist strahlig, exzentrisch, die Schalenoberfläche glatt und fein perforiert.

L = in Bruchstücken bis 1 mm

B = D = 0,12–0,2 mm

Differentialdiagnose:

Sie unterscheidet sich von *Dentalina communis* durch die fast horizontalen, kaum eingesenkten Suturen und die kaum geblähten Kammern.

Sie ist sehr ähnlich *Stilostomella verneuillii* (D'ORB.), nur durch die Mündungsform verschieden.

Verbreitung:

Vereinzelt im Oberen Eger der Bohrung Ortenburg und Isen. Sehr selten im Eggenburg von Röthelbach und Lußgraben.

Dentalina brevis D'ORBIGNY

Taf. 4, Fig. 20

*1846 *Dentalina brevis* D'ORB. – D'ORBIGNY: 48, Taf. 2/9–10 (Mittelmiozän, Wiener Becken)

1985 *Dentalina brevis* D'ORB. – PAPP & SCHMID: 30, Taf. 12/8–11 (Mittelmiozän, Wiener Becken)

Diese Form zeichnet sich durch ein gedrungenes Gehäuse mit uniserialer Kammeranordnung und rundem Querschnitt aus. Ca. 5 leicht geblähte, sehr niedrige Kammern nehmen sehr langsam an Größe zu. Die Kammerform ist gedrunge, fast doppelt so breit wie hoch. Die Nähte sind exakt horizontal, schmal, deutlich eingeschnürt, die strahlige Mündung liegt leicht exzentrisch. Die Gehäusewand ist glatt und fein perforiert.

L = 0,6 mm (im Bruchstück)

B = D = 0,28 mm

Bemerkungen:

Nur die leicht exzentrische Mündung deutet auf die Zugehörigkeit zur Gattung *Dentalina* hin. Gehäuse- und Kammerform sind identisch mit *Pseudonodosaria discreta* (REUSS), dem Genotyp dieser Gattung.

Verbreitung:

Nur 1 Exemplar aus dem Unteren Ottang der Bohrung Ortenburg 1002.

Genus: *Amphicoryna* SCHLUMBERGER 1881

Amphicoryna badenensis (D'ORBIGNY)

*1846 *Nodosaria badenensis* D'ORB. — D'ORBIGNY: 38, Taf. 1/34–35 (Mittelmiozän, Wiener Becken)

Verbreitung:

Nicht selten im Oberen Eger der Bohrungen Ortenburg 1001 und Isen 1 sowie im Unteren Eger von Aldersbach.

Amphicoryna imperfectecostata (SILVESTRI)

Taf. 4, Fig. 21–24

*1872 *Nodosaria longicauda* D'ORB. var. *imperfecte-costata* SILV. — SILVESTRI: 63, Taf. 6/127–137 (fide ELLIS & MESSINA) (Pliozän, Italien)

1953 *Lagenonodosaria longicauda* (D'ORB.) var. *imperfecte-costata* (SILV.) — GIANOTTI: 250, Taf. 12/1 (Torton, N-Italien)

1975 *Amphicoryna imperfectecostata* (SILV.) — POPESCU: 47, Taf. 19/3 (Miozän, Rumänien)

Der Anfangsteil dieser nur in der megalosphaerischen Generation beobachteten Gehäuse zeigt durch eine leichte Neigung der Nähte im jüngeren Teil eine schwache Tendenz zur Aufrollung. Sonst sind die Schalen uniserial gebaut, lang, schlank, leicht gebogen und im Querschnitt rund. 2–6 geblähte Kammern nehmen langsam an Größe zu. Die 2. Kammer ist kleiner als die Anfangskammer und breiter als hoch, ab der 3. Kammer sind sie höher als breit und locker angeordnet. Die Suturen im Anfangsteil sind leicht geneigt, dann horizontal und stark eingesenkt, die Seiten parallel bis leicht divergierend und stark gelappt. Die Skulptur ist sehr variabel: ältere Kammerteile sind mit mehr oder weniger kräftigen Rippen (10–18) bestückt, die Endkammer und evtl. die vorletzte Kammer sind glatt oder pustelig. Es treten auch fast vollständig glatte Gehäuse auf. Die Anfangskammer trägt bisweilen einen kurzen Dorn. Die Wand ist fein perforiert, die Mündung wird von einer runden Öffnung gebildet, die auf einem langen, zentrischen, mit Querringen verzierten Hälschen liegt, das sich nach oben zu trompetenförmig erweitern kann.

L = 0,45–0,8 mm

B = 0,19–0,26 mm

Differentialdiagnose:

Sie unterscheidet sich von *Amphicoryna badenensis* durch die unregelmäßige Skulpturierung und die lockerere Kammeranordnung,

von *Stilostomella ottangensis* durch die Querringe am Mündungshälschen.

Bemerkungen:

Meine Exemplare stimmen sehr gut mit der Beschreibung bei GIANOTTI (1953) bzgl. der bepustelten Endkammer überein.

Verbreitung:

Nicht selten im Oberen Eger der Bohrung Ampfing 1, selten in zeitgleichen Serien der Bohrungen Isen 1 und Ortenburg 1002 und des Lohgrabens.

Genus: *Nodosaria* LAMARCK 1812

Nodosaria bactridium REUSS

*1866 *Nodosaria bactridium* REUSS — REUSS: 14, Taf. 1/24–25 (Rupel, N-Deutschland)

Verbreitung:

Sehr selten im Oberen Eger von Prutdorf und der Bohrung Ortenburg 1002.

Nodosaria raphanistrum (LINNÉ)

*1758 *Nautilus raphanistrum* — LINNAEUS: 710 (rezent, Mittelmeer)

Verbreitung:

Sehr selten im Eggenburg des Lußgrabens.

Nodosaria sp.

Taf. 5, Fig. 1

Ein langes, schlankes, uniserials Gehäuse mit rundem Querschnitt. Ca. 8 sehr charakteristisch gedrungene Kammern sind breiter als hoch, leicht gebläht und nehmen langsam an Größe zu. Die Suturen verlaufen horizontal, sind schmal und deutlich eingesenkt. Die Mündung ist zentrisch und rund, die Gehäusewand glatt und fein perforiert.

L = Bruchstücke bis 0,6 mm

D = bis 0,25 mm

Bemerkungen:

Die äußere Gestalt dieser Formen ist identisch mit *Dentalina brevis* D'ORB. Sie unterscheidet sich nur in den Mündungsverhältnissen.

Kammerform und Mündung erinnern noch am ehesten an *Nodosaria anomala* REUSS.

Verbreitung:

Sehr selten im Unteren Ottang der Bohrung Ortenburg 1003.

Genus: *Lagena* WALKER & JACOB 1798

Lagena striata (D'ORBIGNY)

Taf. 5, Fig. 2–3

*1839 *Oolina striata* D'ORB. — D'ORBIGNY: 21, Taf. 5/12 (rezent, Südatlantik)

1848 *Oolina haidingeri* CZ. — CZJZEK: 138, Taf. 12/1–2 (Mittelmiozän, Wiener Becken)

1939 *Lagena sulcata* (W. & J.) var. *haidingeri* CZJZEK — MATHIES: 57, Taf. 3/9 (Mittelmiozän, Österreich)

1960 *Lagena striata* (D'ORB.) — BARKER: Taf. 57/22, 24 (rezent, Pazifik)

Unter den sonst so variablen Lagenen weist diese Art eine sehr konstante Gehäuseform mit stets gleichmäßig ovalem

Umriß auf. Der Querschnitt ist rund, die Oberfläche mit 30–40 feinen, abgerundeten Längsrippen bedeckt. Der lange, schlanke Ektosipho ist entweder mit Längsrippen oder mit Querwülsten verziert und trägt eine runde Mündung. Die Schalenoberfläche ist fein perforiert, an der Basis tritt meist ein Stachelansatz auf.

L = 0,2–0,5 mm

D = 0,14–0,25 mm

Differentialdiagnose:

Diese Art unterscheidet sich von *L. sulcata* durch die zahlreicheren, feineren Rippen.

Verbreitung:

Durchläufer, im Ottang nicht selten.

Lagena sulcata (WALKER & JACOB)

Taf. 5, Fig. 4–5

*1798 *Serpula* (*Lagena*) *sulcata* W. & J. – WALKER & JACOB: 634, Taf. 14/5 (fide ELLIS & MESSINA) (rezent, England)

1863b *Lagena filicosta* n. sp. – REUSS: 9, Taf. 1/12 (Miozän, Belgien)

1939 *Lagena sulcata* (W. & J.) – MATHES: 54, Taf. 3/2–3 (Oligozän/Miozän, Deutschland/Österreich)

1956 *Lagena sulcata* (W. & J.) – HAGEN: 141, Taf. 10/19 (Obereozän, Gardasee)

Das Gehäuse ist im Umriß rund oder oval, im Querschnitt rund. Die Oberfläche ist mit 12–20 scharfen Rippen verziert. Der Ektosipho ist meist lang und schlank und verjüngt sich nach oben allmählich. Bei manchen Exemplaren geht die Kammer nach oben zu fließend in den kurzkonisch geformten Sipho über, an dessen Ende die runde Mündung sitzt. An der Basis ist meist ein Stachelansatz zu beobachten. Die Wand ist fein perforiert.

L = 0,23–0,35 mm

D = 0,14–0,24 mm

Verbreitung:

Sehr selten im Ottang

Lagena semistriata WILLIAMSON

Taf. 5, Fig. 6

*1848 *Lagena striata* var. *β*, *semistriata* WILL. – WILLIAMSON: 14, Taf. 1/9–10 (rezent, England) (fide ELLIS & MESSINA)

1855 *Ovulina tenuis* n. sp. – BORNEMANN: 317, Taf. 12/3 (Rupel, N-Deutschland)

1857 *Oolina punctata* nov. spec. – EGGER: 268, Taf. 5/1–2 (Eggenburg, Niederbayern)

Oolina striatula nov. spec. – EGGER: 269, Taf. 5/3–8

1939 *Lagena sulcata* (W. & J.) var. *semistriata* WILL. – MATHES: 56, Taf. 3/7–8 (Oligozän/Miozän, Deutschland/Österreich)

1964 *Lagena sulcata semistriata* (WILL.) – HAUSMANN: 343, Taf. 4/2 (Rupel, DDR),

Das fein perforierte Gehäuse ist im Umriß rund bis oval, die Basis ist bisweilen abgestumpft, der Querschnitt rund. Die Oberfläche ist nur im unteren Teil mit feinen, abgerundeten Längsrippen, 15–25 an der Zahl, verziert. Sie reichen von der Basis maximal bis zur Mitte des Gehäuses. Der Ektosipho ist lang und schlank oder schmal-konisch, mit runder Mündung. Die Basis trägt meist einen Stachelansatz.

L = 0,25–0,35 mm

D = 0,17–0,22 mm

Differentialdiagnose:

Sie unterscheidet sich von *L. striata* durch die auf die untere Gehäusehälfte beschränkte Skulptur und die wesentlich variabelere Gehäuseform.

Verbreitung:

Durchläufer, selten.

Lagena isabella (D'ORBIGNY)

Taf. 5, Fig. 7–8

*1839 *Oolina isabella* D'ORB. – D'ORBIGNY: 20, Taf. 5/7–8 (rezent, Südatlantik)

1862 *Lagena isabella* D'ORB. – REUSS: 330, Taf. 4/55–56 (Rupel, N-Deutschland)

1958 *Lagena isabella* (D'ORB.) – BATJES: 119, Taf. 3/11 (Oligozän, Belgien)

1962 *Lagena isabella* D'ORB. – KIESEL: 41, Taf. 6/11 (Oligozän, DDR)

Das im Umriß ovale, im Querschnitt runde, fein perforierte Gehäuse ist mit 8–11 kräftigen, stumpfen Längsrippen verziert. Der Ektosipho ist kurzkonisch, die Mündung rund. An der Basis zeigt sich stets ein Stachelansatz.

L = 0,2–0,28 mm

D = 0,14–0,18 mm

Differentialdiagnose:

Sie unterscheidet sich von *L. sulcata* durch die derberen Rippen und den kurzen Sipho.

Bemerkungen:

Oolina costata EGGER, für die REUSS (1862: 331) den neuen Namen *Lagena diversicostata* REUSS vergeben hatte, ist *Lagena isabella* sehr ähnlich, zeigt jedoch deutlich an der Basis durchlaufende Rippen. Bei *Lagena isabella* wurde dagegen immer ein Stachelansatz festgestellt. Da auch kein Topotypmaterial von dieser in Hausbach aufgestellten Art vorliegt, wurde die Synonymiefrage offengelassen. MATHES (1939: 59) behandelt *Lagena diversicostata* als mögliches Synonym von *Lagena elegantissima*, welche nach mehreren Autoren (u. a. KIESEL 1962: 41) selbst mit *Lagena isabella* identisch ist.

Verbreitung:

Selten im Eggenburg und Ottang.

Lagena hexagona (WILLIAMSON)

Taf. 5, Fig. 9

*1848 *Entosolenia squamosa* (MONTAGU) var. *γ*, *hexagona* WILL. – WILLIAMSON: 20, Taf. 2/23 (rezent, Britische Inseln) (fide ELLIS & MESSINA)

1862 *Lagena favosa* RESS. – REUSS: 334, Taf. 5/72–73 (rezent, Shetland-Inseln)

1939 *Lagena hexagona* (WILL.) – MATHES: 61, Taf. 4/23 (Oligozän/Miozän, Deutschland/Österreich)

1960 *Oolina hexagona* (WILL.) – BARKER: Taf. 58/32–33 (rezent, Pazifik)

1965 *Lagena hexagona* (WILL.) – GROSSHEIDE: 72, Taf. 8/1 (Chatt, N-Deutschland)

Es handelt sich dabei um sehr charakteristisch skulptierte, eiförmige Gehäuse. Die Oberfläche ist vollständig mit einer Bienenwabenskulptur überzogen. Die sechseckigen Felder werden von hohen, scharfen Graten begrenzt. Der Ektosipho ist sehr kurz und stumpf und trägt die runde Mündung. Die Wand ist fein perforiert.

L = 0,26–0,32 mm

D = 0,18–0,22 mm

Bemerkungen:

Es konnte eindeutig festgestellt werden, daß bei diesen Formen kein Internsipho vorhanden ist. Sie können also nicht – wie bei vielen Autoren zu lesen ist – zur Gattung *Oolina* gerechnet werden.

Verbreitung:

Selten im Eggenburg von Maierhof und Kemating und im Unteren Ottang von Höbmansbach/OÖ.

Lagena hispida REUSS

Taf. 5, Fig. 10

*1862 *Lagena hispida* REUSS – REUSS: 335, Taf. 6/77, 79 (Rupel, N-Deutschland)

1962 *Lagena hispida* REUSS – KIESEL: 41, Taf. 6/10 (Oligozän, DDR)

1960 *Lagena hispida* REUSS – BARKER: Taf. 57/1–4 (rezent, Atlantik/Pazifik)

1971 *Lagena aspera* REUSS – GHEORGHIAN: Taf. 2/4–5 (Ottang, Rumänien)

Es liegen kugelige bis eiförmige Lagenen mit dicht bepustelter Oberfläche vor. Der Ektosipho ist lang und schlank, die Mündung rund, die Wand fein perforiert. An der Basis ist ein Stachelansatz vorhanden.

L = 0,25–0,45 mm

D = 0,18–0,35 mm

Differentialdiagnose:

Sie unterscheiden sich von *Oolina aspera* (REUSS) durch den Ektosipho.

Verbreitung:

Sehr selten, Durchläufer.

Lagena laevis (MONTAGU)

Taf. 5, Fig. 12

1939 *Lagena laevis* (MONTAGU) – MATHES: 60, Taf. 3/18 (Oligozän/Miozän, Deutschland/Österreich)

1960 *Lagena laevis* (MONTAGU) – BARKER: Taf. 56/7–9 (rezent, Atlantik/Pazifik)

1962 *Lagena laevis* (MONTAGU) – KIESEL: 42, Taf. 6/14 (Oligozän, DDR)

Eine glattschalige, fein perforierte Lagena mit rundem, meist jedoch ovalem Umriß und rundem Querschnitt. Der Ektosipho ist schlank, selten mit Querwülsten verziert. Die Mündung ist rund. An der Basis ist in manchen Fällen ein Stachelansatz vorhanden.

L = 0,25–0,4 mm

D = 0,15–0,28 mm

Verbreitung:

Durchläufer, selten.

Lagena clavata (D'ORBIGNY)

Taf. 5, Fig. 11

*1846 *Oolina clavata* D'ORB. – D'ORBIGNY: 24, Taf. 1/2–3 (Mittelmiozän, Wiener Becken)

1862 *Lagena clavata* D'ORB. – REUSS: 320, Taf. 1/13–14 (Miozän, Österreich u. Belgien)

1969a *Lagena clavata* (D'ORB.) – ROGL: 74, Taf. 1/13 (Karpät, Niederösterreich)

1983 *Lagena clavata* D'ORB. – CÍCHA et al.: Taf. 10/6 (Miozän, Tschechoslowakei)

Spindelförmige Gehäuse mit lang-ovalem Umriß und rundem Querschnitt. Die Basis ist häufig zugespitzt, die Oberfläche glatt und fein perforiert. Der sehr lange und schlanke Ektosipho trägt eine runde Mündung.

L = 0,35–0,5 mm

D = 0,15–0,2 mm

Differentialdiagnose:

Sie ist von *Lagena laevis* nur durch die schlankere Gehäuseform unterschieden.

Verbreitung:

Durchläufer, selten.

Unterfamilie: Plectofrondiculariinae CUSHMAN 1927

Genus: *Plectofrondicularia* LIEBUS 1903

Plectofrondicularia digitalis (NEUGEBORN)

Taf. 5, Fig. 13–14

*1850 *Frondicularia digitalis* NEUGEB. – NEUGEBORN: 120, Taf. 3/3 (Miozän, Rumänien)

Frondicularia affinis NEUGEB. – NEUGEBORN: 121, Taf. 3/4

Frondicularia bielziana NEUGEB. – NEUGEBORN: 121, Taf. 3/5

Frondicularia rostrata NEUGEB. – NEUGEBORN: 122, Taf. 3/6

Frondicularia diversicostata NEUGEB. – NEUGEBORN: 122, Taf. 3/7–8

Frondicularia semicostata NEUGEB. – NEUGEBORN: 123, Taf. 3/9

1951 *Plectofrondicularia digitalis* (NEUGEBORN) – MARKS: 54, Taf. 7/4 (Mittelmiozän, Wiener Becken)

1952 *Plectofrondicularia poststriata* n. sp. – HAGN: 165, Taf. 2/8 (Eger/Eggenburg, Bayern)

1961 *Plectofrondicularia poststriata* HAGN – PAPP: 220, Abb. 6/30 (Eger, Niederösterreich)

1969a *Plectofrondicularia digitalis* (NEUGEBORN) – ROGL: 76, Taf. 2/11 (Karpät, Niederösterreich)

1975 *Plectofrondicularia digitalis* (NEUGEBORN) – POPESCU: 67, Abb. 20 (Miozän, Rumänien)

Ein langes, gerade-gestrecktes, schmales Gehäuse mit bisweilen leicht gekrümmtem Anfangsteil. Der Querschnitt ist abgeplattet, die Seitenflächen sind flach bis leicht concav, die Ränder gekielt. Die Kammeranordnung ist zunächst biserial, später uniserial. Zahlreiche (häufig über 15), im einzeiligen Teil reitenden Kammern nehmen sehr langsam an Größe zu. Die Suturen sind durchscheinend, nicht oder kaum eingesenkt und nicht sehr steil geneigt. Das Gehäuse ist auf den Seitenflächen mit je 4 (selten 5) scharfen, durchlaufenden Rippen verziert. Die Mündung liegt terminal, zentrisch, ist von ovaler Form, mit scharfem Randsaum. Die Wand ist fein perforiert.

l bis 1 mm (in Bruchstücken)

B ca. 0,25 mm

D = ca. 0,1 mm

Differentialdiagnose:

Diese Art unterscheidet sich von *Plectofrondicularia striata* (HANTKEN) durch die nicht gewölbten, sondern flach bis concaven Seitenflächen, die zur gekielten Peripherie hin steil abfallen.

Verbreitung:

Sie tritt im obersten Untereger (Thalbergsschichten) zum ersten Mal auf, markiert also fast die Oligozän-Miozän-Grenze, und reicht bis ins Otnang. Sie ist weit verbreitet, aber ziemlich selten, nur stellenweise häufig.

Plectofrondicularia vaughani CUSHMAN

Taf. 5, Fig. 15–17

- *1927 *Plectofrondicularia vaughani* n. sp. — CUSHMAN: 112, Taf. 23/3 (Obereozän, Mexiko)
- 1929b *Plectofrondicularia vaughani* CUSHMAN — CUSHMAN: 92, Taf. 13/21–22 (Neogen, Ecuador)
- 1930 *Plectofrondicularia vaughani* CUSHMAN — CUSHMAN & JARVIS: 361, Taf. 33/4 (Miozän, Jamaika)
- 1935 *Plectofrondicularia vaughani* CUSHMAN — CUSHMAN & HOBSON: 59, Taf. 9/1 (Tertiär, Kalifornien)
- 1945 *Plectofrondicularia jarvisi* n. sp. — CUSHMAN & TODD: 38, Taf. 6/4 (Miozän, Jamaika)
- 1952 *Frondicularia* cf. *vaughani* (CUSHMAN) — HAGN: 155, Taf. 3/17 (Eger/Eggenburg, Bayern)
- 1957 *Plectofrondicularia vaughani* CUSHMAN — SACAL & DEBOURIE: 15, Taf. 3/24 (Miozän, SW-Frankreich)
- 1958 *Plectofrondicularia vaughani* CUSHMAN — BECKER & DUSENBURY: 31, Taf. 3/13 (Aquitain, Kolumbien)
- 1960 *Plectofrondicularia jarvisi* C. & T. — PREMOLI SILVA: 572, Taf. 56/5 (Langhe, N-Italien)
- 1967 *Plectofrondicularia vaughani* CUSHMAN — DALLAN NARDI: 95, Taf. 38/3–6 (Miozän, Italien)

Ein breites, stark abgeflachtes, blattartig-dünnes Gehäuse, mit kurzem, biserialen Anfangsteil und großem, uniserialen Endteil mit reitenden Kammern. Die Seitenränder divergieren vom Proloculus ausgehend stets sehr deutlich. Dies variiert allerdings in Abhängigkeit vom Wachstumsstadium. Der Basiswinkel schwankt zwischen 40° bei jugendlichen und 110° bei ausgewachsenen Formen, was durch die steil nach unten ziehenden und an der Basis noch deutlich in Richtung Proloculus umbiegenden Kammern zustande kommt. Die Peripherie ist gekielt mit schmalem Kielsaum. Die Suturen sind deutlich durchscheinend, sehr steil, nicht oder nur ganz schwach eingesenkt. Die Kammern sind zahlreich, sehr niedrig und nehmen rasch an Breite zu. Das Gehäuse ist oft ganz glatt, es sind aber ebenso häufig Exemplare zu beobachten, bei denen am Anfangsteil kurze, feine Rippchen, 2–4 auf jeder Seite, auftreten. Die Mündung ist terminal, zentrisch, oval, mit scharfem Randsaum, strahlig. Die Wand ist fein perforiert.

L = bis 0,8 mm (in Bruchstücken)

B = 0,2–0,6 mm

D = ca. 0,05 mm

Differentialdiagnose:

Sie unterscheidet sich von *Plectofrondicularia raricosta* (KARRER) durch die breite Gehäuseform mit deutlich bis stark

divergierenden Seitenrändern, bedingt durch stärker umgreifende Kammern.

Bemerkungen:

Es ist nicht völlig auszuschließen, daß die vorliegenden Formen noch in den Variabilitätsbereich von *Pl. inaequalis* (COSTA) fallen. GIANNINI & TAVANI (1960: Taf. 7/14–16) sprechen der Gehäuseform einen ähnlich großen Gestaltungsspielraum zu, wie er im bayerischen Material zu beobachten ist. SILVESTRI beschrieb als *Frondicularia inaequalis* var. *costata* eine Form mit feinen Rippen im Anfangsteil, die ebenfalls in die Variationsreihe der hiesigen Formen fällt. Diese bildet er allerdings mit breiten Suturen und gezacktem Rand ab. Im allgemeinen erscheinen die Nähte von *Pl. inaequalis* stärker eingesenkt, der Anfangsteil wird häufig stark zugespitzt dargestellt (vgl. AGIP S. p. A. 1982: Taf. 24/2).

Die von FRIESE (1951: 27, Taf. 11/23–24) beschriebene *Frondicularia scheffeni* FRIESE ist den vorliegenden Formen sehr ähnlich. Abbildung und Beschreibung lassen jedoch keine sichere Identifizierung zu.

Von den amerikanischen Vertretern von *Pl. vaughani* weichen die vorliegenden Exemplare durch das sporadische Auftreten einer feinen Berippung im Anfangsteil ab.

Verbreitung:

Nicht selten im Eggenburg von Lußgraben und Traunprofil. Sehr selten im Unteren Otnang der Prien und im Mittleren Otnang des Kaltenbachgrabens.

Genus: *Amphimorphina* NEUGEBORN 1850

Amphimorphina haueriana NEUGEBORN

- *1850 *Amphimorphina haueriana* NEUGEB. — NEUGEBORN: 127, Taf. 4/13–14 (Miozän, Rumänien)

Verbreitung:

Durchläufer, meist selten. Etwas häufiger nur in den Neuhofener Mergeln.

Genus: *Bolivinella* CUSHMAN 1927

Bolivinella virgata CUSHMAN

- *1929a *Bolivinella virgata* n. sp. — CUSHMAN: 33, Taf. 5/9 (Untermiozän, SW-Frankreich)

Verbreitung:

1 Exemplar aus dem Eggenburg des Surprofils.

Familie: Polymorphinidae D'ORBIGNY 1839

Genus: *Globulina* D'ORBIGNY 1839

Globulina gibba (D'ORBIGNY)

Taf. 5, Fig. 18–19

- *1826 *Polymorphina (Globulina) gibba* D'ORB. — D'ORBIGNY: 266, Modell Nr. 63 (rezent, Atlantik und Adria)
- 1846 *Globulina aequalis* D'ORB. — D'ORBIGNY: 227, Taf. 13/11–12 (Mittelmiozän, Wiener Becken)
- Globulina gibba* D'ORB. — D'ORBIGNY: 227, Taf. 13/13–14
- Globulina tubulosa* D'ORB. — D'ORBIGNY: 228, Taf. 13/15–16

- 1857 *Polymorphina (Globulina) gibba* D'ORB. vera — EGGER: 288, Taf. 13/1–4 (Eggenburg, Niederbayern)
Polymorphina (Globulina) gibba var. *ovoidea* — EGGER: 289, Taf. 13 5 7
Polymorphina (Globulina) gibba var. *subgibba* — EGGER: 289, Taf. 13/8–10
Polymorphina (Globulina) gibba var. *pirula* — EGGER: 290, Taf. 13 11 12
 1930 *Globulina gibba* D'ORB. — CUSHMAN & OZAWA: 60, Taf. 16/1–4 (Miozän, Frankreich und Österreich)

Kugelige, im Umriss rundliche bis ovale, im Querschnitt runde, selten leicht zusammengedrückte Formen, deren Kammern im Winkel von 144° zueinander angeordnet sind. Nur 3–4 stark überlappende, rasch an Größe zunehmende, nur in den seltensten Fällen schwach geblähte Kammern sind von außen sichtbar. Die Suturen verlaufen schräg und sind nur als dünne Linien angedeutet, nicht oder nur unwesentlich eingesenkt. Die Gehäusewand ist glatt und fein perforiert, die Mündung strahlig, terminal. Vereinzelt sind auch fistulöse Bildungen zu finden.

L = 0,28–0,5 mm
 D = 0,25–0,45 mm

Bemerkungen:

Bisweilen sind auch leicht abgeflachte Exemplare zu beobachten, die der Form von *Globulina aequalis* D'ORB. entsprechen (vgl. PAPP & SCHMID 1985: 79, Taf. 71/5–8)

Verbreitung:

Durchläufer, nicht selten.

Ökologie:

Polymorphiniden sind Vertreter des gut durchlüfteten Seichtwassers. Sie sind in den Ortenburger Meeressanden besonders häufig und gut entwickelt, während sie in der ähnlich flachen Blättermergelfazies völlig fehlen.

Globulina granulosa (EGGER)

Taf. 5, Fig. 21–22

- *1857 *Polymorphina (Globulina) granulosa* nov. spec. — EGGER: 290, Taf. 14/1–2 (Eggenburg, Niederbayern)
 1930 *Globulina granulosa* EGGER — CUSHMAN & OZAWA: 81, Taf. 20/5, 7 (Untermiozän, SW-Frankreich)
 1955 *Globulina granulosa* (EGGER) — KAASSCHIETER: 67, Taf. 5/8 (Untermiozän, SW-Frankreich)
 1965 *Globulina granulosa* (EGGER) — GROSSHEIDE: 84, Taf. 10/8 (Chatt, N-Deutschland)

Neotypus: Slg. München, Prot. 5484

Locus typicus: Blindham (Material aus Hausbach lag nicht vor)

Stratum typicum: Eggenburg

Diese länglichen, im Umriss ovalen, im Querschnitt runden Schalen sind etwa eineinhalb bis zweimal so lang wie breit. Die Kammern sind im Winkel von 144° angeordnet und stark überlappend. Es sind 4–5 nichtgeblähte Kammern sichtbar, die rasch an Größe zunehmen. Ihre schrägen Nähte sind sehr dünn und nicht eingesenkt. Die fein perforierte Schalenoberfläche trägt eine feine Längsstreifung. Die Mündung ist terminal, strahlig.

L = 0,3–0,57 mm
 D = 0,23–0,4 mm

Differentialdiagnose:

Sie unterscheidet sich von *Globulina gibba* durch die feine Längsstreifung und das länglichere Gehäuse, von *Globulina striata* ebenfalls durch Skulptur und Gehäuseform.

Globulina punctata D'ORB. zeichnet sich durch eine unregelmäßigere Bepustelung aus, das Gehäuse ist kugelig.

Globulina rugosa D'ORB. weist ebenfalls eine Längsrifung auf, das Gehäuse ist aber nicht axial verlängert. Die Art wurde von PAPP & SCHMID (1985: 80) in die Synonymie von *Globulina gibba* gestellt (vgl. auch CUSHMAN & OZAWA 1930: 70).

Bemerkungen:

Die Abtrennung als eigenständige Art von *Globulina striata* kann als nicht ganz gesichert betrachtet werden, da bei der Längsornamentierung fließende Übergänge bestehen. Außerdem können auch bei *Gl. striata* längliche Gehäuse auftreten.

Verbreitung:

Selten im Eggenburg und Ottang von Niederbayern.

Globulina striata (EGGER)

Taf. 5, Fig. 23–24

- *1857 *Polymorphina (Globulina) striata* nov. spec. — EGGER: 291, Taf. 14/3–4 (Eggenburg, Niederbayern)
Polymorphina (Globulina) costata nov. spec. — EGGER: 291, Taf. 14/5–6
 1930 *Globulina gibba* D'ORB. var. *striata* EGGER — CUSHMAN & OZAWA: 65, Taf. 16/5–7 (Miozän, Niederbayern und Ungarn)
 1957 *Globulina granulosa* (EGGER) — TOLLMANN: 182, Taf. 1/5 (Eggenburg, Niederösterreich)
Globulina striata (EGGER) — TOLLMANN: 182, Taf. 1/6
 1971 *Globulina gibba striata* (EGGER) — GHEORGHIAN: Taf. 2/20 (Ottang, Rumänien)

Neotypus: Slg. München, Prot. 5497

Locus typicus: Maierhof

Stratum typicum: Eggenburg

Es handelt sich bei dieser Art um kugelige bis leicht längliche Gehäuse mit rundlichem bis ovalem Umriss und rundem Querschnitt. Die Kammern sind im Winkel von 144° angeordnet, stark überlappend. 3–4 nichtgeblähte Kammern sind von außen sichtbar, sie nehmen rasch an Größe zu. Die Suturen sind stark geneigt, nur als dünne Linien wahrnehmbar und nicht eingesenkt. Das Charakteristikum stellt die Gehäusewand dar, die mit deutlichen Längsrippen verziert ist. Die Rippen ziehen nur selten ganz durch, sondern sind meist in Höckerreihen oder kurze Grate aufgelöst und können sich verzweigen. Die Kräftigkeit der Rippen variiert ebenfalls sehr stark. Die Mündung ist terminal, strahlig, die Schale fein perforiert.

L = 0,25–0,5 mm
 D = 0,22–0,4 mm

Differentialdiagnose:

Die Art unterscheidet sich von *Globulina gibba myristiformis* (WILLIAMSON) durch die unterbrochenen Rippen.

Bemerkungen:

Die Art variiert sehr stark, was die Rippenstärke und die Auflösung der Rippen in Höckerreihen anbelangt. Durch die Zerstückelung der Längsrippen in kurze Grate und Höcker können Formen entstehen, die sich den bei EGGER als *Globulina tuberculata* D'ORB. und *Gl. spinosa* D'ORB. beschriebenen Typen nähern.

Es lassen sich auch Exemplare finden mit sehr feiner Längsberippung, die der *Gl. gibba fissicostata* CUSHMAN & OZAWA ähneln. Eine klare Abtrennung ist jedoch aufgrund der graduellen Übergänge unmöglich.

Verbreitung:

Häufig im Eggenburg von Niederbayern, des Lußgrabens und des Röthelbaches. Selten im Unteren Ottang der Sur und Niederbayerns.

Globulina spinosa D'ORBIGNY

Taf. 5, Fig. 20

- *1846 *Globulina spinosa* D'ORB. — D'ORBIGNY: 230, Taf. 13/23–24 (Mittelmiozän, Wiener Becken)
 1857 *Polymorphina (Globulina) tuberculata* D'ORB. — EGGER: 292, Taf. 14/7–8 (Eggenburg, Niederbayern)
Polymorphina (Globulina) spinosa D'ORB. — EGGER: 292, Taf. 14/9–10
 1985 *Globulina spinosa* D'ORB. — PAPP & SCHMID: 81, Taf. 73/5–8 (Mittelmiozän, Wiener Becken)

Das in etwa kugelige Gehäuse ist im Umriß rundlich bis leicht oval, im Querschnitt rund. Die 3–4 nichtgeblähten Kammern sind im Winkel von 144° angeordnet und stark überlappend. Sie nehmen rasch an Größe zu. Die Nähte sind stark geneigt und nicht eingesenkt, die Gehäusewand ist fein perforiert und unregelmäßig mit stumpfen, kurzen Stacheln übersät. Die Mündung ist terminal, strahlig.

L = ca. 0,35 mm

D = ca. 0,3 mm

Verbreitung:

Sehr selten im Eggenburg von Maierhof und Kemating.

Globulina rotundata (BORNEMANN)

Taf. 6, Fig. 1–2

- *1855 *Guttulina rotundata* n. sp. — BORNEMANN: 346, Taf. 18/3 (Rupel, N-Deutschland)
Guttulina globosa n. sp. — BORNEMANN: 346, Taf. 18/1
Guttulina obtusa n. sp. — BORNEMANN: 346, Taf. 18/2
 1930 *Globulina rotundata* (BORNEMANN) — CUSHMAN & OZAWA: 86, Taf. 21/3–4 (Oligozän, N-Deutschland)
 1962 *Globulina rotundata* (BORNEMANN) — KIESEL: 50, Taf. 7/18 (Oligozän, DDR)
 1964 *Globulina* cf. *rotundata* (BORNEMANN) — HAUSMANN: 361, Taf. 6/2 (Rupel, DDR)

Das Gehäuse ist im Umriß oval, im Querschnitt rund. Die 5–6 kaum geblähten Kammern sind im Winkel von 144° angeordnet, stark aber nicht vollständig umgreifend und nehmen ziemlich rasch an Größe zu. Die Suturen verlaufen schräg, sind dünn und nicht oder nur leicht eingesenkt. Die Gehäusewand ist glatt und fein perforiert, die Mündung terminal und strahlig.

L = 0,4–0,7 mm

D = 0,27–0,5 mm

Differentialdiagnose:

Sie unterscheidet sich von *Globulina gibba* durch den stets ovalen Umriß, die höhere Kammerzahl und die weniger stark umgreifenden Kammern.

Bemerkungen:

CUSHMAN & OZAWA (1930: 87) sprechen der Art eine große Variabilität zu. In der Tat ist dies auch im Material von Blindham zu beobachten, auch wenn sie nicht so weit reicht wie aus der Synonymieliste der erwähnten Autoren hervorgeht.

Verbreitung:

Selten im Eggenburg von Blindham; 1 Exemplar aus dem Unteren Ottang von Oberschwärzenbach.

Globulina muensteri (REUSS)

Taf. 6, Fig. 3–4

- *1856 *Polymorphina münsteri* n. sp. — REUSS: 249, Taf. 8/80 (Chatt, N-Deutschland)
Polymorphina ovulum n. sp. — REUSS: 250, Taf. 8/83 (Chatt, N-Deutschland)
 1930 *Globulina münsteri* (REUSS) — CUSHMAN & OZAWA: 85, Taf. 22/3 (Chatt, N-Deutschland)
 1965 *Globulina münsteri* (REUSS) — GROSSHEIDE: 86, Taf. 10/10 (Chatt, N-Deutschland)

Diese Gehäuse sind schlank, langgestreckt und oben und unten zugespitzt. Der Querschnitt ist rund oder leicht abgeflacht. Die Schale setzt sich aus 4–5 Kammern zusammen. Sie sind typisch länglich, nicht gebläht, im Winkel von 144° angeordnet, überlappen weniger stark als bei *Globulina gibba* und nehmen rasch an Größe zu. Die Suturen sind sehr steil, nicht oder kaum eingesenkt und sehr dünn. Die Schalenoberfläche ist glatt und fein perforiert, die Mündung terminal und strahlig.

L = 0,27–1,0 mm

B = 0,15–0,5 mm

D = 0,13–0,35 mm

Verbreitung:

Sehr selten im Oberen Eger und Eggenburg des Traunprofils, im Eggenburg von Blindham und im Unteren Ottang von Untersimbach.

Genus: *Guttulina* D'ORBIGNY 1839*Guttulina problema* (D'ORBIGNY)

Taf. 6, Fig. 5–6

- *1826 *Polymorphina (Guttulina) problema* D'ORB. — D'ORBIGNY: 266, Modell Nr. 61 (Pliozän, Castell-Arquato)
Polymorphina (Guttulina) communis D'ORB. — D'ORBIGNY: 266, Taf. 12/1–4, Modell Nr. 62 (rezent, Adria)
 1846 *Guttulina problema* D'ORB. — D'ORBIGNY: 224, Taf. 12/26–28 (Mittelmiozän, Wiener Becken)
Guttulina communis D'ORB. — D'ORBIGNY: 224, Taf. 13/6–8
Guttulina irregularis D'ORB. — D'ORBIGNY: 226, Taf. 13/9–10
 1857 *Polymorphina (Guttulina) problema* D'ORB. — EGGER: 287, Taf. 10/23–25 (Eggenburg, Niederbayern)
Polymorphina (Guttulina) lata n. sp. — EGGER: 288, Taf. 13/22–24
Polymorphina (Guttulina) communis D'ORB. — EGGER: 288, Taf. 13/16–18

1930 *Guttulina problema* D'ORB. — CUSHMAN & OZAWA: 19, Taf. 2/1–6; 3/1 (Kreide/Tertiär, Europa)
Guttulina irregularis (D'ORB.) — CUSHMAN & OZAWA: 25, Taf. 3/4–5; 7/1–2 (Miozän, Österreich; Oligozän, N-Deutschland)

Gehäuse mit ovalem Umriss und abgerundet-dreieckigem Querschnitt. Es setzt sich aus 4–6 länglichen, markant geblähten Kammern zusammen, die im Winkel von 144° angeordnet sind, sich stark, aber nicht vollständig umgreifen und rasch an Größe zunehmen. Die Anfangskammern sind in typischer Weise gegenüber dem älteren Gehäuseteil hervorgewölbt. Die Suturen sind steil, schmal und vertieft, die Gehäusewand ist glatt und fein perforiert, die Mündung terminal und strahlig.

L = 0,27–0,7 mm

B = 0,23–0,5 mm

Bemerkungen:

CUSHMAN & OZAWA (1930: 20) fassen *G. problema* und *communis* unter dem Artnamen *problema* zusammen. Die Formen aus dem Wiener Becken trennen sie als *G. irregularis* (D'ORB.) ab (l. c. 25). PAPP & SCHMID (1985: 78) dagegen identifizieren dieses Material mit *G. communis*, in deren Synonymie *G. problema* jedoch nicht zu finden ist.

Verbreitung:

Durchläufer, selten, häufiger nur im Eggenburg.

Guttulina praelonga (EGGER)

Taf. 6, Fig. 7–8

*1857 *Polymorphina praelonga* nov. spec. — EGGER: 287, Taf. 13/25–27 (Eggenburg, Niederbayern)

Polymorphina (Globulina) angusta nov. spec. — EGGER: 290, Taf. 13/13–15

1930 *Guttulina praelonga* (EGGER) — CUSHMAN & OZAWA: 37, Taf. 6/8 (Chatt, N-Deutschland)

1965 *Guttulina praelonga* (EGGER) — GROSSHEIDE: 77, Taf. 9/8 (Chatt, N-Deutschland)

1974 *Guttulina* cf. *praelonga* (EGGER) — DOEBL & SONNE: 22, Taf. 4/26 (Rupel, Mainzer Becken)

Neotypus: Slg. München, Prot. 5484

Locus typicus: Blindham (Material aus Hausbach lag nicht vor)

Stratum typicum: Eggenburg

Ein langgestrecktes, schlankes Gehäuse mit leicht abgeflachtem, ovalem Querschnitt. Die 4–6 Kammern sind im Winkel von 144° angeordnet und umgreifen sich fast vollständig. Sie sind langgestreckt, leicht gebläht und nehmen rasch an Größe zu. Der Anfangsteil ist nur wenig hervorgewölbt. Die Suturen sind sehr steil, dünn und wenig eingesenkt, die Gehäusewand ist glatt und fein perforiert, die Mündung terminal, strahlig.

L = 0,3–0,7 mm

B = 0,15–0,35 mm

Verbreitung:

Sehr selten im Oberen Eger, Eggenburg und Mittelottnang von Niederbayern, im Eggenburg des Röthelbaches und im Oberen Eger des Pechschnaitgrabens.

Guttulina uvula (EGGER)

Taf. 6, Fig. 9

*1857 *Polymorphina uvula* nov. spec. — EGGER: 285, Taf. 10/26–29 (Eggenburg, Niederbayern)

1983 *Guttulina oblonga* D'ORB. — CÍCHA et al.: Taf. 11/7 (Miozän, Tschechoslowakei)

Neotypus: Slg. München, Prot. 5484

Locus typicus: Blindham (in der Nähe der EGGER-Lokalität Buchleiten)

Stratum typicum: Eggenburg

Die Schalen dieser Art sind länglich und schlank, mit abgerundet-dreieckigem Querschnitt. Die Kammern sind im Winkel von 144° angeordnet und stark, jedoch aufgrund der deutlichen Gehäusestreckung nicht vollständig umgreifend. Der Anfangsteil tritt sehr markant hervor. Die 6–8 länglichen Kammern sind stark gebläht und nehmen rasch an Größe zu. Die Suturen verlaufen steil und sind stark eingesenkt. Die Gehäusewand ist glatt, fein perforiert, die Mündung terminal, strahlig.

L = 0,33–0,7 mm

B = 0,2–0,4 mm

Differentialdiagnose:

Diese Art unterscheidet sich von *Guttulina problema* durch die stärker ausgezogene Windungsspirale, die tieferen Suturen und die weniger umgreifenden Endkammern.

Guttulina austriaca (D'ORB.) besitzt einen spitz zulaufenden Endteil und schwächer eingesenkte Suturen. Der Anfangsteil ist nicht so deutlich hervorgewölbt.

CUSHMAN & OZAWA (1930: 41) nehmen die Art in die Synonymie von *Guttulina roemeri* (REUSS). Diese Art aus den Kasseler Meeressanden besitzt jedoch nach der Originalbeschreibung bei REUSS (1856: 245, Taf. 6/63) kaum eingesenkte Nähte und einen runden Querschnitt. Die Abbildung bei CUSHMAN & OZAWA (1930: Taf. 9/3) weist ebenfalls schwächer vertiefte Suturen auf. Außerdem ist der ältere Gehäuseteil wesentlich weniger hervorgewölbt und die Windungsspirale gedrungener als bei *Guttulina uvula*. Auch GROSSHEIDE (1965: 81) erwähnt die wenig geblähten Kammern von *Guttulina roemeri*.

Verbreitung:

Sehr selten im Eggenburg von Blindham und im Unteren Ottnang beim Anderl.

Genus: *Pseudopolymorphina* CUSHMAN & OZAWA 1928

Pseudopolymorphina incerta (EGGER)

Taf. 6, Fig. 10–11

*1857 *Polymorphina incerta* nov. spec. — EGGER: 286, Taf. 13/19–21 (Eggenburg, Niederbayern)

Polymorphina subdilata nov. spec. — EGGER: 286, Taf. 13/30–33

1930 *Pseudopolymorphina incerta* (EGGER) — CUSHMAN & OZAWA: 110, Taf. 29/3–5 (Burdigal, SW-Frankreich)

1955 *Pseudopolymorphina incerta* (EGGER) — KAASSCHIETER: 70, Taf. 5/9 (Untermiozän, SW-Frankreich)

1962 *Pseudopolymorphina incerta* (EGGER) — INDANS: 52, Taf. 6/33 (Miozän, NW-Deutschland)

1970 *Pseudopolymorphina incerta* (EGGER) — LE CALVEZ: 95, Taf. 19/6 (Paläogen, Pariser Becken)

1980 *Pseudopolymorphina incerta* (EGGER) — DE MEUTER: 113, Taf. 4/8 (Miozän, Belgien)

Neotypus: Slg. München, Prot. 5489

Locus typicus: Kemating (Material aus Hausbach lag nicht vor)

Stratum typicum: Eggenburg

Es liegen deutlich abgeflachte, typisch scheibenförmige Gehäuse mit rundlichem bis ovalem Umriß und schmal-ovalem Querschnitt vor. Die 4–6 Kammern sind zunächst im Winkel von 144°, später biserial angeordnet und umgreifen sich stark. Der Anfangsteil ist nicht hervorgewölbt. Die Form der Kammern ist annähernd oval, sie sind leicht gebläht und nehmen rasch an Größe zu. Die Suturen sind steil, schmal und leicht eingesenkt. Die Gehäusewand ist glatt und fein perforiert, die Mündung terminal, strahlig.

Ø = 0,35–1,0 mm

D = 0,17–0,5 mm

Verbreitung:

Selten im Eggenburg von Niederbayern und des Traunprofls. 1 Exemplar aus den Bryozoenkalken des Mittelottnang von Dommelstadt.

Pseudopolymorphina media (EGGER)

Taf. 6, Fig. 12–14

*1857 *Pseudopolymorphina media* nov. spec. — EGGER: 287, Taf. 13/28–29 (Eggenburg, Niederbayern)

1971 *Pseudopolymorphina incerta* (EGGER) — IVA: 58, Taf. 2/1–3, 7–9 (Eggenburg, Rumänien)

Neotypus: Slg. München, Prot. 5497

Locus typicus: Maierhof (Material aus Hausbach lag nicht vor)

Stratum typicum: Eggenburg

Diese Gehäuse sind im Umriß oval, im Querschnitt rund oder oval und, im Gegensatz zur vorangegangenen Art, kaum abgeflacht. Die Kammern sind zunächst quinqueloculin oder fast triserial angeordnet, später biserial und wenig umgreifend. In seltenen Fällen zeigt die Endkammer eine Tendenz zur einzeiligen Kammeranordnung. Der Anfangsteil ist nicht hervorgewölbt. 6–8 annähernd ovale, leicht bis deutlich geblähte Kammern nehmen rasch an Größe zu. Die Suturen sind schräg, schmal und leicht eingesenkt. Das glatte, fein perforierte Gehäuse endet in einer terminalen, strahligen Mündung.

L = 0,6–1,0 mm

D = 0,5–0,7 mm

Differentialdiagnose:

Diese Formen unterscheiden sich von *Pseudopolymorphina incerta* durch den nicht abgeflachten Querschnitt, die weniger umgreifenden Kammern und die Tendenz zur Einzeiligkeit.

Pseudopolymorphina zeuschneri (REUSS) besitzt ebenfalls wenig umgreifende Kammern, ist jedoch im Querschnitt deutlich abgeflacht.

Bemerkungen:

Die Formen mit einzeiligem Endteil zeigen äußerlich große Ähnlichkeit mit *Glandulina dimorpha* (BORNEMANN), weisen aber eindeutig einen quinqueloculinen Anfangsteil auf.

CUSHMAN & OZAWA (1930: 110) nahmen *P. media* in die Synonymie von *P. incerta*, führten jedoch selbst Vorbehalte dagegen an.

Verbreitung:

Sehr selten im Eggenburg von Blindham, Maierhof und der Traun.

Genus: *Pyurulina* D'ORBIGNY 1839

Pyurulina fusiformis (ROEMER)

*1838 *Polymorphina fusiformis* nob. — ROEMER: 386, Taf. 3/37 (Oligozän, N-Deutschland)

Bemerkungen:

Im Oberen Eger (Teufelsgraben und Bohrung Isen 1) sind, zusammen mit typischen *Pyurulina fusiformis*, Formen zu finden, die mit ihren steilen Suturen schon stark an *Pyurulina cylindroides* (ROEMER) erinnern. Eine klare Abtrennung war jedoch nicht möglich. Bei typischen *P. cylindroides* sollte der Suturenwinkel (zur Horizontalen) 50° noch übersteigen.

Verbreitung:

Durchläufer, selten.

Genus: *Glandulina* D'ORBIGNY 1839

Glandulina ovula D'ORBIGNY

Taf. 6, Fig. 15–16

*1846 *Glandulina ovula* D'ORBIGNY — D'ORBIGNY: 29, Taf. 1/6–7 (Mittelmiozän, Wiener Becken)

1857 *Glandulina candela* nov. spec. — EGGER: 304, Taf. 15/28–29 (Eggenburg, Niederbayern)

? *Glandulina inaequalis* nov. spec. — EGGER: 305, Taf. 15/26–27

Glandulina punctata nov. spec. — EGGER: 305, Taf. 15/32–33

1863a *Glandulina elliptica* m. — REUSS: 47, Taf. 3/29–31 (Rupel, N-Deutschland)

1958 *Glandulina aequalis* REUSS — BATJES: 123, Taf. 4/5–6 (Oligozän, Belgien)

1985 *Glandulina ovula* D'ORB. — PAPP & SCHMID: 21, Taf. 2/1–9 (Mittelmiozän, Wiener Becken)

Die Gehäuse dieser Art sind walzenförmig oder nach oben zu erweitert, der Querschnitt ist rund, Basis und Apex abgerundet. Die Kammern sind unregelmäßig einzeilig angeordnet. Ein deutlich biserialer Anfangsteil konnte nicht festgestellt werden, doch weist eine gut erkennbare Schrägstellung der 1. Suture auf eine ursprünglich zweizeilige Kammeranordnung hin. 2–5 kaum geblähte, stark umgreifende Kammern nehmen mehr oder weniger rasch an Größe zu. Sie sind zunächst niedrig, später etwa so hoch wie breit. Die Suturen sind dünn, am Anfang schräg, später horizontal, nicht oder kaum eingesenkt. Die glatte, fein perforierte Schale endet in einer terminalen, strahligen Mündung. Ein Internsiphon ist nicht vorhanden.

L = 0,3–0,65 mm

D = 0,2–0,28 mm

Differentialdiagnose:

Glandulina aequalis REUSS besitzt stärker eingeschnürte Suturen.

Bemerkungen:

PAPP & SCHMID (1985: 21) stellten fest, daß sich die *Glandulina* des Wiener Beckens durch den kaum erkennbaren, biserialen Anfangsteil von der rezent beschriebenen *Glandulina laevigata* (D'ORB.) unterscheiden.

Bei *Glandulina punctata* EGGER handelt es sich um ein juveniles Gehäuse von *Gl. ovula*.

Glandulina candela EGGER ist in der Gehäusemitte leicht eingeschnürt. Die Einschnürungen sind unabhängig von den Suturen, ebenso wie bei *Glandulina inaequalis* EGGER. EGGER (1857: 305) beschreibt deren Rand als „... unregelmässig buktelig...“. Bei beiden Formen sind nach den Zeichnungen die Kammern etwas höher als normal, bzw. weniger umgreifend. Es handelt sich jedoch um keine Merkmale von spezifischem Wert. Solche Varianten ähneln sehr den von CUSHMAN & OZAWA (1930: Taf. 40/3–4) als *Glandulina dimorpha* (BORNE-MANN) aus Kassel und dem Wiener Becken beschriebenen Exemplaren.

Verbreitung:

Selten im Eggenburg von Maierhof und des Röthelbaches und im Unteren Ottnang von Niederbayern.

Familie: Buliminidae JONES 1875

Genus: *Buliminella* CUSHMAN 1911

Buliminella pulchra (TERQUEM)

Taf. 6, Fig. 17–18

- *1882 *Bulimina pulchra* TERQUEM — TERQUEM: 114, Taf. 20/8–12 (Eozän, Pariser Becken)
- Bulimina intorta* TERQUEM — TERQUEM: 115, Taf. 20/16
- 1937c *Buliminella pulchra* (TERQUEM) — CUSHMAN & PARKER: 69, Taf. 10/1–2 (Eozän, Pariser Becken)
- 1947 *Buliminella pulchra* (TERQUEM) — CUSHMAN & PARKER: 61, Taf. 16/5–6 (Eozän, Frankreich)
- Buliminella intorta* (TERQUEM) — CUSHMAN & PARKER: 60, Taf. 15/17
- 1950 *Buliminella pulchra* (TERQUEM) — LE CALVEZ: 33, Taf. 2/21–22 (Lutet, Pariser Becken)

Das turmschneckenartig hoch gewundene Gehäuse, bestehend aus ca. 4 Umgängen, besitzt zunächst 5, später 4 Kammern pro Umgang. Es ist länglich und schlank, mit rundem Querschnitt und zugespitztem Anfangsteil. Der letzte Umgang nimmt ca. $\frac{2}{3}$ des Gehäuses ein. Die Kammern erscheinen von außen in den ersten drei Windungen etwa so hoch wie breit, in der letzten mindestens doppelt so hoch wie breit und gebläht. Die Suturen sind deutlich eingesenkt, durchscheinend, die Seiten divergierend und ziemlich gelappt. Die Wand ist glatt, glänzend und fein perforiert. Die Mündung besteht aus einer sehr breiten Mündungsschleufe, die fast die gesamte Stirnfläche der Endkammer einnimmt und an der Basis etwas verengt ist. Der Rand ist eingefaltet.

L = 0,26–0,33 mm

B = 0,13–0,15 mm

Differentialdiagnose:

Sie unterscheidet sich von *Turrilina andreae* CUSHMAN (= *Bulimina acicula* ANDREAE) durch den, einen größeren Teil des Gehäuses einnehmenden letzten Umgang und die Mündungsform,

von *Buliminella elegantissima* (D'ORB.) durch die geringere Kammerzahl pro Windung und die weniger hohen Kammern,

von *Buliminella elegans* (D'ORB.) durch die höheren, weniger kugeligen und geblähten Kammern,

von *Buliminella irregularis* (TERQUEM) durch die sprunghafte Zunahme der Kammerhöhe in der Endwindung.

Bei *Buliminella turbinata* (TERQUEM) nimmt der letzte Umgang einen größeren Teil des Gehäuses ein und besitzt etwas mehr Kammern.

Verbreitung:

Selten im obersten Eger der Bohrung Ortenburg 1002, im Eggenburg der Traun und im Graben bei Braunsreut nahe Teisendorf.

Buliminella elegantissima (D'ORBIGNY)

- *1839 *Bulimina elegantissima* D'ORB. — D'ORBIGNY: 51, Taf. 7/13–14 (rezent, Südamerika)

Verbreitung:

Je 1 Exemplar aus dem Oberen Eger des Burgstallgrabens und dem Eggenburg des Röthelbaches.

Genus: *Bulimina* D'ORBIGNY 1826

Bulimina elongata D'ORBIGNY

Taf. 6, Fig. 19–20

- *1846 *Bulimina elongata* D'ORB. — D'ORBIGNY: 187, Taf. 11/19–20 (Mittelmiozän, Wiener Becken)
- 1857 *Bulimina inconstans* nov. spec. — EGGER: 283 (partim), Taf. 12/8–9 (Eggenburg, Niederbayern)
- 1947 *Bulimina elongata* D'ORB. — CUSHMAN & PARKER: 108, Taf. 25/14–17 (Miozän, Österreich)
- 1951 *Bulimina elongata* D'ORB. — MARKS: 57, Taf. 7/12 (Mittelmiozän, Wiener Becken)

Der Hauptteil dieser Schale ist triserial, es deutet sich jedoch ein trochospiraler Anfangsteil an, der nur einen Umgang mit 3–4, meist $3\frac{1}{2}$ Kammern umfaßt (beim Topotypmaterial von *Bulimina inconstans* EGGER meist $3\frac{1}{2}$, selten bis 4). Insgesamt besteht das Gehäuse aus 3–5 Umgängen, ist von hochgewundener, schlanker Form, wobei festzustellen ist, daß die Schalen mit zunehmender Windungszahl immer schlanker werden (vgl. Abb. 24). Der Querschnitt ist rund, der Anfangsteil zugespitzt. Die Kammern sind so breit wie hoch oder höher als breit, stark gebläht, auch im trochospiralen Gehäusesteil, und in einer hohen, lockeren Spirale angeordnet. Die Nähte sind stark eingeschnitten, die Gehäusewand ist glatt und fein perforiert. Die Mündung wird von einer hohen, ziemlich breiten Mündungsschleufe gebildet, die an der Basis ansetzt, senkrecht zur Kammergrenze auf der

Stirnfläche der Endkammer verläuft und in einer Vertiefung liegt. An einer Seite ist sie eingefaltet und mit den internen Zahnplatten verwachsen, auf der anderen mit einer aufragenden, schmalen Lippe versehen.

L = 0,24–0,57 mm

B = 0,14–0,24 mm

Differentialdiagnose:

Bulimina elongata unterscheidet sich von *Caucasina coprolithoides* durch die schlankere Gehäuseform und die geringere Kammerzahl in der Anfangswindung. Die Kammerform ist etwas länglicher, die Kammern sind in einer höher gewundenen Spirale angeordnet (vgl. Abb. 24).

Gegenüber *Caucasina cylindrica* zeichnet sie sich durch die geringere Kammerzahl im trochospiralen Gehäuseteil, die überall deutlich eingesenkten Nähte und den zugespitzten Anfangsteil aus.

Bemerkungen:

Nachdem versucht worden war, diese Art zur Gattung *Caucasina* zu stellen (u. a. LOEBLICH & TAPPAN 1964b: 82, Taf. 2/14–15), wiesen österreichische Autoren immer wieder darauf hin, daß die Originale aus dem Baden des Wiener Beckens stets nur 3 Kammern in der Anfangswindung zeigen (vgl. RÖGL 1969a: 84, PAPP & SCHMID 1985: 73). Eigene Untersuchungen am Material des Wiener Beckens ergaben, daß die Kammerzahl zwischen 2½ und 4 in der Anfangswindung schwankt – also etwa im selben Bereich wie beim bayerischen Material und den Topotypen zu *Bulimina inconstans* EGGER. Der fließende Übergang von Formen mit 3 Anfangskammern über 3½ zu 4, bis zu Vertretern, die als *Caucasina coprolithoides* bezeichnet wurden mit 4–5 Kammern, ist jedoch nicht zu übersehen. Die generische Trennung von *Caucasina* und *Bulimina* bleibt problematisch. NORWANG (1968) sieht das Auftreten eines trochospiralen Anfangsteils als Generationsproblem an und betrachtet *Caucasina elongata* LOEBLICH & TAPPAN als microsphaerisches Äquivalent zur megalosphaerischen *Bulimina elongata* D'ORB. Nach HOFKER (1970: 13–14) liegen dagegen 2 Arten vor, wobei er die Vertreter mit trochospiralem, vielkammerigem Anfangsteil mit *Caucasina lappa* (CUSHMAN & PARKER) = *Caucasina elongata* LOEBLICH & TAPPAN identifiziert. Derartige Formen ließen sich im bayerischen Material im Variabilitätsbereich von *Bulimina elongata* D'ORB. nicht beobachten, so daß ich mich der Meinung HOFKERS anschließen und von 2 verschiedenen Arten im Wiener Becken ausgehen möchte (sh. auch *Caucasina cylindrica*).

Verbreitung:

Selten im tieferen Teil des Oberen Eger, sehr häufig in den Fischschiefern. Nicht selten im Eggenburg von Niederbayern, des Röthelbaches, des Lußgrabens, der Prien und des Kaltenbachgrabens (an den beiden letztgenannten Lokalitäten sehr selten). Selten im Unteren Ottang des Lußgrabens.

Ökologie:

Die Gattung *Bulimina* ist besonders häufig im Übergangsbereich zwischen dem tiefsten Neritikum und dem oberen Bathyal.

Bulimina striata D'ORBIGNY

Taf. 7, Fig. 1–2

- 1826 *Bulimina costata* Nob. – D'ORBIGNY: 269 (nomen nudum) (fossil, Italien)
Bulimina striata Nob. – D'ORBIGNY: 269 (nomen nudum) (rezent, Adria)
 *1843 *Bulimina striata* D'ORB. – GUERIN-MENEVILLE: 9, Taf. 2/16 (rezent, Adria) (fide ELLIS & MESSINA)
 1846 *Bulimina buchiana* D'ORB. – D'ORBIGNY: 186, Taf. 11/15–18 (Mittelmiozän, Wiener Becken)
 1852 *Bulimina costata* D'ORB. – D'ORBIGNY: 194 (fide ELLIS & MESSINA) (Tertiär, Italien)
 1947 *Bulimina buchiana* D'ORB. – CUSHMAN & PARKER: 107, Taf. 25/11–12 (Miozän, Österreich)
Bulimina costata D'ORB. – CUSHMAN & PARKER: 115, Taf. 27/2–3 (Pliozän, Italien)
Bulimina striata D'ORB. – CUSHMAN & PARKER: 119, Taf. 28/1–3 (rezent, Adria)
 1969a *Bulimina striata* D'ORB. – RÖGL: 84, Taf. 5/7 (Karpat, Niederösterreich)
 1985 *Bulimina costata* D'ORB. – PAPP & SCHMID: 72, Taf. 63/1–4 (Mittelmiozän, Wiener Becken)

Ein durchgehend dreizeiliges Gehäuse mit 3–6 Umgängen, breiter, etwas gedrungener Form, wobei die größte Breite im letzten Umgang, der etwas mehr als 1/3 des Gehäuses einnimmt, liegt. Der Querschnitt ist abgerundet-dreieckig, der Anfangsteil zugespitzt. Die Kammern sind in der Regel breiter als hoch, nur wenn ein 6. Umgang vorhanden ist etwas höher als breit, gebläht. Die Suturen sind deutlich eingesenkt. Die Oberfläche ist mit dichtstehenden Längsrippen verziert, die nicht von oben bis unten durchziehen, sondern an den Kammergrenzen unterbrochen und zu kurzen Dornen verlängert sind. Die 3 jüngsten Kammern sind nur an der Basis skulptiert, ansonsten glatt und, wie das übrige Gehäuse, fein perforiert. Die Mündung bildet eine langgestreckte Mündungsschlaufe zwischen Basis und Apex der Endkammer. Auf der einen Seite trägt sie eine schmale Lippe, die bisweilen deutlich aufragt, auf der anderen ist der Rand nach unten eingefaltet und mit den internen Zahnplatten verwachsen.

L = 0,25–0,55 mm

B = 0,17–0,33 mm

Verbreitung:

Häufig im Eggenburg der Traun und des Lußgrabens sowie selten im Unteren Ottang derselben Profile, der Prien und der Bohrung Ortenburg 1003. Sehr selten im Mittelottang von Niederbayern und des Kaltenbachgrabens.

Bulimina arndti HAGN

- *1952 *Bulimina arndti* n. sp. – HAGN: 168, Taf. 2/15 (Rupel/Eger, Bayern)

Verbreitung:

Selten in den Fischschiefern des Oberen Egers der Zillerleite und der Ortenburg-Bohrungen.

Genus: *Praeglobobulimina* HOFKER 1951

Praeglobobulimina pyrula (D'ORBIGNY)

Taf. 7, Fig. 3–5

- *1846 *Bulimina pyrula* D'ORB. – D'ORBIGNY: 184, Taf. 11/9–10 (Mittelmiozän, Wiener Becken)
Bulimina pupoides D'ORB. – D'ORBIGNY: 185, Taf. 11/11–12
Bulimina ovata D'ORB. – D'ORBIGNY: 185, Taf. 11/13–14

- 1947 *Bulimina pyrula* D'ORB. — CUSHMAN & PARKER: 104, Taf. 25/2
Bulimina pupoides D'ORB. — CUSHMAN & PARKER: 105, Taf. 25/3–7
Bulimina ovata D'ORB. — CUSHMAN & PARKER: 106, Taf. 25/8–9
1954 *Praeglobobulimina ovata* (D'ORB.) — HAYNES: 190, Abb. 9–12, 17–19 (Paläozän, England)
1985 *Bulimina pyrula* D'ORB. — PAPP & SCHMID: 69, Taf. 62/2–10, Abb. 10 (Mittelmiozän, Wiener Becken)

Durchgehend triseriale, aus 2–3½ Umgängen bestehende Schalen, wobei die letzte Windung etwa ⅔ des Gehäuses einnimmt. Der Querschnitt ist rund, der Anfangsteil zugespitzt. Die Gehäuseform ist ziemlich variabel: sie reicht von schlankeren, etwas gestreckteren Formen mit ovalem Umriss bis zu gedrungenen, fast kugeligen Gehäusen mit stark umgreifenden Kammern. Diese sind gebläht und zunächst breiter als hoch, am Ende höher als breit und werden von deutlich eingesenkten Nähten getrennt. Die Gehäusewand ist glatt und fein perforiert. Die Mündung besteht aus einem von der Basis der Endkammer bis leicht über den Apex hinwegziehenden Schlitz. Auf der einen Seite weist er eine leicht aufragende Lippe, auf der anderen einen eingefalteten Rand auf, der mit den internen Zahnplatten verbunden ist. Nur bei wenigen Exemplaren ist am oberen Ende, in der Mitte des Mündungsschlitzes, die für die Gattung *Praeglobobulimina* charakteristische, durch die Mündung stoßende Verlängerung der internen Zahnplatten zu beobachten (vgl. HAYNES 1954: 188). Dieser kleine Fortsatz ragt leicht über den Apex hinaus.

L = 0,25–0,75 mm
B = 0,17–0,45 mm

Bemerkungen:

Die von D'ORBIGNY (1846) aus dem Wiener Becken beschriebenen Formen *Bulimina pupoides*, *ovata* und *pyrula* werden von PAPP & SCHMID (1985: 69) als Variationen einer Art aufgefaßt. Im bayerischen Miozän ist var. *ovata* bei weitem die häufigste, var. *pyrula* ist sehr selten und tritt nur zusammen mit var. *ovata* auf. Die Übergänge sind fließend.

Verbreitung:

Nicht selten im Oberen Eger der Traun und der Bohrungen Ortenburg und Ampfing. Selten im Unteren Ottang der Bohrung Ortenburg 1001 und des Eulenbaches und im Eggenburg von Kemating. Nicht selten im Eggenburg von Braunsreut.

Ökologie:

Diese Art ist typisch für die Tiefwasserfazies. NATLAND (1933: Beilage) stellte eine Hauptverbreitung zwischen 250 und 400 m Wassertiefe fest.

Praeglobobulimina spinescens (BRADY)
Taf. 7, Fig. 6–7

- *1884 *Bulimina pyrula* var. *spinescens* nov. — BRADY: 400, Taf. 50/11–12 (rezent, Pazifik)
1947 *Bulimina pyrula* var. *spinescens* BRADY — CUSHMAN & PARKER: 124, Taf. 28/30–31 (rezent, Philippinen)
1951 *Praeglobobulimina spinescens* (BRADY) — HOFKER: 249, Abb. 165–167 (rezent, weltweit)
1959 *Bulimina pyrula* var. *spinescens* BRADY — DIECI: 62, Taf. 5/13 (Torton, N-Italien)

- 1960 *Bulimina pyrula* var. *spinescens* BRADY — BARKER: Taf. 50/11–12 (rezent, Pazifik)

Ein durchgehend triseriales Gehäuse, im Umriss länglich-oval mit zugespitzten Enden, im Querschnitt abgerundet dreieckig. Es besteht aus 4 Umgängen, wobei der letzte etwa ⅔ des Gehäuses einnimmt. Die Kammern sind stark umgreifend, kaum gebläht, zunächst breiter als hoch, im letzten Umgang wesentlich höher als breit, die Suturen leicht eingesenkt. Die untere Hälfte der Kammern trägt schwache Längsrippen, die über die Kammerbasis hinaus als kurze Dornen verlängert sind. Die Gehäusewand ist ansonsten glatt und fein perforiert. Die Mündung zieht als langer, schmaler Schlitz von der Basis der Endkammer bis leicht über den Apex hinweg.

L = 0,3–0,43 mm
B = 0,17–0,25 mm

Verbreitung:

Sehr selten im tiefsten Obereger der Bohrungen Ampfing 1 und Ortenburg 1001.

Genus: *Virgulopsis* FINLAY 1939

Virgulopsis tuberculata (EGGER)
Taf. 7, Fig. 8–12

- *1857 *Bulimina tuberculata* nov. spec. — EGGER: 284, Taf. 12/4–7 (Eggenburg, Niederbayern)
1937b *Bulimina tuberculata* EGGER — CUSHMAN & PARKER: 50, Taf. 7/4 (Eggenburg, Niederbayern)
1947 *Bulimina tuberculata* EGGER — CUSHMAN & PARKER: 110, Taf. 26/4–5 (Eggenburg, Niederbayern)
1957 *Bulimina tuberculata* EGGER — TOLLMANN: 189, Taf. 3/3 (Eggenburg, Niederösterreich)
1963 *Bulimina kasselensis* BATJES — KÜMMERLE: 40, Taf. 5/9 (Chatt, N-Deutschland)
1978 *Virgulopsis tuberculata* (EGGER) — POIGNANT & PUJOL: 666, Taf. 5/5–6 (Burdigal, SW-Frankreich)
Virgulopsis tuberculata dingdenensis (BATJES) — POIGNANT & PUJOL: Taf. 5/3–4

Neotypus: Slg. München, Prot 5497

Locus typicus: Maierhof

Stratum typicum: Eggenburg

Diese Art zeichnet sich durch eine sehr variable Gestalt aus, was Bauplan und Ornamentierung anbelangt: durchgehend triseriale Gehäuse gehen fließend in Formen mit dreizeiligem Anfangsteil und zweizeiligem Endteil über. Rein triseriale Formen bestehen aus 3–4 Umgängen, Exemplare mit biserialen Endteil aus 1–3 Umgängen und 1–3 Kammerpaaren, der biserial Abschnitt ist leicht um die Längsachse gedreht. Der äußere Eindruck reicht von kurzen, gedrungenen bis zu langen, schlanken Gehäusen. Der Querschnitt ist im triseriellen Stadium dreieckig, im biserialen oval. Der Anfangsteil ist stumpf abgerundet oder zugespitzt. Die Kammern sind stets breiter als hoch, im übrigen aber in den verschiedenen Gehäusestadien recht unterschiedlich geformt: im triseriellen Teil sind sie kaum gebläht, die Suturen leicht durchscheinend, wenig oder nicht eingesenkt, die Peripherie nicht oder nur leicht gelappt; im biserialen Teil dagegen sind die Kammern gebläht, die Suturen deutlich eingesenkt, wenig geneigt, die Peripherie gelappt. Die Oberfläche ist glatt oder mit groben

Warzen übersät. Es ließ sich kein Zusammenhang zwischen Bauplan und Skulptierung feststellen: glatte und skulptierte Schalen treten in beiden Bauformen auf. Man kann sogar feststellen, daß sich die Skulptierung im Laufe der Ontogenie ändert. Es wurde jedoch nur eine Reduktion der Ornamentierung beobachtet, nie der umgekehrte Fall. Die Schale weist grobe Poren auf, zwischen denen feinere Poren eingestreut sind. Die sehr breite, ovale Mündungsschleife liegt an der Basis der Endkammer. Beide Ränder sind nach innen eingefaltet, der eine ist mit den internen Zahnplatten verbunden.

L = 0,17–0,38 mm

B = 0,11–0,2 mm

Differentialdiagnose:

Virgulopsis kasselensis (BATJES 1958) (evtl. synonym mit *Virgulopsis pupoides* (NYIRÓ 1954), vgl. SZTRÁKOS 1979: 68) trägt eine kräftigere Skulptierung.

Bemerkungen:

Die Beziehungen der Gattung *Virgulopsis* zu *Neobulimina* CUSHMAN & WICKENDEN 1928 sind noch nicht ganz geklärt. Die an die Gattung *Sagrina* D'ORB. 1839 (= *Bitubulogerina* HOWE 1934) erinnernde Ornamentierung scheint jedoch eher für *Virgulopsis* typisch zu sein.

Verbreitung:

Selten im Oberen Eger der Bohrung Ortenburg 1001 und des Pechschnaitgrabens, häufig im Eggenburg und selten im

tieferen Unterottnang der gesamten bayerischen Molasse. Sie verschwindet noch unterhalb des Neuhofener Horizonts.

Genus: *Caucasina* KHALILOV 1951

Caucasina coprolithoides (ANDREAE)

1884 *Bulimina coprolithoides* n. sp. — ANDREAE: 305, Taf. 6/4 (Oligozän, Elsaß)

Differentialdiagnose:

Bulimina elongata besitzt in der Regel weniger Kammern im trochospiralen Teil (3–4, meist 3½). Im triseriellen Hauptteil sind die Kammern in einer lockereren, höheren Spirale angeordnet, wodurch die Kammern auch zum Teil länglicher werden. Wie aus Abb. 24 hervorgeht, ist *Bulimina elongata* bei gleicher Anzahl von Umgängen schlanker als *Caucasina coprolithoides*.

Bemerkungen:

Bulimina elongata dürfte sich aus *Caucasina coprolithoides* durch Reduktion des trochospiralen Anfangsteils entwickelt haben. Dies steht in direktem Zusammenhang mit dem Schlankerwerden der Gehäuse. Die Abtrennung erfolgte bereits im Oberen Untereger (mündl. Mitteil. REISER). Im Oberen Eger treten die Formen nebeneinander auf, *Bulimina elongata* jedoch nur untergeordnet. Sie wird aber mit dem Fazieswechsel zu den Fischschiefern zum dominierenden Element.

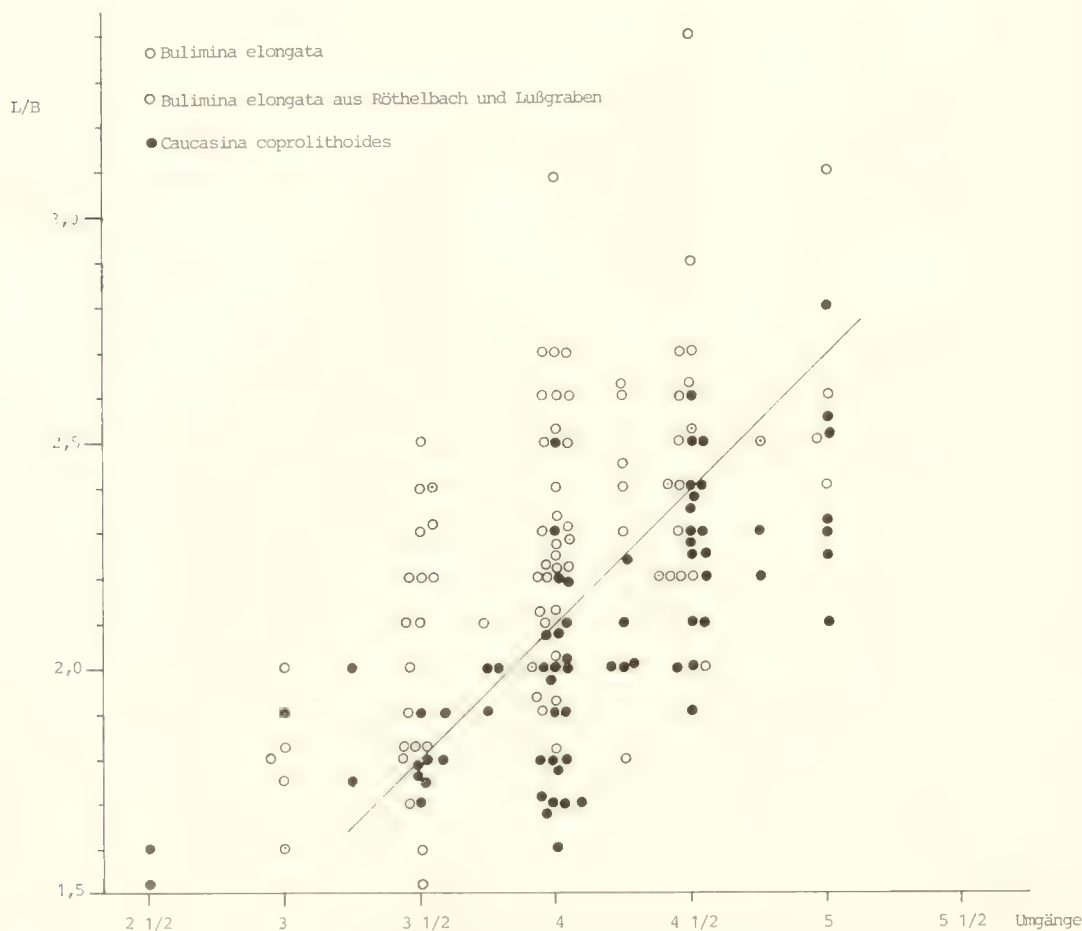


Abb. 24: Biometrische Messungen an *Bulimina elongata* und *Caucasina coprolithoides*.

Verbreitung:

Häufig im Oberen Eger der gesamten Bayerischen Molasse, jedoch nicht mehr in den Fischeischiefern.

Caucasina cylindrica ZAPLETALOVA

Taf. 7, Fig. 13–14

- †1857 *Bulimina inconstans* nov. spec. — EGGER: 283 (partim), Taf. 12/1–3 (?Mittelottnang/?Eggenburg, Niederbayern)
 1955 *Bulimina elongata* D'ORB. — HAGN: 347, Taf. 10/5 (Ottang, Niederbayern)
 1969a *Caucasina schischkinskayae* (SAMOYLOVA) — RÖGL: 99, Taf. 4/7–8 (Karpf, Niederösterreich)
Caucasina subulata (CUSHMAN & PARKER) — RÖGL: 99, Taf. 5/4
 *1973 *Caucasina cylindrica* n. sp. ZAPLETALOVA — RÖGL & CICHÁ: 320, Taf. 3/18; 7/36 (Ottang, Oberösterreich)

Der Hauptteil ist triserial, der trochospirale Anfangsteil besteht nur aus einer Windung mit 4–7, meist 5 Kammern. Insgesamt 2½–5 Umgänge formen ein schlankes, zylindrisches Gehäuse mit meist parallelen Seiten, nur einzelne Exemplare zeigen nach oben zu divergierende Ränder. Der Querschnitt ist rund, die Basis in den meisten Fällen stumpf abgerundet, sehr selten leicht zugespitzt. Im Endteil des Gehäuses sind die Kammern meist höher als breit und auch stark gebläht, die Suturen deutlich eingesenkt. Im älteren Gehäuseteil dagegen sind die Kammern stets breiter als hoch, nicht gebläht, die Suturen nicht oder nur ganz wenig eingesenkt, die Seiten ziemlich exakt parallel. Die Gehäusewand ist glatt und fein perforiert. Bei einigen Exemplaren ist der Anfangsteil mit Warzen oder kurzen Dornen besetzt. Die Mündung besteht aus einer hohen, ziemlich breiten Mündungsschleife, die an der Basis senkrecht zur Kammergrenze ansetzt und in einer Vertiefung liegt. Auf der einen Seite trägt sie eine schmale Lippe, auf der anderen ist sie mit den internen Zahnplatten verwachsen.

L = 0,25–0,55 mm

B = 0,15–0,22 mm

Differentialdiagnose:

Sie unterscheidet sich von *Bulimina elongata* und *Caucasina coprolithoides* durch die stumpfe Gehäusebasis, die höhere Kammerzahl im Anfangsstadium und die kaum eingesenkten Nähte im älteren Gehäuseteil, von *C. coprolithoides* außerdem durch die schlankere Form (Abb. 25).

Bemerkungen:

Diese Art wurde ursprünglich mit nur 3½–4 Anfangskammern beschrieben. Die ganz typischen Exemplare aus den Neuhofener Mergeln weisen aber lückenlos alle Übergänge von 4–7 Kammern auf – das Häufigkeitsmaximum liegt bei 5. Dies gilt auch für die Vertreter aus dem Oberen Eger. Diese große Variabilität ließ es nicht sinnvoll erscheinen, Formen mit höherer Kammerzahl als *Caucasina schischkinskayae* (SAMOYLOVA) abzutrennen. Auch biometrische Messungen erbrachten keinen Unterschied zwischen den Exemplaren aus dem Oberen Eger und dem Ottang (Abb. 25).

Im Eggenburg des Röthelbaches, des Lußgrabens und der Prien treten, zusammen mit glatten Formen, häufiger solche mit warzenbesetztem Anfangsteil auf, die etwas an *Caucasina lappa* (CUSHMAN & PARKER) aus dem Badener Tegel erinnern.

HOFKER (1970: 13/14) wies darauf hin, daß dort ebenfalls skulptierte und glatte Formen (= *Caucasina elongata* LOEBLICH & TAPPAN) zusammen auftreten und deutete sie als verschiedene Generationsformen einer einzigen Art. Da jedoch in den reichen *cylindrica*-Populationen des Unteren Ottang Bayerns bedornete Formen nur sehr selten zu beobachten sind, erscheint diese Interpretation nicht sehr überzeugend. Taxonomische Bedeutung dürfte der Skulptierung jedoch nicht zukommen. Gegenüber *C. cylindrica* ergaben sich keinerlei weitere Merkmalsunterschiede. Von *Caucasina lappa* trennt die skulptierten Formen des bayerischen Eggenburg der nur eine Windung umfassende trochospirale Anfangsteil, gegenüber 3 bei den Badener Vertretern (vgl. LOEBLICH & TAPPAN 1964b: 83; HOFKER 1970: 13).

Verbreitung:

Im Oberen Eger der Bohrungen Isen 1 (sehr häufig), Ortenburg 1002 und Ampfing 1 und des Pechschnaitgrabens (selten). Seltener im Eggenburg des Röthelbaches, des Lußgrabens, der Prien und von Blindham. Sehr häufig im Ottang.

Ökologie:

In allen Faziesbereichen beheimatet. Sie reicht sogar noch in leicht brackisches Milieu hinein.

Genus: *Reussella* GALLOWAY 1933

Reussella spinulosa (REUSS)

Taf. 7, Fig. 15–16

- *1850 *Verneuilina spinulosa* m. — REUSS: 374, Taf. 47/12 (Mittelmiozän, Wiener Becken)
 1857 *Verneuilina spinulosa* REUSS — EGGER: 292, Taf. 9/17–18 (Eggenburg, Niederbayern)
 1945 *Reussella spinulosa* (REUSS) — CUSHMAN: 33, Taf. 6/8–9 (Miozän, Österreich und Ungarn)
Reussella spinulosa var. *laevigata* n. var. — CUSHMAN: 34, Taf. 6/10 (Untermiozän, SW-Frankreich)
 1957 *Reussella spinulosa* (REUSS) — TOLLMANN: Taf. 3/7 (Eggenburg, Niederösterreich)
Reussella spinulosa laevigata CUSHMAN — TOLLMANN: 192, Taf. 3/8

Ein durchgehend triserial, aus 4–5 Umgängen bestehendes, pyramidenförmiges Gehäuse mit dreikantigem Querschnitt. Der Anfangsteil ist zugespitzt, mit einem Stachel versehen. Die Kammern sind viel breiter als hoch, nicht gebläht und tragen an der Kante je einen Dorn. Die Suturen sind leicht limbat und etwas geneigt. Die Peripherie ist nicht gelappt, aber mit mehr oder weniger langen Dornen besetzt. Die Seitenflächen sind deutlich concav, die Wand ist glatt und mittelgrob perforiert. Die Mündung bildet ein halbmondförmiger Schlitz mit dünner Lippe an der Basis der Endkammer.

L = 0,2–0,66 mm

B = 0,12–0,5 mm

Bemerkungen:

Es sind, besonders in Maierhof, mitunter Formen zu finden, die sich var. *laevigata* CUSHMAN (mit glatter, ungezackter Kante) nähern. Aber auch sie zeigen noch deutliche Ansätze zur Dornenbildung.

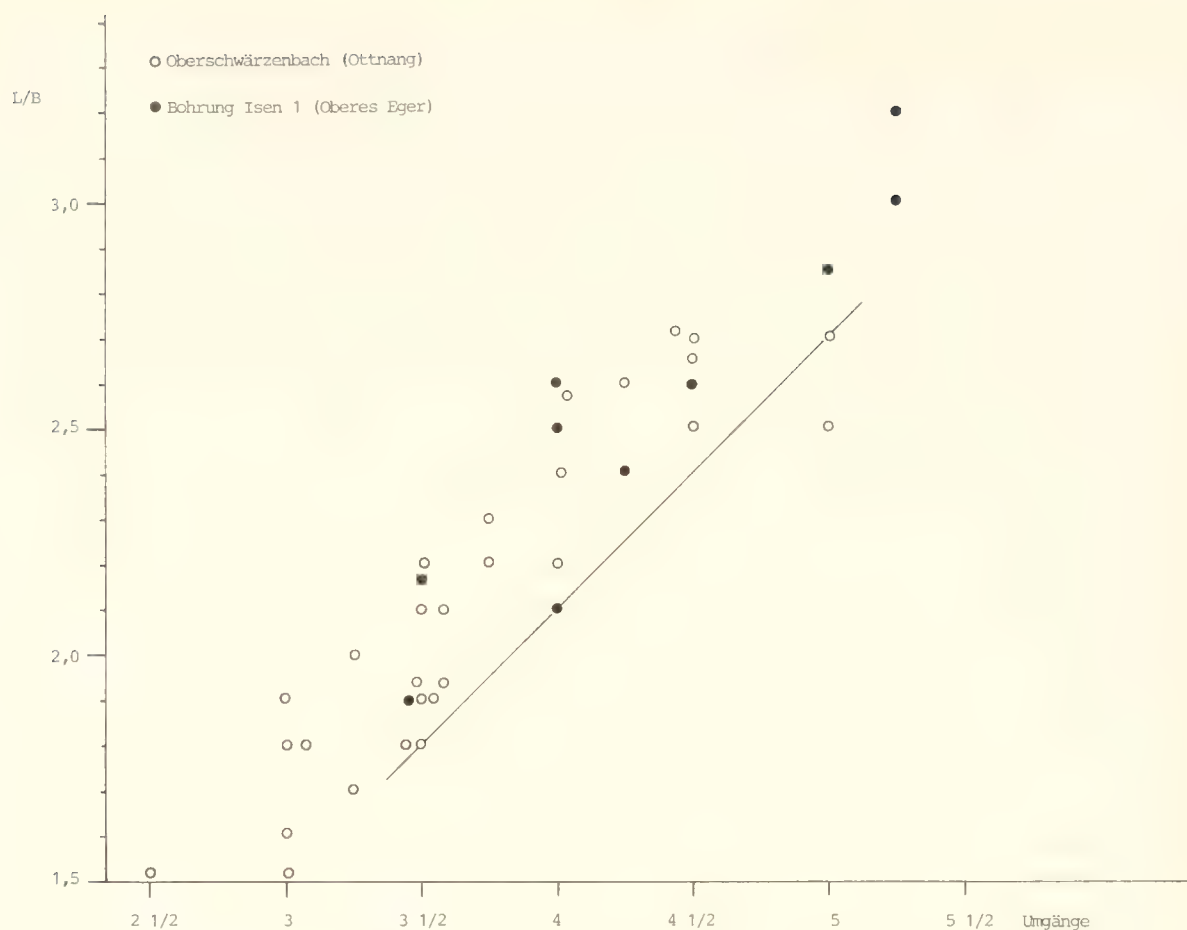


Abb. 25: Biometrische Messungen an *Caucasia cylindrica*. Die Gerade entspricht der in Abb. 24

Verbreitung:

Sehr selten im Oberen Eger von Isen 1. Häufig im Eggenburg von Maierhof und Blindham, der Traun und des Lußgrabens. Sehr selten im Unteren Ottang von Poigham (Ndb.), selten im Mittelottang von Gänshall.

Ökologie:

Sie tritt besonders häufig in flachneritischen Ablagerungsbereichen auf.

Genus: *Virgulinella* CUSHMAN 1932

Virgulinella cf. *pertusa* (REUSS)

Taf. 7, Fig. 17–18

*1861a *Virgulina pertusa* n. sp. — REUSS: 362, Taf. 2/16 (Miozän, Belgien)

1937b *Virgulina (Virgulinella) pertusa* REUSS — CUSHMAN: 31, Taf. 5/6–9 (Miozän, NW-Deutschland)

1958 *Virgulina (Virgulinella) pertusa* REUSS — BATJES: 129, Taf. 5/7 (Oligozän, Belgien)

1969a *Virgulinella pertusa* (REUSS) — ROGL: 99, Taf. 4/5 (Karpät, Niederösterreich)

Die Gehäuse sind durchgehend biserial gebaut, ein dreizeiliger Anfangsteil wurde nicht beobachtet. Sie sind schlankenkeulenförmig, ein wenig abgeflacht, leicht tordiert und bestehen aus ca. 4 Kammerpaaren. Der Querschnitt ist oval, die Peripherie breit gerundet, die Seiten sind leicht divergierend und gelappt. Die geblähten, hohen Kammern sind an den

Kammergrenzen unter Bildung kleiner Brücken über die Suturen hinweg verlängert. Dadurch entstehen auf den deutlich eingesenkten Nähten markante Nischen (1–6 pro Suture). Die Kammergrenzen liegen horizontal bis leicht geneigt, die Mediansuture verläuft gezackt. Die Gehäusewand ist glatt und fein perforiert. Ein langer, schmaler, gleichmäßig breiter Schlitz, der an der Basis der Endkammer ansetzt und auf ihre Stirnfläche hinaufzieht, stellt die Mündung dar.

L = ca. 0,53 mm

B = ca. 0,22 mm

D = ca. 0,17 mm

Differentialdiagnose:

Sie unterscheidet sich von *Virgulinella chalkophila* durch den gezackten Verlauf der Medianlinie, die außerdem nicht so stark eingetieft ist,

von *Virgulinella pertusa* durch die weniger schrägen Suturen und den stärker abgeplatteten Querschnitt.

Verbreitung:

Sehr selten im Eggenburg und Ottang von Niederbayern.

Virgulinella chalkophila (HAGN)

*1952 *Loxostomum chalkophilum* n. sp. — HAGN: 172, Taf. 2/11

Verbreitung:

Im Oberen Eger der gesamten Bayerischen Molasse.

Genus: *Fursenkoina* LOEBLICH & TAPPAN 1961

Fursenkoina acuta (D'ORBIGNY)

Taf. 7, Fig. 19–20

- *1846 *Polymorphina acuta* D'ORB. — D'ORBIGNY: 234, Taf. 13/4–5; 14/5–7 (Mittelmiozän, Wiener Becken)
 1848 *Virgulina schreibersiana* CZJZEK — CZJZEK: 147, Taf. 13/18–21 (Mittelmiozän, Wiener Becken)
 1857 *Virgulina schreibersiana* CZJZEK — EGGER: 295, Taf. 12/12–14 (Eggenburg, Niederbayern)
 1937b *Virgulina acuta* (D'ORB.) — CUSHMAN: 15, Taf. 3/1–3 (Miozän, Wiener Becken u. Ägypten)
Virgulina schreibersiana CZJZEK — CUSHMAN: 13, Taf. 2/11–20 (Oligozän bis Pliozän, Europa; rezent, Philippinen)
 1985 *Fursenkoina acuta* (D'ORB.) — PAPP & SCHMID: 82, Taf. 75/1–6 (Mittelmiozän, Wiener Becken)

Eine lange, schlanke, seitlich etwas abgeflachte Form mit im älteren Gehäuseteil rundlichem, später ovalem Querschnitt und breit gerundeter Peripherie. Der Anfangsteil ist zugespitzt, die Seiten sind parallel und kaum gelappt. Die leicht geblähten, von wenig eingesenkten Suturen getrennten Kammern sind wesentlich höher als breit, an der Seite weit nach unten gezogen und stark auf den vorhergehenden Umgang übergreifend. Im Zusammenwirken einer hochgewunden-biserialen Kammeranordnung bei stark tordierter Längsachse und den stark übergreifenden, langgestreckten Kammern entsteht im Anfangsteil eine Art sigmoiliner Bauplan. Die Wand ist glatt, glänzend und fein perforiert. Die Mündung besteht aus einem sehr schmalen Schlitz, der vom Apex der Endkammer nicht ganz bis zur Kammerbasis zieht. Die eine Seite ist als freier Rand mit schmaler Lippe entwickelt, die andere mit den internen Zahnplatten verwachsen.

L = 0,6–0,8 mm

B = 0,16–0,2 mm

D = 0,14–0,18 mm

Bemerkungen:

Die vorliegende Form wurde früher unter dem Gattungsnamen *Virgulina* D'ORBIGNY 1826 (non *Virgulina* BORY DE ST. VINCENT 1823) geführt. HOFKER (1951: 264) trennte von dieser Gruppe die Gattung *Cassidella* (unter Angabe zweier verschiedener Genotypen) ab, für Formen mit opaker Gehäusewand. HOFKER (1956: 908) stellte dann fest, daß der Genotyp von *Virgulina*, *Virgulina squamosa* D'ORB., selbst zur opaken Gruppe gehört und zog *Cassidella* wieder ein, stellte aber nun für die hyalinen Formen die Gattung *Stainforthia* auf. LOEBLICH & TAPPAN (1961: 314) ersetzten schließlich aus Homonymie-Gründen (sh. oben) den Namen *Virgulina* durch *Fursenkoina*, unter Beibehaltung des Genotyps. Es stünde nun an, genauere Untersuchungen anzustellen, ob es sich bei *Fursenkoina* nicht um ein jüngeres Synonym von *Cassidella* und/oder *Stainforthia* handelt. Der Genotyp von *Cassidella*, *Virgulina tegulata* REUSS, weist niedrigere, breitere Kammern und ein kaum tordiertes Gehäuse auf, was zu einer exakteren biserialen Kammeranordnung führt. Der angegebene triseriale Anfangsteil müßte durch Vergleichsmaterial nachgeprüft werden, da ein sigmoiliner Anfangsteil wie bei *Fursenkoina acuta* ebenfalls Dreizeiligkeit vortäuschen kann (vgl. *Fursenkoina halkyardi*). Ich möchte *Cassidella* zunächst nicht als congenerisch mit *Fursenkoina* auffassen. Am Genotyp von *Stainforthia*, *Virgulina concava* HÖGLUND, wäre

zunächst, wie bei *Cassidella*, die Dreizeiligkeit des Anfangsteils zu überprüfen. Auffällig ist die sehr weite, durch die Zahnplatten nach hinten zu verschlossene, nicht terminale Mündung. Für eine endgültige Klärung der Synonymieverhältnisse wären jedoch genauere Untersuchungen nötig.

Verbreitung:

Durchläufer, häufig, im Mittelottnang dgg. sehr selten.

Fursenkoina halkyardi (CUSHMAN)

Taf. 7, Fig. 21–22

- *1936a *Virgulina halkyardi* n. sp. — CUSHMAN: 47, Taf. 7/5 (Eozän, SW-Frankreich)
 1937b *Virgulina halkyardi* CUSHMAN — CUSHMAN: 11, Taf. 1/26–27 (Eozän, SW-Frankreich; Oligozän, Ungarn)
 1971 *Fursenkoina halkyardi* (CUSHMAN) — POPESCU & IVA: 45, Taf. 12/3 (Oligozän, Rumänien)
 1975 *Fursenkoina halkyardii* (CUSHMAN) — POPESCU: 99, Taf. 54/1–2 (Miozän, Rumänien)

Eine lange, schlanke Form mit hochgewunden-biserialer Kammeranordnung und stark tordierter Längsachse, was zu einem sigmoilinen Bau des Initialstadiums führt. Dieser ist jedoch wesentlich weniger komplex als bei *Fursenkoina acuta* und erscheint dadurch fast schon triserial. Der Querschnitt ist rundlich bis leicht oval, die Peripherie breit gerundet, der Anfangsteil zugespitzt. Die Seiten sind parallel und kaum gelappt. Die leicht geblähten Kammern sind etwas höher als breit und mäßig auf den vorhergehenden Umgang übergreifend; sie werden von leicht eingesenkten Suturen getrennt. Die Gehäusewand ist glatt und fein perforiert. Die Mündung erscheint als etwas erweiterter Schlitz, der nicht bis zur Kammerbasis reicht.

L = 0,35–0,5 mm

B = 0,13–0,19 mm

D = 0,11–0,17 mm

Differentialdiagnose:

Sie unterscheidet sich von *Fursenkoina acuta* durch die nicht so langgestreckten, schwächer übergreifenden Kammern und den weniger komplexen Anfangsteil.

Verbreitung:

Häufig im Oberen Eger der Traun.

Fursenkoina mustoni (ANDREAE)

- *1884 *Virgulina mustoni* n. sp. — ANDREAE: 254, Taf. 11/4 (Oligozän, Elsaß)

Differentialdiagnose:

Sie unterscheidet sich von der recht ähnlichen *Bolivina wagneri* SONNE durch die höheren Kammern und die schräge Mündung.

Bemerkungen:

Bei den hiesigen Formen sind die Suturen etwas stärker eingesenkt als bei der Abbildung von ANDREAE.

Verbreitung:

Im Oberen Eger der Ortenburg-Bohrungen.

Genus: *Bolivina* D'ORBIGNY 1839Synonym: *Brizalina* COSTA 1856*Bolivina beyrichi carinata* HANTKEN*1875 *Bolivina beyrichi* var. *carinata* HANTKEN — HANTKEN: 64, Taf. 7/12 (Eozän/Oligozän, Ungarn)

Verbreitung:

Sehr selten im Oberen Eger der Bohrung Ortenburg 1001, häufig im Eggenburg des Lußgrabens und bei Braunsreut.

Im tieferen Teil des Oberen Eger der Bohrung Ortenburg 1002 fand sich ein Exemplar, das noch eher auf *Bolivina beyrichi beyrichi* REUSS zu beziehen ist. Von einer Beschreibung wurde jedoch wegen des unzureichenden Materials abgesehen. Bei HOFMANN (1967: Tab. 1) stirbt die typische Unterart an der Oligozän/Miozän-Grenze aus.

Ökologie:

Die Gattung *Bolivina* tritt als Häufigkeitsform im tieferen Neritikum und oberem Bathyal auf (vgl. POAG 1981: 22; WALTON 1964: 186, Abb. 15)

Bolivina budensis (HANTKEN)

Taf. 8, Fig. 1 2

- *1875 *Textilaria budensis* n. sp. — HANTKEN: 67, Taf. 15/1 (Eozän/Oligozän, Ungarn)
 1937b *Bolivina budensis* (HANTKEN) — CUSHMAN: 47, Taf. 6/21–23 (Obereozän, Ungarn)
 1967 *Bolivina budensis* (HANTKEN) — HOFMANN: 144, Taf. 1/10 (Oligozän, Bayern)
 1974 *Bolivina budensis* (HANTKEN) — DOEBL & SONNE: 28, Taf. 7/51 (Rupel, Mainzer Becken)
 1979 *Bolivina budensis* (HANTKEN) — SZTRÁKOS: Taf. 18/25 (Oligozän, Ungarn)
 1982 *Bolivina budensis* (HANTKEN) — SZTRÁKOS: Taf. 27/7 (Eozän/Oligozän, Ungarn)

Das biserialle, abgeflachte Gehäuse ist breit-drachenförmig, im Endteil jedoch mit parallelen Seitenrändern. Die Peripherie ist subacut und trägt keinen Kiel. Der Querschnitt ist flach-elliptisch. Die Seiten sind gelappt, stark divergierend, später parallel. Die Kammern nehmen rasch an Höhe zu und sind leicht gebläht. Insgesamt treten 6–9 Kammerpaare auf. Sie werden von weitgewellten, schmalen, deutlich eingesenkten, gebogenen Suturen geschieden. Der Suturewinkel beträgt 60–70°. Die Wand ist fein perforiert. Die Mündung ist länglich-oval, sitzt an der Basis der letzten Kammer und trägt einen schmalen Saum.

L = 0,25–0,41 mm

B = 0,17–0,2 mm

D = 0,09–0,12 mm

Differentialdiagnose:

Die Art ist von *Bolivina matejkai* nur schwer zu trennen. Meine Formen zeigen deutlich tiefere Suturen und sind stärker abgeflacht. HOFMANN (1967: 145) unterschied die beiden Arten an Hand der Perforation.

Verbreitung:

Selten in den Fischeischiefern des Oberen Egers der Zillerleite und der Bohrung Ortenburg 1002. Sehr selten im Eggenburg des Röthelbaches.

Bolivina matejkai CÍCHA & ZAPLETALOVÁ

Taf. 8, Fig. 3–4

- *1963a *Bolivina matejkai* nov. sp. — CÍCHA & ZAPLETALOVÁ: 172, Abb. 43 (Baden, Tschechoslowakei)
 1967 *Bolivina matejkai* C. & Z. — HOFMANN: 145, Taf. 5/10 (Ottang, Bayern)
 1967 *Bolivina matejkai* C. & Z. — CÍCHA & ZAPLETALOVÁ: Taf. 8A/9 (Karpát, CSSR)
 1973 *Bolivina matejkai* C. & Z. — RÖGL & CÍCHA: 305, Taf. 1/5 (Ottang, Oberösterreich)

Biserialle, breit-drachenförmige, ziemlich dicke, gedrungene Gehäuse mit gekanteter Peripherie und ovalem Querschnitt. Die Kammern sind relativ hoch, leicht gebläht. Von den 6–8 Kammerpaaren nehmen die letzten drei mehr als die Hälfte des Gehäuses ein. Die Seiten sind leicht gelappt und stark divergierend. Charakteristisch sind die weitgewellten, schmalen Suturen mit einem Suturewinkel von ca. 60–70°. Die Wand ist fein perforiert. Ein schmaler Schlitz zwischen Basis und Scheitel der letzten Kammer bildet die Mündung.

L = 0,25–0,35 mm

B = 0,14–0,19 mm

D = 0,09–0,11 mm

Differentialdiagnose:

Sie unterscheidet sich von *Bolivina dilatata* durch die Gehäuse- und Kammerform und die weitwelligen Suturen, von *Bolivina budensis* durch die weniger deutlich eingesenkten Nähte.

Verbreitung:

Sehr selten im Ottang von Niederbayern und des Prientalles. In Österreich auch aus dem Eggenburg bekannt (RÖGL & CÍCHA 1973: 306).

Bolivina crenulata crenulata CUSHMAN

- *1936a *Bolivina crenulata* n. sp. — CUSHMAN: 50, Taf. 7/13 (Oligozän, Ungarn)

Verbreitung:

Selten im untersten Teil des Oberen Eger der Bohrunge Ampfing 1 und Ortenburg 1002 und der Traun. Sie stirbt wenig oberhalb der Oligozän/Miozän-Grenze aus.

Bolivina crenulata trunensis HOFMANN

Taf. 8, Fig. 5–6

- 1955 *Bolivina* cf. *plicatella* CUSHMAN — HAGN: 347, Taf. 10/6 (Eger, Niederbayern)
 1963a *Bolivina plicatella* CUSHMAN — CÍCHA & ZAPLETALOVÁ: 148, Abb. 22 (Miozän, Tschechoslowakei)
Bolivina plicatella mera CUSHMAN & PONTON — CÍCHA & ZAPLETALOVÁ: 149, Abb. 23
 *1967 *Bolivina crenulata trunensis* n. ssp. — HOFMANN: 147, Taf. 5/1–4 (Eger bis Ottang, Bayern)
 1972 *Bolivina crenulata trunensis* HOFMANN — DOEBL et al.: 56, Taf. 9/9 (Aquitän, Mainzer Becken)
 1974 *Bolivina crenulata trunensis* HOFMANN — DOEBL & SONNE: 28, Taf. 7/52 (Rupel, Mainzer Becken)

Diese biserialen, länglichen, schmalen Formen sind abgeflacht und manchmal leicht um die Längsachse gedreht. Sie setzen sich aus 7–11 Kammerpaaren zusammen. Die Kammern sind leicht gebläht und niedrig, die Seiten schwach ge-

lappt und wenig divergierend, mit gerundeter Peripherie. Die Suturen sind eingesenkt, stark gewellt, mit 1–2 deutlichen Loben, die sich auf der Gehäuseoberfläche als schwach eingetiefte Nischen äußern. Die Nähte bilden einen Winkel von 60–70° mit der Medianlinie. Es ist eine schwache Medianfurche ausgebildet, die manchmal von Knotenreihen gesäumt ist. Die Oberfläche ist retikuliert, grobporig. Die Mündung setzt als schmaler, enger Schlitz an der Kammerbasis an und reicht auf der Stirnseite der letzten Kammer bis zum Apex. Sie trägt einen schmalen Saum. Eine Längsseite des Mündungsschlitzes ist mit den internen Zahnplatten verwachsen. Manchmal ist auch eine leichte Tendenz zur Einzeiligkeit zu beobachten, der Mündungsschlitz reicht dann nicht ganz bis zur Kammerbasis, ähnlich wie bei *Bolivina hebes*.

L = 0,25–0,5 mm

B = 0,11–0,21 mm

D = 0,06–0,14 mm D/B = 0,55–0,66

Differentialdiagnose:

Bolivina crenulata crenulata ist dicker (D/B > 0,66), die Nischen sind tiefer und enger gesetzt.

Bolivina plicatella mera CUSHMAN & PONTON erscheint stärker gedrunken, der Umriss deutlich dreieckig aufgrund stärker divergierender Seiten.

Bolivina plicatella CUSHMAN besitzt eine kräftigere Skulptur.

Bolivina moguntiaci BARTENSTEIN & HEINEMANN zeigt nur selten deutlichere Krenulationen auf den Suturen. Nischen sind nur vereinzelt zu erkennen. Die Suturen verlaufen fast horizontal. Manche Exemplare aus dem Otnang von Niederbayern erinnern stark an diese Form. Sie weist auch deutlich durchscheinende Nähte auf. Sie sind jedoch im Originalmaterial von HOFMANN aus den Ortenburg-Bohrungen noch im Variabilitätsbereich von *B. crenulata trunensis* zu finden. Bereits HOFMANN (1968: 267) wies auf evolutionäre Trends innerhalb der *Bolivina crenulata*-Gruppe hin, die sich u. a. in einer Reduktion der Ornamentierung äußern.

Bolivina hebes unterscheidet sich durch die terminale Mündung und die Grübchenskulptur.

Bolivina versatilis HOFMANN besitzt feiner krenulierte Suturen.

Verbreitung:

Nicht selten in der gesamten bayerischen Molasse, sehr häufig in den Fischechiefern.

Bolivina hebes MACFADYEN

Taf. 8, Fig. 7–8

*1930 *Bolivina hebes* sp. nov. — MACFADYEN: 59, Taf. 2/5 (Miozän, Ägypten)

1937b *Bolivina hebes* MACFADYEN — CUSHMAN: 82, Taf. 9/27–29 (Miozän, Ägypten, Österreich und Ungarn)

1951 *Bolivina trajectina* n. sp. — MARKS: 60, Taf. 7/3 (Mittelmiozän, Niederösterreich)

1963a *Bolivina hebes* MACFADYEN — CICHÁ & ZAPLETALOVÁ: 157, Abb. 30 (Miozän, Tschechoslowakei)

1967 *Bolivina hebes* MACFADYEN — HOFMANN: 153, Taf. 5/5 (Eger bis Otnang, Bayern)

Diese Gehäuse sind biserial und von schlanker, länglicher Form. Sie bestehen aus 6–8 deutlich geblähten Kammerpaar-

ren. Bei langen Exemplaren erscheint die Peripherie stark gelappt, die Kammern deutlich voneinander abgesetzt und die Suturen tief eingesenkt. Bei kürzeren Formen und in den früh-ontogenetischen Stadien sind die Kammergrenzen undeutlicher, die Suturen nicht oder kaum eingesenkt. Die Peripherie ist gerundet, der Querschnitt oval, die Suturen parallel und einfach, ohne Loben und Nischen. Der Suturalwinkel liegt bei ca. 70°. Die Oberfläche ist von feinen bis größeren Grübchen übersät. Sie sind nicht an die Suturen gebunden. Die Mündung besteht aus einer, häufig von der Basis gelösten, ovalen Öffnung auf der letzten Kammer. Bisweilen ist sie aber auch schlitzförmig und reicht bis zur Kammerbasis. Sie ist von einer schmalen Lippe umgeben. Die Wand ist fein perforiert.

L = 0,3–0,5 mm

B = 0,14–0,2 mm

D = 0,08–0,14 mm

Differentialdiagnose:

Sie unterscheidet sich von *B. crenulata trunensis* durch die Grübchenskulptur und das Fehlen der Suturnischen und der Suturalloben. Der von HOFMANN (1967: 153) als Kriterium angegebenen Trennung der Mündung von der Kammerbasis ist keine Bedeutung beizumessen, da diese Tendenz zur Einzeiligkeit auch bei *B. crenulata trunensis* beobachtet wurde. Außerdem waren auch bei *B. hebes* Formen zu finden, bei denen die Mündung bis zur Basis reichte. Bei dem von HOFMANN (1967: Taf. 5/5) abgebildeten Exemplar handelt es sich um eine Extremform, zu der auch im Belegmaterial zu seiner Arbeit kein Gegenstück gefunden werden konnte.

Verbreitung:

Nicht selten im Oberen Eger der Ortenburg-Bohrungen. Sehr selten im Eggenburg des Fußgrabens und im Unteren Otnang von Niederbayern.

Bolivina dilatata REUSS

Taf. 8, Fig. 9–10

*1850 *Bolivina dilatata* m. — REUSS: 381, Taf. 48/15 (Mittelmiozän, Wiener Becken)

1937b *Bolivina dilatata* REUSS — CUSHMAN: 78, Taf. 9/17–20 (Baden, Wiener Becken)

1963a *Bolivina dilatata dilatata* REUSS — CICHÁ & ZAPLETALOVÁ: 131, Abb. 11 (Miozän, Tschechoslowakei)

1967 *Bolivina dilatata dilatata* REUSS — HOFMANN: 154, Taf. 5/14 (Otnang, Bayern)

Biseriale, aus 8–13 Kammerpaaren bestehende, schlank-dreieckige, längliche, flache Formen. Die Peripherie ist scharfkantig, aber ohne Kiel, der Querschnitt flach-rhombisch. Die Kammern sind niedrig, nicht gebläht, die Seiten nicht gelappt, kaum divergierend. Die nicht vertieften Suturen sind schmal, gebogen, durchscheinend und zeigen einen kleinen Suturallobus. Der Suturwinkel beträgt 30–50°. Die Wand ist fein perforiert. Ein schmaler Schlitz zwischen Scheitel und Basis der letzten Kammer stellt die Mündung dar.

L = 0,23–0,41 mm

B = 0,1–0,2 mm

D = 0,06–0,11 mm

Differentialdiagnose:

Charakteristisch sind die schmalen, durchscheinenden Nähte mit dem kleinen Sutrallobus.

Die Art unterscheidet sich von *Bolivina subalpina* durch die nicht gegen die Medianlinie verbreiterten und kaum limbaten Suturen.

Bemerkungen:

In den Fischeischiefern des Zillergrabens treten bisweilen Formen auf, die nicht ganz typisch sind, mit gezacktem Rand und größerer Dicke.

Verbreitung:

Selten im Oberen Eger der Zillerleite und im Eggenburg des Röthelbaches und der Prien, häufiger im Ottnang.

Bolivina pokorny serrata CÍCHA & ZAPLETALOVÁ

Taf. 8, Fig. 11–12

*1963a *Bolivina pokorny serrata* n. ssp. — CÍCHA & ZAPLETALOVÁ: 144, Abb. 19 (Baden, CSSR)

1969a *Bolivina pokorny* CÍCHA & ZAPLETALOVÁ — RÖGL: 80, Taf. 3/1 (Karnpat, Niederösterreich)

Ein biserials, langgestrecktes, schlankes, stark abgeflachtes, leicht tordiertes Gehäuse mit subacuter Peripherie und flach-ovalem Querschnitt. Es besteht aus bis zu 12 Kammerpaaren. Die geblähten Kammern sind zunächst niedrig, später etwa so hoch wie breit, in kurzen Zacken über den Gehäuserand vorspringend. Die Seiten sind leicht bis mäßig divergierend und gezackt. Die schmalen Suturen sind durchscheinend, deutlich eingesenkt, markant gewellt und flach bis mäßig geneigt, mit einem Suturewinkel von 60–80°. Die Wand ist glatt und fein perforiert. Die Mündung bildet einen ziemlich breiten Schlitz zwischen Basis und Apex der Endkammer mit deutlicher Lippe.

L = bis 0,4 mm

B = 0,11–0,13 mm

D = 0,06–0,08 mm

Differentialdiagnose:

Sie unterscheidet sich von *Bolivina kodymi* C. & Z. durch den gewellten und weniger steilen Sutureverlauf,

von *Bolivina scitula* durch die gezackte Peripherie und die flacheren Suturen.

Verbreitung:

Selten im Eggenburg von Blindham, im Unteren Ottnang von Kindlbach und im Mittelottnang von Untertattenbach.

Bolivina fastigia CUSHMAN

Taf. 8, Fig. 13–14

*1936a *Bolivina fastigia* n. sp. — CUSHMAN: 51, Taf. 7/17 (Chatt, N-Deutschland)

1937b *Bolivina fastigia* CUSHMAN — CUSHMAN: 76, Taf. 9/12–14 (Chatt, N-Deutschland)

1963a *Bolivina fastigia* CUSHMAN — CÍCHA & ZAPLETALOVÁ: 120, Abb. 2–3 (Untermiozän, Tschechoslowakei)

1967 *Bolivina fastigia* CUSHMAN — HOFMANN: 160, Taf. 4/3–4 (Rupel bei Eggenburg, Bayern)

Diese biserialen, schlank-ovalen, flachen Gehäuse besitzen eine gekielte Peripherie und bestehen aus 8–9 Kammerpaar-

ren. Der Querschnitt ist abgeflacht, die Kammern sind niedrig, nicht gebläht, unterhalb der Suturen häufig deutlich eingewölbt. Die Seiten sind nicht gelappt. Breite, limbate, gebogene, durchscheinende Suturen tragen je einen engen, hohen Sutrallobus. In der Gehäuseachse erscheint eine deutliche, aber nicht sehr kräftige Medianleiste. Parallelrippen oder Querrippen wurden nicht festgestellt, die Sutralloben sind jedoch stark limbat, was zu knotenartigen Erhebungen führen kann. Der Suturewinkel liegt bei ca. 50°. Die Wand ist fein perforiert. Ein sehr schmaler Schlitz zwischen Basis und Scheitel der Endkammer bildet die Mündung.

L = 0,33–0,5 mm

B = 0,19–0,25 mm

D = 0,08–0,10 mm B/D = 2,2–2,5

Differentialdiagnose:

Sie unterscheidet sich von *Bolivina concinna* durch den länglich-ovalen Umriss, den flacheren Querschnitt, die schwächere Medianleiste und die geringere Anzahl von Sutralloben,

von *Bolivina fastigia droogeri* C. & Z. und *Bolivina scalprata miocenica* MACFADYEN durch die Ausbildung einer Medianrippe.

Verbreitung:

Selten im Oberen Eger der Ortenburg-Bohrungen und der Traun, im Eggenburg des Lußgrabens, des Röthelbaches und Niederbayerns. Sie verschwindet im Oberen Eggenburg und wird von *Bolivina concinna* abgelöst.

Bolivina concinna (KNIPSCHER & MARTIN)

Taf. 8, Fig. 15–16

*1955 *Bolivinoides concinna* n. sp. — KNIPSCHER & MARTIN: 261, Abb. 1 (Ottnang, Württemberg)

1961 *Bolivina concinna* (KNIPSCHER & MARTIN) — HAGN: 304, Abb. 29 (Ottnang, Bodensee)

1967 *Bolivina concinna* (KNIPSCHER & MARTIN) — HOFMANN: 161, Taf. 5/11 (Ottnang, Bayern)

1973 *Bolivina concinna* (KNIPSCHER & MARTIN) — RÖGL & CÍCHA: 307, Taf. 2/9 (Ottnang, Oberösterreich)

Ein biserials, drachenförmiges, aus 7–9 Kammerpaaren aufgebautes Gehäuse mit gekielter Peripherie und ziemlich dickem Querschnitt. Die Kammern sind niedrig, nicht gebläht, die Seiten leicht gelappt, stark divergierend. Die Suturen sind breit, limbat, gebogen, durchscheinend mit je 1–3 deutlichen, engen, hohen Sutureloben. In der Medianlinie verläuft eine kräftige Leiste, parallel dazu häufig weitere Längsrippen, die durch die Verbindung der limbaten Sutralloben entstehen. Der Suturewinkel beträgt 40–50°. Die Wand ist fein perforiert. Die Mündung wird von einem sehr schmalen Schlitz gebildet, der sich zwischen Scheitel und Basis der letzten Kammer erstreckt.

L = 0,23–0,35 mm

B = 0,14–0,19 mm

D = 0,08–0,1 mm B/D = 1,4–2,0

Differentialdiagnose:

Sie unterscheidet sich von *Bolivina fastigia* durch die größere Gehäusedicke, den drachenförmigen Umriss, die kräftigeren Längsrippen und die zahlreicheren Sutureloben,

von *Bolivina scalprata miocenica* MACFADYEN durch das dickere Gehäuse und den Medianwulst.

Verbreitung:

Nicht selten im Ottnang der gesamten bayerischen Molasse. Erstauftreten im Oberen Eggenburg der Prien und des Röthelbaches (selten).

Bolivina subalpina HOFMANN

Taf. 8, Fig. 17–18

*1967 *Bolivina subalpina* n. sp. — HOFMANN: 162, Taf. 2/9–10 (Rupel bis Eger, Bayern)

1972 *Bolivina subalpina* HOFMANN — DOEBL et al.: 59, Taf. 9/16 (Aquitain, Mainzer Becken)

Ein biseriales, aus 11–14 Kammerpaaren bestehendes Gehäuse, das in seiner äußeren Form *Bolivina dilatata* ähnelt. Es ist schlank-dreieckig, länglich, abgeflacht, die Peripherie scharfkantig aber ohne Kiel, der Querschnitt flachrhombisch. Die Kammern sind niedrig, nicht gebläht, die Seiten nicht gelappt, kaum divergierend. Charakteristisch sind die stark limbaten Suturen, die sich gegen die Medianlinie verbreitern. Sie sind gebogen und weisen einen kleinen Saturallobus auf. Typisch ist auch die stark verdickte Medianleiste. Der Suturenwinkel beträgt 40–50°. Die Wand ist fein perforiert. Die Mündung erscheint als schmaler Schlitz zwischen Basis und Scheitel der letzten Kammer.

L = 0,3–0,45 mm

B = 0,14–0,17 mm

D = 0,06–0,08 mm

Verbreitung:

Nicht selten im Oberen Eger der Ortenburg-Bohrungen.

Bolivina korynoides korynoides HOFMANN

Taf. 8, Fig. 19–20

*1967 *Bolivina korynoides korynoides* n. sp. — HOFMANN: 169, Taf. 5/6 (Eger, Bayern)

1974 *Bolivina korynoides korynoides* HOFMANN — DOEBL & SONNE: 29, Taf. 7/57 (Rupel, Mainzer Becken)

Ein kleines, biseriales, schlankes, keulenförmiges Gehäuse. Die Peripherie ist stets gut gerundet, der Querschnitt leicht abgeflacht. Es besteht aus 14–20 leicht geblähten Kammern. Die Seiten sind gelappt, fast parallel, die Suturen sehr schmal, leicht eingesenkt, gerade, nur wenig geneigt. Der Suturenwinkel liegt bei 60–80°. Die Wand ist fein perforiert. Ein schmaler, an der Kammerbasis ansetzender Schlitz mit schmalem Saum bildet die Mündung.

L = 0,23–0,33 mm

B = 0,11–0,12 mm

D = 0,05–0,08 mm

Differentialdiagnose:

Bolivina molassica ist größer und besitzt gebogene und stärker geneigte Suturen.

Bolivina oligocaenica SPANDEL hat steilere Suturen und keine geblähten Kammern.

Bolivina euzona weist verdickte Nähte auf.

Bolivina scitula zeigt steilere Suturen.

Bemerkungen:

Die Abbildung bei DOEBL & SONNE (1974: Taf. 7/57) läßt leicht größere Poren und etwas steilere Suturen erkennen. Die Unterschiede sind jedoch sehr gering. Das Exemplar stammt aus dem Rupel.

Verbreitung:

Nicht selten im Oberen Eger der Bohrung Ortenburg 1001.

Bolivina korynoides subtumida HOFMANN

Taf. 8, Fig. 21–22

*1967 *Bolivina korynoides subtumida* n. sp. n. ssp. — HOFMANN: 170, Taf. 4/12–13 (Eger, Bayern)

Ein kleines, biseriales, schlankes, keulen- bis spindelförmiges Gehäuse, bestehend aus 8–10 Kammerpaaren, mit breitgerundeter Peripherie und rundlichem Querschnitt. Die Kammern sind leicht gebläht, die Seiten gelappt, fast parallel, die Suturen sehr schmal, leicht eingesenkt, gerade, fast horizontal. Der Suturenwinkel schwankt zwischen 80 und 90°. Die Wand ist fein perforiert. Die Mündung besteht aus einem schmalen Schlitz zwischen Basis und Scheitel der Endkammer.

L = 0,27–0,36 mm

B = 0,1–0,12 mm

D = 0,07–0,09 mm

Differentialdiagnose:

Sie unterscheidet sich von der Nominatunterart durch den dickeren Gehäusequerschnitt und die fast horizontalen Nähte.

Verbreitung:

Nicht selten im Oberen Eger der Bohrung Ortenburg 1002.

Bolivina euzona HOFMANN

*1967 *Bolivina euzona* n. sp. — HOFMANN: 171, Taf. 4/5–6 (Eger, Bayern)

Verbreitung:

Selten im Oberen Eger der Bohrung 1002, sehr selten im Oberen Eger des Teufelsgrabens.

Bolivina molassica HOFMANN

*1967 *Bolivina molassica* n. sp. — HOFMANN: 158, Taf. 4/9–11 (Eger, Bayern)

Verbreitung:

Häufig im Oberen Eger der Bohrungen Ortenburg und Ampfing 1 und der Traun.

Bolivina scitula HOFMANN

Taf. 8, Fig. 23–24

*1967 *Bolivina scitula* n. sp. — HOFMANN: 168, Taf. 5/15 (Ottnang, Bayern)

1973 *Bolivina scitula* HOFMANN — RÖGL & CÍCHA: 307, Taf. 2/11 (Ottnang, Oberösterreich)

Die Gehäuse dieser Art sind von kleiner, schlanker Form mit gerundeter Peripherie und ovalem Querschnitt. Sie setzen sich aus 10–11 Kammerpaaren zusammen. Die Kammern sind gebläht und nehmen allmählich an Höhe zu, bleiben jedoch immer breiter als hoch. Die Seiten sind deutlich gelappt, fast parallel, die Suturen sehr schmal, steil und leicht gebogen, deutlich eingesenkt. Der Suturewinkel schwankt zwischen 45 und 55°. Die Wand ist fein perforiert. Der schmale Mündungsschlitz setzt an der Basis der Endkammer an und trägt einen schmalen Saum.

L = 0,25–0,4 mm
B = 0,08–0,11 mm
D = 0,05–0,08 mm

Differentialdiagnose:

Sie unterscheidet sich von *Bolivina oligocaenica* SPANDEL durch die eingesenkten Suturen und die gerundete Peripherie, von *Bolivina korynoides* durch die steileren Suturen, von *Bolivina kodymi* C. & Z. durch die gebogenen Nähte, die nichtgezackte Peripherie und den weniger abgeflachten Querschnitt.

Bemerkungen:

DOEBL et al. (1972: 59, Taf. 9/15) führen die Art aus dem Aquitan des Mainzer Beckens an. Die Abbildung zeigt jedoch deutlich flachere Suturen.

Mehr Ähnlichkeit besteht mit *Bolivina* cf. *oligocaenica* SPANDEL bei RÖGL (1969a: 79, Taf. 3/5). Er gibt einen Suturewinkel von 60–65° an. In der Abbildung liegt er jedoch unter 60°.

Verbreitung:

Selten im Unteren Ottnang von Niederbayern. Ein unsicheres Exemplar aus dem Mittelottnang (Bryozoenkalke von Dommelstadl).

Bolivina elongata HANTKEN

Taf. 8, Fig. 25–26

- *1875 *Bolivina elongata* n. sp. — HANTKEN: 65, Taf. 7/14 (Eozän/Oligozän, Ungarn)
1937b *Bolivina elongata* HANTKEN — CUSHMAN: 51, Taf. 6/31–32 (Oligozän, Ungarn)
1967 *Bolivina elongata* HANTKEN — HOFMANN: 175, Taf. 4/2 (Rupel bis Eger, Bayern)
1974 *Bolivina elongata* HANTKEN — DOEBL & SONNE: 29, Taf. 7/54 (Rupel, Mainzer Becken)
1982 *Bolivina elongata* HANTKEN — SZTRAKOS: Taf. 27/8; 28/3 (Eozän/Oligozän, Ungarn)

Aus 7–10 Kammerpaaren aufgebaute, langgestreckte, schlanke, biseriale Formen, mit breit-gerundeter Peripherie, breit-ovalem Querschnitt und hohen, geblähten Kammern. Die Seiten sind leicht gelappt, fast parallel, die Suturen durchscheinend, breit, stark limbat, im Endteil etwas eingesenkt, gerade, nicht sehr stark geneigt. Der Suturewinkel beträgt 40–70°. Die Oberfläche zeigt eine feine Längsstreifung. Die Wand ist grob perforiert. Die Mündung ist als breiter, ovaler Schlitz ausgebildet, der sich zwischen Scheitel und Basis der Endkammer erstreckt, an der Basis häufig deutlich verengt ist und von einer gut sichtbaren Lippe gesäumt wird.

L = 0,5–0,7 mm
B = 0,17–0,2 mm
D = 0,11–0,15 mm

Differentialdiagnose:

Sie unterscheidet sich von *Bolivina liebusi* und *Bolivina antiqua* durch den dickeren Gehäusequerschnitt mit breit-gerundeter Peripherie.

Verbreitung:

Häufig im Oberen Eger der Ortenburg-Bohrungen und im Unteren Eger der Bohrung Aldersbach.

Bolivina liebusi HOFMANN

- *1967 *Bolivina liebusi* n. sp. — HOFMANN: 176, Taf. 2/6–8 (Rupel bis Eger, Bayern)

Verbreitung:

Häufig im Oberen Eger der Bohrung Isen 1 und im Unteren Eger der Bohrung Aldersbach. Sehr selten im Eggenburg des Traunprofils und des Kaltenbachgrabens und im Unteren Ottnang der Bohrung Ampfing 1 (cf.!).

Bolivina antiqua D'ORBIGNY

Taf. 8, Fig. 27–28

- *1846 *Bolivina antiqua* D'ORB. — D'ORBIGNY: 240, Taf. 14/11–13 (Mittelmiozän, Wiener Becken)
1857 *Bolivina antiqua* D'ORB. — EGGER: 294, Taf. 12/22–26 (Eggenburg/?Mittelottnang, Niederbayern)
1937b *Bolivina antiqua* D'ORB. — CUSHMAN: 77, Taf. 9/15–16 (Baden, Wiener Becken)
1963a *Bolivina antiqua* D'ORB. — ČIČHA & ZAPLETALOVÁ: 160, Abb. 33 (Miozän, Tschechoslowakei)
1985 *Bolivina antiqua* D'ORB. — PAPP & SCHMID: 83, Taf. 77/1–6 (Mittelmiozän, Wiener Becken)

Biseriale Gehäuse von schlanker, langgestreckter, stark abgeflachter Form, subacuter Peripherie und flach-ovalem Querschnitt. Sie bestehen aus 7–9 Kammerpaaren. Die Kammern sind kaum gebläht, die Seiten nicht gelappt, fast parallel, die Suturen breit, durchscheinend, gerade bis leicht gebogen, limbat, in der Medianlinie noch mehr verbreitert und verdickt. Der Suturewinkel beträgt 30–45°. Die Wand ist fein perforiert. Die ovale Mündung setzt an der Basis der letzten Kammer an und erweitert sich nach oben.

L = 0,4–0,6 mm
B = 0,11–0,19 mm
D = 0,08–0,1 mm

Differentialdiagnose:

Sie unterscheidet sich von *Bolivina liebusi* durch den stärker abgeflachten Querschnitt, die feinere Perforation und den etwas niedrigeren Suturewinkel.

Verbreitung:

Selten im Eggenburg des Röthelbaches und der Prien, sowie im Ottnang von Niederbayern, des Surprofils und der Prien.

Genus: *Sigmavirgulina* LOEBLICH & TAPPAN 1957

Sigmavirgulina tortuosa (BRADY)

Taf. 9, Fig. 1

- *1881 *Bolivina tortuosa* nov. — BRADY: 27 (rezent, Pazifik)
 1937b *Bolivina tortuosa* BRADY — CUSHMAN: 133, Taf. 17/11–19
 (rezent, Pazifik u. Atlantik; Miozän, Österreich, Ungarn,
 Ägypten)
 1960 *Sigmavirgulina tortuosa* BRADY — BARKER: Taf. 52/31–32
 (rezent, Pazifik)
 1963a *Bolivina tortuosa* BRADY — CÍCHA & ZAPLETALOVÁ: 169,
 Abb. 39 (Miozän, Tschechoslowakei)

Diese Schalen zeichnen sich durch einen sigmoilinen Anfangsteil und einen biserialen, stark um die Längsachse gedrehten Hauptteil aus. Der Umriss ist breitoval, der Querschnitt stark abgeflacht, die Peripherie gekielt. Die Kammern sind kaum gebläht und ziemlich hoch. Es treten ca. 7 Kammerpaare auf. Die Seiten sind nicht gelappt und stark divergierend, die Suturen leicht eingesenkt und weisen einen kleinen Sutrallobus auf. Der Suturenwinkel beträgt ca. 70°. Die Wand ist fein perforiert, die Mündung besteht aus einem ovalen Schlitz zwischen Scheitel und Basis der Endkammer. Er ist von einem Saum umgeben.

L = 0,4 mm
 B = 0,23 mm
 D = 0,11 mm

Verbreitung:

Ein Exemplar aus dem Unteren Ottang von Oberschwärzenbach.

Genus: *Coryphostoma* LOEBLICH & TAPPAN 1962

Coryphostoma digitalis (D'ORBIGNY)

Taf. 9, Fig. 2–3

- *1846 *Polymorphina digitalis* D'ORB. — D'ORBIGNY: 235, Taf. 14/
 1–4 (Mittelmiozän, Wiener Becken)
 1937b *Loxostoma digitale* (D'ORB.) — CUSHMAN: 180, Taf. 21/
 10–12 (Miozän, Österreich/Ägypten)
 1963a *Bolivina* („*Loxostomum*“) *digitalis* (D'ORB.) — CÍCHA & ZAPLETALOVÁ: 177, Abb. 46 (Miozän, Tschechoslowakei)
 1985 *Bolivina digitalis* (D'ORB.) — PAPP & SCHMID: 83, Taf. 76/
 1–6 (Mittelmiozän, Wiener Becken)

Biserialer Gehäuse, deren Endteil eine Tendenz zur Einzigartigkeit zeigt. Die Formen sind schlank, langgestreckt und abgeplattet, mit subacuter Peripherie. Der Querschnitt ist flachoval, die Kammern sind kaum gebläht und nehmen rasch an Höhe zu. Insgesamt treten 5–7 Kammerpaare auf. Die Seiten sind schwach gelappt, fast parallel, die Suturen breit, durchscheinend, gerade, deutlich limbat, später leicht vertieft. Die Oberfläche trägt eine feine Längsstreifung. Der Suturenwinkel beträgt 30–50°. Die Wand ist grob perforiert, die Mündung oval, terminal, mit internen Zahnplatten.

L = 0,33–0,5 mm
 B = 0,11–0,17 mm
 D = 0,07–0,11 mm

Differentialdiagnose:

Sie unterscheidet sich von *Coryphostoma sinuosa* CUSHMAN durch die feine Längsstreifung,

von *Bolivina antiqua* durch die Mündungsform und die Längsstreifung.

Verbreitung:

Sehr selten im Eggenburg des Röthelbaches und der Prien, selten im Ottang der gesamten bayerischen Molasse.

Genus: *Uvigerina* D'ORBIGNY 1826

Uvigerina posthantkeni PAPP

Taf. 9, Fig. 4–8

- 1951 *Uvigerina pygmaea* D'ORB. — FRIESE: 33, Taf. 14/1–30 (Oligozän, Niederbayern)
 *1971 *Uvigerina posthantkeni* n. sp. PAPP — CÍCHA et al.: 264,
 Taf. 14/1–4 (Eggenburg, Niederösterreich)
 1977 *Uvigerina hemmooriensis* n. sp. — DANIELS & SPIEGLER: 35,
 Taf. 6/6–7; 9/6 (Vierland bis Hemmoor, Norddeutschland)

Durchgehend triseriale Gehäuse von stämmiger bis schlanker Form mit rundem Querschnitt. Sie bestehen aus 3–5 Umgängen und werden zunehmend schlanker, je höher die Zahl der Umgänge ist. Die Kammern sind gebläht, gedrunken und zunächst breiter als hoch, später so breit wie hoch. Die Oberfläche ist mit 12–18 kräftigen Längsrippen verziert, die gewöhnlich an den Kammergrenzen unterbrochen und versetzt sind. Die Endkammer ist häufig unberippt. Die Suturen sind deutlich eingesenkt. Ein kurzes Hälschen, das von einer Lippe umkränzt ist, bildet die Mündung. Die Gehäusewand ist matt und fein perforiert.

L = 0,25–0,9 mm
 B = 0,15–0,4 mm

Differentialdiagnose:

Sie unterscheidet sich von *Uvigerina hantkeni* CUSHMAN & EDWARDS durch die schlankere Gehäuseform,

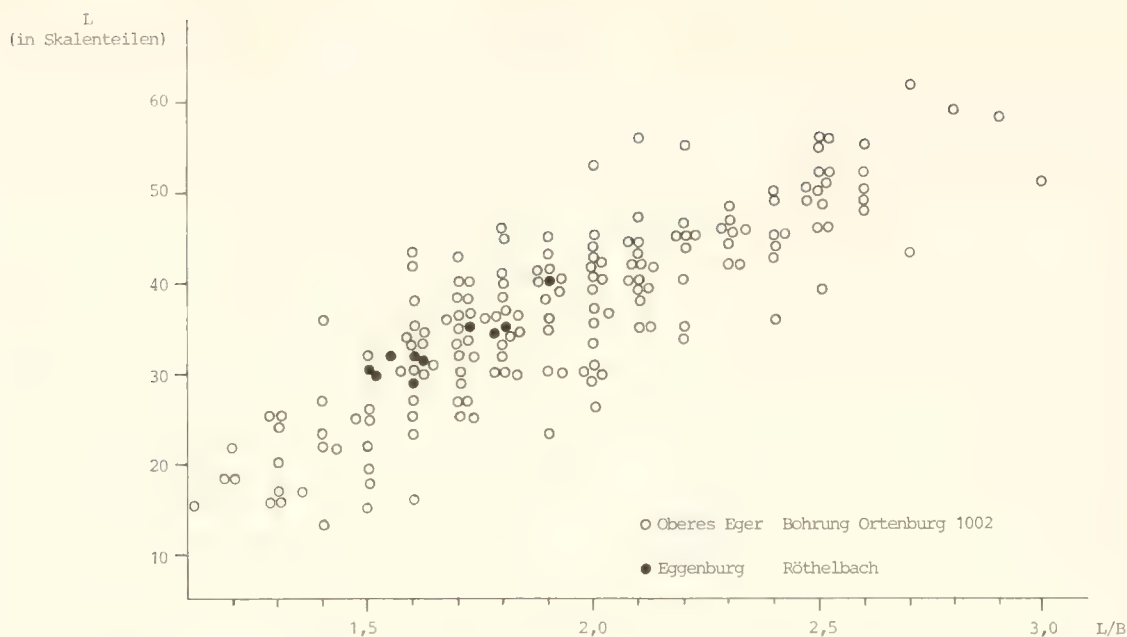
von *Uvigerina semiornata* durch die kräftigeren Rippen.

Uvigerina steiryi PAPP ist gewöhnlich kleiner, hat einen mehr ovalen Umriss und feinere, nichtunterbrochene Rippen, wie bei PAPP, KRÖLL & FUCHS (1978: Taf. 1/1–7) und POIGNANT & BIOLZI (1981: Taf. 6/7–8) gezeigt.

Bemerkungen:

Exemplare, die aus 4 Windungen bestehen, stimmen sehr gut mit dem Holotyp von *Uvigerina posthantkeni* überein. Bei mehr Umgängen erhalten sie jedoch ein wesentlich schlankeres Aussehen. Das Material konnte beim „First Meeting on Benthic Foraminifera“ in Hannover im März 1984 mit freundlicher Erlaubnis von Herrn Dr. C. Rupp, Wien, mit dem Holotyp und den Paratypen verglichen werden.

Wie aus Abb. 26 hervorgeht, ist das L/B-Verhältnis sehr stark abhängig von der Gehäusegröße. Je größer ein Exemplar ist, um so schlanker ist es. Kleine Formen mit weniger Umgängen erscheinen breiter und gedrungener. Eine Unterscheidung von *Uvigerina hantkeni*, *posthantkeni* und *steiryi* allein aufgrund des L/B-Verhältnisses ist daher nicht möglich. *Uvigerina hantkeni* ist nur dann zu erkennen, wenn sich auch bei größeren Gehäusen ein niedriges L/B-Verhältnis feststellen läßt. Ihr Feld müßte also in Abb. 26 links oben liegen, das von *Uvigerina steiryi* rechts unten.

Abb. 26: Biometrische Messungen an *Uvigerina posthantkeni*.**Verbreitung:**

Diese Art setzt im obersten Rupel ein. Sie besitzt im Oberen Eger ein ausgeprägtes Häufigkeitsmaximum und ist auch noch im Eggenburg des Röthelbaches und des Lußgrabens vereinzelt zu finden. Im Ottang tritt sie nicht mehr auf, nach CÍCHA et al. (1983: 113) reicht sie jedoch noch in dessen tiefsten Teil hinein.

Ökologie:

Uvigerinen gelten als Häufigkeitsformen des Tiefneritikums und oberen Bathyals (vgl. POAG 1981: 22, WALTON 1964: Abb. 16 und BOLTOVSKOY & WRIGHT 1976: 119).

Uvigerina semiornata D'ORBIGNY

Taf. 9, Fig. 9–10

- 1846 *Uvigerina semiornata* D'ORB. — D'ORBIGNY: 189, Taf. 11/23–24 (Mittelmiozän, Wiener Becken)
Uvigerina urnula D'ORB. — D'ORBIGNY: 189, Taf. 11/21–22
 1953 *Uvigerina semiornata semiornata* D'ORB. — PAPP & TURNOVSKY: 128, Taf. 5/C1, 3, 7 (Mittelmiozän, Wiener Becken)
Uvigerina semiornata urnula D'ORB. — PAPP & TURNOVSKY: 129, Taf. 5/C2, 6
 1977 *Uvigerina semiornata semiornata* D'ORB. — DANIELS & SPIEGELER: 20, Taf. 1/1–10; 7/1–2 (Miozän, N-Deutschland)
 1985 *Uvigerina semiornata* D'ORB. — PAPP & SCHMID: 73–74, Taf. 64/1–10 (Mittelmiozän, Wiener Becken)

Die durchgehend triseriellen Gehäuse von schlanker Form und rundem Querschnitt sind aus 4–5 Umgängen aufgebaut. Die Kammern sind gebläht, gedrunken, zunächst breiter als hoch, später so hoch wie breit und von einer sehr feinen Berippung überzogen, jedoch nur im älteren Gehäuseteil, während der jüngere Abschnitt stets glatt ist. Die Suturen sind deutlich eingesenkt, das kurze Mündungshälschen ist von einer Lippe umkränzt.

L = 0,5–0,8 mm

B = 0,33–0,4 mm

Differentialdiagnose:

Sie unterscheidet sich von *Uvigerina posthantkeni* durch die wesentlich feineren und zahlreicheren Rippen.

Sie ist nicht leicht von *Uvigerina rudlingensis* abzutrennen. Bei letzterer sind jedoch die rudimentären Rippen größer, sie zeigt deshalb eher eine Tendenz, sich zu *Uvigerina posthantkeni* zu entwickeln.

Verbreitung:

Selten im Oberen Eger der Blauen Wand, häufig in den Fischschiefern des Zillergrabens und der Bohrung Ortenburg 1002. Sehr selten im Unteren Ottang von Untersimbach und Höbmansbach/OÖ.

Uvigerina rudlingensis PAPP

- *1975 *Uvigerina rudlingensis* n. sp. — PAPP: 283, Taf. 1/1–4 (Eger, Oberösterreich)

Verbreitung:

Die Art besitzt ein ausgeprägtes Häufigkeitsmaximum im obersten Teil des Unteren Eger. Sie tritt im Oberen Eger schlagartig zurück, zugunsten *Uvigerina posthantkeni*, und verschwindet im tieferen Teil des Oberen Eger.

Uvigerina parviformis PAPP

Taf. 9, Fig. 11–14

- *1953 *Uvigerina parviformis* n. sp. — PAPP: 305, Taf. 1/1–3 (Eger/Eggenburg, Bayern)
 1963 *Uvigerina parviformis* PAPP — PAPP: 251, Taf. 5/5–7 (Eggenburg, Bayern und Österreich)
 1966 *Uvigerina parviformis* PAPP — PAPP & TURNOVSKY: 80, Taf. 22/14–16 (Mittelmiozän, Wiener Becken)
 1971 *Uvigerina parviformis* PAPP — CÍCHA et al.: 265, Taf. 14/5–8 (Eggenburg, Niederösterreich)

Die Gehäuse sind in der Regel triseriell, größere Exemplare zeigen eine leichte Tendenz zur Zweizeiligkeit. Sie sind von

kleiner, gedrungener Form und rundem Querschnitt und setzen sich aus 2–4 Umgängen zusammen. Die Kammern sind gedrunken, zunächst breiter als hoch, später so hoch wie breit und werden von deutlich eingeschnittenen Suturen getrennt. Die Oberfläche ist meist rau aber skulpturlos oder nur mit schwachen Pusteln bedeckt, häufig jedoch auch mit feinen Längsrippchen überzogen, die sich nicht über die gesamte Gehäuselänge erstrecken, sondern oft unterbrochen sind und sich in Pustelreihen auflösen. Die Schale endet in einem kurzen Mündungshälschen und ist fein perforiert.

L = 0,25–0,5 mm

B = 0,17–0,25 mm

Differentialdiagnose:

Sie unterscheidet sich von *Uvigerina posthantkeni* in ihrer schwachen bis fehlenden Berippung,

von *Uvigerina rudlingensis* durch die wesentlich geringere Größe, die breitere, plumpere Form und die kugeligen Kammern.

Manchmal erinnert sie an *Uvigerina farinosa* HANTKEN, weicht aber in der regelmäßigeren Kammeranordnung und in der Ausbildung der Endkammer von dieser Form ab.

Bemerkungen:

PAPP (1953) deutet die Art als Stammform der *Hopkinsina bononiensis*-Gruppe. Locus typicus ist der Pechschnaitgraben im Traunprofil. Entgegen der Erstbeschreibung lassen sich im Topotypmaterial unter vielen glatten Formen auch Exemplare mit feiner Längsberippung feststellen. Auch der Holotyp der Art, den ich beim „First Meeting on Benthic Foraminifera“ im März 1984 in Hannover einsehen konnte, zeigt eine schwache Längsberippung.

Verbreitung:

Selten im obersten Obereger des Pechschnaitgrabens, der Bohrung Ortenburg 1002 und von Prutdorf, im Eggenburg vom Pechschnaitgraben, Röthelbach und Lußgraben, sowie im untersten Ottang von Traunstein und der Sur.

Uvigerina cichai REISER

1973 *Uvigerina* aff. *acuminata* HOSIUS – RÖGL & CICHÁ: 310, Taf. 8/42; 11/65 (Ottang, Oberösterreich)

*1987 *Uvigerina cichai* n. sp. – REISER (i. d. Bd.)

Bemerkungen:

Gegenüber den Formen aus der bayerischen Oligozän-Molasse, sind bei den Exemplaren aus dem Ottang die Rippen weniger zahlreich.

Verbreitung:

Sehr selten im Ottang von Niederbayern und des Kaltenbachgrabens.

Genus: *Hopkinsina* HOWE & WALLACE 1932

Hopkinsina bononiensis primiformis (PAPP & TURNOVSKY)

Taf. 9, Fig. 15–16

*1953 *Uvigerina bononiensis primiformis* n. ssp. – PAPP & TURNOVSKY: 121, Taf. 5/A1–2 (Mittelmiozän, Wiener Becken)

1953 *Uvigerina bononiensis primiformis* P. & T. – PAPP: 304, Taf. 1/7–10 (Karp, Niederösterreich)

1955 *Hopkinsina bononiensis* (FORNASINI) – KAASSCHIETER: 80, Taf. 12/2 (Untermiozän, SW-Frankreich)

1963 *Uvigerina bononiensis primiformis* P. & T. – PAPP: 251, Taf. 5/9–10 (Karp, Niederösterreich)

1969a *Uvigerina bononiensis primiformis* P. & T. – RÖGL: 88, Taf. 3/16 (Karp, Niederösterreich)

1973 *Uvigerina bononiensis primiformis* P. & T. – RÖGL & CICHÁ: 310, Taf. 8/40; 11/62 (Ottang, Oberösterreich)

Uvigerina cf. *bononiensis primiformis* P. & T. – RÖGL & CICHÁ: 311, Taf. 11/63

1978 *Hopkinsina bononiensis primiformis* (PAPP) – POIGNANT & PUJOL: Taf. 5/10 (Burdigal, SW-Frankreich)

Die langen, schlanken Gehäuse verengen sich etwas nach oben. Der Anfangsteil ist triserial (2 Umgänge), gedrunken, im Querschnitt rund, der Endteil biserial (1–3 Kammerpaare), seitlich abgeflacht und nimmt $\frac{2}{3}$ bis $\frac{3}{4}$ der Gesamtlänge ein. Die leicht geblähten Kammern werden von deutlich eingesenkten, horizontalen Suturen geschieden. Die Kammern greifen stark ineinander, wodurch eine enggewundene Mediansutur entsteht. Die Kammern sind meist niedrig (breiter als hoch), es wurden aber auch Exemplare mit größerer Kammerhöhe (eiförmige Kammern) beobachtet, die mehr an *H. bononiensis bononiensis* (FORNASINI) erinnern. Die Schalen tragen eine feine, dichte Längsberippung und sind sehr fein perforiert. Am Ende sitzt ein kurzes Mündungshälschen mit Lippe.

L = 0,35–0,6 mm

B = 0,17–0,21 mm

Differentialdiagnose:

Hopkinsina bononiensis bononiensis (FORNASINI) zeigt ein schwächer entwickeltes triseriales Anfangsstadium und bereits eine deutliche Tendenz zur Einzeiligkeit. Der biserialer Teil erscheint weniger gedrunken aufgrund einer deutlichen Zunahme der Kammerhöhe. Die Kammern greifen noch stärker ineinander. Die Suturen biegen nach außen zu stark nach unten.

Bei *Hopkinsina bononiensis compressa* (CUSHMAN) ist der biserialer Teil stärker seitlich zusammengedrückt und der triseriale Teil schwächer entwickelt. Die Suturen verlaufen nicht horizontal.

Hopkinsina parkeri breviformis (P. & T.) unterscheidet sich durch die fehlende Skulptur. Nur im Unteren Ottang der Sur wurde ein glattschaliges Exemplar gefunden, das vielleicht auf diese Form bezogen werden könnte.

Verbreitung:

Im Ottang der gesamten bayerischen Molasse, häufig im Mittelottang von Niederbayern.

Ökologie:

Die Art bevorzugt flachneritische Verhältnisse.

Hopkinsina cf. *bononiensis primiformis* (PAPP & TURNOVSKY)
Taf. 9, Fig. 17

Diese Exemplare unterscheiden sich von *Hopkinsina bononiensis primiformis* durch den locker gewundenen triserialen Anfangsteil mit hoch-spiraliger Kammeranordnung.

Verbreitung:

Sehr selten im Oberen Eggenburg des Röthelbaches.

Genus: *Trifarina* CUSHMAN 1923

Synonym: *Angulogerina* CUSHMAN 1927

Trifarina gracilis (REUSS)

Taf. 9, Fig. 18–20

- *1851 *Uvigerina gracilis* m. – REUSS: 77, Taf. 5/39 (Rupel, N-Deutschland)
 1857 *Uvigerina semiornata* D'ORB. – EGGER: 285, Taf. 11/17–18 (?Mittelottnang/?Eggenburg, Niederbayern)
 1870 *Uvigerina* No. 379–382 – V. SCHLICHT: 65, Taf. 22/34–37 (Rupel, N-Deutschland)
Uvigerina tenuistriata nov. sp. – REUSS: 31 (Rupel, N-Deutschland)
 1958 *Angulogerina gracilis* (REUSS) – BATJES: 134, Taf. 6/1–5 (Oligozän, Belgien)
Angulogerina gracilis var. *tenuistriata* (REUSS) – BATJES: 136, Taf. 6/5
Angulogerina gracilis var. *oligocaenica* (ANDREAE) – BATJES: 135, Taf. 6/3
 1962 *Angulogerina gracilis* (REUSS) – KIESEL: 56, Taf. 8/10 (Oligozän, DDR)
Angulogerina gracilis var. *oligocaenica* (ANDREAE) – KIESEL: 56, Taf. 8/11
Angulogerina gracilis var. *tenuistriata* (REUSS) – KIESEL: 57, Taf. 8/12
 1964 *Angulogerina gracilis* (REUSS) – HAUSMANN: 376, Taf. 7/1–3 (Rupel, DDR)

Diese Art ist durchgehend triserial, von schlanker Gestalt, abgerundet dreieckigem Querschnitt und aus 4–6 Umgängen aufgebaut. Die Kammern sind gebläht, kugelig, die Suturen stark vertieft. Die Skulptur variiert sehr stark:

var. *gracilis* (REUSS): glatte Formen; sie sind sehr selten,

var. *tenuistriata* (REUSS): Formen mit feiner Längsberippung; sie kommen am häufigsten vor. Die Rippen ziehen nicht über die Kammergrenzen hinweg.

Dazwischen liegen auch Übergangsformen vom Typus *oligocaenica* (ANDREAE) vor.

Ein kurzes Hälschen bildet die Mündung, die Wand ist fein perforiert.

L = 0,25–0,45 mm

B = 0,15–0,25 mm

Differentialdiagnose:

Sie unterscheidet sich von *Trifarina angulosa* durch den stärker abgerundeten Querschnitt.

Verbreitung:

Var. *tenuistriata* tritt in der gesamten bayerischen Molasse vom Oberen Eger bis ins Mittlere Ottnang auf. Sie ist selten, sehr häufig dagegen im Unteren Eger der Bohrung Aldersbach.

Var. *gracilis* liegt nur aus dem Eggenburg des Röthelbaches und Fußgrabens, aus dem Unteren Ottnang des Kaltenbachgrabens und dem Oberen Eger des Burgstallgrabens vor.

Im Unteren Ottnang von Neuhofen wurde ein Exemplar gefunden, das mehr an *Trifarina germanica* (CUSHMAN & EDWARDS) erinnert.

Trifarina angulosa (WILLIAMSON)

Taf. 9, Fig. 21–22

- *1858 *Uvigerina angulosa* WILLIAMSON – WILLIAMSON: 67, Taf. 5/140 (rezent, Atlantik) (fide ELLIS & MESSINA)
 1951 *Angulogerina angulosa* (WILL.) – MARKS: 63, Taf. 7/16 (Mittelmiozän, Wiener Becken)
 1966 *Trifarina angulosa* (WILL.) – BUTT: 48, Taf. 2/11 (Oligozän, SW-Frankreich)

Die Gehäuse dieser Art bestehen aus 4–5 Umgängen, sie sind triserial gebaut, von kleiner, meist etwas gedrungener Gestalt. Der Anfangsteil ist im Querschnitt rund, der Hauptteil (etwa $\frac{3}{4}$ der Gesamtlänge) dreikantig mit 3 scharfen Kiehlen, die jedoch nicht ungestört über die Kammergrenzen hinweglaufen. Die Seitenflächen sind nur sehr selten leicht concav, meistens noch gewölbt. Schwach eingesenkte Nähte trennen die nur leicht geblähten Kammern, die eine unterschiedlich deutliche, jedoch nie sehr kräftige Längsberippung aufweisen. Völlig glatte Formen sind sehr selten. Am Ende sitzt ein kurzes Mündungshälschen. Die Wand ist fein perforiert.

L = 0,2–0,33 mm

B = 0,14–0,2 mm

Differentialdiagnose:

Sie unterscheidet sich von *Trifarina gracilis* durch den deutlich dreikantigen Endteil.

Verbreitung:

Keine regionale und zeitliche Beschränkung; selten.

Trifarina globosa (STOLTZ)

Taf. 9, Fig. 23–24

- *1925 *Uvigerina tenuistriata* var. *globosa* STOLTZ – STOLTZ: 130, Abbildung (Rupel, N-Deutschland) (fide ELLIS & MESSINA)
 1938 *Angulogerina oligocaenica* var. *globosa* (STOLTZ) – CUSHMAN & EDWARDS: 86, Taf. 15/12–13 (Rupel, N-Deutschland)
 1952 *Trifarina* sp. – HAGN: 175 (Rupel bis Ottnang, Bayern)
 1955 *Angulogerina* aff. *A. oligocaenica* var. *globosa* (STOLTZ) – BHATIA: 682, Taf. 66/19 (Paläogen, England)
 1979 *Trifarina globosa* (STOLTZ) – SZTRAKOS: 67, Taf. 20/13–14 (Oligozän, Ungarn)
 1982 *Trifarina globosa* (STOLTZ) – SZTRAKOS: Taf. 29/8 (Eozän/Oligozän, Ungarn)

Eine lange, schlanke Form mit triserialer Kammeranordnung. Die geblähten Kammern sind in ca. 4 Umgängen angeordnet, im Anfangsteil eng aneinandergesetzt, im Endteil zunehmend locker angeordnet mit Tendenz zur Einzeiligkeit. Sie sind mit einer feinen, unregelmäßigen Längsberippung verziert. Der Querschnitt ist durchgehend dreieckig, die Seiten sind leicht concav. Die Längskanten laufen nicht gleichmäßig durch, sondern sind an den Kammergrenzen unterbrochen, wodurch sie stark gewellt erscheinen. Die Suturen sind deutlich eingesenkt. Die Schale endet in einem kurzen Mündungshälschen und ist fein perforiert.

L = 0,33–0,4 mm

B = ca. 0,14 mm

Differentialdiagnose:

Sie unterscheidet sich von *Trifarina angulosa* durch den längeren, dreikantigen Hauptteil und die stärker gegliederten Längskanten,

von *Trifarina bradyi* durch die unregelmäßigen Längskanten.

Bemerkungen:

HAUSMANN (1964: 378) betrachtet die Art als synonym mit *Angulogerina gracilis* und führt die abgeschnürten Kammern auf „pathologische Erscheinungen“ zurück.

Verbreitung:

Sehr selten im Eger der Ortenburg-Bohrungen. Von HAGN (1952) auch aus den Fischeischiefern der Traun, aus dem Priental und dem Ottang des Ratzinger Bergs erwähnt.

Trifarina bradyi CUSHMAN

Taf. 9, Fig. 25–26

- *1923 *Trifarina bradyi* n. sp. — CUSHMAN: 99, Taf. 22/3–9 (rezent, Atlantik)
 1957 *Trifarina bradyi* CUSHMAN — TOLLMANN: 193, Taf. 3/10 (Eggenburg, Niederösterreich)
 1962 *Trifarina bradyi* CUSHMAN — KIESEL: 57, Taf. 8/9 (Oligozän, DDR)

Eine schlanke Form, die häufig etwas um die Längsachse gedreht ist. Sie ist triserial mit insgesamt 3–4 Umgängen, im Endteil mit sehr lockerer Kammeranordnung und einer Tendenz zur Einzeiligkeit. Der Querschnitt ist durchgehend dreikantig. Die scharfen Kanten verlaufen von der Mündung bis zur Basis und sind an den Kammergrenzen nicht unterbrochen. Die dazwischenliegenden Seitenflächen sind leicht concav, die Kammern kaum gebläht und von wenig eingesenkten Nähten getrennt. Die Gehäusewand ist glatt, fein perforiert. Die Mündung wird von einem kurzen Hälschen gebildet.

L = 0,3–0,4 mm
 B = 0,15–0,2 mm

Differentialdiagnose:

Sie unterscheidet sich von *Trifarina globosa* und *Trifarina angulosa* durch die durchlaufenden, nicht unterbrochenen, scharfen Längskanten.

Verbreitung:

Sehr selten im Eggenburg und Ottang.

Genus: *Oolina* D'ORBIGNY 1839

Oolina globosa (MONTAGU)

Taf. 10, Fig. 1–2

- *1803 *Vermiculum globosum* MONTAGU — MONTAGU: 523 (fide ELLIS & MESSINA) (rezent, England)
 1862 *Lagena globosa* WALKER — REUSS: 318, Taf. 1/1–3 (Miozän, Belgien)
 1962 *Lagena globosa* (MONTAGU) — KIESEL: 40, Taf. 6/16 (Oligozän, DDR)
 1965 *Lagena globosa* (MONTAGU) — GROSSHEIDE: 75, Taf. 8/5 (Chatt, N-Deutschland)
 1979 *Oolina globosa* (MONTAGU) — SZTRÁKOS: Taf. 18/6 (Oligozän, Ungarn)

Ein kugeliges Gehäuse mit rundem Querschnitt und einem Stachelansatz an der Basis. Die Schale ist in der Regel glatt und fein perforiert, nur manchmal konnte eine leichte Längs-

riefung festgestellt werden. Die runde, zentrische Mündung sitzt auf einer halbkugelförmigen Erhebung und ist meist von strahlig angeordneten Furchen umgeben. Im Gehäuseinneren bildet sie sich zu einem mehr oder weniger langen, dünnen Siphon um.

L = 0,15–0,36 mm
 B = 0,12–0,33 mm

Verbreitung:

Selten im Unteren Ottang von Niederbayern (relativ häufig in den Untersimbacher Schichten), selten im Mittleren Ottang der Sur und der Gänshaller Sande.

Oolina apiculata REUSS

Taf. 10, Fig. 3

- *1851a *Oolina apiculata* m. — REUSS: 22, Taf. 2/1 (Kreide, Ukraine)
 1862 *Lagena apiculata* REUSS — REUSS: 318, Taf. 1/4–8, 10–11 (Rupel, N-Deutschland)
 1882 *Fissurina apiculata* REUSS — TERQUEM: 30, Taf. 9/18 (Eozän, Pariser Becken)
 1942 *Lagena apiculata* (REUSS) — TEN DAM & REINHOLD: 69 (Oligozän/Miozän, Niederlande)
 1962 *Lagena apiculata* (REUSS) — KIESEL: 40, Taf. 6/6–7 (Oligozän, DDR)

Ein eiförmiges, glattes, fein perforiertes Gehäuse mit basalem Stachelansatz. Die äußere Mündungsform war aufgrund der schlechten Erhaltung nicht sichtbar, im Gehäuseinneren ließ sich dagegen ein langer, dünner Siphon erkennen.

L = 0,2–0,25 mm
 B = 0,16–0,18 mm

Verbreitung:

2 Exemplare aus dem Unteren Ottang von Siggenham/Prien.

Oolina aspera (REUSS)

Taf. 10, Fig. 4

- *1861b *Lagena aspera* n. sp. — REUSS: 305, Taf. 1/5 (Maastricht, Niederlande)
 1862 *Lagena aspera* REUSS — REUSS: 335, Taf. 6/81 (Maastricht, Niederlande)
 1939 *Lagena aspera* REUSS — MATHES: 65

Eiförmiges Gehäuse mit basalem Stachelansatz. Die fein perforierte Schale ist rauh, mit groben Warzen bedeckt, die zum Teil in Längsreihen angeordnet sind. Die Mündung ist terminal, rund, strahlig.

L = 0,33 mm
 B = 0,22 mm

Verbreitung:

2 Exemplare aus dem Unteren Ottang von Oberschwärzenbach.

Genus: *Fissurina* REUSS 1850

Fissurina orbignyana orbignyana SEGUENZA

Taf. 10, Fig. 5–6

- *1862 *Fissurina orbignyana* SEGUENZA — SEGUENZA: 66, Taf. 2/25–26 (Obermiozän, Sizilien) (fide ELLIS & MESSINA)

- 1939 *Lagena orbignyana* (SEG.) — MATHES: 80, Taf. 6/104 (Mittelmiozän, Österreich)
 1966 *Oolina orbignyana* (SEG.) — BUTT: 44, Taf. 2/2–4 (Oligozän, SW-Frankreich)
 1969a *Fissurina orbignyana* SEG. — RÖGL: 78, Taf. 1/15 (Karpát, Niederösterreich)

Die Art ist sehr variabel in Gestalt und Skulptur. Der Umriss ist meist mehr oder weniger stark länglich-oval, selten rundlich. Das Gehäuse ist stark abgeflacht, die Seitenflächen unterschiedlich stark gebuchtet, selten fast eben. Typisch für diese Art ist die dreikeilige Peripherie, wobei der mittlere Kiel die äußeren deutlich überragt. Die äußeren Kiele umlaufen meist den ganzen Umfang, nur manchmal sind sie an der Basis kurz unterbrochen. Die Schale ist fein perforiert, meist glatt, selten auf den Seitenflächen mit je 2 schwachen, kurzen Rippen versehen, die parallel zu den Kielen verlaufen. Die Mündung besteht aus einem schmalen Schlitz auf der Mündungsspitze, die manchmal recht schlank, bisweilen als breiter, stumpfer Schnabel ausgebildet ist. Sie ist im Gehäuseinneren zum Siphon umgeformt.

L = 0,17–0,33 mm

B = 0,14–0,22 mm

D = 0,08–0,2 mm

Verbreitung:

Selten im Eggenburg und Ottang der gesamten bayerischen Molasse.

Fissurina orbignyana striata (FRIESE)

Taf. 10, Fig. 7–8

- *1951 *Lagena orbignyana striata* n. subsp. — FRIESE: 27, Taf. 11/35 (Untermiozän, Niederbayern)
 1956 *Entosolenia ornata* var. *compressa* n. var. — LONGINELLI: 138, Taf. 19/17 (Pliozän, Italien)
 1974 *Fissurina kapellensis* n. sp. — SPIEGLER: 60, Taf. 1/16–17 (Oligozän/Miozän, N-Deutschland)
 1979 *Fissurina kapellensis* SPIEGLER — SZTRÁKOS: Taf. 18/7 (Oligozän, Ungarn)
 1982 *Fissurina kapellensis* SPIEGLER — SZTRÁKOS: Taf. 15/8 (Eozän/Oligozän, Ungarn)

Eine abgeflachte Form mit rundlich-ovalem Umriss. Die Seitenflächen sind stark gebuchtet und mit ca. 6–9 feinen Längsrippen auf jeder Seite verziert. Die Peripherie ist dreikeilig, wobei der mittlere Kiel die äußeren deutlich überragt. Am apikalen Ende sitzt eine stumpfe Mündungsspitze mit einem schmalen Schlitz. Die Wand ist fein perforiert.

L = 0,15–0,17 mm

B = 0,14–0,15 mm

D = 0,1–0,12 mm

Verbreitung:

Sehr selten im Eggenburg von Blindham und des Röthelbaches.

Fissurina laevigata REUSS

Taf. 10, Fig. 9–10

- *1850 *Fissurina laevigata* m. — REUSS: 366, Taf. 46/1 (Mittelmiozän, Wiener Becken)
 1862 *Fissurina laevigata* REUSS — REUSS: 338, Taf. 6/84 (Mittelmiozän, Wiener Becken)

- 1960 *Fissurina laevigata* REUSS — BARKER: Taf. 114/8 (rezent)
 1962 *Fissurina lucida* (WILLIAMSON) — KIESEL: 55, Taf. 8/5 (Oligozän, DDR)
 1964a *Fissurina laevigata* REUSS — LOEBLICH & TAPPAN: Abb. 425/8 (Tertiär, Deutschland)
 1979 *Fissurina laevigata* REUSS — SZTRÁKOS: Taf. 18/8 (Oligozän, Ungarn)
 1982 *Fissurina laevigata* REUSS — DE MEUTER: 115, Taf. 4/13–14 (Miozän, Belgien)

Stark abgeplattete, im Querschnitt spitz-ovale, im Umriss rundliche Gehäuse. Die Peripherie ist scharfkantig, aber nicht gekielt, die Schale glatt und fein perforiert. Das apikale Ende ist als stumpfe Spitze ausgebildet, auf der der schmale Mündungsschlitz liegt. Dieser ist im Gehäuseinneren mit einem langen, schmalen, sich nach unten zu verbreiternden, manchmal sogar sackartig ausgebauchten Siphon verbunden.

L = 0,22–0,27 mm

B = 0,19–0,22 mm

D = 0,13–0,15 mm

Differentialdiagnose:

Sie unterscheidet sich von *Fissurina marginata* (WALKER & BOYS) durch das Fehlen des Kielsaums,

von *Fissurina lucida* (WILLIAMSON) in ihrer regelmäßigeren, rundlichen Gestalt.

Verbreitung:

Sehr selten im Oberen Eger des Zillergrabens, selten im Eggenburg des Röthelbaches und von Maierhof, selten im Ottang von Niederbayern und des Lußgrabens.

Fissurina obtusa EGGER

Taf. 10, Fig. 11–12

- *1857 *Fissurina obtusa* nov. spec. — EGGER: 270, Taf. 5/16–19 (Eggenburg, Niederbayern)
 1862 *Fissurina obtusa* EGGER — REUSS: 340, Taf. 7/92–93 (Eggenburg, Niederbayern)
 1957 *Entosolenia obtusa* (EGGER) — TOLLMANN: 189, Taf. 3/4 (Eggenburg, Niederösterreich)

Neotypus: Slg. München, Prot. 5497

Locus typicus: Maierhof (Material aus Hausbach und Habühl war nicht verfügbar)

Stratum typicum: Eggenburg

Nur schwach abgeflachte, dickbauchige Schalen mit rundlichem bis ovalem Umriss. Die Peripherie ist ziemlich breit gerundet und kaum gewinkelt, die Oberfläche glatt, fein perforiert. Die Öffnung stellt sich als breiter Mündungsschnabel mit schmalem Schlitz dar. Der Internsiphon ist zum Teil nach unten zu sackartig erweitert.

L = 0,15–0,38 mm

B = 0,11–0,28 mm

D = 0,1–0,25 mm

Differentialdiagnose:

Sie unterscheidet sich von *Fissurina laevigata* durch den rundlicheren Querschnitt.

Verbreitung:

Selten im Eggenburg und Ottang von Niederbayern, im Eggenburg des Lußgrabens und der Prien, im Ottang des Kaltenbachgrabens und Eulenbaches.

Fissurina fasciata (EGGER)

Taf. 10, Fig. 13–14

*1857 *Oolina fasciata* nov. spec. — EGGER: 270, Taf. 5/12–15 (Eggenburg, Niederbayern)1862 *Lagena fasciata* EGGER — REUSS: 323, Taf. 2/24 (Eggenburg, Niederbayern)

Stark abgeflachte, ovale Gehäuse mit nur wenig gewölbten Seitenflächen. Die Peripherie trägt in typischer Weise 2 deutlich voneinander getrennte Kiele. Der Querschnitt erscheint dadurch ungefähr rechteckig. Die Kiele sind stumpf und umlaufen das ganze Gehäuse. Die Peripherie zwischen den Kiehlen ist nicht eingesenkt. Die Oberfläche ist glatt und fein perforiert. Die runde Mündungsöffnung sitzt auf einer kurzen, stumpfen Spitze.

L = 0,22 mm

B = 0,17 mm

D = 0,08 mm

Bemerkungen:

LONGINELLI (1956: 133, Taf. 19/10) gibt die Art aus dem Pliozän Italiens an. Nach der Abbildung besitzt diese Form jedoch einen wesentlich dickeren Querschnitt. DROOGER & KAASSCHIETER (1958: 44) bestimmen diese Art auch rezent aus der Karibik, BUCHNER (1940: 479, Taf. 25/262–265) aus dem Golf von Neapel. Letzterer bezeichnet damit allerdings Formen mit langem Mündungsschlitz.

Obwohl diese Art sich durch eine sehr typische Gestalt auszeichnet und auch nach der Darstellung bei EGGER eindeutig wiederzuerkennen ist, wurde wegen der großen Seltenheit dieser Formen und weil kein Material aus der Typlokalität (Buchleiten) vorlag, von der Aufstellung eines Neotyps abgesehen.

Verbreitung:

Sehr selten im Unteren Ottang der Prien.

Familie: Eouvigerinidae CUSHMAN 1927

Genus: *Stilostomella* GUPPY 1894Synonyme: *Siphonodosaria* SILVESTRI 1924*Nodogenerina* CUSHMAN 1927*Stilostomella ott nangensis* (TOULA)

Taf. 10, Fig. 15–16

*1914 *Nodosaria ott nangensis* n. f. — TOULA: 105, Abb. 1 (Ott nang, Oberösterreich)1960a *Lagenonodosaria badensis* (D'ORB.) — HAGN: Taf. 10/4 (Ott nang, Niederbayern)1973 *Stilostomella ott nangensis* (TOULA) — RÖGL & CICHÁ: 308, Taf. 6/29–30 (Ott nang, Oberösterreich)

Uniseriale, lange, schlanke, leicht gebogene Gehäuse mit rundem Querschnitt. 2–6 kugelige Kammern sind stark gebläht, zunächst wenig breiter als hoch, später höher als breit, meist leicht aneinandergepreßt, manchmal aber auch sehr locker angereiht und nur noch durch ein schmales Hälschen verbunden. Sie nehmen langsam an Größe zu, die 2. Kammer ist kleiner als die Anfangskammer. Die Suturen verlaufen horizontal und sind deutlich eingeschnürt. Die Seiten sind ungefähr parallel und stark gelappt. Die Kammeroberfläche ist mit 14–24 meist durchlaufenden Rippen verziert, häufig sind

noch zusätzliche, nicht durchziehende Rippen eingeschaltet. Bisweilen sind die Hauptrippen noch deutlich höher als die Zwischenrippen, manchmal sind sie nicht mehr voneinander zu unterscheiden. Die Skulptur ist sehr variabel: sie reicht von kräftigen, blattartigen Rippen bis zu fast glatten Formen. Die Anfangskammer ist mit einem kurzen Dorn versehen, die Wand ist fein perforiert. Das lange, zentrisch gelegene Mündungshälschen ist mit längslaufenden Rippen besetzt, die Öffnung ist nierenförmig, im spätontogenetischen Stadium häufig auch von einer feinen Zähnelung umgeben, wie bei *Siphonodosaria*. Nach oben ist es meist leicht trompetenförmig erweitert. Die Internmündungen sind ebenfalls als Mündungshälschen ausgebildet, deren Länge jedoch nie $\frac{1}{5}$ der Kammerhöhe übersteigt.

L = 0,33–3,0 mm

B = 0,17–0,4 mm

Differentialdiagnose:

Sie unterscheidet sich von *Stilostomella danuviensis* durch die höhere Zahl an Längsrippen,

von *Amphicoryna imperfectecostata* in der Längsberippung des Mündungshälschens.

Bemerkungen:

Die Gattung *Stilostomella* besitzt kein Zahnplattensystem wie die Buliminiden. Das Mündungshälschen reicht nur ein kurzes Stück in die darauffolgende Kammer hinein und verbindet nicht als durchgehender Siphon die Kammern miteinander. Von *Nodosaria* unterscheidet sie nur die Einbuchtung an der Mündungsöffnung. Die Trennung der beiden Gattungen ist sehr schwierig. POPESCU (1975: 65) stellte *Stilostomella* zu den Nodosariiden. Er wies außerdem nach, daß die für die Gattung *Siphonodosaria* typische Mündung nur ein spätontogenetisches Stadium von *Stilostomella* darstellt.

Verbreitung:

Häufig im Unteren Ottang der gesamten bayerischen Molasse. Nach CICHÁ et al. (1983: 11) ist sie auf das Ott nang beschränkt.

Ökologie:

In der sandigeren Fazies wird bei dieser Art die Berippung deutlich schwächer. Sie reicht jedoch nicht in ganz flaches Milieu hinein.

Die Gattung *Stilostomella* hat eine weite bathymetrische Verbreitung, meidet jedoch flaches Wasser. Sie beansprucht als Häufigkeitsform 100 m Mindesttiefe.

Stilostomella danuviensis nom. nov.

Taf. 10, Fig. 17–18

1857 *Nodosaria badensis* var. *aculeata* — EGGER: 305, Taf. 15/17–21 (Eggenburg, Niederbayern)1957 *Nodosaria badensis aculeata* EGGER — TOLLMANN: 181, Taf. 1/4 (Eggenburg, Niederösterreich)1958b *Siphonodosaria ott nangensis* (TOULA) — CICHÁ: Taf. 52/19 (Eggenburg, Tschechoslowakei)

Namengebung: danuvius (lat.) = Donau

Aufgrund der Homonymie mit *Nodosaria aculeata* D'ORB. war eine Umbenennung erforderlich.

Neotypus: Slg. München, Prot. 5498

Locus typicus: Maierhof (Material aus Hausbach lag nicht vor)

Stratum typicum: Eggenburg

Die Gehäuse dieser Art sind einzellig, schlank und kaum gebogen, der Querschnitt ist rund. Die 1–4 kugeligen Kammern sind stark gebläht, zunächst etwas aneinandergepreßt und wenig breiter als hoch, später höher als breit, sie nehmen langsam an Größe zu, die 2. Kammer ist kleiner als die Anfangskammer. Die Suturen liegen horizontal und sind deutlich eingesenkt, die Seiten etwa parallel, stark gelappt. Die Kammeroberfläche wird von 7–16 durchlaufenden, häufig kräftigen, blattartigen, aber auch bisweilen ziemlich schwachen Längsrippen überzogen. In diese schalten sich nur sehr selten Zwischenrippen ein. Die Hauptrippen bleiben jedoch immer wesentlich höher als die stets sehr kurzen Zwischenrippen. Die Rippen ziehen mitunter auch am Mündungshälschen hinauf. Die Anfangskammer trägt einen kurzen Dorn, die Wand ist fein perforiert. Die Mündung besteht aus einem langen, zentrischen Hälschen, das mit längslaufenden Rippen besetzt ist. Die Öffnung ist rund oder nierenförmig und läßt nie eine Zähnelung erkennen, auch ist sie nie trompetenförmig nach oben zu erweitert. Die Internmündungen sind ebenfalls als kurze Hälschen ausgebildet.

L = 0,25–1,2 mm

B = 0,17–0,33 mm

Differentialdiagnose:

Es handelt sich bei dieser Art um den Vorläufer von *Stilostomella ottmannensis*, von der sie sich nur durch die geringere Rippenzahl, die selteneren Zwischenrippen und die einfachere Mündung unterscheidet. Die Rippen sind außerdem meist höher und schärfer. Die Art zeigt ab dem Unteren Ottmanng verstärkt die Tendenz Zwischenrippen einzuziehen und die Hauptrippen abzubauen. In den Neuhofener Mergeln lassen sich neben den typischen Exemplaren von *Stilostomella ottmannensis*, bei denen Haupt- und Zwischenrippen nur mehr schwer zu unterscheiden sind, noch die Übergangsformen beobachten, die noch die deutlich erhöhten Hauptrippen aufweisen, jedoch gegenüber *Stilostomella danuviensis* bereits deutlich mehr Zwischenrippen eingebaut haben.

Sie unterscheidet sich von *Amphicoryna badenensis* (D'ORB.) durch höhere, schärfere, zumindest im Anfangsteil häufig fast ohne Einschnürungen über die Nähte hinweglaufende Rippen, das berippte statt bepustelte Mündungshälschen und die weniger aneinandergepreßten, langsamer an Breite zunehmenden Kammern.

Verbreitung:

Sehr selten im Oberen Eger der Bohrung Ortenburg 1002, selten im Eggenburg des Röthelbaches, Fußgrabens, Kaltenbachgrabens und Eulenbaches, häufig an der Prien, in Maierhof und Blindham. Je 1 Exemplar aus dem untersten Ottmanng der Bohrung Ortenburg 1003 (220,0–221,0 m) und von Untersimbach

Stilostomella pentecostata (COSTA)

Taf. 10, Fig. 19–20

- *1856 *Nodosaria pentecostata* COSTA – COSTA: 161, Taf. 16/15 (fide ELLIS & MESSINA) (Neapel)
- 1857 *Nodosaria decem-costata* nov. spec. – EGGER: 306, Taf. 15/24–25 (Eggenburg, Niederbayern)
- 1952 *Nodosaria pentecostata* COSTA – RUSCELLI: 43, Taf. 2/9 (Tor-ton, N-Italien)
- 1982 *Nodosaria pentecostata* COSTA – AGIP S. p. A.: Taf. 14/1 (Miozän/Pliozän, Italien)

Uniseriale, lange, schlanke Gehäuse mit rundlichem Querschnitt. Die Kammern sind kaum gebläht und deutlich höher als breit, sie nehmen rasch an Größe zu. Die Suturen sind horizontal bis leicht schräg, nur schwach eingesenkt und leicht durchscheinend, die Seiten parallel, sehr wenig gelappt. Die Gehäuseoberfläche ist mit 6–10 schwach erhabenen, aber durchlaufenden Rippen besetzt, die dem Gehäuse bisweilen einen mehr oder weniger eckigen Querschnitt verleihen. Die Wand ist fein perforiert. Die nierenförmige, bisweilen leicht exzentrische Mündungsöffnung liegt im älteren Gehäuseteil auf einem deutlich erhabenen Wulst, die Endmündung auf einem kurzen Hälschen.

L = bis 0,7 mm (nur abgebrochene Exemplare)

B = 0,12–0,17 mm

Differentialdiagnose:

Sie unterscheidet sich von allen anderen Formen der skulptierten Gruppe durch die hohen Kammern und die kaum eingesenkten Nähte.

Von *Stilostomella consobrina*, *verneuili* und *longiscata* weicht sie in ihrer schwachen Längsberippung ab.

Stilostomella elegantissima (D'ORB.) besitzt schärfere, höhere Rippen.

Verbreitung:

Sehr selten im Oberen Eger der Bohrung Ortenburg 1001 und im Unteren Ottmanng von Untersimbach.

Stilostomella cf. *elegantissima* (D'ORBIGNY)

Taf. 10, Fig. 23

- *1846 *Dentalina elegantissima* D'ORB. – D'ORBIGNY: 55, Taf. 2/33–35 (Mittelmiozän, Wiener Becken)
- Dentalina spinosa* D'ORB. – D'ORBIGNY: 55, Taf. 2/36–37
- 1971 *Dentalina acuta* D'ORB. – CICHÁ et al.: 250, Taf. 3/3 (Eggenburg, Wiener Becken)
- 1985 *Nodosaria elegantissima* (D'ORB.) – PAPP & SCHMID: 34, Taf. 16/4–8 (Mittelmiozän, Wiener Becken)

Ein schlankes Gehäuse mit einzelliger Kammeranordnung und rundem Querschnitt. 4 leicht geblähte Kammern nehmen nicht an Größe zu, sie sind breiter als hoch. 6 scharfe Grate überziehen das ganze Gehäuse ohne Unterbrechung von oben bis unten. Die Suturen sind horizontal und stark eingesenkt. Die Mündung ist nierenförmig, zentrisch, die Gehäuswand fein perforiert.

L = (nur im Bruchstück)

B = ca. 0,15 mm

Bemerkungen:

Aufgrund der nierenförmigen Mündung wurde die Art zur Gattung *Stilostomella* gestellt.

Von den typischen Formen des Wiener Beckens unterscheidet sich das vorliegende Exemplar durch die stärker gedungenen Kammern. Diese erinnern mehr an *Dentalina acuta* D'ORB., von der es jedoch durch die nichtstrahlige Mündung und das zarte Gehäuse abweicht.

Verbreitung:

Ein Exemplar aus dem Unteren Ottang von Aspertscham (Ndb.)

Stilostomella adolphina (D'ORBIGNY)

Taf. 10, Fig. 21–22

- *1846 *Dentalina adolphina* D'ORB. — D'ORBIGNY: 51, Taf. 2/18–20 (Mittelmiozän, Wiener Becken)
 1969a *Stilostomella adolphina* (D'ORB.) — RÖGL: 80, Taf. 3/12 (Karp, Niederösterreich)
 1985 *Stilostomella adolphina* (D'ORB.) — PAPP & SCHMID: 31, Taf. 14/8–11 (Mittelmiozän, Wiener Becken)

Uniseriale, lange, schlanke, leicht gebogene Gehäuse mit rundem Querschnitt. Die Kammern sind kugelig, stark gebläht, zunächst wenig breiter als hoch, später so breit wie hoch, und nehmen langsam an Größe zu. Die Suturen verlaufen horizontal und sind tief eingesenkt, manchmal leicht durchscheinend. Die Seiten divergieren kaum und sind stark gelappt. Die Kammern sind an der Basis mit einem Ring enggesetzter, kurzer Dornen verziert, die nur in einer Linie angeordnet sind. Die Wand ist fein perforiert. Die zentrische Mündung ist oval oder nierenförmig mit einem Zahn am Innenrand. Auf der Endkammer ist sie zu einem sehr kurzen, trompetenförmig erweiterten Mündungshälschen ausgezogen.

L = bis 0,8 mm (nur abgebrochene Exemplare)

B = 0,1–0,2 mm

Differentialdiagnose:

Sie unterscheidet sich von *Stilostomella spinescens* durch die kugeligen Kammern, die tieferen Suturen und die regelmäßigere Anordnung der Dornen.

Verbreitung:

Sehr selten im Oberen Eger der Bohrungen Ortenburg und Ampfing. Selten im Eggenburg von Maierhof und des Röthelbaches. Sehr selten im Unteren Ottang von Niederbayern.

Stilostomella spinescens (REUSS)

Taf. 11, Fig. 4–5

- *1851b *Dentalina spinescens* m. — REUSS: 62, Taf. 3/10 (Rupel, N-Deutschland)
 1855 *Dentalina spinescens* REUSS var. — BORNEMANN: 324, Taf. 13/5 (Rupel, N-Deutschland)
 1863a *Dentalina retrorsa* m. — REUSS: 46, Taf. 3/27 (Rupel, N-Deutschland)
 1870 *Dentalina* No. 160 — VON SCHLICHT: 28, Taf. 8/16 (Rupel, N-Deutschland)
Nodosaria adolphina var. *spinescens* REUSS — REUSS: 23 (Rupel, N-Deutschland)
 1951 *Dentalina retrorsa* REUSS — FRIESE: 24, Taf. 10/38–40 (Oligozän/Miozän, Niederbayern)
 1958 *Nodosaria spinescens* (REUSS) — BATJES: 116, Taf. 3/13 (Oligozän, Belgien)
 1962 *Stilostomella spinescens* (REUSS) — KIESEL: 59, Taf. 9/4 (Oligozän, DDR)

1964 *Stilostomella spinescens* (REUSS) — HAUSMANN: 381, Taf. 3/13–14 (Rupel, DDR)

1978 *Dentalina spinescens* REUSS — ODRZYWOLSKA-BIENKOWA et al.: 264, Taf. 9/6 (Rupel, Polen)

Eine uniseriale, lange, schlanke, leicht gebogene Form mit rundem Querschnitt. Die Kammern sind stark gebläht, zunächst etwa so hoch wie breit, gewinnen rasch an Höhe und zeichnen sich durch einen ovalen Umriss aus. Die Nähte liegen horizontal und sind tief eingesenkt, manchmal leicht durchscheinend. Die Seiten divergieren wenig und sind stark gelappt. Die Kammern sind stets an der Basis mit einem Kranz kurzer Dornen besetzt, die jüngeren Kammern häufig zur Gänze mit Dornen oder Warzen unregelmäßig und schütter übersät, wie bei *Dentalina retrorsa*. Die Schale ist fein perforiert. Die zentrische Mündung ist von ovalem oder nierenförmigem Umriss, an der Endkammer ist sie zu einem kurzen, schlanken Mündungshälschen ausgezogen. Die Internmündungen sind dagegen nur von einem niedrigen Wulst gesäumt.

L = (nur abgebrochene Exemplare)

B = ca. 0,17 mm

Differentialdiagnose:

Sie unterscheidet sich von *Stilostomella adolphina* aufgrund ihrer ovalen Kammerform und ihrer unregelmäßigen Bedornung.

Verbreitung:

Häufig im Eggenburg des Röthelbaches und des Fußgrabens. Sehr selten im Unterottang von Niederbayern und im Mittelottang des Kaltenbachgrabens.

Stilostomella perscripta (EGGER)

Taf. 11, Fig. 1–3

- *1857 *Dentalina perscripta* nov. spec. — EGGER: 307, Taf. 15/30–31 (Eggenburg, Niederbayern)
 1951 *Dentalina perscripta* EGGER — FRIESE: 24, Taf. 10/37 (Untermiozän, Niederbayern)
 1973 *Stilostomella perscripta* (EGGER) — RÖGL & CICHÁ: 309 (Ottang, Oberösterreich)
 1980 *Stilostomella scripta* (D'ORB.) — DE MEUTER: 117, Taf. 4/18 (Miozän, Belgien)

Neotypus: Slg. München, Prot. 5498

Locus typicus: Maierhof (Material aus Hausbach lag nicht vor)

Stratum typicum: Eggenburg

Uniseriale, lange, schlanke, leicht gebogene Schalen mit rundem Querschnitt. Die Kammern sind deutlich gebläht, in der Regel höher als breit, nur selten niedriger. Sie nehmen langsam an Größe zu. Die Suturen sind stark eingesenkt, bisweilen leicht durchscheinend, horizontal, die Seiten schwach divergierend und stark gelappt. Die Anfangskammer trägt keinen Dorn. Die Oberfläche ist von feinen, schmalen, nicht durchlaufenden Längsrillen überzogen. Die dazwischenliegenden Grate sind mit Warzen besetzt, die sich bisweilen auch zu kurzen Dornen verlängern können. Die Wand ist fein perforiert. Die zentrische Mündung ist im frühontogenetischen Stadium kreisrund, später nierenförmig mit einem klei-

nen Zahn, und von einem deutlichen Wulst umgeben, der sich nur sehr selten zu einem kurzen Hälschen verlängert.

L = bis 1,2 mm (meist nur Bruchstücke)

B = 0,1–0,19 mm

Differentialdiagnose:

Der EGGERschen Art sehr ähnlich ist *Dentalina subcanaliculata* NEUGEBOREN (1856: 23, Taf. 4/7). *Stilostomella perscripta* weist jedoch stärker geblähte Kammern auf, mit auch im Anfangsteil deutlich vertieften Suturen und besitzt häufig Warzen oder kurze Dornen zwischen den Längsgrübchen.

Bemerkungen:

Nach EGGER (1857: 307) unterscheidet sich seine neue Art von *Dentalina scripta* D'ORB. dadurch, daß die Formen des Wiener Beckens nur auf einer Seite skulptiert sind. Bei D'ORBIGNY findet sich jedoch weder in Abbildung noch Beschreibung irgendein Hinweis darauf. Die beiden Arten unterscheiden sich vielmehr in der Form der Mündung und der Skulptur (Warzen bei *Dentalina scripta*) (vgl. PAPP & SCHMID 1985: 31, Taf. 15/1–4).

Verbreitung:

Sehr selten im Oberen Eger der Blauen Wand, selten im Eggenburg des Röthelbaches, des Fußgrabens, der Prien und von Maierhof. Häufig im Ottang der gesamten bayerischen Molasse.

Stilostomella scabra (REUSS)

Taf. 11, Fig. 12–13

- *1850 *Dentalina scabra* m. – REUSS: 367, Taf. 46/7–8 (Baden, Wiener Becken)
- 1951 *Dentalina scabra* REUSS – FRIESE: 23, Taf. 11/1–17 (Oligozän/Miozän, Niederbayern)
- 1958 *Dentalina soluta* REUSS – MARTIN: 314, Abb. 5 (Ottang, Schweiz)
- 1967 *Stilostomella scabra* (REUSS) – CICHÁ & ZAPLETALOVÁ: 131, Taf. 16A/5 (Karpát, CSSR)

Uniseriale, lange, schlanke, wenig gebogene Gehäuse mit rundem Querschnitt. Die Kammern sind perlschnurartig aufgereiht, zunächst etwas breiter als hoch, später etwa so breit wie hoch, fast kugelig, im Anfangsteil leicht aneinandergedrückt, dann deutlich voneinander abgesetzt und stark gebläht. Sie nehmen sehr wenig an Größe zu, häufig sind 4 oder 5 aufeinanderfolgende Kammern gleich groß. Die Suturen sind tief eingeschnitten, horizontal und leicht durchscheinend, die Seiten parallel bis leicht divergierend und stark gelappt. Die Anfangskammer trägt keinen Dorn. Die Oberfläche ist glatt oder bepustelt und fein perforiert. Die zentrisch gelegene Mündung ist rund bis nierenförmig, von einem niedrigen Wulst umgeben und zeigt einen manchmal sogar deutlich vorspringenden Zahn.

L = bis 0,43 mm (nur abgebrochene Exemplare)

B = 0,08–0,17 mm

Differentialdiagnose:

Sie unterscheidet sich von *Stilostomella consobrina* und *verneuili* durch die deutlich voneinander abgesetzten, kugeligen Kammern,

von *Stilostomella adolphina* aufgrund der schwachen bis fehlenden Skulptur.

Dentalina soluta REUSS und *globifera* REUSS besitzen eine gestrahlte Mündung.

Verbreitung:

Selten im Eggenburg von Maierhof und Röthelbach, im Eggenburg und Ottang des Surprofils und im Ottang von Niederbayern (Engertsham und Untertattenbach).

Stilostomella consobrina (D'ORBIGNY)

Taf. 11, Fig. 6–7

- *1846 *Dentalina consobrina* D'ORB. – D'ORBIGNY: 46, Taf. 2/1–3 (Mittelmiozän, Wiener Becken)
- 1855 *Dentalina consobrina* D'ORB. – BORNEMANN: 323, Taf. 13/1–4 (Rupel, N-Deutschland)
- 1857 *Dentalina consobrina* D'ORB. – EGGER: 306, Taf. 15/22–23 (Eggenburg, Niederbayern)
- 1962 *Stilostomella consobrina* (D'ORB.) – KIESEL: 58, Taf. 8/13 (Oligozän, DDR)
- 1962 *Siphonodosaria consobrina* (D'ORB.) – INDANS: 61, Taf. 6/1 (Miozän, NW-Deutschland)
- 1969a *Stilostomella consobrina* (D'ORB.) – RÖGL: 81, Taf. 2/1 (Karpát, Niederösterreich)
- 1985 *Stilostomella consobrina* (D'ORB.) – PAPP & SCHMID: 29, Taf. 11/1–5 (Mittelmiozän, Wiener Becken)

Uniseriale, lange, schlanke, nur wenig gebogene Schalen mit rundem Querschnitt. Die Kammern sind zunächst etwa so breit wie hoch, später deutlich höher als breit und stark gebläht. Sie nehmen langsam an Größe zu. Die Nähte sind leicht limbat und durchscheinend, ziemlich horizontal, deutlich eingeschnürt. Die Seiten divergieren leicht und sind gelappt. Die Anfangskammer trägt bisweilen einen Stachel. Die Oberfläche ist etwas rau aber unskulptiert, fein perforiert. Die Mündung ist zentrisch, selten leicht exzentrisch, in Abhängigkeit vom ontogenetischen Stadium zunächst rund, später nierenförmig durch die Ausbildung eines kleinen Zahnes. Sie ist umkränzt von einem niedrigen Wulst, der sich aber auch bisweilen zu einem kurzen Hälschen verlängert, das aber nie mehr als 1/5 der Kammerhöhe erreicht. Im Endteil des Gehäuses kann es sich auch trompetenförmig erweitern.

L = bis 1,0 mm (meist nur Bruchstücke)

B = 0,14–0,19 mm

Differentialdiagnose:

Sie unterscheidet sich von *Stilostomella verneuili* durch die stark eingesenkten Suturen und die höheren und geblähten Kammern.

Verbreitung:

Sehr selten im Oberen Eger der Traun, der Prien und der Ortenburg-Bohrungen. Häufig im Eggenburg des Röthelbaches, des Fußgrabens, selten an der Prien und im Kaltenbachgraben. Selten im Unterottang des Fußgrabens und im höchsten Unterottang von Kindlbach.

Stilostomella verneuili (D'ORBIGNY)

Taf. 11, Fig. 8–9

- *1846 *Dentalina verneuili* D'ORB. – D'ORBIGNY: 48, Taf. 2/7–8 (Mittelmiozän, Wiener Becken)
- 1855 *Dentalina verneuili* D'ORB. – BORNEMANN: 324, Taf. 13/8 (Rupel, N-Deutschland)
- 1930 *Nodosaria verneuili* (D'ORB.) – MACFADYEN: 70, Taf. 2/24 (Miozän, Ägypten)

- 1962 *Stilostomella verneuili* (D'ORB.) — KIESEL: 60, Taf. 9/5 (Oligozän, DDR)
Stilostomella elegans (D'ORB.) — KIESEL: 58, Taf. 9/1
Stilostomella pauperata (D'ORB.) — KIESEL: 59, Taf. 9/3
 1967 *Stilostomella verneuilli* (D'ORB.) — CÍCHA & ZAPLETALOVÁ: 132, Taf. 16A/4 (Karpát, CSSR)
 1971 *Stilostomella elegans* (D'ORB.) — CÍCHA et al.: 261, Taf. 27/4 (Eggenburg, CSSR)
 1985 *Siphonodosaria verneuili* (D'ORB.) — PAPP & SCHMID: 29, Taf. 12/1–7 (Mittelmiozän, Wiener Becken)

Uniseriale, sehr zierliche, lange, schlanke, meist leicht gebogene Gehäuse mit rundem Querschnitt. Die Kammern sind zunächst deutlich breiter als hoch, nehmen allmählich an Größe zu, werden aber nur wenig höher als breit. Sie sind kaum gebläht und von zylindrischer Gestalt. Die Suturen sind deutlich limbat, durchscheinend, ziemlich horizontal, nicht eingesenkt, nur im Endteil des Gehäuses leicht eingeschnürt. Die Seiten divergieren nur wenig und sind nicht gelappt, höchstens im Endteil. Die Anfangskammer trägt keinen Dorn, die Oberfläche ist glatt, abgesehen von einer gelegentlichen schwachen Längsriefung, und fein perforiert. Die Mündung ist in der Regel zentrisch, selten leicht exzentrisch, in Abhängigkeit vom ontogenetischen Stadium zunächst rund, später nierenförmig durch Ausbildung eines kleinen Zahnes. Sie ist umkränzt von einem niedrigen Wulst, der sich aber auch bisweilen zu einem kurzen Hälschen verlängert, das aber nie $\frac{1}{5}$ der Kammerhöhe übersteigt. Im Endteil des Gehäuses kann es sich trompetenförmig erweitern.

L = bis 1,0 mm (meist nur Bruchstücke)
 B = 0,08–0,19 mm

Bemerkungen:

PAPP & SCHMID (1985: 29) stellten die Art zur Gattung *Siphonodosaria*. Wie jedoch schon mehrfach erwähnt wurde, ändern sich die Mündungsverhältnisse im Laufe der Ontogenie. POPESCU (1975: 65) wies darauf hin, daß der siphonodosariide Mündungstyp das höchste Stadium der ontogenetischen Entwicklung von *Stilostomella* darstellt.

Verbreitung:

Selten im Oberen Eger der Traun, der Bohrungen Ampfing und Ortenburg und des Zeieringer Grabens. Selten im Eggenburg des Röthelbaches und der Prien, häufig im Ottang der gesamten bayerischen Molasse.

Stilostomella longiscata (D'ORBIGNY)

Taf. 11, Fig. 10–11

- *1846 *Nodosaria longiscata* D'ORB. — D'ORBIGNY: 32, Taf. 1/10–12 (Mittelmiozän, Wiener Becken)
Nodosaria irregularis D'ORB. — D'ORBIGNY: 32, Taf. 1/13–14
 1851b *Nodosaria ewaldi* m. — REUSS: 58, Taf. 3/2 (Rupel, N-Deutschland)
 1964 *Stilostomella longiscata* (D'ORB.) — HAUSMANN: 380, Taf. 3/11 (Rupel, DDR)
 1979 *Chrysalogonium longiscatum* (D'ORB.) — SZTRÁKOS: Taf. 9/16 (Oligozän, Ungarn)
 1985 *Nodosaria longiscata* D'ORB. — PAPP & SCHMID: 23, Taf. 3/1–5 (Mittelmiozän, Wiener Becken)
Nodosaria irregularis D'ORB. — PAPP & SCHMID: 23, Taf. 3/6–9; 4/1

Uniseriale, lange, schlanke, leicht gebogene Gehäuse mit rundem Querschnitt. Die Kammern sind nicht gebläht, sehr

stark in die Länge gezogen, zylindrisch. Sie nehmen rasch an Höhe zu. Häufig folgt auf den Proloculus sogleich eine stark verlängerte Kammer, bisweilen lassen sich aber auch zunächst eine Reihe niedriger Kammern beobachten. Die Suturen sind wenig eingesenkt, leicht durchscheinend, die Seiten parallel, kaum gelappt. Die Anfangskammer trägt meist einen basalen Dorn. Die Wand ist sehr dünn, glatt, fein perforiert. Die zentrische, runde, meist aber leicht nierenförmige Mündung ist von einem niedrigen Wulst umgeben.

L = bis 1,5 mm (nur abgebrochene Exemplare)

B = 0,08–0,2 mm

Bemerkungen:

Aus der Beschreibung von *Nodosaria ewaldi* bei REUSS (1851b) geht hervor, daß die Endmündung mit einer Siebplatte versehen ist. Das spräche für eine Zuordnung zur Gattung *Chrysalogonium*. Spätere Bearbeiter der norddeutschen Faunen machten diese Feststellung nicht. In meinem Material konnten keine Gehäuseteile gefunden werden, die die Endmündung zeigen (auch nicht das von anderen Autoren häufig erwähnte Mündungshälschen). Die intercameralen Mündungen lassen jedoch die Nierenform von *Stilostomella* erkennen.

Verbreitung:

Vereinzelt im Oberen Eger der Prien und der Bohrungen Ortenburg und Ampfing. Sehr selten im Eggenburg des Pechschnaitgrabens und im Unteren Ottang der Prien und Niederbayerns (Höhenmühle). Sehr selten im Mittelottang der Ortenburg-Bohrungen.

Familie: Elphidiidae GALLOWAY 1933

Genus: *Elphidium* MONTFORT 1808

Synonym: *Cribroelphidium* CUSHMAN & BRÖNNIMANN 1948

Elphidium crispum (LINNÉ)

Taf. 11, Fig. 14 u. 18

- *1758 *Nautilus crispus* — LINNAEUS: 709 (rezent, Mittelmeer)
 1846 *Polystomella crispa* LAMARCK — D'ORBIGNY: 125, Taf. 6/9–14 (Mittelmiozän, Wiener Becken)
 1929 *Elphidium crispum* (LINNÉ) — CUSHMAN & LEAVITT: 20, Taf. 4/3–4 (rezent, Adria)
 1939 *Elphidium crispum* (LINNÉ) — CUSHMAN: 50, Taf. 13/17–21 (rezent, Mittelmeer/Pazifik)
 1963 *Elphidium crispum* (LINNÉ) — PAPP: 264, Taf. 7/2; 8/1–5; 9/1–2 (Miozän, Österreich)
 1976 *Elphidium crispum* (LINNAEUS) — HANSEN & LYKKE-ANDERSEN: 6, Taf. 1/10–12; 2/1–2 (rezent, Mittelmeer)

Gleichmäßig diskusförmige, planspiral-involute, gekielte Gehäuse mit nichtgelappter Peripherie. Das Zentrum bildet ein deutlicher, ziemlich glatter, etwas vorspringender Pfeiler. Die sichelförmigen, regelmäßig gebogenen Septen nehmen ca. die Hälfte der Kammerhöhe ein. Auf den Septen sind, je nach Größe, 10–15 Septalgruben entwickelt. Die Kammern sind sehr schmal, ihre Zahl schwankt zwischen 19 und 21. Die Mündung besteht aus einer basalen Porenreihe. Am Rande der Mündungsfläche sind deutliche Retralprozesse ausgebildet.

Ø = 0,66–0,8 mm

D = 0,32–0,38 mm Ø/D = 1,8–2,1 (im Schnitt 2,0)

Differentialdiagnose:

Sie unterscheidet sich von *Elphidium flexuosum flexuosum* durch die höhere Kammerzah und die flachere Form,

von *Elphidium flexuosum subtypicum* durch die höhere Kammerzah, das größere Gehäuse und den deutlicher abgegrenzten, ziemlich glatten Pfeiler,

von *Elphidium rugosum* (D'ORB.) durch den viel deutlicheren Zentralpfeiler.

Verbreitung:

Sehr selten im Eggenburg und Otttang.

Ökologie:

Die Gattung *Elphidium* ist allgemein als sicherer Anzeiger für geringe Wassertiefen anerkannt. Sie tritt in größerer Häufigkeit nur in Tiefen von weniger als 80–100 m auf (vgl. BOLTOSKOY & WRIGHT 1976: 115, WALTON 1964: 159, Abb. 4, POAG 1981: 21). Sie verträgt sogar einen gewissen Grad an Aussüßung. So tritt sie nach POAG (1981: 17+19) auch im Bereich von Flußmündungen auf (vgl. auch BOLTOSKOY & WRIGHT 1976: 140). Ihre optimale Entwicklung – größte Gehäuse und höchste Kammerzah – erreicht sie jedoch auf dem inneren Schelf, nicht in der direkten Litoralzone (vgl. BOLTOSKOY & WRIGHT 1976: 118).

Elphidium flexuosum flexuosum (D'ORBIGNY)

Taf. 11, Fig. 15 u. 19

*1846 *Polystomella flexuosa* D'ORB. – D'ORBIGNY: 127, Taf. 6/15–16 (Mittelmiozän, Wiener Becken)

1857 *Polystomella flexuosa* D'ORB. – EGGER: 303, Taf. 10/21–22 (Eggenburg, Niederbayern)

Polystomella crispa LAMARCK – EGGER: 303, Taf. 15/1–2

1957 *Elphidium flexuosum* D'ORB. – TOLLMANN: 187, Taf. 2/4 (Eggenburg, Niederösterreich)

1963 *Elphidium flexuosum flexuosum* (D'ORB.) – PAPP: 271, Taf. 12/5–6 (Miozän, Österreich)

Linsenförmige Gehäuse mit gekielter, nichtgelappter Peripherie. Der Querschnitt ist sehr dick oval. Das Zentrum nimmt ein massiver, vorspringender, meist deutlich abgegrenzter Pfeiler ein. Die Kammern sind sehr schmal, ihre Zahl schwankt zwischen 15 und 18 im letzten Umgang. Bei Jugendformen sind es oft nur 10. Die Suturalbrücken erstrecken sich über $\frac{1}{3}$ bis $\frac{1}{2}$ der Kammerhöhe. Es treten etwa 8–9 (bei juvenilen Formen weniger) pro Septum auf. Die Nähte sind nur wenig gebogen. Die Mündung wird von einer Porenreihe an der Basis der Mündungsfläche gebildet. Die Oberfläche ist stark skulptiert und fein perforiert.

$\varnothing = 0,3\text{--}0,6\text{ mm}$

$D = 0,14\text{--}0,33\text{ mm}$ $\varnothing/D = 1,5\text{--}1,8$

Differentialdiagnose:

Diese Art unterscheidet sich von den meisten Formen durch den deutlichen Zentralpfeiler und den scharfen Kiel. Sie ist gröber skulptiert als die Unterart *subtypicum*, hat eine breitere Form, ein leicht geripptes Aussehen und einen stärker entwickelten Zentralpfeiler.

Sie ist breiter als *Elphidium crispum*, weist weniger Kammern auf und ist kleiner.

Verbreitung:

Durchläufer, selten.

Elphidium flexuosum subtypicum PAPP

Taf. 11, Fig. 16–17

1957 *Elphidium macellum* (FICHTEL & MOLL) – TOLLMANN: 187, Taf. 2/5 (Eggenburg, Niederösterreich)

*1963 *Elphidium flexuosum subtypicum* n. ssp. – PAPP: 269, Taf. 11/3; 12/1–3 (Eggenburg bis Baden, Österreich)

Ein rundliches, planspiral-involutes, breit-linsenförmiges Gehäuse. Die Peripherie ist gekielt, nicht oder kaum gelappt. In der Mitte der Schale liegt ein undeutlicher Zentralpfeiler, der von Poren durchsetzt ist, kaum vorspringt und meist nicht scharf abgegrenzt ist. Die Kammerzah liegt bei 11–18 (meist 12–14). Sie nehmen allmählich an Größe zu und sind von stark gebogenen, nicht eingesenkten Nähten geschieden, welche mit 6–9 (selten 4–11) Suturalgruben besetzt sind. Die Septalbrücken nehmen ca. die Hälfte der Kammerhöhe ein. Die Mündung besteht aus einer basalen Porenreihe. Die Mündungsfläche ist von deutlichen Retralprozessen umrahmt. Die Wand ist fein perforiert.

$\varnothing = 0,25\text{--}0,56\text{ mm}$

$D = 0,12\text{--}0,33\text{ mm}$ $\varnothing/D = 1,9\text{--}2,3$

Differentialdiagnose:

Sie unterscheidet sich von *Elphidium flexuosum flexuosum* durch die flache Form und die schwächere Skulptierung.

Verbreitung:

Häufig im Eggenburg und Otttang.

Elphidium matzenense PAPP

Taf. 11, Fig. 20–21

*1963 *Elphidium flexuosum matzenense* n. ssp. – PAPP: 270, Taf. 12/4 (Eggenburg/Otttang, Österreich)

1973 *Elphidium flexuosum matzenense* PAPP – ROGL & CICHÁ: 313 (Otttang, Österreich)

Gehäuse rundlich, planspiral-involut mit breitem Querschnitt. Die Suturen sind kaum eingesenkt und stark nach hinten gebogen. Auf ihnen sind 7–10 Septalgruben mit gut entwickelten Retralprozessen ausgebildet. Die Brücken sind lang und schmal. 10–13 Kammern im letzten Umgang nehmen allmählich an Größe zu. Sie sind sehr hoch, daher erstrecken sich die Suturalbrücken nur über ca. $\frac{1}{3}$ der Kammeroberfläche. Die Peripherie ist scharf gekielt, kaum gelappt, der Nabel von einem undeutlichen, sehr kleinen Zentralpfeiler erfüllt. Die Mündung besteht aus einer basalen Porenreihe, ohne areale Öffnungen.

$\varnothing = 0,3\text{--}0,6\text{ mm}$

$D = 0,15\text{--}0,35\text{ mm}$

Differentialdiagnose:

Sie unterscheidet sich von *Elphidium flexuosum subtypicum* durch die raschere Höhenzunahme der Kammern, wodurch die Septalbrücken einen geringeren Teil der Kammeroberfläche einnehmen, und den noch undeutlicheren Zentralpfeiler. Es sind Übergangsformen zu beobachten, weshalb es

nicht völlig auszuschließen ist, daß *Elphidium matzenense* noch in den Variabilitätsbereich von *subtypicum* fällt.

Verbreitung:

Selten im Eggenburg von Niederbayern, der Prien und des Fußgrabens. Etwas häufiger im Ottang der Sur, des Kaltenbachgrabens und des Eulenbaches und Niederbayerns.

Elphidium felsense PAPP

Taf. 11, Fig. 22–23

- 1857 *Polystomella aculeata* D'ORB. – EGGER: 303, Taf. 15/3–4 (Eggenburg, Niederbayern)
Polystomella josephina D'ORB. – EGGER: 303, Taf. 15/10–11
 *1963 *Elphidium felsense* n. sp. – PAPP: 273, Taf. 11/4 (Eggenburg, Niederösterreich)
 1971 *Elphidium felsense* PAPP – CÍCHA et al.: 271, Taf. 18/7 (Eggenburg, Niederösterreich)

Planspiral-involute, im Umriss runde Gehäuse mit sehr breitem Querschnitt. Die Peripherie ist gekielt und nicht gelappt, am Rande mit mehr oder weniger deutlichen Zacken besetzt. Die Septalbrücken sind lang und erstrecken sich über die gesamte Kammerhöhe. Es sind 6–11 pro Sutura entwickelt, je nach Gehäusegröße. Die Septen sind kaum gebogen, fast radial, deutlich erhaben, bei kleineren Exemplaren gratartig und in kurzen Zacken über den Gehäuserand hinaus verlängert. Der Nabel wird von einem kleinen, stark vorspringenden, aber nicht abgegrenzten Zentralpfeiler eingenommen. Die 8–20 Kammern (meist unter 15) sind nicht gewölbt und zeigen eine langsame Größenzunahme. Die Mündung besteht aus einer Porenreihe an der Basis und arealen Poren. Es sind gut entwickelte Retralprozesse vorhanden.

$\varnothing = 0,3–1,0$ mm

$D = 0,17–0,5$ mm $\varnothing/D = 1,9–2,2$

Differentialdiagnose:

Das Merkmal dieser Art ist die gezackte Peripherie. Sie unterscheidet sich von *Elphidium aculeatum* (D'ORB.) des Wiener Beckens durch die wesentlich breitere Gehäuseform.

Bemerkungen:

PAPP (1963) beschreibt *felsense* als „relativ klein“. Er gibt die Art auch aus Ortenburg an. Meine Exemplare erreichen, wenn auch selten, ganz beträchtliche Größen. Sie variieren hierin allerdings sehr stark. Angaben zur Kammerzahl macht PAPP nicht. Das abgebildete Exemplar zeigt nur 11 Kammern im letzten Umgang.

Verbreitung:

Nicht selten bis häufig im Mittleren Eggenburg, selten im Oberen Eggenburg.

Elphidium reussi MARKS

Taf. 12, Fig. 1–2

- *1951 *Elphidium flexuosum* var. *reussi* n. var. – MARKS: 52, Taf. 6/7 (Mittelmiozän, Wiener Becken)
 1963 *Elphidium flexuosum reussi* MARKS – PAPP: 271, Taf. 13/3 (Mittelmiozän, Wiener Becken)
 1971 *Elphidium flexuosum reussi* MARKS – CÍCHA et al.: 271 (Eggenburg, Österreich und CSSR)

Das planspiral-involute Gehäuse mit ovalem Umriss ist seitlich stark zusammengedrückt. Die leicht gelappte Peri-

pherie ist acut bis subacut. Die Nähte sind eingesenkt und wenig gebogen. Die Suturaalbrücken nehmen $\frac{1}{3}$ bis $\frac{1}{2}$ der Kammerhöhe ein. Man zählt 6–8 pro Septum. 10–14 gewölbte Kammern nehmen allmählich an Größe zu. Der flach eingesenkte, weite Nabel birgt einen kleinen, deutlich abgegrenzten, leicht vorspringenden Pfeiler. Die Mündung besteht aus einer Porenreihe an der Basis und arealen Poren. Die Retralprozesse sind deutlich ausgebildet. Die Oberfläche ist glatt und fein perforiert.

$\varnothing = 0,3–0,5$ mm

$D = 0,14–0,2$ mm

Differentialdiagnose:

Die Art unterscheidet sich von *Elphidium angulatum* durch den wesentlich weiteren Nabel, den Zentralpfeiler und die etwas flachere Form.

Verbreitung:

Sehr selten im Eggenburg der Prien und des Röthelbaches, häufiger in Niederbayern. Selten im Ottang des Kaltenbachgrabens, der Sur und Niederbayerns.

Elphidium angulatum (EGGER)

Taf. 12, Fig. 3–4

- *1857 *Polystomella angulata* nov. spec. – EGGER: 302, Taf. 15/5–6 (Eggenburg, Niederbayern)
 1939 *Elphidium angulatum* (EGGER) – CUSHMAN: 45, Taf. 12/3 (Eggenburg, Niederbayern)
 1960a *Elphidium ungeri* (REUSS) – HAGN: Taf. 9/5 (Eggenburg, Niederbayern)
 1973 *Elphidium angulatum* (EGGER) – RÖGL & CÍCHA: 313 (Ottang, Österreich)

Neotypus: Slg. München, Prot. 5497

Locus typicus: Maierhof (Material aus Hausbach lag nicht vor)

Stratum typicum: Eggenburg

Das Gehäuse ist planspiral-involut mit ovalem Umriss und ziemlich breitem Querschnitt. Die Peripherie ist acut bis subacut aber ohne scharfen Kiel. Der Nabel ist sehr eng, vertieft und weist keinen Zentralpfeiler auf. Die Suturen sind eingesenkt und wenig gebogen, die 6–8 Suturaalbrücken deutlich ausgebildet, lang und schmal. Sie erfassen ca. $\frac{1}{2}$ bis $\frac{1}{3}$ der Kammerhöhe. 8–11 geblähte, typisch gewölbte Kammern nehmen allmählich an Größe zu. Die Retralprozesse sind gut entwickelt. Die Mündung besteht aus einer Porenreihe an der Basis und arealen Mündungsporen. Die Oberfläche ist glatt und fein perforiert.

$\varnothing = 0,25–0,35$ mm

$D = 0,12–0,17$ mm

Differentialdiagnose:

Die Beziehungen zu *Elphidium ungeri* (REUSS) sind sehr schwer zu klären. Wie eine Durchsicht der Literatur zeigt, herrscht bei den verschiedenen Autoren viel Uneinigkeit über das Aussehen dieser Art:

REUSS (1850: 369, Taf. 48/2) beschreibt sie aus dem Leithakalk von Würzing mit gelappter, gekielter Peripherie, leicht eingesenktem Nabel ohne Pfeiler und sehr kurzen Suturaalbrücken.

CUSHMAN (1939: 44, Taf. 11/20) bildet ein Exemplar aus Niederleis in Österreich ab, mit deutlich längeren Septalbrücken und nichtgelappter Peripherie.

MARKS (1951: 54) beschreibt die Art aus dem Wiener Becken als weniger gekielt und mit längeren Septalbrücken, als es der REUSSschen Originalabbildung entspricht.

BATJES (1958: 165, Taf. 12/3) bildet sie mit kräftigem Zentralpfeiler ab.

PAPP (1963: 265, Taf. 13/1–2) und RÖGL (1969b: 91, Taf. 4/4) stellen die Art mit breiterundeter, höchstens schwach gekielter Peripherie und starkem Zentralpfeiler aus der Laaer Serie dar, Formen die mit der Originalbeschreibung so gut wie nichts mehr gemeinsam haben.

Bei LANGER (1969: 53, Taf. 4/5–7) besitzt die Art eine nur gewinkelte Peripherie und kaum eingesenkte Nähte. Die Septalbrücken sind ziemlich lang.

KRISTOFFERSEN (1973: 27, Taf. 1/1–6; 2/1; 4/1–2) zeigt die Art ebenfalls mit ziemlich langen Septalbrücken. Ebenso DE MEUTER (1980: 125, Taf. 5/9).

Elphidium angulatum (EGGER) ist der Originalbeschreibung von REUSS ziemlich ähnlich, bezüglich gelappter Peripherie, eingesenktem Nabel und Suturen. Die Gehäuseform von *Elphidium ungeri* ist jedoch stärker abgeflacht, mehr linsenförmig, der Nabel ist weiter und flacher, die Septalbrücken kürzer. Gegenüber der Abbildung von *Elphidium ungeri* bei CUSHMAN (1939: 44, Taf. 11/20) weicht *Elphidium angulatum* in seiner deutlicher gelappten Peripherie, den stärker eingesenkten Suturen, dem tieferen Nabel und seiner nicht so regelmäßig linsenförmigen Gestalt ab. Die Abbildung bei KRASHENINNIKOV (1960: 43, Taf. 5/3) ist mit der von CUSHMAN weitgehend identisch. Die von PAPP (1963) als *Elphidium ungeri* bezeichneten Formen haben mit *Elphidium angulatum* keine Ähnlichkeit.

Elphidium macellum (FICHTEL & MOLL)

Taf. 12, Fig. 5 u. 10

- *1803 *Nantilus macellus* var. β – FICHTEL & MOLL: 68, Taf. 10/h–k (rezent, Mittelmeer)
- 1929 *Elphidium macellum* (F. & M.) – CUSHMAN & LEAVITT: 18, Taf. 4/1–2 (rezent, Adria)
- 1939 *Elphidium macellum* (F. & M.) – CUSHMAN: 51, Taf. 15/9–10 (rezent, England)
- 1960 *Elphidium macellum* (F. & M.) – BARKER: Taf. 110/8, 11 (rezent, Australien/Südafrika)
- 1960a *Elphidium macellum* (F. & M.) – HAGN: Taf. 9/6 (Eggenburg, Niederbayern)
- 1976 *Elphidium macellum* (F. & M.) – POIGNANT & PUJOL: Taf. 11/3–4 (Aquitain, SW-Frankreich)
- 1982 *Elphidium macellum* (F. & M.) – AGIP S. p. A.: Taf. 22/4 (Miozän bis Pleistozän, Italien)
- 1984 *Elphidium macellum* (F. & M.) – RÖGL & HANSEN: 50, Abb. 18B, Taf. 14/2, 5–6; 15/1–2 (rezent, Mittelmeer)

Die Gehäuse dieser Art sind rund bis oval und planspiral-involut gewunden. Meist sind sie seitlich zusammengedrückt, es sind aber auch breitere Formen darunter. Die Peripherie ist gekielt und wenig gelappt. Die Kammerzahl schwankt zwischen 8 und 17, meist jedoch liegen 12–14 im letzten Umgang vor. Die Septalbrücken sind sehr lang, d. h. sie nehmen $\frac{2}{3}$, selten $\frac{1}{2}$ der Kammerhöhe ein. Ihre Zahl liegt zwischen 4 und 11 pro Septum, meist aber bei 6–9. Die Nähte sind mäßig bis

stark gebogen und deutlich erhaben, so daß sie dem Gehäuse ein beripptes Aussehen verleihen. Der Umbilicus ist eng und leicht eingesenkt oder eben. Die Mündung besteht aus einer Porenreihe an der Kammerbasis und bisweilen arealen Poren. Die Retralprozesse sind gut entwickelt.

$\varnothing = 0,26–0,7$ mm

D = 0,12–0,35 mm

Differentialdiagnose:

Die Art unterscheidet sich von *Elphidium ortenburgense* durch den engeren Nabel, in dem die Granulationen fehlen, von *Elphidium fichtellianum* durch die breitere Form.

Verbreitung:

Durchläufer, nicht selten.

Elphidium ortenburgense (EGGER)

Taf. 12, Fig. 6–7

- *1857 *Polystomella ortenburgensis* nov. spec. – EGGER: 302, Taf. 15/7–9 (Eggenburg, Niederbayern)
- 1939 *Elphidium ortenburgense* (EGGER) – CUSHMAN: 45, Taf. 12/1 (Eggenburg, Niederbayern)
- 1957 *Elphidium ortenburgense* (EGGER) – TOLLMANN: 188, Taf. 2/6 (Eggenburg, Niederösterreich)
- 1960a *Elphidium ortenburgense* (EGGER) – HAGN: Taf. 9/7 (Eggenburg, Niederbayern)
- 1963 *Elphidium ortenburgense* (EGGER) – PAPP: 267, Taf. 10/7–9 (Eggenburg, Österreich)
- 1971 *Elphidium ortenburgense* (EGGER) – CICHÁ et al.: 270, Taf. 18/3–4 (Eggenburg, Österreich)

Neotypus: Slg. München, Prot. 5497

Locus typicus: Maierhof

Stratum typicum: Eggenburg

Die Gehäuse sind rund bis oval, planspiral-involut, seitlich zusammengedrückt, mit gekielter, wenig bis gar nicht gelappter Peripherie. Das Charakteristikum dieser Art ist der Umbilicus: er ist weit und flach eingesenkt und mit feinen Granulationen ausgefüllt. Die Kammerzahl reicht von 12–17 im letzten Umgang. Die Septen sind mäßig bis stark gebogen. Auf ihnen sind deutliche Retralprozesse und 8–12 Septalgruben ausgebildet. Die Brücken nehmen $\frac{1}{2}$ bis $\frac{2}{3}$ der Kammerhöhe ein. Die Mündung besteht aus einer Porenreihe an der Basis. Häufig kommen areale Poren hinzu.

$\varnothing = 0,4–0,65$ mm

D = 0,16–0,33 mm $\varnothing/D = 2,0–2,7$

Differentialdiagnose:

Die Art unterscheidet sich von *Elphidium fichtellianum* in ihrer breiteren Form und der geringeren Zunahme des letzten Umgangs. Es konnten jedoch häufig Übergänge zwischen den beiden Arten festgestellt werden.

Von *Elphidium macellum* unterscheidet sie sich durch den weiten, flach eingesenkten und mit Granulationen ausgefüllten Nabel.

Bemerkungen:

Elphidium ortenburgense ist meiner Meinung nach auf den Raum der Paratethys beschränkt. Berichte über diese Art bei COLOM (1946: 73, Taf. 9/209), CHRISTODOULOU (1960: 105,

Taf. 6/8) und POIGNANT & PUJOL (1976: Taf. 10/8) lassen sich nach den Abbildungen nicht verifizieren.

Verbreitung:

Nicht selten im Eggenburg, sie wurde im Unteren Eggenburg jedoch nicht angetroffen. Die Hauptverbreitung liegt im Mittleren Eggenburg, im Oberen Eggenburg ist sie sehr selten.

Elphidium fichtellianum (D'ORBIGNY)

Taf. 12, Fig. 8–9

- *1846 *Polystomella fichtelliana* D'ORB. — D'ORBIGNY: 125, Taf. 6/7–8 (Mittelmiozän, Wiener Becken)
- 1939 *Elphidium fichtellianum* (D'ORB.) — CUSHMAN: 42, Taf. 11/12 (Baden, Wiener Becken)
- 1951 *Elphidium fichtellianum* (D'ORB.) — MARKS: 52, Taf. 6/12 (Mittelmiozän, Wiener Becken)
- 1956 *Elphidium complanatum* D'ORB. — LONGINELLI: 148, Taf. 21/6–8 (Pliozän, Italien)
- 1963 *Elphidium fichtellianum fichtellianum* (D'ORB.) — PAPP: 268, Taf. 11/1–2 (Mittelmiozän, Österreich)
- Elphidium fichtellianum praeforme* n. ssp. — PAPP: 268, Taf. 10/10 (Untermiozän, Österreich)
- 1982 *Elphidium complanatum* (D'ORB.) — AGIP S. p. A.: Taf. 21/10 + Appendix (Miozän bis Pleistozän, Italien)

Die Gehäuse sind länglich-oval, planspiral-involut und sehr flach. Der Durchmesser ist ca. 3–5mal so groß wie die Dicke. Die Peripherie ist gekielt, selten schmal gerundet, nicht gelappt. Die Septalbrücken sind sehr lang und schmal und erstrecken sich in der Regel über die gesamte Kammeroberfläche, bei einigen Exemplaren jedoch nur über die Hälfte der Kammerhöhe. Die Septen sind stark gebogen, der Nabel ist leicht eingesenkt und mit schwachen Granulationen erfüllt, bei sehr großen Exemplaren ist sogar eine kleine Nabelscheibe ausgebildet. 11–22 sehr schmale Kammern sind nicht gewölbt. Ihre Zahl ist abhängig von der Größe des Gehäuses. Sie nehmen rasch an Größe zu. Die Zahl der Septalgruben schwankt zwischen 8 und 22, in Abhängigkeit von der Kammerzahl. Die Mündung wird von einer basalen Porenreihe gebildet, zu der manchmal areale Poren hinzutreten. Die Retralprozesse sind deutlich.

Ø = 0,3–1,7 mm

D = 0,1–0,3 mm

Differentialdiagnose:

Elphidium fichtellianum unterscheidet sich von *Elphidium ortenburgense* durch die flachere Form, die stärkere Größenzunahme der Kammern im letzten Umgang und die stärker gebogenen Septen. Die beiden Arten sind durch Übergangsformen verbunden. Eine Unterscheidung ist in manchen Fällen sehr schwierig.

Bemerkungen:

Die Zahl der Kammern ist deutlich abhängig von der Gehäusegröße. Bezüglich der Länge der Septalbrücken konnten Exemplare beobachtet werden, deren Brücken die gesamte Kammeroberfläche einnehmen. Nicht selten sind jedoch auch Formen, bei denen sie sich nur über die Hälfte der Kammerhöhe erstrecken. Der Rest der Kammer ist in diesen Fällen leicht gewölbt, ähnlich den Formen bei AGIP S. p. A. (1982), MARKS (1951) und LONGINELLI (1956).

PAPP (1963) scheidet von der typischen Art seine Unterart *praeforme* ab, die sich durch eine breitere Form und geringere Kammerzahl abspalten läßt. Wie bereits oben erwähnt, ist die Kammerzahl bei meinen Exemplaren stark abhängig von der Gehäusegröße. Das Ø/D-Verhältnis schwankt ebenfalls sehr stark (zwischen 2,7 und 5,0), jedoch ohne eine sinnvolle Abtrennung möglich zu machen. Die Granulationen im Nabelbereich entsprechen durchgehend eher der Beschreibung von *praeforme*.

Verbreitung:

Durchläufer, selten.

Elphidium hauerinum (D'ORBIGNY)

Taf. 12, Fig. 12–13

- *1846 *Polystomella hauerina* D'ORB. — D'ORBIGNY: 122, Taf. 6/1–2 (Mittelmiozän, Wiener Becken)
- Polystomella antonina* D'ORB. — D'ORBIGNY: 128, Taf. 6/17–18
- Polystomella listeri* D'ORB. — D'ORBIGNY: 128, Taf. 6/19–22
- 1939 *Elphidium hauerinum* (D'ORB.) — CUSHMAN: 42, Taf. 11/9 (Baden, Wiener Becken)
- Elphidium antoninum* (D'ORB.) — CUSHMAN: 43, Taf. 11/14
- 1963 *Elphidium hauerinum* (D'ORB.) — PAPP: 263, Taf. 10/6 (Mittelmiozän, Wiener Becken)
- Elphidium antoninum* (D'ORB.) — PAPP: 262, Taf. 10/3–5
- Elphidium listeri* (D'ORB.) — PAPP: 273, Taf. 12/9
- 1983 *Elphidium antoninum* (D'ORB.) — WENGER: Taf. 1/7–8 (Mittelottnang, Schwaben)
- 1985 *Elphidium hauerinum* (D'ORB.) — PAPP & SCHMID: 49, 51, Taf. 38/5–10; 41/5–10; 42/1–4 (Mittelmiozän, Wiener Becken)

Der Umriss ist rundlich bis oval, die Aufwindung planspiral, nicht ganz involut. Ältere Umgänge sind jedoch nicht sichtbar, da sie durch die Nabelgranulationen verdeckt sind. Die Peripherie ist breit gerundet, manchmal leicht gewinkelt, gelappt, die Seitenflächen sind in etwa parallel. Die Septalbrücken sind kurz. Sie nehmen ca. 1/3 der Kammerhöhe ein. Es sind 6–8 pro Suture entwickelt. Die Nähte sind kaum gebogen, radial. Die 10–13 typisch geblähten, gewölbten Kammern nehmen langsam an Größe zu. Ein weiter, leicht eingesenkter Nabel bildet das Zentrum. Er ist mit deutlichen Granulationen oder groben Knoten erfüllt. Die Mündung besteht aus einer Porenreihe an der Kammerbasis. Die Mündungsfläche ist von deutlichen Retralprozessen umrahmt.

Ø = 0,25–0,4 mm

D = 0,1–0,22 mm

Differentialdiagnose:

Die Art unterscheidet sich von *Elphidium glabratum* durch den eingesenkten Nabel, die gelappte Peripherie und die geringere Kammerzahl.

Nabel und Peripherie erinnern an *Elphidium obtusum* (D'ORB.), diese besitzt jedoch feinere Suturalgruben. PAPP & SCHMID (1985: 50) weisen darauf hin, daß die Form möglicherweise ebenfalls mit *Elphidium hauerinum* synonym ist.

Verbreitung:

Selten im Eggenburg des Röthelbaches, der Prien und des Fußgrabens, im Ottnang von Niederbayern, des Kaltenbachgrabens und der Prien.

Elphidium glabratum CUSHMAN

Taf. 12, Fig. 14–15

- *1939 *Elphidium glabratum* n. sp. – CUSHMAN: 47, Taf. 12/16 (Untermiozän, SW-Frankreich)
 1972 *Elphidium glabratum* CUSHMAN – POIGNANT: Taf. 25/29 (Miozän, SW-Frankreich)
 1978 *Elphidium glabratum* CUSHMAN – POIGNANT & PUJOL: Taf. 8/8, 11 (Burdigal, SW-Frankreich)
 1983 *Elphidium rugosum* (D'ORB.) – WENGER: Taf. 1/4–5 (Mittelottnang, Schwaben)

Die Schalen sind planspiral-involut, der Umriß oval, der Querschnitt flach linsenförmig mit leicht gewinkeltem, schmal abgerundetem Rücken. Seltener sind Formen mit stärker winkelliger Peripherie, jedoch stets ohne Kiel. Die größte Dicke liegt im Gehäusezentrum. Die Peripherie ist nicht gelappt. Die Septalbrücken sind sehr kurz, die Gruben kaum länger als breit, aber sehr deutlich. Ihre Zahl beträgt 6–9 pro Suture. Die Nähte sind kaum gebogen, fast radial, schwach eingesenkt oder eben. Der Nabel ist eben, von einem kleinen Zentralpfeiler eingenommen, der jedoch nie vorspringt und nicht deutlich gegen die Kammern abgegrenzt ist. Charakteristisch sind die sehr zahlreichen (12–20), sehr schmalen Kammern. Sie nehmen deutlich an Größe zu. Die Gehäusewand ist fein perforiert. Eine Porenreihe an der Basis bildet die Mündung, die Retralprozesse sind gut entwickelt.

 $\varnothing = 0,3–0,7 \text{ mm}$
 $D = 0,17–0,3 \text{ mm}$

Differentialdiagnose:

Die Art unterscheidet sich von *Elphidium hauerinum* durch die deutlich schmäleren und zahlreicheren Kammern, die ungelappte Peripherie und den nichteingesenkten Nabel.

Die von KRASHENINNIKOV (1960: 50, Taf. 7/1) aus dem Oberen Miozän der Ukraine beschriebene Art *Elphidium ligatum* weist ebenfalls große Ähnlichkeit mit den vorliegenden Formen auf. Nach der Originalbeschreibung besitzt sie jedoch größere Septalgruben und leichte Granulationen im Nabel. CÍCHA et al. (1971: 272, Taf. 19/2) geben diese Art aus dem Eggenburg des Intrakarpatischen Beckens an.

Elphidium rugosum (D'ORB.) zeichnet sich durch einen stumpfen, aber deutlich abgegrenzten Kiel und etwas größere Suturen aus.

Verbreitung:

Häufig im Mittelottnang von Niederbayern. Selten im Eggenburg und Ottnang des gesamten Untersuchungsgebietes. Sehr selten im Oberen Eger der Blauen Wand.

„*Elphidium*“ *rugulosum* CUSHMAN & WICKENDEN

Taf. 12, Fig. 11 u. 16

- *1929 *Elphidium articulatum* var. *rugulosum* C. & W. – CUSHMAN & WICKENDEN: 7, Taf. 3/8 (rezent, Pazifik) (fide ELLIS & MESINA)
 1939 *Elphidium articulatum* var. *rugulosum* C. & W. – CUSHMAN: 54, Taf. 14/20 (rezent, Pazifik)
 1952 *Elphidium rugulosum* C. & W. – VOLOSHINOVA & DAIN: 48, Taf. 6/2 (Pliozän, Sachalin; rezent, Atlantik/Pazifik)
 1971 *Cribrononion rugulosum* (C. & W.) – CÍCHA et al.: 273, Taf. 20/1–2 (Eggenburg, CSSR)

Die Gehäuse sind planspiral-involut, der Umriß oval, schlank der Querschnitt. Die Seitenflächen sind fast parallel.

Die Peripherie ist gerundet und gelappt. Die Septalbrücken sind kurz, unregelmäßig zerfranst, 7–9 pro Suture. Die Nähte sind kaum gebogen, leicht eingesenkt. Der Nabel ist eben bis schwach vertieft, mit feinen Granulationen erfüllt. 8–11 leicht geblähte, dreieckige Kammern nehmen deutlich an Größe zu. Auffällig ist die Mündung, die als basaler Mündungsschlitz mit seitlich davon gelegenen Mündungsporen ausgebildet ist. Die Retralprozesse sind deutlich, wenn auch kurz, die Wand ist fein perforiert.

 $\varnothing = 0,25–0,45 \text{ mm}$
 $D = 0,12–0,2 \text{ mm}$

Differentialdiagnose:

Von der äußeren Form her den beiden anderen Vertretern mit kurzen Suturen – *Elphidium hauerinum* und *glabratum* – sehr ähnlich, unterscheidet sich die Art durch den basalen Mündungsschlitz.

Bemerkungen:

Die Art ist aufgrund der Retralprozesse und der deutlichen Septalbrücken der Gattung *Elphidium* zuzuordnen. Ungewöhnlich für diese Gruppe ist dagegen die Mündungsform.

Verbreitung:

Sehr selten im Eggenburg des Röthelbaches, im Unteren Ottnang von Niederbayern und im Mittleren Ottnang des Kaltenbachgrabens. Häufig im Mittelottnang von Niederbayern, besonders im Aufschluß Kugler.

Genus: *Elphidiella* CUSHMAN 1936Synonym: *Cribrononion* THALMANN 1946*Elphidiella subcarinata* (EGGER)

Taf. 12, Fig. 17–19

- *1857 *Polystomella subcarinata* nov. spec. – EGGER: 301, Taf. 14/24–25 (Eggenburg, Niederbayern)
 1939 *Elphidium subcarinatum* (EGGER) – CUSHMAN: 45, Taf. 12/2 (Eggenburg, Niederbayern)
 1963 *Elphidium subcarinatum* (EGGER) – PAPP: 261, Taf. 9/6 (Eggenburg, Österreich und Bayern)
 1979 *Cribrononion subcarinatum* (EGGER) – SZTRÁKOS: Taf. 23/8 (Oligozän, Ungarn)

Neotypus: Slg. München, Prot. 5497

Locus typicus: Maierhof (Material aus Hausbach lag nicht vor)

Stratum typicum: Eggenburg

Das Gehäuse ist fast kreisrund, gedrungen, planspiral-involut. Auf dem breit gerundeten Rücken ist ein plumper Kiel ausgebildet, der jedoch auf den letzten 2–3 Kammern fehlt. Die Peripherie ist stark gelappt, die Seitenflächen sind concav. Der eingesenkte, ziemlich weite, flache Nabel enthält keinen Zentralpfeiler. 7–8 stark geblähte Kammern in der letzten Windung tragen rippenartige Verdickungen aus hyalinem Schalenmaterial auf den Kammerscheiteln. Sie nehmen allmählich an Größe zu, die Endkammer ist meist verkleinert. Die Suturen sind tief eingesenkt, stark nach hinten gebogen. Die 6–7 Septalgruben sind sehr kurz, ungefähr quadratisch. Sie sind mit einem verhältnismäßig weiten subsuturalen Kanal verbunden. Retralprozesse sind nicht entwickelt. Die Mündung besteht aus einer basalen Porenreihe.

Ø = 0,26–0,5 mm
D = 0,15–0,26 mm

Bemerkungen:

Die Art scheint auf den Raum der Paratethys beschränkt zu sein. CUSHMAN (1928b) gibt sie zwar auch aus dem Stamp des Pariser Beckens an, in der Elphidien-Monographie von 1939 stellt er aber fest, daß er diese Art noch nirgends gefunden hat. Das Zitat bei PRELL-MUSSIG (1965: 243) ist ohne Abbildung.

Verbreitung:

Oberes Eger bis Eggenburg, nicht selten. Die Art stirbt an der Eggenburg/Ottang-Grenze aus. CÍCHA et al. (1983: 115) lassen sie dagegen erst im Unteren Ottang verschwinden.

Elphidiella heteropora (EGGER)

Taf. 12, Fig. 20–22

- *1857 *Nonionina heteropora* nov. spec. – EGGER: 300, Taf. 14/19–21 (Eggenburg, Niederbayern)
1952 *Elphidium hiltermanni* n. sp. – HAGN: 163, Taf. 1/6; 2/14 (Rupel und Eger, Bayern)
1962 *Elphidium hiltermanni* HAGN – KIESEL: 79, Taf. 12/10 (Oligozän, DDR)
1973 *Cribronion heteroporum* (EGGER) – KRISTOFFERSEN: 31, Taf. 2/6; 3/1–6; 4/4–6 (Miozän, Dänemark)
1975 *Cribronion hiltermanni* (HAGN) – CÍCHA et al.: 242, Taf. 3/1 (Eger, CSSR)
1976 *Elphidiella heteropora* (EGGER) – HANSEN & LYKKE-ANDERSEN: 19, Taf. 17/4–10 (Eggenburg, Niederbayern)
1980 *Cribronion heteroporum* (EGGER) – DE MEUTER: 126, Taf. 5/11 (Miozän, Belgien)

Neotypus: Slg. München, Prot. 5497

Locus typicus: Maierhof

Stratum typicum: Eggenburg

Das Gehäuse ist rundlich, planspiral-involut, seitlich schwach zusammengedrückt, die Peripherie kaum gelappt, der Rücken breit gerundet. Der Nabel ist eingesenkt und mit Tuberculationen gefüllt, die über die Mündungsfläche und die erste Kammer des letzten Umgangs hinwegziehen und die Mündung verdecken. 6–7 (selten 8) dreieckige Kammern nehmen langsam an Größe zu. Die Suturen sind schwach eingesenkt, radial, mit zahlreichen Suturalporen besetzt, die in einer Reihe angeordnet sind und mit den subsuturalen Kanälen in Verbindung stehen. Vertikalkanäle und Retralprozesse sind nicht entwickelt. Die Oberfläche ist glatt, matt, feinporig, die Wandstruktur radiär. Die Mündung besteht aus einer Porenreihe an der Basis. Andeutungen eines „apertural chamberlets“, wie es von KRISTOFFERSEN (1973) beobachtet wurde, konnten ebenfalls festgestellt werden. Es dürfte sich jedoch nur um eine Ornamentierung handeln (vgl. HANSEN & LYKKE-ANDERSEN 1976: 29).

Ø = 0,22–0,45 mm
D = 0,12–0,27 mm

Das Ø/D-Verhältnis ist bei den Formen des Eggenburgs wesentlich niedriger als im Oberen Eger und Mittleren Ottang.

Bemerkungen:

Die Originalbeschreibung und Abbildung von EGGER von *Nonionina heteropora* ist sehr unzureichend, so daß es in der Vergangenheit zu einigen Mißverständnissen bezüglich des

Aussehens dieser Art kam. Irreführend sind vor allen Dingen der stark gelappte Umriß, die ziemlich großen Septalporen und die groben Poren zwischen den Höckern auf der Mündungsfläche, die jedoch nicht einmal im Stereoscan zu beobachten sind. Dies führte dazu, daß THALMANN 1946 seine Gattung *Cribronion*, als deren Genotyp er *heteroporum* wählte, in seiner recht dürftigen Beschreibung, „durch das Vorhandensein einer siebplatten-artigen Mündungsfläche“ charakterisiert sah, ohne offenbar jemals Originalmaterial untersucht zu haben. Selbst in Bayern war die Art fast 100 Jahre lang unbekannt, weshalb sie HAGN 1952 als *Elphidium hiltermanni* neu beschrieb, jedoch darauf hinwies, daß „gewisse Elphidien aus dem Burdigal von Maierhof“ seiner neuen Art sehr nahestehen, aber „die miozänen Formen dickbauchiger und etwas größer“ sind.

KRISTOFFERSEN (1973) versuchte eine Emendation der Gattung *Cribronion* an dänischem Material, indem er das Vorhandensein eines Mündungskammerchens (= apertural chamberlet) als generisches Merkmal einführte. HANSEN & LYKKE-ANDERSEN (1976: 29) wiesen nach Untersuchungen an Material aus Maierhof (falso Marienhof) darauf hin, daß es sich hierbei nur um ein „ornamental feature“ handelt. Sie stellten die Art zur Gattung *Elphidiella*, aufgrund der Ausbildung der „interocular spaces“ als subsuturale Kanäle. Das Kriterium der doppelten Porenreihe, mit der CUSHMAN (1936: 89) die Gattung definiert hat, entschärften sie durch die Feststellung, daß beim Genotyp *Elphidiella arctica* (P. & J.) auch Exemplare mit einfacher Porenreihe auftreten (l. c. 17).

In weitgehender Übereinstimmung mit HANSEN & LYKKE-ANDERSEN (1976) unterscheide ich *Elphidiella* von *Elphidium* nach folgenden Kriterien: *Elphidiella* besitzt keine Retralprozesse und Vertikalkanäle. Die „interocular spaces“ sind durch subsuturale Kanäle vertreten. Anstelle von Septalbrücken und -gruben sind nur Suturalporen ausgebildet.

Verbreitung:

Durchläufer, stellenweise häufig.

Elphidiella minuta (REUSS)

Taf. 13, Fig. 1 u. 6

- 1857 *Nonionina communis* D'ORB. – EGGER: 298 (partim), Taf. 14/14–15 (Eggenburg, Niederbayern)
*1865 *Polystomella minuta* n. sp. – REUSS: 44, Taf. 4/6 (Chatt, N-Deutschland)
Polystomella discrepans n. sp. – REUSS: 44, Taf. 4/7 (Chatt, N-Deutschland)
1939 *Elphidium minutum* (REUSS) – CUSHMAN: 40, Taf. 10/22–25 (Chatt, N-Deutschland)
1951 *Elphidium minutum* (REUSS) – MARKS: 53, Taf. 6/6 (Mittelmiozän, Wiener Becken)
1955 *Elphidium minutum* (REUSS) – KAASSCHIETER: 72, Taf. 7/3 (Untermiozän, SW-Frankreich)
1958 *Elphidium minutum* (REUSS) – BATJES: 164, Taf. 12/1 (Oligozän, Belgien)
1963 *Elphidium minutum* (REUSS) – PAPP: 260 + 262, Taf. 10/1 (Miozän, Österreich)
1966 *Elphidium minutum* (REUSS) – BUTT: 81, Taf. 6/12 (Oligozän, SW-Frankreich)
1973 *Elphidiella minuta* (REUSS) – KRISTOFFERSEN: 29, Taf. 2/2–5; 4/3 (Miozän, Dänemark)

Die Gehäuse sind rundlich, planspiral-involut, diskusförmig, seitlich zusammengedrückt. Die Peripherie ist nicht ge-

lappt, der Rücken schmal gerundet, der Nabel nicht eingesenkt, manchmal mit einem kleinen durchscheinenden Nabelpfropf verfüllt. 10–14 nichtgewölbte, dreieckige Kammern nehmen langsam an Größe zu. Die erste Kammer des letzten Umgangs ist häufig mit Granulationen bedeckt. Die Suturen sind nur wenig nach hinten gebogen, nicht eingesenkt und mit zahlreichen, in einer Reihe angeordneten Suturalporen besetzt, die mit den subsuturalen Kanälen verbunden sind. Es sind keine Retralprozesse und Vertikalkanäle vorhanden. Die Oberfläche ist glatt, matt, feinporig, die Wandstruktur radiär. Die Mündung besteht aus einer Porenreihe an der Basis der Mündungsfläche. Es treten keine arealen Poren auf.

$\varnothing = 0,28-0,7$ mm

D = 0,12–0,25 mm

Differentialdiagnose:

Sie unterscheidet sich von *Elphidiella heteropora* aufgrund ihrer höheren Kammerzahl, dem ebenen Nabel und dem schmalen Rücken,

von *Elphidium glabratum* durch das Fehlen echter, deutlicher Septalgruben.

Verbreitung:

Durchläufer, selten, nur stellenweise häufiger.

Elphidiella cryptostoma cryptostoma (EGGER)

Taf. 13, Fig. 2–3

- *1857 *Polystomella cryptostoma* nov. spec. – EGGER: 301, Taf. 9/19–20 (Eggenburg, Niederbayern)
 1939 *Elphidium cryptostomum* (EGGER) – CUSHMAN: 45, Taf. 11/22 (Eggenburg, Niederbayern)
 non 1951 *Elphidium cryptostomum* (EGGER) – MARKS: 51, Taf. 6/8 (Mittelmiozän, Wiener Becken)
 non 1955 *Elphidium cryptostomum* (EGGER) – KAASSCHIETER: 74, Taf. 6/3 (Untermiozän, SW-Frankreich)
 1960 *Elphidium cryptostomum* (EGGER) – CHRISTODOULOU: 104, Taf. 6/10 (Tertiär, Griechenland)
 non 1963 *Elphidium cryptostomum* (EGGER) – PAPP: 260, Taf. 9/3 (Eggenburg, Niederösterreich)
 1965 *Elphidium cryptostomum* (EGGER) – TRUNKÓ: 170, Taf. 16/13 (Chatt, N-Deutschland)
 1976 *Cribrononion cryptostomum* (EGGER) – POIGNANT & PUJOL: Taf. 11/7 (Aquitain, SW-Frankreich)

Neotypus: Slg. München, Prot. 5497

Locus typicus: Maierhof (in unmittelbarer Nachbarschaft der EGGER-Lokalität Buchleiten)

Stratum typicum: Eggenburg

Das Gehäuse ist oval, sehr flach, planspiral. Die Peripherie ist sehr variabel ausgebildet: scharfkantig, gewinkelt bis vereinzelt fast gerundet, schwach gelappt. Die Seitenflächen sind meist ungefähr parallel, zum Teil leicht concav, der Nabel ist eingesenkt und stets von einem deutlich umgrenzten, glatten Zentralpfeiler erfüllt. Die Suturen sind bis zum Gehäuserand hin sehr tief eingeschnitten, leicht gebogen. Sie weisen keine Suturalporen und -brücken auf. Über den Schalenrücken hinweg sind die Suturfurchen als subsuturale Kanäle verbunden. 10–14 gewölbte Kammern nehmen meist ziemlich rasch an Größe zu. Die Oberfläche ist glatt, glänzend, sehr fein perforiert. Die Mündung wird von einer Porenreihe an der Basis

der Mündungsfläche gebildet. Areale Poren wurden nicht beobachtet. Auch Retralprozesse sind nicht vorhanden.

$\varnothing = 0,23-0,38$ mm

D = 0,07–0,16 mm

Verbreitung:

Oberes Eger bis Mittleres Eggenburg, selten. Nur im Eggenburg von Niederbayern etwas häufiger.

Elphidiella cryptostoma semiincisa n. ssp.

Taf. 13, Fig. 4–5

1983 *Cribrononion cryptostomum* (EGGER) – WENGER: Taf. 1/9 (Mittelottnang, Schwaben)

Namengebung: semi (lat.) = halb; incisus (lat.) = eingeschnitten; nach dem Hauptunterscheidungsmerkmal von der Typusart, den weniger stark eingeschnittenen Suturen.

Holotypus: Slg. München, Prot. 5401

Locus typicus: Untersimbach

Stratum typicum: Unteres Ottnang

Diagnose:

Eine neue Unterart von *Elphidiella cryptostoma* (EGGER) mit folgenden Unterscheidungskriterien: Suturen nur zur Hälfte ihrer Länge und weniger tief eingeschnitten, schmaler; Gehäuse meist breiter; Nabel weniger eingesenkt, ohne deutlichen Zentralpfeiler, nur vereinzelt mit Granulationen, häufig frei, so daß die Kammern im Zentrum zusammenstoßen.

Beschreibung:

Das Gehäuse ist im Umriss oval, im Querschnitt mäßig abgeflacht bis ziemlich breit. Die Peripherie ist gewinkelt bis gerundet, schwach bis nicht gelappt. Die Seitenflächen sind mehr oder weniger parallel bis convex. Der Nabel ist eng, kaum eingesenkt, zum Teil frei, zum Teil mit Granulationen erfüllt. Er weist jedoch keinen so deutlichen Zentralpfeiler auf wie die Typusart. Die Suturen sind deutlich, aber nicht so tief wie bei der Typusart und nur zur Hälfte ihrer Länge im Nabelbereich eingeschnitten, leicht gebogen. Es sind keine Suturalporen oder -brücken entwickelt. Der letzte Umgang besteht aus 9–11 schwach gewölbten Kammern, die nur langsam an Größe zunehmen und meist im Zentrum zusammenstoßen. Die Oberfläche ist glatt, glänzend, fein perforiert. Die Mündung wird von einer Porenreihe an der Basis der Mündungsfläche gebildet. Areale Poren sind nicht vorhanden, Retralprozesse fehlen ebenfalls.

$\varnothing = 0,18-0,33$ mm

D = 0,08–0,12 mm

Differentialdiagnose:

Sie unterscheidet sich von *Protelphidium roemeri* durch die Porenöffnung und den engen Nabel,

von *Porosononion granosum* aufgrund der tiefer eingeschnittenen Suturen und der wesentlich feiner perforierten Wand,

von *Haynesina germanica* (EHRENBERG), *Haynesina depressula* (WALKER & JACOB), *Haynesina orbiculare* (BRADY) und

Protelphidium hofkeri HAYNES in ihren Mündungsverhältnissen,

von *Elphidium decipiens* (COSTA) durch die fehlenden Septalbrücken (vgl. AGIP S. p. A. 1982: Taf. 22/2; LONGINELLI 1956: Taf. 21/9).

Nonion biporus KRASHENINNIKOV besitzt stärker gewölbte Kammern, einen weiteren Nabel mit deutlich abgegrenztem Pfeiler und eine andere Mündungsform.

Große Ähnlichkeit mit der neuen Unterart weist *Elphidium incertum* var. *obscura* VOLOSHINOVA aus rezenten Ablagerungen der Halbinsel Sachalin auf. Diese Form läßt sich jedoch durch die größere Gehäusedicke und die breiter gerundete Peripherie abtrennen.

Verbreitung:

Selten im Oberen Eggenburg des Lußgrabens, des Röthelbaches und der Prien, im Unteren Ottnang von Niederbayern und im Mittelottnang des Kaltenbachgrabens, der Sur und von Niederbayern.

Elphidiella dollfusi (CUSHMAN)

Taf. 13, Fig. 7–8

- *1936b *Nonion dollfusi* n. sp. — CUSHMAN: 65, Taf. 12/4 (Burdigal, SW-Frankreich)
- 1939 *Nonion dollfusi* CUSHMAN — CUSHMAN: 15, Taf. 4/13 (Burdigal, SW-Frankreich)
- 1955 *Nonion dollfusi* CUSHMAN — KAASSCHIETER: 71, Taf. 6/2 (Untermiozän, SW-Frankreich)
- 1966 *Cribrononion dollfusi dollfusi* (CUSHMAN) — BUTT: 83, Taf. 5/8 (Oligozän, SW-Frankreich)
- 1971 *Cribrononion dollfusi dollfusi* (CUSHMAN) — IVA: 61, Taf. 5/1–2 (Eggenburg, Rumänien)
- 1971 *Cribrononion dollfusi* (CUSHMAN) — CICHÁ et al.: 272, Taf. 19/3–4 (Eggenburg, CSSR)
- 1976 *Cribrononion dollfusi* (CUSHMAN) — POIGNANT & PUJOL: Taf. 10/11; 11/5 (Aquitain, SW-Frankreich)

Die Gehäuse sind biconvex, rundlich, groß und breit, diskusförmig. Die Peripherie ist stumpf gekielt, nicht gelappt. Der Nabel ist nicht eingesenkt, von einem kräftigen Zentralfpfeiler ausgefüllt, der nicht sehr deutlich abgegrenzt ist. Die Suturen sind gebogen, tief eingeschnitten, werden nach außen zu limbat und gehen in den deutlich abgesetzten Kielsaum über. Sie tragen keine Suturalporen. 11–13 schwach gewölbte Kammern sind deutlich gegen den Kielsaum abgegrenzt und nehmen nur langsam an Größe zu. Die Oberfläche ist glatt und glänzend, fein perforiert. Die Mündung besteht aus einer basalen Porenreihe. Retralprozesse sind nicht vorhanden.

Ø = 0,36–0,55 mm

D = 0,17–0,25 mm

Differentialdiagnose:

Sie unterscheidet sich von *Elphidiella cryptostoma* durch die größere und breitere Form und den deutlich gegen die Kammern abgesetzten Kielsaum.

Verbreitung:

Selten im Eggenburg von Röthelbach, Pechschnaitgraben, Kaltenbachgraben, Prien und Blindham.

Elphidiella sp.

Taf. 13, Fig. 9–10

Die Gehäuse sind planspiral, sehr flach, im Umriss oval, die Peripherie ist scharfrandig, nicht gelappt, die Seitenflächen sind parallel. Der Nabel ist eng, nur wenig vertieft, mit deutlichen Granulationen ausgefüllt. 12–13 nichtgeblähte Kammern nehmen allmählich an Größe zu. Die Suturen sind deutlich nach hinten gebogen, ganz charakteristisch verdickt und rippenartig erhaben. Retralprozesse sind nicht ausgebildet. Die Mündung besteht aus einer Porenreihe an der Kammerbasis.

Ø = 0,3–0,38 mm

D = ca. 0,1 mm

Verbreitung:

Je 1 Exemplar aus dem Unteren Ottnang von Engertsham, Untersimbach und Oberschwärzenbach.

Genus: *Porosononion* PUTRYA 1958

Porosononion granosum (D'ORBIGNY)

Taf. 13, Fig. 11–12

- 1826 *Nonionina granosa* Nob. — D'ORBIGNY: 294 (nomen nudum) (Pliozän, Italien)
- *1846 *Nonionina granosa* D'ORB. — D'ORBIGNY: 110, Taf. 5/19–20 (Mittelmiozän, Wiener Becken)
- Nonionina perforata* D'ORB. — D'ORBIGNY: 110, Taf. 5/17–18
- Nonionina punctata* D'ORB. — D'ORBIGNY: 111, Taf. 5/21–22
- 1857 *Nonionina subgranosa* nov. spec. — EGGER: 299, Taf. 14/16–18 (Eggenburg, Niederbayern)
- 1939 *Nonion granosum* (D'ORB.) — CUSHMAN: 11, Taf. 2/17–18 (Baden, Wiener Becken)
- Nonion perforatum* (D'ORB.) — CUSHMAN: 12, Taf. 3/3 (Baden, Wiener Becken)
- Nonion tuberculatum* (D'ORB.) — CUSHMAN: 13, Taf. 3/12, 16–17 (Baden, Wien/Eggenburg, Niederbayern)
- Nonion dense-punctatum* (EGGER) — CUSHMAN: 14, Taf. 3/15 (Eggenburg, Niederbayern)
- 1958 *Porosononion subgranosum* (EGGER) — PUTRYA in VOLOSHINOVA: 135, Taf. 1/7–8; 13/1; 16/1 (Miozän/Pliozän, Europa)
- 1976 *Elphidium tuberculatum* (D'ORB.) — HANSEN & LYKKE-ANDERSEN: 14, Taf. 12/1–4 (Eggenburg, Niederbayern)
- 1985 *Elphidium* (*Porosononion*) *granosum* (D'ORB.) — PAPP & SCHMID: 46–48, Taf. 36/6–8; 37/1–9; Abb. 6 (Mittelmiozän, Wiener Becken)

Planspiral-involute Gehäuse mit rundlichem Umriss, im Querschnitt parallelen bis schwach biconvexen Seitenflächen. Der Rücken ist breit gerundet, die Peripherie schwach, selten stärker gelappt. Der Nabel ist eingesenkt, weit, mit wechselnd starken Granulationen erfüllt, die leicht in die Suturen hineinziehen können. Die Nähte sind eingesenkt und nur schwach nach hinten gebogen, in Nabelnähe stärker vertieft (= interocular spaces). Zwischen den älteren Kammern des letzten Umgangs sind sie deutlich limbat. Es sind weder Septalgruben noch -poren ausgebildet. Auch subsuturale Kanäle waren nicht festzustellen. 7–13 (meist 9) Kammern in der letzten Windung sind leicht bis deutlich gewölbt, nehmen langsam an Größe zu und sind nur wenig breiter als hoch. Sie besitzen kurze, lappenartige Verlängerungen, die in den Nabel vorspringen. Die Formen entwickeln keine Retralprozesse, weisen aber ein vertikales Kanalsystem auf. Die Gehäuswand ist dicht von großen, groben Poren durchsetzt. Die

Mündung besteht aus einer Porenreihe an der Basis und meist zahlreichen arealen Poren.

$\varnothing = 0,2-0,9 \text{ mm}$

$D = 0,08-0,35 \text{ mm}$

Differentialdiagnose:

Die Art unterscheidet sich von *Protelphidium roemeri* durch die multiple Mündung und die grobe Perforation.

Bemerkungen:

Im Material aus der bayerischen Molasse weist diese Art einen ziemlich weiten Variabilitätsbereich auf. Dies betrifft vor allem die Stärke der Nabelgranulationen und die Ausbildung der Suturen. Letztere sind unterschiedlich tief eingesenkt und im älteren Teil der letzten Windung häufig, aber nicht immer, deutlich limbat. Zum Vergleich mit den Topotypen von *Porosonion subgranosum* (EGGER) standen Proben aus dem Sarmat von Nexing in Niederösterreich und aus der Sarmat-scholle im Aufschluß Sooß bei Wien zur Verfügung. Die aus Sooß stammenden Exemplare weisen stärker geblähte Kammern, tiefere, kaum limbate Suturen und nur schwache Nabelgranulationen auf. Sie zeigen aber deutlich areale Mündungsporen. Die Formen aus Nexing sind dicker als die Topotypen von *Porosonion subgranosum*, die Mündungsfläche ist niedriger und läßt keine arealen Poren erkennen. Dafür entsprechen die Nabelgranulationen und die Ausbildung der Suturen den EGGERschen Typen sehr gut. Die bei PAPP & SCHMID (1985) veröffentlichten Originale von *Porosonion granosum* sind denen aus Sooß sehr ähnlich. Diese Formen lassen sich nur schwer von den Topotypen von *Porosonion subgranosum* unterscheiden. Die obengenannten Kriterien halte ich nicht für ausreichend eine Abtrennung durchzuführen, da ja bereits auf die große Variabilität bezüglich der Nabelgranulationen hingewiesen wurde. Die Ausbildung der Suturen bei den hiesigen Formen entspricht ebenfalls sehr gut den Abbildungen bei PAPP & SCHMID.

HANSEN & LYKKE-ANDERSEN (1976) stellten *Porosonion subgranosum* in die Synonymie von *Elphidium tuberculatum* (D'ORB.). Ihre Untersuchungen erfolgten an Topotypmaterial von EGGER aus Maierhof. Die genannten Autoren ordneten diese Formen der Gattung *Elphidium* zu, aufgrund der Ausbildung der „interocular spaces“. Wegen des Fehlens von Retralprozessen und von Ponticuli erscheint mir dies jedoch nicht möglich. Eine Zuordnung zur Gattung *Elphidiella* ist wegen des Vorhandenseins der Vertikalkanäle und des Fehlens von subsuturalen Kanälen nicht zulässig. Die Gattung *Protelphidium* scheidet ebenfalls aus, da diese nach Untersuchungen von HANSEN & LYKKE-ANDERSEN (1976) in die Familie der Nonionidae zu stellen ist. Die Gattung *Porosonion*, von PUTRYA 1958 mit *subgranosum* (EGGER) als Genotyp aufgestellt, wurde von LOEBLICH & TAPPAN (1964a) zugunsten von *Protelphidium* eingezogen, mit der Begründung, die Poren-mündung sei auf die älteren Kammerteile beschränkt. Diese Behauptung erwies sich jedoch als unrichtig. Es erscheint mir deshalb gerechtfertigt, die Gattung *Porosonion* wieder zu verwenden, mit folgenden Unterscheidungskriterien:

Im Gegensatz zu *Protelphidium* besitzt sie eine multiple Mündung sowie Spiral- und Vertikalkanäle – sie gehören also sogar verschiedenen Familien an.

Gegenüber *Elphidium* fehlen Retralprozesse und Suturalbrücken,

gegenüber *Elphidiella* die Septalporen und subsuturalen Kanäle, dagegen besitzt sie Vertikalkanäle.

Der bei CUSHMAN (1939: 14, Taf. 3/15) abgebildete Topotyp von *Nonion dense-punctatum* (EGGER) entspricht *Porosonion granosum*. Die Darstellung bei EGGER (1857: 299, Taf. 14/22–23) spricht gegen eine Synonymie. Die Form zeigt einen deutlichen Mündungsbogen, stärker gebogene Suturen und einen engeren Nabel. *Protelphidium roemeri* (CUSHMAN) ist feiner perforiert.

Verbreitung:

Durchläufer, selten.

Familie: Nonionidae SCHULTZE 1854

Genus: *Florilus* MONTFORT 1808

Florilus communis (D'ORBIGNY)

Taf. 13, Fig. 15 u. 19

1803 *Nautilus scapha* – FICHTEL & MOLL: 105, Taf. 19/d–f (rezent, Adria)

*1846 *Nonionina communis* D'ORB. – D'ORBIGNY: 106, Taf. 5/7–8 (Mittelmiozän, Wiener Becken)

1857 *Nonionina communis* D'ORB. – EGGER: 298 (partim), Taf. 14/11–12 (nicht 13–15) (Eggenburg, Niederbayern)

1984 *Nonion commune* (D'ORB.) – ROGL & HANSEN: 66, Taf. 24/1–2, 4–6 (rezent, Mittelmeer; Mittelmiozän, Wiener Becken)

1985 *Nonion commune* (D'ORB.) – PAPP & SCHMID: 45, Taf. 34/1–5 (Mittelmiozän, Wiener Becken)

Die Gehäuse sind planspiral-involut, aberrante Formen erscheinen leicht trochospiral. Der Umriss ist oval, die Peripherie schmal-abgerundet bis leicht gekantet und nicht gelappt. Der Nabel ist eng, stark eingesenkt, mit feinen Granulationen ausgefüllt, die auch noch ein kurzes Stück in die Nähte hineinziehen können. 9–12 nichtgeblähte, schmal-dreieckige Kammern nehmen rasch an Größe zu. Die Suturen sind mäßig nach hinten gebogen, nicht eingesenkt, durchscheinend. Die Mündung bildet ein kleiner äquatorialer Bogen, der mit einem sehr schmalen Saum umgeben ist. Die Wand ist sehr fein perforiert.

$\varnothing = 0,24-0,65 \text{ mm}$

$D = 0,1-0,28 \text{ mm}$

Bemerkungen:

Der ältere Name *Florilus scaphum* (F. & M.) ist aufgrund der Homonymie mit *Nautilus scapha* DE WULFEN 1791 ungültig (vgl. HANSEN & ROGL 1980: 174 und ROGL & HANSEN 1984: 66).

Als Genotyp der Gattung *Florilus* benennt MONTFORT *Florilus stellatus*, der allgemein als Synonym von *Nautilus asterizans* F. & M. betrachtet wird. Nach der Revision der FICHTEL & MOLL-Arbeit von ROGL & HANSEN (1984: 34) weist die letztgenannte Art jedoch alle Merkmale der Gattung *Hanzawaia* auf. Ähnlich verhält es sich mit dem Genus *Nonion*, dessen Genotyp *Nautilus incrassatus* F. & M. zu *Anomalinoidea* zu stellen ist. Die Autoren schlagen als neuen Genotyp für *Nonion Nautilus faba* F. & M. vor, eine Art, die weitgehend der auf VOLOSHINOVA (1958: 144) zurückgehenden bisherigen

Vorstellung von *Florilus* entspricht. Auch frühere Autoren haben schon auf dieses Problem hingewiesen. HANSEN & LYKKE-ANDERSEN (1976: 30) schlagen jedoch *Nonion depressulum* (W. & J.) als Genotyp von *Nonion* vor und fassen *Florilus* als Synonym auf. BANNER & CULVER (1978: 206) dagegen sind der Meinung, daß *Florilus* auf jeden Fall Gültigkeit besitzt, da MONTFORT mit seinem als Genotyp benannten *Florilus stellatus* (Florilie étoilé) überhaupt nicht *Nautilus asterizans* F. & M. gemeint hätte. HANSEN & ROGL (1980: 174+178) und ROGL & HANSEN (1984: 35) bestreiten dies. Sie schlagen vor, den Namen *Florilus* als Synonym von *Hanzawaia* ASANO 1944 fallenzulassen, da er bis 1958 nicht in Gebrauch war. Bis zu einer endgültigen Klärung dieser Angelegenheit behalte ich *Florilus* im Sinne der Interpretation von VOLOSHINOVA (1958) bei.

Verbreitung:

Durchläufer

Ökologie:

Die Art reicht auch in brackisches Wasser hinein.

Genus: *Protelphidium* HAYNES 1956

Protelphidium roemeri (CUSHMAN)

Taf. 13, Fig. 13–14

- *1936b *Nonion roemeri* n. sp. — CUSHMAN: 65, Taf. 12/3 (Chatt, N-Deutschland)
 1939 *Nonion roemeri* CUSHMAN — CUSHMAN: 10, Taf. 3/1 (Chatt, N-Deutschland)
 1941 *Nonion granulosum* TEN DAM & REINHOLD — TEN DAM & REINHOLD: 211, Abbildung (Chatt, Niederlande) (fide ELLIS & MESSINA)
 1942 *Nonion granulosum* TEN DAM & REINHOLD — TEN DAM & REINHOLD: 77, Taf. 5/3; 10/5 (Oligozän/Miozän, Niederlande)
Nonion roemeri CUSHMAN — TEN DAM & REINHOLD: 76, Taf. 5 2
 1958 *Nonion roemeri* CUSHMAN — BATJES: 142, Taf. 7/5 (Oligozän, Belgien)
 1965 *Nonion roemeri* CUSHMAN — TRUNKÓ: 126, Taf. 13/2 (Chatt, N-Deutschland)
 1984 *Nonion roemeri* CUSHMAN — ROOIJEN et al.: Taf. 3/3 (Chatt, Niederlande)

Gehäuse mit rundlichem Umriss und parallelen Seitenflächen. Der Rücken ist breit gerundet, die Peripherie nicht gelappt. Der weite, eingesenkte Nabel ist mit kräftigen Granulationen erfüllt. Die Suturen sind außen kaum eingesenkt, in Richtung zum Nabel tief eingeschnitten und etwas erweitert (offene „intercameral sutures“ nach BANNER & CULVER 1978), mäßig gebogen. Die Kammern sind schmal, 8–10 im letzten Umgang, schwach gewölbt und nehmen sehr langsam an Größe zu. Die Wand ist fein perforiert. Die Mündung der Endkammer ist durch Granulationen verdeckt. Die Internmündungen bestehen aus hohen äquatorialen Bögen.

Ø = 0,17–0,45 mm

D = 0,08–0,2 mm

Differentialdiagnose:

Die Art unterscheidet sich von *Porosonion granosum* durch den einfachen Mündungsbogen und die feinen Poren.

Bemerkungen:

HANSEN & LYKKE-ANDERSEN (1976) stellen *Protelphidium* zu *Nonion*, da die Gattung von HAYNES (1956) nur durch die Wandstruktur von *Nonion* unterschieden wurde. Außerdem wurden von diesen Autoren am Genotyp *Protelphidium hofkeri* HAYNES keine „interocular spaces“ festgestellt, ebenso wenig wie die bei LOEBLICH & TAPPAN (1964a) angegebenen Vertikalkanäle. Aufgrund der Emendation von BANNER & CULVER (1978) möchte ich die Gattung wegen der offenen „intercameral sutures“ als Unterscheidungsmerkmal von *Nonion* und *Florilus* beibehalten.

Verbreitung:

Ziemlich häufig im Eggenburg des Eulenbaches, des Röthelbaches und von Niederbayern, selten an der Prien. Selten im Mittelottnang von Neustift und Jetzing.

Genus: *Pullenia* PARKER & JONES 1862

Pullenia bulloides (D'ORBIGNY)

Taf. 13, Fig. 17–18

- 1826 *Nonionina bulloides* Nob. — D'ORBIGNY: 293 (nomen nudum) (fossil, Italien)
 *1846 *Nonionina bulloides* D'ORB. — D'ORBIGNY: 107, Taf. 5/9–10 (Mittelmiozän, Wiener Becken)
 1985 *Pullenia bulloides* (D'ORB.) — PAPP & SCHMID: 45, Taf. 34/6–9 (Mittelmiozän, Wiener Becken)

Planspiral-involute, kugelige Formen. Die Peripherie ist breit gerundet, nicht gelappt, der Nabel sehr eng, nicht eingesenkt. 4–5 nichtgeblähte, dreieckige Kammern nehmen langsam an Größe zu. Sie werden von radialen, nicht gebogenen, nicht eingesenkten, durchscheinenden Nähten geschieden. Die Mündung stellt sich als niedriger äquatorialer Bogen dar, der auf beiden Seiten in den Nabel hineinzieht. Die Wand ist sehr fein perforiert.

Ø = 0,2–0,3 mm

D = 0,2–0,3 mm

Verbreitung:

Durchläufer, selten.

Ökologie:

PHLEGER (1960: Abb. 16+26) gibt für diese Art einen Verbreitungsbereich von 100–3000 m Wassertiefe an. BANDY & ARNAL (1960: 1927) stellen sie ins tiefere Bathyal (vgl. auch BOLTOVSKOY & WRIGHT 1976: 119).

Pullenia quinqueloba (REUSS)

Taf. 13, Fig. 16 u. 20

- *1851b *Nonionina quinqueloba* m. — REUSS: 71, Taf. 5/31 (Rupel, N-Deutschland)
 1857 *Nonionina pauper* nov. spec. — EGGER: 300, Taf. 14/26–27 (?Mittelottnang/? Eggenburg, Niederbayern)
 1943 *Pullenia quinqueloba* (REUSS) — CUSHMAN & TODD: 10, Taf. 2/5; 3/8 (Rupel, N-Deutschland; Pliozän, Italien)
 1951 *Pullenia quinqueloba* (REUSS) — MARKS: 69, Taf. 7/19 (Mittelmiozän, Wiener Becken)

Eine planspiral-involute, seitlich abgeflachte Form mit ovalem Umriss und schmal gerundeter, gelappter Peripherie.

Der Nabel ist sehr eng, leicht eingesenkt. 5–6 geblähte, dreieckige Kammern nehmen allmählich an Größe zu. Die Suturen sind wenig nach hinten gebogen, eingesenkt. Die Mündung bildet ein niedriger äquatorialer Bogen, der, wie bei *Melonis*, auf beiden Seiten in den Nabel hineinzieht. Die Wand ist sehr fein perforiert.

$\varnothing = 0,24-0,55$ mm

D = 0,14–0,3 mm

Verbreitung :

Selten im Oberen Eger der Traun, der Prien und der Ortenburg-Bohrungen. Sehr selten im Eggenburg von Niederbayern und des Kaltenbachgrabens sowie im Unteren Ottnang des gesamten Untersuchungsgebietes.

Genus: *Astrononion* CUSHMAN & EDWARDS 1937

Astrononion perfossum (CLODIUS)

Taf. 13, Fig. 21–22

- *1922 *Nonionina perfossa* CLODIUS – CLODIUS: 144, Taf. 1/19 (fide ELLIS & MESSINA) (Obermiozän, N-Deutschland)
- 1950 *Nonion nanum* spec. nov. – VAN VOORTHUYSEN: 67, Taf. 4/6 (Mittelmiozän, Niederlande)
- 1958 *Nonion perfossum* (CLODIUS) – BATJES: 141, Taf. 6/16 (Oligozän, Belgien)
- 1962 *Nonion perfossum* (CLODIUS) – INDANS: 54, Taf. 7/13 (Miozän, NW-Deutschland)
- 1963 *Astrononion perfossum* (CLODIUS) – LANGER: 172 (Miozän, Nordsee)
- 1967 *Astrononion perfossum* (CLODIUS) – CÍCHA & ZAPLETALOVÁ: 137 (Karpat, CSSR)
- 1969 *Melonis perfossum* (CLODIUS) – VAN VOORTHUYSEN & TOERING: 103, Taf. 4/10 (Miozän, Belgien)
- 1971 *Astrononion nanum* (VOORTHUYSEN) – CÍCHA et al.: 280 (Eggenburg, Österreich/CSSR)
- 1973 *Melonis affinis* (REUSS) – RÖGL & CÍCHA: 325, Taf. 7/38 (Ottnang, Oberösterreich)
- 1980 *Astrononion perfossum* (CLODIUS) – DE MEUTER: 131, Taf. 6/9 (Miozän, Belgien)

Gehäuse planspiral-involut, Umriß oval, Peripherie schmal gerundet, leicht gelappt. Der Nabel ist eng und tief eingesenkt. 8–10 leicht geblähte, dreieckige Kammern nehmen allmählich an Größe zu. Die Nähte sind schwach nach hinten gebogen, vertieft und meist leicht durchscheinend. In der inneren Hälfte des Gehäuses sind sie von Kammerlappen überdeckt, die, von der jüngeren Kammer ausgehend, die Suturen verhüllen und Sekundärkammerchen über den Septen erzeugen, die ein sternartiges Gebilde um den Nabel ergeben. Die Sekundärkammerchen besitzen am peripheren Ende, auf der der Windungsrichtung entgegengesetzten Längsseite, in den Suturen gelegene, schmale Mündungsschlitze. Die Ausbildung dieses Sekundärkammersterns variiert sehr stark. Meist ist der Umbilikalbereich sehr unregelmäßig von dem sekundären Schalenmaterial bedeckt, bisweilen sind die Zusatzkammerchen aber auch als lange, schmale Sternearme auf die Suturen beschränkt. Die Mündung besteht aus einem niedrigen äquatorialen Bogen, der, wie bei *Melonis*, auf beiden Seiten in den Nabel hineinreicht. Dazu kommen die erwähnten Zusatzmündungen der Sekundärkammerchen an deren peripheren Enden. Die Wand ist etwas gröber perforiert als die der vorangegangenen Nonioniden.

$\varnothing = 0,22-0,35$ mm

D = 0,11–0,17 mm

Differentialdiagnose:

Insgesamt sehr ähnlich *Melonis affinis* (REUSS), unterscheidet sie sich nur durch die sternförmigen Sekundärkammerchen.

Die Formen mit schmalen Suturallappen ähneln ein wenig den Exemplaren, die MARKS (1951: 50, Taf. 6/3) aus dem Wiener Becken als *Astrononion italicum* CUSHMAN & EDWARDS beschrieb. Sie weichen nur durch die deutlicheren und etwas weiter zur Peripherie reichenden Sekundärkammern ab.

Astrononion stelligerum (D'ORB.) unterscheidet sich durch die winkelig geknickten Suturen.

Andere Formen, wie z. B. *Astrononion stellatum* CUSHMAN & EDWARDS zeichnen sich durch einen geschlossenen Nabel aus.

Verbreitung :

Sehr selten im Eggenburg, nicht selten im Ottnang der bayerischen Molasse.

Ökologie:

Die Art tritt in den Neuhofener Schichten vorzugsweise in der tieferen Fazies auf (Ampfing 1, Ortenburg 1001 und 1002).

Genus: *Melonis* MONTFORT 1808

Melonis pompilioides (FICHTEL & MOLL)

Taf. 13, Fig. 23–24

- *1803 *Nautilus pompilioides* – FICHTEL & MOLL: 31, Taf. 2/a–c (Pliozän, Italien; rezent, Mittelmeer)
- 1846 *Nonionina soldanii* D'ORB. – D'ORBIGNY: 109, Taf. 5/15–16 (Mittelmiozän, Wiener Becken)
- Nonionina tuberculata* D'ORB. – D'ORBIGNY: 108, Taf. 5/13–14
- 1984 *Melonis pompilioides* (F. & M.) – RÖGL & HANSEN: 30, Taf. 2/1–2; 3/1 (Pliozän, Italien; rezent, Mittelmeer)
- 1985 *Melonis pompilioides* (F. & M.) – PAPP & SCHMID: 46, Taf. 35/6–7; 36/1–6 (Mittelmiozän, Wiener Becken)

Die Schalen sind planspiral-involut gebaut, der Umriß ist rundlich, die Peripherie breit gerundet und nicht gelappt. Der Nabel ist eng und tief eingesenkt. 9–10 dreieckige, nichtgeblähte Kammern nehmen rasch an axialer Breite zu. Die Suturen sind sehr wenig gebogen, nicht eingesenkt, leicht transparent. Die Mündung bildet ein niedriger äquatorialer Schlitz, der sich auf beiden Seiten in den Nabel hinein erstreckt. Die Mündungsfläche ist breit und niedrig, die Wand grob perforiert.

$\varnothing = 0,28-0,5$ mm

D = 0,19–0,33 mm

Verbreitung:

Durchläufer, selten. Sehr häufig nur im Eggenburg von Röthelbach und Lußgraben.

Ökologie:

Die Art gilt als Leitform für große Wassertiefen. PHLEGER (1960: Abb. 17, 25, 40) gibt Werte von 1000–3000 m an. Im

Miozän der bayerischen Molasse tritt sie dagegen im Übergangsbereich oberes Bathyal/Tiefneritikum als Häufigkeitsform auf.

Genus: *Nonionella* CUSHMAN 1926

Nonionella liebusi HAGN

*1952 *Nonionella liebusi* n. sp. — HAGN: 161, Taf. 2/10 (Rupel/Eger, Bayern)

Verbreitung:

Sehr selten im Oberen Eger der Bohrung Ortenburg 1002 und der Traun.

Familie: Cassidulinidae D'ORBIGNY 1839

Genus: *Cassidulina* D'ORBIGNY 1826

Cassidulina laevigata D'ORBIGNY

Taf. 14, Fig. 1–2

*1826 *Cassidulina laevigata* Nob. — D'ORBIGNY: 282, Taf. 15/4–5, Modell 41

1930 *Cassidulina laevigata* D'ORB. — MACFADYEN: 63, Taf. 2/6 (Miozän, Ägypten)

1969a *Cassidulina laevigata* D'ORB. — RÖGL: 100, Taf. 4/10 (Karp, Niederösterreich)

Gehäuse planspiral-involut, mit biserialer, alternierender Kammeranordnung. Der Umriss ist rund, die Peripherie scharfwinkelig aber ohne Kiel, leicht gelappt. Der Nabel ist geschlossen, kaum eingesenkt, selten mit einem kleinen, transparenten Nabelpfropf verfüllt. 5 kaum geblähte Kammerpaare im letzten Umgang nehmen allmählich an Größe zu. Die Suturen sind leicht nach hinten geschwungen, kaum vertieft. Die Mündung besteht aus einem Schlitz, der parallel zur Peripherie an der Grenzfläche des Endkammerpaares entlangläuft. Er wird gesäumt von einer schmalen, nach außen vorspringenden Lippe, entsprechend dem Mündungstyp H 1 bei NOMURA (1983: 27, Abb. 10). Die Wand ist glatt und fein perforiert.

$\varnothing = 0,15–0,4$ mm

D = 0,08–0,19 mm

Differentialdiagnose:

Sie unterscheidet sich von *Globocassidulina crassa* vor allem in der Mündungsform, dem stärker seitlich zusammengedrückten Gehäuse und der schärferen Peripherie.

Verbreitung:

Durchläufer, sehr selten.

Genus: *Globocassidulina* VOLOSHINOVA 1960

Globocassidulina crassa (D'ORBIGNY)

Taf. 14, Fig. 3–4

*1839 *Cassidulina crassa* D'ORB. — D'ORBIGNY: 56, Taf. 7/18–20 (rezent, Südatlantik)

1846 *Cassidulina crassa* D'ORB. — D'ORBIGNY: 213, Taf. 21/42–43 (Mittelmiozän, Wiener Becken)

1963 *Cassidulina crassa* D'ORB. — KÜMMERLE: 45, Taf. 6/6 (Chart, N-Deutschland)

Die Gehäuse sind planspiral-involut mit biserialer, alternierender Kammeranordnung. Der Umriss ist rund, die Peripherie schmal gerundet, wenig gelappt, der Nabel geschlossen, leicht eingesenkt. 4–5 leicht geblähte Kammerpaare im letzten Umgang nehmen allmählich an Größe zu. Die Suturen sind gerade, radial und vertieft. Die Mündung besteht aus einem Schlitz, der parallel zur Peripherie an der Grenzfläche des Endkammerpaares entlangläuft und in eine areale Mündungsschlaufe übergeht, die schräg auf der Septalfläche der letzten Kammer liegt. Beide sind von einer nach innen gefalteten Mündungslippe gesäumt. Diese Form entspricht dem Mündungstyp E2/E3 bei NOMURA (1963: 27, Abb. 10; vgl. auch Taf. 18/3). Die Wand ist glatt und fein perforiert.

$\varnothing = 0,15–0,4$ mm

D = 0,1–0,24 mm

Differentialdiagnose:

Sie unterscheidet sich von *Globocassidulina oblonga* durch die fehlende Tendenz zur Entrollung, die stärker eingesenkten Suturen und die Mündungsverhältnisse,

von *Cassidulina laevigata* in ihrer weniger abgeflachten Form, der stärker gerundeten Peripherie und den Mündungsverhältnissen.

Verbreitung:

Durchläufer, selten. Häufig nur in den Fischechiefern des Oberen Eger.

Ökologie:

Die Art lebt bevorzugt in Bereichen des tieferen Neritikums und oberen Bathyals. Die Hauptverbreitung der Gattung *Cassidulina* liegt bei WALTON (1964: 184, Abb. 14) etwa zwischen 80 und 400 m Wassertiefe.

Globocassidulina oblonga (REUSS)

Taf. 14, Fig. 5–6

*1850 *Cassidulina oblonga* m. — REUSS: 376, Taf. 48/5–6 (Mittelmiozän, Polen und Österreich)

1857 *Cassidulina oblonga* REUSS — EGGER: 295, Taf. 11/1–3 (?Mittelottnang/Eggenburg, Niederbayern)

1969a *Cassidulina oblonga* REUSS — RÖGL: 100, Taf. 4/9 (Karp, Niederösterreich)

* Gehäuse planspiral-involut, mit biserialer, alternierender Kammeranordnung. Der Anfangsteil ist sehr eng gewunden, der Endteil zeigt eine starke Tendenz zur Entrollung. Der Umriss ist länglich, die Peripherie gerundet und nicht gelappt. Der Nabel ist eng und nur schwach eingesenkt. 4–5 nichtgeblähte Kammerpaare im letzten Umgang nehmen rasch an Größe zu. Die Suturen sind gerade, radial und kaum vertieft. Die Mündung liegt als subterminale, areale Mündungsschlaufe auf der Septalfläche der Endkammer und wird von einer nach innen gefalteten Lippe begleitet. Sie entspricht dem Mündungstyp D7 bei NOMURA (1983: 26, Abb. 10). Die Wand ist glatt und fein perforiert.

L = 0,15–0,33 mm

D = 0,1–0,13 mm

Verbreitung:

Durchläufer, selten.

Familie: Chilostomellidae BRADY 1881

Genus: *Chilostomella* REUSS 1849

Chilostomella ovoidea REUSS

Taf. 14, Fig. 7–8

*1850 *Chilostomella ovoidea* m. – REUSS: 380, Taf. 48/12 (Mittelmiozän, Polen und Österreich)

1949 *Chilostomella ovoidea* REUSS – CUSHMAN & TODD: 89, Taf. 15/17–19 (Miozän, Österreich; rezent, Philippinen)

Die Gehäuse sind melonenförmig, im Anfangsteil spiralig gewunden, später biserial und sehr stark involut. Ca. 4–5 nichtgeblähte Kammern sind von außen sichtbar. Sie nehmen sehr rasch an Größe zu, die letzte Kammer umfaßt beinahe $\frac{3}{4}$ der Gehäuseoberfläche. Die Suturen sind nur schwach angedeutet. Der Umriss ist breit-oval, der Querschnitt kreisrund. Die Mündung besteht aus einem Schlitz an der Basis der Endkammer, der von einer kräftigen Lippe gesäumt wird. Die Art ist nur in pyritischem und kieseligem Zustand erhalten.

L = 0,3–0,8 mm

B = 0,2–0,55 mm L/B = 1,2–1,6

Bemerkungen:

Statistisch lassen sich in Bayern 2 Formen anhand des L/B-Index unterscheiden (vgl. Abb. 27). *Chilostomella czizeki* ist der schlankere Vertreter mit einem L/B-Verhältnis von 1,7–2,2 (selten mehr). Eine Abtrennung der Art *cylindroides* REUSS war dagegen nicht möglich (vgl. HAUSMANN 1964: 393). *Chilostomella ovoidea* und *czizeki* kommen nur in der Bohrung Ortenburg 1002 gemeinsam vor. Hier und in Ampfing dominiert *Chilostomella czizeki*, während sonst *Chilostomella ovoidea* häufiger ist.

Verbreitung:

Häufig im Oberen Eger der Traun und der Ortenburg-Bohrungen. Selten im Eggenburg des Kaltenbachgrabens und im Unteren Ottang von Untersimbach.

Ökologie:

Chilostomella ovoidea hat ihre Hauptverbreitung im Tiefwasser. WALTON (1955: 1005) gibt Werte von 630–720 m an. Als Einzelform kommt sie in Bereichen von 90–1100 m Wassertiefe vor. PHLEGER (1960: Abb. 30, 36, 37) sieht die größte Häufigkeit bei mehr als 500 m, die seichtesten Vorkommen bei etwa 100 m. Nach BOLTOVSKOY & WRIGHT (1976: 119) ist *Chilostomella* typisch für die bathyale Zone.

Chilostomella czizeki REUSS

Taf. 14, Fig. 9–10

*1850 *Chilostomella czizeki* m. – REUSS: 380, Taf. 48/13 (Mittelmiozän, Polen und Österreich)

1851b *Chilostomella cylindroides* m. – REUSS: 80, Taf. 6/43 (Rupel, N-Deutschland)

1949 *Chilostomella cylindroides* REUSS – CUSHMAN & TODD: 87, Taf. 15/8–10 (Rupel, N-Deutschland; rezent, Pazifik)

Chilostomella czizeki REUSS – CUSHMAN & TODD: 90, Taf. 15/20–22 (Oligozän, Venezuela; rezent, Nordpazifik)

Gehäuse schlank-walzenförmig, im Anfangsteil spiralig gewunden, später biserial und sehr stark involut. Ca. 4–5 nichtgeblähte Kammern sind von außen erkennbar. Sie wachsen sehr rasch an, die letzte Kammer nimmt fast $\frac{3}{4}$ der Ge-

häuseoberfläche ein. Die Suturen sind nur schwach angedeutet. Der Schalenumriß ist schlank-oval, der Querschnitt kreisrund. Die Mündung besteht aus einem Schlitz an der Basis der Endkammer. Er wird von einer kräftigen Lippe gesäumt. Die Art liegt nur in pyritischer Erhaltung vor.

L = 0,28–0,65 mm

B = 0,14–0,28 mm L/B = 1,7–2,2 (sehr selten bis 2,5)

Verbreitung:

Häufig im Oberen Eger der Bohrungen Ortenburg 1002 und Ampfing 1.

Genus: *Allomorphina* REUSS 1849

Allomorphina trigona REUSS

*1850 *Allomorphina trigona* m. – REUSS: 380, Taf. 48/14 (Mittelmiozän, Polen und Österreich)

Verbreitung:

Selten im Oberen Eger der Ortenburg-Bohrungen, häufig an der Blauen Wand und im Pechschnaitgraben.

Ökologie:

Eine typische Form des Tiefwasserbereichs (vgl. BOLTOVSKOY & WRIGHT 1976: 119).

Familie: Sphaeroidinidae CUSHMAN 1927

Genus: *Sphaeroidina* D'ORBIGNY 1826

Sphaeroidina bulloides D'ORBIGNY

Taf. 14, Fig. 11–12

*1826 *Sphaeroidina bulloides* Nob. – D'ORBIGNY: 267, Modell 65 (rezent, Adria)

1846 *Sphaeroidina austriaca* D'ORB. – D'ORBIGNY: 284, Taf. 20/19–21 (Mittelmiozän, Wiener Becken)

1857 *Sphaeroidina austriaca* D'ORB. – EGGER: 273, Taf. 6/19–20 (Eggenburg, Niederbayern)

1985 *Sphaeroidina bulloides* D'ORB. – PAPP & SCHMID: 96, Taf. 90/7–12 (Mittelmiozän, Wiener Becken)

Kugelige Gehäuse mit streptospiraler Aufrollung, involut. 4–7 (meist 6–7) geblähte Kammern sind von außen sichtbar. Sie nehmen allmählich an Größe zu. Die Suturen sind nicht sehr tief aber deutlich eingesenkt. Die Mündung besteht aus einem halbkreisförmigen Bogen an der Basis der Endkammer. Sie weist einen Zahn auf und ist von einer schmalen Lippe gesäumt. Die Schale ist glatt und fein perforiert.

Ø = 0,2–0,4 mm

Verbreitung:

Durchläufer, selten.

Ökologie:

PHLEGER (1960: Abb. 21 und 27) nimmt für die Art Wassertiefen von mehr als 100 m an.

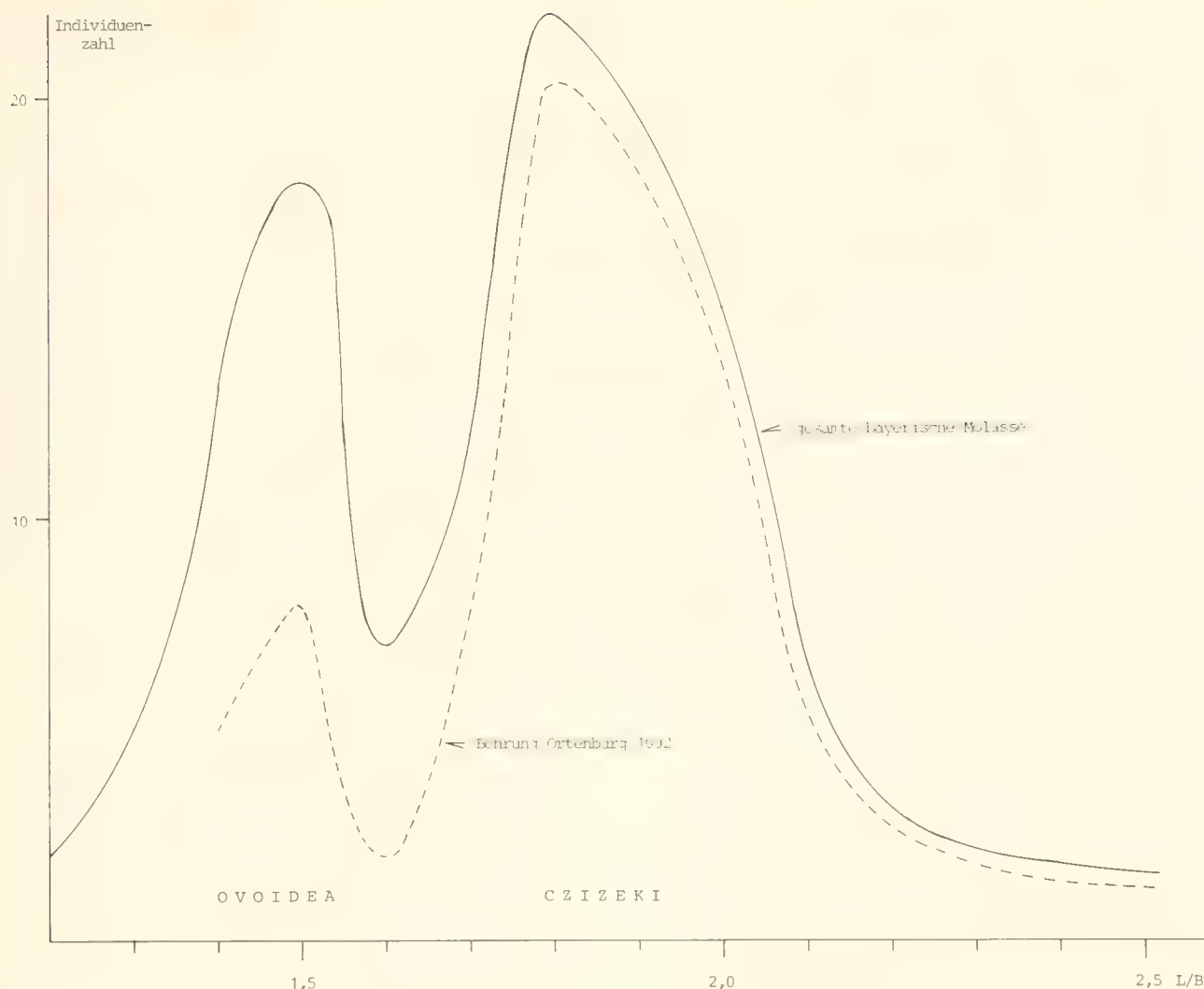


Abb. 27: Biometrische Messungen an *Chilostomella ovoidea* und *czizeki*.

Familie: Rotaliidae EHRENBURG 1839

Genus: *Ammonia* BRÜNNICH 1772

Ammonia beccarii (LINNÉ)

Taf. 14, Fig. 13–16

- *1758 *Nautilus beccarii* – LINNAEUS: 710 (rezent, Adria)
- 1846 *Rosalina viennensis* D'ORB. – D'ORBIGNY: 177, Taf. 10/22–24 (Mittelmiozän, Wiener Becken)
- 1857 *Rosalina viennensis* D'ORB. – EGGER: 277, Taf. 8/11–13 (Eggenburg, Niederbayern)
- Rosalina simplex* D'ORB. – EGGER: 278, Taf. 10/4–6
- 1928c *Rotalia beccarii* (L.) – CUSHMAN: 104, Taf. 15/1–7 (rezent, Adria)
- 1971 *Streblus beccarii* (L.) – HOFKER: 17, Taf. 63/1–8; 64/1–6 (rezent, Adria)
- Streblus hagni* nov. spec. – HOFKER: 18, Taf. 65/1–7 (Eger, Oberbayern)
- Streblus viennensis* (D'ORB.) – HOFKER: 19, Taf. 65/8–12 (Mittelmiozän, Wiener Becken)

Trochospirale, biconvexe Gehäuse mit rundem Umriß. Die Peripherie ist gerundet bis leicht gewinkelt, schwach gelappt. Die Spiralseite ist evolut, gewölbt, die Ventralseite involut. Der Nabel ist weit und meist tief, sternartig in die Suturen hineinreichend und mit sehr unregelmäßigen Nabelpfeilern

ausgefüllt. 6–12 wenig geblähte Kammern nehmen langsam an Größe zu. Auf der Spiralseite sind sie ungefähr rechteckig, auf den Umbilicalseite dreieckig. Hier weisen sie Verdickungen durch glasiges Schalenmaterial auf den nabelwärts gerichteten Spitzen der Kammern auf. Die Suturen sind auf der Spiralseite gebogen, durchscheinend, nur wenig eingesenkt, auf der Ventralseite leicht gekrümmt, vertieft und in Richtung Nabel stark furchenartig zu Septalspalten erweitert, wodurch der Nabel seinen sternartigen Umriß erhält. Die Mündung stellt sich als interiomarginal-umbilicaler, in der Nähe des Nabelbereiches gelegener, hoher Mündungsbogen ohne Lippe dar. Die Schale ist glatt und fein perforiert.

Ø = 0,14–0,7 mm

H = 0,08–0,35 mm

Bemerkungen:

Bei den von EGGER (1857: 278, Taf. 10/4–6) als *Rosalina simplex* D'ORB. beschriebenen Formen handelt es sich um juvenile Gehäuse von *Ammonia beccarii* mit sehr flachem Nabel, der nur von ganz feinen Granulationen erfüllt ist. Sie finden sich häufig im Eggenburg von Blindham und entsprechen weitgehend dem bei CUSHMAN (1928c: Taf. 15/3) abgebilde-

ten Exemplar von der Typlokalität Rimini. Die Variationsbreite bei *Ammonia beccarii* reicht sogar bis zu Formen, die der *Ammonia ex gr. simplex* (D'ORB.) bei CICHÁ et al. (1971: Taf. 16/4–6) ähnlich sind.

HOFKER (1971: 19) unterscheidet die neue Art *baghi* von *beccarii* durch die geringere Größe und die einfacher gebauten Suturen, ohne knotenartige Verdickungen auf der Ventralseite. Diese Formen fallen jedoch in den weiten Variabilitätsbereich von *Ammonia beccarii* (vgl. CUSHMAN 1928c: Taf. 15/1–7).

Verbreitung:

Durchläufer im Miozän, häufig. Im Oligozän erscheint sie erst in den oberen Cyrenenschichten, also im Oberen Unter-eger. Sie ist also weitgehend auf Miozän (und jüngeres) beschränkt.

Ökologie:

Eine charakteristische Form des Seichtwassers (vgl. POAG 1981: 17 ff., WALTON 1964: 159, Abb. 5). Nach PHLEGER (1960: Abb. 18) kommt sie in Wassertiefen von 10 bis 50 m gehäuft vor. Sie reicht bis max. 80 m. Sie verträgt starke Aussüßung und ist damit auch noch in der Brackwassermolasse Niederbayerns anzutreffen.

Ammonia propingua (REUSS)

Taf. 14, Fig. 17–20

- *1856 *Rotalia propingua* n. sp. — REUSS: 241, Taf. 4/53 (Chatt, N-Deutschland)
- 1857 *Rotalina propingua* REUSS — EGGER: 275, Taf. 7/14–17 (Eggenburg/?Mittelottnang, Niederbayern)
- 1958 *Rotalia propingua* REUSS — BATJES: 167, Taf. 12/11 (Oligozän, Belgien)
- 1965 *Rotalia propingua* ROEMER — TRUNKO: 173, Taf. 16/14 (Chatt, N-Deutschland)
- 1970 *Ammonia propingua* (REUSS) — LE CALVEZ: 160, Taf. 36/1–2 (Paläogen, Pariser Becken)
- 1974 *Buccella propingua* (REUSS) — MURRAY & WRIGHT: Taf. 8/2–3, 7 (Obereozän, England)

Gehäuse trochospiral, im Umriss rund, in der Seitenansicht gleichmäßig biconvex oder mit stärker gewölbter Dorsalseite. Die Peripherie ist stumpf- bis scharfwinklig und schwach gelappt, die Spiralseite evolut, gewölbt, die Ventralseite involut. Der Nabel ist sehr eng, durch die Ausbildung von Septalspalten reicht er sternartig in die Suturen hinein und ist vollständig mit feinen Granulationen erfüllt. Die 6–8 nicht geblähten Kammern des letzten Umgangs sind auf der Umbilicalseite dreieckig und tragen markante, glasige Verdickungen auf den in den Nabel hineinreichenden Spitzen der Kammern und entlang der Suturen. Die Nähte sind auf der Spiralseite nur wenig gekrümmt, aber stark nach hinten geneigt, so daß sie die älteren Windungen tangential berühren. Sie sind leicht limbat, durchscheinend, nicht eingesenkt. Auf der Umbilicalseite sind sie radial, außen schwach, nach innen zu aber stark eingetieft und ab der halben Distanz (oft auch weniger) zwischen Nabel und Gehäuserand deutlich zu Septalspalten erweitert, wodurch der Nabel sein sternartiges Aussehen erhält. Entlang des stark vertieften Teils sind die Suturen von glasigem Schalenmaterial gesäumt. Die Mündung liegt interiomarginal-umbilical und trägt keine Lippe, die Mündungsflä-

che ist manchmal leicht eingebuchtet. Die Schale ist glatt und mittelgrob perforiert.

Ø = 0,17–0,3 mm

H = 0,08–0,17 mm

Differentialdiagnose:

Sie unterscheidet sich von *Ammonia beccarii* durch den sehr engen, nicht eingesenkten Nabel und die stärker gewinkelte Peripherie.

Bemerkungen:

Die Art ist ziemlich variabel bezüglich der Ausbildung der Peripherie und der schlitzartigen Erweiterungen der Nähte, die sich über ein Viertel bis zur Hälfte der Suturlänge erstrecken können.

Verbreitung:

Selten vom Oberen Eger bis ins Untere Ottnang.

Ammonia discigera (EGGER)

Taf. 15, Fig. 1–3

- *1857 *Rotalina discigera* nov. spec. — EGGER: 277, Taf. 8/4–7 (Eggenburg/?Mittelottnang, Niederbayern)

Neotypus: Slg. München, Prot. 5484

Locus typicus: Blindham (in direkter Nachbarschaft des EGGER-Fundortes Buchleiten)

Stratum typicum: Eggenburg

Das flach-trochospirale, biconvexe, im Umriss rundliche Gehäuse weist eine subacute, leicht gelappte Peripherie auf. Die Spiralseite ist evolut und leicht gewölbt, die Ventralseite involut und etwas weniger convex. Der Nabel ist sehr weit und vollständig von einer glatten, glasigen, leicht erhabenen Nabelscheibe ausgefüllt, die das Hauptkriterium dieser Art darstellt. Ebenso durchscheinend wie der Zentralpfeiler sind die auf beiden Seiten schrägen, aber wenig gebogenen Suturen, die im letzten Umgang 8–9 rautenförmige, sehr langsam an Größe zunehmende Kammern voneinander trennen. Die Mündung wird von einem kleinen, interiomarginal gelegenen, nabelwärts orientierten Bogen gebildet, der in den Umbilicus hineinzieht und an der Basis der Endkammer entlang bis zur ersten oder max. zweiten Suture verläuft, wo er, kurze Suturalschlitze bildend, in die Nähte hineingreift. Die Wand ist glatt und sehr fein perforiert.

Ø = 0,17–0,25 mm

H = 0,08–0,11 mm

Differentialdiagnose:

Die Form unterscheidet sich von *Ammonia beccarii* deutlich durch den kompakten, glatten, den ganzen Nabel ausfüllenden Zentralpfeiler, die nur in den letzten beiden Nähten entwickelten Suturalschlitze und die Kammerform.

Verbreitung:

Die Art wurde nur sehr selten im Eggenburg von Blindham beobachtet.

Genus: *Pararotalia* LE CALVEZ 1949

Pararotalia rimosa (REUSS)

Taf. 15, Fig. 4–5 u. 9

*1869 *Rotalia rimosa* n. sp. — REUSS: 19, Taf. 2/5 (Oligozän, SW-Frankreich)

1955 *Rotalia rimosa* REUSS — KAASSCHIETER: 86, Taf. 9/2 (Untermiozän, SW-Frankreich)

Trochospirale, biconvexe bis umbilico-convexe Gehäuse mit rundlichem Umriss. Die Peripherie ist scharfwinkelig und gelappt bis gezackt, die Spiralseite evolut, die Ventralseite involut und meist stärker gewölbt als die Dorsalseite. Der Nabel wird von einem kräftigen, deutlich abgesetzten Zentralpfeiler eingenommen. 7–12 kaum geblähte Kammern im letzten Umgang nehmen langsam an Größe zu und sind an der Peripherie zu kurzen Zacken ausgezogen. Die Suturen sind auf der Spiralseite gerade, mäßig bis stark geneigt, durchscheinend, nicht eingesenkt, auf der Umbilicalseite radial und deutlich vertieft. Die Mündung bildet ein interiomarginaler, z. T. ziemlich hoher Schlitz ohne Lippe. Die intercameralen Foramina sind areal und von ovaler Form.

$\varnothing = 0,25–0,8$ mm

H = 0,13–0,25 mm

Differentialdiagnose:

Sie unterscheidet sich von *Pararotalia canui* (CUSHMAN) = *Pararotalia stellata* (REUSS) durch die höhere Kammerzählung und die stärker geneigten und nicht eingesenkten Suturen auf der Spiralseite.

Verbreitung:

Im Eggenburg sehr häufig im Röthelbach, seltener an der Prien und im Kaltenbachgraben. Selten im untersten Ottnang des Fußgrabens, häufig im Mittelottnang von Dommelstahl.

Ökologie:

Die Art bevorzugt flachmarine Verhältnisse.

Pararotalia batavensis n. sp.

Taf. 15, Fig. 6–8

1857 *Rotalina aculeata* D'ORB. — EGGER: 274, Taf. 7/1–4 (Eggenburg, Niederbayern)

Namengebung: Batavis (lat.) = Passau

Holotypus: Slg. München, Prot. 5489

Locus typicus: Kemating

Stratum typicum: Eggenburg

Diagnose:

Eine neue Art der Gattung *Pararotalia* mit folgenden Besonderheiten: umbilico-convexes Gehäuse mit stark geneigten, limbaten Nähten auf der Spiralseite und weitem Nabel ohne Zentralpfeiler.

Beschreibung:

Das Gehäuse ist flach-trochospiral, umbilico-convex und im Umriss rund mit gezacktem Außenrand. Die Peripherie ist gekielt. Die Spiralseite ist evolut und nur ganz schwach gewölbt, die Ventralseite involut und stärker gewölbt als die Gegenseite. Der Nabel ist weit und ziemlich tief. Er weist nie

einen deutlichen Zentralpfeiler auf, sondern ist nur mit feinem, körneligem Schalenmaterial ausgefüllt. Die Kammerwände fallen steil zum Nabel hin ab und bilden eine periumbilicale Schulter aus, die noch durch glasiges Schalenmaterial, das den Nabel umkränzt, verstärkt wird. 6–8 leicht geblähte Kammern im letzten Umgang nehmen langsam an Größe zu. Sie springen am Gehäuserand zackenartig vor und bilden kurze Stacheln aus. Auf der Ventralseite sind sie dreieckig. Die Nähte sind auf der Spiralseite stark nach hinten gekrümmt, fast immer tangential zu den älteren Umgängen und stark limbat. Auf der Nabelseite verlaufen sie radial, sind leicht eingesenkt und verdickt. Die Mündung besteht aus einem sehr niedrigen, interiomarginalen Schlitz ohne Lippe. Die Mündungsfläche ist leicht eingebuchtet. Bei den intercameralen Foramina wurden keine arealen Mündungen festgestellt.

$\varnothing = 0,25–0,5$ mm

H = 0,14–0,24 mm

Differentialdiagnose:

Durch ihre charakteristischen Merkmale — die fast plane Spiralseite mit ihren limbaten, stark geneigten Nähten und der weite Nabel ohne Zentralpfeiler — unterscheidet sich die neue Art deutlich von allen anderen dieser Gattung.

Die Spiralseite ähnelt ein wenig *Pararotalia debourlei* LE CALVEZ. Diese besitzt aber rippenartige Suturen auf der Ventralseite.

Die neue Art weist gewisse Ähnlichkeit mit der von REUSS (1850: 371, Taf. 47/1) beschriebenen *Rotalina spinimargo* auf. Von dieser Art sind mir jedoch keine jüngeren Zitate bekannt. Die Originalabbildungen zeigen auf der Spiralseite weniger geneigte Nähte sowie einen engeren Nabel als die Exemplare aus dem bayerischen Eggenburg. Außerdem nehmen die Umgänge stärker an Höhe zu.

Verbreitung:

Selten im Eggenburg von Niederbayern, im Röthelbach, im Fußgraben und an der Prien. Nur in Kemating häufig.

Ökologie:

Seichtwasserform.

Familie: Discorbidae EHRENBERG 1838

Genus: *Rosalina* D'ORBIGNY 1826

Rosalina globularis semiporata (EGGER)

Taf. 15, Fig. 10–12

*1857 *Rotalina semiporata* nov. spec. — EGGER: 276, Taf. 8/1–3 (Eggenburg, Niederbayern)

1915 *Discorbis globularis* (D'ORB.) var. *bradyi* new var. — CUSHMAN: 12, Taf. 8/1 (rezent, Nordpazifik)

1955 *Discorbis globularis* (D'ORB.) var. *bradyi* CUSHMAN — KAASSCHIETER: 83, Taf. 7/7 (Untermiozän, SW-Frankreich)

1960 *Rosalina bradyi* (CUSHMAN) — BARKER: Taf. 86/8 (rezent, Pazifik)

1978 *Rosalina* cf. *bradyi* (CUSHMAN) — POIGNANT & PUJOL: Taf. 6/4–5 (Burdigal, SW-Frankreich)

Neotypus: Slg. München, Prot. 5497

Locus typicus: Maierhof (Die von EGGER angegebene Typlokalität Hausbach ist nicht mehr zugänglich)

Stratum typicum: Eggenburg

Ein flaches, niedrig-trochospirales, concavo-convexes Gehäuse mit ovalem Umriss. Die Peripherie ist schmal gerundet und wenig gelappt, die Spiralseite evolut, leicht gewölbt, die Ventralseite involut und schwach concav. 5–6 leicht geblähte Kammern in der letzten Windung nehmen rasch an Größe zu. Die Suturen sind auf der Spiralseite stark nach hinten gekrümmt, stets, aber nicht immer gleich deutlich limbat. Besonders die letzte Naht ist häufig leicht eingesenkt, während die übrigen Suturen meist leistenartig erhaben sind. Auf der Ventralseite sind sie eher radial, nur leicht gebogen, am Außenrand nur ganz schwach eingesenkt, in Richtung Nabel jedoch furchenartig zu Suturalschlitzen erweitert und vertieft. Die Suturalschlitze sind am distalen Ende aufgebelt, wobei eine Furche der Sutura folgt, die andere in etwa senkrecht dazu in die darauffolgende Kammer hineinzieht. Der Nabel ist eng und tief und weist in einigen Fällen unregelmäßig verstreute Knoten auf. Die Mündung besteht aus einem deutlichen, von einer dicken Lippe begleiteten Schlitz, der von der Peripherie bis in den Nabel hinein und an der Basis der lappenartig in den Umbilicus vorspringenden Endkammer entlangzieht. Sehr charakteristisch ist die Perforierung des Gehäuses, mit einer sehr grobporigen Spiralseite und einer sehr fein perforierten Ventralseite.

$\varnothing = 0,27-0,6$ mm

H = $0,11-0,22$ mm

Differentialdiagnose:

Die Form unterscheidet sich von *Rosalina globularis* D'ORB. durch die limbaten Suturen der Spiralseite und die unregelmäßigeren, stets am distalen Ende gegabelten Suturalschlitze. Die charakteristische Eigenschaft der unterschiedlichen Perforierung von Dorsal- und Ventralseite ist jedoch beiden Formen gemeinsam. Die Ausbildung der limbaten Suturen variiert sehr stark. Außerdem können auch bei *Rosalina globularis* gegabelte Suturalschlitze auftreten (vgl. VÉNEC-PEYRÉ 1981: Taf. 4/2). Die von EGGER beschriebenen Typen sind deshalb wohl nur als Unterart aufzufassen. Die Unterschiede verdeutlichen am besten die Abbildungen bei BARKER (1960): *Rosalina globularis* mit den einfacheren Suturalschlitzen und den eingesenkten Suturen der Spiralseite (l. c. Taf. 86/13) und *Rosalina bradyi* (CUSHMAN) = *Rosalina globularis semiporata* (EGGER) mit den gegabelten Suturalschlitzen und den limbaten Nähten der Dorsalseite (l. c. Taf. 86/8).

Die Unterart unterscheidet sich von *Rosalina obtusa* D'ORB. aufgrund ihrer größeren Kammerzähl, den längeren Suturalschlitzen und den nur sporadisch auftretenden Höckern im Nabelbereich. Die Perforation von Dorsal- und Ventralseite ist bei *Rosalina obtusa* gleich.

Rosalina araucana D'ORB. zeichnet sich durch eine höhere Kammerzähl und einfachere Suturalschlitze aus.

Bei *Rosalina vilardeboana* D'ORB. ist die Porengröße auf beiden Seiten gleich, die Suturalschlitze sind weniger ausgeprägt.

Bei *Rosalina douvillei* CUSHMAN (CUSHMAN 1928b: 54, Taf. 3/1) ist die Dorsalseite stärker gewölbt. Der Nabel weist

nach POIGNANT & PUJOL (1976: Taf. 8/10) und LE CALVEZ (1966: 408, Taf. 2/3–7) sehr grobe Höcker auf.

Bemerkungen:

Die Form ist bei EGGER nicht ganz exakt dargestellt. Die Suturalschlitze sind nicht präzise gezeichnet, ebenso die limbaten Nähte der Spiralseite. Die groben Poren im Nabelbereich wurden nie beobachtet. Alle anderen auf der Zeichnung erkennbaren Eigenschaften sprechen jedoch für sich. Im Eggenburg von Niederbayern treten keine anderen Formen mit unterschiedlicher Perforierung von Dorsal- und Ventralseite auf.

Verbreitung:

Sehr selten im obersten Eger des Zillergrabens. Die Hauptverbreitung liegt im Eggenburg (Niederbayern, Röthelbach, Lußgraben, Kaltenbachgraben). Selten im Unteren Ottnang von Niederbayern, im Mittelottnang nur in Gänshall.

Ökologie:

Die Gattung lebt bevorzugt im Flachwasser, nach POAG (1981: 22) auf dem mittleren und äußeren Schelf, nach MURRAY (1973: 251) in Wassertiefen bis max. 100 m.

Genus: *Discorbis* LAMARCK 1804

Discorbis biaperturatus (POKORNÝ)

Taf. 15, Fig. 13–14 u. 18

- *1956 *Biapertorbis biaperturatus* n. gen., n. sp. – POKORNÝ: 265, Abb. 4–6 (Obereozän, Tschechoslowakei)
- 1966 *Discorbis biaperturatus* (POKORNÝ) – BUTT: 54, Taf. 3/2 (Oligozän, SW-Frankreich)
- 1966 *Biapertorbis biaperturatus* POKORNÝ – POAG: 409, Taf. 4/21–23 (Untermiozän, Alabama und Mississippi)
- 1979 *Discorbis biaperturatus* (POKORNÝ) – SZTRÁKOS: Taf. 20/19 (Oligozän, Ungarn)
- 1983 *Biapertorbis biaperturatus* POKORNÝ – KRHOVSKÝ: Taf. 4/6 (Eozän/Oligozän, Tschechoslowakei)
- 1984 *Rosalina biaperturatus* (POKORNÝ) – OLSZEWSKA: 25, Taf. 4/3 (Oligozän, Polen)

Ein sehr flaches, niedrig-trochospirales, concavo-convexes, im Umriss rundliches bis ovales Gehäuse mit scharf gekielter, nichtgelappter Peripherie. Die Spiralseite ist evolut, flach gewölbt, die Ventralseite ist involut und concav. 4–6 nichtgeblähte Kammern nehmen allmählich an Größe zu. Die Suturen auf der Spiralseite sind stark nach hinten gebogen, transparent und nicht eingesenkt, auf der Ventralseite leicht gebogen, am Rande nur wenig eingesenkt, im Nabelbereich zu kurzen Suturalschlitzen erweitert und vertieft. Der Nabel ist eng und mit einem kleinen, deutlich abgegrenzten Nabelpfropf ausgefüllt. Die Mündung wird gebildet von einer kleinen, interiomarginal gelegenen, rundlichen bis ovalen Öffnung, etwa in der Mitte der Basalnaht der Endkammer zwischen Peripherie und Nabel. Eine zweite Mündung wurde nicht beobachtet. Die Wand ist glatt und fein perforiert.

$\varnothing = 0,17-0,45$ mm

H = $0,08-0,2$ mm

Differentialdiagnose:

Die Art ist sehr ähnlich der *Neoconorbina squamula* (REUSS). Letztere besitzt jedoch auf der Ventralseite stärker

nach hinten gebogene Suturen und einen freien Nabel. Auch die Mündung ist nach der Originalabbildung anders entwickelt.

Neoconorbina terquemi (RZEHAČ) zeichnet sich unter anderem ebenfalls durch einen freien Nabel aus. Die Endkammer nimmt auf der Umbilikalseite einen größeren Raum ein. Die Art bildet keine Suturalschlitze aus.

Discorbis uhligi austriacus unterscheidet sich durch eine höher gewölbte Dorsalseite und fast radiale Suturen auf der Ventralseite.

Bemerkungen:

Gegenüber der Originalbeschreibung zeigen die Exemplare aus Bayern auf der Spiralseite stärker nach hinten weisende Nähte.

Verbreitung:

Durchläufer, selten.

Discorbis uhligi austriacus (TOLLMANN)

Taf. 15, Fig. 15–17 u. 19

1857 *Rotalina haidingeri* D'ORB. – EGGER: 275, Taf. 7/11–13 (Eggenburg, Niederbayern)

*1957 *Rotorbinella uhligi austriaca* n. ssp. – TOLLMANN: 194, Taf. 3/13 (Eggenburg, Niederösterreich)

1971 *Discorbis uhligi austriaca* (TOLLMANN) – ČIČHA et al.: 266 (Eggenburg, Niederösterreich)

Ein hütchenförmiges, planconvexes, hochtrochospirales Gehäuse mit rundem Umriss und gekielter, leicht gelappter Peripherie. Die letzte Kammer ist in der Seitenansicht abgerundet. Die Spiralseite ist evolut, hoch gewölbt, die Ventralseite involut, plan bis leicht convex. 6–7 wenig geblähte Kammern in der letzten Windung nehmen langsam an Größe zu. Die Suturen sind auf der Spiralseite durchscheinend, nicht eingesenkt, stark gebogen, auf der Ventralseite ziemlich gerade und radial, deutlich eingesenkt, in Nabelnähe zu kurzen Suturalschlitzen erweitert und vertieft. Der Nabel ist eng und meist mit einem ziemlich kräftigen, deutlich abgegrenzten Nabelpfeiler ausgefüllt. Die Mündung bildet ein weiter, interior marginaler Bogen mit Lippe, der fast bis zur Peripherie reicht, in den Nabel hinein und an der Basis der Kammern um diesen herumzieht. Die Wand ist glatt, fein perforiert.

Ø = 0,25–0,3 mm

H = 0,14–0,17 mm

Differentialdiagnose:

Die Form erinnert an *Discorbis rosea* (D'ORB.), weist aber weniger Kammern pro Windung auf, und es fehlen ihr die Warzen auf der Spiralseite. Der Zentralpfeiler ist deutlicher abgegrenzt.

Discorbis mira CUSHMAN besitzt längere Suturalschlitze.

Bemerkungen:

EGGER beschrieb die Form als *Rotalina haidingeri* D'ORB. Er bildet ein Exemplar ohne Zentralpfeiler ab. *Rotalina haidingeri* ist nach PAPP & SCHMID (1985: 59) synonym mit *Heterolepa dutemplei* (D'ORB.).

Verbreitung:

Selten im Oberen Eger des Zillergrabens. Häufig im Eggenburg von Niederbayern, selten im Röthelbach und Fuß-

graben und im Unteren Ottnang von Niederbayern und des Fußgrabens.

Ökologie:

Hauptverbreitung im Flachwasser. Die Gattung *Discorbis* tritt nach MURRAY (1973: 249) in Wassertiefen bis 50 m auf.

Genus: *Neoconorbina* HOFKER 1951

Neoconorbina patella (EGGER)

Taf. 15, Fig. 20–22

*1857 *Rosalina patella* nov. spec. – EGGER: 278, Taf. 10/12–14 (?Mittelottnang/?Eggenburg, Niederbayern)

1965 *Discorbis osnabrugensis* n. sp. – TRUNKÓ: 133, Abb. 16, Taf. 13/7 (Chatt, N-Deutschland)

Neotypus: Slg. München, Prot. 5497

Locus typicus: Maierhof (Material aus Habühl lag nicht vor)

Stratum typicum: Eggenburg

Ein flaches, concavo-convexes Gehäuse, im Umriss rundlich bis oval, die Peripherie gekielt und wenig gelappt. Die Spiralseite ist evolut, gewölbt, die Ventralseite concav und nicht vollständig involut, da die älteren Umgänge im freien Nabel teilweise sichtbar sind. 6–7 nichtgeblähte Kammern in der letzten Windung nehmen allmählich an Größe zu. Die Suturen auf der Spiralseite sind nicht eingesenkt, nur wenig durchscheinend, ziemlich stark nach hinten gekrümmt, auf der Ventralseite ebenfalls schwer zu erkennen, mäßig gebogen, am Rande nicht eingesenkt, nur in der unmittelbaren Nähe des Nabels leicht eingeschnitten, jedoch ohne Suturalschlitze auszubilden. Der Nabel ist weit und flach und läßt die älteren Windungen undeutlich erkennen. Bisweilen ist das Zentrum durch sekundäres Schalenmaterial etwas verdickt. Die Mündung bildet ein deutlicher Schlitz, der nahe der Peripherie ansetzt und um den Nabel herum an der Basis der letzten 2–5 Kammern entlangzieht. Die Schale ist glatt und grob perforiert.

Ø = 0,17–0,25 mm

H = 0,08–0,14 mm

Differentialdiagnose:

Sie unterscheidet sich von *Neoconorbina terquemi* (RZEHAČ) und *squamula* (REUSS) durch die auf beiden Seiten schwächer gebogenen Nähte, den weiten Nabel und die charakteristisch um den Umbilicus herumziehende Mündung. Es ließen sich jedoch auch Übergangsformen finden, die es nicht ausgeschlossen erscheinen lassen, daß es sich bei *Neoconorbina patella* um Jugendstadien von *Neoconorbina terquemi* handelt.

Von *Discorbis biaperturatus* und *uhligi austriacus* weicht sie durch den freien Nabel und die fehlenden Suturalschlitze ab.

Bemerkungen:

Wegen der nicht vorhandenen Suturalschlitze wurde die Art zur Gattung *Neoconorbina* gestellt, obwohl im Nabel eine flache Umbilicalscheibe ausgebildet ist.

In EGGER'S Darstellung sind die Suturen zuwenig gekrümmt, besonders auf der Nabelseite. Außerdem zeichnet er

im letzten Umgang 8 Kammern, während er im Text 6–7 angibt.

Verbreitung:

Selten im Eggenburg von Maierhof und Blindham.

Genus: *Neoeponides* REISS 1960

Neoeponides schreibersii (D'ORBIGNY)

Taf. 16, Fig. 1–3

- *1846 *Rotalina schreibersii* D'ORB. – D'ORBIGNY: 154, Taf. 8/4–6 (Mittelmiozän, Wiener Becken)
 1963 *Eponides schreibersii* (D'ORB.) – KUMMERLE: 49, Taf. 8/1 (Chatt, N-Deutschland)
 1966 *Eponides schreibersii* (D'ORB.) – BUTT: 58, Taf. 4/1–2 (Oligozän, SW-Frankreich)
 1985 *Neoeponides schreibersi* (D'ORB.) – PAPP & SCHMID: 59, Taf. 49/7–12 (Mittelmiozän, Wiener Becken)

Hochtrochospirale, plan-convexe, hütchenförmige Gehäuse mit rundem Umriß und gekanteter, kaum gelappter Peripherie. Die Spiralseite ist evolut, stark gewölbt, die Ventralseite involut, plan. 7–8 nichtgeblähte Kammern im letzten Umgang nehmen langsam an Größe zu. Die Suturen sind durchscheinend, leicht limbat, auf der Spiralseite sehr stark nach hinten gebogen, auf der Umbilicalseite wenig gekrümmt, gegen den Nabel hin eingesenkt. Der Nabel ist eng und tief. Durch die Eintiefung der Nähte erhält er ein leicht sternartiges Aussehen. Er ist umgeben von einem periumbilicalen Ring aus glasigen Höckern, die auf den nabelwärts gerichteten Spitzen der Kammern sitzen. Die Mündung besteht aus einem interiomarginalen Schlitz mit schmaler Lippe. Die Mündungsfläche bildet eine kleine Einbuchtung. Die Wand ist glatt und fein perforiert.

$\varnothing = 0,35–0,5$ mm

H = 0,2–0,28 mm

Bemerkungen:

Die vorliegenden Formen unterscheiden sich von den typischen *Neoeponides schreibersii* durch den etwas weiteren Nabel.

Verbreitung:

Sehr selten im Oberen Eger des Burgstallgrabens, nicht selten im Eggenburg des Röthelbaches und des Pechschnaitgrabens.

Genus: *Valvulineria* CUSHMAN 1926

Valvulineria complanata (D'ORBIGNY)

Taf. 16, Fig. 4–5 u. 9

- *1846 *Rosalina complanata* D'ORB. – D'ORBIGNY: 175, Taf. 10/13–15 (Mittelmiozän, Wiener Becken)
 1951 *Valvulineria complanata* (D'ORB.) – MARKS: 64, Taf. 6/13 (Mittelmiozän, Wiener Becken)
 1969a *Valvulineria complanata* (D'ORB.) – ROGL: 89, Taf. 5/12 (Karp, Niederösterreich)
 1985 *Valvulineria complanata* (D'ORB.) – PAPP & SCHMID: 66, Taf. 59/7–11 (Mittelmiozän, Wiener Becken)

Das Gehäuse ist niedrig-trochospiral, biconvex, im Umriß oval, die Peripherie gekantet und leicht gelappt. Die evolute Spiralseite ist leicht gewölbt, die involute Ventralseite stärker gewölbt als die Gegenseite. 6–7 leicht geblähte Kammern

nehmen ziemlich langsam an Größe zu und bilden an der Basis um den Nabel herum mehr oder weniger deutliche Umbilicallappen aus. Die Suturen sind auf der Spiralseite stark gebogen, kaum eingesenkt, leicht limbat, auf der Ventralseite schwach gebogen und eingesenkt. Der Nabel ist weit, teilweise durch die Umbilicallappen verschlossen. Er wird umkränzt von glasigen Höckern, die auf den nabelwärts gerichteten Spitzen der Kammern liegen. Die Mündung besteht aus einem interiomarginalen Schlitz, der unter den Umbilicallappen in den Nabel hineinzieht. Er reicht nicht bis zur Peripherie. Die Mündungsfläche ist leicht eingebuchtet. Die Schale ist glatt und fein perforiert.

$\varnothing = 0,2–0,3$ mm

H = 0,11–0,15 mm

Verbreitung:

Durchläufer, selten. Etwas häufiger nur im Oberen Eger.

Ökologie:

Die Art ist als Häufigkeitsform an die Tiefwasserfazies gebunden. WALTON (1955: 1016) gibt für die morphologisch sehr ähnliche *Valvulineria araucana* (D'ORB.) ein Häufigkeitsmaximum zwischen 360 und 450 m an, bei einer Gesamtverbreitung von 270–1100 m Wassertiefe (vgl. auch PHLEGER 1960: Abb. 35). Nach BANDY & ARNAL (1960: 1927) ist die Gattung typisch für oberes Bathyal.

Valvulineria petrolei (ANDREAE)

Taf. 16, Fig. 6–8

- *1884 *Pulvinulina petrolei* n. sp. – ANDREAE: 217, Taf. 8/15 (Oligozän, Elsaß)
 1958 *Valvulineria petrolei* (ANDREAE) – BATJES: 146, Taf. 8/1 (Oligozän, Belgien)
 1962 *Valvulineria petrolei* (ANDREAE) – INDANS: 63, Taf. 9/16 (Miozän, NW-Deutschland)
 1964 *Valvulineria petrolei* (ANDREAE) – HAUSMANN: 383, Taf. 7/5 (Rupel, DDR)
 1978 *Valvulineria petrolei* (ANDREAE) – ODRZYWOLSKA-BIENKOWA et al.: 270, Taf. 11/5 (Rupel, Polen)
 1979 *Valvulineria petrolei* (ANDREAE) – SZTRÁKOS: Taf. 21/9 (Oligozän, Ungarn)

Ein niedrig-trochospirales, biconvexes, im Umriß leicht ovales Gehäuse mit gerundeter, gelappter Peripherie. Die Spiralseite ist evolut, leicht gewölbt, die Ventralseite involut und stärker gewölbt als die Gegenseite. 4–5 deutlich geblähte Kammern im letzten Umgang nehmen rasch an Größe zu. Die Suturen auf der Spiralseite sind eingesenkt, nur wenig gekrümmt, aber stark geneigt, jedoch nicht ganz tangential zur Spiralsutur. Auf der Ventralseite sind sie radial und eingesenkt. Der Nabel ist sehr eng, durch deutliche Umbilicallappen vollständig zugedeckt. Die Mündung bildet ein interiomarginaler Schlitz mit Lippe. Er zieht von der Peripherie unter den Umbilicallappen in den Nabel. Die Wand ist glatt und fein perforiert.

$\varnothing = \text{ca. } 0,22$ mm

H = ca. 0,1 mm

Verbreitung:

Sehr selten im Oberen Eger des Burgstallgrabens, im Eggenburg des Röthelbaches und im Ottnang von Niederbayern.

Genus: *Cancris* MONTFORT 1808

Cancris auriculus (FICHTEL & MOLL)

Taf. 16, Fig. 10–11 u. 15

- *1803 *Nautilus auricula* – FICHTEL & MOLL: 108, Taf. 20/a–f (rezent, Mittelmeer; Pliozän, Italien)
 1846 *Rotalina brongniartii* D'ORB. – D'ORBIGNY: 158, Taf. 8/22–24 (Mittelmiozän, Wiener Becken)
 1857 *Rotalina brongniarti* D'ORB. – EGGER: 274, Taf. 7/5–7 (Eggenburg, Niederbayern)
 1942 *Cancris auriculus* (F. & M.) – CUSHMAN & TODD: 74, Taf. 18/1–3; 23/6 (rezent, Philippinen)
 1984 *Cancris auriculus* (F. & M.) – RÖGL & HANSEN: 67, Abb. 28, Taf. 26/3–8 (rezent, Mittelmeer; Pliozän, Italien)

Ein niedrig trochospirales, biconvexes, im Umriss ovales Gehäuse mit gekielter, wenig gelappter Peripherie. Die Spiralseite ist evolut, gewölbt, die Ventralseite involut, etwas stärker gewölbt als die Dorsalseite. 6–7 leicht geblähte Kammern nehmen rasch an Größe zu. Die Endkammer ist mit einem kleinen Lappen in den Nabel hinein verlängert. Die Suturen sind auf der Spiralseite stark nach hinten gekrümmt, leicht limbat, durchscheinend, nicht oder nur sehr wenig eingesenkt, auf der Ventralseite sehr schwach gebogen, fast radial, vertieft. Der Nabel ist eng, teilweise verdeckt durch den Umbilicallappen der Endkammer und umkränzt von glasigen Höckern, die auf den nabelwärts gerichteten Spitzen der Kammern liegen. Die Mündung bildet ein schmaler, interiomarginaler, aus dem Nabel heraus, unter dem Umbilicallappen nur ein kurzes Stück in Richtung Peripherie ziehender Schlitz. Die Wand ist glatt und fein perforiert. Auf der Mündungsfläche ist ein imperfrierter Bereich ausgebildet.

Ø = 0,25–0,7 mm

H = 0,1–0,3 mm

Verbreitung:

Durchläufer, selten. Häufiger nur im Oberen Eger.

Ökologie:

Das Verbreitungsmaximum dieser Art liegt nach WALTON (1955: 1004) in Wassertiefen zwischen 270 und 360 m, charakteristisch ist sie zwischen 90 und 360 m, nach PHLEGER (1960: Abb. 35) etwa bei 50 bis 200 m. Sie reicht jedoch auch ins flache Wasser (mindestens 20 m Tiefe).

Cancris subconicus (TERQUEM)

- *1882 *Rotalina subconica* TERQUEM – TERQUEM: 61, Taf. 12/5 (Eozän, Pariser Becken)

Verbreitung:

Nicht selten im Oberen Eger von Niederbayern und der Zillerleite.

Genus: *Gyroidina* D'ORBIGNY 1826

Gyroidina soldanii D'ORBIGNY

- *1826 *Gyroidina soldanii* Nob. – D'ORBIGNY: 278, Modell Nr. 36 (rezent, Adria)

Verbreitung:

Sehr selten im Oberen Eger der Bohrung Ortenburg 1001, im Eggenburg des Lußgrabens und im Unteren Ottang des Kaltenbachgraben-Gebietes und von Niederbayern.

Ökologie:

BANDY (1953: 171) und BANDY & ARNAL (1960: 1927) teilen dieser Art ein Hauptverbreitungsgebiet im tieferen Bathyal und Abyssal zu (vgl. auch BOLTOVSKOY & WRIGHT 1976: 119). Sie tritt im bayerischen Miozän jedoch nie gehäuft auf.

Gyroidina parva CUSHMAN & RENZ

Taf. 16, Fig. 12–14

- *1941 *Gyroidina parva* n. sp. – CUSHMAN & RENZ: 23, Taf. 4/2 (Oligozän/Miozän, Venezuela)
 1962 *Gyroidina* cf. *parva* C. & R. – INDANS: 63, Taf. 9/17 (Miozän, NW-Deutschland)
 1966 *Gyroidinoides parvus* (C. & R.) – BUTT: 61, Taf. 5/13 (Oligozän, SW-Frankreich)
 1979 *Gyroidinoides parvus* (C. & R.) – SZTRAKOS: Taf. 29/4 (Oligozän, Ungarn)
 1980 *Gyroidina parva* C. & R. – DE MEUTER: 135, Taf. 7/1 (Miozän, Belgien)

Trochospirale, umbilico-convexe, im Umriss runde Schalen mit abgerundeter, gelappter Peripherie. Die Spiralseite ist evolut, convex, die älteren Umgänge sind deutlich gegenüber der letzten Windung herausgehoben, die Spiralsutur ist eingesenkt. Die involute Ventralseite ist stärker gewölbt als die Dorsalseite, der Nabel sehr eng und nicht tief, die periumbilicale Schulter ist stark abgerundet. 6–7 leicht geblähte, auf der Spiralseite etwas schräg-rechteckige, auf der Ventralseite dreieckige Kammern im letzten Umgang nehmen langsam an Größe zu, deutlicher an axialer Breite. Die Suturen auf der Spiralseite sind leicht nach hinten gebogen, eingesenkt, auf der Ventralseite wenig gebogen und nur schwach vertieft. Die Mündung bildet ein interiomarginaler Schlitz, der ohne Unterbrechung in den Nabel zieht, jedoch nicht ganz bis zur Peripherie reicht und von einer deutlichen Lippe begleitet wird. Gelegentlich ist eine leichte Einbuchtung der Mündungsfläche zu beobachten. Die Wand ist glatt und fein perforiert.

Ø = 0,2–0,33 mm

H = 0,13–0,25 mm

Differentialdiagnose:

Sie unterscheidet sich von *Gyroidina soldanii* durch die gerundete Form, sowohl was die Peripherie betrifft als auch die periumbilicale Schulter. Außerdem sind die älteren Umgänge deutlich herausgehoben.

Verbreitung:

Durchläufer, nicht selten. Häufiger im Oberen Eger und Unteren Ottang der Traun (Blaue Wand, Zillerleite und Traunstein).

Gyroidina cf. *planulata* CUSHMAN & RENZ

Taf. 16, Fig. 19–21

- *1941 *Gyroidina planulata* n. sp. – CUSHMAN & RENZ: 23, Taf. 4/1 (Oligozän/Miozän, Venezuela)
 1966 *Gyroidinoides planulatus* (C. & R.) – BUTT: 61, Taf. 5/14 (Oligozän, SW-Frankreich)

Trochospirale, biconvexe, im Umriss ovale Gehäuse mit gerundeter, kaum gelappter Peripherie. Die Spiralseite ist evolut, nur wenig gewölbt, die Spiralsutur nicht oder nur leicht eingesenkt, die Ventralseite involut und stärker gewölbt als die Dorsalseite. Der Nabel ist weit und tief, die Kammer-

wände fallen steil zum Zentrum hin ab, es ist aber keine ausgeprägte periumbilicale Schulter ausgebildet. Der Nabel ist umgeben von kleinen Umbilicallappen. 7–9 nichtgeblähte Kammern nehmen rasch an Größe zu. Die Suturen auf der Spiralseite sind stark, auf der Ventralseite leicht nach hinten gebogen, nicht eingesenkt. Die Mündung bildet ein interiomarginaler Schlitz, der von der Peripherie bis in den Nabel reicht und von einer Lippe gesäumt ist. Die Wand ist glatt und fein perforiert.

$\varnothing = 0,25-0,4 \text{ mm}$

$H = 0,15-0,2 \text{ mm}$

Differentialdiagnose:

Sie unterscheidet sich von *Gyroidina soldanii* und *parva* durch die wenig gewölbte Ventralseite, die starke Größenzunahme der Kammern und die nicht eingesenkte Spiralsutur.

Bemerkungen:

Die vorliegenden Exemplare stimmen sehr gut mit der Abbildung bei BUTT überein. Die artliche Zuordnung zu den Formen aus Venezuela ist jedoch nicht ganz gesichert, da die Originale nach der Abbildung 12 Kammern besitzen und eine eingesenkte Spiralsutur erkennen lassen. Die von BECKMANN (1953: 383, Taf. 23/25) und DE MEUTER (1980: 135, Taf. 7/2) beschriebenen Exemplare zeigen einen geschlossenen Nabel.

Verbreitung:

4 Exemplare aus dem Unteren Ottang von Niederbayern.

Gyroidina eggeri n. sp.

Taf. 16, Fig. 16–18 u. 22

1857 *Rotalina kalemburgensis* D'ORB. — EGGER: 273, Taf. 9/21–23 (Eggenburg, Niederbayern)

Namengebung: nach Dr. J. G. EGGER, der die Form als erster beschrieben hat.

Holotypus: Slg. München, Prot. 5497

Locus typicus: Maierhof

Stratum typicum: Eggenburg

Diagnose:

Eine neue Art der Gattung *Gyroidina* mit folgenden Besonderheiten: umbilico-convex, Dorsalseite gleichmäßig gewölbt mit nichteingesenkten Spiralsuturen; stumpf gekielte Peripherie; periumbilicale Schulter um einen engen, tiefen Nabel; tangential Nähte auf der Spiralseite.

Beschreibung:

Das Gehäuse ist trochospiral, umbilico-convex und im Umriss kreisrund. Die Peripherie ist stumpf gekielt und wenig gelappt. Die evolute Spiralseite ist gleichmäßig gewölbt, die Spiralsutur nicht eingesenkt. Die involute Ventralseite zeigt sich stets stärker gewölbt als die Dorsalseite. Der Nabel ist eng und tief, jedoch durch Umbilicallappen nach unten zu abgeschlossen. Die Kammerwände fallen steil zum Nabel hin ab und bilden eine scharfgratige periumbilicale Schulter aus. 6–7 nichtgeblähte Kammern im letzten Umgang nehmen langsam an Größe, aber ziemlich rasch an axialer Breite zu. Sie sind auf der Ventralseite dreieckig und tragen an den na-

belwärts gerichteten Enden schwache Verdickungen, die die periumbilicale Schulter noch markanter machen. Die Suturen sind auf der Spiralseite durchscheinend, nicht eingesenkt, gerade, stark nach hinten geneigt und am älteren Umgang tangential anliegend, auf der Ventralseite radial, eventuell leicht vertieft. Die Mündung bildet ein interiomarginaler, sehr niedriger Schlitz, der auf den Mittelabschnitt der Basalnaht beschränkt ist, nach einer kurzen Unterbrechung jedoch wieder ansetzt und unter den Umbilicallappen in den Nabel hineinzieht. Die Mündungsfläche zeigt eine leichte Einbuchtung. Die Wand ist glatt und fein perforiert.

$\varnothing = 0,2-0,45 \text{ mm}$

$H = 0,1-0,27 \text{ mm}$

Differentialdiagnose:

Die neue Art weist in ihrer äußeren Form gewisse Ähnlichkeit mit *Eponides boueanus* (D'ORB.) auf (vgl. PAPP & SCHMID 1985: 58). Sie unterscheidet sich jedoch durch die nichterhabenen Suturen auf der Spiralseite und den weiteren, tieferen Nabel.

Mit *Gyroidina basicrassata* BERMUDEZ aus dem Mittelmiozän der Karibik ist ihr die stark gewölbte Ventralseite und die ausgeprägte periumbilicale Schulter gemeinsam. Sie weicht jedoch durch die gewölbte Spiralseite und die schrägeren Dorsalnähte von dieser Form ab.

Die Spiralseite gleicht der von *Gyroidina barbarica* EMILIANI aus dem Oligozän der Toscana. Diese Art ist jedoch schwächer gekielt und besitzt einen engeren Nabel.

Am ähnlichsten ist der neuen Art *Gyroidina kazusaense* HIGUCHI aus dem Pliozän Japans. Die Suturen auf der Ventralseite sind jedoch leicht gebogen, auf der Spiralseite stärker limbat.

Gyroidina laciniata FRANZENAU aus dem Baden des Burgenlandes ist auf der Spiralseite plan.

Gyroidina longispira var. *miocenica* TEDESCHI & ZANMATTI aus dem Torton Italiens besitzt eine eingesenkte Spiralsutur.

Eponides rutteni CUSHMAN & BERMUDEZ aus dem Eozän Cubas unterscheidet sich durch seinen fast geschlossenen Nabel und seinen breiten Mündungsschlitz.

Eponides coryelli PALMER aus dem Miozän Jamaikas weicht durch seine verdickten Nähte, den engeren Nabel und die niedrigeren Umgänge von der neuen Art ab.

Bemerkungen:

Die Mündungsverhältnisse und die Umbilicallappen sprechen für die Zuordnung zur Gattung *Gyroidina*, während die äußere Form für dieses Genus eher untypisch ist. Die stumpf gekielte Peripherie, die ausgeprägte periumbilicale Schulter und die stark gewölbte Ventralseite, bei gleichmäßig-flach gewölbter Dorsalseite erinnern am ehesten an *Globorotalites*. Gegen *Eponides* sprechen die Mündungsform, die Umbilicallappen und die starke Wölbung der Nabelseite. Für die Gattung wäre jedoch die eingebuchtete Mündungsfläche typisch.

EGGER beschrieb die Art als *Rotalina kalemburgensis* D'ORB. aus Buchleiten (ca. 500 m östlich Maierhof). Nach der Revision der D'ORBIGNYSchen Arbeit durch PAPP & SCHMID (1985: 57) handelt es sich bei *Rotalina kalemburgensis* jedoch um eine Standortsform von *Heterolepa dutemplei*.

Verbreitung:

Nicht selten im Eggenburg von Maierhof, Blindham und Kemating. Sehr selten im Oberen Eger der Bohrung Ortenburg 1001.

Genus: *Alabamina* TOULMIN 1941

Alabamina tangentialis (CLODIUS)

Taf. 17, Fig. 1–3

- *1922 *Pulvinulina tangentialis* CLODIUS – CLODIUS: 138, Taf. 1/14 (Oligozän/Miozän, N-Deutschland) (fide ELLIS & MESSINA)
 1958 *Alabamina tangentialis* (CLODIUS) – BATJES: 155, Taf. 8/7 (Oligozän, Belgien)
 1966 *Alabamina tangentialis* (CLODIUS) – BUTT: 59, Taf. 5/1–3 (Oligozän, SW-Frankreich)

Niedrig-trochospirales, gleichmäßig biconvexes, im Umriss rundes Gehäuse mit gekielter, leicht gelappter Peripherie. Die Spiralseite ist evolut, gewölbt, die Ventralseite involut und ebenfalls gewölbt. 6–7 nichtgeblähte Kammern im letzten Umgang nehmen allmählich an Größe zu. Die Nähte sind auf der Spiralseite gerade, stark geneigt, so daß sie tangential zur Spiralsutur verlaufen, nicht eingesenkt, durchscheinend, auf der Umbilicalseite kaum gebogen, fast radial, nicht oder nur sehr wenig eingesenkt. Der Nabel ist geschlossen, manchmal durch eine leichte Eindellung markiert. Die Mündung bildet ein interiomarginaler Schlitz mit schmaler Lippe, der häufig in eine, auf der Mündungsfläche parallel zur Peripherie verlaufende Depression hineinzieht und dort bis zum Kiel reichen kann. Die Wand ist glatt und fein perforiert.

Ø = 0,25–0,4 mm

H = 0,1–0,17 mm

Differentialdiagnose:

SZTRÁKOS (1979: 72) betrachtet *Alabamina tangentialis* als synonym mit *Alabamina budensis* (HANTKEN). Letztere besitzt jedoch einen schärferen Kiel und weniger stark geneigte Nähte auf der Spiralseite.

Verbreitung:

Durchläufer, selten. Häufiger nur in den Neuhofener Mergeln.

Genus: *Svratkina* POKORNÝ 1956

Svratkina perlata (ANDREAE)

Taf. 17, Fig. 4–5 u. 9

- *1884 *Pulvinulina perlata* n. sp. – ANDREAE: 216, Taf. 8/12 (Oligozän, Elsaß)
 1958 *Alabamina perlata* (ANDREAE) – BATJES: 157, Taf. 8/8–9 (Oligozän, Belgien)
 1979 *Svratkina perlata* (ANDREAE) – SZTRÁKOS: 73, Taf. 28/15–16 (Oligozän, Ungarn)
 1982b *Svratkina perlata* (ANDREAE) – POIGNANT: 21, Abb. 7–11 (Oligozän, Frankreich)

Niedrig-trochospirales, biconvexes, im Umriss ovales Gehäuse mit stumpf gekielter, leicht gelappter Peripherie. Die Spiralseite ist evolut, leicht gewölbt, die Ventralseite involut und stärker gewölbt als die Spiralseite. 5–7 leicht geblähte

Kammern in der letzten Windung nehmen ziemlich rasch an Größe zu. Die Suturen auf der Spiralseite sind leicht eingesenkt, stark nach hinten gebogen, auf der Ventralseite nur sehr wenig gekrümmt und schwach vertieft. Der Nabel ist geschlossen, eventuell wenig eingesenkt. Die Mündung bildet ein breiter Schlitz an der Basis der Mündungsfläche. Im Bereich der parallel zur Peripherie verlaufenden Depression zieht er, einen kleinen Bogen bildend, etwas nach oben. Er ist von einer schmalen Lippe begleitet. Die Wand ist glatt, charakteristisch ist die unterschiedliche Perforierung von Ventral- und Dorsalseite: letztere zeigt sehr grobe Poren, die von Wülsten umgeben sind, erstere ist sehr fein perforiert mit nur wenigen groben Poren in der Nähe der Peripherie.

Ø = 0,17–0,3 mm

H = 0,08–0,15 mm

Differentialdiagnose:

Sie unterscheidet sich von *Alabamina toulmini* (BROTZEN 1948: 78, Taf. 10/16) durch die groben, auf niedrigen, warzenartigen Erhebungen sitzenden Poren der Spiralseite.

Verbreitung:

Sehr selten im Oberen Eger der Bohrung Ortenburg 1001, im Eggenburg des Röthelbaches und von Kemating und im Mittelottgang der Bohrung Ortenburg 1002.

Genus: *Oridorsalis* ANDERSON 1961

Oridorsalis umbonatus (REUSS)

Taf. 17, Fig. 6–8

- *1851b *Rotalina umbonata* m. – REUSS: 75, Taf. 5/35 (Rupel, N-Deutschland)
 1958 *Eponides umbonatus* (REUSS) – BATJES: 146, Taf. 7/10 (Oligozän, Belgien)
 1964 *Eponides umbonatus* (REUSS) – HAUSMANN: 388, Taf. 7/17 (Rupel, DDR)

Ein niedrig-trochospirales, biconvexes, im Umriss rundes Gehäuse mit gekielter, gelappter Peripherie. Die evolute Spiralseite und die involute Ventralseite sind beide gleichmäßig gewölbt. 5–7 wenig geblähte Kammern in der letzten Windung nehmen allmählich an Größe zu. Sie sind auf der Spiralseite sehr niedrig, etwa rechteckig, auf der Ventralseite dreieckig. Die Suturen sind auf beiden Seiten radial angeordnet und leicht eingesenkt. Im Winkel zwischen Suture und Spiralsutur liegen auf der Dorsalseite schlitzartige Zusatzmündungen. Der Nabel ist geschlossen und eben, nur manchmal durch eine leichte Eintiefung angedeutet. Die Mündung besteht aus einem interiomarginalen Schlitz zwischen Peripherie und Nabel, mit deutlicher Lippe. Hinzu treten Zusatzmündungen auf der Spiralseite im Winkel zwischen Septalsutur und Spiralsutur. Die Schale ist glatt, fein perforiert.

Ø = 0,22–0,33 mm

H = 0,12–0,15 mm

Verbreitung:

Sehr selten im Oberen Eger der Traun, im Eggenburg von Röthelbach und Lußgraben und im Unteren Ottgang von Niederbayern und im Eulenbach.

Ökologie:

Bevorzugt tiefere Wasserverhältnisse. Sie löst in den Neuhofener Schichten in den tieferen Faziesbereichen *Alabamina tangentialis* ab (vgl. Bohrung Ortenburg 1002).

Genus: *Epistominella* HUSEZIMA & MARUHASI 1944

Epistominella molassica (HAGN)

Taf. 17, Fig. 10–11 u. 14

*1952 *Pseudoparella molassica* n. sp. — HAGN: 180, Taf. 2/13 (Rupel bis Eger, Bayern)

Bemerkungen:

Die miozänen Formen unterscheiden sich von den Topotypen aus dem Unteren Eger der Roten Traun durch die weniger eingesenkten Nähte der Umbilicalseite und den schwächer entwickelten Umbilicallappen der Endkammer. Diese Abweichungen lassen sich jedoch auch im Oligozän an anderen Lokalitäten beobachten, so daß sie in die Variationsbreite zu rechnen sind.

Verbreitung:

Sehr selten im Oberen Eger, Eggenburg und Unteren Ottang von Niederbayern sowie im Eggenburg des Röthelbaches.

Genus: *Escornebovina* BUTT 1966

Escornebovina orthorapha (EGGER)

Taf. 17, Fig. 12–13 u. 18

*1857 *Rotalina orthorapha* nov. spec. — EGGER: 275, Taf. 10/1–3 (Eggenburg, Niederbayern)

1963 *Discorbis trochiformis* (ANDREAE) — KUMMERLE: 48, Taf. 7/6 (Chatt, N-Deutschland)

1980 *Escornebovina doebli* n. sp. — SONNE: 201, Abb. 1/1–6 (Rupel, Mainzer Becken)

1980 *Escornebovina doebli* SONNE — DOEBL et al.: 39, Abb. 5/1 (Rupel, Mainzer Becken)

Neotypus: Slg. München, Prot. 5497

Locus typicus: Maierhof (in direkter Nachbarschaft der Eggerschen Typlokalität Buchleiten)

Stratum typicum: Eggenburg

Gehäuse trochospiral, planconvex bis ungleich biconvex, im Umriss rund, mit scharfrandiger, nichtgelappter Peripherie. Die Spiralseite ist evolut, mäßig bis stark gewölbt, es sind $3\frac{1}{2}$ –4 Umgänge sichtbar, die Ventralseite involut und leicht gewölbt bis fast plan. 11–14 nichtgeblähte, auf der Ventralseite dreieckige, auf der Dorsalseite fast quadratische Kammern im letzten Umgang nehmen langsam an Größe zu. Die Suturen auf der Spiralseite sind radial angeordnet, selten leicht schräg, mehr oder weniger limbat, auf der Ventralseite radial, kaum gebogen, leicht eingesenkt, durchscheinend. Der Nabel ist eng und von körneligen Granulationen oder glasi-gem Schalenmaterial ausgefüllt. Es war keine Mündung zu beobachten. Die Schale ist fein perforiert.

$\varnothing = 0,15$ – $0,23$ mm

H = $0,08$ – $0,1$ mm $\varnothing/H = 1,8$ – $2,33$

Differentialdiagnose:

Escornebovina cuvillieri (POIGNANT) ist flacher und zeichnet sich durch eine wesentlich höhere Kammerzahl pro Windung aus.

Escornebovina leganyii (KENAWY & NYRÖ) weist nach der Originalabbildung und nach der Aussage von POIGNANT (1982c: 49) einen stärker hervorgehobenen Anfangsteil auf, wodurch die Spiralseite höher gewölbt erscheint und das Gehäuse ein mehr zipfelmützenartiges Aussehen erhält.

Verbreitung:

Sehr selten im Oberen Eger der Ortenburg-Bohrungen, im Eggenburg von Maierhof, Blindham, Kemating und des Röthelbaches und im Unteren Ottang der Bohrung Ortenburg 1003 (*Planularia buergli*-Horizont) und von Oberschwärzenbach.

Escornebovina trochiformis (ANDREAE)

Taf. 17, Fig. 15–17

*1884 *Pulvinulina trochiformis* n. sp. — ANDREAE: 216, Taf. 8/14 (Rupel, Elsaß)

1980 *Escornebovina trochiformis* (ANDREAE) — SONNE: Abb. 1/7 (Rupel, Mainzer Becken)

Gehäuse hütchenförmig: hochtrochospiral, planconvex, im Umriss rund mit gekanteter, wenig gelappter Peripherie. Die Spiralseite ist evolut, stark gewölbt, die Ventralseite involut, plan. 6–7 wenig geblähte Kammern im letzten Umgang nehmen langsam an Größe zu. Die Suturen sind durchscheinend, auf der Spiralseite etwas limbat, leicht schräg, auf der Ventralseite radial, leicht eingesenkt. Der Nabel ist eng und tief. Es war keine Mündung zu beobachten. Die Schale ist glatt, fein perforiert.

$\varnothing = 0,12$ – $0,15$ mm

H = $0,1$ mm

Differentialdiagnose:

Sie unterscheidet sich von den anderen Arten dieser Gattung durch das hoch-trochospirale Gehäuse und die geringe Kammerzahl,

von *Neoeponides schreibersii* durch die fehlende Mündung und die weniger schrägen Suturen auf der Spiralseite.

Bemerkungen:

Bisweilen treten auf der Ventralseite Radiärfurchen auf, die an *Glabratella* erinnern.

Verbreitung:

Sehr selten im Oberen Eger und Unteren Ottang der Bohrung Ortenburg 1001 sowie im Eggenburg von Blindham und des Fußgrabens.

Genus: *Glabratella* DORREEN 1948

Glabratella hagni n. sp.

Taf. 17, Fig. 19–22

Namengebung: nach Herrn Prof. Dr. H. Hagn, München.

Holotypus: Slg. München, Prot. 5536

Locus typicus: Röthelbach/Seitengraben

Stratum typicum: Eggenburg

Diagnose:

Eine neue Art der Gattung *Glabratella* mit folgenden Besonderheiten: concavo-convexes, hochtrochospirales Gehäuse mit schwach entwickelten Umbilicallappen, unregelmäßigem, körneligem sekundärem Schalenmaterial im Nabel und undeutlicher Radiärstreifung auf der Ventralseite.

Beschreibung:

Das Gehäuse ist hütchenförmig: hochtrochospiral, concavo-convex und im Umriss kreisrund. Die Peripherie ist gerundet bis subacut, leicht gelappt. Die Spiralseite ist evolut, hoch gewölbt, gleichmäßig gerundet oder mit leicht zugespitztem Apex. Die Ventralseite ist involut und stets concav mit weitem, flachem Nabel, der sehr unregelmäßig von körneligem sekundärem Schalenmaterial erfüllt ist. Die Kammern sind von kleinen, in radiären Streifen angeordneten Pusteln bedeckt. Die Radiärstreifung ist nur in wenigen Fällen deutlich zu erkennen. 4–5 längliche, auf der Ventralseite leicht geblähte, auf der Spiralseite nichtgeblähte Kammern im letzten Umgang nehmen ziemlich rasch an Größe zu. Im Nabelbereich sind die Kammern unregelmäßig zerfrant und reichen, kleine Lappchen bildend, in den Umbilicus hinein. Zwischen den Lappchen lagert sekundäres Schalenmaterial, das sie vollständig verdecken kann. Die Suturen sind auf der Dorsalseite stark gebogen, nur ganz schwach vertieft, leicht limbat, auf der Ventralseite radial, manchmal leicht eingesenkt. Die Mündung ist meist nicht zu sehen und wird von einem, auf der Ventralseite an der Innenseite der letzten Kammer gelegenen hohen Bogen gebildet, der in den Nabel mündet. Die Wand ist glatt, mittelgrob und dicht perforiert auf der Spiralseite, auf der Ventralseite fein perforiert.

Ø = 0,12–0,3 mm

H = 0,08–0,2 mm

Differentialdiagnose:

Die neue Art weist am ehesten Ähnlichkeit mit *Glabratella obtusa* ROUVILLOIS (1974: 14, Taf. 3/1–15) auf, die rezent aus dem Ärmelkanal beschrieben, als cf. *obtusa* jedoch auch aus dem Aquitan Südwestfrankreichs von POIGNANT & PUJOL (1976: Taf. 9/3) erwähnt wurde. Sie unterscheidet sich von den bayerischen Formen durch die eingesenkten Nähte der Spiralseite und deren weitgestreute, grobe Poren inmitten feinerer Hintergrundperforierung, außerdem durch das Fehlen der Nabelgranulationen und die dichte Bepustelung der Umbilicalseite.

Glabratella patelliformis (BRADY), die aus den Kasseler Meeressanden des öfteren beschrieben wurde (vgl. TRUNKÓ 1965: 132, Taf. 16/5 und KÜMMERLE 1963: 48, Taf. 7/5), zeichnet sich durch eine schärfere Peripherie und eine deutlichere Radiärstreifung der Ventralseite aus.

Glabratella pileola (D'ORB.), die von MARKS (1951: 63) aus dem Wiener Becken angeführt wurde, besitzt stärker nach hinten gebogene Suturen.

Bei *Glabratella arcuata* (SEIGLIE & BERMUDEZ) aus dem Miozän von Kuba ist die letzte Kammer zungenartig in den Nabel hinein verlängert, der selbst von gröberen Granulationen erfüllt ist.

Glabratella browni REDMOND aus dem Miozän Kolumbiens zeichnet sich ebenfalls durch deutliche Umbilicalzungen aus. Der Nabel enthält kein sekundäres Schalenmaterial.

Glabratella diadematoidea (LE CALVEZ) zeigt eine unregelmäßig höckerige Spiralseite.

Der neuen Art sehr ähnlich ist die von LE CALVEZ (1970: 148, Taf. 30/6) als *Glabratella herouvalensis* (LE CALVEZ) (richtig: LE CALVEZ & FEUGUEUR) abgebildete Form aus dem Cuis von Hérouval im Pariser Becken. Sie unterscheidet sich nur durch den tiefen Nabel, in dem die körnelige Schalensubstanz fehlt. Mit der Originalbeschreibung von *Discorbis herouvalensis* LE CALVEZ & FEUGUEUR hat diese Form allerdings nur wenig zu tun. Diese trägt nämlich im Nabelbereich grobe Warzen. Gegenüber den hiesigen Formen sind außerdem die Suturen auf der Spiralseite stärker geneigt, dafür aber weniger gebogen. MURRAY & WRIGHT (1974: Taf. 9/7–9) bilden ebenfalls einen Topotyp als *Rosalina herouvalensis* (LE CALVEZ) ab, der sehr gut mit der Originalbeschreibung übereinstimmt (abgesehen von der gröber perforierten Dorsalseite). Er zeigt einen tiefen Nabel, umgeben von groben Warzen, und keine Radiärstreifung auf der Ventralseite der Kammern. Es ist daher sehr zweifelhaft, ob das von LE CALVEZ (1970) abgebildete Exemplar mit der Art *herouvalensis* in Verbindung gebracht werden kann.

Verbreitung:

Nicht selten im Eggenburg des Röthelbaches, sehr selten im Eggenburg von Blindham und des Fußgrabens.

Ökologie:

Die Gattung *Glabratella* gilt als typischer Vertreter des Flachneritikums (BOLTOVSKOY & WRIGHT 1976: Tab. 13). MURRAY (1973: 249) gibt die untere Verbreitungsgrenze mit 50 m an.

Glabratella biconvexa n. sp.

Taf. 18, Fig. 1–3

Namengebung: nach der biconvexen Gehäuseform

Holotypus: Slg. München, Prot. 5536

Locus typicus: Röthelbach/Seitengraben

Stratum typicum: Eggenburg

Diagnose:

Eine neue Art der Gattung *Glabratella* mit biconvexer, plumper Gehäuseform, schüsselförmig eingesenktem Nabel, deutlicher Radiärstreifung auf der Umbilicalseite durch linear angeordnete Wärrchen und radialen, nichteingesenkten Nähten auf der Ventralseite.

Beschreibung:

Niedrig-trochospirale, biconvexe, plumpe Gehäuse mit rundem Umriss und leicht gewinkelter, kaum gelappter Peripherie. Die Spiralseite ist evolut, gewölbt, die Ventralseite involut und ebenfalls gewölbt, die Kammern tragen deutliche Radiärstreifen, gebildet durch linear angeordnete Wärrchen. Der Nabel ist eingesenkt, ziemlich weit und flach, am Boden durch feinkörniges Schalenmaterial verschlossen. 7–8 nichtgeblähte Kammern im letzten Umgang nehmen langsam an Größe zu. Die Suturen auf der Spiralseite sind schräg ange-

ordnet, auf der Ventralseite radial, nicht eingesenkt. Die Mündung besteht aus einem niedrigen, engen, im Umbilicalbereich gelegenen Bogen. Die Wand ist etwas rau und mittelgrob perforiert.

$\varnothing = 0,2-0,25$ mm

H = 0,11–0,14 mm

Differentialdiagnose:

Die Art erinnert in ihrem Gesamtbau stark an *Glabratella bronica* SAMUEL aus dem Oberen Priabon der Tschechoslowakei, besitzt jedoch nicht die gezackte Peripherie.

Verbreitung:

Sehr selten im Eggenburg des Röthelbaches und des Lußgrabens.

Glabratella cf. *aurantista* SEIGLIE & BERMUDEZ

Taf. 18, Fig. 6–8

*1965 *Glabratella aurantista* S. & B. — SEIGLIE & BERMUDEZ: 25, Taf. 5/4–5 (Miozän, Kuba) (fide ELLIS & MESSINA)

1978 *Glabratella* cf. *aurantista* S. & B. — POIGNANT & PUJOL: Taf. 6/7–8 (Burdigal, SW-Frankreich)

Das Gehäuse ist niedrig-trochospiral, biconvex, im Umriss oval mit breit-gerundeter, gelappter Peripherie. Die Spiralseite ist evolut, leicht gewölbt, die Ventralseite involut, die Kammern tragen deutliche Radiärfurchen. Der Nabel ist weit, flach eingesenkt, mit Schalenmaterial ausgefüllt. 4½–5 geblähte Kammern im letzten Umgang nehmen rasch an Größe zu. Die Suturen sind auf der Spiralseite gebogen, auf der Ventralseite radial, beidseitig deutlich eingesenkt. Eine Mündung wurde nicht beobachtet. Die Wand ist glatt, auf der Spiralseite grob perforiert, auf der Gegenseite fein perforiert.

$\varnothing = 0,25-0,28$ mm

H = 0,15–0,17 mm

Bemerkungen:

Aus Materialmangel kann die Form nicht eindeutig zugeordnet werden. Charakteristisch ist jedoch die Gehäuseform und die unterschiedliche Perforierung von Dorsal- und Ventralseite.

Verbreitung:

2 Exemplare aus dem Eggenburg des Röthelbaches, ein fragliches aus dem Eggenburg von Blindham.

Glabratella cf. *baccata* (HERON-ALLEN & EARLAND)

Taf. 18, Fig. 4–5 u. 9

*1913 *Discorbina baccata* H.-A. & E. — HERON-ALLEN & EARLAND: 124, Taf. 12/1–3 (rezent, Irland) (fide ELLIS & MESSINA)

1931 *Discorbis baccata* (H.-A. & E.) — CUSHMAN: 15, Taf. 3/1 (rezent, Atlantik)

1974 *Glabratella baccata* (H.-A. & E.) — ROUVILLOIS: 14, Taf. 4/4, 6 (rezent, Frankreich)

Das Gehäuse ist flach-trochospiral, biconvex, im Umriss oval mit subacuter, leicht gelappter Peripherie. Die Spiralseite ist evolut, schwach gewölbt, die Ventralseite involut. Die Kammern tragen eine deutliche Radiärstreifung, gebildet aus linienartig angereihten Wärrchen. Der Nabel ist weit und flach eingesenkt, mit körneligem Schalenmaterial ausgefüllt. 7 schwach geblähte Kammern im letzten Umgang nehmen

allmählich an Größe zu. Die Suturen auf der Spiralseite sind stark geneigt, fast tangential zur älteren Windung, nur wenig gebogen, leicht eingesenkt, auf der Umbilicalseite beinahe radial, nur schwach gebogen, leicht eingesenkt. Die Mündung bildet ein kleiner interiomarginaler, nahe dem Umbilicus gelegener Bogen. Die Gehäusewand ist auf der Nabelseite fein, auf der Spiralseite grob perforiert.

$\varnothing = 0,22$ mm

H = 0,09 mm

Bemerkungen:

Die vorliegenden Formen weichen von den rezenten Vertretern durch die weniger rauhe Spiralseite ab.

Verbreitung:

2 Exemplare aus dem Eggenburg des Surprofils.

Genus: *Heronallenia* CHAPMAN & PARR 1931

Heronallenia cf. *otukai* UCHIO

Taf. 18, Fig. 10–12

1951 *Heronallenia otukai* UCHIO — UCHIO: 39, Taf. 3/5 (fide ELLIS & MESSINA) (Pliozän, Japan)

1983 *Heronallenia* cf. *otukai* UCHIO — POIGNANT: 22, Taf. 3/1–2 (Oligozän, SW-Frankreich)

Ein flach-trochospirales, concavo-convexes, im Umriss ovales Gehäuse. Die Peripherie ist acut, mit einem schmalen Kielsaum versehen, nur sehr wenig gelappt, die Spiralseite evolut, schwach gewölbt, convex, die Ventralseite involut, concav. Der Nabel ist eng, nicht tief. 5 nichtgeblähte Kammern nehmen rasch an Größe zu. Sie tragen auf der Ventralseite zahlreiche feine Radiärfurchen. Die Suturen sind auf der Spiralseite ziemlich stark nach hinten gebogen, leicht limbat, auf der Ventralseite radial und eingesenkt. Die Mündung bildet eine, auf den Umbilicalbereich beschränkte, interiomarginale, als hohe, weite Mündungsschlaufe tief in die letzte Kammer hineinziehende Öffnung. Die Wand ist fein perforiert.

$\varnothing = 0,28$ mm

H = 0,1 mm

Differentialdiagnose:

Heronallenia budensis SZTRAKOS besitzt einen zugespitzten Apex, es fehlen ihr die deutlichen Radiärfurchen auf der Umbilicalseite.

Verbreitung:

1 Exemplar aus dem Eggenburg des Röthelbaches.

Familie: Siphoninidae CUSHMAN 1927

Genus: *Siphonina* REUSS 1850

Siphonina reticulata (CZJZEK)

Taf. 18, Fig. 13–14 u. 18

*1848 *Rotalina reticulata* CZ. — CZJZEK: 145, Taf. 13/7–9 (Mittelmiozän, Wiener Becken)

1850 *Siphonina fimbriata* m. — REUSS: 372, Taf. 47/6 (Mittelmiozän, Wiener Becken)

1951 *Siphonina reticulata* (CZJZEK) — MARKS: 65, Taf. 8/8 (Mittelmiozän, Wiener Becken)

Ein trochospirales, biconvexes, linsenförmiges, im Umriss rundliches Gehäuse. Die Peripherie ist gekielt, leicht gelappt, der Kiel erscheint etwas zerfranst. Die Spiralseite ist evolut, gewölbt, die Ventralseite involut und etwas stärker gewölbt als die Dorsalseite. 5 wenig geblähte Kammern in der letzten Windung nehmen langsam an Größe zu. Die Suturen auf der Spiralseite sind leicht gebogen, stark geneigt, nicht eingesenkt, auf der Ventralseite radial, leicht vertieft. Der Nabel ist geschlossen. Die Mündung besteht aus einer arealen, fast äquatorial gelegenen, ovalen Öffnung mit kurzem Halschen und deutlicher Lippe. Die Schale ist glatt und grob perforiert.

$\varnothing = 0,3-0,5$ mm

H = 0,18–0,25 mm

Verbreitung:

Nicht selten im Oberen Eger der Bohrungen Ortenburg und Ampfing 1.

Familie: Asterigerinidae D'ORBIGNY 1839

Genus: *Asterigerinata* BERMUDEZ 1949

Asterigerinata planorbis (D'ORBIGNY)

Taf. 18, Fig. 15–17

*1846 *Asterigerina planorbis* D'ORB. – D'ORBIGNY: 205, Taf. 11/1–3 (Mittelmiozän, Wiener Becken)

1857 *Asterigerina planorbis* D'ORB. – EGGER: 281, Taf. 11/8–10 (Eggenburg, Niederbayern)

1972 *Asterigerinata planorbis* (D'ORB.) – HANSEN & REISS: 196, Taf. 1/13–14; 2/8; 8/2–6; 9/1 (Pliozän, Italien; rezent, Adria)

Ein trochospirales, concavo-convexes, hütchenförmiges Gehäuse mit rundem Umriss und gekielter, leicht gelappter Peripherie. Die Spiralseite ist evolut, stark gewölbt, die Ventralseite involut, plan bis concav. 5–6 nichtgeblähte Kammern im letzten Umgang nehmen rasch an Größe zu. Auf der Umbilicalseite sind zwischen die Hauptkammern sternartig Zusatzkammerchen eingeschaltet, die häufig stärker gebläht sind und sich dann deutlich abheben. Bisweilen sind sie in der Umbilicalgegend von kleinen Höckern bedeckt. Der Nabel ist eng, vertieft. Die Suturen sind auf der Umbilicalseite leicht eingeschnürt und radial, auf der Spiralseite stark nach hinten gekrümmt, durchscheinend, leicht limbat, nicht eingesenkt. Die Mündung besteht aus einem hohen, kurzen Bogen an der

Basis der Endkammer, mehr zum Umbilicus hin verlagert. Er trägt eine deutliche Lippe. Die Wand ist glatt, fein perforiert.

$\varnothing = 0,17-0,5$ mm

H = 0,07–0,25 mm

Verbreitung:

Sehr selten im Oberen Eger der Blauen Wand, häufig im Eggenburg, selten im Ottmang.

Ökologie:

Sie tritt als Häufigkeitsform nur im Flachneritikum auf (vgl. BOLTOVSKOY & WRIGHT 1976: Tab. 13). Nach POAG (1981: 22) ist sie charakteristisch für den mittleren Schelf.

Genus: *Amphistegina* D'ORBIGNY 1826

Amphistegina lessonii D'ORBIGNY

Abb. 28

*1826 *Amphistegina lessonii* Nob. – D'ORBIGNY: 304, Modell 98 (rezent, Mauritius)

1955 *Amphistegina lessonii* D'ORB. – KAASSCHIETER: 90, Taf. 10/1 (Untermiozän, SW-Frankreich)

1966 *Amphistegina lessonii* D'ORB. – BUTT: 75, Taf. 4/4 (Oligozän, SW-Frankreich)

1976 *Amphistegina lessonii* D'ORB. – LARSEN: 2, Taf. 1/1–5; 7/1; 8/1 (rezent, Israel)

1978 *Amphistegina lessonii* D'ORB. – LARSEN: 225, Taf. 5/8–9, 11–12; 7/2 (rezent, Israel)

Ein niedrig-trochospirales, biconvexes, linsenförmiges Gehäuse mit rundem Umriss und gekielter, nichtgelappter Peripherie. Die Ventralseite ist etwas stärker gewölbt als die Dorsalseite. Beide Seiten sind involut und weisen einen transparenten, nicht sehr großen Zentralpfeiler auf. Sie sind sich dadurch auf den ersten Blick sehr ähnlich, unterscheiden sich aber vor allem durch die, auf der Umbilicalseite durch den Suturenverlauf angedeuteten Sekundärkammerchen um den Nabel. Die Nähte sind auf beiden Seiten nicht eingesenkt, durchscheinend, auf der Spiralseite flügelartig nach hinten gebogen. Es sind keine Zwischensepten ausgebildet. Auf der Nabelseite formen die Suturen um das Zentrum einen unregelmäßigen Stern. Sie zeigen beidseitig einen leicht welligen Verlauf. Die 12 bis 16 sichelförmigen Kammern nehmen allmählich an Größe zu. Die Mündung konnte wegen der schlechten Erhal-

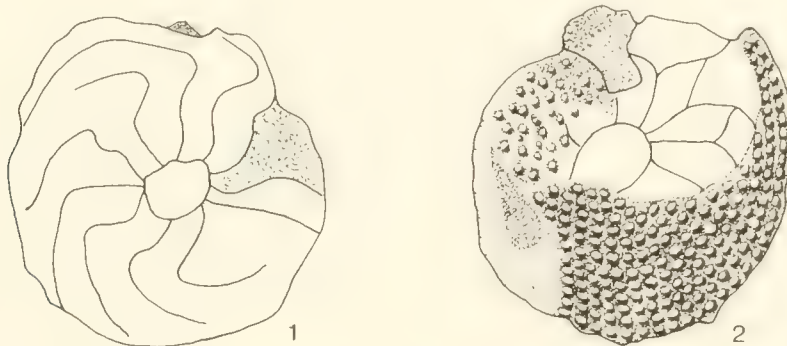


Abb. 28: *Amphistegina lessonii* D'ORB.

1: Dorsalseite; 2: Ventralseite; 105× Traun (Slg. Prot. 5560); Eggenburg

tung nicht beobachtet werden. Die Wand ist zweischichtig, sehr fein perforiert, überwiegend glatt, stellenweise jedoch, besonders im Bereich vor der Mündung, dicht mit groben Warzen bedeckt.

$\varnothing = 0,8-1,1$ mm

H = $0,4-0,5$ mm

Differentialdiagnose:

Die vorliegenden Formen unterscheiden sich von *Amphistegina hauerina* (D'ORB.) und *Amphistegina radiata* (F. & M.) durch den sternartigen Umriss der Sekundärkammern und die schwächer gefalteten Suturen,

von *Amphistegina mammilla* (F. & M.) in ihren stark nach hinten gebogenen, flügelartigen Suturen auf der Spiralseite und den sternartigen Sekundärkammern auf der Nabelseite.

Verbreitung:

4 Exemplare aus dem Eggenburg des Traunprofils.

Ökologie:

Sie ist nach BOLTOVSKOY & WRIGHT (1976: 102, Tab. 13) ein typischer Anzeiger für warme Wasserverhältnisse und flacheritische Milieu. Nach MURRAY (1973: 248) liegt die untere Verbreitungsgrenze bei 20 m Wassertiefe.

Familie: Globigerinidae CARPENTER, PARKER & JONES 1862

Unterfamilie: Globigerininae CARPENTER, PARKER & JONES 1862

Genus: *Globigerina* D'ORBIGNY 1826

Globigerina praebulloides praebulloides BLOW

Taf. 18, Fig. 19–22

- 1857 *Globigerina triloba* REUSS – EGGER: 282, Taf. 11/11–13 (Eggenburg, Niederbayern)
- *1959 *Globigerina praebulloides* sp. nov. – BLOW: 180, Taf. 8/47; 9/48 (Miozän, Venezuela)
- 1960 *Globigerina praebulloides* BLOW – JENKINS: 352, Taf. 2/1 (Miozän, Australien)
- 1962 *Globigerina praebulloides praebulloides* BLOW – BLOW & BANNER: 92, Taf. 9/O–Q (Obereozän bis Miozän, Afrika)
- 1969 *Globigerina praebulloides praebulloides* BLOW – BLOW: 321, Taf. 2/7–9 (Obereozän bis Obermiozän, Afrika)
- 1969b *Globigerina bollii lentiana* n. ssp. – ROGL: 220, Taf. 2/1–2; 3/1–2 (Ottang, Oberösterreich)
- Globigerina praebulloides* BLOW – ROGL: 222, Taf. 2/3; 3/3–4
- 1973 *Globigerina praebulloides* BLOW – ROGL & CICHÁ: 316, Taf. 10/55 (Ottang, Oberösterreich)
- Globigerina bollii lentiana* ROGL – ROGL & CICHÁ: 315, Taf. 9/49

Niedrig-trochospirale Gehäuse, aufgebaut aus 4 geblähten, kugeligen bis ovalen Kammern im letzten Umgang, die sich nur leicht umgreifen. Sie nehmen sehr rasch an Größe zu. Die letzte Kammer ist recht variabel, meist deutlich größer als die vorhergehende, zum Teil auch nur etwa gleich groß bis kleiner (var. *lentiana*). Die Peripherie ist stark gelappt, die Nähte sind tief eingesenkt, beidseitig radial, die Peripherie ist breit gerundet. Das Zentrum bildet ein weiter und tiefer, annähernd rechteckiger Umbilicus. Die Mündung besteht aus einem weiten, zum Teil ziemlich hohen, asymmetrischen Bogen mit schmaler Lippe. Die Mündung der vorletzten Kam-

mer ist im Nabel sichtbar. Die Wand ist fein perforiert, retikuliert, manchmal etwas pustelig.

$\varnothing = 0,18-0,38$ mm

H = $0,11-0,24$ mm

Differentialdiagnose:

Sie unterscheidet sich von *Globigerina praebulloides leroyi* durch den weiten Nabel,

von *Globigerina ouachitaensis* durch die starke Größenzunahme der Kammern, den mehr rechteckigen Nabel und die niedriger trochospirale Aufwindung.

Globigerina ampliapertura und *euapertura* zeichnen sich durch eine stärker angedrückte, abgeflachte Endkammer aus.

Gegenüber *Globigerina woodi* weicht sie mit ihrem niedrigeren Mündungsbogen und der wesentlich feineren Perforation ab.

Bemerkungen:

Nabelform und Mündung von *Globigerina bollii lentiana* ROGL sind identisch mit *Globigerina praebulloides*. Sie unterscheidet sich nur durch die verkleinerte Endkammer. Dieses Merkmal ist jedoch kein geeignetes Kriterium zur Abtrennung. BLOW & BANNER (1962: 90, Taf. 9/D) wiesen bereits auf derartige Erscheinungen hin, die außerdem bei fast allen Globigerinen-Arten (besonders häufig bei *Globigerina angustiumbilitata*) und auch bei manchen Globotralien zu beobachten sind. Die Ursachen hierfür werden bei BOLTOVSKOY & WRIGHT (1976: 87) diskutiert. *Globigerina bollii* CITA & PREMOLI SILVA wird ebenfalls bereits von mehreren Autoren in der Synonymie von *Globigerina falconensis* BLOW geführt (vgl. MOLINA 1979: 164 und CRESCENTI 1966: 33).

Verbreitung:

Durchläufer, häufig.

Globigerina cf. *praebulloides praebulloides* BLOW

Taf. 19, Fig. 1–3

- 1969b *Globigerina* cf. *praebulloides* BLOW – ROGL: 222, Taf. 2/4; 3/5 (Ottang, Oberösterreich)
- Globigerina* sp. – ROGL 223, Taf. 2/6; 3/9
- 1973 *Globigerina* cf. *praebulloides* BLOW – ROGL & CICHÁ: 216, Taf. 10/53–54 (Ottang, Oberösterreich)

Ein niedrig-trochospirales Gehäuse bestehend aus 3 bis $3\frac{1}{2}$ geblähten, ovalen Kammern im letzten Umgang. Sie sind nur schwach umgreifend und nehmen sehr rasch an Größe zu. Die letzte Kammer ist stark vergrößert, nimmt manchmal fast die Hälfte des Gesamtgehäuses ein. Die Nähte sind etwas weniger eingesenkt als bei *praebulloides* und radial angeordnet. Die Peripherie ist deutlich gelappt, in der Seitenansicht breit gerundet, der Nabel ziemlich eng. Die Mündung bildet ein weiter, niedriger Bogen mit schmaler Lippe. Die Wand ist fein perforiert, retikuliert.

$\varnothing = 0,33-0,36$ mm

H = $0,19-0,21$ mm

Differentialdiagnose:

Diese Abart ist mit *Globigerina praebulloides* durch sämtliche Übergänge verbunden. Sie unterscheidet sich durch die

stark vergrößerte Endkammer, den engen Nabel und die weniger tiefen Suturen.

Verbreitung:

Selten im Eggenburg und Ottnang.

Globigerina praebulloides leroi BLOW & BANNER

Taf. 19, Fig. 4 u. 8–9

*1962 *Globigerina praebulloides leroi* subsp. nov. — BLOW & BANNER: 93, Abb. 9/v; Taf. 9/R–T (Obereozän bis Aquitan; Afrika und Trinidad)

1969 *Globigerina praebulloides leroi* B. & B. — BLOW: 321, Taf. 1/7–9 (Obereozän bis Untermiozän; Afrika)

1975 *Globigerina praebulloides leroi* B. & B. — ČIČHA et al.: 245, Taf. 9/2 (Eger, CSSR)

1979 *Globigerina praebulloides leroi* B. & B. — SZTRAKOS: Taf. 25/1 (Oligozän, Ungarn)

1979 *Globigerina praebulloides leroi* B. & B. — MOLINA: 161, Taf. 13/3 (Oligozän/Untermiozän, Spanien)

Das Gehäuse ist niedrig-trochospiral. 4 geblähte, kugelige Kammern im letzten Umgang umgreifen sich nur schwach und nehmen ziemlich rasch an Größe zu. Die Nähte sind eingesenkt, radial, die Peripherie ist deutlich gelappt, in der Seitenansicht breit gerundet. Der Nabel ist ungefähr rechteckig, eng und tief. Die Mündung wird von einem umbilicalen, symmetrischen Bogen mit schmaler Lippe gebildet. Die Wand ist relativ grob perforiert, pustelig.

$\varnothing = 0,14–0,27$ mm

H = 0,1–0,16 mm

Differentialdiagnose:

Sie unterscheidet sich von *Globigerina praebulloides praebulloides* und *Globigerina ouachitaensis* durch den engen Nabel,

von *Globigerina officinalis* durch die stärkere Größenzunahme der Kammern.

Bemerkungen:

BUTT (1966: 85, Taf. 7/15) betrachtet *Globigerina praebulloides leroi* als jüngeres Synonym von *Globigerina globularis* ROEMER.

Verbreitung:

Durchläufer, selten.

Globigerina cf. foliata BOLLI

Taf. 19, Fig. 5–7

*1957a *Globigerina foliata* n. sp. — BOLLI: 111, Taf. 24/1 (Miozän, Trinidad)

1959 *Globigerina foliata* BOLLI — BLOW: 177, Taf. 10/42 (Miozän, Venezuela)

1960 *Globigerina foliata* BOLLI — JENKINS: 351, Taf. 1/9 (Miozän, Australien)

1966 *Globigerina foliata* BOLLI — JENKINS: 5, Taf. 1/11 (Untermiozän, SW-Frankreich)

1969a *Globigerina cf. foliata* BOLLI — RÖGL: 92, Taf. 6/3 (Karp, Niederösterreich)

1981 *Globigerina foliata* BOLLI — MARTINOTTI: Taf. 1/5 (Mittelmiozän, Israel)

Das Gehäuse ist niedrig-trochospiral gewunden, die Spiralseite wenig gewölbt, die Umbilicalseite etwas stärker, der Umriß ist oval. 4 geblähte, kugelige Kammern im letzten Um-

gang nehmen meist rasch an Größe zu. Die Suturen sind deutlich eingesenkt, radial, die Peripherie ist stark gelappt, in der Seitenansicht breit gerundet, der Nabel eng und nicht sehr tief. Die Mündung bildet ein leicht aus dem Nabelbereich herausgerückter, kleiner Bogen mit deutlicher Lippe. Die Wand ist fein perforiert, pustelig.

$\varnothing = \text{ca. } 0,18$ mm

H = ca. 0,11 mm

Differentialdiagnose:

Globigerina foliata unterscheidet sich von *Globigerina praebulloides praebulloides* durch den engeren Nabel.

Große Ähnlichkeit besteht mit *Globigerina praebulloides leroi*, deren Nabel jedoch, obwohl auch sehr eng, noch deutlich die rechteckige Form zeigt.

Bemerkungen:

Formen, bei denen die Mündung etwas aus dem Nabelbereich herausgerückt ist, bilden JENKINS (1966) und MARTINOTTI (1981) ab. RÖGL (1969a) beschrieb die Formen als cf. *foliata* aus dem Karp, Österreichs.

Verbreitung:

Sehr selten im Eggenburg des Röthelbaches und im Unteren Ottnang der Bohrung Ortenburg 1003.

Internationale Korrelation:

Nach BOLLI (1957a: 111) und BLOW (1969: 319) tritt die Art erstmals in der Zone N5 (= Eggenburg) auf, ebenso nach JENKINS & ORR (1972: 1088). BLOW (1959: 178) läßt sie erst in der Zone N6 (Grenzbereich Eggenburg/Ottnang) einsetzen. JENKINS (1966: 5) gibt die Art aus dem Oberen Burdigal Südwestfrankreichs an.

Globigerina woodi JENKINS

Taf. 19, Fig. 10–12

*1960 *Globigerina woodi* n. sp. — JENKINS: 352, Taf. 2/2 (Miozän, Australien)

1966 *Globigerina woodi woodi* JENKINS — JENKINS: 6, Taf. 1/18 (Untermiozän, SW-Frankreich)

1972 *Globigerina woodi* JENKINS — BIZON & BIZON: 187, Abb. 1–7 (Miozän, Griechenland)

1973 *Globigerina woodi* JENKINS — BERGGREN & AMDURER: Taf. 27/4–6 (Untermiozän, Atlantik)

1976 *Globigerina woodi* JENKINS — POIGNANT & PUJOL: Taf. 14/6–7; 15/1 (Aquitan, SW-Frankreich)

1979 *Globigerina woodi woodi* JENKINS — MOLINA: 166, Taf. 15/1 (Untermiozän, Spanien)

1981 *Globigerina woodi woodi* JENKINS — BIOLZI et al.: Taf. 12/2–3 (Untermiozän, N-Italien)

1983 *Globigerina (Zeaglobigerina) woodi* JENKINS — KENNETT & SRINIVASAN: 43, Taf. 7/4–6 (Oberoligozän bis Pliozän)

Niedrig-trochospirale Gehäuse mit 4 geblähten, kugeligen bis ovalen Kammern im letzten Umgang, die rasch an Größe zunehmen. Die Peripherie ist stark gelappt, in der Seitenansicht breit gerundet, die Suturen sind tief eingesenkt, beidseitig radial bis leicht gebogen. Ein enger, tiefer Nabel nimmt das Zentrum ein. Die Mündung besteht aus einem sehr hohen, weiten, asymmetrischen Bogen mit undeutlicher Lippe. Die Wand ist grob perforiert, retikuliert.

$\varnothing = 0,21–0,33$ mm

H = 0,16–0,21 mm

Differentialdiagnose:

Sie unterscheidet sich von *Globigerina praebulloides* durch den höheren Mündungsbogen und die gröbere Wandstruktur.

Bei *Globigerina brazieri* JENKINS bildet der Mündungsbogen eine engere Schlaufe. Sie besitzt weniger Kammern pro Umgang.

Verbreitung:

Die Art setzt an der Oligozän/Miozän-Grenze ein. Sie ist selten im Oberen Eger der Bohrungen Ortenburg und Ampfing 1 und der Traun anzutreffen, häufig in Prutdorf. Sehr selten tritt sie im Eggenburg des Lußgrabens auf.

Internationale Korrelation:

Nach MOLINA (1979: Abb. 37) erscheint die Art erstmals im tieferen Aquitan. Identische Angaben finden sich bei BIZON & BIZON (1972: 190). BERGGREN & AMDURER (1973: Abb. 5) lassen sie ebenfalls mit der Oligozän/Miozän-Grenze einsetzen, desgleichen JENKINS & ORR (1972: 1090) (*Globorotalia kugleri*-Zone = N4). RÖGI (1981: 45) bezeichnet die Art als guten Marker für die Paleogen/Neogen-Grenze. JENKINS (1966: 6) erwähnt sie aus dem Aquitan und Burdigal Südwestfrankreichs.

Globigerina euapertura JENKINS

Taf. 19, Fig. 13 u. 16–17

- *1960 *Globigerina euapertura* n. sp. – JENKINS: 351, Taf. 1/8 (Miozän, Australien)
- 1962 *Globigerina ampliapertura euapertura* (JENKINS) – BLOW & BANNER: 84, Taf. 11/E–G (Oligozän, Afrika und Trinidad)
- 1966 *Globigerina euapertura* JENKINS – CRISSENTI: 32, Taf. 2/5 (Miozän, Italien)
- 1969 *Globigerina prasacpis* n. sp. – BLOW: 382, Taf. 10/13; 18/3–7 (Oligozän, Tanzania und Trinidad)
- 1973 *Globigerina euapertura* JENKINS – BERGGREN & AMDURER: 361, Taf. 25/7–8 (Oligozän/Untermiozän, Atlantik)
- 1979 *Globigerina euapertura* JENKINS – MOLINA: 137, Taf. 9/1 (Oligozän/Miozän, Spanien)

Ein niedrig-trochospirales Gehäuse, bestehend aus $3\frac{1}{2}$ –4 ovalen, wenig geblähten Kammern, die allmählich an Größe zunehmen. Sie sind eng aneinandergepreßt, die letzte Kammer ist seitlich abgeflacht. Die Peripherie ist kaum gelappt, in der Seitenansicht breit gerundet, die Suturen sind wenig eingesenkt, beidseitig radial bis leicht gekrümmt. Ein enger, nicht sehr tiefer Nabel bildet das Zentrum. Die Mündung besteht aus einem flachen, weiten Bogen mit undeutlicher Lippe. Die Wand ist fein perforiert, retikuliert.

Ø = 0,21–0,24 mm

H = 0,16–0,18 mm

Differentialdiagnose:

Sie unterscheidet sich von den anderen *Globigerinen*arten durch die eng aneinandergepreßten Kammern, die seitlich abgeflachte Endkammer und den niedrigen, weiten Mündungsbogen.

Verbreitung:

Selten im Oberen Eger vom Prutdorf, der Blauen Wand und des Burgstallgrabens.

Internationale Korrelation:

Nach MOLINA (1979: Abb. 37) erlischt die Art im tiefsten Burdigal. Bei BLOW (1979: Tab. S. 311) reicht sie über N5 hinaus. JENKINS & ORR (1972: 1088) dagegen sehen die Art auf das Oligozän beschränkt.

Globigerina officinalis SUBBOTINA

Taf. 19, Fig. 14–15 u. 18

- *1953 *Globigerina officinalis* SUBBOTINA – SUBBOTINA: 78, Taf. 16/1–7 (Obereozän, Kaukasus) (fide SAITO et al. 1976)
- 1962 *Globigerina officinalis* SUBBOTINA – BLOW & BANNER: 88, Abb. 16, Taf. 9/A–C (Mitteleozän bis Oligozän, Ostafrika)
- 1969 *Globigerina officinalis* SUBBOTINA – BLOW: 320, Taf. 1/1–3 (Mitteleozän bis Oligozän, Ostafrika)
- 1975 *Globigerina officinalis* SUBBOTINA – CÍCHA et al.: Taf. 8/2 (Eger, CSSR)
- 1975 *Globigerina officinalis* SUBBOTINA – STAINFORTH et al.: 211, Abb. 71 (Mitteleozän bis Oligozän, Kaukasus)
- 1979 *Globigerina officinalis* SUBBOTINA – MOLINA: 142, Taf. 10/3 (Oligozän, Spanien)

Das Gehäuse ist ziemlich hoch trochospiral, 4 geblähte, kugelige Kammern im letzten Umgang umgreifen sich nicht und nehmen langsam an Größe zu. Der Umriss ist ungefähr quadratisch, die Peripherie stark gelappt, in der Seitenansicht breit gerundet. Die tief eingeschnittenen Suturen verlaufen beidseitig radial. In der Mitte liegt ein sehr enger Umbilicus. Die Mündung bildet ein schmaler, kurzer, umbilicaler Bogen ohne deutliche Lippe. Die Wand ist fein perforiert, pustelig.

Ø = 0,19–0,22 mm

H = 0,11–0,13 mm

Differentialdiagnose:

Sie unterscheidet sich von *Globigerina praebulloides leroyi* in ihrem engeren, weniger tiefen Umbilicus.

Verbreitung:

Selten im Oberen Eger der Traun und von Prutdorf.

Internationale Korrelation:

Globigerina officinalis stirbt nach Meinung vieler Autoren bereits im obersten Oligozän aus (vgl. MOLINA 1979: Abb. 37, BLOW 1969: 320, STAINFORTH et al. 1975: Abb. 16). Bei MARTINOTTI (1981: Abb. 2) reicht sie bis zum Ende der *Globorotalia kugleri*-Zone, bei HOOGBERGHS (1983: Tab. 12) bis zur Zone N5/N6 (Eggenburg/Ottang).

Globigerina ciperoensis ciperoensis BOLLI

Taf. 20, Fig. 1–3

- *1954 *Globigerina ciperoensis* nov. spec. – BOLLI: 1, Abb. 3–4 (Oligozän, Trinidad)
- 1957a *Globigerina ciperoensis ciperoensis* BOLLI – BOLLI: 109, Taf. 22/10 (Oligozän, Trinidad)
- 1962 *Globigerina ouachitaensis ciperoensis* (BOLLI) – BLOW & BANNER: 90, Abb. 9/I–III, Taf. 9/E–G (Rupel bis Aquitan, Ostafrika)
- 1969 *Globigerina ouachitaensis ciperoensis* BOLLI – BLOW: 320, Taf. 2/4–6; 17/7 (Mitteloligozän bis Untermiozän, Afrika und Trinidad)
- 1975 *Globigerina ouachitaensis ciperoensis* BOLLI – CÍCHA et al.: 244, Taf. 12/1 (Eger, CSSR)
- 1975 *Globigerina ciperoensis ciperoensis* BOLLI – POPESCU: 86, Taf. 72/2 (Miozän, Rumänien)

- 1975 *Globigerina ciperoensis* BOLLI — STAINFORTH et al.: 263, Abb. 111 (Oligozän)
 1981 *Globigerina ciperoensis ciperoensis* BOLLI — MARTINOTTI: Taf. 1/14 (Unteroligozän bis Untermiozän, Israel)
 1981 *Globigerina ciperoensis* BOLLI — STAINFORTH & LAMB: 21, Taf. 7/1 (Oligozän, Golf von Mexiko)
 1983 *Globigerina ciperoensis* BOLLI — PETTERS: 54, Taf. 7/4, 15 (Oligozän/Untermiozän, Afrika)

Das Gehäuse ist flach-trochospiral und besteht aus 5 geblähten, kugeligen bis ovalen, kaum umgreifenden Kammern im letzten Umgang. Sie nehmen langsam an Größe zu, die letzte Kammer ist häufig kleiner als die vorhergehende. Der Umriss ist viereckig, manchmal fast quadratisch, die Peripherie stark gelappt, in der Seitenansicht breit gerundet. Die Nähte sind tief eingeschnitten, beidseitig radial. Im Zentrum liegt ein sehr weiter und tiefer Umbilicus. Die Mündung bildet ein hoher, weiter Bogen ohne deutliche Lippe. Die Mündungen der vorhergehenden Kammern sind im Nabel sichtbar. Die Wand ist fein perforiert, retikuliert, leicht pustelig.

Ø = 0,27–0,46 mm

H = 0,16–0,24 mm

Differentialdiagnose:

Sie unterscheidet sich von *Globigerina angustiumbilocata* durch den sehr weiten Nabel,

von *Globigerina ciperoensis ottnangiensis* wegen des deutlich weiteren Nabels und des höheren Mündungsbogens.

Verbreitung:

Selten im Oberen Eger der Ortenburg-Bohrungen und der Traun. Sie stirbt im Oberen Eger aus.

Internationale Korrelation:

Bei MOLINA (1979: Abb. 37) reicht die Art bis ins Mittlere Aquitan (= Oberes Eger). BLOW (1979: Tab. S. 311) läßt sie noch knapp in die Zone N4 hineinziehen. Nach JENKINS & ORR (1972: 1087) stirbt sie in der *Globorotalia kugleri*-Zone des Unteren Miozäns aus. Entsprechende Angaben finden sich bei MARTINOTTI (1981: Abb. 2). RÖGL (1975: Tab. 16) verfolgt sie noch bis ins Mittlere Eggenburg.

Globigerina ciperoensis ottnangiensis RÖGL

Taf. 20, Fig. 4 u. 8–9

- 1857 *Globigerina bulloides* D'ORB. — EGGER: 282, Taf. 11/14–16 (Eggenburg, Niederbayern)
 *1969b *Globigerina ciperoensis ottnangiensis* n. ssp. — RÖGL: 221, Taf. 2/7–10; 4/1–7 (Ottang, Oberösterreich)
 1969 *Globigerina ciperoensis ottnangiensis* RÖGL — STEININGER: Taf. 13/2 (Ottang, Oberösterreich)
 1971 *Globigerina ciperoensis ottnangiensis* RÖGL — GHEORGHIAN: Taf. 5/22–24 (Ottang, Rumänien)
 1972 *Globigerina ciperoensis* BOLLI — BIZON & BIZON: 161 (partim), Abb. 4–7 (Burdigal, Tunesien und Griechenland)
 1973 *Globigerina ciperoensis ottnangiensis* RÖGL — RÖGL & CICHÁ: 315, Taf. 9/46–48; 10/56–58 (Ottang, Oberösterreich)

Die Gehäuse dieser Unterart sind flach bis mäßig hoch trochospiral. 5 geblähte, kugelige bis ovale, nur leicht umgreifende Kammern im letzten Umgang nehmen langsam an Größe zu. Der Umriss ist viereckig bis mehr rundlich, die Peripherie deutlich gelappt, in der Seitenansicht breit gerundet. Die Suturen sind stark eingesenkt, beidseitig radial, der Nabel

ist weit und tief. Die Mündung besteht aus einem ziemlich hohen, symmetrischen Bogen ohne deutliche Lippe. Die Mündungen der vorletzten und drittletzten Kammer sind im Nabel sichtbar. Die Wand ist fein perforiert, retikuliert, leicht pustelig.

Ø = 0,19–0,33 mm

H = 0,13–0,19 mm

Differentialdiagnose:

Sie unterscheidet sich von *Globigerina angustiumbilocata* durch den weiteren Nabel,

von *Globigerina ciperoensis ciperoensis* durch den engeren Nabel und den niedrigeren Mündungsbogen.

Bemerkungen:

Bei den bei CICHÁ et al. (1971: 275, Taf. 22/4–6) abgebildeten Exemplaren von *Globigerina ciperoensis ottnangiensis* bzw. aff. *ciperoensis ottnangiensis* dürfte es sich um *Globigerina ciperoensis ciperoensis* handeln.

BIZON & BIZON (1972) fiel bei ihren Formen aus dem Burdigal von Tunesien und Griechenland der weniger geöffnete Nabel, die Gestalt der Poren und eine andersartige Aufwindung des Anfangsteils auf.

Verbreitung:

Sehr selten im Eggenburg, häufiger im Ottang.

Nach RÖGL (1975: Tab. 16) hat die Art eine Reichweite vom Oberen Eger bis ins Mittlere Karpat.

Globigerina ouachitaensis HOWE & WALLACE

Taf. 19, Fig. 19–21

- *1932 *Globigerina ouachitaensis* n. sp. — HOWE & WALLACE: 74, Taf. 10/7 (Eozän, Louisiana)
 1962 *Globigerina ouachitaensis ouachitaensis* H. & W. — BLOW & BANNER: 90, Abb. 9/VI, Taf. 9/D, H–K (Obereozän/Oligozän, Ostafrika)
 1969 *Globigerina ouachitaensis ouachitaensis* H. & W. — BLOW: 320, Taf. 17/3–4 (Obereozän/Oligozän)
 1979 *Globigerina ouachitaensis ouachitaensis* H. & W. — MOLINA: 148 (Oligozän, Spanien)

Das Gehäuse ist ziemlich hoch trochospiral mit stark eingesenkter Spiralsutur. 4 geblähte, kugelige Kammern im letzten Umgang nehmen langsam an Größe zu. Die Peripherie ist stark gelappt, in der Seitenansicht breit gerundet, die Spiralseite stärker convex als die Umbilicalseite. Die Suturen sind beidseitig radial, tief eingesenkt. Das Zentrum nimmt ein ziemlich weiter, tiefer, quadratischer Nabel ein. Die Mündung bildet ein ziemlich flacher, umbilicaler, symmetrischer Bogen mit schmaler Lippe. Die Öffnung der vorletzten Kammer ist im Nabel sichtbar. Die Wand ist fein perforiert, retikuliert, leicht pustelig.

Ø = 0,19–0,33 mm

H = 0,14–0,21 mm

Differentialdiagnose:

Sie unterscheidet sich von *Globigerina praebulloides praebulloides* durch die geringere Größenzunahme der Kammern, den quadratischen Nabel und die höhere Trochospirale,

von *Globigerina officinalis* aufgrund des weiteren Nabels,

von *Globigerina ciperoensis* durch die geringere Kammer-

zahl. Es finden sich jedoch Übergangsformen mit $4\frac{1}{2}$ Kammern, die strenggenommen zu *Globigerina ouachitaensis gnaucki* BLOW & BANNER gerechnet werden müßten. Aus Mangel an Material wurde davon abgesehen.

Verbreitung:

Selten im Oberen Eger der Bohrung Ortenburg 1001 und des Zeieringer Grabens.

Internationale Korrelation:

Nach MOLINA (1979: Abb. 37), BLOW (1969: 320) und JENKINS & ORR (1972: 1089) ist die Art auf das Oligozän beschränkt. HOYBERGH (1983: Tab. 12) läßt sie bis in die Zone N5/N6 reichen, RÖGL (1975: Tab. 16) bis an die Eger/Eggenburg-Grenze. JENKINS (1966: 5) gibt sie noch aus dem tieferen Aquitan Südwestfrankreichs an.

Globigerina dubia EGGER

Taf. 20, Fig. 5–7

*1857 *Globigerina dubia* nov. spec. — EGGER: 281, Taf. 9/7–9 (Eggenburg, Niederbayern)

1973 *Globigerina dubia* EGGER — RÖGL & CICHÁ: 315, Taf. 8/43 (Ottang, Niederbayern)

Neotypus: Slg. München, Prot. 5497

Locus typicus: Maierhof

Stratum typicum: Eggenburg

Eine durch ihre sehr hoch trochospirale Aufwindung leicht erkennbare Art. 5 geblähte, kugelige, schwach umgreifende Kammern im letzten Umgang nehmen langsam an Größe zu. Der Umriss ist rundlich, die Peripherie stark gelappt, in der Seitenansicht breit gerundet. Die Nähte sind tief eingeschnitten, radial. Im Zentrum liegt ein ziemlich enger, sehr tiefer Umbilicus. Die Mündung bildet ein flacher, umbilicaler Schlitz ohne deutliche Lippe. Die Mündungen der vorangehenden Kammern sind, wie bei *Globigerina ciperoensis*, im Nabel sichtbar. Die Wand ist fein perforiert, retikuliert, manchmal schwach pustelig.

$\varnothing = 0,21–0,24$ mm

H = $0,08–0,1$ mm

Differentialdiagnose:

Die Art ist gegenüber anderen Formen eindeutig durch ihre hohe Trochospirale, die 5 Kammern im letzten Umgang und einen ziemlich engen, aber sehr tiefen Umbilicus charakterisiert.

Verbreitung:

Selten im Eggenburg und Ottang von Niederbayern und im Röthelbach.

RÖGL (1975: Tab. 16) spricht ihr dieselbe Reichweite zu.

Globigerina angustiumbilitata BOLLI

Taf. 20, Fig. 10–12

*1957a *Globigerina ciperoensis angustiumbilitata* n. ssp. — BOLLI: 109, Taf. 22/12–13 (Oligozän/Miozän, Trinidad)

1959 *Globigerina angustiumbilitata* (BOLLI) — BLOW: 172, Taf. 7/33–34 (Miozän, Venezuela)

1962 *Globigerina angustiumbilitata* BOLLI — BLOW & BANNER: 85, Abb. 9/IV, 16/VI–VII, Taf. 9/X–Z (Obereozän bis Miozän, Ostafrika und Trinidad)

1966 *Globigerina ciperoensis angustiumbilitata* BOLLI — JENKINS: 4, Taf. 1/7 (Untermiozän, SW-Frankreich)

1969 *Globigerina angustiumbilitata* BOLLI — BERGGREN: Taf. 7/1–8 (Chatt, N-Deutschland)

1969b *Globigerina angustiumbilitata* BOLLI — RÖGL: 219, Taf. 1/14–15; 3/7–8 (Ottang, Oberösterreich)

1975 *Globigerina angustiumbilitata* BOLLI — STAINFORTH et al.: 253, Abb. 105 (Obereozän bis Pleistozän, Trinidad)

Das Gehäuse ist flach-trochospiral. 5 (selten 4) geblähte, zum Teil stark aneinandergedrückte Kammern nehmen mäßig rasch an Größe zu. Die letzte Kammer ist häufig verkleinert. Die Peripherie ist stark gelappt, in der Seitenansicht gerundet, die Suturen sind deutlich eingesenkt, radial, der Nabel ist eng. Die Mündung bildet ein schmaler Schlitz oder ein niedriger Bogen mit dünner Lippe. Er tendiert zu einer umbilical-extraumbilicalen Lage. Die Wand ist fein perforiert, retikuliert, manchmal etwas pustelig.

$\varnothing = 0,16–0,25$ mm

H = $0,1–0,16$ mm

Differentialdiagnose:

Sie unterscheidet sich von *Globigerina ciperoensis* durch den engen Nabel.

Verbreitung:

Durchläufer, häufig.

Globigerina venezuelana HEDBERG

Taf. 20, Fig. 13 u. 16–17

*1937 *Globigerina venezuelana* n. sp. — HEDBERG: 681, Taf. 92/7 (Mitteltertiär, Venezuela)

1957a *Globigerina venezuelana* HEDBERG — BOLLI: 110, Taf. 23/6–8 (Oligozän/Miozän, Trinidad)

1957b *Globigerina venezuelana* HEDBERG — BOLLI: 164, Taf. 35/16–17 (Eozän, Trinidad)

1959 *Globoquadrina venezuelana* (HEDBERG) — BLOW: 186, Taf. 11/58–59 (Miozän, Venezuela)

1972 *Globoquadrina venezuelana* HEDBERG — JENKINS & ORR: Taf. 18/4–6 (Oligozän bis Pleistozän, Pazifik)

1973 *Globoquadrina venezuelana* (HEDBERG) — BERGGREN & AMDURER: Taf. 29/1–2 (Oligozän bis Pliozän, Atlantik)

1975 *Globigerina venezuelana* HEDBERG — STAINFORTH et al.: 331, Abb. 151 (Mitteleozän bis Pliozän, Trinidad)

1981 *Globigerina venezuelana* HEDBERG — STAINFORTH & LAMB: 21, Taf. 2/1 (Oligozän, Atlantik)

Ein ziemlich hoch-trochospirales Gehäuse mit 4 ovalen, geblähten, leicht umgreifenden Kammern im letzten Umgang. Sie nehmen langsam an Größe zu und sind stark in axialer Richtung gestreckt, ähnlich *Globoquadrina*. Die Peripherie ist leicht gelappt, in der Seitenansicht breit gerundet, nicht gekantet. Die Suturen sind deutlich eingesenkt, radial. Das Zentrum bildet ein enger, tiefer Nabel. Die Mündung besteht aus einem niedrigen, umbilicalen Schlitz, die Wand ist ziemlich grob perforiert, retikuliert.

$\varnothing = 0,21–0,27$ mm

H = $0,18–0,24$ mm

Differentialdiagnose:

Charakteristisch für diese Art sind die stark axial verlängerten Kammern.

Verbreitung:

Sehr selten im höchsten Unterottung von Kindlbach und Aspertsham.

Genus: *Globigerinoides* CUSHMAN 1927

Globigerinoides trilobus immaturus LE ROY

Taf. 20, Fig. 14–15 u. 18

- *1939 *Globigerinoides sacculiferus* var. *immatura* LE ROY – LE ROY: 263, Taf. 3/19–21 (Miozän, Sumatra) (fide SAITO et al. 1976)
- 1957a *Globigerinoides triloba immatura* LE ROY – BOLLI: 113, Abb. 21/2, Taf. 25/3–4 (Miozän, Trinidad)
- 1959 *Globigerinoides triloba immatura* LE ROY – BLOW: 188, Taf. 11/62 (Miozän, Venezuela)
- 1973 *Globigerinoides trilobus immaturus* LE ROY – RÖGL & CICHACHA: 316, Taf. 8/45 (Ottung, Oberösterreich)
- 1975 *Globigerinoides immatura* LE ROY – POPESCU: 89, Taf. 60/1 (Miozän, Rumänien)
- 1979 *Globigerinoides trilobus immaturus* LE ROY – MOLINA: 181, Taf. 16/1–2 (Untermiozän, Spanien)
- 1981 *Globigerinoides trilobus immaturus* LE ROY – BIZON et al.: Taf. 15/7–9; 17/7–9 (Untermiozän, Griechenland)

Ein niedrig-trochospiral gewundenes Gehäuse. 3 bis $3\frac{1}{2}$ stark geblähte, kugelige bis ovale Kammern im letzten Umgang nehmen meist rasch an Größe zu. Die letzte Kammer nimmt jedoch stets weniger als die Hälfte des Gesamtgehäuses ein. Die Peripherie ist gelappt, in der Seitenansicht breit gerundet. Die Nähte sind beidseitig deutlich eingesenkt, radial, der Nabel ist eng und tief. Die Hauptmündung besteht aus einem flachen bis manchmal etwas höheren, umbilical gelegenen Bogen mit undeutlicher Lippe. Die Sekundärmündung sitzt auf der Spiralseite auf der Suture zwischen letzter und vorletzter Kammer als ziemlich hoher Bogen, der von einem undeutlichen Saum umkränzt ist. Bei einigen Exemplaren ist auf der vorhergehenden Suture eine zweite Sekundärmündung zu beobachten. Die Wand ist grob perforiert, retikuliert.

$\varnothing = 0,22\text{--}0,27\text{ mm}$

H = $0,16\text{--}0,19\text{ mm}$

Differentialdiagnose:

Sie unterscheidet sich von *Globigerinoides trilobus altiaperturus* BOLLI durch die niedrige Hauptmündung,

von *Globigerinoides trilobus trilobus* (REUSS) aufgrund der kleineren Endkammer,

von *Globigerinoides quadrilobatus primordius* BLOW & BANNER durch die geringere Kammerzahl und den Besitz einer zweiten Sekundärmündung.

Verbreitung:

Sehr selten im Ottung von Niederbayern.

Internationale Korrelation:

Bei MOLINA (1979: Abb. 7) setzt die Art im Oberen Aquitan (= Eggenburg) ein, bei BLOW (1969: 325) im mittleren Teil von N4 (etwa Eger/Eggenburg-Grenze). HOOYBERGHS (1983: Tab. 12) stellt sie ab Zone N5/N6 fest. Nach BOLLI (1957a: 113) tritt sie schon ab der *Globorotalia kugleri*-Zone auf.

Genus: *Globoquadrina* FINLAY 1947

Globoquadrina debiscens (CHAPMAN, PARR & COLLINS)

Taf. 20, Fig. 19–21

- *1934 *Globorotalia debiscens* C., P. & C. – CHAPMAN, PARR & COLLINS: 569, Taf. 11/36 (Miozän, Australien) (fide SAITO et al. 1976)
- 1939 *Globorotalia quadraria* n. sp. – CUSHMAN & ELLISOR: 11, Taf. 2/5 (Miozän, Louisiana)
- 1957a *Globoquadrina debiscens* (C., P. & C.) – BOLLI: 111, Taf. 24/3 (nicht 4) (Miozän, Trinidad)
- 1959 *Globoquadrina debiscens debiscens* (C., P. & C.) – BLOW: 182, Taf. 8/49 (Miozän, Venezuela)
- 1960 *Globoquadrina debiscens debiscens* (C., P. & C.) – JENKINS: 354, Taf. 3/3 (Miozän, Australien)
- 1960 *Globoquadrina langhiana* n. sp. – CITA & GELATI: 242, Abb. 1, Taf. 29/1–20 (Langhe, N-Italien)
- 1961 *Globoquadrina langhiana* C. & G. – HAGN: 305, Abb. 30 (Ottung, Bodensee)
- 1969 *Globoquadrina debiscens debiscens* (C., P. & C.) – BLOW: 341, Taf. 29/1 (Untermiozän bis Pliozän, Karibik)
- 1979 *Globoquadrina debiscens* (C., P. & C.) – MOLINA: 210, Taf. 20/3 (Untermiozän, Spanien)
- 1981 *Globoquadrina debiscens* (C., P. & C.) – BIZON et al.: Taf. 12/6–7 (Untermiozän, N-Italien)
- 1981 *Globoquadrina debiscens* (C., P. & C.) – BIZON et al.: Taf. 16/9–10 (Untermiozän, Griechenland)

Die Gehäuse dieser Art sind niedrig-trochospiral gewunden, die Spiralseite ist eben, höchstens leicht convex, der Umriss ist quadratisch. 4 seitlich stark zusammengedrückte Kammern im letzten Umgang nehmen in axialer Richtung rasch an Breite zu. Die Kammerform ist ziemlich variabel: rechteckig oder stärker gebläht zu mehr ovaler Form (mehr dem Typus *langhiana* entsprechend). Die Peripherie ist schwach gelappt, in der Seitenansicht rechtwinklig gekantet bis abgerundet-gekantet. Die Nähte sind wenig eingesenkt, auf beiden Seiten fast radial, schwach gebogen. Der Nabel ist mäßig weit bis eng, sehr tief. Die Kammerwände fallen steil zum Nabel hin ab, zumindest die letzte Kammer bildet eine sehr scharfgratige periumbilicale Schulter aus. Die Mündung besteht aus einem umbilicalen, leicht extraumbilicalen Schlitz mit deutlicher Lippe, die zahnartig zugespitzt in den Nabel vorragt. Die Wand ist grob perforiert, retikuliert.

$\varnothing = 0,18\text{--}0,25\text{ mm}$

H = $0,16\text{--}0,18\text{ mm}$

Differentialdiagnose:

Globoquadrina baroemoenensis (LE ROY) zeichnet sich durch einen deutlich ovalen Umriss und eine stärker convexe Spiralseite aus.

Bei *Globoquadrina larmeni* AKERS und *globularis* BERMUDEZ sind die Kammern und periumbilicalen Schultern schon sehr abgerundet.

Globoquadrina praedebiscens BLOW & BANNER besitzt nur 3 Kammern im letzten Umgang.

Bemerkungen:

Charakteristisch ist der quadratische Umriss und die starke Zunahme der Kammerhöhe in axialer Richtung. Exemplare mit stärker geblähten Kammern erinnern mehr an *Globoquadrina langhiana*, diese zeigen jedoch nicht immer das zweite Merkmal, das als Kriterium für *langhiana* gelten könnte, die allmählichere Zunahme der Kammerhöhe. Letztere Eigen-

schaft läßt sich dagegen auch bei Formen mit ungeblähten, rechteckigen, wenig gerundeten Kammern beobachten. Es ist also keine eindeutige Trennung der beiden Typen möglich.

Verbreitung:

Die Art setzt an der Oligozän/Miozän-Grenze ein. Sie tritt im Oberen Eger des Teufelsgrabens und des Zillergrabens auf, im Eggenburg und Ottang in der gesamten bayerischen Molasse. Sie ist selten, nur stellenweise häufiger.

Internationale Korrelation:

Die Art wird allgemein als guter Marker für die Oligozän/Miozän-Grenze anerkannt (vgl. ROGL 1981: 45). MOLINA (1979: Abb. 38) läßt sie im tieferen Aquitan einsetzen, BLOW (1969: 341) erst im oberen Teil von N4, JENKINS & ORR (1972: 1095) in der *Globorotalia kugleri*-Zone, ebenso MARTINOTTI (1981: Abb. 2). Letzterer rechnet den tieferen Teil dieser Zone jedoch bereits zum Oligozän. Auch nach Ansicht von BERGGREN & AMDURER (1973: Abb. 5) erscheint die Art schon im höchsten Oligozän. Nach VISMARA SCHILLING (1981: Abb. 3) tritt sie dagegen direkt oberhalb der Oligozän/Miozän-Grenze erstmals auf.

Globoquadrina baroemoenensis (LE ROY)

Taf. 21, Fig. 1–3

- *1939 *Globigerina baroemoenensis* LE ROY – LE ROY: 263, Taf. 6/1–2 (Miozän, Sumatra) (fide SAITO et al. 1976)
- 1969 *Globoquadrina baroemoenensis* (LE ROY) – BLOW: 340, Taf. 28/4, 8 (Oberoligozän bis Obermiozän, Trinidad)
- 1972 *Globoquadrina baroemoenensis* (LE ROY) – BIZON & BIZON: 263, Abb. 1–8 (Miozän, Frankreich und Griechenland)
- 1973 *Globoquadrina baroemoenensis* (LE ROY) – BERGGREN & AMDURER: Taf. 26/3–4 (Oligozän/Miozän, Atlantik)
- 1979 *Globoquadrina baroemoenensis* (LE ROY) – MOLINA: 217, Taf. 22/2 (Miozän, Spanien)
- 1981 *Globoquadrina baroemoenensis* (LE ROY) – VISMARA SCHILLING: Taf. 22/7–8 (Oberoligozän/Untermiozän, Italien)

Die Gehäuse sind mäßig hoch trochospiral gewunden, mit gewölbter Spiralseite und ovalem Umriß. 4 seitlich zusammengedrückte, stark axial verlängerte Kammern im letzten Umgang nehmen in axialer Richtung allmählich an Breite zu. Die Kammerform ist oval, die Peripherie leicht gelappt. In der Seitenansicht bildet die letzte Kammer mit der Spiralseite, wie bei *debiscens*, einen rechten Winkel, die Kante ist jedoch stark abgerundet. Ebenso ist die periumbilicale Schulter weit weniger schroff ausgebildet. Die Nähte sind deutlich eingesenkt, radial, der Nabel ist mäßig weit bis weit, tief. Die Mündung bildet ein umbilical-extraumbilicaler Schlitz mit sehr deutlicher Lippe. Eine zahnartige Zuspitzung wurde jedoch nicht festgestellt. Die Wand ist grob perforiert, retikuliert.

Ø = ca. 0,18 mm

H = ca. 0,16 mm

Differentialdiagnose:

Sie unterscheidet sich von *Globoquadrina debiscens* durch den ovalen Umriß, die gerundete Form und die stärker convexe Spiralseite,

von *Globoquadrina larmeyi* AKERS in ihrer noch etwas ekigeren Peripherie und der schärferen periumbilicalen Schulter.

Bemerkungen:

STAINFORTH et al. (1975: 266) fassen die Art mit *Globoquadrina debiscens* zusammen.

Verbreitung:

Häufig im untersten Ottang (*Planularia buergli*-Horizont) der Traun und des Lußgrabens, selten im Eggenburg des Röthelbaches und im Oberen Eger des Burgstall-Grabens.

Genus: *Catapsydrax* BOLLI, LOEBLICH & TAPPAN 1957

Catapsydrax sp.

Taf. 21, Fig. 4–5 u. 9

Ein flach bis mäßig hoch trochospiral gewundenes Gehäuse. Der Umriß ist oval, die Peripherie leicht gelappt, in der Seitenansicht breit gerundet. Die Suturen sind nicht sehr tief eingesenkt, beidseitig radial. 4 geblähte, kugelige bis ovale, leicht umgreifende Kammern im letzten Umgang nehmen allmählich an Größe zu. Die letzte Kammer wirkt von der Spiralseite aus gesehen deutlich verkleinert. Sie sitzt, wie bei *Globigerina*, an dem für sie vorgesehenen Platz und verlängert sich dann als Bulla in den Nabelbereich hinein, den sie stets nur halb bedeckt. Die Bulla zieht also ganz charakteristisch vom Nabel über die Peripherie hinweg, so daß von der Umbilicalseite her gesehen nur immer 4 Kammern (einschl. Bulla) sichtbar sind. Die Bulla ist an 3 Seiten festgewachsen und besitzt in Nabelrichtung einen einfachen, nicht sehr weiten, niedrigen umbilicalen Mündungsbogen mit Lippe. Die Wand ist grob perforiert, retikuliert, die Bulla manchmal etwas feiner perforiert.

Ø = 0,19–0,35 mm

H = 0,13–0,3 mm

Differentialdiagnose:

Die charakteristische Ausbildung der letzten Kammer, die von ihrem ursprünglichen Platz aus als Bulla in den Nabel hinein verlängert ist, und die typische Ansicht von der Nabelseite mit nur 4 Kammern unterscheiden die Form von allen bisher bekannten *Globigerinita*- und *Catapsydrax*-Arten. Die meisten Formen besitzen außerdem mehrere Mündungen der Bulla. Am ehesten besteht noch Ähnlichkeit mit *Catapsydrax unicavus* BOLLI, LOEBLICH & TAPPAN, durch das Vorhandensein von nur einer Mündung. Aber auch bei dieser Form ist die Bulla nur auf den Nabel aufgesetzt und nicht als Verlängerung der letzten Kammer, die von der Peripherie her überzieht, anzusehen. So sind auch auf der Ventralseite 5 Kammern (einschl. Bulla) sichtbar.

Globigerinita martini scandretti BLOW & BANNER besitzt eine wesentlich weitere Mündung.

ROGL & CICHÁ (1973: 317) erwähnen aus dem Braunauer Schlier *Globigerinita* sp. Auf der zugehörigen Abbildung (Taf. 10/61) ist jedoch nicht zu erkennen, daß es sich um eine *Globigerinita* handelt. Außerdem scheint sie nur 3 Kammern im letzten Umgang zu besitzen.

Bemerkungen:

Bezüglich der Unterscheidung von *Catapsydrax* und *Globigerinita* folgte ich der Meinung von KENNETT & SRINIVASAN

(1983: 22 und 223), die die beiden Gattungen anhand der Wandstruktur unterscheiden. *Catapsydrax* besitzt danach eine retikulierte, grobporige Schale, *Globigerinita* dagegen eine feinperforierte, hispide Oberfläche.

Verbreitung:

Sehr selten im Unteren Ottang von Engertsham, Untersimbach, Oberschwärzenbach und des Kaltenbachgrabens.

RÖGL (1975: 117, Tab. 16) gibt aus dem jüngeren Ottang *Globigerinita* sp., ex gr. *unicava* an.

Unterfamilie: Globorotaliinae CUSHMAN 1927
Genus: *Globorotalia* CUSHMAN 1927

Globorotalia acrostoma WEFZL
Taf. 21, Fig. 6–8

- *1966 „*Globorotalia*“ *acrostoma* sp. n. – WEZEL: 1298, Abb. 1, Taf. 101/1–4 (Oligozän/Miozän, Italien)
1972 *Globorotalia acrostoma* WEZEL – BIZON & BIZON: 15, Abb. 1–7 (Untermiozän, Frankreich, Griechenland, Spanien)
1973 *Globorotalia acrostoma* WEZEL – RÖGL & CICHA: 317, Taf. 10/59–60 (Ottang, Österreich)
1978 *Globorotalia acrostoma* WEZEL – POIGNANT & PUJOL: 671, Taf. 10/1–2 (Burdigal, SW-Frankreich)
1979 *Globorotalia (Turborotalia) acrostoma* WEZEL – MOLINA: 244, Taf. 29/1 (Untermiozän, Spanien)
1983 *Globorotalia (Jenkinsella) acrostoma* WEZEL – KENNETT & SRINIVASAN: 176, Taf. 43/7–9 (Unter- bis Mittelmiozän)

Das Gehäuse ist niedrig-trochospiral, die Umbilicalseite ist stärker convex als die Spiralseite. 4–5 leicht geblähte, nierenförmige Kammern im letzten Umgang nehmen mäßig rasch an Größe zu. Der Umriss ist oval, die Peripherie schwach gelappt, in der Seitenansicht breit gerundet. Die Suturen auf der Spiralseite sind gerade bis leicht gebogen, deutlich schräg bis fast tangential zu den älteren Windungen, leicht eingesenkt, nur die letzte Suture verläuft manchmal radial. Auf der Umbilicalseite sind sie radial bis leicht gebogen und schwach eingeschnitten. Der Nabel ist sehr eng und nicht tief. Die Mündung bildet ein sehr hoher, weiter, umbilical-extraumbilicaler Bogen mit schmaler, aber deutlicher Lippe. Die Wand ist sehr grob perforiert, retikuliert.

Ø = 0,14–0,22 mm

H = 0,11–0,18 mm

Differentialdiagnose:

Sie unterscheidet sich von *Globorotalia mayeri* durch die deutlich schrägeren Suturen auf der Spiralseite und den engeren Nabel,

von *Globorotalia semivera* (HORNIBROOK) aufgrund der schrägen Nähte der Spiralseite,

von *Globorotalia continuosa* BLOW in ihren schrägen Nähten, der weniger gut ausgebildeten Mündungslippe und der häufig höheren Kammerzähl in der letzten Windung,

von *Globorotalia peripheroronda* BLOW & BANNER durch die geringere Kammerzähl.

Verbreitung:

Nicht selten im Eggenburg des Röthelbaches, der Prien und des Kaltenbachgrabens sowie im Ottang der gesamten bayerischen Molasse.

Internationale Korrelation:

Bei MOLINA (1979: Abb. 38) setzt die Art im Oberen Aquitan ein (entspricht zeitlich etwa dem Eggenburg), BIZON & BIZON (1972: 18) lassen sie dagegen schon in der *Globorotalia kugleri*-Zone beginnen. Bei MARTINOTTI (1981: Abb. 2) setzt sie ebenfalls an der Basis dieser Zone ein und auch bei VISMARA SCHILLING (1981: Abb. 3).

Globorotalia mayeri CUSHMAN & ELLISOR
Taf. 21, Fig. 10–12

- *1939 *Globorotalia mayeri* n. sp. – CUSHMAN & ELLISOR: 11, Taf. 2/4 (Miozän, Louisiana)
1960 *Globorotalia mayeri* C. & E. – JENKINS: 360, Taf. 4/6 (Miozän, Australien)
Globorotalia siakensis (LE ROY) – JENKINS: 366, Taf. 5/7
Globorotalia barisanensis LE ROY – JENKINS: 358, Taf. 4/2
1969 *Globorotalia mayeri* C. & E. – BLOW: 351, Taf. 3/7–9 (Mittelmiozän, Louisiana)
1970 *Globorotalia mayeri* (C. & E.) – CICHA: Taf. 2/7–9 (Miozän, Tschechoslowakei)
1971 *Globorotalia mayeri mayeri* C. & E. – JENKINS: 120, Taf. 11/297–302 (Mittelmiozän, Neuseeland)
1972 *Globorotalia mayeri* C. & E. – BIZON & BIZON: 75, Abb. 1–6 (Unter- und Mittelmiozän, Mittelmeer)
1973 *Globorotalia mayeri* C. & E. – BERGGREN & AMDURF: Taf. 28/14 (Mittelmiozän, Atlantik)
1981 *Globorotalia mayeri* C. & E. – MARTINOTTI: Taf. 6/7 (Oberoligozän bis Mittelmiozän, Israel)
1983 *Globorotalia (Turborotalia) mayeri* C. & E. – HOOGBERGHS: 29, Taf. 5/26–30; 6/1–4 (höheres Untermiozän, Belgien)
1983 *Globorotalia (Jenkinsella) mayeri* C. & E. – KENNETT & SRINIVASAN: 174, Taf. 43/4–6 (Oberoligozän bis Mittelmiozän)

Die Gehäuse sind niedrig-trochospiral gewunden, die Spiralseite ist eben, die Umbilicalseite stärker convex. 5 leicht geblähte Kammern im letzten Umgang nehmen langsam an Größe zu. Der Umriss ist oval, die Peripherie leicht gelappt, in der Seitenansicht schmal gerundet. Die Nähte sind auf der Spiralseite deutlich nach hinten gebogen, leicht eingesenkt, auf der Umbilicalseite schwach gekrümmt bis radial, ebenfalls leicht eingeschnürt. Der Nabel ist mäßig weit und nicht sehr tief. Die Mündung bildet ein flacher bis etwas höherer, umbilical-extraumbilicaler Bogen mit schmaler Lippe. Die Wand ist fein perforiert, retikuliert.

Ø = ca. 0,16 mm

H = ca. 0,08 mm

Differentialdiagnose:

Die Art wird von vielen Autoren als synonym mit *Globorotalia siakensis* (LE ROY) aufgefaßt. Da meine Formen stets schräge Nähte auf der Spiralseite aufweisen, möchte ich die beiden Arten aufgrund dieses Merkmals voneinander unterscheiden.

Globorotalia acrostoma besitzt einen engeren Nabel, schrägere Suturen auf der Spiralseite und einen höheren Mündungsbogen.

Globorotalia peripheroronda BLOW & BANNER zeichnet sich durch eine höhere Kammerzähl und eine schärfere Peripherie aus.

Verbreitung:

Sehr selten im Eggenburg des Röthelbaches.

Internationale Korrelation:

Die Art wird in der Regel nur aus höheren Schichten erwähnt. Bei BLOW (1969: 351) tritt sie zum Beispiel erst ab Zone N9 auf. BIZON & BIZON (1972: 78) lassen sie dagegen schon in der *Globorotalia kugleri*-Zone einsetzen. Sehr ähnliche Formen (cf. *mayeri*) beschreibt auch MARTINOTTI (1981: Abb. 2) aus dieser Zone. KENNETT & SRINIVASAN (1983: 174) geben die Verbreitung mit Oberoligozän (N4) bis Mittelmiozän (N14) an. CÍCHA et al. (1983: 117) sehen die Art in der Molasse vom Eggenburg bis ins Baden verbreitet.

Globorotalia obesa BOLLI

Taf. 21, Fig. 13–14 u. 19

- *1957a *Globorotalia obesa* n. sp. – BOLLI: 119, Taf. 29/2–3 (Miozän, Trinidad)
 1959 *Globorotalia obesa* BOLLI – BLOW: 218, Taf. 19/124 (Miozän, Venezuela)
 1960 *Globorotalia obesa* BOLLI – JENKINS: 364, Taf. 5/2 (Miozän, Australien)
 1966 *Globorotalia obesa* BOLLI – JENKINS: 10, Taf. 2/10 (Untermiozän, SW-Frankreich)
 1966 *Globorotalia obesa* BOLLI – CRESCENTI: 31, Taf. 1/2 (Miozän, Italien)
 1969a *Globigerina obesa* (BOLLI) – ROGL: 93, Taf. 6/5; 7/1, 4 (Karnpat, Niederösterreich)
 1971 *Globorotalia (Turborotalia) obesa* BOLLI – JENKINS: 127, Taf. 13/348–350 (Miozän, Neuseeland)
 1972 *Globorotalia obesa* BOLLI – BIZON & BIZON: 99, Abb. 1–6 (Miozän bis Pleistozän, Griechenland)
 1975 *Globorotalia obesa* BOLLI – STAINFORTH et al.: 297, Abb. 130 (Oberoligozän bis Holozän, Atlantik u. Pazifik)
 1975 *Globorotalia (Turborotalia) obesa* BOLLI – POPESCU: 84, Taf. 69/2 (Miozän, Rumänien)
 1979 *Globorotalia (Turborotalia) obesa* BOLLI – MOLINA: 231, Taf. 32/1 (Oberoligozän/Miozän, Spanien)
 1983 *Globorotalia (Turborotalia) obesa* BOLLI – HOOYBERGHS: 30, Taf. 6/25–29 (Oligozän/Untermiozän, Belgien)

Diese Gehäuse sind niedrig-trochospiral gewunden. 4–4½ stark geblähte, kugelige Kammern im letzten Umgang nehmen sehr rasch an Größe zu. Die Peripherie ist stark gelappt, in der Seitenansicht breit gerundet. Die Nähte sind stark eingesenkt, radial. Der Nabel ist ziemlich weit und tief. Charakteristisch ist die Mündung, die als mäßig hoher bis sehr hoher, weiter, umbilical-extraumbilicaler Bogen ohne deutliche Lippe ausgebildet ist. Die Wand ist fein perforiert, schwach pustelig.

Ø = 0,21–0,35 mm

H = 0,13–0,22 mm

Differentialdiagnose:

Sie unterscheidet sich von *Globorotalia semivera* (HORNIBROOK) durch die wesentlich stärkere Größenzunahme der Kammern, die stärker gelappte Peripherie und die etwas höhere Mündung,

von *Globorotalia saginata* JENKINS aufgrund der weniger stark vergrößerten letzten Kammer.

Verbreitung:

Durchläufer, selten.

Globorotalia scitula praescitula BLOW

Taf. 21, Fig. 16–18

- *1959 *Globorotalia scitula praescitula* subsp. nov. – BLOW: 221, Taf. 19/128 (Unter- bis Mittelmiozän, Venezuela)
 1960 *Globorotalia scitula praescitula* BLOW – JENKINS: 366, Taf. 5/6 (Miozän, Australien)
 1969 *Globorotalia (Turborotalia) scitula praescitula* BLOW – BLOW: 356, Taf. 4/21–23; 39/9 (Unter- bis Mittelmiozän, Venezuela, Barbados)
 1971 *Globorotalia (Turborotalia) praescitula* BLOW – JENKINS: 129, Taf. 14/392–394 (Unter- bis Mittelmiozän, Neuseeland)
 1972 *Globorotalia scitula praescitula* BLOW – BIZON & BIZON: 127, Abb. 1–7 (Mittelmiozän, Mittelmeer)
 1975 *Globorotalia (Turborotalia) scitula praescitula* BLOW – POPESCU: 84, Taf. 79/7–8 (Miozän, Rumänien)
 1979 *Globorotalia (Turborotalia) praescitula* BLOW – MOLINA: 255, Taf. 31/2 (Untermiozän, Spanien)
 1983 *Globorotalia (Globoconella) praescitula* BLOW – KENNETT & SRINIVASAN: 108, Taf. 24/1; 25/4–6 (Unter- bis Mittelmiozän)

Das Gehäuse ist niedrig-trochospiral, die Umbilicalseite ist stärker convex als die Spiralseite. 5 wenig geblähte Kammern im letzten Umgang nehmen allmählich an Größe zu. Der Umriss ist oval, die Peripherie gelappt, in der Seitenansicht subacut, aber nicht gekielt. Die Suturen sind auf der Spiralseite eingesenkt und stark nach hinten gekrümmt, auf der Umbilicalseite vertieft und nur leicht gebogen. Der Nabel ist sehr eng, fast geschlossen. Die Mündung bildet ein umbilical-extraumbilicaler Schlitz mit deutlicher, dünner Lippe. Die Wand ist fein perforiert, nicht retikuliert.

Ø = 0,16–0,19 mm

H = 0,1–0,12 mm

Differentialdiagnose:

Charakteristisch ist die stumpf gewinkelte Peripherie. Die Unterart unterscheidet sich von *Globorotalia scitula scitula* BLOW durch die stärker convexe Umbilicalseite,

von *Globorotalia peripheroronda* BLOW & BANNER in der stärker gewinkelten Peripherie und der geringeren Kammerzahl,

von *Globorotalia barisanensis* LE ROY durch das Fehlen des Kieles.

Verbreitung:

Sehr selten im Eggenburg des Röthelbaches sowie im Ottang des Fußgrabens und der Bohrung Ortenburg 1003.

Internationale Korrelation:

Bei MOLINA (1979: Abb. 38) tritt die Art im Mittleren Burdigal erstmals auf. BLOW (1959: 221) läßt sie mit der *Catapsydrax stainforthi*-Zone (N6) beginnen, BLOW (1969: 356) innerhalb der Zone N5 (= Eggenburg). Bei JENKINS & ORR (1972: 1103) wird sie ebenfalls in der *Globigerinita dissimilis*-Zone (N5) erstmals beobachtet und auch bei KENNETT & SRINIVASAN (1983: 108).

Familie: Hantkeninidae CUSHMAN 1927

Unterfamilie: Cassigerinellinae BOLLI, LOEBLICH & TAPPAN
1957

Genus: *Cassigerinella* POKORNÝ 1955

Cassigerinella globulosa (EGGER)

Taf. 21, Fig. 15 u. 20

- *1857 *Cassidulina globulosa* nov. spec. — EGGER: 296, Taf. 11/4–7
(?Mittelottnang/? Eggenburg, Niederbayern)
1932 *Cassidulina chipolensis* C. & P. — CUSHMAN & PONTON: 98,
Taf. 15/2 (Untermiozän, Florida) (fide ELLIS & MESSINA)
1955 *Cassigerinella boudecensis* n. sp. — POKORNÝ: 138, Abb. 1–3
(Oligozän, CSSR)
1957a *Cassigerinella chipolensis* (C. & P.) — BOLLI: 108, Taf. 22/3
(Oligozän bis Mittelmiozän, Trinidad)
1959 *Cassigerinella chipolensis* (C. & P.) — BLOW: 169, Taf. 7/30
(Miozän, Venezuela)
1962 *Cassigerinella chipolensis* (C. & P.) — BLOW & BANNER: 81,
Taf. 15/M–N (Oligozän bis Mittelmiozän, Afrika u. Trini-
dad)
1969 *Cassigerinella chipolensis* (C. & P.) — BLOW: 377, Taf. 51/5
(Oligozän bis Mittelmiozän, Trinidad)
1969a *Cassigerinella boudecensis* POKORNÝ — RÖGL: 96, Taf. 6/7
(Karpat, Niederösterreich)
1973 *Cassigerinella globulosa* (EGGER) — RÖGL & CICHA: 318,
Taf. 11/70 (Ottang, Niederbayern)
Cassigerinella boudecensis POKORNÝ — RÖGL & CICHA: 318,
Taf. 11/66–67 (Ottang, Niederbayern und Österreich)
1975 *Cassigerinella chipolensis* (C. & P.) — STAINFORTH et al.: 261,
Abb. 110 (Oligozän bis Mittelmiozän, Trinidad, Florida)
1979 *Cassigerinella chipolensis* (C. & P.) — MOLINA: 296, Taf. 2/2
(Oligozän/Miozän, Spanien)

Neotypus: Slg. München, Prot. 5497

Locus typicus: Maierhof

Stratum typicum: Eggenburg

Eine planspiral-involute Form mit alternierender Kammeranordnung. 8 stark geblähte, kugelige bis ovale Kammern sind von außen sichtbar. Der Umriss ist oval, die Peripherie deutlich gelappt, in der Seitenansicht breit gerundet. Die Seitenflächen liegen ungefähr parallel zueinander. Die Nähte sind tief eingesenkt, gebogen, der Nabel ist sehr eng, deutlich eingesenkt, aber nicht tief. Die Mündung bildet eine hohe, breite Schleife an der Basis der letzten Kammer. Sie trägt eine undeutliche Lippe. Die Wand ist fein perforiert, häufig mehr oder weniger stark bepustelt.

Ø = 0,09–0,17 mm

D = 0,07–0,08 mm

Bemerkungen:

Die Formen sind nicht, wie bei EGGER beschrieben, völlig glatt, auch besitzen sie nicht die in der Abbildung zu erkennenden groben Poren. Eine Abtrennung von *Cassigerinella boudecensis* POKORNÝ aufgrund der Skulptierung ist nicht gerechtfertigt, da in cassigerinellen-reichen Proben, wie in den Bryozoenkalken von Dommelstadl, von glatten bis stärker bepustelten Formen alle Variationen auftreten. Die Beobachtung POKORNÝS (1955: 139), daß bei *Cassigerinella globulosa* nach EGGERS Abbildung die älteren Kammern des letzten Umgangs noch eine uniserial-planspirale Aufwindung zeigen, ist auf die Schematisierung der Zeichnungen EGGERS zurückzuführen, die von POKORNÝ selbst weiter unten im Text (l. c. 140) kritisiert wurde. Diese Abbildung (Taf. 11/4) ver-

leitete BANNER & BLOW (1960: 22) auch dazu, zwei Arten zu sehen und diese eine Form als Synonym von *Hastigerina si-phonifera* D'ORB. aufzufassen. BLOW & BANNER (1962) betrachteten *Cassigerinella boudecensis* als Synonym von *Cassigerinella chipolensis*, eine Feststellung, der POKORNÝ nicht zu widersprechen vermochte (BLOW & BANNER 1962: 83). Es ist daher naheliegend, *Cassigerinella chipolensis* ebenfalls als Synonym von *globulosa* aufzufassen. Die beiden Arten stimmen in Kammerzähl-, -form-, -anordnung und Mündungsform sehr gut überein. Die Skulptierung wechselt, wie bereits erwähnt und von mehreren Autoren ebenfalls beobachtet, sehr stark.

Verbreitung:

Sehr selten im Eggenburg des Röthelbaches und von Maierhof sowie im Ottang der Bohrungen Ortenburg 1001 und 1003 und von Höch. Häufig in den Bryozoenkalken des Mittelottnang von Dommelstadl.

Familie: Cibicididae CUSHMAN 1927

Unterfamilie: Cibicidinae CUSHMAN 1927

Genus: *Cibicides* MONTFORT 1808

Cibicides lobatulus (WALKER & JACOB)

Taf. 22, Fig. 1–3

- *1798 *Nautilus lobatulus* W. & J. — WALKER & JACOB: 642, Taf. 14/36 (rezent, England) (fide ELLIS & MESSINA)
1846 *Truncatulina lobatula* D'ORB. — D'ORBIGNY: 168, Taf. 9/18–23 (Mittelmiozän, Wiener Becken)
Anomalina variolata D'ORB. — D'ORBIGNY: 170, Taf. 9/27–29
1857 *Truncatulina lobatula* D'ORB. — EGGER: 279, Taf. 9/1–3 (Eggenburg, Niederbayern)
? *Truncatulina tumescens* nov. spec. — EGGER: 279, Taf. 9/14–16 (?Mittelottnang/?Eggenburg, Niederbayern)
1960 *Cibicides lobatulus* (W. & J.) — CICHA & ZAPLETALOVÁ: 27, Taf. 7/1–3 (Miozän, CSSR)
1985 *Cibicides lobatulus* (W. & J.) — PAPP & SCHMID: 64, 65; Taf. 56/1–5; 57/1–3 (Mittelmiozän, Wiener Becken)

Trochospirale, planconvexe Gehäuse mit ovalem Umriss und gekanteter oder gekielter, deutlich gelappter Peripherie. Die Spiralseite ist evolut, plan bis leicht concav, die Umgänge umgreifen sich leicht. Die Ventralseite ist involut, convex, der Nabel eng bis ziemlich weit, deutlich eingetieft, frei oder mit sehr kleinem Nabelfropf erfüllt. Bei weitem, freiem Nabel sind bisweilen ältere Umgänge sichtbar. Die 7–10 geblähten Kammern im letzten Umgang sind auf der Umbilicalseite schmal, auf der Spiralseite etwa so hoch wie breit. Die Größenzunahme variiert sehr stark. Die Suturen sind auf der Umbilicalseite stets deutlich eingesenkt, auf der Spiralseite limbat, aber dennoch meist leicht vertieft, auf beiden Seiten stark nach hinten gebogen. Die Mündung bildet ein äquatorialer Schlitz, der auf die Dorsalseite zieht, an der Spiralsutur über die Länge von bis zu 5 Kammern entlangläuft und von einer schmalen, aber deutlichen Mündungslippe begleitet wird. Die Schale ist grob perforiert.

Ø = 0,22–0,74 mm

H = 0,07–0,25 mm

Bemerkungen:

Die Variabilität dieser Art ist sehr groß, so daß auch die von EGGER als neue Art beschriebene *Truncatulina tumescens* noch in ihr Spektrum fallen könnte. Derartige Formen mit leichter Tendenz zur planspiralen Aufrollung und auf der Spiral- wie Ventralseite gleichermaßen überstehender Endkammer waren bisweilen zu beobachten.

Verbreitung:

Durchläufer im gesamten Untersuchungsgebiet. Im Oberen Eger selten, sonst häufig.

Ökologie:

Ein typischer Vertreter flach-neritischer Verhältnisse. Nach PHLEGER (1960: Abb. 31) bevorzugt er die strandnahe Sandfazies.

Genus: *Dyocibicides* CUSHMAN & VALENTINE 1930

Dyocibicides truncatus (EGGER)

Taf. 21, Fig. 21–24

*1857 *Planorbulina truncata* nov. spec. — EGGER: 280, Taf. 10/15–17 (Eggenburg, Niederbayern)

?1971 *Dyocibicides biserialis* CUSHMAN & VALENTINE — CÍCHA et al.: 278 (Eggenburg, CSSR)

Neotypus: Slg. München, Prot. 5497

Locus typicus: Maierhof (Material aus Hausbach lag nicht vor)

Stratum typicum: Eggenburg

Unter diesem Artnamen beschrieb EGGER Formen mit trochospiralem Anfangsteil und entrolltem Endteil mit unregelmäßig biserialer Kammeranordnung. Die Schalen sind planconvex, der Umriss ist oval, die Peripherie stumpf gekielt, deutlich gelappt. Die Spiralseite ist evolut, plan oder leicht concav, die Umgänge umgreifen sich nicht. Die Ventralseite ist involut, convex, der Nabel leicht eingesenkt, ohne Nabelscheibe. Im trochospiralen Anfangsstadium treten ca. 5–6 Kammern pro Umgang auf. Darauf folgen bis zu 9 Kammern im unregelmäßig biserialen Gehäuseeteil. Sie sind gebläht und nehmen rasch an Größe zu. Die Suturen sind auf der Spiralseite leicht limbat, auf der Umbilicalseite deutlich eingesenkt. Die Mündung bildet ein niedriger, an der Peripherie gelegener Bogen an der Basis der Endkammer auf der, der Windungsrichtung entgegengesetzten Kammerseite. Er ist eingefasst von einer deutlichen Lippe. Der Mündungsschlitz zieht nie auf die Spiralseite herüber. Die Wand ist grob perforiert.

Ø = 0,5–0,9 mm

H = 0,12–0,22 mm

Differentialdiagnose:

Die Art unterscheidet sich von *Dyocibicides biserialis* CUSHMAN & VALENTINE durch die Mündungsform und die unregelmäßigere Kammeranordnung.

Zu *Cibicides lobatulus* gibt es viele Übergänge, so daß sich eine Grenze zu aberranten *lobatulus*-Formen schwer ziehen läßt (vgl. BOLTOVSKOY & WRIGHT 1976: Abb. 76). Viele Auto-

ren betrachten die gesamte Gattung *Dyocibicides* nur als Variation von *Cibicides variabilis* (D'ORB.) (vgl. BOLTOVSKOY & WRIGHT 1976: 90).

Bemerkungen:

Die Mündung entspricht nicht ganz einem typischen *Dyocibicides*, der eine terminale Lage im biserialen Teil verlangt. Die Gattung *Cibicidella* ist aber auf jeden Fall auszuschließen, da sie mehrere, auf der Spiralseite gelegene Mündungsbögen aufweisen soll. Ebenso scheidet *Planorbulina* aus, da die vorliegenden Formen stets nur eine Mündung besitzen.

Die Kammeranordnung im biserialen Endteil ist sehr variabel. Exemplare mit nur 2 biserialen Kammerpaaren zeigen eine sehr regelmäßige Anordnung. Bei mehr Kammern biegt die Gehäuseachse jedoch stark ab, so daß die Kammerpaare nun neben der vorher aufgebauten Kammerreihe zu liegen kommen können. Der Endteil macht dann eher einen dreizeiligen Eindruck. Häufig legt sich die biseriale Kammerreihe auch um den trochospiralen Gehäuseeteil herum, umschließt ihn aber nie völlig.

Verbreitung:

Selten im Eggenburg und Unteren Ottnang von Niederbayern.

Genus: *Cibicidoides* THALMANN 1939

Cibicidoides pseudoungerianus (CUSHMAN)

Taf. 22, Fig. 4–5 u. 9

1857 *Rotalina cryptomphala* REUSS — EGGER: 277, Taf. 9/4–6 (Eggenburg, Niederbayern)

1918a *Truncatulina ungeriana* (D'ORB.) — CUSHMAN: 69, Taf. 24/1 (Oligozän, Panama)

*1922 *Truncatulina pseudoungeriana* n. sp. — CUSHMAN: 97, Taf. 20/9 (Oligozän, Mississippi)

1960 *Cibicides pseudoungerianus* (CUSHMAN) — CÍCHA & ZAPLETALOVÁ: 29, Taf. 5/4–6; 8/1–3 (Miozän, CSSR)

1962 *Cibicides pseudoungerianus* (CUSHMAN) — INDANS: 71, Taf. 12/4 (Miozän, NW-Deutschland)

Trochospirale, planconvexe bis biconvex-umbilicoconvexe Gehäuse mit rundlichem Umriss und gekanteter, nicht oder kaum gelappter Peripherie. Die Spiralseite ist evolut, plan oder wenig gewölbt, der letzte Umgang leicht umgreifend. Das Gehäusezentrum erscheint aufgerauht, weshalb keine älteren Windungen zu unterscheiden sind. Die Ventralseite ist involut, convex, der Nabel manchmal leicht eingesenkt, stets von einem dicken, aber nicht stark vorspringenden Nabelpfropf ausgefüllt. 9–15 nichtgeblähte, auf der Spiralseite niedrige, auf der Umbilicalseite schmale Kammern im letzten Umgang nehmen sehr langsam an Größe zu. Die Suturen sind leicht limbat, nicht eingesenkt, auf der Umbilicalseite mäßig, auf der Spiralseite stärker nach hinten gebogen. Die Mündung besteht aus einem halbmondförmigen Schlitz an der Peripherie, der auf die Spiralseite zieht und sich dort an der Basis von meist nur 2 (höchstens 4) Kammern entlang der Spiralsutur erstreckt. Er wird gesäumt von einer schmalen Mündungslippe.

Ø = 0,24–0,55 mm

H = 0,09–0,22 mm

Differentialdiagnose:

Er unterscheidet sich von *Cibicidoides tenellus* (REUSS) durch die auf der Spiralseite niedriger erscheinenden Kammern bei geringerer Größenzunahme und das weniger streng planconvexe Gehäuse,

von *Cibicides lobatulus* durch den deutlichen Nabelpfropf und die nicht eingesenkten Nähte.

Bemerkungen:

Im Gegensatz zu den typischen Formen besitzen die Vertreter aus der bayerischen Molasse häufig eine flache, manchmal sogar leicht concave Dorsalseite (vgl. ROGL & CÍCHA 1973: 323).

Die Beziehungen zu *Rotalina cryptomphala* REUSS sind nicht ganz geklärt. Aufgrund der mit deutlich planspiraler Tendenz gezeichneten peripheren Ansicht (REUSS 1850: Taf. 47/2c) stellt MARKS (1951: 72) die Art in die Synonymie von *Cibicides austriacus* (D'ORB.) (jetzt *Planulina austriaca*). Für diese Zuordnung sprechen auch die stärker eingesenkten Nähte und die fehlende Aufrauung der Spiralseite in der Originalabbildung (2 Umgänge sichtbar). Auch bei HANTKEN (1875: Taf. 9/1) zeigt sich deutlich ein stärker planspiraler Charakter, weshalb MAJZON (1962: Taf. 37/1) die Art zur Gattung *Anomalina* stellt. Da jedoch REUSS (1867: 86) die Art auch aus dem Schlier von Ottwang angibt, ist nicht völlig auszuschließen, daß doch die vorliegenden Formen damit gemeint sind. Solange die Beziehungen nicht geklärt sind, soll der gut eingebürgerte Name *pseudoungerianus* verwendet werden. Auf die Schwierigkeiten der Lösung dieses Problems wiesen CÍCHA & ZAPLETALOVÁ (1960: 36) bereits hin.

Verbreitung:

Durchläufer in der gesamten bayerischen Molasse.

Ökologie:

Die Art besitzt nach POAG (1981: 22) ihr Häufigkeitsmaximum im tieferen Neritikum (Schelfrand) (vgl. auch NATLAND 1933: Beilage).

Cibicidoides ungerianus filicosta (HAGN)

*1952 *Cibicides ungerianus* (D'ORB.) var. *filicosta* n. var. — HAGN: 186, Taf. 1/4 (Eger, Bayern)

Verbreitung:

Häufig im Oberen Eger von Traun und Prien, selten in der Bohrung Ortenburg 1002. Selten im Eggenburg der Traun und des Lußgrabens und im Unteren Ottwang von Niederbayern und des Kaltenbachgraben-Gebietes.

Genus: *Heterolepa* FRANZENAU 1884

Heterolepa dutemplei (D'ORBIGNY)

Taf. 22, Fig. 6–8

*1846 *Rotalina dutemplei* D'ORB. — D'ORBIGNY: 157, Taf. 8/19–21 (Mittelmiozän, Wiener Becken)
Rotalina kalebergensis D'ORB. — D'ORBIGNY: 151, Taf. 7/19–21

1857 *Rotalina dutemplei* D'ORB. — EGGER: 274, Taf. 7/8–10 (Eggenburg, Niederbayern)
Rotalina anomphala nov. spec. — EGGER: 275, Taf. 8/8–10
 1932 *Cibicides perlucida* n. sp. — NUTTALL: 33, Taf. 8/10–12 (Unteroligozän, Mexiko)
 1960 *Cibicides dutemplei* (D'ORB.) — CÍCHA & ZAPLETALOVÁ: 24, Taf. 5/1–3 (Miozän, CSSR)
Cibicides cf. *perlucidus* NUTTALL — CÍCHA & ZAPLETALOVÁ: 25, Taf. 1/4–6
 1985 *Heterolepa dutemplei* (D'ORB.) — PAPP & SCHMID: 57, 61, Taf. 46/5–9; 52/1–6 (Mittelmiozän, Wiener Becken)

Sehr kompakt gebaute, trochospirale, biconvexe Gehäuse mit meist stärker gewölbter Ventralseite. Der Umriss ist rund, die Peripherie gekielt und sehr wenig gelappt. Die Spiralseite ist evolut, gewölbt, die Umgänge umgreifen sich nicht. Die Ventralseite ist vollständig involut, convex, der Wölbungsgrad variiert sehr stark: typische Exemplare besitzen eine sehr stark gewölbte Ventralseite, nicht selten begegnet man aber auch Formen mit gleich stark gewölbter Spiral- und Umbilicalseite (Typus *anomphala* und *kalebergensis*). Der Nabel ist sehr eng und geschlossen, meist deutet er sich nur durch eine kleine Eindellung im Gehäusezentrum an, die in seltenen Fällen von einem dünnen, limbaten Kränzchen umgeben sein kann, gebildet durch das Zusammentreffen etwas stärker limbater Nähte. Diese Formen erinnern etwas an *Heterolepa praecincta* (KARRER). Ziemlich selten sind Formen, die einen hyalinen Nabelpfropf ausbilden. Das glasige Schalenmaterial zieht dann sternartig in die, innen etwas verbreiterten, nach außen zu schmaler werdenden Suturen hinein (var. *perlucida*). 6–10 Kammern im letzten Umgang sind nicht gebläht, auf der Umbilicalseite schmal-dreieckig, auf der Spiralseite sehr niedrig und nehmen sehr langsam an Größe zu. Die Nähte sind verdickt, leicht limbat, nicht oder kaum eingesenkt, auf der Ventralseite schwach nach hinten gebogen, auf der Dorsalseite nur wenig gekrümmt, aber stark nach hinten geneigt, zum Teil fast tangential zur vorangehenden Windung. Die Mündung bildet ein äquatorialer Schlitz mit Lippe, der sich auf der Ventralseite etwa über die halbe Länge der Mündungsfläche in Richtung Nabel erstreckt, auf der Spiralseite nur ein kurzes Stück — höchstens eine Kammerbreite — an der Basis der Endkammer hinzieht. Die Wand ist grob perforiert.

Ø = 0,25–0,7 mm

H = 0,12–0,35 mm

Bemerkungen:

Die von EGGER beschriebene *Rotalina anomphala* stellt nur eine flachere Abart von *dutemplei* dar, in etwa der Form *kalebergensis* entsprechend (vgl. PAPP & SCHMID 1985: 57, Taf. 46/5–9).

Heterolepa perlucida unterscheidet sich von *dutemplei* nur durch die Ausbildung eines Nabelpfropfs. Wie schon aus der Beschreibung anderer Cibiciden-Arten hervorgeht, ist die Ausscheidung von Schalenmaterial im Nabel ein sehr variables Merkmal. Es ließ sich die Beobachtung machen, daß *perlucida* ausschließlich (!) in Proben auftritt, die sehr reich an *Heterolepa dutemplei* sind. Die Größe des Zentralpfailers schwankt ebenfalls sehr stark. Diese Formen können deshalb wohl nur als Variation von *dutemplei* aufgefaßt werden. EGGER'S Beschreibung der Nabelscheibe bei *Rotalina discigera* (l. c. 277) erinnert sehr stark an das Charakteristikum von

Heterolepa perlucida. Die Darstellungen der Ansichten von Ventralseite und Peripherie (Taf. 8/5, 7) stimmen jedoch überhaupt nicht mit den vorliegenden Typen überein. Auch die Perforation der Gehäusewand unterscheidet sich grundsätzlich. Es sind daher wohl kaum dieselben Formen gemeint.

Verbreitung:

Durchläufer im ganzen Untersuchungsgebiet.

Var. *perlucida* tritt im Eggenburg des Fußgrabens und der Prien sowie im Unteren Otnang des Kaltenbachgraben-Gebiets und von Niederbayern auf.

Genus: *Hanzawaia* ASANO 1944

Hanzawaia boueana (D'ORBIGNY)

Taf. 22, Fig. 10–12

- *1846 *Truncatulina boueana* D'ORB. — D'ORBIGNY: 169, Taf. 9/24–26 (Mittelmiozän, Wiener Becken)
- 1951 *Cibicides boueanus* (D'ORB.) — MARKS: 72, Taf. 8/9 (Mittelmiozän, Wiener Becken)
- 1955 *Cibicides boueanus* (D'ORB.) var. *crassus* ŁUCZKOWSKA — ŁUCZKOWSKA: 127, Taf. 10/3 (Mittelmiozän, Polen) (fide ELLIS & MESSINA)
- 1960 *Cibicides boueanus* (D'ORB.) — CÍCHA & ZAPLETALOVÁ: 21, Taf. 2/4–6 (Miozän, CSSR)
- Cibicides boueanus crassus* ŁUCZKOWSKA — CÍCHA & ZAPLETALOVÁ: 22, Taf. 2/1–3
- 1960 *Cibicides crassiseptatus* new name — ŁUCZKOWSKA: 323, Abb. 3–4 (Mittelmiozän, Polen) (fide ELLIS & MESSINA)
- 1985 *Cibicides boueanus* (D'ORB.) — PAPP & SCHMID: 64, Taf. 56/6–9 (Mittelmiozän, Wiener Becken)

Trochospirale, planconvexe, im Umriss ovale Gehäuse mit scharfkantiger, nichtgelappter Peripherie. Die Spiralseite ist evolut, plan bis leicht concav, der letzte Umgang leicht umgreifend, die Ventralseite involut, convex, der Nabel leicht eingesenkt oder mit kleinem, glasigem Propf verfüllt. Vereinzelt lassen sich auch Exemplare mit leicht evoluter Ventralseite beobachten. 9–11 schmale, nichtgeblähte Kammern nehmen rasch an Größe zu. Die Suturen sind stark nach hinten gekrümmt, limbat, durchscheinend, auf der Nabelseite manchmal im jüngeren Teil leicht eingesenkt, sonst erhaben oder auf gleichem Niveau mit der Gehäuseoberfläche. Die Mündung zieht als schmaler Schlitz von der Peripherie auf die Spiralseite und erstreckt sich dort über die Länge der 4 letzten Kammern der Endwindung entlang der Spiralsutur, begleitet von deutlichen Mündungslappen, die von den Kammern der letzten Windung ins Zentrum vorspringen. Die Wand ist ziemlich grob perforiert.

Ø = 0,22–0,55 mm

H = 0,08–0,19 mm

Differentialdiagnose:

Hanzawaia borcici (CÍCHA & ZAPLETALOVÁ) besitzt eine leicht evolute Umbilicalseite und weniger Kammern pro Umgang.

Bemerkungen:

Hanzawaia crassiseptata wird als Ökovariante von *Hanzawaia boueana* aufgefaßt. Die Formen mit stark limbaten Nähten treten vor allem in Bereichen geringerer Wassertiefe auf. Die Kammerzählung liegt konstant bei 9 pro Umgang. Im

Oberen Eger ist *Hanzawaia boueana* stets sehr klein, besitzt keine so stark erhabenen, aber doch immer deutlich limbate Suturen, stets einen glasigen Nabelpropf und etwas mehr Kammern pro Umgang (ca. 11).

Aus der Revision der D'ORBIGNY-Arbeit durch PAPP & SCHMID geht hervor, daß *Nonionina boueana* D'ORB. ebenfalls zur Gattung *Hanzawaia* zu rechnen sein soll. *Truncatulina boueana* D'ORB. ordnen die Autoren dagegen der Gattung *Cibicides* zu. Die Abbildung von *Nonionina boueana* läßt aber eher die Zugehörigkeit zum Genus *Anomalinoidea* vermuten. Das zur Abbildung ausgewählte Exemplar von *Truncatulina boueana* erscheint mir nicht ganz typisch für die Art. Die Darstellung bei MARKS (1951) ist da wesentlich besser gelungen.

Verbreitung:

Durchläufer in der gesamten bayerischen Molasse, nicht selten.

Ökologie:

Nach POAG (1981: 22) liegt die Hauptverbreitung der Gattung *Hanzawaia*, ebenso wie nach BANDY & ARNAL (1960: 1926) und WALTON (1964: 176, Abb. 12), auf dem mittleren und äußeren Schelf.

Wie bereits oben erwähnt, sind Formen mit dick-limbaten Nähten charakteristisch für geringe Wassertiefen.

Genus: *Planulina* D'ORBIGNY 1826

Planulina wuellerstorfi (SCHWAGER)

Taf. 22, Fig. 15–17

- *1866 *Anomalina wuellerstorfi* m. — SCHWAGER: 258, Taf. 7/105, 107 (Neogen, Indien)
- 1973 *Planulina wuellerstorfi* (SCHWAGER) — RÖGL & CÍCHA: 319, Taf. 7/35 (Otnang, Oberösterreich)
- 1979 *Planulina wuellerstorfi* (SCHWAGER) — SZTRÁKOS: Taf. 26/4 (Oligozän, Ungarn)
- 1982 *Planulina wuellerstorfi* (SCHWAGER) — AGIP S. p. A.: Taf. 50/7 (Miozän bis Pleistozän, Italien)

Das Gehäuse ist trochospiral, planconvex, im Umriss oval, die Peripherie scharfkantig aber ohne Kielsaum, nur wenig gelappt. Die Spiralseite ist evolut, plan bis leicht concav, die Umgänge umgreifen sich nicht. Die Ventralseite ist convex, nicht vollständig involut, so daß die älteren Windungen sichtbar sind. Der Nabel ist sehr eng, in seltenen Fällen leicht eingesenkt, meist aber von einem kleinen Nabelpropf ausgefüllt. Bei kleinen Exemplaren ist die Ventralseite stärker gewölbt. 7–11 kaum geblähte Kammern, auf der Umbilicalseite lang und schmal, auf der Spiralseite relativ niedrig, nehmen allmählich an Größe zu. Die Nähte sind sehr charakteristisch auf beiden Seiten stark nach hinten gebogen, leicht S-förmig geschwungen, schwach limbat, auf der Ventralseite eventuell leicht eingesenkt. Die Mündung bildet ein äquatorialer Schlitz, der auf die Spiralseite zieht und dort über die Länge von bis zu 4 Kammern an der Spiralsutur entlangläuft. Ihn begleitet eine schmale Lippe. Die Wand ist mittelgrob perforiert.

Ø = 0,28–1,0 mm

H = 0,14–0,3 mm

Verbreitung:

Sehr selten im Eggenburg des Kaltenbachgrabens und im Unteren Otttang des Fußgrabens. Häufiger in Niederbayern. Im Mittelotttang nur in der Bohrung Ortenburg 1001.

Ökologie:

Bei POAG (1981: 23) wird die Art als typische Form des Tiefwassers angesehen. PHLEGER (1960: Abb. 24 und 40) fordert Mindestwassertiefen von 500 m. Das Verbreitungsmaximum liegt unter 2000 m. Auch BANDY & ARNAL (1960: 1928) ordnen sie dem Abyssal zu. Im Aufschluß Oberschwärzenbach zeigt sich eher ein gegenteiliger Trend: hier tritt die Art erst im höheren Profiltail auf, also in Bereichen, die bereits eine deutliche Verflachung anzeigen. Sie ist jedoch nie sehr häufig.

Unterfamilie: Almaeninae MYATLYUK 1959

Genus: *Almaena* SAMOYLOVA 1940

Almaena osnabrugensis (ROEMER)

Taf. 22, Fig. 13–14

*1838 *Planulina osnabrugensis* v. M. – ROEMER: 390, Taf. 3/58 (Oligozän, N-Deutschland)

Verbreitung:

Die Art reicht noch in den tieferen Teil des Oberen Eger hinein: sehr selten an der Traun, häufiger in den Bohrungen Ortenburg und Isen 1.

Familie: Epistominidae WEDEKIND 1937

Genus: *Hoeglundina* BROTZEN 1948

Hoeglundina elegans (D'ORBIGNY)

Taf. 22, Fig. 18 u. 22–23

*1826 *Rotalia (Turbinulina) elegans* Nob. – D'ORBIGNY: 276

1846 *Rotalina partschiana* D'ORB. – D'ORBIGNY: 153, Taf. 7/28–30; 8/1–3 (Mittelmiozän, Wiener Becken)

1958 *Epistomina elegans* (D'ORB.) – BATJES: 155, Taf. 10/2 (Oligozän, Belgien)

1964 *Epistomina elegans* (D'ORB.) – HAUSMANN: 390, Taf. 8/4 (Rupel, DDR)

Niedrig trochospirale, biconvexe, linsenförmige Gehäuse, im Umriss rund, Peripherie gekielt, nicht gelappt. Die Spiralseite ist evolut, leicht gewölbt, die Ventralseite involut und stärker gewölbt als die Gegenseite. 7–9 nichtgeblähte Kammern in der letzten Windung nehmen langsam an Größe zu. Die Kammern werden auf der Ventralseite durch eine parallel zur Äquatorebene verlaufende Scheidewand weiter unterteilt. Die Nähte sind verdickt, durchscheinend, leicht limbat, auf der Spiralseite kaum gebogen aber stark geneigt, auf der Ventralseite radial. Der Nabel wird von einem deutlichen, durchscheinenden Zentralpfeiler gänzlich verschlossen. Die Mündung besteht aus einem kurzen und breiten interiomarginalen Schlitz, der auf den Raum zwischen Peripherie und Scheidewand beschränkt ist. Zusatzmündungen in Form schmaler, stets sekundär wieder verschlossener Schlitze liegen auf der Ventralseite dicht an der Peripherie. Die Schale ist glatt, fein perforiert und besteht aus Aragonit.

$\varnothing = 0,35\text{--}0,7\text{ mm}$

H = 0,2–0,4 mm

Verbreitung:

Sehr selten im Oberen Eger des Teufelsgrabens, im Eggenburg des Pechschnaitgrabens und im Eggenburg und Unteren Otttang des Fußgrabens.

Ökologie:

Nach WALTON (1955: 1009) ein Anzeiger für sehr große Wassertiefen (mehr als 700 m) (vgl. auch BANDY 1953: 171 und PHLEGER 1960: Abb. 25, 36, 37, 38, 39). Im bayerischen Miozän jedoch sehr selten.

Familie: Robertinidae REUSS 1850

Genus: *Alliatina* TROELSEN 1954

Alliatina tollmanni LANGER

Taf. 22, Fig. 19–21

1857 *Nonionina communis* D'ORB. – EGGER: 298 (partim), Taf. 14/13 (?Mittelotttang/?Eggenburg, Niederbayern)

1957 *Cushmanella nitida* n. sp. – TOLLMANN: 195, Taf. 3/14 (Eggenburg, Niederösterreich)

1966 *Alliatina* cf. *nitida* (TOLLMANN) – BUTT: 76, Taf. 5/9 (Oligozän, SW-Frankreich)

*1969 *Alliatina tollmanni* nom. nov. – LANGER: 66 (Miozän, Nordsee)

Alliatina cf. *tollmanni* nom. nov. – LANGER: 66, Taf. 3/22–23

1983 *Alliatina* cf. *nitida* (TOLLMANN) – POIGNANT: 23, Taf. 3/9–11 (Oligozän, SW-Frankreich)

Das leicht asymmetrische Gehäuse ist sehr niedrig trochospiral, besonders im Anfangsteil, insgesamt fast planspiral, involut. Der Umriss ist lang-oval, die Peripherie schmal gerundet und wenig gelappt im jüngeren Gehäuseteil, im älteren subacut und nicht gelappt. 9–10 schwach geblähte, schmal-dreieckige Kammern im letzten Umgang nehmen sehr rasch an Größe zu. Die Kammern sind intern durch eine asymmetrische Kammerscheidewand unterteilt. An der Basis der Kammern gruppieren sich auf beiden Seiten um den engen Nabel herum kleine, ovale Zusatzkammern, die den Nabel fast gänzlich verschließen. Die Nähte sind leicht gebogen, verdickt, schwach eingesenkt, besonders zwischen den jüngeren Kammern. Die Mündung bildet ein sehr schmaler, äquatorialer, asymmetrischer Schlitz, der nur in einzelnen Fällen zu beobachten ist. Er verläuft von der Peripherie aus unterhalb der Zusatzkammern weiter. Aufgrund der Asymmetrie erstreckt er sich auf einer Seite über eine größere Strecke als auf der Gegenseite. Am deutlichsten ist die ovale, areale Mündung, die ziemlich genau in der Medianlinie liegt. Sie sitzt auf einem Schenkel der, auf der Mündungsfläche eines Internseptums als umgedreht V-förmige Linie sichtbar werdenden, asymmetrisch angelegten internen Kammerunterteilung. Die Zusatzkammerchen weisen keine Mündungen auf. Die Schale ist fein perforiert, glatt und besteht aus Aragonit.

$\varnothing = 0,3\text{--}0,4\text{ mm}$

H = 0,15–0,18 mm

Differentialdiagnose:

Es besteht sehr große Ähnlichkeit mit *Alliatina excentrica* (DI NAPOLI ALLIATA 1952: 105, Taf. 5/1) aus dem Pliozän

Norditaliens. Sie weist jedoch nach der Originalbeschreibung eine exzentrisch liegende, areale Mündung auf. LANGER (1969: 65) stellte jedoch fest, daß sich deren Position im Laufe der Ontogenie ändert. Aus der Originalbeschreibung und Abbildung bei CARTER (1957: Taf. 14/2) geht hervor, daß *Alliatina excentrica* eine wesentlich unregelmäßigere Anordnung der Zusatzkammerchen entwickelt. Neben der normalen umbilicalen Kammerreihe werden noch weitere Sekundärkammerchen in die Suturen eingeschoben. *Alliatina tollmanni* scheint sich insgesamt durch einen deutlich regelmäßigeren Gehäusebau auszuzeichnen.

Bemerkungen:

Die asymmetrische Kammerunterteilung unterscheidet die Form von der Gattung *Cushmanella* PALMER & BERMUDEZ, bei der außerdem die Zusatzkammern Mündungen besitzen. In

der Originalabbildung bei TOLLMANN ist die interne Kammer-scheidewand jedoch ziemlich symmetrisch dargestellt, mit der arealen Mündung genau im Scheitel. Schon BUTT (1966: 77) bemängelte die unklare Darstellung. LANGER (1969: 66) beseitigte durch Untersuchungen an den Originalexemplaren jeden Zweifel an der Gattungszugehörigkeit.

Alliatina tollmanni wurde bereits von EGGER als „Monstrosität“ von *Nonionina communis* D'ORB. aus Habühl (laut Tafelerläuterung aus Hausbach) beschrieben und abgebildet.

Der Name *Alliatina nitida* (TOLLMANN) ist aufgrund der Homonymie mit *Alliatina nitida* (MILLETT), aufgestellt als *Bulimina convoluta* WILLIAMSON var. *nitida* MILLETT, ungültig.

Verbreitung:

5 Exemplare aus dem Eggenburg von Blindham, 1 Bruchstück aus Maierhof.

ANHANG

Die im folgenden aufgeführten, abgebildeten Originale befinden sich im REM-Archiv der Bayerischen Staatssammlung für Paläontologie, München, unter den genannten Sammlungsnummern in Aufbewahrung:

Tafel 1: Fig. 1–6, 9–12, 16–21: BSP-Wn T15
Fig. 7–8, 13–15: BSP-Wn T16

Tafel 2: Fig. 1–8: BSP-Wn T15
Fig. 9–11, 14–23: BSP-Wn T11
Fig. 12–13: BSP-Wn T17

Tafel 3: Fig. 1–6: BSP-Wn T11
Fig. 7–21: BSP-Wn T12

Tafel 4: Fig. 1: BSP-Wn T22
Fig. 2–10: BSP-Wn T12
Fig. 17, 19: BSP-Wn T13

Tafel 5: Fig. 5, 8–11, 13–17: BSP-Wn T13
Fig. 10: BSP-Wn T17
Fig. 18–24: BSP-Wn T10

Tafel 6: Fig. 1–8, 10–16: BSP-Wn T10
Fig. 17–18, 20: BSP-Wn T2

Tafel 7: Fig. 4–13, 17–18, 21–22: BSP-Wn T2
Fig. 20: BSP-Wn T14

Tafel 8: Fig. 1–2, 4–28: BSP-Wn T3
Fig. 3: BSP-Wn T16

Tafel 9: Fig. 1–3: BSP-Wn T3
Fig. 4–26: BSP-Wn T1

Tafel 10: Fig. 1–3, 5–14: BSP-Wn T1
Fig. 4, 17–18, 23: BSP-Wn T14

Tafel 11: Fig. 14–19, 21, 23: BSP-Wn T5
Fig. 20: BSP-Wn T20
Fig. 22: BSP-Wn T22

Tafel 12: Fig. 1, 3–5, 7–11, 14–16: BSP-Wn T5
Fig. 2: BSP-Wn T16
Fig. 6, 13, 17, 19–21: BSP-Wn T21
Fig. 12, 18: BSP-Wn T20
Fig. 22: BSP-Wn T17

Tafel 13: Fig. 1, 4–7: BSP-Wn T21
Fig. 2: BSP-Wn T20
Fig. 3, 8, 11–12: BSP-Wn T5
Fig. 9–10: BSP-Wn T16
Fig. 13–14: BSP-Wn T5
Fig. 15–24: BSP-Wn T7

Tafel 14: Fig. 1–15, 17–19: BSP-Wn T7
Fig. 16, 20: BSP-Wn T20

Tafel 15: Fig. 1–3: BSP-Wn T17
Fig. 4–5, 9: BSP-Wn T7
Fig. 6–8: BSP-Wn T10
Fig. 10, 12–18, 20–22: BSP-Wn T8
Fig. 11: BSP-Wn T24
Fig. 19: BSP-Wn T10

Tafel 16: Fig. 1–9, 12–14, 16–21: BSP-Wn T8
Fig. 10–11, 15: BSP-Wn T9
Fig. 22: BSP-Wn T25

Tafel 17: Fig. 1, 3, 9: BSP-Wn T8
Fig. 2, 4–5, 10, 14: BSP-Wn T17
Fig. 6: BSP-Wn T21
Fig. 7–8, 11–13, 15–22: BSP-Wn T9

Tafel 18: Fig. 1–2, 6–8: BSP-Wn T17
Fig. 3, 15, 17: BSP-Wn T9
Fig. 4–5, 9, 13–14: BSP-Wn T18
Fig. 10–12: BSP-Wn T19
Fig. 16: BSP-Wn T23
Fig. 18: BSP-Wn T22
Fig. 19–22: BSP-Wn T4

Tafel 19: Fig. 1–21: BSP-Wn T4

Tafel 20: Fig. 1, 3–5, 7–19, 21: BSP-Wn T4
Fig. 2, 20: BSP-Wn T22

Tafel 21: Fig. 1–5, 8–9, 12, 15–18, 20: BSP-Wn T4
Fig. 6–7, 10–11, 13–14, 19: BSP-Wn T17
Fig. 21–24: BSP-Wn T6

Tafel 22: Fig. 1–12, 14–17: BSP-Wn T6

Fig. 13: BSP-Wn T22

Fig. 18, 22: BSP-Wn T17

Fig. 19–21, 23: BSP-Wn T9

Die Exemplare Tafel 6, Fig. 9 und Tafel 20, Fig. 6 befinden sich unter den im Tafeltext angegebenen Nummern in der Mikropaläontologischen Sammlung, München.

Die Fossilischnitte der Abbildung 23 werden unter folgenden Nummern in der Schliff-Hauptsammlung, München, aufbewahrt:

Abb. 1: SHS 1044b/85

Abb. 2: SHS 1045b/85

Abb. 3: SHS G 3991a/85

Abb. 4: SHS G 3992a/85

Probenregister

Sammlungsnummern der Mikropaläontologischen Sammlung, München:

Niederbayern:

Oberschwärzenbach: 5354–5391

Untersimbach: 5392–5408

Engertsham: 5409–5413

Wallham: 5414–5415

Anderl: 5416–5417

Eggerwiesen: 5418

Rottersham: 5419

Neuhofen: 5420

Poigham: 5421

Ausham: 5422

Aspertsham: 5423

Wolfa: 5424

Hausmanning: 5425–5426

Lengham: 5427

Kindlbach: 5428–5431

Höhenmühle: 5432

Mitterdorf: 5433–5436

Gänshall: 5437–5439

Holzbach: 5440–5446

Höch: 5448–5455

Tutting: 5456

Kugler: 5457

Neustift: 5458

Unteriglbach: 5459

Dommelstadl: 5460

Spirkenöd: 5461

Brombach: 5462

Oberndorf: 5463–5464

Siegharting: 5465

Untertattenbach: 5466

Leithen: 5467

Malgertsham: 5468

Erlat: 5469

Rotthalmünster: 5470

Jetzing: 5471

Prienbach: 5472

Brg. Brunndobl: 5473–5479

Brg. Aldersbach: 5480–5483

Blindham: 5484–5486

Kemating: 5487–5492

Maierhof: 5493–5498

Traunprofil: 5499–5562

(vgl. Abb. 10)

Surprofil: 5563–5578

(vgl. Abb. 12)

Zeieringer Graben: 5579–5582

Prienprofil: 5583–5609

(vgl. Abb. 14)

Kaltenbachgraben/Eulenbach:

5610–5637 (vgl. Abb. 16)

Brg. Ampfing 1: 5638–5650

Brg. Isen 1: 5651–5653

Höbmannsbach: 5657–5659

Rainbach: 5660

Braunsreut: 5674–5676

Schölling: 5677–5678

Brg. Ortenburg

CF 1001: K 242–441

CF 1002: I 46–294

CF 1003: H 198–300

SCHRIFTENVERZEICHNIS

ABERER, F. (1960): Das Miozän der westlichen Molassezone Österreichs mit besonderer Berücksichtigung der Untergrenze und seiner Gliederung. — Mitt. Geol. Ges., **52**, 1959: 7–16, 1 Abb., 1 Tab.; Wien.

AGIP, S. p. A. (1982): Foraminiferi Padani (2. Ausgabe). — 1–6, 1 Tab., Taf. 1–52; Mailand.

AMMON, L. VON (1888): Die Fauna der brackischen Tertiär-Schichten in Niederbayern. — Geogn. Jh., **1**: 1–22, 1 Taf.; Kassel.

ANDREAE, A. (1884): Ein Beitrag zur Kenntniss des Elsässer Tertiärs. — Abh. geol. Spezialkarte Elsass-Lothringen, **2**: 1–331, Taf. 1–12; Straßburg.

ASCOLI, P. (1957): Microfauna del Tortoniano di Mombisaggio e della serie pliocenica di Volpogino (Tortona — Alessandria). — Riv. Ital. Pal. Strat., **63** (1): 3–30, 1 Abb., 1 Tab.; Mailand.

BANDY, O. L. (1949): Eocene and Oligocene Foraminifera from Little Stave Creek, Clarke County, Alabama. — Bull. Am. Pal., **32** (131): 5–207, 2 Abb., 1 Tab., Taf. 1–27; Ithaca/N. Y.

BANDY, O. L. (1953): Ecology and Paleocology of some California Foraminifera. Part I + Part II. — J. Pal., **27** (2): 161–182 + 200–203, Abb. 1–4 + 1–3, 1 Tab., Taf. 21–25; Tulsa.

BANDY, O. L. (1956): Ecology of Foraminifera in Northeastern Gulf of Mexico. — Geol. Surv. Prof. Paper, **274-G**: 177–204, Abb. 25–28, Tab. 1–4, 7 Beil., Taf. 29–31; Washington.

BANDY, O. L. & ARNAL, R. E. (1960): Concepts of Foraminiferal Paleocology. — Bull. Am. Ass. Petrol. Geol., **44** (12): 1921–1932, Abb. 1–14; Tulsa.

BANNER, F. T. & BLOW, W. H. (1960): The Taxonomy, Morphology and Affinities of the Genera included in the Subfamily Hastigeri-

- niac. — *Micropaleontology*, **6** (1): 19–31, Abb. 1–11; New York.
- BANNER, F. T. & CULVER, S. J. (1978): Quaternary *Haynesina* n. gen. and Paleogene *Protelphidium* HAYNES; their Morphology, Affinities and Distribution. — *J. Foram. Res.*, **8** (3): 177–207, Abb. 1–5, Taf. 1–10; Lawrence.
- BARKER, R. W. (1960): Taxonomic Notes. — *Spec. Publ. Soc. Ec. Pal. Min.*, **9**: VII–XXIV, Taf. 1–115; Tulsa.
- BATJES, D. A. J. (1958): Foraminifera of the Oligocene of Belgium. — *Verh. Kon. Belg. Inst. Natuurw.*, **143**: 1–188, 11 Abb., 4 Tab., 15 Kartenskizzen, Taf. 1–13; Brüssel.
- BAUBERGER, W. & UNGER, H. J. (1984): siehe UNGER, H. J. (1984a)
- BECKER, L. E. & DUSENBURY, A. N. (1958): Mio-Oligocene (Aquitanean) Foraminifera from the Goajira Peninsula, Columbia. — *Spec. Publ. Cushman Found. Foram. Res.*, **4**: 1–48, 3 Tab., 1 Kartenskizze, 7 Taf.; Bridgewater/Mass.
- BECKMANN, J. P. (1953): Die Foraminiferen der Oceanic Formation (Eocaen-Oligocaen) von Barbados, Kl. Antillen. — *Ecl. Geol. Helv.*, **46** (2): 301–412, 29 Abb., 1 Tab., Taf. 16–30; Basel.
- BERCHEM, H.-R. VON (1969): Geologische Untersuchungen auf Blatt Griesbach im Rottal, 7545 (Maßstab 1:25000). — 1–78, 30 Abb., 1 geol. Karte 1:62500; Inaug.-Diss. Univ. München.
- BERGER, W. (1957): Die stratigraphisch wichtigeren Foraminiferen der oberbayrischen Molasse. — 1–4, Abbildungen; unveröff. Manuskript MOBIL OIL AG; Ampfing.
- BERGGREN, W. A. (1969): Paleogene Biostratigraphy and Planktonic Foraminifera of Northern Europe. — *Proc. 1st Internat. Conf. Plankt. Microfossils Genf 1967*, **1**: 121–160, 7 Abb., 3 Tab., Taf. 1–8; Brill, Leiden.
- BERGGREN, W. A. & AMDURER, M. (1973): Late Paleogene (Oligocene) and Neogene Planktonic Foraminiferal Biostratigraphy of the Atlantic Ocean (Lat. 30° N to Lat. 30° S). — *Riv. Ital. Pal. Strat.*, **79** (3): 337–392, 11 Abb., 2 Tab., Taf. 25–33; Mailand.
- BHATIA, S. B. (1955): The Foraminiferal Fauna of the late Palaeogene Sediments of the Isle of Wight, England. — *J. Pal.*, **29** (4): 665–692, 7 Abb., 5 Tab., Taf. 66–67; Tulsa.
- BIOLZI, M., BIZON, G., BORSETTI, A. M., CATI, F., RADOVIC, A., RÖGL, F. & ZACHARIASSE, W. J. (1981): Planktonic Foraminifera. — in: CATI, F. (Hrsg.): In Search of the Palaeogene/Neogene Boundary Stratotype. Part 1: Potential Boundary Stratotype Sections in Italy and Greece and a Comparison with Results from the Deep-Sea. — *Giorn. Geol.*, **44** (1–2): 167–172, Tab. 13, Taf. 11–12; Bologna.
- BIZON, G. & BIZON, J.-J. (1972): Atlas des principaux Foraminifères Planctoniques du Bassin Méditerranéen. — V–IX, 1–316, 1 Tab.; Editions technip, Paris.
- BIZON, G., BIZON, J.-J. & TSALIA-MONOPOLISI, St. (1981): La Coupe d'Ekkliasia-Zalongon. — in: CATI, F. (Hrsg.): In Search of the Palaeogene/Neogene Boundary Stratotype. Part 1: Potential Boundary Stratotype Sections in Italy and Greece and a Comparison with Results from the Deep-Sea. — *Giorn. Geol.*, **44** (1–2): 181–187, Abb. 45–46, Taf. 14–18; Bologna.
- BLOW, W. H. (1959): Age, Correlation, and Biostratigraphy of the Upper Tocuyo (San Lorenzo) and Pozón Formations, eastern Falcón, Venezuela. — *Bull. Am. Pal.*, **39** (178): 67–251, 5 Abb., 5 Tab., 4 Kartenskizzen, Taf. 6–19; Ithaca.
- BLOW, W. H. (1969): Late Middle Eocene to Recent Planktonic Foraminiferal Biostratigraphy. — *Proc. 1st Internat. Conf. Plankt. Microfossils Genf 1967*, **1**: 199–422, 43 Abb., Taf. 1–54; Brill, Leiden.
- BLOW, W. H. (1979): The Cainozoic Globigerinida. — I–XV, 1–1412, Abb. 1–65, Abb. A–Y, Taf. 1–264; Brill, Leiden.
- BLOW, W. H. & BANNER, F. T. (1962): The Mid-Tertiary (Upper Eocene to Aquitanian) Globigerinaceae. — in: EAMES, F. E., BANNER, F. T., BLOW, W. H. & CLARKE, W. J. (Hrsg.): Fundamentals of the Mid-Tertiary Stratigraphical Correlation: 61–151, 20 Abb., Taf. 8–17; University Press, Cambridge.
- BODEN, K. (1935): Ein Beitrag zur Kenntnis der Chiemgauer Molasse. — *Z. dt. Geol. Ges.*, **87** (6): 337–354, 2 Abb.; Berlin.
- BOLLI, H. (1954): Note on *Globigerina concinna* REUSS 1850. — *Contr. Cushman Found. Foram. Res.*, **5** (1): 1–3, Abb. 1–8; Bridgewater/Mass.
- BOLLI, H. (1957a): Planktonic Foraminifera from the Oligocene-Miocene Cipero and Lengua Formations of Trinidad, B. W. I. — in: LOEBLICH, A. R. et al.: Studies in Foraminifera. — *Bull. U. S. Nat. Mus.*, **215**: 97–123, Abb. 17–21, Taf. 22–29; Washington, D. C.
- BOLLI, H. (1957b): Planktonic Foraminifera from the Eocene Navet and San Fernando Formations of Trinidad, B. W. I. — in: LOEBLICH, A. R. et al.: Studies in Foraminifera. — *Bull. U. S. Nat. Mus.*, **215**: 155–172, Abb. 25–26, Taf. 35–39; Washington, D. C.
- BOLTOVSKOY, E. & WRIGHT, R. (1976): Recent Foraminifera. — III–XVII, 1–515, 133 Abb., 17 Tab.; Junk, Den Haag.
- BORNEMANN, J. G. (1855): Die mikroskopische Fauna des Septarienthones von Hermsdorf bei Berlin. — *Z. dt. Geol. Ges.*, **7**: 307–371, Taf. 12–21; Berlin.
- BORNEMANN, L. G. (1874): Ueber die Foraminiferengattung *Involuntina*. — *Z. dt. Geol. Ges.*, **26**: 702–740, Taf. 18–19; Berlin.
- BOUCOT, A. J. (1981): Principles of Benthic Marine Paleocology. — I–XV, 1–463, 332 Abb.; Academic Press, New York.
- BRADY, H. B. (1881): Notes on some of the reticularian Rhizopoda of the „Challenger“ Expedition, Part III. — *Quart. J. Micr. Sci., N. S.*, **21**: 1–41; London (Sonderabdruck).
- BRADY, H. B. (1884): Report on the Foraminifera collected by the H. M. S. Challenger during the Years 1873–1876. — in: Report on the Scientific Results of the Voyage of the H. M. S. Challenger during the Years 1873–76, **9**, Zoology: I–XXI, 1–814, 22 Abb., 4 Tab., 1 Karte; Neill & Co., Edinburgh.
- BRÖNNIMANN, P. & WHITTAKER, J. E. (1980): A Revision of *Reophax* and its Type-Species, with Remarks on several other Recent Hormosinid Species (Protozoa: Foraminiferida) in the Collections of the British Museum (Natural History). — *Bull. Br. Mus. nat. Hist. (Zool.)*, **39** (5): 259–272, Abb. 1–32; London.
- BROTZEN, F. (1948): The Swedish Paleocene and its Foraminiferal Fauna. — *Sver. Geol. Unders., Ser. C*, **493**: 1–140, 41 Abb., 3 Tab., Taf. 1–19; Stockholm.
- BUCHNER, P. (1940): Die Lagenen des Golfes von Neapel und der marinen Ablagerungen auf Ischia. — *Nova Acta Leopoldina, N. F.*, **9** (62): 363–560, Taf. 1–19; Halle.
- BÜRL, H. (1946): Zur Stratigraphie und Tektonik des oberösterreichischen Schliers. — *Verh. Geol. B.-Anst.*, 1946 (10): 123–151, 4 Abb., 1 Tab.; Wien.
- BURGER-GALLOTH, I. (1982): Geologische Kartierung des Erlerberg-Gebietes/Tirol und paläontologisch-sedimentologische Untersuchungen in der Subalpinen Molasse NE Miesbach/Oberbayern: der Kaltenbachgraben und seine Seitengraben. — 52 + 78 Seiten, 25 + 7 Abb., 24 Profilskizzen, 4 + 2 Tafeln, 3 Beilagen, 1 Geol. Karte 1:10000; unveröff. Dipl.-Arb. Univ. München.
- BUTT, A. A. (1966): Late Oligocene Foraminifera from Escornebeou, SW France. — 1–123, 15 Abb., 2 Tab., Taf. 1–8; Schotanus & Jens, Utrecht.
- CALVEZ, Y. LE (1950): Révision des foraminifères lutétiens du Bassin de Paris. III. Polymorphinidae, Buliminidae, Nonionidae. — *Mém. Carte Géol. Fr.*: 7–64, Taf. 1–4; Paris.
- CALVEZ, Y. LE (1966): Contribution à l'étude des Foraminifères de l'Oligocène inférieur (Sannoisien) dans le Bassin de Paris. — *Ecl. Geol. Helv.*, **59** (1): 401–419, 1 Abb., Taf. 1–3; Basel.
- CALVEZ, Y. LE (1970): Contribution à l'étude des Foraminifères Paléogènes du Bassin de Paris. — *Cahiers de Pal.*: 1–314, 75 Abb., 6 Beil., 1 Kartenskizze, Taf. 1–48; Paris.
- CALVEZ, Y. LE (1977a): Révision des Foraminifères de la Collection d'ORBIGNY. II-Foraminifères de l'île de Cuba — Tome 1. — *Cahiers de Micropal.*, 1977/1: 1–128; Paris.
- CALVEZ, Y. LE (1977b): Révision des Foraminifères de la Collection d'ORBIGNY. II-Foraminifères de l'île de Cuba — Tome 2. — *Cahiers de Micropal.*, 1977/2: 1–129; Paris.
- CARTER, D. J. (1957): The Distribution of the Foraminifer *Alliatina excentrica* (DI NAPOLI ALLIATA) and the new genus *Alliatinella*. — *Palaeontology*, **1** (2): 76–86, 2 Abb., Taf. 14; London.
- CHRISTODOULOU, G. (1960): Geologische und mikropaläontologische Untersuchungen auf der Insel Karpachos (Dodekanes). — *Palaeontographica A*, **115**: 1–143, 22 Abb., Taf. 1–16; Stuttgart.

- CICHA, I. (1958a): *Robulus meznereicsae* n. sp. (Foraminifera, Protozoa) vom Burdigal des Váhgebietes (NW Teil des Pannonischen Beckens). — *Věstník ÚÚG*, **33** (1): 66–68, Taf. 1; Prag.
- CICHA, I. (1958b): Die Entwicklung der Mikrofauna des unteren Miozäns im Waagtal. — *Sbor. ÚÚG Pal.*, **24**, 1957: 349–384, 1 Tab., Taf. 50–56; Prag.
- CICHA, I. (1970): Stratigraphical Problems of the Miocene of Europe. — *Rozprawy ÚÚG*, **35**: 5–134, 10 Abb., 16 Tab., Taf. 1–12; Prag.
- CICHA, I., ČTYROKÁ, J. & HORVÁTH, M. (1975): Die Foraminiferen des Egerien. — in: BALDI, T. & SENES, J.: *Chronostratigraphie und Neostatotypen*, Bd. 5, OM Egerien: 233–277, Taf. 1–12; Slow. Akad. Wiss., Bratislava.
- CICHA, I., HAGN, H. & MARTINI, E. (1971): Das Oligozän und Miozän der Alpen und der Karpaten. Ein Vergleich mit Hilfe planktonischer Organismen. — *Mitt. Bayer. Staatsslg. Paläont. Hist. Geol.*, **11**: 279–293, 1 Tab.; München.
- CICHA, I. & ZAPLETALOVÁ, I. (1960): Stratigraphisch-paläontologische Erkenntnisse über einige Vertreter der Gattung *Cibicides* aus dem Neogen des Wiener Beckens, der Karpatischen Vortiefe und des Waagtales. — *Sbor. ÚÚG Pal.*, **25**, 1958: 1–59, 1 Abb., Taf. 1–8; Prag.
- CICHA, I. & ZAPLETALOVÁ, I. (1963a): Die Vertreter der Gattung *Bolivina* (Foraminifera – Protozoa) in Miozän der Westkarpaten. — *Sbor. ÚÚG Pal.*, **28**, 1961: 115–183, 48 Abb., 2 Beil.; Prag.
- CICHA, I. & ZAPLETALOVÁ, I. (1963b): Wichtige Vertreter der Familie Lituolidae REUSS, 1861 (Foraminifera) aus dem Miozän der Westkarpaten. — *Sbor. Geol. VĚD, Pal.*, **1**: 75–121, 21 Abb., 1 Tab.; Prag.
- CICHA, I. & ZAPLETALOVÁ, I. (1965): Die Vertreter der Familie Textulariidae (Foraminifera – Protozoa) aus dem Miozän der Westkarpaten. — *Sbor. Geol. VĚD, Pal.*, **6**: 99–148, 29 Abb., 1 Taf.; Prag.
- CICHA, I. & ZAPLETALOVÁ, I. (1967): Die Foraminiferen der Karpatischen Serie. — in: CICHA, I., SENES, J. & TEJKA, J.: *Chronostratigraphie und Neostatotypen*, Bd. 1, M₃ Karpaten: 104–148, Taf. 1A–27A; Slow. Akad. Wiss.; Bratislava.
- CICHA, I., ZAPLETALOVÁ, I., MOLČÍKOVÁ, V. & BRZOBHATÝ, R. (1983): Stratigraphical Range of Eggenburgian-Badenian in West Carpathian Basins. — *Miscellanea Micropal.*, **4**: 99–144, 21 Tab., Taf. 1–17; Hodonin.
- CICHA, I., ZAPLETALOVÁ, I., PAPP, A., ČTYROKÁ, J. & LEHOTAYOVÁ, R. (1971): Die Foraminiferen der Eggenburger Schichtengruppe (incl. Arcellinida). — in: STEININGER, F. & SENES, J.: *Chronostratigraphie und Neostatotypen*, Bd. 2, M₁ Eggenburgien: 234–355, Taf. 1–34; Slow. Akad. Wiss.; Bratislava.
- CITA, M. B. & GELATI, R. (1960): *Globoquadrina langhiana* n. sp. del Langhiano-tipo. — *Riv. Ital. Pal. Strat.*, **66** (2): 241–246, 1 Abb., Taf. 29; Mailand.
- COLOM, G. (1946): Los sedimentos burdigalienses de las Baleares. — *Est. Geol.*, **3**: 21–112, Taf. 1–16; Madrid.
- CRESCENTI, U. (1966): Sulla biostratigrafia del Miocene affiorante al confine Marchigiano-Abruzzese. — *Geol. Rom.*, **5**: 1–54, 9 Abb., 4 Tab., Taf. 1–2; Rom.
- CUSHMAN, J. A. (1910): A Monograph of the Foraminifera of the North Pacific Ocean. Part 1 Astrorhizidae and Lituolidae. — *Bull. U. S. Nat. Mus.*, **71** (1): 1–134, 203 Abb.; Washington D. C.
- CUSHMAN, J. A. (1911): A Monograph of the Foraminifera of the North Pacific Ocean. Part 2 Textulariidae. — *Bull. U. S. Nat. Mus.*, **71** (2): 1–108, 156 Abb.; Washington D. C.
- CUSHMAN, J. A. (1915): A Monograph of the Foraminifera of the North Pacific Ocean. Part 5 Rotaliidae. — *Bull. U. S. Nat. Mus.*, **71** (5): 1–81, 62 Abb., Taf. 1–31; Washington D. C.
- CUSHMAN, J. A. (1918a): The smaller fossil Foraminifera of the Panama Canal Zone. — *Bull. U. S. Nat. Mus.*, **103**: 45–87, 1 Tab., Taf. 19–33; Washington D. C.
- CUSHMAN, J. A. (1918b): The Foraminifera of the Atlantic Ocean. Part 1 Astrorhizidae. — *Bull. U. S. Nat. Mus.*, **104** (1): 1–111, Taf. 1–39; Washington D. C.
- CUSHMAN, J. A. (1922): The Foraminifera of the Byram Calcareous Marl at Byram, Mississippi. — *U. S. Geol. Survey Prof. Paper*, **129-E**: 87–105, Taf. 14–28; Washington D. C.
- CUSHMAN, J. A. (1923): The Foraminifera of the Atlantic Ocean. Part 4 Lagenidae. — *Bull. U. S. Nat. Mus.*, **104** (4): 1–178, Taf. 1–42; Washington D. C.
- CUSHMAN, J. A. (1927): New and interesting Foraminifera from Mexico and Texas. — *Contr. Cush. Lab. Foram. Res.*, **3** (2): 111–119, Taf. 22–23; Sharon/Mass.
- CUSHMAN, J. A. (1928a): Foraminifera their Classification and Economic Use. — *Spec. Publ. Cush. Lab. Foram. Res.*, **1**: 1–401, Taf. 1–59; Sharon/Mass.
- CUSHMAN, J. A. (1928b): Foraminifères du Stampien du Bassin de Paris. — *Bull. Soc. Sci. Seine-et-Oise*, 2^e ser., **9**: 47–57, Taf. 1–3; Paris.
- CUSHMAN, J. A. (1928c): On *Rotalia beccarii* (LINNÉ). — *Contr. Cush. Lab. Foram. Res.*, **4** (4): 103–107, Taf. 15; Sharon/Mass.
- CUSHMAN, J. A. (1929a): The Genus *Bolivina* and its Species. — *Contr. Cush. Lab. Foram. Res.*, **5** (2): 28–34, Taf. 5; Sharon/Mass.
- CUSHMAN, J. A. (1929b): A late Tertiary Fauna of Venezuela and other related Regions. — *Contr. Cush. Lab. Foram. Res.*, **5** (4): 77–101, Taf. 12–14; Sharon/Mass.
- CUSHMAN, J. A. (1931): The Foraminifera of the Atlantic Ocean. Part 8 Rotaliidae etc. — *Bull. U. S. Nat. Mus.*, **104** (8): 1–144, Taf. 1–26; Washington D. C.
- CUSHMAN, J. A. (1936a): New Genera and Species of the Families Verneulinidae and Valvulinidae and of the Subfamily Virguliniinae. — *Spec. Publ. Cush. Lab. Foram. Res.*, **6**: 1–71, Taf. 1–8; Sharon/Mass.
- CUSHMAN, J. A. (1936b): Some new Species of *Nonion*. — *Contr. Cush. Lab. Foram. Res.*, **12** (3): 63–69, Taf. 12; Sharon/Mass.
- CUSHMAN, J. A. (1936c): Some new Species of *Elphidium* and related Genera. — *Contr. Cush. Lab. Foram. Res.*, **12** (4): 78–89, Taf. 13–15; Sharon/Mass.
- CUSHMAN, J. A. (1937a): A Monograph of the Foraminiferal Family Valvulinidae. — *Spec. Publ. Cush. Lab. Foram. Res.*, **8**: I–XIII, 1–210, 7 Abb., 1 Tab., Taf. 1–24; Sharon/Mass.
- CUSHMAN, J. A. (1937b): A Monograph of the Subfamily Virguliniinae of the Foraminiferal Family Buliminidae. — *Spec. Publ. Cush. Lab. Foram. Res.*, **9**: I–XV, 1–228, Taf. 1–24; Sharon/Mass.
- CUSHMAN, J. A. (1939): A Monograph of the Foraminiferal Family Nonionidae. — *U. S. Geol. Survey Prof. Paper*, **191**: 1–69, Taf. 1–20; Washington D. C.
- CUSHMAN, J. A. (1945): The Species of the Subfamily Reussellinae of the Foraminiferal Family Buliminidae. — *Contr. Cush. Lab. Foram. Res.*, **21** (2): 23–53, Taf. 5–8; Sharon/Mass.
- CUSHMAN, J. A. (1946): The Genus *Sigmolina* and its Species. — *Contr. Cush. Lab. Foram. Res.*, **22** (2): 29–45, Taf. 5–6; Sharon/Mass.
- CUSHMAN, J. A. & EDWARDS, P. G. (1938): Notes on the Oligocene Species of *Uvigerina* and *Angulogerina*. — *Contr. Cush. Lab. Foram. Res.*, **14** (4): 74–89, Taf. 13–14; Sharon/Mass.
- CUSHMAN, J. A. & ELLISOR, A. C. (1939): New Species of Foraminifera from the Oligocene and Miocene. — *Contr. Cush. Lab. Foram. Res.*, **15** (1): 1–14, Taf. 1–2; Sharon/Mass.
- CUSHMAN, J. A. & HOBSON, H. D. (1935): A Foraminiferal Faunule from the Type San Lorenzo Formation, Santa Cruz County, California. — *Contr. Cush. Lab. Foram. Res.*, **11** (3): 53–64, Taf. 8–9; Sharon/Mass.
- CUSHMAN, J. A. & JARVIS, P. W. (1930): Miocene Foraminifera from Buff Bay, Jamaica. — *J. Pal.*, **4** (4): 353–368, Taf. 32–34; Tulsa.
- CUSHMAN, J. A. & LEAVITT, D. H. (1929): On *Elphidium macellum* (FICHEL & MOLL), *E. striato-punctatum* (FICHEL & MOLL) and *E. crispum* (LINNÉ). — *Contr. Cush. Lab. Foram. Res.*, **5** (1): 18–22, Taf. 4; Sharon/Mass.
- CUSHMAN, J. A. & MC GULLOCH, I. (1939): A Report on some Arenaceous Foraminifera. — *Univ. Southern California Publ., Allan Hancock Pacific Exped.*, **6** (1): 1–113, 11 Tab., Taf. 1–12; Los Angeles.

- CUSHMAN, J. A. & OZAWA, Y. (1930): A Monograph of the Foraminiferal Family Polymorphinidae Recent and Fossil. — Proc. U. S. Nat. Mus., 77 (6): 1–195, Taf. 1–40; Washington D. C.
- CUSHMAN, J. A. & PARKER, F. L. (1937a): Notes on some Oligocene Species of *Bulimina* and *Buliminella*. — Contr. Cush. Lab. Foramin. Res., 13 (1): 36–40, Taf. 4; Sharon/Mass.
- CUSHMAN, J. A. & PARKER, F. L. (1937b): Notes on some European Eocene Species of *Bulimina*. — Contr. Cush. Lab. Foramin. Res., 13 (2): 46–54, Taf. 6; Sharon/Mass.
- CUSHMAN, J. A. & PARKER, F. L. (1937c): Notes on some of the early described Eocene Species of *Bulimina* and *Buliminella*. — Contr. Cush. Lab. Foramin. Res., 13 (3): 65–73, Taf. 9–10; Sharon/Mass.
- CUSHMAN, J. A. & PARKER, F. L. (1947): *Bulimina* and related Foraminiferal Genera. — U. S. Geol. Survey Prof. Paper, 210-D: 53–176, Taf. 15–30; Washington D. C.
- CUSHMAN, J. A. & RENZ, H. H. (1941): New Oligocene-Miocene Foraminifera from Venezuela. — Contr. Cush. Lab. Foramin. Res., 17 (1): 1–27, Taf. 1–7; Sharon/Mass.
- CUSHMAN, J. A. & TODD, R. (1942): The Genus *Cancris* and its Species. — Contr. Cush. Lab. Foramin. Res., 18 (4): 72–94, Taf. 17–24; Sharon/Mass.
- CUSHMAN, J. A. & TODD, R. (1943): The Genus *Pullenia* and its Species. — Contr. Cush. Lab. Foramin. Res., 19 (1): 1–23, Taf. 1–4; Sharon/Mass.
- CUSHMAN, J. A. & TODD, R. (1945): Miocene Foraminifera from Buff Bay, Jamaica. — Spec. Publ. Cush. Lab. Foramin. Res., 15: 1–73, Taf. 1–12; Sharon/Mass.
- CUSHMAN, J. A. & TODD, R. (1949): Species of the Genus *Chilostomella* and related Genera. — Contr. Cush. Lab. Foramin. Res., 25 (4): 84–99, Taf. 15–16; Sharon/Mass.
- CUVILLIER, J. & SZAKALL, V. (1949): Foraminifères d'Aquitaine. — 1–112, Taf. 1–32; Soc. Nat. Pétroles d'Aquitaine, F. Boisseau, Toulouse.
- CZJZEK, J. (1848): Beitrag zur Kenntniss der fossilen Foraminiferen. — Haid. Naturw. Abh., 2: 137–150; Taf. 12–13; Wien.
- DALLAN NARDI, L. (1967): I foraminiferi miocenici della Marina del Marchese. — Pal. Ital., 62: 79–141, Taf. 37–45; Pisa.
- DAM, A. TEN & REINHOLD, Th. (1942): Die stratigraphische Gliederung des niederländischen Oligo-Miozäns nach Foraminiferen (mit Ausnahme von S. Limburg). — Mededel. Geol. Sticht., ser. C-V-2: 1–106, 10 Abb., 8 Tab., Taf. 1–10; Maastricht.
- DAM, A. TEN & REINHOLD, Th. (1947): New Names for two Species of Foraminifera from the Middle Miocene of the Netherlands. — J. Pal., 21: 186; Tulsa.
- DANIELS, C. H. VON & SPIEGLER, D. (1977): Uvigerinen (Foram.) im Neogen Nordwestdeutschlands. — Geol. Jb., A 40: 3–59, 6 Abb., 6 Tab., Taf. 1–9; Hannover.
- DIECI, G. (1959): I foraminiferi tortoniani di Montegibbio e Castelvetto (Appennino modenese). — Pal. Ital., 54: 1–113, 2 Abb., Taf. 1–8; Pisa.
- DOEBL, F. & MALZ, H. (1962): Tertiär des Rheintal-Grabens. — in: SIMON, W., BARTENSTEIN, H. et al.: Leitfossilien der Mikropaläontologie: 379–398, Abb. 26–27, Tab. 22, Taf. 56–59; Gebr. Borntraeger, Berlin.
- DOEBL, F., MARTINI, E., SONNE, V. & WEILER, H. (1980): Mikrofauna und -flora des Unteren Meeressandes (Rupel). 2. Sandgrube am „Zeilstück“ bei Alzey-Weinheim (Mainzer Becken). — Mainzer geowiss. Mitt., 8: 31–71, 14 Abb., 6 Tab.; Mainz.
- DOEBL, F., MOWAHED-AWAL, H., ROTHE, P., SONNE, V., TOBIEN, H., WEILER, H. & WEILER, W. (1972): Ein „Aquitain“-Profil von Mainz-Weisenau (Tertiär, Mainzer Becken). Mikrofaunistische, sedimentpetrographische und geochemische Untersuchungen zu seiner Gliederung. — Geol. Jb., A 5: 1–141, 4 Abb., 13 Tab., Taf. 1–17; Hannover.
- DOEBL, F. & SONNE, V. (1974): Mikrofauna und -flora des Unteren Meeressandes (Rupel). 1. Sandgrube am Steigerberg bei Wendelsheim (Mainzer Becken). b. Foraminiferen und Nannoplankton. — Mainzer geowiss. Mitt., 3: 13–67, 2 Tab., Taf. 1–10; Mainz.
- DROOGER, C. W. & KAASSCHIEETER, J. P. H. (1958): Foraminifera of the Orinoco-Trinidad-Paria Shelf. Reports of the Orinoco Shelf Expedition, Bd. 4. — Verh. Kon. Ned. Akad. Wet., AFD. Natuurk., ser. 1, 22: 1–108, 4 Abb., 41 Karten, Taf. 1–5; Amsterdam.
- EDER, M. (1954): Geologische und sedimentpetrographische Untersuchungen im niederbayerischen Tertiär Blatt Fürstzell/Osthälfte. — 55 Seiten, 11 Abb., 12 Fotos, 3 Tab., 1 geol. Karte; unveröff. Dipl.-Arb. Univ. München.
- EGGER, J. G. (1857): Die Foraminiferen der Miocän-Schichten bei Ortenburg in Nieder-Bayern. — N. Jb. Min. etc., Jg. 1857: 266–311, Taf. 5–15; Stuttgart.
- EGGER, J. G. (1858a): Die Ostrakoden der Miocän-Schichten bei Ortenburg in Nieder-Bayern. — N. Jb. Min. etc., Jg. 1858: 403–443, Taf. 14–19; Stuttgart.
- EGGER, J. G. (1858b): Der Jura-Kalk bei Ortenburg und seine Versteinerungen. — Jber. Naturhist. Ver. Passau, 1, 1857: 1–42, 1 Beil.; Passau.
- EGGER, J. G. (1860): Der Diatomeenmergel von Habühl bei Ortenburg. — Jber. Naturhist. Ver. Passau, 3, 1859: 216–234, Taf. 1; Passau.
- EGGER, J. G. (1893): Foraminiferen aus Meeresgrundproben, gelothet von 1874 bis 1876 von S. M. Sch. Gazelle. — Abh. k. bayer. Akad. Wiss., II. Cl., II. Abth., 18: 1–266, 1 Kartenskizze, Taf. 1–21; München.
- EGGER, J. G. (1895): Fossile Foraminiferen von Monte Bartolomeo am Gardasee. — Ber. Naturhist. Ver. Passau, 16, 1890 bis 1895: 1–49, Taf. 1–5; Passau.
- EGGER, J. G. (1899): Foraminiferen und Ostrakoden aus den Kreidemergeln der Ostbayerischen Alpen. — Abh. k. Akad. Wiss., II. Cl., I. Abth., 21: 1–230, 4 Tab., Taf. 1–27; München.
- EGGER, J. G. (1902): Der Bau der Orbitolinen und verwandter Formen. — Abh. k. bayer. Akad. Wiss., II. Cl., III. Abth., 21: 577–682, Taf. A–B; München.
- EGGER, J. G. (1907): Mikrofauna der Kreideschichten des westlichen bayerischen Waldes und des Gebietes um Regensburg. — Ber. Naturwiss. Ver. Passau, 20: 1–75, Taf. 1–10; Passau.
- EGGER, J. G. (1909a): Foraminiferen der Seewener Kreideschichten. — Sber. k. Akad. Wiss., Math.-phys. Kl., Abh., 11: 1–52, Taf. 1–6; München.
- EGGER, J. G. (1909b): Die Ostracoden der Binnenfauna der Fischschiefer von der Turga und dem Witim in Transbaikalien. — Recherches géologiques et minières le long du chemin de fer de Sibérie, 29: 69–82, Taf. 6; St. Petersburg.
- EGGER, J. G. (1910): Ostrakoden und Foraminiferen des Eybrunner Kreidemergels in der Umgebung von Regensburg. — Ber. Naturwiss. Ver. Regensburg, 12, 1907–1909: 1–48, Taf. 1–6; Regensburg.
- ELLIS, B. F. & MESSINA, A. R. (ab 1940): Catalogue of Foraminifera. — Amer. Mus. Nat. Hist.; New York.
- EMMRICH, A. (1851): Geognostische Beobachtungen aus den östlichen bairischen und den angränzenden österreichischen Alpen. — Jb. k. k. geol. R.-Anst., 2: 1–22, 4 Abb.; Wien.
- EMMRICH, A. (1861): Ein Beitrag zur Kenntniss der südbayerischen Molasse. — Sber. k. Akad. Wiss., 43: 13–22; München.
- FICHTEL, L. VON & MOLL, J. P. C. VON (1803): Testacea Microscopica aliaque minuta ex generibus *Argonauta* et *Nautilus*. — I–XII, 1–124, Taf. 1–24; Camesina, Wien.
- FRIESE, H. (1951): Zur Foraminiferen-Fauna der Meeresmolasse des unteren Inngebietes. — Abh. Geol. Dienstes, N. F., 227: 1–52, Taf. 1–14; Berlin.
- FUCHS, W. (1976): Gedanken zur Tektogenese der nördlichen Molasse zwischen Rhône und March. — Jb. Geol. B.-Anst., 119 (2): 207–249, 1 Tab., Beil. 12–14 (1 geol. Karte); Wien.
- GANSS, O. (1955): siehe GANSS, O. & SCHMIDT-THOMÉ, P. (1955)
- GANSS, O. (1956): Geologie des Blattes Bergen. Mit einem Beitrag von I. DE KLASZ (Helvetische Zone), K. GÖTZINGER (Bohrung Bergen 1) und F. VOGEL (Bodenkundlicher Beitrag). — Geol. Bav., 26: 1–164, 1 Karte und 1 Profiltafel 1:25000, 7 Abb., 5 Beil.; München.
- GANSS, O. (1977): Erläuterungen zum Blatt Nr. 8140 Prien a. Chiemsee und zum Blatt Nr. 8141 Traunstein. — 1–344, 58 Abb., 8 Tab., 4 Beil.; Bayer. Geol. Landesamt; München.

- GANSS, O. & SCHMIDT-THOMÉ, P. (1955): Die gefaltete Molasse am Alpenrand zwischen Bodensee und Salzach. — Z. dt. Geol. Ges., **105**, 1953: 402–495, 8 Abb., 1 Taf.; Hannover.
- GHEORGHIAN, M. (1971): Sur quelques affleurements de dépôts ottangiens de Roumanie et sur leur contenu microfaunique. — Mémoires, **14**: 103–123, 8 Abb., Taf. 1–7; Bukarest.
- GIANNINI, E. & TAVANI, G. (1960): Foraminiferi Miocenici e Pliocenici. — Pal. Ital., **55**: 25–90, Taf. 2–10; Pisa.
- GIANOTTI, A. (1953): Microfaune della serie tortoniana del Rio Mazzapiedi-Castellania (Tortona-Alessandria). — Mem. Riv. Ital. Pal. Strat., **6**: 167–308, 9 Abb., 6 Tab., Taf. 10–19; Mailand.
- GLAÇON, G. & MAGNE, J. (1953): *Sigmoilina colomi*, nouveau Foraminifère du Miocène algérien. — C. R. Somm. Seance Soc. Géol. France, 1953: 56–58, 1 Abb.; Paris.
- GRIMSDALE, T. F. & MORKHOVEN, F. P. C. M. VAN (1955): The Ratio between Pelagic and Benthic Foraminifera as a Means of estimating Depth of Deposition of Sedimentary Rocks. — Proc. 4th World Petr. Congr., Sect. I/D, **4**: 473–491, 10 Abb.; Rom.
- GROSSHEIDE, K. (1965): siehe GROSSHEIDE, K. & TRUNKÓ, L. (1965)
- GROSSHEIDE, K. & TRUNKÓ, L. (1965): Die Foraminiferen des Dobreges bei Bünde und von Astrup. — Beih. Geol. Jb., **60**: 1–213, 20 Abb., 19 Taf.; Hannover.
- GUMBEL, C. W. VON (1861): Geognostische Beschreibung des bayerischen Alpengebirges und seines Vorlandes. — I–XX, 1–950, 25 Abb., 42 Taf., 1 Beil., 5 geol. Karten; J. Perthes, Gotha.
- GUMBEL, C. W. VON (1875): Abriss der geognostischen Beschreibung der Tertiärschichten bei Miesbach und des Alpengebiets zwischen Tegernsee und Wendelstein. — 1–76, 2 Abb., 2 Beil.; F. Straub, München.
- GUMBEL, C. W. VON (1877): Die geognostische Durchforschung Bayerns. — 1–80; k. Akad. Wiss., München.
- GUMBEL, C. W. VON (1887): Die miocänen Ablagerungen im oberen Donaugebiet und die Stellung des Schliers von Ottang. — Sber. k. Akad. Wiss., math.-phys. Cl., **2**: 221–325, 7 Abb.; München.
- GUMBEL, C. W. VON (1894): Geologie von Bayern. 2. Band. Geologische Beschreibung von Bayern. — I–VII, 1–1184, Abb., 1 geol. Karte; Th. Fischer, Kassel.
- HAAS, J. (1981): Geologische Untersuchungen im ostniederbayerischen Tertiär: 1. Teil: Geologische Arbeiten in der Oberen Meeres-, Süßbrackwasser- und Oberen Süßwassermolasse (Blätter Birnbach 7544 und Triftern 7644); 2. Teil: Schrägschichtungsmessungen im Ortenburger Schotter (Blätter Aidenbach 7444, Ortenburg 7445 und Pleinting 7344). — 127 Seiten, 50 Abb., 2 geol. Karten 1:25 000; unveröff. Dipl.-Arb. Univ. München.
- HAGN, H. (1952): siehe HAGN, H. & HÖLZL, O. (1952)
- HAGN, H. (1953): Die Foraminiferen der Pinswanger Schichten (Unteres Obercampan). Ein Beitrag zur Mikropaläontologie der helvetischen Oberkreide Südbayerns. — Palaeontographica A, **104**: 1–119, 27 Abb., Taf. 1–8; Stuttgart.
- HAGN, H. (1955): Paläontologische Untersuchungen am Bohrgut der Bohrungen Ortenburg CF 1001, 1002 und 1003 in Niederbayern. — Z. dt. Geol. Ges., **105**, 1953: 324–359, 4 Abb., Taf. 10; Hannover.
- HAGN, H. (1956): Geologische und paläontologische Untersuchungen im Tertiär des Monte Brione und seiner Umgebung (Gardasee, Ober-Italien). — Palaeontographica A, **107**: 67–210, 8 Abb., Taf. 7–18; Stuttgart.
- HAGN, H. (1960a): Die stratigraphischen, paläogeographischen und tektonischen Beziehungen zwischen Molasse und Helvetikum im östlichen Oberbayern. — Geol. Bav., **44**: 1–208, 10 Abb., 1 Tab., Taf. 1–12; München.
- HAGN, H. (1960b): Die Gliederung der bayerischen Miozän-Molasse mit Hilfe von Kleinforaminiferen. — Mitt. Geol. Ges., **52**, 1959: 133–141; Wien.
- HAGN, H. (1961): Die Gliederung der Oberen Meeresmolasse nördlich vom Überlinger See (Bodensee) in mikropaläontologischer Sicht. — Jh. geol. Landesamt Baden-Württemberg, **5**: 293–321, Abb. 27–30, Tab. 19; Freiburg.
- HAGN, H. (1978): Die älteste Molasse im Chiemgau/östliches Oberbayern (Katzenloch-Schichten, Priabon). — Mitt. Bayer. Staatsslg. Paläont. hist. Geol., **18**: 167–235, 5 Abb., Taf. 13–16; München.
- HAGN, H. et al. (1981): Die Bayerischen Alpen und ihr Vorland in mikropaläontologischer Sicht. — Geol. Bav., **82**: 1–408, 70 Abb., 7 Tab., 13 Taf.; München.
- HAGN, H., BURGER-GALLOTH, I. & POLZ, W. (1982): Schwamm-Spiculae als Bestandteil agglutinierter Wohnröhren von Anneliden aus dem Ottang des Kaltenbach-Grabens NE Miesbach (Subalpine Molasse, Oberbayern). — Mitt. Bayer. Staatsslg. Paläont. hist. Geol., **22**: 47–61, 3 Abb., Taf. 3–4; München.
- HAGN, H. & HERM, D. (1983): Die Foraminiferen der Inoceramenmergel (Buntmergelserie, Ultrahelvetikum, Unter-Maastricht) des Moos-Grabens SE Siegsdorf (Oberbayern). — Zitteliana, **10**: 613–635, 2 Abb., Taf. 1–4; München.
- HAGN, H. & HÖLZL, O. (1952): Geologisch-paläontologische Untersuchungen in der subalpinen Molasse des östlichen Oberbayerns zwischen Prien und Sur mit Berücksichtigung des im Süden anschließenden Helvetikums. — Geol. Bav., **10**: 1–208, 7 Abb., Taf. 1–8; München.
- HANSEN, H. J. & LYKKE-ANDERSEN, A.-L. (1976): Wall Structure and Classification of Fossil and Recent Elphidiid and Nonionid Foraminifera. — Fossils and Strata, **10**: 1–37, 8 Abb., 1 Tab., Taf. 1–22; Oslo.
- HANSEN, H. J. & REISS, Z. (1972): Scanning Electron Mikroskopy of some Asterigerinid Foraminiferida. — J. Foram. Res., **2** (4): 191–199, Taf. 1–10; Washington D. C.
- HANSEN, H. J. & ROGL, F. (1980): What is *Nonion*? Problems involving Foraminiferal Genera described by MONTFORT, 1808 and the Type Species of FICHEL & MOLL, 1798. — J. Foram. Res., **10** (3): 173–179, Taf. 1–3; Washington D. C.
- HANTKEN, M. VON (1875): Die Fauna der Clavulina Szabói Schichten. I. Theil: Foraminiferen. — Mitt. Jb. k. ungar. geol. Anst., **4**: 1–94, 1 Tab., Taf. 1–16; Budapest.
- HAUSMANN, H. E. (1964): Foraminiferenfauna und Feinstratigraphie des mittelligozänen Septarientones im Raum zwischen Magdeburg und Dessau — 1. Teil: Die Foraminiferenfauna. — Hercynia, **1** (3/4): 314–419, 4 Abb., 1 Tab., Taf. 1–8; Leipzig.
- HAYNES, J. (1954): Taxonomic Problems of some British Palaeocene Buliminidae. — Contr. Cushman Found. Foram. Res., **5** (4): 185–191, 20 Abb.; Washington D. C.
- HAYNES, J. (1956): Certain smaller British Paleocene Foraminifera. — Contr. Cushman Found. Foram. Res., **7** (3): 79–101, 2 Abb., Taf. 16–18; Washington D. C.
- HEDBERG, H. D. (1937): Foraminifera of the Middle Tertiary Carapita Formation of Northeastern Venezuela. — J. Pal., **11** (8): 661–697, 1 Abb., 2 Tab., Taf. 90–92; Tulsa.
- HEERMANN, O. (1954): Erdölgeologische Grundlagen der Aufschlußarbeiten im ostbayerischen Molassebecken. — Bull. Ver. Schweiz. Petrol.-Geol. u. Ing., **21** (60): 5–22, 5 Abb.; Basel.
- HEERMANN, O. (1955): Bau und Erdölhoffigkeit des ostbayerischen Molassebeckens. — Erdöl und Kohle, **8**: 69–74, 3 Abb.; Hamburg.
- HILTERMANN, H. (1953): Joseph Georg Egger. Zu seinem 40. Todestag. — Geol. Bav., **17**: 252–257, 1 Porträt, 1 Handschriftprobe; München.
- HÖLZL, O. (1948): Molluskenfauna der subalpinen Molasse Oberbayerns. — N. Jb. Min. etc., Mh., Jg. 1945–1948: 385–400; Stuttgart.
- HÖLZL, O. (1953): Ein neues Profil durch das Unter- und Mittel-Miozän der oberbayerischen Molasse bei Peißenberg und deren Fauna. — Geol. Bav., **17**: 181–215, 1 Abb., Taf. 3; München.
- HÖLZL, O. (1958): Die Mollusken-Fauna des oberbayerischen Burdigals. — Geol. Bav., **38**: 1–348, 6 Abb., Taf. 1–22; München.
- HÖLZL, O. (1973): siehe ROGL, F., SCHULTZ, O. & HÖLZL, O. (1973)
- HOERNES, R. (1875): Die Fauna des Schliers von Ottang. — Jb. k. k. geol. R.-Anst., **25** (4): 333–400, 1 Tab., Taf. 10–15; Wien.
- HOFKER, J. (1951): The Foraminifera of the Siboga Expedition. Part III. — I–XII, 1–513, 348 Abb.; Brill, Leiden.
- HOFKER, J. (1956): Tertiary Foraminifera of Coastal Ecuador: Part II, Additional Notes on the Eocene Species. — J. Pal., **30** (4): 891–958, 101 Abb., 1 Tab.; Tulsa.

- HOFKER, J. (1970): Studies of Foraminifera. Part II. — Publ. Natuurh. Genootsch. Limburg, 20: 5–98, Abb. 16–26, Taf. 25–53; Maastricht.
- HOFKER, J. (1971): Studies of Foraminifera. Part III. Systematic Problems. — Publ. Natuurh. Genootsch. Limburg, 21: 1–202, Abb. 27–40; Taf. 55–109; Maastricht.
- HOFMANN, G. W. (1960): Geologisch-paläontologische Untersuchungen im Oligozän und Miozän des Prienprofils und angrenzender Gebiete (Subalpine Molasse). — 76 Seiten, 4 Abb., 4 Beil., 1 geol. Karte 1:25000; unveröff. Dipl.-Arb. Univ. München.
- HOFMANN, G. W. (1962): Der Muldenbau in der subalpinen Molasse des Prienprofils im östlichen Oberbayern. — Z. dt. Geol. Ges., 113, 1961: 557–570, 4 Abb.; Hannover.
- HOFMANN, G. W. (1967): Untersuchungen an der Gattung *Bolivina* (Foraminifera) im Oligozän und Miozän der ostbayerischen Molasse. — Geol. Bav., 57: 121–204, 20 Abb., 2 Tab., Taf. 1–5; München.
- HOFMANN, G. W. (1968): Evolutionary Trends in *Bolivina* D'ORBIGNY (Foram.) from the East-Bavarian Miocene (Germany). — Giorn. Geol., 35 (2), 1967: 263–270, 3 Abb.; Bologna.
- HOOYBERGHS, H. J. F. (1983): Contribution to the Study of Planktonic Foraminifera in the Belgian Tertiary. — Aardk. Mededel., 2: 1–131, 12 Tab., Taf. 1–23; Leuven.
- HOWE, H. V. & WALLACE, W. E. (1932): Foraminifera of the Jackson Eocene at Danville Landing on the Ouachita, Catahoula Parish, Louisiana. — Geol. Bull. Louisiana Dept. Conserv., 2: 1–118, 2 Abb., Taf. 1–15; New Orleans.
- INDANS, J. (1962): Foraminiferen-Faunen aus dem Miozän des Niederreheingebietes. — Fortschr. Geol. Rheinl. u. Westf., 6: 19–82, 2 Abb., 2 Tab., Taf. 1–12; Krefeld.
- IVA, M. (1971): Microfaune de la coupe type des Couches de Coruş. — Mémoires, 14: 53–69, 2 Abb., Taf. 1–5; Bukarest.
- IVA, M., GHEORGHIAN, M. & GHEORGHIAN, M. (1971): Foraminifères agglutinants des Couches de Hida (NW de la Transylvanie). — Mémoires, 14: 71–102, 1 Abb., Taf. 1–7; Bukarest.
- JENKINS, D. G. (1960): Planktonic Foraminifera from the Lake Entrance Oil Shaft, Victoria, Australia. — Micropaleontology, 6 (4): 345–371, 10 Abb., Taf. 1–5; New York.
- JENKINS, D. G. (1966): Planktonic Foraminifera from the Type Aquitanian-Burdigalian of France. — Contr. Cushman Found. Foramin. Res., 17 (1): 1–15, 1 Tab., Taf. 1–2; Washington.
- JENKINS, D. G. (1971): New Zealand Cenozoic Planktonic Foraminifera. — N. Z. Geol. Surv. Paleont. Bull., 42: 1–278, 2 Abb., 56 Tab., 32 Säulenprofile, Taf. 1–23; Wellington.
- JENKINS, D. G. & ORR, W. N. (1972): Planktonic Foraminiferal Biostratigraphy of the Eastern Equatorial Pacific — DSDP Leg 9. — Init. Rep. DSDP, 9: 1059–1193, 9 Abb., 2 Tab., Taf. 1–41; Washington D. C.
- JONES, T. R. & PARKER, W. K. (1860): On the Rhizopodal Fauna of the Mediterranean, compared with that of the Italian and some other Tertiary Deposits. — Quart. J. Geol. Soc. London, 16: 292–307, 1 Tab.; London.
- KAASSCHIETER, J. P. H. (1955): Smaller Foraminifera. — in: DROOGER, C. W., KAASSCHIETER, J. P. H. & KEY, A. J.: The Microfauna of the Aquitanian-Burdigalian of the Southwestern France. — Verh. Kon. Ned. Akad. Wet., AFD. Natuurk., ser. 1, 21 (2): 51–99, 1 Tab., Taf. 2–13; Amsterdam.
- KAASSCHIETER, J. P. H. (1961): Foraminifera of the Eocene of Belgium. — Verh. Kon. Belg. Inst. Natuurw., 147: 1–271, 16 Abb., 8 Tab., 20 Kartenskizzen, Taf. 1–16; Brüssel.
- KARRER, F. (1868): Die miocene Foraminiferen-Fauna von Kostež im Banat. — Sber. k. Akad. Wiss., I. Abth., 58: 1–73, Taf. 1–5; Wien.
- KENNETT, J. P. & SRINIVASAN, S. (1983): Neogene Planktonic Foraminifera. — V–XV, 1–265, 26 Abb., Taf. 1–61; Hutchinson Ross Publ. Co., Stroudsburg/Penn.
- KIESEL, Y. (1962): Die oligozänen Foraminiferen der Tiefbohrung Dobbartin (Mecklenburg). — Freib. Forsch.-H., C122: 1–123, 1 Abb., 3 Tab., Taf. 1–12; Berlin.
- KNIPSCHER, H. C. G. (1952): Die Gliederung der ungefalteten Molasse im östlichen Teil Bayerns auf Grund mikropaläontologischer Untersuchungen. — Geol. Bav., 14: 48–68, 4 Abb., Taf. 1; München.
- KNIPSCHER, H. C. G. & MARTIN, G. P. R. (1955): Eine neue Art der Gattung *Bolivina*, *Bolivina concinna* n. sp., aus dem Helvet der süddeutschen Molasse. — Geol. Jb., 70: 261–264, 1 Abb.; Hannover.
- KOCH, M. (1965): Geologische Untersuchungen auf den Blättern Rothalmünster 7645/7745, Griesbach im Rottal 7545, Würding 7646, Neuhaus am Inn 7546. — 108 Seiten, 19 Abb., 4 Beil., 4 geol. Karten 1:25000; unveröff. Dipl.-Arb. Univ. München.
- KORDIUK, B. (1938): Zur Entwicklung des subalpinen Molassetroges. — Abh. Preuß. Geol. L.-Anst., n. F., 187: 6–47, 14 Abb., 3 Taf.; Berlin.
- KRASHENINNIKOV, V. A. (1960): Elfididy Miotsenovykh otlozheniy Podolii. — Trudy Geol. Inst., 21: 1–136, 24 Abb., Taf. I–IX + 1–11; Moskau (russisch).
- KRAUS, E. (1916): Geologie des Gebietes zwischen Ortenburg und Vilshofen in Niederbayern an der Donau. — Geogn. Jh., 28, 1915: 91–168, 14 Abb., 1 geol. Karte 1:25000; München.
- KRAUS, E. (1938): Baugeschichte und Erdölfrage im Tertiär Niederbayerns. — Abh. Geol. L.-Unters. Bayer. Oberbergamt, 31/32: 1–70, 18 Abb., 7 Taf.; München.
- KRHOVSKY, J. (1983): Foraminiferida of the Eocene/Oligocene Boundary from the Pouzdřany Formation (the West Carpathians, Czechoslovakia). — Miscellaneous Micropal., 4: 71–98, 1 Abb., Taf. 1–10; Hodonin.
- KRISTOFFERSEN, F. N. (1973): Studies on some Elphidiidae (Foraminifera) from the Miocene of Denmark. — Yearbook Geol. Surv. Denmark, 1972: 25–36, 1 Abb., Taf. 1–4; Kopenhagen.
- KUMMERLE, E. (1963): Die Foraminiferenfauna des Kasseler Meeresandes (Oberoligozän) im Ahnertal bei Kassel. — Abh. hess. L.-Amt Bodenforsch., 45: 1–72, 1 Abb., 2 Tab., Taf. 1–11; Wiesbaden.
- KUPPER, I. & STEININGER, F. (1975): Faziesstratotypen der Puchkirchener Schichtengruppe. — in: BALDI, T. & SENES, J.: Chronostratigraphie und Neostatotypen, Bd. 5, OM Egerien: 205–229, Abb. 42–45; Slow. Akad. Wiss., Bratislava.
- LANGHE, H. (1983): Tertiär (Molasse). — in: GANSS, O.: Erläuterungen zur Geologischen Karte von Bayern 1:25000 Blatt Nr. 8040 Eggstätt: 16–39, Abb. 3–6, Tab. 1–3, Beil. 1; Bayer. Geol. Landesamt; München.
- LANGER, W. (1963): Einige wenig bekannte Foraminiferen aus dem mittleren und oberen Miozän des Nordsee-Beckens. — N. Jb. Geol. Pal., Abh., 117: 169–184, 5 Abb., 1 Tab., Taf. 14; Stuttgart.
- LANGER, W. (1969): Beitrag zur Kenntnis einiger Foraminiferen aus dem mittleren und oberen Miozän des Nordsee-Beckens. — N. Jb. Geol. Pal., Abh., 133 (1): 23–78, 12 Abb., 1 Tab., Taf. 1–4; Stuttgart.
- LARSEN, A. R. (1976): Studies of Recent *Amphistegina*, Taxonomy and some Ecological Aspects. — Israel J. Earth-Science, 25 (1): 1–26, 8 Abb., 5 Tab., Taf. 1–8; Jerusalem.
- LARSEN, A. R. (1978): Phylogenetic and Paleobiogeographical Trends in the Foraminiferal Genus *Amphistegina*. — Rev. Españ. Micropal., 10: 217–243, 4 Abb., Taf. 1–7; Madrid.
- LEMCKE, K. (1973): Zur nachpermischen Geschichte des nördlichen Alpenvorlandes. — Geol. Bav., 69: 5–48, 11 Abb., 2 Beil.; München.
- LEMCKE, K. (1975): Molasse und vortertiärer Untergrund im Westteil des süddeutschen Alpenvorlandes. — Jber. u. Mitt. oberh. geol. Ver., N. F., 57: 87–115, 25 Abb.; Stuttgart.
- LEMCKE, K. (1977): Erdölgeologisch wichtige Vorgänge in der Geschichte des süddeutschen Alpenvorlandes. — Erdöl-Erdgas-Zeitschr., 93: 50–56, 10 Abb.; Wien – Hamburg.
- LEMCKE, K. (1981): Das heutige geologische Bild des deutschen Alpenvorlandes nach drei Jahrzehnten Öl- und Gasexploration. — Ecl. Geol. Helv., 74 (1): 1–18, 12 Abb.; Basel.
- LEMCKE, K. (1984): Geologische Vorgänge in den Alpen ab Oberozoän im Spiegel vor allem der deutschen Molasse. — Geol. Rundsch., 73 (1): 371–397, 14 Abb.; Stuttgart.
- LIEBUS, A. (1903): Ergebnisse einer mikroskopischen Untersuchung der organischen Einschlüsse der oberbayerischen Molasse. — Jb.

- k. k. geol. R.-Anst., **52**, 1902: 71–104, 7 Abb., 2 Tab., Taf. 5; Wien.
- LINNAEUS, C. (1758): *Systema Naturae*. Bd. 1 (10. Ausgabe). – 1–824; L. Salvii, Holmiae.
- LOEBLICH, A. R. & TAPPAN, H. (1961): Suprageneric Classification of the Rhizopodea. – *J. Pal.*, **35** (2): 245–330; Tulsa.
- LOEBLICH, A. R. & TAPPAN, H. (1964a): Sarcodina chiefly "Thecamoebians" and Foraminiferida, Part C Protista 2. – in: MOORE, R. C. (Hrsg.): *Treatise on Invertebrate Paleontology*, 2 Bände: I–XXXI, C1–900, 653 Abb.; Lawrence/Kansas.
- LOEBLICH, A. R. & TAPPAN, H. (1964b): The Species and Stratigraphic Distribution of *Caucasina* and *Aeolomorphella*, new Genus (Foraminiferida). – *Tulane Stud. Geol.*, **2** (3): 69–88, 2 Abb., Taf. 1–2; New Orleans.
- LONGINELLI, A. (1956): Foraminiferi del Calabrian e Piacenziano di Rosignano marittimo e della Val di Cecina. – *Pal. Ital.*, **49**, 1954–1956: 99–214, Taf. 11–25; Pisa.
- ŁUCZKOWSKA, E. (1972): Miliolidae (Foraminiferida) from the Miocene of Poland. Part I. Revision of the Classification. – *Acta Pal. Pol.*, **17** (3): 341–377, 14 Abb., Taf. 12–13; Warszawa.
- ŁUCZKOWSKA, E. (1974): Miliolidae (Foraminiferida) from the Miocene of Poland. Part II. Biostratigraphy, Palaeoecology and Systematics. – *Acta Pal. Pol.*, **19** (1): 3–176, 53 Abb., 1 Tab., Taf. 1–27; Warszawa.
- MACFADYEN, W. A. (1930): Miocene Foraminifera from the Clysmyc Area of Egypt and Sinai. – 1–149, 2 Abb., 1 Tab., 1 Kartenskizze, 1 Beil., Taf. 1–4; Geol. Survey Egypt, Kairo.
- MAJZON, L. (1962): Hantken Miksa „Clavulina szabó rétegek faunája” című művének nevezéktani módosítása. – *Földt. Közl.*, **92** (3): 268–273, Taf. 29–44; Budapest.
- MAŁECKI, J. (1973): Bathysiphons from the Eocene of the Carpathian Flysch, Poland. – *Acta Pal. Pol.*, **18** (2): 163–172, 6 Abb., Taf. 1–2; Warszawa.
- MALZER, O. (1981): Geologische Charakteristik der wichtigsten Erdöl- und Erdgasträger der oberösterreichischen Molasse. Teil II: Die Konglomerate und Sandsteine des Oligozäns. – *Erdöl-Erdgas-Zeitschr.*, **97**: 20–28, 11 Abb.; Wien – Hamburg.
- MARKS, P. (1951): A Revision of the smaller Foraminifera from the Miocene of the Vienna Basin. – *Contr. Cush. Found. Foramin. Res.*, **2** (2): 33–73, Taf. 5–8; Washington D. C.
- MARTIN, G. P. R. (1958): Eine Foraminiferen-Fauna aus dem Helvétien des Jenseitigen südlich Bern (Kt. Bern). – *Ecl. Geol. Helv.*, **51** (2): 309–329, 22 Abb.; Bern.
- MARTINI, E. (1981): Nannoplankton in der Ober-Kreide, im Alttertiär und im tieferen Jungtertiär von Süddeutschland und dem angrenzenden Österreich. – *Geol. Bav.*, **82**: 345–356, 2 Abb., Taf. 1–2; München.
- MARTINOTTI, G. M. (1981): Biostratigraphy and Planktonic Foraminifera of the Late Eocene to ?Pleistocene Sequence in the Ashqelon 2 Well (Southern Coastal Plain, Israel). – *Riv. Españ. Micropal.*, **13** (3): 343–381, 5 Abb., 2 Tab., Taf. 1–7; Madrid.
- MATHES, H. W. (1939): Die Lagenen des deutschen Tertiärs. – *Palaeontographica A*, **90**: 49–108, 1 Abb., 1 Tab., Taf. 3–8; Stuttgart.
- MAYER-EYMAR, K. (1868): *Tableau synchronistique des terrains tertiaires supérieurs*. – 1 Tab.; Zürich.
- MAYR, M. (1957): Geologische Untersuchungen in der ungefalteten Molasse im Bereich des unteren Inn (Positionsblätter Simbach a. Inn 653 und Julbach 652 (Ostteil)). – *Beih. Geol. Jb.*, **26**: 309–370, 15 Abb., Taf. 11–13; Hannover.
- MEUTER, F. DE (1980): Benthonic Foraminifera from the Miocene of Belgium. – *Aardk. Mededel.*, **1**: 77–170, 2 Abb., 1 Tab., Taf. 1–8; Leuven.
- MOLINA, E. (1979): Oligoceno-Mioceno inferior por medio de Foraminíferos planctónicos en el Sector central de las Cordilleras Béticas. – 5–342, 40 Abb., Taf. 1–37; Universität Granada.
- MÜLLER, M. (1978a): Das tiefere Tertiär, Obereozän – Miozän. – in: UNGER, H. J.: *Erläuterungen zur Geologischen Karte von Bayern 1:50000 Blatt Nr. L7740 Mühldorf am Inn*: 45–73, Abb. 7–9, Tab. 5, Beil. 3–8; Bayer. Geol. Landesamt; München.
- MÜLLER, M. (1978b): Molassezone. – in: MÜLLER, M. & ZIEGLER, J. H.: *Erläuterungen zur Geologischen Karte von Bayern 1:25000 Blatt Nr. 8042 Waging a.* See: 11–37, Abb. 3, Tab. 1, Beil. 1–2; Bayer. Geol. Landesamt; München.
- MURRAY, J. W. (1973): Distribution and Ecology of Living Benthic Foraminiferids. – 1–274, 103 Abb., 25 Tab., 12 Taf.; Heinemann Educational Books.
- MURRAY, J. W. & WRIGHT, C. A. (1974): Palaeogene Foraminiferida and Palaeoecology, Hampshire and Paris Basins and the English Channel. – *Spec. Papers Pal.*, **14**: 1–129, 47 Abb., Taf. 1–20; London.
- NAPOLI ALLIATA, E. DI (1952): Nuove specie di foraminiferi nel Pliocene e nel Pleistocene della zona di Castell'Arquato (Piacenza). – *Riv. Ital. Pal. Strat.*, **58** (3): 95–110, Taf. 5; Mailand.
- NATHAN, H. (1949): Geologische Ergebnisse der Erdölbohrungen im Bayerischen Innviertel. – *Geol. Bav.*, **1**: 5–68, 5 Abb., 6 Tab., Taf. 1; München.
- NATLAND, M. L. (1933): The Temperature- and Depth-Distribution of some Recent and Fossil Foraminifera in the Southern California Region. – *Bull. Scripps Inst. Oceanogr. Univ. Calif., techn. Ser.*, **3** (10): 225–230, 1 Tab.; Berkeley/Cal.
- NEUGEBORN, J. L. (1850): Foraminiferen von Felsö Lapugy unweit Dobra im Carlsburger District ehemals Hunyader Comitatus. Zweiter Artikel. – *Verh. u. Mitt. siebenbürg. Ver. Naturw.*, **1**: 118–127, Taf. 3–4; Hermannstadt.
- NEUGEBORN, J. L. (1856): Die Foraminiferen aus der Ordnung der Stichostegier von Ober-Lapugy in Siebenbürgen. – *Denkschr. k. Akad. Wiss., math.-naturw. Cl.*, **12**: 1–44, Taf. 1–5; Wien.
- NEUMAIER, F. & WIESENER, H. (1939): Geologische und sediment-petrographische Untersuchungen im niederbayerischen Tertiär. – *Sber. Bayer. Akad. Wiss., math.-naturw. Abt.*, Jg. 1939: 177–252, 7 Abb., 2 Tab., 1 Profilafel, 1 geol. Karte; München.
- NEUMANN, K. (1983): Geologische Arbeiten im ostniederbayerischen Jungtertiär auf den Gradabteilungsblättern 7544 Birnbach und 7644 Triftern sowie gefügeanalytische Untersuchungen der Neuhofener Mergel (Obere Meeresmolasse) auf dem Gradabteilungsblatt 7545 Griesbach. – 177 Seiten, 33 Abb., 37 Fotos, 21 Gefügefotos, 1 geol. Karte 1:25000; unveröff. Dipl.-Arb. Univ. München.
- NORWANG, A. (1968): Interior Characters of *Bulimina* (Foraminifera). – *Proc. IPU, 23rd Internat. Geol. Congr.*: 415–422, 6 Abb., Taf. 1–3.
- NOMURA, R. (1983): Cassidulinidae (Foraminiferida) from the Uppermost Cenozoic of Japan (Part 1). – *Sci. Rep. Tohoku Univ.*, 2nd ser. (Geol.), **53** (1): 1–101, 60 Abb., 1 Tab., Taf. 1–25; Sendai.
- NUTTALL, W. L. F. (1932): Lower Oligocene Foraminifera from Mexico. – *J. Pal.*, **6** (1): 3–35, Taf. 1–9; Menasha/Wis.
- ODRZYWOLSKA-BIENKOWA, E., POŻARYSKA, K. & MARTINI, E. (1978): Middle Oligocene Microfossils from the Polish Lowlands: their Stratigraphical and Paleogeographical Significance. – *Acta Geol. Pol.*, **23** (3): 249–291, 3 Abb., Taf. 7–16; Warszawa.
- OLSZEWSKA, B. (1984): Benthonic Foraminifera of the Sub-Mencilite Globigerina Marls of Polish Outer Carpathians. – *Prace Inst. Geol.*, **110**: 5–37, 2 Abb., 2 Tab., Taf. 1–8; Warszawa.
- ORBIGNY, A. DE (1826): *Tableau méthodique de la Classe des Céphalopodes*. – *Ann. Sci. Nat.*, **7**: 96–132 + 245–314, Taf. 10–17; Paris.
- ORBIGNY, A. DE (1839): *Voyage dans l'Amérique Méridionale. 5^e partie: Foraminifères*. – 1–86, Taf. 1–9; P. Bertran, Paris/Straßburg.
- ORBIGNY, A. DE (1846): *Foraminifères fossiles du Bassin tertiaire de Vienne*. – I–XXXVII, 1–312, Taf. 1–21; Gide & Co., Paris.
- PAPP, A. (1953): Über die Entwicklung der Artengruppe der *Uvigerina bononiensis* FORNASINI im Jungtertiär. – *Kober-Festschr.*: 303–307, Taf. 1; Wien.
- PAPP, A. (1961): Die Fauna der Michelstettener Schichten in der Waschberg-Zone (Niederösterreich). – *Mitt. Geol. Ges.*, **53**, 1960: 209–248, 10 Abb., 2 Tab.; Wien.
- PAPP, A. (1963): Die biostratigraphische Gliederung des Neogens im Wiener Becken. – *Mitt. Geol. Ges.*, **56** (1): 225–317, 2 Tab., Taf. 1–14; Wien.

- PAPP, A. (1968): Zur Nomenklatur des Neogens in Österreich. — Verh. Geol. B.-Anst., Jg. 1968 (1–2): 9–18; 1 Tab.; Wien.
- PAPP, A. (1975): Die Entwicklung der Uvigerinen in der Puchkirchner Schichtengruppe. — in: BALDI, T. & SENES, J.: Chronostratigraphie und Neostatotypen, Bd. 5, OM Egerien: 279–287, Abb. 46–48, Taf. 1; Slow. Akad. Wiss., Bratislava.
- PAPP, A., KROLL, A. & FUCHS, R. (1978): Das Egerien in der Waschbergzone, Niederösterreich. — Verh. Geol. B.-Anst., Jg. 1978 (2): 63–71, 1 Abb., Taf. 1–2; Wien.
- PAPP, A. & SCHMID, M. E. (1985): Die fossilen Foraminiferen des tertiären Beckens von Wien. Revision der Monographie Alcide D'ORBIGNY (1846). — Abh. Geol. B.-Anst., 37: 1–311, 1 Tab., 16 Abb., 102 Taf.; Wien.
- PAPP, A. & STEININGER, F. (1973): Die Stellung des Ottnangien zum Typusprofil des Helvetien. — in: PAPP, A., ROGL, F. & SENES, J.: Chronostratigraphie und Neostatotypen, Bd. 3, M₂ Ottnangien: 29–31; Slow. Akad. Wiss., Bratislava.
- PAPP, A. & TURNOVSKY, K. (1953): Die Entwicklung der Uvigerinen im Vindobon (Helvet und Torton) des Wiener Beckens. — Jb. Geol. B.-Anst., 96: 117–142, 3 Tab., Taf. 5; Wien.
- PAPP, A. & TURNOVSKY, K. (1966): *Uvigerina* of the Vindobonien of the Vienna Basin. — Proc. 3rd Session Bern 1964: 78–83, Tab. 23–24, Taf. 22; Brill, Leiden.
- PAULUS, B. (1963): Zur Stratigraphie und Fazies der oligozänen und miozänen Molasse im südlichen Oberbayern. — Bull. Ver. Schweiz. Petrol.-Geol. u. -Ing., 30: 53–97, 12 Abb.; Basel.
- PETTERS, S. W. (1983): Gulf of Guinea Planktonic Foraminiferal Biochronology and Geological History of the South Atlantic. — J. Foramin. Res., 13 (1): 32–59, 6 Abb., Taf. 1–8; Washington D. C.
- PFLAUMANN, U. (1964): Geologisch-mikropaläontologische Untersuchungen in der Flysch-Oberkreide zwischen Wertach und Chiemsee in Bayern. — 1–180, I–XXII, 9 Abb., Taf. 1–14; Diss. Univ. München.
- PHILFGER, F. B. (1960): Ecology and Distribution of Recent Foraminifera. — V–VII, 1–297, 83 Abb., Taf. 1–11; J. Hopkins, Baltimore.
- POAG, C. W. (1966): Paynes Hammock (Lower Miocene ?) Foraminifera of Alabama and Mississippi. — Micropaleontology, 12 (4): 393–440, 12 Abb., Taf. 1–9; New York.
- POAG, C. W. (1981): Ecologic Atlas of Benthic Foraminifera of the Gulf of Mexico. — V–VIII, 1–175, 23 Abb., Taf. 1–64; Marine Science International, Woods Hole/Mass.
- POIGNANT, A. (1972): Microfaciès et microfaunes du Priabonien de l'Oligocène et du Miocène d'Aquitaine Méridionale. — Trav. Lab. Micropal., 1: 1–11, I–VII, 1 Kartenskizze, Taf. 1–32; Paris.
- POIGNANT, A. (1982a): Comparaisons entre les faunes de Foraminifères benthiques du Stampien du Sud du Bassin d'Aquitaine et celles du Lutétien et du Stampien du Bassin de Paris. — 107^e Congr. nat. Soc. Sav., Brest 1982, Sci., 3: 75–85, Taf. 1–3; Brest.
- POIGNANT, A. (1982b): A propos d'*Eponides toulmini* BROTZEN 1948 et de *Pulvinulina perlata* ANDREAE 1884. — Bull. Inf. Géol. Bass. Paris, 19 (2): 21–24, Taf. 1; Paris.
- POIGNANT, A. (1982c): Présence du genre *Escornebovina* dans le Stampien du Bassin de Paris. Les différentes espèces du genre *Escornebovina*. — Bull. Inf. Géol. Bass. Paris, 19 (4): 47–49, Taf. 1; Paris.
- POIGNANT, A. (1983): Les genres peu fréquents de Foraminifères: exemple pris dans les „Faluns Bleus“ oligocènes du Sud-Ouest de l'Aquitaine. — C. R. 108^e Congr. nat. Soc. Sav., Grenoble 1983, Sci., 2 (1): 19–31, Taf. 1–3; Paris.
- POIGNANT, A. & BIZOLZI, M. (1981): Benthonic Foraminifera. — in: CATI, F. (Hrsg.): In Search of the Palaeogene/Neogene Boundary Stratotype. Part 1: Potential Boundary Stratotype Sections in Italy and Greece and a Comparison with Results from the Deep-Sea. — Giorn. Geol., 44 (1–2): 104–105, Tab. 8, Taf. 4–6; Bologna.
- POIGNANT, A. & PUJOL, C. (1976): Nouvelles données micropaléontologiques (Foraminifères planctoniques et petits Foraminifères benthiques) sur le stratotype de l'Aquitainien. — Géobios, 9 (5): 607–663, 5 Abb., 3 Tab., Taf. 1–16; Lyon.
- POIGNANT, A. & PUJOL, C. (1978): Nouvelles données micropaléontologiques (Foraminifères planctoniques et petits Foraminifères benthiques) sur le stratotype Bordelais du Burdigalien. — Géobios, 11 (5): 655–712, 10 Abb., 3 Tab., Taf. 1–14; Lyon.
- POKORNY, V. (1955): *Cassigerinella boudecensis* n. gen., n. sp. (Foraminifera, Protozoa) z oligocénu žďánického flyše. — Věstník ÚÚG, 30(3): 136–140, Abb. 1–3; Prag.
- POKORNY, V. (1956): New Discorbidae (Foraminifera) from the Upper Eocene brown Pouzdrany Marl, Czechoslovakia. — Univ. Carolina, Geol., 2 (3): 257–278, Abb. 1–15; Prag.
- POPESCU, G. (1975): Études des Foraminifères du Miocène Inférieur et Moyen du Nord-Ouest de la Transylvanie. — Mémoires, 23: 1–121, 34 Abb., 1 Tab., 2 Beil., Taf. 1–107; Bukarest.
- POPESCU, G. & IVA, M. (1971): Contribution à la connaissance de la Microfaune Oligocène des Couches de Valea Lăpuşului. — Mémoires, 14: 35–51, 2 Abb., Taf. 1–12; Bukarest.
- PRELL-MUSSIG, R. (1965): Das jüngere Tertiär (Oberes Rupel bis Aquitan) bei Bruchsal (Foraminiferen, Fazies, Stratigraphie). — Jh. geol. L.-Amt Baden-Württemberg, 7: 229–301, Abb. 22–25, Tab. 6–11, Taf. 19–20; Freiburg.
- PREMOLI SILVA, I. (1960): Le Buliminidae del Langhiano delle Langhe (I). — Riv. Ital. Pal. Strat., 66 (4): 551–588, 3 Abb., Taf. 53–56; Mailand.
- REISER, H. (1987): Die Foraminiferen der bayerischen Oligozän-Molasse — Systematik, Stratigraphie, Paläobathymetrie. — Zitteliana, 16: 3–131, 27 Abb., Taf. 1–19; München.
- REUSS, A. E. VON (1845): Die Versteinerungen der Böhmisches Kreideformation. — 1–58, Taf. 1–13; E. Schweizerbart, Stuttgart.
- REUSS, A. E. VON (1850): Neue Foraminiferen aus den Schichten des österreichischen Tertiärbeckens. — Denkschr. k. Akad. Wiss., math.-naturw. Cl., 1: 365–390, Taf. 46–51; Wien.
- REUSS, A. E. VON (1851a): Die Foraminiferen und Entomostraceen des Kreidemergels von Lemberg. — Haid. Naturw. Abh., 4, 1850: 17–52, Taf. 2–6; Wien.
- REUSS, A. E. VON (1851b): Ueber die fossilen Foraminiferen und Entomostraceen der Septarienthonen der Umgegend von Berlin. — Z. dt. Geol. Ges., 3: 49–92, Taf. 3–7; Berlin.
- REUSS, A. E. VON (1856): Beiträge zur Charakteristik der Tertiärschichten des nördlichen und mittleren Deutschlands. — Sber. k. Akad. Wiss., math.-naturw. Cl., 18 (2), 1855: 197–273, Taf. 1–12; Wien.
- REUSS, A. E. VON (1861a): Beiträge zur Kenntniss der tertiären Foraminiferen-Fauna. — Sber. k. Akad. Wiss., math.-naturw. Cl., 42, 1860: 355–370, Taf. 1–2; Wien.
- REUSS, A. E. VON (1861b): Paläontologische Beiträge. — Sber. k. Akad. Wiss., math.-naturw. Cl., 44: 301–342, Taf. 1–8; Wien.
- REUSS, A. E. VON (1862): Die Foraminiferen-Familie der Lagenideen. — Sber. k. Akad. Wiss., math.-naturw. Cl., Abt. I, 46: 308–342, Taf. 1–7; Wien.
- REUSS, A. E. VON (1863a): Beiträge zur Kenntniss der tertiären Foraminiferen-Fauna (zweite Folge). — Sber. k. Akad. Wiss., math.-naturw. Cl., 48: 36–71, Taf. 1–8; Wien.
- REUSS, A. E. VON (1863b): Les Foraminifères du Crag d'Anvers. — Bull. Acad. roy. Belg., 2^{me} ser., 15 (1): 1–28, Taf. 1–3; Brüssel (Sonderabdruck).
- REUSS, A. E. VON (1865): Zur Fauna des deutschen Oberoligocäns. Erste Abtheilung. — Sber. k. Akad. Wiss., math.-naturw. Cl., 50, 1864: 1–48, Taf. 1–5; Wien (Sonderabdruck).
- REUSS, A. E. VON (1866): Die Foraminiferen, Anthozoen und Bryozoen des deutschen Septarienthones. — Denkschr. k. Akad. Wiss., math.-naturw. Cl., 25: 1–98, Taf. 1–11; Wien. (Sonderabdruck)
- REUSS, A. E. VON (1867): Die fossile Fauna der Steinsalzablagerung von Wieliczka in Galizien. — Sber. k. Akad. Wiss., math.-naturw. Cl., I. Abth., 55: 1–166, Taf. 1–8; Wien. (Sonderabdruck)
- REUSS, A. E. VON (1869): Zur fossilen Fauna der Oligocänschichten von Gaas. — Sber. k. Akad. Wiss., math.-naturw. Cl., I. Abth., 59: 1–43, Taf. 1–6; Wien. (Sonderabdruck)

- REUSS, A. E. VON (1870): Die Foraminiferen des Septarienthones von Pietzpuhl. — Sber. k. Akad. Wiss., math.-naturw. Cl., **62**: 1–39; Wien. (Sonderabdruck)
- RICHTER, M. (1940): Die Gliederung der subalpinen Molasse. — N. Jb. Min. etc., Beil.-Bd., **83**: 1–45, 9 Abb., 2 Beil.; Stuttgart.
- RITTER, L. (1953): Sedimentpetrographische Untersuchungen an Molassegesteinen von Niederbayern und Oberösterreich. — 77 Seiten, 35 Abb.; unveröff. Diss. Univ. München.
- RÖGL, F. (1969a): Die miozäne Foraminiferenfauna von Laa an der Thaya in der Molassezone von Niederösterreich. — Mitt. Geol. Ges., **61**: 63–123, 1 Abb., Taf. 1–9; Wien.
- RÖGL, F. (1969b): Die Foraminiferenfauna aus den Phosphoritsanden von Plesching bei Linz (Oberösterreich) — Ottngangien (Untermiozän). — Naturk. Jb. Linz 1969: 213–234, 1 Tab., Taf. 1–4; Linz.
- RÖGL, F. (1975): Die planktonischen Foraminiferen der zentralen Paratethys. — Vth Congr. Reg. Comm. Med. Neog. Strat. Bratislava 1975: 113–120, Tab. 16; Bratislava.
- RÖGL, F. (1981): Planktonic Foraminifera. — in: CATI, F. (Hrsg.): In Search of the Palaeogene/Neogene Boundary Stratotype. Part 1: Potential Boundary Stratotype Sections in Italy and Greece and a Comparison with Results from the Deep-Sea. — Giorn. Geol., **44** (1–2): 43–45; Bologna.
- RÖGL, F. & ČIČHA, I. (1973): Die Foraminiferen des Ottngangien. — in: PAPP, A., RÖGL, F. & SENES, J.: Chronostratigraphie und Neostatotypen, Bd. 3, M₂ Ottngangien: 297–325 + 332–353, Taf. 1–11; Slow. Akad. Wiss., Bratislava.
- RÖGL, F. & HANSEN, H. J. (1984): Foraminifera described by FICHTEL & MOLL in 1798. A Revision of Testacea Microscopica. — N. Denkschr. Naturh. Mus. Wien, **3**: 7–143, 33 Abb., Taf. 1–30 + Nachdrucke der Originaltafeln; Wien.
- RÖGL, F., SCHULTZ, O. & HÖLZL, O. (1973): Holostratotypus und Faziesstratotypen der Innviertler Schichtengruppe. — in: PAPP, A., RÖGL, F. & SENES, J.: Chronostratigraphie und Neostatotypen, Bd. 3, M₂ Ottngangien: 140–196, Abb. 19–23, Tab. 4; Slow. Akad. Wiss., Bratislava.
- RÖGL, F. & STEININGER, F. F. (1983): Vom Zerfall der Tethys zu Mediterran und Paratethys. Die neogene Paläogeographie und Palinspastik des zirkum-mediterranen Raumes. — Ann. Naturhist. Mus., **85A**: 135–163, 2 Abb., 14 Taf.; Wien.
- RÖGL, F., STEININGER, F. F. & MÜLLER, C. (1978): Middle Miocene Salinity Crisis and Paleogeography of the Paratethys (Middle and Eastern Europe). — Init. Rep. DSDP, **42** (1): 985–990, 7 Abb.; Washington D. C.
- ROEMER, F. A. (1838): Die Cephalopoden des Nord-Deutschen tertiären Meersandes. — N. Jb. Min. etc., Jg. 1838: 381–394, Taf. 3; Stuttgart.
- ROLLE, F. (1859): Über die geologische Stellung der Horner Schichten in Nieder-Österreich. — Sber. k. Akad. Wiss., math.-naturw. Cl., **36**: 1–50, Taf. 1–3; Wien. (Sonderabdruck)
- ROOIJEN, P. VAN, KLOSTERMANN, J., DOPPERT, J. W. C., RESCHER, C. K., VERBEEK, J. W., SLIGGERS, B. C. & GLASBERGEN, P. (1984): Stratigraphy and Tectonics in the Peel-Venlo Area as indicated by Tertiary Sediments in the Broekhuizenenvorst and Geldern T1 Boreholes. — Mededel. Rijks Geol. Dienst, **38** (1): 1–27, 10 Abb., 4 Beil., Taf. 1–4; Haarlem/Heerlen.
- ROUVILLOIS, A. (1974): Sur quelques espèces rares de Foraminifères dans l'estuaire de la Rance. — Cahiers de Micropal., 1974/3: 11–19, Taf. 1–4; Paris.
- RUSCELLI, M. A. (1952): I foraminiferi del deposito tortoniano di Marentino (Torino). — Riv. Ital. Pal. Strat., **58** (2): 39–58, Taf. 2; Mailand.
- SACAL, V. & DEBOURLE, A. (1957): Foraminifères d'Aquitaine, 2^e partie Peneroplidae a Victoriellidae. — Mém. Soc. Géol. France, N. S., **78**: 1–88, Taf. 1–35; Paris.
- SACCO, M. F. (1893): Le genre *Bathysiphon* a l'état fossile. — Bull. Soc. Géol. France, 3^e ser., **21**: 165–169, 2 Abb.; Paris.
- SAITO, T., HILLMAN, N. S. & JANAL, M. J. (1976): Catalogue of Planktonic Foraminifera. Neogene. — Spec. Publ. Am. Mus. Nat. Hist., New York.
- SAMUEL, O. (1977): Agglutinated Foraminifers from Paleogene Flysch Formations in West Carpathians of Slovakia. — Záp. Karp., ser. pal., **2–3**: 7–70, 3 Abb., Taf. 1–32; Bratislava.
- SANDBERGER, F. & GUMBEL, C. W. VON (1858): Das Alter der Tertiärgelände in der obren Donau-Hochebene am Nordrande der Ostalpen. — Sber. k. Akad. Wiss., math.-naturw. Cl., **30** (15): 212–225, 1 Tab.; Wien.
- SCHELLWIEN, E. (1898): Die Fauna des karnischen Fusulinenkalks. Theil II: Foraminifera. — Palaeontographica, **44** (5–6): 237–282, 7 Abb., Taf. 17–24; Stuttgart.
- SCHLICHT, E. VON (1870): Die Foraminiferen des Septarienthones von Pietzpuhl. — V–XIV, 1–98, Taf. 1–38; Wiegandt & Hempel, Berlin.
- SCHLICKUM, W. R. (1964): Die Molluskenfauna der Süßbrackwassermolasse Niederbayerns. — Arch. Moll., **93** (1/2): 1–70, Taf. 1–5; Frankfurt a. M.
- SCHLOSSER, M. (1893): Geologische Notizen aus dem bayrischen Alpenvorlande und dem Innthale. — Verh. k. k. geol. R.-Anst., **8**: 188–198; Wien.
- SCHREYER, W. (1955): Erläuterungen zur Geologischen Karte von Vilshofen/Ndb. mit besonderer Berücksichtigung der jüngeren Granite einschließlich des Neustifter Granitmassivs. — 93 Seiten, 56 Abb., 2 Beil.; unveröff. Dipl.-Arb. Univ. München.
- SCHUBERT, R. J. (1904): Die Ergebnisse der mikroskopischen Untersuchung der bei der ärarischen Tiefbohrung zu Wels durchteuften Schichten. — Jb. k. k. geol. R.-Anst., **53**, 1903: 385–422, Taf. 19; Wien.
- SCHWAGER, C. (1866): Fossile Foraminiferen von Kar Nikobar. — Novara-Exped. 1857–1859, Abt. 2, Geol. Teil, **2**: 187–268, Taf. 4–7; Wien.
- SCHWERT, K. & UNGER, H. (1981): Molassebecken. — Erl. Geol. Kt. Bayern 1:500000: 88–95, Abb. 22–24, Tab. 9; München.
- SEGWICK, A. & MURCHISON, R. I. (1832): A Sketch of the Structure of the Eastern Alps; with Sections through the Newer Formations of the Northern Flanks of the Chain, and through the Tertiary Deposits of Styria, &c., &c. — Transact. Geol. Soc., Sec. Ser., **3**: 301–420, 2 Tab., Taf. 35–40; London.
- SEITNER, L. (1977): Geologische und sedimentpetrographische Untersuchungen der ostniederbayrischen Molasse im Gebiet zwischen Fürstentzell, Neukirchen am Inn und Rittsteig bei Passau. — 136 Seiten, 50 Abb.
Teil II: Sedimentpetrographische Untersuchungen der Oberen Meeresmolasse im Aufschluß Höch bei Fürstentzell. — 81 Seiten, 50 Abb., 5 Beil., 1 geol. Karte 1:25000; unveröff. Dipl.-Arb. Univ. München.
- SIGAL, J. (1950): Les genres *Queraltina* et *Almaena* (Foraminifères). — Bull. Soc. Géol. France, 5^e ser., **20**: 63–71, 1 Taf.; Paris.
- SONNE, V. (1980): *Escornebovina doebli* n. sp., eine neue Foraminifere aus dem Unteren Meeressand (Rupel) des Mainzer Beckens. — Mainzer geowiss. Mitt., **8**: 201–208, 8 Abb., 1 Tab.; Mainz.
- SPIEGLER, D. (1974): Biostratigraphie des Tertiärs zwischen Elbe und Weser/Aller (Benthische Foraminiferen, Oligo-Miozän). — Geol. Jb., **A16**: 27–69, 2 Abb., 4 Tab., Taf. 1–2; Hannover.
- STADLER, J. (1926): Geologie der Umgebung von Passau. — Geogn. Jh., **38**, 1925: 39–118, 28 Abb., 1 geol. Karte 1:25000; München.
- STAINFORTH, R. M. & LAMB, J. L. (1981): An Evaluation of Planktonic Foraminiferal Zonation of the Oligocene. — Paleont. Contr., **104**: 1–34, 7 Abb., Taf. 1–8; Lawrence/Kansas.
- STAINFORTH, R. M., LAMB, J. L., LUTERBACHER, H., BEARD, J. H. & JEFFORDS, R. M. (1975): Cenozoic Planktonic Foraminiferal Zonation and Characteristics of Index Forms. — Paleont. Contr., **62**: 1–425, 213 Abb., 8 Tab.; Lawrence/Kansas.
- STEININGER, F. (1969): Das Tertiär des Linzer Raumes. — in: STEININGER, F. & PODZEIT, W.: Geologie und Paläontologie des Linzer Raumes: 35–53, 1 Tab., Taf. 1–14; Linz.
- STEININGER, F., SENES, J., ČTYROKÝ, P., ONDREJČÍKOVÁ, A. & BALDI, T. (1971): Holostratotypus und Faziesstratotypen des M₁ Eggenburgien. — in: STEININGER, F. & SENES, J.: Chronostratigraphie und Neostatotypen, Bd. 2, M₁ Eggenburgien: 95–229, Abb. 10–34, 1 Beil.; Slow. Akad. Wiss., Bratislava.

- SUËSS, E. (1866): Untersuchungen über den Charakter der österreichischen Tertiärablagerungen. I. Über die Gliederung der tertiären Bildungen zwischen dem Mannhart, der Donau und dem äusseren Saume des Hochgebirges. — Sber. k. Akad. Wiss., math.-naturw. Cl., I. Abth., **54**: 1–66, 2 Taf.; Wien. (Sonderabdruck)
- SUËSS, F. E. (1891): Beobachtungen über den Schlier in Oberösterreich und Bayern. — Ann. naturh. Mus. Wien, **6**: 407–429, 3 Abb., 1 Tab.; Wien.
- SZTRÁKOS, K. (1979): La stratigraphie, paléocologie, paléogéographie et les Foraminifères de l'Oligocène du Nord-Est de la Hongrie. — Cahiers de Micropal., 1979/3: 1–95, 12 Abb., 7 Tab., Taf. 1–35; Paris.
- SZTRÁKOS, K. (1982): Les Foraminifères de la Marne de Buda et la limite Éocène-Oligocène en Hongrie. — Cahiers de Micropal., 1982/4: 1–48, 3 Abb., 5 Tab., Taf. 1–39; Paris.
- TERQUEM, M. (1882): Les Foraminifères de l'Éocène des environs de Paris. — Mém. Soc. Géol. France, 3^e ser., **2**: 1–193, Taf. 9–28; Paris.
- THALMANN, H. E. (1946): Mitteilungen über Foraminiferen V. — Ecl. Geol. Helv., **39**: 309–314; Basel.
- TOLLMANN, A. (1957): Die Mikrofauna des Burdigal von Eggenburg (Niederösterreich). — Sber. österr. Akad. Wiss., math.-naturw. Kl., Abt. I, **166** (3–4): 165–213, 2 Abb., 2 Tab., Taf. 1–7; Wien.
- TOULA, F. (1914): Über eine kleine Mikrofauna der Ottmanger-(Schlier-)Schichten. — Verh. k. k. geol. R.-Anst., Jg. 1914 (7–8): 203–217, 7 Abb.; Wien.
- TRUNKÓ, L. (1965): siehe GROSSHEIDE, K. & TRUNKÓ, L. (1965)
- UNGER, H. J. (1982): Die Forschungsbohrungen Osterhofen GLA 1–5, die Stratigraphie des tieferen Untergrundes und die Lagerung des Ortenburger Schotter. — Verh. Geol. B.-Anst., Jg. 1982 (3): 285–311, 11 Abb., 2 Tab.; Wien.
- UNGER, H. J. (1984a): Schichtenfolge (Stratigraphie) Deckgebirge. — in: BAUBERGER, W. & UNGER, H. J.: Erläuterungen zur Geologischen Karte von Bayern 1:25000 Blatt Nr. 7446 Passau: 85–133, Abb. 14–24, Tab. 7–12; Bayer. Geol. Landesamt; München.
- UNGER, H. J. (1984b): Erläuterungen zur Geologischen Karte von Bayern 1:50000 Blatt Nr. L7544 Griesbach im Rottal. — 245 Seiten, 53 Abb., 19 Tab., 6 Beil., 1 Geol. Kt. 1:50000; Bayer. Geol. Landesamt; München.
- UNGER, H. J. & BAUBERGER, W. (1985): Erläuterungen zur Geologischen Karte von Bayern 1:25000 Blatt Nr. 7546 Neuhaus a. Inn. — 103 Seiten, 15 Abb., 7 Tab., 1 Beil., 1 Geol. Kt. 1:25000; Bayer. Geol. Landesamt; München.
- UNGER, H. J. & SCHWARZMEIER, J. (1982): Die Tektonik im tieferen Untergrund Ostniederbayerns. — Jb. Oö. Mus.-Ver., **127** (1): 197–220, 10 Abb.; Linz.
- VÉNEC-PEYRÉ, M.-T. (1981): A propos de quelques espèces de foraminifères: *Cymbaloporetta milletti* (H. A. & E.), *Tretomphalus bulloides* (d'O.) et *Rosalina globularis* d'O. — Cahiers de Micropal., 1981/4: 121–130, Taf. 1–4; Paris.
- VERDENIUS, J. G. & HINTE, J. VAN (1983): Central Norwegian-Greenland Sea: Tertiary Arenaceous Foraminifera, Biostratigraphy and Environment. — Proc. 1st Workshop on Arenaceous Foraminifera 7–9. September 1981, Publ., **108**: 173–209, 16 Abb., Taf. 1–7; Trondheim.
- VISMARA SCHILLING, A. (1981): Biostratigraphic Investigations on the Casa di Tosi Section (Marche Region, Italy) with special Reference to the Oligocene/Miocene Boundary. — Riv. Ital. Pal. Strat., **87** (2): 227–244, 4 Abb., Taf. 20–22; Mailand.
- VOLOSHINOVA, N. A. (1939): O foraminiferakh iz tretichnykh otlozhenij Sakhalina i Kamchatki. — Trudy VNIGRI, Ser. A, **116**: 70–89, 2 Tab., Taf. 1–3; Moskau.
- VOLOSHINOVA, N. A. (1958): O novoy sistematike Nonionid. — Mikrofauna CCCP, **9**, Trudy VNIGRI, **115**: 117–191, 3 Abb., Taf. 1–16; Leningrad.
- VOLOSHINOVA, N. A. & DAIN, L. G. (1952): Nonionidy, Kassiduliny i Khilostomellidy. Iskopaemye foraminifery CCCP. — Trudy VNIGRI, N. S., **63**: 1–151, 6 Abb., Taf. 1–9 + 1–4 + 1–4; Moskau.
- VOLZ, E. (1953): Geologische Untersuchungen in der tertiären Molasse des Saalgauer Gebiets. — N. Jb. Geol. u. Pal., Abh., **97**: 189–219, 9 Abb.; Stuttgart.
- VOORTHUYSEN, J. H. VAN (1950): The Quantitative Distribution of the Pleistocene, Pliocene and Miocene Foraminifera of Boring Zaandam (Netherlands). — Mededel. Geol. Sticht., N. S., **4**: 51–72, 6 Abb., 3 Beil., Taf. 1–4; Haarlem/Heerlen.
- VOORTHUYSEN, J. H. VAN & TOERING, K. (1969): Distribution quantitative des foraminifères néogènes et quaternaires aux environs d'Anvers. — Mededel. Rijks Geol. Dienst, N. S., **20**: 93–108, 3 Abb., 1 Tab., Taf. 1–8; Maastricht.
- WALTON, W. R. (1955): Ecology of living Benthonic Foraminifera, Todos Santos Bay, Baja California. — J. Pal., **29** (6): 952–1018, 24 Abb., 7 Tab., Taf. 99–104; Tulsa.
- WALTON, W. R. (1964): Recent Foraminiferal Ecology and Paleoecology. — in: IMBRIE, J. & NEWELL, N. (Hrsg.): Approaches to Paleoecology: 151–237, 31 Abb.; J. Wiley & Sons, New York, London, Sidney.
- WEITHOFER, K. A. (1918): Die Oligozänablagerungen Oberbayerns. — Mitt. Geol. Ges., **10** (1–2), 1917: 1–125, 1 Abb., 2 Taf.; Wien. (Sonderabdruck)
- WENGER, W. (1983): Die Foraminiferenfauna des Mittelottnang von Dattenhausen. — Documenta Naturae, **12**: 22–30, 1 Taf.; München.
- WEZEL, F. C. (1966): „Globorotalia“ acrostoma, nuova specie dell'Oligomiocene italiano. — Riv. Ital. Pal. Strat., **72** (4): 1297–1312, 4 Abb., 1 Tab., Taf. 101; Mailand.
- WITT, W. (1967): Ostracoden der bayerischen Molasse (unter besonderer Berücksichtigung der Cytherinae, Leptocytherinae, Trachyleberidinae, Hemicytherinae und Cytherettinae). — Geol. Bav., **57**: 3–120, 16 Abb., 3 Tab., Taf. 1–7; München.
- WOLF, W. (1954): Erläuterungen zur Geologischen Karte von Blatt Fürstzell (Westhälfte). — 40 Seiten, 14 Abb., 1 Tab., 1 Profiltafel, 1 geol. Karte 1:25000; unveröff. Dipl.-Arb. Univ. München.
- WOLF, W. (1956): Geologische und sedimentpetrographische Untersuchungen im niederbayerischen Tertiär (Blatt Aidenbach, Blatt Ortenburg, Blatt Fürstzell/Westhälfte). — 83 Seiten, 32 Abb., 1 geol. Karte; Diss. Univ. München.
- WURM, A. (1937): Beiträge zur Kenntnis der nordalpinen Saumtiefe zwischen unterem Inn und unterer Isar. — N. Jb. Min. etc., Beil.-Bd., **78**: 285–326, 3 Textbeil.; Stuttgart.
- ZÖBELEIN, H. K. (1940): Geologische und sedimentpetrographische Untersuchungen im niederbayerischen Tertiär (Blatt Pfarrkirchen). — N. Jb. Min. etc., Beil.-Bd., **84**: 233–302, 6 Abb., 3 Tab., Taf. 15–18 (darunter 1 geol. Karte); Stuttgart.

TAFELN 1-22

Tafel 1

- Fig. 1–2: *Bathysiphon filiformis* Sars
1: Seitenansicht, 40×; 2: Aufsicht, 55×
Bohrung Ampfing 1 (Slg. Prot. 5644); Oberes Eger
- Fig. 3: *Ammodiscus cretaceus* (Reuss)
Spiralansicht, 90×
Bohrung Ampfing 1 (Slg. Prot. 5638); Oberes Eger
- Fig. 4–5: *Glomospira charoides* (Jones & Parker)
4: Spiralansicht; 5: Seitenansicht; 230×
Röthelbach (Slg. Prot. 5552); Eggenburg
- Fig. 6: *Reophax excentricus* Cushman
Seitenansicht, 50×
Bohrung Ampfing 1 (Slg. Prot. 5643); Oberes Eger
- Fig. 7–8: *Haplophragmoides canariensisformis* Sztrákos
7: Seitenansicht; 8: Peripherie; 190×
Lußgraben (Slg. Prot. 5571); Unteres Ottnang
- Fig. 9–10: *Cyclammina acutidorsata* (Hantken)
9: Seitenansicht, 50×; 10: Peripherie, 65×
Bohrung Ampfing 1 (Slg. Prot. 5639); Oberes Eger
- Fig. 11, 16: *Cyclammina rotundidorsata* (Hantken)
11: Seitenansicht; 16: Peripherie; 50×
Lußgraben (Slg. Prot. 5567); Eggenburg
- Fig. 12–13: *Cyclammina praecancellata* Voloshinova
12: Seitenansicht; 13: Peripherie; 33×
Bohrung Ampfing 1 (Slg. Prot. 5643); Oberes Eger
- Fig. 14–15: *Reticulophragmium karpaticum* Cicha & Zapletalova
14: Seitenansicht; 15: Peripherie; 60×
Kaltenbachgraben (Slg. Prot. 5620); Unteres Ottnang
- Fig. 17–18: *Textularia gramen* D'Orb
17: Aufsicht; 18: Seitenansicht; 75×
Engertsham (Slg. Prot. 5409); Unteres Ottnang
- Fig. 19–20: *Textularia pala* Czjzek
19: Seitenansicht; 20: Aufsicht; 70×
Kaltenbachgraben (Slg. Prot. 5616); Unteres Ottnang
- Fig. 21: *Textularia agglutinans* D'Orb
Seitenansicht, 60×
Bohrung Ortenburg 1002 (Slg.-Nr. I 102–109); Oberes Eger



Tafel 2

- Fig. 1 2: *Siphotextularia concava* (KARRER)
 1: Aufsicht, 180×; Fußgraben (Slg. Prot. 5564); Eggenburg
 2: Seitenansicht, 150×; Gänshall (Slg. Prot. 5438); Mittelottnang
- Fig. 3-4: *Spiroplectammina pectinata* (REUSS)
 3: Aufsicht, 90×; 4: Seitenansicht, 70×
 Oberschwärzenbach (Slg. Prot. 5354-5363); Unteres Ottnang
- Fig. 5-6: *Spiroplectammina carinata* (D'ORB.)
 5: Aufsicht, 90×; Fußgraben (Slg. Prot. 5565); Eggenburg
 6: Seitenansicht, 90×; Siggenham (Slg. Prot. 5597); Unteres Ottnang
- Fig. 7: *Karrieriella hantkeniana* CUSHMAN
 Seitenansicht, 150×
 Braunsreut (Slg. Prot. 5657); Eggenburg
- Fig. 8: *Martinottiella communis* (D'ORB.)
 Seitenansicht, 120×
 Siggenham (Slg. Prot. 5597); Unteres Ottnang
- Fig. 9-11: *Quinqueloculina akneriana* D'ORB.
 9: Vorderansicht, 70×; 10: Rückansicht, 100×; 11: Aufsicht, 70×
 Bohrung Ortenburg 1001 (Slg.-Nr. K 366/400); Mittelottnang
- Fig. 12-13: *Quinqueloculina buchiana* D'ORB.
 12: Vorderansicht; 13: Aufsicht; 47×
 Röthelbach (Slg. Prot. 5535); Eggenburg
- Fig. 14-16: *Quinqueloculina cribrosa* (EGGER)
 14: Vorderansicht, 110×; 15: Rückansicht, 110×; 16: Aufsicht, 130×
 Maierhof (Slg. Prot. 5497); Eggenburg; Topotypen
- Fig. 17-19: *Triloculina gibba* D'ORB.
 17: Aufsicht, 180×; 18: Vorderansicht, 150×; 19: Rückansicht, 110×
 Bohrung Isen 1 (Slg. Prot. 5651); Oberes Eger
- Fig. 20 21: *Sinuloculina consobrina* (D'ORB.)
 20: Aufsicht, 170×; 21: Vorderansicht, 150×
 Maierhof (Slg. Prot. 5497); Eggenburg
- Fig. 22-23: *Pyrgo cf. lunula* (D'ORB.)
 22: Vorderansicht, 190×; 23: Aufsicht, 200×
 Röthelbach (Slg. Prot. 5538); Eggenburg



Tafel 3

- Fig. 1 2: *Sigmoilopsis ottnangensis* CÍCHA, ČTYROKÁ & ZAPLETALOVÁ
1: Aufsicht, 90×; 2: Seitenansicht, 60×
Oberschwärzenbach (Slg. Prot. 5354); Unteres Otttang
- Fig. 3--4: *Sigmoilopsis* cf. *schlumbergeri* (SILVESTRI)
3: Aufsicht, 90×; Lußgraben (Slg. Prot. 5563); Eggenburg
4: Seitenansicht, 90×; Röthelbach (Slg. Prot. 5540); Eggenburg
- Fig. 5--6: *Sigmoilopsis colomi* (GLAÇON & MAGNE)
5: Aufsicht, 140×; 6: Seitenansicht, 70×
Prutdorf (Slg. Prot. 5584); Oberes Eger
- Fig. 7--8: *Robulus inornatus* (D'ORB.)
7: Seitenansicht; 8: Peripherie; 60×
Oberschwärzenbach (Slg. Prot. 5384); Unteres Otttang
- Fig. 9--10: *Robulus vortex* (FICHTEL & MOLL)
9: Seitenansicht, 50×; 10: Peripherie, 110×
Engertsham (Slg. Prot. 5412); Unteres Otttang
- Fig. 11--13: *Robulus pauperculus* (REUSS)
11: Seitenansicht; 12: Peripherie; 60×
Anderl (Slg. Prot. 5416); Unteres Otttang
13: Seitenansicht, 140×; Typus „*Robulus meznericsae* CÍCHA“
Oberschwärzenbach (Slg. Prot. 5376); Unteres Otttang
- Fig. 14--15: *Robulus umbonatus* (REUSS)
14: Seitenansicht, 110×; 15: Peripherie, 150×
Blaue Wand (Slg. Prot. 5503); Oberes Eger
- Fig. 16--17: *Robulus calcar* (LINNÉ)
16: Seitenansicht, 120×; 17: Peripherie, 90×
Röthelbach (Slg. Prot. 5537); Eggenburg
- Fig. 18--19: *Robulus cultratus* MONTFORT
18: Seitenansicht, 45×; 19: Peripherie, 60×
Traun (Slg. Prot. 5533); Eggenburg
- Fig. 20 21: *Lenticulina gibba* (D'ORB.)
20: Seitenansicht, 145×; 21: Peripherie, 180×
Lohgraben (Slg. Prot. 5518); Oberes Eger



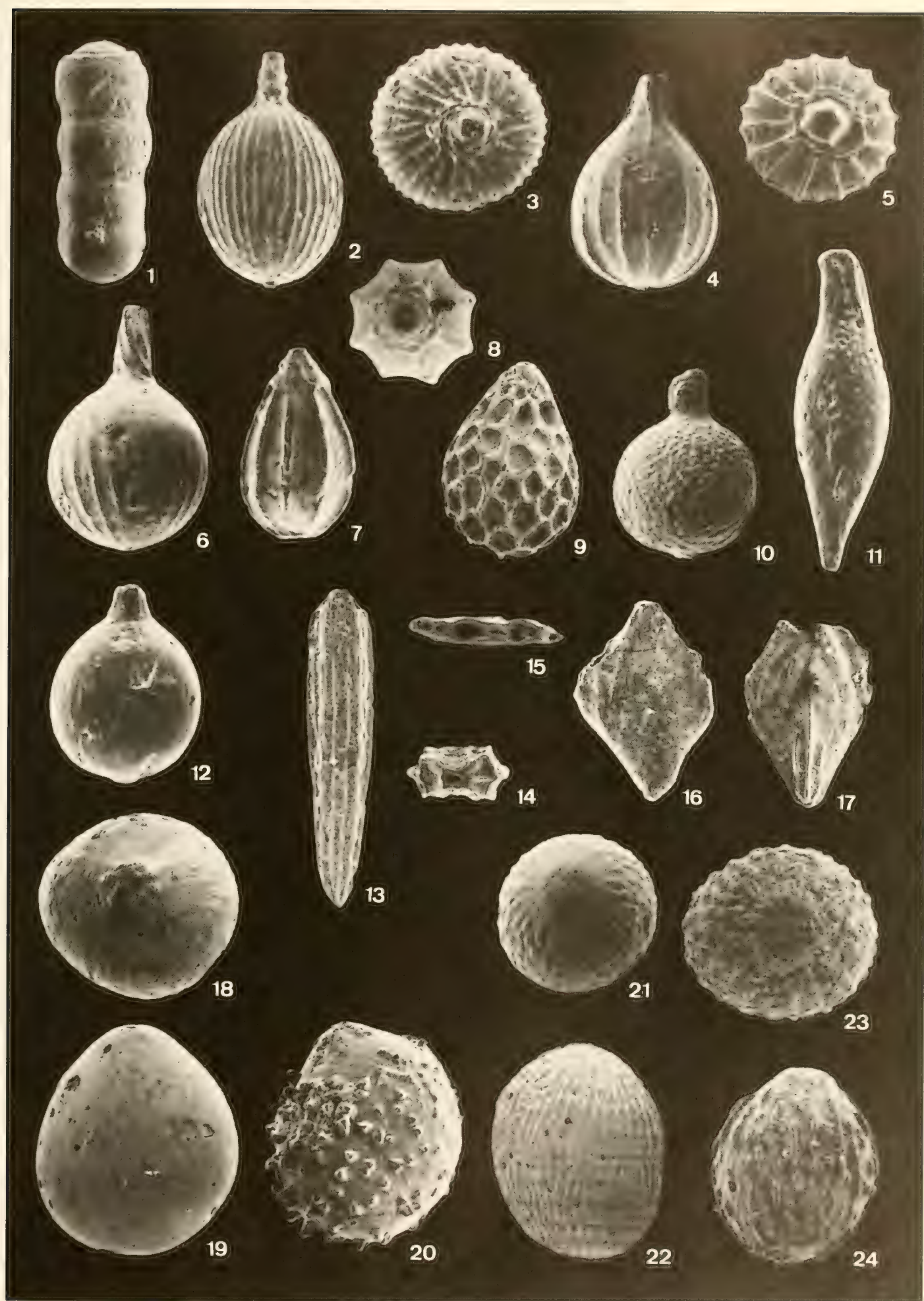
Tafel 4

- Fig. 1–2: *Planularia buergli* n. sp.
1: Seitenansicht, 50×; 2: Peripherie, 70×
Lußgraben (Slg. Prot. 5572), Unteres Ottnang; Paratypen
- Fig. 3–4: *Saracenaria arcuata* (D'ORB.)
3: Seitenansicht; 4: Aufsicht; 100×
Oberschwärzenbach (Slg. Prot. 5382); Unteres Ottnang
- Fig. 5–6: *Vaginulinopsis hauerina* (D'ORB.)
5: Seitenansicht, 90×; 6: Aufsicht, 110×
Mitterdorf (Slg. Prot. 5433); Unteres Ottnang
- Fig. 7–8: *Astacolus crepidulus* (FICHTEL & MOLL)
7: Seitenansicht, 120×; 8: Aufsicht, 150×
Oberschwärzenbach (Slg. Prot. 5354); Unteres Ottnang
- Fig. 9–10: *Vaginulinopsis carinata* SILVESTRI
9: Aufsicht, 80×; 10: Seitenansicht, 60×
Untersimbach (Slg. Prot. 5401); Unteres Ottnang
- Fig. 11–12: *Vaginulinopsis elegans* (HANTKEN)
11: Seitenansicht, 110×; Gänshall (Slg. Prot. 5438); Mittelottnang
12: Aufsicht, 150×; Bohrung Ortenburg 1001 (Slg.-Nr. K 251); Oberes Eger
- Fig. 13: *Vaginulinopsis* sp.
Seitenansicht, 60×
Sur (Slg. Prot. 5573); Unteres Ottnang
- Fig. 14: *Marginulina hirsuta* D'ORB.
Seitenansicht, 80×
Pechschnaitgraben (Slg. Prot. 5532); Eggenburg
- Fig. 15: *Marginulina pediformis* BORNEMANN
Seitenansicht, 110×
Bohrung Ortenburg 1001 (Slg.-Nr. K 246–254); Oberes Eger
- Fig. 16–17: *Dentalina communis* D'ORB.
16: Seitenansicht, 70×; 17: Aufsicht, 110×
Oberschwärzenbach (Slg. Prot. 5354–5391); Unteres Ottnang
- Fig. 18–19: *Dentalina elegans* D'ORB.
18: Aufsicht, 150×; 19: Seitenansicht, 90×
Bohrung Ortenburg 1002 (Slg.-Nr. I 76–87)
- Fig. 20: *Dentalina brevis* D'ORB.
Seitenansicht, 100×
Bohrung Ortenburg 1002 (Slg.-Nr. I 203); Unteres Ottnang
- Fig. 21–24: *Amphicoryna imperfectecostata* (SILVESTRI)
21–22, 24: Seitenansichten, 120×; 23: Aufsicht, 120×
Bohrung Ampfing 1 (Slg. Prot. 5638); Oberes Eger



Tafel 5

- Fig. 1: *Nodosaria* sp.
Seitenansicht, 125×; Bohrung Ortenburg 1003 (Slg.-Nr. H 200); Unterrotnang
- Fig. 2–3: *Lagena striata* (D'ORB.)
2: Seitenansicht, 150×; 3: Aufsicht, 200×
Oberschwärzenbach (Slg. Prot. 5367); Unterottnang
- Fig. 4–5: *Lagena sulcata* (WALKER & JACOB)
4: Seitenansicht, 180; Oberschwärzenbach (Slg. Prot. 5359); Unterrotnang
5: Aufsicht, 200×; Bohrung Ampfing 1 (Slg. Prot. 5649); Unterrotnang
- Fig. 6: *Lagena semistriata* WILLIAMSON
Seitenansicht, 160×; Untersimbach (Slg. Prot. 5402); Unterrotnang
- Fig. 7–8: *Lagena isabella* (D'ORB.)
7: Seitenansicht, 160×; Lengham (Slg. Prot. 5427); Unterrotnang
8: Aufsicht, 200×; Oberschwärzenbach (Slg. Prot. 5363); Unterrotnang
- Fig. 9: *Lagena hexagona* (WILLIAMSON)
Seitenansicht, 150×; Kemating (Slg. Prot. 5489); Eggenburg
- Fig. 10: *Lagena hispida* REUSS
Seitenansicht, 100×; Gänshall (Slg. Prot. 5439); Mittelrotnang
- Fig. 11: *Lagena clavata* (D'ORB.)
Seitenansicht, 140×; Kaltenbachgraben (Slg. Prot. 5617); Unterrotnang
- Fig. 12: *Lagena laevis* (MONTAGU)
Seitenansicht, 180×; Engertsham (Slg. Prot. 5409); Unterrotnang
- Fig. 13–14: *Plectofrondicularia digitalis* (NEUGEBOREN)
13: Seitenansicht, 60×; 14: Aufsicht, 90×;
Röthelbach (Slg. Prot. 5537–5539); Eggenburg;
Topotypen zu *Plectofrondicularia poststriata* HAGN
- Fig. 15–17: *Plectofrondicularia vaughani* CUSHMAN
15: Aufsicht, 100×; 16: Seitenansicht der glatten Varietät, 70×
17: Seitenansicht der berippten Varietät, 90×
Lußgraben (Slg. Prot. 5564/5565); Eggenburg
- Fig. 18–19: *Globulina gibba* (D'ORB.)
18: Aufsicht, 120×; 19: Seitenansicht, 120×
Blindham (Slg. Prot. 5484); Eggenburg
- Fig. 20: *Globulina spinosa* D'ORB.
Seitenansicht, 120×; Kemating (Slg. Prot. 5489); Eggenburg
- Fig. 21–22: *Globulina granulosa* (EGGER)
21: Aufsicht, 110×; Maierhof (Slg. Prot. 5497); Eggenburg
22: Seitenansicht, 90×; Kemating (Slg. Prot. 5489); Eggenburg
- Fig. 23–24: *Globulina striata* (EGGER)
23: Aufsicht, 130×; 24: Seitenansicht, 90×
Maierhof (Slg. Prot. 5497); Eggenburg; Topotypen



Tafel 6

- Fig. 1–2: *Globulina rotundata* (BORNEMANN)
1: Aufsicht, 100×; 2: Seitenansicht, 60×
Blindham (Slg. Prot. 5484); Eggenburg
- Fig. 3–4: *Globulina muensteri* (REUSS)
3: Seitenansicht, 60×; Röthelbach (Slg. Prot. 5539); Eggenburg
4: Aufsicht, 60×; Blindham (Slg. Prot. 5484); Eggenburg
- Fig. 5–6: *Guttulina problema* (D'ORB.)
5: Seitenansicht; 6: Aufsicht; 90×
Maierhof (Slg. Prot. 5497); Eggenburg
- Fig. 7–8: *Guttulina praelonga* (EGGER)
7: Aufsicht, 75×; Maierhof (Slg. Prot. 5497); Eggenburg
8: Seitenansicht, 80×; Neustift (Slg. Prot. 5458); Mitteltottnang
- Fig. 9: *Guttulina uvula* (EGGER)
Seitenansicht, 85×
Blindham (Slg. Prot. 5484); Eggenburg; Neotypus
- Fig. 10–11: *Pseudopolymorphina incerta* (EGGER)
10: Aufsicht, 90×; 11: Seitenansicht, 90×
Traun (Slg. Prot. 5560); Eggenburg
- Fig. 12–14: *Pseudopolymorphina media* (EGGER)
12: Seitenansicht, 80×; Traun (Slg. Prot. 5560); Eggenburg
13: Aufsicht, 70×; 14: Seitenansicht einer hochentwickelten Form, 60×
Maierhof (Slg. Prot. 5497); Eggenburg; Topotypen
- Fig. 15–16: *Glandulina ovula* D'ORB.
15: Seitenansicht, 100×; Mitterdorf (Slg. Prot. 5435); Unterrottnang
16: Aufsicht, 110×; Untersimbach (Slg. Prot. 5408); Unterrottnang
- Fig. 17–18: *Buliminella pulchra* (TERQUEM)
17: Seitenansicht, 150×; 18: Aufsicht, 180×
Braunsreut (Slg. Prot. 5676); Eggenburg
- Fig. 19–20: *Bulimina elongata* D'ORB.
19: Anfangsteil, 300×; 20: Seitenansicht, 140×
Maierhof (Slg. Prot. 5497); Eggenburg



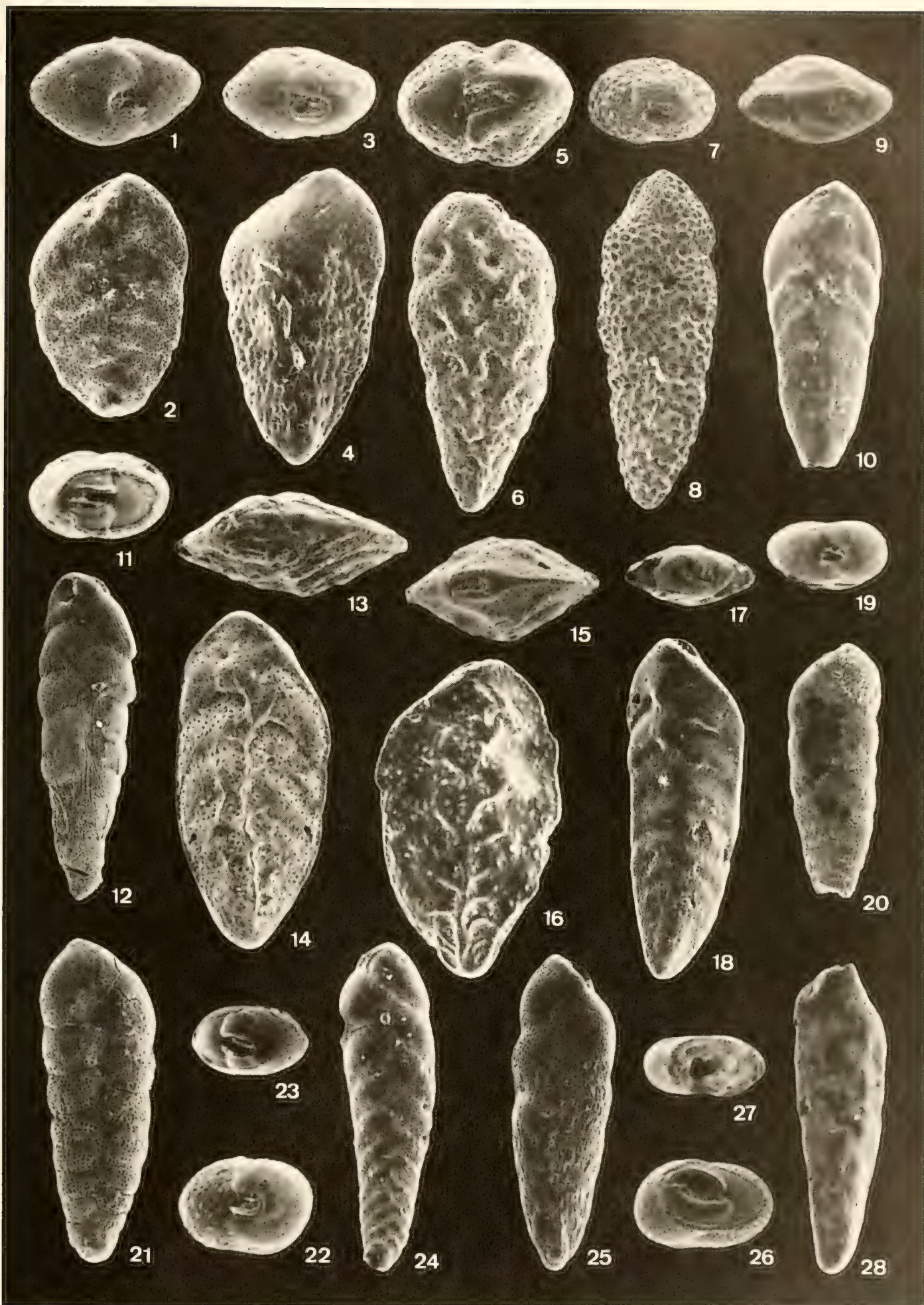
Tafel 7

- Fig. 1–2: *Bulimina striata* D'ORB.
1: Aufsicht, 160×; 2: Seitenansicht, 160×
Röthelbach (Slg. Prot. 5542); Eggenburg
- Fig. 3–5: *Praeglobobulimina pyrula* (D'ORB.)
3: Aufsicht, 120×; 4: Seitenansicht, 90×
5: Detailaufnahme der Endmündung, 400×
Bohrung Ortenburg 1002 (Slg. Prot. I 67–73); Oberes Eger
- Fig. 6–7: *Praeglobobulimina spinescens* (BRADY)
6: Seitenansicht, 140×; 7: Aufsicht, 170×
Bohrung Ortenburg 1001 (Slg.-Nr. K 242); Oberes Eger
- Fig. 8–12: *Virgulopsis tuberculata* (EGGER)
8: Seitenansicht, glatte Form, 130×; 9: Aufsicht, 200×;
10: Seitenansicht, Typus *kasselensis*, 150×;
11: Seitenansicht, Form mit skulptiertem Anfangsteil und glattem
Endteil, 170×
12: Seitenansicht, Varietät mit deutlich zweizeiligem Endteil, 150×
Maierhof (Slg. Prot. 5497); Eggenburg; Topotypen
- Fig. 13–14: *Caucasina cylindrica* ZAPLETALOVA
13: Anfangsteil, 260×; 14: Seitenansicht, 120×
Oberschwärzenbach (Slg. Prot. 5364–5371); Unteres Ottnang
- Fig. 15–16: *Reussella spinulosa* (REUSS)
15: Aufsicht, 100×; 16: Seitenansicht, 90×
Maierhof (Slg. Prot. 5497); Eggenburg
- Fig. 17–18: *Virgulinella cf. pertusa* (REUSS)
17: Seitenansicht, 125×; Anderl (Slg. Prot. 5417); Unteres Ottnang
18: Aufsicht, 150×; Holzbach (Slg. Prot. 5442); Mittelottnang
- Fig. 19–20: *Fursenkoina acuta* (D'ORB.)
19: Seitenansicht, 110×; 20: Aufsicht, 80×
Oberschwärzenbach (Slg. Prot. 5354–5391); Unteres Ottnang
- Fig. 21–22: *Fursenkoina balkyardi* (CUSHMAN)
21: Aufsicht, 110×; 22: Seitenansicht, 150×
Zillerleite (Slg. Prot. 5522); Oberes Eger



Tafel 8

- Fig. 1–2: *Bolivina budensis* (HANTKEN)
1: Aufsicht, 210×; 2: Seitenansicht, 180×
Zillerleite (Slg. Prot. 5522); Oberes Eger
- Fig. 3–4: *Bolivina matejkai* ČIČHA & ZAPELETALOVÁ
3: Aufsicht, 200×; Untersimbach (Slg. Prot. 5393); Unterer Ottang
4: Seitenansicht, 180×; Bohrung Brunnob (Slg. Prot. 5476); Unterottang
- Fig. 5–6: *Bolivina crenulata trunensis* HOFMANN
5: Aufsicht, 200×; 6: Seitenansicht, 170×
Zillergraben (Slg. Prot. 5524); Oberes Eger; Topotypen
- Fig. 7–8: *Bolivina hebes* MACFADYEN
7: Aufsicht, 170×; 8: Seitenansicht, 160×
Bohrung Ortenburg 1001 (Slg.-Nr. K 251); Oberes Eger
- Fig. 9–10: *Bolivina dilatata* REUSS
9: Aufsicht, 220×; 10: Seitenansicht, 190×
Oberschwärzenbach (Slg. Prot. 5354–5391); Unterer Ottang
- Fig. 11–12: *Bolivina pokorny serrata* ČIČHA & ZAPLETALOVÁ
11: Aufsicht, 200×; Kindlbach (Slg. Prot. 5429); Unterer Ottang
12: Seitenansicht, 160×; Blindham (Slg. Prot. 5484); Eggenburg
- Fig. 13–14: *Bolivina fastigia* CUSHMAN
13: Aufsicht, 180×; Fußgraben (Slg. Prot. 5563); Eggenburg
14: Seitenansicht, 150×; Maierhof (Slg. Prot. 5497); Eggenburg
- Fig. 15–16: *Bolivina concinna* (KNIPSCHER & MARTIN)
15: Aufsicht, 220×; Oberschwärzenbach (Slg. Prot. 5371); Unterottang
16: Seitenansicht, 220×; Kindlbach (Slg. Prot. 5430); Unterottang
- Fig. 17–18: *Bolivina subalpina* HOFMANN
17: Aufsicht, 180×; 18: Seitenansicht, 150×
Bohrung Ortenburg 1002 (Slg.-Nr. I 67–73); Oberes Eger; Topotypen
- Fig. 19–20: *Bolivina korynoides korynoides* HOFMANN
19: Aufsicht, 220×; 20: Seitenansicht, 190×
Bohrung Ortenburg 1001 (Slg.-Nr. K 259); Oberes Eger; Topotypen
- Fig. 21–22: *Bolivina korynoides subtumida* HOFMANN
21: Seitenansicht; 22: Aufsicht; 220×
Bohrung Ortenburg 1002 (Slg.-Nr. I 57–101); Oberes Eger; Topotypen
- Fig. 23–24: *Bolivina scitula* HOFMANN
23: Aufsicht, 230×; Oberschwärzenbach (Slg. Prot. 5370); Unterottang
24: Seitenansicht, 200×; Neuhofen (Slg. Prot. 5420); Unterottang
- Fig. 25–26: *Bolivina elongata* HANTKEN
25: Seitenansicht, 110×; 26: Aufsicht, 150×
Bohrung Ortenburg 1001 (Slg.-Nr. K 246); Oberes Eger
- Fig. 27–28: *Bolivina antiqua* D'ORB.
27: Aufsicht, 160×; Oberschwärzenbach (Slg. Prot. 5359); Unterottang
28: Seitenansicht, 120×; Kindlbach (Slg. Prot. 5431); Unterottang



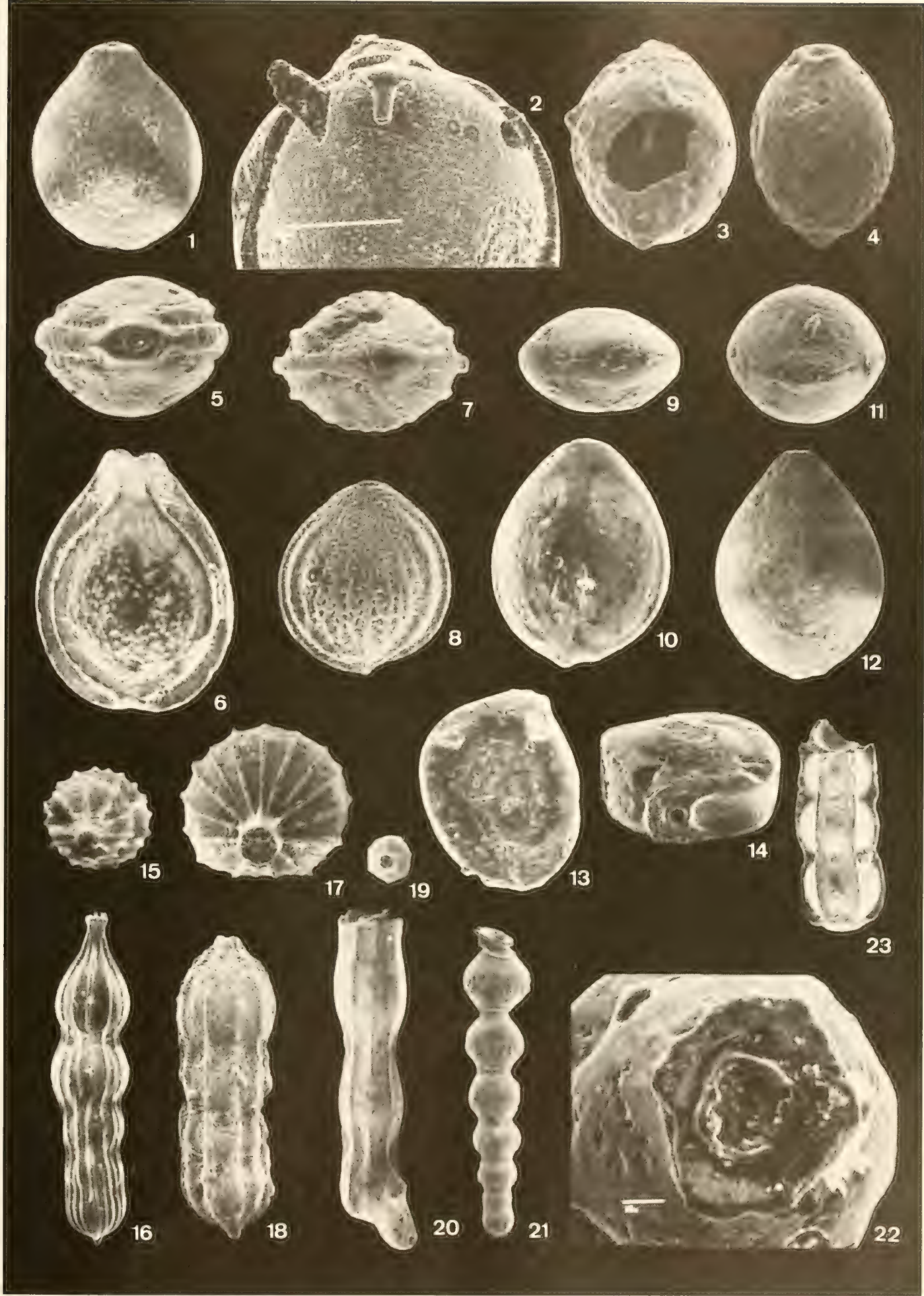
Tafel 9

- Fig. 1: *Sigmavirgulina tortuosa* (BRADY)
Seitenansicht, 100×
Oberschwärzenbach (Slg. Prot. 5370); Unteres Otttnang
- Fig. 2–3: *Coryphostoma digitalis* (D'ORB.)
2: Seitenansicht, 100×; Gänshall (Slg. Prot. 5438); Mittelotttnang
3: Aufsicht, 100×; Kugler (Slg. Prot. 5457); Mittelotttnang
- Fig. 4–8: *Uvigerina posthantkeni* PAPP
4–7: Seitenansichten; 8: Aufsicht; 70×
Bohrung Ortenburg 1002 (Slg.-Nr. I 67-87); Oberes Eger
- Fig. 9–10: *Uvigerina semiornata* D'ORB.
Seitenansichten, 65×
Zillergraben (Slg. Prot. 5525); Oberes Eger
- Fig. 11–14: *Uvigerina parviformis* PAPP
11: Seitenansicht, 130×; 12: Seitenansicht, 150×
Pechschnaitgraben (Slg. Prot. 5531); Eggenburg; Topotypen
13: Aufsicht, 150×; Röthelbach (Slg. Prot. 5553); Eggenburg
14: Seitenansicht, 150×; Traunstein (Slg. Prot. 5562); Unterotttnang
- Fig. 15–16: *Hopkinsina bononiensis primiformis* (PAPP & TURNOVSKY)
15: Seitenansicht, 130×; 16: Aufsicht, 160×
Gänshall (Slg. Prot. 5438); Mittelotttnang
- Fig. 17: *Hopkinsina cf. bononiensis primiformis* (PAPP & TURNOVSKY)
Seitenansicht, 150×
Röthelbach (Slg. Prot. 5557); Eggenburg
- Fig. 18–20: *Trifarina gracilis* (REUSS)
18: Aufsicht, 190×; Lußgraben (Slg. Prot. 5563); Eggenburg
19: Seitenansicht, 180×; Röthelbach (Slg. Prot. 5536); Eggenburg
20: var. *tenuistriata* (REUSS), Seitenansicht, 140×
Untersimbach (Slg. Prot. 5399); Unteres Otttnang
- Fig. 21–22: *Trifarina angulosa* (WILLIAMSON)
21: Aufsicht; 22: Seitenansicht; 240×
Untersimbach (Slg. Prot. 5398); Unteres Otttnang
- Fig. 23–24: *Trifarina globosa* (STOLTZ)
23: Aufsicht, 180×; 24: Seitenansicht, 160×
Bohrung Ortenburg 1002 (Slg.-Nr. I 88–109); Oberes Eger
- Fig. 25–26: *Trifarina bradyi* CUSHMAN
25: Aufsicht, 170×; Lußgraben (Slg. Prot. 5565); Eggenburg
26: Seitenansicht, 150×; Kindlbach (Slg. Prot. 5430); Unterotttnang



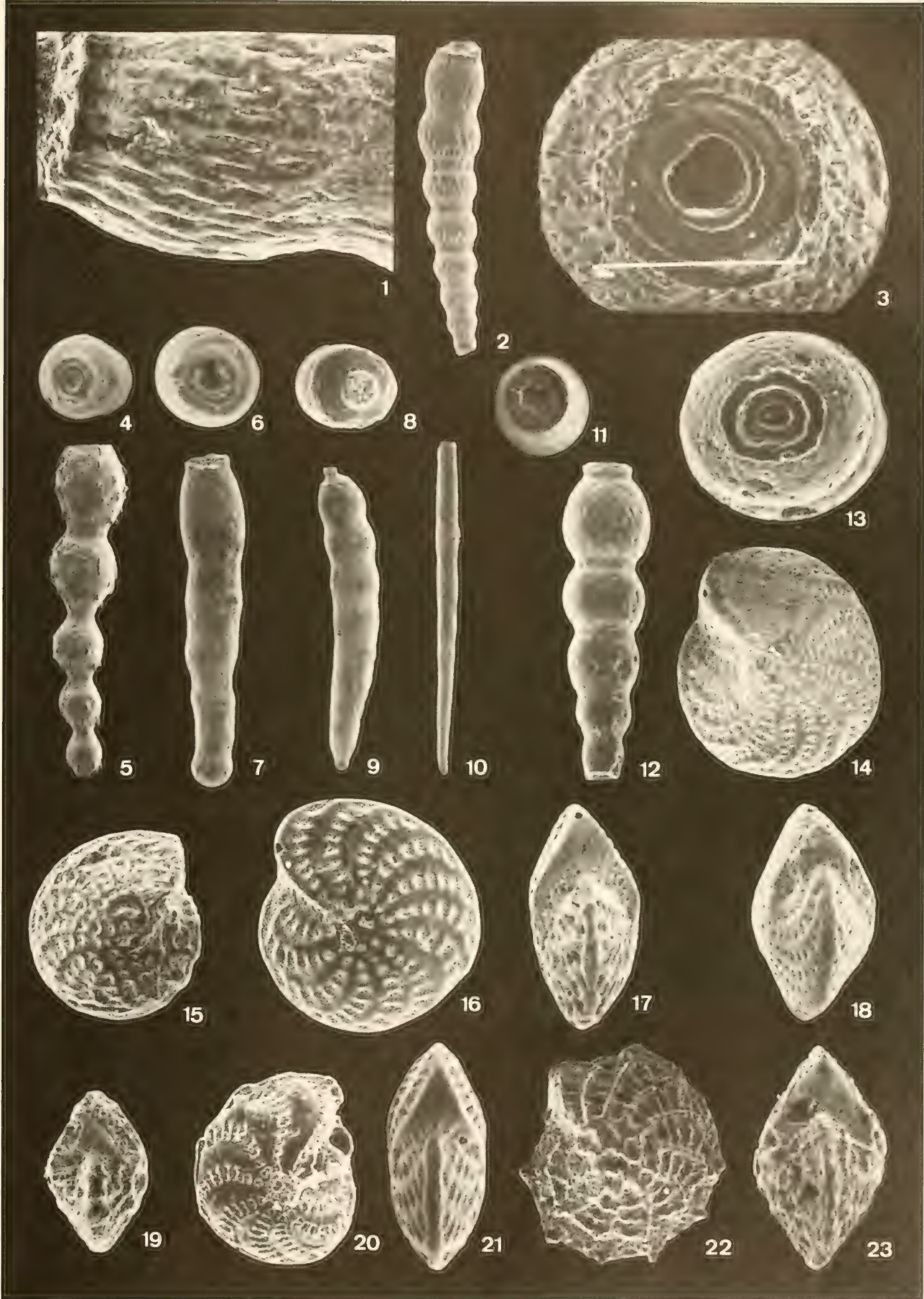
Tafel 10

- Fig. 1–2: *Oolina globosa* (MONTAGU)
1: Seitenansicht, 110×; 2: Detailansicht des Gehäuseinneren, 260×
Engertsham (Slg. Prot. 5410); Unteres Ottnang
- Fig. 3: *Oolina apiculata* REUSS
Seitenansicht, 200×
Siggenham (Slg. Prot. 5597); Unteres Ottnang
- Fig. 4: *Oolina aspera* (REUSS)
Seitenansicht, 150×
Oberschwärzenbach (Slg. Prot. 5388); Unteres Ottnang
- Fig. 5–6: *Fissurina orbignyana orbignyana* SEGUENZA
5: Aufsicht, 230×; 6: Seitenansicht, 200×
Kindlbach (Slg. Prot. 5431); Unteres Ottnang
- Fig. 7–8: *Fissurina orbignyana striata* (FRIESE)
7: Aufsicht, 290×; 8: Seitenansicht, 250×
Blindham (Slg. Prot. 5484); Eggenburg
- Fig. 9–10: *Fissurina laevigata* REUSS
9: Aufsicht; 10: Seitenansicht; 190×
Oberschwärzenbach (Slg. Prot. 5354–5391); Unteres Ottnang
- Fig. 11–12: *Fissurina obtusa* EGGER
11: Aufsicht; 12: Seitenansicht; 135×
Lußgraben (Slg. Prot. 5565); Eggenburg
- Fig. 13–14: *Fissurina fasciata* (EGGER)
13: Seitenansicht, 170×; 14: Aufsicht, 190×
Siggenham (Slg. Prot. 5597); Unteres Ottnang
- Fig. 15–16: *Stilostomella ottnangensis* (TOULA)
15: Aufsicht, 110×; 16: Seitenansicht, 75×
Oberschwärzenbach (Slg. Prot. 5354–5391); Unteres Ottnang
- Fig. 17–18: *Stilostomella danuviensis* nom. nov.
17: Aufsicht, 80×; 18: Seitenansicht, 80×
Maierhof (Slg. Prot. 5498); Eggenburg; Topotypen
- Fig. 19–20: *Stilostomella pentecostata* (COSTA)
19: Aufsicht, 90×; Bohrung Ortenburg 1001 (Slg.-Nr. K 242); Oberes Eger
20: Seitenansicht, 90×; Untersimbach (Slg. Prot. 5408); Unterottnang
- Fig. 21–22: *Stilostomella adolphina* (D'ORB.)
21: Seitenansicht, 90×; Maierhof (Slg. Prot. 5497); Eggenburg
22: Mündung, 900×; Kindlbach (Slg. Prot. 5429); Unteres Ottnang
- Fig. 23: *Stilostomella* cf. *elegantissima* (D'ORB.)
Seitenansicht, 130×
Aspertsham (Slg. Prot. 5423); Unteres Ottnang



Tafel 11

- Fig. 1–3: *Stilostomella perscripta* (EGGER)
 1: Detailaufnahme der Skulpturierung, 430×; 2: Seitenansicht, 80×
 Mitterdorf (Slg. Prot. 5435); Unteres Ottnang
 3: Mündung, 430×; Tutting (Slg. Prot. 5456); Mittelottnang
- Fig. 4–5: *Stilostomella spinescens* (REUSS)
 4: Aufsicht, 130×; 5: Seitenansicht, 90×
 Röthelbach (Slg. Prot. 5536–5552); Eggenburg
- Fig. 6–7: *Stilostomella consobrina* (D'ORB.)
 6: Aufsicht, 90×; 7: Seitenansicht, 90×
 Röthelbach (Slg. Prot. 5542); Eggenburg
- Fig. 8–9: *Stilostomella verneuili* (D'ORB.)
 8: Aufsicht, 180×, Bohrung Ortenburg 1003 (Slg.-Nr. H 200); Unterottnang
 9: Seitenansicht, 70×; Gänshall (Slg. Prot. 5438); Mittelottnang
- Fig. 10–11: *Stilostomella longiscata* (D'ORB.)
 10: Seitenansicht, 140×; 11: Aufsicht, 140×
 Bohrung Ampfing 1 (Slg. Prot. 5638); Oberes Eger
- Fig. 12–13: *Stilostomella scabra* (REUSS)
 12: Seitenansicht, 180×; 13: Aufsicht/Mündung, 435×
 Lußgraben (Slg. Prot. 5565); Eggenburg
- Fig. 14, 18: *Elphidium crispum* (LINNE)
 14: Seitenansicht, 60×; 18: Peripherie, 60×
 Röthelbach (Slg. Prot. 5538); Eggenburg
- Fig. 15, 19: *Elphidium flexuosum flexuosum* (D'ORB.)
 15: Seitenansicht, 120×; Gänshall (Slg. Prot. 5439); Mittelottnang
 19: Peripherie, 120×; Lußgraben (Slg. Prot. 5563); Eggenburg
- Fig. 16–17: *Elphidium flexuosum subtypicum* PAPP
 16: Seitenansicht, 110×; 17: Peripherie, 110×
 Oberschwärzenbach (Slg. Prot. 5382); Unteres Ottnang
- Fig. 20–21: *Elphidium matzenense* PAPP
 20: Seitenansicht, 80×; 21: Peripherie, 100×
 Oberschwärzenbach (Slg. Prot. 5384); Unteres Ottnang
- Fig. 22–23: *Elphidium felsense* PAPP
 22: Seitenansicht, 120×; 23: Peripherie, 100×
 Maierhof (Slg. Prot. 5497); Eggenburg



Tafel 12

- Fig. 1–2: *Elphidium reussi* MARKS
1: Seitenansicht, 110×; 2: Peripherie, 140×
Maierhof (Slg. Prot. 5497); Eggenburg
- Fig. 3–4: *Elphidium angulatum* (EGGER)
3: Seitenansicht, 110×; 4: Peripherie, 110×
Maierhof (Slg. Prot. 5497); Eggenburg; Topotypen
- Fig. 5, 10: *Elphidium macellum* (FICHEL & MOLL)
5: Seitenansicht, 100×; 10: Peripherie, 70×
Maierhof (Slg. Prot. 5497); Eggenburg
- Fig. 6–7: *Elphidium ortenburgense* (EGGER)
6: Seitenansicht, 90×; 7: Peripherie, 105×
Maierhof (Slg. Prot. 5497); Eggenburg; Topotypen
- Fig. 8–9: *Elphidium fichtellianum* (D'ORB.)
8: Seitenansicht, 40×; 9: Peripherie, 60×
Mitterdorf (Slg. Prot. 5433–5436); Unteres Ottnang
- Fig. 11, 16: „*Elphidium*“ *rugulosum* CUSHMAN & WICKENDEN
11: Peripherie, 150×; 16: Seitenansicht, 150×
Kugler (Slg. Prot. 5457); Mittelottnang
- Fig. 12–13: *Elphidium hauerinum* (D'ORB.)
12: Seitenansicht, 120×; Oberschwärzenbach
(Slg. Prot. 5390); Unterottnang
13: Peripherie, 150×; Anderl (Slg. Prot. 5416); Unterottnang
- Fig. 14–15: *Elphidium glabratum* CUSHMAN
14: Seitenansicht, 110×; Kugler (Slg. Prot. 5457); Mittelottnang
15: Peripherie, 110×; Oberndorf (Slg. Prot. 5463); Mittelottnang
- Fig. 17–19: *Elphidiella subcarinata* (EGGER)
17: Seitenansicht, 80×; 19: Peripherie, 80×
18: Detailaufnahme: subsuturaler Kanal (Pfeil), 850×
Maierhof (Slg. Prot. 5497); Eggenburg; Topotypen
- Fig. 20–22: *Elphidiella heteropora* (EGGER)
20: Seitenansicht, 100×; 21: Peripherie, 100×
Maierhof (Slg. Prot. 5497); Eggenburg; Topotypen
22: Detailansicht: subsuturaler Kanal (Pfeil), 600×
Oberndorf (Slg. Prot. 5464); Mittelottnang



Tafel 13

- Fig. 1, 6: *Elphidiella minuta* (REUSS)
1: Seitenansicht, 60×; 6: Peripherie, 80×
Blindham (Slg. Prot. 5484); Eggenburg
- Fig. 2–3: *Elphidiella cryptostoma cryptostoma* (EGGER)
2: Seitenansicht, 120×; 3: Peripherie, 120×
Maierhof (Slg. Prot. 5497); Eggenburg; Topotypen
- Fig. 4–5: *Elphidiella cryptostoma semiinica* n. ssp.
4: Seitenansicht, 140×; Untersimbach (Slg. Prot. 5401); Unterotttang
5: Peripherie, 120×; Oberschwärzenbach (Slg. Prot. 5363); Unterotttang
Paratypen
- Fig. 7–8: *Elphidiella dollfusi* (CUSHMAN)
7: Seitenansicht, 80×; Maierhof (Slg. Prot. 5497); Eggenburg
8: Peripherie, 80×; Blindham (Slg. Prot. 5484); Eggenburg
- Fig. 9–10: *Elphidiella* sp.
9: Seitenansicht, 140×; 10: Peripherie, 140×
Engertsham (Slg. Prot. 5413); Unter Otttang
- Fig. 11–12: *Porosonion granosum* (D'ORB.)
11: Seitenansicht, 60×; 12: Peripherie, 80×
Blindham (Slg. Prot. 5484); Eggenburg
- Fig. 13–14: *Protelphidium roemeri* (CUSHMAN)
13: Seitenansicht, 150×; 14: Peripherie, 150×
Maierhof (Slg. Prot. 5497); Eggenburg
- Fig. 15, 19: *Florilus communis* (D'ORB.)
15: Peripherie, 150×; 19: Seitenansicht, 150×
Oberschwärzenbach (Slg. Prot. 5390); Unter Otttang
- Fig. 16, 20: *Pullenia quinqueloba* (REUSS)
16: Seitenansicht, 100×; 20: Peripherie, 100×
Bohrung Ortenburg 1002 (Slg.-Nr. I 92–101); Oberes Eger
- Fig. 17–18: *Pullenia bulloides* (D'ORB.)
17: Seitenansicht, 150×; 18: Peripherie, 130×
Lußgraben (Slg. Prot. 5563)
- Fig. 21–22: *Astrononion perfossum* (CLODIUS)
21: Seitenansicht, 150×; Untersimbach (Slg. Prot. 5397); Unterotttang
22: Peripherie, 190×; Oberschwärzenbach (Slg. Prot. 5376); Unterotttang
- Fig. 23–24: *Melonis pompilioides* (FICHTEL & MOLL)
23: Seitenansicht, 125×; 24: Peripherie, 125×
Lußgraben (Slg. Prot. 5563); Eggenburg



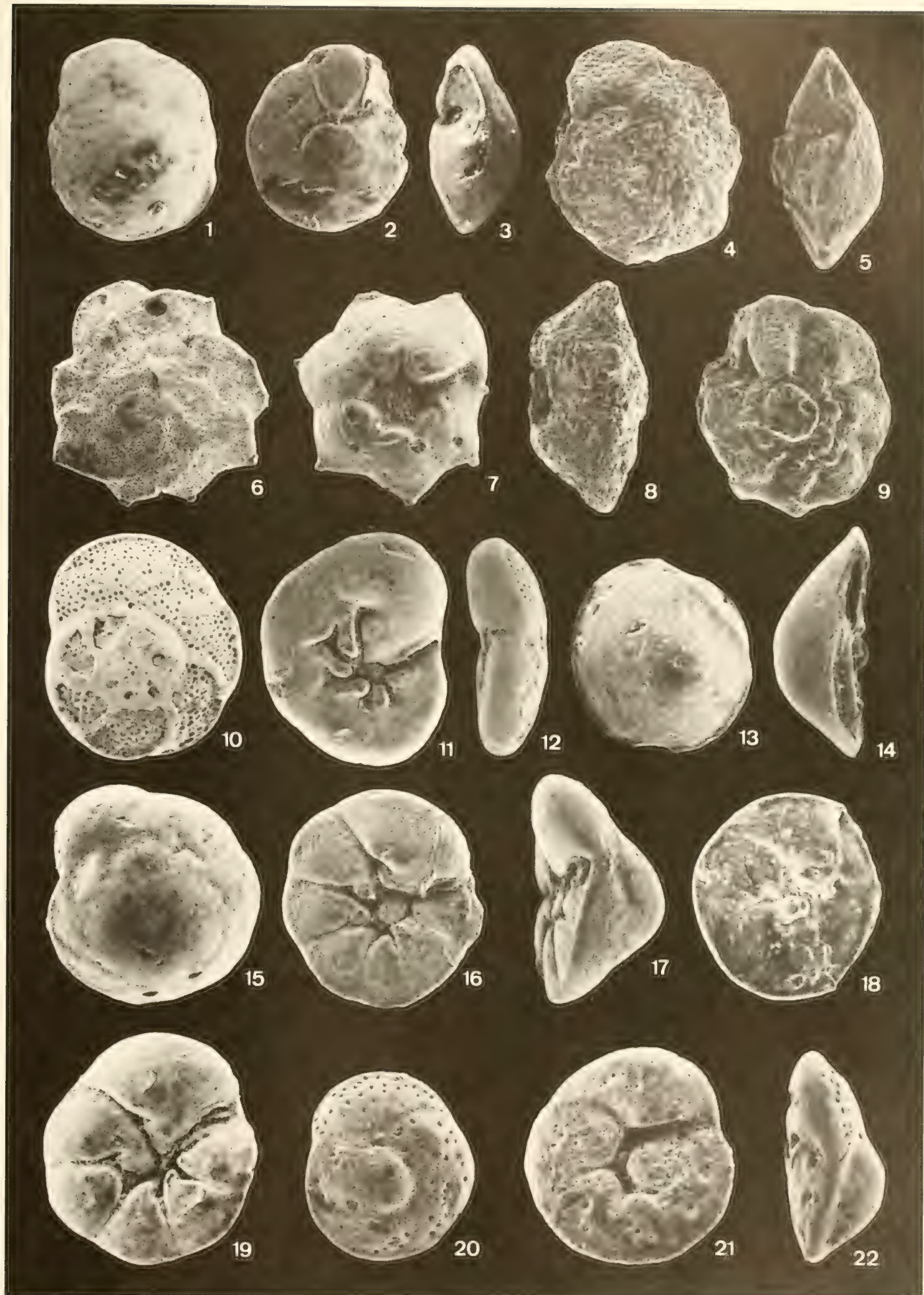
Tafel 14

- Fig. 1–2: *Cassidulina laevigata* D'ORB.
1: Seitenansicht, 220×; 2: Peripherie, 240×
Bohrung Ortenburg 1001 (Slg.-Nr. K 335–337); Unteres Otttnang
- Fig. 3–4: *Globocassidulina crassa* (D'ORB.)
3: Seitenansicht, 140×; 4: Peripherie, 140×
Bohrung Ortenburg 1001 (Slg.-Nr. K 259–264); Oberes Eger
- Fig. 5–6: *Globocassidulina oblonga* (REUSS)
5: Seitenansicht, 180×; 6: Peripherie, 180×
Oberschwärzenbach (Slg. Prot. 5384); Unteres Otttnang
- Fig. 7–8: *Chilostomella ovoidea* REUSS
7: Seitenansicht, 140×; 8: Aufsicht, 140×
Bohrung Ortenburg 1002 (Slg. Prot. I 67–73); Oberes Eger
- Fig. 9–10: *Chilostomella czizeki* REUSS
9: Seitenansicht, 140×; 10: Aufsicht, 140×
Bohrung Ortenburg 1002 (Slg. Prot. I 67–87); Oberes Eger
- Fig. 11–12: *Sphaeroidina bulloides* D'ORB.
11: Spiralansicht, 180×; 12: Mündungsseite, 180×
Lußgraben (Slg. Prot. 5565); Eggenburg
- Fig. 13–16: *Ammonia beccarii* (LINNÉ)
13: Spiralseite, 120×; 14: Umbilicalseite, 120×; 15: Peripherie, 120×
Oberndorf (Slg. Prot. 5463); Mittelotttang
16: juvenile Form, Typus „*Rosalina simplex*“ EGGER, Nabelseite, 220×
Blindham (Slg. Prot. 5484); Eggenburg
- Fig. 17–20: *Ammonia propingua* (REUSS)
17: Spiralseite, 170×; Oberschwärzenbach (Slg. Prot. 5390); Unterotttnang
18: Nabelseite, 150×; Mitterdorf (Slg. Prot. 5436); Unterotttnang
19: Peripherie, 170×; Rainbach/OÖ (Slg. Prot. 5660); Mittelotttnang
20: Nabelseite, 150×; Blindham (Slg. Prot. 5484); Eggenburg



Tafel 15

- Fig. 1–3: *Ammonia discigera* (EGGER)
 1: Spiralseite, 190×; 2: Nabelseite, 250×; 3: Peripherie, 250×
 Blindham (Slg. Prot. 5484); Eggenburg; Topotypen
- Fig. 4–5, 9: *Pararotalia rimosa* (REUSS)
 4: Spiralseite, 80×; 5: Peripherie, 80×; 9: Nabelseite, 80×
 Röthelbach (Slg. Prot. 5536–5548); Eggenburg
- Fig. 6–8: *Pararotalia batavensis* n. sp.
 6: Spiralseite, 130×; 7: Nabelseite, 140×; 8: Peripherie, 160×
 Kemating (Slg. Prot. 5489); Eggenburg; Parotypen
- Fig. 10–12: *Rosalina globularis semiporata* (EGGER)
 10: Spiralseite, 120×; Blindham (Slg. Prot. 5484); Eggenburg
 11: Nabelseite, 145×; 12: Peripherie, 145×
 Maierhof (Slg. Prot. 5497); Eggenburg; Topotypen
- Fig. 13–14, 18: *Discorbis biaperturatus* (POKORNÝ)
 13: Spiralseite, 240×; 14: Peripherie, 200×; 18: Nabelseite, 200×
 Oberschwärzenbach (Slg. Prot. 5359); Unteres Ottnang
- Fig. 15–17, 19: *Discorbis uhligi austriacus* (TOLLMANN)
 15: Spiralseite, 160×; 16: Nabelseite, 160×; 17: Peripherie, 160×
 19: Form ohne Zentralpfeiler, Typus „*Rotalina haidingeri*“ EGGER;
 Nabelseite, 160×
 Maierhof (Slg. Prot. 5497); Eggenburg
- Fig. 20–22: *Neoconorbina patella* (EGGER)
 20: Spiralseite, 200×; Blindham (Slg. Prot. 5484); Eggenburg
 21: Nabelseite, 200×; 22: Peripherie, 200×
 Maierhof (Slg. Prot. 5497); Eggenburg; Topotypen



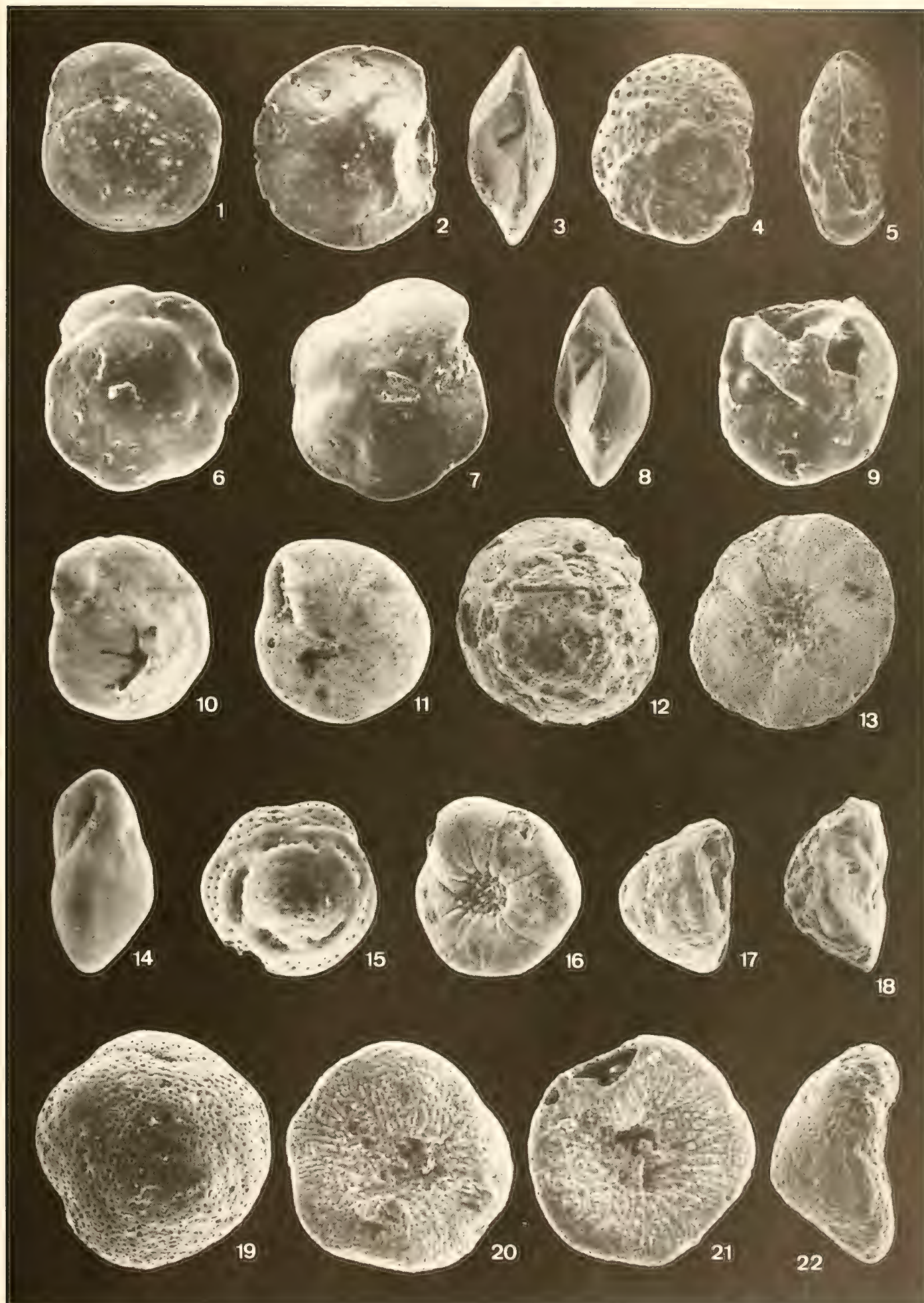
Tafel 16

- Fig. 1–3: *Neoeponides schreibersii* (D'ORB.)
1: Spiralseite, 90×; 2: Nabelseite, 90×; 3: Peripherie, 90×
Röthelbach (Slg. Prot. 5549); Eggenburg
- Fig. 4–5, 9: *Valvulineria complanata* (D'ORB.)
4: Spiralseite, 185×; 5: Peripherie, 185×; 9: Nabelseite, 185×
Bohrung Ortenburg 1001 (Slg.-Nr. K 242–254); Oberes Eger
- Fig. 6–8: *Valvulineria petrolei* (ANDREAE)
6: Spiralseite, 210×; Engertsham (Slg. Prot. 5410); Unteres Ottnang
7: Nabelseite, 240×; 8: Peripherie, 240×
Oberschwärzenbach (Slg. Prot. 5358); Unteres Ottnang
- Fig. 10–11, 15: *Cancris auriculus* (FICHTEL & MOLL)
10: Spiralseite, 80×; 11: Peripherie, 80×; 15: Nabelseite, 80×
Bohrung Ortenburg 1002 (Slg.-Nr. I 67–73); Oberes Eger
- Fig. 12–14: *Gyroidina parva* CUSHMAN & RENZ
12: Spiralseite, 160×; 13: Nabelseite, 160×; 14: Peripherie, 160×
Oberschwärzenbach (Slg. Prot. 5354); Unteres Ottnang
- Fig. 16–18, 22: *Gyroidina eggeri* n. sp.
16: Spiralseite, 120×; 17: Nabelseite, 120×; 18: Peripherie, 120×
22: Detailansicht: Mündung, Umbilicallappen, 330×
Maierhof (Slg. Prot. 5497); Eggenburg; Paratypen
- Fig. 19–21: *Gyroidina* cf. *planulata* CUSHMAN & RENZ
19: Spiralseite, 120×; Mitterdorf (Slg. Prot. 5433); Unteres Ottnang
20: Nabelseite, 170×; Lengham (Slg. Prot. 5427); Unteres Ottnang
21: Peripherie, 170×; Rainbach/OÖ (Slg. Prot. 5660); Mittelottnang



Tafel 17

- Fig. 1–3: *Alabamina tangentialis* (CLODIUS)
1: Spiralseite, 130×; 2: Ventralseite, 130×; 3: Peripherie, 130×
Oberschwärzenbach (Slg. Prot. 5376); Unteres Otttnang
- Fig. 4–5, 9: *Svratkina perlata* (ANDREAE)
4: Spiralseite, 250×; 5: Peripherie, 250×
Röthelbach (Slg. Prot. 5555); Eggenburg
9: Ventralseite, 235×; Bohrung Ortenburg 1002 (Slg.-Nr. I 259–294);
Mittelotttnang
- Fig. 6–8: *Oridorsalis umbonatus* (REUSS)
6: Spiralseite, 150×; 7: Ventralseite, 150×; 8: Peripherie, 150×
Oberschwärzenbach (Slg. Prot. 5358); Unteres Otttnang
- Fig. 10–11, 14: *Epistominella molassica* (HAGN)
10: Spiralseite, 250×; 14: Peripherie, 260×
Bohrung Ortenburg 1001 (Slg.-Nr. K 242–254); Oberes Eger
11: Ventralseite, 270×; Blindham (Slg. Prot. 5484); Eggenburg
- Fig. 12–13, 18: *Escornebovina orthorapha* (EGGER)
12: Spiralseite, 240×; 13: Ventralseite, 240×; 18: Peripherie, 240×
Maierhof (Slg. Prot. 5497); Eggenburg; Topotypen
- Fig. 15–17: *Escornebovina trochiformis* (ANDREAE)
15: Spiralseite, 260×; Bohrung Ortenburg 1001 (Slg.-Nr. K 259); Oberes Eger
16: Nabelseite, 260×; Blindham (Slg. Prot. 5484); Eggenburg
17: Peripherie, 260×; Bohrung Ortenburg 1001 (Slg.-Nr. K 328); Unterotttnang
- Fig. 19–22: *Glabratella hagni* n. sp.
19: Spiralseite, 180×; 20 + 21: Nabelseite, 180×; 22: Peripherie, 180×
Röthelbach (Slg. Prot. 5536); Eggenburg; Paratypen



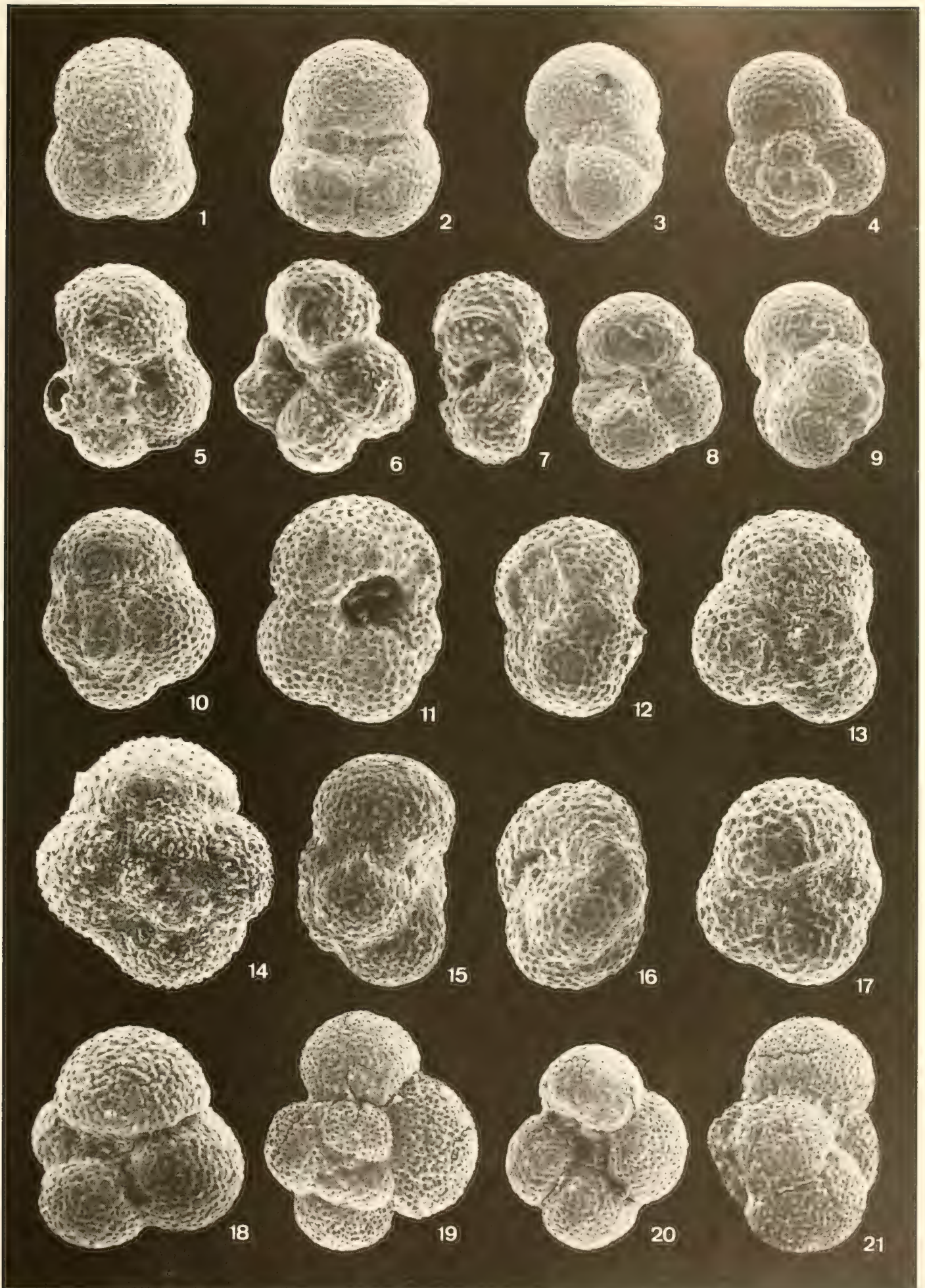
Tafel 18

- Fig. 1–3: *Glauertella biconvexa* n. sp.
1: Spiralseite, 185×; 2: Nabelseite, 185×; 3: Peripherie, 210×
Röthelbach (Slg. Prot. 5536); Eggenburg; Paratypen
- Fig. 4–5, 9: *Glauertella* cf. *baccata* (HERON-ALLEN & EARLAND)
4: Spiralseite, 180×; 5: Peripherie, 220×; 9: Nabelseite, 220×
Lußgraben (Slg. Prot. 5565); Eggenburg
- Fig. 6–8: *Glauertella* cf. *aurantista* SEIGLIE & BERMUDEZ
6: Spiralseite, 165×; 7: Nabelseite, 165×; 8: Peripherie, 165×
Röthelbach (Slg. Prot. 5536); Eggenburg
- Fig. 10–12: *Heronallenia* cf. *otukai* UCHIO
10: Spiralseite, 150×; 11: Nabelseite, 150×; 12: Peripherie, 150×
Röthelbach (Slg. Prot. 5552); Eggenburg
- Fig. 13–14, 18: *Siphonina reticulata* (CZJZEK)
13: Spiralseite, 100×; 14: Peripherie, 110×
Bohrung Ortenburg 1001 (Slg.-Nr. K 254); Oberes Eger
18: Nabelseite, 110×; Bohrung Ortenburg 1002 (Slg.-Nr. I 67–73); Oberes Eger
- Fig. 15–17: *Asterigerinata planorbis* (D'ORB.)
15: Spiralseite, 120×; 16: Nabelseite, 120×; 17: Peripherie, 120×
Maierhof (Slg. Prot. 5497); Eggenburg
- Fig. 19–22: *Globigerina praebulloides praebulloides* (BLOW)
19: Spiralseite, 150×; 20: Nabelseite, 120×; 21: Peripherie, 160×
22: Typus „*Globigerina bollii lentiana* ROGL“, Nabelseite, 170×
Oberschwärzenbach (Slg. Prot. 5354–5391); Unteres Otttnang



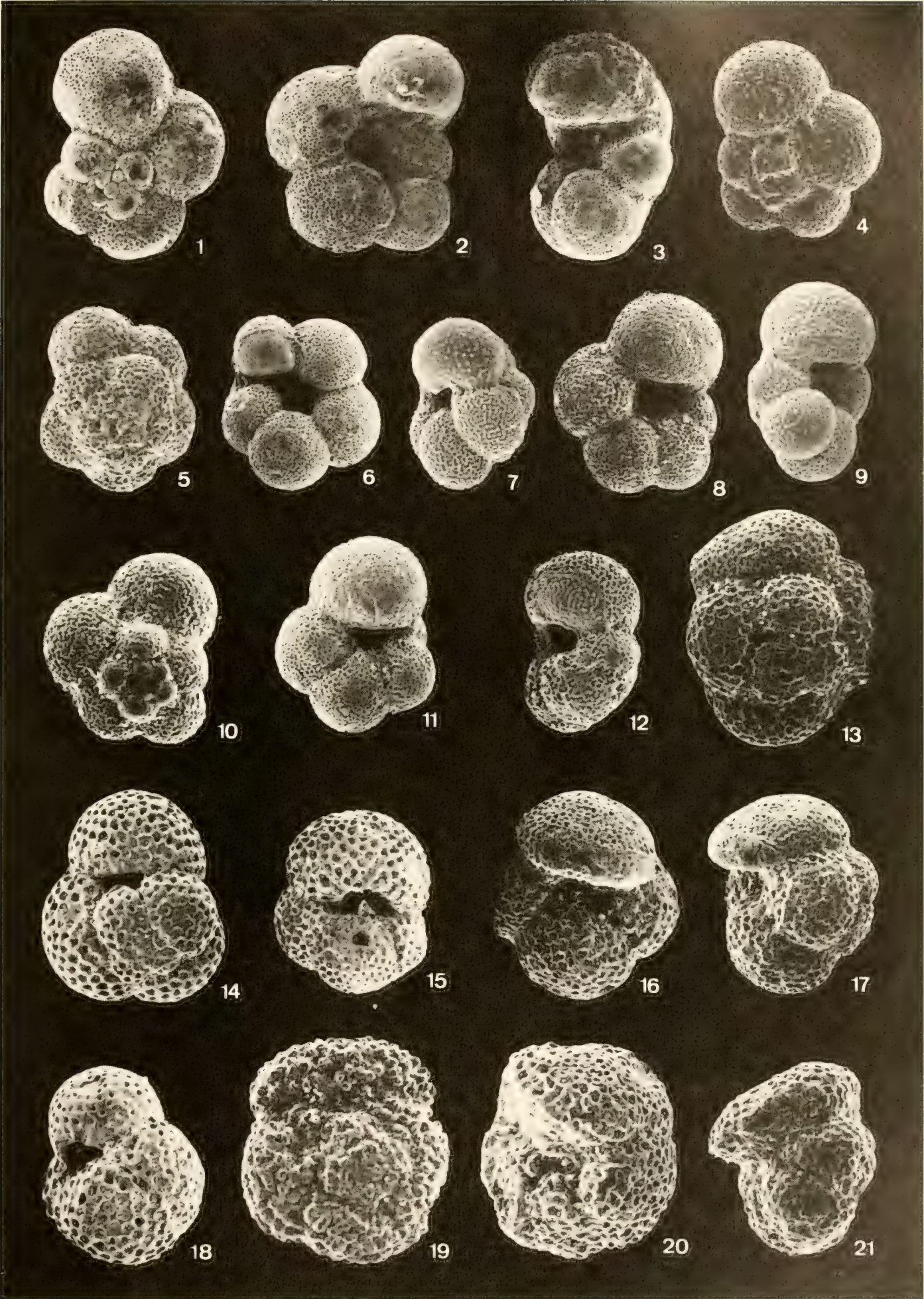
Tafel 19

- Fig. 1–3: *Globigerina cf. praebulloides praebulloides* BLOW
1: Spiralseite, 120×; 2: Nabelseite, 120×; 3: Peripherie, 120×
Lußgraben (Slg. Prot. 5565); Eggenburg
- Fig. 4, 8–9: *Globigerina praebulloides leroyi* BLOW & BANNER
4: Spiralseite, 240×; 8: Nabelseite, 240×; 9: Peripherie, 240×
Engertsham (Slg. Prot. 5409); Unteres Otttnang
- Fig. 5–7: *Globigerina cf. foliata* BOLL
5: Spiralseite, 280×; 6: Nabelseite, 300×; 7: Peripherie, 310×
Bohrung Ortenburg 1003 (Slg.-Nr. H 210–269); Unteres Otttnang
- Fig. 10–12: *Globigerina woodi* JENKINS
10: Spiralseite, 150×; 12: Peripherie, 150×
Prutdorf (Slg. Prot. 5584); Oberes Eger
11: Nabelseite, 150×; Lußgraben (Slg. Prot. 5563); Eggenburg
- Fig. 13, 16–17: *Globigerina enapertura* JENKINS
13: Spiralseite, 190×; 16: Peripherie, 170×; 17: Nabelseite, 210×
Prutdorf (Slg. Prot. 5584); Oberes Eger
- Fig. 14–15, 18: *Globigerina officinalis* SUBBOTINA
14: Spiralseite, 240×; 15: Peripherie, 240×; 18: Nabelseite, 240×
Zillergraben (Slg. Prot. 5524); Oberes Eger
- Fig. 19–21: *Globigerina ouachitaensis* HOWE & WALLACE
19: Spiralseite, 150×; 20: Nabelseite, 150×; 21: Peripherie, 150×
Bohrung Ortenburg 1001 (Slg.-Nr. K 246–251); Oberes Eger



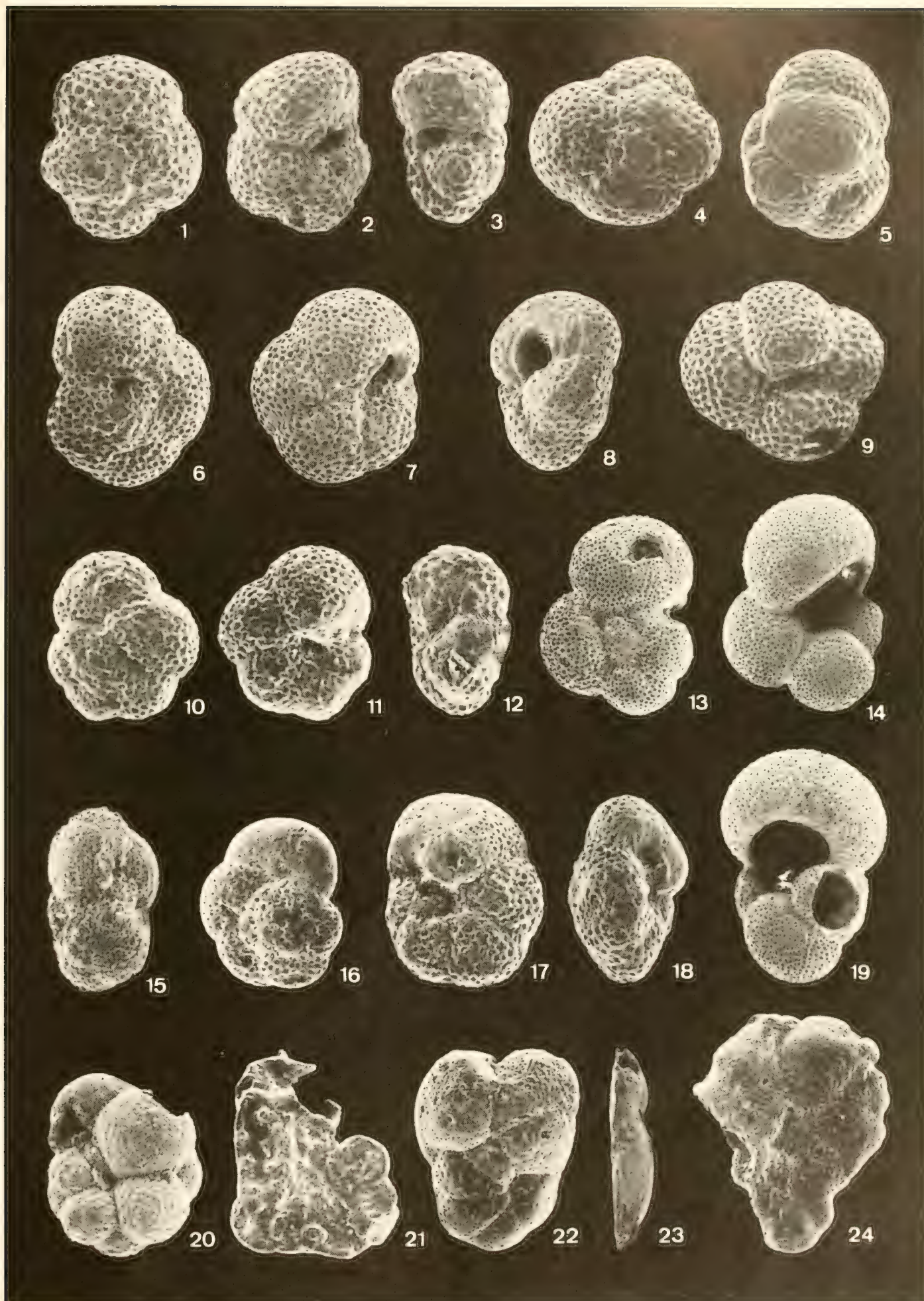
Tafel 20

- Fig. 1–3: *Globigerina ciperoensis ciperoensis* BOLLI
1: Spiralseite, 130×; 2: Nabelseite, 130×; 3: Peripherie, 130×
Bohrung Ortenburg 1002 (Slg.-Nr. I 57–87); Oberes Eger
- Fig. 4, 8–9: *Globigerina ciperoensis ottnangiensis* RÖGL
4: Spiralseite, 140×; 8: Nabelseite, 140×; 9: Peripherie, 140×
Oberschwärzenbach (Slg. Prot. 5354–5391); Unteres Ott nang
- Fig. 5–7: *Globigerina dubia* EGGER
5: Spiralseite, 190×; Anderl (Slg. Prot. 5416); Unteres Ott nang
6: Nabelseite, 145×; Maierhof (Slg. Prot. 5497); Eggenburg; Neotypus
7: Peripherie, 150×; Oberschwärzenbach (Slg. Prot. 5354); Unterott nang
- Fig. 10–12: *Globigerina angustiumbilitata* BOLLI
10: Spiralseite, 180×; 11: Nabelseite, 180×; 12: Peripherie, 180×
Oberschwärzenbach (Slg. Prot. 5354–5391); Unteres Ott nang
- Fig. 13, 16–17: *Globigerina venezuelana* HEDBERG
13: Spiralseite, 160×; 16: Nabelseite, 150×; 17: Peripherie, 130×
Kindlbach (Slg. Prot. 5431); Unteres Ott nang
- Fig. 14–15, 18: *Globigerinoides trilobus immaturus* LE ROY
14: Spiralseite, 170×; Untersimbach (Slg. Prot. 5407); Unterott nang
15: Nabelseite, 170×; Kindlbach (Slg. Prot. 5431); Unterott nang
18: Peripherie, 170×; Rainbach (Slg. Prot. 5660); Mittelott nang
- Fig. 19–21: *Globoquadrina debiscens* (CHAPMAN, PARR & COLLINS)
19: Spiralseite, 210×; Teufelsgraben (Slg. Prot. 5499); Oberes Eger
20: Nabelseite, 200×; Zillergraben (Slg. Prot. 5524); Oberes Eger
21: Peripherie, 190×; Kaltenbachgraben (Slg. Prot. 5613); Eggenburg



Tafel 21

- Fig. 1–3: *Globoquadrina baroemoenensis* (LE ROY)
1: Spiralseite, 210×; 2: Nabelseite, 180×; 3: Peripherie, 210×
Traunstein (Slg. Prot. 5562); Unteres Otttnang
- Fig. 4–5, 9: *Catapsydrax* sp.
4: Spiralseite, 220×; Kaltenbachgraben (Slg. Prot. 5614); Unterotttnang
5: Peripherie, 120×; Oberschwärzenbach (Slg. Prot. 5365); Unterotttnang
9: Nabelseite, 210×; Engertsham (Slg. Prot. 5410); Unterotttnang
- Fig. 6–8: *Globorotalia acrostoma* WEZEL
6: Spiralseite, 180×; 7: Nabelseite, 180×
Kindlbach (Slg. Prot. 5431); Unteres Otttnang
8: Peripherie, 180×; Wolfa (Slg. Prot. 5424); Unteres Otttnang
- Fig. 10–12: *Globorotalia mayeri* CUSHMAN & ELLISOR
10: Spiralseite, 240×; 11: Nabelseite, 230×; 12: Peripherie, 230×
Röthelbach (Slg. Prot. 5555); Eggenburg
- Fig. 13–14, 19: *Globorotalia obesa* BOLLI
13: Spiralseite, 150×; 14: Nabelseite, 150×; 19: Peripherie, 150×
Kindlbach (Slg. Prot. 5431); Unteres Otttnang
- Fig. 15, 20: *Cassigerinella globulosa* (EGGER)
15: Peripherie, 300×; 20: Seitenansicht, 250×
Dommelstadl (Slg. Prot. 5460); Mittelotttnang
- Fig. 16–18: *Globorotalia scitula praescitula* BLOW
16: Spiralseite, 190×; Bohrung Ortenburg 1003 (Slg.-Nr. H 270–300);
Mittelotttnang
17: Nabelseite, 240×; 18: Peripherie, 240×
Lußgraben (Slg. Prot. 5569); Unteres Otttnang
- Fig. 21–24: *Dyocibicides truncatus* (EGGER)
21: Spiralseite, 90×; 22: Nabelseite, 90×
Mitterdorf (Slg. Prot. 5434); Unteres Otttnang
23: Peripherie, 90×; Anderl (Slg. Prot. 5416); Unteres Otttnang
24: ausgewachsenes Exemplar, Nabelseite, 60×
Oberschwärzenbach (Slg. Prot. 5382); Unteres Otttnang



Tafel 22

- Fig. 1–3: *Cibicides lobatulus* (WALKER & JACOB)
1: Spiralseite, 90×; 2: Nabelseite, 90×; 3: Peripherie, 90×
Oberschwärzenbach (Slg. Prot. 5384); Unteres Otttnang
- Fig. 4–5, 9: *Cibicidoides pseudoungerianus* (CUSHMAN)
4: Spiralseite, 80×; 5: Peripherie, 100×; 9: Ventralseite, 80×
Oberschwärzenbach (Slg. Prot. 5354–5391); Unteres Otttnang
- Fig. 6–8: *Heterolepa dutemplei* (D'ORB.)
6: Spiralseite, 80×; Engertsham (Slg. Prot. 5412); Unteres Otttnang
7: Ventralseite, 80×; 8: Peripherie, 80×
Kaltenbachgraben (Slg. Prot. 5619); Unteres Otttnang
- Fig. 10–12: *Hanzawaia boueana* (D'ORB.)
10: Spiralseite, 120×; 11: Ventralseite, 150×; 12: Peripherie, 130×
Kindlbach (Slg. Prot. 5431); Unteres Otttnang
- Fig. 13–14: *Almaena osnabrugensis* (ROEMER)
13: Seitenansicht, 90×; 14: Peripherie, 70×
Bohrung Ortenburg 1002 (Slg.-Nr. I 67–73); Oberes Eger
- Fig. 15–17: *Planulina wuellerstorfi* (SCHWAGER)
15: Spiralseite, 60×; 16: Ventralseite, 60×; 17: Peripherie, 60×
Engertsham (Slg. Prot. 5384); Unteres Otttnang
- Fig. 18, 22–23: *Hoeglundina elegans* (D'ORB.)
18: Spiralseite, 70×; 22: Ventralseite, 70×; 23: Peripherie, 120×
Lußgraben (Slg. Prot. 5565); Eggenburg
- Fig. 19–21: *Alliatina tollmanni* (LANGER)
19: Seitenansicht, 120×; 20: Peripherie, 120×
21: Blick auf das Internseptum mit asymmetrischer Kammerunterteilung,
120×
Blindham (Slg. Prot. 5484); Eggenburg



Zitteliana

Abhandlungen der Bayerischen Staatssammlung für Paläontologie
und historische Geologie

ZITTELIANA 1 (1969)

Vorwort des Herausgebers

BALLMANN, Peter: Die Vögel aus der altburdigalen Spaltenfüllung von Wintershof (West) bei Eichstätt in Bayern

HELMSTAEDT, Herwart: Eine Ammoniten-Fauna aus den Spiti-Schiefern von Muktinath in Nepal

HEMLEBEN, Christoph: Zur Morphogenese planktonischer Foraminiferen

ZITTELIANA 2 (1969)

HERM, Dietrich: Marines Pliozän und Pleistozän in Nord- und Mittel-Chile unter besonderer Berücksichtigung der Entwicklung der Mollusken-Faunen

ZITTELIANA 3 (1974)

KLÖREN, Christoph: Quantitative Untersuchungen an *Rhaetina gregaria* (Suess) (Brachiopoda)

SCHAIRER, Gerhard: Quantitative Untersuchungen an Perisphinctidae (Ammonoidea) des untersten Unterkimmeridgium der Fränkischen Alb (Bayern)

ZITTELIANA 4 (1978)

SPRECHMANN, Peter: The Paleocology and Paleogeography of the Uruguayan Coastal Area During the Neogene and Quaternary

OSTROM, John H.: The Osteology of *Compsognathus longipes* WAGNER

ZITTELIANA 5 (1980)

LEANZA, Héctor A.: The Lower and Middle Tithonian Ammonite Fauna from Cerro Lotena, Province of Neuquen, Argentina

CLEMENS, William A.: Rhaeto-Liassic Mammals from Switzerland and West Germany

ZITTELIANA 6 (1981)

HILLEBRANDT, A. von & SCHMIDT-EFFING, R.: Ammoniten aus dem Toarcium (Jura) von Chile (Südamerika)

ZITTELIANA 7 (1981)

MALZ, Heinz: Paläozäne Ostracoden von den Emperor Seamounts, NW-Pazifik

LOMMERZHEIM, André: Paläozäne Serpulidae und Spirorbidae (Polychaeta) von den Emperor Seamounts, NW-Pazifik

ZITTELIANA 8 (1982)

IMMEL, Harald, KLINGER, Herbert C. & WIEDMANN, Jost: Die Cephalopoden des Unteren Santon der Gosau von Brandenberg/Tirol, Österreich

GAUPP, Reinhard: Sedimentationsgeschichte und Paläotektonik der kalkalpinen Mittelkreide (Allgäu, Tirol, Vorarlberg)

ZITTELIANA 9 (1982)

LAGALLY, Anne: Morphologisch-biostatistische Untersuchungen an *Eucricetodon* (Mammalia, Rodentia) der oligozänen Säugetierlagerstätten Möhren 13 und Gaimersheim (Fränkischer Jura)

WU, Wenyu: Die Cricetiden (Mammalia, Rodentia) aus der Oberen Süßwasser-Molasse von Puttenhausen (Niederbayern)

ZITTELIANA 10 (1983)

2. Symposium Kreide. München 1982

ZITTELIANA 11 (1984)

JOHNSON, Andrew L. A.: The palaeobiology of the bivalve families Pectinidae and Propeamusiidae in the Jurassic of Europe

ZITTELIANA 12 (1985)

HILLEBRANDT, Axel v. & WESTERMANN, Gerd E. G.: Aalenian (Jurassic) Ammonite Faunas and Zones of the Southern Andes

SEYED-EMAMI, Kazem; SCHAIRER, Gerhard & BOLOURCHI, Mohammad H.: Ammoniten aus der unteren Dalichy-Formation (oberes Bajocium bis unteres Bathonium) der Umgebung von Abe-Garm (Avaj, NW-Zentraliran)

IMMEL, Harald & SEYED-EMAMI, Kazem: Die Kreideammoniten des Glaukonitkalkes (O. Alb—O. Cenoman) des Kohlah-Qazi-Gebirges südöstlich von Esfahan (Zentraliran)

ZITTELIANA 13 (1986)

WERNER, Winfried: Palökologische und biofazielle Analyse des Kimmeridge (Oberjura) von Consolação, Mittelpor-tugal

ZITTELIANA 14 (1986)

ZIEGLER, Reinhard & FAHLBUSCH, Volker: Kleinsäuger-Faunen aus der basalen Oberen Süßwasser-Molasse Niederbayerns

YAN DEFA and HEISSIG, Kurt: Revision and Autopodial Morphology of the Chinese-European Rhinocerotid Genus *Plesiaceratherium* YOUNG 1937

OSTROM, John H. and WELLNHOFER, Peter: The Munich Specimen of *Triceratops* with a Revision of the Genus

ZITTELIANA 15 (1987)

IMMEL, Harald: Die Kreideammoniten der Nördlichen Kalkalpen

WEIDICH, Konrad, F.: Das Ultrahelvetikum von Liebenstein (Allgäu) und seine Foraminiferenfauna

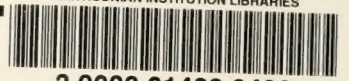
Anfragen und Bestellungen (*Informations and orders to*): Gerhard Trenkle KG, Wissenschaftl. Literatur, Kreuzwinkel, D-8033 Planegg







SMITHSONIAN INSTITUTION LIBRARIES



3 9088 01429 0498